

3. 運転中の原子炉における重大事故

3.1 雰囲気圧力・温度による静的負荷（格納容器過圧・過温破損）

3.1.1 格納容器破損モードの特徴，格納容器破損防止対策

(1) 格納容器破損モード内のプラント損傷状態

格納容器破損モード「雰囲気圧力・温度による静的負荷（格納容器過圧・過温破損）」に至る可能性のあるプラント損傷状態は、「1.2 評価対象の整理及び評価項目の設定」に示すとおり，TQUV，TQUX，LOCA，長期TB，TBU，TBP及びTBDである。

(2) 格納容器破損モードの特徴及び格納容器破損防止対策の基本的考え方

格納容器破損モード「雰囲気圧力・温度による静的負荷（格納容器過圧・過温破損）」では，発電用原子炉の運転中に運転時の異常な過渡変化，原子炉冷却材喪失事故（LOCA）又は全交流動力電源喪失が発生するとともに，非常用炉心冷却系等の安全機能の喪失が重畳する。このため，緩和措置がとられない場合には，格納容器内へ流出した高温の原子炉冷却材や溶融炉心の崩壊熱等の熱によって発生した水蒸気，ジルコニウム－水反応等によって発生した非凝縮性ガス等の蓄積によって，格納容器内の雰囲気圧力・温度が徐々に上昇し，格納容器の過圧・過温により格納容器の破損に至る。

したがって，本格納容器破損モードでは，損傷炉心の冷却のための低圧代替注水系（常設）による原子炉注水，代替格納容器スプレイ冷却系（常設）による格納容器冷却，また，代替循環冷却系又は格納容器圧力逃がし装置による格納容器除熱によって格納容器の破損及び放射性物質の異常な水準での敷地外への放出を防止する。また，格納容器内の水素濃度及び酸素濃度が可燃領域に至るまでに，格納容器内へ窒素を注入することによっ

て、格納容器内における水素燃焼による格納容器の破損を防止する。

本格納容器破損モードは、格納容器バウンダリに対する過圧・過温の観点で厳しい事象であり、代替循環冷却系を使用する場合を想定し、期待する格納容器破損防止対策の有効性評価を行う。また、代替循環冷却系は多重化設計とした上で、さらなる後段の対策として格納容器圧力逃がし装置を整備するため、重大事故時の事象発生後短期に格納容器圧力逃がし装置を使用することは実質的には考えられないが、本格納容器破損モードで想定される事故シーケンスに対して代替循環冷却系が使用できない場合についても、格納容器圧力逃がし装置の有効性を評価する観点から格納容器破損防止対策の有効性評価を行う。

なお、本格納容器破損モードの評価では重大事故等対処設備による原子炉注水機能に期待しており、原子炉圧力容器破損に至ることはないが、重大事故等対処設備による原子炉注水機能に期待せず原子炉圧力容器破損に至る場合については、「3.2 高圧溶融物放出／格納容器雰囲気直接加熱」、
「3.3 原子炉圧力容器外の溶融燃料－冷却材相互作用」及び「3.5 溶融炉心・コンクリート相互作用」にて確認する。

3.1.2 代替循環冷却系を使用する場合

3.1.2.1 格納容器破損防止対策

格納容器破損モード「雰囲気圧力・温度による静的負荷（格納容器過圧・過温破損）」で想定される事故シーケンスに対して、格納容器の破損を防止し、かつ、放射性物質が異常な水準で敷地外へ放出されることを防止するため、初期の対策として低圧代替注水系（常設）による原子炉注水手段及び代替格納容器スプレイ冷却系（常設）による格納容器冷却手段を整備する。また、安定状態に向けた対策として代替循環冷却系による格納容器除熱手段及び可搬型窒素供給装置による格納容器内への窒素注入手段を整備する。

本格納容器破損モードの重大事故等対策の概略系統図を第 3.1.2-1 図に、対応手順の概要を第 3.1.2-2 図に示すとともに、重大事故等対策の概要を以下に示す。また、重大事故等対策における設備と手順の関係を第 3.1.2-1 表に示す。

（添付資料 3.1.2.1）

本格納容器破損モードにおける評価事故シーケンスにおいて、事象発生 2 時間までの重大事故等対策に必要な要員は、災害対策要員（初動）20 名である。その内訳は次のとおりである。中央制御室の運転員は、当直発電長 1 名、当直副発電長 1 名及び運転操作対応を行う当直運転員 4 名である。発電所構内に常駐している要員のうち、通報連絡等を行う要員は 4 名、現場操作を行う重大事故等対応要員は 10 名である。

また、事象発生 2 時間以降に追加で必要な参集要員は、タンクローリによる燃料給油操作を行うための重大事故等対応要員 2 名である。必要な要員と作業項目について第 3.1.2-3 図に示す。

なお、評価事故シーケンス以外の事故シーケンスについては、作業項目を評価事故シーケンスと比較し、必要な要員数を確認した結果、20 名で対処

可能である。

a. 原子炉スクラム，LOCA発生及び全交流動力電源喪失の確認

運転時の異常な過渡変化，原子炉冷却材喪失事故（LOCA）又は全交流動力電源喪失が発生して原子炉がスクラムしたことを確認する。

原子炉のスクラムを確認するために必要な計装設備は，平均出力領域計装等である。

LOCA発生を確認する。

LOCA発生を確認するために必要な計装設備は，ドライウェル圧力等である。

外部電源が喪失するとともに，非常用ディーゼル発電機等が機能喪失する。これにより所内高圧系統（6.9kV）の母線が使用不能となり，全交流動力電源喪失に至ることから，全交流動力電源喪失を確認する。また，全交流動力電源喪失により非常用炉心冷却系の安全機能の喪失を想定する。

全交流動力電源喪失を確認するために必要な計装設備は，M/C 2 C電圧等である。

なお，対応操作は，原子炉水位，格納容器圧力等の兆候に応じて行うため，破断面積や破断位置が今回の想定と異なる場合や，破断位置が特定できない場合においても，対応する操作手順に変更はない。

b. 原子炉への注水機能喪失の確認

原子炉水位が原子炉水位異常低下（レベル2）設定点に到達後，原子炉隔離時冷却系が自動起動に失敗したことを確認する。

原子炉への注水機能喪失を確認するために必要な計装設備は，原子炉隔離時冷却系系統流量である。

c. 炉心損傷確認

大破断 L O C A 時に非常用炉心冷却系の機能及び全交流動力電源が喪失するため、原子炉水位は急激に低下し、炉心が露出することで炉心損傷に至る。炉心損傷の判断は、ドライウエル又はサプレッション・チェンバ内のガンマ線線量率が設計基準事故相当のガンマ線線量率の 10 倍以上となった場合とする。

炉心損傷を確認するために必要な計装設備は、格納容器雰囲気放射線モニタ (D/W) 及び格納容器雰囲気放射線モニタ (S/C) である。

また、炉心損傷判断後は、格納容器内の pH 制御のため薬品注入の準備を行う。サプレッション・チェンバのプール水の pH を 7 以上に制御することで、分子状無機よう素の生成が抑制され、その結果、有機よう素の生成についても抑制される。これにより、環境中への有機よう素の放出量を低減させることができる。なお、有効性評価においては、pH 制御には期待しない。

(添付資料 3.1.3.2)

d. 早期の電源回復不能判断及び対応準備

中央制御室からの操作により外部電源受電及び非常用ディーゼル発電機等の起動ができず、非常用高圧母線 (6.9kV) の電源回復ができない場合、早期の電源回復不能と判断する。これにより、常設代替交流電源設備、代替格納容器スプレイ冷却系 (常設) 及び低圧代替注水系 (常設) の準備を開始する。

e. 常設代替交流電源設備による緊急用母線の受電並びに代替格納容器スプレイ冷却系 (常設) による格納容器冷却及び低圧代替注水系 (常設) による原子炉注水

中央制御室からの遠隔操作により常設代替交流電源設備による交流電源供給を開始し、原子炉冷却材浄化系吸込弁の閉止操作、代替格納容器

スプレイ冷却系（常設）による格納容器冷却及び低圧代替注水系（常設）による原子炉注水を開始する。具体的には、格納容器スプレイ弁と原子炉注水弁を用いて中央制御室からの遠隔操作により格納容器スプレイと原子炉注水に分配し、それぞれ連続で格納容器冷却及び原子炉注水を実施する。

(a) 常設代替交流電源設備による緊急用母線の受電

早期の電源回復不能の確認後、中央制御室からの遠隔操作により常設代替交流電源設備から緊急用母線を受電する。

常設代替交流電源設備による緊急用母線の受電を確認するために必要な計装設備は、緊急用M/C電圧である。

(b) 代替格納容器スプレイ冷却系（常設）による格納容器冷却

原子炉注水に伴い炉心部で発生する過熱蒸気により、格納容器圧力及び雰囲気温度が急激に上昇する。格納容器圧力及び雰囲気温度上昇を抑制する観点から、代替格納容器スプレイ冷却系（常設）による格納容器冷却を開始する。

代替格納容器スプレイ冷却系（常設）による格納容器冷却を確認するために必要な計装設備は、低圧代替注水系格納容器スプレイ流量（常設ライン用）等である。

(c) 低圧代替注水系（常設）による原子炉注水

低圧代替注水系（常設）による原子炉注水を開始することで、原子炉圧力容器破損に至ることなく、ジェットポンプ上端（以下「原子炉水位L0」という。）以上まで原子炉水位が回復し、炉心は冠水する。

低圧代替注水系（常設）による原子炉注水を確認するために必要な計装設備は、低圧代替注水系原子炉注水流量（常設ライン用）等である。

なお、大破断 L O C A により格納容器雰囲気温度が上昇し、ドライウエル雰囲気温度計の指示が原子炉圧力の飽和温度を超えている場合は、水位不明と判断する。

水位不明判断に必要な計装設備は、原子炉圧力、原子炉圧力（S A）及びドライウエル雰囲気温度である。

水位不明と判断した場合、原子炉水位は、崩壊熱及び原子炉注水流量から推定して把握することができる。具体的には、原子炉底部から原子炉水位 L O まで冠水させるために必要な原子炉注水量及び崩壊熱分の注水量を考慮し、原子炉注水流量に応じた必要注水時間の原子炉注水を実施する。

サプレッション・プール水位の上昇抑制により格納容器圧力逃がし装置による格納容器除熱操作の遅延を図り、可能な限り外部への影響を軽減する観点から、原子炉水位 L O まで冠水した後は、代替循環冷却系による格納容器除熱を開始後に、低圧代替注水系（常設）による原子炉注水及び代替格納容器スプレイ冷却系（常設）による格納容器冷却を停止する。

（添付資料 3.1.2.2, 3.1.3.3）

f. 緊急用海水系による冷却水（海水）の確保

代替格納容器スプレイ冷却系（常設）による格納容器冷却及び低圧代替注水系（常設）による原子炉注水を開始後、中央制御室からの遠隔操作により緊急用海水ポンプを起動し、緊急用海水系に海水を通水する。

緊急用海水系による冷却水（海水）の確保を確認するために必要な計装設備は、緊急用海水系流量（残留熱除去系熱交換器）である。

g. 代替循環冷却系による格納容器除熱

緊急用海水系に海水を通水した後、中央制御室からの遠隔操作により

代替循環冷却系ポンプを起動することで、代替循環冷却系による格納容器除熱を開始する。代替循環冷却系の循環流量は、代替循環冷却系原子炉注水流量及び代替循環冷却系格納容器スプレイ流量を用いて、原子炉注入弁と格納容器スプレイ弁を中央制御室からの遠隔操作により原子炉注水と格納容器スプレイに分配し、それぞれ連続で原子炉注水及び格納容器スプレイを実施する。

代替循環冷却系による原子炉注水を確認するために必要な計装設備は、代替循環冷却系原子炉注水流量等であり、格納容器除熱を確認するために必要な計装設備は、代替循環冷却系格納容器スプレイ流量、ドライウエル圧力及びサブプレッション・チェンバ圧力、サブプレッション・プール水温度等である。

h. 水素濃度及び酸素濃度監視設備の起動

炉心損傷が発生すれば、ジルコニウム-水反応等により水素が発生し、水の放射線分解により水素及び酸素が発生することから、中央制御室からの遠隔操作により水素濃度及び酸素濃度監視設備を起動し、格納容器内の水素濃度及び酸素濃度を確認する。

格納容器内の水素濃度及び酸素濃度を確認するために必要な計装設備は、格納容器内酸素濃度（SA）等である。

i. 可搬型窒素供給装置による格納容器内への窒素注入

格納容器内酸素濃度が 4.0vol%（ドライ条件）に到達した場合、可搬型窒素供給装置を用いて格納容器内へ窒素を注入することで、格納容器内酸素濃度の上昇を抑制する。

可搬型窒素供給装置による格納容器内への窒素注入を確認するために必要な計装設備は、格納容器内酸素濃度（SA）である。

3.1.2.2 格納容器破損防止対策の有効性評価

(1) 有効性評価の方法

本格納容器破損モードを評価する上で選定した評価事故シーケンスは、「1.2 評価対象の整理及び評価項目の設定」に示すとおり、過圧及び過温への対策の有効性を総合的に評価する観点から、プラント損傷状態をLOCAとし、中小破断LOCAに比べて破断口径が大きいことから事象進展が早く、格納容器圧力及び雰囲気温度上昇の観点で厳しい大破断LOCAを起因とする、「大破断LOCA＋高圧炉心冷却失敗＋低圧炉心冷却失敗」である。

なお、本評価事故シーケンスにおいては、電源の復旧、注水機能の確保等、必要となる事故対処設備が多く、格納容器への注水・除熱を実施するまでの対応時間を厳しく評価する観点から、全交流動力電源喪失の重畳を考慮する。

本評価事故シーケンスでは、炉心における崩壊熱、燃料棒内温度変化、燃料棒表面熱伝達、燃料被覆管酸化、燃料被覆管変形、沸騰・ボイド率変化及び気液分離（水位変化）・対向流、原子炉圧力容器におけるECCS注水（給水系・代替注水設備含む）、炉心損傷後の原子炉圧力容器におけるリロケーション、構造材との熱伝達及び原子炉圧力容器内FP挙動、格納容器における格納容器各領域間の流動、サプレッション・プール冷却、構造材との熱伝達及び内部熱伝導、気液界面の熱伝達及びスプレイ冷却並びに炉心損傷後の格納容器における格納容器内FP挙動が重要現象となる。

よって、これらの現象を適切に評価することが可能であり、原子炉圧力容器内及び格納容器内の熱水力モデルを備え、かつ、炉心損傷後のシビアアクシデント特有の熔融炉心挙動に関するモデルを有するシビアアクシデント総合解析コードMAAPにより原子炉水位、燃料最高温度、格納容器

圧力，格納容器雰囲気温度等の過渡応答を求める。

また，解析コード及び解析条件の不確かさの影響評価の範囲として，本評価事故シーケンスにおける運転員等操作時間に与える影響，評価項目となるパラメータに与える影響及び操作時間余裕を評価する。

(2) 有効性評価の条件

本評価事故シーケンスに対する初期条件も含めた主要な解析条件を第3.1.2-2表に示す。また，主要な解析条件について，本評価事故シーケンス特有の解析条件を以下に示す。

a. 事故条件

(a) 起因事象

起因事象として，大破断LOCAが発生するものとする。破断箇所は，原子炉圧力容器内の保有水量を厳しく評価し，かつ，格納容器内の圧力上昇及び温度上昇の観点で厳しい設定として，再循環系配管（出口ノズル）とする。

(添付資料 1.5.2)

(b) 安全機能の喪失に対する仮定

非常用ディーゼル発電機等の機能喪失を想定し，全交流動力電源が喪失するものとする。さらに非常用炉心冷却系等が機能喪失するものとする。

(c) 外部電源

外部電源は使用できないものと仮定する。

送電系統又は所内主発電設備の故障等によって，外部電源が喪失するとともに，非常用ディーゼル発電機等の機能喪失を想定する。

(d) 水素の発生

水素の発生については、ジルコニウム-水反応を考慮するものとする。なお、解析コードM A A Pの評価結果では水の放射線分解等による水素発生は考慮していないため、「(4) 有効性評価の結果」にてその影響を評価する。

b. 重大事故等対策に関連する機器条件

(a) 原子炉スクラム信号

原子炉スクラムは、原子炉水位低（レベル3）信号によるものとする。

(b) 主蒸気隔離弁

主蒸気隔離弁は、事象発生と同時に閉止するものとする。

(c) 再循環系ポンプ

再循環系ポンプは、事象発生と同時に停止するものとする。

(d) 低圧代替注水系（常設）による原子炉注水

230m³/hにて原子炉注水するものとする。なお、低圧代替注水系（常設）による原子炉注水は、格納容器スプレーと同じ常設低圧代替注水系ポンプを用いて流量分配することで実施する。

(添付資料 3.1.2.3)

(e) 代替格納容器スプレー冷却系（常設）による格納容器冷却

格納容器圧力及び温度上昇の抑制に必要なスプレー流量を考慮し、130m³/hにて格納容器内にスプレーする。なお、格納容器スプレーは、原子炉注水と同じ常設低圧代替注水系ポンプを用いて流量分配することで実施する。

(添付資料 3.1.2.3)

(f) 格納容器下部注水系（常設）

格納容器雰囲気温度の挙動を厳しく評価するため、初期条件として

ペDESTAL（ドライウェル部）のプール水を考慮していないことから、格納容器下部注水系（常設）によるペDESTAL（ドライウェル部）水位の確保操作についても考慮しない。

(g) 代替循環冷却系による格納容器除熱

代替循環冷却系の循環流量は、全体で $250\text{m}^3/\text{h}$ とし、原子炉注水へ $100\text{m}^3/\text{h}$ 、格納容器スプレィへ $150\text{m}^3/\text{h}$ にて流量分配し、それぞれ連続注水及び連続スプレィを実施する。

(h) 緊急用海水系

代替循環冷却系から緊急用海水系への伝熱容量は、熱交換器の設計性能に基づき約 14MW （サブプレッション・プール水温度 100°C 、海水温度 32°C において）とする。

(i) 可搬型窒素供給装置

可搬型窒素供給装置による格納容器内窒素注入は、ガス温度 30°C 、純度 $99\text{vol}\%$ にて $200\text{m}^3/\text{h}$ （窒素 $198\text{m}^3/\text{h}$ 及び酸素 $2\text{m}^3/\text{h}$ ）で格納容器内に注入するものとする。

c. 重大事故等対策に関連する操作条件

運転員等操作に関する条件として、「1.3.5 運転員等の操作時間に対する仮定」に示す分類に従って以下のとおり設定する。

(a) 交流電源は、常設代替交流電源設備によって供給を開始し、代替格納容器スプレィ冷却系（常設）による格納容器冷却操作及び低圧代替注水系（常設）による原子炉注水操作は、事象発生 25 分後から開始する。なお、格納容器スプレィ及び原子炉注水は、代替循環冷却系の運転開始後に停止する。

(b) 緊急用海水系による冷却水（海水）の確保操作及び代替循環冷却系による格納容器除熱操作は、緊急用海水系及び代替循環冷却系の準

備時間等を考慮し、事象発生 90 分後から開始する。

- (c) 可搬型窒素供給装置による格納容器内への窒素注入操作は、格納容器内酸素濃度が 4.0vol% (ドライ条件) に到達した場合にサブプレッション・チェンバ内へ窒素注入を開始する。なお、可搬型窒素供給装置による格納容器内への窒素注入は格納容器圧力 0.31MPa [gage] 到達により停止する。

(3) 有効性評価 (Cs-137 の放出量評価) の条件

- a. 事象発生直前まで、定格出力の 100% で長時間にわたって運転されていたものとする。その運転時間は、燃料を約 1/4 ずつ取り替えていく場合の平衡炉心を考え、最高 50,000 時間とする。
- b. 代替循環冷却系を用いた場合の環境中への総放出量の評価においては、原子炉内に内蔵されている核分裂生成物が事象進展に応じた割合で、格納容器内に放出*されるものとする。

※ セシウムの格納容器内への放出割合については、本評価事故シナリオにおいては解析コード MAAP の評価結果の方が代表的なソースタームに関する報告書である NUREG-1465 より大きく算出する。

- c. 格納容器内に放出された Cs-137 については、格納容器スプレイやサブプレッション・チェンバのプール水でのスクラビング等による除去効果を考慮する。
- d. 原子炉建屋から大気中への放射性物質の漏えいについて考慮する。漏えい量の評価条件は以下のとおりとする。
- (a) 格納容器からの漏えい量は、格納容器圧力に応じた設計漏えい率を基に評価する。

- (b) 原子炉建屋から大気中に漏えいする放射性物質を保守的に見積もるため、原子炉建屋ガス処理系により原子炉建屋原子炉棟内の負圧が達成されるまでの期間は、原子炉建屋内の放射性物質の保持機能に期待しないものとする。

原子炉建屋ガス処理系により負圧を達成した後は非常用ガス処理系の設計換気率 1 回/d 相当を考慮する。なお、非常用ガス処理系フィルタトレイン及び非常用ガス再循環系フィルタトレインによる放射性物質の除去効果については、期待しないものとする。

原子炉建屋ガス処理系は、事象発生 115 分後から、常設代替交流電源設備からの交流電源の供給を受け中央制御室からの遠隔操作により起動し、起動後 5 分間で負圧が達成されることを想定する。

- (c) 原子炉建屋内での放射能の時間減衰は考慮せず、また、原子炉建屋内での粒子状物質の除去効果は保守的に考慮しない。

(添付資料 3.1.2.4, 3.1.2.5)

(4) 有効性評価の結果

本評価事故シーケンスにおける原子炉水位（シュラウド内外水位）、注水流量及び原子炉圧力容器内の保有水量の推移を第 3.1.2-4 図から第 3.1.2-8 図に、燃料最高温度及び燃料被覆管最高温度の推移を第 3.1.2-9 図及び第 3.1.2-10 図に、格納容器圧力、格納容器雰囲気温度、サブプレッション・プール水位及びサブプレッション・プール水温度の推移を第 3.1.2-11 図から第 3.1.2-17 図に示す。

a. 事象進展

大破断 L O C A 時に高圧・低圧注水機能及び全交流動力電源が喪失するため、原子炉水位は急速に低下する。水位低下により炉心は露出し、

事象発生から約 4 分後に燃料被覆管の最高温度は 1,000K (約 727°C) に到達し、炉心損傷が開始する。燃料被覆管の最高温度は事象発生から約 9 分後に 1,200°C に到達し、また、事象発生から約 27 分後に燃料温度は 2,500K (約 2,227°C) に到達する。事象発生から 25 分後、常設代替交流電源設備による交流電源の供給を開始し、常設低圧代替注水系ポンプ 2 台を用いた低圧代替注水系 (常設) による原子炉注水を開始することによって、原子炉圧力容器破損に至ることなく、原子炉水位 L 0 以上まで原子炉水位は回復し、炉心は冠水する。

(添付資料 3.1.2.6)

格納容器内に崩壊熱等の熱によって発生した水蒸気等が放出されるため、格納容器圧力及び雰囲気温度は上昇する。そのため、原子炉注水と同時に格納容器スプレイを実施することによって、格納容器圧力及び雰囲気温度の上昇を抑制する。

事象発生から 90 分経過した時点で、代替循環冷却系による格納容器除熱を開始する。代替循環冷却系により、原子炉圧力容器は破断口より原子炉冷却材が流出することで溢水状態となり、格納容器は除熱効果により格納容器圧力及び温度の上昇が抑制され、その後、徐々に低下する。

また、事象発生から約 84 時間後に格納容器内酸素濃度が 4.0vol% (ドライ条件) に到達した時点で、可搬型窒素供給装置による格納容器内への窒素注入操作を実施するため格納容器圧力は上昇するが、事象発生から約 164 時間後に格納容器圧力が 0.31MPa [gage] に到達した時点で窒素注入を停止するため、一時的な圧力の上昇である。この窒素注入により格納容器圧力は一時的に上昇するが、代替循環冷却系による格納容器減圧及び除熱操作を継続することから、格納容器内の安定した減圧及び除熱への影響はない。

b. 評価項目等

格納容器圧力は、第 3.1.2-11 図に示すとおり、格納容器内に崩壊熱等の熱によって発生した水蒸気等が放出されるため上昇するが、代替格納容器スプレー冷却系（常設）による格納容器冷却及び代替循環冷却系による格納容器除熱を行うことによって、圧力上昇は抑制される。その結果、格納容器バウンダリにかかる圧力の最大値は約 0.31MPa [gage] となり、格納容器の限界圧力 0.62MPa [gage] を超えない。なお、格納容器バウンダリにかかる圧力が最大となる事象発生約 164 時間後において、水の放射線分解によって発生する水素及び酸素は、格納容器内の非凝縮性ガスに占める割合の 3%未満*であるため、その影響は無視し得る程度である。

※ 格納容器圧力が最大値の約 0.31MPa [gage] を示す事象発生から約 164 時間後の格納容器内の非凝縮性ガス（水素、酸素及び窒素）の物質量は約 1.3×10^6 mol であり、水の放射線分解によって発生する水素及び酸素の物質量の和は約 3.5×10^4 mol 以下である。これが仮にドライウェルよりも体積の小さいサブプレッション・チェンバの気相部に集中するものとしても、そのサブプレッション・チェンバでの分圧は 0.01MPa [abs] 未満であることから、水の放射線分解によって発生する水素及び酸素が格納容器圧力に与える影響は無視し得る程度と考えられる。

(添付資料 3.1.2.7)

格納容器雰囲気温度は、第 3.1.2-12 図に示すとおり、格納容器内に崩壊熱等の熱によって発生した水蒸気等が放出されるため上昇し、代替格納容器スプレー冷却系（常設）による格納容器冷却及び代替循環冷却系による格納容器除熱を行うことによって、温度上昇は抑制される。そ

の結果、格納容器バウンダリにかかる温度（壁面温度）の最高値は約 139℃となり、格納容器の限界温度 200℃を超えない。なお、事象発生直後、破断口から流出する過熱蒸気により一時的に格納容器雰囲気温度は約 202℃となるが、このときの格納容器バウンダリにかかる温度（壁面温度）は約 137℃であり、格納容器の限界温度 200℃を超えない。

（添付資料 3.1.2.8）

第 3.1.2-4 図及び第 3.1.2-6 図に示すとおり、低圧代替注水系（常設）による注水継続により炉心が冠水し、炉心の冷却が維持される。その後は、第 3.1.2-11 図及び第 3.1.2-12 図に示すとおり、90 分後に開始する代替循環冷却系の運転により、格納容器除熱に成功し、格納容器圧力及び雰囲気温度の上昇を抑制することで安定状態が確立し、また、安定状態を維持できる。事象を通じて格納容器の限界圧力に到達せず、格納容器圧力逃がし装置を使用することなく、格納容器が過圧・過温破損に至らないことを確認した。なお、第 3.1.2-17 図に示すとおり、格納容器内の酸素濃度上昇により、長期的には格納容器圧力逃がし装置を用いて可燃性ガスを排出する。

なお、格納容器が健全であるため、格納容器から原子炉建屋への放射性物質の漏えい量は制限され、また、大気中へはほとんど放出されないものと考えられる。これは、原子炉建屋内に漏えいした放射性物質は、原子炉建屋内で時間減衰し、また、粒子状放射性物質は、原子炉建屋内での重力沈降や水蒸気の凝縮に伴い、原子炉建屋内に沈着すると考えられるためである。原子炉建屋内での放射性物質の時間減衰及び粒子状放射性物質の除去効果等を保守的に考慮せず、原子炉建屋から大気中への放射性物質の漏えいを想定した場合、漏えい量は約 7.5TBq（7 日間）となり、100TBq を下回る。

事象発生からの7日間以降、Cs-137の漏えいが継続した場合の影響評価を行ったところ、約7.5TBq(30日間)及び約7.5TBq(100日間)であり、100TBqを下回る。

(添付資料3.1.2.4, 3.1.2.5)

本評価では、「1.2.2.2 有効性を確認するための評価項目の設定」に示す(1)から(3)及び(7)の評価項目について、対策の有効性を確認した。(7)の評価項目のうち、可燃性ガスの蓄積については、ジルコニウム-水反応等によって発生した可燃性ガスの蓄積を考慮しても、格納容器が過圧・過温破損に至らないことをもって、その影響について確認した。

また、(7)の評価項目のうち、可燃性ガスの燃焼については、「3.4 水素燃焼」において、酸素濃度が可燃限界に至らないことをもって、可燃性ガスの燃焼が生じないことを確認している。

(添付資料3.1.2.7, 3.1.2.9, 3.1.2.10, 3.1.3.13)

3.1.2.3 解析コード及び解析条件の不確かさの影響評価

解析コード及び解析条件の不確かさの影響評価の範囲として、運転員等操作時間に与える影響、評価項目となるパラメータに与える影響及び操作時間余裕を評価するものとする。

格納容器破損モード「雰囲気圧力・温度による静的負荷(格納容器過圧・過温破損)」(代替循環冷却系を使用する場合)では、格納容器内へ流出した高温の原子炉冷却材や溶融炉心の崩壊熱等の熱によって発生した水蒸気、ジルコニウム-水反応等によって発生した非凝縮性ガス等が蓄積することが特徴である。

また、不確かさの影響を確認する運転員等操作は、事象進展に有意な影響を与えると考えられる操作として、常設代替交流電源設備による緊急用母線

の受電操作並びに代替格納容器スプレイ冷却系（常設）による格納容器冷却操作及び低圧代替注水系（常設）による原子炉注水操作，緊急用海水系による冷却水（海水）の確保操作及び代替循環冷却系による格納容器除熱操作，可搬型窒素供給装置による格納容器内への窒素注入操作とする。

(1) 解析コードにおける重要現象の不確かさの影響評価

本評価事故シーケンスにおいて不確かさの影響評価を行う重要現象とは，「1.7 解析コード及び解析条件の不確かさの影響評価方針」に示すとおりであり，それらの不確かさの影響評価は以下のとおりである。

a. 運転員等操作時間に与える影響

炉心における燃料棒内温度変化，燃料棒表面熱伝達，燃料被覆管酸化及び燃料被覆管変形の不確かさとして，炉心ヒートアップに関するモデルは，TMI事故についての再現性及びCORA実験についての再現性を確認している。炉心ヒートアップの感度解析（ジルコニウム－水反応速度の係数についての感度解析）では，炉心溶融開始時間に与える影響は小さいことを確認している。原子炉注水操作については，LOCAが発生し，高圧・低圧注水機能の喪失により炉心損傷したと判断した場合，速やかに代替格納容器スプレイ冷却系（常設）による格納容器冷却に併せ，低圧代替注水系（常設）による原子炉注水（電源の確保含む）を行う手順となっており，燃料被覆管温度等を操作開始の起点としている運転員等操作はないことから，運転員等操作時間に与える影響はない。また，可搬型窒素供給装置による格納容器内への窒素注入操作については，炉心ヒートアップの感度解析では，格納容器圧力及び雰囲気温度への影響は小さいことを確認していることから，運転員等操作時間に与える影響は小さい。

炉心における沸騰・ボイド率変化及び気液分離（水位変化）・対向流の不確かさとして、炉心モデル（炉心水位計算モデル）は、原子炉水位挙動について原子炉压力容器内のモデルが精緻である解析コードS A F E Rの評価結果との比較により水位低下幅は解析コードM A A Pの評価結果の方が大きく、解析コードS A F E Rに対して保守的であり、注水操作による燃料有効長頂部までの水位回復時刻は解析コードS A F E Rの評価結果との差異は小さいことを確認している。原子炉注水操作については、L O C Aが発生し、高圧・低圧注水機能の喪失により炉心損傷したと判断した場合、速やかに代替格納容器スプレイ冷却系（常設）による格納容器冷却及び低圧代替注水系（常設）による原子炉注水（電源の確保含む）を行う手順となっており、原子炉水位を操作開始の起点としている運転員等操作はないことから、運転員等操作時間に与える影響はない。

格納容器における格納容器各領域間の流動、構造材との熱伝達及び内部熱伝導、気液界面の熱伝達の不確かさとして、格納容器モデル（格納容器の熱水力モデル）はH D R実験解析では区画によって格納容器雰囲気温度を十数℃程度、格納容器圧力を1割程度高めに評価する傾向を確認しているが、B W Rの格納容器内の区画とは異なる等、実験体系に起因するものと考えられ、実機体系においてはこの解析で確認された不確かさは小さくなるものと推定される。しかし、全体としては格納容器圧力及び雰囲気温度の傾向を適切に再現できていることから、格納容器圧力を操作開始の起点としている可搬型窒素供給装置に係る運転員等操作時間に与える影響は小さい。また、格納容器各領域間の流動、構造材との熱伝達及び内部熱伝導の不確かさにおいては、C S T F実験解析により格納容器雰囲気温度及び非凝縮性ガスの挙動は測定データと良く一致

することを確認しており，その差異は小さいことから，格納容器圧力を操作開始の起点としている可搬型窒素供給装置に係る運転員等操作時間に与える影響は小さい。

炉心損傷後の原子炉圧力容器におけるリロケーション及び構造材との熱伝達の不確かさとして，熔融炉心の挙動モデルはTMI事故についての再現性を確認している。本評価事故シーケンスでは，炉心の損傷状態を起点に操作開始する運転員等操作はないことから，運転員等操作時間に与える影響はない。

炉心損傷後の原子炉圧力容器における原子炉圧力容器内F P挙動の不確かさとして，核分裂生成物（F P）挙動モデルはPHEBUS-F P実験解析により原子炉圧力容器内へのF P放出の開始時間を適切に再現できることを確認している。PHEBUS-F P実験解析では，燃料被覆管破裂後のF P放出について実験結果より急激な放出を示す結果が確認されたが，小規模体系の模擬性が原因と推測され，実機の大規模な体系においてこの種の不確かさは小さくなると推定される。本評価事故シーケンスでは，炉心損傷後の原子炉圧力容器内F P放出を操作開始の起点としている運転員等操作はないことから，運転員等操作時間に与える影響はない。

炉心損傷後の格納容器における格納容器内F P挙動の不確かさとして，核分裂生成物（F P）挙動モデルはABCove実験解析により格納容器内のエアロゾル沈着挙動を適正に評価できることを確認している。本評価事故シーケンスでは，炉心損傷後の格納容器内F P挙動を操作開始の起点としている運転員等操作はないことから，運転員等操作時間に与える影響はない。

(添付資料 3.1.2.11)

b. 評価項目となるパラメータに与える影響

炉心における燃料棒内温度変化，燃料棒表面熱伝達，燃料被覆管酸化及び燃料被覆管変形の不確かさとして，炉心ヒートアップに関するモデルは，TMI事故についての再現性及びCORA実験についての再現性を確認している。炉心ヒートアップの感度解析（ジルコニウム－水反応速度の係数についての感度解析）では，格納容器圧力及び雰囲気温度への影響は小さいことを確認していることから，評価項目となるパラメータに与える影響は小さい。

炉心における沸騰・ボイド率変化及び気液分離（水位変化）・対向流の不確かさとして，炉心モデル（炉心水位計算モデル）は，原子炉水位挙動について原子炉圧力容器内のモデルが精緻である解析コードSAFERの評価結果との比較により水位低下幅は解析コードMAAPの評価結果の方が大きく，解析コードSAFERに対して保守的であり，注水操作による燃料有効長頂部までの水位回復時刻は解析コードSAFERの評価結果との差異は小さいことを確認していることから，評価項目となるパラメータに与える影響は小さい。

格納容器における格納容器各領域間の流動，構造材との熱伝達及び内部熱伝導，気液界面の熱伝達の不確かさとして，格納容器モデル（格納容器の熱水力モデル）はHDR実験解析では区画によって格納容器雰囲気温度を十数℃程度，格納容器圧力を1割程度高めに評価する傾向を確認しているが，BWRの格納容器内の区画とは異なる等，実験体系に起因するものと考えられ，実機体系においてはこの解析で確認された不確かさは小さくなるものと推定される。しかし，全体としては格納容器圧力及び雰囲気温度の傾向を適切に再現できていることから，評価項目となるパラメータに与える影響は小さい。また，格納容器各領域間の流動，

構造材との熱伝達及び内部熱伝導の不確かさにおいては、C S T F 実験解析により格納容器雰囲気温度及び非凝縮性ガスの挙動は測定データと良く一致することを確認しており、その差異は小さいことから、評価項目となるパラメータに与える影響は小さい。

炉心損傷後の原子炉圧力容器におけるリロケーション及び構造材との熱伝達の不確かさとして、熔融炉心の挙動モデルはT M I 事故についての再現性を確認している。また、炉心ノード崩壊のパラメータを低下させた感度解析により炉心熔融開始時間に与える影響は小さいことを確認しており、事象進展はほぼ変わらないことから、評価項目となるパラメータに与える影響はない。

炉心損傷後の原子炉圧力容器における原子炉圧力容器内F P 挙動の不確かさとして、核分裂生成物（F P）挙動モデルはP H E B U S - F P 実験解析により原子炉圧力容器内へのF P 放出の開始時間を適切に再現できることを確認している。P H E B U S - F P 実験解析では、燃料被覆管破裂後のF P 放出について実験結果より急激な放出を示す結果が確認されたが、小規模体系の模擬性が原因と推測され、実機の大規模な体系においてこの種の不確かさは小さくなると推定される。

炉心損傷後の格納容器における格納容器内F P 挙動の不確かさとして、核分裂生成物（F P）挙動モデルはA B C O V E 実験解析により格納容器内のエアロゾル沈着挙動を適正に評価できることを確認している。本評価事故シーケンスでは、代替循環冷却系の運転により格納容器ベントを回避できることから、評価項目となるパラメータに与える影響はない。

(添付資料 3.1.2.11)

(2) 解析条件の不確かさの影響評価

a. 初期条件，事故条件及び重大事故等対策に関連する機器条件

初期条件，事故条件及び重大事故等対策に関連する機器条件は，第3.1.2-2表に示すとおりであり，それらの条件設定を設計値等，最確条件とした場合の影響を評価する。また，解析条件の設定に当たっては，評価項目となるパラメータに対する余裕が小さくなるような設定があることから，その中で事象進展に有意な影響を与えると考えられる項目に関する影響評価の結果を以下に示す。

(a) 運転員等操作時間に与える影響

初期条件の原子炉停止後の崩壊熱は，解析条件の燃焼度 $33\text{GWd}/\text{t}$ に対応したものとしており，その最確条件は平均的燃焼度約 $31\text{GWd}/\text{t}$ であり，解析条件の不確かさとして，最確条件とした場合は，解析条件で設定している崩壊熱よりも小さくなるため，発生する蒸気量は少なくなり，それに伴う原子炉冷却材の放出も少なくなることから，格納容器圧力及び雰囲気温度の上昇が遅くなるが，操作手順（格納容器圧力 0.31MPa [gage] 到達後に窒素注入を停止すること）に変わりはなから，運転員等操作時間に与える影響はない。

初期条件の原子炉圧力，原子炉水位，炉心流量，格納容器体積（サブプレッション・チェンバ）の空間部及び液相部，サブプレッション・プール水位，格納容器圧力並びに格納容器雰囲気温度は，解析条件の不確かさとして，ゆらぎにより解析条件に対して変動を与え得るが，事象進展に与える影響は小さいことから，運転員等操作時間に与える影響は小さい。

事故条件の起因事象は，解析条件の不確かさとして，E x c e s s i v e L O C Aを考慮した場合，原子炉冷却材の流出量が増加することにより炉心損傷開始等が早くなるが，操作手順（速やかに格納容

器冷却手段を準備すること) に変わりはないことから、運転員等操作時間に与える影響はない。

機器条件の低圧代替注水系（常設）は、解析条件の不確かさとして、実際の注水量が解析より多い場合（注水特性（設計値）の保守性）、原子炉水位の回復は早くなる。本評価事故シーケンスでは、原子炉水位を起点としている運転員等操作はないことから、運転員等操作時間に与える影響はない。

機器条件の代替循環冷却系は、解析条件の不確かさとして、実際の注水量が解析より多い場合（注水特性（設計値）の保守性）、格納容器圧力及び雰囲気温度上昇の抑制効果は大きくなるが、操作手順に変わりはないことから、運転員等操作時間に与える影響はない。

機器条件の緊急用海水系は、解析条件の不確かさとして、最確条件とした場合には、解析条件で設定している海水温度と同等以下となる。32℃の場合は、解析条件と最確条件は同等であることから運転員等操作時間に与える影響はない。32℃未満の場合は、除熱性能が向上するため、格納容器圧力及び雰囲気温度の上昇の抑制効果は大きくなるが、操作手順（格納容器圧力 0.31MPa [gage] 到達後に窒素注入を停止すること）に変わりはないことから、運転員等操作時間に与える影響はない。

機器条件の可搬型窒素供給装置は、解析条件の不確かさとして、ゆらぎにより解析条件に対して変動を与え得る。30℃より高い場合は、格納容器雰囲気温度が上昇する可能性があるが、本評価事故シーケンスでは、格納容器雰囲気温度を起点としている運転員等操作はないことから、運転員等操作時間に与える影響はない。30℃未満の場合は、注入される窒素の密度が大きくなり窒素注入開始後の格納容器圧力の

上昇が速くなるが、操作手順（格納容器圧力 0.31MPa [gage] 到達後に窒素注入を停止すること）に変わりはないことから、運転員等操作時間に与える影響は小さい。

(添付資料 3.1.2.11)

(b) 評価項目となるパラメータに与える影響

初期条件の原子炉停止後の崩壊熱は、解析条件の燃焼度 33GWd/t に対応したものとしており、その最確条件は平均的燃焼度約 31GWd/t であり、解析条件の不確かさとして、最確条件とした場合は、解析条件で設定している崩壊熱よりも小さくなるため、発生する蒸気量は少なくなり、原子炉水位の低下は緩和され、それに伴う原子炉冷却材の放出も少なくなることから、格納容器圧力及び雰囲気温度の上昇が遅くなるが、格納容器圧力及び雰囲気温度の上昇は格納容器スプレー及び代替循環冷却により抑制されることから、評価項目となるパラメータに対する余裕は大きくなる。

初期条件の原子炉圧力、原子炉水位、炉心流量、格納容器体積（サブプレッション・チェンバ）の空間部及び液相部、サブプレッション・プール水位、格納容器圧力並びに格納容器雰囲気温度は、解析条件の不確かさとして、ゆらぎにより解析条件に対して変動を与え得るが、事象進展に与える影響は小さいことから、評価項目となるパラメータに与える影響は小さい。

事故条件の起因事象は、解析条件の不確かさとして、E x c e s s i v e L O C A を考慮した場合、原子炉冷却材の流出量が増加することにより炉心損傷開始等が早くなるが、格納容器へ放出されるエネルギーは大破断 L O C A の場合と同程度であり、第 3.1.2-18 図及び第 3.1.2-19 図に示すとおり、格納容器圧力は 0.62MPa [gage]、格納容

器バウンダリにかかる温度は 200℃を下回っていることから、評価項目となるパラメータに与える影響は小さい。

機器条件の低圧代替注水系（常設）は、解析条件の不確かさとして、実際の注水量が解析より多い場合（注水特性（設計値）の保守性）、原子炉水位の回復は早くなり、格納容器圧力及び雰囲気温度上昇の抑制効果は大きくなるが、格納容器圧力及び雰囲気温度の上昇に有意な影響を与えないことから、評価項目となるパラメータに与える影響は小さい。

機器条件の代替循環冷却系は、解析条件の不確かさとして、実際の注水量が解析より多い場合、格納容器圧力及び雰囲気温度上昇の抑制効果は大きくなることから、評価項目となるパラメータに対する余裕は大きくなる。

機器条件の緊急用海水系は、解析条件の不確かさとして、最確条件とした場合には、解析条件で設定している海水温度と同等以下となる。32℃の場合は、解析条件と最確条件は同等であることから評価項目となるパラメータに与える影響はない。32℃未満の場合は、除熱性能が向上するため、格納容器圧力及び雰囲気温度の上昇の抑制効果は大きくことから、評価項目となるパラメータに対する余裕は大きくなる。

機器条件の可搬型窒素供給装置は、解析条件の不確かさとして、ゆらぎにより解析条件に対して変動を与え得る。30℃より高い場合は、格納容器雰囲気温度が上昇する可能性があるが、窒素注入は事象発生から約 84 時間後に開始するため、代替循環冷却系による格納容器減圧及び除熱操作によって格納容器雰囲気は除熱されており、窒素温度は格納容器雰囲気温度よりも低いことから、窒素注入によって格納容器雰囲気温度が上昇することはなく、評価項目となるパラメータに与

える影響はない。30℃未満の場合は、注入される窒素の密度が大きくなり窒素注入開始後の格納容器圧力の上昇が速くなるが、操作手順（格納容器圧力 0.31MPa [gage] 到達後に窒素注入を停止すること）に変わりはないことから、評価項目となるパラメータに与える影響はない。

（添付資料 3.1.2.11, 3.1.2.12）

b. 操作条件

操作条件の不確かさとして、操作の不確かさを「認知」、「要員配置」、「移動」、「操作所要時間」、「他の並列操作有無」及び「操作の確実さ」の6要因に分類し、これらの要因が運転員等操作時間に与える影響を評価する。また、運転員等操作時間に与える影響が評価項目となるパラメータに与える影響を評価し、評価結果を以下に示す。

(a) 運転員等操作時間に与える影響

操作条件の常設代替交流電源設備による緊急用母線の受電並びに代替格納容器スプレイ冷却系（常設）による格納容器冷却操作及び低圧代替注水系（常設）による原子炉注水操作は、解析上の操作開始時間として事象発生から25分後を設定している。運転員等操作時間に与える影響として、状況判断から原子炉注水操作までは一連の操作として実施し、同一の運転員による並列操作はなく、操作所要時間を踏まえて解析上の想定時間を設定していることから、運転員等操作時間に与える影響はない。

操作条件の緊急用海水系による冷却水（海水）の確保操作及び代替循環冷却系による格納容器除熱操作は、解析上の操作開始時間として事象発生から90分後を設定している。運転員等操作時間に与える影響として、代替循環冷却系の運転は事象発生90分後に開始すること

としているが、時間余裕を含めて設定されているため操作の不確かさが操作開始時間に与える影響は小さいことから、運転員等操作時間に与える影響も小さい。また、本操作の操作開始時間は、操作所要時間を踏まえて解析上の想定時間を設定したものであり、緊急用海水系の操作開始時間が早まれば、代替循環冷却系による格納容器除熱操作の操作開始時間も早まる可能性があり、代替循環冷却系の運転開始時間も早まるが、その他の操作と並列して実施する場合でも、順次実施し所定の時間までに操作を完了できることから影響はない。

操作条件の可搬型窒素供給装置による格納容器内への窒素注入操作は、解析上の操作開始時間として事象発生から約 84 時間後を想定している。運転員等操作時間に与える影響として、格納容器内への窒素注入の実施基準である格納容器内酸素濃度 4.0vol%（ドライ条件）到達は事象発生から約 84 時間後であるのに対し、可搬型窒素供給装置の移動及びホース敷設等は格納容器内酸素濃度が 3.5vol%（ドライ条件）到達時（事象発生から約 62 時間後）に開始し約 3 時間で準備完了するため、十分な時間余裕があることから、操作開始時間に与える影響は小さく、運転員等操作時間に与える影響は小さい。

（添付資料 3.1.2.11）

(b) 評価項目となるパラメータに与える影響

操作条件の常設代替交流電源設備による緊急用母線の受電並びに代替格納容器スプレイ冷却系（常設）による格納容器冷却操作及び低圧代替注水系（常設）による原子炉注水操作は、運転員等操作時間に与える影響として、解析条件は操作所要時間に余裕を含めて設定されており、原子炉水位の回復は早くなる可能性があるが、ジルコニウム-水反応量により発熱量が増加する等の影響があるため、格納容器圧力

及び雰囲気温度の上昇に大きな差異はない。また、代替格納容器スプレイ操作と原子炉注水操作は、流量分配により同時に実施する操作であり、事象進展はほぼ変わらないことから、評価項目となるパラメータに与える影響は小さい。

操作条件の緊急用海水系による冷却水（海水）の確保操作及び代替循環冷却系による格納容器除熱操作は、運転員等操作時間に与える影響として、緊急用海水系の操作開始時間が早まった場合には、代替循環冷却系による格納容器除熱操作も早まる可能性があり、格納容器圧力及び雰囲気温度を早期に低下させる可能性があることから、評価項目となるパラメータに対する余裕は大きくなる。

操作条件の可搬型窒素供給装置による格納容器内への窒素注入操作は、解析上の操作開始時間として事象発生から約 84 時間後を想定している。運転員等操作時間に与える影響として、格納容器内への窒素注入の実施基準である格納容器内酸素濃度 4.0vol%（ドライ条件）到達は事象発生から約 84 時間後であるのに対し、可搬型窒素供給装置の移動及びホース敷設等は格納容器内酸素濃度が 3.5vol%（ドライ条件）到達時（事象発生から約 62 時間後）に開始し約 3 時間で準備完了するため、十分な時間余裕があることから、操作開始時間に与える影響は小さく、評価項目となるパラメータに与える影響は小さい。

（添付資料 3.1.2.11）

(3) 操作時間余裕の把握

操作開始時間の遅れによる影響度合いを把握する観点から、評価項目となるパラメータに対して、対策の有効性が確認できる範囲内での操作時間余裕を確認し、その結果を以下に示す。

操作条件の常設代替交流電源設備による緊急用母線の受電操作並びに代替格納容器スプレイ冷却系（常設）による格納容器冷却操作及び低圧代替注水系（常設）による原子炉注水操作については、第 3.1.3-16 図から第 3.1.3-18 図に示すとおり、事象発生から 50 分後（操作開始時間の 25 分の遅れ）までに常設代替交流電源設備からの受電操作を行い代替格納容器スプレイ冷却系（常設）による格納容器冷却及び低圧代替注水系（常設）による原子炉注水が開始できれば、損傷炉心は炉心位置に保持され、評価項目を満足する結果となることから、時間余裕がある。

操作条件の緊急用海水系による冷却水（海水）の確保操作及び代替循環冷却系による格納容器除熱操作については、本操作開始までの時間は操作所要時間を踏まえて解析上の想定時間を設定したものであり、時間余裕がある。なお、本操作が大幅に遅れるような事態になった場合でも、格納容器圧力が限界圧力 0.62MPa [gage] に到達するまでの時間は事象発生約 14 時間後であり、約 12 時間の余裕があることから、時間余裕がある。

操作条件の可搬型窒素供給装置による格納容器内への窒素注入操作については、格納容器内への窒素注入の実施基準である格納容器内酸素濃度 4.0vol%（ドライ条件）到達は事象発生から約 84 時間後であるのに対し、可搬型窒素供給装置の移動及びホース敷設等は格納容器内酸素濃度が 3.5vol%（ドライ条件）到達時（事象発生から約 62 時間後）に開始し約 3 時間で準備完了するため、十分な準備時間が確保できることから、時間余裕がある。

（添付資料 3.1.2.11, 3.1.3.8）

(4) ま と め

解析コード及び解析条件の不確かさの影響評価の範囲として、運転員等

操作時間に与える影響，評価項目となるパラメータに与える影響及び操作時間余裕を確認した。その結果，解析コード及び解析条件の不確かさが運転員等操作時間に与える影響等を考慮した場合においても，評価項目となるパラメータに与える影響は小さい。このほか，評価項目となるパラメータに対して，対策の有効性が確認できる範囲内において，操作時間には時間余裕がある。

3.1.2.4 必要な要員及び資源の評価

(1) 必要な要員の評価

格納容器破損モード「雰囲気圧力・温度による静的負荷（格納容器過圧・過温破損）」において，重大事故等対策時における事象発生 2 時間までに必要な要員は，「3.1.2.1 格納容器破損防止対策」に示すとおり 20 名である。「6.2 重大事故等対策時に必要な要員の評価結果」で説明している災害対策要員（初動）の 39 名で対処可能である。

また，事象発生 2 時間以降に必要な参集要員は 2 名であり，発電所構外から 2 時間以内に参集可能な要員の 72 名で確保可能である。

(2) 必要な資源の評価

格納容器破損モード「雰囲気圧力・温度による静的負荷（格納容器過圧・過温破損）」において，必要な水源，燃料及び電源は，「6.1(2) 資源の評価条件」の条件にて評価を行い，その結果を以下に示す。

a. 水 源

低圧代替注水系（常設）による原子炉注水及び代替格納容器スプレイ冷却系（常設）による格納容器スプレイは，7 日間の対応を考慮すると，合計約 400m³の水が必要である。水源として，代替淡水貯槽に約

4,300m³の水を保有している。これにより、必要な水源は確保可能である。

代替循環冷却系による格納容器除熱については、サプレッション・チェンバのプール水を水源として注水することから、水源が枯渇することはないため、7日間の注水継続実施が可能である。

(添付資料 3.1.2.13)

b. 燃 料

常設代替交流電源設備（常設代替高圧電源装置 5 台）による電源供給については、保守的に事象発生直後からの運転を想定すると、7日間の運転継続に合計約 352.8kL の軽油が必要となる。軽油貯蔵タンクにて約 800kL の軽油を保有しており、この使用が可能であることから、常設代替交流電源設備（常設代替高圧電源装置 5 台）による電源供給について、7日間の継続が可能である。

可搬型窒素供給装置による格納容器内への窒素注入については、保守的に事象発生直後からの可搬型窒素供給装置の運転を想定すると、7日間の運転継続に約 18.5kL の軽油が必要となる。可搬型設備用軽油タンクにて約 210kL の軽油を保有しており、この使用が可能であることから、可搬型窒素供給装置による格納容器内への窒素注入について、7日間の継続が可能である。

緊急時対策所用発電機による電源供給については、事象発生直後からの運転を想定すると、7日間の運転継続に約 70.0kL の軽油が必要となる。緊急時対策所用発電機燃料油貯蔵タンクにて約 75kL の軽油を保有しており、この使用が可能であることから、緊急時対策所用発電機による電源供給について、7日間の継続が可能である。

(添付資料 3.1.2.14)

c. 電 源

常設代替交流電源設備の電源負荷については、重大事故等対策に必要な負荷として、約 2,426kW 必要となるが、常設代替交流電源設備（常設代替高圧電源装置 5 台）の連続定格容量は約 5,520kW であり、必要負荷に対しての電源供給が可能である。

また、緊急時対策所用発電機及び可搬型窒素供給装置の窒素供給装置用電源車についても、必要負荷に対しての電源供給が可能である。

(添付資料 3.1.2.15)

3.1.2.5 結 論

格納容器破損モード「雰囲気圧力・温度による静的負荷（格納容器過圧・過温破損）」では、格納容器内へ流出した高温の原子炉冷却材や溶融炉心の崩壊熱等の熱によって発生した水蒸気、ジルコニウム-水反応等によって発生した非凝縮性ガス等が蓄積することによって、格納容器内雰囲気圧力・温度が徐々に上昇し、格納容器の過圧・過温により格納容器の破損に至ることが特徴である。格納容器破損モード「雰囲気圧力・温度による静的負荷（格納容器過圧・過温破損）」に対する格納容器破損防止対策としては、初期の対策として低圧代替注水系（常設）による原子炉注水手段及び代替格納容器スプレイ冷却系（常設）による格納容器冷却手段、安定状態に向けた対策として代替循環冷却系による格納容器除熱手段及び可搬型窒素供給装置による格納容器内への窒素注入手段を整備している。

格納容器破損モード「雰囲気圧力・温度による静的負荷（格納容器過圧・過温破損）」の評価事故シーケンス「大破断 L O C A + 高圧炉心冷却失敗 + 低圧炉心冷却失敗」について、代替循環冷却系を使用する場合の有効性評価を行った。

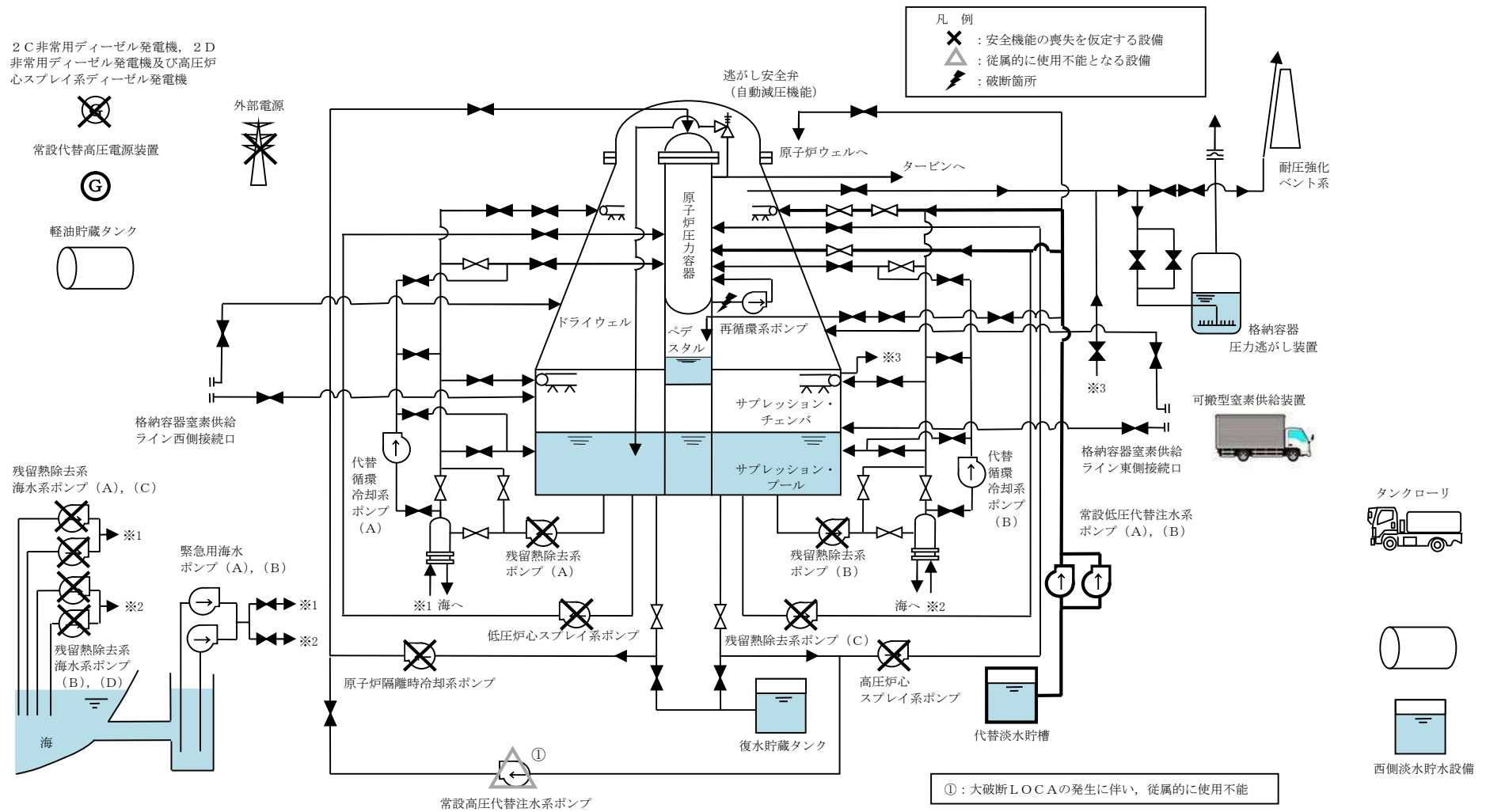
上記の場合においても、低圧代替注水系（常設）による原子炉注水、代替格納容器スプレイ冷却系（常設）による格納容器冷却、代替循環冷却系による格納容器除熱及び可搬型窒素供給装置による格納容器内への窒素注入を実施することにより、格納容器内酸素濃度の上昇を抑制しつつ、格納容器冷却及び除熱が可能である。

その結果、格納容器圧力逃がし装置を使用せず、事象を通じて格納容器の限界圧力に到達することはなく、ジルコニウム-水反応等により可燃性ガスの蓄積が生じた場合においても格納容器バウンダリにかかる圧力及び温度は、評価項目を満足している。また、安定状態を維持できる。

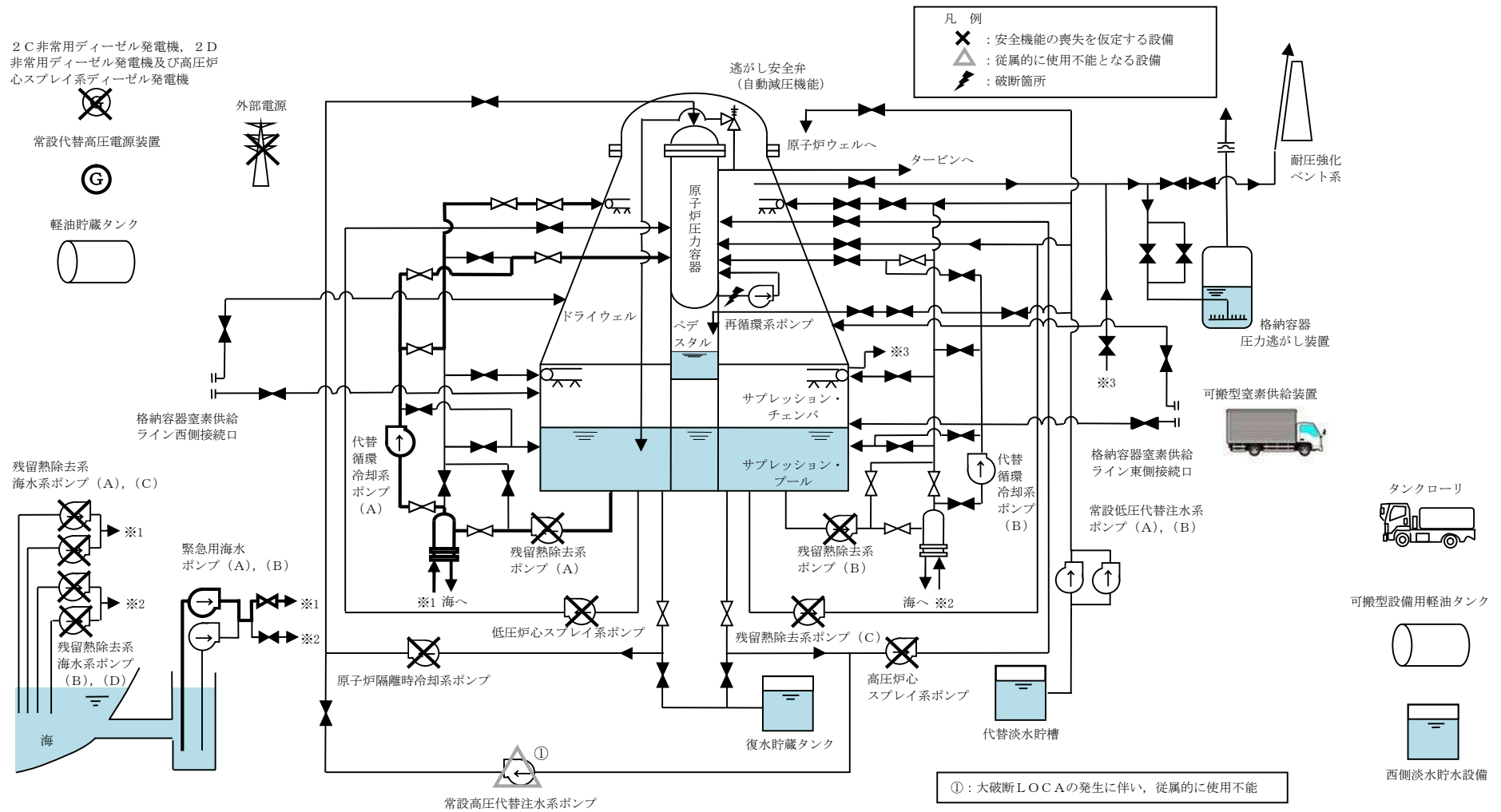
解析コード及び解析条件の不確かさについて確認した結果、運転員等操作時間に与える影響及び評価項目となるパラメータに与える影響は小さい。また、対策の有効性が確認できる範囲内において、操作時間余裕について確認した結果、操作が遅れた場合でも一定の余裕がある。

重大事故等対策時に必要な要員は、災害対策要員にて確保可能である。また、必要な水源、燃料及び電源を供給可能である。

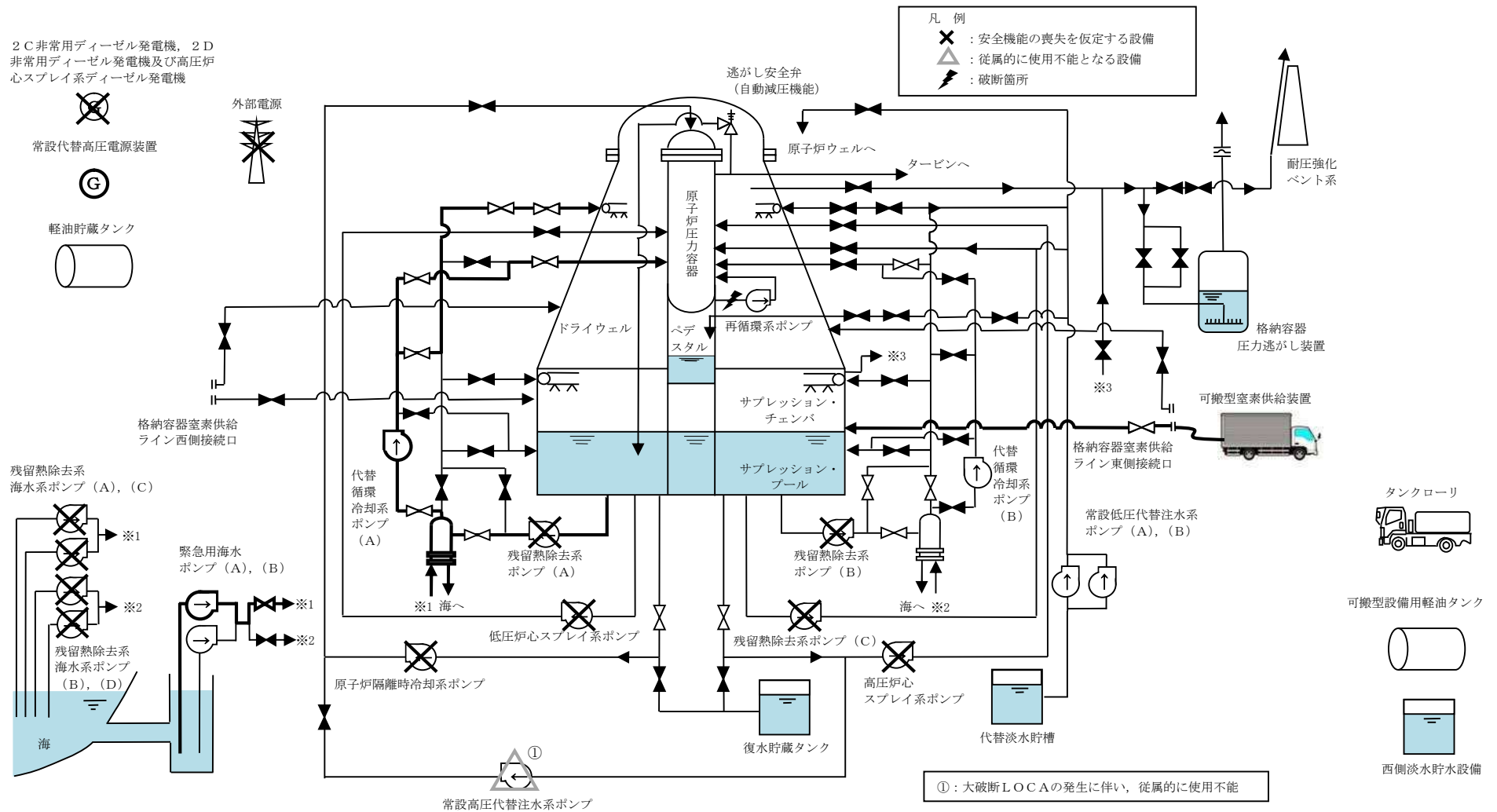
以上のことから、低圧代替注水系（常設）による原子炉注水、代替格納容器スプレイ冷却系（常設）による格納容器冷却、代替循環冷却系による格納容器除熱、可搬型窒素供給装置による格納容器内への窒素注入等の格納容器破損防止対策は、選定した評価事故シーケンスに対して有効であることが確認でき、格納容器破損モード「雰囲気圧力・温度による静的負荷（格納容器過圧・過温破損）」に対して有効である。



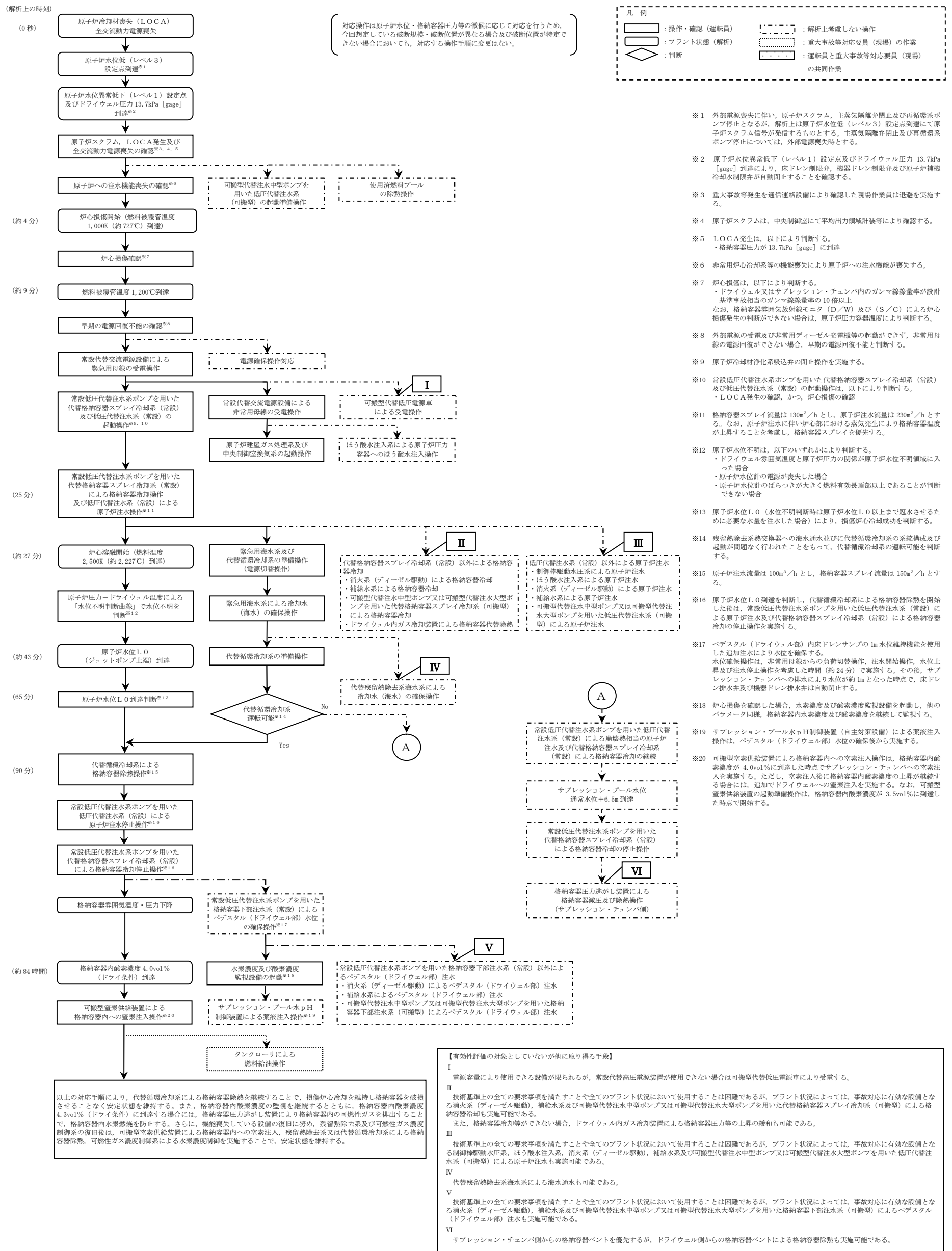
第 3.1.2-1 図 「雰囲気圧力・温度による静的負荷（格納容器過圧・過温破損）」の重大事故等対策の概略系統図（代替循環冷却系を使用する場合）（1/3）
（低压代替注水系（常設）による原子炉注水，代替格納容器スプレイス冷却系（常設）による格納容器冷却段階）



第 3.1.2-1 図 「雰囲気圧力・温度による静的負荷（格納容器過圧・過温破損）」の重大事故等対策の概略系統図（代替循環冷却系を使用する場合）(2/3)
 (代替循環冷却系による格納容器除熱段階)



第 3.1.2-1 図 「雰囲気圧力・温度による静的負荷（格納容器過圧・過温破損）」の重大事故等対策の概略系統図（代替循環冷却系を使用する場合）(3/3)
 (代替循環冷却系による格納容器除熱, 可搬型窒素供給装置による格納容器内への窒素注入段階)



第 3.1.2-2 図 「雰囲気圧力・温度による静的負荷 (格納容器過圧・過温破損)」の対応手順の概要 (代替循環冷却系を使用する場合)

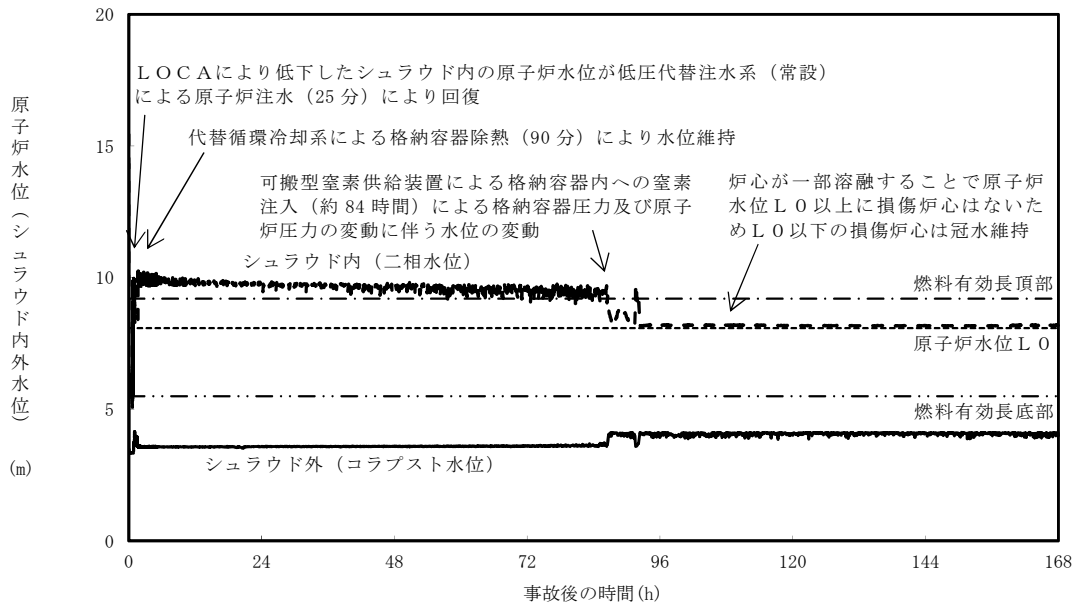
雰囲気圧力・温度による静的負荷（格納容器過圧・過温破損）（代替循環冷却系を使用する場合）

| 操作項目 | 実施箇所・必要員数 | | | 操作の内容 | 経過時間（分） | | | | | | | | | | | 備考 | | | | | | |
|---|------------------|------------------|------------|-----------------------|--|-------------------------|-----------------------|----|----|----|----|----|----|----|-----|----|-----|-----|-----|----------|---|--|
| | 責任者 | 当直発電長 | 1人 | | 中央監視 運転操作指揮 | 10 | 20 | 30 | 40 | 50 | 60 | 70 | 80 | 90 | 100 | | 110 | 120 | 130 | 140 | 150 | |
| 操作項目 | 責任者 | 当直発電長 | 1人 | 中央監視 運転操作指揮 | ▽ 事象発生 ▽ 原子炉スクラム ▽ 約 4 分 炉心損傷開始（燃料被覆管温度 1,000K 到達） ▽ 約 9 分 燃料被覆管温度 1,200℃到達 ▽ プラント状況判断 ▽ 25 分 格納容器冷却及び原子炉注水開始 ▽ 約 27 分 炉心熔融開始（燃料温度 2,500K 到達） ▽ 65 分 原子炉水位 L0 到達判断 ▽ 2 時間 原子炉建屋ガス処理系及び中央制御室換気系の起動による負圧達成 | | | | | | | | | | | | | | | | | |
| | 補佐 | 当直副発電長 | 1人 | 運転操作指揮 補佐 | | | | | | | | | | | | | | | | | | |
| | 指揮者等 | 災害対策要員 (指揮者等) | 4人 | 初動での指揮 発電所内外連絡 | | | | | | | | | | | | | | | | | | |
| | 当直運転員 (中央制御室) | 当直運転員 (現場) | | 重大事故等 対応要員 (現場) | | | | | | | | | | | | | | | | | | |
| 状況判断 | 2人 A, B | - | - | - | 10分 | | | | | | | | | | | | | | | | | |
| 早期の電源回復不能の確認 | 1人 A | - | - | - | 1分 | | | | | | | | | | | | | | | | | |
| | 1人 B | - | - | - | 2分 | | | | | | | | | | | | | | | | | |
| 電源確保操作対応 | - | - | 2人 a, b | - | | 適宜実施 | | | | | | | | | | | | | | 解析上考慮しない | | |
| 常設代替交流電源設備による緊急用母線の受電操作 | 1人 B | - | - | - | 4分 | | | | | | | | | | | | | | | | | |
| 常設低圧代替注水系ポンプを用いた代替格納容器スプレイ冷却系（常設）及び低圧代替注水系（常設）の起動操作 | 1人 B | - | - | - | 4分 | 2分 | | | | | | | | | | | | | | | | |
| | 1人 A | - | - | - | 3分 | | | | | | | | | | | | | | | | | |
| 常設低圧代替注水系ポンプを用いた代替格納容器スプレイ冷却系（常設）による格納容器冷却操作及び低圧代替注水系（常設）による原子炉注水操作 | 1人 A | - | - | - | 6分 | 原子炉注水及び格納容器冷却開始後、適宜状態監視 | | | | | | | | | | | | | | | | |
| 緊急用海水系による冷却水（海水）の確保操作 | 1人 A | - | - | - | 4分 | 20分 | 海水通水開始後、適宜状態監視 | | | | | | | | | | | | | | | |
| 代替循環冷却系による格納容器除熱操作 | 1人 A | - | - | - | 6分 | 35分 | 格納容器除熱開始後、適宜状態監視 | | | | | | | | | | | | | | | |
| 常設低圧代替注水系ポンプを用いた格納容器下部注水系（常設）によるベデスタル（ドライウェル部）注水に必要な負荷の電源切替操作 | 1人 A | - | - | - | 4分 | 20分 | 水位確保後、適宜状態監視 | | | | | | | | | | | | | | 解析上考慮しない | |
| 水素濃度及び酸素濃度監視設備の起動操作 | 1人 A | - | - | - | | 8分 | 適宜、格納容器内水素濃度及び酸素濃度の監視 | | | | | | | | | | | | | | 通常運転時は外部電源で常時脱気状態であり、交流電源喪失時は代替交流電源設備により緊急用母線受電後、脱気が自動的に開始される | |
| サブプレッション・プール水 pH 制御装置による薬液注入操作 | 1人 A | - | - | - | | 15分 | | | | | | | | | | | | | | | 解析上考慮しない | |
| 常設代替交流電源設備による非常用母線の受電準備操作 | 1人 B | - | - | - | | 35分 | | | | | | | | | | | | | | | | |
| | - | 2人 C, D | - | - | | 75分 | | | | | | | | | | | | | | | | |
| 常設代替交流電源設備による非常用母線の受電操作 | 1人 B | - | - | - | | 8分 | 5分 | | | | | | | | | | | | | | | |
| | 1人 B | - | - | - | | 5分 | 起動操作実施後、適宜状態監視 | | | | | | | | | | | | | | | |
| 原子炉建屋ガス処理系及び中央制御室換気系の起動操作 | 1人 B | - | - | - | | 6分 | 起動操作実施後、適宜状態監視 | | | | | | | | | | | | | | | |
| ほう酸水注入系による原子炉圧力容器へのほう酸水注入操作 | 1人 B | - | - | - | | 2分 | ほう酸水全量注入完了まで適宜状態監視 | | | | | | | | | | | | | | 解析上考慮しない | |

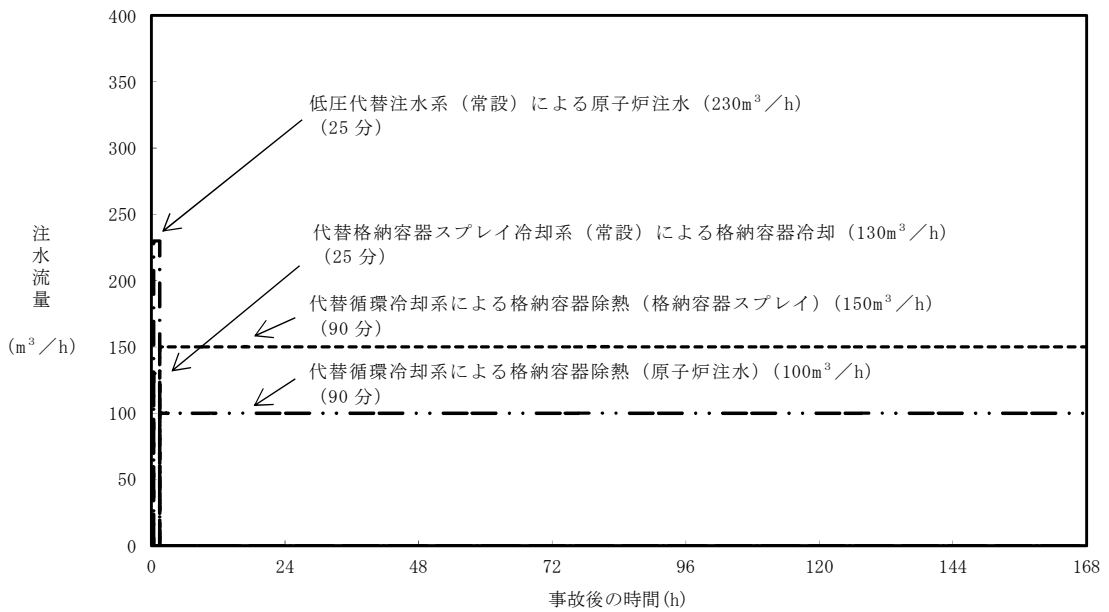
第 3.1.2-3 図 「雰囲気圧力・温度による静的負荷（格納容器過圧・過温破損）」の作業と所要時間（代替循環冷却系を使用する場合）（1/2）

| | | | | 経過時間 (時間) | | | | | | | | | | | | | | | 備考 |
|-------------------------------------|--------------------------------|---------------|-------------------|--|------|-----|----|----|------|-----|----|-----|-----|-----|-----|-----|-----|-----|---|
| | | | | 12 | 24 | 36 | 48 | 60 | 72 | 84 | 96 | 108 | 120 | 132 | 144 | 156 | 168 | 180 | |
| 操作項目 | 実施箇所・必要要員数 【 】は他作業後移動してきた要員 | | | | | | | | | | | | | | | | | | |
| | 当直運転員 (中央制御室) | 当直運転員 (現場) | 重大事故等対応要員 (現場) | | | | | | | | | | | | | | | | |
| 使用済燃料プールの除熱操作 | 【1人】 A | - | - | ●常設低圧代替注水系ポンプによる代替燃料プール注水系（注水ライン）を使用した使用済燃料プールへの注水操作 ●代替燃料プール冷却系の起動操作 | 適宜実施 | 15分 | | | | | | | | | | | | | 解析上考慮しない スロッシングによる水位低下がある場合は代替燃料プール冷却系の起動までに実施する 解析上考慮しない 約25時間までに実施する |
| 可搬型代替注水中型ポンプを用いた低圧代替注水系（可搬型）の起動準備操作 | - | - | 8人 c~j | ●可搬型代替注水中型ポンプの移動、ホース敷設等の操作 | 170分 | | | | | | | | | | | | | | 炉心損傷により屋外放射線量が高い場合は屋内に待機し、モニタ指示を確認しながら作業を行う |
| 可搬型窒素供給装置による格納容器内への窒素注入操作 | - | - | 【6人】 c~h | ●可搬型窒素供給装置の移動、接続操作及び起動操作 | | | | | 180分 | | | | | | | | | | 可搬型窒素供給装置起動後、適宜状態監視 |
| タンクローリによる燃料給油操作 | - | - | 2人 (参集) | ●可搬型設備用軽油タンクからタンクローリへの給油操作 ●可搬型窒素供給装置への給油操作 | | | | | | 90分 | | | | | | | | | タンクローリ残量に応じて適宜軽油タンクから給油する 適宜実施 |
| 必要要員合計 | 2人 A, B | 2人 C, D | 10人 a~j 及び参集2人 | | | | | | | | | | | | | | | | |

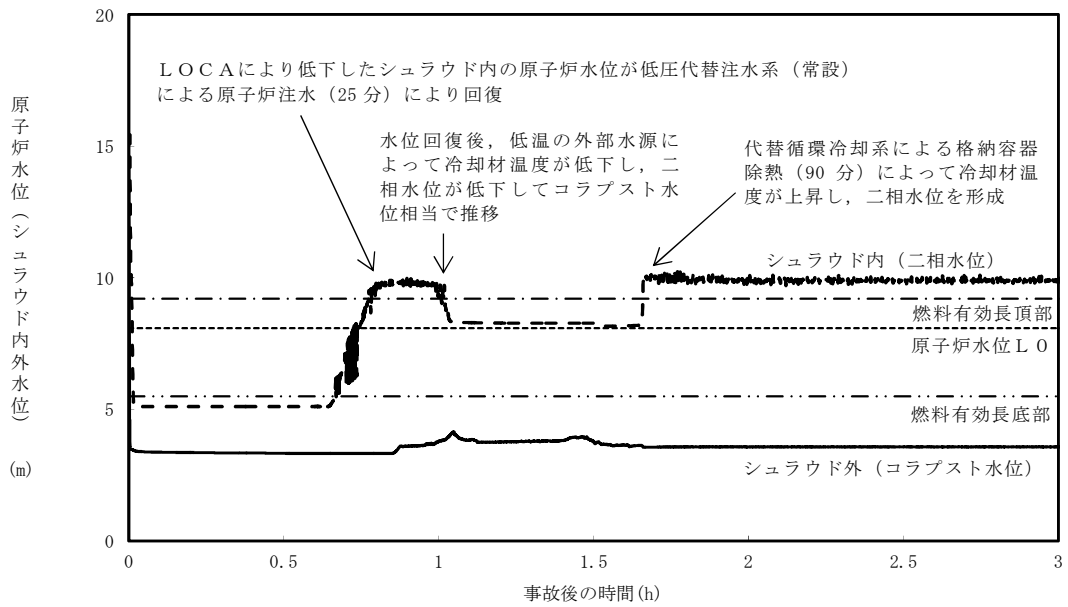
第 3.1.2-3 図 「雰囲気圧力・温度による静的負荷（格納容器過圧・過温破損）」の作業と所要時間（代替循環冷却系を使用する場合）（2/2）



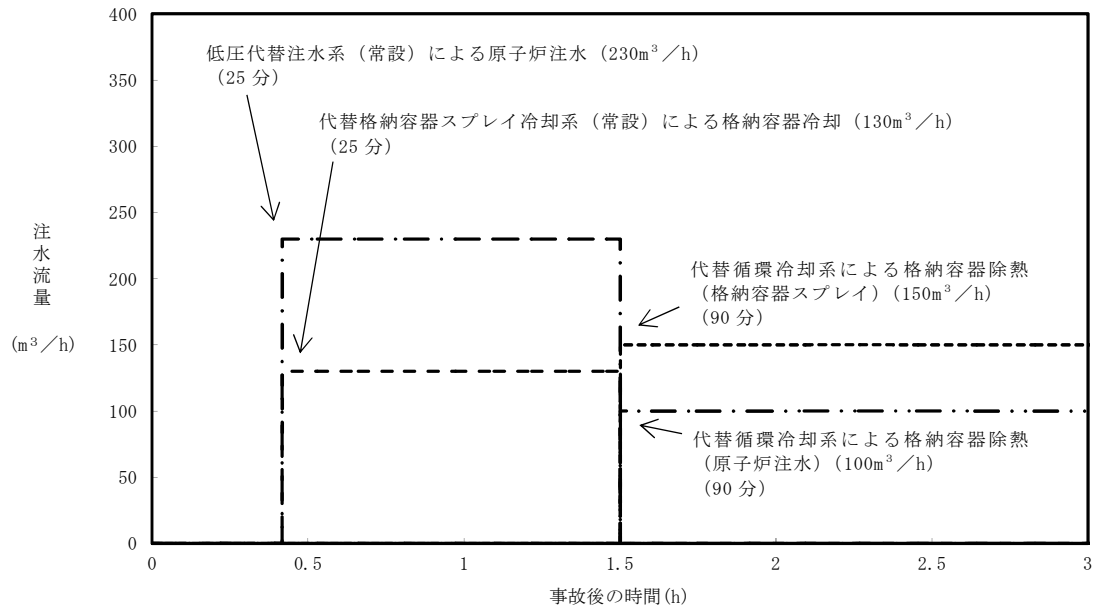
第 3.1.2-4 図 原子炉水位 (シユラウド内外水位) の推移



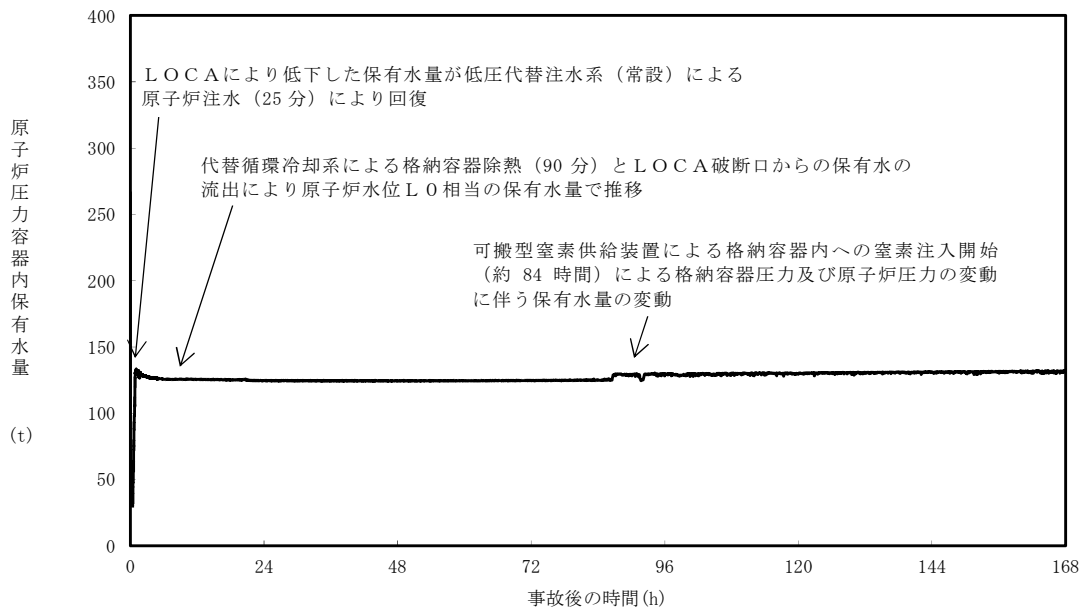
第 3.1.2-5 図 注水流量の推移



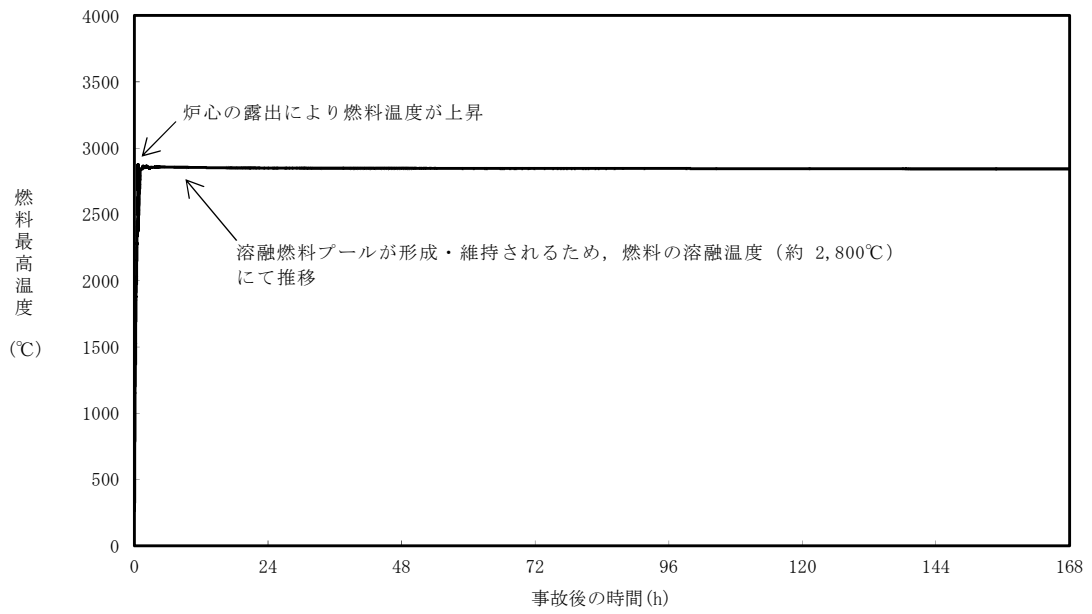
第 3.1.2-6 図 原子炉水位 (シュラウド内外水位) の推移 (~3 時間)



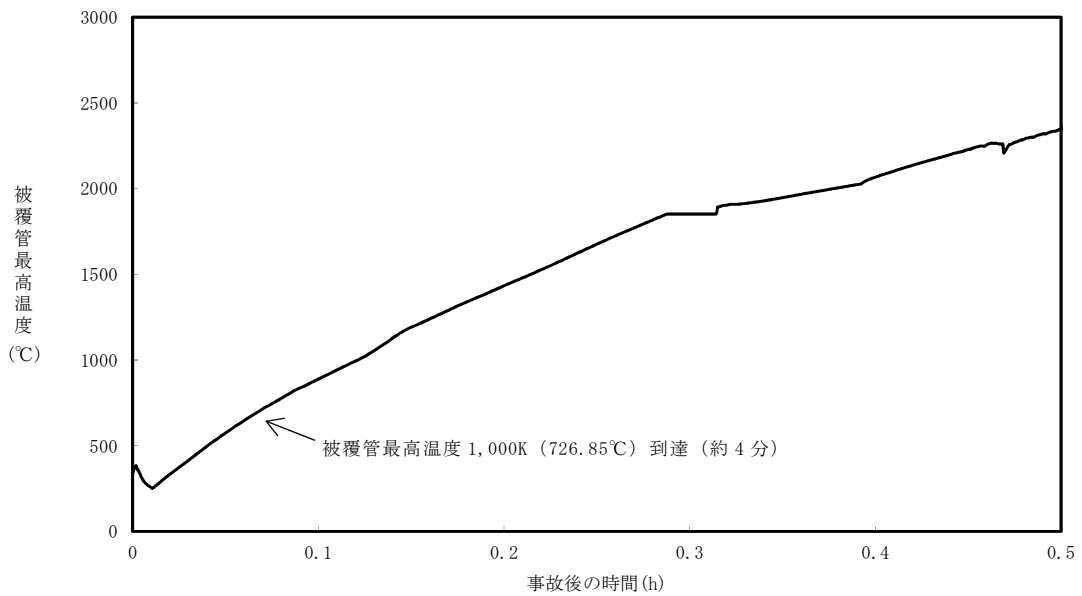
第 3.1.2-7 図 注水流量の推移 (~3 時間)



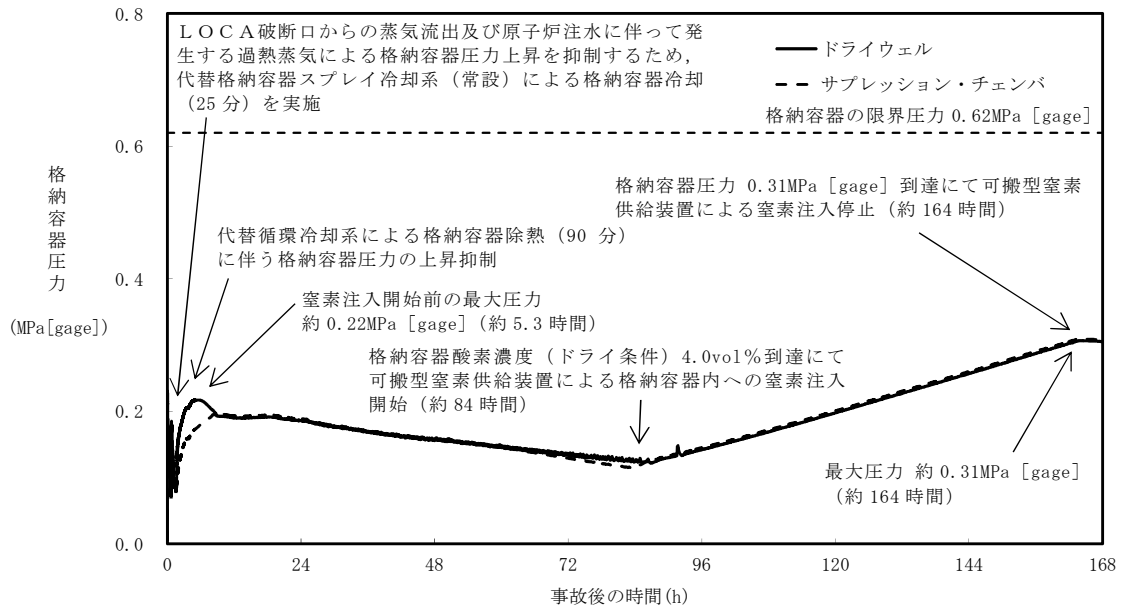
第 3.1.2-8 図 原子炉压力容器内の保有水量の推移



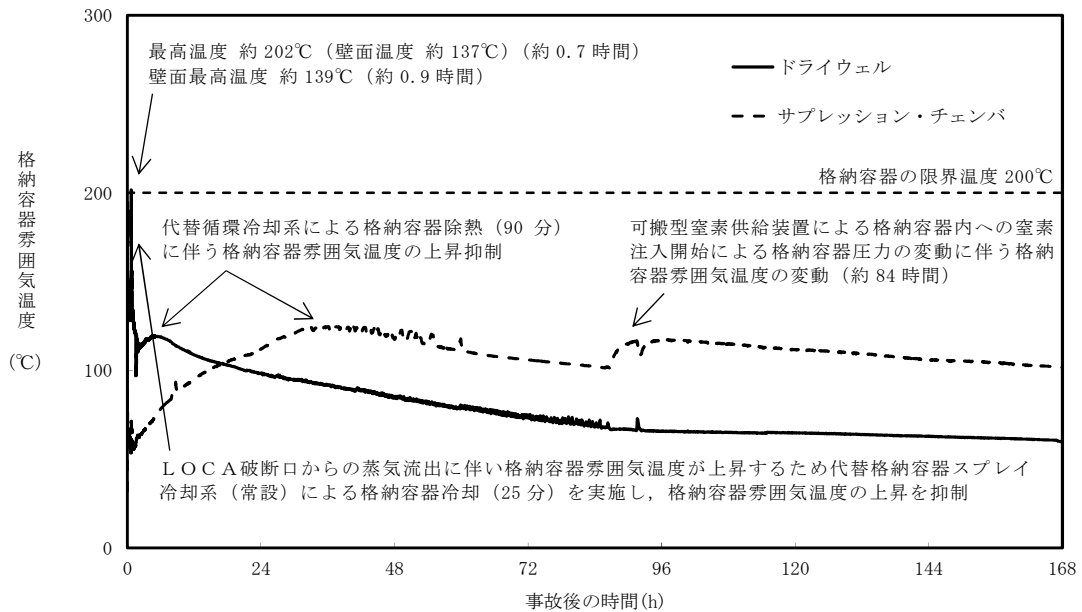
第 3.1.2-9 図 燃料最高温度の推移



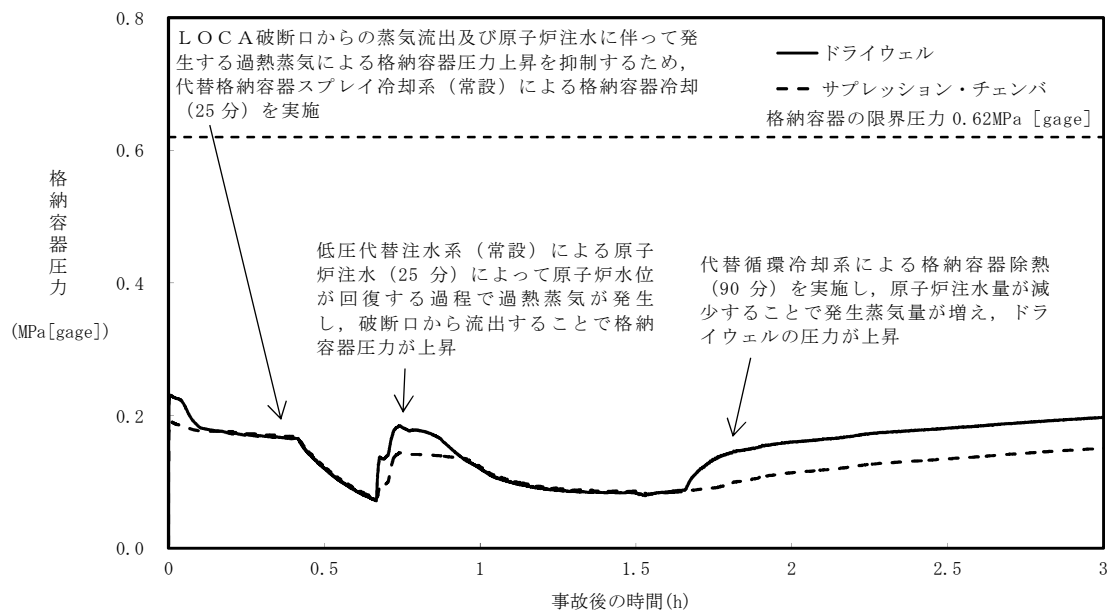
第 3.1.2-10 図 被覆管最高温度の推移



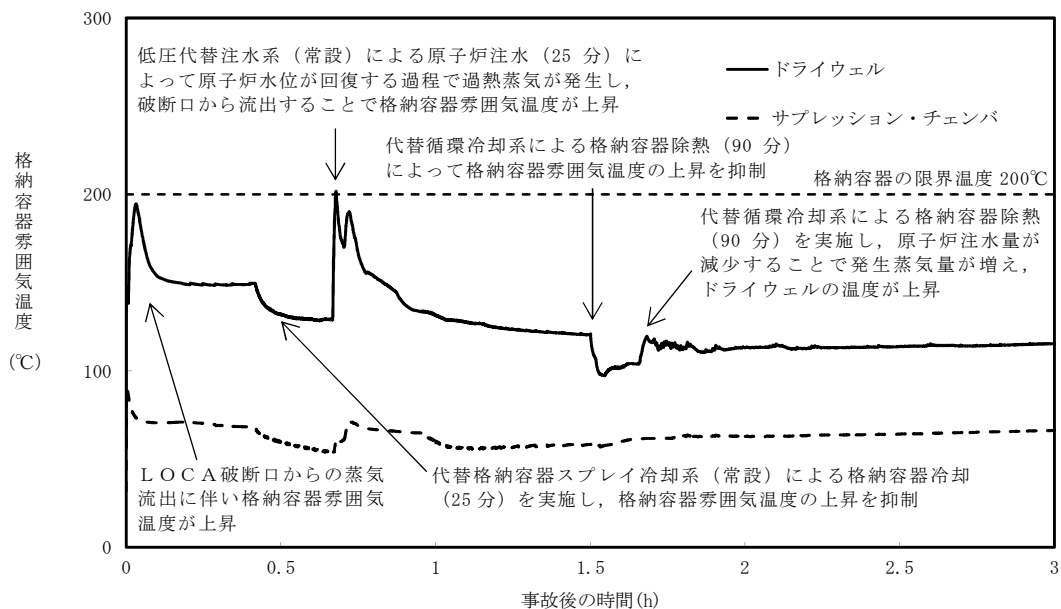
第 3.1.2-11 図 格納容器圧力の推移



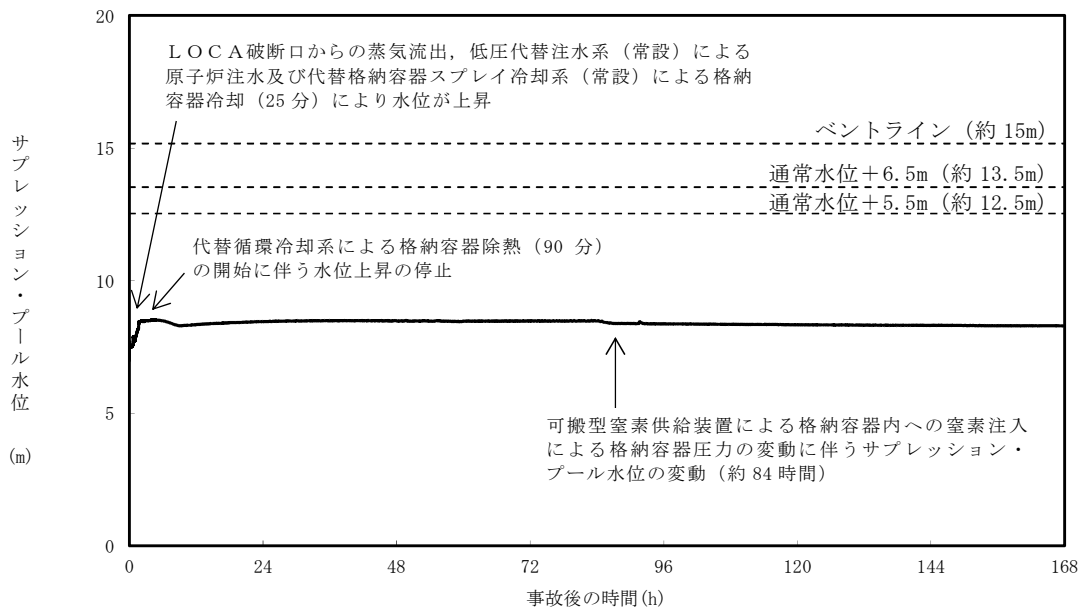
第 3.1.2-12 図 格納容器雰囲気温度の推移



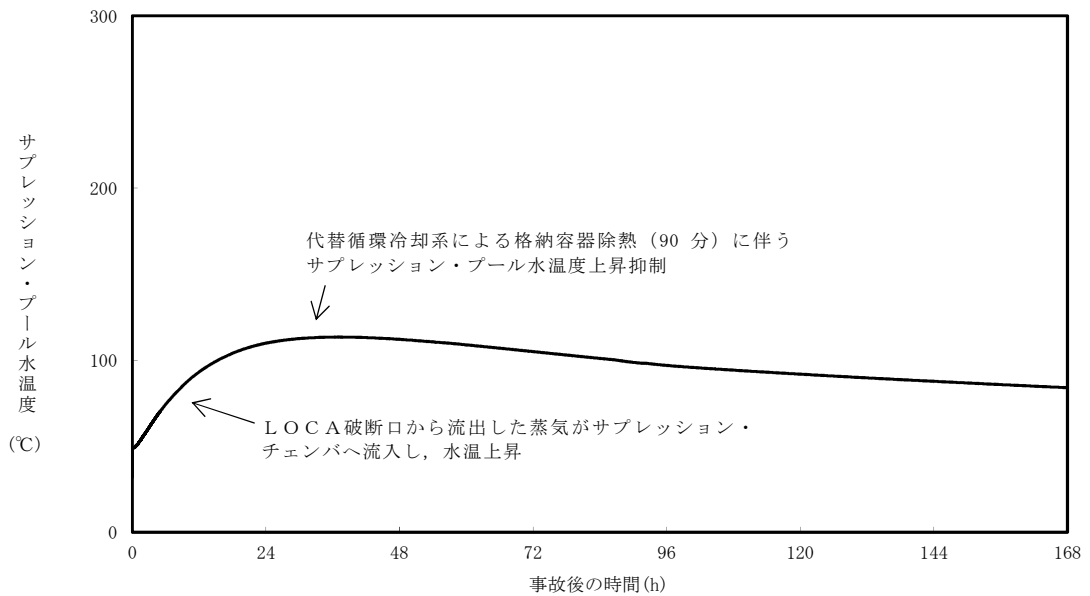
第 3. 1. 2-13 図 格納容器圧力の推移（～3 時間）



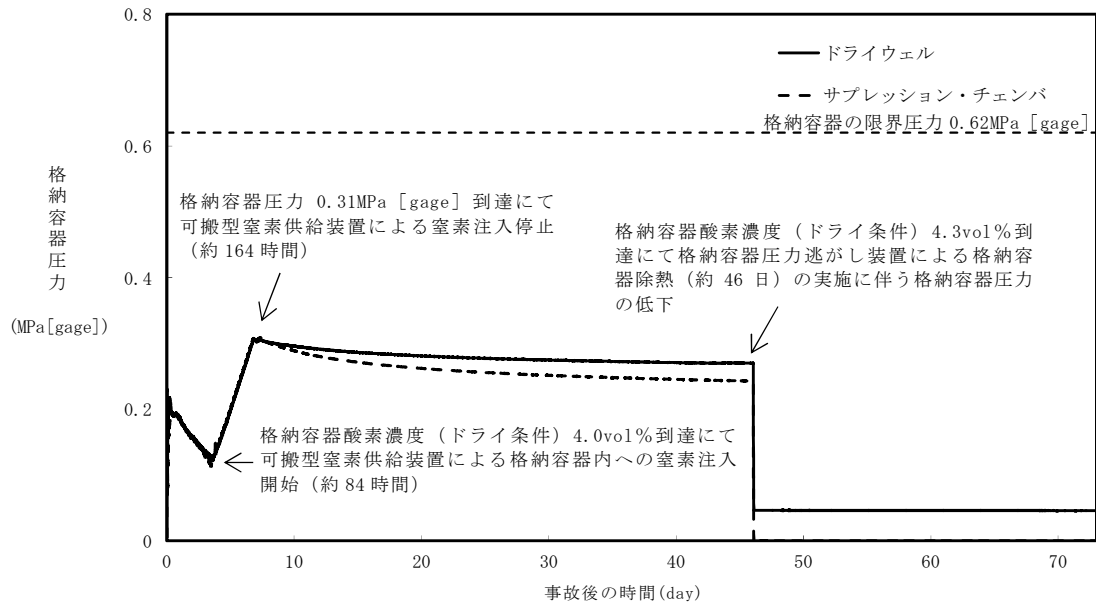
第 3. 1. 2-14 図 格納容器雰囲気温度の推移（～3 時間）



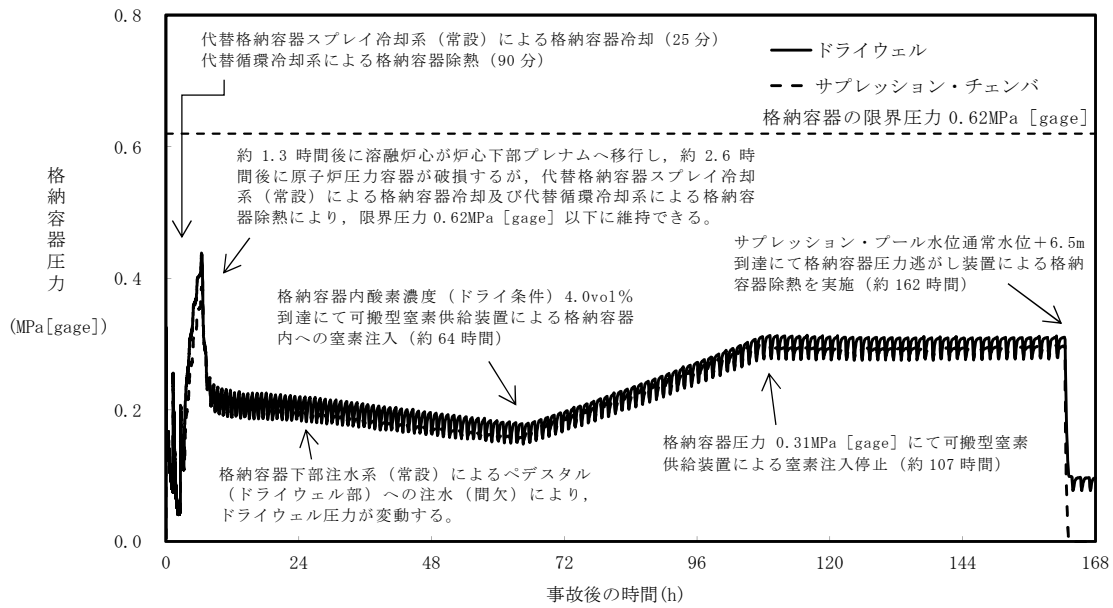
第 3.1.2-15 図 サプレッション・プール水位の推移



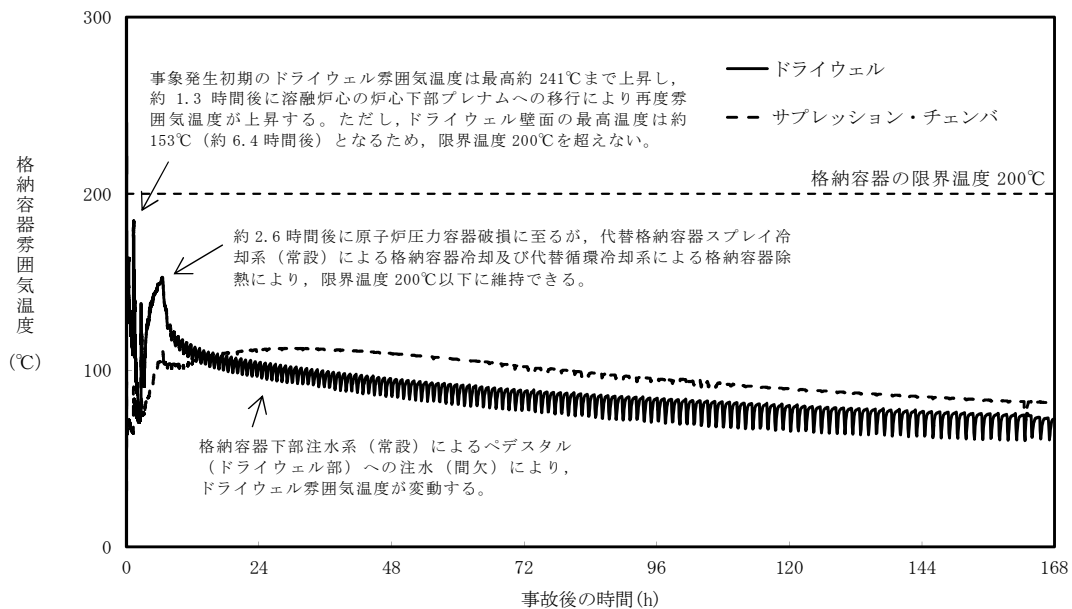
第 3.1.2-16 図 サプレッション・プール水温度の推移



第 3.1.2-17 図 格納容器圧力の推移（～73 日間）



第 3.1.2-18 図 Excessive LOCA の発生を考慮した場合の
格納容器圧力の推移



第 3.1.2-19 図 Excessive LOCA の発生を考慮した場合の
格納容器雰囲気温度の推移

第 3.1.2-1 表 「雰囲気圧力・温度による静的負荷（格納容器過圧・過温破損）」の重大事故等対策について
（代替循環冷却系を使用する場合）（1/3）

| 操作及び確認 | 手順 | 重大事故等対処設備 | | |
|--|--|--------------------------|-------|--|
| | | 常設設備 | 可搬型設備 | 計装設備 |
| 原子炉スクラム，L O C A発生及び全交 流動力電源喪失の確 認 | 運転時の異常な過渡変化，原子炉冷却材喪失事故 （L O C A）又は全交流動力電源喪失が発生して 原子炉がスクラムしたことを確認する。 格納容器圧力が 13.7kPa [gage] に到達したこと によりL O C Aが発生したことを確認する。 外部電源が喪失するとともに，非常用ディーゼル 発電機等が機能喪失する。これにより，所内高圧 系統（6.9kV）の母線が使用不能となり，全交流動 力電源喪失を確認する。 | 125V系蓄電池A系 125V系蓄電池B系 | — | 平均出力領域計装* 起動領域計装* M/C 2C電圧* M/C 2D電圧* 緊急用M/C電圧 ドライウエル圧力 サプレッション・チェンバ圧力 |
| 原子炉への注水機能 喪失の確認 | 原子炉水位が原子炉水位異常低下（レベル2）設 定点に到達後，原子炉隔離時冷却系が自動起動に 失敗したことを確認する。 | — | — | 原子炉水位（SA広帯域） 原子炉水位（SA燃料域） 原子炉水位（広帯域）* 原子炉水位（燃料域）* 原子炉隔離時冷却系系統流量* |
| 炉心損傷確認 | 大破断L O C A時に非常用炉心冷却系の機能及び 全交流動力電源が喪失するため，原子炉水位は急 激に低下し炉心が露出することで炉心損傷に至る ことを格納容器雰囲気放射線モニタにより確認す る。 | — | — | 格納容器雰囲気放射線モニタ （D/W） 格納容器雰囲気放射線モニタ （S/C） |
| 早期の電源回復不能 判断及び対応準備 | 中央制御室にて外部電源受電及び非常用ディーゼル 発電機等の起動ができず，非常用高圧母線 （6.9kV）の電源回復ができない場合，早期の電源 回復不能と判断する。これにより，常設代替交流 電源設備，代替格納容器スプレイ冷却系（常設） 及び低圧代替注水系（常設）の準備を開始する。 | — | — | — |

* 既許可の対象となっている設備を重大事故等対処設備に位置付けるもの

第 3.1.2-1 表 「雰囲気圧力・温度による静的負荷（格納容器過圧・過温破損）」の重大事故等対策について
（代替循環冷却系を使用する場合）（2/3）

| 操作及び確認 | 手順 | 重大事故等対処設備 | | |
|---|---|------------------------|-------|--|
| | | 常設設備 | 可搬型設備 | 計装設備 |
| 常設代替交流電源設備による緊急用母線の受電並びに代替格納容器スプレイ冷却系（常設）による格納容器冷却及び低圧代替注水系（常設）による原子炉注水 | 早期の電源回復不能の確認後，中央制御室からの遠隔操作により常設代替交流電源設備から緊急用母線を受電する。 | 常設代替交流電源設備 軽油貯蔵タンク | — | 緊急用M/C電圧 |
| | 緊急用母線の受電を確認後，代替格納容器スプレイ冷却系（常設）による格納容器冷却を実施する。 | 常設低圧代替注水系ポンプ 代替淡水貯槽 | — | ドライウエル雰囲気温度 ドライウエル圧力 サプレッション・チェンバ圧力 低圧代替注水系格納容器スプレイ流量（常設ライン用） 代替淡水貯槽水位 |
| | 代替格納容器スプレイ冷却系（常設）による格納容器冷却を開始した後，低圧代替注水系（常設）による原子炉注水を実施する。 ドライウエル雰囲気温度が原子炉圧力の飽和温度を超えた場合水位不明と判断し，原子炉底部から原子炉水位LOまで冠水させるために必要な注水量及び崩壊熱分の注水量を考慮し，原子炉注水流量に応じた必要注水時間の原子炉注水を実施する。 | 常設低圧代替注水系ポンプ 代替淡水貯槽 | — | 原子炉圧力（SA） 原子炉圧力* 低圧代替注水系原子炉注水流量（常設ライン用） 原子炉水位（SA広帯域） 原子炉水位（SA燃料域） 原子炉水位（広帯域）* 原子炉水位（燃料域）* 代替淡水貯槽水位 ドライウエル雰囲気温度 |

* 既許可の対象となっている設備を重大事故等対処設備に位置付けるもの

第 3.1.2-1 表 「雰囲気圧力・温度による静的負荷（格納容器過圧・過温破損）」の重大事故等対策について
 (代替循環冷却系を使用する場合) (3/3)

| 操作及び確認 | 手順 | 重大事故等対処設備 | | |
|-------------------------|--|--|-----------|---|
| | | 常設設備 | 可搬型設備 | 計装設備 |
| 緊急用海水系による冷却水（海水）の確保 | 代替格納容器スプレイ冷却系（常設）による格納容器冷却及び低圧代替注水系（常設）による原子炉注水を開始後、中央制御室にて非常用母線の負荷となっている緊急用海水系及び代替循環冷却系の弁を対象に、緊急用母線から電源が供給されるよう電源切替操作を実施する。また、中央制御室からの遠隔操作により緊急用海水ポンプを起動し、緊急用海水系に海水を通水する。 | 常設代替交流電源設備 緊急用海水ポンプ 軽油貯蔵タンク | — | 緊急用海水系流量（残留熱除去系熱交換器） |
| 代替循環冷却系による格納容器除熱 | 緊急用海水系に海水を通水した後、中央制御室からの遠隔操作により代替循環冷却系ポンプを起動することで、代替循環冷却系による格納容器除熱を開始する。 | 常設代替交流電源設備 代替循環冷却系ポンプ サプレッション・チェンバ* 軽油貯蔵タンク | — | 代替循環冷却系原子炉注水流量 代替循環冷却系格納容器スプレイ流量 原子炉水位（SA広帯域） 原子炉水位（SA燃料域） 原子炉水位（広帯域）* 原子炉水位（燃料域）* ドライウエル圧力 サプレッション・チェンバ圧力 サプレッション・プール水温度 |
| 水素濃度及び酸素濃度監視設備の起動 | 炉心損傷が発生すれば、ジルコニウム-水反応等により水素が発生し、水の放射線分解により水素及び酸素が発生することから、格納容器下部注水系（常設）によるペDESTAL（ドライウエル部）水位の確保を実施後、中央制御室からの遠隔操作により水素濃度及び酸素濃度監視設備を起動し、格納容器内の水素濃度及び酸素濃度を確認する。 | 常設代替交流電源設備 軽油貯蔵タンク | — | 格納容器内水素濃度（SA） 格納容器内酸素濃度（SA） |
| 可搬型窒素供給装置による格納容器内への窒素注入 | 格納容器内酸素濃度が 4.0vol%（ドライ条件）に到達した場合、可搬型窒素供給装置を用いて格納容器内へ窒素を注入することで、格納容器内酸素濃度の上昇を抑制する。 | — | 可搬型窒素供給装置 | 格納容器内酸素濃度（SA） |

* 既許可の対象となっている設備を重大事故等対処設備に位置付けるもの

第 3.1.2-2 表 主要解析条件（雰囲気圧力・温度による静的負荷（格納容器過圧・過温破損）
（代替循環冷却系を使用する場合）（1/4）

| 項目 | 主要解析条件 | 条件設定の考え方 |
|---------------------------|--|---|
| 解析コード | MAAP | — |
| 原子炉熱出力 | 3,293MW | 定格原子炉熱出力として設定 |
| 原子炉圧力 （圧力容器ドーム部） | 6.93MPa [gage] | 定格原子炉圧力として設定 |
| 原子炉水位 | 通常運転水位（セパレータ スカート下端から+126cm） | 通常運転時の原子炉水位として設定 |
| 炉心流量 | 48,300t/h | 定格流量として設定 |
| 燃料 | 9×9燃料（A型） | — |
| 原子炉停止後の崩壊熱 | ANSI/ANS-5.1-1979 （燃焼度 33GWd/t） | 1 サイクルの運転期間（13 ヶ月）に調整運転期間（約 1 ヶ月）を考慮した運転 期間に対応する燃焼度を設定 |
| 格納容器体積 （ドライウエル） | 5,700m ³ | 設計値 |
| 格納容器体積 （サプレッション・チェンバ） | 空間部：4,100m ³ 液相部：3,300m ³ | 設計値（通常運転時のサプレッション・プール水位の下限値に基づき設定） |
| 真空破壊装置 | 3.45kPa（ドライウエル-サプレ ッション・チェンバ間差圧） | 真空破壊装置の設定値 |
| サプレッション・プール水位 | 6.983m（通常運転範囲の下限値） | 通常運転時のサプレッション・プール水位の下限値として設定 |
| サプレッション・プール水温度 | 32℃ | 通常運転時のサプレッション・プール水温度の上限値として設定 |
| 格納容器圧力 | 5kPa [gage] | 通常運転時の格納容器圧力を包含する値 |
| 格納容器雰囲気温度 | 57℃ | 通常運転時の格納容器雰囲気温度（ドライウエル内ガス冷却装置の設計温度） として設定 |
| 外部水源の温度 | 35℃ | 年間の気象条件変化を包含する高めの水温を設定 |
| ペDESTAL（ドライウエル部） のプール水 | 考慮しない | ペDESTAL（ドライウエル部）には通常運転時からプール水が存在するが、格 納容器の熱容量に寄与することから、格納容器雰囲気温度の挙動を厳しく評価 する設定として、ペDESTAL（ドライウエル部）のプール水を考慮しない |

初期条件

第 3.1.2-2 表 主要解析条件（雰囲気圧力・温度による静的負荷（格納容器過圧・過温破損）
（代替循環冷却系を使用する場合）（2/4）

| 項目 | 主要解析条件 | 条件設定の考え方 | |
|------|---------------|---------------------------------|--|
| 事故条件 | 起因事象 | 大破断LOCA 再循環系配管（出口ノズル）の破断 | 原子炉圧力容器から格納容器への冷却材流出を大きく見積もり，格納容器内の圧力上昇及び温度上昇の観点から厳しい設定として，原子炉圧力容器バウンダリに接続する配管のうち，口径が最大である再循環系配管（出口ノズル）における両端破断を設定 |
| | 安全機能の喪失に対する仮定 | 全交流動力電源喪失 高圧注水機能喪失及び低圧注水機能喪失 | 非常用ディーゼル発電機等の機能喪失を想定し，設定 高圧注水機能として原子炉隔離時冷却系及び高圧炉心スプレイ系，低圧注水機能として残留熱除去系（低圧注水系）及び低圧炉心スプレイ系の機能喪失を設定 |
| | 外部電源 | 外部電源なし | 過圧及び過温への対策の有効性を総合的に判断する観点から，プラント損傷状態であるLOCAに全交流動力電源喪失を重畳することから，外部電源が喪失するものとして設定 ただし，原子炉スクラムについては，外部電源ありの場合を包括する条件として，機器条件に示すとおり設定 |
| | 水素の発生 | ジルコニウム-水反応を考慮 | 水の放射線分解等による水素発生については，格納容器圧力及び雰囲気温度に与える影響が軽微であることから考慮していない |

第 3.1.2-2 表 主要解析条件（雰囲気圧力・温度による静的負荷（格納容器過圧・過温破損）
（代替循環冷却系を使用する場合）（3/4）

| 項目 | 主要解析条件 | 条件設定の考え方 | |
|------------------|-------------------|---|---|
| 重大事故等対策に関連する機器条件 | 原子炉スクラム信号 | 原子炉水位低（レベル3）信号 | 短時間であるが原子炉熱出力が維持される厳しい設定として、外部電源喪失時のタービン蒸気加減弁急閉及び原子炉保護系電源喪失による原子炉スクラムについては保守的に考慮せず、原子炉水位低（レベル3）信号にてスクラムするものとして設定 |
| | 主蒸気隔離弁 | 事象発生と同時に閉止 | 短時間であるが主蒸気が格納容器内に維持される厳しい設定として、原子炉保護系電源喪失及び原子炉水位異常低下（レベル2）信号による主蒸気隔離弁閉止については保守的に考慮せず、事象発生と同時に主蒸気隔離弁が閉止するものとして設定 |
| | 再循環系ポンプ | 事象発生と同時に停止 | 事象進展に与える影響は軽微であることから、全交流動力電源喪失によるポンプ停止を踏まえて設定 |
| | 低压代替注水系（常設） | 注水流量：230m ³ /h（一定） | 炉心冷却の維持に必要な流量として設定 |
| | 代替格納容器スプレイ冷却系（常設） | スプレイ流量：130m ³ /h（一定） | 格納容器雰囲気温度及び圧力抑制に必要なスプレイ流量を考慮し、設定 |
| | 格納容器下部注水系（常設） | 解析上考慮しない | 格納容器雰囲気温度の挙動を厳しく評価するため、初期条件としてペDESTAL（ドライウェル部）のプール水を考慮していないことから、常設低压代替注水系ポンプを用いた格納容器下部注水系（常設）によるペDESTAL（ドライウェル部）水位の確保操作についても考慮しない |
| | 代替循環冷却系 | 総循環流量：250m ³ /h ・格納容器スプレイ：150m ³ /h ・原子炉注水：100m ³ /h | 炉心冷却の維持に必要な流量、格納容器圧力及び雰囲気温度の抑制に必要なスプレイ流量を考慮して設定 |
| | 緊急用海水系 | 代替循環冷却系から緊急用海水系への伝熱容量：約14MW （サブプレッション・プール水温度100℃、海水温度32℃において） | 熱交換器の設計性能に基づき、代替循環冷却系の除熱性能を厳しくする観点で、過去の実績を包含する高めの海水温度を設定 |
| | 可搬型窒素供給装置 | 総注入流量：200m ³ /h ・窒素198m ³ /h ・酸素2m ³ /h ガス温度：30℃ | 総注入流量は格納容器内の酸素濃度上昇抑制に必要な流量として設定 酸素注入流量は純度99vol%を考慮して残り全てを酸素として設定 ガス温度は気象条件を考慮して設定 |

第 3.1.2-2 表 主要解析条件（雰囲気圧力・温度による静的負荷（格納容器過圧・過温破損）
（代替循環冷却系を使用する場合）（4/4）

| 項目 | 主要解析条件 | 条件設定の考え方 | |
|------------------|---|-------------------------------|--|
| 重大事故等対策に関連する操作条件 | 常設代替高圧電源装置による緊急用母線の受電操作並びに代替格納容器スプレイ冷却系（常設）による格納容器冷却操作及び低圧代替注水系（常設）による原子炉注水操作 | 事象発生から 25 分後 | 中央制御室における常設代替高圧電源装置，代替格納容器スプレイ冷却系（常設）及び低圧代替注水系（常設）の準備時間を考慮して設定 |
| | 緊急用海水系による冷却水（海水）確保操作並びに代替循環冷却系による格納容器除熱操作 | 事象発生から 90 分後 | 中央制御室における緊急用海水系及び代替循環冷却系の準備時間を考慮して設定 |
| | 可搬型窒素供給装置による格納容器内への窒素注入操作 | 格納容器内酸素濃度が 4.0vol%（ドライ条件）に到達時 | 格納容器内酸素濃度がベント基準である 4.3vol%（ドライ条件）到達を防止する観点で設定 |

炉心損傷及び原子炉圧力容器破損後の注水及び除熱の考え方について

炉心損傷後における重大事故等対処設備による注水や除熱の考え方を以下に示す。

1. 期待する重大事故等対処設備について

非常用炉心冷却系等の注水機能が喪失し炉心損傷に至った場合、重大事故等対処設備である低圧代替注水系（常設）、代替格納容器スプレイ冷却系（常設）、格納容器下部注水系（常設）及び代替循環冷却系の機能に期待し、炉心損傷の進展防止及び格納容器破損防止を図る手順としている。これらの系統の主な特徴を第1表に示す。

第1表 注水及び除熱手段の特徴（重大事故等対処設備）

| 系統 | 注水先 | ポンプ | 水源 |
|-------------------|----------------------|--------------|---------------|
| 低圧代替注水系（常設） | 原子炉圧力容器 | 常設低圧代替注水系ポンプ | 代替淡水貯槽 |
| 代替格納容器スプレイ冷却系（常設） | ドライウエル | | |
| 格納容器下部注水系（常設） | ペDESTAL （ドライウエル部） | | |
| 代替循環冷却系 | 原子炉圧力容器 | 代替循環冷却系ポンプ | サブプレッション・チェンバ |
| | ドライウエル | | |
| | サブプレッション・チェンバ | | |

常設低圧代替注水系ポンプを用いた系統は、補機系を持たない独立した系統であり事故後早期に使用可能であるが、代替淡水貯槽を水源としており格納容器内へ外部から水を持ち込むため、継続して使用するとサブプレッション・プール水位が上昇し、格納容器圧力逃がし装置による格納容器除熱（以下「格納容器ベント」という。）の実施時期を早めることとなる*。

一方、代替循環冷却系は補機系の起動を要するため、常設低圧代替注水系

ポンプを用いた系統に比べて起動に時間を要するが、サブプレッション・チェンバを水源としており外部からの水の持ち込みは生じない。

上記の特徴を踏まえ、事象発生初期の原子炉への注水は常設低圧代替注水系ポンプを用いた系統を使用することとし、その後、外部からの水の持ち込みを抑制し、サブプレッション・プール水位の上昇抑制による格納容器ベントの遅延を図り、可能な限り外部への影響を軽減するため、代替循環冷却系が使用可能となった段階で代替循環冷却系に切り替える手順とする。ただし、代替循環冷却系の運転時において、格納容器圧力・温度の上昇により追加の格納容器の冷却が必要な場合には、一時的に常設低圧代替注水系ポンプを用いた系統を使用する手順とする。

※ 格納容器圧力逃がし装置におけるサブプレッション・チェンバ側のベント配管の水没を防止する観点から、サブプレッション・プール水位が通常水位+6.5mに到達した時点で、外部水源による水の持ち込みを制限した上で、格納容器ベントを実施する手順としている。

2. 炉心損傷及び原子炉圧力容器破損前後の注水及び除熱の考え方

(1) 常設低圧代替注水系ポンプを用いた系統

a. 炉心損傷後の対応について

炉心損傷を判断した後は、補機系が不要であり短時間で注水が可能な低圧代替注水系(常設)により原子炉へ注水する手順としている。また、原子炉注水ができない場合においても、注水手段の確保に努めることとしている。したがって、炉心損傷前後ともに原子炉注水を実施する対応方針に違いはないが、事象進展の違いによって以下の異なる手順となる。

① L O C A時に炉心が損傷した場合は、ヒートアップした炉心へ原子炉注水を実施することにより、炉内で発生する過熱蒸気がドライウェル

に直接放出されドライウエル圧力及び雰囲気温度が急上昇する。そこで、格納容器の健全性を確保するために、LOCAの判断（ドライウエル圧力 13.7kPa[gage]以上）及び炉心損傷の判断（ドライウエル又はサプレッション・チェンバ内のガンマ線線量率が設計基準事故相当のガンマ線線量率の10倍以上）により、低圧代替注水系（常設）による原子炉注水操作と代替格納容器スプレイ冷却系（常設）による格納容器冷却操作（ドライウエルスプレイ）を同時に実施する。この場合、原子炉注水により過熱蒸気が発生することから、先行して代替格納容器スプレイ冷却系（常設）による格納容器冷却操作（ドライウエルスプレイ）を実施し、その後、低圧代替注水系（常設）による原子炉注水操作を実施することで、ドライウエルスプレイを実施している状態で原子炉へ注水する手順とする。

- ②LOCA時に炉心が損傷して原子炉注水が実施できない場合は、いずれは熔融炉心の炉心下部プレナムへの移行に伴う原子炉圧力容器下部プレナム水との接触による発生蒸気がドライウエルに放出され、ドライウエル圧力及び雰囲気温度が急上昇することを踏まえて、代替格納容器スプレイ冷却系（常設）による格納容器冷却操作（ドライウエルスプレイ）を実施する手順とする。ただし、実際の操作としては、代替格納容器スプレイ冷却系（常設）による格納容器冷却操作（ドライウエルスプレイ）を実施後に低圧代替注水系（常設）による原子炉注水操作を実施することから、炉心損傷の判断後にドライウエルスプレイをする手順は①と同様である。

b. 原子炉圧力容器破損前の対応について

- ③通常運転時からペDESTAL（ドライウエル部）水位を約1mに維持する構造としているが、炉心損傷判断後は、原子炉圧力容器破損時の熔融

炉心の冷却を考慮し、ペDESTAL（ドライウエル部）水位を確実に約1m確保するために格納容器下部注水系（常設）によるペDESTAL（ドライウエル部）水位の確保操作を実施する手順とする。

c. 原子炉圧力容器破損後短期の対応について

④原子炉圧力容器破損を検知した後は、溶融炉心とペDESTAL（ドライウエル部）に存在する水との相互作用により、ドライウエル圧力及び雰囲気温度が急上昇するため、原子炉圧力容器破損を判断した場合は、代替格納容器スプレイ冷却系（常設）による格納容器冷却操作（ドライウエルスプレイ）を実施する手順とする。

⑤ドライウエルスプレイを開始した後は、ペDESTAL（ドライウエル部）に落下した溶融炉心の冷却維持のため、格納容器下部注水系（常設）によるペDESTAL（ドライウエル部）注水操作を実施する手順とする。

d. 本システムの停止及び一時的な運転について

⑥本システムは外部水源を用いた手段であり、本システムの運転継続によりサプレッション・プール水位が上昇する。そこで、格納容器ベントを遅延させる観点から、本システムによる原子炉注水操作や格納容器冷却操作（ドライウエルスプレイ）を停止し、代替循環冷却系による格納容器除熱操作を実施する。

⑦ただし、代替循環冷却系による格納容器除熱操作を実施する状態において格納容器圧力及び雰囲気温度が上昇する場合には、代替格納容器スプレイ冷却系（常設）による格納容器冷却操作（ドライウエルスプレイ）を一時的に実施する手順とする。

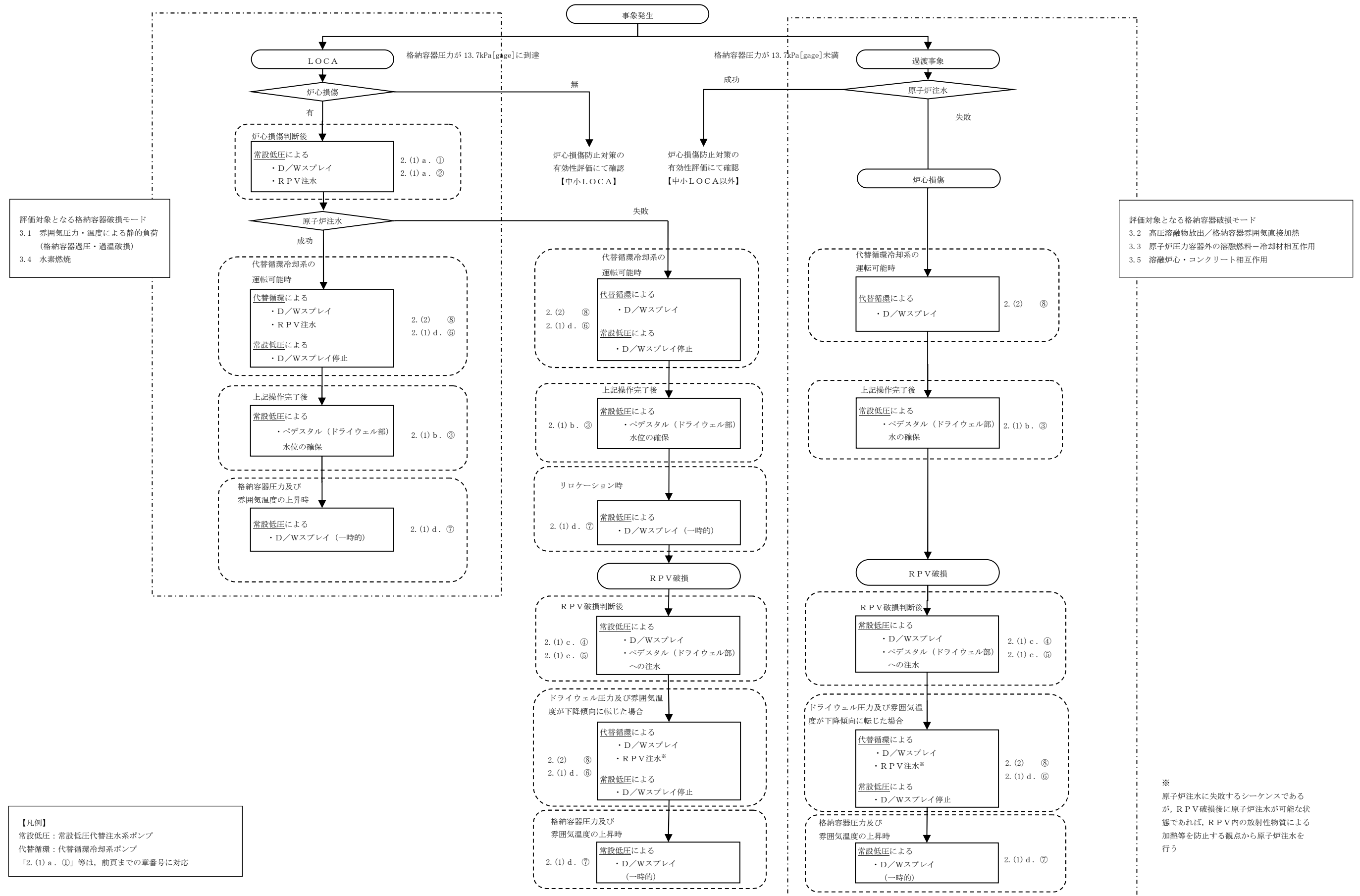
(2) 代替循環冷却系

⑧代替循環冷却系は残留熱除去系海水系又は緊急用海水系等の補機系の起動後に期待できるシステムであり、運転開始までに一定の時間を要する

が、内部水源であるため本系統の運転継続によりサプレッション・プール水位は上昇しない。したがって、起動が可能となった時点で本系統を運転開始する手順とし、サプレッション・プール水位の上昇を抑制しつつ、原子炉注水操作や格納容器冷却操作（ドライウェルスプレイ）を実施することで、損傷炉心の冷却や格納容器の冷却及び除熱を実施することとする。

3. 各事象の対応の流れについて

炉心損傷に至る事象としては、起因事象がLOCAの場合と過渡事象の場合で事象進展が異なることが考えられる。また、初期に原子炉注水に成功する場合と成功しない場合においても、事象進展が異なることが考えられる。以上の事象進展の違いを踏まえ、事故対応の流れを第1図に示す。



第 1 図 事故対応の流れ

中央制御室での運転員操作について

1. はじめに

重大事故等時において、運転員は中央制御室に配置する制御盤によって、常設重大事故等対処設備の操作を実施する。以下、中央制御室の制御盤の配置等の考え方及び運転員の操作分担について示す。

2. 対応操作を踏まえた制御盤の配置と作業分担について

常設重大事故等対処設備の操作のため、中央制御室に常設代替高圧電源装置遠隔操作盤、高圧代替注水系制御盤及びS A監視操作盤を配置する。第 1 図に中央制御室における制御盤の配置図、第 1 表に制御盤の概要を示す。事象発生からの運転員対応として以下の流れを想定しており、常設重大事故等対処設備の操作は②、③にて実施している。運転員 A については主に原子炉側に関連する操作、運転員 B については主に電源関連、主制御盤での操作を担当する。

①事象発生直後のプラント状況の把握や非常用電源確保等の操作（運転員 A，運転員 B）

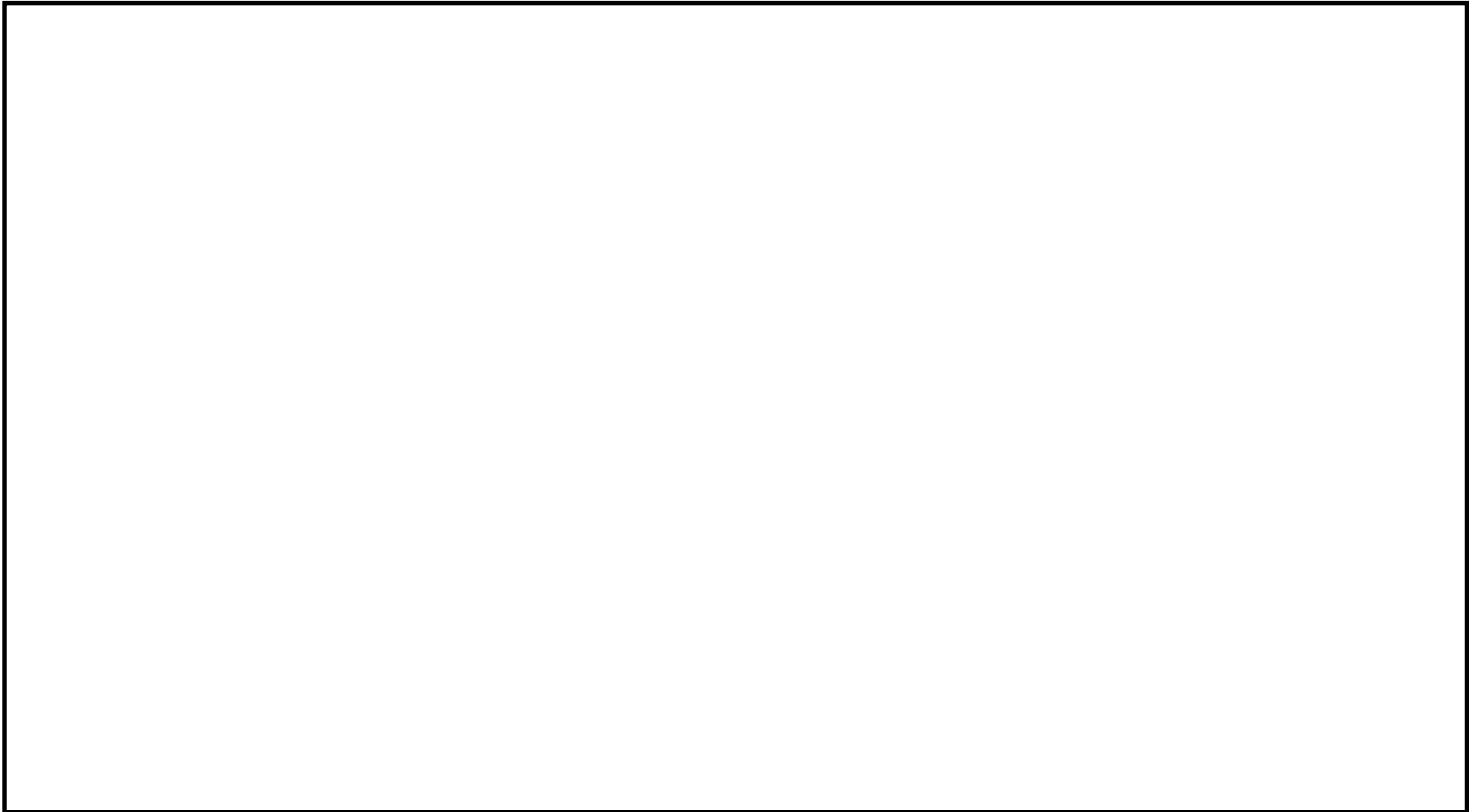
②高圧代替注水系の起動（運転員 A）及び常設代替高圧電源装置の起動（運転員 B）

③ S A 監視操作盤を用いた操作・監視（運転員 A）及びその他の制御盤を用いた操作・監視（運転員 B）

②の高圧代替注水系の起動及び常設代替高圧電源装置の起動については、①により非常用電源の確保や原子炉注水の確保ができないことが確認された場合には、炉心損傷防止のため速やかに実施する必要があることから、2 名

の運転員がそれぞれの起動操作を互いに干渉しないよう、それぞれの盤を独立して配置している。

また、③については、②により高圧代替注水系制御盤での操作が完了（起動できなかった場合を含む）した運転員Aが、引き続き原子炉注水操作等の原子炉側の操作を継続するために、SA監視操作盤により操作・監視を対応することとしている。SA監視操作盤は、タッチパネルから複数の系統の監視・操作を集中的に行うことが可能であり、運転員Bによる操作・監視と干渉しないよう独立した盤としている。③における運転員Bの操作については、②により常設代替高圧電源装置を起動した後、SA監視操作盤以外の盤の操作・監視を行うことを想定している。第2表に制御盤操作の流れを示す。



第 1 図 中央制御室における制御盤の配置図

第1表 制御盤の設置目的

| 制御盤 | 設置目的 |
|-----------------|--|
| 常設代替高圧電源装置遠隔操作盤 | 外部電源喪失時に早期に緊急用母線への給電を実施するため、中央制御室により常設代替高圧電源装置の遠隔起動及び監視を可能にする |
| 高圧代替注水系制御盤 | 原子炉隔離時冷却系及び高圧炉心スプレイ系が起動できない場合、早急に高圧代替注水系を起動させるため、中央制御室での遠隔起動及び監視を可能にする |
| S A 監視操作盤 | 重大事故等時に、上記以外の常設重大事故等対処設備の監視及び操作を中央制御室で行うことを可能にする |

第2表 制御盤操作の流れ

| 運転員 A | 運転員 B |
|---------------------------------------|-------------------------------------|
| プラント状況の把握， 非常用電源確保等の操作 (主制御盤) | プラント状況の把握， 非常用電源確保等の操作 (主制御盤) |
| (移動) | (移動) |
| 高圧代替注水系の起動 (高圧代替注水系制御盤) | 常設代替高圧電源装置の起動 (常設代替高圧電源装置遠隔操作盤) |
| (移動) | (移動) |
| S A 監視操作盤を用いた 操作・監視 (S A 監視操作盤) | S A 監視操作盤以外の制御盤を 用いた操作・監視 |

3. 各操作盤の仕様等について

(1) 常設代替高圧電源装置遠隔操作盤

a. 仕様

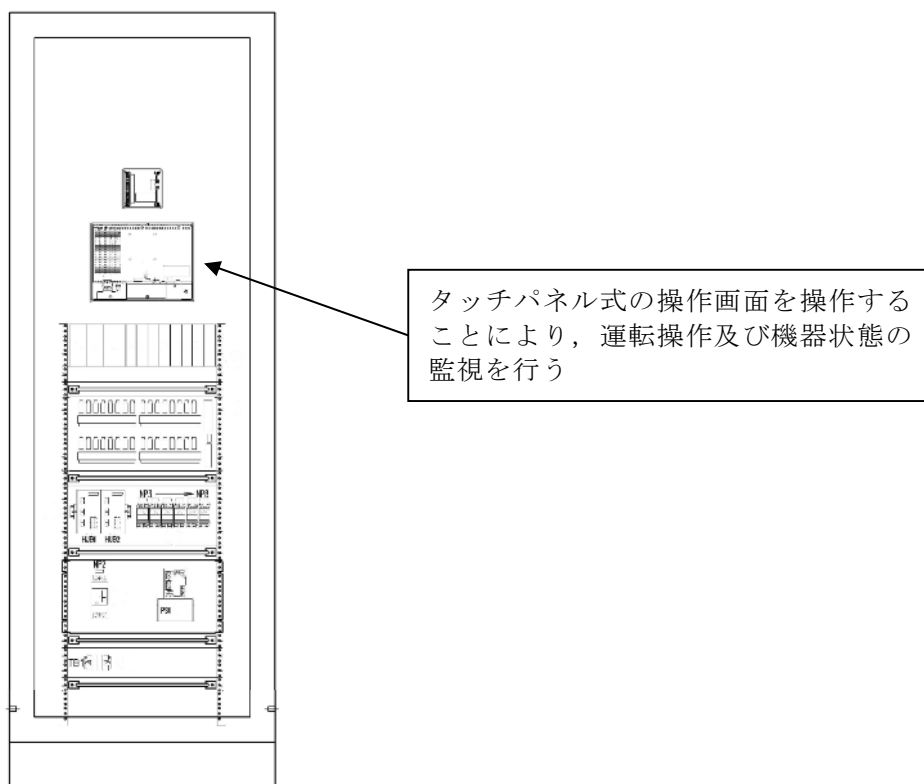
タッチパネル式の操作画面を設置しており、常設代替高圧電源装置の遠隔起動操作及び運転状態の監視が可能な設計としている。第2図に常設代替高圧電源装置遠隔操作盤の外観図を示す。

b. 操作可能な設備

- ・ 常設代替高圧電源装置

c. 操作方法

タッチパネル式の操作画面を操作することにより、上記の設備の運転操作及び機器状態の監視を行う。



第2図 常設代替高圧電源装置遠隔操作盤（イメージ図）

(2) 高圧代替注水系制御盤

a. 仕様

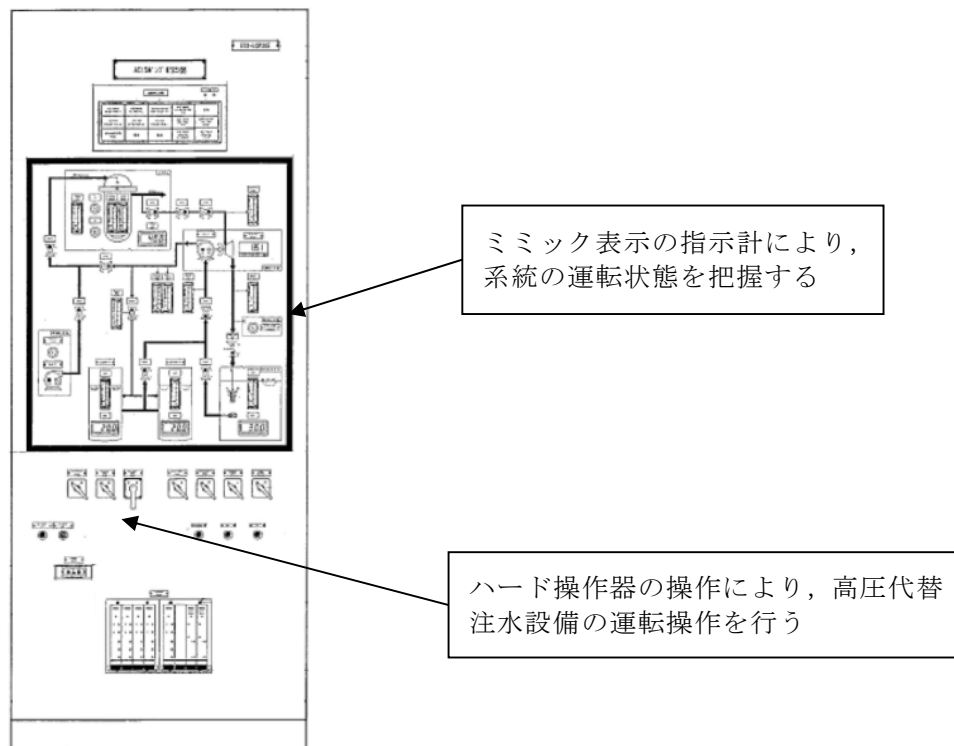
盤前面にハードの指示計，操作器等を設置しており，高圧代替注水設備の遠隔操作が可能な設計としている。第3図に高圧代替注水系制御盤のイメージ図を示す。

b. 操作可能な設備

- ・高圧代替注水設備

c. 操作方法

ハード操作器の操作により，高圧代替注水系の運転操作を行う。指示計等をミミック表示とすることにより，系統の運転状態の把握が容易に行える設計とする。



第3図 高圧代替注水系制御盤 (イメージ図)

(3) S A 監視操作盤

a. 仕様

事故対応時の並行操作に対し容易に操作・監視ができるように、タッチパネル式の監視操作画面を2面設置している。また、常設代替高圧電源装置及び高圧代替注水系以外の常設重大事故等対処設備の遠隔操作及び運転状態の監視が可能な設計としている。第4図にS A 監視操作盤、第5図に監視操作画面のイメージ図を示す。

b. 主な操作可能な設備

- ・ 低圧代替注水系（常設）
- ・ 代替格納容器スプレイ冷却系（常設）
- ・ 格納容器下部注水系（常設）
- ・ 代替燃料プール注水系
- ・ 緊急用海水系
- ・ 代替循環冷却系
- ・ 格納容器圧力逃がし装置
- ・ 耐圧強化ベント系
- ・ 水素濃度及び酸素濃度監視設備
- ・ サプレッション・プール水 pH 制御装置（自主対策設備）

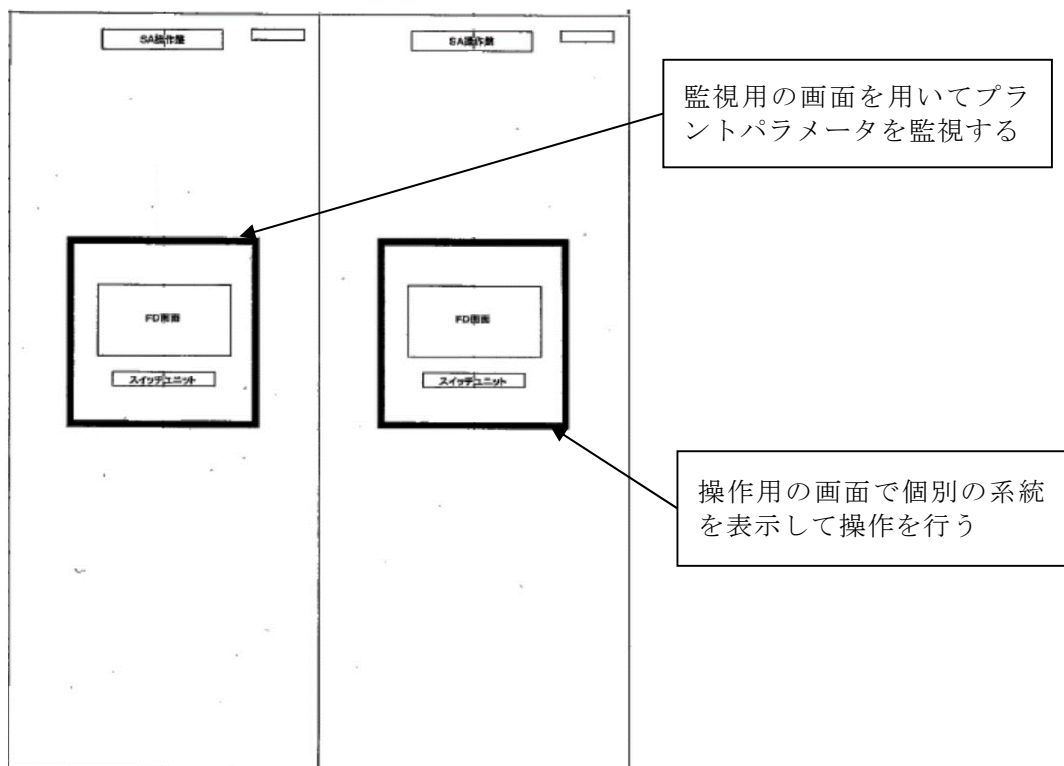
c. 操作方法

2面のタッチパネルの操作により、上記の設備の運転操作を行う。監視用の画面を用いてプラントパラメータを監視し、操作用の画面で個別の系統を表示して操作を行う。誤操作防止等の観点から、以下を考慮した設計とする。

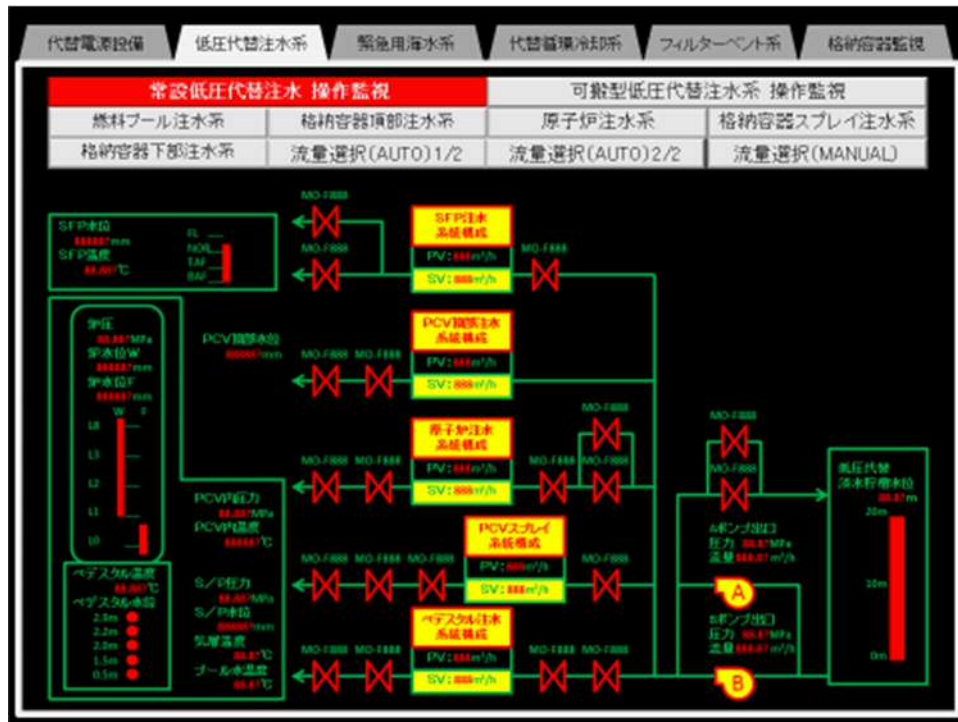
- ・ 2画面で同一機器の異なった操作ができないように、1画面の機器を操作している場合はもう1画面で同一機器の操作を行えない設計と

する。

- ・タッチ領域は枠などを表示することにより，その領域がタッチ領域であることを明確にする。
- ・タッチを受け付けたことを示す打ち返し表示を行う。また，打ち返し表示は運転員の認知的特性に対して長すぎない時間内に行う。
- ・プラント設備の操作に係るタッチ領域には，タッチミスが発生しないような大きさ及び間隔を確保する。
- ・一貫したタッチ方式を用いる。
- ・タッチ操作器の呼び出しによって表示される制御器及び操作器の数は1つとする。
- ・画面上に予め制御器及び操作器を配置しておく場合には，タッチ領域の大きさ及びタッチ領域間の距離を考慮し，大きさ及び間隔を確保し制御器及び操作器を配置する。



第4図 SA監視操作盤（イメージ図）



第 5 図 監視操作画面 (イメージ図)

並行操作の対応について

1. はじめに

炉心損傷後のマネジメントについては、炉心損傷の進展緩和のための低圧代替注水系（常設）による原子炉注水操作，格納容器圧力及び雰囲気温度の抑制のための代替格納容器スプレイ冷却系（常設）による格納容器冷却操作，落下後の熔融炉心を冷却するための格納容器下部注水系（常設）によるペデスタル（ドライウェル部）注水操作など，複数の操作を並行して実施する必要がある。操作の成立性の観点から，並行して実施する操作について整理する。

2. 操作の整理

2.1 考え方

主な重大事故等対処設備の操作については，中央制御室に設置した S A 監視操作盤によって操作を行う。S A 監視操作盤で実施する操作については，代替循環冷却系による格納容器除熱操作のように一定の流量で操作開始しその後の状態監視を継続的に実施するものと，格納容器圧力が 0.465MPa [gage] 到達時点で実施する代替格納容器スプレイ冷却系（常設）による格納容器冷却操作のように，ある制御範囲において間欠的に操作を実施するもの（間欠操作）がある。

状態監視を継続的に実施している際には，2 画面ある S A 監視操作盤の 1 画面で状態を監視し，もう 1 画面で操作を行うことにより，間欠操作が必要な場合にも容易に対応可能である。しかし，間欠的な操作を実施中に並行操作の必要が生じた場合，時間余裕のない操作が含まれているとプラントに対

して悪影響が出る可能性があることから、間欠的な操作を整理した上で、その際に並行操作となり得る操作について成立性を確認する。

2.2 並行操作の整理

炉心損傷後の対応操作として、並行操作となるものを以下に示す。以下のケースにおける運転員A及び運転員Bの作業と所要時間について、第1図から第3図に示す。

- ・「3.1 雰囲気圧力・温度による静的負荷（格納容器過圧・過温破損） 3.1.3 代替循環冷却系を使用できない場合」

運転員Aによる以下の①の間欠操作の期間において、運転員Aによるその他の操作として、“格納容器下部注水系（常設）によるペDESTAL（ドライウェル部）水位の確保操作”，“水素濃度及び酸素濃度監視設備の起動操作”及び“サブプレッション・プール水pH制御装置による薬液注入操作”が存在する（ケースA）。

また、運転員Aによる以下の①②の間欠操作について重なる期間が存在する。重なる期間において、運転員Aによるその他の操作として、“格納容器圧力逃がし装置による格納容器除熱の準備操作”のうち“中央制御室での第一弁操作”が存在する。（ケースB）

- ①低圧代替注水系（常設）による原子炉注水操作（事象発生12時間までは崩壊熱の変化が大きいため、6時間間隔で注水量を変更するが、12時間以降においては、12時間以上の時間間隔で流量調整を実施する）

- ②代替格納容器スプレイ冷却系（常設）による格納容器冷却操作

（0.400MPa[gage]到達で格納容器冷却停止：②-1，0.465MPa[gage]到達で格納容器冷却開始：②-2）

・「3.2 高圧溶融物放出／格納容器雰囲気直接加熱」

以下の③の操作が長期間必要であり、運転員Aの負荷が大きいケース(原子炉圧力容器破損後も原子炉注水を考慮しない場合。添付資料 3.2.10 参照。)を対象とする。この場合、運転員Aによる以下の②③の間欠操作について、重なる期間が存在する。また、この重なる期間において、運転員Aによるその他の操作は存在しない。(ケースC)

②代替格納容器スプレイ冷却系(常設)による格納容器冷却操作

(0.400MPa[gage]到達で格納容器冷却停止：②－1, 0.465MPa[gage]

到達で格納容器冷却開始：②－2)

③格納容器下部注水系によるペDESTAL(ドライウエル部)注水操作

(2.25m 到達で注水開始：③－1, 2.75m 到達で注水停止：③－2)

2.3 並行操作と影響の整理

2.2 で記載した各操作の優先度の考え方について以下に示す。並行操作が生じた場合には、基本的には最初に操作基準に到達した操作を優先するが、時間余裕の観点で優先度が高い③－1及び②－2の操作については操作基準の到達により警報を発報させる設計とし、警報発報時には当該操作を優先して実施することとする。

優先度最高

- ・格納容器下部水位が 2.25m(下限水位)に到達した場合のペDESTAL(ドライウエル部)注水操作(③－1)

全量の溶融炉心がペDESTAL(ドライウエル部)に落下した場合の堆積高さは 1.9m 未満であり(添付資料 3.2.16 参照)、溶融炉心の露出には 0.3m 以上蒸発する必要があるが、時間余裕としては 10 分未満である(解析において 0.5m 水位低下するまでの最短時間が約 10 分間である)。

優先度高

- ・ 格納容器圧力が 0.465MPa[gage]に到達した場合の格納容器冷却開始操作
(②-2)

格納容器圧力が 0.465MPa[gage]に到達し、格納容器冷却の開始操作のタイミングが遅れた場合、格納容器の限界圧力 0.62MPa[gage]に到達するまでの時間余裕は約 30 分であり、比較的余裕が少ない。

優先しない操作

- ・ 原子炉注水操作（流量調整）(①)

流量調整操作が遅れた場合でも原子炉注水は継続されるため、操作のタイミングが遅くなることによるプラント挙動に及ぼす影響は小さい。

流量調整の変更幅は、崩壊熱の変化幅が大きい事象初期においても十数 m^3/h であり、並行操作の実施により操作が 10 分程度（優先する操作に 5 分、優先しない操作に 5 分と想定）遅れたと仮定してもサブプレッション・プール水の増加量は数 m^3 となり、サブプレッション・プール水位が通常水位 +6.5m に到達する時間が早くなるが、 $130\text{m}^3/\text{h}$ のスプレイに換算しても 1 分未満相当であることから、格納容器ベント時間に与える影響は小さい。

- ・ 格納容器圧力が 0.400MPa[gage]に到達した場合の格納容器冷却停止操作
(②-2)

停止操作が遅れた場合でも格納容器圧力が 0.400MPa[gage]未満に低下するのみであり、操作のタイミングが遅くなることによるプラント挙動に及ぼす影響は小さい。

スプレイ流量は最大 $130\text{m}^3/\text{h}$ であり、並行操作の実施により操作が 10 分程度（優先する操作に 5 分、優先しない操作に 5 分と想定）遅れたと仮定してもサブプレッション・プール水の増加量は 30m^3 未満となり、サブプレッション・プール水位が通常水位 +6.5m に到達する時間が早くなるが、130

m^3/h のスプレイに換算しても 15 分未満相当であることから、格納容器ベント時間に与える影響は小さい。

スプレイによって格納容器圧力の低下幅が大きくなり、冷却開始基準である $0.465\text{MPa}[\text{gage}]$ 到達が遅れることとなり、その後の冷却開始も順次遅れることから格納容器ベント時間に与える影響は小さい。

- ・格納容器下部水位が 2.75m（上限水位）に到達した場合のペDESTAL（ドライウエル部）注水停止操作（③－2）

停止操作が遅れた場合でも格納容器下部水位は約 2.75m 以上には上昇せず、余分な水はドライウエルを介してサプレッション・チェンバに移行するのみであり、操作のタイミングが遅くなることによるプラント挙動に及ぼす影響は小さい。

崩壊熱相当の注水流量は、保守的に設定した燃焼度 $33\text{Gwd}/\text{t}$ の場合においても最大で $50\text{m}^3/\text{h}$ であり、並行操作の実施により操作が 10 分程度（優先する操作に 5 分、優先しない操作に 5 分と想定）遅れたと仮定してもサプレッション・プール水の増加量は 10m^3 未満となり、サプレッション・プール水位が通常水位 +6.5m に到達する時間が早くなるが、 $130\text{m}^3/\text{h}$ のスプレイに換算しても 5 分未満相当であることから、格納容器ベント時間に与える影響は小さい。

- ・その他の操作

その他の“格納容器下部注水系（常設）によるペDESTAL（ドライウエル部）水位の確保操作”等の操作は、操作が必要なタイミングまで時間余裕があることから、操作のタイミングが遅くなることによるプラント挙動に及ぼす影響は小さい。

次に、2.2 でまとめた各ケースの並行操作の成立性について以下に示す。

ケース A

添付資料 3.1.3.3 に示すとおり、①の操作は、事象発生後 12 時間までは 6 時間間隔、事象発生後 12 時間以降は 12 時間以上の間隔とする。このため、“格納容器下部注水系（常設）によるペデスタル（ドライウエル部）水位の確保操作”、“水素濃度及び酸素濃度監視設備の起動操作”及び“サブレーション・プール水 pH 制御装置による薬液注入操作”は、①の操作と異なるタイミングでの操作となり、操作の成立性に問題はない。

ケース B

①の操作は、事象発生後 12 時間までは 6 時間間隔、事象発生後 12 時間以降は 12 時間以上の間隔とするため、②の操作及び“格納容器除熱の準備操作（中央制御室での第一弁操作）”と並行することは考えにくい。仮に優先度高である②-2 の操作を含む全ての操作が並行した場合、②-2 の操作を優先し、その他の①の操作及び“格納容器除熱の準備操作（中央制御室での第一弁操作）”をその後実施することで、操作の成立性に問題はない。

ケース C

格納容器下部水位が 2.25m（下限水位）に到達した場合のペデスタル（ドライウエル部）注水操作（③-1），次に格納容器圧力が 0.465MPa[gage] に到達した場合の格納容器冷却開始操作（②-2）を優先して対応し、②-1 や③-2 の操作の優先度を下げて対応することで、時間余裕は確保され、操作の成立性に問題はない。

なお、②の操作について、解析上の最も早い操作間隔は格納容器圧力 0.400MPa[gage] 到達により格納容器冷却操作を停止してから 0.465MPa[gage] 到達で再開するまでの約 6 分間となるが、実運用上はスプレー流量を調整することで可能な限り連続スプレーする手順とし、並行した操作を

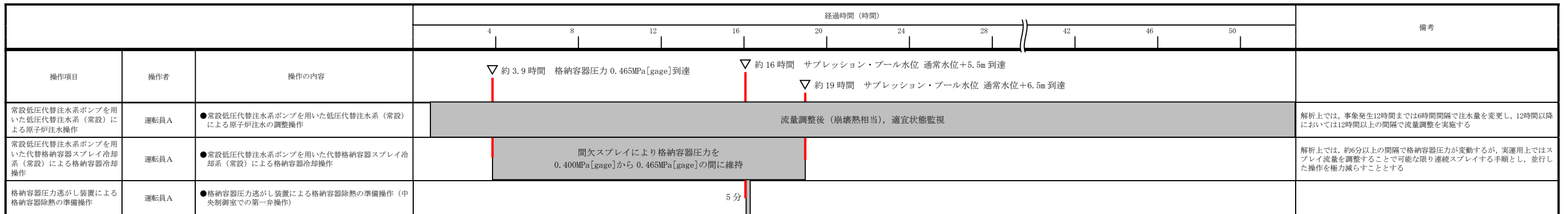
極力減らすこととする。また、③の操作について、解析上の最も早い操作間隔は格納容器下部水位 2.75m でペデスタル（ドライウエル部）注水を停止してから 2.25m 到達により再開するまでの約 10 分間となるが、実運用上では崩壊熱相当の注水量に変更することで可能な限り連続注水する手順とし、並行した操作を極力減らすこととする。

3. まとめ

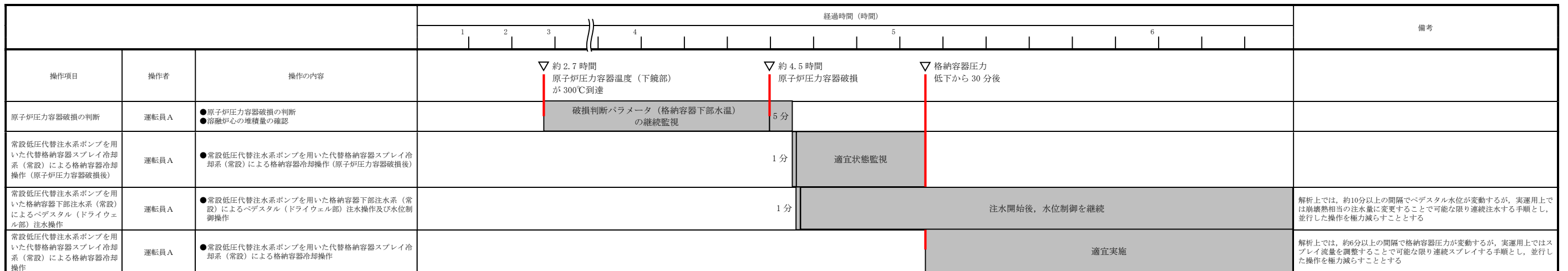
炉心損傷後の操作について、並行操作となり得る操作について整理しその影響を評価した。その結果、いずれのケースにおいても、操作の成立性に問題は無いことを確認した。



第 1 図 ケース A における作業と所要時間 (雰囲気圧力・温度による静的負荷 (格納容器過圧・過温破損) (代替循環冷却系を使用できない場合))



第 2 図 ケース B における作業と所要時間 (雰囲気圧力・温度による静的負荷 (格納容器過圧・過温破損) (代替循環冷却系を使用できない場合))



第 3 図 ケース C における作業と所要時間 (高压溶融物放出 / 格納容器雰囲気直接加熱)

原子炉水位不明時の対応について

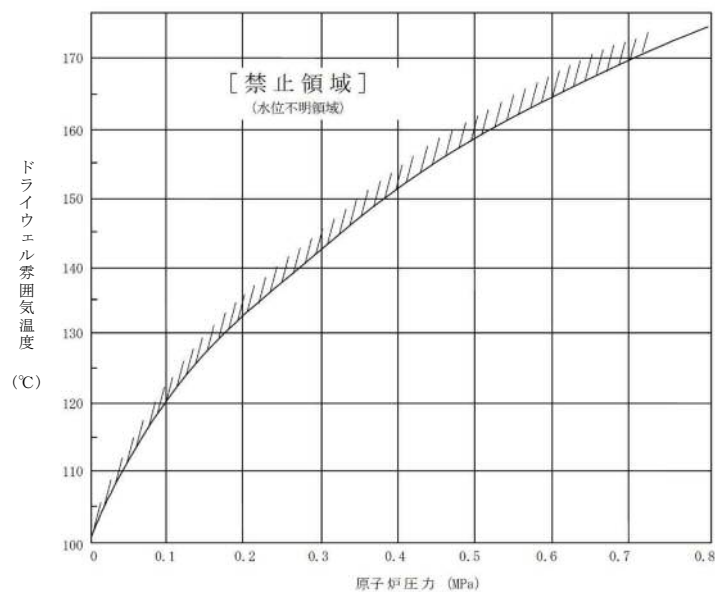
1. 概 要

重大事故等対処設備とする原子炉水位は、原子炉水位（S A広帯域）及び原子炉水位（S A燃料域）があり、それぞれの計測範囲で原子炉压力容器内の水位を確認する。

2. 水位不明判断条件

以下のいずれかに該当する場合、原子炉水位不明と判断する。

- a. 原子炉水位の電源が喪失した場合
- b. 原子炉水位の指示に「ばらつき」があり、原子炉水位が燃料有効長頂部以上であることが判定できない場合
- c. ドライウェル雰囲気温度が、原子炉圧力に対する飽和温度に達した場合（非常時運転手順書Ⅱの中で定める水位不明判断曲線で水位不明領域に入った場合）



第1図 水位不明判断曲線

3. 格納容器破損モード「雰囲気圧力・温度による静的負荷（格納容器過圧・過温破損）」における水位不明時の対応について

有効性評価の格納容器破損モード「雰囲気圧力・温度による静的負荷（格納容器過圧・過温破損）」で想定される事故シーケンスでは、原子炉冷却材喪失（大破断LOCA発生）により、第1図に示す水位不明領域となるため、運転員は水位不明を判断する。水位不明を判断した場合、原子炉水位LOまで冠水させるために必要な水量を注水し、その後、崩壊熱による蒸発量相当の注水量に流量調整することで、損傷炉心の冷却を維持することとする。

4. 炉心損傷後における水位不明判断時の対応手順について

上記のとおり、炉心損傷後の対応手順として、水位不明を判断し外部水源に期待した原子炉注水を実施する場合には、手順に従い、第1表に示す原子炉水位LOまで水位回復させるために必要な注水時間を $230\text{m}^3/\text{h}$ 以上で継続して注水する。原子炉水位LO到達後に崩壊熱による蒸発量相当の注水量よりも多い注水量で注水する場合には、原子炉に持ち込んだ水がLOCA破断口から格納容器へ流出しサプレッション・プール水位の上昇につながるため、格納容器圧力逃がし装置による格納容器除熱の開始時間が早まる。そのため、原子炉水位LO到達までに必要な注水時間の注水を実施した後は、格納容器圧力逃がし装置による格納容器除熱を可能な限り遅延させ環境への影響を低減させるため、崩壊熱による蒸発量相当の注水量とする。

なお、代替循環冷却系の起動等によりサプレッション・チェンバを水源とした原子炉注水に切り替える場合には、崩壊熱による蒸発量相当の注水量には変更せず、所定の流量での注水を継続する。

第1表に示す必要注水時間は、原子炉底部から原子炉水位LOまで冠水させるために必要な注水量に加え、注水開始時点での崩壊熱除去に必要な注水量

を考慮し設定した。

第1表 水位不明時の必要注水時間

| 原子炉水位L0到達までに必要な注水時間 (注水流量230m ³ /h以上) | |
|---|------|
| 原子炉注水開始時間 (原子炉停止後の経過時間) | 注水時間 |
| 5分～ | 55分 |
| 10分～ | 50分 |
| 15分～ | 45分 |
| 25分～ | 40分 |
| 1時間～ | 35分 |
| 12時間～ | 30分 |

5. 水位不明判断時の原子炉水位の推定手段について

上記のとおり、水位不明と判断した場合、原子炉注水流量及び必要な注水時間により、原子炉水位L0位置までの水位回復を判断する。

その後、原子炉水位をL0以上で維持するためには、崩壊熱による蒸発量相当の注水量以上での注水の継続及び原子炉圧力容器下部が健全であることが必要となる。仮に原子炉圧力容器下部からの漏えいが生じている場合には、原子炉水位L0以上を維持できない可能性があるが、漏えい水がペデスタル（ドライウェル部）へ落下することで、格納容器下部水位及び格納容器下部水温が上昇すると考えられるため、以下のパラメータによって損傷炉心の冷却維持を判断することとする。

- ・崩壊熱相当の注水量以上で原子炉注水を継続していること
- ・格納容器下部水位又は格納容器下部水温の上昇がないこと

代替循環冷却系等のサプレッション・チェンバを水源とした注水手段を確保できる場合には、崩壊熱相当及び漏えいを補う注水量以上で注水を継続することで、原子炉圧力容器下部からの漏えいが生じている場合でも、サプレッション・プールの水位上昇を防止しつつ損傷炉心の冷却維持を図る。

一方、代替循環冷却系が使用できない場合において、原子炉圧力容器下部からの漏えいが生じている場合等には、原子炉水位L0到達の判断後に原子炉注水を崩壊熱による蒸発量相当の注水量とすると、原子炉水位が低下し損傷炉心の冷却維持ができない可能性がある。この場合、その後の事象進展により原子炉下部プレナムへ熔融炉心が移行することになるが、原子炉圧力容器温度（下鏡部）が300℃に到達した時点で、損傷炉心の冷却失敗を判断し、原子炉圧力容器破損に備えた対応を実施することとする。

上記のとおり、崩壊熱による蒸発量相当の注水量に調整した場合、損傷炉心の冷却維持ができず、いずれは原子炉圧力容器の破損に至る可能性があるが、崩壊熱による蒸発量相当の注水量に調整しない場合（流量低下しない場合）においても、いずれはサプレッション・プール水位の上昇により格納容器圧力逃がし装置による格納容器除熱操作を実施することとなり、サプレッション・チェンバからのベントライン水没防止のために原子炉注水を崩壊熱による蒸発量相当の注水量に減少させる必要があり、その後、原子炉圧力容器の破損に至ることになる。

そのため、格納容器下部水位及び格納容器下部水温の上昇等により、損傷炉心の冷却失敗の兆候を確認した場合には、原子炉注水流量を増加させることはせず、原子炉水位L0到達を判断した時点で崩壊熱による蒸発量相当の注水量に変更することにより、サプレッション・プール水位上昇を抑制し、格納容器圧力逃がし装置による格納容器除熱操作の実施を可能な限り遅延させることとする。したがって、破断位置等の違いによる注水手順の差異は生

しない。

上記の原子炉水位不明時における原子炉水位の推定手段について第2表に示す。なお、流量計指示が正常な状況で崩壊熱による蒸発量相当の注水が失敗している場合には、流量計下流での注水配管の破断による漏えいが考えられるが、その場合に有意な変化を示すと考えられるパラメータを第3表に示す。格納容器スプレイの実施によりドライウェル雰囲気温度・圧力の上昇が継続しない等、状況によっては正確な判断が難しい場合が存在するが、第3表に記載の場合は注水失敗の傾向を判断することが可能と考えられる。ただし、注水が失敗している傾向を確認した場合においても崩壊熱による蒸発量相当の注水を継続し、最終的には原子炉圧力容器表面温度（下鏡部）が300℃に到達した時点で注水不可を判断することとする。

第2表 原子炉水位不明時における原子炉水位の推定手段

| 推定事項 | 判断パラメータ |
|--|--|
| 原子炉水位L0までの水位回復判断 | 原子炉注水流量と必要注水時間 |
| 損傷炉心の冷却維持判断 (原子炉水位L0以上の水位維持) | 原子炉水位L0到達判断後, 以下の全てを満たすことで損傷炉心の冷却維持を判断する <ul style="list-style-type: none"> ・ 原子炉注水流量 : 崩壊熱による蒸発量相当の注水量の確保 ・ 格納容器下部水位 : 上昇がないこと ・ 格納容器下部水温 : 上昇がないこと |
| 損傷炉心の冷却失敗判断 (原子炉水位L0以下に低下, 炉心損傷の進展) | 原子炉圧力容器温度(下鏡部) : 300℃到達 |

第3表 パラメータ推移

| 漏えい箇所 | パラメータの推移 |
|------------------|--|
| 原子炉建屋内で漏えいしている場合 | <ul style="list-style-type: none"> ・ 原子炉建屋内の漏えい検知設備の作動により, 注水系統からの漏えいを判断可能な場合がある ・ 原子炉圧力容器内に崩壊熱による蒸発量相当の注水できていない場合, 発生した蒸気が炉心部で過熱され, 過熱蒸気として格納容器内に流出するため, 格納容器スプレイを実施していない場合においては, ドライウェル雰囲気温度・圧力の上昇が継続する可能性がある ・ 常設低圧代替注水系ポンプの吐出圧力低下や低圧代替注水系(常設)の流量増加によって漏えいを判断可能な場合がある |
| 格納容器内で漏えいしている場合 | <ul style="list-style-type: none"> ・ 原子炉へ注入する冷却水がドライウェルからベント管を通じてサプレッション・チェンバに移行することで, サプレッション・プール水位が上昇する可能性がある ・ 原子炉圧力容器内に崩壊熱による蒸発量相当の注水できていない場合, 発生した蒸気が炉心部で過熱され, 過熱蒸気として格納容器内に流出するため, 格納容器スプレイを実施していない場合においては, ドライウェル雰囲気温度・圧力の上昇が継続する可能性がある ・ 常設低圧代替注水系ポンプの吐出圧力低下や低圧代替注水系(常設)の流量増加によって漏えいを判断可能な場合がある |

常設低圧代替注水系ポンプの機能確保の妥当性について

1. 常設低圧代替注水系ポンプの機能

常設低圧代替注水系ポンプは以下の 5 つの機能に期待している。

- ・ 原子炉水位を維持し炉心損傷の防止及び炉心損傷の進展を防止するための低圧代替注水機能
- ・ 格納容器の過圧・過温破損防止のための代替格納容器スプレイ機能
- ・ 格納容器内での溶融炉心の冷却のためのペデスタル（ドライウェル部）注水機能
- ・ 格納容器のトップヘッドフランジ部からの漏えいを抑制するための格納容器頂部注水機能
- ・ 使用済燃料プール水位を維持し燃料損傷を防止するための代替使用済燃料プール注水機能

2. 常設低圧代替注水系ポンプの機能確保について

(1) 単一の機能に期待する場合

常設低圧代替注水系ポンプは、各注水先の最大流量を包絡する注水量を確保できる設計としている。

常設低圧代替注水系ポンプにより注水する際の系統構成は、中央制御室からの遠隔操作により行い、現場操作は不要である。また、各注水先へ注水する際の操作の相違点は、開操作する弁の違いのみであり、各弁の操作も中央制御室からの遠隔操作が可能であることから、困難な操作はない。

このように、常設低圧代替注水系ポンプの単一の機能の確保については問題ないと考えられる。

(2) 複数の機能に期待する場合

常設低圧代替注水系ポンプは、複数個所への同時注水を想定したものとなっており、想定する同時注水の組合せで必要流量が確保できる設計としている。また、想定する同時注水の組合せで、重大事故等による影響の緩和が可能であることを有効性評価にて示している。

① 原子炉注水と格納容器スプレー

大破断 L O C A が発生し、非常用炉心冷却系からの注水に失敗した場合、低圧代替注水系（常設）による原子炉注水と代替格納容器スプレー冷却系（常設）による格納容器冷却を同時に実施する。この場合の最大流量の組合せは、原子炉注水 $230\text{m}^3/\text{h}$ 、格納容器スプレー $130\text{m}^3/\text{h}$ であるが、この条件で炉心の冷却並びに格納容器圧力及び雰囲気温度の上昇を抑制できることを有効性評価で確認するとともに、この流量が確保できる設計としている。なお、上記以外の同時注水については、原子炉へは崩壊熱相当での注水となるため、上記注水流量を超えることはない。

② 原子炉注水とペDESTAL（ドライウエル部）注水

大破断 L O C A が発生し非常用炉心冷却系からの注水に失敗し、低圧代替注水系（常設）による原子炉注水及び代替格納容器スプレー冷却系（常設）による格納容器冷却に成功した場合、原子炉水位 L O 到達後に格納容器冷却を停止し、原子炉注水とペDESTAL（ドライウエル部）の水張りを実施する。この場合の最大流量の組合せは、原子炉注水として崩壊熱相当の流量、ペDESTAL（ドライウエル部）の水張りとして $80\text{m}^3/\text{h}$ であるが、この条件で炉心の冷却及びペDESTAL（ドライウエル部）の必要水位を確保できることを有効性評価にて確認するとともに、この流量が確保できる設計としている。

③ 格納容器スプレーとペDESTAL（ドライウエル部）注水

原子炉注水に失敗し、原子炉圧力容器が破損する場合、格納容器スプレイとペDESTAL（ドライウェル部）への注水を同時に実施する。この場合の最大流量の組合せは、格納容器スプレイ 300m³/h、ペDESTAL（ドライウェル部）注水 80m³/h であるが、この条件で格納容器圧力及び雰囲気温度の上昇の抑制並びにペDESTAL（ドライウェル部）に落下した溶融炉心の冷却等ができることを有効性評価で確認するとともに、この流量を確保できる設計としている。

④ その他注水先の組合せ

その他の組合せとして、格納容器頂部又は使用済燃料プールへの注水が重畳することも考えられる。これら注水先へは、間欠的に注水を行い一定量の水位を維持するため、①、②及び③の最大流量の注水等と異なるタイミング又は系統の余力で注水等を行うため、対応が可能である。

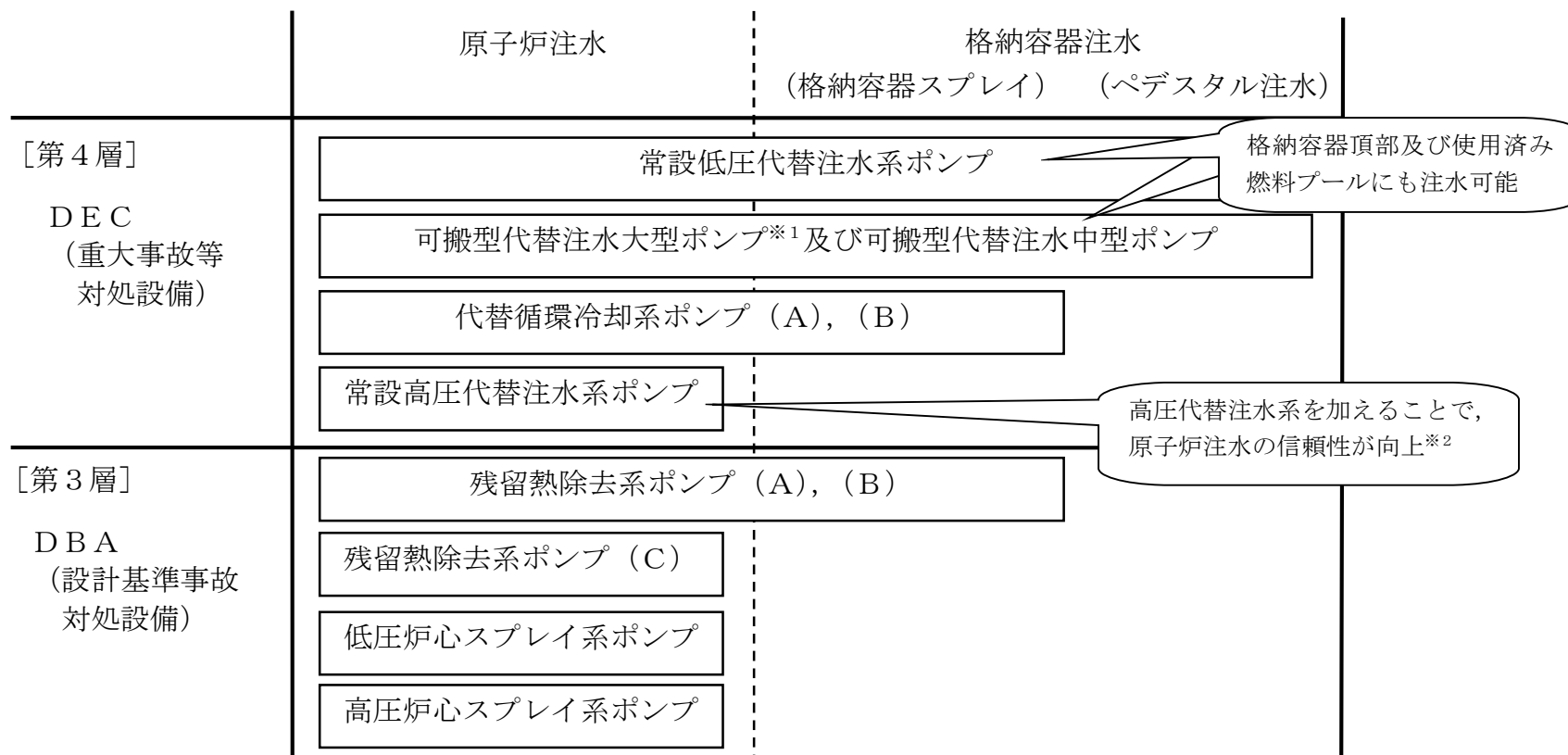
また、複数の注水先に注水するための操作については、各注水先へ注水するための操作に必要な時間を考慮した有効性評価により、炉心冷却や溶融炉心の冷却等ができることを確認している。

以上より、常設低圧代替注水系ポンプの複数の機能の確保についても問題ないと考えられる。

3. 常設低圧代替注水系ポンプの機能の冗長性について

低圧代替注水系（常設）による原子炉注水については、原子炉隔離時冷却系、高圧代替注水系及び代替循環冷却系を用いた手段に加え、アクセスルート確保の確認した後であれば低圧代替注水系（可搬型）によって機能を補うことも可能である。また、格納容器スプレイについては、代替循環冷却系及び代替格納容器スプレイ冷却系（可搬型）、ペDESTAL（ドライウェル部）

注水については格納容器下部注水系（可搬型）、格納容器頂部注水については格納容器頂部注水系（可搬型）、使用済燃料プール注水については可搬型代替注水大型ポンプ及び可搬型代替注水中型ポンプによる代替燃料プール注水系（注水ライン）によって機能を補うことも可能である。このように、常設低圧代替注水系ポンプの各機能については冗長性を持たせることで機能強化を図っている。機能強化のイメージを第1図に示す。



※1 可搬型設備でありアクセスルート復旧までは期待できないが、信頼性を向上させている。

※2 TQUV, TW (LUHS, RHR機能喪失)等の原子炉冷却材圧力バウンダリの喪失(LOCA等)を除く事故に対して初期炉心冠水維持が可能

第1図 第3層及び第4層にて期待する注水設備

原子炉建屋から大気中へ漏えいする Cs-137 の漏えい量評価について

本資料では、「原子炉建屋から大気中へ漏えいする Cs-137」の放出量評価について示す。

なお、本評価では、原子炉建屋ガス処理系が起動するまでの間、格納容器から原子炉建屋に漏えいした放射性物質は、瞬時に原子炉建屋から大気中へ漏えいするものとして、放出量を保守的に評価しているが、下記のとおり、格納容器の健全性が維持されており、原子炉建屋の換気空調系が停止している場合は、格納容器から原子炉建屋に漏えいした放射性物質の一部は、原子炉建屋内で沈着又は時間減衰するため、大気中への放出量は本評価結果より少なくなると考えられる。

- ・ 格納容器が健全な場合、格納容器内の放射性物質は、格納容器圧力に応じて原子炉建屋へ漏えいするものとしている。漏えいした放射性物質の一部は、原子炉建屋内での重力沈降等に伴い、原子炉建屋内に沈着すると考えられる。
- ・ 原子炉建屋内の換気空調系が停止している場合、原子炉建屋内外における圧力差が生じにくく、原子炉建屋内外での空気のやり取りは多くないと考えられるため、漏えいした放射性物質の一部は原子炉建屋内に滞留し、時間減衰すると考えられる。

1. 評価条件

放出量評価条件を第 1 表、大気中への放出過程及び概略図を第 1 図及び第 2 図に示す。

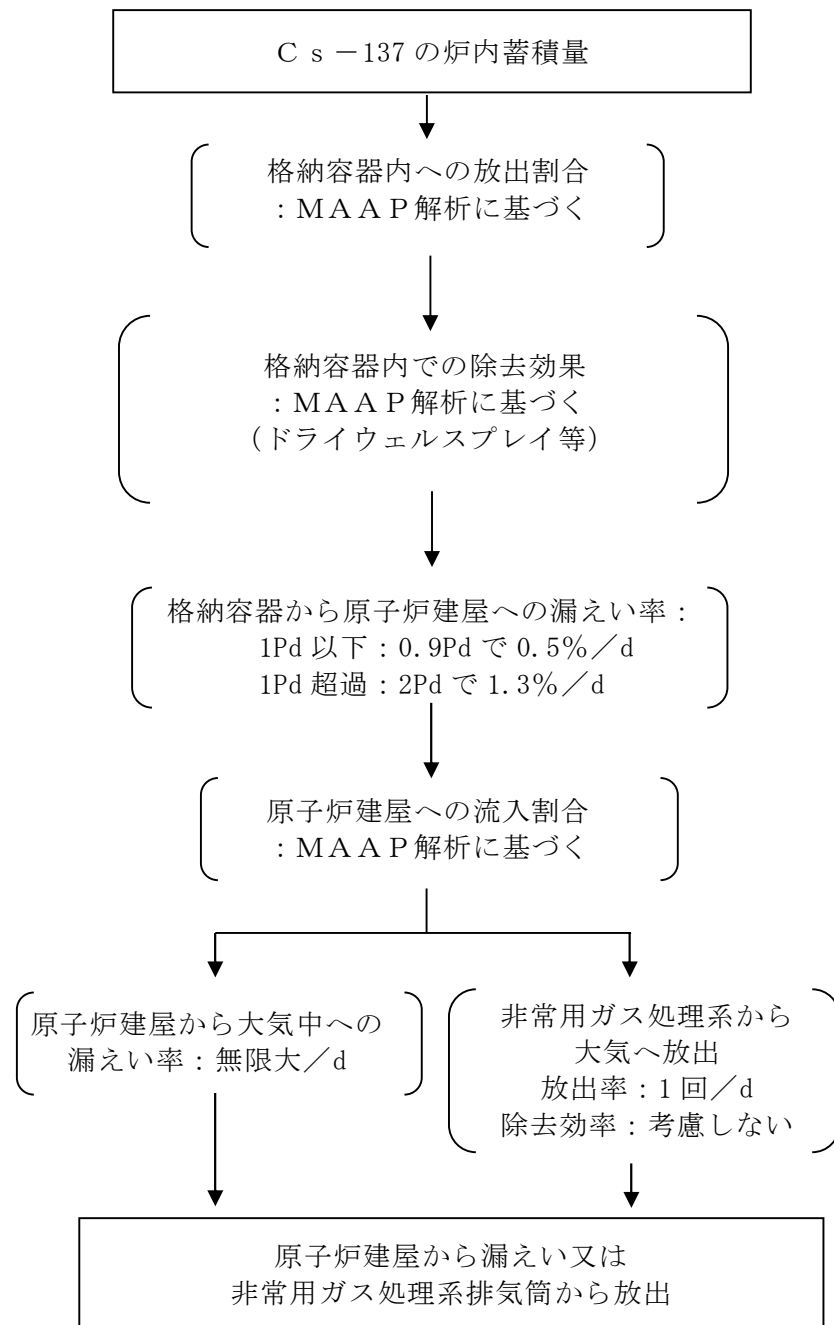
第1表 放出量評価条件 (1/2)

| 項目 | 評価条件 | 選定理由 |
|-------------------------|---|---|
| 評価事象 | 「大破断LOCA+高圧炉心冷却失敗+低圧炉心冷却失敗」(代替循環冷却系を使用する場合)(全交流動力電源喪失の重畳を考慮) | — |
| 炉心熱出力 | 3,293MW | 定格熱出力 |
| 運転時間 | 1サイクル当たり 10,000時間(416日) | 1サイクル13ヶ月(395日)を考慮して設定 |
| 取替炉心の燃料装荷割合 | 1サイクル:0.229 2サイクル:0.229 3サイクル:0.229 4サイクル:0.229 5サイクル:0.084 | 取替炉心の燃料装荷割合に基づき設定 |
| 炉内蓄積量 (Cs-137) | 約 4.36×10^{17} Bq | 「単位熱出力当たりの炉内蓄積量(Bq/MW)」 ×「3,293MW(定格熱出力)」 (単位熱出力当たりの炉内蓄積量(Bq/MW)は、BWR共通条件として、東海第二と同じ装荷燃料(9×9燃料(A型))、上記の運転時間及び取替炉心の燃料装荷割合で算出したABWRのサイクル末期の値*を使用) |
| 放出開始時間 | 格納容器漏えい:事象発生直後 | MAAP解析結果 |
| 格納容器内への放出割合 (Cs-137) | 0.49 | MAAP解析結果 |
| 格納容器の漏えい孔における捕集効果 | 考慮しない | 保守的に設定 |
| 格納容器内での除去効果 | MAAP解析に基づく(沈着, サプレッション・プールでのスクラビング及びドライウェルスプレイ) | MAAPのFP挙動モデル |
| 格納容器内pH制御の効果 | 考慮しない | サプレッション・プール水pH制御設備は、重大事故等対処設備に位置付けていないため、保守的に設定 |

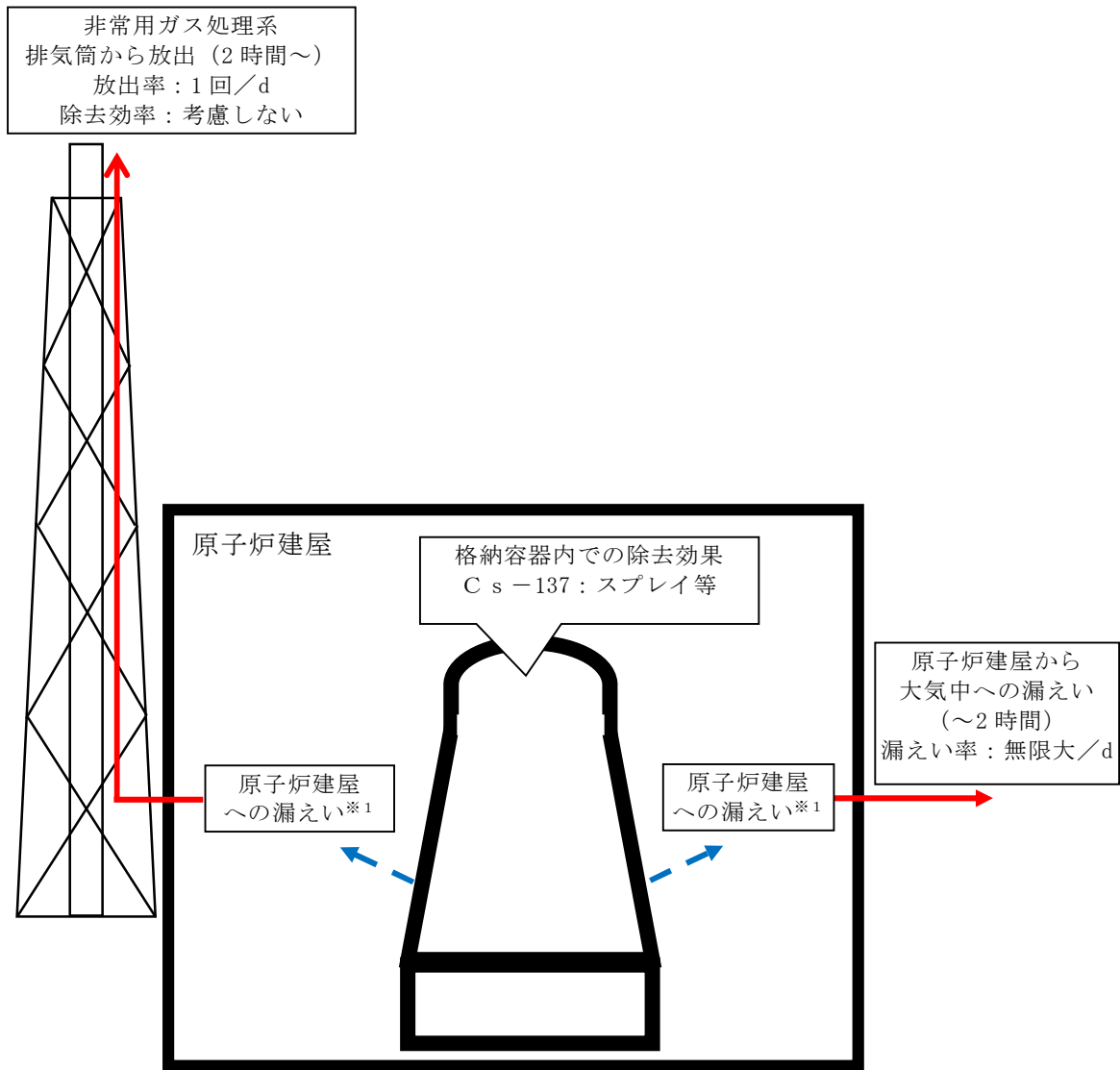
※ 東海第二発電所(BWR5)に比べて炉心比出力が大きく、単位熱出力当たりの炉内蓄積量を保守的に評価するABWRの値を使用。

第 1 表 放出量評価条件 (2/2)

| 項 目 | 評価条件 | 選定理由 |
|--|--|---|
| 格納容器から原子炉建屋への漏えい率 | 1Pd以下：0.9Pdで0.5%/d 1Pd超過：2Pdで1.3%/d | M A A P 解析にて格納容器の開口面積を設定し格納容器圧力に応じ漏えい率が変化するものとし、格納容器の設計漏えい率(0.9Pdで0.5%/d) 及びA E Cの式等に基づき設定(添付資料 3.1.2.5 参照) |
| 格納容器から原子炉建屋への漏えい割合 | C s I 類 : 約 2.41×10^{-5} C s O H 類 : 約 1.66×10^{-5} | M A A P 解析結果 |
| 原子炉建屋から大気への漏えい率(非常用ガス処理系及び非常用ガス再循環系の起動前) | 無限大/d(地上放出) (格納容器から原子炉建屋へ漏えいした放射性物質は、瞬時に大気へ漏えいするものとして評価) | 保守的に設定 |
| 非常用ガス処理系から大気への放出率(非常用ガス処理系及び非常用ガス再循環系の起動後) | 1回/d(排気筒放出) | 設計値に基づき設定 (非常用ガス処理系のファン容量) |
| 非常用ガス処理系及び非常用ガス再循環系の起動時間 | 事象発生から2時間後 | 起動操作時間(115分) +負圧達成時間(5分) (起動に伴い原子炉建屋原子炉棟内は負圧になるが、保守的に負圧達成時間として5分を想定) |
| 非常用ガス処理系及び非常用ガス再循環系のフィルタ除去効率 | 考慮しない | 保守的に設定 |
| 原子炉建屋外側ブローアウトパネルの開閉状態 | 閉状態 | 原子炉建屋原子炉棟内の急激な圧力上昇等による原子炉建屋外側ブローアウトパネルの開放がないため (別添参照) |



第1図 Cs-137の大気放出過程



※1 格納容器から原子炉建屋への漏えい率
 1Pd 以下 : 0.9Pd で 0.5%/d, 1Pd 超過 : 2Pd で 1.3%/d

| | | | | |
|-----------------|----|-------------------|------|-------|
| 大気への放出経路 | 0h | ▼2h ^{※2} | ▼19h | 168h▼ |
| 原子炉建屋から大気中への漏えい | | | | |
| 非常用ガス処理系排気筒から放出 | | | | |

※2 非常用ガス処理系の起動により原子炉建屋原子炉棟内は負圧となるため、事象発生2時間以降は原子炉建屋から大気中への漏えいはなくなる。

第2図 大気放出過程概略図 (イメージ)

2. 評価結果

原子炉建屋から大気中へのCs-137の漏えい量を第2表に示す。

原子炉建屋から大気中へのCs-137の漏えい量は、約7.5TBq（事象発生7日間）であり、評価項目の100TBqを下回っている。

また、事象発生7日間以降の影響を確認するため評価した、事象発生30日間、100日間における大気中へのCs-137の漏えい量は、ともに約7.5TBqであり、いずれの場合においても100TBqを下回っている。

なお、事象発生7日以降の長期解析においては、事象発生約40日後[※]に格納容器内水素燃焼防止の観点で格納容器圧力逃がし装置による格納容器除熱（以下「格納容器ベント」という。）を実施し、事象発生100日まで格納容器ベントを継続しているが、格納容器の除熱機能、格納容器への窒素注入機能及び格納容器内の可燃性ガスの濃度制御系機能が確保できた場合には、格納容器ベントを停止する運用とする。

※ 第3.1.2-17図に示す格納容器圧力の推移では、格納容器の圧力を高く評価するために格納容器からの漏えいを考慮しておらず、約46日後に酸素濃度が4.3vol%に到達し格納容器ベントを実施している

第2表 大気中へのCs-137の漏えい量

| 事象発生7日間 | 事象発生30日間 | 事象発生100日間 |
|---------|----------|----------------------|
| 約7.5TBq | 約7.5TBq | 約7.5TBq [※] |

※ 格納容器圧力逃がし装置から大気中への放出量を含む（事象発生約40日後から事象発生100日まで格納容器ベント実施）

ブローアウトパネルの重大事故等対処設備としての機能について

1. はじめに

原子炉建屋外側ブローアウトパネル(以下「ブローアウトパネル」という。)は、主蒸気管破断のようにプラント運転中に格納容器外で配管が破断した場合等に、高圧の蒸気が原子炉建屋原子炉棟内に漏えい・浸入することにより生じる建屋内の圧力上昇によって建屋内の天井・外壁等が破損することを防止するため、建屋内に損傷箇所(圧力開放箇所)を限定して発生させる目的で、原子炉建屋オペレーティングフロア等に設置している。

2. ブローアウトパネルの機能要求

設計基準対象施設及び重大事故等対処設備としてのブローアウトパネルの機能要求を以下に示す(第1表)。

(1) 設計基準対象施設としての機能

① 放射性物質の閉じ込め機能

「第三十二条 原子炉格納施設」において原子炉建屋ガス処理系の設置要求があり、ブローアウトパネルの閉じ込め機能は原子炉建屋ガス処理系運転時の負圧達成に必要な機能であることから、設計基準対象施設として当該機能を有しているものと整理する。

② 差圧による開放機能

「第九条 溢水による損傷の防止等」における原子炉建屋原子炉棟内環境条件評価として、主蒸気管等の高エネルギー配管に対して大規模な破断が生じた際には速やかにブローアウトパネルの開放によって建屋外に圧力を排出することで原子炉建屋原子炉棟内の圧力が著しく上昇することはな

いとしていることから、設計基準対象施設として当該機能を有しているものと整理する。

(2) 重大事故等対処設備としての機能

① 放射性物質の閉じ込め機能

ブローアウトパネルの放射性物質の閉じ込め機能は、原子炉建屋ガス処理系により原子炉建屋原子炉棟内の放射性物質を非常用ガス処理系排気筒から放出するとともに、原子炉建屋原子炉棟内の負圧達成に必要な機能となる。そのため、「第五十九条 原子炉制御室」における居住性評価の条件として必要な機能となることから、重大事故等対処設備として必要な機能として整理する。ただし、第2表に示すとおり、建屋内圧力上昇等によりブローアウトパネルが開放される状態で、放射性物質の閉じ込め機能として評価上の影響がない事象においては、当該機能の要求はないものとする。

② 差圧による開放機能

差圧による開放機能は、インターフェイスシステムLOCA（以下、「IS-LOCA」という。）が発生した場合に原子炉建屋原子炉棟内に漏えいした水蒸気等を排出し、IS-LOCAによる破断箇所の隔離のための現場操作時の環境条件（温度、圧力等）を緩和する機能を有している。ただし、東海第二発電所においては、炉心損傷防止対策の有効性評価「2.7 格納容器バイパス（インターフェイスシステムLOCA）」において、ブローアウトパネルが開放した場合、閉維持した場合の両ケースについて現場での隔離操作の成立性を確認していることから、「第四十六条 原子炉冷却材圧力バウンダリを減圧するための設備」としては、当該機能が重大事故等対処設備として必要な機能とはならないものと整理する。

なお、高エネルギー配管の破断を想定した場合の環境条件については設計基準に包絡される。

3. ブローアウトパネルの機能確保のための設計条件

前項で整理した各機能を確保するための設計条件は下記のとおり。

(1) 放射性物質の閉じ込め機能

閉維持又は再開止（ブローアウトパネル閉止装置による閉止を含む）することによって、原子炉建屋ガス処理系運転時の原子炉建屋原子炉棟内の負圧を維持すること。ただし、第2表に示すとおり、I S - L O C A等の閉じ込め機能に期待しない事象を除く。

(2) 差圧による開放機能

設計差圧 6.9kPa[dif]においてブローアウトパネルが開放し、原子炉建屋原子炉棟内の水蒸気等を外気に排出することで、原子炉建屋原子炉棟内の環境条件を設計基準事故で想定している範囲に抑えること。

4. まとめ

ブローアウトパネルについては、設計基準事故及び重大事故等対策に必要な設備として、放射性物質の閉じ込め機能及び差圧による開放機能が維持可能な設計とする。

第1表 ブローアウトパネルの機能の整理

| | 放射性物質の閉じ込め機能 | 差圧による開放機能 |
|----------------|--------------|------------|
| 設計基準事故対策としての機能 | 有 (第三十二条) | 有 (第九条) |
| 重大事故等対策としての機能 | 有 (第五十九条) | 無 |

第2表 ブローアウトパネルが開放する事象における閉じ込め機能の要求

| 事象 | 開放条件 | 閉じ込め機能 | 考え方 |
|--|---|--------------------------|--|
| インターフェイスシステムLOCA | 建屋内圧力上昇による開放 | 要求なし | 「2.7 格納容器バイパス（インターフェイスシステムLOCA）」において、ブローアウトパネルが開放した場合、閉維持した場合の両ケースについて線量評価を実施し、非居住区域境界外の線量が5mSv未満であることを確認していることから、当該機能が重大事故等対処設備として必要な機能とはならないものと整理する。 |
| 主蒸気管破断等の高エネルギー配管の破断によってブローアウトパネルが開放する運転時の異常な過渡変化 | 建屋内圧力上昇による開放 | 要求あり (格納容器破損防止対策において) | <p>【設計基準】 設計基準における線量評価では原子炉建屋からの地上放出を想定しており、ブローアウトパネルの開閉状態の影響はない。</p> <p>【重大事故等】 ①炉心損傷防止対策 非居住区域境界外の線量評価においては格納容器圧力逃がし装置からの放出量を元に評価しており、格納容器からの漏えい量については影響が軽微であるため考慮していない。そのため、ブローアウトパネルの開閉状態の影響はない。なお、起回事象を主蒸気管破断とした場合の非居住区域境界外の線量として、耐圧強化ベントからの放出による線量約0.62mSvに、設計基準における評価線量約0.18mSvを加えた場合でも、5mSvを下回る。</p> <p>②格納容器破損防止対策 大破断LOCA以外の起回事象においては炉心損傷防止可能であることを確認しているため、主蒸気管破断においても炉心損傷に至らない。 ただし、「3.2 高圧溶融物放出／格納容器雰囲気直接加熱」「3.3 原子炉圧力容器外の溶融燃料－冷却材相互作用」「3.5 溶融炉心・コンクリート相互作用」評価の起回事象として主蒸気管破断を考慮した場合においても中央制御室の居住性評価を満足する条件として、ブローアウトパネル開放後にも再開止等の設備対策によって原子炉建屋ガス処理系使用時の原子炉建屋原子炉棟内負圧達成が可能な設計とする。</p> |
| 竜巻 | ブローアウトパネルの設計作動圧に等しい最大気圧低下量を生じる竜巻風速(約89m/s)による開放 | － | 設計竜巻(100m/s)による荷重に対して安全機能を維持する設計としているが、竜巻によって外部電源喪失が発生する場合を想定する。 ブローアウトパネルの設計作動圧に等しい最大気圧低下量を生じる竜巻風速(約89m/s)が発生する年超過確率は約 5.1×10^{-6} /年である。 また、竜巻による外部電源喪失が想定されるが、外部電源喪失が発生した場合の条件付き炉心損傷確率は、 3.6×10^{-4} /年である。 以上から、竜巻によってブローアウトパネルが開放した状態で、外部電源喪失により炉心損傷する確率は十分低い値となることから、竜巻を起回事象とした重大事故等が発生し、ブローアウトパネルの機能が必要となる可能性は十分低いものと考えられる。 |
| 地震 | 地震動による開放 | 要求あり | 重大事故等対処設備として、地震時においても閉じ込め機能を有する設計とする。 |

格納容器漏えい率の設定について

格納容器から原子炉建屋への漏えい率は、MAAP内で模擬した漏えい孔の等価漏えい面積及び格納容器の圧力に応じて設定している。

模擬する漏えい孔の等価漏えい面積は、以下に示す格納容器圧力が最高使用圧力（310kPa[gage]（1Pd））以下の場合と最高使用圧力を超過した後の場合の2種類を設定する。

1. 格納容器圧力が最高使用圧力以下の場合

格納容器圧力が最高使用圧力以下の場合、設計漏えい率（0.9Pdで0.5%/d）を基に算出した等価漏えい面積（約 $3 \times 10^{-6} \text{m}^2$ ）を設定し、MAAP内で圧力に応じた漏えい量を評価している。

2. 格納容器圧力が最高使用圧力を超過した場合

格納容器圧力が最高使用圧力を超過した場合、2Pdで漏えい率1.3%/dとなる等価漏えい面積（約 $7 \times 10^{-6} \text{m}^2$ ）を設定し、1.と同様にMAAP内で圧力に応じた漏えい量を評価している。

2Pdにおける漏えい率1.3%/dは、以下のAECの評価式、GEの評価式及び定常流の式によって評価した漏えい率の結果を包絡する値として設定した。これらの式は、設計基準事故の原子炉冷却材喪失時の評価において格納容器漏えい率の評価に用いている理論式^{*1}である。格納容器圧力620kPa[gage]（2Pd）及び格納容器雰囲気温度200℃までは、事故後7日間に渡り、格納容器本体並びに開口部及び貫通部の健全性が確保されていることを確認していることから、これらの理論式を用いて格納容器圧力（2Pd）及び雰囲気温度200℃における漏えい率を設定することは可能と判断した。

○A E C の評価式

$$L = L_0 \sqrt{\frac{(P_t - P_a) \times R_t \times T_t}{(P_d - P_a) \times R_d \times T_d}}$$

| | | |
|----------------|--------------------------|-------------------|
| L | : 事故時の格納容器漏えい率 (2Pd) | 【約 1.28%/d】 |
| L ₀ | : 設計漏えい率 (0.9Pd) | 【0.5%/d】 |
| P _t | : 事故時の格納容器圧力 (2Pd) | 【721.325kPa[abs]】 |
| P _d | : 設計圧力 (0.9Pd) | 【380.325kPa[abs]】 |
| P _a | : 格納容器外の圧力 (大気圧) | 【101.325kPa[abs]】 |
| R _t | : 事故時の気体定数 ^{*2} | 【523.7J/Kg・K】 |
| R _d | : 空気の気体定数 | 【287J/Kg・K】 |
| T _t | : 事故時の格納容器雰囲気温度 (200℃) | 【473.15K】 |
| T _d | : 格納容器雰囲気温度 (20℃) | 【293.15K】 |

○G E の評価式 (General Electric 社の漏えいモデル式)

$$L = L_0 \sqrt{\frac{1 - \left(\frac{P_a}{P_t}\right)^2}{1 - \left(\frac{P_a}{P_d}\right)^2}}$$

| | | |
|----------------|----------------------|-------------------|
| L | : 事故時の格納容器漏えい率 (2Pd) | 【約 0.51%/d】 |
| L ₀ | : 設計漏えい率 (0.9Pd) | 【0.5%/d】 |
| P _t | : 事故時の格納容器内圧力 (2Pd) | 【721.325kPa[abs]】 |
| P _d | : 設計圧力 (0.9Pd) | 【380.325kPa[abs]】 |
| P _a | : 格納容器外の圧力 (大気圧) | 【101.325kPa[abs]】 |

○定常流の式

$$L = L_0 \sqrt{\frac{\rho_d(P_t - P_a)}{\rho_t(P_d - P_a)}}$$

| | | |
|----------------|---------------------------------------|-------------------------|
| L | 事故時の格納容器漏えい率 (2Pd) | 【約 0.93%/d】 |
| L ₀ | 設計漏えい率 (0.9Pd) | 【0.5%/d】 |
| ρ _t | 事故時の格納容器内気体の平均密度 ^{※3} | 【2.9kg/m ³ 】 |
| ρ _d | 設計温度・圧力における格納容器内気体の平均密度 ^{※4} | 【4.5kg/m ³ 】 |
| P _t | 事故時の格納容器内圧力 (2Pd) | 【721.325kPa[abs]】 |
| P _d | 設計圧力 (0.9Pd) | 【380.325kPa[abs]】 |
| P _a | 格納容器外の圧力 (大気圧) | 【101.325kPa[abs]】 |

※1 「沸騰水型原子力発電所 事故時の被ばく評価手法について (平成 16 年 1 月)」(株式会社 日立製作所)

※2 事故時の気体定数 R_tは、以下の式により算出した。

$$R_t [\text{J}/\text{kg}\cdot\text{K}] = \text{モル気体定数約 } 8.314 [\text{J}/\text{K}\cdot\text{mol}] / \text{平均分子量 } M [\text{kg}/\text{mol}]$$

AEC の評価式より、事故時の気体定数が大きくなるほど漏えい率は高くなる。また、上記計算式より、事故時の気体定数は、平均分子量が小さくなるほど大きくなる。事故時の格納容器内は水素、窒素及び水蒸気で構成されるため、分子量の小さい水素の割合が増加するほど平均分子量は小さくなり、結果として事故時の気体定数は大きくなる。平均分子量の設定に当たり、水素、窒素及び水蒸気のガス組成を 34% : 33% : 33% とし、水素の割合 (34%) は、有効性評価 (「雰囲気圧力・温度による静的負荷 (格納容器過圧・過温破損) 」) における水素発生量 (約 700kg (内訳 : ジルコニ

ウム－水反応 約 325kg, アルミニウム／亜鉛の反応 約 246kg, 水の放射線分解 約 115kg)) を包含した値であることから, 保守的な設定であると考え
る。

※3 事故時の格納容器内気体の平均密度 ρ_t は, 以下の式により算出した。

$$\rho_t [\text{kg}/\text{m}^3] = \text{平均分子量 } M [\text{kg}/\text{mol}] \times \text{物質質量 } n [\text{mol}] / \text{格納容器体積 } V [\text{m}^3]$$

定常流の式より, 事故時の格納容器内気体の平均密度が小さくなるほど漏えい率は大きくなる。また, 上記計算式より, 事故時の格納容器内気体の平均密度は, 平均分子量が小さくなるほど小さくなる。平均分子量は※2と同じであり, 保守的な設定であると考え。

※4 格納容器内気体の平均密度 ρ_d は, 以下の式により算出した。

$$\rho_d [\text{kg}/\text{m}^3] = 1.205 [\text{kg}/\text{m}^3] \times (P_d [\text{Pa}] / P_a [\text{Pa}])$$

1.205 [kg/m³] : 乾燥空気密度 (20℃)

雰囲気圧力・温度による静的負荷（格納容器過圧・過温破損）
における炉心の損傷状態及び損傷炉心の位置について

1. はじめに

格納容器破損モード「雰囲気圧力・温度による静的負荷（格納容器過圧・過温破損）」の評価事故シーケンスでは、事象発生約 4 分後に燃料被覆管の最高温度は 1,000K（約 727℃）に到達し、炉心損傷が開始する。燃料被覆管の最高温度は事象発生約 9 分後に 1,200℃に到達し、また、事象発生約 27 分後に燃料温度は 2,500K（約 2,227℃）に到達する。事象発生約 25 分後からの低圧代替注水系（常設）による原子炉注水により、原子炉水位は上昇し、原子炉水位 L0 相当に維持される。上記により、炉心は下部プレナム部に移行することなく、原子炉圧力容器内に保持される。ここでは、本事象における炉心の損傷状態、損傷炉心の位置及びシュラウドへの熱影響について評価結果を示す。

2. 評価結果

(1) 炉心の損傷状態

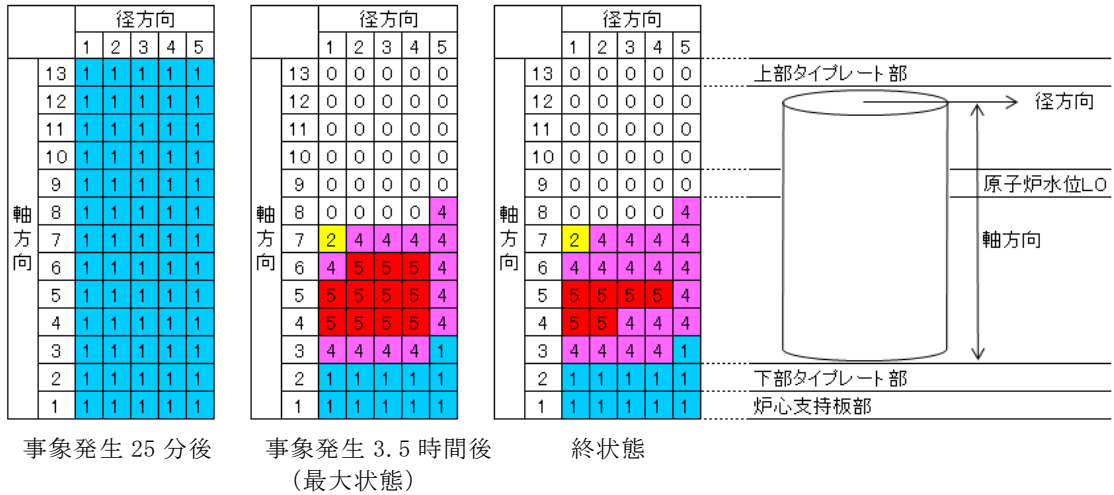
第 1 図に事象発生 25 分後、事象発生約 3.5 時間後（最大状態）及び事象発生 7 日後（終状態）の炉心損傷状態を示す。終状態以降には炉心損傷は拡大しない。

(2) 損傷炉心の位置

第 2 図に炉心位置及び下部プレナムにおける炉心重量の時間変化の推移を示す。第 2 図に示すとおり、損傷炉心は炉心位置に保持される。

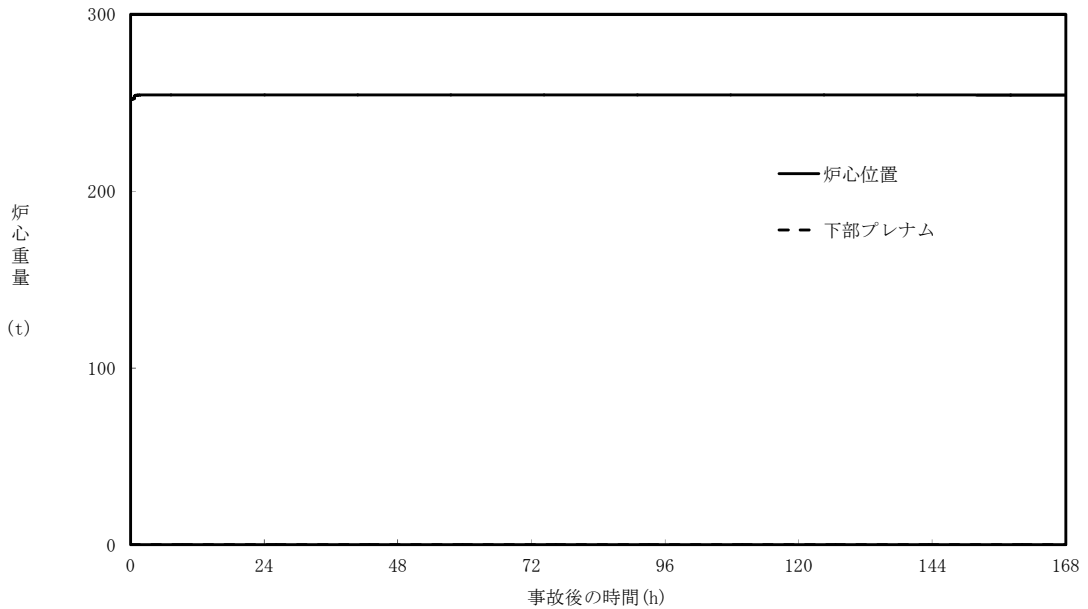
(3) シュラウドへの熱影響

終状態においても、熔融プールは炉心の外周部に至っておらず、シュラウドへの熱影響はない。



- 損傷状態のモデル
- 0 : 空洞
 - 1 : 燃料が自立した状態
 - 2 : 燃料が崩壊した状態
 - 3 : 流路が減少した状態
 - 4 : 流路が閉塞した状態
 - 5 : 熔融プール状態

第 1 図 炉心の損傷状態



第 2 図 炉心位置及び下部プレナムにおける炉心重量の時間変化

水の放射線分解を考慮した場合の格納容器過圧に対する影響について
(雰囲気圧力・温度による静的負荷（格納容器過圧・過温破損）)

1. はじめに

シビアアクシデント解析コードM A A Pでは、水の放射線分解を考慮するモデルとなっていないことから、水の放射線分解による水素及び酸素の発生については、解析コードM A A Pに基づく溶融炉心及び核分裂生成物の崩壊熱から放射線吸収割合及びG値を考慮して算出している（添付資料 3. 4. 1 参照）。

ここでは、解析コードM A A Pでは考慮していない水の放射線分解により発生する水素及び酸素が、格納容器圧力に与える影響を評価する。

2. 評価結果

2.1 代替循環冷却系を使用する場合

解析コードM A A Pにより評価した結果、格納容器圧力が最大値の約 0. 31MPa[gage]を示す事象発生約 164 時間後の格納容器内の非凝縮ガス（水素、酸素及び窒素）の物質量は約 $1. 3 \times 10^6$ mol である。

また、添付資料 3. 4. 1 に従い算出される水の放射線分解によって発生する水素及び酸素の物質量の和は、事象発生約 164 時間後時点で約 $3. 5 \times 10^4$ mol 以下である。

以上から、解析コードM A A Pで評価した非凝縮ガス（水素、酸素及び窒素）の物質量に対する、水の放射線分解によって発生する水素及び酸素の物質量の比は 3%未満であることから、水の放射線分解によって発生する水素及び酸素が格納容器圧力に与える影響は 10kPa[abs]未満であり、無視し得る程度と考えられる。

2.2 代替循環冷却系を使用できない場合

代替循環冷却系が使用できない場合においては、格納容器圧力逃がし装置により水の放射線分解で発生した水素及び酸素が排出されるため、水の放射線分解によって発生する水素及び酸素が格納容器圧力に与える影響はない。

なお、解析コードMAAPで評価した格納容器ベント実施直前の非凝縮性ガス（水素，酸素及び窒素）の物質量（約 $5.5 \times 10^5 \text{ mol}$ ）に対する、添付資料 3.4.1 に従い算出される水の放射線分解によって発生する水素及び酸素の物質量（約 $6.6 \times 10^3 \text{ mol}$ ）の比は2%未満であることから、水の放射線分解によって発生する水素及び酸素が格納容器圧力に与える影響は10kPa[abs]未満であり、無視し得る程度と考えられる。

格納容器雰囲気温度が格納容器の健全性に与える影響について
(雰囲気圧力・温度による静的負荷 (格納容器過圧・過温破損))

1. はじめに

格納容器破損モード「雰囲気圧力・温度による静的負荷 (格納容器過圧・過温破損)」において、格納容器雰囲気温度は、一時的に 200℃を超える評価となっている。ここでは、一時的に 200℃を超えた場合の格納容器の健全性に与える影響について考察する。

2. 格納容器の健全性に与える影響について

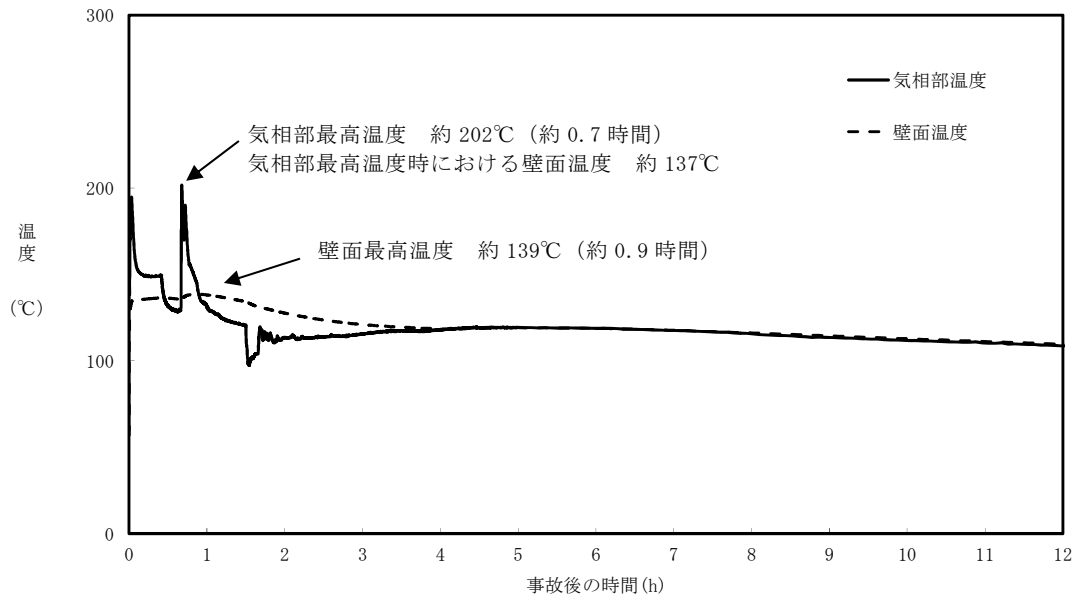
「雰囲気圧力・温度による静的負荷 (格納容器過圧・過温破損)」における格納容器の雰囲気温度と壁面温度の推移を第 1 図に示す。

事象発生後、破断口から流出する蒸気により、格納容器雰囲気温度が上昇し、格納容器スプレイの実施により、温度上昇は抑制されるものの、一時的に評価項目である 200℃以上に到達する評価となる。

格納容器温度によって健全性への影響を受ける可能性のある部位としては、フランジ部等に用いられているシール材であると考えられる。シール材は格納容器壁面温度に近い雰囲気に曝されるため、第 1 図に示すとおり、雰囲気温度が一時的に 200℃を超えたとしてもシール材温度が 200℃に到達することはない。シール材については、「付録 2 原子炉格納容器の温度及び圧力に関する評価」において、格納容器内を 200℃、2Pd に模擬したシール材性能試験にて 7 日間の格納容器の閉じ込め機能を評価しているため問題ない。

3. まとめ

格納容器雰囲気温度は 200℃を若干超えるものの、壁面温度は 200℃以上には到達しない。このため、格納容器の健全性に問題はない。



第1図 格納容器雰囲気温度と壁面温度の推移

安定状態について（雰囲気圧力・温度による静的負荷

（格納容器過圧・過温破損）（代替循環冷却系を使用する場合）

「雰囲気圧力・温度による静的負荷（格納容器過圧・過温破損）（代替循環冷却系を使用する場合）」時の安定状態については以下のとおり。

原子炉安定停止状態：

事象発生後，重大事故等対処設備を用いた損傷炉心冷却により，損傷炉心の冠水が維持可能であり，また，冷却のための設備がその後も機能維持できると判断され，かつ，必要な要員の不足や資源の枯渇等のあらかじめ想定される事象悪化のおそれがない場合，安定停止状態が確立されたものとする。

格納容器安定状態：

損傷炉心を冠水させた後に，重大事故等対処設備を用いた格納容器除熱機能（代替循環冷却系又は格納容器圧力逃がし装置）により，格納容器圧力及び雰囲気温度が安定又は低下傾向に転じ，また，除熱のための設備がその後も機能維持できると判断され，かつ，必要な要員の不足や資源の枯渇等のあらかじめ想定される事象悪化のおそれがない場合，安定状態が確立されたものとする。

【安定状態の確立について】

原子炉安定停止状態の確立について

低圧代替注水系（常設）における注水継続により損傷炉心が冠水し，損傷炉心の冷却が維持され，原子炉安定停止状態が確立される。

格納容器安定状態の確立について

炉心冷却を継続し，事象発生から 90 分後に代替循環冷却系による格納容器除熱を開始することで，格納容器圧力及び雰囲気温度は最高使用圧力・温度以下に維持される。格納容器圧力については，格納容器内の水素燃焼の防止のため格納容器内への窒素注入を実施する運用としていることから，一時的に上昇する期間があるが，上記の除熱機能により最高使用圧力以下に維持され，格納容器安定状態が確立される。

また，重大事故等対策時に必要な要員は確保可能であり，必要な水源，燃料及び電源を供給可能である。

【安定状態の維持について】

上記の格納容器破損防止対策により安定状態を確立できる。

代替循環冷却系を用いて又は残留熱除去系を復旧させ，除熱を行うことにより，安定状態の維持が可能となる。安定状態の維持に関する具体的な要件は以下のとおり。

- ① 格納容器除熱機能として代替循環冷却系の使用又は残留熱除去系復旧による冷却へ移行
- ② 格納容器内の水素及び酸素排出を目的とした格納容器ベント（窒素注入）並びに格納容器内の水素・酸素濃度の制御を目的とした可燃性ガス濃度制御系の復旧
- ③ 上記の安全機能の維持に必要な電源（外部電源），冷却水等の確保
- ④ 長期的に維持される格納容器の状態（温度・圧力）に対し，適切な地震力に対する格納容器の頑健性の確保

（別紙参照）

安定状態の維持について

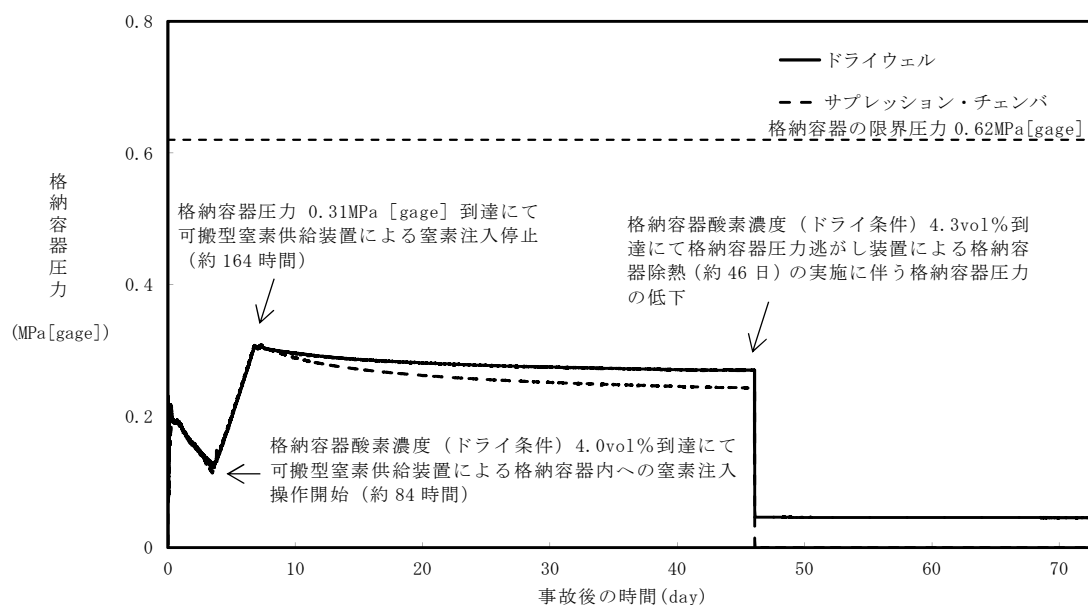
1. サプレッション・プール水温度に関する長期間解析

代替循環冷却系又は格納容器圧力逃がし装置を使用した場合の長期的なサプレッション・プール水温度の挙動を確認するため、有効性評価の対象とした事故シーケンスのうち、サプレッション・プール水温度が高く推移する重大事故として「雰囲気圧力・温度による静的負荷（格納容器過圧・過温破損）（代替循環冷却系を使用する場合）」及び「雰囲気圧力・温度による静的負荷（格納容器過圧・過温破損）（代替循環冷却系を使用できない場合）」について、サプレッション・プール水温度が約 100℃に低下するまでの長期間解析を実施した。

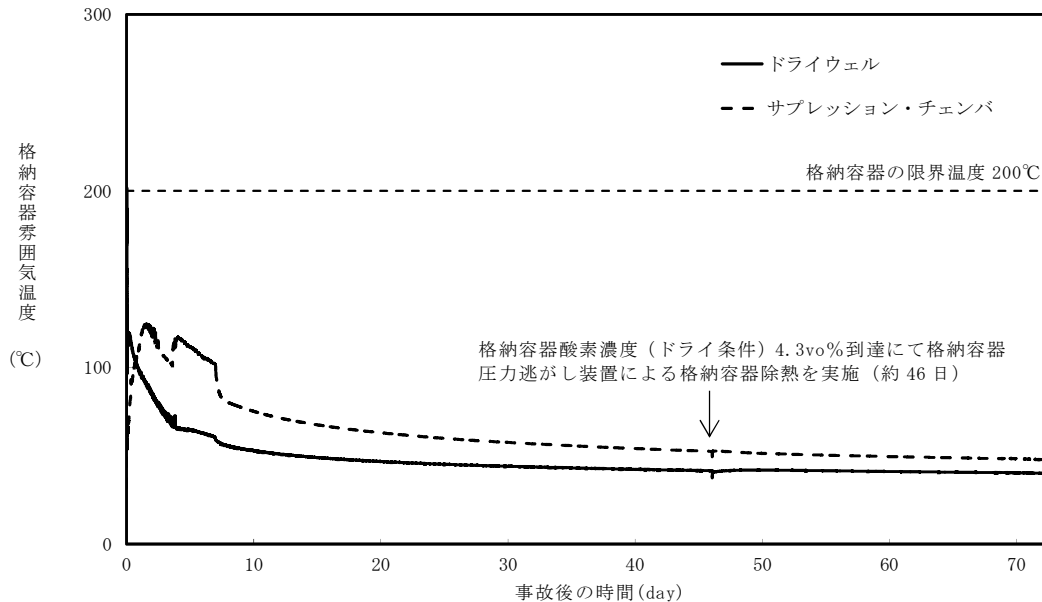
第 1 図から第 3 図に「雰囲気圧力・温度による静的負荷（格納容器過圧・過温破損）（代替循環冷却系を使用する場合）」における格納容器圧力、格納容器雰囲気温度及びサプレッション・プール水温度の解析結果を示す。同様に、第 4 図から第 6 図に「雰囲気圧力・温度による静的負荷（格納容器過圧・過温破損）（代替循環冷却系を使用できない場合）」の解析結果を示す。

第 6 図に示すように、「雰囲気圧力・温度による静的負荷（格納容器過圧・過温破損）（代替循環冷却系を使用できない場合）」においては、事故後 7 日時点では、サプレッション・プール水温度は最高使用温度の 104℃（格納容器設計条件を決定するための冷却材喪失事故時の解析結果での最高温度に余裕をもたせた温度）を上回っているが、事故発生 7 日間以降の 100℃に低下するまでの全期間にわたって 150℃を下回っている。トップヘッドフランジや機器搬入用ハッチに使用されている改良 E P D M 製シール材は一般特性として耐温度性は 150℃であることから、格納容器の放射性物質の閉じ込め機能は維持される。

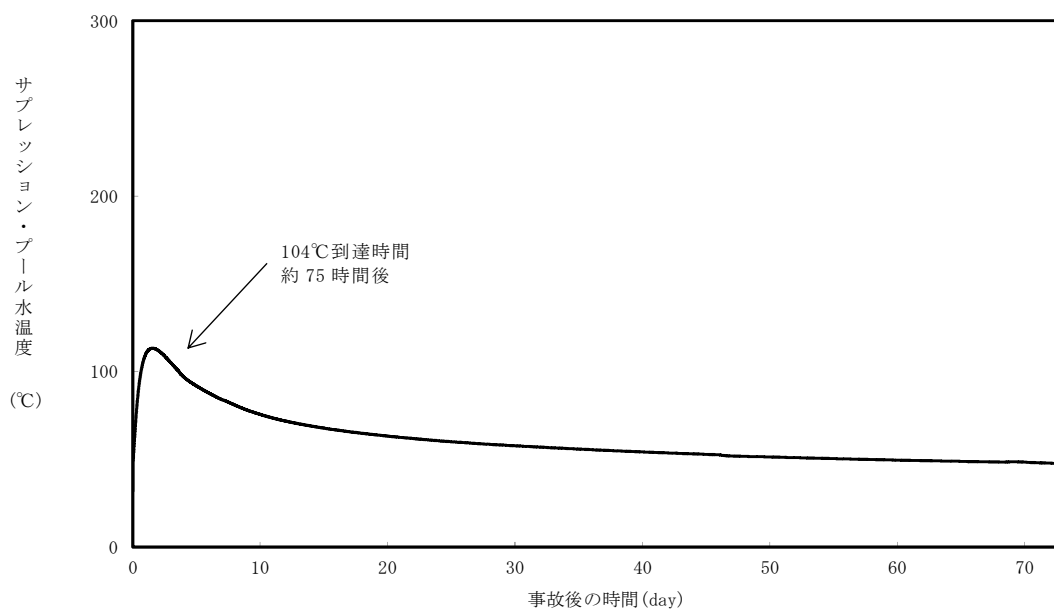
したがって、事故発生7日以降にサプレッション・プール水温度が最高使用温度を上回っていても格納容器の健全性が問題となることはない。



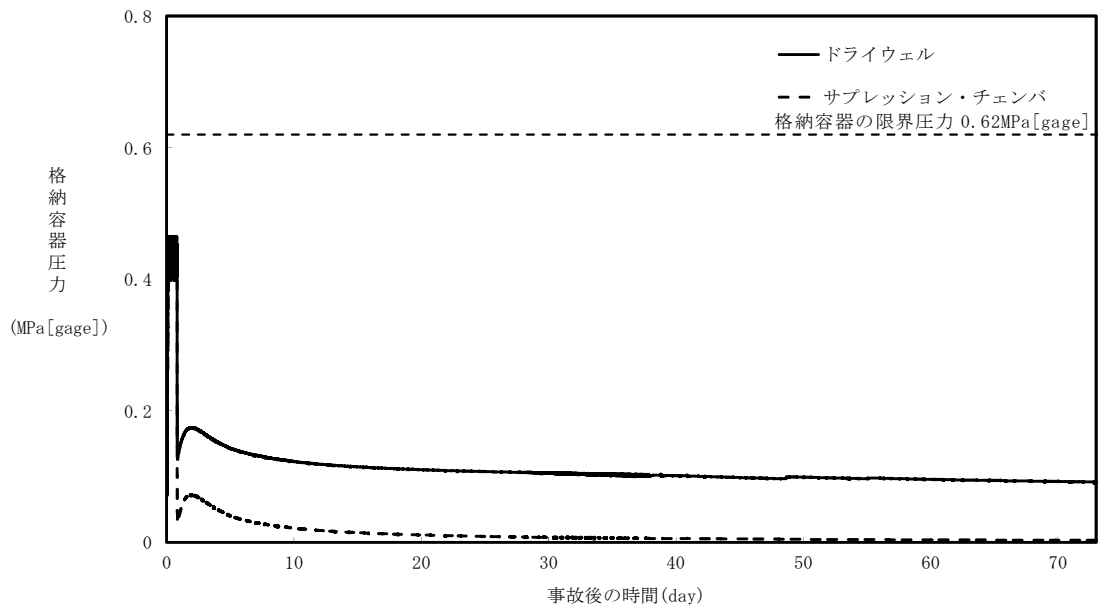
第 1 図 雰囲気圧力・温度による静的負荷（格納容器過圧・過温破損）
（代替循環冷却系を使用する場合）における格納容器圧力の推移



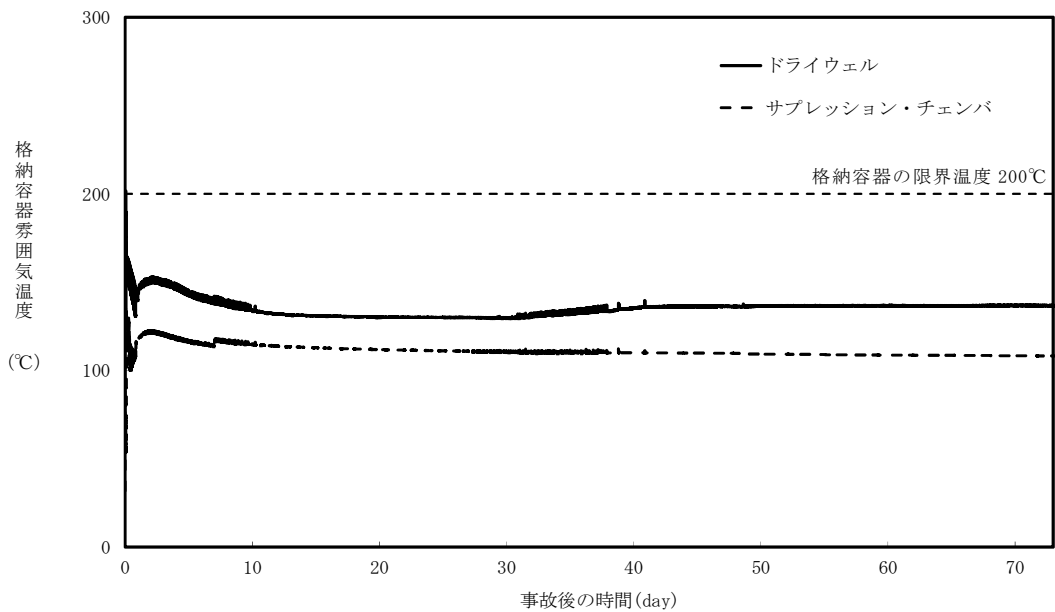
第 2 図 雰囲気圧力・温度による静的負荷（格納容器過圧・過温破損）
（代替循環冷却系を使用する場合）における格納容器雰囲気温度の推移



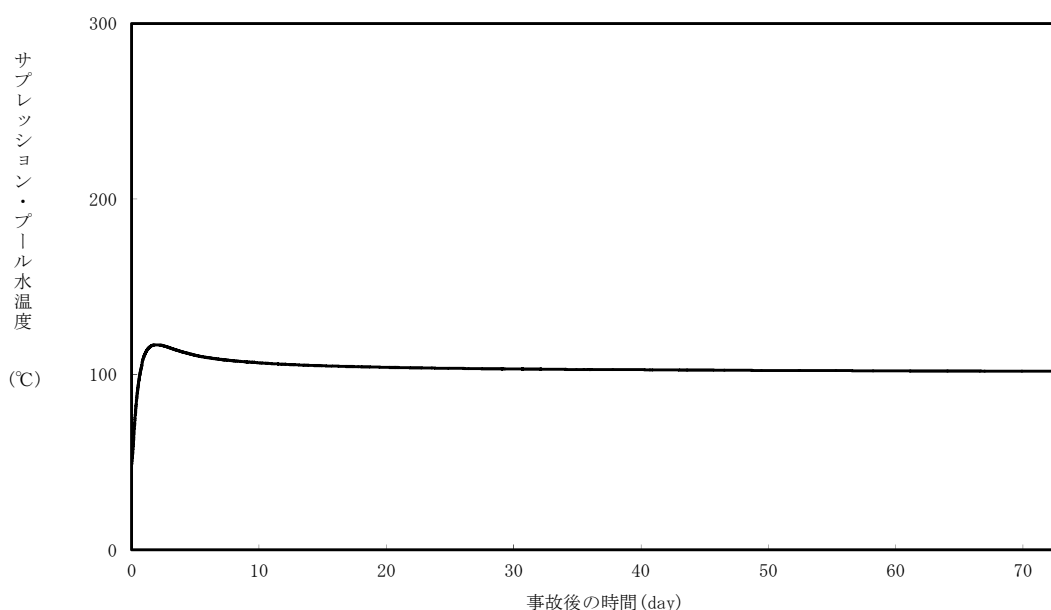
第3図 雰囲気圧力・温度による静的負荷（格納容器過圧・過温破損）
 （代替循環冷却系を使用する場合）における
 サプレッション・プール水温度の推移



第4図 雰囲気圧力・温度による静的負荷（格納容器過圧・過温破損）
 （代替循環冷却系を使用できない場合）における格納容器圧力の推移



第5図 雰囲気圧力・温度による静的負荷（格納容器過圧・過温破損）
 （代替循環冷却系を使用できない場合）における格納容器雰囲気温度の推移



第 6 図 雰囲気圧力・温度による静的負荷（格納容器過圧・過温破損）
（代替循環冷却系を使用できない場合）における
サプレッション・プール水温度の推移

2. 格納容器内の可燃性ガス濃度制御

重大事故時において格納容器圧力逃がし装置により格納容器除熱（以下「格納容器ベント」という。）を実施している場合は、残留熱除去系による格納容器除熱機能が使用可能な状態になり、長期にわたり格納容器の冷却が可能であること、格納容器内の可燃性ガス濃度測定が可能であり、可燃性ガス濃度制御系により格納容器内の水の放射線分解により発生する酸素及び水素を可燃限界濃度に到達することなく制御が可能であることが確認された場合に、格納容器ベントを停止することができる。

残留熱除去系による格納容器除熱は、格納容器スプレイ又はサプレッション・プール水冷却運転で実施する。しかし、長期安定停止状態における格納容器ベント停止後の格納容器除熱は、崩壊熱が低下しているためサプレッション・プール水冷却運転のみで実施可能である。

なお、格納容器スプレイを実施するような場合においては、格納容器内の急激な蒸気凝縮により格納容器圧力が負圧になることを防止するため、格納容器圧力高スクラム設定点を格納容器スプレイ停止設定値としており、運転員は格納容器スプレイ停止操作を行う。残留熱除去系による格納容器スプレイは運転員の操作により実施され、自動的に動作するものではない。

格納容器ベント停止後の格納容器可燃性ガス濃度制御は、可燃性ガス濃度制御系により格納容器内の酸素及び水素を再結合することにより、可燃限界濃度に到達することなく長期安定停止状態を維持することが可能である。

さらに、長期的な保管として、格納容器の不活性化を可搬型窒素供給装置による窒素注入により実施することができる。

格納容器内に存在するアルミニウム／亜鉛の反応により
発生する水素の影響について

1. はじめに

格納容器内では配管の保温材等にアルミニウムを使用しており，サプレッション・プール水 pH 制御装置により注入される水酸化ナトリウムが格納容器内に存在するアルミニウムに被水すると化学反応により水素が発生する。

また，格納容器内のグレーチングには亜鉛メッキが施されており，亜鉛も同様に水酸化ナトリウムと反応して水素が発生する。

以上の化学反応が，格納容器内の水素発生量及び格納容器圧力上昇に与える影響を評価する。なお，実際に水酸化ナトリウムと反応する金属は，格納容器スプレイの飛散範囲と考えられるが，保守的に格納容器内全ての亜鉛とアルミニウムが反応し，水素が発生するとして評価を行う。



2. 影響評価

(1) 格納容器内アルミニウム量及び亜鉛量

格納容器内でアルミニウムを使用している構造物は配管保温材等であり，重量は約 1,027kg である。

一方，格納容器内で亜鉛を使用している構造物はグレーチングの亜鉛メッキ等であり，重量は約 4,244kg である。

(2) アルミニウム及び亜鉛と水酸化ナトリウムの化学反応による水素発生量

a. アルミニウムと水酸化ナトリウムの化学反応によって発生する水素量
式(a)より、アルミニウム 1mol に対して水素発生量は 1.5mol であり、アルミニウムの原子量が 27、水素の原子量が 2 であるため、アルミニウム 9kg に対して水素 1kg が発生する。

b. 亜鉛と水酸化ナトリウムの化学反応によって発生する水素量
式(b)より、亜鉛 1mol に対して水素発生量は 1mol であり、亜鉛の原子量が 65.4、水素の原子量が 2 であるため、亜鉛 32.7kg に対して水素 1kg が発生する。

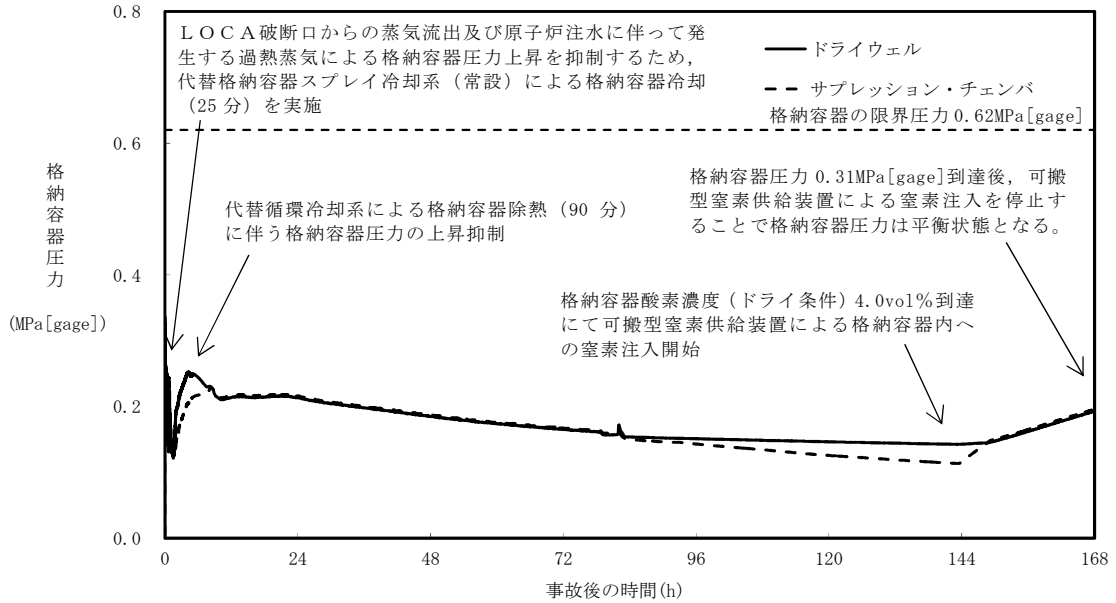
以上より、格納容器内全てのアルミニウム及び亜鉛が水酸化ナトリウムと反応した場合、アルミニウムとの反応により約 115kg、亜鉛との反応により約 131kg の合計約 246kg の水素が発生する。

3. 発生する水素による圧力上昇の影響

発生する水素による格納容器圧力上昇の影響を確認するため、「雰囲気圧力・温度による静的負荷（格納容器過圧・過温）（代替循環冷却系を使用する場合）」シーケンスにおいて、事象初期から 246kg の水素が格納容器内に存在するものと保守的に仮定し、格納容器圧力を評価した。

第 1 図に示すとおり、格納容器スプレイによって圧力抑制することが可能である。また、90 分後に代替循環冷却系の起動によって、格納容器圧力は低下し、限界圧力 0.62MPa[gage]に到達することはない。このように、事象初期における格納容器圧力の挙動は、アルミニウム及び亜鉛の化学反応により発生する水素を考慮しない場合と大きな違いはない。これは、格納容器圧力が水蒸気の影響を大きく受けているためであると考えられる。このことから、アルミニウム及び亜鉛が水酸化ナトリウムと反応し発生する水素による格納

容器圧力への有意な影響はない。また、炉心損傷前も影響は同様である。



第1図 格納容器圧力の推移

4. 水素燃焼への影響について

水素及び酸素の可燃限界は、水素濃度 4vol%以上かつ酸素濃度 5vol%以上である。BWRの格納容器内は窒素により不活性化されており、本反応では酸素の発生はないことから、本反応単独での水素の燃焼は発生しない。

5. まとめ

格納容器内に存在するアルミニウム及び亜鉛が全て反応することを想定すると、約 246kg の水素が発生する可能性がある。しかし、BWRの事故時における格納容器圧力は、崩壊熱により発生する蒸気の影響が大きいため、アルミニウム及び亜鉛の反応により発生する水素は、格納容器圧力に対して有意な影響はない。

また、水素燃焼の観点においても、BWRのドライウェル内は窒素により不活性化されており、本反応では酸素の発生はないことから有意な影響はない。

なお、文献^[1]においても、金属腐食反応による水素発生はジルコニウム-水反応等による水素発生に比べ反応速度が遅く、水素発生量も小さいことが述べられており、本反応による水素発生量が有意な影響を与えることはない。

[1] 日本原子力研究所「炉心損傷に関する研究の現状と課題」JAERI-M82-039,
1982年5月

解析コード及び解析条件の不確かさの影響評価について
 (雰囲気圧力・温度による静的負荷(格納容器過圧・過温破損)(代替循環冷却系を使用する場合))

第1表 解析コードにおける重要現象の不確かさが運転員等操作時間及び評価項目となるパラメータに与える影響(1/2)

| 分類 | 重要現象 | 解析モデル | 不確かさ | 運転員等操作時間に与える影響 | 評価項目となるパラメータに与える影響 |
|----------------|-----------------------|---|---|--|--|
| 炉心 | 崩壊熱 | 炉心モデル(原子炉出力及び崩壊熱) | 入力値に含まれる。 | 「解析条件を最確条件とした場合の運転員等操作時間及び評価項目となるパラメータに与える影響」にて確認。 | 「解析条件を最確条件とした場合の運転員等操作時間及び評価項目となるパラメータに与える影響」にて確認。 |
| | 燃料棒内温度変化 | 炉心モデル(炉心熱水力モデル) 溶融炉心の挙動モデル(炉心ヒートアップ) | TMI 事故解析における炉心ヒートアップ時の水素ガス発生、炉心領域での溶融進展状態について、TMI 事故分析結果と良く一致することを確認した。 CORA 実験解析における、燃料被覆管、制御棒及びチャンネルボックスの温度変化について、測定データと良く一致することを確認した。 炉心ヒートアップ速度の増加(被覆管酸化の促進)を想定し、仮想的な厳しい振り幅ではあるが、ジルコニウム-水反応速度の係数を2倍とした感度解析により影響を確認した。 ・TQV、大破断 LOCA シーケンスとともに炉心溶融の開始時刻への影響は小さい。 ・下部プレナムへの溶融炉心移行の開始時刻は、ほぼ変化しない。 | 炉心ヒートアップに関するモデルは、TMI 事故についての再現性及び CORA 実験についての再現性を確認している。炉心ヒートアップの感度解析(ジルコニウム-水反応速度の係数についての感度解析)では、炉心溶融開始時間に与える影響は小さいことを確認している。 原子炉注水操作については、LOCA が発生し、高圧・低圧注水機能の喪失により炉心損傷したと判断した場合、速やかに代替格納容器スプレイ冷却系による格納容器冷却に併せ、低圧代替注水系(常設)による原子炉注水(電源の確保含む)を行う手順となっており、燃料被覆管温度等を操作開始の起点としている運転員等操作はないことから、運転員等操作時間に与える影響はない。また、可搬型窒素供給装置による格納容器内への窒素注入操作については、炉心ヒートアップの感度解析では、格納容器圧力及び雰囲気温度への影響は小さいことを確認していることから、運転員等操作時間に与える影響は小さい。 | 炉心ヒートアップに関するモデルは、TMI 事故についての再現性及び CORA 実験についての再現性が確認されている。炉心ヒートアップの感度解析(ジルコニウム-水反応速度の係数についての感度解析)では、格納容器圧力及び雰囲気温度への影響は小さいことを確認していることから、評価項目となるパラメータに与える影響は小さい。 |
| | 燃料棒表面熱伝達 | | | | |
| | 燃料被覆管酸化 | | | | |
| | 燃料被覆管変形 | | | | |
| 沸騰・ボイド率変化 | 炉心モデル(炉心水位計算モデル) | TQUX シーケンス及び中破断 LOCA シーケンスに対して、MAAP コードと SAFER コードの比較を行い、以下の傾向を確認した。 ・MAAP コードでは SAFER コードで考慮している CCFL を取り扱っていないこと等から、水位変化に差異が生じたものの水位低下幅は MAAP コードの方が大きく、解析コード SAFER に対して保守的であり、その後の注水操作による燃料有効長頂部までの水位回復時刻は両コードで同等である。 | 原子炉水位挙動について原子炉圧力容器内のモデルが精緻である解析コード SAFER の評価結果との比較により水位低下幅は解析コード MAAP の評価結果の方が大きく、解析コード SAFER に対して保守的であり、注水操作による燃料有効長頂部までの水位回復時刻は解析コード SAFER の評価結果との差異は小さいことを確認している。 原子炉注水操作については、LOCA が発生し、高圧・低圧注水機能の喪失により炉心損傷したと判断した場合、速やかに代替格納容器スプレイ冷却系による格納容器冷却及び低圧代替注水系(常設)による原子炉注水(電源の確保を含む)を行う手順となっており、原子炉水位を操作開始の起点としている運転員等操作はないことから、運転員等操作時間に与える影響はない。 | 原子炉水位挙動について原子炉圧力容器内のモデルが精緻である解析コード SAFER の評価結果との比較により水位低下幅は解析コード MAAP の評価結果の方が大きく、解析コード SAFER に対して保守的であり、注水操作による燃料有効長頂部までの水位回復時刻は解析コード SAFER の評価結果との差異は小さいことを確認していることから、評価項目となるパラメータに与える影響は小さい。 | |
| 気液分離(水位変化)・対向流 | | | | | |
| 原子炉圧力容器 | ECCS 注水(給水系・代替注水設備含む) | 安全系モデル(非常用炉心冷却系) 安全系モデル(代替注水設備) | 入力値に含まれる。 | 「解析条件を最確条件とした場合の運転員等操作時間及び評価項目となるパラメータに与える影響」にて確認。 | 「解析条件を最確条件とした場合の運転員等操作時間及び評価項目となるパラメータに与える影響」にて確認。 |

第1表 解析コードにおける重要現象の不確かさが運転員等操作時間及び評価項目となるパラメータに与える影響(2/2)

| 分類 | 重要現象 | 解析モデル | 不確かさ | 運転員等操作時間に与える影響 | 評価項目となるパラメータに与える影響 |
|-----------------|-----------------|--------------------------------------|---|---|--|
| 格納容器 | 格納容器各領域間の流動 | 格納容器モデル (格納容器の熱水力モデル) | HDR 実験解析では、格納容器圧力及び雰囲気温度について、温度成層化を含めて傾向を良く再現できることを確認した。格納容器雰囲気温度を十数℃程度高めに、格納容器圧力を1割程度高めに評価する傾向が確認されたが、実験体系に起因するものと考えられ、実機体系においてはこの種の不確かさは小さくなるものと考えられる。また、非凝縮性ガス濃度の挙動について、解析結果が測定データと良く一致することを確認した。格納容器各領域間の流動、構造材との熱伝達及び内部熱伝導の不確かさにおいては、CSTF 実験解析では、格納容器温度及び非凝縮性ガス濃度の挙動について、解析結果が測定データと良く一致することを確認した。 | HDR 実験解析では区画によって格納容器雰囲気温度を十数℃程度、格納容器圧力を1割程度高めに評価する傾向を確認しているが、BWR の格納容器内の区画とは異なる等、実験体系に起因するものと考えられ、実機体系においてはこの解析で確認された不確かさは小さくなるものと推定される。しかし、全体としては格納容器圧力及び雰囲気温度の傾向を適切に再現できていることから、格納容器圧力を操作開始の起点としている可搬型窒素供給装置に係る運転員等操作時間に与える影響は小さい。また、格納容器各領域間の流動、構造材との熱伝達及び内部熱伝導の不確かさにおいては、CSTF 実験解析により格納容器雰囲気温度及び非凝縮性ガスの挙動は測定データと良く一致することを確認しており、その差異は小さいことから、格納容器圧力を操作開始の起点としている可搬型窒素供給装置に係る運転員等操作時間に与える影響は小さい。 | HDR 実験解析では区画によって格納容器雰囲気温度を十数℃程度、格納容器圧力を1割程度高めに評価する傾向を確認しているが、BWR の格納容器内の区画とは異なる等、実験体系に起因するものと考えられ、実機体系においてはこの解析で確認された不確かさは小さくなるものと推定される。しかし、全体としては格納容器圧力及び雰囲気温度の傾向を適切に再現できていることから、評価項目となるパラメータに与える影響は小さい。また、格納容器各領域間の流動、構造材との熱伝達及び内部熱伝導の不確かさにおいては、CSTF 実験解析により格納容器温度及び非凝縮性ガスの挙動は測定データと良く一致することを確認しており、その差異は小さいことから、評価項目となるパラメータに与える影響は小さい。 |
| | 構造材との熱伝達及び内部熱伝導 | | | | |
| | 気液界面の熱伝達 | | | | |
| | スプレイ冷却 | 安全系モデル (格納容器スプレイ) 安全系モデル (代替注水設備) | 入力値に含まれる。 スプレイの水滴温度は短時間で雰囲気温度と平衡に至ることから伝熱モデルの不確かさはない。 | 「解析条件を最確条件とした場合の運転員等操作時間及び評価項目となるパラメータに与える影響」にて確認。 | 「解析条件を最確条件とした場合の運転員等操作時間及び評価項目となるパラメータに与える影響」にて確認。 |
| | サブプレッション・プール冷却 | 安全系モデル (非常用炉心冷却系) | 入力値に含まれる。 | 「解析条件を最確条件とした場合の運転員等操作時間及び評価項目となるパラメータに与える影響」にて確認。 | 「解析条件を最確条件とした場合の運転員等操作時間及び評価項目となるパラメータに与える影響」にて確認。 |
| 原子炉圧力容器 (炉心損傷後) | リロケーション | 溶融炉心の挙動モデル (リロケーション) | <ul style="list-style-type: none"> ・TMI 事故解析における炉心領域での溶融進展状態について、TMI 事故分析結果と一致することを確認した。 ・リロケーションの進展が早まることを想定し、炉心ノード崩壊のパラメータを低下させた感度解析により影響を確認した。 ・TQUV、大破断 LOCA シーンケンスとともに、炉心溶融時刻、原子炉圧力容器破損時刻への影響が小さいことを確認した。 | 溶融炉心の挙動モデルはTMI 事故についての再現性を確認している。本評価事故シーケンスでは、炉心の損傷状態を起点に操作開始する運転員等操作はないことから、運転員等操作時間に与える影響はない。 | 溶融炉心の挙動モデルはTMI 事故についての再現性を確認している。また、炉心ノード崩壊のパラメータを低下させた感度解析により炉心溶融開始時間に与える影響は小さいことを確認しており、事象進展はほぼ変わらないことから、評価項目となるパラメータに与える影響はない。 |
| | 構造材との熱伝達 | | | | |
| | 原子炉圧力容器内 FP 挙動 | 核分裂生成物 (FP) 挙動モデル | | | |
| 格納容器 (炉心損傷後) | 格納容器内 FP 挙動 | 核分裂生成物 (FP) 挙動モデル | ABCOVE 実験解析により、格納容器内のエアロゾル沈着挙動を適正に評価できることを確認した。 | 核分裂生成物 (FP) 挙動モデルは ABCOVE 実験解析により格納容器内のエアロゾル沈着挙動を適正に評価できることを確認している。本評価事故シーケンスでは、炉心損傷後の格納容器内 FP 挙動を操作開始の起点としている運転員等操作はないことから、運転員等操作時間に与える影響はない。 | 核分裂生成物 (FP) 挙動モデルは ABCOVE 実験解析により格納容器内のエアロゾル沈着挙動を適正に評価できることを確認している。本評価事故シーケンスでは、代替循環冷却系の運転により格納容器ベントを回避できることから、評価項目となるパラメータに与える影響はない。 |

第2表 解析条件を最確条件とした場合に運転員等操作時間及び評価項目となるパラメータに与える影響(1/4)

| 項目 | 解析条件(初期条件, 事故条件及び機器条件)の不確かさ | | 条件設定の考え方 | 運転員等操作時間に与える影響 | 評価項目となるパラメータに与える影響 |
|------------|---------------------------------------|--|---|--|--|
| | 解析条件 | 最確条件 | | | |
| 初期条件 | 原子炉熱出力 | 3, 293MW | 約 3, 279MW～ 約 3, 293MW (実績値) | 定格原子炉熱出力として設定 | 最確条件とした場合には、原子炉停止後の崩壊熱が緩和される。最確条件とした場合の運転員等操作時間への影響は、原子炉停止後の崩壊熱にて説明する。 |
| | 原子炉圧力 (压力容器ドーム部) | 6. 93MPa[gage] | 約 6. 91MPa[gage]～ 約 6. 94MPa[gage] (実績値) | 定格原子炉圧力として設定 | 最確条件とした場合には、ゆらぎにより解析条件に対して変動を与え得るが、大破断 LOCA に伴い原子炉は急速に減圧されるため事象進展に与える影響はないことから、運転員等操作時間に与える影響はない。 |
| | 原子炉水位 | 通常運転水位 (セバレータスカート 下端から+126cm) | 通常運転水位 約-4cm～約+6cm (セバレータスカート 下端から約+122cm～ 約+132cm) (実績値) | 通常運転時の原子炉水位として設定 | 最確条件とした場合には、ゆらぎにより解析条件に対して変動を与え得るが、ゆらぎの幅は事象発生後の水位低下量に対して非常に小さい。例えば、原子炉スクラム 10 分後までの崩壊熱による原子炉水位の低下量は、高圧が維持された状態でも通常運転水位から約 3m であるのに対してゆらぎによる水位低下量は約 4cm であり非常に小さい。したがって、事象進展に及ぼす影響は小さいことから、運転員等操作時間に与える影響は小さい。 |
| | 炉心流量 | 48, 300t/h (定格流量 (100%)) | 定格流量の 約 86%～約 104% (実績値) | 定格流量として設定 | 炉心の反応度補償のため初期値は変化するが、事象発生後早期に原子炉はスクラムするため、初期炉心流量が事象進展に与える影響は小さいことから、運転員等操作時間に与える影響は小さい。 |
| | 燃料 | 9×9燃料 (A型) | 装荷炉心ごと | 9×9燃料(A型)と9×9燃料(B型)は、熱力学的な特性はほぼ同等であり、燃料棒最大線出力密度の保守性に包絡されることから、代表的に9×9燃料(A型)を設定 | 最確条件とした場合には、9×9燃料のA型又はB型の炉心となるか、それらの混在炉心となるが、いずれの型式も燃料の熱水力特性はほぼ同等であり、事象進展に与える影響は小さいことから、運転員等操作時間に与える影響は小さい。 |
| | 原子炉停止後の崩壊熱 | ANSI/ANS-5. 1-1979 燃焼度 33GWd/t | ANSI/ANS-5. 1-1979 平均的燃焼度 約 31GWd/t (実績値) | 1 サイクルの運転期間(13ヶ月)に調整運転期間(約1ヶ月)を考慮した運転期間に対応する燃焼度を設定 | 最確条件とした場合には、解析条件で設定している崩壊熱よりも小さくなるため、発生する蒸気量は少なくなり、それに伴う原子炉冷却材の放出も少なくなることから、格納容器圧力及び雰囲気温度の上昇が遅くなるが、操作手順(格納容器圧力 0. 31MPa[gage]到達後に窒素注入を停止すること)に変わりはないことから、運転員等操作時間に与える影響はない。 |
| | 格納容器体積 (ドライウエル) | 5, 700m ³ | 5, 700m ³ (設計値) | 設計値 | 解析条件と最確条件は同様であり、事象進展に与える影響はないことから、評価項目となるパラメータに与える影響はない。 |
| | 格納容器体積 (サブプレッション・チェンバ) | 空間部: 4, 100m ³ 液相部: 3, 300m ³ | 空間部: 約 4, 092m ³ ～ 約 4, 058m ³ 液相部: 約 3, 308m ³ ～ 約 3, 342m ³ (実績値) | 設計値 (通常運転時のサブプレッション・プール水位の下限值に基づき設定) | 最確条件とした場合には、ゆらぎによる格納容器体積(サブプレッション・チェンバ)の液相部の変化分は通常時に対して非常に小さい。例えば、サブプレッション・プール水位が 6. 983m の時の水量は 3, 300m ³ であるのに対し、ゆらぎ(0. 087m)による水量変化は約 42m ³ であり、その割合は初期保有水量の約 1. 3%と非常に小さい。したがって、事象進展に与える影響は小さいことから、運転員等操作時間に与える影響は小さい。 |
| 真空破壊装置作動差圧 | 3. 45kPa (ドライウエル・サブプレッション・チェンバ間差圧) | 3. 45kPa (ドライウエル・サブプレッション・チェンバ間差圧)(設計値) | 真空破壊装置の設定値 | 解析条件と最確条件は同様であり、事象進展に与える影響はないことから、運転員等操作時間に与える影響はない。 | |

第2表 解析条件を最確条件とした場合に運転員等操作時間及び評価項目となるパラメータに与える影響(2/4)

| 項目 | | 解析条件(初期条件、事故条件及び機器条件)の不確かさ | | 条件設定の考え方 | 運転員等操作時間に与える影響 | 評価項目となるパラメータに与える影響 |
|------|-----------------------|----------------------------|---|---|---|--|
| | | 解析条件 | 最確条件 | | | |
| 初期条件 | サブプレッション・プール水位 | 6.983m (通常運転範囲の下限値) | 約7.000m～ 約7.070m (実績値) | 通常運転時のサブプレッション・プール水位の下限値として設定 | 最確条件とした場合には、サブプレッション・プール水位の運転範囲において解析条件より高めの水位となるが、ゆらぎの幅は非常に小さい。例えば、サブプレッション・プール水位が6.983mの時の水量は3,300m ³ であるのに対し、ゆらぎによる水量変化(0.087m)は約42m ³ であり、その割合は初期保有水量の約1.3%と非常に小さい。したがって、事象進展に与える影響は小さいことから、運転員等操作時間に与える影響は小さい。 | 最確条件とした場合には、ゆらぎにより解析条件に対して変動を与え得るが、ゆらぎによる格納容器体積(サブプレッション・チェンバ)の液相部の変化分は通常時に対して非常に小さい。例えば、サブプレッション・プール水位が6.983mの時の水量は3,300m ³ であるのに対し、ゆらぎ(0.087m)による水量変化は約42m ³ であり、その割合は初期保有水量の約1.3%と非常に小さい。したがって、事象進展に与える影響は小さいことから、評価項目となるパラメータに与える影響は小さい。 |
| | サブプレッション・プール水温度 | 32℃ | 約15℃～約32℃ (実績値) | 通常運転時のサブプレッション・プール水温度の上限値として設定 | 最確条件とした場合には、解析条件で設定しているサブプレッション・プール水温度よりも低くなるため、格納容器圧力上昇は遅くなるが、その影響は小さいことから、運転員等操作時間に与える影響は小さい。 | 最確条件とした場合には、解析条件で設定しているサブプレッション・プール水温度よりも低くなるため、格納容器の熱容量は大きくなり、格納容器雰囲気温度の上昇は遅くなるが、その影響は小さいことから、評価項目となるパラメータに与える影響は小さい。 |
| | 格納容器圧力 | 5kPa[gage] | 約2.2kPa[gage]～ 約4.7kPa[gage] (実績値) | 通常運転時の格納容器圧力を包含する値 | 最確条件とした場合には、解析条件で設定している圧力よりも小さくなるため、格納容器圧力が低めに推移するが、その影響は小さいことから、運転員等操作時間に与える影響は小さい。 | 最確条件とした場合には、解析条件で設定している圧力よりも小さくなるため、格納容器圧力が低めに推移するが、その影響は小さいことから、評価項目となるパラメータに与える影響は小さい。 |
| | 格納容器雰囲気温度 | 57℃ | 約25℃～約58℃ (実績値) | 通常運転時の格納容器雰囲気温度(ドライウエル内ガス冷却装置の設計温度)として設定 | 最確条件とした場合には、ゆらぎにより解析条件に対して変動を与え得るが、格納容器雰囲気温度は格納容器スプレイにより飽和温度となり、初期温度が事象進展に与える影響は小さいことから、運転員等操作時間に与える影響は小さい。 | 最確条件とした場合には、ゆらぎにより解析条件に対して変動を与え得るが、格納容器雰囲気温度は格納容器スプレイにより飽和温度となり、初期温度が事象進展に与える影響は小さいことから、評価項目となるパラメータに与える影響は小さい。 |
| | 外部水源の温度 | 35℃ | 35℃以下 | 年間の気象条件変化を包含する高めの水温を設定 | 最確条件とした場合には、解析条件で設定している水温よりも低くなる可能性があり、格納容器圧力及び雰囲気温度の上昇に対する代替格納容器スプレイ冷却系(常設)による圧力及び雰囲気温度上昇の抑制効果は大きくなるが、操作手順(格納容器圧力0.31MPa[gage]到達後に窒素注入を停止すること)に変わりはないことから、運転員等操作時間に与える影響は小さい。 | 最確条件とした場合には、解析条件で設定している水温よりも低くなる可能性があり、炉心の再冠水までの挙動に影響する可能性はあるが、この顕熱分の影響は小さく、燃料被覆管温度の上昇に与える影響は小さい。また、格納容器圧力上昇に対する代替格納容器スプレイ冷却系(常設)による圧力及び雰囲気温度上昇の抑制効果は大きくなり、格納容器圧力及び雰囲気温度の上昇は遅くなるが、評価項目となるパラメータに与える影響は小さい。 |
| | ベDESTAL(ドライウエル部)のプール水 | 考慮しない | 約1mのプール水 | ベDESTAL(ドライウエル部)には通常運転時からプール水が存在するが、格納容器の熱容量に寄与することから、格納容器雰囲気温度の挙動を厳しく評価する設定として、ベDESTAL(ドライウエル部)のプール水を考慮しない | 最確条件とした場合には、格納容器の熱容量が増え、格納容器圧力及び雰囲気温度の上昇が緩和されるが、操作手順(格納容器圧力0.31MPa[gage]到達後に窒素注入を停止すること)に変わりはないことから、運転員等操作時間に与える影響は小さい。 | 最確条件とした場合には、格納容器の熱容量が増え、格納容器圧力及び雰囲気温度の上昇が緩和されることから、評価項目となるパラメータに対する余裕は大きくなる。 |
| | 外部水源の容量 | 約8,600m ³ | 8,600m ³ 以上 (西側淡水貯水設備+代替淡水貯槽) | 西側淡水貯水設備及び代替淡水貯槽の管理下限値を設定 | 管理値下限の容量として事象発生から7日後までに必要な容量を備えており、水源は枯渇しないことから運転員等操作時間に与える影響はない。 | — |
| | 燃料の容量 | 約1,010kL | 1,010kL以上 (軽油貯蔵タンク+可搬型設備用軽油タンク) | 軽油貯蔵タンク及び可搬型設備用軽油タンクの管理下限値を設定 | 管理値下限の容量として事象発生から7日後までに必要な容量を備えており、燃料は枯渇しないことから運転員等操作時間に与える影響はない。 | — |

第2表 解析条件を最確条件とした場合に運転員等操作時間及び評価項目となるパラメータに与える影響(3/4)

| 項目 | | 解析条件(初期条件, 事故条件及び機器条件)の不確かさ | | 条件設定の考え方 | 運転員等操作時間に与える影響 | 評価項目となるパラメータに与える影響 |
|------|---------------|-------------------------------------|-------------------------------|---|---|---|
| | | 解析条件 | 最確条件 | | | |
| 事故条件 | 起回事象 | 大破断 LOCA 再循環系配管(出口ノズル)の破断 | - | 原子炉压力容器から格納容器への冷却材流出を大きく見積もり、格納容器内の圧力上昇及び温度上昇の観点から厳しい設定として、原子炉压力容器バウダリに接続する配管のうち、口径が最大である再循環系配管(出口ノズル)における両端破断を設定 | Excessive LOCA を考慮した場合、原子炉冷却材の流出量が増加することにより炉心損傷開始等が早くなるが、操作手順(速やかに格納容器冷却手段を準備すること)に変わりはないことから、運転員等操作時間に与える影響はない。 (添付資料 3.1.2.12) | Excessive LOCA を考慮した場合、原子炉冷却材の流出量が増加することにより炉心損傷開始等が早くなるが、格納容器へ放出されるエネルギーは大破断 LOCA の場合と同程度であり、格納容器圧力は 0.62MPa[gage]、格納容器バウダリにかかる温度は 200℃を下回っていることから、評価項目となるパラメータに与える影響は小さい。 (添付資料 3.1.2.12) |
| | 安全機能の喪失に対する仮定 | 全交流動力電源喪失 高圧注水機能喪失及び 低圧注水機能喪失 | - | 非常用ディーゼル発電機等の機能喪失を想定し、設定 高圧注水機能として原子炉隔離時冷却系及び高圧炉心スプレイ系、低圧注水機能として残留熱除去系(低圧注水系)及び低圧炉心スプレイ系の機能喪失を設定 | - | - |
| | 外部電源 | 外部電源なし | - | 過圧及び過温への対策の有効性を総合的に判断する観点から、プラント損傷状態である LOCA に全交流動力電源喪失を重畳することから、外部電源が喪失するものとして設定 ただし、原子炉スクラムについては、外部電源有の場合を包括する条件として、機器条件に示すとおり設定 | 仮に、外部電源がある場合は、注水開始時間が早くなり、格納容器圧力・温度の挙動は低く推移することから、運転員等操作時間に対する余裕は大きくなる。 | 仮に、外部電源がある場合は、注水開始時間が早くなり、格納容器圧力・温度の挙動は低く推移することから、評価項目となるパラメータに対する余裕は大きくなる。 |
| | 水素の発生 | ジルコニウム-水反応を考慮 | ジルコニウム-水反応を考慮 | 水の放射線分解等による水素発生については、格納容器圧力及び雰囲気温度に対する影響が軽微であることから考慮していない | 解析条件と最確条件は同様であり、事象進展に与える影響はないことから、運転員等操作時間に与える影響はない。 | 解析条件と最確条件は同様であり、事象進展に与える影響はないことから、評価項目となるパラメータに与える影響はない。 |
| 機器条件 | 原子炉スクラム信号 | 原子炉水位低(レベル3)信号 | タービン蒸気加減弁急速閉信号又は原子炉保護系電源喪失 | 短時間であるが原子炉熱出力が維持される厳しい設定として、外部電源喪失時のタービン蒸気加減弁急閉及び原子炉保護系電源喪失による原子炉スクラムについては保守的に考慮せず、原子炉水位低(レベル3)にてスクラムするものとして設定 | 最確条件とした場合には、原子炉熱出力の低下が早くなり、原子炉冷却材の放出が少なくなるため、格納容器圧力及び雰囲気温度の上昇が遅くなるが、操作手順(格納容器圧力 0.31MPa[gage]到達後に窒素注入を停止すること)に変わりはないことから、運転員等操作時間に与える影響は小さい。 | 最確条件とした場合には、原子炉熱出力の低下が早くなり、原子炉冷却材の放出が少なくなるため、格納容器圧力及び雰囲気温度の上昇が遅くなることから、評価項目となるパラメータに対する余裕は大きくなる。 |
| | 主蒸気隔離弁 | 事象発生と同時に閉止 | 原子炉保護系電源喪失又は原子炉水位異常低下(レベル2)信号 | 短時間であるが主蒸気が格納容器内に維持される厳しい設定として、原子炉保護系電源喪失及び原子炉水位異常低下(レベル2)信号による主蒸気隔離弁閉止については保守的に考慮せず、事象発生と同時に主蒸気隔離弁閉止するものとして設定 | 最確条件とした場合には、逃がし安全弁を通じて格納容器内に放出される蒸気量が減少することから、格納容器圧力及び雰囲気温度の上昇が遅くなるが、操作手順(格納容器圧力 0.31MPa[gage]到達後に窒素注入を停止すること)に変わりはないことから、運転員等操作時間に与える影響は小さい。 | 最確条件とした場合には、逃がし安全弁を通じて格納容器内に放出される蒸気量が減少するため、格納容器圧力及び雰囲気温度の上昇が遅くなることから、評価項目となるパラメータに対する余裕は大きくなる。 |
| | 再循環系ポンプ | 事象発生と同時に停止 | 電源喪失によるポンプ停止(事象発生と同時に) | 事象進展に与える影響は軽微であることから、全交流動力電源喪失によるポンプ停止を踏まえて設定 | 解析条件と最確条件は同様であり、事象進展に与える影響はないことから、運転員等操作時間に与える影響はない。 | 解析条件と最確条件は同様であり、事象進展に与える影響はないことから、評価項目となるパラメータに与える影響はない。 |

第2表 解析条件を最確条件とした場合に運転員等操作時間及び評価項目となるパラメータに与える影響(4/4)

| 項目 | | 解析条件(初期条件, 事故条件及び機器条件)の不確かさ | | 条件設定の考え方 | 運転員等操作時間に与える影響 | 評価項目となるパラメータに与える影響 |
|------|-------------------|--|--|---|--|---|
| | | 解析条件 | 最確条件 | | | |
| 機器条件 | 低圧代替注水系(常設) | 230m ³ /h(一定) | 230m ³ /h(一定)以上 | 炉心冷却の維持に必要な流量として設定 | 実際の注水量が解析より多い場合(注水特性(設計値)の保守性), 原子炉水位の回復が早くなる可能性があるが, 原子炉水位を起点としている運転員等操作はないことから, 運転員等操作時間に与える影響はない。 | 実際の注水流量が解析より多い場合(注水特性(設計値)の保守性), 原子炉水位の回復は早くなる可能性があるが, 格納容器圧力及び雰囲気温度の上昇に有意な影響を与えないことから, 評価項目となるパラメータに与える影響は小さい。 |
| | 代替格納容器スプレイ冷却系(常設) | 130m ³ /h(一定) | 130m ³ /h(一定) | 格納容器雰囲気温度及び圧力抑制に必要なスプレイ流量を考慮し, 設定 | 解析条件と最確条件は同様であり, 事象進展に与える影響はないことから, 運転員等操作時間に与える影響はない。 | 解析条件と最確条件は同様であり, 事象進展に与える影響はないことから, 評価項目となるパラメータに与える影響はない。 |
| | 格納容器下部注水系(常設) | 解析上考慮しない | 80m ³ /h(一定) | 格納容器雰囲気温度の挙動を厳しく評価するため, 初期条件としてベDESTAL(ドライウェル部)のプール水を考慮していないことから, 常設低圧代替注水系ポンプを用いた格納容器下部注水系(常設)によるベDESTAL(ドライウェル部)水位の確保操作についても考慮しない | ベDESTAL(ドライウェル部)には通常運転時からプール水が存在するため, 格納容器の熱容量が増え, 格納容器圧力及び雰囲気温度の上昇が緩和されるが, 操作手順(格納容器圧力0.31MPa[gage]到達後に窒素注入を停止すること)に変わりはないことから, 運転員等操作時間に与える影響は小さい。 | ベDESTAL(ドライウェル部)には通常運転時からプール水が存在するため, 格納容器の熱容量が増え, 格納容器圧力及び雰囲気温度の上昇が緩和されることから, 評価項目となるパラメータに対する余裕が大きくなる。 |
| | 代替循環冷却系 | 総循環流量: 250m ³ /h ・格納容器スプレイ: 150m ³ /h ・原子炉注水: 100m ³ /h | 総循環流量: 250m ³ /h ・格納容器スプレイ: 150m ³ /h ・原子炉注水: 100m ³ /h | 炉心冷却の維持に必要な流量, 格納容器圧力及び雰囲気温度の抑制に必要なスプレイ流量を考慮して設定 | 実際の注水量が解析より多い場合(注水特性(設計値)の保守性), 格納容器の圧力及び雰囲気温度の上昇の抑制効果は大きくなるが, 操作手順(格納容器圧力0.31MPa[gage]到達後に窒素注入を停止すること)に変わりはないことから, 運転員等操作時間に与える影響は小さい。 | 実際の注水量は解析より多い場合(注水特性(設計値)の保守性), 格納容器圧力及び雰囲気温度の上昇の抑制効果は大きくなることから, 評価項目となるパラメータに対する余裕が大きくなる。 |
| | 緊急用海水系 | 代替循環冷却系から緊急用海水系への伝熱容量: 約14MW (サブプレッション・プール水温度100℃, 海水温度32℃において) | 代替循環冷却系から緊急用海水系への伝熱容量: 約14MW以上 (サブプレッション・プール水温度100℃, 海水温度32℃以下において) | 熱交換器の設計性能に基づき, 代替循環冷却系の除熱性能を厳しくする観点で, 過去の実績を包含する高めの海水温度を設定 | 最確条件とした場合には, 解析条件で設定している海水温度と同等以下となる。 32℃の場合は, 解析条件と最確条件は同等であることから運転員等操作時間に与える影響はない。 32℃未満の場合は, 除熱性能が向上するため, 格納容器圧力及び雰囲気温度の上昇の抑制効果は大きくなるが, 操作手順(格納容器圧力0.31MPa[gage]到達後に窒素注入を停止すること)に変わりはないことから, 運転員等操作時間に与える影響は小さい。 | 最確条件とした場合には, 解析条件で設定している海水温度と同等以下となる。 32℃の場合は, 解析条件と最確条件は同等であることから評価項目となるパラメータに与える影響はない。 32℃未満の場合は, 除熱性能が向上するため, 格納容器圧力及び雰囲気温度の上昇の抑制効果は大きくなることから, 評価項目となるパラメータに対する余裕が大きくなる。 |
| | 可搬型窒素供給装置 | 総注入流量: 200m ³ /h ・窒素198m ³ /h ・酸素2m ³ /h ガス温度: 30℃ | 総注入流量: 200m ³ /h ・窒素198m ³ /h ・酸素2m ³ /h ガス温度: 0~58℃ | 総注入流量は格納容器内の酸素濃度上昇抑制に必要な流量として設定 酸素注入流量は純度99vol%を考慮して残り全てを酸素として設定 ガス温度は気象条件を考慮して設定 | 解析条件の不確かさとして, ゆらぎにより解析条件に対して変動を与え得る。30℃より高い場合は, 格納容器雰囲気温度が上昇する可能性があるが, 本評価事故シナリオでは, 格納容器雰囲気温度を起点としている運転員等操作はないことから, 運転員等操作時間に与える影響はない。30℃未満の場合は, 注入される窒素の密度が大きくなり窒素注入開始後の格納容器圧力の上昇が速くなるが, 操作手順(格納容器圧力0.31MPa[gage]到達後に窒素注入を停止すること)に変わりはないことから, 運転員等操作時間に与える影響は小さい。 | 解析条件の不確かさとして, ゆらぎにより解析条件に対して変動を与え得る。30℃より高い場合は, 格納容器雰囲気温度が上昇する可能性があるが, 窒素注入は事象発生から約84時間後に開始するため, 代替循環冷却系による格納容器減圧及び除熱操作によって格納容器雰囲気は除熱されており, 窒素温度は格納容器雰囲気温度よりも低いことから, 窒素注入によって格納容器雰囲気温度が上昇することはなく, 評価項目となるパラメータに与える影響はない。30℃未満の場合は, 注入される窒素の密度が大きくなり窒素注入開始後の格納容器圧力の上昇が速くなるが, 操作手順(格納容器圧力0.31MPa[gage]到達後に窒素注入を停止すること)に変わりはないことから, 評価項目となるパラメータに与える影響はない。 |

第3表 運転員等操作時間に与える影響、評価項目となるパラメータに与える影響及び操作時間余裕 (1/2)

| 項目 | 解析条件 (操作条件) の不確かさ | | 操作の不確かさ要因 | 運転員等操作時間に与える影響 | 評価項目となるパラメータに与える影響 | 操作時間余裕 | 訓練実績等 |
|------|---|------------|---|---|---|--|--|
| | 解析条件 | 条件設定の考え方 | | | | | |
| 操作条件 | 常設代替高压電源装置による緊急用母線の受電操作並びに代替格納容器スプレイ冷却系 (常設) による格納容器スプレイ操作及び低圧代替注水系 (常設) による原子炉注水操作 | 事象発生 25 分後 | <p>【認知】 中央制御室にて、外部電源受電及び非常用ディーゼル発電機等の電源回復ができない場合、早期の電源回復不能と判断し、これにより、常設代替高压電源装置による緊急用母線の受電操作及び低圧代替注水系 (常設) 等の起動操作を開始する手順としている。この認知に係る時間として 10 分間を想定しているため、認知遅れにより操作時間に与える影響はなし。</p> <p>【要員配置】 中央制御室での操作のみであり、当直運転員は中央制御室に常駐していることから、操作開始時間に与える影響はなし。</p> <p>【移動】 中央制御室での操作のみであり、当直運転員は中央制御室に常駐していることから、操作開始時間に与える影響はなし。</p> <p>【操作所要時間】 非常用ディーゼル発電機等の手動復旧操作 (失敗)、常設代替高压電源装置の起動操作、緊急用母線の受電操作、低圧代替注水系 (常設) 等起動操作を行う当直運転員の操作内容及び操作所要時間は以下のとおり。これらの作業は一連の操作として行うため、操作所要時間は最長で 15 分間となる</p> <ul style="list-style-type: none"> ●非常用ディーゼル発電機等の手動起動操作 (失敗) に係る時間として 2 分を想定 ●常設代替高压電源装置の起動操作及び緊急用母線の受電操作として 4 分を想定 ●低圧代替注水系 (常設) 等の起動操作として 9 分を想定 <p>【他の並列操作有無】 当該操作に対応する当直運転員に他の並列操作はなく、操作開始時間に与える影響はなし。</p> <p>【操作の確実さ】 中央制御室の制御盤の操作スイッチによる簡易な操作のため、誤操作は起こりにくく、そのため誤操作等により操作時間が長くなる可能性は低い。</p> | <p>状況判断から原子炉注水操作までは一連の操作として実施し、同一の運転員による並列操作はなく、操作所要時間を踏まえて解析上の想定時間を設定していることから、運転員等操作時間に与える影響はない。</p> | <p>解析条件は操作所要時間に余裕を含めて設定されており、原子炉水位の回復は早くなる可能性があるが、ジルコニウム-水反応量により発熱量が増加する等の影響があるため、格納容器圧力及び雰囲気温度の上昇に大きな差異はない。また、代替格納容器スプレイ操作と原子炉注水操作は、流量分配により同時に実施する操作であり、事象進展はほぼ変わらないことから、評価項目となるパラメータに与える影響は小さい。</p> | <p>事象発生から 50 分後 (操作開始時間の 25 分の遅れ) までに常設代替高压電源装置からの受電操作を行い代替格納容器スプレイ冷却系 (常設) による格納容器スプレイ操作及び低圧代替注水系 (常設) による原子炉注水が開始できれば、損傷炉心は露乾日に保持され、評価項目を満足する結果となることから、時間余裕がある。</p> | <p>中央制御室における操作のため、シミュレータ (模擬操作含む。) にて訓練実績を取得。 解析上においては、10 分間の認知時間後に操作開始し、低圧代替注水系 (常設) 等の起動操作まで 15 分としているところ、訓練実績では操作開始から約 15 分。想定で意図している運転操作が実施可能なことを確認した。</p> |
| | 緊急用海水系による冷却水 (海水) の確保操作及び代替循環冷却系による格納容器減圧及び除熱操作 | 事象発生 90 分後 | <p>【認知】 中央制御室にて外部電源受電及び非常用ディーゼル発電機の非常用高压系統の電源回復ができない場合、早期の電源回復不能と判断し、これにより緊急用海水系の起動準備を開始する手順としている。そのため、認知遅れにより操作開始時間に与える影響はなし。</p> <p>【要員配置】 中央制御室内での操作のみであり、当直運転員は中央制御室に常駐していることから、操作開始時間に与える影響はなし。</p> <p>【移動】 中央制御室内での操作のみであり、操作開始時間に与える影響はなし。</p> <p>【操作所要時間】 中央制御室における操作は、ポンプ起動、系統構成にかかる時間として緊急用海水系の起動に 20 分、代替循環冷却系の起動に 35 分を想定しており、操作時間に余裕を確保している。</p> <p>【他の並列操作有無】 並列操作はなく、操作開始時間に与える影響はなし。</p> <p>【操作の確実さ】 中央制御室の制御盤の操作スイッチによる簡易な操作のため、誤操作は起こりにくく、そのため誤操作等により操作時間が長くなる可能性は低い。</p> | <p>代替循環冷却系の運転は事象発生 90 分後に開始することとしているが、時間余裕を含めて設定されているため操作の不確かさが操作開始時間に与える影響は小さいことから運転員等操作時間に与える影響も小さい。また、本操作の操作開始時間は、操作所要時間を踏まえて解析上の想定時間を設定したものであり、緊急用海水系の操作開始時間が早まれば、代替循環冷却系による格納容器除熱操作の操作開始時間も早まる可能性があり、代替循環冷却系の運転開始時間も早まるが、その他の操作と並列して実施する場合でも、順次実施し所定の時間までに操作を完了できることから影響はない。</p> | <p>緊急用海水系の操作開始時間が早まった場合には、代替循環冷却系による格納容器除熱操作も早まる可能性があり、格納容器圧力及び雰囲気温度を早期に低下させる可能性があることから、評価項目となるパラメータに対する余裕は大きくなる。</p> | <p>本操作開始までの時間は操作所要時間を踏まえて解析上の想定時間を設定したものであり、時間余裕がある。 なお、本操作が大幅に遅れるような事態になった場合でも、格納容器圧力が限界圧力 0.62MPa [gage] に到達するまでの時間は事象発生から約 14 時間後であり、約 12 時間の余裕があることから、時間余裕がある。</p> | <p>中央制御室における操作のため、シミュレータ (模擬操作含む。) にて訓練実績を取得。 訓練では緊急用海水系起動に約 16 分。代替循環冷却系起動に約 27 分。想定している範囲内で意図している運転操作が実施可能であることを確認した。</p> |

第3表 運転員等操作時間に与える影響、評価項目となるパラメータに与える影響及び操作時間余裕 (2/2)

| 項目 | | 解析条件（操作条件）の不確かさ | | 操作の不確かさ要因 | 運転員等操作時間に与える影響 | 評価項目となるパラメータに与える影響 | 操作時間余裕 | 訓練実績等 |
|------|---------------------------|------------------------------|---|--|---|--|---|--|
| | | 解析条件 | 条件設定の考え方 | | | | | |
| 操作条件 | 可搬型窒素供給装置による格納容器内への窒素注入操作 | 格納容器内酸素濃度が4.0vol%（ドライ条件）に到達時 | 格納容器内酸素濃度がベント基準である4.3vol%（ドライ条件）到達を防止する観点で設定 | <p>【認知】</p> <p>事故時には重要監視パラメータである格納容器内酸素濃度を継続監視しており、また、可搬型窒素供給装置の移動及びホース敷設等は、格納容器内酸素濃度が3.5vol%（ドライ条件）に到達する事象発生から約62時間後に開始となるのに対して、窒素注入操作の実施基準（格納容器内酸素濃度4.0vol%（ドライ条件））に到達するのは事象発生約84時間後であり、比較的緩やかなパラメータ変化であることから、認知遅れが操作開始時間に影響を及ぼす可能性は非常に小さい。</p> <p>【要員配置】</p> <p>現場での操作は、中央制御室の当直運転員とは別に現場操作を行う重大事故等対応要員を配置している。これらの要員は、操作の実施期間中に他の操作を担っていないことから、要員配置が操作開始時間に与える影響はなし。</p> <p>【移動】</p> <p>窒素注入に用いる可搬型窒素供給装置は車両であり、自走にて作業場所へ移動することを想定している。仮に地震等の外部事象が起因事象で、アクセスルートに被害がある場合でも、ホイールローダ等にて必要なアクセスルートを復旧できる体制としている。重大事故等対応要員は、格納容器内酸素濃度が3.5vol%（ドライ条件）に到達する事象発生から約62時間後に移動を開始するが、移動にかかる所要時間は約1時間であり、窒素注入開始時間の事象発生から約84時間後までに余裕時間があることから、操作開始時間に与える影響はなし。</p> <p>【操作所要時間】</p> <p>作業場所への移動完了後、可搬型窒素供給装置の準備、ホース敷設等として120分を想定している。本操作は、作業場所への移動完了後に開始し、格納容器内酸素濃度が4.0vol%（ドライ条件）に到達する予定時刻の約21時間前から実施する。よって、操作開始時間に与える影響はなし。</p> <p>【他の並列操作の有無】</p> <p>他の並列操作はないことから操作開始時間に与える影響はなし。</p> <p>【操作の確実さ】</p> <p>重大事故等対応要員の現場操作は、操作の信頼性向上や要員の安全のため2人1組で実施することとしており、誤操作は起こりにくく、誤操作等により操作開始時間に影響を及ぼす可能性は小さい。</p> | 格納容器内への窒素注入の実施基準である格納容器内酸素濃度4.0vol%（ドライ条件）に到達は事象発生から約84時間後であるのに対し、可搬型窒素供給装置の移動及びホース敷設等は格納容器内酸素濃度が3.5vol%（ドライ条件）到達時（事象発生から約62時間後）に開始し約3時間で準備完了するため、十分な余裕時間があることから、操作開始時間に与える影響は小さく、運転員等操作時間に与える影響は小さい。 | 格納容器内への窒素注入の実施基準である格納容器内酸素濃度4.0vol%（ドライ条件）に到達は事象発生から約84時間後であるのに対し、可搬型窒素供給装置の移動及びホース敷設等は格納容器内酸素濃度が3.5vol%（ドライ条件）到達時（事象発生から約62時間後）に開始し約3時間で準備完了するため、十分な余裕時間があることから、操作開始時間に与える影響は小さい。 | 格納容器内への窒素注入は、移動も含め所要時間を180分と想定しているところ、訓練実績等により約176分に実施可能なことを確認した。 | |
| | タンクローリによる燃料給油操作 | 事象発生から84時間以降、適宜 | 可搬型窒素供給装置への燃料給油操作は、解析条件ではないが、解析で想定している操作の成立や継続に必要な作業各機器の使用開始時間を踏まえて設定 | 可搬型窒素供給装置への燃料給油操作開始までの時間は、事象発生から約84時間あり十分な時間余裕がある。 | — | — | — | 可搬型窒素供給装置への燃料給油は、想定所要時間90分のところ、訓練実績等により約80分に実施可能なことを確認した |

大破断 L O C A を上回る規模の L O C A に対する
格納容器破損防止対策の有効性について

大破断 L O C A を上回る規模の L O C A (以下「E x c e s s i v e L O C A」という。)が発生した場合には、原子炉冷却材の流出による原子炉水位の低下が早く、かつ、非常用炉心冷却系が使用できない場合は、早期に炉心損傷に至ることとなり、炉心損傷防止対策を講じることは困難である。

E x c e s s i v e L O C A は、原子炉冷却材圧力バウンダリとなる複数の配管が同時に破断する場合を想定するが、破断箇所により事象進展は大きく変わる。炉心や格納容器への影響の観点から、破断箇所は大きく以下の 2 通りに分類できる。

- ・注水系配管破断の有無（注水可否）

非常用炉心冷却系等による原子炉への注水が不可能となるため、原子炉水位低下による炉心損傷後は、原子炉圧力容器破損に至ることとなる。

- ・燃料有効長頂部位置以下の配管破断の有無

燃料有効長頂部位置より下に設置している配管が破断した場合、液相配管破断であることから原子炉冷却材の流出量が多く、原子炉水位の低下が早くなる。また、炉心の冠水を維持するためのバウンダリが喪失することから、原子炉注水に成功した場合でも破断面積や注水流量によっては炉心冠水を維持できない可能性がある。

上記を踏まえ、事故の想定に当たり破断配管の選定を第 1 表のとおり整理した。

第1表 破断配管の選定

| | | 燃料有効長頂部位置以下の配管破断 | |
|--------|---|---|---|
| | | 無 | 有 |
| 注水配管破断 | 無 | 炉心の冠水を維持するためのバウンダリは喪失しないためE x c e s s i v e L O C A発生後の原子炉への注水が行われると、大破断L O C Aと同等程度の事象進展になると考えられる。 | 炉心の冠水を維持するためのバウンダリは喪失するが、E x c e s s i v e L O C A発生後の原子炉への注水を考慮すると、冠水するまでに要する時間は左記に比べて長くなるものの、大破断L O C Aと同等程度の事象進展になると考えられる。 |
| | 有 | 原子炉水位の低下は早まるが、「過渡事象+高圧炉心冷却失敗+手動減圧失敗+炉心損傷後の手動減圧失敗+D C H」と同等程度の事象進展になると考えられる。 | 原子炉水位の低下は早まり、原子炉注水による炉心冷却もできず、かつ炉心の冠水を維持するためのバウンダリが喪失するため、事象進展は極端に早くなる。 |

第1表より、破断箇所は包絡的な条件である注水系配管及び燃料有効長頂部位置以下の配管が同時に破断した場合を想定した評価を実施することとする。なお、破断箇所が異なることで事象進展は変わると考えられるものの、原子炉圧力容器から格納容器内へ放出されるエネルギーは同程度であり、長期的な挙動は大破断L O C Aと同等と考えられるため、「大破断L O C A+高圧炉心冷却失敗+低圧炉心冷却失敗」時と同様の格納容器破損防止対策が有効に機能することで、格納容器の閉じ込め機能を維持できるものと考えられる。

ここでは、「E x c e s s i v e L O C A+高圧炉心冷却失敗+低圧炉心冷却失敗」について、格納容器破損防止対策が有効に機能することを確認するため、保守的に以下の配管が同時に破断することを想定した解析を実施する。

<主な破断想定箇所>

| | |
|------------------------|---|
| 注水配管 燃料有効長頂部位置以上の配管 | 蒸気配管 給水配管 低圧注水系配管 低圧炉心スプレイ系配管 高圧炉心スプレイ系配管 |
| 燃料有効長頂部位置以下の配管 | 再循環系配管 底部ドレン配管 |

Excessive LOCA発生後、原子炉水位は急速に低下する。水位低下により炉心は露出し、事象発生後早期に燃料被覆管の最高温度は1,000K（約727℃）に到達し、炉心損傷が開始する。また、事象発生から約18分後に燃料温度は約2,500K（約2,227℃）に到達する。事象発生から25分後に低圧代替注水系（常設）による原子炉注水を開始するが、注水配管が破断しているため原子炉圧力容器へは注水されず、原子炉水位は回復することなく原子炉圧力容器破損に至る。

事象発生から25分後に代替格納容器スプレイ冷却系（常設）による格納容器冷却を開始し、90分後から代替循環冷却系による格納容器除熱に切り替えることで、原子炉圧力容器破損前の格納容器圧力及び雰囲気温度上昇を抑制する。原子炉圧力容器破損後は、代替循環冷却系による格納容器除熱に加えて、代替格納容器スプレイ冷却系（常設）による格納容器冷却及び格納容器下部注水系（常設）によるペDESTAL（ドライウエル部）注水を実施することで、格納容器圧力及び雰囲気温度上昇を抑制するとともに、ペDESTAL（ドライウエル部）へ落下した熔融炉心の冷却を維持する。

格納容器圧力、格納容器雰囲気温度等の推移を第1図から第7図に示す。

第1図のとおり、格納容器バウンダリにかかる圧力は、限界圧力0.62MPa[gage]を超えない。また、第2図のとおり、格納容器バウンダリにかかる温度（壁面温度）の最高値は約153℃となり、限界温度200℃を超えない。

原子炉水位の低下が早いことから事象進展が早くなり、約 1.3 時間後に炉心支持板が破損し、その後、約 2.6 時間後に原子炉圧力容器破損に至る。

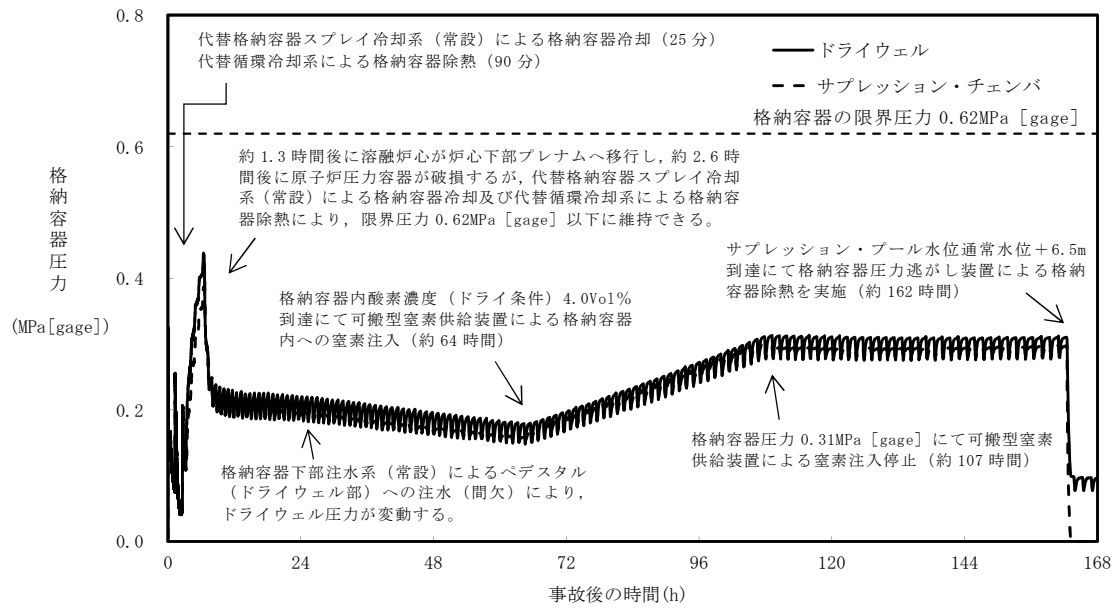
原子炉圧力容器の底部ドレン配管からの流入によりペDESTAL（ドライウェル部）が満水となった場合でも、床ドレン及び機器ドレン排水経路による水位 1m までの排水に必要な時間は約 1.3 時間であり（添付資料 3.2.3 参照）、原子炉圧力容器が破損する約 2.6 時間後までにペDESTAL（ドライウェル部）の水位は 1m まで排水可能である。

第 3 図及び第 4 図のとおり、ペDESTAL（ドライウェル部）に落下した溶融炉心は、初期水張り水及び溶融炉心落下後のペDESTAL（ドライウェル部）への注水により冷却され、ペDESTAL（ドライウェル部）壁面及び床面におけるコンクリートの侵食は発生しない。

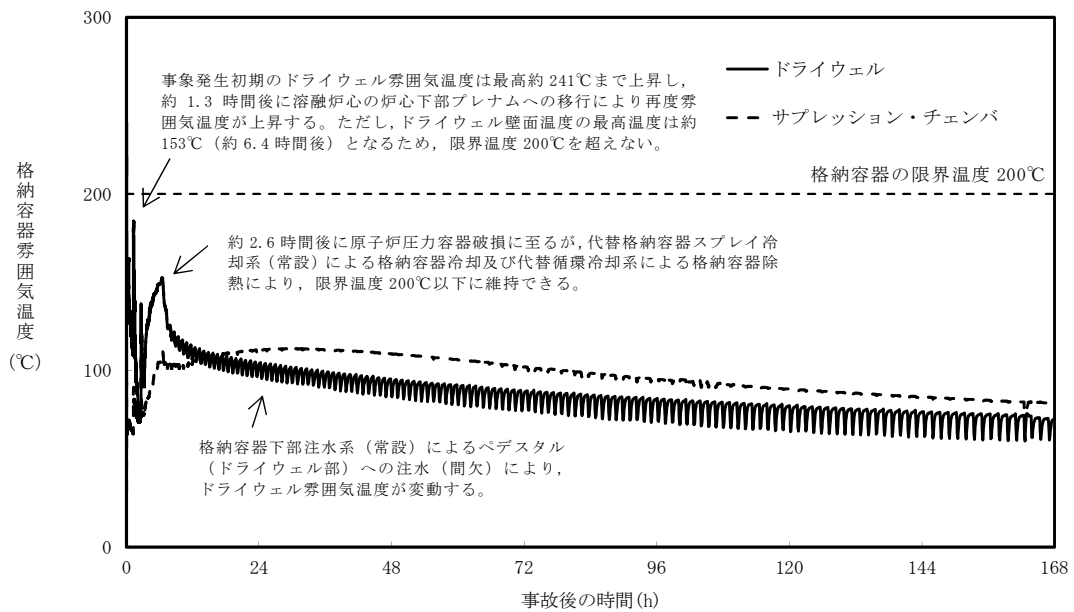
格納容器内水素濃度及び酸素濃度については、第 5 図及び第 6 図のとおり、ジルコニウム-水反応によって水素濃度は 13vol% を大きく上回るが、可搬型窒素供給装置による格納容器内への窒素注入及び格納容器圧力逃がし装置による格納容器除熱により、酸素濃度は可燃限界濃度である 5vol% を下回るため、格納容器内での水素燃焼は発生しない。

サプレッション・プール水位は、第 7 図のとおり、格納容器下部注水系（常設）によるペDESTAL（ドライウェル部）注水により徐々に上昇するが、事象発生約 162 時間後に通常水位 +6.5m に到達し、格納容器圧力逃がし装置による格納容器除熱操作を実施した以降は、一時的に水位上昇がみられるものの、ベント配管位置よりも低く推移するため、格納容器圧力逃がし装置による格納容器除熱操作の継続は可能となる。

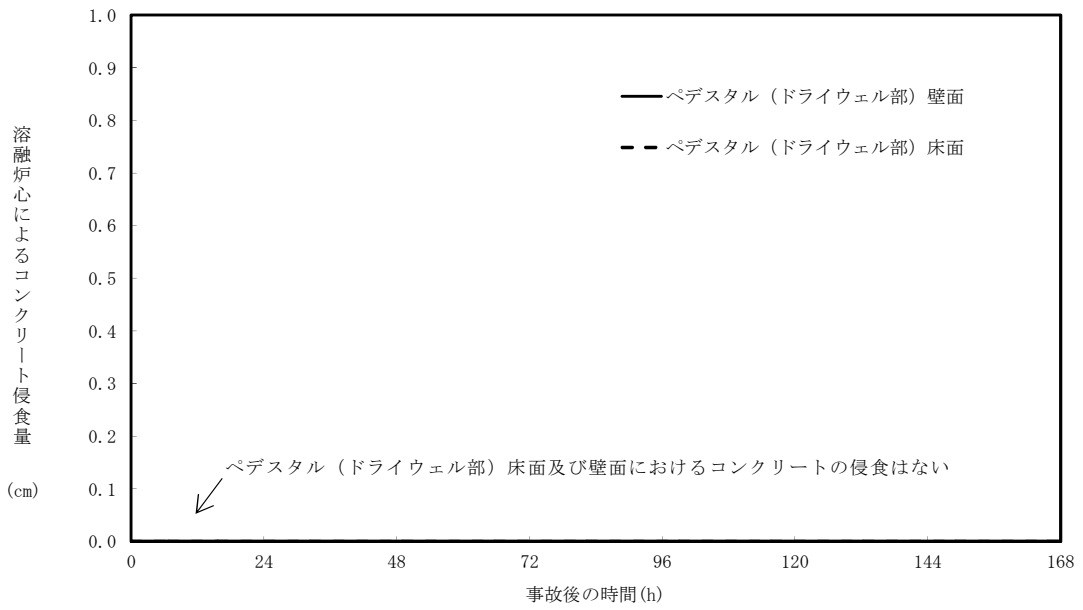
以上より、E x c e s s i v e L O C A 発生時にも格納容器の健全性は確保できる。



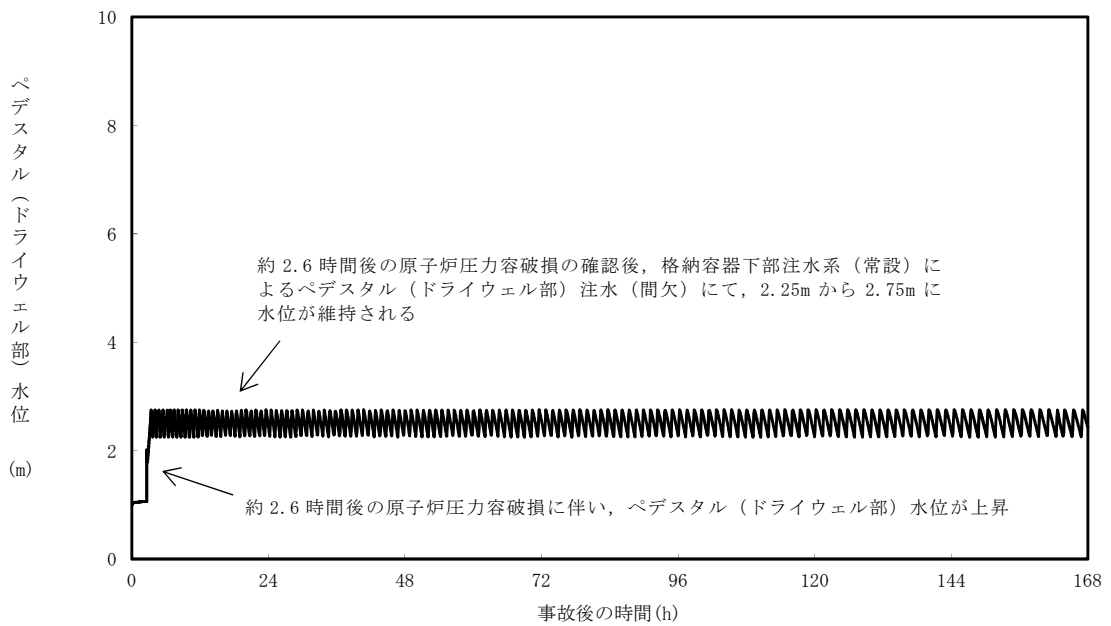
第 1 図 格納容器圧力の推移



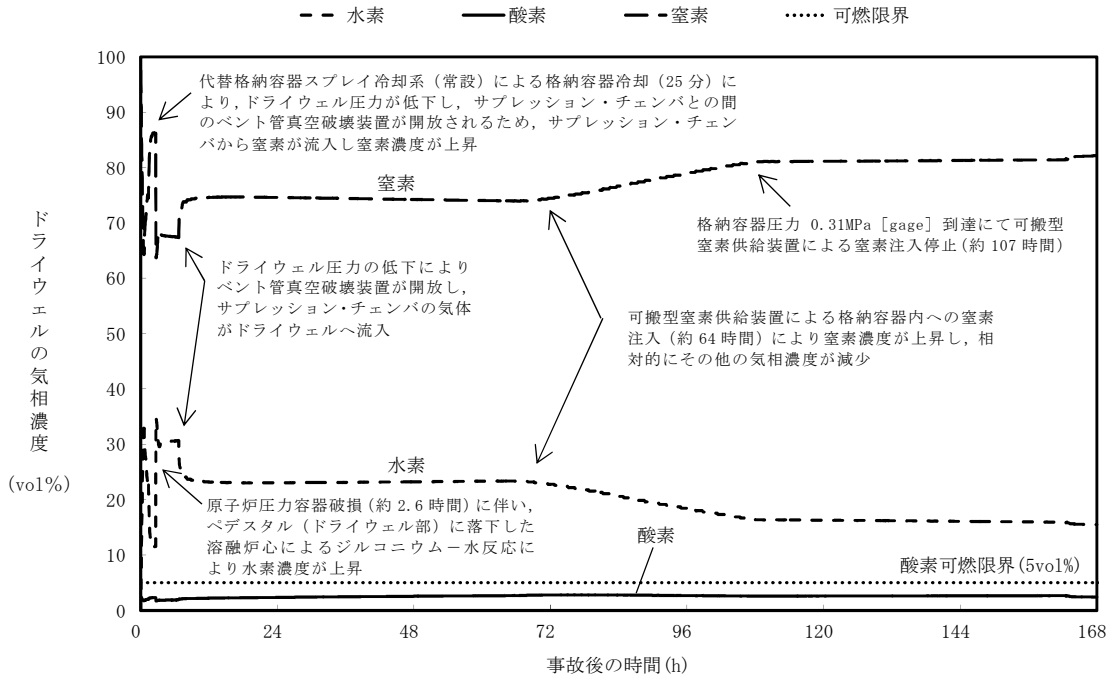
第 2 図 格納容器雰囲気温度の推移



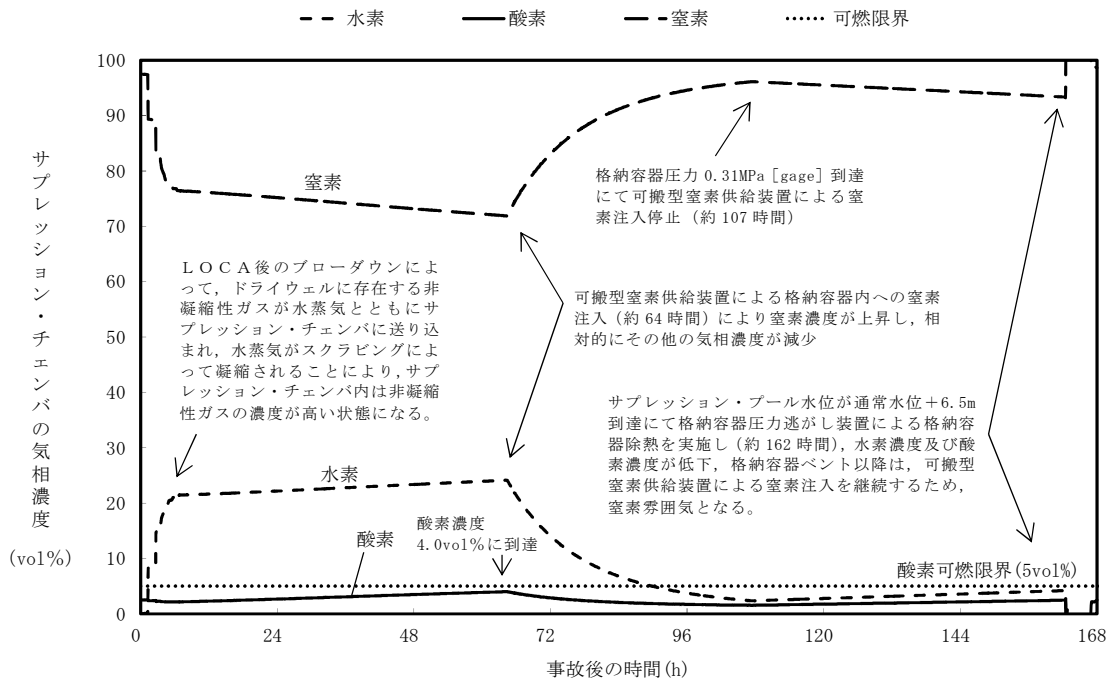
第3図 ペDESTAL（ドライウエル部）床面及び壁面のコンクリート侵食量の推移



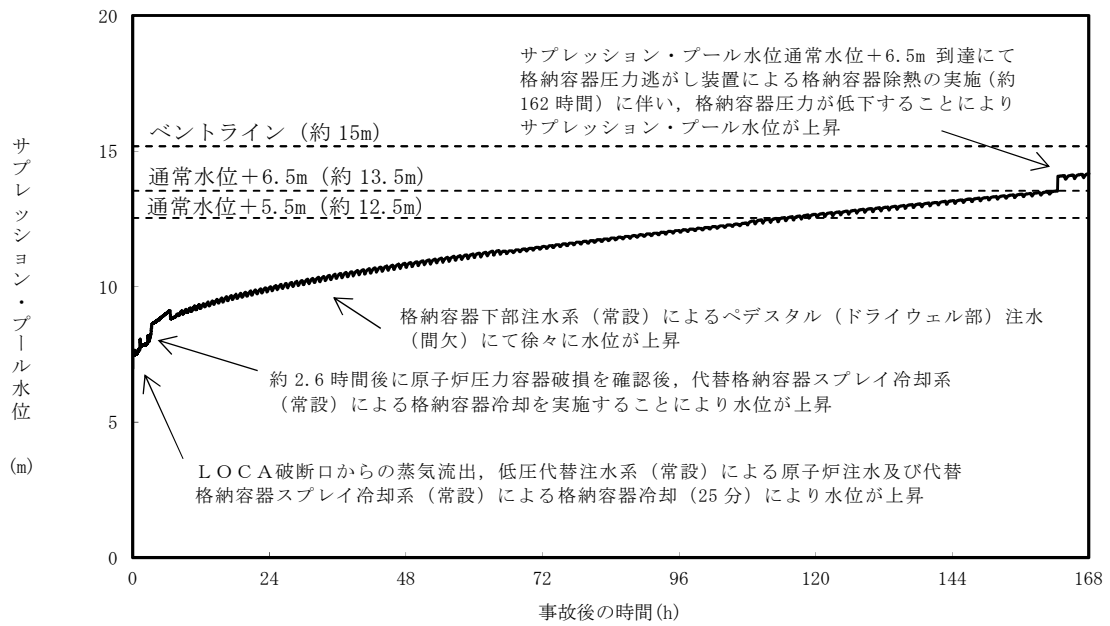
第4図 ペDESTAL水位の推移



第5図 ドライウエルの気相濃度の推移（ドライ条件）



第6図 サプレッション・チェンバの気相濃度の推移（ドライ条件）



第 7 図 サプレッション・プール水位の推移

7日間における水源の対応について

(雰囲気圧力・温度による静的負荷 (格納容器過圧・過温破損)

(代替循環冷却系を使用する場合))

1. 水源に関する評価

① 淡水源 (有効水量)

・代替淡水貯槽：約 4,300m³

2. 水使用パターン

① 常設低圧代替注水系ポンプを用いた低圧代替注水系 (常設) による原子炉注水

事象発生 25 分後，定格流量で代替淡水貯槽を水源とした常設低圧代替注水系ポンプを用いた低圧代替注水系 (常設) による原子炉注水を実施する。

代替循環冷却系による原子炉注水が開始される事象発生約 90 分後，常設低圧代替注水系ポンプを用いた低圧代替注水系 (常設) による原子炉注水を停止する。

② 常設低圧代替注水系ポンプを用いた代替格納容器スプレイ冷却系 (常設) による格納容器冷却

事象発生 25 分後から炉心水位回復まで，代替淡水貯槽を水源とした常設低圧代替注水系ポンプを用いた代替格納容器スプレイ冷却系 (常設) による格納容器冷却を実施する。

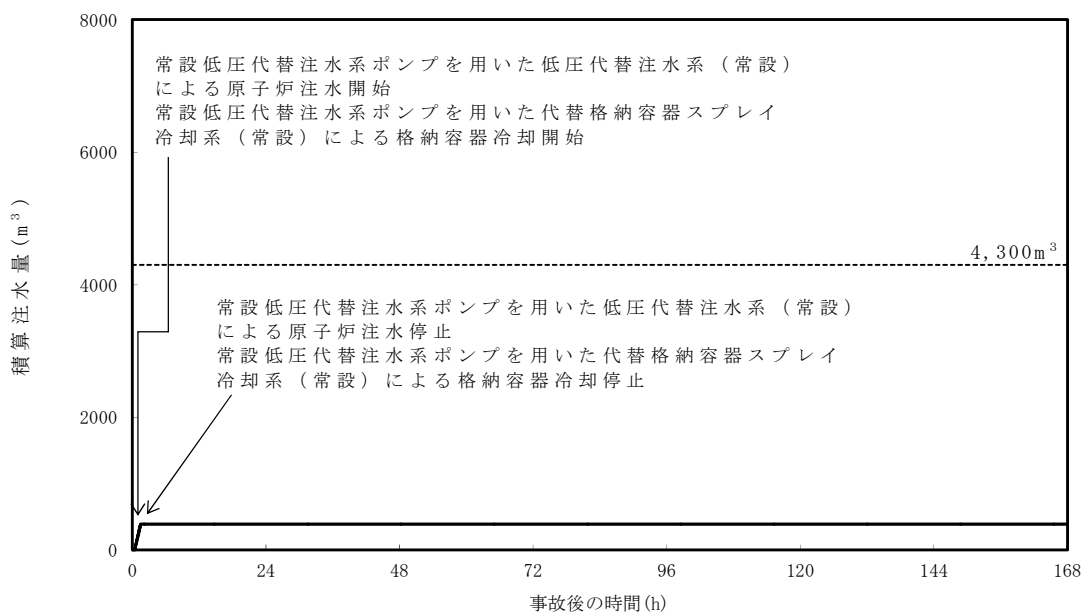
代替循環冷却系による格納容器除熱が開始される事象発生約 90 分後に，常設低圧代替注水系ポンプを用いた代替格納容器スプレイ冷却系 (常設) による格納容器冷却を停止する。

3. 時間評価

原子炉注水等によって、代替淡水貯槽の水量は減少する。

事象発生 90 分後までに代替循環冷却系による格納容器除熱操作を実施し、その後、低圧代替注水系（常設）による原子炉注水等を停止するため、代替淡水貯槽の水量の減少は停止する。

この間の代替淡水貯槽の使用水量は合計約 400m³ である。



第 1 図 外部水源による積算注水量

(雰囲気圧力・温度による静的負荷（格納容器過圧・過温破損）

(代替循環冷却系を使用する場合))

4. 水源評価結果

時間評価の結果から、7 日間の対応において合計約 400m³ の水が必要となるが、代替淡水貯槽に約 4,300m³ の水を保有することから必要水量を確保している。このため、安定して冷却を継続することが可能である。

7 日間における燃料の対応について

(雰囲気圧力・温度による静的負荷 (格納容器過圧・過温破損))

(代替循環冷却を使用する場合))

保守的に全ての設備が、事象発生直後から 7 日間燃料を消費するものとして評価する。

| 時系列 | 合計 | 判定 |
|---|-----------------------------|--|
| 常設代替高圧電源装置 5 台起動 (燃料消費率は保守的に定格出力運転時を想定) $420.0\text{L/h (燃料消費率)} \times 168\text{h (運転時間)} \times 5 \text{ 台 (運転台数)}$ =約 352.8kL | 7 日間の 軽油消費量 約 352.8kL | 軽油貯蔵タンクの容量は約 800kL であり、7 日間対応可能 |
| 可搬型窒素供給装置用電源車 1 台起動 (格納容器内への窒素注入) $110.0\text{L/h (燃料消費率)} \times 168\text{h (運転時間)} \times 1 \text{ 台 (運転台数)}$ =約 18.5kL | 7 日間の 軽油消費量 約 18.5kL | 可搬型設備用軽油タンクの容量は約 210kL であり、7 日間対応可能 |
| 緊急時対策所用発電機 1 台起動 (燃料消費率は保守的に定格出力運転時を想定) $411\text{L/h (燃料消費率)} \times 168\text{h (運転時間)} \times 1 \text{ 台 (運転台数)}$ =約 70.0kL | 7 日間の 軽油消費量 約 70.0kL | 緊急時対策所用発電機燃料油貯蔵タンクの容量は約 75kL であり、7 日間の対応可能 |

常設代替交流電源設備の負荷

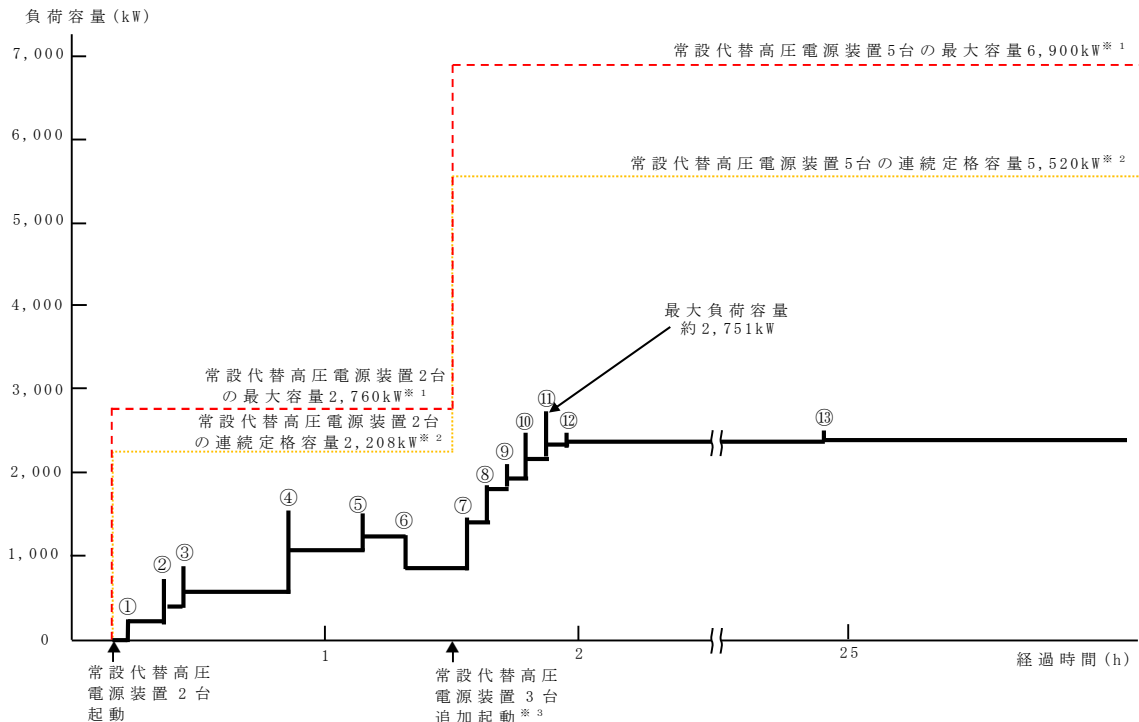
(雰囲気圧力・温度による静的負荷 (格納容器過圧・過温破損))

(代替循環冷却系を使用する場合))

主要負荷リスト

【電源設備：常設代替高压電源装置】

| 起動順序 | 主要機器名称 | 負荷容量 (kW) | 負荷起動時の最大負荷容量 (kW) | 定常時の連続最大負荷容量 (kW) |
|------|--|------------------------------------|-------------------|-------------------|
| ① | 緊急用母線自動起動負荷 ・緊急用直流125V充電器 ・その他必要な負荷 | 約120 約97 | 約245 | 約217 |
| ② | 常設低圧代替注水系ポンプ | 約190 | 約702 | 約407 |
| ③ | 常設低圧代替注水系ポンプ | 約190 | 約892 | 約597 |
| ④ | 緊急用海水ポンプ その他必要な負荷 | 約510 約4 | 約1,579 | 約1,111 |
| ⑤ | 代替循環冷却系ポンプ | 約140 | 約1,468 | 約1,251 |
| ⑥ | 停止負荷 常設低圧代替注水系ポンプ2台 | 約-380 | - | 約871 |
| ⑦ | 非常用母線2C自動起動負荷 ・直流125V充電器A ・非常用照明※4 ・120/240V計装用主母線盤2A ・その他必要な負荷 ・その他不要な負荷※4 | 約79 約108 約134 約14 約234 | 約1,453 | 約1,440 |
| ⑧ | 非常用母線2D自動起動負荷 ・直流125V充電器B ・非常用照明※4 ・120/240V計装用主母線盤2B ・その他不要な負荷※4 | 約60 約86 約134 約135 | 約1,860 | 約1,855 |
| ⑨ | 非常用ガス再循環系排風機 非常用ガス処理系排風機 その他必要な負荷 停止負荷 | 約55 約8 約95 約-52 | 約2,149 | 約1,961 |
| ⑩ | 中央制御室空調換気系空調機ファン 中央制御室換気系フィルタ系ファン その他必要な負荷 | 約45 約8 約183 | 約2,538 | 約2,197 |
| ⑪ | 蓄電池室排気ファン その他必要な負荷 | 約8 約154 | 約2,751 | 約2,359 |
| ⑫ | ほう酸水注入ポンプ | 約37 | 約2,486 | 約2,396 |
| ⑬ | 代替燃料プール冷却系ポンプ | 約30 | 約2,505 | 約2,426 |



常設代替高压電源装置の負荷積算イメージ

- ※1 常設代替高压電源装置定格出力運転時の容量 (1,380kW×運転台数=最大容量)
- ※2 常設代替高压電源装置定格出力運転時の80%の容量 (1,380kW×0.8×運転台数=連続定格容量)
- ※3 非常用母線の負荷への給電に伴い、負荷容量が増加するため、常設代替高压電源装置を3台追加起動する
- ※4 有効性評価で期待していないが電源供給される不要な負荷

格納容器内の酸素濃度上昇抑制のための対応操作について

1. 概 要

炉心損傷後は水の放射線分解により格納容器内で酸素が発生するため、水素燃焼を防止する観点から、酸素濃度4.3vol%（ドライ条件）到達で格納容器圧力逃がし装置による格納容器除熱操作（以下「格納容器ベント」という。）を実施することで、可燃性ガスを排出する手順としている。一方で、環境への影響を考慮すると、格納容器ベントを可能な限り遅延する必要があるため、格納容器ベントの実施基準である酸素濃度4.3vol%の到達時間を遅らせる目的から、可搬型窒素供給装置による格納容器内への窒素注入操作（以下「窒素注入」という。）を実施することとしている。ここでは、有効性評価の事象進展を参照し、窒素注入及び格納容器ベントに係る判断基準の妥当性について示す。

2. 窒素注入の判断基準と作業時間について

窒素注入に係る判断基準は以下のとおり設定している。

- a. 可搬型窒素供給装置の起動準備操作の開始基準：酸素濃度 3.5vol%
- b. 窒素注入の開始基準：酸素濃度 4.0vol%

「3.4 水素燃焼」において、水の放射線分解における水素及び酸素のG値を設計基準事故対処設備である可燃性ガス濃度制御系の性能を評価する際に用いている値により感度解析を実施しており、水素及び酸素濃度の上昇が早い感度解析においても、第1表のとおり、可搬型窒素供給装置の起動準備時間が約6時間（約360分）確保できるため、起動準備時間の180分に対して十分余裕があることが確認できる。

第1表 設計基準事故のG値を用いた場合の評価結果

| 酸素濃度 | 到達時間 | 窒素注入準備の余裕時間 |
|---------|-------|-------------|
| 3.5vol% | 約15時間 | 約6時間 |
| 4.0vol% | 約21時間 | |

3. 窒素注入及び格納容器ベントの実施基準について

窒素注入及び格納容器ベントに係る実施基準, 実施基準の設定根拠を第2表に示す。操作時間や水素濃度及び酸素濃度監視設備の計装誤差（約0.6vol%）を考慮しても、可燃限界領域（酸素濃度5.0vol%以上）に到達することなく、窒素注入及び格納容器ベントが実施可能である。

第2表 窒素注入及び格納容器ベントの実施基準について

| 操作 | 実施基準 ：計装の読み取り値 | 実施基準の設定根拠 |
|---------------------|--|--------------------------------------|
| 可搬型窒素供給装置の起動準備の開始基準 | 酸素濃度3.5vol% (2.9vol%～ 4.1vol%) ※ | 可搬型窒素供給装置の起動準備時間を考慮して設定 |
| 窒素注入開始基準 | 酸素濃度4.0vol% (3.4vol%～ 4.6vol%) ※ | 格納容器ベントの開始基準の到達前を設定 |
| 格納容器ベント開始基準 | 酸素濃度4.3vol% (3.7vol%～ 4.9vol%) ※ | 計装誤差を踏まえても可燃限界領域到達前に格納容器ベントが可能な基準を設定 |

※ 括弧内は、計装の読み取り値に対して計装誤差を考慮した範囲であり、実機の酸素濃度として想定される範囲

3.1.3 代替循環冷却系を使用できない場合

3.1.3.1 格納容器破損防止対策

「3.1.2 代替循環冷却系を使用する場合」では、格納容器破損モード「雰囲気圧力・温度による静的負荷（格納容器過圧・過温破損）」で想定される事故シーケンスに対して、代替循環冷却系を使用する場合を想定し、期待する格納容器破損防止対策の有効性を評価している。代替循環冷却系は多重化設計とした上で、さらなる後段の対策として格納容器圧力逃がし装置を整備するため、重大事故時の事象発生後短期に格納容器圧力逃がし装置を使用することは実質的には考えられないが、本格納容器破損モードで想定される事故シーケンスに対して、代替循環冷却系を使用できない場合を想定し、格納容器圧力逃がし装置の有効性を評価する観点から、格納容器破損防止対策の有効性を評価する。

(添付資料 3.1.3.1)

本格納容器破損モードの重大事故等対策の概略系統図を第 3.1.3-1 図に、対応手順の概要を第 3.1.3-2 図に示すとともに、重大事故等対策の概要を以下に示す。また、重大事故等対策における設備と手順の関係を第 3.1.3-1 表に示す。

(添付資料 3.1.2.1)

本格納容器破損モードにおける評価事故シーケンスにおいて、事象発生 2 時間までの重大事故等対策に必要な要員は、災害対策要員（初動）20 名である。その内訳は次のとおりである。中央制御室の運転員は、当直発電長 1 名、当直副発電長 1 名及び運転操作対応を行う当直運転員 4 名である。発電所構内に常駐している要員のうち、通報連絡等を行う要員は 4 名、現場操作を行う重大事故等対応要員は 10 名である。

また、事象発生 2 時間以降に追加で必要な参集要員は、タンクローリによ

る燃料給油操作を行うための重大事故等対応要員 2 名及び格納容器圧力逃がし装置による格納容器除熱操作を行うための重大事故等対応要員 3 名である。必要な要員と作業項目について第 3.1.3-3 図に示す。

なお、評価事故シーケンス以外の事故シーケンスについては、作業項目を評価事故シーケンスと比較し、必要な要員数を確認した結果、20 名で対処可能である。

a. 原子炉スクラム，LOCA発生及び全交流動力電源喪失の確認

原子炉スクラム，LOCA発生及び全交流動力電源喪失の確認については、「3.1.2.1 a. 原子炉スクラム，LOCA発生及び全交流動力電源喪失の確認」と同じ。

b. 原子炉への注水機能喪失の確認

原子炉への注水機能喪失の確認については、「3.1.2.1 b. 原子炉への注水機能喪失の確認」と同じ。

c. 炉心損傷確認

炉心損傷確認については、「3.1.2.1 c. 炉心損傷確認」と同じ。

(添付資料 3.1.3.2)

d. 早期の電源回復不能判断及び対応準備

早期の電源回復不能判断及び対応準備については、「3.1.2.1 d. 早期の電源回復不能判断及び対応準備」と同じ。

e. 常設代替交流電源設備による緊急用母線の受電並びに代替格納容器スプレイ冷却系（常設）による格納容器冷却及び低圧代替注水系（常設）による原子炉注水

常設代替交流電源設備による緊急用母線の受電並びに代替格納容器スプレイ冷却系（常設）による格納容器冷却及び低圧代替注水系（常設）による原子炉注水については、「3.1.2.1 e. 常設代替交流電源設備に

よる緊急用母線の受電並びに代替格納容器スプレイ冷却系（常設）による格納容器冷却及び低圧代替注水系（常設）による原子炉注水」と同じ。

なお、代替循環冷却系が使用できない場合の評価であることから、原子炉水位L0まで冠水した後は、低圧代替注水系（常設）による原子炉注水の流量を崩壊熱相当に調整し、代替格納容器スプレイ冷却系（常設）による格納容器スプレイを停止する。

低圧代替注水系（常設）による原子炉注水を確認するために必要な計装設備は、低圧代替注水系原子炉注水流量（常設ライン用）等である。

（添付資料 3.1.2.2, 3.1.3.3）

f. 水素濃度及び酸素濃度監視設備の起動

水素濃度及び酸素濃度監視設備の起動については、「3.1.2.1 h. 水素濃度及び酸素濃度監視設備の起動」と同じ。

g. 代替格納容器スプレイ冷却系（常設）による格納容器冷却

格納容器内に崩壊熱等の熱によって発生した水蒸気等が放出されるため、格納容器圧力及び雰囲気温度が徐々に上昇する。ドライウェル圧力を用いて格納容器圧力が 0.465MPa [gage] 到達を確認した場合は、中央制御室からの遠隔操作により常設低圧代替注水系ポンプ 2 台を使用した代替格納容器スプレイ冷却系（常設）により格納容器冷却を実施し、格納容器圧力を 0.400MPa [gage] から 0.465MPa [gage] の範囲で制御する。

代替格納容器スプレイ冷却系（常設）による格納容器冷却を確認するために必要な計装設備は、低圧代替注水系格納容器スプレイ流量（常設ライン用）等である。

格納容器スプレイを継続することによりサブプレッション・プール水位が上昇するため、格納容器ベントに伴うサブプレッション・プール水位の

上昇（約 1.3m）を考慮し、サブプレッション・プール水位がベントライン下端位置を超えないように格納容器スプレイを停止する。

格納容器スプレイの停止を確認するために必要な計装設備は、サブプレッション・プール水位である。

h. 格納容器圧力逃がし装置による格納容器除熱

格納容器圧力逃がし装置による格納容器除熱の準備として、第一弁を中央制御室からの遠隔操作により開する。

サブプレッション・プール水位が通常水位+6.5m に到達した場合、代替格納容器スプレイ冷却系（常設）による格納容器冷却の停止後、第二弁を中央制御室からの遠隔操作によって全開することで、格納容器圧力逃がし装置による格納容器除熱を実施する。

格納容器圧力逃がし装置による格納容器除熱を確認するために必要な計装設備は、サブプレッション・チェンバ圧力等である。

サブプレッション・チェンバ側からの格納容器圧力逃がし装置のベントラインが水没しないことを確認するために必要な計装設備は、サブプレッション・プール水位である。

以降、損傷炉心の冷却は、低圧代替注水系（常設）による注水により継続的に行い、また、格納容器除熱は、格納容器圧力逃がし装置により継続的に行う。

3.1.3.2 格納容器破損防止対策の有効性評価

(1) 有効性評価の方法

本格納容器破損モードを評価する上で選定した評価事故シーケンスは、「1.2 評価対象の整理及び評価項目の設定」に示すとおり、過圧及び過温への対策の有効性を総合的に評価する観点から、プラント損傷状態をLO

CAとし、中小破断LOCAに比べて破断口径が大きいことから事象進展が早く、格納容器圧力及び雰囲気温度上昇の観点で厳しい大破断LOCAを起因とする、「大破断LOCA＋高圧炉心冷却失敗＋低圧炉心冷却失敗」である。

なお、本評価事故シーケンスにおいては、電源の復旧、注水機能の確保等、必要となる事故対処設備が多く、格納容器への注水・除熱を実施するまでの対応時間を厳しく評価する観点から、全交流動力電源喪失の重畳を考慮する。

本評価事故シーケンスでは、炉心における崩壊熱、燃料棒内温度変化、燃料棒表面熱伝達、燃料被覆管酸化、燃料被覆管変形、沸騰・ボイド率変化及び気液分離（水位変化）・対向流、原子炉圧力容器におけるECCS注水（給水系・代替注水設備含む）、炉心損傷後の原子炉圧力容器におけるリロケーション、構造材との熱伝達及び原子炉圧力容器内FP挙動、格納容器における格納容器各領域間の流動、構造材との熱伝達及び内部熱伝導、気液界面の熱伝達、スプレー冷却及び格納容器ベント並びに炉心損傷後の格納容器における格納容器内FP挙動が重要現象となる。

よって、これらの現象を適切に評価することが可能であり、原子炉圧力容器内及び格納容器内の熱水力モデルを備え、かつ、炉心損傷後のシビアアクシデント特有の熔融炉心挙動に関するモデルを有するシビアアクシデント総合解析コードMAAPにより原子炉水位、燃料最高温度、格納容器圧力、格納容器雰囲気温度等の過渡応答を求める。

また、解析コード及び解析条件の不確かさの影響評価の範囲として、本評価事故シーケンスにおける運転員等操作時間に与える影響、評価項目となるパラメータに与える影響及び操作時間余裕を評価する。

(2) 有効性評価の条件

本評価事故シーケンスに対する初期条件も含めた主要な解析条件を第3.1.3-2表に示す。また、主要な解析条件について、本評価事故シーケンス特有の解析条件を以下に示す。

a. 事故条件

(a) 起因事象

起因事象として、大破断LOCAが発生するものとする。破断箇所は、原子炉压力容器内の保有水量を厳しく評価し、かつ、格納容器内の圧力上昇及び温度上昇の観点で厳しい設定として、再循環系配管（出口ノズル）とする。

(添付資料 1.5.2)

(b) 安全機能の喪失に対する仮定

非常用ディーゼル発電機等の機能喪失を想定し、全交流動力電源が喪失するものとする。さらに非常用炉心冷却系等が機能喪失するものとする。なお、代替循環冷却系は使用できないものとする。

(c) 外部電源

外部電源は使用できないものと仮定する。

送電系統又は所内主発電設備の故障等によって、外部電源が喪失するとともに、非常用ディーゼル発電機等の機能喪失を想定する。

(d) 水素の発生

水素の発生については、ジルコニウム-水反応を考慮するものとする。なお、解析コードMAAPの評価結果では水の放射線分解等による水素発生は考慮していないため、「(4) 有効性評価の結果」にてその影響を評価する。

b. 重大事故等対策に関連する機器条件

(a) 原子炉スクラム信号

原子炉スクラムは、原子炉水位低（レベル3）信号によるものとする。

(b) 主蒸気隔離弁

主蒸気隔離弁は、事象発生と同時に閉止するものとする。

(c) 再循環系ポンプ

再循環系ポンプは、事象発生と同時に停止するものとする。

(d) 低圧代替注水系（常設）による原子炉注水

230m³/hにて原子炉注水し、原子炉水位LOまで回復後は、崩壊熱による蒸発量相当の注水流量（最大50m³/h）で注水する。なお、低圧代替注水系（常設）による原子炉注水は、格納容器スプレイと同じ常設低圧代替注水系ポンプを用いて流量分配することで実施する。

（添付資料3.1.2.3）

(e) 代替格納容器スプレイ冷却系（常設）による格納容器冷却

事象初期の原子炉注水実施時の格納容器スプレイ流量は、格納容器圧力及び雰囲気温度上昇の抑制に必要なスプレイ流量を考慮し、130m³/hにて格納容器内にスプレイする。また、0.465MPa [gage]到達時の格納容器スプレイは、運転手順における調整範囲の上限である130m³/hにて格納容器内にスプレイする。なお、格納容器スプレイは、原子炉注水と同じ常設低圧代替注水系ポンプを用いて流量分配することで実施する。

（添付資料3.1.2.3）

(f) 格納容器下部注水系（常設）

格納容器雰囲気温度の挙動を厳しく評価するため、初期条件としてペDESTAL（ドライウェル部）のプール水を考慮していないことから、

格納容器下部注水系（常設）によるペDESTAL（ドライウェル部）水位の確保操作についても考慮しない。

(g) 格納容器圧力逃がし装置による格納容器除熱

格納容器圧力 0.31MPa [gage] における排気流量 13.4kg/s に対して、第二弁の中央制御室からの遠隔操作による全開操作にて格納容器除熱を実施する。

c. 重大事故等対策に関連する操作条件

運転員等操作に関する条件として、「1.3.5 運転員等の操作時間に対する仮定」に示す分類に従って以下のとおり設定する。

- (a) 交流電源は、常設代替交流電源設備によって供給を開始し、代替格納容器スプレイ冷却系（常設）による格納容器冷却操作及び低圧代替注水系（常設）による原子炉注水操作は、事象発生 25 分後から開始する。また、代替循環冷却系による格納容器除熱操作ができないことから、原子炉水位 L0 まで回復したことを確認した場合、原子炉注水流量を崩壊熱相当に調整し、格納容器冷却を停止する。
- (b) 代替格納容器スプレイ冷却系（常設）による格納容器冷却操作は、格納容器圧力が 0.465MPa [gage] に到達した場合に開始し、0.400MPa [gage] に到達した場合は停止する。なお、格納容器ベントに伴うサプレッション・プール水位の上昇（約 1.3m）を考慮し、サプレッション・プール水位が通常水位+6.5m に到達した以降は格納容器スプレイを停止する。
- (c) 格納容器圧力逃がし装置による格納容器除熱操作は、サプレッション・プール水位が通常水位+6.5m 到達から 5 分後に実施する。

(3) 有効性評価（Cs-137 の放出量評価）の条件

- a. 事象発生直前まで、定格出力の 100%で長時間にわたって運転されていたものとする。その運転時間は、燃料を約 1/4 ずつ取り替えていく場合の平衡炉心を考え、最高 50,000 時間とする。
- b. 格納容器圧力逃がし装置を用いた場合の環境中への総放出量の評価においては、原子炉内に内蔵されている核分裂生成物が事象進展に応じた割合で、格納容器内に放出[※]され、サブプレッション・チェンバ又はドライウエルのベントラインを通じて格納容器圧力逃がし装置に至るものとする。

格納容器圧力逃がし装置に到達した核分裂生成物は、格納容器圧力逃がし装置内のフィルタによって除去された後、格納容器圧力逃がし装置出口配管から放出される。

※ セシウムの格納容器内への放出割合については、本評価事故シナリオにおいては解析コードMAAPの評価結果の方が代表的なソースタームに関する報告書であるNUREG-1465より大きく算出する。

- c. 格納容器圧力逃がし装置を用いた場合のCs-137放出量は、以下の式で計算される。

$$C_{s-137} \text{ の放出量 (Bq) } = f_{Cs} \times Bq_{Cs-137} \times (1/DF)$$

$$f_{Cs} = f_{CsOH} + (M_I / M_{Cs}) \times (W_{Cs} / W_I) \times (f_{CsI} - f_{CsOH})$$

f_{Cs} : 格納容器からのセシウムの放出割合

f_{CsI} : 格納容器からのCsIの放出割合

(MAAPコードでの評価値)

f_{CsOH} : 格納容器からのCsOHの放出割合

(MAAPコードでの評価値)

M_I : よう素の初期重量 (kg)

M_{Cs} : セシウムの初期重量 (kg)

W_I : よう素の分子量 (kg/kmol)

W_{Cs} : セシウムの分子量 (kg/kmol)

Bq_{Cs-137} : $Cs-137$ の炉内内蔵量 (Bq)

DF : 格納容器圧力逃がし装置の除染係数

d. 格納容器内に放出された $Cs-137$ については、格納容器スプレイやサプレッション・チェンバのプール水でのスクラビング等による除去効果を考慮する。

e. 格納容器圧力逃がし装置を介して大気中へ放出される $Cs-137$ の放出量評価条件は以下のとおりとする。

(a) 格納容器内から原子炉建屋への漏えいはないものとする。

(b) 格納容器圧力逃がし装置による粒子状放射性物質に対する除染係数は 1,000 とする。

f. 原子炉建屋から大気中への放射性物質の漏えいについても考慮する。
漏えい量の評価条件は以下のとおりとする。

(a) 格納容器からの漏えい量は、格納容器圧力に応じた設計漏えい率を基に評価する。

(b) 原子炉建屋から大気中に漏えいする放射性物質を保守的に見積もるため、原子炉建屋ガス処理系により原子炉建屋原子炉棟内の負圧が達成されるまでの期間は、原子炉建屋内の放射性物質の保持機能に期待しないものとする。

原子炉建屋ガス処理系により負圧を達成した後は非常用ガス処理系の設計換気率 1 回/d 相当を考慮する。なお、非常用ガス処理系フィルタトレイン及び非常用ガス再循環系フィルタトレインによる放射性物質の除去効果については、期待しないものとする。

原子炉建屋ガス処理系は、事象発生 115 分後から、常設代替交流電源設備からの交流電源の供給を受け中央制御室からの遠隔操作により起動し、起動後 5 分間で負圧が達成されることを想定する。

- (c) 原子炉建屋内での放射能の時間減衰は考慮せず、また、原子炉建屋内での粒子状物質の除去効果は保守的に考慮しない。

(添付資料 3.1.3.4, 3.1.3.5, 3.1.3.6)

(4) 有効性評価の結果

本評価事故シーケンスにおける原子炉水位（シュラウド内外水位）、注水流量及び原子炉圧力容器内の保有水量の推移を第 3.1.3-4 図から第 3.1.3-8 図に、燃料最高温度の推移を第 3.1.3-9 図に、格納容器圧力、格納容器雰囲気温度、サプレッション・プール水位及びサプレッション・プール水温度の推移を第 3.1.3-10 図から第 3.1.3-15 図に示す。

a. 事象進展

大破断 L O C A 時に高圧・低圧注水機能及び全交流動力電源が喪失するため、原子炉水位は急速に低下する。水位低下により炉心は露出し、事象発生から約 4 分後に燃料被覆管の最高温度は 1,000K（約 727℃）に到達し、炉心損傷が開始する。燃料被覆管の最高温度は事象発生から約 9 分後に 1,200℃に到達し、また、事象発生から約 27 分後に燃料温度は 2,500K（約 2,227℃）に到達する。事象発生から 25 分後、常設代替交流電源設備による交流電源の供給を開始し、常設低圧代替注水系ポンプ 2 台を用いた低圧代替注水系（常設）による原子炉注水を開始することによって、原子炉圧力容器破損に至ることなく、原子炉水位 L 0 以上まで原子炉水位は回復し、炉心は冠水する。

(添付資料 3.1.2.6)

格納容器内に崩壊熱等の熱によって発生した水蒸気等が放出されるため、格納容器圧力及び雰囲気温度は上昇する。そのため、原子炉注水と同時に格納容器スプレイを実施することによって、格納容器圧力及び雰囲気温度の上昇を抑制する。

原子炉水位が原子炉水位LOに回復後、サプレッション・プール水位の上昇を抑制するため、原子炉注水を崩壊熱による蒸発量相当の注水流量とし、代替格納容器スプレイ冷却系（常設）による格納容器スプレイを停止する。

その後、崩壊熱等の熱によって発生した水蒸気等の格納容器内への放出により、格納容器圧力及び雰囲気温度は徐々に上昇する。そのため、再度、代替格納容器スプレイ冷却系（常設）による格納容器冷却を実施することによって、格納容器圧力及び雰囲気温度の上昇は抑制される。

ベントラインの水没防止のために、格納容器ベントに伴うサプレッション・プール水位の上昇（約 1.3m）を考慮し、サプレッション・プール水位がベントライン下端を超えないように、事象発生から約 19 時間後にサプレッション・プール水位が通常水位+6.5m に到達した時点で、格納容器スプレイを停止する。

格納容器スプレイを停止後、格納容器圧力逃がし装置による格納容器除熱を実施し、格納容器圧力及び雰囲気温度を低下させる。

格納容器雰囲気温度は、格納容器ベントによる格納容器雰囲気温度低下後、熔融炉心からの放熱によって数十時間は上昇傾向となるが、崩壊熱の減少に伴い低下傾向に転じて、その後は徐々に低下する。格納容器圧力については格納容器ベントによる格納容器圧力低下後、サプレッション・プールの減圧沸騰により数十時間は圧力が上昇傾向となるが、崩壊熱の減少に伴い低下傾向に転じて、その後は徐々に低下する。

b. 評価項目等

格納容器圧力は、第 3.1.3-10 図に示すとおり、格納容器内に崩壊熱等の熱によって発生した水蒸気等が放出されるため上昇するが、代替格納容器スプレイ冷却系（常設）による格納容器冷却及びサブプレッション・プール水位が通常水位+6.5m に到達し代替格納容器スプレイを停止した場合に格納容器圧力逃がし装置による格納容器除熱を行うことによって、格納容器バウンダリにかかる圧力の最大値は、格納容器の限界圧力 0.62MPa [gage] を超えない。なお、格納容器バウンダリにかかる圧力が最大となる事象発生約 18 時間後（最も遅く最大値に到達する時間）において、水の放射線分解によって発生する水素及び酸素は、格納容器内の非凝縮性ガスに占める割合の 2%未満であるため、その影響は無視し得る程度である。

(添付資料 3.1.2.7)

格納容器雰囲気温度は、第 3.1.3-11 図に示すとおり、格納容器内に崩壊熱等の熱によって発生した水蒸気等が放出されるため上昇するが、代替格納容器スプレイ冷却系（常設）による格納容器冷却及び格納容器圧力逃がし装置による格納容器除熱を行うことによって、格納容器バウンダリにかかる温度（壁面温度）の最高値は約 157℃となり、格納容器の限界温度 200℃を超えない。なお、事象発生直後、破断口から流出する過熱蒸気により一時的に格納容器雰囲気温度は約 202℃となるが、このときの格納容器バウンダリにかかる温度（壁面温度）は約 137℃であり、格納容器の限界温度 200℃を超えない。

(添付資料 3.1.2.8)

サブプレッション・チェンバのベントラインを經由した場合の格納容器圧力逃がし装置による大気中への Cs-137 の総放出量は約 1.2×10^{-4}

TBq（7日間）であり，100TBqを下回る。

ドライウエルのベントラインを経由した場合の格納容器圧力逃がし装置による大気中へのCs-137の総放出量は約3.7TBq（7日間）であり，100TBqを下回る。

なお，格納容器が健全であるため，格納容器から原子炉建屋への放射性物質の漏えい量は制限され，また，大気中へはほとんど放出されないものと考えられる。これは，原子炉建屋内に漏えいした放射性物質は，原子炉建屋内で時間減衰し，また，粒子状放射性物質は，原子炉建屋内での重力沈降や水蒸気の凝縮に伴い，原子炉建屋内に沈着すると考えられるためである。原子炉建屋内での放射性物質の時間減衰及び粒子状放射性物質の除去効果等を保守的に考慮せず，原子炉建屋から大気中への放射性物質の漏えいを想定した場合，漏えい量は約15TBq（7日間）となる。原子炉建屋から大気中へのCs-137の漏えい量に，ドライウエルのベントラインを経由した格納容器圧力逃がし装置によるCs-137の放出量を加えた場合でも，約18TBq（7日間）であり，100TBqを下回る。

事象発生からの7日間以降，Cs-137の放出が継続した場合の影響評価を行ったところ，サプレッション・チェンバのベントラインを経由した格納容器圧力逃がし装置による総放出量は，約 1.3×10^{-4} TBq（30日間）及び約 1.5×10^{-4} TBq（100日間）である。ドライウエルのベントラインを経由した場合には，約4.1TBq（30日間）及び約4.1TBq（100日間）である。原子炉建屋から大気中へのCs-137の漏えい量にドライウエルのベントラインを経由した格納容器圧力逃がし装置によるCs-137の放出量を加えた場合でも，約19TBq（30日間）及び約20TBq（100日間）であり，100TBqを下回る。

(添付資料 3.1.3.4, 3.1.3.5, 3.1.3.6)

第 3.1.3-4 図及び第 3.1.3-6 図に示すとおり、低圧代替注水系（常設）による注水継続により炉心が冠水し、炉心の冷却が維持される。その後は、第 3.1.3-14 図に示すとおり、約 19 時間後にサブプレッション・プール水位が通常水位+6.5m に到達した時点で、代替格納容器スプレイ冷却系（常設）による格納容器冷却を停止し、格納容器圧力逃がし装置による格納容器除熱を開始することで安定状態が確立し、また、安定状態を維持できる。

本評価では、「1.2.2.2 有効性を確認するための評価項目の設定」に示す(1)から(3)及び(7)の評価項目について、対策の有効性を確認した。

(添付資料 3.1.3.7)

3.1.3.3 解析コード及び解析条件の不確かさの影響評価

解析コード及び解析条件の不確かさの影響評価の範囲として、運転員等操作時間に与える影響、評価項目となるパラメータに与える影響及び操作時間余裕を評価するものとする。

格納容器破損モード「雰囲気圧力・温度による静的負荷（格納容器過圧・過温破損）」（代替循環冷却系を使用できない場合）では、格納容器内へ流出した高温の原子炉冷却材や熔融炉心の崩壊熱等の熱によって発生した水蒸気、ジルコニウム-水反応等によって発生した非凝縮性ガス等が蓄積することが特徴である。

また、不確かさの影響を確認する運転員等操作は、事象進展に有意な影響を与えると考えられる操作として、常設代替交流電源設備による緊急用母線の受電操作並びに代替格納容器スプレイ冷却系（常設）による格納容器冷却操作及び低圧代替注水系（常設）による原子炉注水操作、格納容器圧力逃が

し装置による格納容器除熱操作とする。

(1) 解析コードにおける重要現象の不確かさの影響評価

本評価事故シーケンスにおいて不確かさの影響評価を行う重要現象とは、「1.7 解析コード及び解析条件の不確かさの影響評価方針」に示すとおりであり、それらの不確かさの影響評価は以下のとおりである。

a. 運転員等操作時間に与える影響

炉心における燃料棒内温度変化、燃料棒表面熱伝達、燃料被覆管酸化及び燃料被覆管変形の不確かさとして、炉心ヒートアップに関するモデルは、TMI事故についての再現性及びCORA実験についての再現性を確認している。炉心ヒートアップの感度解析（ジルコニウム-水反応速度の係数についての感度解析）では、炉心溶融開始時間に与える影響は小さいことを確認している。原子炉注水操作については、LOCAが発生し、高圧・低圧注水機能の喪失により炉心損傷したと判断した場合、速やかに代替格納容器スプレイ冷却系（常設）による格納容器冷却に併せ、低圧代替注水系（常設）による原子炉注水（電源の確保含む）を行う手順となっており、燃料被覆管温度等を操作開始の起点としている運転員等操作はないことから、運転員等操作時間に与える影響はない。また、格納容器圧力が0.465MPa [gage] に到達した場合の格納容器スプレイ操作については、炉心ヒートアップの感度解析では、格納容器圧力及び雰囲気温度への影響は小さいことを確認していることから、運転員等操作時間に与える影響は小さい。

炉心における沸騰・ボイド率変化及び気液分離（水位変化）・対向流の不確かさとして、炉心モデル（炉心水位計算モデル）は、原子炉水位挙動について原子炉圧力容器内のモデルが精緻である解析コードSAF

E R の評価結果との比較により水位低下幅は解析コードM A A P の評価結果の方が大きく，解析コードS A F E R に対して保守的であり，注水操作による燃料有効長頂部までの水位回復時刻は解析コードS A F E R の評価結果との差異は小さいことを確認している。原子炉注水操作については，L O C A が発生し，高圧・低圧注水機能の喪失により炉心損傷したと判断した場合，速やかに代替格納容器スプレイ冷却系（常設）による格納容器冷却及び低圧代替注水系（常設）による原子炉注水（電源の確保含む）を行う手順となっており，原子炉水位を操作開始の起点としている運転員等操作はないことから，運転員等操作時間に与える影響はない。

格納容器における格納容器各領域間の流動，構造材との熱伝達及び内部熱伝導，気液界面の熱伝達の不確かさとして，格納容器モデル（格納容器の熱水力モデル）はH D R 実験解析では区画によって格納容器雰囲気温度を十数℃程度，格納容器圧力を1割程度高めに評価する傾向を確認しているが，B W R の格納容器内の区画とは異なる等，実験体系に起因するものと考えられ，実機体系においてはこの解析で確認された不確かさは小さくなるものと推定される。しかし，全体としては格納容器圧力及び雰囲気温度の傾向を適切に再現できていることから，格納容器圧力を操作開始の起点としている代替格納容器スプレイ冷却系（常設）に係る運転員等操作時間に与える影響は小さい。また，格納容器各領域間の流動，構造材との熱伝達及び内部熱伝導の不確かさにおいては，C S T F 実験解析により格納容器雰囲気温度及び非凝縮性ガスの挙動は測定データと良く一致することを確認しており，その差異は小さいことから，格納容器圧力を操作開始の起点としている代替格納容器スプレイ冷却系（常設）に係る運転員等操作時間に与える影響は小さい。

炉心損傷後の原子炉圧力容器におけるリロケーション及び構造材との熱伝達の不確かさとして、熔融炉心の挙動モデルはTMI事故についての再現性を確認している。本評価事故シーケンスでは、炉心の損傷状態を起点に操作開始する運転員等操作はないことから、運転員等操作時間に与える影響はない。

炉心損傷後の原子炉圧力容器における原子炉圧力容器内F P挙動の不確かさとして、核分裂生成物（F P）挙動モデルはPHEBUS-F P実験解析により原子炉圧力容器内へのF P放出の開始時間を適切に再現できることを確認している。PHEBUS-F P実験解析では、燃料被覆管破裂後のF P放出について実験結果より急激な放出を示す結果が確認されたが、小規模体系の模擬性が原因と推測され、実機の大規模な体系においてこの種の不確かさは小さくなると推定される。本評価事故シーケンスでは、炉心損傷後の原子炉圧力容器内F P放出を操作開始の起点としている運転員等操作はないことから、運転員等操作時間に与える影響はない。

炉心損傷後の格納容器における格納容器内F P挙動の不確かさとして、核分裂生成物（F P）挙動モデルはABCOVE実験解析により格納容器内のエアロゾル沈着挙動を適正に評価できることを確認している。本評価事故シーケンスでは、炉心損傷後の格納容器内F P挙動を操作開始の起点としている運転員等操作はないことから、運転員等操作時間に与える影響はない。

(添付資料 3.1.3.8)

b. 評価項目となるパラメータに与える影響

炉心における燃料棒内温度変化、燃料棒表面熱伝達、燃料被覆管酸化及び燃料被覆管変形の不確かさとして、炉心ヒートアップに関するモデ

ルは、TMI事故についての再現性及びCORA実験についての再現性を確認している。炉心ヒートアップの感度解析（ジルコニウム－水反応速度の係数についての感度解析）では、格納容器圧力及び雰囲気温度への影響は小さいことを確認していることから、評価項目となるパラメータに与える影響は小さい。

炉心における沸騰・ボイド率変化及び気液分離（水位変化）・対向流の不確かさとして、炉心モデル（炉心水位計算モデル）は、原子炉水位挙動について原子炉圧力容器内のモデルが精緻である解析コードSAFERの評価結果との比較により水位低下幅は解析コードMAAPの評価結果の方が大きく、解析コードSAFERに対して保守的であり、注水操作による燃料有効長頂部までの水位回復時刻は解析コードSAFERの評価結果との差異は小さいことを確認していることから、評価項目となるパラメータに与える影響は小さい。

格納容器における格納容器各領域間の流動、構造材との熱伝達及び内部熱伝導、気液界面の熱伝達の不確かさとして、格納容器モデル（格納容器の熱水力モデル）はHDR実験解析では区画によって格納容器雰囲気温度を十数℃程度、格納容器圧力を1割程度高めに評価する傾向を確認しているが、BWRの格納容器内の区画とは異なる等、実験体系に起因するものと考えられ、実機体系においてはこの解析で確認された不確かさは小さくなるものと推定される。しかし、全体としては格納容器圧力及び雰囲気温度の傾向を適切に再現できていることから、評価項目となるパラメータに与える影響は小さい。また、格納容器各領域間の流動、構造材との熱伝達及び内部熱伝導の不確かさにおいては、CSTF実験解析により格納容器雰囲気温度及び非凝縮性ガスの挙動は測定データと良く一致することを確認しており、その差異は小さいことから、評価項

目となるパラメータに与える影響は小さい。

炉心損傷後の原子炉圧力容器におけるリロケーション及び構造材との熱伝達の不確かさとして、熔融炉心の挙動モデルはTMI事故についての再現性を確認している。また、炉心ノード崩壊のパラメータを低下させた感度解析により炉心熔融開始時間に与える影響は小さいことを確認しており、事象進展はほぼ変わらないことから、評価項目となるパラメータに与える影響はない。

炉心損傷後の原子炉圧力容器における原子炉圧力容器内F P挙動の不確かさとして、核分裂生成物（F P）挙動モデルはPHEBUS-F P実験解析により原子炉圧力容器内へのF P放出の開始時間を適切に再現できることを確認している。PHEBUS-F P実験解析では、燃料被覆管破裂後のF P放出について実験結果より急激な放出を示す結果が確認されたが、小規模体系の模擬性が原因と推測され、実機の大規模な体系においてこの種の不確かさは小さくなると推定される。

炉心損傷後の格納容器における格納容器内F P挙動の不確かさとして、核分裂生成物（F P）挙動モデルはABCOVE実験解析により格納容器内のエアロゾル沈着挙動を適正に評価できることを確認している。したがって、大気中へのCs-137の総放出量の観点で評価項目となるパラメータに与える影響はない。なお、本評価事故シーケンスにおける格納容器圧力逃がし装置による大気中へのCs-137の総放出量は、評価項目（100TBqを下回っていること）に対して、サプレッション・チェンバのベントラインを経由した場合は約 1.2×10^{-4} TBq（7日間）、ドラウエルのベントラインを経由した場合は約3.7TBq（7日間）であり、評価項目に対して余裕がある。

（添付資料 3.1.3.8）

(2) 解析条件の不確かさの影響評価

a. 初期条件，事故条件及び重大事故等対策に関連する機器条件

初期条件，事故条件及び重大事故等対策に関連する機器条件は，第3.1.3-2表に示すとおりであり，それらの条件設定を設計値等，最確条件とした場合の影響を評価する。また，解析条件の設定に当たっては，評価項目となるパラメータに対する余裕が小さくなるような設定があることから，その中で事象進展に有意な影響を与えると考えられる項目に関する影響評価の結果を以下に示す。

(a) 運転員等操作時間に与える影響

初期条件の原子炉停止後の崩壊熱は，解析条件の燃焼度 $33\text{GWd}/\text{t}$ に対応したものとしており，その最確条件は平均的燃焼度約 $31\text{GWd}/\text{t}$ であり，解析条件の不確かさとして，最確条件とした場合は，解析条件で設定している崩壊熱よりも小さくなるため，発生する蒸気量は少なくなり，それに伴う原子炉冷却材の放出も少なくなることから，格納容器圧力及び雰囲気温度の上昇が遅くなるが，操作手順（代替格納容器スプレイ冷却系（常設）による格納容器冷却及び格納容器圧力逃がし装置による格納容器除熱を実施すること）に変わりはないことから，運転員等操作時間に与える影響はない。

初期条件の原子炉圧力，原子炉水位，炉心流量，格納容器体積（サプレッション・チェンバ）の空間部及び液相部，サプレッション・プール水位，格納容器圧力並びに格納容器雰囲気温度は，解析条件の不確かさとして，ゆらぎにより解析条件に対して変動を与え得るが，事象進展に与える影響は小さいことから，運転員等操作時間に与える影響は小さい。

事故条件の起因事象は、解析条件の不確かさとして、E x c e s s i v e L O C Aを考慮した場合、原子炉冷却材の流出量が増加することにより炉心損傷開始等が早くなるが、操作手順（速やかに格納容器冷却手段を準備すること）に変わりはないことから、運転員等操作時間に与える影響はない。

機器条件の低圧代替注水系（常設）は、解析条件の不確かさとして、実際の注水量が解析より多い場合（注水特性（設計値）の保守性）、原子炉水位の回復は早くなる。溶融炉心の冠水後の操作として崩壊熱による蒸発を補う注水量に制御するが、注水後の流量調整操作であることから、運転員等操作時間に与える影響はない。

機器条件の代替格納容器スプレイ冷却系（常設）は、解析条件で設定したスプレイ流量（ $130\text{m}^3/\text{h}$ 一定）に対して、最確条件は運転手順における流量調整の範囲（ $102\text{m}^3/\text{h}\sim 130\text{m}^3/\text{h}$ ）となる。最確条件とした場合、サブプレッション・プール水位の上昇が緩和されることから、サブプレッション・プール水位を操作開始の起点とする格納容器圧力逃がし装置を用いた格納容器除熱操作の開始時間が遅くなり、運転員等操作時間に対する余裕は大きくなる。

機器条件の格納容器圧力逃がし装置は、解析条件の不確かさとして、実際の流量が解析より多い場合、格納容器圧力及び雰囲気温度上昇の抑制効果は大きくなるが、操作手順に変わりはないことから、運転員等操作時間に与える影響はない。

（添付資料 3.1.2.12, 3.1.3.8）

(b) 評価項目となるパラメータに与える影響

初期条件の原子炉停止後の崩壊熱は、解析条件の燃焼度 $33\text{GWd}/\text{t}$ に対応したものとしており、その最確条件は平均的燃焼度約 $31\text{GWd}/\text{t}$

t であり、解析条件の不確かさとして、最確条件とした場合は、解析条件で設定している崩壊熱よりも小さくなるため、発生する蒸気量は少なくなり、原子炉水位の低下は緩和され、それに伴う原子炉冷却材の放出も少なくなることから、格納容器圧力及び雰囲気温度の上昇が遅くなるが、格納容器圧力及び雰囲気温度の上昇は格納容器スプレイ及び格納容器ベントにより抑制されることから、評価項目となるパラメータに対する余裕は大きくなる。

初期条件の原子炉圧力、原子炉水位、炉心流量、格納容器体積（サブプレッション・チェンバ）の空間部及び液相部、サブプレッション・プール水位、格納容器圧力並びに格納容器雰囲気温度は、解析条件の不確かさとして、ゆらぎにより解析条件に対して変動を与え得るが、事象進展に与える影響は小さいことから、評価項目となるパラメータに与える影響は小さい。

事故条件の起因事象は、解析条件の不確かさとして、E x c e s s i v e L O C A を考慮した場合、原子炉冷却材の流出量が増加することにより炉心損傷開始等が早くなるが、格納容器へ放出されるエネルギーは大破断 L O C A の場合と同程度であり、第 3.1.2-18 図及び第 3.1.2-19 図に示すとおり、格納容器圧力は 0.62MPa [gage]、格納容器バウンダリにかかる温度は 200℃を下回っていることから、評価項目となるパラメータに与える影響は小さい。

機器条件の低圧代替注水系（常設）は、解析条件の不確かさとして、実際の注水量が解析より多い場合（注水特性（設計値）の保守性）、原子炉水位の回復は早くなり、格納容器圧力及び雰囲気温度上昇の抑制効果は大きくなるが、格納容器圧力及び雰囲気温度の上昇に有意な影響を与えないことから、評価項目となるパラメータに与える影響は

小さい。

機器条件の代替格納容器スプレイ冷却系（常設）は、解析条件で設定したスプレイ流量（ $130\text{m}^3/\text{h}$ 一定）に対して、最確条件は運転手順における流量調整の範囲（ $102\text{m}^3/\text{h}\sim 130\text{m}^3/\text{h}$ ）となる。最確条件とした場合でも、格納容器圧力を 0.400MPa [gage] から 0.465MPa [gage] の範囲内に維持することによりは変わらないことから、評価項目となるパラメータに与える影響は小さい。

機器条件の格納容器圧力逃がし装置は、解析条件の不確かさとして、実際の流量が解析より多い場合、格納容器圧力及び雰囲気温度上昇の抑制効果は大きくなるが、格納容器圧力の最大値は代替格納容器スプレイ冷却系（常設）による格納容器冷却時の操作開始圧力であり、格納容器圧力逃がし装置による格納容器除熱操作時のピーク圧力は格納容器圧力の最大値を下回ることから、評価項目となるパラメータに与える影響はない。

（添付資料 3.1.2.12, 3.1.3.8）

b. 操作条件

操作条件の不確かさとして、操作の不確かさを「認知」、「要員配置」、「移動」、「操作所要時間」、「他の並列操作有無」及び「操作の確実さ」の6要因に分類し、これらの要因が運転員等操作時間に与える影響を評価する。また、運転員等操作時間に与える影響が評価項目となるパラメータに与える影響を評価し、評価結果を以下に示す。

(a) 運転員等操作時間に与える影響

操作条件の常設代替交流電源設備による緊急用母線の受電並びに代替格納容器スプレイ冷却系（常設）による格納容器冷却操作及び低圧代替注水系（常設）による原子炉注水操作は、解析上の操作開始時間

として事象発生から 25 分後を設定している。運転員等操作時間に与える影響として、状況判断から原子炉注水操作までは一連の操作として実施し、同一の運転員による並列操作はなく、操作所要時間を踏まえて解析上の想定時間を設定していることから、運転員等操作時間に与える影響はない。また、原子炉注水によって原子炉水位が原子炉水位 L 0 まで回復した場合、低圧代替注水系（常設）による原子炉注水流量を崩壊熱による蒸発を補う流量に変更するとともに、代替格納容器スプレイ冷却系（常設）による格納容器スプレイを停止する。運転員等操作時間に与える影響として、実態の操作開始時間は、解析上の想定とほぼ同等であり、操作開始時間に与える影響は小さいことから、運転員等操作時間に与える影響も小さい。当該操作は、中央制御室で行う操作であり、他の操作との重複もないことから、他の操作に与える影響はない。

操作条件の代替格納容器スプレイ冷却系（常設）による格納容器冷却操作は、解析上の操作開始時間として格納容器圧力 0.465MPa [gage] 到達時を設定している。運転員等操作時間に与える影響として、格納容器圧力の上昇は緩慢であり、継続監視していることから、操作開始の起点である格納容器圧力 0.465MPa [gage] 到達時点で速やかに操作を実施可能であり、操作開始時間に与える影響は小さいことから、運転員等操作時間に与える影響も小さい。当該操作は、解析コード及び解析条件（操作条件を除く）の不確かさにより操作開始時間は遅れる可能性があるが、中央制御室で行う操作であり、他の操作との重複もないことから、他の操作に与える影響はない。

操作条件の格納容器圧力逃がし装置による格納容器除熱操作は、解析上の操作開始時間として、サブプレッション・プール水位が通常水位

+6.5m 到達から 5 分後を設定している。運転員等操作時間に与える影響として、サプレッション・プール水位が通常水位+6.5m に到達するのは、事象発生から約 19 時間後である。また、格納容器ベントの準備操作はサプレッション・プール水位の上昇傾向を監視しながらあらかじめ操作が可能であり、格納容器ベント操作の操作所要時間は時間余裕を含めて設定されていることから、実態の操作開始時間は解析上の設定とほぼ同等であり、サプレッション・プール水位が通常水位+6.5m 到達時に速やかに格納容器除熱操作をすることが可能であるため、操作開始時間に与える影響は小さいことから、運転員等操作時間に与える影響も小さい。当該操作は、解析コード及び解析条件（操作条件を除く）の不確かさにより操作開始時間は遅れる可能性があるが、中央制御室で行う操作であり、他の操作との重複もないことから、他の操作に与える影響はない。

(添付資料 3.1.3.8)

(b) 評価項目となるパラメータに与える影響

操作条件の常設代替交流電源設備による緊急用母線の受電並びに代替格納容器スプレイ冷却系（常設）による格納容器冷却操作及び低圧代替注水系（常設）による原子炉注水操作は、運転員等操作時間に与える影響として、解析条件は操作所要時間に時間余裕を含めて設定されており、原子炉水位の回復は早くなる可能性があるが、ジルコニウム-水反応量により発熱量が増加する等の影響があるため、格納容器圧力及び雰囲気温度の上昇に大きな差異はない。また、代替格納容器スプレイ操作と原子炉注水操作は、流量分配により同時に実施する操作であり、事象進展はほぼ変わらないことから、評価項目となるパラメータに与える影響は小さい。

操作条件の代替格納容器スプレイ冷却系（常設）による格納容器冷却操作は、運転員等操作時間に与える影響として、格納容器圧力の上昇は緩慢であり、継続監視していることから、操作開始の起点である格納容器圧力 0.465MPa [gage] 到達時点で速やかに操作を実施可能であり、実態の操作開始時間は解析上の設定とほぼ同等であることから、評価項目となるパラメータに与える影響は小さい。

操作条件の格納容器圧力逃がし装置による格納容器除熱操作は、運転員等操作時間に与える影響として、実態の操作開始時間は解析上の設定とほぼ同等であることから、評価項目となるパラメータに与える影響は小さい。

（添付資料 3.1.3.8）

(3) 操作時間余裕の把握

操作開始時間の遅れによる影響度合いを把握する観点から、評価項目となるパラメータに対して、対策の有効性が確認できる範囲内での操作時間余裕を確認し、その結果を以下に示す。

操作条件の常設代替交流電源設備による緊急用母線の受電操作並びに代替格納容器スプレイ冷却系（常設）による格納容器冷却操作及び低圧代替注水系（常設）による原子炉注水操作については、第 3.1.3-16 図から第 3.1.3-18 図に示すとおり、事象発生から 50 分後（操作開始時間 25 分の遅れ）までに常設代替交流電源設備からの受電操作を行い代替格納容器スプレイ冷却系（常設）による格納容器冷却及び低圧代替注水系（常設）による原子炉注水が開始できれば、損傷炉心は炉心位置に保持され、評価項目を満足する結果となることから、時間余裕がある。

なお、格納容器ベント時における Cs 放出量は炉心損傷の程度の影響を

受けるが、格納容器ベント開始時間はほぼ同等であることから、放出量に与える影響は小さい。

操作条件の代替格納容器スプレイ冷却系（常設）による格納容器冷却操作については、操作開始までの時間は事象発生から約 3.9 時間あり、準備時間が確保できるため、時間余裕がある。なお、本操作が大幅に遅れるような場合でも、格納容器圧力が限界圧力 0.62MPa [gage] に到達するまでの時間は事象発生後約 14 時間後であり、時間余裕がある。

操作条件の格納容器圧力逃がし装置による格納容器除熱操作については、格納容器ベント開始までの時間は事象発生から約 19 時間後の操作であり、準備時間が確保できるため、時間余裕がある。

（添付資料 3.1.3.8, 3.1.3.9）

(4) ま と め

解析コード及び解析条件の不確かさの影響評価の範囲として、運転員等操作時間に与える影響、評価項目となるパラメータに与える影響及び操作時間余裕を確認した。その結果、解析コード及び解析条件の不確かさが運転員等操作時間に与える影響等を考慮した場合においても、評価項目となるパラメータに与える影響は小さい。このほか、評価項目となるパラメータに対して、対策の有効性が確認できる範囲内において、操作時間には時間余裕がある。

3.1.3.4 必要な要員及び資源の評価

(1) 必要な要員の評価

格納容器破損モード「雰囲気圧力・温度による静的負荷（格納容器過圧・過温破損）」において、重大事故等対策時における事象発生 2 時間ま

でに必要な要員は、「3.1.3.1 格納容器破損防止対策」に示すとおり 20 名である。「6.2 重大事故等対策時に必要な要員の評価結果」で説明している災害対策要員（初動）の 39 名で対処可能である。

また、事象発生 2 時間以降に必要な参集要員は 5 名であり、発電所構外から 2 時間以内に参集可能な要員の 72 名で確保可能である。

(2) 必要な資源の評価

格納容器破損モード「雰囲気圧力・温度による静的負荷（格納容器過圧・過温破損）」において、必要な水源、燃料及び電源は、「6.1(2) 資源の評価条件」の条件にて評価を行い、その結果を以下に示す。

a. 水 源

低圧代替注水系（常設）による原子炉注水及び代替格納容器スプレイ冷却系（常設）による格納容器スプレイは、7 日間の対応を考慮すると、合計約 5,490m³の水が必要である。水源として、代替淡水貯槽に約 4,300m³及び西側淡水貯水設備に約 4,300m³の水を保有している。これにより、必要な水源は確保可能である。また、西側淡水貯水設備の水を可搬型代替注水中型ポンプにより代替淡水貯槽へ給水することで、代替淡水貯槽を枯渇させることなく代替淡水貯槽を水源とした 7 日間の注水継続実施が可能である。

（添付資料 3.1.3.10）

b. 燃 料

常設代替交流電源設備（常設代替高圧電源装置 5 台）による電源供給については、保守的に事象発生直後からの運転を想定すると、7 日間の運転継続に合計約 352.8kL の軽油が必要となる。軽油貯蔵タンクにて約 800kL の軽油を保有しており、この使用が可能であることから、常設代

替交流電源設備（常設代替高圧電源装置 5 台）による電源供給について、7 日間の継続が可能である。

可搬型代替注水中型ポンプ（1 台）による代替淡水貯槽への給水については、保守的に事象発生直後からの可搬型代替注水中型ポンプ（1 台）の運転を想定すると、7 日間の運転継続に約 6.0kL の軽油が必要となる。可搬型設備用軽油タンクにて約 210kL の軽油を保有しており、この使用が可能であることから、可搬型代替注水中型ポンプ（1 台）による代替淡水貯槽への給水について、7 日間の継続が可能である。

緊急時対策所用発電機による電源供給については、事象発生直後からの運転を想定すると、7 日間の運転継続に約 70.0kL の軽油が必要となる。緊急時対策所用発電機燃料油貯蔵タンクにて約 75kL の軽油を保有しており、この使用が可能であることから、緊急時対策所用発電機による電源供給について、7 日間の継続が可能である。

（添付資料 3.1.3.11）

c. 電 源

常設代替交流電源設備の電源負荷については、重大事故等対策に必要な負荷として、約 2,666kW 必要となるが、常設代替交流電源設備（常設代替高圧電源装置 5 台）の連続定格容量は約 5,520kW であり、必要負荷に対しての電源供給が可能である。

また、緊急時対策所用発電機についても、必要負荷に対しての電源供給が可能である。

（添付資料 3.1.3.12）

3.1.3.5 結 論

格納容器破損モード「雰囲気圧力・温度による静的負荷（格納容器過圧・

過温破損)」では、格納容器内へ流出した高温の原子炉冷却材や溶融炉心の崩壊熱等の熱によって発生した水蒸気、ジルコニウム-水反応等によって発生した非凝縮性ガス等が蓄積することによって、格納容器内雰囲気圧力・温度が徐々に上昇し、格納容器の過圧・過温により格納容器の破損に至ることが特徴である。格納容器破損モード「雰囲気圧力・温度による静的負荷（格納容器過圧・過温破損）」に対する格納容器破損防止対策としては、初期の対策として低圧代替注水系（常設）による原子炉注水手段及び代替格納容器スプレイ冷却系（常設）による格納容器冷却手段、安定状態に向けた対策として代替格納容器スプレイ冷却系（常設）による格納容器冷却手段及び格納容器圧力逃がし装置による格納容器除熱手段を整備している。

格納容器圧力逃がし装置は、多重化設計とする代替循環冷却系のさらなる後段の対策であり、重大事故時に事象発生後短期に格納容器圧力逃がし装置を使用することは実質的には考えられないが、格納容器破損モード「雰囲気圧力・温度による静的負荷（格納容器過圧・過温破損）」の評価事故シナリオ「大破断LOCA+高圧炉心冷却失敗+低圧炉心冷却失敗」について、代替循環冷却系を使用できない場合を想定し、格納容器圧力逃がし装置を使用する場合の有効性評価を行った。

上記の場合においても、低圧代替注水系（常設）による原子炉注水、代替格納容器スプレイ冷却系（常設）による格納容器冷却及び格納容器圧力逃がし装置による格納容器除熱を実施することにより、格納容器雰囲気の冷却及び除熱が可能である。

その結果、ジルコニウム-水反応等により可燃性ガスの蓄積が生じた場合においても格納容器バウンダリにかかる圧力及び温度、放射性物質の総放出量は、評価項目を満足している。また、安定状態を維持できる。

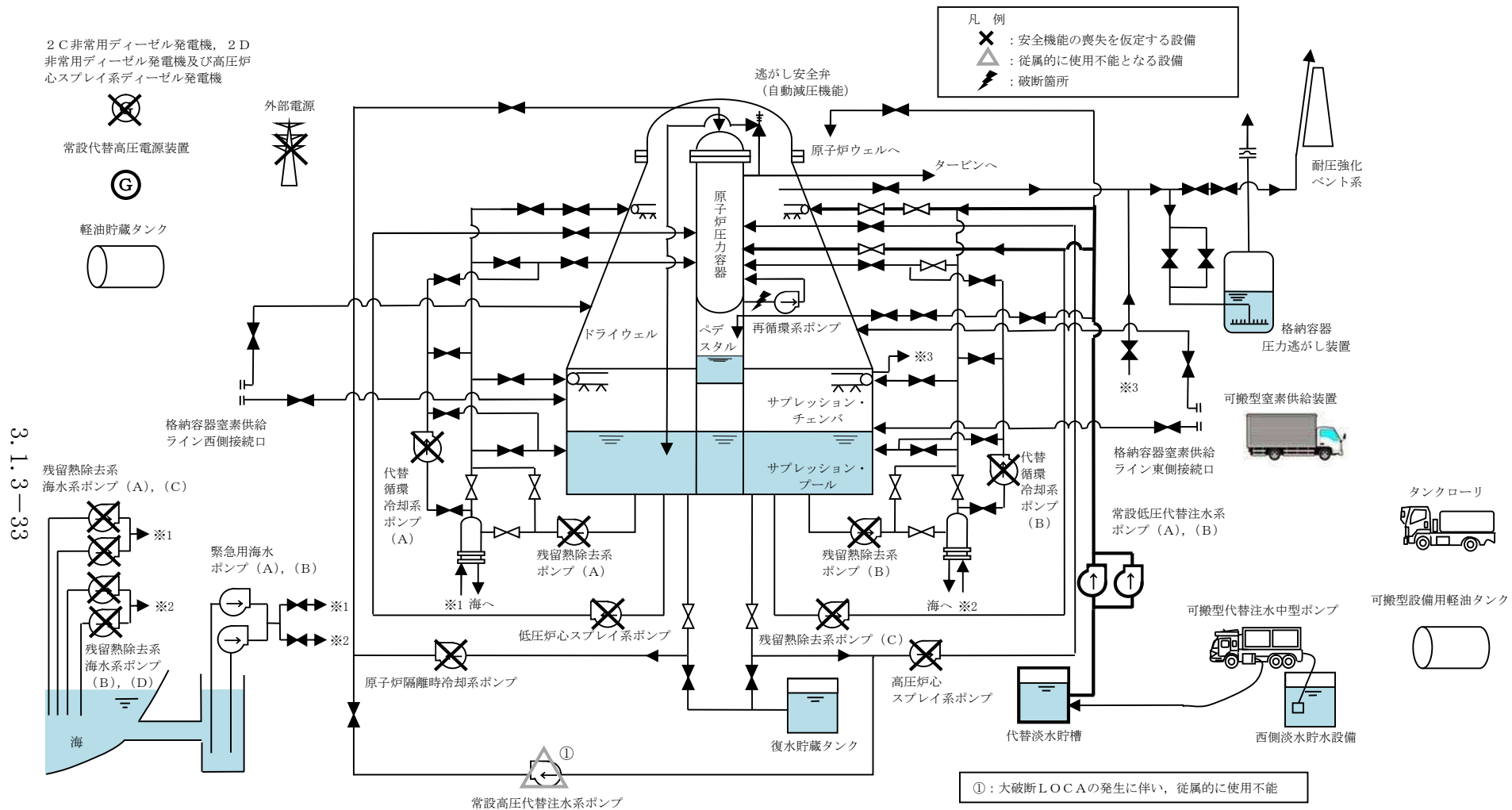
解析コード及び解析条件の不確かさについて確認した結果、運転員等操作

時間に与える影響及び評価項目となるパラメータに与える影響は小さい。

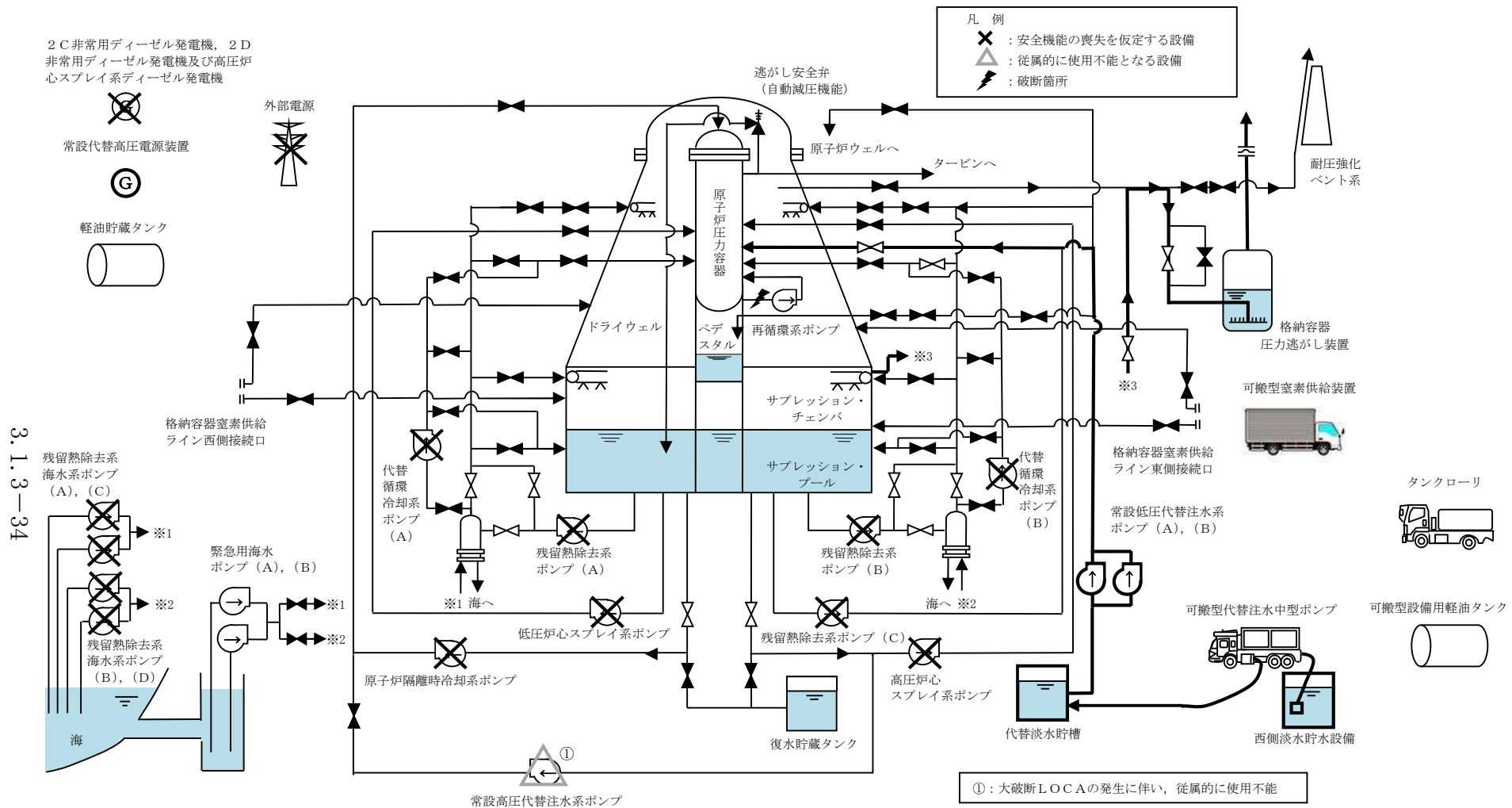
また、対策の有効性が確認できる範囲内において、操作時間余裕について確認した結果、操作が遅れた場合でも一定の余裕がある。

重大事故等対策時に必要な要員は、災害対策要員にて確保可能である。また、必要な水源、燃料及び電源を供給可能である。

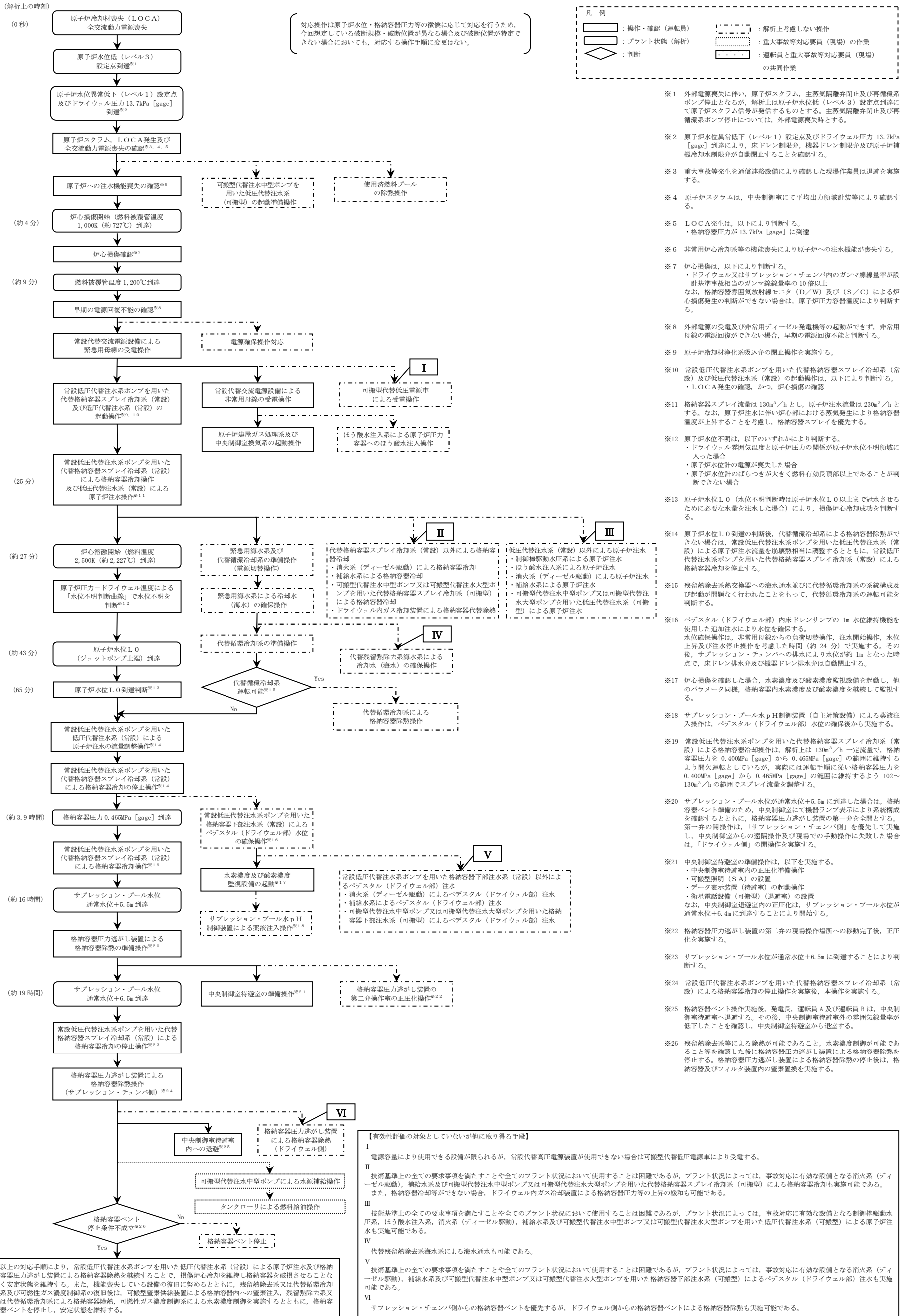
以上のことから、低圧代替注水系（常設）による原子炉注水、代替格納容器スプレイ冷却系（常設）による格納容器冷却、格納容器圧力逃がし装置による格納容器除熱等の格納容器破損防止対策は、選定した評価事故シーケンスに対して有効であることが確認でき、格納容器破損モード「雰囲気圧力・温度による静的負荷（格納容器過圧・過温破損）」に対して有効である。



第 3.1.3-1 図 「雰囲気圧力・温度による静的負荷（格納容器過圧・過温破損）」の
 重大事故等対策の概略系統図（代替循環冷却系を使用できない場合）(1/2)
 (低压代替注水系（常設）による原子炉注水，代替格納容器スプレー冷却系（常設）による格納容器冷却段階）

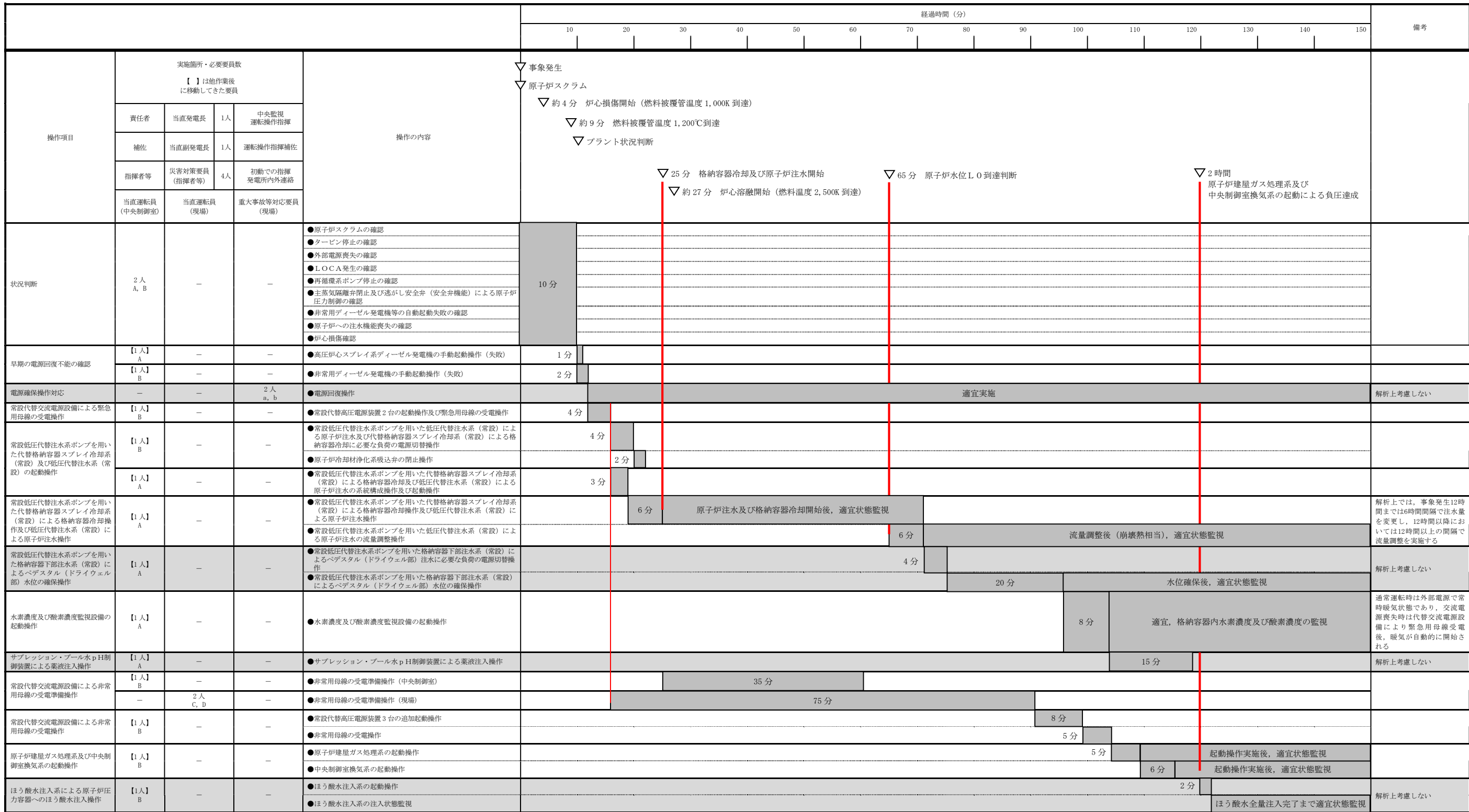


第 3.1.3-1 図 「雰囲気圧力・温度による静的負荷（格納容器過圧・過温破損）」の重大事故等対策の概略系統図（代替循環冷却系を使用できない場合）(2/2)
 (低圧代替注水系（常設）による原子炉注水，格納容器圧力逃がし装置による格納容器除熱段階)



第 3.1.3-2 図 「雰囲気圧力・温度による静的負荷 (格納容器過圧・過温破損)」の対応手順の概要 (代替循環冷却系を使用できない場合)

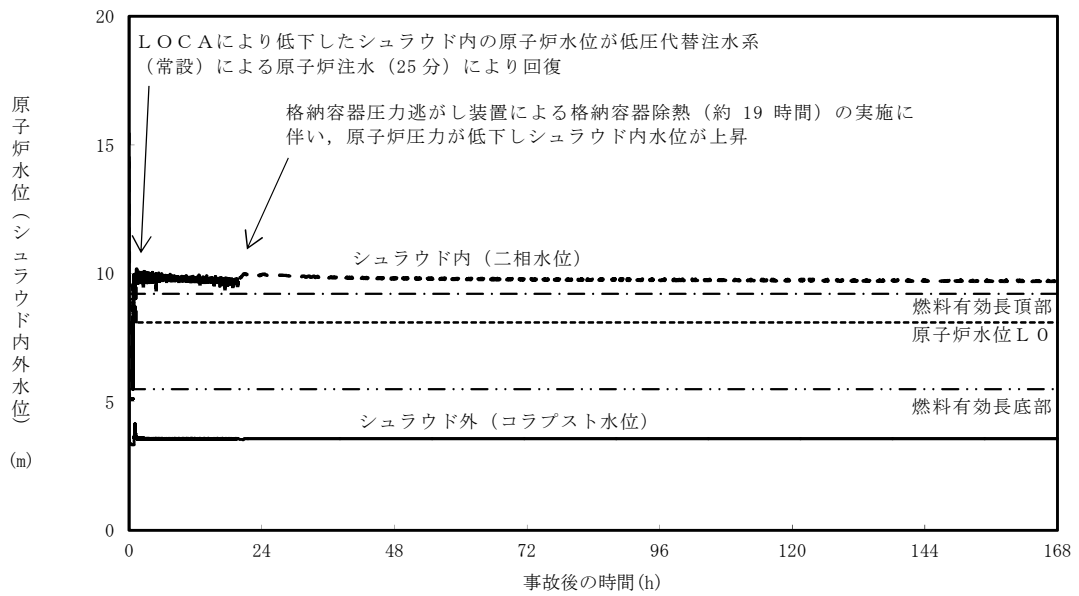
雰囲気圧力・温度による静的負荷（格納容器過圧・過温破損）（代替循環冷却系を使用できない場合）



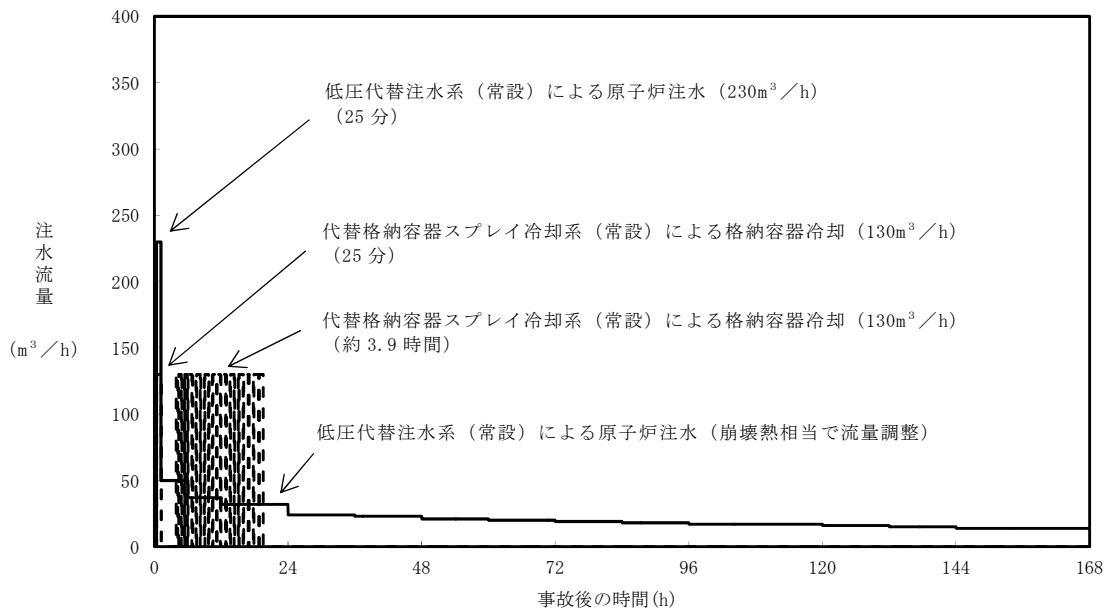
第3.1.3-3図 「雰囲気圧力・温度による静的負荷（格納容器過圧・過温破損）」の作業と所要時間（代替循環冷却系を使用できない場合）（1/2）

| 雰囲気圧力・温度による静的負荷（格納容器過圧・過温破損）（代替循環冷却系を使用できない場合） | | | | | 経過時間（時間） | | | | | 備考 | | | | | | |
|--|-------------------------------|--------------------|------------------|---|--|---|-------------------------------------|----------------------|----|------|----|--|----|--|---|-----------------------------------|
| 操作項目 | 実施箇所・必要員数 【 】は他作業後移動してきた要員 | | | 操作の内容 | 4 | 8 | 12 | 16 | 20 | | 24 | 28 | 42 | 46 | 50 | |
| | | 当直運転員 (中央制御室) | 当直運転員 (現場) | | 重大事故等対応要員 (現場) | | ▽約 3.9 時間 格納容器圧力 0.465MPa [gage] 到達 | | | | | ▽約 16 時間 サプレッション・プール水位 通常水位+5.5m 到達 | | | | |
| 原子炉水位の調整操作(低圧代替注水系(常設)) | 【1人】 A | - | - | ●常設低圧代替注水系ポンプを用いた低圧代替注水系(常設)による原子炉注水の調整操作 | 流量調整後(崩壊熱相当)、適宜状態監視 | | | | | | | | | | 解析上では、事象発生12時間までは6時間間隔で注水量を変更し、12時間以降においては12時間以上の間隔で流量調整を実施する | |
| 常設低圧代替注水系ポンプを用いた代替格納容器スプレイ冷却系(常設)による格納容器冷却操作 | 【1人】 A | - | - | ●常設低圧代替注水系ポンプを用いた代替格納容器スプレイ冷却系(常設)による格納容器冷却操作 | 間欠スプレイにより格納容器圧力を 0.400MPa [gage] から 0.465MPa [gage] の間に維持 | | | | | | | | | | 解析上では、約6分以上の間隔で格納容器圧力が変動するが、実運用上ではスプレイ流量を調整することで可能な限り連続スプレイする手順とし、並行した操作を極力減らすこととする | |
| 格納容器圧力逃がし装置による格納容器除熱の準備操作 | 【1人】 A | - | - | ●格納容器圧力逃がし装置による格納容器除熱の準備操作(中央制御室での第一弁操作) | 5分 | | | | | | | | | | | |
| | - | 【2人】+1人 C, D, E | - | ●第一弁現場操作場所への移動 ●格納容器圧力逃がし装置による格納容器除熱の準備操作(現場での第一弁操作) | 125分 | | | | | | | | | | 解析上考慮しない | |
| | 1人 副発電長 | 【3人】 C, D, E | - | ●緊急時対策所への退避 | 35分 | | | | | | | | | | 第一弁操作完了後、緊急時対策所に退避する | |
| 中央制御室待避室の準備操作 | 【1人】 B | - | - | ●中央制御室待避室内の正圧化準備操作 | 20分 | | | | | | | | | | | |
| | | | | ●可搬型照明(SA)の設置 | 15分 | | | | | | | | | | | |
| | | | | ●データ表示装置(待避室)の起動操作 | 15分 | | | | | | | | | | | |
| | | | | ●衛星電話設備(可搬型)(待避室)の設置 | 5分 | | | | | | | | | | | |
| 格納容器圧力逃がし装置による格納容器除熱操作(サブプレッション・チェンバール) | 【1人】 A | - | - | ●常設低圧代替注水系ポンプを用いた代替格納容器スプレイ冷却系(常設)による格納容器冷却の停止操作 | 3分 | | | | | | | | | | | |
| | - | - | 【3人】 (参集) | ●格納容器圧力逃がし装置による格納容器除熱操作(中央制御室での第二弁操作) | 2分 | | | | | | | | | | | |
| | - | - | - | ●格納容器圧力逃がし装置による格納容器除熱操作実施後の状態監視 | 格納容器除熱実施後、適宜状態監視 | | | | | | | | | | | |
| | - | - | - | ●第二弁操作室の正圧化操作 | 10分 | | | | | | | | | | | |
| | - | - | - | ●格納容器圧力逃がし装置による格納容器除熱操作(現場での第二弁操作) | 30分 | | | | | 240分 | | | | | サブプレッション・プール水位指示値が通常水位+6.4m到達時に待避室の加圧操作を行う | |
| 【1人】 B | - | - | ●中央制御室待避室内の正圧化操作 | 5分 | | | | | | | | | | サブプレッション・プール水位指示値が通常水位+6.4m到達時に待避室の加圧操作を行う | | |
| 1人+【2人】 発電長, A, B | - | - | ●中央制御室待避室内への退避 | 300分 | | | | | | | | | | | | |
| 使用済燃料プールの除熱操作 | 【1人】 A | - | - | ●常設低圧代替注水系ポンプによる代替燃料プール注水系(注水ライン)を使用した使用済燃料プールへの注水操作 | 適宜実施 | | | | | | | | | | 解析上考慮しない スロッシングによる水位低下がある場合は代替燃料プール冷却系の起動までに実施する | |
| | | | | ●緊急用海水系による海水通水の系統構成操作及び起動操作 | 20分 | | | | | | | | | | 解析上考慮しない 約25時間までに実施する | |
| | | | | ●代替燃料プール冷却系の起動操作 | 15分 | | | | | | | | | | | |
| 可搬型代替注水中型ポンプを用いた低圧代替注水系(可搬型)の起動準備操作 | - | - | 8人 c~j | ●可搬型代替注水中型ポンプの移動、ホース敷設等の操作 | 170分 | | | | | | | | | | 炉心損傷により塵外放射線量が高い場合は屋内に待機し、モニタ指示を確認しながら作業を行う | |
| 西側淡水貯水設備を水源とした可搬型代替注水中型ポンプによる代替淡水貯槽への補給操作 | - | - | 【8人】 c~j | ●可搬型代替注水中型ポンプの移動、ホース敷設等の操作 | | | | | | | | | | | 180分 | 水源枯渇までは十分余裕がある 適宜実施 |
| | - | - | 【2人】 c, d | ●可搬型代替注水中型ポンプの起動操作及び水源補給操作 | | | | | | | | | | | | |
| タンクローリによる燃料給油操作 | - | - | 2人 (参集) | ●可搬型設備用軽油タンクからタンクローリへの給油操作 | | | | | | | | | | | 90分 | タンクローリ残量に応じて適宜軽油タンクから給油する 適宜実施 |
| | | | | ●可搬型代替注水中型ポンプへの給油操作 | | | | | | | | | | | | |
| 2人 A, B | | | | 3人 C, D, E | | | | 10人 a~j 及び参集5人 | | | | | | | | |

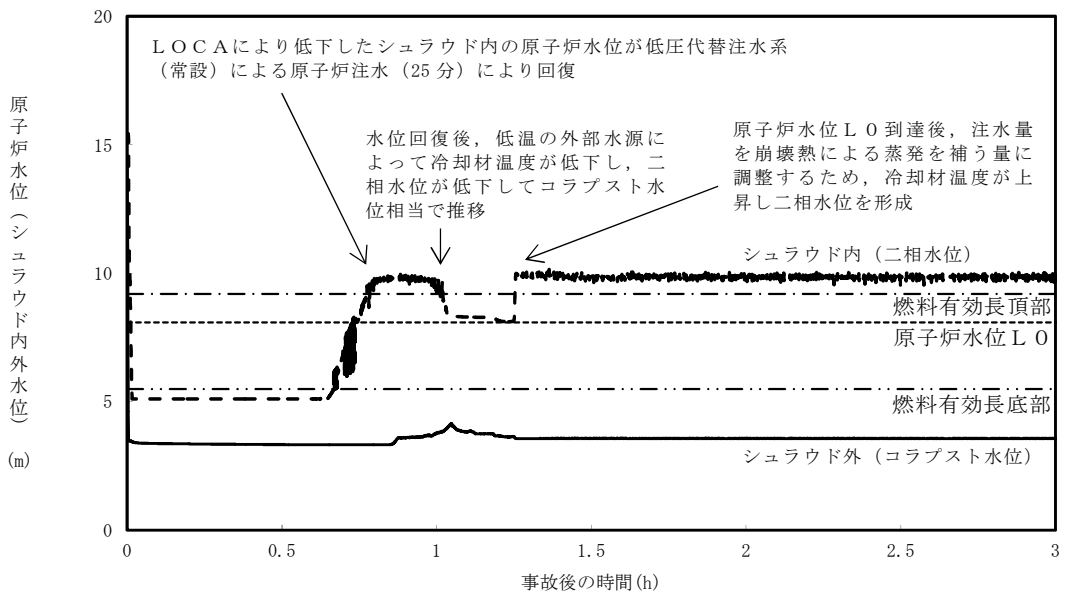
第 3.1.3-3 図 「雰囲気圧力・温度による静的負荷（格納容器過圧・過温破損）」の作業と所要時間（代替循環冷却系を使用できない場合）（2/2）



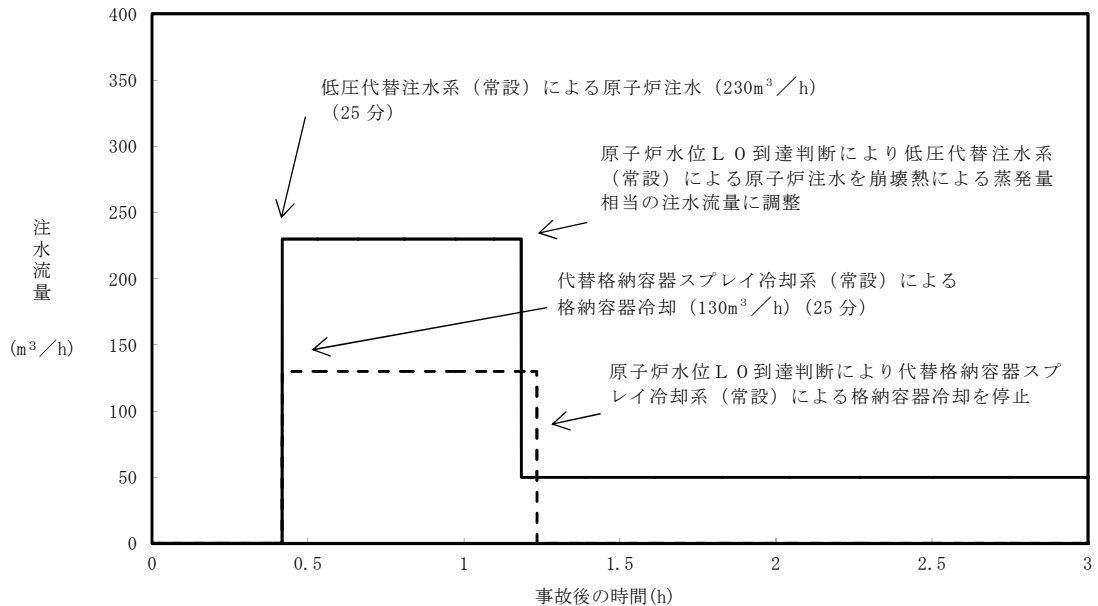
第 3. 1. 3-4 図 原子炉水位 (シュラウド内外水位) の推移



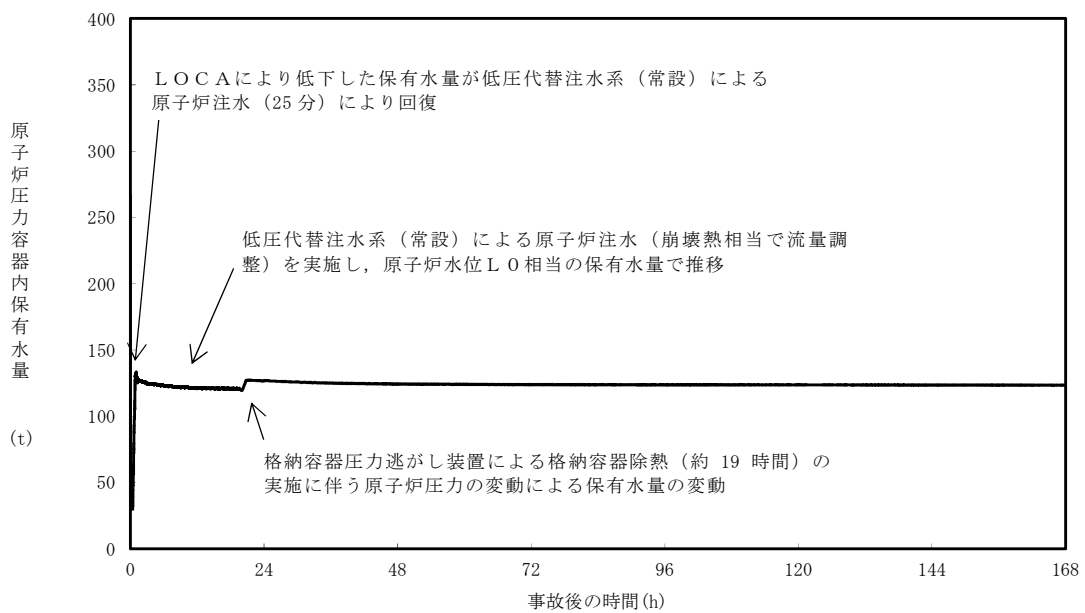
第 3. 1. 3-5 図 注水流量の推移



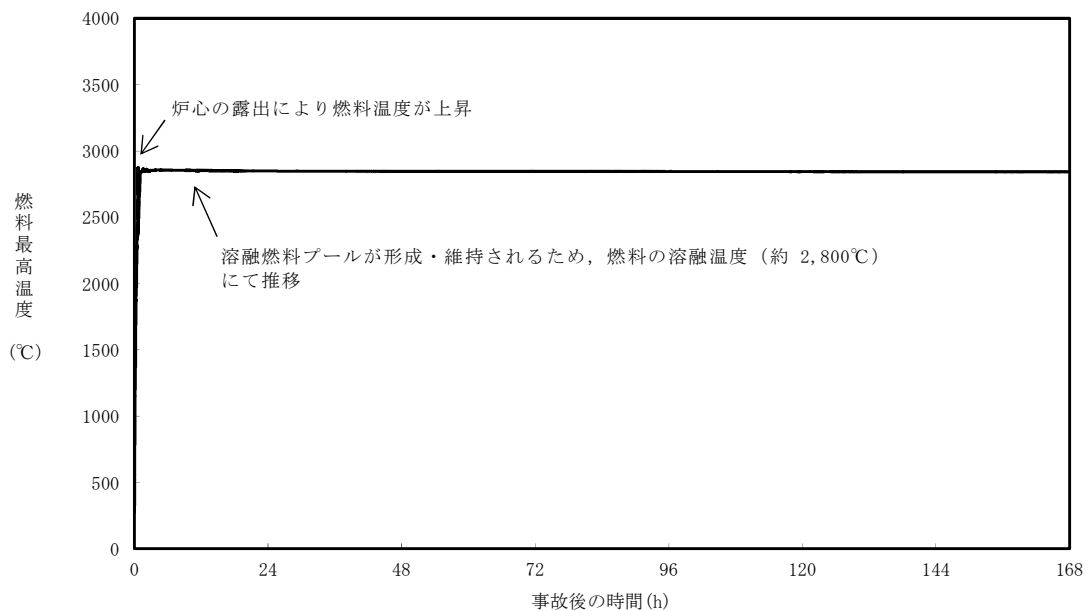
第 3. 1. 3-6 図 原子炉水位 (シュラウド内外水位) の推移 (~3 時間)



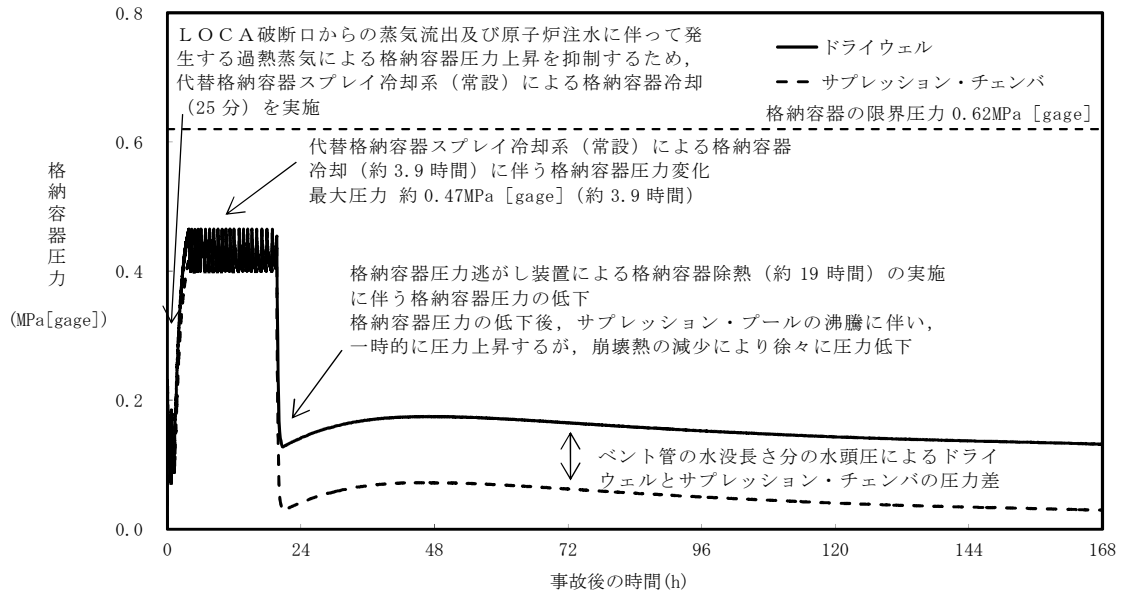
第 3. 1. 3-7 図 注水流量の推移 (~3 時間)



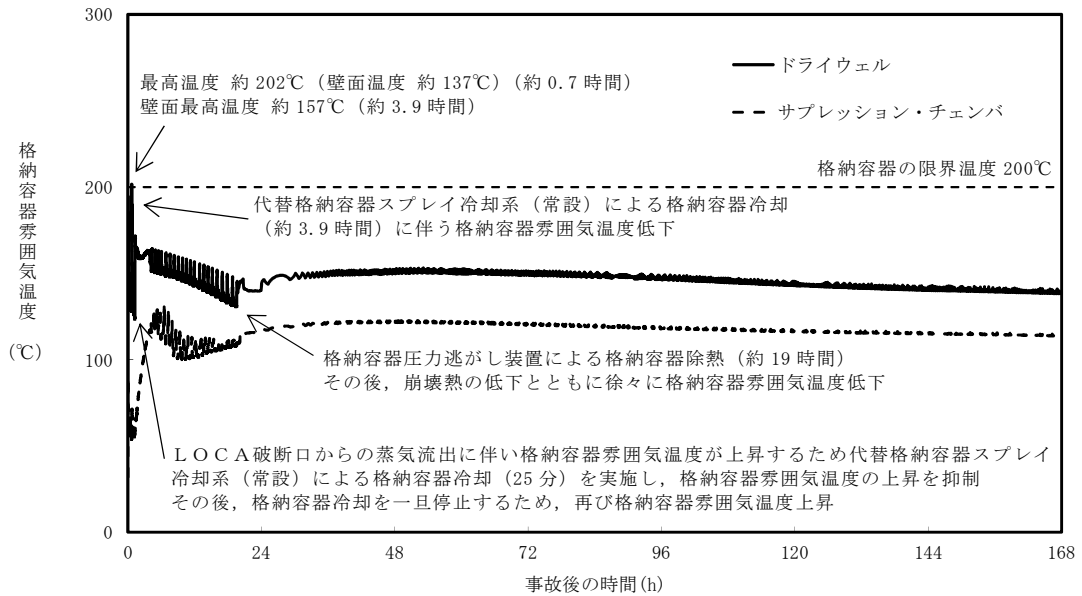
第 3. 1. 3-8 図 原子炉压力容器内の保有水量の推移



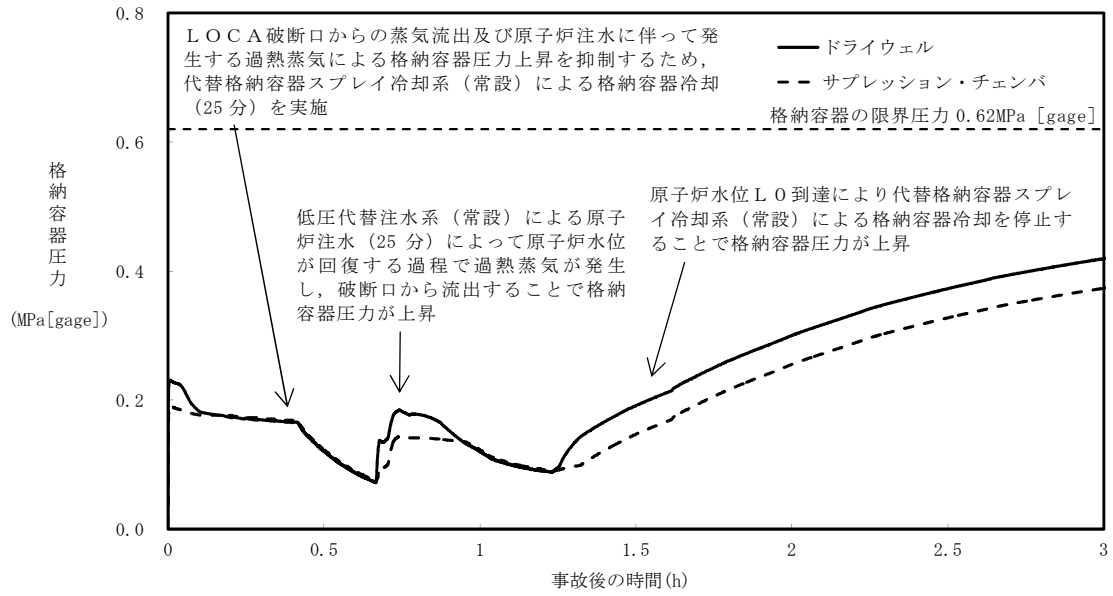
第 3. 1. 3-9 図 燃料最高温度の推移



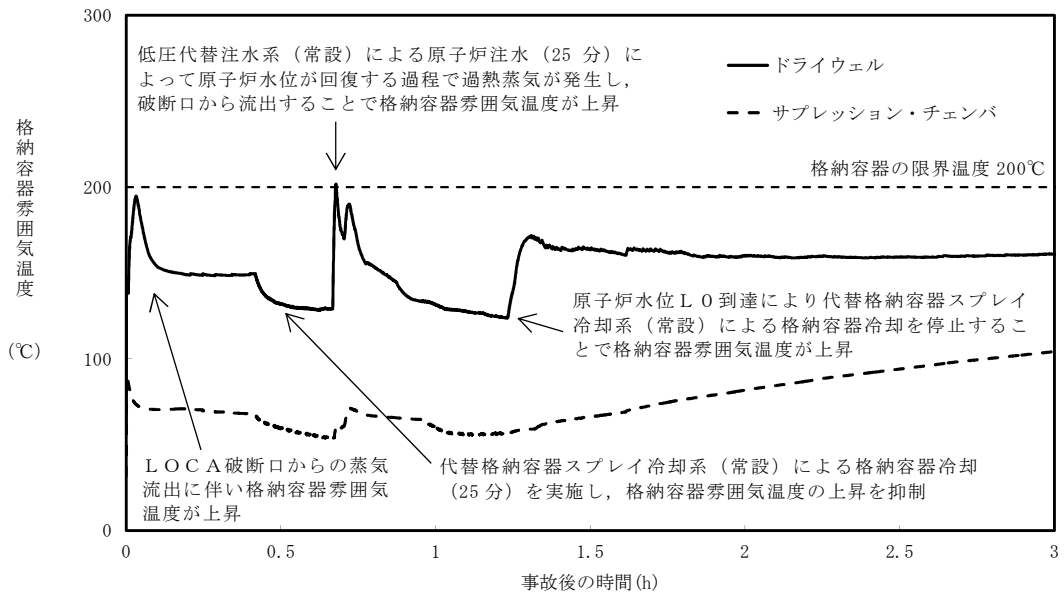
第 3. 1. 3-10 図 格納容器圧力の推移



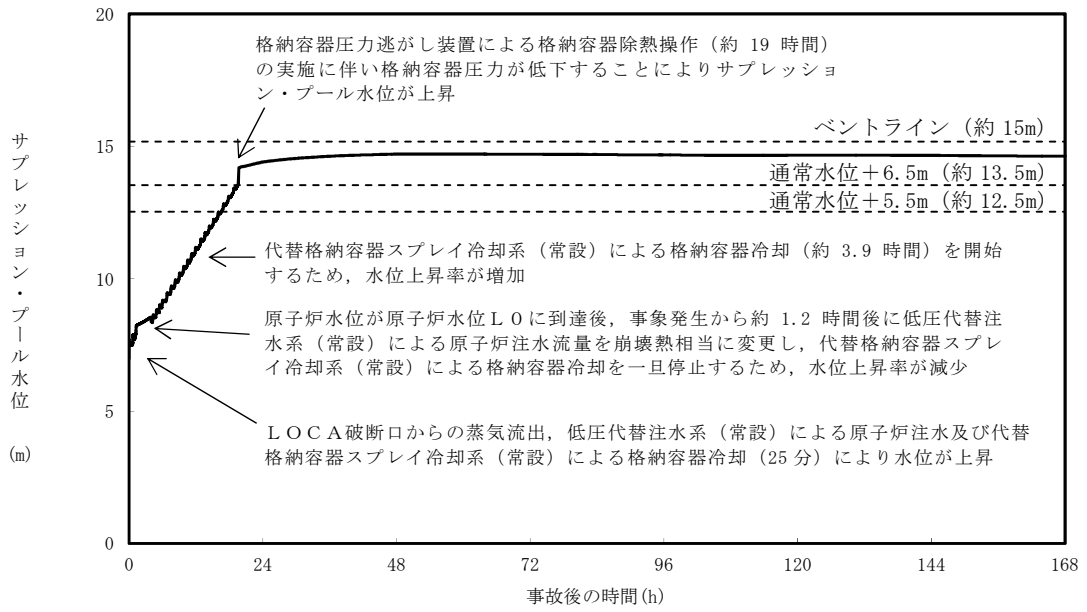
第 3. 1. 3-11 図 格納容器雰囲気温度の推移



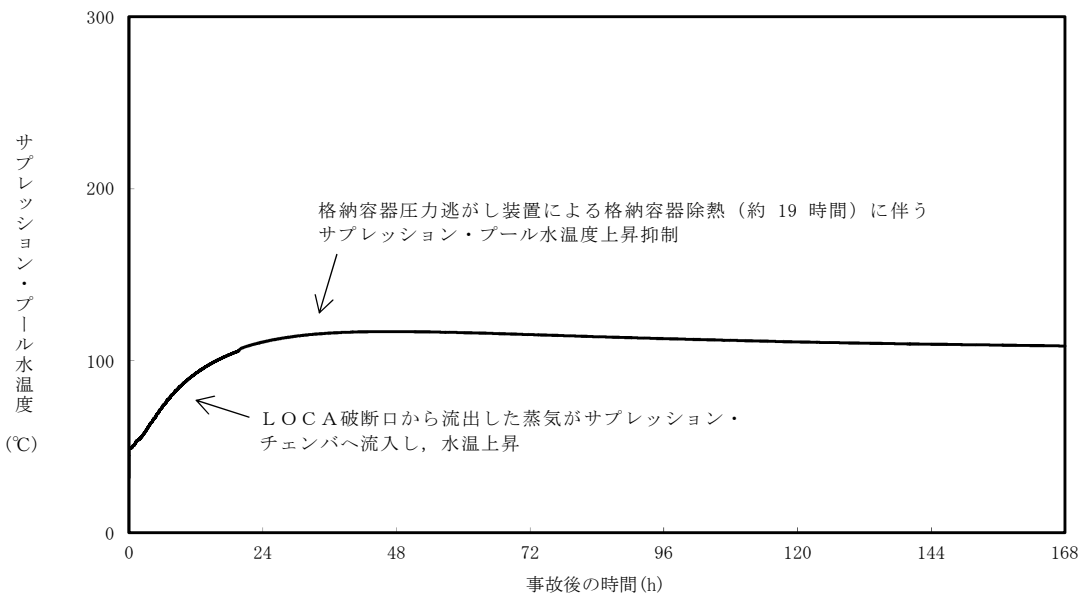
第 3.1.3-12 図 格納容器圧力の推移（～3 時間）



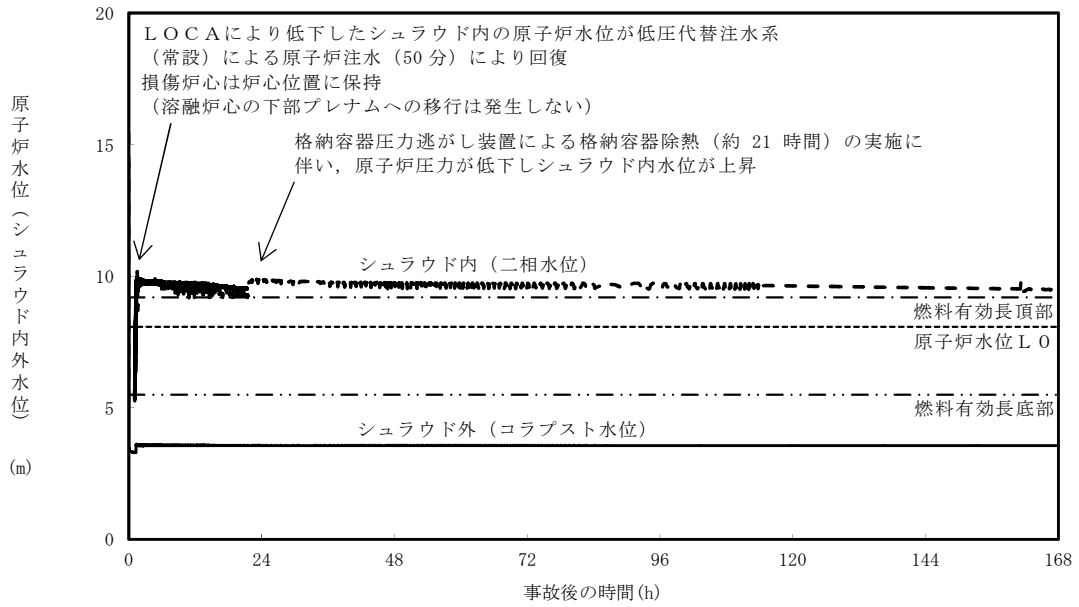
第 3.1.3-13 図 格納容器雰囲気温度の推移（～3 時間）



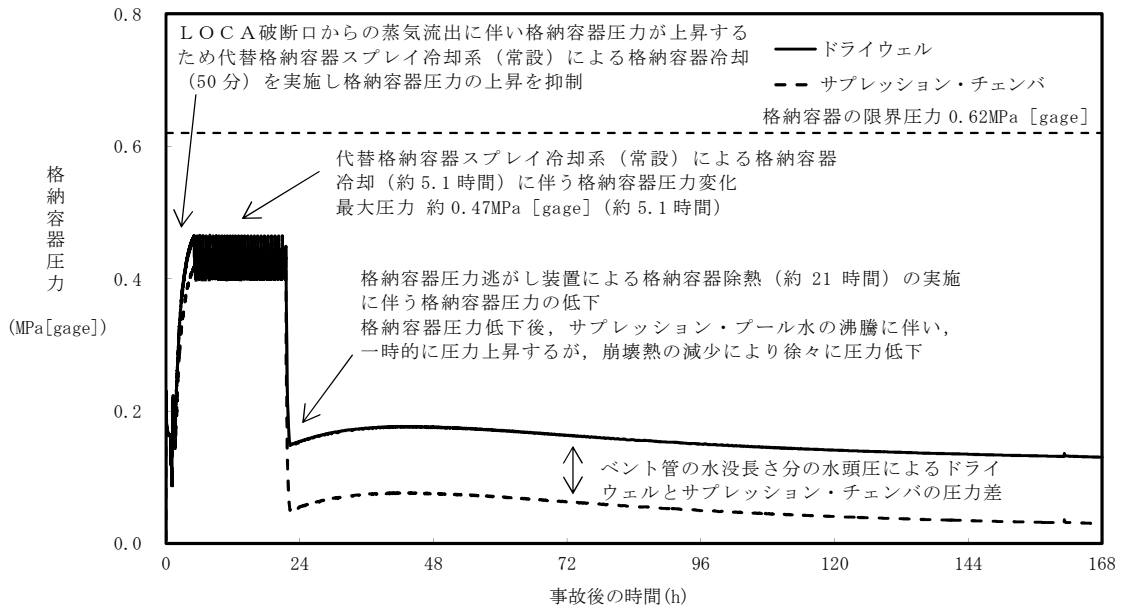
第 3.1.3-14 図 サプレッション・プール水位の推移



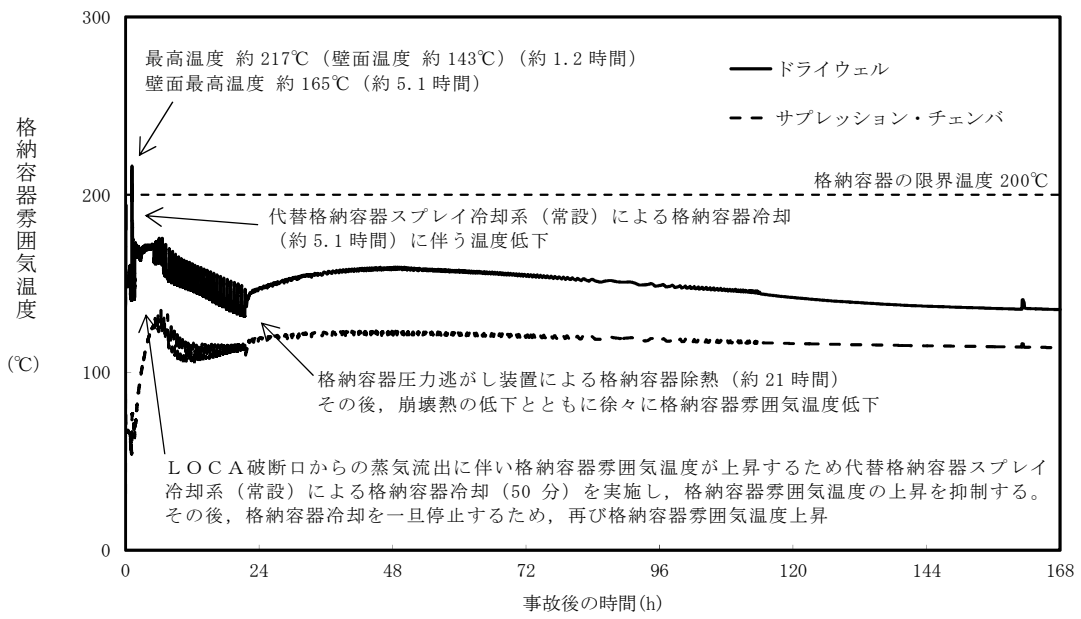
第 3.1.3-15 図 サプレッション・プール水温度の推移



第 3.1.3-16 図 事象発生から 50 分後に原子炉注水を開始した場合の
 原子炉水位 (シュラウド内外水位) の推移



第 3.1.3-17 図 事象発生から 50 分後に原子炉注水を開始した場合の
 格納容器圧力の推移



第 3.1.3-18 図 事象発生から 50 分後に原子炉注水を開始した場合の
格納容器雰囲気温度の推移

第 3.1.3-1 表 「雰囲気圧力・温度による静的負荷（格納容器過圧・過温破損）」の重大事故等対策について
（代替循環冷却系を使用できない場合）（1/3）

| 操作及び確認 | 手順 | 重大事故等対処設備 | | |
|----------------------------------|---|--------------------------------|-------|--|
| | | 常設設備 | 可搬型設備 | 計装設備 |
| 原子炉スクラム，L O C A 発生及び全交流動力電源喪失の確認 | <p>運転時の異常な過渡変化，原子炉冷却材喪失（L O C A）又は全交流動力電源喪失が発生して原子炉がスクラムしたことを確認する。</p> <p>格納容器圧力が 13.7kPa [gage] に到達したことにより L O C A が発生したことを確認する。</p> <p>外部電源が喪失するとともに，非常用ディーゼル発電機等が機能喪失する。これにより，所内高圧系統（6.9kV）の母線が使用不能となり，全交流動力電源喪失を確認する。</p> | 125V 系蓄電池 A 系 125V 系蓄電池 B 系 | — | 平均出力領域計装* 起動領域計装* M/C 2 C 電圧* M/C 2 D 電圧* 緊急用 M/C 電圧 ドライウエル圧力 サプレッション・チェンバ圧力 |
| 原子炉への注水機能喪失の確認 | <p>原子炉水位が原子炉水位異常低下（レベル 2）設定点に到達後，原子炉隔離時冷却系が自動起動に失敗したことを確認する。</p> | — | — | 原子炉水位（S A 広帯域） 原子炉水位（S A 燃料域） 原子炉水位（広帯域）* 原子炉水位（燃料域）* 原子炉隔離時冷却系系統流量* |
| 炉心損傷確認 | <p>大破断 L O C A 時に非常用炉心冷却系の機能及び全交流動力電源が喪失するため，原子炉水位は急激に低下し炉心が露出することで炉心損傷に至ることを格納容器雰囲気放射線モニタにより確認する。</p> | — | — | 格納容器雰囲気放射線モニタ（D/W） 格納容器雰囲気放射線モニタ（S/C） |
| 早期の電源回復不能判断及び対応準備 | <p>中央制御室にて外部電源受電及び非常用ディーゼル発電機等の起動ができず，非常用高圧母線（6.9kV）の電源回復ができない場合，早期の電源回復不能と判断する。</p> <p>これにより，常設代替交流電源設備，代替格納容器スプレイ冷却系（常設）及び低圧代替注水系（常設）の準備を開始する。</p> | — | — | — |

* 既許可の対象となっている設備を重大事故等対処設備に位置付けるもの

第 3.1.3-1 表 「雰囲気圧力・温度による静的負荷（格納容器過圧・過温破損）」の重大事故等対策について
（代替循環冷却系を使用できない場合）（2/3）

| 操作及び確認 | 手順 | 重大事故等対処設備 | | |
|---|---|------------------------|-------|--|
| | | 常設設備 | 可搬型設備 | 計装設備 |
| 常設代替交流電源設備による緊急用母線の受電並びに代替格納容器スプレイ冷却系（常設）による格納容器冷却及び低圧代替注水系（常設）による原子炉注水 | 早期の電源回復不能の確認後，中央制御室からの遠隔操作により常設代替交流電源設備から緊急用母線を受電する。 | 常設代替交流電源設備 軽油貯蔵タンク | — | 緊急用M/C電圧 |
| | 緊急用母線の受電を確認後，代替格納容器スプレイ冷却系（常設）による格納容器冷却を実施する。 | 常設低圧代替注水系ポンプ 代替淡水貯槽 | — | ドライウエル雰囲気温度 ドライウエル圧力 サプレッション・チェンバ圧力 低圧代替注水系格納容器スプレイ流量（常設ライン用） 代替淡水貯槽水位 |
| | 代替格納容器スプレイ冷却系（常設）による格納容器冷却を開始した後，低圧代替注水系（常設）による原子炉注水を実施する。 ドライウエル雰囲気温度が原子炉圧力の飽和温度を超えた場合水位不明と判断し，原子炉底部から原子炉水位LOまで冠水させるために必要な注水量及び崩壊熱分の注水量を考慮し，原子炉注水流量に応じた必要注水時間の原子炉注水を実施する。 | 常設低圧代替注水系ポンプ 代替淡水貯槽 | — | 原子炉圧力（SA） 原子炉圧力* 低圧代替注水系原子炉注水流量（常設ライン用） 原子炉水位（SA広帯域） 原子炉水位（SA燃料域） 原子炉水位（広帯域）* 原子炉水位（燃料域）* 代替淡水貯槽水位 ドライウエル雰囲気温度 |

* 既許可の対象となっている設備を重大事故等対処設備に位置付けるもの

第 3.1.3-1 表 「雰囲気圧力・温度による静的負荷（格納容器過圧・過温破損）」の重大事故等対策について
（代替循環冷却系を使用できない場合）（3/3）

| 操作及び確認 | 手順 | 重大事故等対処設備 | | |
|---------------------------|---|---|-------|--|
| | | 常設設備 | 可搬型設備 | 計装設備 |
| 水素濃度及び酸素濃度監視設備の起動 | 炉心損傷が発生すれば、ジルコニウム-水反応等により水素が発生し、水の放射線分解により水素及び酸素が発生することから、格納容器下部注水系（常設）によるペDESTAL（ドライウエル部）水位の確保を実施後、中央制御室からの遠隔操作により水素濃度及び酸素濃度監視設備を起動し、格納容器内の水素濃度及び酸素濃度を確認する。 | 常設代替交流電源設備 軽油貯蔵タンク | — | 格納容器内水素濃度（S A） 格納容器内酸素濃度（S A） |
| 代替格納容器スプレ冷却系（常設）による格納容器冷却 | 格納容器圧力が 0.465MPa [gage] に到達した場合、代替格納容器スプレ冷却系（常設）による格納容器冷却を実施する。 以降、代替格納容器スプレ冷却系（常設）の運転により格納容器圧力を 0.400MPa [gage] から 0.465MPa [gage] の範囲で制御する。 格納容器ベントに伴うサプレッション・プール水位上昇を考慮しても、サプレッション・プール水位がベントライン下端位置を超えないように格納容器スプレを停止する。 | 常設代替交流電源設備 常設低圧代替注水系ポンプ 代替淡水貯槽 軽油貯蔵タンク | — | ドライウエル圧力 サプレッション・チェンバ圧力 低圧代替注水系格納容器スプレ流量（常設ライン用） 代替淡水貯槽水位 サプレッション・プール水位 |
| 格納容器圧力逃がし装置による格納容器除熱 | サプレッション・プール水位が通常水位+6.5m に到達した場合、代替格納容器スプレ冷却系（常設）による格納容器冷却の停止後、格納容器圧力逃がし装置による格納容器除熱を実施する。 | 格納容器圧力逃がし装置 | — | ドライウエル圧力 サプレッション・チェンバ圧力 サプレッション・プール水位 フィルタ装置圧力 フィルタ装置出口放射線モニタ（高レンジ・低レンジ） |

第 3.1.3-2 表 主要解析条件（雰囲気圧力・温度による静的負荷（格納容器過圧・過温破損）
（代替循環冷却系を使用できない場合）（1/4）

| 項目 | 主要解析条件 | 条件設定の考え方 |
|---------------------------|--|---|
| 解析コード | MAAP | — |
| 原子炉熱出力 | 3,293MW | 定格原子炉熱出力として設定 |
| 原子炉圧力 （圧力容器ドーム部） | 6.93MPa [gage] | 定格原子炉圧力として設定 |
| 原子炉水位 | 通常運転水位（セパレータ スカート下端から+126cm） | 通常運転時の原子炉水位として設定 |
| 炉心流量 | 48,300t/h | 定格流量として設定 |
| 燃料 | 9×9燃料（A型） | — |
| 原子炉停止後の崩壊熱 | ANSI/ANS-5.1-1979 （燃焼度 33GWd/t） | 1 サイクルの運転期間（13 ヶ月）に調整運転期間（約 1 ヶ月）を考慮した運転 期間に対応する燃焼度を設定 |
| 格納容器体積 （ドライウエル） | 5,700m ³ | 設計値 |
| 格納容器体積 （サプレッション・チェンバ） | 空間部：4,100m ³ 液相部：3,300m ³ | 設計値（通常運転時のサプレッション・プール水位の下限値に基づき設定） |
| 真空破壊装置作動差圧 | 3.45kPa（ドライウエル-サプレ ッション・チェンバ間差圧） | 真空破壊装置の設定値 |
| サプレッション・プール水位 | 6.983m（通常運転範囲の下限値 ） | 通常運転時のサプレッション・プール水位の下限値として設定 |
| サプレッション・プール水温度 | 32℃ | 通常運転時のサプレッション・プール水温度の上限値として設定 |
| 格納容器圧力 | 5kPa [gage] | 通常運転時の格納容器圧力を包含する値 |
| 格納容器雰囲気温度 | 57℃ | 通常運転時の格納容器雰囲気温度（ドライウエル内ガス冷却装置の設計温度） として設定 |
| 外部水源の温度 | 35℃ | 年間の気象条件変化を包含する高めの水温を設定 |
| ペDESTAL（ドライウエル部）の プール水 | 考慮しない | ペDESTAL（ドライウエル部）には通常運転時からプール水が存在するが、格 納容器の熱容量に寄与することから、格納容器雰囲気温度の挙動を厳しく評価 する設定として、ペDESTAL（ドライウエル部）のプール水を考慮しない |

第 3.1.3-2 表 主要解析条件（雰囲気圧力・温度による静的負荷（格納容器過圧・過温破損）
（代替循環冷却系を使用できない場合）（2/4）

| 項目 | | 主要解析条件 | 条件設定の考え方 |
|------|---------------|---------------------------------|--|
| 事故条件 | 起因事象 | 大破断LOCA 再循環系配管（出口ノズル）の破断 | 原子炉压力容器から格納容器への冷却材流出を大きく見積もり，格納容器内の圧力上昇及び温度上昇の観点から厳しい設定として，原子炉压力容器バウンダリに接続する配管のうち，口径が最大である再循環系配管（出口ノズル）における両端破断を設定 |
| | 安全機能の喪失に対する仮定 | 全交流動力電源喪失 高圧注水機能喪失及び低圧注水機能喪失 | 非常用ディーゼル発電機等の機能喪失を想定し，設定高圧注水機能として原子炉隔離時冷却系及び高圧炉心スプレイ系，低圧注水機能として残留熱除去系（低圧注水系）及び低圧炉心スプレイ系の機能喪失を設定 |
| | 外部電源 | 外部電源なし | 過圧及び過温への対策の有効性を総合的に判断する観点から，プラント損傷状態であるLOCAに全交流動力電源喪失を重畳することから，外部電源が喪失するものとして設定 ただし，原子炉スクラムについては，外部電源ありの場合を包括する条件として，機器条件に示すとおり設定 |
| | 水素の発生 | ジルコニウム-水反応を考慮 | 水の放射線分解等による水素発生については，格納容器圧力及び雰囲気温度に与える影響が軽微であることから考慮していない |

第 3.1.3-2 表 主要解析条件（雰囲気圧力・温度による静的負荷（格納容器過圧・過温破損）
（代替循環冷却系を使用できない場合）（3/4）

| 項目 | 主要解析条件 | 条件設定の考え方 | |
|------------------|---|---|--|
| 重大事故等対策に関連する機器条件 | 原子炉スクラム信号 | 原子炉水位低（レベル3）信号 | 短時間であるが原子炉熱出力が維持される厳しい設定として、外部電源喪失時のタービン蒸気加減弁急閉及び原子炉保護系電源喪失による原子炉スクラムについては保守的に考慮せず、原子炉水位低（レベル3）信号にてスクラムするものとして設定 |
| | 主蒸気隔離弁 | 事象発生と同時に閉止 | 短時間であるが主蒸気が格納容器内に維持される厳しい設定として、原子炉保護系電源喪失及び原子炉水位異常低下（レベル2）信号による主蒸気隔離弁閉止については保守的に考慮せず、事象発生と同時に主蒸気隔離弁が閉止するものとして設定 |
| | 再循環系ポンプ | 事象発生と同時に停止 | 事象進展に与える影響は軽微であることから、全交流動力電源喪失によるポンプ停止を踏まえて設定 |
| | 低圧代替注水系（常設） | 事象初期の原子炉注水実施時： 230m ³ /h（一定） 原子炉水位LO到達判断後： 崩壊熱による蒸発を補う注水量 （最大50m ³ /h）に制御 | 炉心冷却の維持に必要な流量として設定 |
| | 代替格納容器スプレイ冷却系（常設） | 事象初期の原子炉注水実施時： 130m ³ /h（一定） | 格納容器雰囲気温度及び圧力抑制に必要なスプレイ流量を考慮し、設定 |
| | | 格納容器圧力制御： 130m ³ /h（一定） | サブプレッション・プール水位の上昇が早くなり、格納容器圧力逃がし装置による格納容器除熱操作までの操作時間余裕の観点で厳しい条件として、運転手順の流量調整範囲（102m ³ /h～130m ³ /h）における上限を設定 |
| | 格納容器下部注水系（常設） | 解析上考慮しない | 格納容器雰囲気温度の挙動を厳しく評価するため、初期条件としてペDESTAL（ドライウエル部）のプール水を考慮していないことから、常設低圧代替注水系ポンプを用いた格納容器下部注水系（常設）によるペDESTAL（ドライウエル部）水位の確保操作についても考慮しない |
| 格納容器圧力逃がし装置 | 格納容器圧力が0.31MPa[gage]における排出流量13.4kg/sに対して、第二弁を全開にて格納容器除熱 | 格納容器圧力逃がし装置の設計値を考慮して、格納容器圧力及び雰囲気温度を低下させるのに必要な排出流量として設定 | |

第 3.1.3-2 表 主要解析条件（雰囲気圧力・温度による静的負荷（格納容器過圧・過温破損））
（代替循環冷却系を使用できない場合）（4/4）

| 項目 | | 主要解析条件 | 条件設定の考え方 |
|------------------|---|---|--|
| 重大事故等対策に関連する操作条件 | 常設代替高圧電源装置による緊急用母線の受電操作並びに代替格納容器スプレイ冷却系（常設）による格納容器冷却操作及び低圧代替注水系（常設）による原子炉注水操作 | 事象発生から 25 分後 | 中央制御室における常設代替高圧電源装置，代替格納容器スプレイ冷却系（常設）及び低圧代替注水系（常設）の準備時間を考慮して設定 |
| | 代替格納容器スプレイ冷却系（常設）による格納容器冷却操作 | 格納容器圧力が 0.465MPa [gage] に到達した場合に開始 格納容器圧力が 0.400MPa [gage] 以下となった時点で停止 | 格納容器圧力の抑制効果を踏まえて設定 |
| | 格納容器圧力逃がし装置による格納容器除熱操作 | サプレッション・プール水位が通常水位 + 6.5m 到達から 5 分後 | 格納容器の限界圧力到達防止を踏まえて設定 |

東海第二発電所の格納容器設計の特徴を踏まえた過圧破損防止対策について

1. はじめに

東海第二発電所の格納容器設計の特徴を踏まえた過圧破損防止対策について説明する。

2. 格納容器過圧破損防止対策及び格納容器ベント遅延対策の設計

設置許可基準規則第50条では、BWRプラントに対し重大事故時の格納容器過圧破損防止対策として格納容器圧力逃がし装置の設置が要求されているが、格納容器圧力逃がし装置は意図的に格納容器内の蒸気を放出する対策であり、フィルタを介するものの放射性物質の環境への放出を伴う特徴がある。

また、東海第二発電所で採用しているMark-II型格納容器設計の特徴から、重大事故時に他の格納容器型式の国内BWRプラントよりも事象発生から格納容器圧力逃がし装置による格納容器除熱（以下「格納容器ベント」という。）までの時間が短くなる（別紙1）。

そこで、事故後短期で格納容器ベントの実施に至ることを実質的になくすため、格納容器過圧破損防止対策として環境への放射性物質の放出を伴わない格納容器除熱系（代替循環冷却系）を優先使用する運用にするとともに、設置許可基準規則の要求以上の対応として、以下の対応を実施する。

①代替循環冷却系のさらなる信頼性向上のため、代替循環冷却系を多重化

②事故後の放射線水分解に伴う格納容器内の可燃性ガス濃度上昇を抑制す

るため、代替窒素封入系（可搬型窒素供給装置）を強化

（最終的には、格納容器圧力逃がし装置により可燃性ガスを排出し、格納容器内の水素爆発を防止）

それぞれの設備については、以下の方針にて設計する。

(1) 代替循環冷却系

格納容器過圧破損防止対策として優先して使用する代替循環冷却系は、重大事故時にその機能に確実に期待できるよう、設置許可基準規則第43条及び第50条に適合する設計とする。さらに、代替循環冷却系の信頼性向上のために多重化設計とするとともに、設計基準事故対処設備である残留熱除去系との多様性、独立性を確保し位置的分散を図ることで、共通要因により同時に機能喪失することを防止する設計とする（別紙2）。

(2) 代替窒素封入系（可搬型窒素供給装置）

代替窒素封入系（可搬型窒素供給装置）は、放射線水分解による格納容器内の酸素濃度上昇時に格納容器内に窒素封入することで、格納容器内の酸素濃度の上昇を抑制する設計とする。

(3) 格納容器圧力逃がし装置

格納容器圧力逃がし装置は、残留熱除去系及び代替循環冷却系との多様性、独立性を確保し位置的分散を図ることで、共通要因により同時に機能喪失することを防止する設計とする。また、サプレッション・チェンバ側及びドライウェル側のいずれからも格納容器内の非凝縮性ガス等の排気を可能とし、排気中に含まれる放射性物質を低減するためのフィルタ装置を設置する設計とする。

3. 代替循環冷却系の信頼性

代替循環冷却系のシステム非信頼度は以下のとおりである。代替循環冷却系の多重化により、システム非信頼度を1桁程度低減することが可能である（別紙3）。

- ・ 代替循環冷却系2系列（A系及びB系）：約 3×10^{-4} /demand

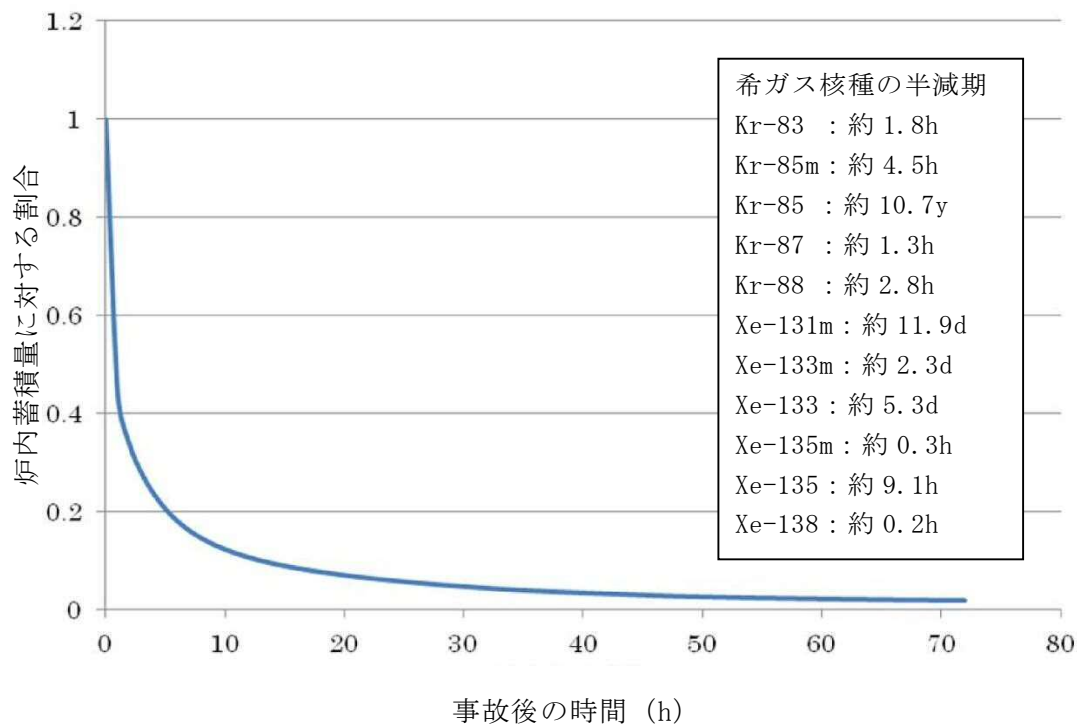
- ・ 代替循環冷却系 1 系列（A 系のみの場合）：約 2×10^{-3} /demand

さらに、代替循環冷却系のサポート系である緊急用海水系は、残留熱除去系海水系との多様性、独立性を確保し位置的分散を図ることで、共通要因により同時に機能喪失することを防止する設計とするとともに、緊急用海水系の機能喪失を仮定した場合においても、代替残留熱除去系海水系に期待することで格納容器の過圧破損防止が可能である（別紙 4）。以上より、東海第二発電所では、代替循環冷却系だけでなくそのサポート系についても信頼性向上に配慮した設計としている。

4. 代替循環冷却系による格納容器ベント遅延効果について（別紙 5）

格納容器破損モード「雰囲気圧力・温度による静的負荷（格納容器過圧・過温破損）」の有効性評価において、代替循環冷却系により格納容器除熱を実施する場合の可燃性ガス排出のための格納容器ベント時間は、事故後約 46 日後となる。また、放射線水分解の不確かさ（G 値の不確かさ）を考慮した場合においても、代替循環冷却系により格納容器ベントの実施時期を事故後約 5 日後（約 122 時間後）に遅延することができる。

一方、代替循環冷却系を使用できない場合には、サプレッション・プールの水位上昇によって格納容器ベントに至り、格納容器過圧破損防止のための格納容器ベント時間が事故後約 24 時間後（約 24.6 時間後）となる。この結果から、代替循環冷却系の設置により格納容器ベントの実施時期を大幅に遅延し、格納容器ベントによる放射性物質の放出を低減することができる（第 1 図）。



第1図 炉内蓄積量に対する割合の時間変化（希ガス核種合計）

5. まとめ

東海第二発電所では、代替循環冷却系について設置許可基準規則第43条及び第50条に適合する設計とする等、重大事故時に代替循環冷却系の機能に確実に期待できるよう配慮する。また、格納容器圧力逃がし装置よりも環境への放射性物質の放出を伴わない代替循環冷却系を優先して使用する運用とする。

ただし、Mark-II型格納容器を採用している東海第二発電所では、他の格納容器型式の国内BWRプラントよりも格納容器ベントまでの時間が短くなることを踏まえ、設置許可基準規則の要求以上の対応として、代替循環冷却系のさらなる信頼性向上のために代替循環冷却系を多重化し、格納容器内の可燃性ガス濃度上昇を抑制するために代替窒素封入系（可搬型窒素供給装置）の強化を実施する。

これらにより、重大事故時の短期の格納容器ベント実施を実質的になくす

ことが可能であり、格納容器ベント時間は事故後約 46 日後（放射線水分解の不確かさ（G 値の不確かさ）を考慮した場合でも事故後約 5 日後）に遅延することが可能である。

東海第二発電所の格納容器ベント時間について

1. 東海第二発電所の格納容器設計の特徴

放射性物質の最終障壁となる格納容器設計（設計基準事故対処設備）の特徴は以下のとおりである。

- ① 改良標準化（施設定期検査時作業スペースの拡大等を採用）以前の設計であるM a r k - II型格納容器であり，原子炉熱出力に対する格納容器の自由体積が小さい
- ② 格納容器の最高使用圧力は 0.31MPa[gage]であり，M a r k - I型／I改型の 0.427MPa[gage]に比べて低い
- ③ A B W Rプラントでは格納容器除熱系として残留熱除去系（3系列）を設置する設計としているが，B W R 5プラントでは残留熱除去系（2系列）を設置する設計

東海第二発電所は，上記①及び②の格納容器設計の特徴から，重大事故等の格納容器過圧事象発生時には，他の格納容器型式の国内B W Rプラントよりも格納容器ベントまでの時間が短くなる。このため，その特徴を踏まえた格納容器過圧破損防止対策の設計を採用している。

2. R C C V型格納容器（柏崎刈羽原子力発電所6・7号炉）との差異の理由

東海第二発電所は，設計基準事故対処設備としての格納容器設計の特徴から，重大事故等の格納容器過圧事象発生時には，他の格納容器型式の国内B W Rプラントよりも格納容器ベントまでの時間が短くなる。その理由を以下に説明する。

- ・東海第二発電所は柏崎刈羽原子力発電所6・7号炉に比べ原子炉熱出力に対する格納容器の自由体積が小さく，格納容器からの除熱機能喪失に

よる過圧事象発生時の格納容器の圧力上昇が早い（第1表）。

- ・東海第二発電所は柏崎刈羽原子力発電所6・7号炉に比べサプレッション・チェンバの自由体積が小さく、有効性評価においてベントラインの水没防止の観点から設定している格納容器への外部水源の持ち込み可能量（サプレッション・プールの通常運転水位から外部水源の持ち込み制限高さまでの水量）が少ない（第2表）。このため、格納容器過圧事象発生時の外部水源を用いた格納容器スプレイによる圧力抑制可能期間が短い。

第1表 原子炉熱出力に対する格納容器の自由体積

| 発電所 | 格納容器の自由体積／原子炉熱出力 |
|-----------------|---|
| 東海第二発電所 | $9,800\text{m}^3 / 3,293\text{MW} \approx 3.0$ |
| 柏崎刈羽原子力発電所6・7号炉 | $13,310\text{m}^3 / 3,926\text{MW} \approx 3.4$ |

第2表 外部水源の持ち込み可能量

| 発電所 | 外部水源の持ち込み可能量 |
|-----------------|-----------------------|
| 東海第二発電所 | 約 $2,800\text{m}^3$ ※ |
| 柏崎刈羽原子力発電所6・7号炉 | 約 $4,700\text{m}^3$ ※ |

※ 東海第二発電所において、仮に外部水源の持ち込み可能量が $4,700\text{m}^3$ ($1,900\text{m}^3$ 増加) となった場合、格納容器スプレイ流量： $130\text{m}^3/\text{h}$ での連続スプレイを想定しても、15時間程度圧力抑制期間が長くなる

3. Mark-I型／I改型格納容器との差異の理由

- ・東海第二発電所はMark-I型／I改型格納容器プラントに比べ原子炉熱出力に対する格納容器の自由体積が小さく、格納容器からの除熱機能喪失による過圧事象発生時の格納容器の圧力上昇が早い。

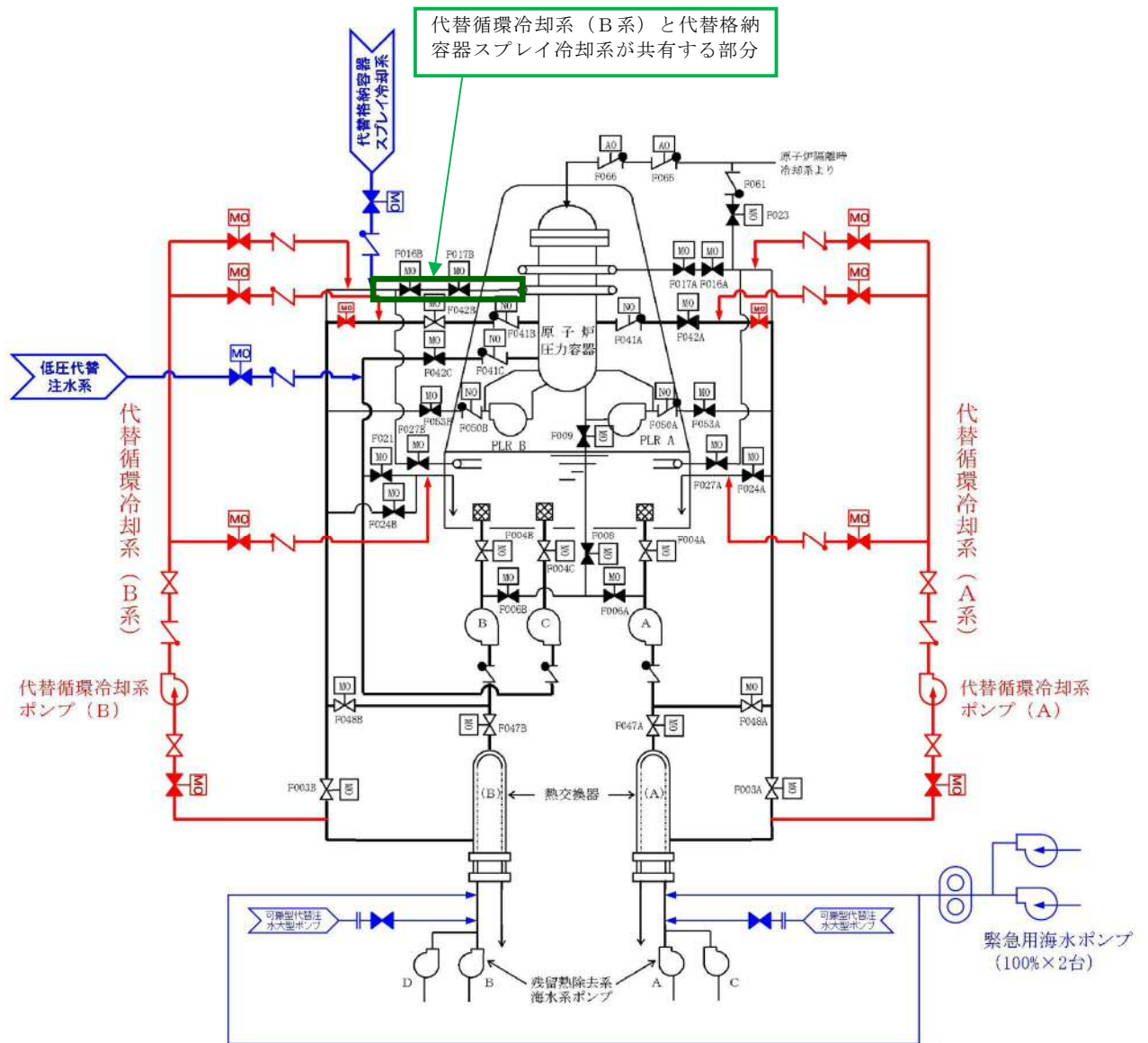
- ・格納容器の最高使用圧力（1Pd：0.31MPa[gage]）がM a r k - I 型 / I 改型の 0.427MPa[gage] に比べて低く，炉心損傷後の格納容器スプレイの実施基準（1.5Pd 到達）における格納容器圧力の絶対値が低いため格納容器スプレイの効果が小さいことに加えて，上記のとおり格納容器の過圧事象発生時の格納容器圧力の上昇が早いことから，圧力上昇を抑制するために必要な格納容器スプレイ量が多くなる。

代替循環冷却系の設計

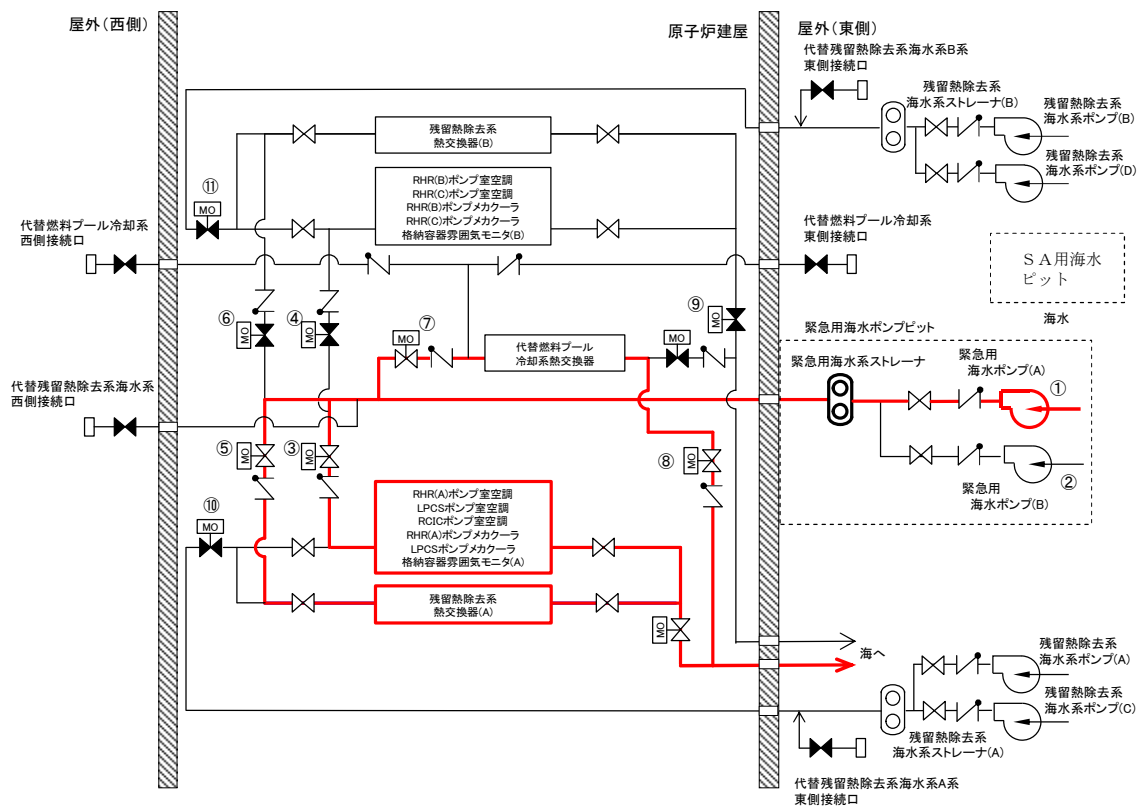
1. 概要

代替循環冷却系の概要は以下のとおり。また、第 1 図に代替循環冷却系の系統概要図、第 2 図に代替循環冷却系の補機冷却系である緊急用海水系の系統概要図、第 3 図にこれらの系統における単線結線図、代替循環冷却系の主要機器の仕様及び健全性を参考 1 に示す。

- ・ サプレッション・チェンバを水源とし、代替循環冷却系ポンプによる原子炉及び格納容器の循環冷却が可能な系統
- ・ 系統水はサプレッション・チェンバから残留熱除去系ポンプを経由して残留熱除去系熱交換器を通り、代替循環冷却系ポンプに供給され、代替循環冷却系ポンプにより原子炉への注水及び格納容器スプレイ等を実施
- ・ 本系統は代替循環冷却系（A系）及び代替循環冷却系（B系）の 2 系列の設計
- ・ 本系統は、全交流動力電源喪失した場合でも、発電所構内に配備した常設代替高圧電源装置 2 台からの給電により起動可能な設計
- ・ 代替循環冷却系の使用時には、残留熱除去系海水系、常設設備である緊急用海水系又は可搬型設備である代替残留熱除去系海水系からの冷却水の供給により、残留熱除去系熱交換器を介した冷却機能を確保（第 2 図：緊急用海水系の系統概要図）
- ・ 第 1 図に示すとおり、代替循環冷却系（B系）の格納容器スプレイラインと代替格納容器スプレイ冷却系のラインが一部共有
- ・ サポート系である緊急用海水系を含め、運転操作は中央制御室での遠隔操作が可能な設計

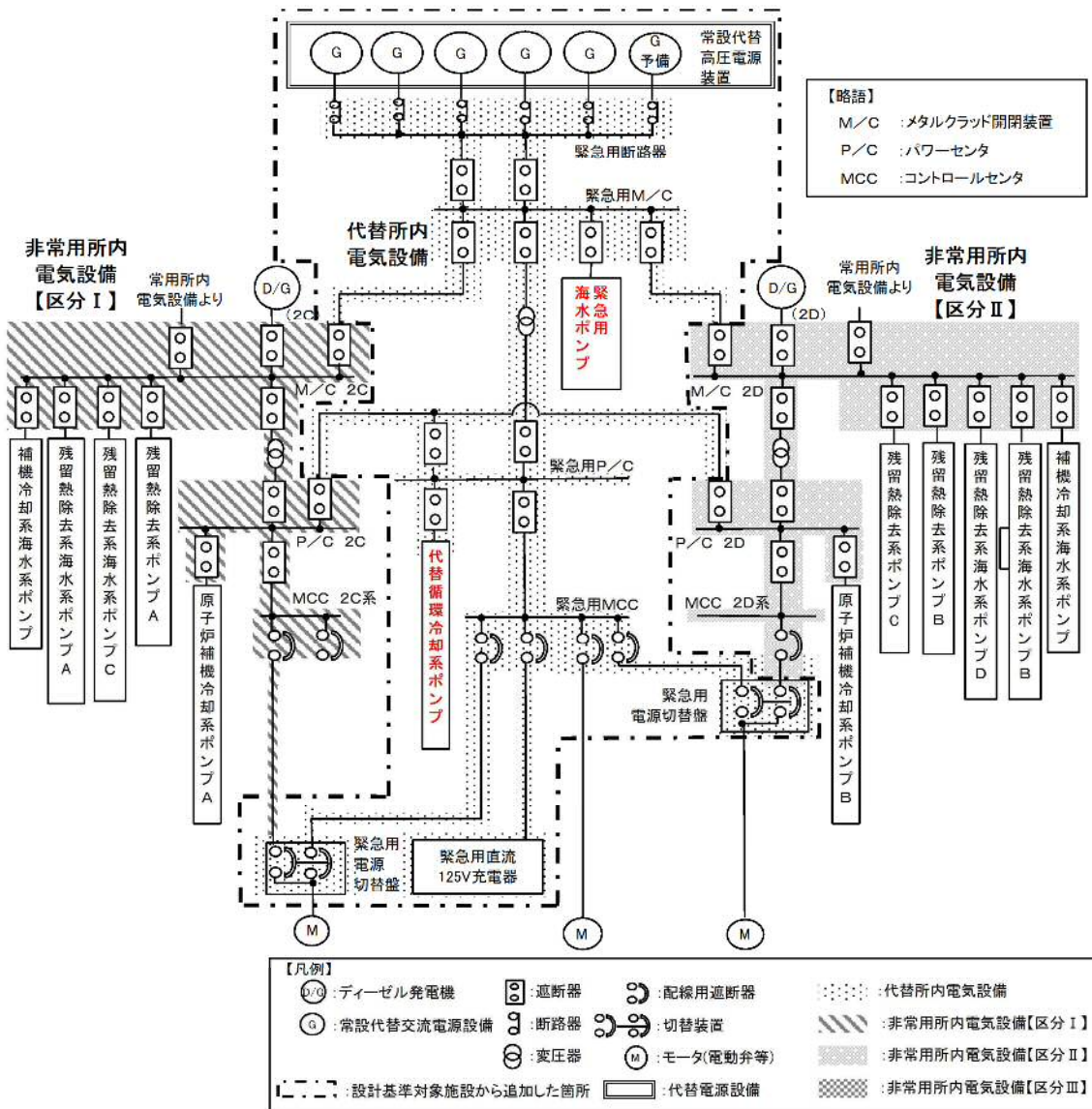


第1図 代替循環冷却系の系統概要図



| 機器名称 | | 機器名称 | |
|------|---------------------|------|------------------------|
| ① | 緊急用海水ポンプ(A) | ⑦ | 緊急用海水系代替F P C系隔離弁 |
| ② | 緊急用海水ポンプ(B) | ⑧ | 緊急用海水系代替F P C系出口弁(A)系 |
| ③ | 緊急用海水系RHR A系熱交換器隔離弁 | ⑨ | 緊急用海水系代替F P C系出口弁(B)系 |
| ④ | 緊急用海水系RHR B系熱交換器隔離弁 | ⑩ | 残留熱除去系-緊急用海水系系統分離弁(A)系 |
| ⑤ | 緊急用海水系RHR A系補機隔離弁 | ⑪ | 残留熱除去系-緊急用海水系系統分離弁(B)系 |
| ⑥ | 緊急用海水系RHR B系補機隔離弁 | | |

第2図 緊急用海水系の系統概要図
(残留熱除去系海水系A系供給時)



第 3 図 単線結線図

2. 設置許可基準規則上の位置付け

代替循環冷却系は、重大事故時において格納容器の破損を防止する目的から格納容器内の圧力及び温度を低下させるための設備であり、設置許可基準規則第50条（原子炉格納容器の過圧破損を防止するための設備）の重大事故等対処設備として位置付ける。

3. 格納容器過圧破損防止対策としての代替循環冷却系の基本設計方針

【設置許可基準規則】

(重大事故等対処設備)

第四十三条 重大事故等対処設備は、次に掲げるものでなければならない。

一 想定される重大事故等が発生した場合における温度、放射線、荷重その他の使用条件において、重大事故等に対処するために必要な機能を有効に発揮するものであること。

二 想定される重大事故等が発生した場合において確実に操作できるものであること。

三 健全性及び能力を確認するため、発電用原子炉の運転中又は停止中に試験又は検査ができるものであること。

四 本来の用途以外の用途として重大事故等に対処するために使用する設備にあつては、通常時に使用する系統から速やかに切り替えられる機能を備えるものであること。

五 工場等内の他の設備に対して悪影響を及ぼさないものであること。

六 想定される重大事故等が発生した場合において重大事故等対処設備の操作及び復旧作業を行うことができるよう、放射線量が高くなるおそれが少ない設置場所の選定、設置場所への遮蔽物の設置その他の適切な措置を講じたものであること。

2 重大事故等対処設備のうち常設のもの（重大事故等対処設備のうち可搬型のもの（以下「可搬型重大事故等対処設備」という。）と接続するものにあつては、当該可搬型重大事故等対処設備と接続するために必要な発電用原子炉施設内の常設の配管、弁、ケーブルその他の機器を含む。以下「常設重大事故等対処設備」という。）は、前項に定めるもののほ

か、次に掲げるものでなければならない。

- 一 想定される重大事故等の収束に必要な容量を有するものであること。
- 二 二以上の発電用原子炉施設において共用するものでないこと。ただし、二以上の発電用原子炉施設と共用することによって当該二以上の発電用原子炉施設の安全性が向上する場合であって、同一の工場等内の他の発電用原子炉施設に対して悪影響を及ぼさない場合は、この限りではない。
- 三 常設重大事故防止設備は、共通要因によって設計基準事故対処設備の安全機能と同時にその機能が損なわれないよう、適切な措置を講じたものであること。

(1) 環境条件等（第43条 第1項 第1号，第6号）

代替循環冷却系ポンプ，サプレッション・チェンバ及び残留熱除去系熱交換器は，重大事故等時における設置場所の環境条件を考慮した設計とする。

代替循環冷却系ポンプの操作は，中央制御室で可能な設計とする。

残留熱除去系熱交換器は海水を通水するため，耐腐食性材料を使用する設計とする。

(2) 操作性の確保（第43条 第1項 第2号，第4号）

代替循環冷却系ポンプ，サプレッション・チェンバ及び残留熱除去系熱交換器を使用する代替循環冷却系は，中央制御室の制御盤の操作スイッチで操作が可能な設計とする。また，通常時の系統から弁操作等にて速やかに切替え可能な設計とする。

(3) 試験・検査性（第43条 第1項 第3号）

代替循環冷却系ポンプ及び残留熱除去系熱交換器は，機能・性能の確

認及び漏えいの確認が可能な系統設計とする。

また、代替循環冷却系ポンプは、分解が可能な設計とする。

残留熱除去系熱交換器は、内部の確認が可能なようにフランジを設ける設計とする。

(4) 悪影響防止（第43条 第1項 第5号）

代替循環冷却系ポンプ、サプレッション・チェンバ、緊急用海水ポンプ及び残留熱除去系熱交換器を使用する代替循環冷却系は、弁操作等によって、設計基準事故対処設備として使用する系統構成から重大事故等対処設備としての系統構成とすることで、他の設備に悪影響を及ぼさない設計とする。また、サプレッション・プール水に含まれる核分裂生成物の系外放出を防止するため、代替循環冷却系は閉ループにて構成する設計とする。

(5) 容量等（第43条 第2項 第1号）

代替循環冷却系ポンプは、格納容器の過圧破損防止に必要なポンプ流量を有する設計とする。

サプレッション・チェンバは、設計基準事故時の非常用炉心冷却設備の水源と兼用しており、設計基準事故時に使用する場合の容量が、格納容器の過圧破損防止に必要な容量に対して十分であるため、設計基準事故対処設備と同仕様で設計する。

残留熱除去系熱交換器は、設計基準事故時の残留熱除去系海水系の機能と兼用しており、設計基準事故時に使用する場合の伝熱容量が、格納容器の過圧破損防止に必要な容量に対して十分であるため、設計基準事故対処設備と同仕様で設計する。

(6) 共用の禁止（第43条 第2項 第2号）

敷地内に二以上の発電用原子炉施設はないため、代替循環冷却系の共

用はない。

(7) 多様性, 位置的分散等 (第 43 条 第 2 項 第 3 号)

代替循環冷却系は常設重大事故緩和設備であり, 設置許可基準規則(第 43 条第 2 項第 3 号) に基づき共通要因による設計基準事故対処設備 (残留熱除去系) との同時の機能喪失防止が要求されるものではないが, 代替循環冷却系の信頼性向上のため, 以下のとおり残留熱除去系との多様性, 独立性及び位置的分散を図った設計とする。

ポンプについては, 残留熱除去系ポンプと異なる区画に設置し, 位置的分散を考慮した設計とする (第 4 図)。代替循環冷却系ポンプのサポート系として, 冷却水は不要 (自然冷却) とすることで, 残留熱除去系ポンプの冷却水 (残留熱除去系海水系) と同時に機能喪失しない設計とする。電源については, 常設代替高圧電源装置を使用することで, 残留熱除去系ポンプの電源 (非常用ディーゼル発電機) と同時に機能喪失しない設計とする。電動弁については, 駆動部に設けるハンドルにて手動操作も可能な設計とすることで, 電動駆動に対し多様性を持った設計とする。(第 1 表)

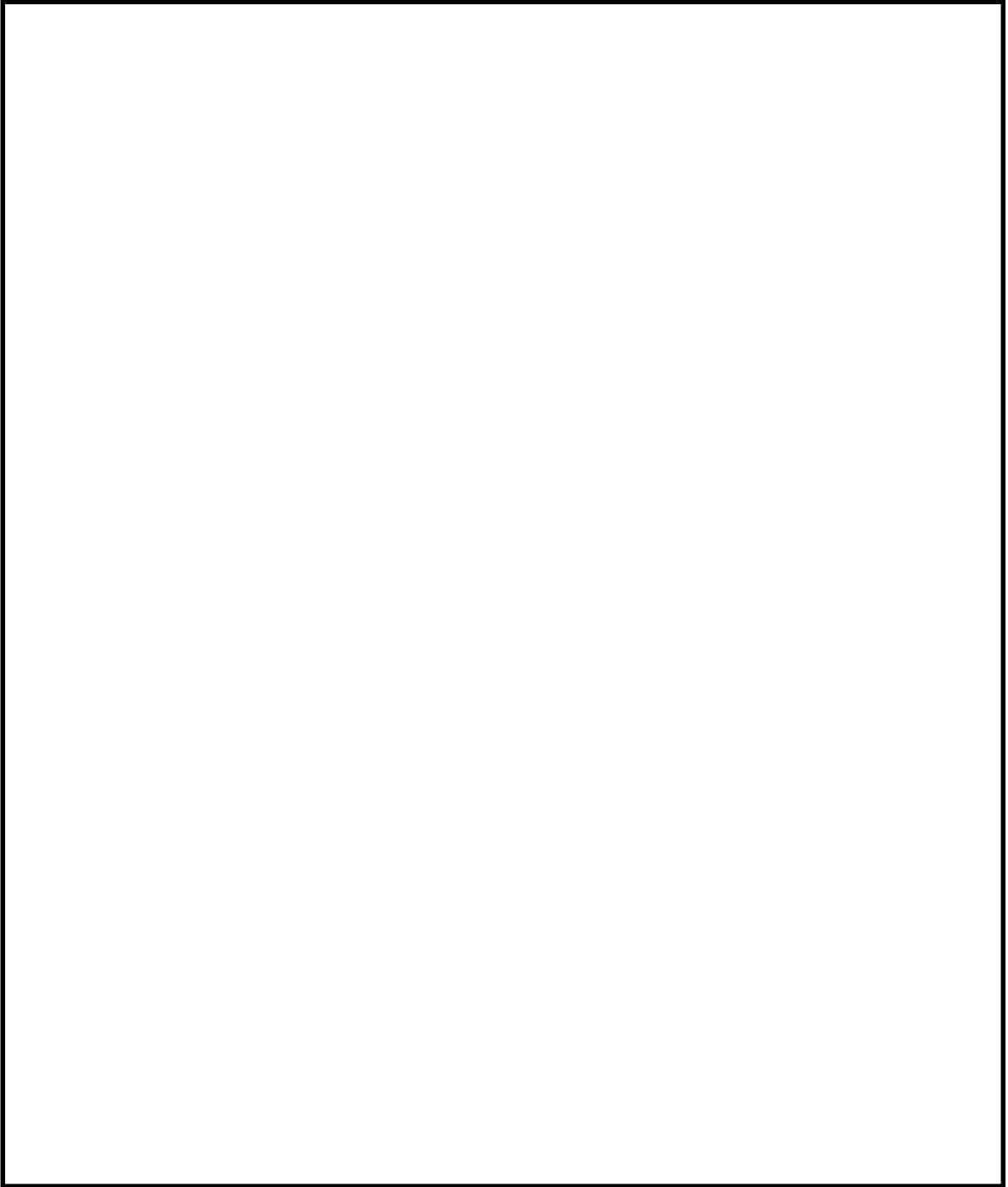
残留熱除去系と代替循環冷却系の独立性については, 第 2 表で示すとおり, 地震, 津波, 火災及び溢水により同時に故障することを防止するために, 独立性を確保する設計とする。

第 1 表 多様性及び位置的分散

| 項目 | 残留熱除去系 | 代替循環冷却系 |
|-------|--|---|
| ポンプ | 残留熱除去系ポンプ | 代替循環冷却系ポンプ |
| | 原子炉建屋原子炉棟地下2階 残留熱除去系 (A) 及び (B) ポンプ室 | 原子炉建屋原子炉棟地下2階 残留熱除去系 (A) 及び (B) 熱交換器室 |
| 水源 | サプレッション・チェンバ | サプレッション・チェンバ |
| | 原子炉建屋原子炉棟地下2階 | 原子炉建屋原子炉棟地下2階 |
| 駆動用空気 | 不要 | 不要 |
| 潤滑油 | 不要 (内包油) | 不要 (内包油) |
| 冷却水 | 残留熱除去系海水系 | 不要 (自然冷却) |
| 駆動電源 | 非常用ディーゼル発電機 | 常設代替交流電源設備 |
| | 原子炉建屋付属棟地下1階 | 屋外 |

第 2 表 設計基準事故対処設備との独立性

| 項目 | | 残留熱除去系 | 代替循環冷却系 |
|--------|----|---|---------|
| 共通要因故障 | 地震 | 設計基準事故対処設備の残留熱除去系は耐震Sクラス設計とし、代替循環冷却系は基準地震動 S_s で機能維持できる設計とすることから、基準地震動 S_s が共通要因となり故障することのない設計とする。 | |
| | 津波 | 設計基準事故対処設備の残留熱除去系は防潮堤及び浸水防止設備の設置により、また、代替循環冷却系は防潮堤及び浸水防止設備の設置に加え、原子炉建屋原子炉棟の水密化されたエリアに設置により、津波が共通要因となって故障することのない設計とする。 | |
| | 火災 | 代替循環冷却系と設計基準事故対処設備の残留熱除去系は火災が共通要因となり故障することのない設計とする。 | |
| | 溢水 | 代替循環冷却系と設計基準事故対処設備の残留熱除去系は溢水が共通要因となり故障することのない設計とする。 | |



第 4 図 代替循環冷却系ポンプの配置図

【設置許可基準規則】

(原子炉格納容器の過圧破損を防止するための設備)

第五十条 発電用原子炉施設には、炉心の著しい損傷が発生した場合において原子炉格納容器の過圧による破損を防止するため、原子炉格納容器バウンダリを維持しながら原子炉格納容器内の圧力及び温度を低下させるために必要な設備を設けなければならない。

2 発電用原子炉施設（原子炉格納容器の構造上、炉心の著しい損傷が発生した場合において短時間のうちに原子炉格納容器の過圧による破損が発生するおそれがあるものに限る。）には、前項の設備に加えて、原子炉格納容器内の圧力を大気中に逃がすために必要な設備を設けなければならない。

3 前項の設備は、共通要因によって第一項の設備の過圧破損防止機能（炉心の著しい損傷が発生した場合において原子炉格納容器の過圧による破損を防止するために必要な機能をいう。）と同時にその機能が損なわれるおそれがないよう、適切な措置を講じたものでなければならない。

(1) 代替循環冷却系の設置

炉心の著しい損傷が発生した場合において格納容器の破損を防止するため、格納容器内の圧力及び温度を低下させるために代替循環冷却系を設ける。

代替循環冷却系は、サプレッション・チェンバを水源とし、代替循環冷却系ポンプによる原子炉圧力容器への注水及び格納容器スプレーが可能な設計とする。

4. 代替循環冷却系（B系）を使用した場合の評価

格納容器破損モード「雰囲気圧力・温度による静的負荷（格納容器過圧・過温破損）」では、代替循環冷却系と代替格納容器スプレイ冷却系（常設）を同時に使用しないため、代替循環冷却系（B系）を使用した場合でも事故進展に影響はない。

一方、格納容器破損モード「DCH, FCI, MCCI」では、原子炉圧力容器破損後に代替循環冷却系（A系）と代替格納容器スプレイ冷却系（常設）による同時の格納容器スプレイを実施する条件で解析しているが、1.に記載のとおり、代替循環冷却系（B系）と代替格納容器スプレイ冷却系（常設）による同時の格納容器スプレイは実施できないことから、代替循環冷却系（B系）のみを使用^{*}した条件でのMAAP解析を実施した。

※ 外部水源の持ち込みを制限し、サプレッション・プール水位の上昇抑制による格納容器ベント遅延を図り、可能な限り外部への影響を軽減する観点から、代替格納容器スプレイ冷却系（常設）より代替循環冷却系（B系）を優先して使用することを想定

第3表及び第4表に格納容器破損モード「DCH, FCI, MCCI」の評価シーケンスにおける代替循環冷却系（A系）を使用した場合と代替循環冷却系（B系）を使用した場合の解析条件及び解析結果の比較を示す。また、格納容器圧力挙動及び温度挙動を第5図から第8図に示す。

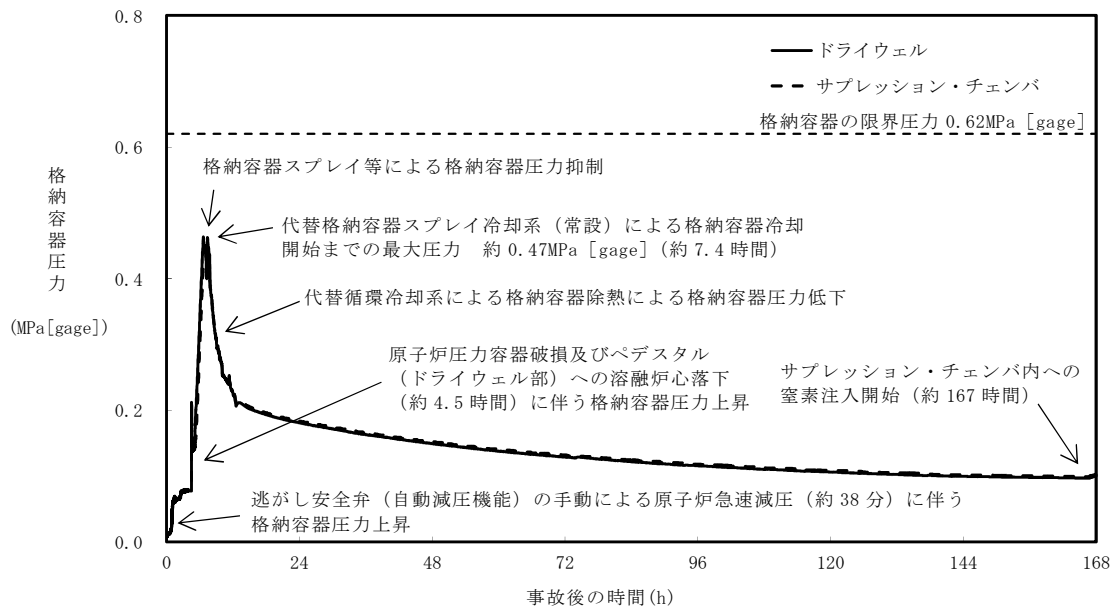
代替循環冷却系（B系）を使用した場合においても、有効性評価の評価項目である格納容器温度 200℃以下、圧力 0.62MPa[gage]以下に抑えられることを確認した。

第3表 解析条件の比較

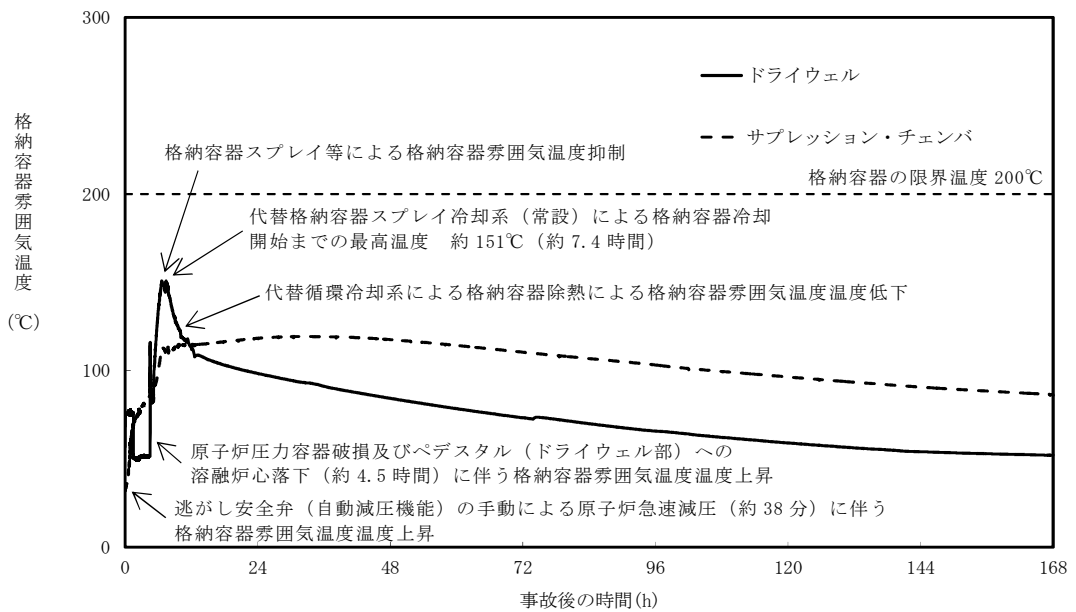
| | 代替循環冷却系（A系）を使用した場合 （有効性評価における代替循環冷却系を 使用した場合のケース） | 代替循環冷却系（B系）を使用した場合 （今回の評価ケース） |
|-----------------------------|--|---|
| 注水，スプレー等を実施する系統 | <ul style="list-style-type: none"> 原子炉注水 代替循環冷却系（A系） 格納容器スプレー 代替循環冷却系（A系） 代替格納容器スプレー冷却系（常設） ペDESTAL（ドライウエル部）注水 格納容器下部注水系（常設） | <ul style="list-style-type: none"> 原子炉注水 代替循環冷却系（B系） 格納容器スプレー 代替循環冷却系（B系） ペDESTAL（ドライウエル部）注水 格納容器下部注水系（常設） |
| 代替循環冷却系の機器条件・操作条件 | <ul style="list-style-type: none"> 事象発生 90 分後から 250m³/h でドライウエルスプレーを実施 R P V破損後に格納容器圧力が低下傾向に転じて 30 分後，150m³/h でドライウエルスプレー，100m³/h で原子炉注水を実施 | 代替循環冷却系（A系）を使用した場合と同じ |
| 代替格納容器スプレー冷却系（常設）の機器条件・操作条件 | <ul style="list-style-type: none"> 原子炉圧力容器破損+6 分後から 300m³/h でドライウエルスプレーを実施し，R P V破損後に格納容器圧力が低下傾向に転じて 30 分後に停止 その後，間欠スプレー（格納容器圧力 0.400～0.465MPa[gage]）を実施 | （実施しない） |
| 格納容器下部注水系（常設）の機器条件・操作条件 | <ul style="list-style-type: none"> 原子炉圧力容器破損後+7 分後から 80m³/h で格納容器下部水位制御（水位 2.25～2.75m）を実施 | 代替循環冷却系（A系）を使用した場合と同じ |

第4表 解析結果の比較

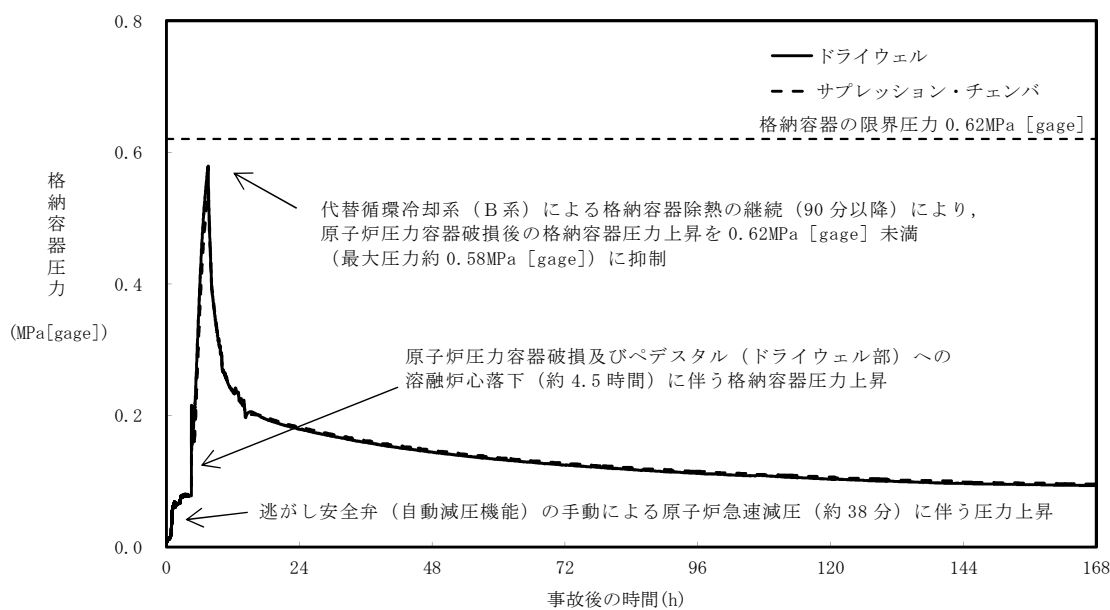
| | 代替循環冷却系（A系）を使用した場合 （有効性評価における代替循環冷却系を 使用した場合のケース） | 代替循環冷却系（B系）を使用した場合 （今回の評価ケース） |
|---------------|---|----------------------------------|
| 格納容器圧力の最高値 | 0.47MPa[gage] | 約 0.58MPa[gage] |
| 格納容器雰囲気温度の最高値 | 151℃ | 162℃ |



第5図 「DCH, FCI, MCC I」における
代替循環冷却系 (A系) を使用した場合の格納容器圧力の推移

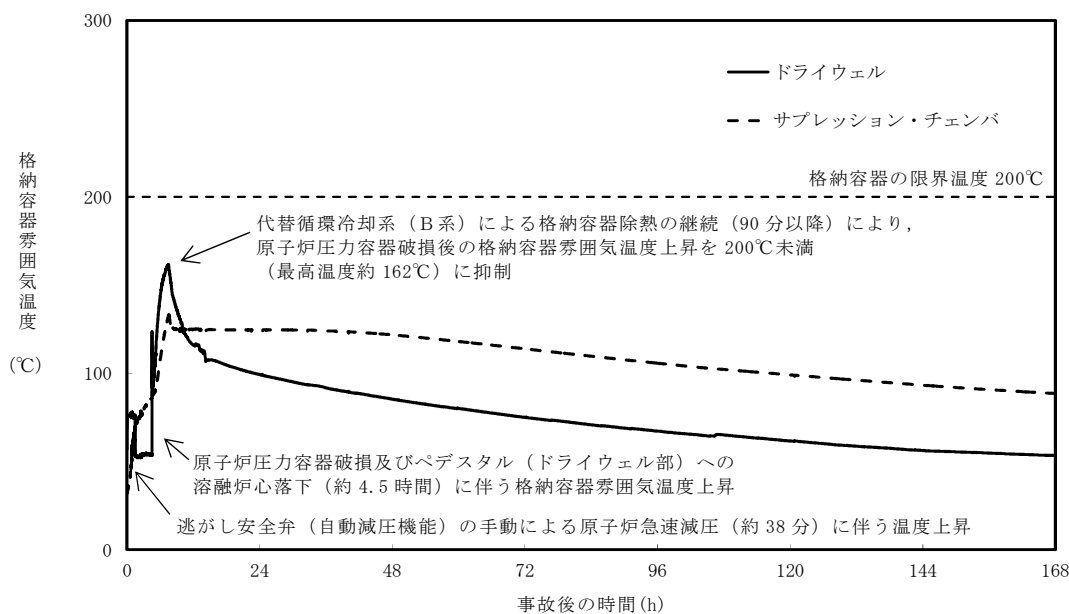


第6図 「DCH, FCI, MCC I」における
代替循環冷却系 (A系) を使用した場合の格納容器雰囲気温度の推移



第 7 図 「DCH, FCI, MCC I」における

代替循環冷却系 (B系) を使用した場合の格納容器圧力の推移



第 8 図 「DCH, FCI, MCC I」における

代替循環冷却系 (B系) を使用した場合の格納容器雰囲気温度の推移

代替循環冷却系の主要機器の仕様及び健全性について

1. 主要機器の仕様

(1) 代替循環冷却系ポンプ

| | | |
|---|---|---------------------------------|
| 型 | 式 | : ターボ形 |
| 台 | 数 | : 1 (予備1) |
| 容 | 量 | : 約250m ³ /h (1台当たり) |
| 全 | 揚 | 程 : 約120m |
| 最 | 高 | 使用圧力 : 3.45MPa [gage] |
| 最 | 高 | 使用温度 : 80℃ |

(2) 残留熱除去系熱交換器

| | | |
|---------------|---|---------------------------------------|
| 型 | 式 | : 縦型Uチューブ式 |
| 基 | 数 | : 2 |
| 最 | 高 | 使用圧力 : 3.45MPa [gage] |
| 最 | 高 | 使用温度 : 249℃ |
| 伝 | 熱 | 容量 : 約19.4×10 ³ kW (1基当たり) |
| (原子炉停止時冷却モード) | | |

2. 代替循環冷却系の健全性

代替循環冷却系の健全性について、「代替循環冷却系ポンプの健全性」, 「残留熱除去系ポンプの健全性」, 「シール材の信頼性」の観点から評価する。なお, 残留熱除去系熱交換器については, 最高使用温度が 249℃で設計されているため, 健全性に問題はない。

(1) 代替循環冷却系ポンプの健全性

0.62MPa [gage] (2Pd) においては, サプレッション・プール水の温度は

0.62MPa[gage] (2Pd) における飽和温度167℃となる。サブプレッション・プール水は残留熱除去系ポンプを経由し、残留熱除去系海水系ポンプ又は緊急用海水ポンプからの海水を用いて残留熱除去系熱交換器にて冷却後、代替循環冷却系ポンプにて原子炉及びドライウエルに注水を行う。ここでは、残留熱除去系熱交換器において冷却したサブプレッション・プール水の温度が、代替循環冷却系ポンプの最高使用温度80℃を超えないことを確認する。評価条件は以下のとおり。

| | |
|-----------------|------------------------|
| 緊急用海水ポンプ流量 | : 600m ³ /h |
| 代替循環冷却系ポンプ流量 | : 250m ³ /h |
| 海水温度 | : 32℃ |
| サブプレッション・プール水温度 | : 167℃ |

上記の条件で残留熱除去系熱交換器出口温度を評価した結果、出口温度は約70℃と評価され、代替循環冷却系ポンプの最高使用温度80℃を下回る。なお、代替循環冷却系ポンプの運転に伴うポンプ入熱による影響及びサブプレッション・プール水中の核分裂生成物による発熱による影響については、代替循環冷却系ポンプの入口側に残留熱熱交換器が設置されており、代替循環冷却系ポンプの運転によって、残留熱除去系熱交換器により冷却された水に入れ替わることから影響はないものとする。

以上より、2Pdの条件下においても、代替循環冷却系ポンプの健全性については問題ない。

(2) 残留熱除去系ポンプの健全性

代替循環冷却系については、残留熱除去系ポンプ（最高使用圧力：3.51MPa、最高使用温度：182℃）を流路として使用する。

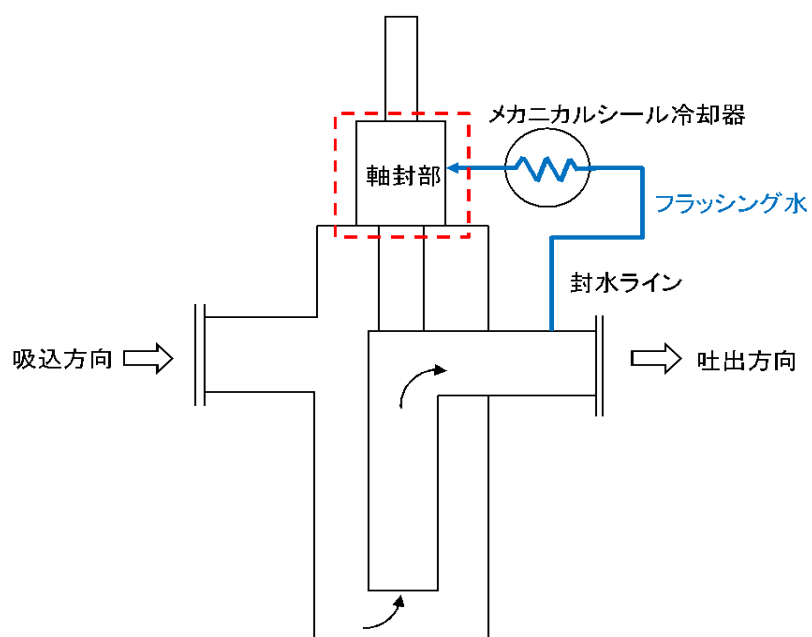
代替循環冷却系は代替循環冷却系ポンプでサブプレッション・チェンバの水を循環させる系統構成となっており、残留熱除去系が機能喪失している前提で使用する設備であるため、残留熱除去系ポンプは、停止している状態でポンプ内を系統水が流れることとなる。残留熱除去系ポンプの軸封部はメカニカルシールで構成されており、ポンプ吐出側から分岐して送水される冷却水（フラッシング水）により温度上昇を抑える設計としている（第1図）。

ポンプ停止時に系統水が流れる状態においては、通常どおりメカニカルシールに冷却水（フラッシング水）が送水されないことが考えられるため、その際のシール機能への影響について確認した。

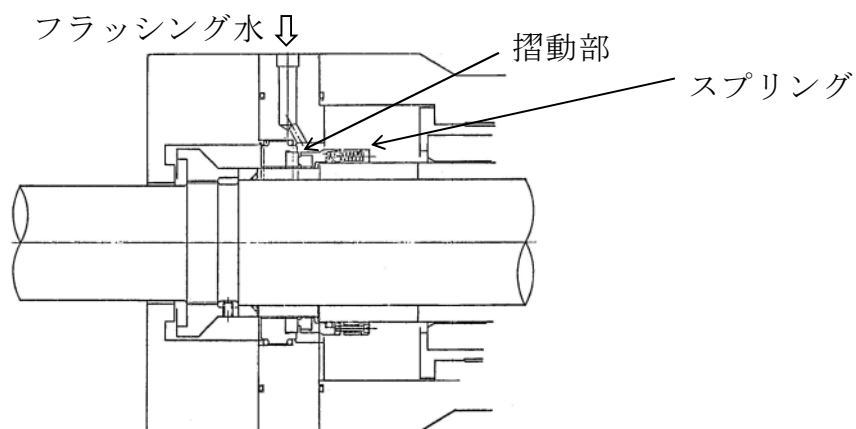
残留熱除去系ポンプのメカニカルシールは、スプリングによって摺動部を押さえつける形でシールする構造となっている（第2図）。代替循環冷却系運転時には残留熱除去系ポンプが停止している状態であるため、通常のポンプ運転時のように冷却水（フラッシング水）が封水ラインを通じてメカニカルシール部に通水されないことが想定されるが、上述のとおり、冷却水（フラッシング水）はメカニカルシールの摺動による温度上昇を抑えるためのものであり、ポンプが停止している状態では冷却の必要がなく、特にメカニカルシールの機能に影響はない

なお、軸封部及び封水ラインにおいては、代替循環冷却系ポンプ運転時には残留熱除去系ポンプが停止していることから、ポンプの吐出圧力に相当する圧力がかかることはなく、格納容器圧力である0.62MPa[gage]（2Pd）であるため、軸封部への影響はないと考える。

したがって、代替循環冷却系運転時において軸封部からの系統水の著しい漏えいはないと考えており、残留熱除去系ポンプの最高使用温度以下で通水されることから健全性については問題ない。



第1図 残留熱除去系ポンプ 概要図



第2図 残留熱除去系ポンプメカニカルシール 構造図

(3) シール材の健全性について

代替循環冷却系を使用する場合に、系統内の弁、配管及びポンプのバウンダリに使用されているシール材について高温環境による影響、放射

線影響及び化学種による影響によって材料が劣化し漏えいが生じる可能性がある。これらの影響について下記のとおり評価を行った。

① 高温環境及び放射線による影響

代替循環冷却系は、重大事故時に炉心損傷した状況でシステムを使用することとなる。このため、高温環境下であること及びシステム内を高放射能の流体が流れることから、高温及び放射線による劣化が懸念される。

上記に示す部材のうち、配管フランジガスケット及び弁グランドシールには膨張黒鉛材料若しくはステンレス等の金属材料が用いられている。これらは、耐熱性があること及び無機材料であり高放射線下においても劣化の影響はないか極めて小さい。このため、これらについては評価温度である200℃以上の耐熱性を有することに加え、放射線による影響についても、耐放射線性能が確認されたシール材を用いることから、シール性能が維持されるものとする。

残留熱除去系ポンプのバウンダリを構成する部材(メカニカルシール、ケーシングシール等)のシール材には、エチレンプロピレンゴム (EPDM) やフッ素ゴムが用いられており、高温環境下での使用による影響及び放射線による影響を受けて劣化することが考えられるため、200℃の環境下において7日間の高耐熱性を有し、耐放射線性に優れた改良EPDM製シール材への取替えを今後行うことにより、耐熱性及び耐放射線性を確保する。

また、代替循環冷却系ポンプのバウンダリを構成する部材(ケーシングシール等)のシール材についても同様に、耐熱性及び耐放射線性に優れた材料を適用する。

② 核分裂生成物による化学的影響

炉心損傷時に発生する核分裂生成物の中で化学的な影響を及ぼす可能

性がある物質として、アルカリ金属であるセシウム及びハロゲン元素であるよう素が存在する。このうち、アルカリ金属のセシウムについては、水中でセシウムイオンとして存在しアルカリ環境の形成に寄与するが、膨張黒鉛ガスケットや金属ガスケットはアルカリ環境において劣化の影響はなく、また、E P D Mについても耐アルカリ性を有する材料であることから、セシウムによるシール機能への化学的影響はないものと考えられる。

一方、ハロゲン元素のよう素については、無機材料である膨張黒鉛ガスケットや金属ガスケットでは影響がないが、有機材料であるE P D Mでは影響が生じる可能性がある。設備での使用を考慮している改良E P D Mについては、電力共同研究により、よう素による影響の確認を行っており、炉心損傷時に想定されるよう素濃度（約450mg/m³）よりも高濃度のよう素環境下（約1,000mg/m³）においても、圧縮永久ひずみ等のシール材としての性状に大きな変化がないことを確認している。また、ガスケットメーカーにおいて、よう素に対するE P D M材の耐性として、第1表に示すとおり、5段階評価（ランク1が最も耐性がある）のうち、ランク2に位置づけられており、よう素に対する耐性があるものと考えられる。

このように、よう素に対する性能が確認された材料を用いることにより、漏えい等の影響が生じることはないものと考えられる。

第1表 EPDMの特性

| 薬品 | 耐性ランク |
|-----|-------|
| よう素 | 2 |

<耐性ランクの凡例>

- 1：動的部分にも使用可能で体積変化率は10%以内。
- 2：動的部分にも条件により使用可能，体積変化率は20%以内。
- 3：静的部分には使用可能，体積変化率は30%以内。
- 4：静的部分には条件により使用可能，体積変化率は100%以内。
- 5：使用できない，体積変化率は100%以上。

出典：日本バルカー工業(株)発行「バルカーハンドブック」より抜粋

格納容器圧力逃がし装置を使用する際、サプレッション・プール水の酸性化を防止すること及びサプレッション・プール水中の核分裂生成物由来のよう素を捕捉することにより、よう素の放出量の低減を図るため、サプレッション・プール水pH制御装置を自主的な取組みとして設ける計画である。サプレッション・プール水pH制御装置の使用により、アルカリ薬液である水酸化ナトリウムを格納容器へ注入することとなるため、アルカリ薬液によるシール性への影響が懸念されるが、耐アルカリ性を有する改良EPDMを使用することにより、格納容器バウンダリのシール機能には影響はない。

代替循環冷却系のシステム非信頼度について

1. はじめに

フォールトツリー手法を用いて、代替循環冷却系のシステム非信頼度を評価する。

2. 評価条件

評価条件は第 1 表のとおり。

第 1 表 代替循環冷却系のシステム非信頼度の評価条件

| | |
|-----------------|----------------------------|
| システム非信頼度の評価範囲 | 代替循環冷却系，緊急用海水系及び常設代替交流電源設備 |
| 代替循環冷却系の成功基準 | 2 系列中 1 系列 |
| 緊急用海水系の成功基準 | ポンプ 2 台中 1 台 |
| 常設代替交流電源設備の成功基準 | 常設代替高圧電源装置 5 台中 2 台 |
| システム非信頼度の評価 | 機器のランダム故障を対象 使命時間 24 時間 |

3. 評価結果

代替循環冷却系のシステム非信頼度を，第 1 図のフォールトツリーを用いて評価した。その結果，第 2 表に示すとおり，代替循環冷却系 2 系列（A 系及び B 系）のシステム非信頼度は約 $3 \times 10^{-4} / \text{demand}$ ，1 系列を想定した場合（A 系のみの場合）の非信頼度は約 $2 \times 10^{-3} / \text{demand}$ となり，代替循環冷却系の多重化設計により，システム非信頼度は 1 系列時に比べて 1 桁程度低減する。

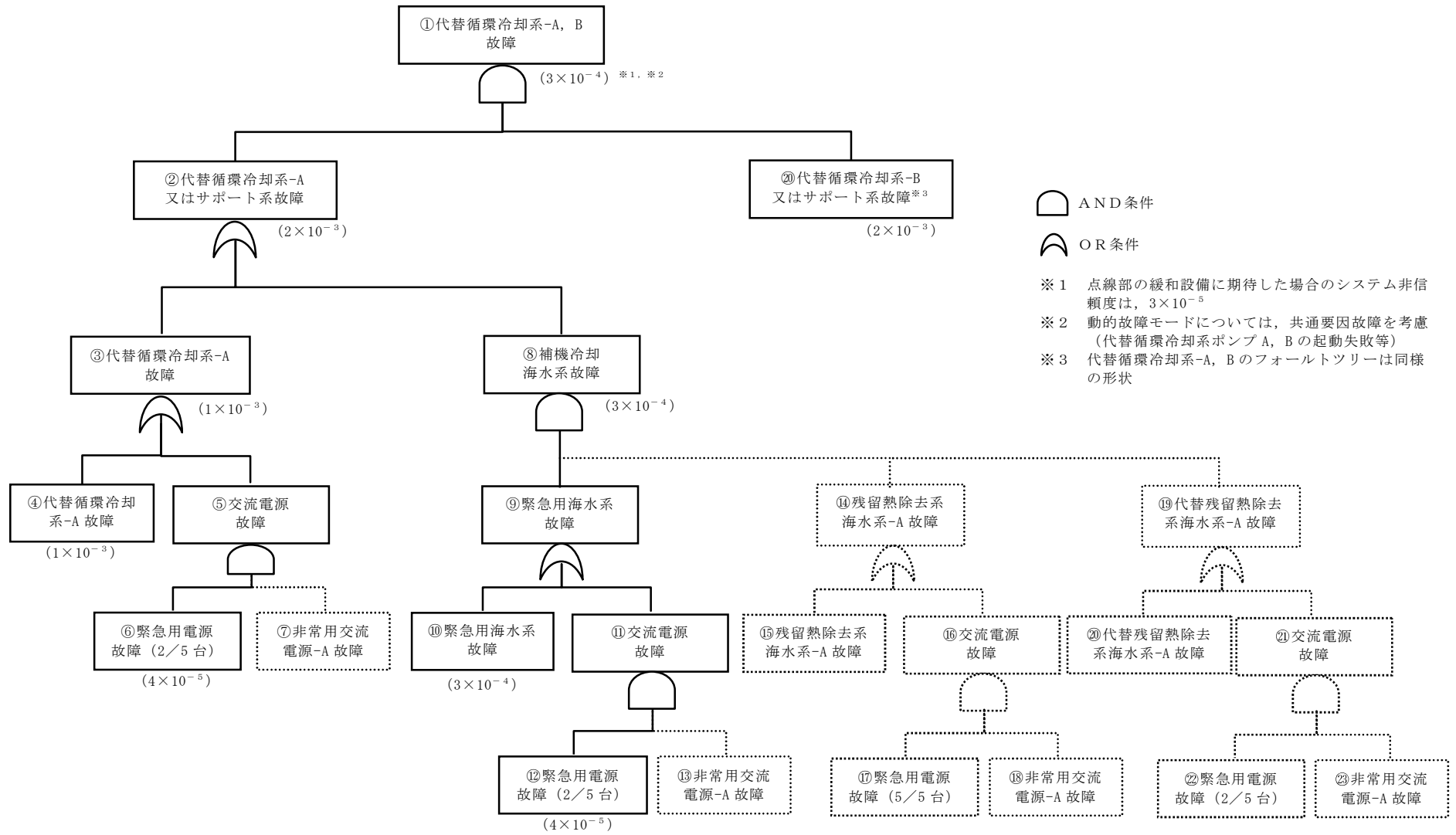
なお，代替循環冷却系のサポート系として残留熱除去系海水系，代替残留

熱除去系海水系及び非常用交流電源が使用可能な場合のシステム非信頼度は約 3×10^{-5} /demand となり，代替循環冷却系を多重化することでシステム非信頼度は 2 桁程度低減する。

第 2 表 代替循環冷却系のシステム非信頼度

| | システム非信頼度 (/demand) | |
|------------------------------------|----------------------------------|-----------------------|
| | サポート系として緊急用海水系，常設代替交流電源設備を考慮した場合 | 他のサポート系にも期待した場合 (参考※) |
| 代替循環冷却系 1 系列 | 約 2×10^{-3} | 約 1×10^{-3} |
| 代替循環冷却系 2 系列 | 約 3×10^{-4} | 約 3×10^{-5} |
| 低減割合 (代替循環冷却系 2 系列 / 代替循環冷却系 1 系列) | ≈ 0.2 | ≈ 0.03 |

※ 設計基準事故対処設備としての残留熱除去海水系，非常用電源及び代替残留熱除去系海水系の使用を考慮した場合の参考評価



第 1 図 システム非信頼度の評価に用いたフォールトツリー

代替残留熱除去系海水系を用いた場合の評価

1. 代替残留熱除去系海水系の位置づけ

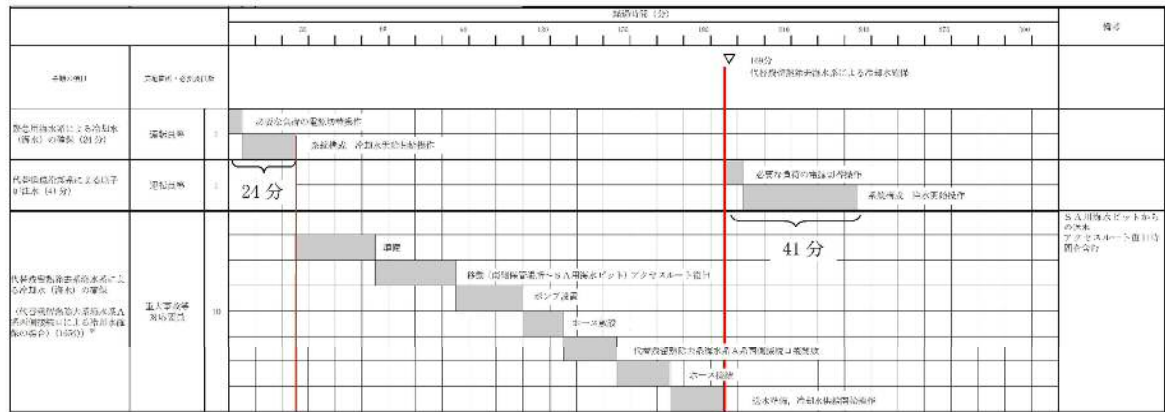
代替残留熱除去系海水系は、残留熱除去系及び代替循環冷却系のサポート系であり、残留熱除去系海水系の機能喪失又は全交流動力電源喪失時において、緊急用海水系の後備の対応手段として位置付けている。

2. 代替残留熱除去系海水系を用いた場合の有効性評価への影響

上述のとおり、残留熱除去系海水系の機能喪失又は全交流動力電源の喪失により残留熱除去系海水系が機能喪失し、緊急用海水系が使用できない場合において、代替残留熱除去系海水系の起動準備等手順に着手する。そのため、第1図に示すとおり、緊急用海水系が使用できる場合に比べ、最大約165分程度（約2.8時間）の代替循環冷却系の起動遅れが想定される。

格納容器破損モード「雰囲気圧力・温度による静的負荷（格納容器過圧・過温破損）」の有効性評価における代替循環冷却系を使用する場合は、事象発生90分後（1.5時間後）に代替循環冷却系を起動しているが、代替残留熱除去系海水系を用いた場合には、上記の起動遅れを踏まえると事象発生255分後（約4.3時間後）に代替循環冷却系を起動することになり、起動までの間に格納容器圧力及び雰囲気温度は相対的に高く推移することとなる。ただし、代替循環冷却系が起動せずに約3.9時間後に格納容器圧力が0.465MPa [gage] (1.5Pd) に到達すれば代替格納容器スプレー冷却系（常設）による格納容器スプレーを実施し、約4.3時間後以降は代替循環冷却系を用いた内部水源による格納容器スプレーに切り替えることで、格納容器圧力及び雰囲気温度は限界圧力0.62MPa [gage] (2Pd) 及び限界温度200℃を下回ることとなる。なお、有効性評価において代替循環冷却系を使用する場合は、事象

発生 90 分後からの代替循環冷却系による格納容器除熱により代替格納容器スプレイ冷却系（常設）による格納容器冷却を実施することはないが、代替残留熱除去系海水系に期待する場合には、事象発生約 3.9 時間後から代替循環冷却系の想定起動時間の事象発生約 4.3 時間後までの間は代替格納容器スプレイ冷却系（常設）による外部水源を用いた格納器冷却を実施することになる。このことから、有効性評価において代替循環冷却系を使用する場合よりも外部水源の持ち込み量が多くなり、格納容器の自由体積が減少することに伴い、格納容器内の酸素濃度の上昇が早くなることが考えられる。しかしながら、第 1 表に示すとおり、サプレッション・プール通常水位でのサプレッション・チェンバの空間容積（4,100m³）に対する外部水源の持ち込み量は、有効性評価において代替循環冷却系を使用する場合と比較しても約 200m³程度の増加であり、格納容器ベント時間に与える影響は軽微であると考えられる。



東京側接続口による冷却水断絶の場合は160分

165分 ← 代替残留熱除去系海水系を使用する場合の増加時間

第1図 代替残留熱除去系を起動する場合のタイムチャート

(ホース敷設にホース運搬車を使用する場合、高所西側接続口への送水)

第1表 外部水源持込量の比較

| | | 外部水源の持ち込み量 | | |
|-------------------------|----------|-------------------|----------------------|-------------------|
| | | 事象発生～1.5時間後 | 1.5時間後～4.3時間後 | 合計 |
| 有効性評価において代替循環冷却系を使用する場合 | 原子炉注水 | 250m ³ | 0m ³ | 400m ³ |
| | 格納容器スプレィ | 150m ³ | 0m ³ | |
| 代替残留熱除去系海水系を使用する場合 | 原子炉注水 | 250m ³ | 140m ³ ※1 | 592m ³ |
| | 格納容器スプレィ | 150m ³ | 52m ³ ※2 | |

※1 事象発生から6時間後までの平均崩壊熱相当の注水流量である50m³/hの原子炉注水を実施するものとして算出

※2 格納容器圧力0.465MPa [gage] (1.5Pd) に到達する約3.9時間後から最大スプレィ流量である130m³/hの格納容器スプレィを実施するものとして算出

代替循環冷却系による格納容器ベント遅延効果

1. はじめに

重大事故時に代替循環冷却系を使用する場合、代替循環冷却系による格納容器除熱をすることにより事故後短時間での格納容器ベントは回避されることが期待される。ここでは、代替循環冷却系を使用できない場合の格納容器ベント時間を評価し、代替循環冷却系を使用する場合の格納容器ベント時間と比較することで、代替循環冷却系を使用する場合の格納容器ベントの遅延効果を確認する。

格納容器破損モード「雰囲気圧力・温度による静的負荷（格納容器過圧・過温破損）」の有効性評価のうち代替循環冷却系を使用できない場合においては、中央制御室の居住性評価や中央制御室待避室の遮蔽設計等を保守的に行うため、代替循環冷却系を使用できないことにより早期に格納容器ベントに至る条件を設定している（ケース②：ベースケース）。具体的には参考2に示すが、代替循環冷却系による格納容器ベントの遅延効果を評価するための評価条件と比べて、格納容器スプレイ温度等について保守的な評価条件を用いた。

一方、ここでは、代替循環冷却系を使用できない場合の格納容器ベント時間の評価に当たって、実手順等を踏まえた条件を採用し、現実的な格納容器ベント時間を評価することとする（ケース①：実手順等を踏まえたケース）。

2. 代替循環冷却系に期待する場合

格納容器破損モード「雰囲気圧力・温度による静的負荷（格納容器過圧・過温破損）」の有効性評価における代替循環冷却系を使用する場合では、代替循環冷却系により格納容器除熱を実施し、重大事故相当のG値を想定した条

件としており、可燃性ガス排出のための格納容器ベント基準となる格納容器内酸素濃度 4.3vol%（ドライ条件）に到達する時間は事故後約 46 日後となる。

また、酸素濃度が早く上昇する場合の影響を確認するため、酸素濃度上昇を厳しくする設計基準事故相当のG値を想定した感度解析ケースでは、可燃性ガス排出のための格納容器ベント基準となる格納容器内酸素濃度 4.3vol%（ドライ条件）に到達する時間は事故後約 5 日後（約 122 時間後）となる。

なお、代替循環冷却系を使用する場合には、格納容器内に窒素注入を実施することにより格納容器内酸素濃度の上昇を抑制し、格納容器ベントの開始時間を大幅に遅延させる手順とする。格納容器内への窒素注入手順としては、格納容器バウンダリの健全性に対する裕度の確保及び格納容器漏えいの影響を考慮し、格納容器圧力 0.31MPa[gage]（1Pd）までの注入を基本とするが、本感度解析のように 1Pd まで窒素を注入しても早期の格納容器ベント（事故後 7 日以内を想定）に至る場合には、0.465MPa[gage]（1.5Pd）までの追加の窒素注入を実施することで、可能な限り格納容器ベントを遅延させ、環境への影響を低減させることとする。

窒素注入条件を第 1 表及び第 2 表に示す。また、重大事故相当のG値及び設計基準事故相当のG値を想定した場合の格納容器圧力等の推移を第 1 図から第 8 図に示す。

上記の格納容器ベント時間と「3. 代替循環冷却系を使用できない場合」における格納容器ベント時間を比較することで、代替循環冷却系による格納容器ベント遅延効果を確認する。

第 1 表 重大事故相当の G 値を想定した場合の窒素注入条件

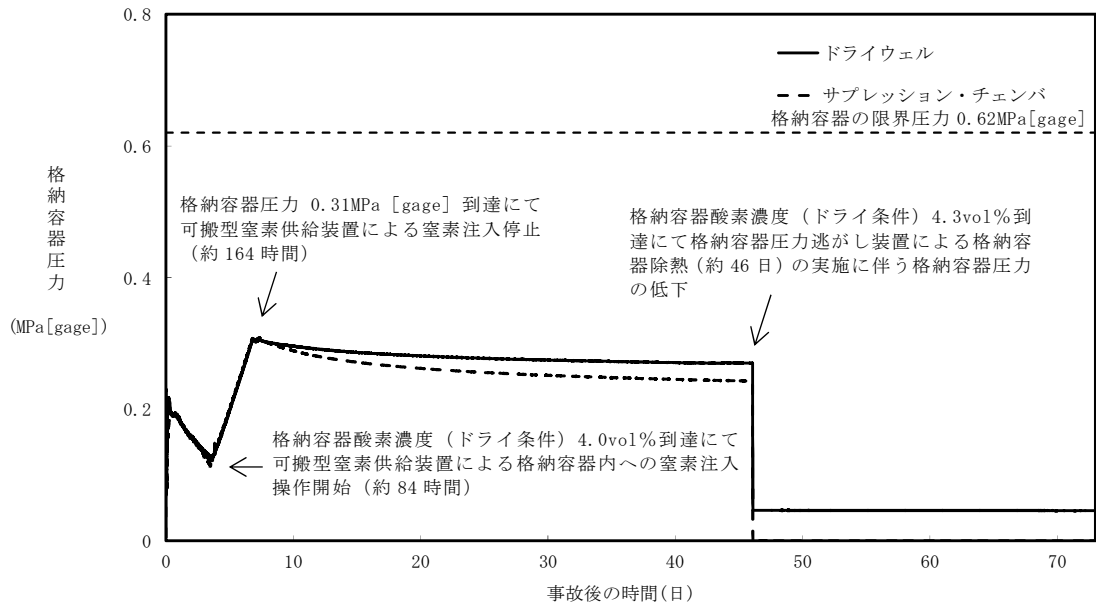
| 時間 | | 窒素注入条件 |
|----|---------------------------|---|
| ① | PCV 酸素 4.0vol% (ドライ条件) 到達 | S/C への窒素注入 (窒素 198m ³ /h, 酸素 2m ³ /h) を開始 |
| ② | PCV 圧力 0.31MPa[gage]到達 | S/C への窒素注入を停止 |

※ PCV : 格納容器, S/C : サプレッション・チェンバ, D/W : ドライウエル

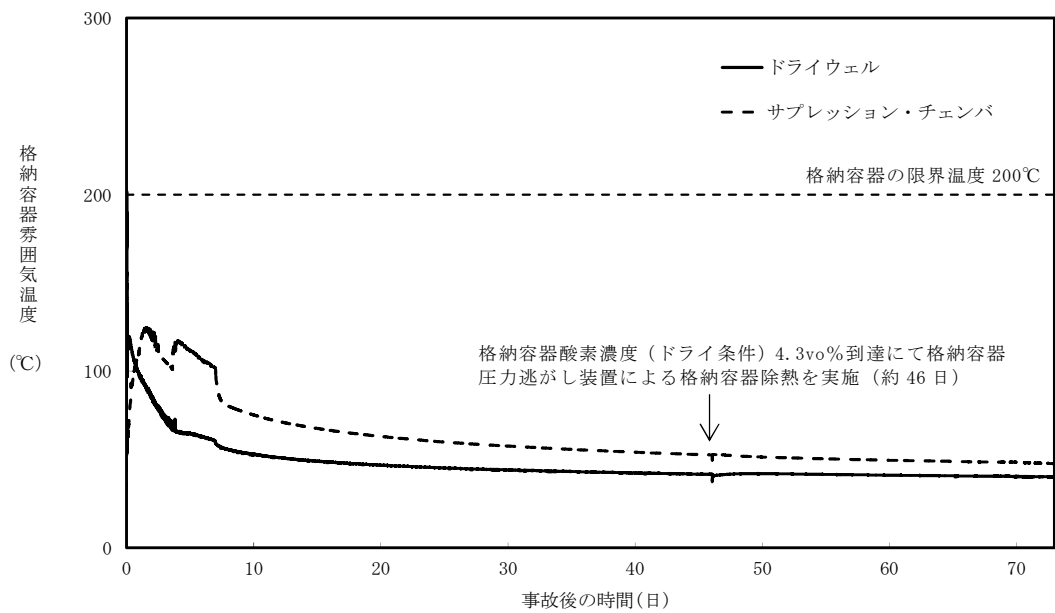
第 2 表 重大事故相当の G 値を超える酸素濃度上昇を
想定した場合の窒素注入条件 (設計基準事故相当の G 値)

| 時間 | | 窒素注入条件 |
|----|-------------------------------|--|
| ① | PCV 酸素 4.0vol% (ドライ条件) 到達 | S/C への窒素注入 (窒素 198m ³ /h, 酸素 2m ³ /h) を開始 |
| ② | 酸素濃度が上昇傾向 (解析上は①実施の 30 分後) | S/C への窒素注入は継続したまま, 追加で D/W への窒素注入 (窒素 198m ³ /h, 酸素 2m ³ /h) を開始 (合計で窒素 396m ³ /h, 酸素 4m ³ /h を格納容器内に注入) |
| ③ | PCV 圧力 0.31MPa[gage]到達 | S/C 及び D/W への窒素注入を停止 |
| ④ | PCV 酸素 4.0vol% (ドライ条件) 到達 | S/C への窒素注入 (窒素 198m ³ /h, 酸素 2m ³ /h) を開始 |
| ⑤ | 酸素濃度が上昇傾向 (解析上は④実施の 30 分後) | S/C への窒素注入は継続したまま, 追加で D/W への窒素注入 (窒素 198m ³ /h, 酸素 2m ³ /h) を開始 (合計で窒素 396m ³ /h, 酸素 4m ³ /h を格納容器内に注入) |
| ⑥ | PCV 圧力 0.465MPa[gage]到達 | S/C 及び D/W への窒素注入を停止 |

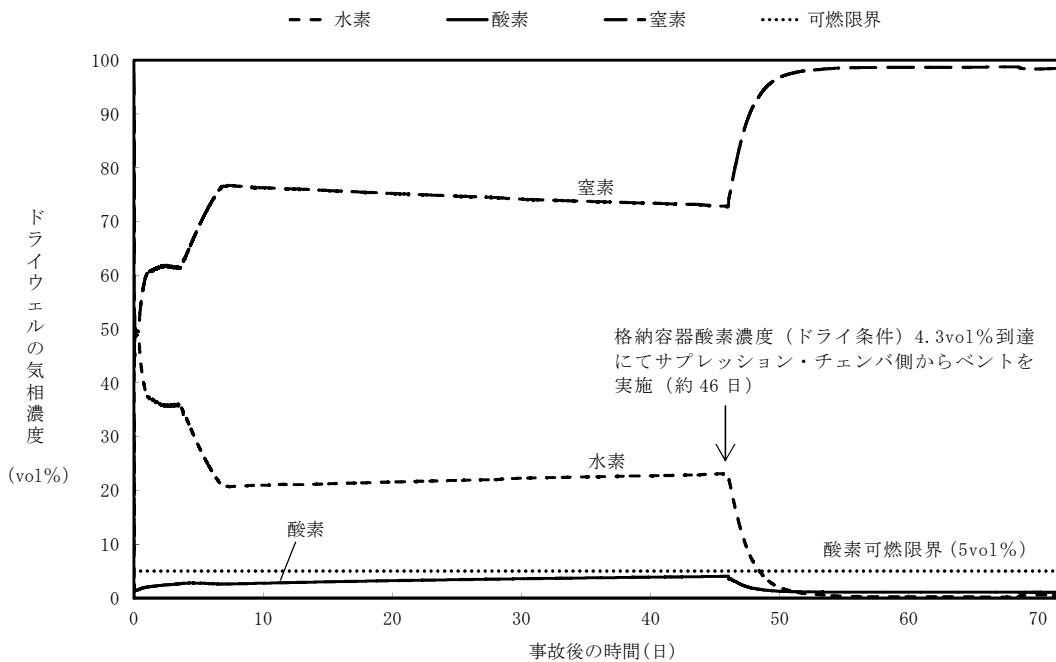
※ PCV : 格納容器, S/C : サプレッション・チェンバ, D/W : ドライウエル



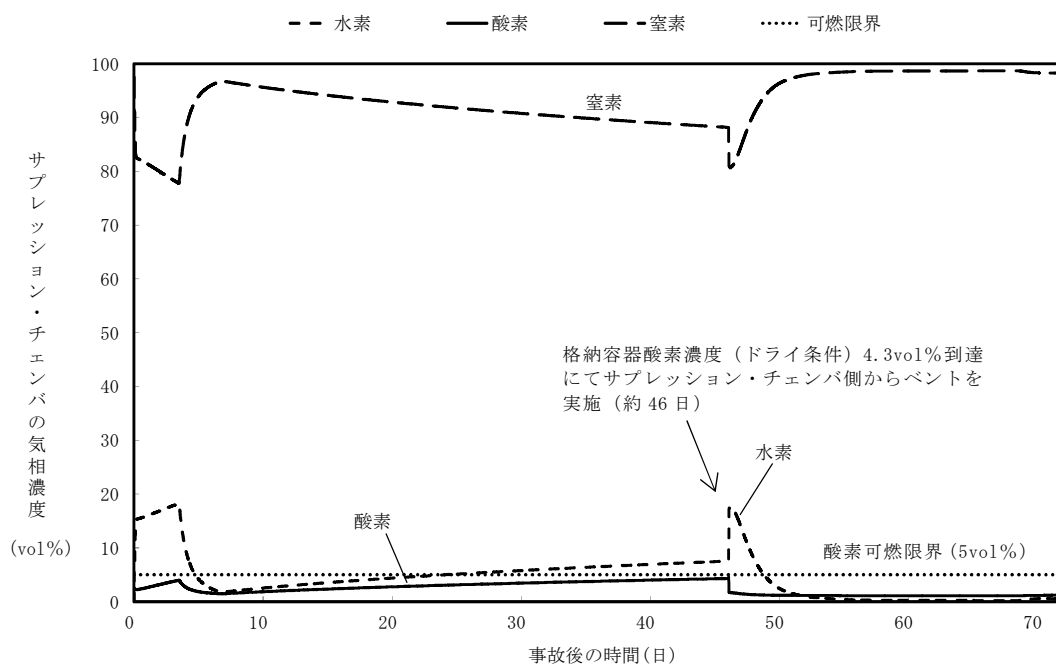
第 1 図 格納容器圧力の推移 (重大事故相当の G 値を想定)



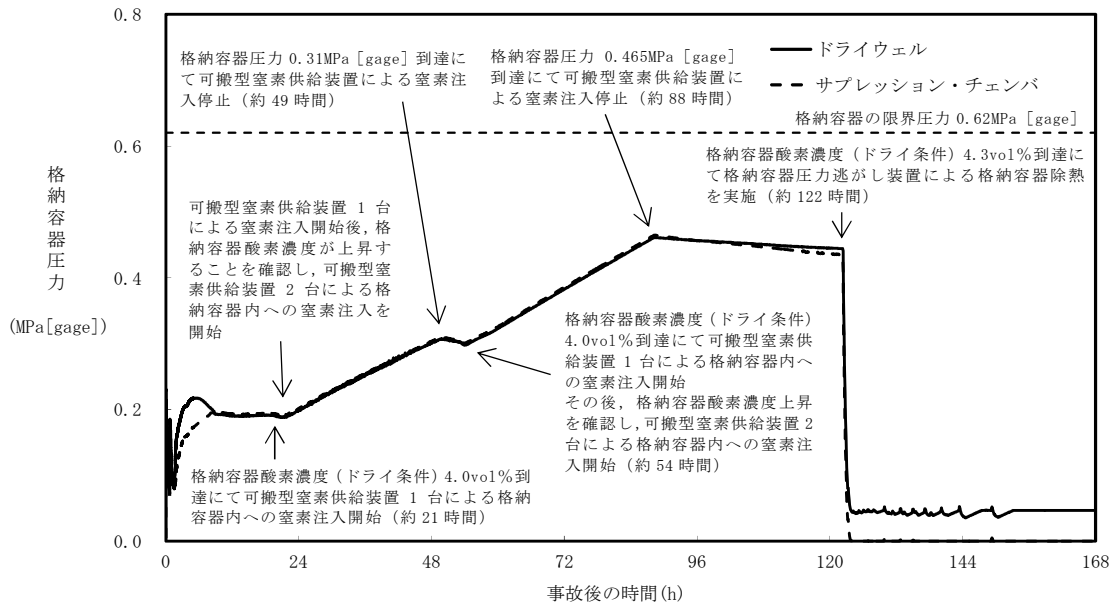
第 2 図 格納容器雰囲気温度の推移 (重大事故相当の G 値を想定)



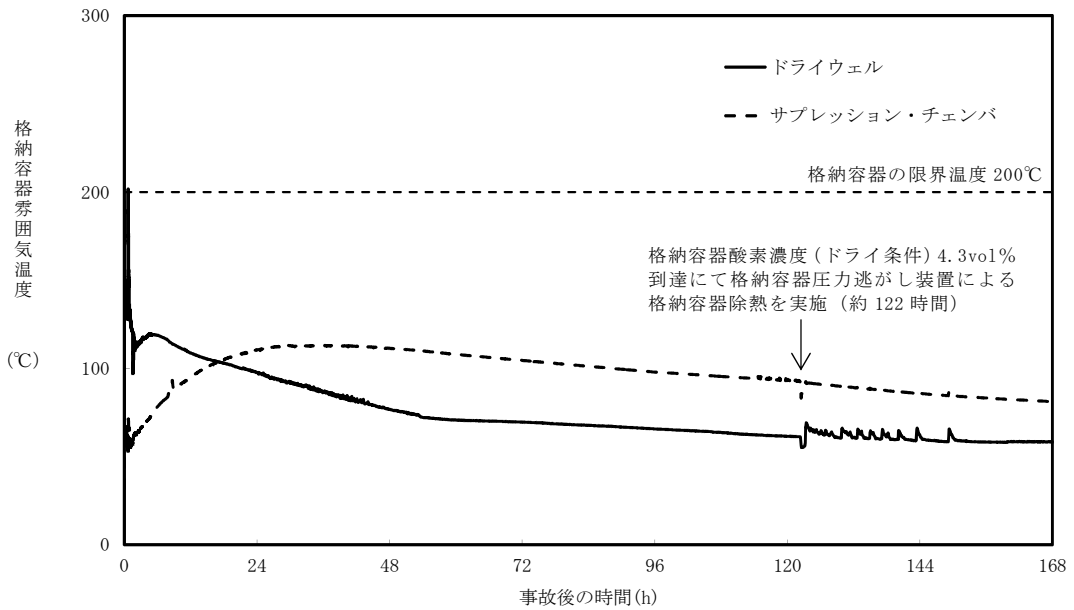
第 3 図 ドライウエルの気相濃度の推移（重大事故相当のG 値を想定）



第 4 図 サプレッション・チェンバの気相濃度（重大事故相当のG 値を想定）

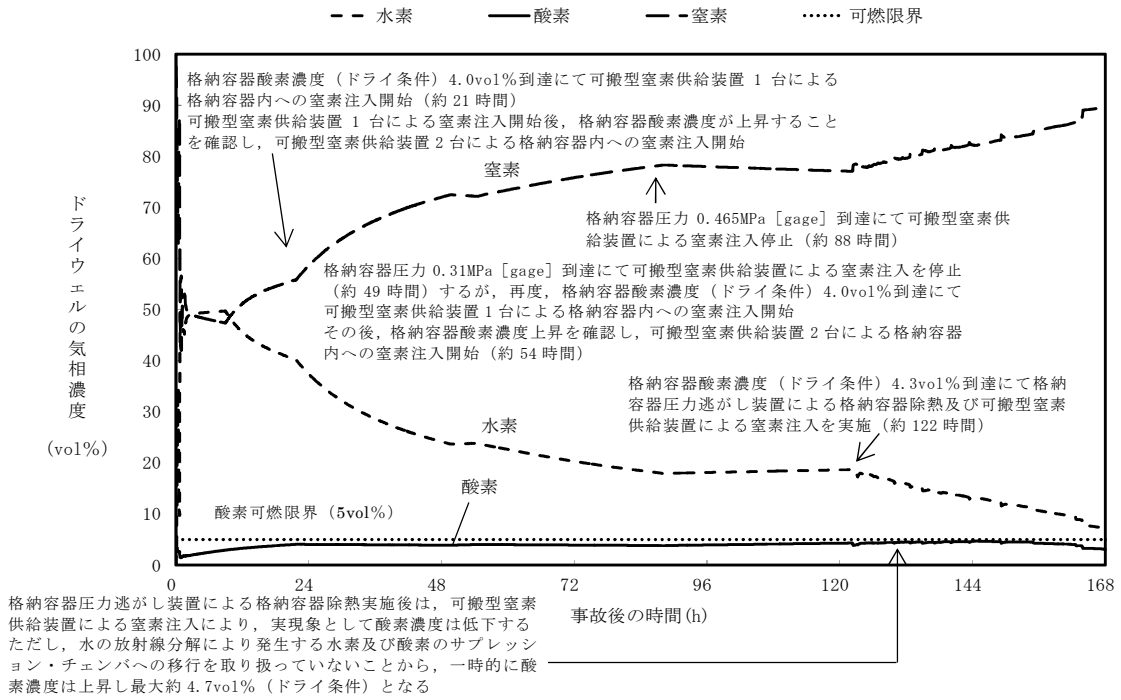


第 5 図 格納容器圧力の推移 (設計基準事故相当の G 値を想定)



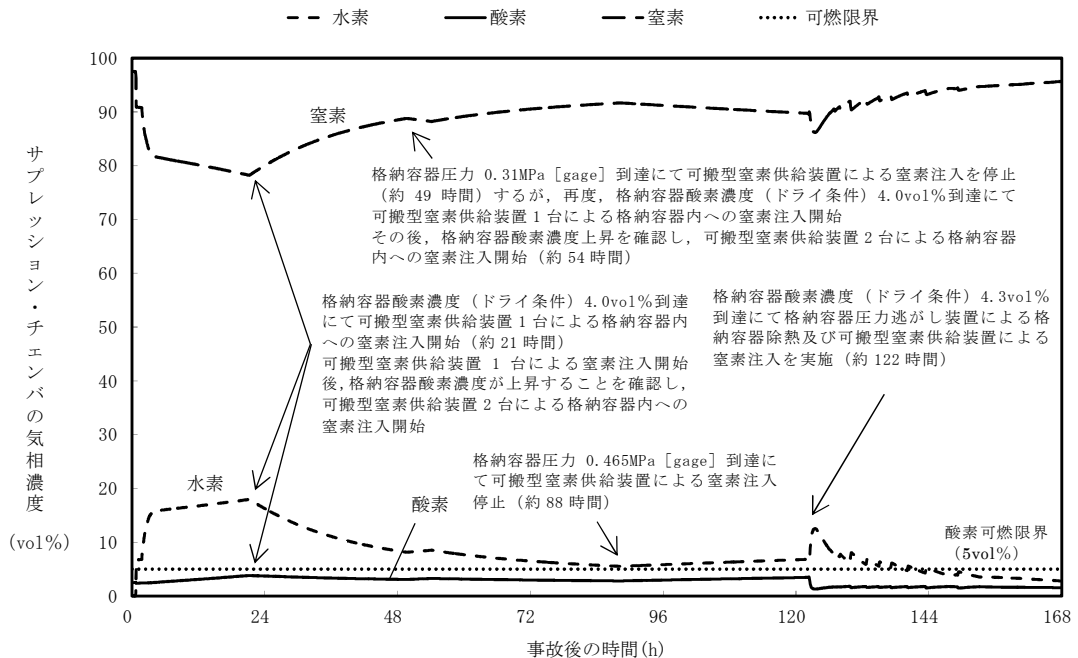
第 6 図 格納容器雰囲気温度の推移

(設計基準事故相当の G 値を想定)



第 7 図 ドライウエルの気相濃度の推移

(設計基準事故相当の G 値を想定)



第 8 図 サプレッション・チェンバの気相濃度

(設計基準事故相当の G 値を想定)

3. 代替循環冷却系を使用できない場合

(1) 評価結果について

代替循環冷却系による格納容器ベントの遅延効果を評価する観点から、代替循環冷却系を使用できない場合の格納容器ベント時間を評価した。評価に当たっては、実手順を踏まえた場合の現実的な格納容器ベント時間を評価するため、第3表に示すとおり、格納容器スプレイ流量の実手順等を踏まえた評価条件とした（「(2)ケース①：実手順等を踏まえたケースの妥当性について」参照）。この結果、格納容器ベント基準となるサプレッション・プール水位通常水位+6.5mに到達する時間が事故後約24時間後（約24.6時間後）となり、「2.代替循環冷却系を使用する場合」で示す格納容器ベント時間と比較すると、代替循環冷却系を使用することで格納容器ベントの実施時期を大幅に遅延することが可能となる。各評価ケースの格納容器ベント時間を第4表に、格納容器圧力及び雰囲気温度の推移を第9図及び第10図に示す。

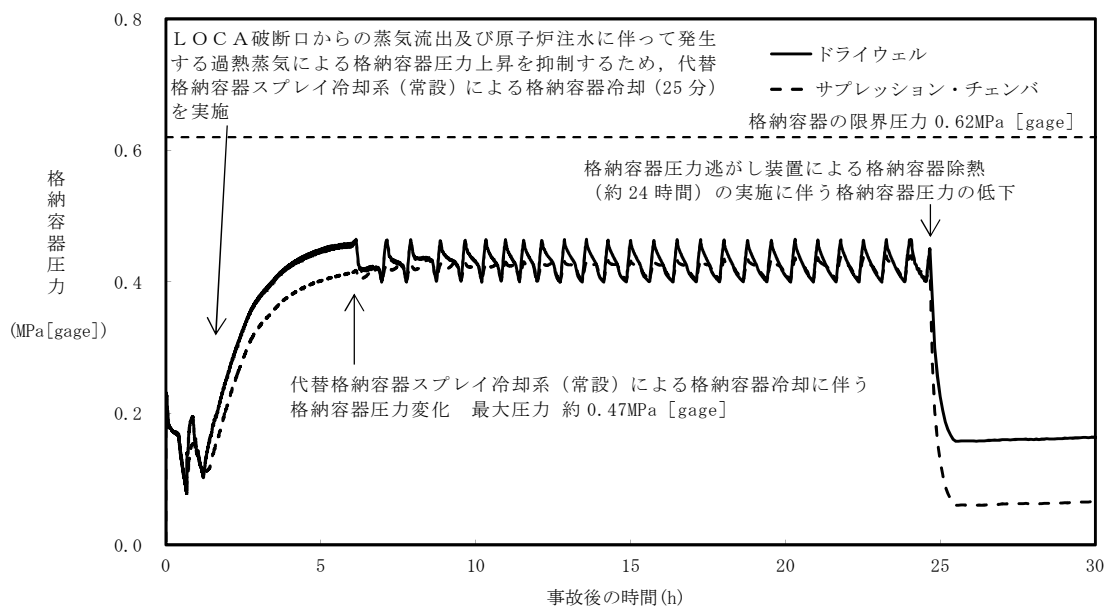
第3表 ケース①：実手順等を踏まえたケースの評価条件

| | 評価条件 | 設定理由 |
|-----------------------|---|---|
| 外部水源温度 (スプレイ温度) | 20℃* | ケース②：ベースケースでは 35℃一定としているが、地下式タンクを水源としており、約 20℃以下の水温になることが想定されるため、ケース①：実手順等を踏まえたケースでは水源補給されるまでは 20℃を設定 |
| 格納容器 スプレイ流量 | <ul style="list-style-type: none"> ・格納容器圧力 0.465MPa[gage] (1.5Pd) 到達 102m³/h にて流量調整 ・格納容器圧力 0.400MPa[gage] (1.3Pd) 到達 格納容器スプレイ停止 | ケース②：ベースケースでは 1.3～1.5Pd の間欠スプレイ時の流量として最大である 130m ³ /h としているが、ケース①：実手順等を踏まえたケースではスプレイ液滴径 2mm が確保される最低流量として 102m ³ /h を設定 |
| ペデスタル (ドライウエル部) 水位 | 1m | ケース②：ベースケースではペデスタル(ドライウエル部)の水張りを考慮していないが、格納容器の熱容量に寄与し格納容器ベント遅延効果があるため、ケース①：実手順等を踏まえたケースでは考慮して設定 |

※ 代替淡水貯槽の水量が 1,000m³到達以降は西側淡水貯水設備からの補給が開始されるため、補給開始以降は水温の条件は変更となるが、補給開始が格納容器ベント開始以降となることから、本評価においては 20℃一定とした

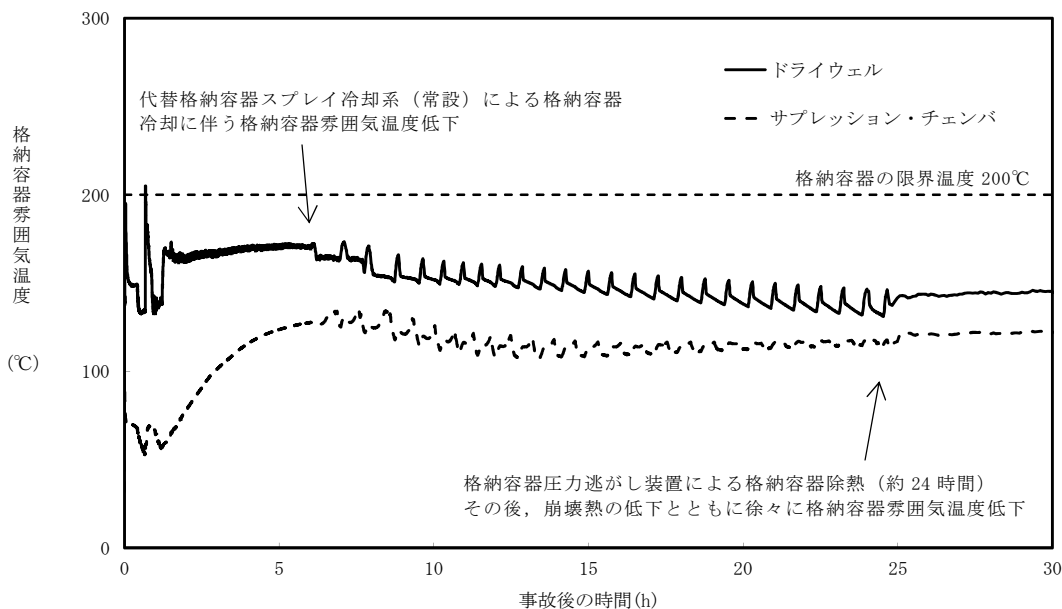
第4表 評価結果

| | 代替循環冷却系を使用する場合 | | 代替循環冷却系を使用できない場合 (ケース①：実手順等を踏まえたケース) |
|---------------|--------------------|--------------------|---|
| | 重大事故相当のG値を想定した場合 | 設計基準事故相当のG値を想定した場合 | |
| 格納容器 ベント時間 | 約 46 日 (約 1105 時間) | 約 5 日 (約 122 時間) | 約 24 時間 (約 24.6 時間) |



第 9 図 格納容器圧力の推移

(代替循環冷却系を使用できない場合)



第 10 図 格納容器雰囲気温度の推移

(代替循環冷却系を使用できない場合)

(2) ケース①：実手順等を踏まえたケースの妥当性について

①外部水源温度（スプレイ温度）

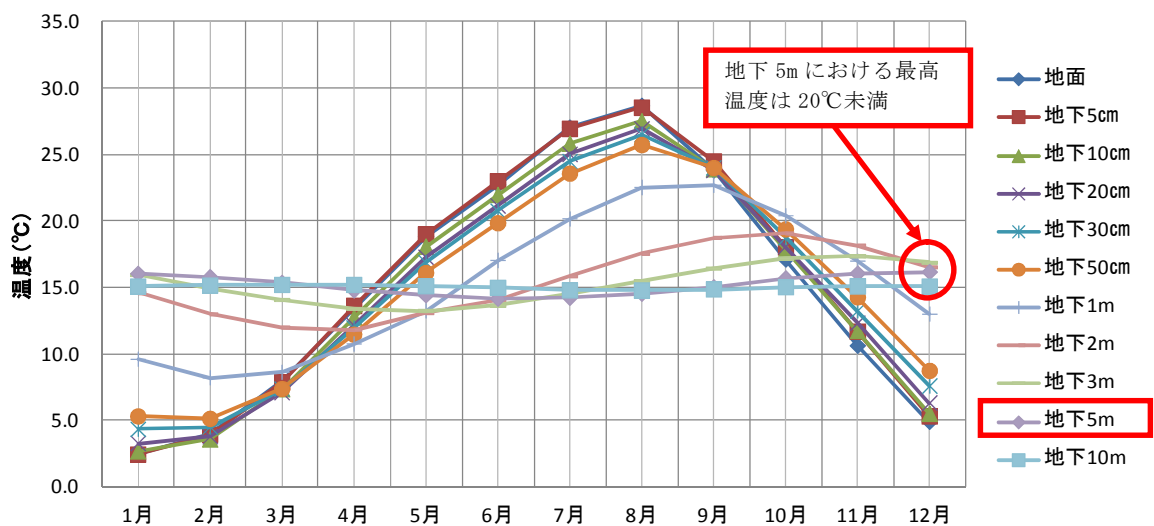
代替格納容器スプレイ冷却系（常設）の水源となる代替淡水貯槽は地下式のタンクであり，最大水位が地下 6m 位置であること及び第 11 図に示すとおり地下 5m の地中温度の最高が 20℃未満であることを踏まえ，代替淡水貯槽の温度を 20℃とした。

②格納容器スプレイ流量

スプレイ液滴径 2mm が確保される最低流量として $102\text{m}^3/\text{h}$ を設定した（参考 3）。

③ペDESTAL（ドライウェル部）の水位

ペDESTAL（ドライウェル部）の水位は，MAAP 解析において格納容器内の熱容量に寄与する。これを踏まえ，ケース①：実手順等を踏まえたケースでは，実運用に沿った水位として 1m とした。



第 11 図 地中温度の年間月別平均温度の変動（水戸市）

（「地中温度等に関する資料」（農業気象資料第 3 号，1982）に基づく）

中央制御室の居住性評価等の評価条件について

以下の 2 ケースについて、評価条件、格納容器ベント時間等を第 1 表に示す。

ケース①：実手順等を踏まえたケースの評価条件

ケース②：ベースケース

ケース①の格納容器ベント時間は事故後約 24 時間後、ケース②の格納容器ベント時間は事故後約 19 時間後となり、中央制御室の居住性評価や中央制御室待避室の遮蔽設計等における評価条件（ケース②）はケース①に比べて格納容器ベント時間が短くなっている。

第 1 表 解析条件及び格納容器ベント時間

| 評価ケース | 評価条件 | 評価目的 | 格納容器ベント時間 |
|---------------------------|--|--|-----------|
| ケース①： 実手順等を踏 まえたケース | <ul style="list-style-type: none"> 外部水源温度（スプレイ温度）：20℃* 格納容器スプレイ流量： 格納容器圧力 0.465MPa[gage] (1.5Pd) 到達 102m³/h にて流量調整 格納容器圧力 0.400MPa[gage] (1.3Pd) 到達 格納容器スプレイ停止 ペDESTAL（ドライウエル部）水位：1m | 代替循環冷却系に期待できない場合における実手順等を踏まえた場合の格納容器ベント時間を評価し、代替循環冷却系による格納容器ベント遅延効果を確認するため | 約 24 時間 |
| ケース②： ベースケース | <ul style="list-style-type: none"> 外部水源温度（スプレイ温度）：35℃ 格納容器スプレイ流量： 格納容器圧力 0.465MPa[gage] (1.5Pd) 到達 130m³/h にて流量調整 格納容器圧力 0.400MPa[gage] (1.3Pd) 到達 格納容器スプレイ停止 ペDESTAL（ドライウエル部）水位：0m | 中央制御室の居住性評価、現場作業の成立性、環境条件設定、中央制御室待避室の遮蔽設計、格納容器圧力逃がし装置の設計を保守的な条件で行うため | 約 19 時間 |

※ 代替淡水貯槽の水量が 1,000m³到達以降は西側淡水貯水設備からの補給が開始されるため、補給開始以降は水温の条件は変更となるが、補給開始が格納容器ベント開始以降となることから、本評価においては 20℃一定とした

(1) 影響評価

ケース①：実手順等を踏まえたケースについては、中央制御室の居住性評価や中央制御室待避室の遮蔽設計等を保守的な条件設定のための評価（ケース②：ベースケース）に対して、第 2 表に示すとおり、スプレ

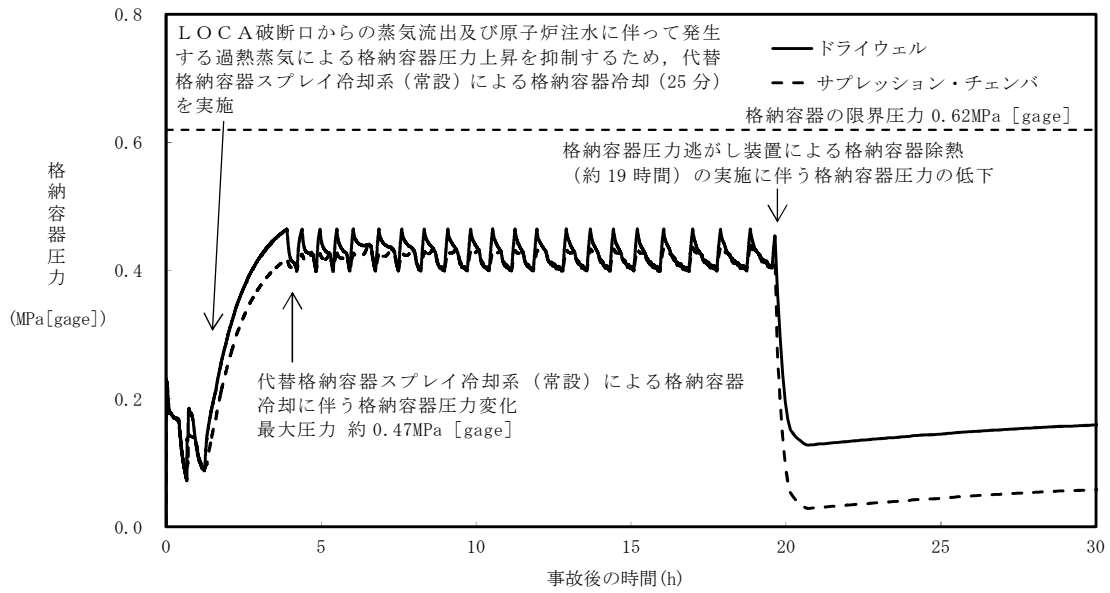
イ流量を低下させていること及びベント開始を遅延させていることについて相違点がある。この相違点を考慮した場合の影響について確認する。

第2表 相違点と影響評価について

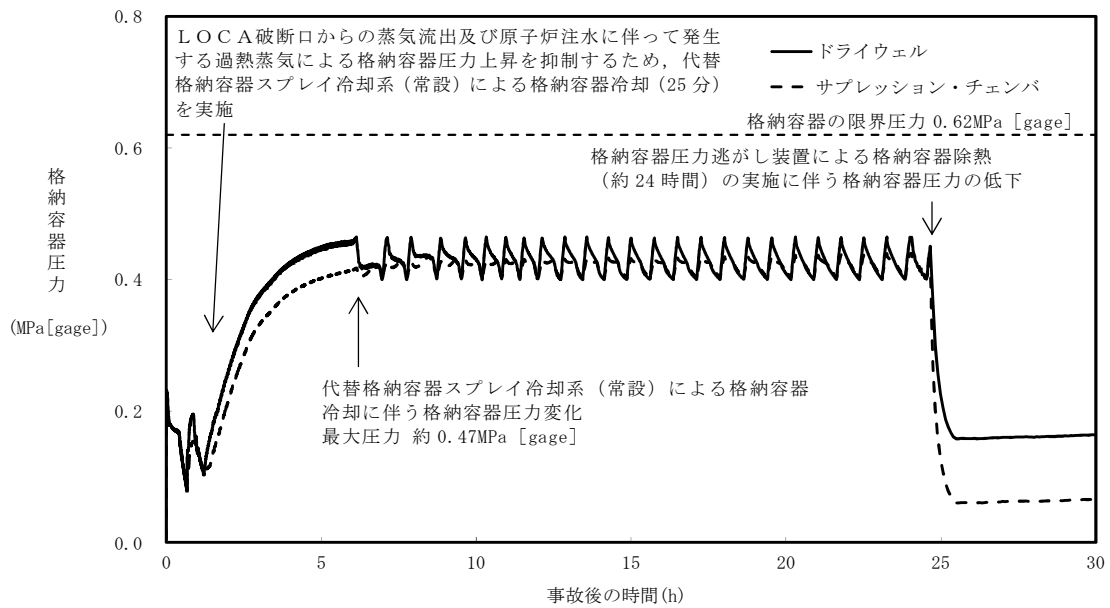
| 相違点 | 項目 | 評価 |
|-----------|---|-------|
| スプレイ流量の低下 | 格納容器圧力低下効果の不足 | 影響評価① |
| | 格納容器温度低下効果の不足 | |
| | エアロゾル除去効果の低下 | 影響評価② |
| ベント開始の遅延 | 格納容器ベント開始時間が遅くなることによる格納容器からの放射性物質の漏えい量の増加 | 影響評価③ |

a. 影響評価①

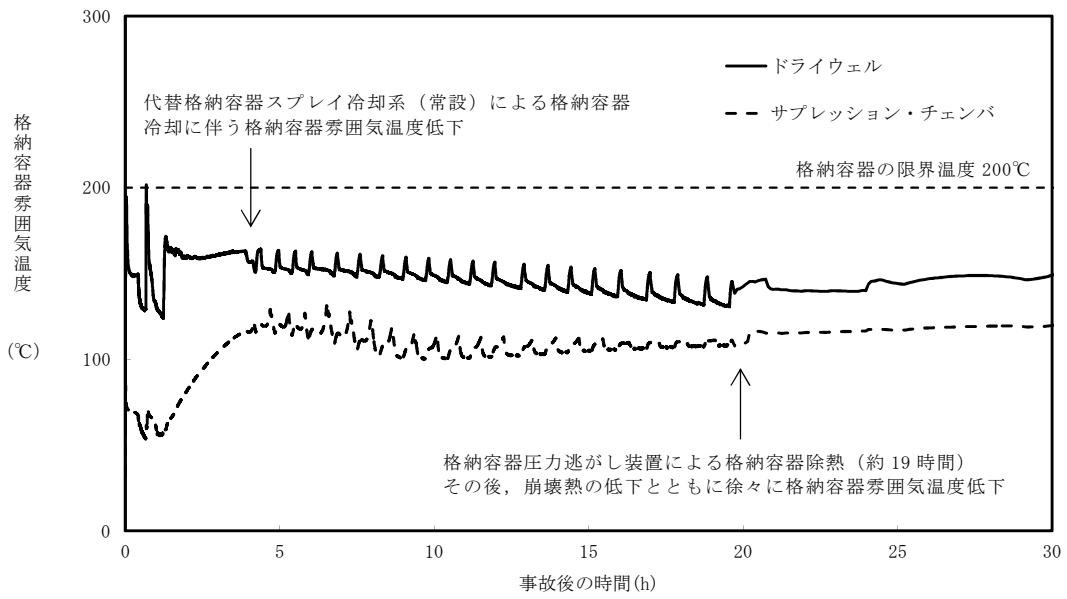
第1図から第4図に示すとおり、格納容器圧力及び雰囲気温度について、いずれも同様の結果となり、格納容器圧力及び雰囲気温度に与える影響がないことを確認した。



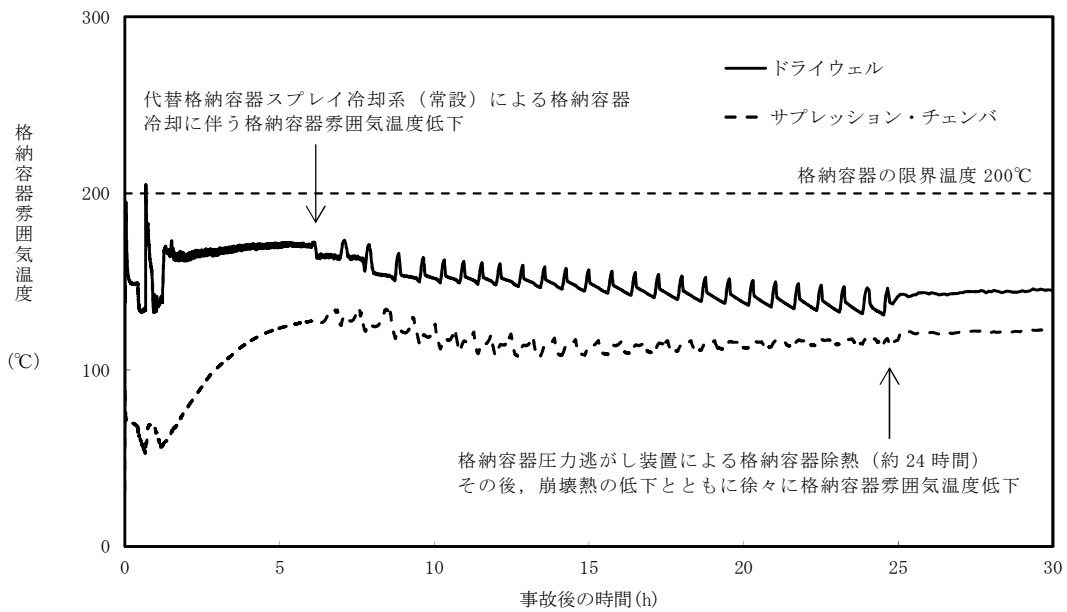
第 1 図 ケース②における格納容器圧力の推移（30 時間）



第 2 図 ケース①における格納容器圧力の推移（30 時間）



第 3 図 ケース②における格納容器雰囲気温度の推移 (30 時間)



第 4 図 ケース①における格納容器雰囲気温度の推移 (30 時間)

b. 影響評価②

スプレイ流量を低下させた場合、液滴数が減少することでエアロゾル除去効率が下がり、格納容器内に浮遊するエアロゾル濃度が上昇することで、格納容器から原子炉建屋へ漏えいするエアロゾル量及びフィルタ装置へ移行するエアロゾル量が多くなるおそれがある。

(a) 評価条件

格納容器ベントを実施する直前時点におけるケース②：ベースケースとケース①：実手順等を踏まえたケースの格納容器気相部のエアロゾル濃度を比較する。

第3表にケース②：ベースケースとケース①：実手順等を踏まえたケースのエアロゾル濃度を示す。

第3表 格納容器気相部のエアロゾル濃度の比較

| 核種グループ | エアロゾルの濃度 (kg/m ³) | | 比較 (①/②) |
|-----------------------------------|-------------------------------|----------|-------------|
| | ケース② | ケース① | |
| C s I 類 | 1.61E-07 | 5.39E-08 | 3.35E-01 |
| C s O H 類 | 4.06E-07 | 1.43E-07 | 3.52E-01 |
| S b 類 | 9.64E-08 | 8.81E-08 | 9.14E-01 |
| T e O ₂ 類 | 4.26E-08 | 2.08E-09 | 4.88E-02 |
| S r O 類 | 6.36E-05 | 1.91E-06 | 3.00E-02 |
| B a O 類 | 7.85E-05 | 1.57E-05 | 2.00E-01 |
| M o O ₂ 類 | 9.47E-05 | 1.32E-04 | 1.39E+00 |
| C e O ₂ 類 | 5.55E-05 | 1.81E-06 | 3.26E-02 |
| L a ₂ O ₃ 類 | 6.42E-05 | 1.30E-06 | 2.02E-02 |
| 合計 | 3.57E-04 | 1.53E-04 | 4.29E-01 |

(b) 評価結果

ケース①：実手順等を踏まえたケースではケース②：ベースケースと比較して、 MoO_2 類を除く核種グループにおいて格納容器気相部のエアロゾル濃度が減少し、 MoO_2 類についてはほぼ同等のエアロゾル濃度となった。これは、ケース①：実手順等を踏まえたケースでは比較的スプレイ実施期間が長くなったことに伴い、エアロゾルの除去効果が長い期間得られたためと考えられる。また、全核種を合計した格納容器全体のエアロゾル濃度については、ケース①：実手順等を踏まえたケースがケース②：ベースケースに比べて半分以下まで低下する結果となった。

以上のことから、エアロゾル除去効果については、ケース②：ベースケースの方がより保守的な結果であることを確認した。

c. 影響評価③

ケース①：実手順等を踏まえたケースでは、格納容器ベント開始時間が遅くなることで、格納容器から原子炉建屋へ漏えいする希ガス、有機よう素及びエアロゾル量が増加するおそれがあるものの、格納容器ベント時に大量に放出される希ガスの減衰に期待できる。放射性物質の放出による被ばく影響については、格納容器ベント時に大量に放出される希ガスの影響が支配的であるため、格納容器ベント開始時間が遅くなることで、格納容器から原子炉建屋へ漏えいする放射性物質の量が多くなる影響は軽微と考えられる。

なお、 Cs-137 の放出量については、その放出量に対して支配的である格納容器から原子炉建屋への漏えい量(7日間)についてケース①：実手順等を踏まえたケースとケース②：ベースケースを比較した結果、

ケース②：ベースケースが約 14.3TBq に対してケース①：実手順等を踏まえたケースは約 17.2TBq となった。これは、ケース①：実手順等を踏まえたケースの方が格納容器ベント時間が遅延したことによる影響と考えられるが、本ケースにおいても有効性評価の評価項目（100TBq を下回ること）を満足する。

格納容器スプレイの流量調整について

1. 格納容器スプレイの流量調整における方針

外部水源を用いた代替格納容器スプレイ冷却系（常設）による格納容器圧力制御のための格納容器スプレイ時は、可能な限り格納容器ベントを遅延させる目的から以下の手順とする。

- (1) 格納容器スプレイの流量調整範囲は $102\sim 130\text{m}^3/\text{h}$ とし、可能な限り連続スプレイとなるよう流量を少なくする。
- (2) (1)の流量調整範囲において連続スプレイとなる場合、格納容器圧力制御範囲（炉心損傷前： $0.7\text{Pd}(0.217\text{MPa}[\text{gage}])\sim 0.9\text{Pd}(0.279\text{MPa}[\text{gage}])$ ）、炉心損傷後： $1.3\text{Pd}(0.400\text{MPa}[\text{gage}])\sim 1.5\text{Pd}(0.465\text{MPa}[\text{gage}])$ ）で、可能な限り高い圧力に維持するよう流量調整し、格納容器スプレイ効率を高くする。
- (3) (1)の流量調整範囲において間欠スプレイとなる場合、格納容器圧力制御範囲（炉心損傷前： $0.7\text{Pd}(0.217\text{MPa}[\text{gage}])\sim 0.9\text{Pd}(0.279\text{MPa}[\text{gage}])$ ）、炉心損傷後： $1.3\text{Pd}(0.400\text{MPa}[\text{gage}])\sim 1.5\text{Pd}(0.465\text{MPa}[\text{gage}])$ ）で、最低流量である $102\text{m}^3/\text{h}$ で間欠スプレイを実施し格納容器への持ち込み水量の抑制を図る。

2. 格納容器スプレイ流量下限値の設定

(1) 設計上の流量調整の下限値

外部水源を用いた格納容器圧力制御のための格納容器スプレイでは常設低圧代替注水系ポンプを用いるが、弁キャビテーションを防止する観点から設定する流量調整の下限値は $70\text{m}^3/\text{h}$ である。

(2) スpray液滴径について

格納容器スプレイ流量は液滴径と相関があり、格納容器スプレイ流量を低下させた場合、液滴径が大きくなることでエアロゾル除去効率が低下するおそれがあるが、格納容器スプレイ流量とスプレイ液滴径の関係における実験^[1]による知見に基づき、格納容器破損モード「雰囲気圧力・温度による静的負荷（格納容器過圧・過温破損）」の有効性評価では、スプレイ液滴径を 2mm に設定している。

実験における記録ではスプレイ液滴径にばらつきがあるが、第 1 図に示すノズル当たりの流量が 以上の場合、最大の液滴径は 2mm 以下となる。東海第二におけるスプレイヘッドのノズル数を考慮すると、スプレイ液滴径 2mm 以下を確保するための最低流量は 102m³/h となる。

・東海第二発電所におけるスプレイヘッドのノズル数：ノズル

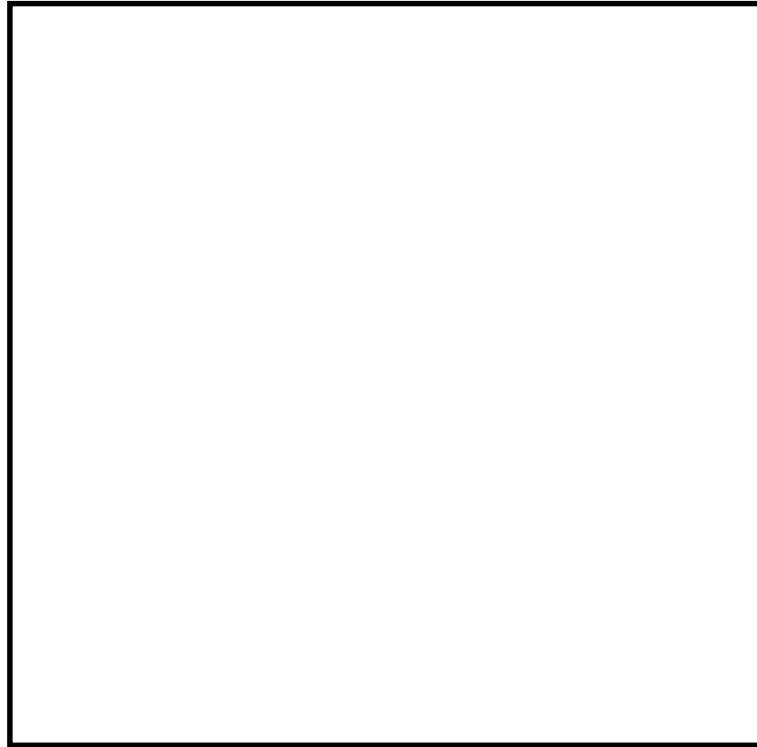
・最低流量= (L/min/ノズル) × (ノズル)

$$= 1,700 \text{ (L/min)}$$

$$= 102 \text{ (m}^3\text{/h)}$$

(3) 運用上の流量調整の下限值

上述の設計上の流量調整の下限值及びスプレイ液滴径 2mm を確保するための最低流量を考慮し、運用上の流量調整の下限值は 102m³/h とする。



第 1 図 スpray液滴径の実験結果

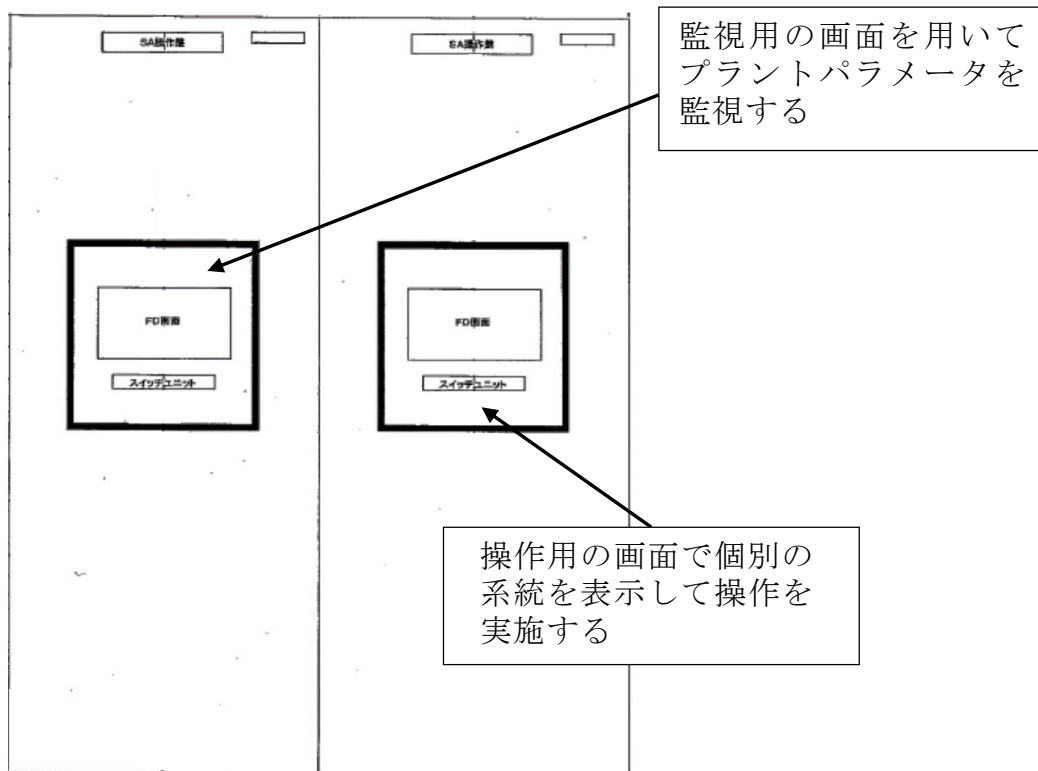
(ノズル当たりの流量)

[1] 共同研究報告書，放射能放出低減装置に関する開発研究
(PHASE2) (平成 5 年 3 月)

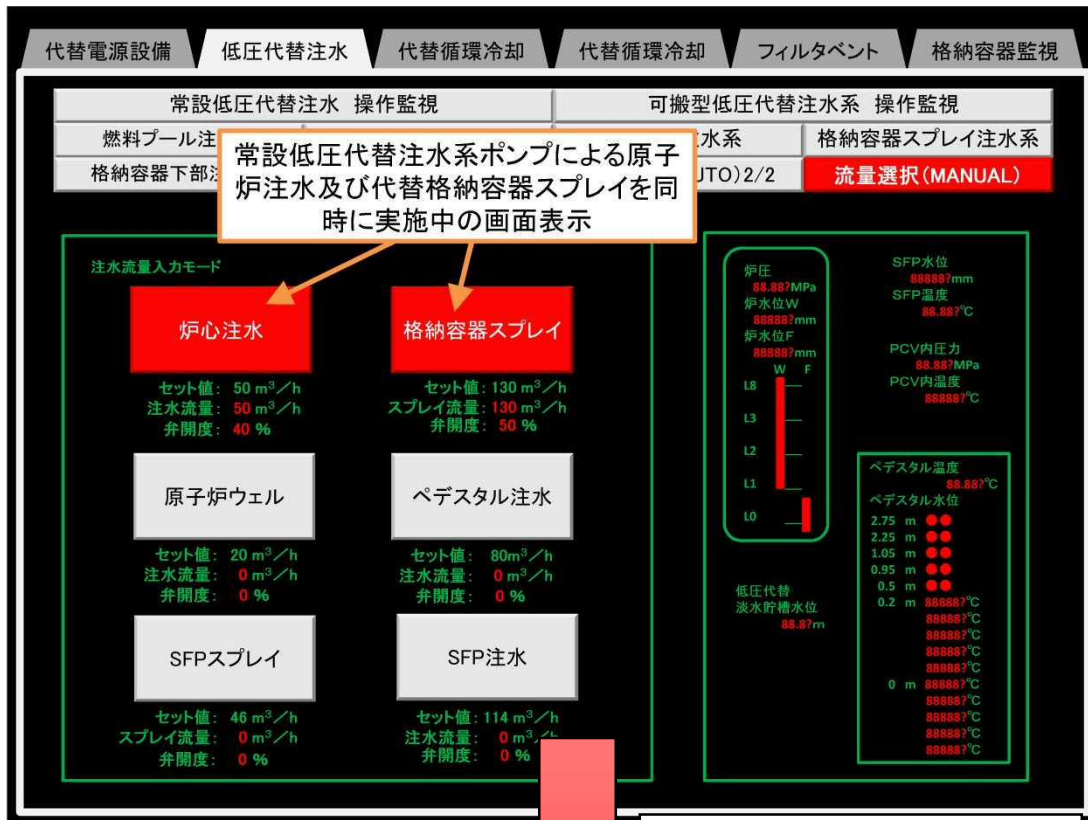
3. 格納容器 Spray の流量調整のための設計方針

代替格納容器 Spray 冷却系（常設）は低圧代替注水系（常設）や格納容器下部注水系（常設）等の系統を一部共用しており，さらに，同一の水源（代替淡水貯槽）及びポンプ（常設低圧代替注水系ポンプ）の設計となる。そのため，各系統を同時に使用する場合は踏まえ，各注水流路に流量調整弁（電動駆動弁）を設置することとし，必要な流量調整が可能な設計とする。

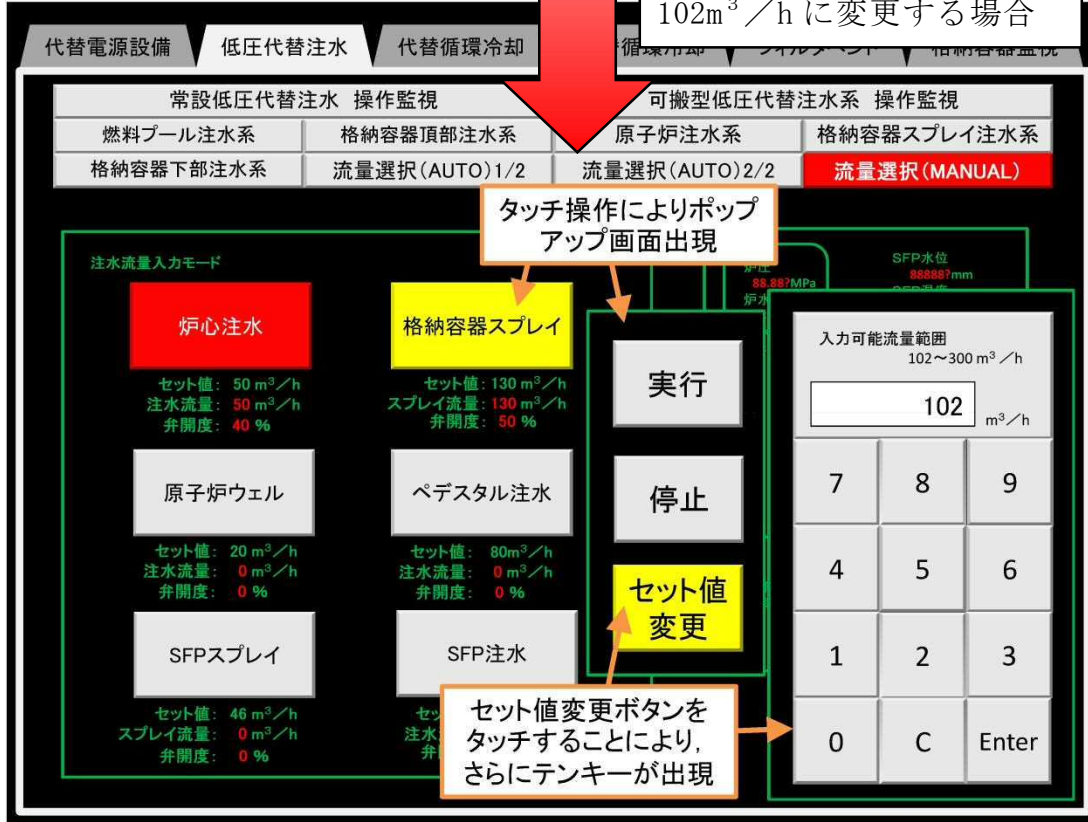
格納容器 Spray の流量調整は，第 2 図に示す SA 監視操作盤（概念図）により運転員により実施し，第 3 図の監視操作画面（概念図）により目標とする流量（セット値）を入力操作することで，自動で流量制御が可能な設計とする。



第2図 SA監視操作盤（概念図）



格納容器スプレイ流量を102m³/hに変更する場合



第3図 監視操作画面 (概念図)

炉心損傷の判断基準及び炉心損傷判断前後の運転操作の差異について

1. 炉心損傷の判断基準

1.1 炉心損傷の判断基準について

炉心損傷に至るケースとしては、注水機能喪失により原子炉水位が燃料有効長頂部（以下「T A F」という。）以上に維持できない場合において、原子炉水位が低下し、炉心が露出し冷却不全となる場合が考えられる。

炉心損傷の判断基準は非常時運転手順書Ⅱ（徴候ベース）において、原子炉への注水系統を十分に確保できず原子炉水位がT A F未満となった場合、格納容器雰囲気放射線モニタを用いてドライウェル及びサブプレッション・チェンバ内のガンマ線線量率の状況を確認し、第1図に示す設計基準事故における原子炉冷却材喪失^{※1}時の追加放出量（以下「追加放出量」という。）に相当する指示値の10倍以上となった場合を、炉心損傷の判断としている。炉心損傷により燃料被覆管から原子炉内に放出される希ガス等の核分裂生成物（以下「F P」という。）が、逃がし安全弁等を介して格納容器内に流入する事象進展を踏まえて、格納容器内のガンマ線線量率の値の上昇を、運転操作における炉心損傷の判断及び炉心損傷の進展割合の推定に用いる。

※1 設計基準事故の中で格納容器内の核分裂生成物の存在量が最大となる事象

また、格納容器内雰囲気放射線モニタが使用不能の場合は、原子炉压力容器温度 300℃以上を炉心損傷判断基準として手順に追加する。原子炉压力容器温度は、炉心が冠水している場合には、逃がし安全弁動作圧力（安全弁機能の最大約 8.31MPa[gage]）における飽和温度約 299℃を超えることなく、300℃以上にはならない。一方、炉心損傷が進展し、熔融炉心が原子炉压力容器下部に移行する場合には、原子炉压力容器温度は飽和温度を超えて上昇す

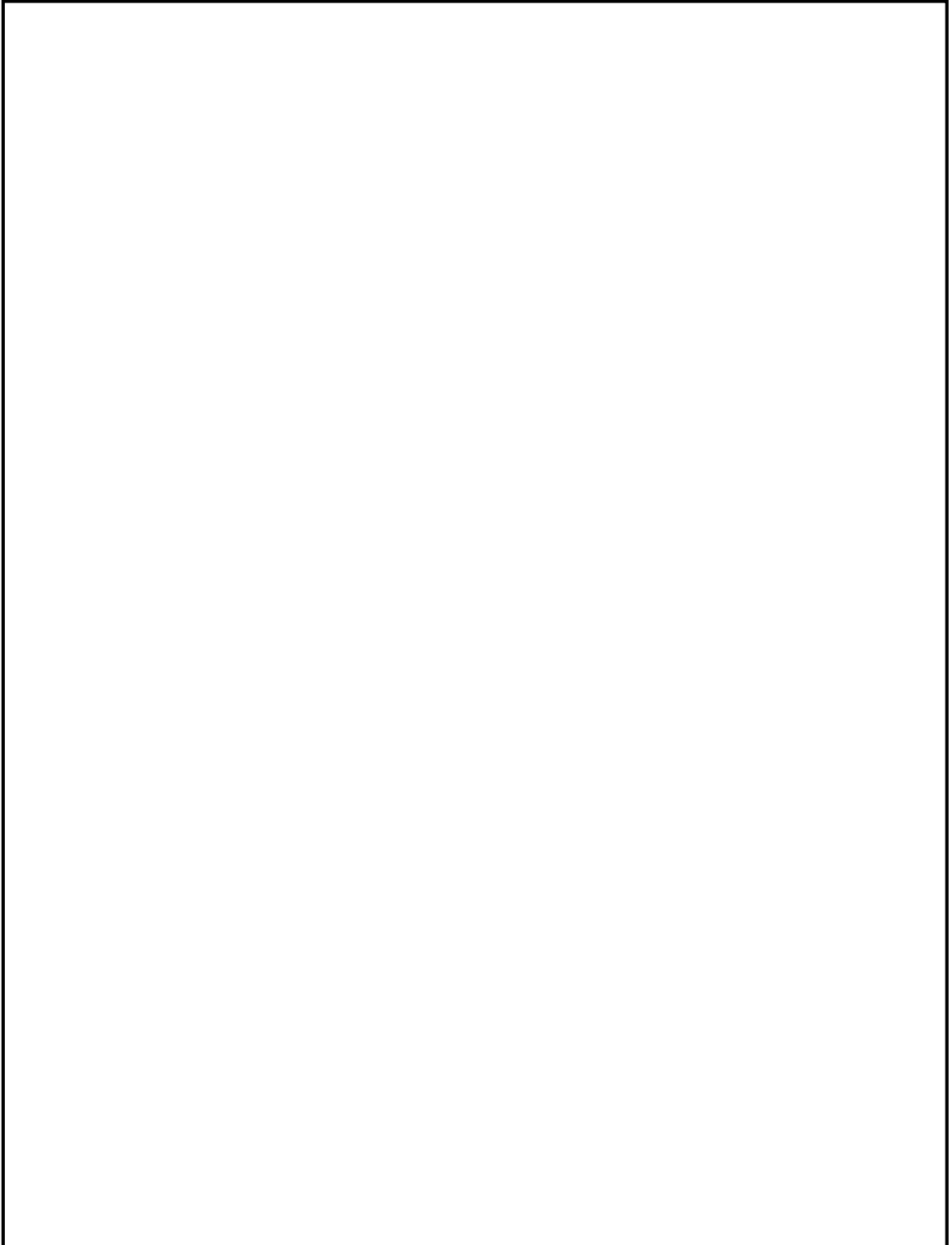
るため、300℃以上になると考えられる。上記より、炉心損傷の判断基準を300℃以上としている。

なお、炉心損傷判断は格納容器内雰囲気放射線モニタが使用可能な場合には、当該計装設備にて判断を行う。

1.2 炉心損傷の判断基準の根拠について

炉心損傷の判断基準は、設計基準事故の状態を有意に超えるとともに、炉心損傷の判断が遅くならないよう、追加放出量の10倍に相当するF Pが燃料から放出された状態を設定しており、以下の理由から妥当と考えている。

- ① 東海第二発電所では、設計基準事故における原子炉冷却材喪失時の評価では燃料棒の破裂は発生していない。そのため、設計基準事故時の追加放出量を超える放出量を確認した場合には、設計基準事故を超える状態と判断されること。
- ② 炉心冷却が不十分な事象において、格納容器雰囲気モニタのガンマ線線量率が追加放出量の10倍に相当する値に至る場合には、その後、ごく短時間で10倍に相当する値を大きく上回る線量率に至っていること。また、これは、大量のF Pが格納容器内に放出されたことを意味しており、これ以降、格納容器の健全性を確保することが極めて重要となること(第1図の線量率の上昇を参考^{※2})。
- ③ 追加放出量の10倍のF Pが放出された時点では、有効性評価における評価項目(燃料被覆管最高温度1,200℃以下、酸化量15%以下)に至っていない可能性もあるが、上記②のとおり、炉心冷却が不十分な事象において、追加放出量の10倍に相当するF Pが放出された以降の事象進展は非常に早く、有効性評価において炉心損傷と判断する時間との差異が小さいと考えられること。



第 1 図 炉心損傷判定図

1.3 格納容器雰囲気放射線モニタについて

格納容器雰囲気放射線モニタのガンマ線線量率の測定レンジは、 10^{-2} ～ 10^5 Sv/h であり、この測定レンジにおいて「設計基準事故における燃料からの追加放出による放射線量率」、「炉心損傷の判断目安（追加放出量相当の10倍）」並びに「大破断LOCA＋高圧炉心冷却失敗＋低圧炉心冷却失敗」の評価事故シーケンスにおける最大放射線量率を測定可能である（第1表参照）。

格納容器雰囲気放射線モニタは連続計測しており、計器の指示値は換算不要で第1図の炉心損傷の判断目安と対比可能であるため、指示値が上昇すればすぐに炉心損傷を判断可能と考える。格納容器雰囲気放射線モニタの検出器は、ドライウエル内の対角位置に2カ所、サブプレッション・チェンバ内の雰囲気対角位置に2カ所の合計4カ所に設置している。炉心損傷後のFPの原子炉圧力容器内から格納容器への移行は、大破断LOCA等の直接ドライウエル側に放出される場合と、原子炉圧力容器が健全で逃がし安全弁を介してサブプレッション・チェンバ側に放出される場合があるが、いずれの場合においても、格納容器雰囲気放射線モニタにて炉心損傷に伴うガンマ線線量率の上昇を測定可能である。

また、炉心の損傷割合と燃料被覆管から放出される希ガス等の放出割合は比例すると仮定し、手順では原子炉停止後の経過時間とガンマ線線量率により炉心損傷の進展割合を推定することとしている。

第 1 表 事故時の放射線量と炉心損傷判断の関係

| 項目 | 放射線量 | 計器 | 炉心損傷の判断 |
|---|--|--------------------|---------|
| 設計基準事故の追加放出 | $10^{-1} \sim 10^1 \text{Sv/h}$ 未満 (原子炉停止後の経過時間が, 0.1 時間後から 100 時間後の値) | 格納容器雰囲気 放射線モニタ※ | 無 |
| 炉心損傷の判断目安 (設計基準事故の追加放出量相当 10 倍) | $10^0 \sim 10^2 \text{Sv/h}$ 程度 (原子炉停止後の経過時間が, 0.1 時間後から 100 時間後の値) | 格納容器雰囲気 放射線モニタ※ | 有 |
| 【参考】 審査ガイドによる制限 | 敷地境界での実効線量を評価し, 周辺の公衆に対して著しい放射線被ばく のリスクを与えないこと (発生事故当たりおおむね 5mSv 以下) | — | — |
| 【参考】 格納容器雰囲気放射線モニタ使用不可時の炉心損傷判断の基準 | 300°C 以上 | 原子炉圧力容器 温度 | 有 |
| 「大破断 L O C A + 高圧炉心冷却失敗 + 低圧炉心冷却失敗」の評価事故シ ーケンスにおける最大放射線量率 (早期に炉心損傷した方が核分裂生 成物の減衰が少なく放射線量率は高 くなる傾向にあり, 重大事故の中でも 早期に炉心損傷する例) | 10^4Sv/h 程度 (事故時の最大値) | 格納容器雰囲気 放射線モニタ※ | 有 |

※ 格納容器雰囲気放射線モニタ計測レンジ (計器の仕様) : $10^{-2} \sim 10^5 \text{Sv/h}$

2. 炉心損傷判断前後における運転操作の差異

2.1 原子炉圧力容器への注水について

BWRの場合、炉心損傷判断後においても、炉心損傷前と同様に原子炉注水を実施するマネジメントを実施する。原子炉注水により、炉心損傷前であれば、冷却による炉心損傷の発生防止が図られ、また、炉心損傷後であれば、冷却による炉心損傷の進展の抑制及び原子炉圧力容器の破損防止が図られる。

2.2 格納容器ベント及び格納容器スプレイについて

格納容器ベント及び格納容器スプレイについては、炉心損傷を判断基準に運転操作を変更する（第2表）。

格納容器ベントについて、炉心損傷前の実施判断基準である1Pd（格納容器最高使用圧力0.31MPa [gage]）到達に対し、炉心損傷後はサプレッション・プール水位が通常水位+6.5m到達により格納容器スプレイを停止した時点に変更となり、格納容器ベントのタイミングは2Pd（最高使用圧力の2倍（0.62MPa [gage]））到達前となる。炉心損傷前は環境へ放出される核分裂生成物の放出量が低く、格納容器の健全性を確保することを目的に設計上の最高使用圧力（1Pd）を実施基準としているが、炉心損傷後は、燃料に何らかの破損が生じ、設計基準事故の追加放出量相当を超えるFPが格納容器内に移行している可能性が高く、より長く格納容器内でFPを保持した方が減衰により環境へ放出する放射エネルギーを低減できることから、2Pd到達前であるサプレッション・プール水位が通常水位+6.5mに到達した時点を実施基準としている。

また，格納容器ベントの判断基準が変わることで，格納容器スプレイの判断基準も変更となる。原子炉スクラム後における，炉心損傷の前後の格納容器ベント及び格納容器スプレイの実施基準の差異を第2表に示す。

第2表 炉心損傷判断前後における格納容器スプレイ及び格納容器ベントの実施基準の差異

| | 炉心損傷前 | 炉心損傷後 |
|----------|--|---|
| 格納容器スプレイ | <p>(圧力基準)</p> <p>格納容器の健全性を維持し、格納容器からの放射性物質の漏えいを可能な限り抑えるために格納容器の最高使用圧力 (0.31MPa [gage]) 以下で制御することを目的に、格納容器圧力が設計圧力 (0.279MPa [gage]) に到達した時点で開始する。</p> | <p>(圧力基準)</p> <p>炉心損傷後の格納容器スプレイは、格納容器の最高使用圧力の2倍 (0.62MPa [gage]) 未満に維持しつつ、可能な限り格納容器ベントを遅延させることを目的に、格納容器圧力 0.465MPa [gage] (1.5Pd) に到達した時点で開始する。この基準は炉心損傷前に比べて高い圧力での格納容器スプレイの実施になるが、格納容器スプレイ効率が高くなることで、格納容器への持ち込み水量を抑制できる。</p> |
| | <p>(温度基準)</p> <p>格納容器最高使用温度は、ドライウエル 171℃、サプレッション・チェンバ 104℃であり、雰囲気温度がこれらの温度に到達する前に、格納容器スプレイを行う。</p> | <p>(温度基準)</p> <p>評価項目である 200℃に至らないように、ドライウエル又はサプレッション・チェンバの雰囲気温度が 171℃以上になった場合に、格納容器スプレイを行う。</p> |
| 格納容器ベント | <p>格納容器圧力が上昇し、格納容器最高使用圧力の 0.31MPa [gage] に到達する場合には、格納容器の健全性を維持するために、サプレッション・チェンバからの格納容器ベントを優先として格納容器圧力逃がし装置等により格納容器ベントを行う。</p> | <p>サプレッション・プール水位が通常水位+6.5m 到達により格納容器スプレイを停止した時点で、格納容器の過圧による破損を防止することを目的に、サプレッション・チェンバからの格納容器ベントを優先として格納容器圧力逃がし装置により格納容器ベントを行う。</p> |

3. M A A P 解析における炉心損傷判定値と運転操作における炉心損傷判定基準について

有効性評価のM A A P 解析においては、炉心損傷の解析上の判定基準を、有効性評価の評価項目（「実用発電用原子炉に係る炉心損傷防止対策及び格納容器破損防止対策の有効性評価に関する審査ガイド」を踏まえた要件）の燃料被覆管最高温度 1,200℃（約 1,473K）よりも低い、1,000K（約 727℃）と設定している。

この 1,000K は、PHEBUS-FPT0 実験で、燃料被覆管温度が約 1,000K に達したときに F P の放出が開始されたことを踏まえて設定されたものであり、M A A P 解析上の判定基準である。

一方、実際の運転操作においては、炉心損傷の状況を直接的に監視可能な計装設備は原子炉内に設置されておらず、このため、燃料の損傷により放出される希ガス等のガンマ線線量率の上昇を格納容器雰囲気放射線モニタによって監視し、運転操作における炉心損傷の判断に用いている。上記より、M A A P 解析上の炉心損傷の判定基準である 1,000K(約 727℃)は、その後の運転操作に影響を与えるものではない。

なお、M A A P 解析において、約 727℃（M A A P 解析における炉心損傷判定温度）から 1200℃（審査ガイドにおける炉心の著しい損傷の評価項目における要件）に上昇するまでの時間は 5 分程度であり、炉心損傷判断の時間に有意な差異が生じることはない。

炉心損傷判定図及び炉心損傷割合の推定図について

炉心損傷判定図における追加放出相当のガンマ線線量率の推移は、設計基準事故の中で格納容器内の核分裂生成物の存在量が最大となる原子炉冷却材喪失時を想定したものであり、線量率として支配的である希ガスの追加放出量を基に評価されたものである。炉心損傷はドライウエル又はサプレッション・チェンバの γ 線線量率が追加放出相当のガンマ線線量率の10倍以上の領域に到達した場合に判断する。

また、炉心損傷割合の推定図における炉心損傷割合は、希ガスの炉内内蔵量に対する格納容器への放出割合を示しており、ドライウエル及びサプレッション・チェンバにそれぞれ希ガスが放出されたものとして、各炉心損傷割合のガンマ線線量率の推移を示している。

第1図に炉心損傷判定図及び炉心損傷割合の推定図を示す。



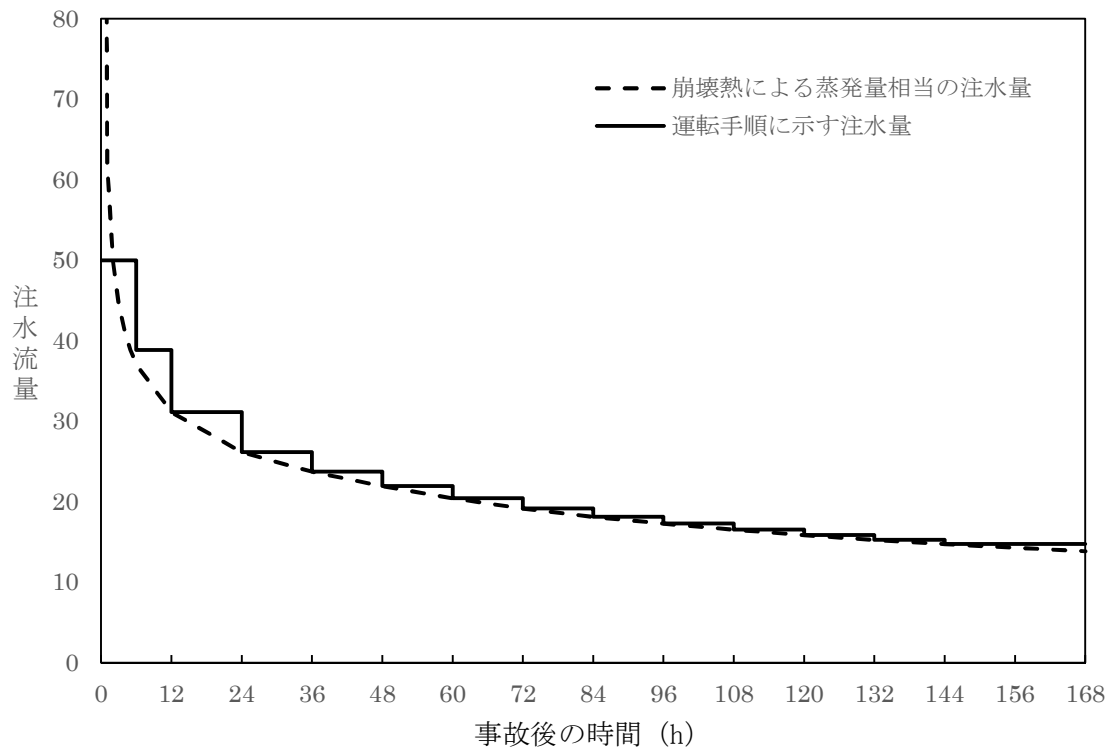
第1図 炉心損傷判定図及び炉心損傷割合の推定図（ドライウエル）

崩壊熱による蒸発量相当の注水量について

外部水源を用いた原子炉注水を実施する場合、炉心冷却を継続する目的から崩壊熱による蒸発量以上の注水量で原子炉注水を実施する必要があるが、崩壊熱による蒸発量を大きく上回る注水量とする場合はサプレッション・プール水位の上昇により格納容器ベント配管を水没させるおそれがあるため、崩壊熱による蒸発量相当の注水量に調整する手順を設定する。

崩壊熱は運転時間やスクラム後の経過時間にも影響を受けることから、事前にスクラム後の崩壊熱の推移を把握し、崩壊熱による蒸発量に相当する注水量を手順に反映する。具体的には、運転手順に第 1 図のような崩壊熱による蒸発量相当の注水量を示すことで、必要な注水量を把握することとする。

第 1 図に示すとおり、事象発生 12 時間までは崩壊熱の変化が大きいため、6 時間間隔で注水量を変更するが、12 時間以降においては、12 時間以上の時間間隔で流量調整を実施することとする。ただし、格納容器圧力逃がし装置による格納容器除熱操作の実施により一時的に中央制御室待避室に退避する場合には、直前にその時点での崩壊熱による蒸発量に相当する注水量に調整することで退避中の注水量の調整操作を不要とする。



第1図 崩壊熱による蒸発量相当の注水量

格納容器圧力逃がし装置を用いて大気中へ放出される Cs-137 の放出量評価

雰囲気圧力・温度による静的負荷（格納容器過圧・過温破損）（代替循環冷却系を使用できない場合）における Cs-137 の放出量評価に当たっては、「格納容器圧力逃がし装置を用いて大気中へ放出される Cs-137」及び「原子炉建屋から大気中へ漏えいする Cs-137」の放出量をそれぞれ評価し、評価結果を合計することで算出している。本資料では、「格納容器圧力逃がし装置を用いて大気中へ放出される Cs-137」の放出量評価について示す（「原子炉建屋から大気中へ漏えいする Cs-137」の放出量評価は、添付資料 3. 1. 3. 5 参照）。なお、「格納容器圧力逃がし装置を用いて大気中へ放出される Cs-137」の放出量評価では、格納容器から原子炉建屋への漏えいがないものとして評価した方が、漏えいがある場合と比べて、格納容器から格納容器圧力逃がし装置への移行量が増加（大気中への放出量も増加）するため、保守的に漏えいはないものとして評価した。

1. 評価条件

放出量評価条件（格納容器圧力逃がし装置から放出）を第 1 表、大気中への放出過程及び概略図を第 1 図及び第 2 図に示す。

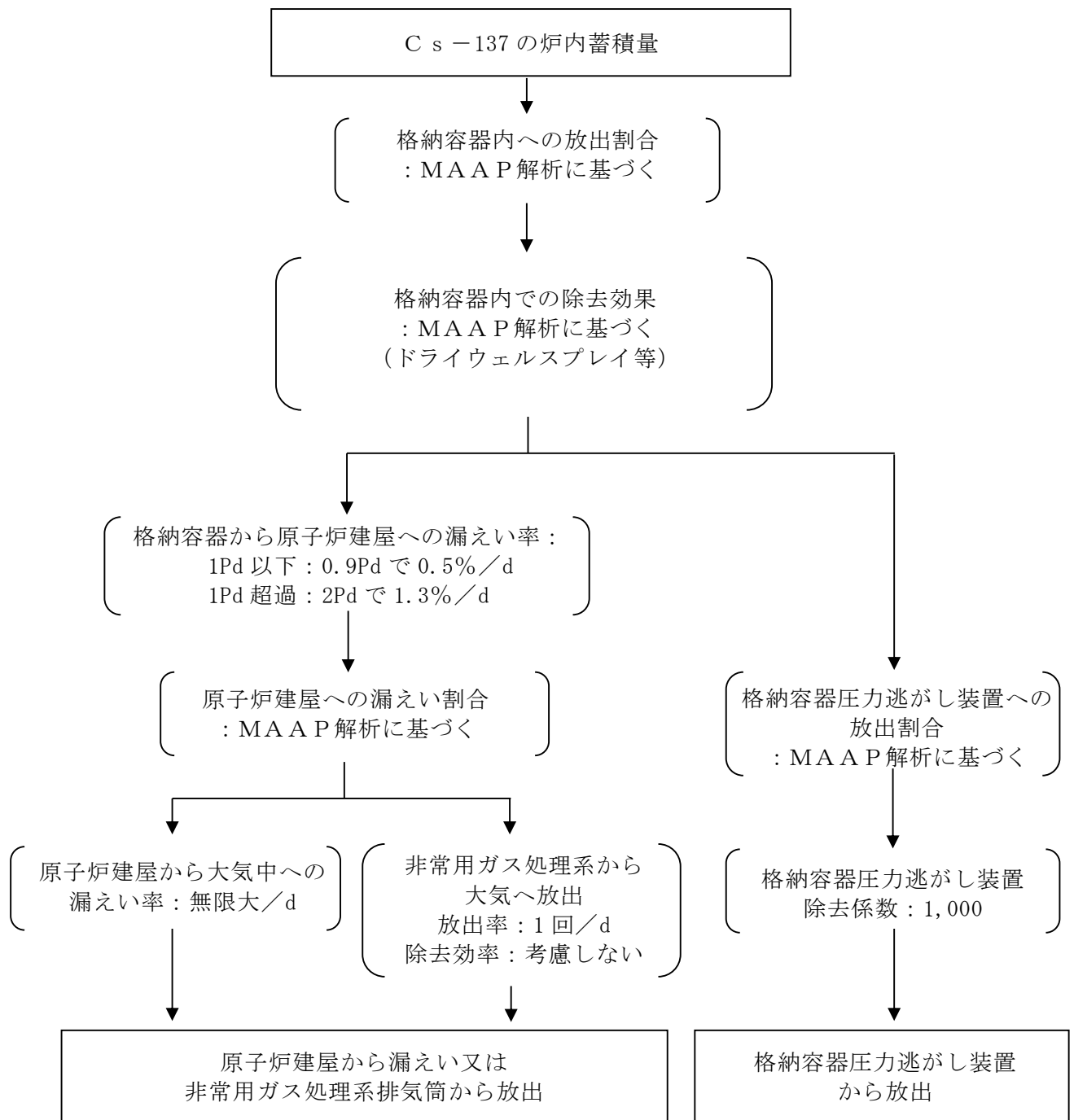
第 1 表 放出量評価条件（1/2）

| 項目 | 評価条件 | 選定理由 |
|-------|--|------------------------------------|
| 評価事象 | 「大破断 L O C A + 高圧炉心冷却失敗 + 低圧炉心冷却失敗」（代替循環冷却系を使用できない場合）（全交流動力電源喪失の重畳を考慮） | — |
| 炉心熱出力 | 3, 293MW | 定格熱出力 |
| 運転時間 | 1 サイクル当たり 10, 000 時間（416 日） | 1 サイクル 13 ヶ月 （395 日）を考慮して 設定 |

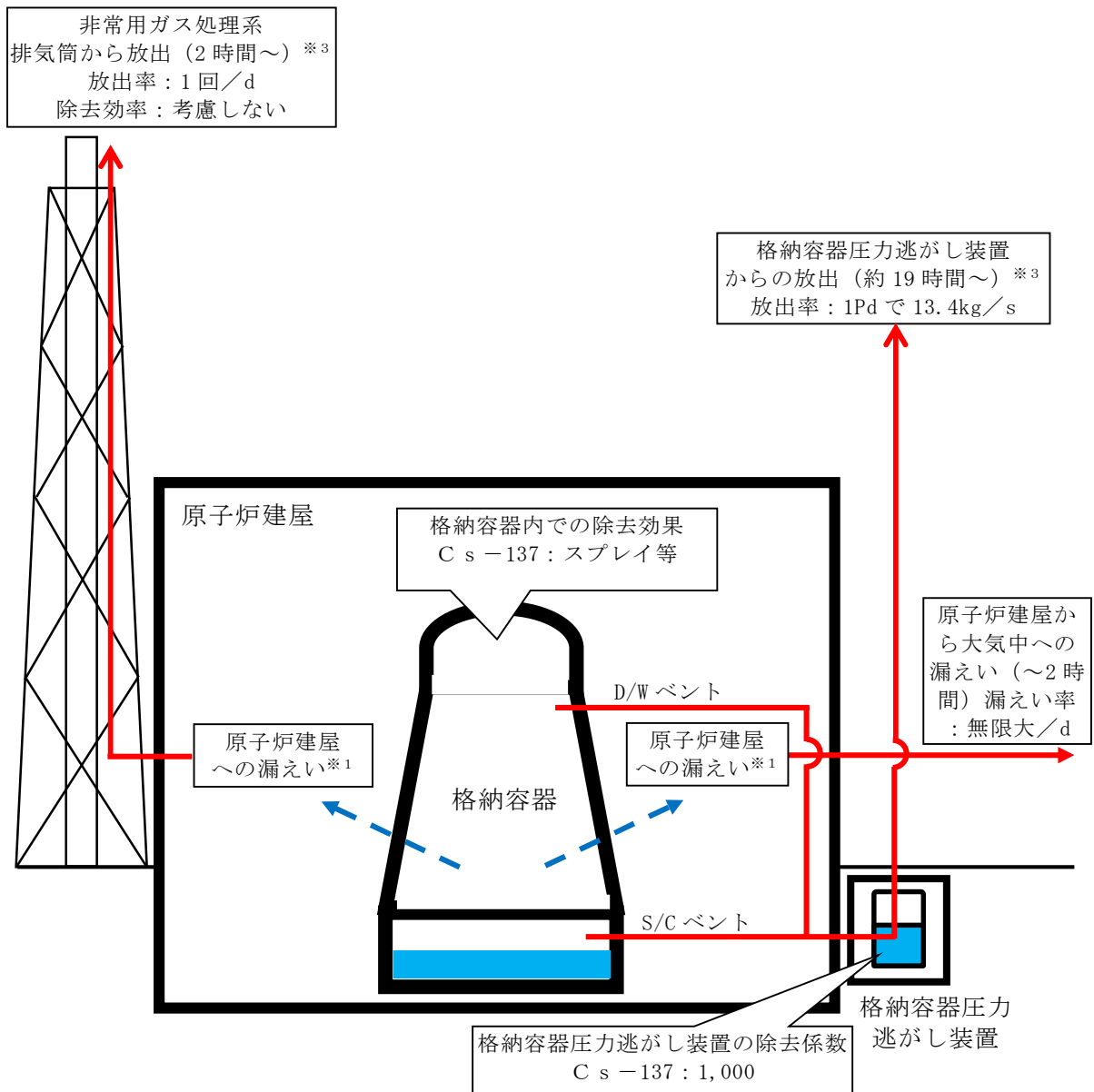
第1表 放出量評価条件 (2/2)

| 項目 | 評価条件 | 選定理由 |
|--------------------------------------|--|---|
| 取替炉心の燃料装荷割合 | 1 サイクル : 0.229 2 サイクル : 0.229 3 サイクル : 0.229 4 サイクル : 0.229 5 サイクル : 0.084 | 取替炉心の燃料装荷割合に基づき設定 |
| 炉内蓄積量 (Cs-137) (BqCs137) | 約 4.36×10^{17} Bq | 「単位熱出力当たりの炉内蓄積量 (Bq/MW)」×「3,293MW (定格熱出力)」 (単位熱出力当たりの炉内蓄積量 (Bq/MW) は, BWR 共通条件として, 東海第二と同じ装荷燃料 (9×9燃料 (A型)), 上記の運転時間及び取替炉心の燃料装荷割合で算出した ABWR のサイクル末期の値*を使用) |
| 放出開始時間 | 格納容器漏えい : 事象発生直後 格納容器圧力逃がし装置による格納容器除熱 (以下「格納容器ベント」という。) : 事象発生から約 19 時間後 | MAAP 解析結果 |
| 格納容器内への放出割合 (Cs-137) | 0.37 | MAAP 解析結果 |
| 格納容器内での除去効果 | MAAP 解析に基づく (沈着, サプレッション・プールでのスクラビング及びドライウェルスプレイ) | MAAP の FP 挙動モデル |
| 格納容器内 pH 制御の効果 | 考慮しない | サプレッション・プール水 pH 制御設備は, 重大事故等対処設備と位置付けていないため, 保守的に設定 |
| 格納容器から原子炉建屋への漏えい率 | 考慮しない | 格納容器圧力逃がし装置への移行量を多く評価するため保守的に設定 |
| 格納容器圧力逃がし装置への放出割合 (F _{Cs}) | 【S/Cベント】 Cs I 類 : 4.33×10^{-7} Cs OH 類 : 2.42×10^{-7} 【D/Wベント】 Cs I 類 : 1.13×10^{-4} Cs OH 類 : 9.05×10^{-3} | MAAP 解析結果 |
| 格納容器圧力逃がし装置の除去係数 (DF) | 1,000 | 設計値に基づき設定 |

* 東海第二発電所 (BWR 5) に比べて炉心比出力が大きく, 単位熱出力当たりの炉内蓄積量を保守的に評価する ABWR の値を使用。



第1図 Cs-137の大気放出過程



※1 格納容器から原子炉建屋への漏えい率
 (原子炉建屋から大気中へ漏えいする Cs-137 の漏えい量評価時のみ)
 1Pd 以下: 0.9Pd で 0.5%/d, 1Pd 超過: 2Pd で 1.3%/d

| 大気への放出経路 | 0h | ▼2h ^{※2} | ▼19h ^{※3} | 168h▼ |
|------------------|----|-------------------|--------------------|-------|
| 原子炉建屋から大気中への漏えい | ■ | | | |
| 非常用ガス処理系排気筒から放出 | | ■ | | |
| 格納容器圧力逃がし装置からの放出 | | | ■ | |

※2 非常用ガス処理系の起動により原子炉建屋原子炉棟内は負圧となるため、事象発生 2h 以降は原子炉建屋から大気中への漏えいはなくなる。

※3 事象発生後 19 時間以降は、「非常用ガス処理系排気筒から放出」及び「格納容器圧力逃がし装置からの放出」の両経路から放射性物質を放出する。

第 2 図 大気放出過程概略図 (イメージ)

2. 放出量評価

(1) 評価方法

格納容器圧力逃がし装置を介して放出される大気中へのCs-137の放出量は、第1表の放出量評価条件及び以下の式により算出する。

$$[\text{Cs-137の放出量}] = F_{\text{Cs}} \cdot Bq_{\text{Cs137}} \cdot (1/DF) \cdot \dots \quad (1)$$

F_{Cs} : 格納容器から格納容器圧力逃がし装置へ放出されるCs-137の放出割合

Bq_{Cs137} : Cs-137の炉内蓄積量[4.36×10^{17} Bq]

DF : 格納容器圧力逃がし装置の除去係数[1,000]

F_{Cs} について、MAAP解析では、CsはCsI又はCsOHとして存在しているため、以下の式により F_{Cs} を算出する。

$$F_{\text{Cs}} = (M_{\text{CsI}} + M_{\text{CsOH}}) / M_{\text{Cs}} \cdot \dots \quad (2)$$

$$M_{\text{CsI}} = M_{\text{I}} \cdot W_{\text{Cs}} / W_{\text{I}} \cdot F_{\text{CsI}} \cdot \dots \quad (3)$$

$$M_{\text{CsOH}} = (M_{\text{Cs}} - M_{\text{I}} \cdot W_{\text{Cs}} / W_{\text{I}}) \cdot F_{\text{CsOH}} \cdot \dots \quad (4)$$

(2), (3)及び(4)式により,

$$F_{\text{Cs}} = F_{\text{CsOH}} + M_{\text{I}} / M_{\text{Cs}} \cdot W_{\text{Cs}} / W_{\text{I}} \cdot (F_{\text{CsI}} - F_{\text{CsOH}}) \cdot \dots \quad (5)$$

F_{CsI} : 格納容器から格納容器圧力逃がし装置へ放出されるCsIの放出割合[S/Cベント : 4.33×10^{-7} , D/Wベント : 1.13×10^{-4}]

F_{CsOH} : 格納容器から格納容器圧力逃がし装置へ放出されるCsOHの放出割合[S/Cベント : 2.42×10^{-7} , D/Wベント : 9.05×10^{-3}]

M_{CsI} : 格納容器から格納容器圧力逃がし装置へ放出されるCsIに含まれるCs量[kg]

M_{CsOH} : 格納容器から格納容器圧力逃がし装置へ放出される CsOH に含まれる Cs 量 [kg]

M_{Cs} : Cs の初期重量 [321.2kg]

M_I : I の初期重量 [24.4kg]

W_I : I の分子量 [131g/mol]

W_{Cs} : Cs の分子量 [133g/mol]

(2) 評価結果

サブプレッション・チェンバから格納容器圧力逃がし装置を介して大気中に放出される Cs-137 の放出量は、(1)式及び(5)式により、以下のとおりとなる。

$$\begin{aligned} F_{Cs} &= F_{CsOH} + M_I / M_{Cs} \cdot W_{Cs} / W_I \cdot (F_{CsI} - F_{CsOH}) \\ &= 2.42 \times 10^{-7} + (24.4 / 321.2) \cdot (133 / 131) \cdot (4.33 \times 10^{-7} - 2.42 \times 10^{-7}) \\ &= 2.57 \times 10^{-7} \end{aligned}$$

$$\begin{aligned} [\text{Cs-137 の放出量}] &= F_{Cs} \cdot B_{Q_{Cs137}} \cdot (1/DF) \\ &= 2.57 \times 10^{-7} \cdot 4.36 \times 10^{17} \cdot (1/1,000) \\ &= 1.2 \times 10^8 [\text{Bq}] \\ &= 1.2 \times 10^{-4} [\text{TBq}] \end{aligned}$$

また、ドライウェルから格納容器圧力逃がし装置を介して大気中に放出される Cs-137 の放出量は、(1)式及び(5)式により、以下のとおりとなる。

$$\begin{aligned}
F_{Cs} &= F_{CsOH} + M_I / M_{Cs} \cdot W_{Cs} / W_I \cdot (F_{CsI} - F_{CsOH}) \\
&= 9.05 \times 10^{-3} + (24.4 / 321.2) \cdot (133 / 131) \cdot (1.13 \times 10^{-4} - 9.05 \times 10^{-3}) \\
&= 8.36 \times 10^{-3}
\end{aligned}$$

$$\begin{aligned}
[\text{Cs-137 の放出量}] &= F_{Cs} \cdot Bq_{Cs137} \cdot (1 / DF) \\
&= 8.36 \times 10^{-3} \cdot 4.36 \times 10^{17} \cdot (1 / 1,000) \\
&= 3.7 \times 10^{12} [\text{Bq}] \\
&= 3.7 [\text{TBq}]
\end{aligned}$$

事象発生 7 日間以降の影響を確認するために評価した、事象発生 30 日間及び 100 日間における格納容器圧力逃がし装置を用いて大気中へ放出される Cs-137 の放出量は、サプレッション・チェンバからのベントの場合は約 1.3×10^{-4} TBq (事象発生 30 日間) 及び約 1.5×10^{-4} TBq (事象発生 100 日間)、ドライウエルからのベントの場合は約 4.1 TBq (事象発生 30 日間) 及び約 4.1 TBq (事象発生 100 日間) である^{※1}。

なお、事象発生 7 日以降の長期解析においては、事象発生約 19 時間後に格納容器ベントを実施し、事象発生 100 日まで格納容器ベントを継続しているが、格納容器の除熱機能、格納容器への窒素注入機能及び格納容器内の可燃性ガスの濃度制御系機能が確保できた場合には、格納容器ベントを停止する運用とする。

※1 Cs-137 は長半減期核種となるが、事象発生 30 日間及び 100 日間における Cs-137 の放出量は、長期的な放出量を評価する観点から、減衰効果を考慮し評価した。

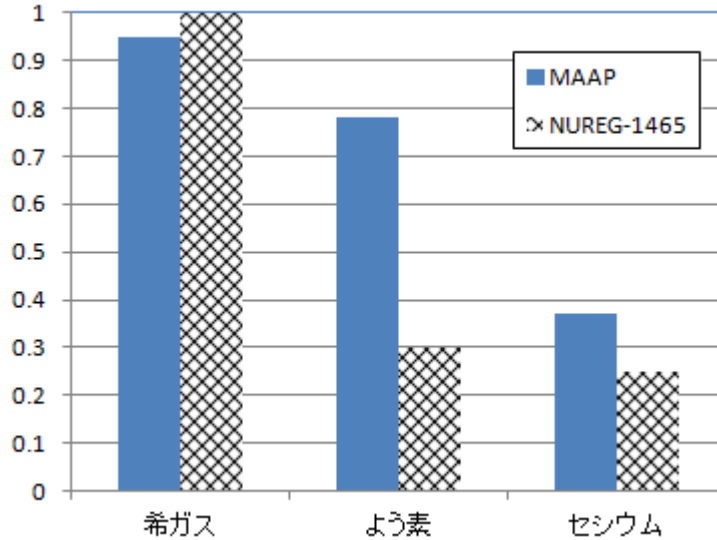
また、大気へのCs-137の放出量の評価において、格納容器内へのCs-137の放出割合としてMAAP解析結果を用いている。第3図のとおり、米国の代表的なソースタームであるNUREG-1465^{*2}で示された値（BWRプラント、「Gap Release」及び「Early In-Vessel」の値の和）とMAAP解析結果を比較すると、よう素及びセシウムの放出割合については、MAAP解析の方が大きい結果となる。希ガスについては、NUREG-1465の方が大きい。これは東海第二の想定シナリオでは原子炉注水により炉心を再冠水させることで、炉心の終状態においても炉心内に自立した状態の燃料が一部存在するためである（添付資料3.1.2.6参照）。

仮にセシウムの格納容器内への放出割合としてNUREG-1465の値を参照した場合、セシウムの放出量として代表的又は典型的な値が評価されると考えられるが、本評価では、評価対象とする事故シーケンス「大破断LOCA+高圧炉心冷却失敗+低圧炉心冷却失敗」のMAAP解析結果が得られており、また、その値がNUREG-1465と比べて大きいことから、MAAP解析結果を参照することは適切であると考えられる。

※2 NUREG-1465では、NUREG-1150(米国の代表プラントのPRA)で検討された全ての事故シーケンスについてレビューを行い、さらに、いくつかのシーケンスに対するソースタームコードパッケージ(STCP)やMELCORコードによる追加解析が行われて、ソースタームが検討されている(第2表参照)。検討された事故シーケンスは、本評価で対象としている「大破断LOCA+高圧炉心冷却失敗+低圧炉心冷却失敗」シナリオと同様、炉心が溶融し原子炉圧力容器が低圧で破損する事故シーケンスである。

また、NUREG-1465では、当該文章中に示された格納容器への

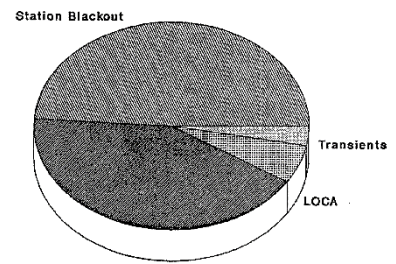
放出割合は、保守的に選ばれた損傷燃料からの放射性物質の初期放出を除いて、低圧での炉心溶融事故に関する保守的又は限界的な値を意図しているものではなく、代表的又は典型的な値を意図しているものとしている。



第3図 格納容器内への放出割合の比較

第2表 NUREG-1465で検討された事故シーケンス（BWR）

| プラント | シーケンス | 説明 | |
|--------------|-----------|---------------------------------|------------|
| Peach Bottom | TC1 | ATWS (原子炉減圧なし) | |
| | TC2 | ATWS (原子炉減圧あり) | |
| | TC3 | TC2 (ウェットウェルベントあり) | |
| | TB1 | SBO (バッテリー枯渇) | |
| | TB2 | TB1 (ベッセル破損時に格納容器破損) | |
| | S2E1 | LOCA (2%), ECCS及びADS不作動 | |
| | S2E2 | S2E1, 玄武岩系コンクリート | |
| | V | 格納容器外RHR配管破断 | |
| | TBUX | SBO (全DC電源喪失) | |
| LaSalle | TB | SBO (後期格納容器破損) | |
| Grand Gulf | TC | ATWS (早期格納容器破損によるECCS故障) | |
| | TB1 | SBO (バッテリー枯渇) | |
| | TB2 | TB1, H ₂ 燃焼による格納容器破損 | |
| | TBS | SBO (ECCS不作動, 原子炉減圧あり) | |
| | TBR | TBS, ベッセル破損後のAC復旧 | |
| SBO | 全交流動力電源喪失 | LOCA | 原子炉冷却材喪失事故 |
| RCP | 原子炉冷却系ポンプ | RHR | 残留熱除去系 |
| ADS | 自動減圧系 | ATWS | スクラム失敗 |



Total Mean Core Damage Frequency: 4.5E-6

Peach Bottomの内的事象の炉心損傷頻度平均値の内訳 (NUREG-1150)

原子炉建屋から大気中へ漏えいする Cs-137 の漏えい量評価等について

本資料では、「原子炉建屋から大気中へ漏えいする Cs-137」の放出量評価及び「格納容器圧力逃がし装置を用いて大気中へ放出される Cs-137」の放出量評価結果（添付資料 3. 1. 3. 4 参照）を合計した結果について示す。

なお、本評価では、原子炉建屋ガス処理系が起動するまでの間、格納容器から原子炉建屋に漏えいした放射性物質は、瞬時に原子炉建屋から大気中へ漏えいするものとして、放出量を保守的に評価しているが、下記のとおり、格納容器の健全性が維持されており、原子炉建屋の換気空調系が停止している場合は、格納容器から原子炉建屋に漏えいした放射性物質の一部は、原子炉建屋内で沈着又は時間減衰するため、大気中への放出量は本評価結果より少なくなると考えられる。

- ・ 格納容器が健全な場合、格納容器内の放射性物質は、格納容器圧力に応じて原子炉建屋へ漏えいするものとしている。漏えいした放射性物質の一部は、原子炉建屋内での重力沈降等に伴い、原子炉建屋内に沈着すると考えられる。
- ・ 原子炉建屋内の換気空調系が停止している場合、原子炉建屋内外における圧力差が生じにくく、原子炉建屋内外での空気のやりとりは多くないと考えられるため、漏えいした放射性物質の一部は原子炉建屋内に滞留し、時間減衰すると考えられる。

1. 評価条件

放出量評価条件を第 1 表に示す。(大気中への放出過程及び概略図は、添付資料 3. 1. 3. 4 の第 1 図及び第 2 図参照)

第1表 放出量評価条件 (1/2)

| 項目 | 評価条件 | 選定理由 |
|-------------------------|--|---|
| 評価事象 | 「大破断LOCA+高圧炉心冷却失敗+低圧炉心冷却失敗」(代替循環冷却系を使用できない場合)(全交流動力電源喪失の重畳を考慮) | — |
| 炉心熱出力 | 3,293MW | 定格熱出力 |
| 運転時間 | 1サイクル当たり 10,000時間(416日) | 1サイクル13ヶ月(395日)を考慮して設定 |
| 取替炉心の燃料装荷割合 | 1サイクル:0.229 2サイクル:0.229 3サイクル:0.229 4サイクル:0.229 5サイクル:0.084 | 取替炉心の燃料装荷割合に基づき設定 |
| 炉内蓄積量 (Cs-137) | 約 4.36×10^{17} Bq | 「単位熱出力当たりの炉内蓄積量(Bq/MW)」×「3,293MW(定格熱出力)」(単位熱出力当たりの炉内蓄積量(Bq/MW)は、BWR共通条件として、東海第二と同じ装荷燃料(9×9燃料(A型))、上記の運転時間及び取替炉心の燃料装荷割合で算出したABWRのサイクル末期の値 ^{※1} を使用) |
| 放出開始時間 | 格納容器漏えい:事象発生直後 格納容器圧力逃がし装置による格納容器除熱(以下「格納容器ベント」という。):事象発生から約20時間後 ^{※2} | MAAP解析結果 |
| 格納容器内への放出割合 (Cs-137) | 0.37 | MAAP解析結果 |
| 格納容器の漏えい孔における捕集効果 | 考慮しない | 保守的に設定 |
| 格納容器内での除去効果 | MAAP解析に基づく(沈着,サブプレッション・プールでのスクラビング及びドライウェルスプレイ) | MAAPのFP挙動モデル(添付資料3.1.3.6参照) |
| 格納容器内pH制御の効果 | 考慮しない | サブプレッション・プール水pH制御設備は、重大事故等対処設備と位置付けていないため、保守的に設定 |

※1 東海第二発電所(BWR5)に比べて炉心比出力が大きく、単位熱出力当たりの炉内蓄積量を保守的に評価するABWRの値を使用。

※2 格納容器から原子炉建屋への漏えいを考慮しない「格納容器圧力逃がし装置を用いて大気中へ放出されるCs-137の放出量評価」と比べて、原子炉建屋へ漏えいする分格納容器圧力の上昇が抑制され、結果として格納容器ベント開始タイミングが遅くなる（格納容器圧力逃がし装置を用いて大気中へ放出されるCs-137の放出量評価における格納容器ベント開始タイミング：約19時間後）。

第1表 放出量評価条件 (2/2)

| 項目 | 評価条件 | 選定理由 |
|--|---|--|
| 格納容器から原子炉建屋への漏えい率 | 1Pd以下：0.9Pdで0.5%/d 1Pd超過：2Pdで1.3%/d | MAAP解析にて格納容器の開口面積を設定し格納容器圧力に応じ漏えい率が変化するものとし、格納容器の設計漏えい率（0.9Pdで0.5%/d）及びAECの式等に基づき設定（添付資料3.1.2.5参照） |
| 格納容器から原子炉建屋への漏えい割合 | CsI類：約 6.15×10^{-5} CsOH類：約 3.05×10^{-5} | MAAP解析結果 |
| 原子炉建屋から大気への漏えい率（非常用ガス処理系及び非常用ガス再循環系の起動前） | 無限大/d（地上放出） （格納容器から原子炉建屋へ漏えいした放射性物質は、瞬時に大気へ漏えいするものとして評価） | 保守的に設定 |
| 非常用ガス処理系から大気への放出率（非常用ガス処理系及び非常用ガス再循環系の起動後） | 1回/d（排気筒放出） | 設計値に基づき設定 （非常用ガス処理系のファン容量） |
| 非常用ガス処理系及び非常用ガス再循環系の起動時間 | 事象発生から2時間後 | 起動操作時間（115分）＋負圧達成時間（5分）（起動に伴い原子炉建屋原子炉棟内は負圧になるが、保守的に負圧達成時間として5分を想定） |
| 非常用ガス処理系及び非常用ガス再循環系のフィルタ除去効率 | 考慮しない | 保守的に設定 |
| ブローアウトパネルの開閉状態 | 閉状態 | 原子炉建屋原子炉棟内の急減な圧力上昇等によるブローアウトパネルの開放がないため |

2. 評価結果（原子炉建屋から大気中へ漏えいする Cs-137）

原子炉建屋から大気中への Cs-137 の漏えい量は、約 14.3TBq（事象発生 7 日間）である。なお、添付資料 3.1.2.4 に示す「雰囲気圧力・温度による静的負荷（格納容器過圧・過温破損）」において代替循環冷却系を使用する場合の Cs-137 の漏えい量（約 7.5TBq）より 2 倍程度大きい結果となっているが、これは格納容器ベント実施（約 19 時間）までの格納容器圧力（格納容器から原子炉建屋への漏えい率に寄与）の違いによる影響が大きい（下記参照）。

- ・代替循環冷却系を使用する場合

代替循環冷却系による格納容器除熱操作により圧力抑制されるため、0.31MPa [gage]（約 1Pd）以下で推移（第 3.1.2-11 図参照）

- ・代替循環冷却系を使用できない場合

0.465MPa [gage] 到達後（約 3.9 時間）、格納容器ベント実施（約 19 時間）まで格納容器圧力を 0.400MPa [gage] ～0.465MPa [gage] の範囲で維持（第 3.1.3-10 図参照）

また、事象発生 7 日間以降の影響を確認するために評価した、事象発生 30 日間、100 日間における原子炉建屋から大気中への Cs-137 の漏えい量は、約 14.4TBq（事象発生 30 日間）及び約 15.5TBq（事象発生 100 日間）である。

なお、事象発生 7 日以降の長期解析においては、事象発生約 20 時間後に格納容器ベントを実施し、事象発生 100 日まで格納容器ベントを継続しているが、格納容器の除熱機能、格納容器への窒素注入機能及び格納容器内の可燃性ガスの濃度制御系機能が確保できた場合には、格納容器ベントを停止する運用とする。

3. Cs-137 の放出量

「格納容器圧力逃がし装置を用いて大気中へ放出されるCs-137」及び「原子炉建屋から大気中へ漏えいするCs-137」の放出量評価結果を第2表に示す。

原子炉建屋から大気中へのCs-137の漏えい量(約14.3TBq)にサプレッション・チェンバのラインを経由した場合の格納容器圧力逃がし装置から大気への放出量(約 1.2×10^{-4} TBq)を加えた場合の放出量は約15TBqであり、評価項目である100TBqを下回っている。なお、ドライウエルのラインを経由した場合の格納容器圧力逃がし装置から大気への放出量(約3.7TBq)を加えた場合でも約18TBqであり、100TBqを下回っている。

また、事象発生7日間以降の影響について、原子炉建屋から大気中へのCs-137の漏えい量に、サプレッション・チェンバのラインを経由した場合の格納容器圧力逃がし装置から大気への放出量を加えた場合の放出量は、事象発生30日間で約15TBq、事象発生100日間で約16TBqであり、いずれの場合においても100TBqを下回っている。

第2表 大気中へのCs-137の放出量

| | 事象発生7日間 | 事象発生30日間 | 事象発生100日間 |
|---------------------|--|--|--|
| 建屋漏えい | 約14.3TBq | 約14.4TBq | 約15.5TBq |
| ベント放出 ^{※1} | 約 1.2×10^{-4} TBq ^{※2} (約3.7TBq ^{※3}) | 約 1.3×10^{-4} TBq ^{※2} (約4.1TBq ^{※3}) | 約 1.5×10^{-4} TBq ^{※2} (約4.1TBq ^{※3}) |
| 合計 | 約15TBq ^{※2} (約18TBq ^{※3}) | 約15TBq ^{※2} (約19TBq ^{※3}) | 約16TBq ^{※2} (約20TBq ^{※3}) |

※1 ベント放出量においては、保守的に格納容器からの漏えいをしない場合のMAAP解析により算出している。

※2 サプレッション・チェンバのラインを経由した場合の評価結果

※3 ドライウエルのラインを経由した場合の評価結果

格納容器内での除去効果について

MAAPにおけるCs-137に対する格納容器内の除去効果として、沈着、サプレッション・プールでのスクラビング及びドライウェルスプレイを考慮している。また、沈着については、重力沈降、拡散泳動、熱泳動、慣性衝突、FPガス凝縮/再蒸発で構成される。「重大事故等対策の有効性評価に係るシビアアクシデント解析コードについて」の「第5部 MAAP」（抜粋）参照）

「重大事故等対策の有効性評価に係るシビアアクシデント解析コードについて」
の「第5部 MAAP」（抜粋）

(2) FPの状態変化・輸送モデル

高温燃料から出た希ガス以外のFPは雰囲気温度に依存して凝固し、エアロゾルへ変化する。気相及び液相中のFPの輸送においては、熱水力計算から求まる体積流量からFP輸送量を計算する。FPがガス状とエアロゾル状の場合は、気体の流れに乗って、原子炉圧力容器内と原子炉格納容器内の各部に輸送される。水プール上に沈着したFPの場合は、区画内の水の領域間の移動に伴って輸送される。また、炉心あるいは溶融炉心中のFPの場合は、溶融炉心の移動量に基づいて輸送される。

FPの輸送モデルは上述の仮定に基づいており、炉心燃料から放出されてから原子炉格納容器に到達する経路としては、次のとおりである。燃料から原子炉圧力容器内に放出されたFPは、原子炉圧力容器破損前にはLOCA破損口あるいは逃がし安全弁から原子炉格納容器へ放出される。また、原子炉圧力容器破損後には原子炉圧力容器破損口若しくは格納容器下部に落下した溶融炉心からFPが原子炉格納容器へ放出される。逃がし安全弁を通じて放出されたFPはスクラビングによってサプレッション・チェンバ液相部へ移行する。原子炉格納容器の気相部へ放出されたFPは、気体の流れに伴って原子炉格納容器内を移行する。

原子炉圧力容器及び原子炉格納容器内の気体、エアロゾル及び構造物表面上（沈着）の状態間の遷移を模擬している。原子炉格納容器内のF P輸送モデル概要を図3.3-15に示す。

エアロゾルの沈着の種類としては、重力沈降、拡散泳動、熱泳動、慣性衝突、F Pガス凝縮、F Pガス再蒸発を模擬している。なお、沈着したエアロゾルの再浮遊は考慮していない。

重力沈降は、Stokesの重力沈降式とSmoluchowski方程式（エアロゾルの粒径分布に対する保存式）の解から得られる無次元相関式を用いて、浮遊するエアロゾル質量濃度から沈着率を求める。なお、Smoluchowski方程式を無次元相関式としているのは解析時間短縮のためであり、この相関式を使用したMAAPのモデルは様々な実験データと比較して検証が行われている。

拡散泳動による沈着は、水蒸気凝縮により生じるStefan流（壁面へ向かう流体力学的気流）のみを考慮して沈着率を求める。

熱泳動による沈着は、Epsteinのモデルを用い、沈着面での温度勾配による沈着速度及び沈着率を求める。

慣性衝突による沈着は、原子炉格納容器内でのみ考慮され、流れの中にある構造物に、流線から外れたエアロゾルが衝突するものと仮定し、沈着率は重力沈降の場合と同様にSmoluchowski方程式の解から得られる無次元相関式を用いて求める。

F Pガスの凝縮は、F Pガスの構造物表面への凝縮であり、雰囲気中の気体状F P圧力がF P飽和蒸気圧を超えると構造物表面への凝縮を計算する。

5-66

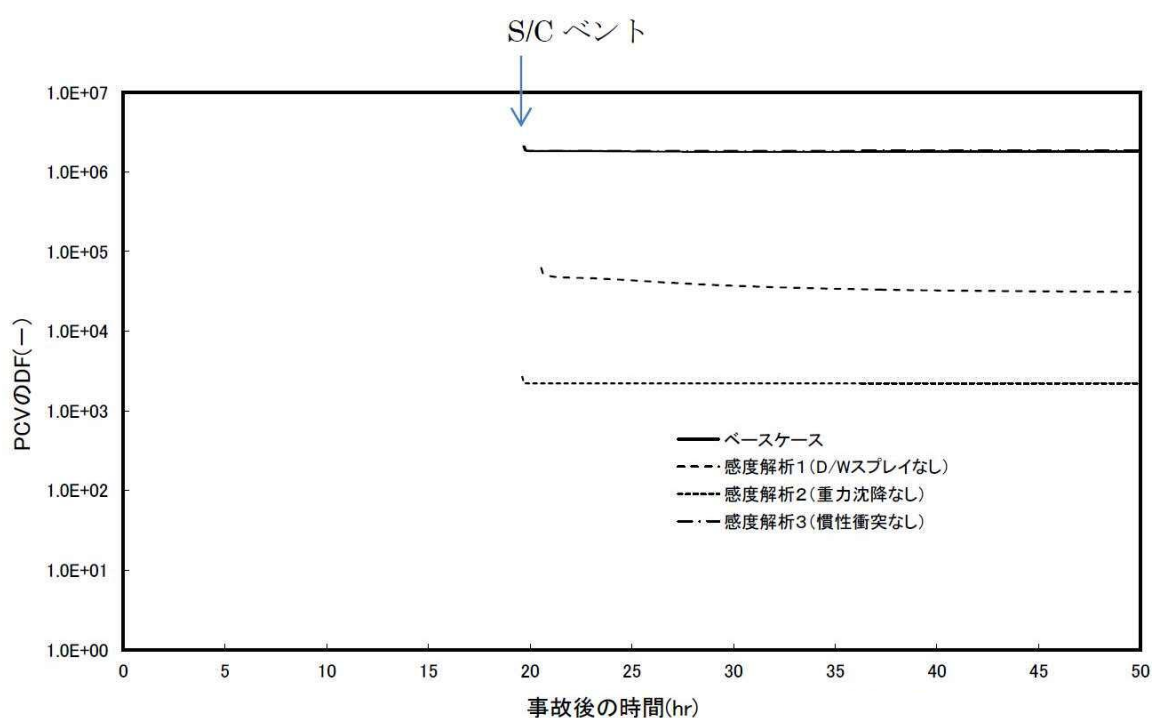
F Pガスの再蒸発は、凝縮と逆であり、気体状F Pの圧力がF Pの飽和蒸気圧を下回ると、蒸発が起こると仮定している。

エアロゾルのプール水によるスクラビング現象による除去効果の取り扱いに関しては、スクラビングによる除染係数(D F)を設定し、エアロゾル除去効果が計算される。D Fの値は、クエンチャ、垂直ベント、水平ベントの3つの種類のスクラビング機器に対し、詳細コード SUPRA^[9]を用いて、圧力、プール水深、キャリアガス中の水蒸気質量割合、プール水のサブクール度及びエアロゾル粒子径をパラメータとして評価した結果を内蔵しており、これらのデータから求める。

また、格納容器スプレーによるF P除去も模擬しており、スプレー液滴とエアロゾルとの衝突による除去率を衝突効率、スプレーの液滴径、流量及び落下高さから計算する。

1. 沈着及びドライウェルスプレイによる除去効果

沈着及びドライウェルスプレイによる除去効果を確認するため、感度解析を行った。解析結果を第1図に示す。なお、感度解析では、以下の式により格納容器内の除去効果（除染係数（以下「DF」という。））を算出している。

$$\text{格納容器内DF} = \frac{\text{格納容器内へのC s I 放出割合}}{\text{ベントラインから大気へのC s I 放出割合}}$$


第1図 エアロゾルに対する格納容器内の除去効果（感度解析結果）

第1図より、ベースケースにおけるDF（ 10^6 オーダー）との比較から、重力沈降のDFは 10^3 程度、ドライウェルスプレイのDFは $10 \sim 10^2$ 程度であることがわかる。これより、重力沈降及びドライウェルスプレイ両方によるDFは $10^4 \sim 10^5$ 程度となるため、Cs-137に対する格納容器内の除去効果は、重力沈降及びドライウェルスプレイの影響が大きいと考える。

2. サプレッション・プールでのスクラビングによる除去効果

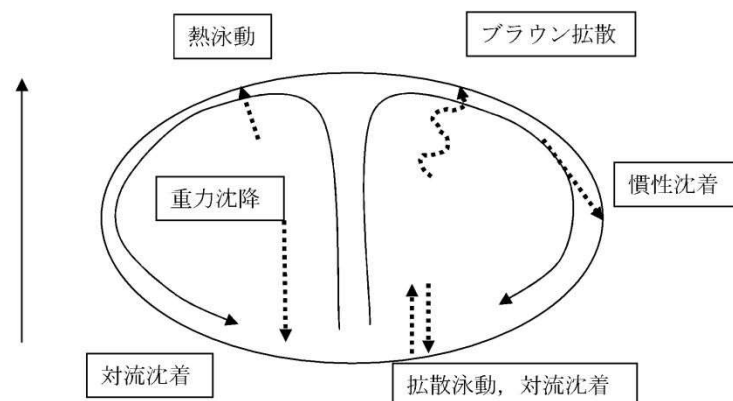
(1) スクラビング効果について

スクラビングは、エアロゾルを含む気体がプール内に移行する場合、気泡が分裂しながら上昇していく過程においてエアロゾルが気泡界面に到達した時点で水に溶解して気体から除去される現象である。スクラビングにおけるエアロゾル除去のメカニズムは、プールへの注入時の水との衝突や気泡がプール水中を上昇していく過程における慣性衝突等が考えられる。

(2) M A A P 解析上の扱いについて

スクラビングによる除去効果について、M A A P 解析ではスクラビング計算プログラム（S U P R A コード）により計算された D F 値のデータテーブルに、プール水深、エアロゾルの粒子径、キャリアガス中の水蒸気割合、格納容器圧力及びサプレッション・プールのサブクール度の条件を補間して求めている。

S U P R A コードでは、スクラビングに伴う初期気泡生成時及び気泡上昇時のエアロゾルの除去効果をモデル化しており、気泡挙動（気泡サイズ及び気泡上昇速度）、初期気泡生成時の D F、気泡上昇時の D F を評価式により与えている。第 2 図に、気泡中のエアロゾルが気泡界面に到達するまでの過程を示す。気泡上昇時における各過程の除去速度を評価することでエアロゾルの D F を与えている。



第2図 スクラビングによるエアロゾル捕集効果

(3) SUPRAコードによる計算結果と実験結果の比較について

SUPRAコードによる計算結果については、電力共同研究^{*1}にて実験結果との比較検討が行われている。試験条件及び試験装置の概要を第1表及び第3図に示す。また、試験結果を第4図から第10図に示す。

試験結果より、SUPRAコードによる計算結果と実験結果について、キャリアガス流量等のパラメータ値の増減によるDF値の傾向はおおむね一致していることを確認した。

また、粒径 μm までの粒子について、SUPRAコードによる計算結果が実験結果より小さいDF値を示しており、保守的な評価であることを確認した。

一方、粒径 μm の粒子について、SUPRAコードによる計算結果が実験結果より大きいDF値を示しているが、これは実験とSUPRAコードで用いている粒子の違い（実験：LATEX粒子（密度 g/cm^3 ）、SUPRAコード：CsOH（密度 g/cm^3 ））が影響しているためである。SUPRAコードの計算結果を密度補正^{*2}した第7図及び第9図では、SUPRAコードによる計算結果は実験結果よりおおむね小さいDF値を示すことが確認できる。

以上より、SUPRAコードにより計算されたDF値を用いることは妥当と考える。

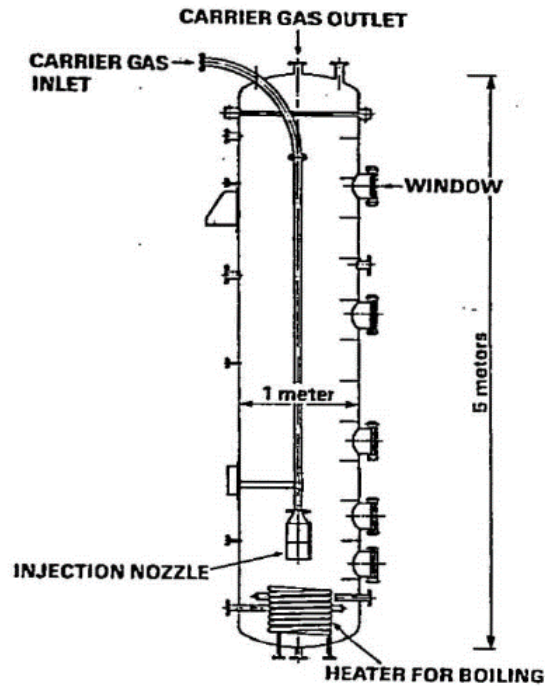
※1 共同研究報告書「放射能放出低減装置に関する開発研究」(PHASE 2) 最終報告書 平成5年3月

※2 実験ではLATEX粒子を用いているため、その粒径は

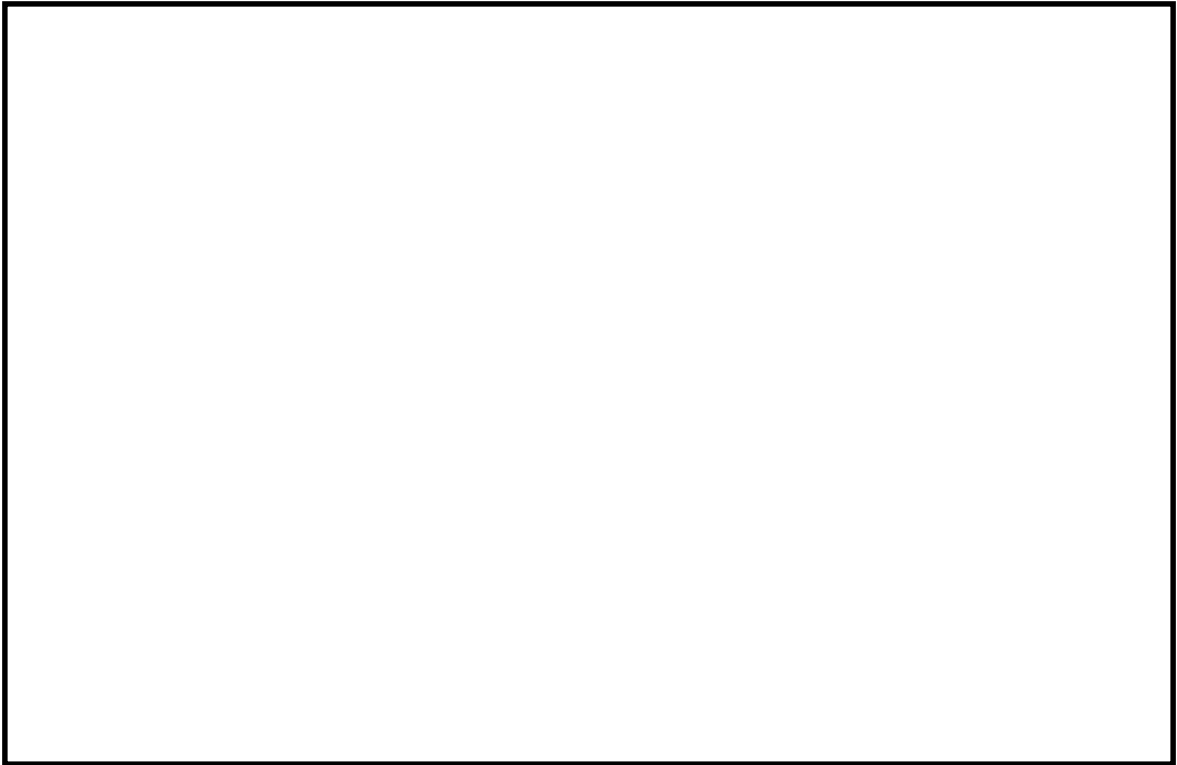
となる。一方、SUPRAコードではCsOHの粒径を基にしているため、粒径に粒子密度 (g/cm^3) の平方根を乗じることにより に換算する。

第 1 表 試験条件

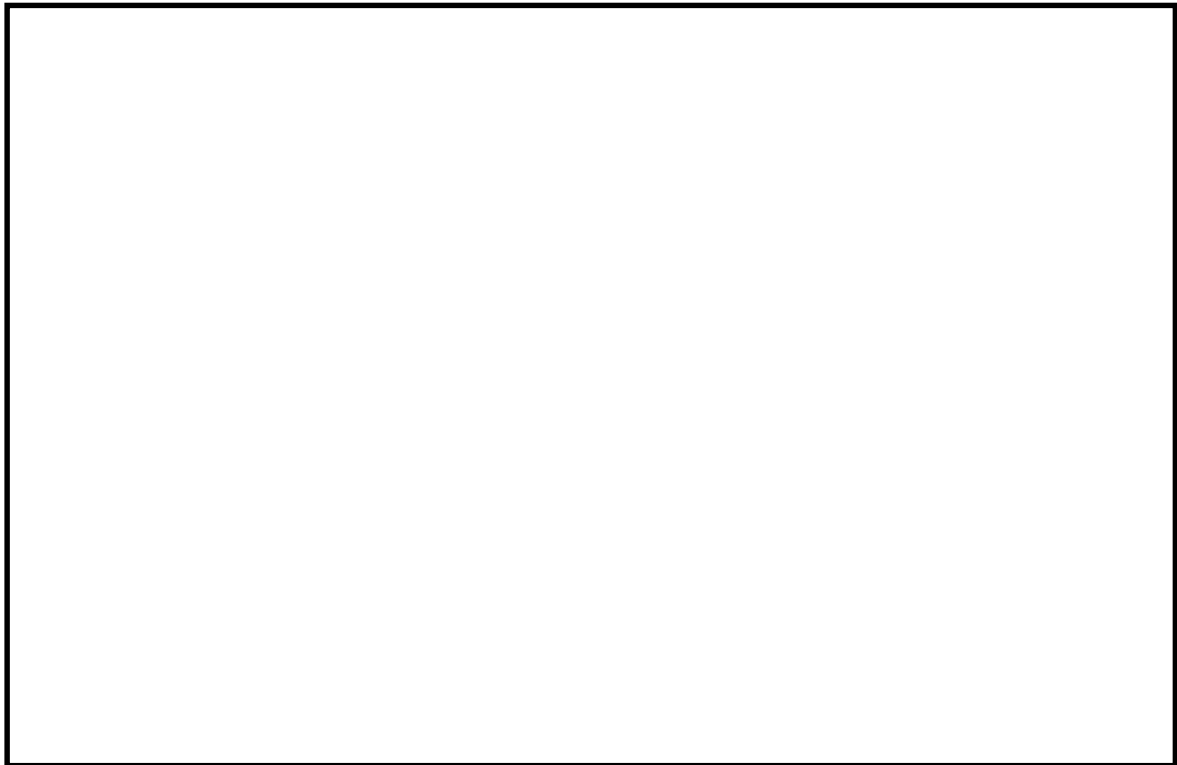
| Parameter | | Standard Value | Range |
|--------------------|-------------------------------------|----------------|------------|
| Geometric property | injection nozzle diameter (cm) | 15 | 1~15 |
| | scrubbing depth (meters) | 2.7 | 0~3.8 |
| Hydraulic property | pool water temperature (°C) | 80 | 20~110 |
| | carrier gas temperature (°C) | 150 | 20~300 |
| | steam fraction (vol.%) | 50 | 0~80 |
| | carrier gas flow rate (L/min) | 500 | 300~2000 |
| Aerosol property | particle diameter (μm) | 0.21~1.1 | 0.1~1.9 |
| | material | LATEX | LATEX, CsI |



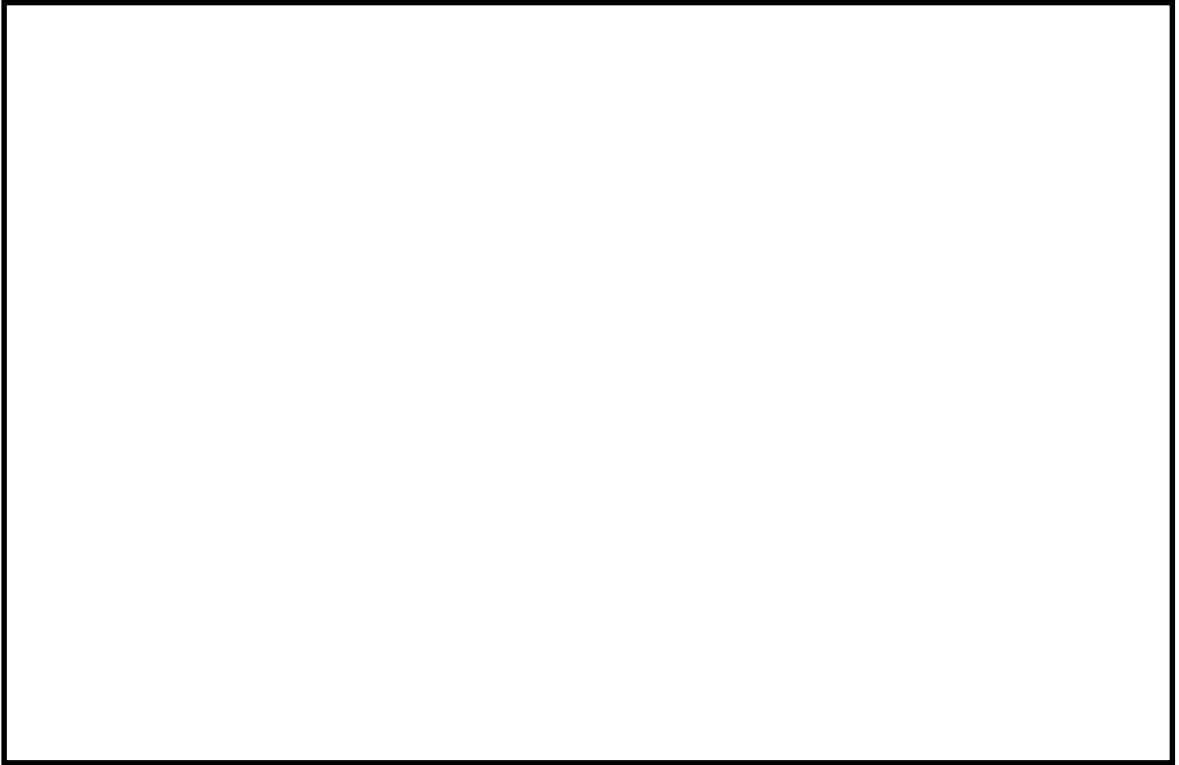
第 3 図 試験装置の概要



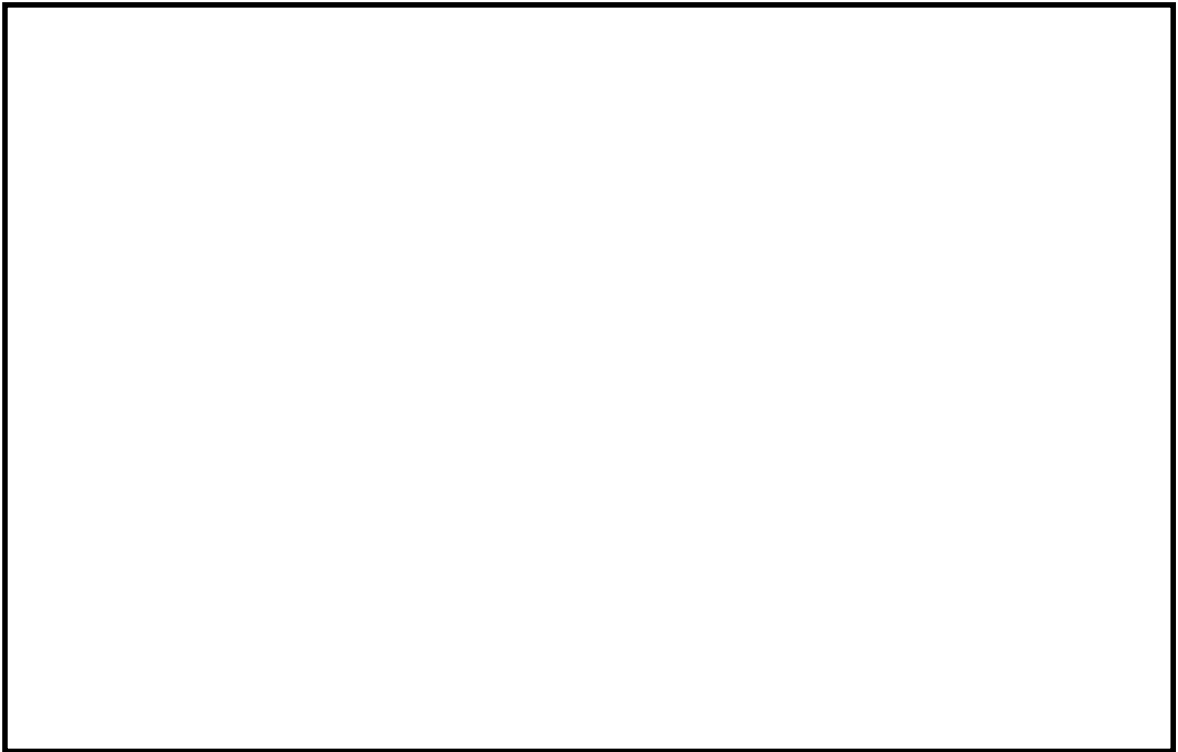
第4図 キャリアガス流量に対するDFの比較



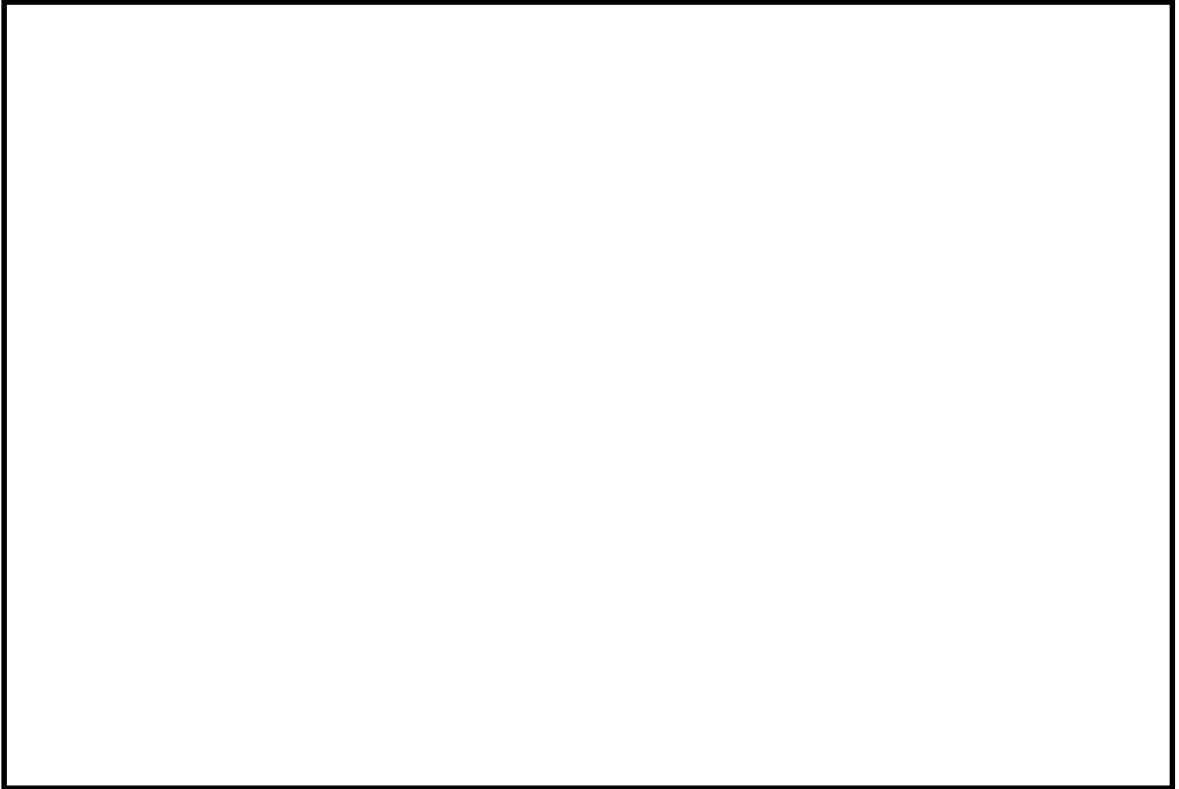
第5図 プール水温に対するDFの比較



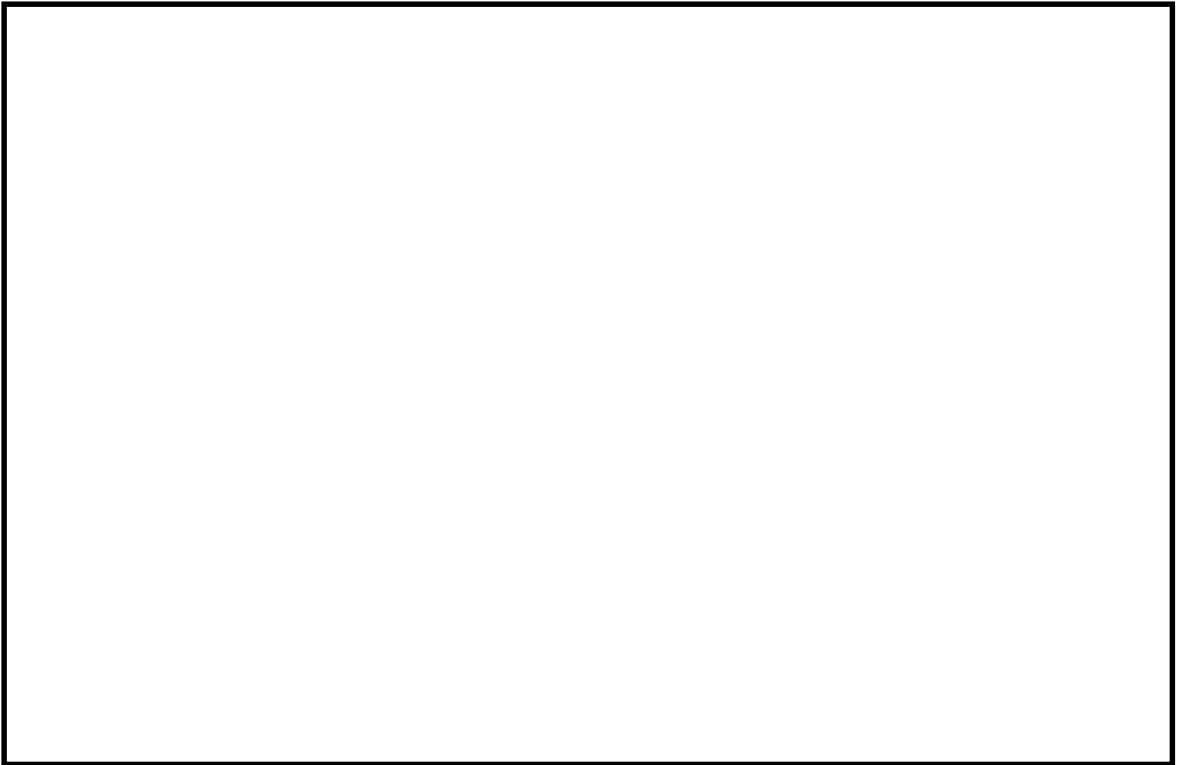
第 6 図 水蒸気割合に対する D F の比較



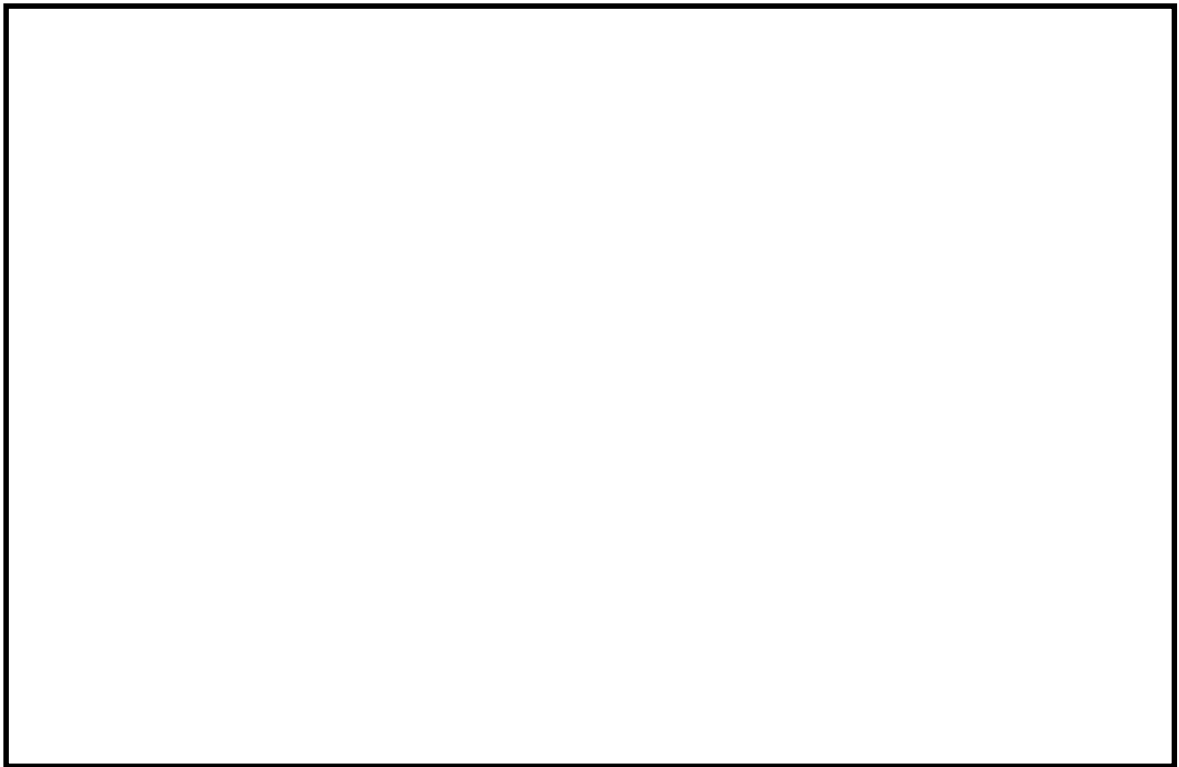
第 7 図 水蒸気割合に対する D F の比較 (密度補正)



第 8 図 スクラビング水深に対する D F の比較



第 9 図 スクラビング水深に対する D F の比較（密度補正）



第 10 図 ガス温度に対する D F の比較

(4) 沸騰による除去効果への影響について

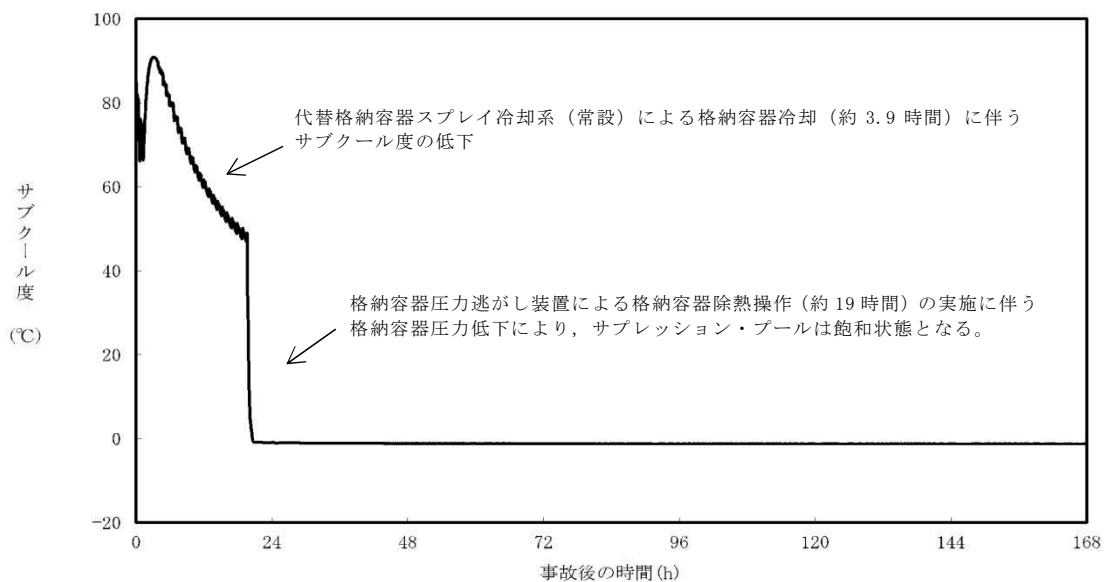
「雰囲気圧力・温度による静的負荷（格納容器過圧・過温破損）」の代替循環冷却系を使用できない場合では、第 11 図のとおり、格納容器圧力逃がし装置による格納容器除熱（以下、「格納容器ベント」という。）の実施に伴いサプレッション・プールは飽和状態（沸騰状態）になるため、サプレッション・プールの沸騰による除去効果への影響を確認した。MAAP 解析条件及び評価結果を第 2 表及び第 3 表に示す。なお、エアロゾルの粒径については、スクラビング前後でそれぞれ最も割合の多い粒径について除去効果への影響を確認した。その結果、第 3 表のとおり沸騰時の除去効果は非沸騰時に比べて小さいことを確認した。

ただし、「雰囲気圧力・温度による静的負荷（格納容器過圧・過温破損）」の代替循環冷却系を使用できない場合では、第 12 図のとおり、原子炉圧力

容器内のCs-137は、大破断LOCAにより生じた破断口より格納容器内気相部へ移行し、その後重力沈降等により、事象発生5時間程度で大部分が格納容器内液相部へ移行するため、本評価においてサブレーション・プールの沸騰による除去効果の減少の影響はほとんどないと考える。

なお、CsI、CsOHの沸点はそれぞれ1,280°C、272.3°C以上^{※3}であり、シビアアクシデント時に格納容器内でCsI、CsOHが揮発することは考えにくい。サブレーション・プールの沸騰に伴い液相部中のCsI、CsOHの一部が気相部へ移行する可能性がある。ただし、その場合でも、ドライウェルから格納容器圧力逃がし装置を介した場合のCs-137放出量（事象発生7日間で約18TBq）に包絡されると考えられる。

※3 化合物の辞典 高本 進・稲本直樹・中原勝儼・山崎 昶[編集] 1997年11月20日



第11図 サブレーション・プールのサブクール度の推移

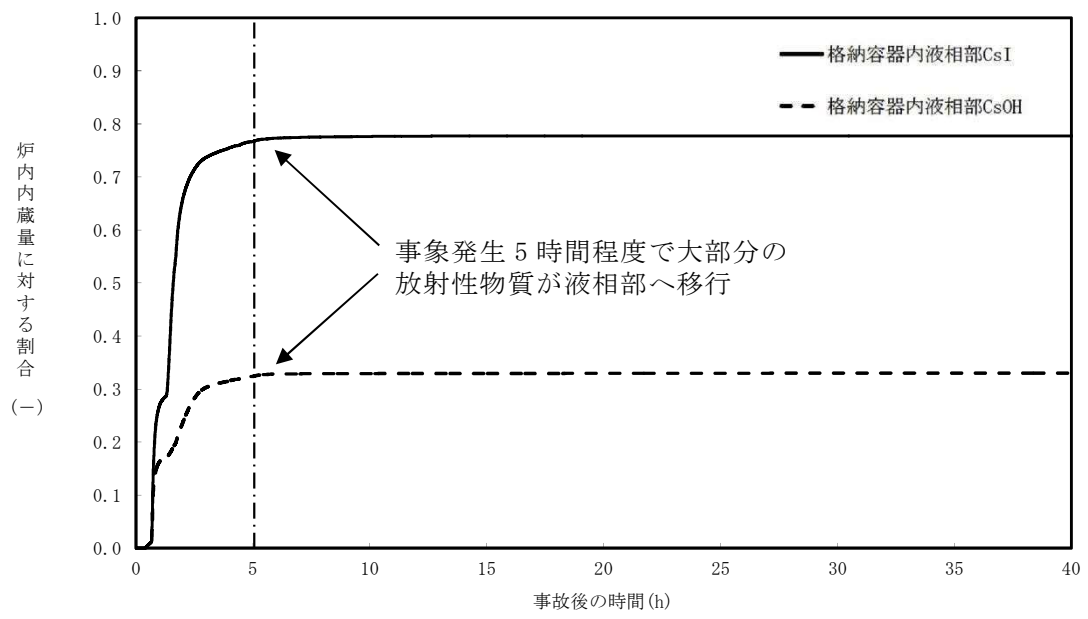
第2表 評価条件

| 項目 | 評価条件※ | 選定理由 |
|---------------|---------------------------------|--|
| 蒸気割合 | <input type="text"/> % | 格納容器ベント実施前のドライウェルにおける蒸気割合（約55%）相当 |
| 格納容器圧力 | <input type="text"/> kPa [gage] | 格納容器ベント実施前の格納容器圧力（400kPa [gage] ~ 465kPa [gage]）相当 |
| サプレッション・プール水深 | <input type="text"/> m | 実機では水深 3m 以上のため、設定上限値を採用 |
| サブクール度 | <input type="text"/> °C | 未飽和状態として設定（設定上限値） |
| | <input type="text"/> °C | 飽和状態として設定（設定下限値） |
| エアロゾルの粒径（半径） | <input type="text"/> μm | スクラビング前において、最も割合が多い粒径 |
| | <input type="text"/> μm | スクラビング後において、最も割合が多い粒径 |

※ SUPRAコードにより計算されたデータテーブルの設定値を採用

第3表 評価結果

| 粒径 | D F | |
|-------------------------|---|--|
| | 未飽和状態 (サブクール度 <input type="text"/> °C) | 飽和状態 (サブクール度 <input type="text"/> °C) |
| <input type="text"/> μm | <input type="text"/> | |
| <input type="text"/> μm | | |



第 12 図 格納容器内液相部中の存在割合

安定状態について（雰囲気圧力・温度による静的負荷

（格納容器過圧・過温破損）（代替循環冷却系を使用できない場合）

「雰囲気圧力・温度による静的負荷（格納容器過圧・過温破損）（代替循環冷却系を使用できない場合）」時の安定状態については以下のとおり。

原子炉安定停止状態：

事象発生後，重大事故等対処設備を用いた損傷炉心冷却により，損傷炉心の冠水が維持可能であり，また，冷却のための設備がその後も機能維持できると判断され，かつ，必要な要員の不足や資源の枯渇等のあらかじめ想定される事象悪化のおそれがない場合，安定停止状態が確立されたものとする。

格納容器安定状態：

損傷炉心を冠水させた後に，重大事故等対処設備を用いた格納容器除熱機能（代替循環冷却系又は格納容器圧力逃がし装置）により，格納容器圧力及び雰囲気温度が安定又は低下傾向に転じ，また，除熱のための設備がその後も機能維持できると判断され，かつ，必要な要員の不足や資源の枯渇等のあらかじめ想定される事象悪化のおそれがない場合，安定状態が確立されたものとする。

【安定停止状態の確立について】

原子炉安定状態の確立について

低圧代替注水系（常設）における注水継続により損傷炉心が冠水し，損傷炉心の冷却が維持され，原子炉安定停止状態が確立される。

格納容器安定状態の確立について

炉心冷却を継続し，格納容器圧力 0.62MPa [gage] 到達までに格納容器圧力逃がし装置による格納容器除熱を開始することで，格納容器圧力及び雰囲気温度は安定又は低下傾向になり，格納容器雰囲気温度は 150℃を下回り，格納容器安定状態が確立される。

また，重大事故等対策時に必要な要員は確保可能であり，必要な水源，燃料及び電源を供給可能である。

【安定状態の維持について】

上記の格納容器破損防止対策により安定状態を確立できる。

代替循環冷却系を用いて又は残留熱除去系を復旧させ，除熱を行うことにより，安定状態の維持が可能となる。安定状態の維持に関する具体的な要件は以下のとおり。

- ① 格納容器除熱機能として代替循環冷却系又は残留熱除去系の復旧による冷却へ移行
- ② 格納容器内の水素・酸素濃度の制御を目的とした可燃性ガス濃度制御系の復旧及び格納容器内への窒素注入
- ③ 上記の安全機能の維持に必要な電源（外部電源），冷却水等の確保
- ④ 長期的に維持される格納容器の状態（圧力・温度）に対し，適切な地震力に対する格納容器の頑健性の確保

（添付資料 3. 1. 2. 9 別紙参照）

解析コード及び解析条件の不確かさの影響評価について
 (雰囲気圧力・温度による静的負荷 (格納容器過圧・過温破損) (代替循環冷却系を使用できない場合))

第 1 表 解析コードにおける重要現象の不確かさが運転員等操作時間及び評価項目となるパラメータに与える影響(1/2)

| 分類 | 重要現象 | 解析モデル | 不確かさ | 運転員等操作時間に与える影響 | 評価項目となるパラメータに与える影響 |
|-----------------|------------------------|--|--|---|--|
| 炉心 | 崩壊熱 | 炉心モデル (原子炉出力及び崩壊熱) | 入力値に含まれる。 | 「解析条件を最確条件とした場合の運転員等操作時間及び評価項目となるパラメータに与える影響」にて確認。 | 「解析条件を最確条件とした場合の運転員等操作時間及び評価項目となるパラメータに与える影響」にて確認。 |
| | 燃料棒内温度変化 | 炉心モデル (炉心熱水力モデル) 溶融炉心の挙動モデル (炉心ヒートアップ) | TMI 事故解析における炉心ヒートアップ時の水素ガス発生、炉心領域での溶融進展状態について、TMI 事故分析結果と良く一致することを確認した。 CORA 実験解析における、燃料被覆管、制御棒及びチャンネルボックスの温度変化について、測定データと良く一致することを確認した。 炉心ヒートアップ速度の増加 (被覆管酸化の促進) を想定し、仮想的な厳しい振幅ではあるが、ジルコニウム-水反応速度の係数を 2 倍とした感度解析により影響を確認した。 ・TQUV、大破断 LOCA シーケンスとともに、炉心溶融の開始時刻への影響は小さい ・下部プレナムへの溶融炉心移行の開始時刻は、ほぼ変化しない | 炉心ヒートアップに関するモデルは、TMI 事故についての再現性及び CORA 実験についての再現性を確認している。炉心ヒートアップの感度解析 (ジルコニウム-水反応速度の係数についての感度解析) では、炉心溶融開始時間に与える影響は小さいことを確認している。 原子炉注水操作については、LOCA が発生し、高圧・低圧注水機能の喪失により炉心損傷したと判断した場合、速やかに代替格納容器スプレー冷却系による格納容器冷却に併せ、低圧代替注水系 (常設) による原子炉注水 (電源の確保含む) を行う手順となっており、燃料被覆管温度等を操作開始の起点としている運転員等操作はないことから、運転員等操作時間に与える影響はない。また、格納容器圧力が 0.465MPa [gage] に到達した場合の格納容器スプレー操作については、炉心ヒートアップの感度解析では、格納容器圧力及び雰囲気温度への影響は小さいことを確認していることから、運転員等操作時間に与える影響は小さい。 | 炉心ヒートアップに関するモデルは、TMI 事故についての再現性及び CORA 実験についての再現性が確認されている。炉心ヒートアップの感度解析 (ジルコニウム-水反応速度の係数についての感度解析) では、格納容器圧力及び雰囲気温度への影響は小さいことを確認していることから、評価項目となるパラメータに与える影響は小さい。 |
| | 燃料棒表面熱伝達 | | | | |
| | 燃料被覆管酸化 | | | | |
| | 燃料被覆管変形 | | | | |
| 沸騰・ボイド率変化 | 炉心モデル (炉心水位計算モデル) | TQUX シーケンス及び中小破断 LOCA シーケンスに対して、MAAP コードと SAFER コードの比較を行い、以下の傾向を確認した。 ・MAAP コードでは SAFER コードで考慮している CCFL を取り扱っていないこと等から、水位変化に差異が生じたものの水位低下幅は MAAP コードの方が大きく、解析コード SAFER に対して保守的であり、その後の注水操作による燃料有効長頂部までの水位回復時刻は両コードで同等である。 | 原子炉水位挙動について原子炉圧力容器内のモデルが精緻である解析コード SAFER の評価結果との比較により水位低下幅は解析コード MAAP の評価結果の方が大きく、解析コード SAFER に対して保守的であり、注水操作による燃料有効長頂部までの水位回復時刻は解析コード SAFER の評価結果との差異は小さいことを確認している。 原子炉注水操作については、LOCA が発生し、高圧・低圧注水機能の喪失により炉心損傷したと判断した場合、速やかに代替格納容器スプレー冷却系による格納容器冷却及び低圧代替注水系 (常設) による原子炉注水 (電源の確保含む) を行う手順となっており、原子炉水位を操作開始の起点としている運転員等操作はないことから、運転員等操作時間に与える影響はない。 | 原子炉水位挙動について原子炉圧力容器内のモデルが精緻である解析コード SAFER の評価結果との比較により水位低下幅は解析コード MAAP の評価結果の方が大きく、解析コード SAFER に対して保守的であり、注水操作による燃料有効長頂部までの水位回復時刻は解析コード SAFER の評価結果との差異は小さいことを確認していることから、評価項目となるパラメータに与える影響は小さい。 | |
| 気液分離 (水位変化)・対向流 | | | | | |
| 原子炉圧力容器 | ECCS 注水 (給水系・代替注水設備含む) | 安全系モデル (非常用炉心冷却系) 安全系モデル (代替注水設備) | 入力値に含まれる。 | 「解析条件を最確条件とした場合の運転員等操作時間及び評価項目となるパラメータに与える影響」にて確認。 | 「解析条件を最確条件とした場合の運転員等操作時間及び評価項目となるパラメータに与える影響」にて確認。 |

第1表 解析コードにおける重要現象の不確かさが運転員等操作時間及び評価項目となるパラメータに与える影響(2/2)

| 分類 | 重要現象 | 解析モデル | 不確かさ | 運転員等操作時間に与える影響 | 評価項目となるパラメータに与える影響 | |
|----------------|-----------------|----------------------|--|--|--|--|
| 格納容器 | 格納容器各領域間の流動 | 格納容器モデル(格納容器の熱水力モデル) | HDR 実験解析では、格納容器圧力及び雰囲気温度について、温度成層化を含めて傾向を良く再現できることを確認した。 格納容器雰囲気温度を十数°C程度高めに、格納容器圧力を1割程度高めに評価する傾向が確認されたが、実験体系に起因するものと考えられ、実機体系においてはこの種の不確かさは小さくなるものと考えられる。また、非凝縮性ガス濃度の挙動について、解析結果が測定データと良く一致することを確認した。 格納容器各領域間の流動、構造材との熱伝達及び内部熱伝導の不確かさにおいては、CSTF 実験解析では、格納容器温度及び非凝縮性ガス濃度の挙動について、解析結果が測定データと良く一致することを確認した。 | HDR 実験解析では区画によって格納容器雰囲気温度を十数°C程度、格納容器圧力を1割程度高めに評価する傾向を確認しているが、BWRの格納容器内の区画とは異なる等、実験体系に起因するものと考えられ、実機体系においてはこの解析で確認された不確かさは小さくなるものと推定される。しかし、全体としては格納容器圧力及び雰囲気温度の傾向を適切に再現できていることから、格納容器圧力を操作開始の起点としている代替格納容器スプレイ冷却系(常設)に係る運転員等操作時間に与える影響は小さい。 また、格納容器各領域間の流動、構造材との熱伝達及び内部熱伝導の不確かさにおいては、CSTF 実験解析により格納容器温度及び非凝縮性ガスの挙動は測定データと良く一致することを確認しており、その差異は小さいことから、格納容器圧力を操作開始の起点としている常設低圧代替注水系ポンプを用いた代替格納容器スプレイ冷却系(常設)に係る運転員等操作時間に与える影響は小さい。 | HDR 実験解析では区画によって格納容器雰囲気温度を十数°C程度、格納容器圧力を1割程度高めに評価する傾向を確認しているが、BWRの格納容器内の区画とは異なる等、実験体系に起因するものと考えられ、実機体系においてはこの解析で確認された不確かさは小さくなるものと推定される。しかし、全体としては格納容器圧力及び雰囲気温度の傾向を適切に再現できていることから、評価項目となるパラメータに与える影響は小さい。 また、格納容器各領域間の流動、構造材との熱伝達及び内部熱伝導の不確かさにおいては、CSTF 実験解析により格納容器温度及び非凝縮性ガスの挙動は測定データと良く一致することを確認しており、その差異は小さいことから、評価項目となるパラメータに与える影響は小さい。 | |
| | 構造材との熱伝達及び内部熱伝導 | | 安全系モデル(格納容器スプレイ) 安全系モデル(代替注水設備) | 入力値に含まれる。 スプレイの水滴温度は短時間で雰囲気温度と平衡に至ることから伝熱モデルの不確かさはない。 | 「解析条件を最確条件とした場合の運転員等操作時間及び評価項目となるパラメータに与える影響」にて確認。 | 「解析条件を最確条件とした場合の運転員等操作時間及び評価項目となるパラメータに与える影響」にて確認。 |
| | 気液界面の熱伝達 | | 格納容器モデル(格納容器の熱水力モデル) | 入力値に含まれる。 MAAP コードでは格納容器ベントについては、設計流量に基づいて流路面積を入力値として与え、格納容器各領域間の流動と同様の計算方法が用いられている。 | 「解析条件を最確条件とした場合の運転員等操作時間及び評価項目となるパラメータに与える影響」にて確認。 | 「解析条件を最確条件とした場合の運転員等操作時間及び評価項目となるパラメータに与える影響」にて確認。 |
| | スプレイ冷却 | | | | | |
| | 格納容器ベント | | | | | |
| 原子炉圧力容器(炉心損傷後) | リロケーション | 溶融炉心の挙動モデル(リロケーション) | ・TMI 事故解析における炉心領域での溶融進展状態について、TMI 事故分析結果と一致することを確認した。 ・リロケーションの進展が早まることを想定し、炉心ノード崩壊のパラメータを低下させた感度解析により影響を確認した。 ・TQUV、大破断 LOCA シーケンスともに、炉心溶融時刻、原子炉圧力容器破損時刻への影響が小さいことを確認した。 | 溶融炉心の挙動モデルはTMI 事故についての再現性を確認している。本評価事故シーケンスでは、炉心の損傷状態を起点に操作開始する運転員等操作はないことから、運転員等操作時間に与える影響はない。 | 溶融炉心の挙動モデルはTMI 事故についての再現性を確認している。また、炉心ノード崩壊のパラメータを低下させた感度解析により炉心溶融開始時間に与える影響は小さいことを確認しており、事象進展はほぼ変わらないことから、評価項目となるパラメータに与える影響はない。 | |
| | 構造材との熱伝達 | | | | | |
| | 原子炉圧力容器内FP挙動 | 核分裂生成物(FP)挙動モデル | PHEBUS-FP 実験解析により、FP 放出の開始時刻を良く再現できているものの、燃料被覆管温度を高めに評価することにより、急激なFP 放出を示す結果となった。ただし、この原因は実験における小規模な炉心体系の模擬によるものであり、実機の大規模な体系においてこの種の不確かさは小さくなるものと考えられる。 | 核分裂生成物(FP)挙動モデルはPHEBUS-FP 実験解析により原子炉圧力容器内へのFP 放出の開始時間を適切に再現できることを確認している。PHEBUS-FP 実験解析では、燃料被覆管破裂後のFP 放出について実験結果より急激な放出を示す結果が確認されたが、小規模体系の模擬性が原因と推測され、実機の大規模な体系においてこの種の不確かさは小さくなるものと推定される。本評価事故シーケンスでは、炉心損傷後の原子炉圧力容器内FP 放出を操作開始の起点としている運転員等操作はないことから、運転員等操作時間に与える影響はない。 | 核分裂生成物(FP)挙動モデルはPHEBUS-FP 実験解析により原子炉圧力容器内へのFP 放出の開始時間を適切に再現できることを確認している。PHEBUS-FP 実験解析では、燃料被覆管破裂後のFP 放出について実験結果より急激な放出を示す結果が確認されたが、小規模体系の模擬性が原因と推測され、実機の大規模な体系においてこの種の不確かさは小さくなるものと推定される。 | |
| 格納容器(炉心損傷後) | 格納容器内FP挙動 | 核分裂生成物(FP)挙動モデル | ABCOVE 実験解析により、格納容器内のエアロゾル沈着挙動を適正に評価できることを確認した。 | 核分裂生成物(FP)挙動モデルはABCOVE 実験解析により格納容器内のエアロゾル沈着挙動を適正に評価できることを確認している。本評価事故シーケンスでは、炉心損傷後の格納容器内FP 挙動を操作開始の起点としている運転員等操作はないことから、運転員等操作時間に与える影響はない。 | 核分裂生成物(FP)挙動モデルはABCOVE 実験解析により格納容器内のエアロゾル沈着挙動を適正に評価できることを確認している。したがって、大気中へのCs-137の放出量の観点で評価項目となるパラメータに与える影響はない。なお、本評価事故シーケンスにおける格納容器圧力逃がし装置による大気中へのCs-137の放出量は、評価項目(100TBqを下回っていること)に対して、サブプレッション・チェンバのベントラインを経由した場合は約1.2×10 ⁻⁴ TBq(7日間)、ドライウエルのベントラインを経由した場合は約3.7TBq(7日間)であり、評価項目に対して余裕がある。 | |

第2表 解析条件を最確条件とした場合に運転員等操作時間及び評価項目となるパラメータに与える影響(1/4)

| 項目 | 解析条件(初期条件、事故条件及び機器条件)の不確かさ | | 条件設定の考え方 | 運転員等操作時間に与える影響 | 評価項目となるパラメータに与える影響 | |
|------|----------------------------|--|---|--|---|---|
| | 解析条件 | 最確条件 | | | | |
| 初期条件 | 原子炉熱出力 | 3, 293MW | 約 3, 279MW～ 約 3, 293MW (実績値) | 定格原子炉熱出力として設定 | 最確条件とした場合には、原子炉停止後の崩壊熱が緩和される。最確条件とした場合の運転員等操作時間への影響は、原子炉停止後の崩壊熱にて説明する。 | 最確条件とした場合には、原子炉停止後の崩壊熱が緩和される。最確条件とした場合の評価項目となるパラメータに与える影響は、原子炉停止後の崩壊熱にて説明する。 |
| | 原子炉圧力 (圧力容器ドーム部) | 6. 93MPa [gage] | 約 6. 91MPa [gage]～ 約 6. 94MPa [gage] (実績値) | 定格原子炉圧力として設定 | 最確条件とした場合には、ゆらぎにより解析条件に対して変動を与え得るが、大破断 LOCA に伴い原子炉は急速に減圧されるため事象進展に与える影響はないことから、運転員等操作時間に与える影響はない。 | 最確条件とした場合には、ゆらぎにより解析条件に対して変動を与え得るが、大破断 LOCA に伴い原子炉は急速に減圧されるため事象進展に与える影響はないことから、評価項目となるパラメータに与える影響はない。 |
| | 原子炉水位 | 通常運転水位 (セパレータスカート 下端から+126cm) | 通常運転水位 約-4cm～約+6cm (セパレータスカート 下端から約+122cm～ 約+132cm) (実績値) | 通常運転時の原子炉水位として設定 | 最確条件とした場合には、ゆらぎにより解析条件に対して変動を与え得るが、ゆらぎの幅は事象発生後の水位低下量に対して非常に小さい。例えば、原子炉スクラム 10 分後までの崩壊熱による原子炉水位の低下量は、高圧が維持された状態でも通常運転水位から約 3m であるのに対してゆらぎによる水位低下量は約 4cm であり非常に小さい。したがって、事象進展に及ぼす影響は小さいことから、運転員等操作時間に与える影響は小さい。 | 最確条件とした場合には、ゆらぎにより解析条件に対して変動を与え得るが、ゆらぎの幅は事象発生後の水位低下量に対して非常に小さい。例えば、原子炉スクラム 10 分後までの崩壊熱による原子炉水位の低下量は、高圧が維持された状態でも通常運転水位から約 3m であるのに対してゆらぎによる水位低下量は約 4cm であり非常に小さい。したがって、事象進展に及ぼす影響は小さいことから、評価項目となるパラメータに与える影響は小さい。 |
| | 炉心流量 | 48, 300t/h (定格流量 (100%)) | 定格流量の 約86%～約104% (実績値) | 定格流量として設定 | 炉心の反応度補償のため初期値は変化するが、事象発生後早期に原子炉はスクラムするため、初期炉心流量が事象進展に与える影響は小さいことから、運転員等操作時間に与える影響は小さい。 | 炉心の反応度補償のため初期値は変化するが、事象発生後早期に原子炉はスクラムするため、初期炉心流量が事象進展に与える影響は小さいことから、評価項目となるパラメータに与える影響は小さい。 |
| | 燃料 | 9×9燃料 (A型) | 装荷炉心ごと | 9×9燃料(A型)と9×9燃料(B型)は、熱水力的な特性はほぼ同等であり、燃料棒最大線出力密度の保守性に包絡されることから、代表的に9×9燃料(A型)を設定 | 最確条件とした場合には、9×9燃料のA型又はB型の炉心となるか、それらの混在炉心となるが、いずれの型式も燃料の熱水力特性はほぼ同等であり、事象進展に与える影響は小さいことから、運転員等操作時間に与える影響は小さい。 | 最確条件とした場合には、9×9燃料のA型又はB型の炉心となるか、それらの混在炉心となるが、いずれの型式も燃料の熱水力特性はほぼ同等であり、事象進展に与える影響は小さいことから、評価項目となるパラメータに与える影響は小さい。 |
| | 原子炉停止後の崩壊熱 | ANSI/ANS-5. 1-1979 燃焼度 33GWd/t | ANSI/ANS-5. 1-1979 平均的燃焼度 約 31GWd/t (実績値) | 1 サイクルの運転期間(13ヶ月)に調整運転期間(約1ヶ月)を考慮した運転期間に対応する燃焼度を設定 | 最確条件とした場合には、解析条件で設定している崩壊熱よりも小さくなるため、発生する蒸気量は少なくなり、それに伴う原子炉冷却材の放出も少なくなることから、格納容器圧力及び雰囲気温度の上昇が遅くなるが、操作手順(代替格納容器スプレイ冷却系(常設)による格納容器冷却及び格納容器圧力逃がし装置による格納容器除熱を実施すること)に変わりはないことから、運転員等操作時間に与える影響はない。 | 最確条件とした場合には、解析条件で設定している崩壊熱よりも小さくなるため、発生する蒸気量は少なくなり、原子炉水位の低下は緩和され、それに伴う原子炉冷却材の放出も少なくなることから、格納容器圧力及び雰囲気温度の上昇が遅くなるが、格納容器圧力及び雰囲気温度の上昇は格納容器スプレイ及び格納容器ベントにより抑制されることから、評価項目となるパラメータに対する余裕は大きくなる。 |
| | 格納容器体積 (ドライウエル) | 5, 700m ³ | 5, 700m ³ (設計値) | 設計値 | 解析条件と最確条件は同様であり、事象進展に与える影響はないことから、運転員等操作時間に与える影響はない。 | 解析条件と最確条件は同様であり、事象進展に与える影響はないことから、評価項目となるパラメータに与える影響はない。 |
| | 格納容器体積 (サブプレッション・チェンバ) | 空間部：4, 100m ³ 液相部：3, 300m ³ | 空間部： 約 4, 092m ³ ～ 約 4, 058m ³ 液相部： 約 3, 308m ³ ～ 約 3, 342m ³ (実績値) | 設計値 (通常運転時のサブプレッション・プール水位の下限値に基づき設定) | 最確条件とした場合には、ゆらぎにより解析条件に対して変動を与え得るが、ゆらぎによる格納容器体積(サブプレッション・チェンバ)の液相部の変化分は通常時に対して非常に小さい。例えば、サブプレッション・プール水位が 6. 983m の時の水量は 3, 300m ³ であるのに対し、ゆらぎ (0. 087m) による水量変化は約 42m ³ であり、その割合は初期保有水量の約 1. 3%と非常に小さい。したがって、事象進展に与える影響は小さいことから、運転員等操作時間に与える影響は小さい。 | 最確条件とした場合には、格納容器体積(サブプレッション・チェンバ)の液相部の運転範囲において解析条件より高めの水位となるが、ゆらぎの幅は非常に小さい。例えば、サブプレッション・プール水位が 6. 983m の時の水量は 3, 300m ³ であるのに対し、ゆらぎによる水量変化 (0. 087m) は約 42m ³ であり、その割合は初期保有水量の約 1. 3%と非常に小さい。したがって、事象進展に与える影響は小さいことから、評価項目となるパラメータに与える影響は小さい。 |
| | 真空破壊装置作動差圧 | 3. 45kPa (ドライウエルサブプレッション・チェンバ間差圧) | 3. 45kPa (ドライウエルサブプレッション・チェンバ間差圧) (設計値) | 真空破壊装置の設定値 | 解析条件と最確条件は同様であり、事象進展に与える影響はないことから、運転員等操作時間に与える影響はない。 | 解析条件と最確条件は同様であり、事象進展に与える影響はないことから、評価項目となるパラメータに与える影響はない。 |

第2表 解析条件を最確条件とした場合に運転員等操作時間及び評価項目となるパラメータに与える影響(2/4)

| 項目 | | 解析条件（初期条件、事故条件及び機器条件）の不確かさ | | 条件設定の考え方 | 運転員等操作時間に与える影響 | 評価項目となるパラメータに与える影響 |
|------|---------------------|----------------------------|--|--|---|---|
| | | 解析条件 | 最確条件 | | | |
| 初期条件 | サブプレッショ ン・プール水位 | 6.983m (通常運転範囲 の下限値) | 約 7.000m～ 約 7.070m (実績値) | 通常運転時のサブプレッ ション・プール水位の下限 値として設定 | 最確条件とした場合には、サブプレッショ ン・プール水位の運転範囲において解 析条件より高めの水位となるが、ゆらぎの幅は非常に小さい。例えば、サブプレ ッション・プール水位が 6.983m の時の水量は 3,300m ³ であるのに対し、ゆら ぎによる水量変化 (0.087m) は約 42m ³ であり、その割合は初期保有水量の約 1.3%と非常に小さい。したがって、事象進展に与える影響は小さいことから、 運転員等操作時間に与える影響は小さい。 | 最確条件とした場合には、ゆらぎにより解析条件に対して変動を与え 得るが、ゆらぎによる格納容器体積 (サブプレッショ ン・チェンバ) の 液相部の変化分は通常時に対して非常に小さい。例えば、サブプレッ ション・プール水位が 6.983m の時の水量は 3,300m ³ であるのに対し、 ゆらぎ (0.087m) による水量変化は約 42m ³ であり、その割合は初期 保有水量の約 1.3%と非常に小さい。したがって、事象進展に与える 影響は小さいことから、評価項目となるパラメータに与える影響は小 さい。 |
| | サブプレッショ ン・プール水温度 | 32℃ | 約 15℃～約 32℃ (実績値) | 通常運転時のサブプレッ ション・プール水温度の上 限值として設定 | 最確条件とした場合には、解析条件で設定しているサブプレッショ ン・プール水温度よりも低くなるため、格納容器圧力上昇が遅くなり、格納容器スプレイ及 び格納容器ベント操作の開始が遅くなるが、その影響は小さいことから、運転 員等操作時間に与える影響は小さい。 | 最確条件とした場合には、解析条件で設定しているサブプレッショ ン・ プール水温度よりも低くなるため、格納容器の熱容量は大きくなり、 格納容器ベントに至るまでの時間が長くなるが、その影響は小さいこ とから、評価項目となるパラメータのパラメータに与える影響は小 さい。 |
| | 格納容器圧力 | 5kPa[gage] | 約 2.2kPa [gage]～ 約 4.7kPa [gage] (実績値) | 通常運転時の格納容器圧 力を包含する値 | 最確条件とした場合には、解析条件で設定している圧力よりも小さくなるた め、格納容器圧力が低めに推移するが、その影響は小さいことから、運転員等 操作時間に与える影響は小さい。 | 最確条件とした場合には、解析条件で設定している圧力よりも小さく なるため、格納容器圧力が低めに推移するが、その影響は小さいこ とから、評価項目となるパラメータに与える影響は小さい。 |
| | 格納容器雰囲気 温度 | 57℃ | 約 25℃～約 58℃ (実績値) | 通常運転時の格納容器雰 囲気温度 (ドライウエル 内ガス冷却装置の設計温 度) として設定 | 最確条件とした場合には、ゆらぎにより解析条件に対して変動を与え得るが、 格納容器雰囲気温度は格納容器スプレイにより飽和温度となり、初期温度が事 象進展に与える影響は小さいことから、運転員等操作時間に与える影響は小 さい。 | 最確条件とした場合には、ゆらぎにより解析条件に対して変動を与え 得るが、格納容器雰囲気温度は格納容器スプレイにより飽和温度とな り、初期温度が事象進展に与える影響は小さいことから、評価項目と なるパラメータに与える影響は小さい。 |
| | 外部水源の温度 | 35℃ | 35℃以下 | 年間の気象条件変化を包 含する高めの水温を設定 | 最確条件とした場合には、解析条件で設定している水温よりも低くなる可能 性があり、格納容器圧力及び雰囲気温度の上昇に対する代替格納容器スプレイ冷 却系 (常設) による圧力及び雰囲気温度上昇の抑制効果は大きくなり、間欠ス プレイの間隔に影響する。しかし、流量調整範囲においてスプレイ流量を調整 することで間欠スプレイの間隔を調整できることから、運転員等操作時間に 与える影響は小さい。 | 最確条件とした場合には、解析条件で設定している水温よりも低くなる 可能性があり、炉心の再冠水までの挙動に影響する可能性はある が、この顕熱分の影響は小さく、燃料被覆管温度の上昇に与える影響 は小さい。また、格納容器圧力上昇に対する代替格納容器スプレイ冷 却系 (常設) による圧力及び雰囲気温度上昇の抑制効果は大きくなり、 格納容器圧力及び雰囲気温度の上昇は遅くなるが、評価項目となるパ ラメータに与える影響は小さい。 |
| | 外部水源の容量 | 約 8,600m ³ | 8,600m ³ 以上 (西側淡水貯水設備 + 代替淡水貯槽) | 西側淡水貯水設備及び代 替淡水貯槽の管理下限値 を設定 | 管理値下限の容量として事象発生から 7 日後までに必要な容量を備えており、 水源は枯渇しないことから運転員等操作時間に与える影響はない。 | — |
| | 燃料の容量 | 約 1,010kL | 1,010kL 以上 (軽油貯蔵タンク + 可搬型設備用軽 油タンク) | 軽油貯蔵タンク及び可搬 型設備用軽油タンクの管 理下限値を設定 | 管理値下限の容量として事象発生から 7 日後までに必要な容量を備えており、 燃料は枯渇しないことから運転員等操作時間に与える影響はない。 | — |

第2表 解析条件を最確条件とした場合に運転員等操作時間及び評価項目となるパラメータに与える影響(3/4)

| 項目 | | 解析条件（初期条件、事故条件及び機器条件）の不確かさ | | 条件設定の考え方 | 運転員等操作時間に与える影響 | 評価項目となるパラメータに与える影響 |
|------|---------------|-------------------------------------|-------------------------------|---|---|--|
| | | 解析条件 | 最確条件 | | | |
| 事故条件 | 起因事象 | 大破断 LOCA 再循環系配管（出口ノズル）の破断 | — | 原子炉压力容器から格納容器への冷却材流出を大きく見積もり、格納容器内の圧力上昇及び温度上昇の観点から厳しい設定として、原子炉压力容器パウンダリに接続する配管のうち、口径が最大である再循環系配管（出口ノズル）における両端破断を設定 (添付資料 3.1.2.12) | Excessive LOCA を考慮した場合、原子炉冷却材の流出量が増加することにより炉心損傷開始等が早くなるが、操作手順（速やかに格納容器冷却手段を準備すること）に変わりはないことから、運転員等操作時間に与える影響はない。 (添付資料 3.1.2.12) | Excessive LOCA を考慮した場合、原子炉冷却材の流出量が増加することにより炉心損傷開始等が早くなるが、格納容器へ放出されるエネルギーは大破断 LOCA の場合と同程度であり、格納容器圧力は 0.62MPa [gage]、格納容器パウンダリにかかる温度は 200℃ を下回っていることから、評価項目となるパラメータに与える影響は小さい。 (添付資料 3.1.2.12) |
| | 安全機能の喪失に対する仮定 | 全交流動力電源喪失 高圧注水機能喪失及び 低圧注水機能喪失 | — | 非常用ディーゼル発電機等の機能喪失を想定し、設定 高圧注水機能として原子炉隔離時冷却系及び高圧炉心スプレイ系、低圧注水機能として残留熱除去系（低圧注水系）及び低圧炉心スプレイ系の機能喪失を設定 | — | — |
| | 外部電源 | 外部電源なし | — | 過圧及び過温への対策の有効性を総合的に判断する観点から、プラント損傷状態である LOCA に全交流動力電源喪失を重畳することから、外部電源が喪失するものとして設定 ただし、原子炉スクラムについては、外部電源有の場合を包括する条件として、機器条件に示すとおり設定 | 仮に、外部電源がある場合は、注水開始時間が早くなり、格納容器圧力・温度の挙動は低く推移することから、運転員等操作時間に対する余裕は大きくなる。 | 仮に、外部電源がある場合は、注水開始時間が早くなり、格納容器圧力・温度の挙動は低く推移することから、評価項目となるパラメータに対する余裕は大きくなる。 |
| | 水素の発生 | ジルコニウム-水反応を考慮 | ジルコニウム-水反応を考慮 | 水の放射線分解等による水素発生については、格納容器圧力及び雰囲気温度に対する影響が軽微であることから考慮していない | 解析条件と最確条件は同様であり、事象進展に与える影響はないことから、運転員等操作時間に与える影響はない。 | 解析条件と最確条件は同様であり、事象進展に与える影響はないことから、評価項目となるパラメータに与える影響はない。 |
| 機器条件 | 原子炉スクラム信号 | 原子炉水位低（レベル3）信号 | タービン蒸気加減弁急速閉信号又は原子炉保護系電源喪失 | 短時間であるが原子炉熱出力が維持される厳しい設定として、外部電源喪失時のタービン蒸気加減弁急閉及び原子炉保護系電源喪失による原子炉スクラムについては保守的に考慮せず、原子炉水位低（レベル3）にてスクラムするものとして設定 | 最確条件とした場合には、原子炉熱出力の低下が早くなり、原子炉冷却材の放出が少なくなるため、格納容器圧力及び雰囲気温度の上昇が遅くなるが、操作手順（代替格納容器スプレイ冷却系（常設）による格納容器冷却を実施すること）に変わりはないことから、運転員等操作時間に与える影響は小さい。 | 最確条件とした場合には、原子炉熱出力の低下が早くなり、原子炉冷却材の放出が少なくなるため、格納容器圧力及び雰囲気温度の上昇が遅くなることから、評価項目となるパラメータに対する余裕は大きくなる。 |
| | 主蒸気隔離弁 | 事象発生と同時に閉止 | 原子炉保護系電源喪失又は原子炉水位異常低下（レベル2）信号 | 短時間であるが主蒸気が格納容器内に維持される厳しい設定として、原子炉保護系電源喪失及び原子炉水位異常低下（レベル2）信号による主蒸気隔離弁閉止については保守的に考慮せず、事象発生と同時に主蒸気隔離弁閉止するものとして設定 | 最確条件とした場合には、逃がし安全弁を通じて格納容器内に放出される蒸気量が減少することから、格納容器圧力及び雰囲気温度の上昇が遅くなるが、操作手順（代替格納容器スプレイ冷却系（常設）による格納容器冷却を実施すること）に変わりはないことから、運転員等操作時間に与える影響は小さい。 | 最確条件とした場合には、逃がし安全弁を通じて格納容器内に放出される蒸気流量が減少するため、格納容器圧力及び雰囲気温度の上昇が遅くなることから、評価項目となるパラメータに対する余裕は大きくなる。 |
| | 再循環系ポンプ | 事象発生と同時に停止 | 電源喪失によるポンプ停止（事象発生と同時） | 事象進展に与える影響は軽微であることから、全交流動力電源喪失によるポンプ停止を踏まえて設定 | 解析条件と最確条件は同様であり、事象進展に与える影響はないことから、運転員等操作時間に与える影響はない。 | 解析条件と最確条件は同様であり、事象進展に与える影響はないことから、評価項目となるパラメータに与える影響はない。 |

第2表 解析条件を最確条件とした場合に運転員等操作時間及び評価項目となるパラメータに与える影響(4/4)

| 項目 | 解析条件（初期条件、事故条件及び機器条件）の不確かさ | | 条件設定の考え方 | 運転員等操作時間に与える影響 | 評価項目となるパラメータに与える影響 | |
|------|----------------------------|---|---|--|---|--|
| | 解析条件 | 最確条件 | | | | |
| 機器条件 | 低圧代替注水系（常設） | <p>事象初期の原子炉注水実施時：230m³/h（一定）</p> <p>原子炉水位L.O到達判断後：崩壊熱による蒸発を補う注水量（最大50m³/h）に制御</p> | <p>事象初期の原子炉注水実施時：230m³/h以上（一定）</p> <p>原子炉水位L.O到達判断後：崩壊熱による蒸発を補う注水量（最大50m³/h）に制御</p> | 炉心冷却の維持に必要な流量として設定 | 実際の注水量が解析より多い場合（注水特性（設計値）の保守性）、原子炉水位の回復が早くなる。溶融炉心の冠水後の操作として崩壊熱による蒸発を補う注水量に制御するが、注水後の流量調整操作であることから、運転員等操作時間に与える影響はない。 | 実際の注水流量が解析より多い場合（注水特性（設計値）の保守性）、原子炉水位の回復は早くなり、格納容器圧力及び雰囲気温度の上昇の抑制効果は大きくなるが、格納容器圧力及び雰囲気温度の上昇に有意な影響を与えないことから、評価項目となるパラメータに与える影響は小さい。 |
| | 代替格納容器スプレー冷却系（常設） | <p>事象初期の原子炉注水実施時： 130m³/h（一定）</p> | 130m ³ /h（一定） | 格納容器圧力及び雰囲気温度の上昇を抑制可能な流量として、運転手順に基づき設定 | 解析条件と最確条件は同様であり、事象進展に与える影響はないことから、運転員等操作時間に与える影響はない。 | 解析条件と最確条件は同様であり、事象進展に与える影響はないことから、評価項目となるパラメータに与える影響はない。 |
| | | <p>格納容器圧力制御： 130m³/h（一定）</p> | 102m ³ /h～130m ³ /h | サブプレッション・プール水位の上昇が早くなり、格納容器圧力逃がし装置による格納容器減圧及び除熱操作（サブプレッション・チェンバ側）までの操作時間余裕の観点で厳しい条件として、運転手順の流量調整範囲（102m ³ /h～130m ³ /h）における上限を設定 | 最確条件とした場合、サブプレッション・プール水位の上昇が緩和されることから、サブプレッション・プール水位を操作開始の起点とする格納容器圧力逃がし装置を用いた格納容器除熱操作の開始時間が遅くなり、運転員等操作時間に対する余裕は大きくなる。 | 西鶴条件とした場合でも、格納容器圧力を0.400MPa[gage]から0.465MPa[gage]の範囲内に維持することにより変わりはなく、評価項目となるパラメータに与える影響は小さい。 |
| | 格納容器下部注水系（常設） | 解析上考慮しない | 80m ³ /h（一定） | 格納容器雰囲気温度の挙動を厳しく評価するため、初期条件としてベDESTAL（ドライウエル部）のプール水を考慮していないことから、常設低圧代替注水系ポンプを用いた格納容器下部注水系（常設）によるベDESTAL（ドライウエル部）水位の確保操作についても考慮しない | ベDESTAL（ドライウエル部）には通常運転時からプール水が存在するため、格納容器の熱容量が増え、格納容器圧力及び雰囲気温度の上昇が緩和されるが、操作手順（代替格納容器スプレー冷却系による格納容器冷却を実施すること）により変わりはなく、運転員等操作時間に与える影響は小さい。 | ベDESTAL（ドライウエル部）には通常運転時からプール水が存在するため、格納容器の熱容量が増え、格納容器圧力及び雰囲気温度の上昇が緩和されることから、評価項目となるパラメータに対する余裕は大きくなる。 |
| | 格納容器圧力逃がし装置 | 格納容器圧力が0.31MPa[gage]における排出流量13.4kg/sに対して、第二弁を全開にて格納容器除熱 | 格納容器圧力が0.31MPa[gage]における排出流量13.4kg/sに対して、第二弁を全開にて格納容器除熱 | 格納容器圧力逃がし装置の設計値を考慮して、格納容器圧力及び雰囲気温度を低下させるのに必要な排出流量として設定 | 実際の流量が解析より多い場合、格納容器圧力及び雰囲気温度の上昇の抑制効果は大きくなるが、操作手順（格納容器圧力逃がし装置による格納容器除熱操作を実施すること）により変わりはなく、運転員等操作時間に与える影響はない。 | 実際の流量が解析より多い場合、格納容器圧力及び雰囲気温度の上昇の抑制効果は大きくなるが、格納容器圧力の最高値は代替格納容器スプレー冷却系（常設）による格納容器スプレー時の操作開始圧力であり、格納容器圧力逃がし装置による格納容器除熱操作時のピーク圧力は格納容器圧力の最大値を下回ることから、評価項目となるパラメータに与える影響はない。 |

第3表 運転員等操作時間に与える影響、評価項目となるパラメータに与える影響及び操作時間余裕（1/4）

| 項目 | 解析条件（操作条件） の不確かさ | | 操作の不確かさ要因 | 運転員等操作時間 に与える影響 | 評価項目となる パラメータに 与える影響 | 操作時間余裕 | 訓練実績等 | |
|------|---|--------------|--|--|--|--|--|--|
| | 解析条件 | 条件設定の 考え方 | | | | | | |
| 操作条件 | 常設代替高压電源装置による緊急用母線の受電操作並びに代替格納容器スプレイ冷却系（常設）による格納容器スプレイ操作及び低圧代替注水系（常設）による原子炉注水操作 | 事象発生 25分後 | 中央制御室における常設代替高压電源装置、代替格納容器スプレイ冷却系（常設）及び低圧代替注水系（常設）の準備時間を考慮して設定 | <p>【認知】 中央制御室にて、外部電源受電及び非常用ディーゼル発電機等の電源回復ができない場合、早期の電源回復不能と判断し、これにより、常設代替高压電源装置による緊急用母線の受電操作及び低圧代替注水系（常設）等の起動操作を開始する手順としている。この認知に係る時間として10分間を想定しているため、認知遅れにより操作時間に与える影響はなし。</p> <p>【要員配置】 中央制御室での操作のみであり、当直運転員は中央制御室に常駐していることから、操作開始時間に与える影響はなし。</p> <p>【移動】 中央制御室での操作のみであり、当直運転員は中央制御室に常駐していることから、操作開始時間に与える影響はなし。</p> <p>【操作所要時間】 非常用ディーゼル発電機等の手動復旧操作（失敗）、常設代替高压電源装置の起動操作、緊急用母線の受電操作、低圧代替注水系（常設）等起動操作を行う当直運転員の操作内容及び操作所要時間は以下のとおり。これらの作業は一連の操作として行うため、操作所要時間は最長で15分間となる</p> <ul style="list-style-type: none"> ●非常用ディーゼル発電機等の手動起動操作（失敗）に係る時間として2分を想定 ●常設代替高压電源装置の起動操作及び緊急用母線の受電操作として4分を想定 ●低圧代替注水系（常設）等の起動操作として9分を想定 <p>【他の並列操作有無】 当該操作に対応する当直運転員に他の並列操作はなく、操作開始時間に与える影響はなし。</p> <p>【操作の確実さ】 中央制御室の制御盤の操作スイッチによる簡易な操作のため、誤操作は起こりにくく、そのため誤操作等により操作時間が長くなる可能性は低い。</p> | <p>状況判断から原子炉注水操作までは一連の操作として実施し、同一の運転員による並列操作はなく、操作所要時間を踏まえて解析上の想定時間を設定していることから、運転員等操作時間に与える影響はない。</p> <p>また、原子炉注水によって原子炉水位が原子炉水位LOまで回復した場合、低圧代替注水系（常設）による原子炉注水流量を崩壊熱による蒸発を補う流量に変更するとともに、代替格納容器スプレイ冷却系（常設）による格納容器スプレイを停止する。運転員等操作時間に与える影響として、実態の操作開始時間は、解析上の想定とほぼ同等であり、操作開始時間に与える影響は小さいことから、運転員等操作時間に与える影響も小さい。当該操作は、中央制御室で行う操作であり、他の操作との重複もないことから、他の操作に与える影響はない。</p> | <p>解析条件は操作所要時間に時間余裕を含めて設定されており、原子炉水位の回復は早くなる可能性があるが、ジルコニウム-水反応により発熱量が増加する等の影響があるため、格納容器圧力及び雰囲気温度の上昇に大きな差異はない。</p> <p>また、代替格納容器スプレイ操作と原子炉注水操作は、流量分配により同時に実施する操作であり、事象進展はほぼ変わらないことから、評価項目となるパラメータに与える影響は小さい。</p> | <p>事象発生から50分後（操作開始時間の25分の遅れ）までに常設代替高压電源装置からの受電操作を行い代替格納容器スプレイ冷却系（常設）による原子炉注水を開始できれば、損傷炉心は炉心位置に保持され、評価項目を満足する結果となることから、時間余裕がある。</p> <p>なお、格納容器ベント時におけるCs放出量は炉心損傷の程度の影響を受けるが、格納容器ベント開始時間はほぼ同等であることから、放出量に与える影響は小さい。（添付資料3.1.3.9）</p> | <p>中央制御室における操作のため、シミュレータ（模擬操作含む。）にて訓練実績を取得。</p> <p>解析上においては、低圧代替注水系（常設）等起動操作まで25分としているところ、訓練実績では約25分。想定で意図している運転操作が実施可能なことを確認した。</p> |

第3表 運転員等操作時間に与える影響、評価項目となるパラメータに与える影響及び操作時間余裕 (2/4)

| 項目 | | 解析条件（操作条件）の不確かさ | | 操作の不確かさ要因 | 運転員等操作時間に与える影響 | 評価項目となるパラメータに与える影響 | 操作時間余裕 | 訓練実績等 |
|------|--------------------------------|--|--------------------|---|---|---|---|--|
| | | 解析条件 | 条件設定の考え方 | | | | | |
| 操作条件 | 代替格納容器スプレイ冷却系(常設)による格納容器スプレイ操作 | 格納容器圧力が0.465MPa[gage]に到達した場合に開始 格納容器圧力が0.400MPa[gage]に到達した時点で停止 | 格納容器圧力の抑制効果を踏まえて設定 | <p>【認知】 事故時には重要監視パラメータである格納容器圧力を継続監視しており、また、格納容器圧力が0.465MPa[gage]に到達する時間は事象発生から約3.9時間後であり、それまでに格納容器圧力の上昇を十分に認知できる時間があるため、認知遅れにより操作時間に与える影響はなし。</p> <p>【要員配置】 中央制御室での操作のみであり、当直運転員は中央制御室に常駐していることから、操作開始時間に与える影響はなし。</p> <p>【移動】 中央制御室での操作のみであり、当直運転員は中央制御室に常駐していることから、操作開始時間に与える影響はなし。</p> <p>【操作所要時間】 注水流量調整の操作は、流量調整弁の操作であり、操作装置による操作のため簡易であり、格納容器の緩やかな圧力上昇に対して操作開始時間は十分に短い。</p> <p>【他の並列操作有無】 当該操作に対応する当直運転員に他の並列操作はなく、操作開始時間に与える影響はなし。</p> <p>【操作の確かさ】 中央制御室の制御盤のスイッチによる簡易な操作のため、誤操作は起こりにくく、そのため誤操作等により操作時間が長くなる可能性は低い。</p> | 格納容器圧力の上昇は緩慢であり、継続監視していることから、操作開始の起点である格納容器圧力0.465MPa[gage]到達時点で速やかに操作を実施可能であり、操作開始時間に与える影響は小さいことから、運転員等操作時間に与える影響も小さい。 当該操作は、解析コード及び解析条件（操作条件を除く）の不確かさにより操作開始時間は遅くなる可能性があるが、中央制御室で行う操作であり、他の操作と重複もないことから、他の操作に与える影響はない。 | 格納容器圧力の上昇は緩慢であり、継続監視していることから、操作開始の起点である格納容器圧力0.465MPa[gage]到達時点で速やかに操作を実施可能であり、実態の操作開始時間は解析上の設定とほぼ同等であることから、評価項目となるパラメータに与える影響は小さい。 | 操作開始までの時間は、事象発生から約3.9時間あり、準備時間が確保できるため、時間余裕がある。 なお、操作が大幅に遅れるような場合でも、格納容器圧力が限界圧力0.62MPa[gage]に到達するまでの時間は事象発生後約14時間後であり、時間余裕がある。 (添付資料 3.1.3.9) | 中央制御室における操作のため、シミュレータ(模擬操作含む。)にて訓練実績を取得。 訓練では、格納容器圧力465kPa[gage]到達時に、常設低圧代替注水系ポンプを用いた代替格納容器スプレイ冷却系(常設)を実施、スプレイ操作は約4分。 想定している範囲内で意図している運転操作が実施可能であることを確認した。 |

第3表 運転員等操作時間に与える影響、評価項目となるパラメータに与える影響及び操作時間余裕 (3/4)

| 項目 | | 解析条件（操作条件）の不確かさ | | 操作の不確かさ要因 | 運転員等操作時間に与える影響 | 評価項目となるパラメータに与える影響 | 操作時間余裕 | 訓練実績等 |
|------|----------------------|---------------------------------|----------------------|--|--|--|---|---|
| | | 解析条件 | 条件設定の考え方 | | | | | |
| 操作条件 | 格納容器圧力逃がし装置による格納容器除熱 | サブプレッション・プール水位が通常水位+6.5m到達から5分後 | 格納容器の限界圧力到達防止を踏まえて設定 | <p>【認知】</p> <p>事故時には重要監視パラメータであるサブプレッション・プール水位を継続監視しており、また、格納容器ベントの操作実施基準に到達するのは、事象発生の約19時間後であり、それまでにサブプレッション・プール水位の上昇を十分に認知できる時間があるため、認知遅れにより操作時間に与える影響はなし。</p> <p>【要員配置】</p> <p>中央制御室での操作のみであり、当直運転員は中央制御室に常駐していることから、操作開始時間に与える影響はなし。</p> <p>なお、中央制御室における操作が失敗した場合を想定して現場操作を行うための要員を配置する。他の現場操作を行う重大事故等対応要員とは独立して、格納容器ベントを行う重大事故等対応要員を配置していることから、操作開始時間に与える影響はなし。</p> <p>【移動】</p> <p>中央制御室での操作のみであり、当直運転員は中央制御室に常駐していることから、操作開始時間に与える影響はなし。</p> <p>なお、中央制御室における操作が失敗した場合を想定して現場操作を行うための要員を配置する。重大事故等対応要員は、サブプレッション・プール水位が通常水位から5.5m高い位置に到達する事象発生から約16時間後に災害対策本部から操作現場へ移動する。移動に係る所要時間は約1時間以内であり、格納容器ベント開始時間の事象発生から約19時間後までに余裕時間があることから、操作開始時間に与える影響はなし。</p> <p>【操作所要時間】</p> <p>制御盤のスイッチによる操作のため簡易であり、サブプレッション・プール水位の緩やかな上昇に対して操作開始時間は十分に短い。</p> <p>なお、中央制御室における操作が失敗した場合を想定して現場操作を行うための要員を配置する。重大事故等対応要員の現場操作は、フレキシブルシャフトを用いた1弁の手動操作であり、30分を想定している。本操作は、中央制御室による格納容器ベントが実施不可と判断した場合に開始し、格納容器圧力が0.62MPa[gage]に到達する予定時刻の40分以上前から実施する。よって、操作開始時間与える影響はなし。</p> <p>【他の並列操作有無】</p> <p>当該操作に対応する当直運転員に他の並列操作はなく、操作開始時間に与える影響はなし。</p> <p>なお、中央制御室における操作が失敗した場合を想定して現場操作を行うための要員を配置する。他の現場操作を行う重大事故等対応要員とは独立して、格納容器ベントを行う重大事故等対応要員を配置していることから、操作開始時間に与える影響はなし。</p> <p>【操作の確実さ】</p> <p>中央制御室における操作は、制御盤のスイッチによる簡易な操作のため、誤操作は起こりにくく、そのため誤操作等により操作時間が長くなる可能性は低い。</p> <p>なお、中央制御室における操作が失敗した場合を想定して現場操作を行うための要員を配置する。現場操作は、作業の成立性や要員の安全のため3人1組で実施することとしており、誤操作は起こりにくく、誤操作等により操作時間が長くなる可能性は低い。</p> | サブプレッション・プール水位が通常水位+6.5mに到達するのは、事象発生の約19時間後である。また、格納容器ベントの準備操作はサブプレッション・プール水位の上昇傾向を監視しながらあらかじめ操作が可能であり、格納容器ベント操作の操作所要時間は時間余裕を含めて設定されていることから、実態の操作開始時間は解析上の設定とほぼ同等であり、サブプレッション・プール水位が通常水位+6.5m到達時に速やかに格納容器除熱操作をすることが可能であるため、操作開始時間に与える影響は小さいことから、運転員等操作時間に与える影響も小さい。当該操作は、解析コード及び解析条件（操作条件を除く）の不確かさにより操作開始時間は遅くなる可能性があるが、中央制御室で行う操作であり、他の操作との重複もないことから、他の操作に与える影響はない。 | 実態の操作開始時間は解析上の設定とほぼ同等であることから、評価項目となるパラメータに与える影響は小さい。 | 格納容器ベント開始までの時間は事象発生から約19時間後の操作であり、準備時間が確保できるため、時間余裕がある。 | 中央制御室での操作は、シミュレータ（模擬操作含む。）にて訓練を取得。中央制御室における格納容器ベントは、スイッチによる1弁の操作に約2分の操作時間を要した。また、格納容器ベント実施時に遠隔操作に失敗した場合は現場操作にて対応するが、現場モックアップ等による実績では、約25分で操作を実施できた。想定している範囲内で意図している運転操作が実施可能であることを確認した。 |

第3表 運転員等操作時間に与える影響，評価項目となるパラメータに与える影響及び操作時間余裕（4/4）

| 項目 | | 解析条件（操作条件）の不確かさ | | 操作の不確かさ要因 | 運転員等操作時間に与える影響 | 評価項目となるパラメータに与える影響 | 操作時間余裕 | 訓練実績等 |
|------|---|-------------------|---|--|----------------|--------------------|--------|---|
| | | 解析条件 | 条件設定の考え方 | | | | | |
| 操作条件 | 西側淡水貯水設備を水源とした可搬型代替注水中型ポンプによる代替淡水貯槽への補給操作 | 事象発生から45.6時間後 | 代替淡水貯槽への水源補給操作は、解析条件ではないが、解析で想定している操作の成立や継続に必要な作業代替淡水貯槽の枯渇が発生しないよう設定 | 代替淡水貯槽は、水源補給を実施しない場合においても約92時間枯渇しないため、代替淡水貯槽への水源補給までの時間は、十分な時間余裕がある。 | - | - | - | 代替淡水貯槽への補給は、想定所要時間180分のところ、訓練実績等により約164分の実施可能なことを確認した。 |
| | タンクローリによる燃料給油操作 | 事象発生から47.1時間以降、適宜 | 可搬型代替注水中型ポンプへの燃料給油操作は、解析条件ではないが、解析で想定している操作の成立や継続に必要な操作・作業各機器の使用開始時間を踏まえて設定 | 代替淡水貯槽は、水源補給を実施しない場合においても約92時間枯渇しないため、可搬型代替注水中型ポンプへの燃料給油までの時間は、十分な時間余裕がある。 | - | - | - | 可搬型設備用軽油タンクからタンクローリへの給油は、想定所要時間90分のところ、訓練実績等により約80分の実施可能なことを確認した。 |

注水操作が遅れる場合の影響について

1. はじめに

評価事故シーケンス「大破断 L O C A + 高圧炉心冷却失敗 + 低圧炉心冷却失敗」（全交流動力電源喪失の重畳を考慮）では、大破断 L O C A 時に非常用炉心冷却系等の機能及び全交流動力電源が喪失するため、原子炉水位は急速に低下する。水位低下により炉心は露出し、事象発生約 9 分後に燃料被覆管の最高温度は 1, 200℃に到達する。有効性評価では、事象発生から 25 分経過した時点で、常設代替高圧電源装置からの給電により代替格納容器スプレイ冷却系（常設）による格納容器冷却及び低圧代替注水系（常設）による原子炉注水を開始することで、原子炉圧力容器破損に至ることなく、水位は回復し、炉心は冠水する評価結果となっている。

本事象進展について、運転員による格納容器冷却操作及び原子炉注水操作が有効性評価よりも遅れた場合の評価項目への影響について評価した。

2. 評価項目への影響

操作遅れを想定し、注水開始時間をベースケースにおける設定よりも 25 分遅延（事象発生 50 分後に原子炉注水開始）した場合について、原子炉圧力容器の健全性及び格納容器破損防止対策の有効性に係る感度解析を行った。

(1) 原子炉圧力容器の健全性への影響

原子炉圧力容器の健全性の観点から、炉心内でのデブリの移行（リロケーション）^{*}の発生有無を評価した。第 1 表に感度解析の評価結果を示す。

また、操作 25 分遅れケースの炉心損傷状態を第 1 図に示す。

操作 25 分遅れの場合においても、損傷した燃料は炉心位置に保持され、リロケーションは発生しないことから、原子炉圧力容器の健全性は確保される。

※ ここでのリロケーションとは、炉心損傷後、熔融炉心が炉心下部プレナムへ移行した状態を指す。

(2) 格納容器破損防止対策の有効性への影響

格納容器破損防止対策の有効性の観点から、格納容器冷却開始時間及び評価項目となる格納容器圧力・温度の到達時間を評価した。第 2 表に感度解析の評価結果を示す。また、操作 25 分遅れケースにおいても、格納容器冷却開始後は格納容器圧力及び雰囲気温度は制御され、評価項目となる格納容器限界圧力・限界温度に到達することはない。また、サプレッション・プール水位が通常水位+6.5m に到達する時間は約 21 時間後であり、格納容器圧力及び雰囲気温度の上昇傾向への影響はほとんどない。

3. まとめ

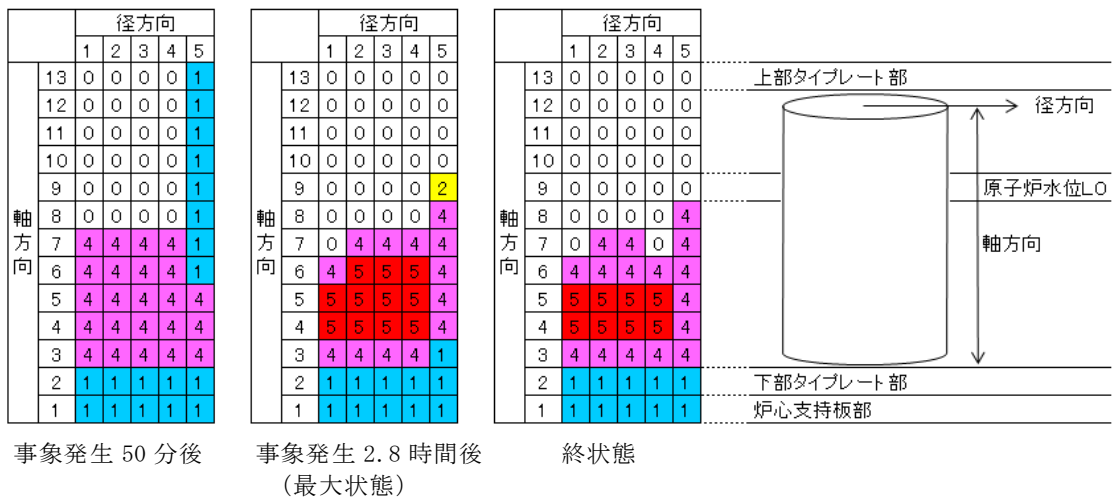
操作 25 分遅れケースにおいても、ベースケースと同様に原子炉圧力容器の健全性及び格納容器破損防止対策の有効性は維持される。したがって、原子炉注水操作は、ベースケースに対して 25 分の遅れの余裕があることを確認した。

第1表 原子炉压力容器の健全性に関する感度解析結果

| ケース | 損傷炉心の位置 |
|------------------------------|--------------------------|
| ベースケース (事象発生 25 分後に注水) | 炉心位置に保持 (リロケーション発生せず) |
| 操作 25 分遅れ (事象発生 50 分後に注水) | 炉心位置に保持 (リロケーション発生せず) |

第2表 格納容器破損防止対策の有効性に関する感度解析結果

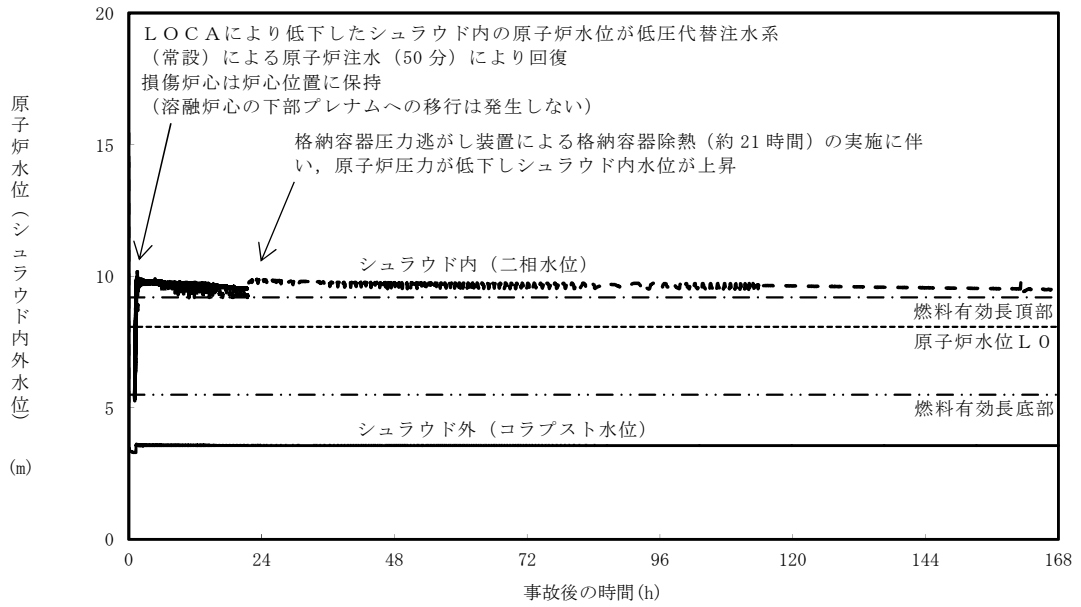
| ケース | 代替格納容器 スプレイ開始時間 | 通常水位 + 6.5m 到達時間 (ベント開始時間) |
|-----------|--------------------|-------------------------------|
| ベースケース | 約 3.9 時間 | 約 19 時間 |
| 操作 25 分遅れ | 約 5.1 時間 | 約 21 時間 |



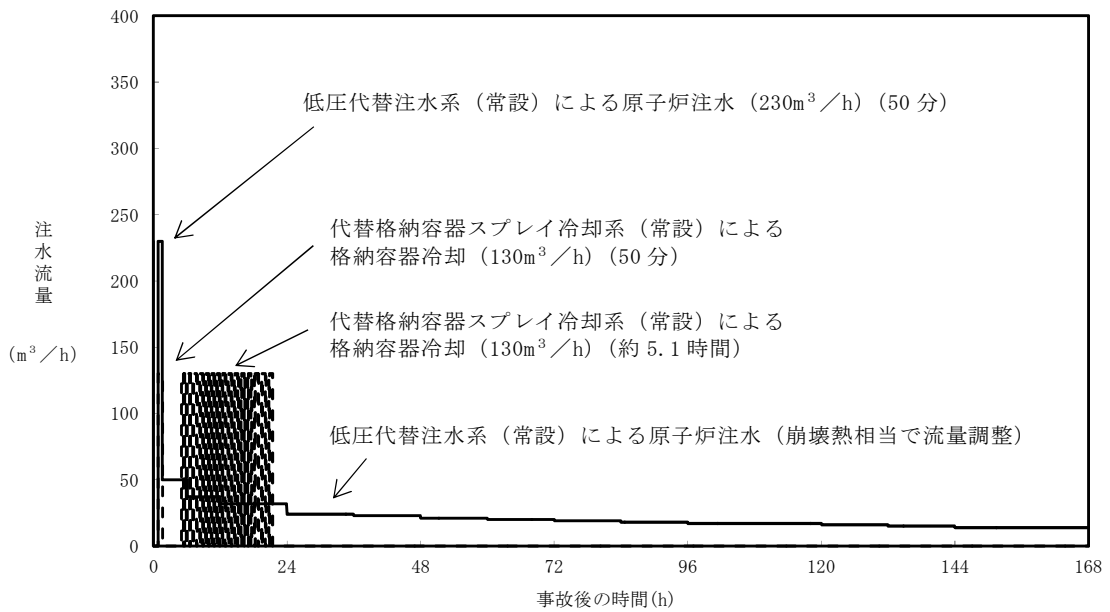
損傷状態のモデル

- 0 : 空洞
- 1 : 燃料が自立した状態
- 2 : 燃料が崩壊した状態
- 3 : 流路が減少した状態
- 4 : 流路が閉塞した状態
- 5 : 熔融プール状態

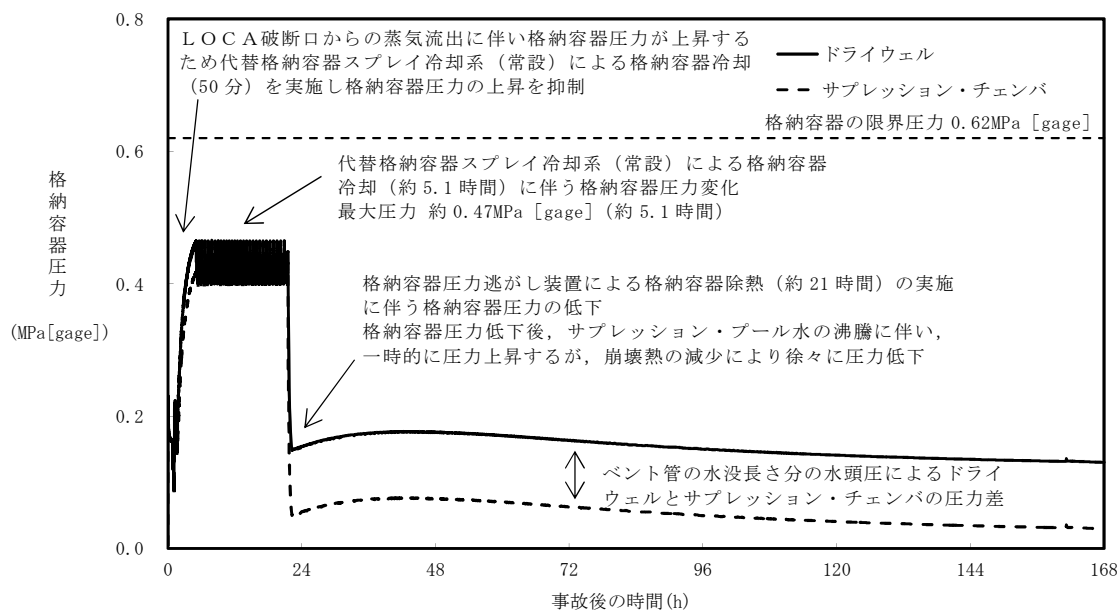
第1図 炉心の損傷状態



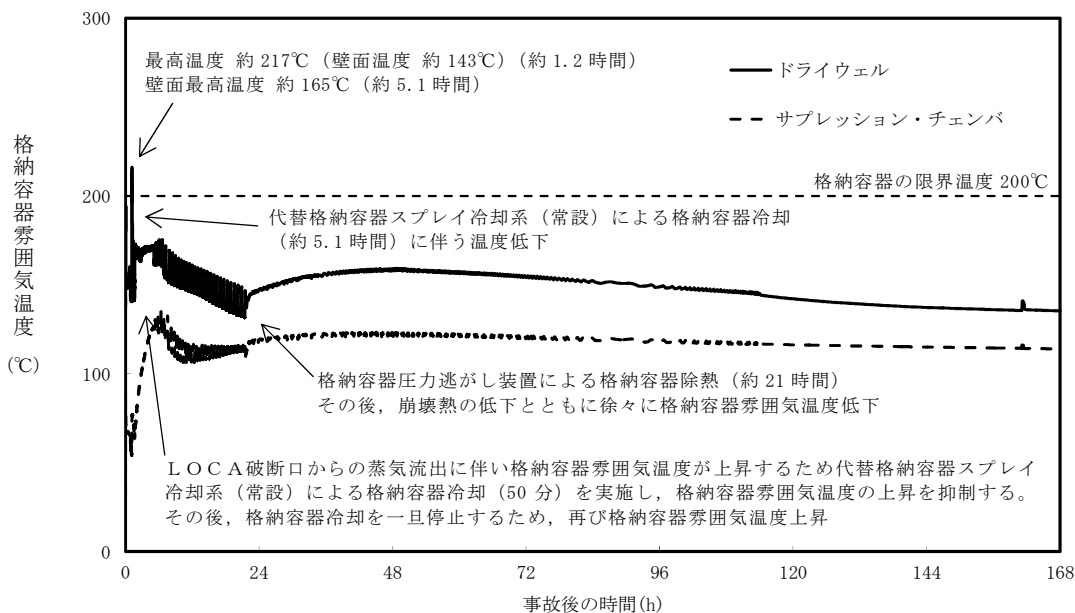
第 2 図 操作 25 分遅れにおける原子炉水位の推移



第 3 図 操作 25 分遅れにおける注水流量の推移



第 4 図 操作 25 分遅れにおける格納容器圧力の推移



第 5 図 操作 25 分遅れにおける格納容器雰囲気温度の推移

7 日間における水源の対応について

(雰囲気圧力・温度による静的負荷 (格納容器過圧・過温破損)

(代替循環冷却系を使用できない場合))

1. 水源に関する評価

① 淡水源 (有効水量)

・ 代替淡水貯槽 : 約 4,300m³

・ 西側淡水貯水設備 : 約 4,300m³

2. 水使用パターン

① 常設低圧代替注水系ポンプを用いた低圧代替注水系 (常設) による原子炉注水

事象発生 25 分後, 定格流量で代替淡水貯槽を水源とした常設低圧代替注水系ポンプを用いた低圧代替注水系 (常設) による原子炉注水を実施する。

炉心水位回復後は, 崩壊熱除去に相当する流量で注水する。

② 常設低圧代替注水系ポンプを用いた代替格納容器スプレイ冷却系 (常設) による格納容器冷却

事象発生 25 分後から炉心水位回復まで, 代替淡水貯槽を水源とした常設低圧代替注水系ポンプを用いた代替格納容器スプレイ冷却系 (常設) による格納容器冷却を実施する。

格納容器圧力が 0.465MPa[gage]に到達する事象発生約 3.9 時間後, 代替淡水貯槽を水源とした常設低圧代替注水系ポンプを用いた代替格納容器スプレイ冷却系 (常設) による格納容器冷却を実施する。その後, 格納容器圧力 0.465MPa[gage]到達で冷却開始,

0.400MPa[gage]で停止の操作を継続する。

サプレッション・プール水位が通常水位+6.5mに到達後、常設低圧代替注水系ポンプを用いた代替格納容器スプレイ冷却系（常設）による格納容器冷却を停止する。

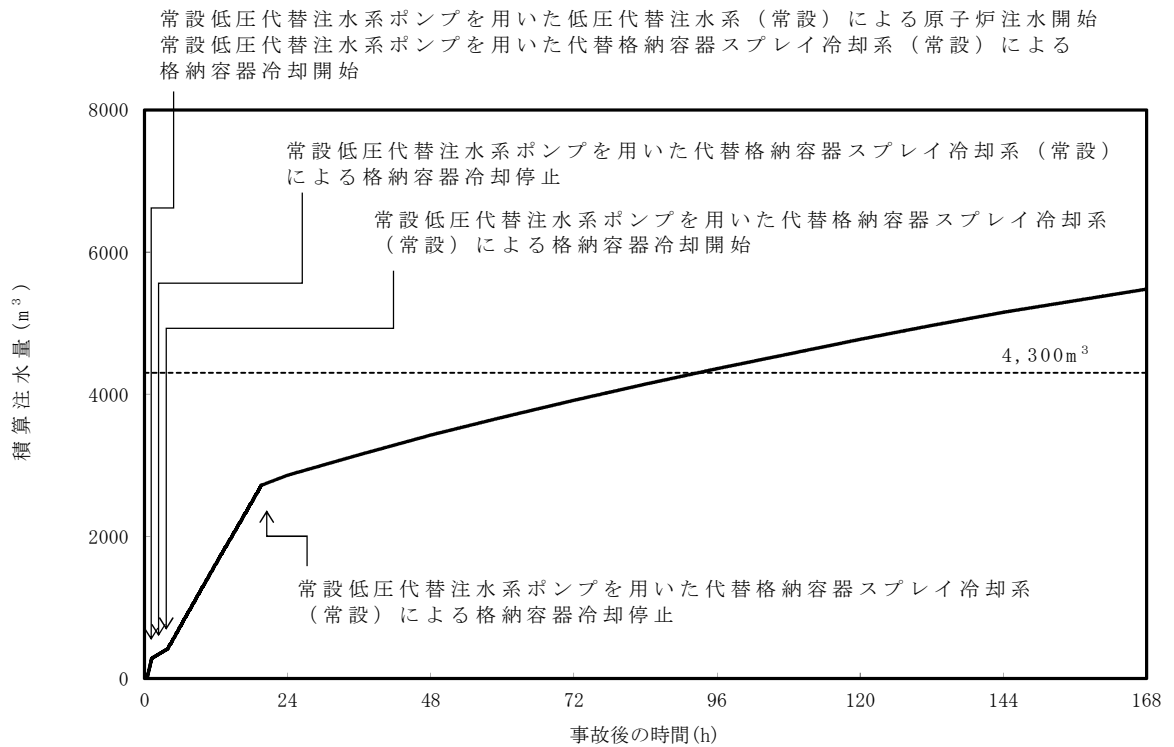
③ 西側淡水貯水設備から代替淡水貯槽への補給

事象発生約42.6時間（代替淡水貯槽の残量1,000m³到達時点）以降から可搬型代替注水中型ポンプによる水源補給準備を開始し、準備完了後に西側淡水貯水設備の水を代替淡水貯槽へ補給する。

3. 時間評価

原子炉注水等によって、代替淡水貯槽の水量は減少する。

可搬型代替注水中型ポンプによる水源補給の準備が完了する事象発生45.6時間時点で代替淡水貯槽は枯渇していない。その後、西側淡水貯水設備から代替淡水貯槽への補給を実施するため、代替淡水貯槽は枯渇することがない。



第 1 図 外部水源による積算注水量

（雰囲気圧力・温度による静的負荷（格納容器過圧・過温破損）

（代替循環冷却系を使用できない場合）

4. 水源評価結果

時間評価の結果から、代替淡水貯槽が枯渇することはない。また、7 日間の対応を考慮すると、合計約 5,490m³の水が必要となる。代替淡水貯槽及び西側淡水貯水設備に合計約 8,600m³の水を保有することから必要水量を確保している。このため、安定して冷却を継続することが可能である。

7 日間における燃料の対応について

(雰囲気圧力・温度による静的負荷 (格納容器過圧・過温破損))

(代替循環冷却系を使用できない場合))

保守的に全ての設備が、事象発生直後から 7 日間燃料を消費するものとして評価する。

| 時系列 | 合計 | 判定 |
|---|-----------------------------|--|
| 常設代替高圧電源装置 5 台起動 (燃料消費率は保守的に定格出力運転時を想定) $420.0\text{L/h (燃料消費率)} \times 168\text{h (運転時間)} \times 5 \text{ 台 (運転台数)}$ =約 352.8kL | 7 日間の 軽油消費量 約 352.8kL | 軽油貯蔵タンクの容量は約 800kL であり、7 日間対応可能 |
| 可搬型代替注水中型ポンプ 1 台起動 (西側淡水貯水設備から代替淡水貯槽への補給) $35.7\text{L/h (燃料消費率)} \times 168\text{h (運転時間)} \times 1 \text{ 台 (運転台数)}$ =約 6.0kL | 7 日間の 軽油消費量 約 6.0kL | 可搬型設備用軽油タンクの容量は約 210kL であり、7 日間対応可能 |
| 緊急時対策所用発電機 1 台起動 (燃料消費率は保守的に定格出力運転時を想定) $411\text{L/h (燃料消費率)} \times 168\text{h (運転時間)} \times 1 \text{ 台 (運転台数)}$ =約 70.0kL | 7 日間の 軽油消費量 約 70.0kL | 緊急時対策所用発電機燃料油貯蔵タンクの容量は約 75kL であり、7 日間の対応可能 |

常設代替交流電源設備の負荷

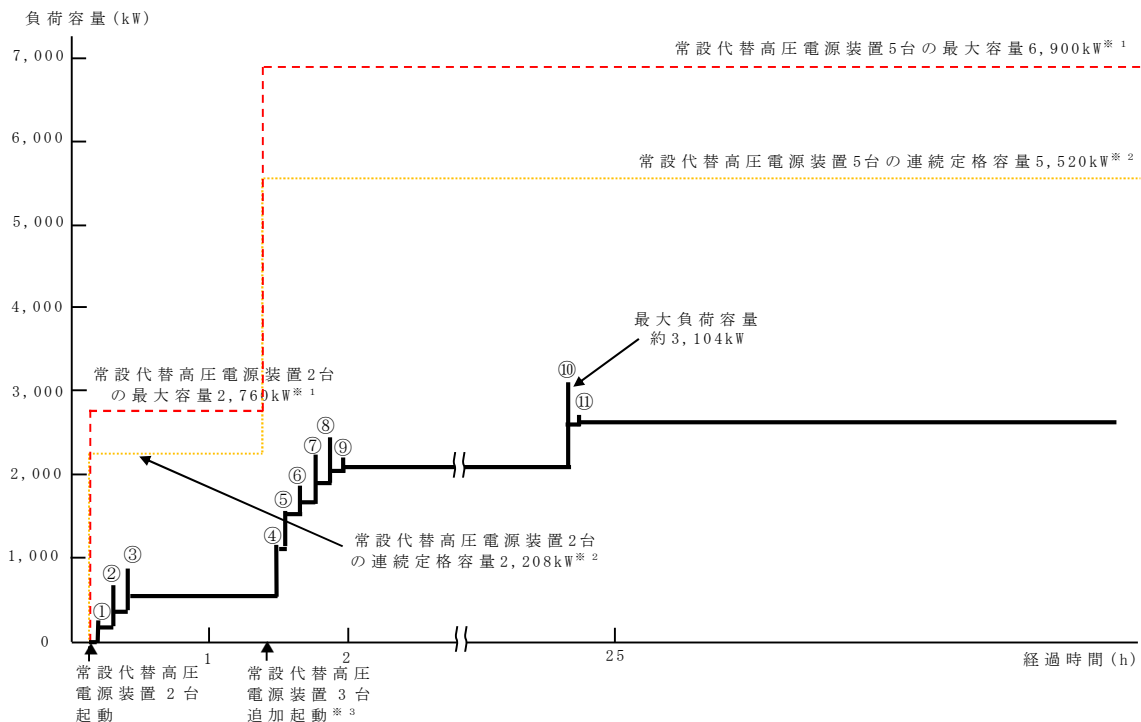
(雰囲気圧力・温度による静的負荷 (格納容器過圧・過温破損))

(代替循環冷却系を使用できない場合))

主要負荷リスト

【電源設備：常設代替高压電源装置】

| 起動順序 | 主要機器名称 | 負荷容量 (kW) | 負荷起動時の最大負荷容量 (kW) | 定常時の連続最大負荷容量 (kW) |
|------|--|------------------------------------|-------------------|-------------------|
| ① | 緊急用母線自動起動負荷 ・緊急用直流125V充電器 ・その他必要な負荷 | 約120 約97 | 約245 | 約217 |
| ② | 常設低圧代替注水系ポンプ | 約190 | 約702 | 約407 |
| ③ | 常設低圧代替注水系ポンプ | 約190 | 約892 | 約597 |
| ④ | 非常用母線2C自動起動負荷 ・直流125V充電器A ・非常用照明*4 ・120/240V計装用主母線盤2A ・その他必要な負荷 ・その他不要な負荷*4 | 約79 約108 約134 約14 約234 | 約1,179 | 約1,166 |
| ⑤ | 非常用母線2D自動起動負荷 ・直流125V充電器B ・非常用照明*4 ・120/240V計装用主母線盤2B ・その他不要な負荷*4 | 約60 約86 約134 約135 | 約1,586 | 約1,581 |
| ⑥ | 非常用ガス再循環系排風機 非常用ガス処理系排風機 その他必要な負荷 停止負荷 | 約55 約8 約95 約-52 | 約1,875 | 約1,687 |
| ⑦ | 中央制御室換気系空調機ファン 中央制御室換気系フィルタ系ファン その他必要な負荷 | 約45 約8 約183 | 約2,264 | 約1,923 |
| ⑧ | 蓄電池室排気ファン その他必要な負荷 | 約8 約154 | 約2,477 | 約2,085 |
| ⑨ | ほう酸水注入ポンプ | 約37 | 約2,212 | 約2,122 |
| ⑩ | 緊急用海水ポンプ その他必要な負荷 | 約510 約4 | 約3,104 | 約2,636 |
| ⑪ | 代替燃料プール冷却系ポンプ | 約30 | 約2,745 | 約2,666 |



常設代替高压電源装置の負荷積算イメージ

- ※1 常設代替高压電源装置定格出力運転時の容量 (1,380kW×運転台数=最大容量)
- ※2 常設代替高压電源装置定格出力運転時の80%の容量 (1,380kW×0.8×運転台数=連続定格容量)
- ※3 非常用母線の負荷への給電に伴い、負荷容量が増加するため、常設代替高压電源装置を3台追加起動する
- ※4 有効性評価で期待していないが電源供給される不要な負荷

非凝縮性ガスの影響について

1. はじめに

格納容器過圧・過温破損を防止するための対策の確認においては、MAAPコードを使用して「大破断LOCA+高圧炉心冷却失敗+低圧炉心冷却失敗」（全交流動力電源喪失の重畳を考慮）を評価事故シーケンスとして選定している。MAAPコードの水素発生量に関する妥当性については、TMI及びPHEBUS試験により確認しており、当該解析にMAAPコードを用いることは妥当である^[1]。

一方、MELCORコードでは流路閉鎖が発生しにくいモデルとなっており、その場合には炉心内を通過する冷却材流量が増えるため、ジルコニウム-水反応による水素が発生しやすい傾向となる。

MELCORコードとMAAPコードにおける流路閉塞モデルの差異の影響を確認するため、以下のとおり感度解析を実施した。

2. 解析条件

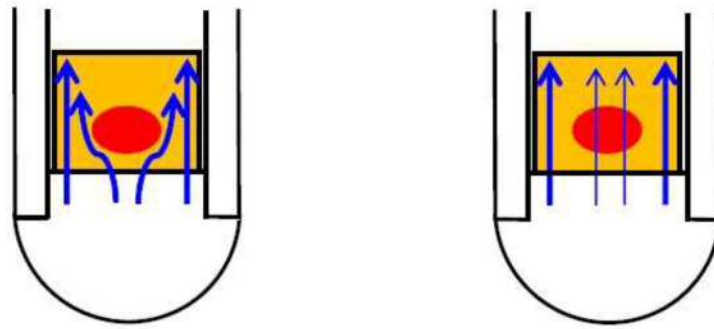
MAAPコードとMELCORコードにおける流路閉塞モデルの差異を第1図に示す。炉心内で熔融炉心の移行（リロケーション）が発生し、それが冷却材流路に堆積して閉塞を起こした場合、MAAP解析では流路閉塞を起こしたノードの空隙率（ポロシティ）が0.1以下になるとそのノードは完全に閉塞したものとみなされ、それ以降は流体が閉塞部分を通過することができなくなる。一方、MELCORの場合、流路閉塞を起こしたノードの空隙率の最小値は0.05に設定されており、完全閉塞は発生しない。したがって、流路閉塞した場合、炉心で発生する非凝縮性ガスはMAAPの方が少なくなる傾向にある。

水素発生量に対する感度を確認するため、MAAPにおいて流路の完全閉塞が発生しない条件として、流体が閉鎖部分を通り過ぎなくなるノードの空隙率（ポロシティ）を0.0以下と設定し感度解析を行う。なお、ポロシティの設定以外の条件についてはベースケースと同様とした。

3. 解析結果

第2図から第6図に解析結果を示す。第2図より、ベースケースでの水素発生量が約324kgに対して感度解析では約288kgとなり、水素発生量は約11%減少している。これは、感度解析ではより炉心部への蒸気流入量は多くなる一方で、熔融炉心の冷却効果により、ジルコニウム-水反応が抑えられたためと考えられる。なお、第3図に示すとおり格納容器圧力の制御は可能であり、保守的な条件として非凝縮性ガスが変化するような場合においても、当該操作に大きな影響はない。

[1]重大事故等対策の有効性評価に係るシビアアクシデント解析コードについて（第5部 MAAP）



MAAP

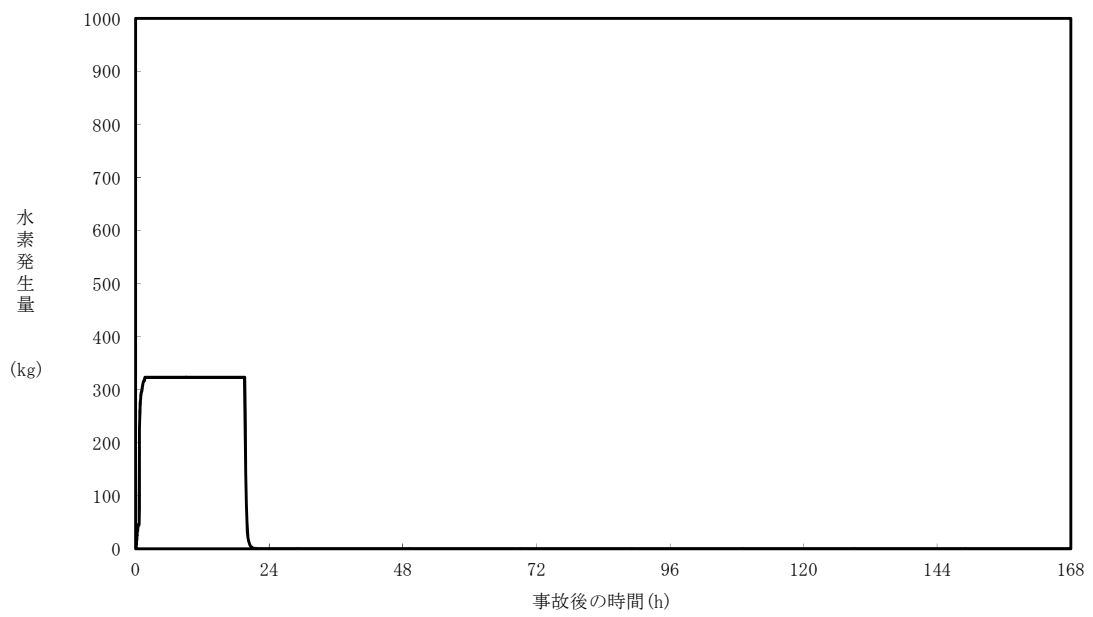
MELCOR

ポロシティ ≤ 0.1 で
完全閉塞

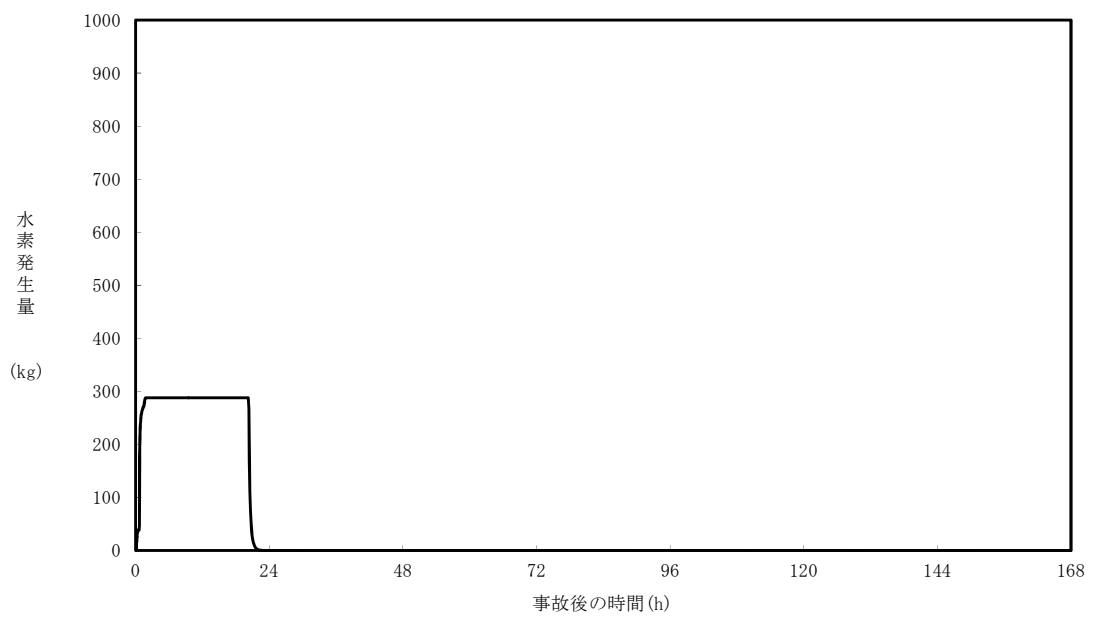
ポロシティの最小値は
0.05(完全閉塞せず)

第 1 図 炉心内流路閉鎖モデルの概念図

(「MAAP5.01 及び MELCOR2.1 を用いた軽水炉プラントの苛酷事故解析」, 電力中央研究所, 平成 26 年 6 月 抜粋)

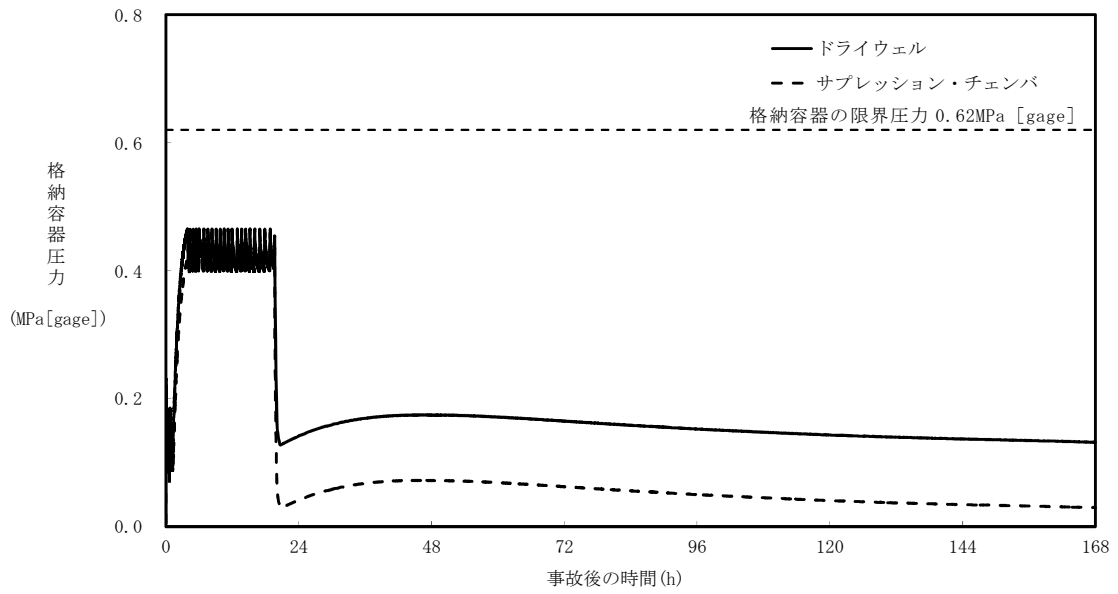


大破断LOCA解析（ベースケース：空隙率 0.1 以下で完全閉塞）

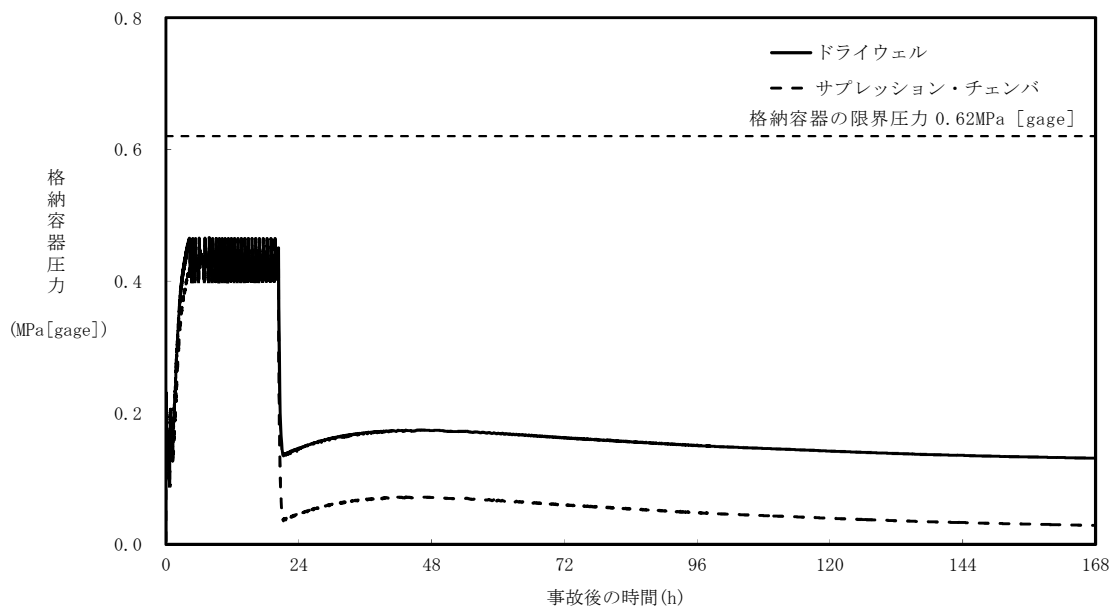


大破断LOCA解析（感度解析：空隙率 0.0 で完全閉塞）

第2図 水素発生量の比較

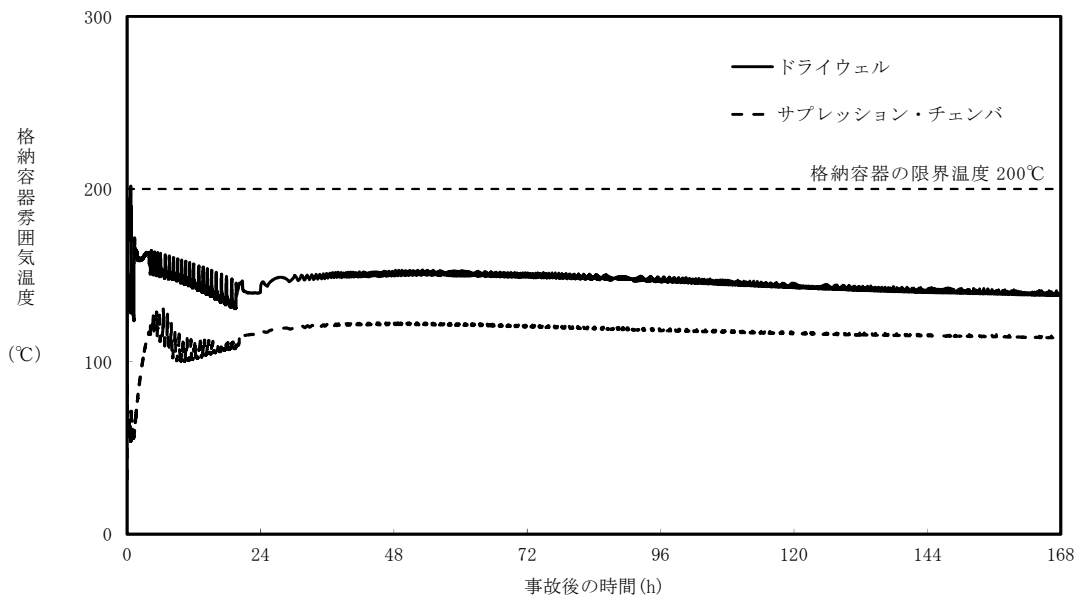


大破断LOCA解析（ベースケース：空隙率 0.1 以下で完全閉塞）

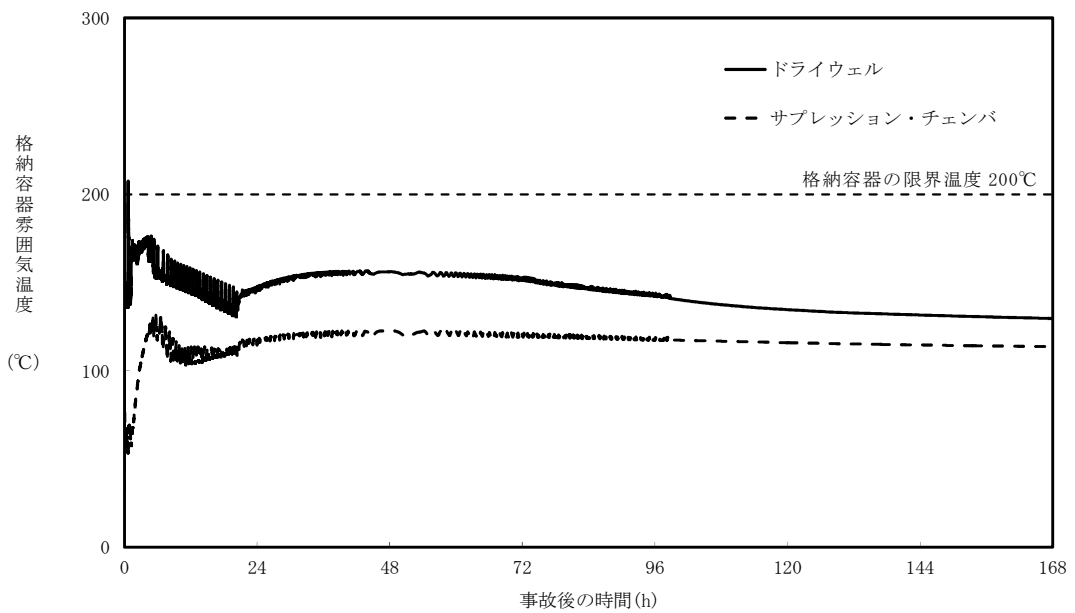


大破断LOCA解析（感度解析：空隙率 0.0 で完全閉塞）

第 3 図 格納容器圧力の比較

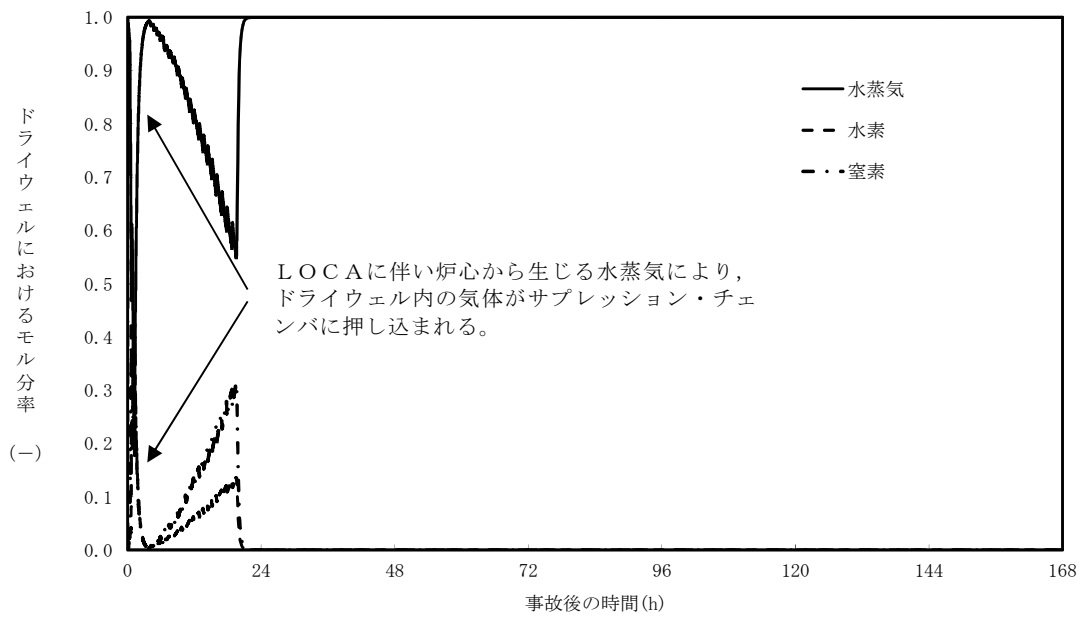


大破断LOCA解析（ベースケース：空隙率 0.1 以下で完全閉塞）

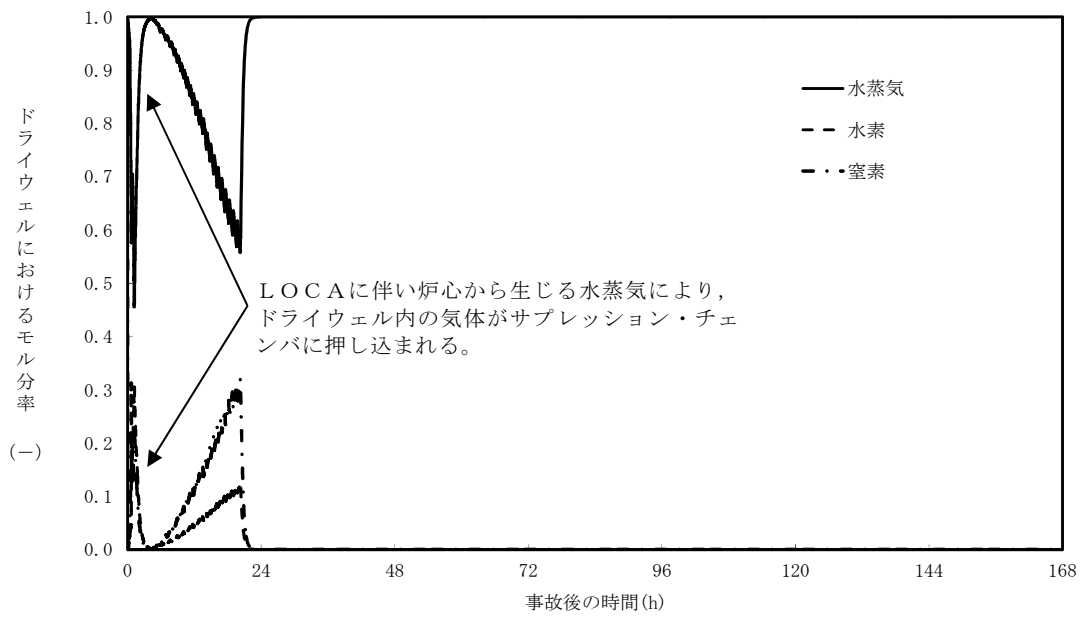


大破断LOCA解析（感度解析：空隙率 0.0 で完全閉塞）

第4図 格納容器雰囲気温度の比較

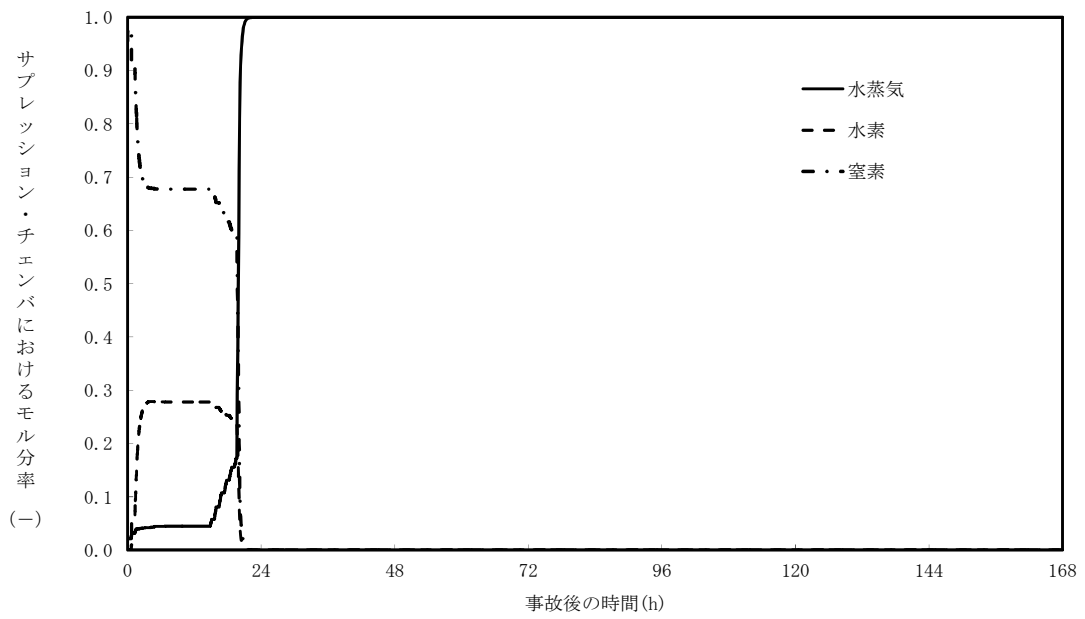


大破断LOCA解析（ベースケース：空隙率 0.1 以下で完全閉塞）

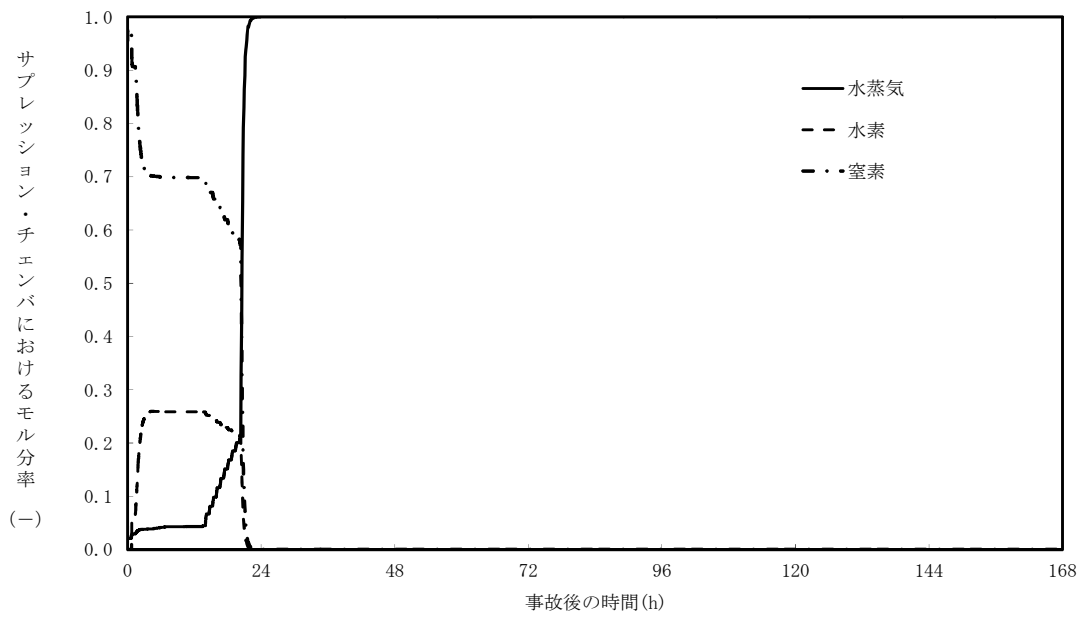


大破断LOCA解析（感度解析：空隙率 0.0 以下で完全閉塞）

第5図 ドライウエル気相濃度の比較



大破断LOCA解析 (ベースケース：空隙率 0.1 以下で完全閉塞)

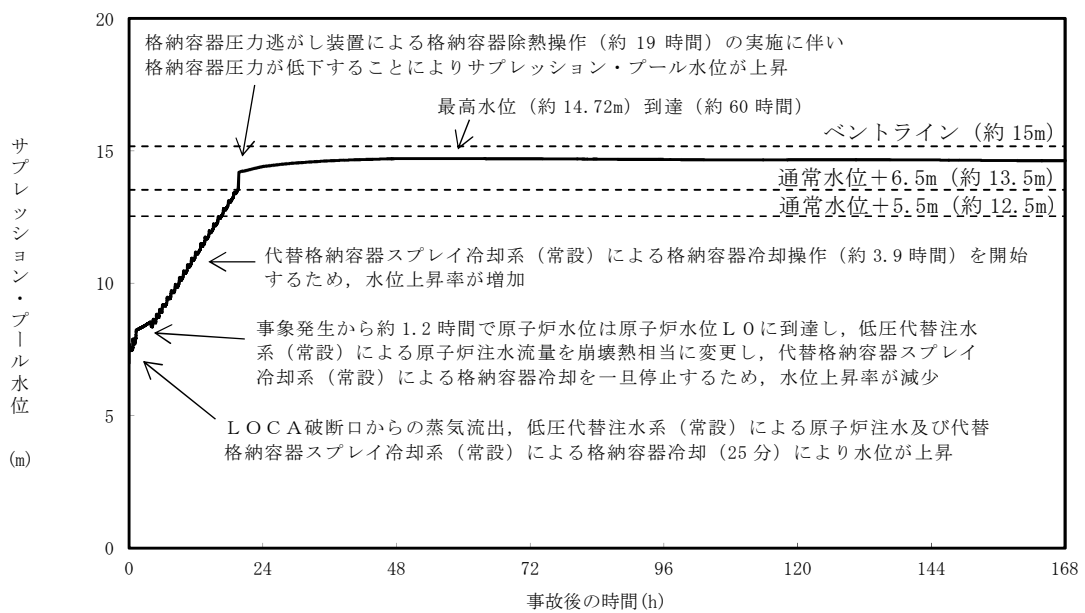


大破断LOCA解析 (感度解析：空隙率 0.0 で完全閉塞)

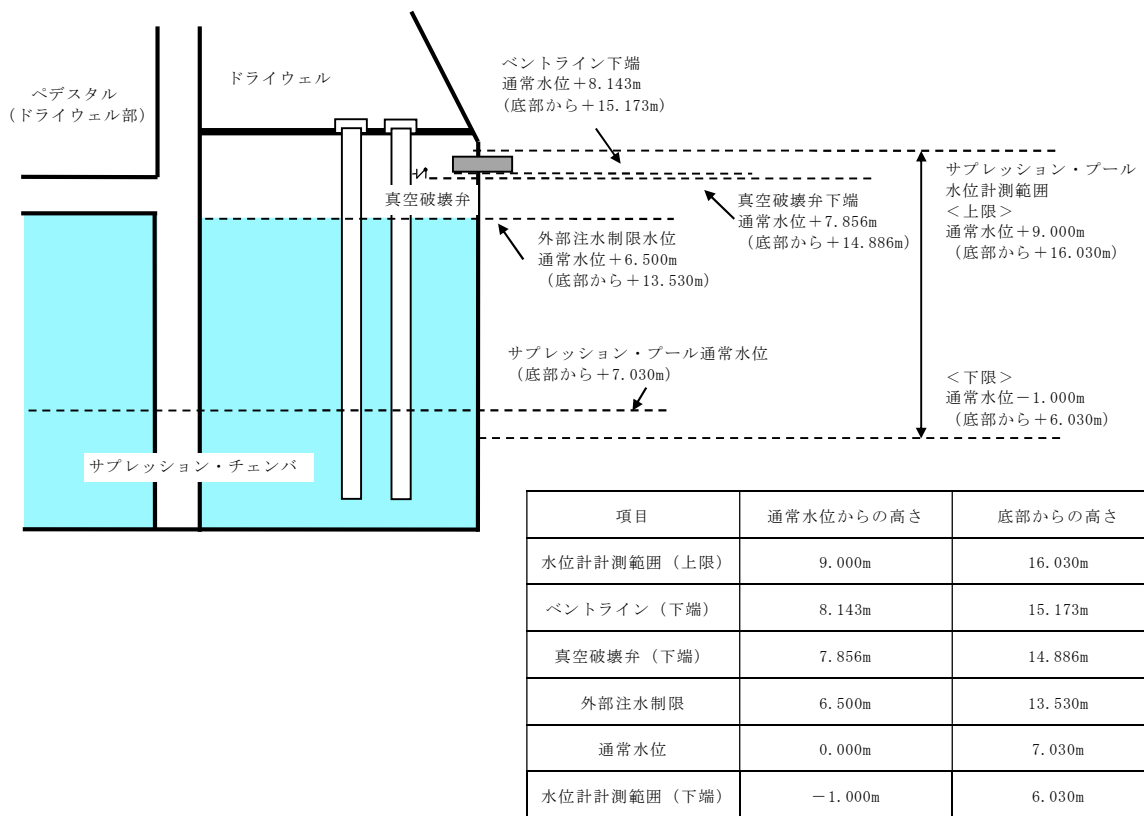
第6図 サプレッション・チェンバ気相濃度の比較

サプレッション・プール水位上昇による真空破壊弁への影響について

サプレッション・プール水位上昇によって真空破壊弁が水没した場合、サプレッション・チェンバとドライウエルが隔離されることにより、サプレッション・チェンバの圧力が上昇するおそれがある。しかし、有効性評価シナリオにおいて、最もサプレッション・プール水位が上昇する「雰囲気圧力・温度による静的負荷(格納容器過圧・過温破損)(代替循環冷却系を使用できない場合)」においても、第 1 図に示すとおり、サプレッション・プール水位は最高で約 14.72m であり、真空破壊弁の下端高さ約 14.88m に到達しないため、真空破壊弁が水没することはない(第 2 図)。



第 1 図 サプレッション・プール水位の推移



第2図 サプレッション・プール水位に係る位置関係概要図

3.2 高圧溶融物放出／格納容器雰囲気直接加熱

3.2.1 格納容器破損モードの特徴，格納容器破損防止対策

(1) 格納容器破損モード内のプラント損傷状態

格納容器破損モード「高圧溶融物放出／格納容器雰囲気直接加熱」に至る可能性のあるプラント損傷状態は、「1.2 評価対象の整理及び評価項目の設定」に示すとおり，TQUX，長期TB，TBU及びTBDである。

(2) 格納容器破損モードの特徴及び格納容器破損防止対策の基本的考え方

格納容器破損モード「高圧溶融物放出／格納容器雰囲気直接加熱」では，発電用原子炉の運転中に運転時の異常な過渡変化又は全交流動力電源喪失が発生するとともに，非常用炉心冷却系等の安全機能の喪失が重畳する。このため，緩和措置がとられない場合には，原子炉圧力が高い状況で原子炉圧力容器が損傷し，溶融炉心，水蒸気，水素等が急速に放出され，格納容器雰囲気は直接加熱されることにより，急速に格納容器圧力が上昇する等，格納容器に熱的・機械的な負荷が発生して格納容器の破損に至る。

したがって，本格納容器破損モードでは，溶融炉心，水蒸気及び水素の急速な放出に伴い格納容器に熱的・機械的な負荷が加えられることを防止するため，原子炉圧力容器破損までに逃がし安全弁の手動開操作により原子炉減圧を実施することによって，格納容器の破損を防止する。

また，原子炉圧力容器の下部から溶融炉心が落下するまでに，格納容器下部注水系（常設）によってペDESTAL（ドライウエル部）に溶融炉心の冷却に必要な水位及び水量を確保するとともに，代替循環冷却系による格納容器除熱を実施する。溶融炉心の落下後は，代替循環冷却系による格納容器除熱を継続し，コリウムシールド及び格納容器下部注水系（常設）によって溶融炉心を冷却するとともに，代替格納容器スプレイ冷却系（常設）

による格納容器冷却を実施する。その後、代替循環冷却系又は格納容器圧力逃がし装置によって格納容器の圧力及び温度を低下させる。

さらに、格納容器内の水素濃度及び酸素濃度が可燃領域に至るまでに、格納容器内へ窒素を注入することによって、格納容器内における水素燃焼による格納容器の破損を防止する。

なお、本格納容器破損モードの有効性評価を実施する上では、原子炉圧力容器破損までは重大事故等対処設備による原子炉注水機能についても使用できないものと仮定し、原子炉圧力容器破損に至るものとする。一方、本格納容器破損モードに対しては、原子炉圧力容器破損後の格納容器破損防止のための重大事故等対策の有効性についても評価するため、原子炉圧力容器破損後は重大事故等対策に係る手順に基づきプラント状態を評価することとする。したがって、本評価では原子炉圧力容器破損後も原子炉圧力容器内に残存する放射性物質の冷却のために原子炉に注水する対策及び手順を整備することから、これを考慮した有効性評価を実施することとする。

(3) 格納容器破損防止対策

格納容器破損モード「高圧溶融物放出／格納容器雰囲気直接加熱」で想定される事故シーケンスに対して、原子炉圧力が高い状況で原子炉圧力容器が損傷し、溶融炉心、水蒸気、水素等が急速に放出され、格納容器に熱的・機械的な負荷が発生することに対して、原子炉減圧を可能とするため、逃がし安全弁（自動減圧機能）の手動開操作による原子炉減圧手段を整備する。

また、原子炉圧力容器破損前における格納容器雰囲気温度の上昇を抑制し、逃がし安全弁（自動減圧機能）の環境条件を緩和する観点から緊急用

海水系による冷却水（海水）の確保手段及び代替循環冷却系による格納容器除熱手段を整備し，原子炉圧力容器破損後の格納容器圧力及び雰囲気温度の上昇を抑制する観点から，代替格納容器スプレー冷却系（常設）による格納容器冷却手段，緊急用海水系による冷却水（海水）の確保手段及び代替循環冷却系による格納容器除熱手段並びに格納容器圧力逃がし装置による格納容器除熱手段を整備する。

さらに，長期的な格納容器内酸素濃度の上昇を抑制する観点から，可搬型窒素供給装置による格納容器内への窒素注入手段を整備する。

本格納容器破損モードの防止及びそれ以降の一連の対応も含めた重大事故等対策の概要を以下の a. から p. に示すとともに，a. から p. の重大事故等対策における設備と手順の関係を第 3.2-1 表に示す。このうち，本格納容器破損モードに対する重大事故等対策は以下の a. から h., j. 及び k. である。

本格納容器破損モードの防止及びそれ以降の一連の対応も含めた重大事故等対策の概略系統図を第 3.2-1 図に，対応手順の概要を第 3.2-2 図に示す。このうち，本格納容器破損モードの重大事故等対策の概略系統図は第 3.2-1 図（1/5）及び第 3.2-1 図（2/5）である。

本格納容器破損モードにおける評価事故シーケンスにおいて，事象発生 2 時間までの重大事故等対策に必要な要員は，災害対策要員（初動）20 名である。その内訳は次のとおりである。中央制御室の運転員は，当直発電長 1 名，当直副発電長 1 名及び運転操作対応を行う当直運転員 4 名である。発電所構内に常駐している要員のうち，通報連絡等を行う要員は 4 名，現場操作を行う重大事故等対応要員は 10 名である。

また，事象発生 2 時間以降に追加に必要な参集要員は，タンクローリによる燃料給油操作を行うための重大事故等対応要員 2 名である。必要な要

員と作業項目について第 3.2-3 図に示す。

なお、評価事故シーケンス以外の事故シーケンスについては、作業項目を評価事故シーケンスと比較し、必要な要員数を確認した結果、20 名で対処可能である。

a. 原子炉スクラム及び全交流動力電源喪失の確認

運転時の異常な過渡変化又は全交流動力電源喪失が発生して原子炉がスクラムしたことを確認する。

原子炉のスクラムを確認するために必要な計装設備は、平均出力領域計装等である。

全交流動力電源喪失を確認する。

全交流動力電源喪失を確認するために必要な計装設備は、M/C 2 C 電圧等である。

b. 原子炉への注水機能喪失確認

原子炉スクラム後、原子炉水位は低下し続け、原子炉水位異常低下（レベル 2）で原子炉隔離時冷却系が自動起動に失敗したことを確認する。

原子炉隔離冷却系の自動起動に失敗したことを確認後、中央制御室からの遠隔操作により原子炉隔離時冷却系の手動起動を試みるが失敗したことを確認する。

原子炉への注水機能喪失を確認するために必要な計装設備は、原子炉隔離時冷却系系統流量等である。

c. 早期の電源回復不能判断及び対応準備

中央制御室からの操作により外部電源受電及び非常用ディーゼル発電機等の起動ができず、非常用高圧母線（6.9kV）の電源回復ができない場合、早期の電源回復不能と判断する。これにより、常設代替交流電源

設備による緊急用母線の受電準備を開始する。

d. 常設代替交流電源設備による緊急用母線の受電

早期の電源回復不能の確認後、中央制御室からの遠隔操作により常設代替交流電源設備から緊急用母線を受電する。

常設代替交流電源設備による緊急用母線の受電を確認するために必要な計装設備は、緊急用M/C電圧である。

e. 緊急用海水系による冷却水（海水）の確保

低圧代替注水系（常設）による原子炉注水機能喪失を確認した後、中央制御室からの遠隔操作により緊急用海水ポンプを起動し、緊急用海水系に海水を通水する。

緊急用海水系による冷却水（海水）の確保を確認するために必要な計装設備は、緊急用海水系流量（残留熱除去系熱交換器）である。

f. 代替循環冷却系による格納容器除熱

緊急用海水系に海水を通水した後、中央制御室からの遠隔操作により代替循環冷却系ポンプを起動することで、代替循環冷却系による格納容器除熱*を開始する。

代替循環冷却系による格納容器除熱を確認するために必要な計装設備は、代替循環冷却系格納容器スプレイ流量、ドライウエル圧力及びサブプレッション・チェンバ圧力である。

※ 格納容器内の温度を低下させ、逃がし安全弁の環境条件を緩和する目的で実施する操作。

g. 炉心損傷確認

原子炉水位が更に低下し、炉心が露出し、炉心損傷したことを確認する。炉心損傷の判断は、ドライウエル又はサブプレッション・チェンバ内のガンマ線線量率が設計基準事故相当のガンマ線線量率の 10 倍以上と

なった場合とする。

炉心損傷を確認するために必要な計装設備は、格納容器雰囲気放射線モニタ（D/W）及び格納容器雰囲気放射線モニタ（S/C）である。

また、炉心損傷判断後は、格納容器内のpH制御のため薬品注入の準備を行う。サブプレッション・チェンバのプール水のpHを7以上に制御することで、分子状無機よう素の生成が抑制され、その結果、有機よう素の生成についても抑制される。これにより、環境中への有機よう素の放出量を低減させることができる。なお、有効性評価においては、pH制御には期待しない。

h. 逃がし安全弁（自動減圧機能）の手動による原子炉急速減圧

原子炉水位の低下が継続し、燃料有効長底部から燃料有効長の20%上の位置に到達した時点で、原子炉注水の手段が全くない場合でも、中央制御室からの遠隔操作によって逃がし安全弁（自動減圧機能）2個を手動で開放し、原子炉を急速減圧する。

原子炉急速減圧を確認するために必要な計装設備は、原子炉水位（燃料域）、原子炉圧力等である。

原子炉急速減圧後は、逃がし安全弁（自動減圧機能）の開状態を保持し、原子炉圧力を低圧状態に維持する。

（添付資料 3.2.1）

i. 格納容器下部注水系（常設）によるペDESTAL（ドライウェル部）水位の確保（解析上考慮しない操作）

代替循環冷却系による格納容器除熱を開始後、原子炉圧力容器破損に備えて中央制御室からの遠隔操作によって格納容器下部注水系（常設）によるペDESTAL（ドライウェル部）の水位調整を行う。

格納容器下部注水系（常設）によるペDESTAL（ドライウェル部）水

位の確保を確認するために必要な計装設備は、低圧代替注水系格納容器下部注水流量、格納容器下部水位等である。

なお、有効性評価の解析条件としては、ペDESTAL（ドライウエル部）には事象初期から約 1m の水位を形成していることから、本操作を考慮しないものとする。

j. 水素濃度及び酸素濃度監視設備の起動

炉心損傷が発生すれば、ジルコニウム-水反応等により水素が発生し、水の放射線分解により水素及び酸素が発生することから、格納容器下部注水系（常設）によるペDESTAL（ドライウエル部）水位の確保を実施後、中央制御室からの遠隔操作により水素濃度及び酸素濃度監視設備を起動し、格納容器内の水素濃度及び酸素濃度を確認する。

格納容器内の水素濃度及び酸素濃度を確認するために必要な計装設備は、格納容器内水素濃度（S A）及び格納容器内酸素濃度（S A）である。

k. 原子炉圧力容器破損確認

原子炉圧力容器破損の兆候として、原子炉水位の低下、制御棒位置の指示値の喪失数増加、原子炉圧力容器温度（下鏡部）の 300℃到達といったパラメータの変化を確認する。原子炉圧力容器温度（下鏡部）が 300℃に到達した場合には、原子炉圧力容器の破損を速やかに判断するために格納容器下部水温を継続監視する。

格納容器下部水温の指示上昇又はダウンスケールといったパラメータの変化によって原子炉圧力容器破損を判断する。

原子炉圧力容器の破損判断に必要な計装設備は、格納容器下部水温等である。

(添付資料 3.2.2)

l. 代替格納容器スプレイ冷却系（常設）による格納容器冷却（原子炉圧力容器破損後）

原子炉圧力容器破損の判断後、中央制御室からの遠隔操作により代替格納容器スプレイ冷却系（常設）による格納容器冷却を開始する。

代替格納容器スプレイ冷却系（常設）による格納容器冷却（原子炉圧力容器破損後）を確認するために必要な計装設備は、低圧代替注水系格納容器スプレイ流量（常設ライン用）等である。

m. 溶融炉心への注水

溶融炉心の冷却を維持するため、代替格納容器スプレイ冷却系（常設）による格納容器スプレイ冷却（原子炉圧力容器破損後）を実施後、中央制御室からの遠隔操作により格納容器下部注水系（常設）によるペDESTAL（ドライウエル部）注水を水位 2.75m まで実施する。以降は、ペDESTAL（ドライウエル部）満水付近で溶融炉心の冠水状態を維持するとともに、サブプレッション・プール水位の上昇を抑制し、格納容器圧力逃がし装置による格納容器除熱の遅延を図り、可能な限り外部への影響を軽減する観点から、2.25m から 2.75m の範囲に水位を維持する。

格納容器下部注水系（常設）によるペDESTAL（ドライウエル部）注水を確認するために必要な計装設備は、低圧代替注水系格納容器下部注水流量等である。

格納容器下部注水系（常設）により溶融炉心の冷却が継続して行われていることは、低圧代替注水系格納容器下部注水流量のほか、格納容器下部水位によっても確認することができる。

（添付資料 3.2.3）

n. 代替循環冷却系による格納容器除熱（原子炉圧力容器破損後）

原子炉圧力容器破損後、代替格納容器スプレイ冷却系（常設）による

格納容器冷却（原子炉圧力容器破損後）により格納容器圧力が低下することを確認した後は、中央制御室からの遠隔操作により代替循環冷却系の注水先を原子炉注水と格納容器スプレーに分配し、それぞれ連続で原子炉注水と格納容器スプレーを実施する。

代替循環冷却系による原子炉注水を確認するために必要な計装設備は、代替循環冷却系原子炉注水流量であり、格納容器除熱を確認するために必要な計装設備は、代替循環冷却系格納容器スプレー流量、ドライウェル圧力及びサブプレッション・チェンバ圧力、サブプレッション・プール水温度等である。

o. 代替格納容器スプレー冷却系（常設）による格納容器冷却（格納容器圧力制御）

代替循環冷却系による格納容器除熱（原子炉圧力容器破損後）を実施後、代替格納容器スプレー冷却系（常設）による格納容器冷却を一旦停止する。

格納容器圧力が 0.465MPa [gage] に到達した場合、中央制御室からの遠隔操作により代替格納容器スプレー冷却系（常設）による格納容器冷却を再開し、格納容器圧力を 0.400MPa [gage] から 0.465MPa [gage] の範囲で制御する。

代替格納容器スプレー冷却系（常設）による格納容器冷却を確認するために必要な計装設備は、低圧代替注水系格納容器スプレー流量（常設ライン用）等である。

p. 可搬型窒素供給装置による格納容器内への窒素注入

格納容器内酸素濃度が 4.0vol%（ドライ条件）に到達した場合、可搬型窒素供給装置を用いて格納容器内へ窒素を注入することで、格納容器内酸素濃度の上昇を抑制する。

可搬型窒素供給装置による格納容器内への窒素注入を確認するために必要な計装設備は、格納容器内酸素濃度（S A）である。

3.2.2 格納容器破損防止対策の有効性評価

(1) 有効性評価の方法

本格納容器破損モードを評価する上で選定した評価事故シーケンスは、「1.2 評価対象の整理及び評価項目の設定」に示すとおり、プラント損傷状態をT Q U Xとし、事象進展が早く炉心損傷までの時間余裕の観点で厳しい過渡事象を起因事象とし、逃がし安全弁再閉失敗を含まず高圧状態が維持される「過渡事象＋高圧炉心冷却失敗＋原子炉減圧失敗＋炉心損傷後の原子炉減圧失敗（＋D C H）」である。

本評価事故シーケンスは「高圧溶融物放出／格納容器雰囲気直接加熱」の格納容器破損防止対策の有効性を評価するためのシーケンスであることから、炉心損傷までは事象を進展させる前提での評価となる。このため、前提とする事故条件として、設計基準事故対処設備による原子炉注水機能（非常用炉心冷却系及び原子炉隔離時冷却系）のみならず、重大事故等対処設備による原子炉注水機能を含む全ての原子炉注水機能が使用できないものと仮定した^{*}。また、高圧溶融物放出／格納容器雰囲気直接加熱の発生防止を確認する観点から、原子炉圧力容器破損に至る前提とした。

※ 原子炉圧力容器破損後は、原子炉圧力容器内の冷却を考慮し、代替循環冷却系による原子炉注水を行うものとする。

仮に炉心損傷後の原子炉注水に期待できる場合には、原子炉圧力容器が破損するまでの時間の遅れやペデスタル（ドライウェル部）への落下量の抑制等、事象進展の緩和に期待できると考えられるが、本評価の前提とする事故条件は原子炉注水による事象進展の緩和の不確かさを包絡する保守

的な条件である。

さらに、本評価事故シーケンスにおいては、電源の復旧、注水機能の確保等、必要となる事故対処設備が多く、格納容器への注水・除熱を実施するまでの対応時間を厳しく評価する観点から、全交流動力電源喪失の重畳を考慮する。

なお、格納容器過圧・過温破損の観点については、「3.1 雰囲気圧力・温度による静的負荷（格納容器過圧・過温破損）」にて示したとおり、LOCAをプラント損傷状態とする評価事故シーケンスで確認している。これは、過圧の観点ではLOCAによるドライウェルへの蒸気の放出及び原子炉注水による蒸気の発生が重畳する事故シーケンスへの対応が最も厳しいためであり、過温の観点では、事象初期に炉心が露出し過熱状態に至る事故シーケンスへの対応が最も厳しいためである。また、本格納容器破損モードを評価する上では、原子炉圧力容器が高圧の状態での破損に至る事故シーケンスを選定する必要があることから、LOCAをプラント損傷状態とする事故シーケンスは、本格納容器破損モードの評価事故シーケンスには適さない。

本格納容器破損モードの評価事故シーケンスに示される、炉心損傷前に原子炉減圧に失敗し、炉心損傷後に再度原子炉減圧を試みる状況としては、炉心損傷前の段階で非常用炉心冷却系である残留熱除去系（低圧注水系）及び低圧炉心スプレイ系のみならず、重大事故等対処設備である低圧代替注水系（常設）等を含む全ての低圧注水機能が失われることで「2.2 高圧注水・減圧機能喪失」に示した過渡時自動減圧機能が作動せず、全ての低圧注水機能が失われている場合の手順に従って原子炉減圧しないまま炉心損傷に至る状況が考えられる。

手順上、全ての低圧注水機能が失われている状況では、原子炉水位が燃

燃料有効長底部から燃料有効長の 20%上の位置に到達する時点までは原子炉を減圧しない。この原子炉減圧のタイミングは、原子炉水位が燃料有効長頂部以下となった場合、原子炉減圧を遅らせた方が、原子炉圧力容器内の原子炉冷却材の量を多く維持できるため、原子炉圧力容器破損に至る時間を遅らせることができる一方で、ジルコニウム-水反応等が著しくなる前に原子炉を減圧することで水素の発生量を抑えられることを考慮して設定したものである。また、過渡時自動減圧機能は低圧注水機能の起動が作動条件の一つであるため、低圧注水機能が失われている状況では作動しない。

これを考慮し、本評価では評価事故シーケンスに加えて全ての低圧注水機能も失われている状況を想定した。

なお、この評価事故シーケンスへの対応及び事象進展は、「3.3 原子炉圧力容器外の溶融燃料-冷却材相互作用」及び「3.5 溶融炉心・コンクリート相互作用」の評価事故シーケンスへの対応及び事象進展と同じものとなる。

本格納容器破損モードではプラント損傷状態をTQUXとし、「3.3 原子炉圧力容器外の溶融燃料-冷却材相互作用」及び「3.5 溶融炉心・コンクリート相互作用」ではプラント損傷状態をTQUVとしており、異なるプラント状態を選定している。TQUXとTQUVでは喪失する設計基準事故対処設備が異なり、原子炉減圧について、TQUVでは設計基準事故対処設備である逃がし安全弁（自動減圧機能）の機能に期待し、TQUXでは重大事故等対処設備としての逃がし安全弁（自動減圧機能）の機能に期待する点異なる。手順に従う場合、TQUVでは原子炉減圧機能は維持されているが低圧注水機能を喪失しているため、原子炉水位が燃料有効長底部から燃料有効長の 20%上の位置に到達した時点で逃がし安全弁

(自動減圧機能)の手動開操作によって原子炉を減圧することとなる。また、TQUXは高圧溶融物放出／格納容器雰囲気直接加熱に進展し得るとして選定したプラント損傷状態であるが、重大事故等対処設備としての逃がし安全弁(自動減圧機能)に期待し、原子炉水位が燃料有効長底部から燃料有効長の20%上の位置に到達した時点で逃がし安全弁(自動減圧機能)の手動開操作によって原子炉を減圧することにより、高圧溶融物放出／格納容器雰囲気直接加熱の発生防止を図る。

以上のとおり、どちらのプラント損傷状態であっても事象発生から原子炉減圧までの対応は同じとなり、運転員等操作時間やパラメータの変化も同じとなる。また、原子炉減圧以降も、溶融炉心の挙動に従って一連の流れで生じる各格納容器破損モードを、定められた一連の手順に従って防止することとなる。このことから、格納容器破損モード「高圧溶融物放出／格納容器雰囲気直接加熱」、「原子炉圧力容器外の溶融燃料－冷却材相互作用」及び「溶融炉心・コンクリート相互作用」については、同様のシーケンスへの一連の対応の中で各格納容器破損モードに対する格納容器破損防止対策の有効性を評価する。

本評価事故シーケンスでは、炉心における崩壊熱、燃料棒内温度変化、燃料棒表面熱伝達、燃料被覆管酸化、燃料被覆管変形、沸騰・ボイド率変化及び気液分離(水位変化)・対向流、原子炉圧力容器における冷却材放出(臨界流・差圧流)並びに炉心損傷後の原子炉圧力容器におけるリロケーション、原子炉圧力容器内FCI(溶融炉心細粒化)、原子炉圧力容器内FCI(デブリ粒子熱伝達)、構造材との熱伝達、下部プレナムでの溶融炉心の熱伝達及び原子炉圧力容器破損が重要現象となる。

よって、これらの現象を適切に評価することが可能であり、原子炉圧力容器内及び格納容器内の熱水力モデルを備え、かつ、炉心損傷後のシビア

アクシデント特有の溶融炉心挙動に関するモデルを有するシビアアクシデント総合解析コードM A A Pにより原子炉圧力等の過渡応答を求める。

また、解析コード及び解析条件の不確かさの影響評価の範囲として、本評価事故シーケンスにおける運転員等操作時間に与える影響、評価項目となるパラメータに与える影響及び操作時間余裕を評価する。

(2) 有効性評価の条件

本評価事故シーケンスに対する初期条件も含めた主要な解析条件を第3.2-2表に示す。また、主要な解析条件について、本評価事故シーケンス特有の解析条件を以下に示す。

a. 事故条件

(a) 起因事象

起因事象として、給水流量の全喪失が発生するものとする。

(b) 安全機能等の喪失に対する仮定

高圧注水機能として原子炉隔離時冷却系及び高圧炉心スプレイ系の機能喪失を、低圧注水機能として残留熱除去系（低圧注水系）及び低圧炉心スプレイ系の機能喪失を想定する。また、非常用ディーゼル発電機等の機能喪失を想定し、全交流動力電源喪失の重畳を考慮するものとする。

さらに原子炉圧力容器破損までは重大事故等対処設備による原子炉注水にも期待しない[※]ものとする。これは、原子炉を減圧できない状況を想定するためである。

※ 原子炉圧力容器破損前における低圧代替注水系（常設）及び代替循環冷却系による原子炉注水の機能喪失を想定する。格納容器下部注水系（常設）等、原子炉注水以外の緩和機能には期待する。

なお、原子炉圧力容器破損後は、原子炉圧力容器内の冷却を考慮し、代替循環冷却系による原子炉注水を行うものとする。

(c) 外部電源

外部電源は使用できないものと仮定する。

送電系統又は所内主発電設備の故障等によって、外部電源が喪失するとともに、非常用ディーゼル発電機等の機能喪失を想定する。

(d) 高温ガスによる配管等のクリープ破損や漏えい等による影響

原子炉圧力を厳しく評価するため、高温ガスによる配管等のクリープ破損や漏えい等は、考慮しないものとする。

(添付資料 3.2.4)

(e) 水素及び酸素の発生

水素の発生については、ジルコニウム-水反応及び熔融炉心・コンクリート相互作用を考慮するものとする。なお、解析コードMAAPの評価結果では水の放射線分解による水素及び酸素の発生を考慮していない。このため、水の放射線分解による水素及び酸素の発生量は「3.4 水素燃焼」と同様に、解析コードMAAPで得られる崩壊熱を基に評価する。

b. 重大事故等対策に関連する機器条件

(a) 原子炉スクラム信号

原子炉スクラムは、原子炉水位低（レベル3）信号によるものとする。

(b) 主蒸気隔離弁

主蒸気隔離弁は、事象発生と同時に閉止するものとする。

(c) 再循環系ポンプ

再循環系ポンプは、事象発生と同時に停止するものとする。

(d) 逃がし安全弁

逃がし安全弁（安全弁機能）にて，原子炉冷却材圧力バウンダリの過度の圧力上昇を抑えるものとする。また，原子炉減圧には逃がし安全弁（自動減圧機能）2 個を使用するものとし，容量として，1 個当たり定格主蒸気流量の約 6% を処理するものとする。

(e) 格納容器下部注水系（常設）

原子炉圧力容器が破損して熔融炉心がペDESTAL（ドライウエル部）に落下した後は，熔融炉心の冠水継続が可能な流量を考慮し， $80\text{m}^3/\text{h}$ にてペDESTAL（ドライウエル部）に注水を行うものとする。

(f) 代替格納容器スプレイ冷却系（常設）

原子炉圧力容器破損後は，格納容器圧力及び雰囲気温度上昇の抑制に必要なスプレイ流量を考慮し， $300\text{m}^3/\text{h}$ にて格納容器内にスプレイする。格納容器圧力の低下を確認した後は，一旦格納容器スプレイを停止するが，再度格納容器圧力が上昇し，格納容器圧力 0.465MPa [gage] に到達した場合は，格納容器圧力及び雰囲気温度上昇の抑制に必要なスプレイ流量を考慮し， $130\text{m}^3/\text{h}$ にて格納容器内にスプレイする。

(g) 代替循環冷却系

代替循環冷却系の循環流量は，全体で $250\text{m}^3/\text{h}$ とし，ドライウエルへ $250\text{m}^3/\text{h}$ で連続スプレイを実施する。原子炉圧力容器破損後に格納容器圧力の低下を確認した後は，ドライウエルへ $150\text{m}^3/\text{h}$ ，原子炉へ $100\text{m}^3/\text{h}$ にて流量分配し，それぞれ連続スプレイ及び連続注水を実施する。

(h) 緊急用海水系

代替循環冷却系から緊急用海水系への伝熱容量は，熱交換器の設計

性能に基づき約 14MW（サブプレッション・プール水温度 100℃，海水温度 32℃において）とする。

(i) 可搬型窒素供給装置

可搬型窒素供給装置による格納容器内窒素注入は，ガス温度 30℃，純度 99vol%にて 200m³/h（窒素 198m³/h 及び酸素 2m³/h）で格納容器内に注入するものとする。

(j) コリウムシールド

材料は，コンクリートの侵食を抑制する観点から，ジルコニア耐熱材を設定する。侵食開始温度は，ジルコニア耐熱材の侵食試験結果に基づき，2,100℃を設定する。

(添付資料 3.5.1)

c. 重大事故等対策に関連する操作条件

運転員等操作に関する条件として，「1.3.5 運転員等の操作時間に対する仮定」に示す分類に従って以下のとおり設定する。

(a) 原子炉急速減圧操作は，設計基準事故対処設備による原子炉注水機能（非常用炉心冷却系及び原子炉隔離時冷却系）のみならず，重大事故等対処設備による原子炉注水機能を含む全ての原子炉注水機能が喪失している場合の運転手順に従い，原子炉水位が燃料有効長底部から燃料有効長の 20%上の位置に到達した時点で開始する。

(b) 緊急用海水系による冷却水（海水）の確保操作及び代替循環冷却系による格納容器除熱操作は，緊急用海水系及び代替循環冷却系の準備時間等を考慮し，事象発生 90 分後から開始するものとする。

原子炉圧力容器破損後は，格納容器圧力が低下に転じて 30 分後に，ドライウェルと原子炉へ流量分配し，それぞれ連続スプレー及び連続注水を実施するものとする。

- (c) 代替格納容器スプレイ冷却系（常設）による格納容器冷却操作（原子炉圧力容器破損後）は、原子炉圧力容器破損の判断に必要な時間等を考慮し、原子炉圧力容器破損の6分後に開始する。また、格納容器冷却による格納容器圧力の低下から30分後に停止するものとする。その後、格納容器圧力が0.465MPa [gage] に到達した場合に再開し、格納容器圧力が0.400MPa [gage] まで低下した場合に停止するものとする。
- (d) 格納容器下部注水系（常設）によるペDESTAL（ドライウェル部）注水操作は、操作実施に必要な時間を考慮し、代替格納容器スプレイ冷却系（常設）による格納容器冷却操作（原子炉圧力容器破損後）の1分後に開始するものとする。また、ペDESTAL（ドライウェル部）水位が2.75m に到達した場合に停止するものとする。その後は、ペDESTAL（ドライウェル部）水位が2.25m まで低下した場合に注水を開始し、2.75m に到達した場合に停止することで水位を維持する。
- (e) 可搬型窒素供給装置による格納容器内への窒素注入操作は、格納容器内酸素濃度が4.0vol%（ドライ条件）に到達した場合にサブレーション・チェンバ内へ窒素注入を開始するものとする。

(3) 有効性評価（Cs-137の放出量評価）の条件

- a. 事象発生直前まで、定格出力の100%で長時間にわたって運転されていたものとする。その運転時間は、燃料を約1/4ずつ取り替えていく場合の平衡炉心を考え、最高50,000時間とする。
- b. 代替循環冷却系を用いた場合の環境中への総放出量の評価においては、原子炉内に内蔵されている核分裂生成物が事象進展に応じた割合で、

格納容器内に放出*されるものとする。

※ セシウムの格納容器内への放出割合については、本評価事故シーケンスにおいては解析コードM A A Pの評価結果の方が代表的なソースタームに関する報告書であるN U R E G - 1465 より大きく算出する。

c. 格納容器内に放出されたC s - 137 については、格納容器スプレイやサプレッション・チェンバのプール水でのスクラビング等による除去効果を考慮する。

d. 原子炉建屋から大気中への放射性物質の漏えいについて考慮する。漏えい量の評価条件は以下のとおりとする。

(a) 格納容器からの漏えい量は、格納容器圧力に応じた設計漏えい率を基に評価する。

(b) 原子炉建屋ガス処理系による原子炉建屋原子炉棟内の負圧が維持されていることを想定し、非常用ガス処理系の設計換気率 1 回/d 相当を考慮する。なお、非常用ガス処理系フィルタトレイン及び非常用ガス再循環系フィルタトレインによる放射性物質の除去効果については、期待しないものとする。

(c) 原子炉建屋内での放射能の時間減衰は考慮せず、また、原子炉建屋内での粒子状物質の除去効果は保守的に考慮しない。

(添付資料 3. 2. 5)

(4) 有効性評価の結果

本評価事故シーケンスにおける原子炉圧力、原子炉水位（シュラウド内外水位）及び原子炉圧力容器下部ヘッド温度の推移を第 3. 2-4 図から第 3. 2-6 図に、格納容器圧力、格納容器雰囲気温度、サプレッション・プ

ール水位，サブプレッション・プール水温度及び注水流量の推移を第 3.2-7 図から第 3.2-16 図に，ペDESTAL（ドライウエル部）の水位，ペDESTAL（ドライウエル部）の壁面及び床面のコンクリート侵食量並びにドライウエル及びサブプレッション・チェンバの気相濃度（ウェット条件，ドライ条件）の推移を第 3.2-17 図から第 3.2-27 図に示す。

a. 事象進展

事象発生後，全ての設計基準事故対処設備による原子炉注水機能（非常用炉心冷却系及び原子炉隔離時冷却系）が機能喪失し，重大事故等対処設備による原子炉注水機能についても使用できないものと仮定することから，原子炉水位は急速に低下する。水位低下により炉心が露出し，事象発生から約 35 分後に炉心損傷に至る。原子炉水位が燃料有効長底部から燃料有効長の 20%上の位置に到達した時点（事象発生から約 38 分後）で，中央制御室からの遠隔操作により逃がし安全弁（自動減圧機能）2 個を手動で開放することで，原子炉急速減圧を実施する。原子炉減圧後の低圧代替注水系（常設）及び代替循環冷却系による原子炉注水は実施しないものと仮定するため，事象発生から約 4.5 時間後に原子炉圧力容器破損に至る。

事象発生から 90 分後，代替循環冷却系による格納容器除熱を行うことにより格納容器雰囲気温度の上昇を抑制する。

原子炉圧力容器が破損し，熔融炉心がペDESTAL（ドライウエル部）の水位約 1m の水中に落下する際に，熔融炉心からペDESTAL（ドライウエル部）プール水への伝熱が起こり，水蒸気が発生することに伴う圧力上昇が生じる。

熔融炉心がペDESTAL（ドライウエル部）に落下した後は，格納容器下部注水系（常設）によりペDESTAL（ドライウエル部）に $80\text{m}^3/\text{h}$

の注水を行い、溶融炉心を冠水維持し、冷却する。

崩壊熱が格納容器内に蒸気として放出されるため、格納容器圧力は急激に上昇する。事象発生から 90 分後に代替循環冷却系による格納容器除熱により $250\text{m}^3/\text{h}$ の格納容器スプレイを実施すること、原子炉圧力容器破損を判断した時点で、代替格納容器スプレイ冷却系（常設）による格納容器冷却（原子炉圧力容器破損後）により $300\text{m}^3/\text{h}$ の格納容器スプレイを実施することにより、格納容器圧力及び雰囲気温度の上昇は抑制される。

格納容器圧力の低下を確認した時点で、代替格納容器スプレイ冷却系（常設）による格納容器冷却（原子炉圧力容器破損後）を停止するとともに、代替循環冷却系の循環流量を調整し、格納容器スプレイ $150\text{m}^3/\text{h}$ 、原子炉注水 $100\text{m}^3/\text{h}$ に分配する。その後、格納容器圧力が 0.465MPa [gage] に到達した時点で、代替格納容器スプレイ冷却系（常設）による格納容器冷却（ $130\text{m}^3/\text{h}$ の格納容器スプレイ）を再開する。これらによって、格納容器圧力及び雰囲気温度の上昇は抑制され、その後、徐々に低下するとともに、ペDESTAL（ドライウエル部）の溶融炉心は安定的に冷却される。

また、格納容器内酸素濃度が $4.0\text{vol}\%$ （ドライ条件）に到達した時点で、可搬型窒素供給装置による格納容器内への窒素注入を実施することで、格納容器内酸素濃度の上昇が抑制される。窒素注入により格納容器圧力は上昇するが、格納容器圧力 0.31MPa [gage] 到達時点で窒素注入操作を停止する手順としているため、一時的な圧力上昇であり、代替循環冷却系による格納容器除熱を継続することから、格納容器内の安定した減圧及び除熱への影響はない。

なお、事象発生から約 4.5 時間後の原子炉圧力容器破損までは、逃が

し安全弁（自動減圧機能）によって原子炉圧力を 2.0MPa [gage] 以下に維持することが必要となるが、炉心損傷後の原子炉圧力容器から逃がし安全弁（自動減圧機能）を通過してサブプレッション・チェンバへ放出される高温流体や格納容器雰囲気温度等の熱的影響を考慮しても、逃がし安全弁（自動減圧機能）は確実に開状態を維持することが可能である。

（添付資料 3.2.6）

b. 評価項目等

原子炉圧力容器破損直前の原子炉圧力は約 0.3MPa [gage] であり、2.0MPa [gage] 以下に低減されている。

格納容器圧力は、第 3.2-7 図及び第 3.2-9 図に示すとおり、格納容器内に崩壊熱等の熱によって発生した水蒸気等が放出されるため徐々に上昇するが、代替格納容器スプレー冷却系（常設）による格納容器冷却及び代替循環冷却系による格納容器除熱を行うことによって、圧力上昇は抑制される。その結果、格納容器バウンダリにかかる圧力の最大値は約 0.47MPa [gage] となり、格納容器の限界圧力 0.62MPa [gage] を超えない。なお、格納容器バウンダリにかかる圧力が最大となる事象発生約 7.4 時間後において、水の放射線分解によって発生する水素及び酸素は、格納容器内の非凝縮性ガスに占める割合の 1%未満であるため、その影響は無視し得る程度である。

（添付資料 3.2.7）

格納容器雰囲気温度は、第 3.2-8 図及び第 3.2-10 図に示すとおり、格納容器内に崩壊熱等の熱によって発生した水蒸気等が放出されるため徐々に上昇するが、代替格納容器スプレー冷却系（常設）による格納容器冷却及び代替循環冷却系による格納容器除熱を行うことによって、温度上昇は抑制される。その結果、格納容器バウンダリにかかる温度の最

高値は約 151℃となり、格納容器の限界温度 200℃を超えない。

格納容器内の水素濃度は、第 3.2-26 図及び第 3.2-27 図に示すとおり、ジルコニウム-水反応等により発生した水素が格納容器へ放出されることで 13vol%（ドライ条件）を上回るが、第 3.2-24 図及び第 3.2-25 図に示すとおり、格納容器内酸素濃度が 4.0vol%（ドライ条件）に到達した時点で可搬型窒素供給装置による格納容器内への窒素注入を行うことによって、酸素濃度の最高値は約 4.0vol%（ドライ条件）にとどまることから、可燃限界である 5vol%（ドライ条件）を下回る。なお、コリウムシールドによってペDESTAL（ドライウエル部）の壁面及び床面のコンクリートの侵食は抑制されることから、溶融炉心・コンクリート相互作用による可燃性ガス及びその他の非凝縮性ガスは発生しない。

第 3.2-9 図及び第 3.2-10 図に示すとおり、事象発生から約 4.5 時間後に溶融炉心がペDESTAL（ドライウエル部）へ落下するが、格納容器下部注水系（常設）によるペDESTAL（ドライウエル部）への注水、代替格納容器スプレイ冷却系（常設）による格納容器冷却及び代替循環冷却系による格納容器除熱を行うことで、第 3.2-7 図及び第 3.2-8 図に示すとおり、格納容器圧力及び雰囲気温度は低下し、ペDESTAL（ドライウエル部）に落下した溶融炉心及び格納容器雰囲気は安定して除熱される。事象を通じて格納容器の限界圧力に到達せず、格納容器圧力逃がし装置を使用することなく、格納容器が過圧・過温破損に至らないことを確認した。なお、第 3.2-28 図に示すとおり、格納容器内の酸素濃度上昇により、長期的には格納容器圧力逃がし装置を用いて可燃性ガスを排出する。

「1.2.2.2 有効性を確認するための評価項目の設定」に示す(3)の評

価項目については、格納容器が健全であるため、格納容器から原子炉建屋への放射性物質の漏えい量は制限され、また、大気中へはほとんど放出されないものと考えられる。これは、原子炉建屋内に漏えいした放射性物質は、原子炉建屋内で時間減衰し、また、粒子状放射性物質は、原子炉建屋内での重力沈降や水蒸気の凝縮に伴い、原子炉建屋内に沈着すると考えられるためである。原子炉建屋内での放射性物質の時間減衰及び粒子状放射性物質の除去効果等を保守的に考慮せず、原子炉建屋から大気中への放射性物質の漏えいを想定した場合、漏えい量は約 3.2×10^{-2} TBq となり、100TBq を下回る。

事象発生からの7日間以降、 $Cs-137$ の漏えいが継続した場合の影響評価を行ったところ、約 3.4×10^{-2} TBq (30日間) 及び約 3.9×10^{-2} TBq (100日間) であり、100TBq を下回る。

(添付資料 3.2.5, 3.2.8)

本評価では、「1.2.2.2 有効性を確認するための評価項目の設定」に示す(1)から(4)、(6)及び(7)の評価項目並びにペデスタル(ドライウェル部)に落下した溶融炉心及び格納容器の安定状態の維持について、対策の有効性を確認した。なお、「1.2.2.2 有効性を確認するための評価項目の設定」に示す(5)及び(8)の評価項目については「3.3 原子炉圧力容器外の溶融燃料-冷却材相互作用」及び「3.5 溶融炉心・コンクリート相互作用」にて評価項目を満足することを確認している。

3.2.3 解析コード及び解析条件の不確かさの影響評価

解析コード及び解析条件の不確かさの影響評価の範囲として、運転員等操作時間に与える影響、評価項目となるパラメータに与える影響及び操作時間余裕を評価するものとする。

格納容器破損モード「高圧溶融物放出／格納容器雰囲気直接加熱」では、設計基準事故対処設備による原子炉注水機能（非常用炉心冷却系及び原子炉隔離時冷却系）のみならず、重大事故等対処設備による原子炉注水機能を含む全ての原子炉注水機能が喪失して炉心損傷に至り、原子炉圧力容器が破損する前に手動操作により原子炉減圧を行うことが特徴である。また、不確かさの影響を確認する運転員等操作は、事象進展に有意な影響を与えると考えられる操作として、原子炉急速減圧操作並びに緊急用海水系による冷却水（海水）の確保操作及び代替循環冷却系による格納容器除熱操作とする。

本評価事故シーケンスの有効性評価における現象の不確かさとしては、溶融炉心落下流量、溶融ジェット径、溶融炉心粒子化割合、冷却材とデブリ粒子の伝熱、炉心ヒートアップ、炉心崩壊挙動、溶融炉心と上面水プールとの伝熱、溶融炉心と原子炉圧力容器間の熱伝達、原子炉圧力容器破損判定が挙げられる。

これらの不確かさに対して、燃料ペレットが崩壊する時間及び温度、溶融ジェット径、エントレインメント係数、デブリ粒子径、ジルコニウム－水反応速度、限界熱流束に係る係数、下部プレナムギャップ除熱量に係る係数、溶接部破損時の最大ひずみを変化させた場合の本格納容器破損モードに対する影響は小さいことを確認している。

また、原子炉水位を監視し、原子炉水位が燃料有効長底部から燃料有効長の20%上の位置に到達した時点で原子炉減圧を行うといった、兆候を捉えた対応を図ることによって、炉心下部プレナムへの溶融炉心移行が発生する前に速やかに2.0MPa [gage]を十分下回る圧力まで原子炉を減圧可能であることを確認している。

(1) 解析コードにおける重要現象の不確かさの影響評価

本評価事故シーケンスにおいて不確かさの影響評価を行う重要現象とは、「1.7 解析コード及び解析条件の不確かさの影響評価方針」に示すとおりであり、それらの不確かさの影響評価は以下のとおりである。

a. 運転員等操作時間に与える影響

炉心における燃料棒内温度変化、燃料棒表面熱伝達、燃料被覆管酸化及び燃料被覆管変形の不確かさとして、炉心ヒートアップに関するモデルは、TMI事故についての再現性及びCORA実験についての再現性を確認している。炉心ヒートアップの感度解析（ジルコニウム-水反応速度の係数についての感度解析）では、炉心溶融開始時間及び炉心下部プレナムへの溶融炉心移行の開始時間に対する感度は数分程度であり、影響は小さいことを確認している。本評価事故シーケンスでは、原子炉圧力容器破損までは重大事故等対処設備を含む全ての原子炉への注水機能に期待しないことで原子炉圧力容器破損に至ることを想定しており、最初に実施すべき操作は原子炉水位が燃料有効長底部から燃料有効長の20%上の位置に到達した時点の原子炉減圧操作であり、また、燃料被覆管温度等を操作開始の起点としている運転員等操作はないことから、運転員等操作時間に与える影響はない。

炉心における沸騰・ボイド率変化及び気液分離（水位変化）・対向流の不確かさとして、炉心モデル（炉心水位計算モデル）は、原子炉水位挙動について原子炉圧力容器内のモデルが精緻である解析コードSAFERの評価結果との比較により水位低下幅は解析コードMAAPの評価結果の方が大きく、解析コードSAFERに対して保守的であることを確認している。このため、原子炉水位が燃料有効長底部から燃料有効長の20%上の位置に到達する時間が早まる可能性があるが、数分程度の差異であることから、運転員等操作時間に与える影響は小さい。

炉心損傷後の原子炉圧力容器におけるリロケーション及び構造材との熱伝達の不確かさとして、熔融炉心の挙動モデルはTMI事故についての再現性を確認している。また、炉心ノード崩壊のパラメータを低下させた感度解析により原子炉圧力容器破損時間に与える影響は小さいことを確認している。本評価事故シーケンスでは、原子炉圧力容器温度（下鏡部）を操作開始の起点としている運転員等操作はないことから、運転員等操作時間に与える影響はない。

炉心損傷後の原子炉圧力容器における原子炉圧力容器内FCI（熔融炉心細粒化）及び原子炉圧力容器内FCI（デブリ粒子熱伝達）の不確かさとして、下部プレナムでの熔融炉心の挙動に関する感度解析により、原子炉圧力容器破損時の原子炉圧力に与える影響は小さいことを確認している。本評価事故シーケンスでは、原子炉圧力容器内FCIを操作開始の起点としている運転員等操作はないことから、運転員等操作時間に与える影響はない。

炉心損傷後の原子炉圧力容器における炉心下部プレナムでの熔融炉心の熱伝達の不確かさとして、熔融炉心の挙動モデルはTMI事故についての再現性を確認している。また、炉心下部プレナムと熔融炉心の熱伝達に関する感度解析により原子炉圧力容器破損時間に与える影響は小さいことを確認している。本評価事故シーケンスでは、原子炉圧力容器温度（下鏡部）を操作開始の起点としている運転員等操作はないことから、運転員等操作時間に与える影響はない。

炉心損傷後の原子炉圧力容器における原子炉圧力容器破損の不確かさとして、制御棒駆動機構ハウジング溶接部の破損判定に用いる最大ひずみ（しきい値）に関する感度解析により最大ひずみを低下させた場合に原子炉圧力容器破損時間が早まることを確認している。本評価事故シー

ケースでは、原子炉圧力容器破損を操作開始の起点としている運転員等操作はないことから、運転員等操作時間に与える影響はない。

(添付資料 3.2.9)

b. 評価項目となるパラメータに与える影響

炉心における燃料棒内温度変化、燃料棒表面熱伝達、燃料被覆管酸化及び燃料被覆管変形の不確かさとして、炉心ヒートアップに関するモデルは、TMI事故についての再現性及びCORA実験についての再現性を確認している。炉心ヒートアップの感度解析（ジルコニウム-水反応速度の係数についての感度解析）では、炉心溶融開始時間及び炉心下部プレナムへの溶融炉心移行の開始時間への感度は数分程度であり、影響は小さいことを確認している。本評価事故シーケンスでは、原子炉水位が燃料有効長底部から燃料有効長の20%上の位置に到達した時点での運転員等操作による原子炉急速減圧によって速やかに原子炉圧力を2.0MPa [gage] 以下に低減し、原子炉圧力容器破損時の原子炉圧力を2.0MPa [gage] 以下に維持しているため、運転員等操作時間に与える影響はないことから、評価項目となるパラメータに与える影響はない。

炉心における沸騰・ボイド率変化及び気液分離（水位変化）・対向流の不確かさとして、炉心モデル（炉心水位計算モデル）は、原子炉水位挙動について原子炉圧力容器内のモデルが精緻である解析コードSAFERの評価結果との比較により水位低下幅は解析コードMAAPの評価結果の方が大きく、解析コードSAFERに対して保守的であることを確認している。このため、原子炉水位が燃料有効長底部から燃料有効長の20%上の位置に到達する時間が早まる可能性があるが、数分程度の差異であり、原子炉急速減圧操作後に原子炉圧力は速やかに低下することから、評価項目となるパラメータに与える影響は小さい。

炉心損傷後の原子炉圧力容器におけるリロケーション及び構造材との熱伝達の不確かさとして、熔融炉心の挙動モデルはTMI事故についての再現性を確認している。また、炉心ノード崩壊のパラメータを低下させた感度解析により炉心熔融開始時間に与える影響は小さいことを確認している。本評価事故シーケンスでは、原子炉圧力容器が破損する前に、十分な時間余裕をもって手動減圧により原子炉圧力を 2.0MPa [gage] 以下に維持していることから、評価項目となるパラメータに与える影響はない。

炉心損傷後の原子炉圧力容器における原子炉圧力容器内 F C I（熔融炉心細粒化）及び原子炉圧力容器内 F C I（デブリ粒子熱伝達）の不確かさとして、下部プレナムでの熔融炉心の挙動に関する感度解析により、原子炉圧力容器破損時の原子炉圧力に与える影響は小さいことを確認している。本評価事故シーケンスでは、原子炉圧力容器が破損する前に、十分な時間余裕をもって手動減圧により原子炉圧力を 2.0MPa [gage] 以下に維持していることから、評価項目となるパラメータに与える影響はない。

炉心損傷後の原子炉圧力容器における炉心下部プレナムでの熔融炉心の熱伝達の不確かさとして、熔融炉心の挙動モデルはTMI事故についての再現性を確認している。また、炉心下部プレナムと熔融炉心の熱伝達に関する感度解析により原子炉圧力容器破損時間に与える影響は小さいことを確認していることから、評価項目となるパラメータに与える影響は小さい。

炉心損傷後の原子炉圧力容器における原子炉圧力容器破損の不確かさとして、制御棒駆動機構ハウジング溶接部の破損判定に用いる最大ひずみ（しきい値）に関する感度解析により最大ひずみを低下させた場合に

原子炉圧力容器破損が早まることを確認しているが、原子炉圧力容器破損（事象発生から約4.5時間後）に対して早まる時間は僅かであることから、評価項目となるパラメータに与える影響は小さい。

(添付資料 3.2.9)

(2) 解析条件の不確かさの影響評価

a. 初期条件、事故条件及び重大事故等対策に関連する機器条件

初期条件、事故条件及び重大事故等対策に関連する機器条件は、第3.2-2表に示すとおりであり、それらの条件設定を設計値等、最確条件とした場合の影響を評価する。また、解析条件の設定に当たっては、評価項目となるパラメータに対する余裕が小さくなるような設定があることから、その中で事象進展に有意な影響を与えると考えられる項目に関する影響評価の結果を以下に示す。

(a) 運転員等操作時間に与える影響

初期条件の原子炉停止後の崩壊熱は、解析条件の燃焼度 $33\text{GWd}/\text{t}$ に対応したものとしており、その最確条件は平均的燃焼度約 $31\text{GWd}/\text{t}$ であり、解析条件の不確かさとして、最確条件とした場合は、解析条件で設定している崩壊熱よりも小さくなるため、発生する蒸気量は少なくなり、原子炉水位の低下は緩和されるが、操作手順（原子炉水位に応じて急速減圧を実施すること）に変わりはないことから、運転員等操作時間に与える影響はない。

初期条件の原子炉圧力、原子炉水位及び炉心流量は、解析条件の不確かさとして、ゆらぎにより解析条件に対して変動を与え得るが、事象進展に与える影響は小さいことから、運転員等操作時間に与える影響は小さい。

(添付資料 3.2.9)

(b) 評価項目となるパラメータに与える影響

初期条件の原子炉停止後の崩壊熱は、解析条件の燃焼度 $33\text{GWd}/\text{t}$ に対応したものとしており、その最確条件は平均的燃焼度約 $31\text{GWd}/\text{t}$ であり、解析条件の不確かさとして、最確条件とした場合は、解析条件で設定している崩壊熱よりも小さくなるため、発生する蒸気量は少なくなり、原子炉水位の低下は緩和され、原子炉急速減圧操作の開始が遅くなるが、原子炉圧力容器破損も遅くなり、原子炉急速減圧操作開始後に原子炉圧力は速やかに低下することから、評価項目となるパラメータに与える影響はない。

初期条件の原子炉圧力、原子炉水位及び炉心流量は、解析条件の不確かさとして、ゆらぎにより解析条件に対して変動を与え得るが、事象進展に与える影響は小さいことから、評価項目となるパラメータに与える影響は小さい。

(添付資料 3.2.9)

b. 操作条件

操作条件の不確かさとして、操作の不確かさを「認知」、「要員配置」、「移動」、「操作所要時間」、「他の並列操作有無」及び「操作の確実さ」の6要因に分類し、これらの要因が運転員等操作時間に与える影響を評価する。また、運転員等操作時間に与える影響が評価項目となるパラメータに与える影響を評価し、評価結果を以下に示す。

(a) 運転員等操作時間に与える影響

操作条件の原子炉急速減圧操作は、解析上の操作時間として原子炉水位が燃料有効長底部から燃料有効長の20%上の位置に到達時（事象発生から約38分後）を設定している。運転員等操作時間に与える

影響として、原子炉水位が燃料有効長底部から燃料有効長の 20%上の位置に到達するまでに事象発生から約 38 分の時間余裕があり、また、原子炉急速減圧操作は原子炉水位の低下傾向を監視しながらあらかじめ準備が可能であり、実態の操作開始時間は解析上の設定とほぼ同等であるため、操作開始時間に与える影響は小さいことから、運転員等操作時間に与える影響も小さい。当該操作は、解析コード及び解析条件（操作条件を除く）の不確かさにより操作開始時間は遅れる可能性があるが、中央制御室で行う作業であり、他の操作との重複もないことから、他の操作に与える影響はない。

操作条件の緊急用海水系による冷却水（海水）の確保操作及び代替循環冷却系による格納容器除熱操作は、解析上の操作開始時間として事象発生から 90 分後を設定している。運転員等操作時間に与える影響として、代替循環冷却系運転は事象発生 90 分後に開始することとしているが、時間余裕を含めて設定されているため操作の不確かさが操作開始時間に与える影響は小さいことから、運転員等操作時間に与える影響は小さい。また、本操作の操作開始時間は、操作所要時間を踏まえて解析上の想定時間を設定したものであり、実態の操作開始時間が早まる可能性があるが、状況判断から代替循環冷却系運転までは一連の操作として実施し、同一の運転員による並列操作はなく、運転員等操作時間に与える影響も小さい。

(添付資料 3.2.9)

(b) 評価項目となるパラメータに与える影響

操作条件の原子炉急速減圧操作は、運転員等操作時間に与える影響として、実態の操作開始時間は解析上の設定とほぼ同等であることから、評価項目となるパラメータに与える影響は小さい。

操作条件の緊急用海水系による冷却水（海水）の確保操作及び代替循環冷却系による格納容器除熱操作は、運転員等操作時間に与える影響として、操作開始時間が早まった場合には、本操作も早まる可能性があり、格納容器圧力及び雰囲気温度を早期に低下させる可能性があることから、評価項目となるパラメータに対する余裕は大きくなる。

(添付資料 3.2.9)

(3) 操作時間余裕の把握

操作開始時間の遅れによる影響度合いを把握する観点から、評価項目となるパラメータに対して、対策の有効性が確認できる範囲内の操作時間余裕を確認し、その結果を以下に示す。

操作条件の原子炉急速減圧操作については、原子炉圧力容器破損までに完了する必要があるが、原子炉圧力容器破損までの時間は事象発生から約 4.5 時間あり、操作開始時間（事象発生から約 38 分後）に対して余裕があるため、準備時間が確保できることから、時間余裕がある。

操作条件の緊急用海水系による冷却水（海水）の確保操作及び代替循環冷却系による格納容器除熱操作については、格納容器除熱開始までの時間は操作所要時間を踏まえて解析上の想定時間を設定したものであり時間余裕があるが、本操作が大幅に遅れるような事態になった場合でも、原子炉圧力容器破損に至るまでの時間は事象発生から約 4.5 時間であり、約 3 時間の余裕があることから、時間余裕がある。

(添付資料 3.2.9)

(4) 原子炉圧力容器破損後の原子炉注水を考慮しない場合の影響評価

重大事故等対処設備による原子炉注水に対する仮定として、原子炉圧力

容器破損までは重大事故等対処設備による原子炉への注水を考慮しないものとしているが、故障により原子炉注水ができない状態であった場合、故障要因を除去できないまま、原子炉圧力容器破損後も原子炉へ注水できないことも考えられる。この影響を考慮した感度解析を実施した。格納容器圧力の推移を第 3.2-29 図、格納容器雰囲気温度の推移を第 3.2-30 図に示す。原子炉圧力容器破損後に原子炉へ注水できない場合においても、格納容器圧力及び格納容器雰囲気温度の観点では大きな影響はないことから、評価項目となるパラメータに対する影響は小さい。

(添付資料 3.2.10)

(5) まとめ

解析コード及び解析条件の不確かさの影響評価の範囲として、運転員等操作時間に与える影響、評価項目となるパラメータに与える影響及び操作時間余裕を確認した。また、原子炉圧力容器破損後も原子炉へ注水できない場合の感度解析を実施した。その結果、解析コード及び解析条件の不確かさが運転員等操作時間に与える影響等を考慮した場合においても、評価項目となるパラメータに与える影響は小さい。このほか、評価項目となるパラメータに対して、対策の有効性が確認できる範囲内において、操作時間には時間余裕がある。

3.2.4 必要な要員及び資源の評価

(1) 必要な要員の評価

格納容器破損モード「高圧溶融物放出／格納容器雰囲気直接加熱」において、重大事故等対策時における事象発生 2 時間までに必要な要員は、「3.2.1(3) 格納容器破損防止対策」に示すとおり 20 名である。「6.2 重

大事故等対策時に必要な要員の評価結果」で説明している災害対策要員（初動）の39名で対処可能である。

また、事象発生2時間以降に必要な参集要員は2名であり、発電所構外から2時間以内に参集可能な要員の72名で確保可能である。

(2) 必要な資源の評価

格納容器破損モード「高圧溶融物放出／格納容器雰囲気直接加熱」において、必要な水源、燃料及び電源は、「6.1(2) 資源の評価条件」の条件にて評価している。その結果を以下に示す。

a. 水 源

格納容器下部注水系（常設）によるペDESTAL（ドライウェル部）注水及び代替格納容器スプレイ冷却系（常設）による格納容器スプレイは、7日間の対応を考慮すると、合計約380m³の水が必要である。水源として、代替淡水貯槽に約4,300m³の水を保有している。これにより、必要な水源は確保可能である。

代替循環冷却系による格納容器除熱については、サブプレッション・チェンバのプール水を水源として注水することから、水源が枯渇することはないため、7日間の注水継続実施が可能である。

(添付資料 3.2.11)

b. 燃 料

常設代替交流電源設備（常設代替高圧電源装置5台）による電源供給については、保守的に事象発生直後からの運転を想定すると、7日間の運転継続に合計約352.8kLの軽油が必要となる。軽油貯蔵タンクにて約800kLの軽油を保有しており、この使用が可能であることから、常設代替交流電源設備（常設代替高圧電源装置5台）による電源供給について、

7日間の継続が可能である。

可搬型窒素供給装置による格納容器内への窒素注入については、保守的に事象発生直後からの可搬型窒素供給装置の運転を想定すると、7日間の運転継続に約18.5kLの軽油が必要となる。可搬型設備用軽油タンクにて約210kLの軽油を保有しており、この使用が可能であることから、可搬型窒素供給装置による格納容器内への窒素注入について、7日間の継続が可能である。

緊急時対策所用発電機による電源供給については、事象発生直後からの運転を想定すると、7日間の運転継続に約70.0kLの軽油が必要となる。緊急時対策所用発電機燃料油貯蔵タンクにて約75kLの軽油を保有しており、この使用が可能であることから、緊急時対策所用発電機による電源供給について、7日間の継続が可能である。

(添付資料 3.2.12)

c. 電 源

常設代替交流電源設備の電源負荷については、重大事故等対策時に必要な負荷として、約2,769kW必要となるが、常設代替交流電源設備（常設代替高圧電源装置5台）の連続定格容量は約5,520kWであり、必要負荷に対しての電源供給が可能である。

また、緊急時対策所用発電機及び可搬型窒素供給装置の窒素供給装置用電源車についても、必要負荷に対しての電源供給が可能である。

(添付資料 3.2.13)

3.2.5 結 論

格納容器破損モード「高圧溶融物放出／格納容器雰囲気直接加熱」では、運転時の異常な過渡変化又は全交流動力電源喪失が発生するとともに、非常

用炉心冷却系等の安全機能の喪失が重畳する。このため、原子炉圧力容器が高い圧力の状況で損傷し、熔融炉心、水蒸気及び水素が急速に放出され、格納容器に熱的・機械的な負荷が発生して格納容器の破損に至ることが特徴である。格納容器破損モード「高圧熔融物放出／格納容器雰囲気直接加熱」に対する格納容器破損防止対策としては、逃がし安全弁（自動減圧機能）の手動による原子炉減圧手段を整備している。

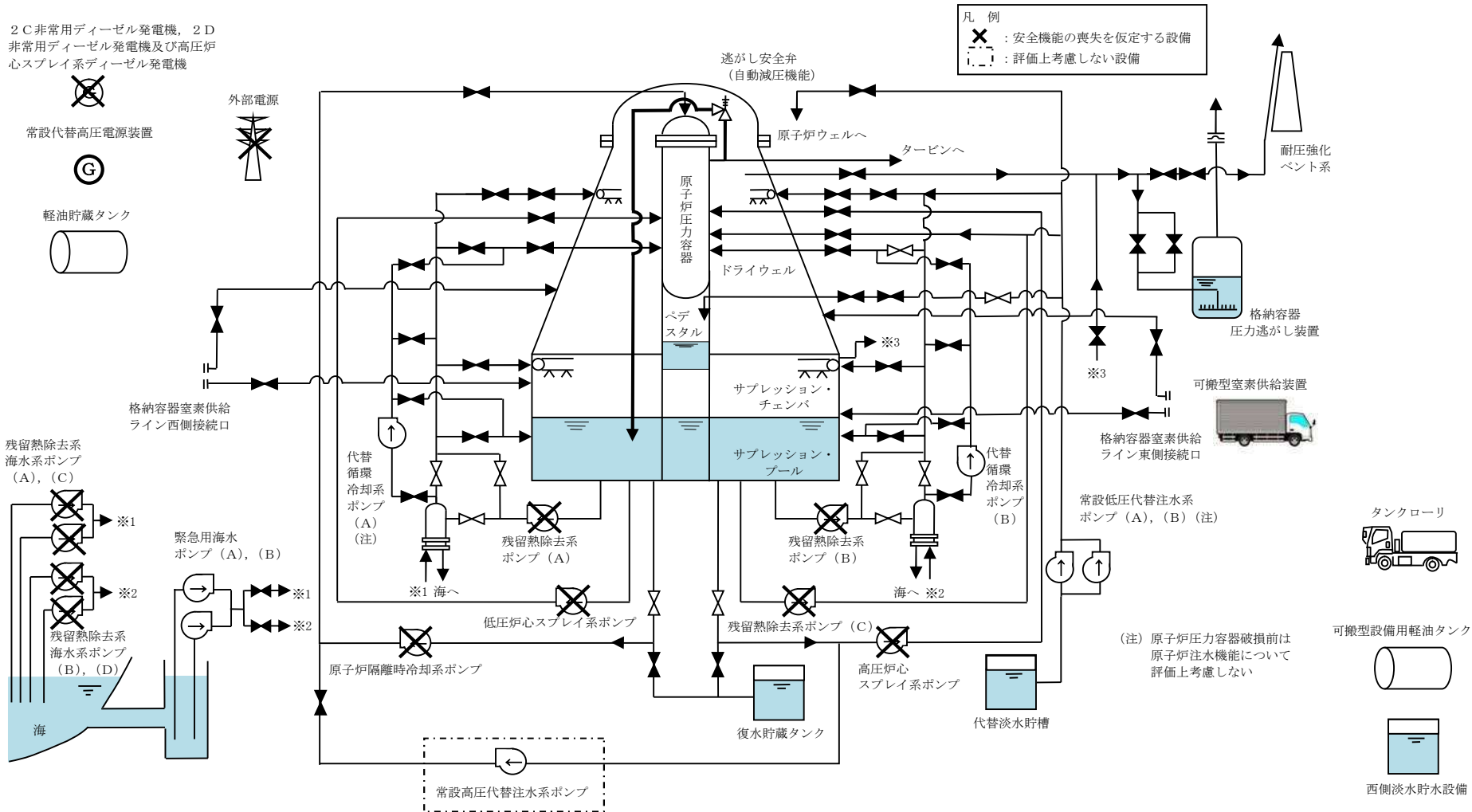
格納容器破損モード「高圧熔融物放出／格納容器雰囲気直接加熱」の評価事故シーケンス「過渡事象＋高圧炉心冷却失敗＋原子炉減圧失敗＋炉心損傷後の原子炉減圧失敗（＋DCH）」について有効性評価を行った。

上記の場合においても、逃がし安全弁（自動減圧機能）の手動開操作による原子炉減圧により、原子炉圧力容器破損時の原子炉圧力を 2.0MPa [gage] 以下に低減することが可能である。また、格納容器バウンダリにかかる圧力、格納容器バウンダリにかかる温度、放射性物質の総放出量、水素の爆轟及び可燃性ガスの蓄積、燃焼の観点でも評価項目を満足することから、安定状態を維持できる。

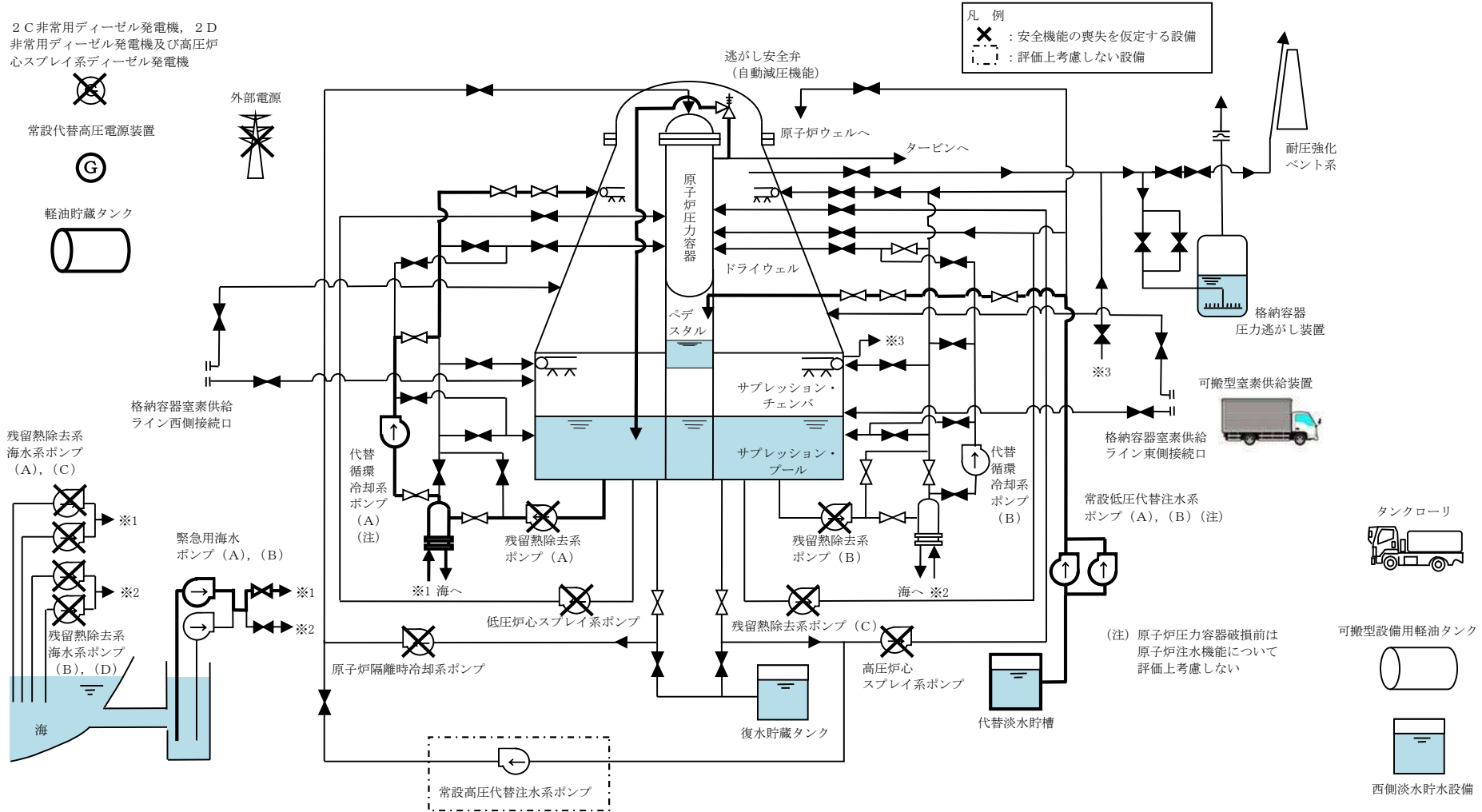
解析コード及び解析条件の不確かさについて確認した結果、運転員等操作時間に与える影響及び評価項目となるパラメータに与える影響は小さい。また、対策の有効性が確認できる範囲内において、操作時間余裕について確認した結果、操作が遅れた場合でも一定の余裕がある。

重大事故等対策時に必要な要員は、災害対策要員にて確保可能である。また、必要な水源、燃料及び電源を供給可能である。

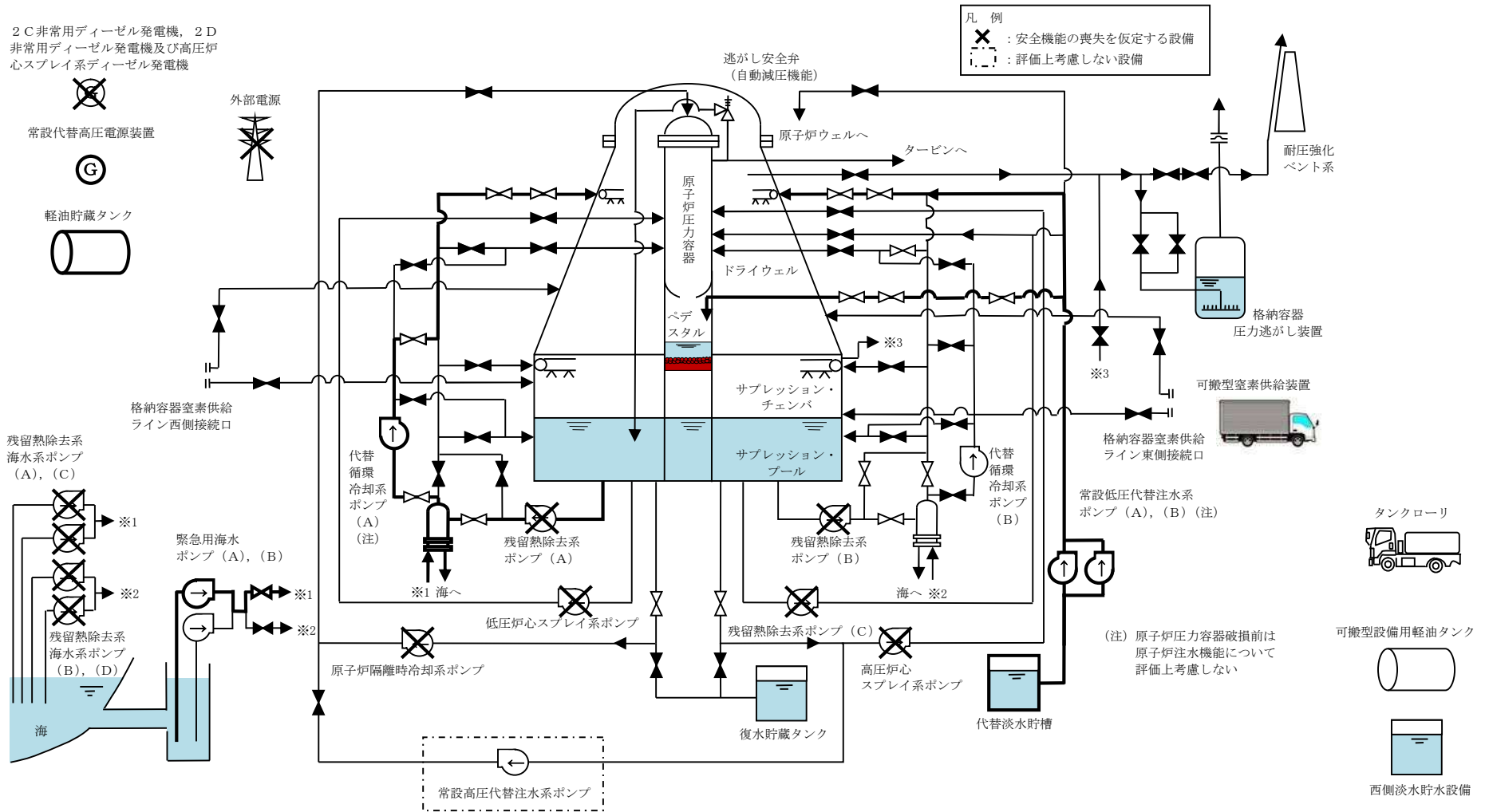
以上のことから、逃がし安全弁（自動減圧機能）の手動開操作による原子炉減圧の格納容器破損防止対策は、選定した評価事故シーケンスに対して有効であることが確認でき、格納容器破損モード「高圧熔融物放出／格納容器雰囲気直接加熱」に対して有効である。



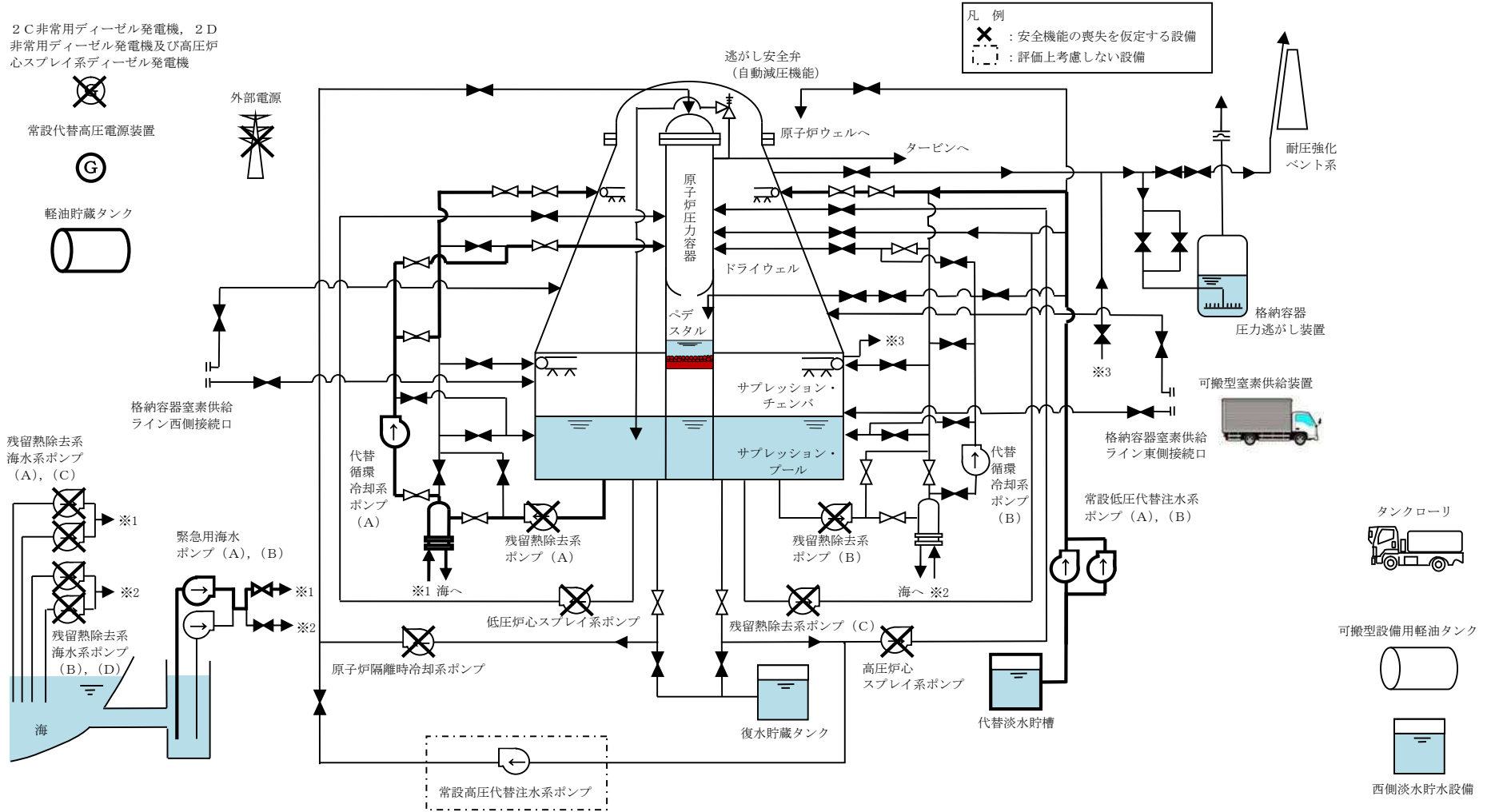
第 3.2-1 図 高压溶融物放出/格納容器雰囲気直接加熱時の重大事故等対策の概略系統図 (1/5)
 (原子炉圧力容器破損前の逃がし安全弁 (自動減圧機能) による原子炉減圧段階)



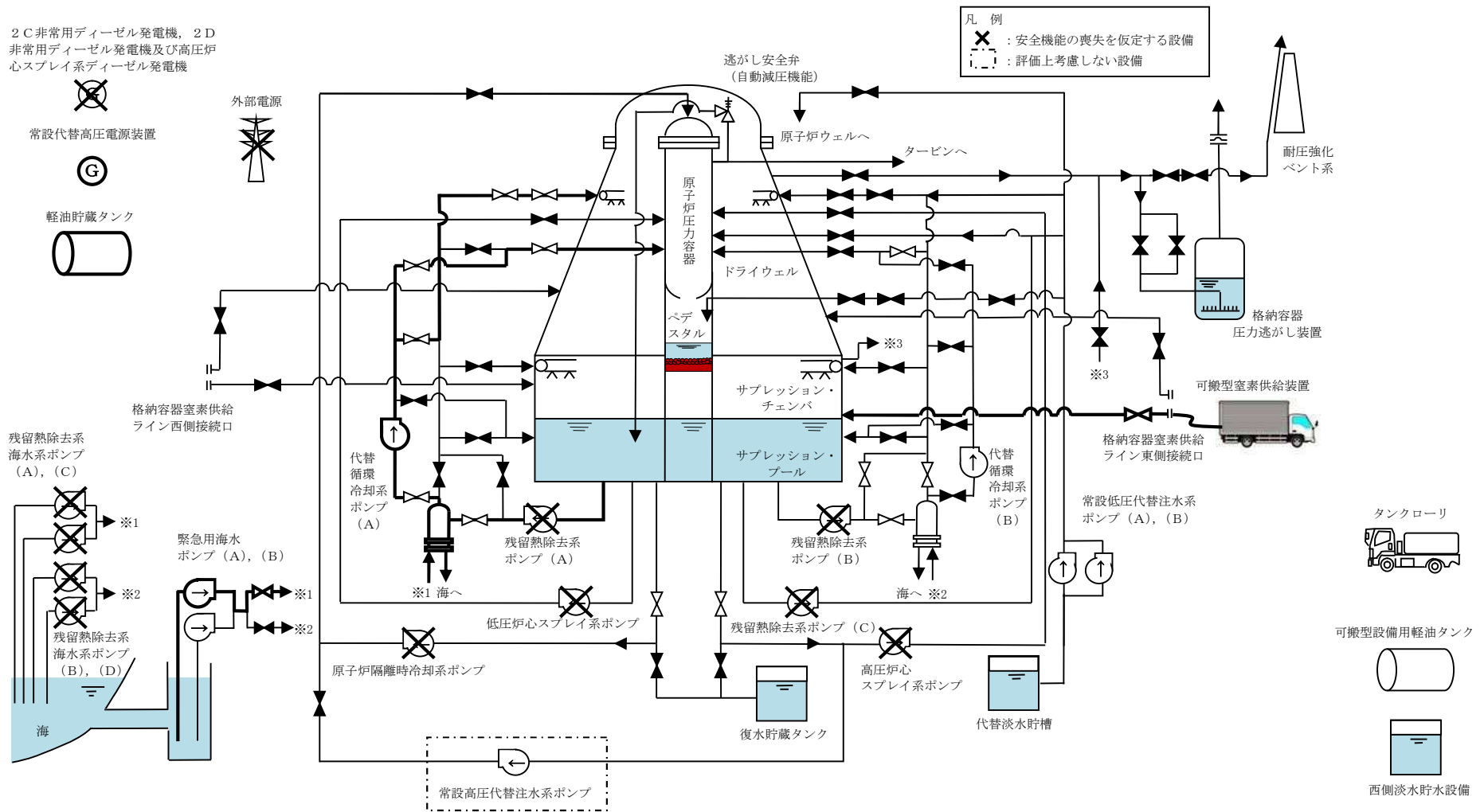
第 3.2-1 図 高压熔融物放出／格納容器雰囲気直接加熱時の重大事故等対策の概略系統図 (2/5)
 (原子炉圧力容器破損前の代替循環冷却系による格納容器除熱及び
 格納容器下部注水系 (常設) によるペDESTAL (ドライウエル部) 水位の確保段階)



第 3.2-1 図 高压溶融物放出／格納容器雰囲気直接加熱時の重大事故等対策の概略系統図 (3/5)
 (原子炉圧力容器破損後の代替循環冷却系による格納容器除熱，代替格納容器スプレィ冷却系 (常設) による格納容器冷却及び格納容器下部注水系 (常設) によるペDESTAL (ドライウエル部) 注水段階)



第 3.2-1 図 高压溶融物放出／格納容器雰囲気直接加熱時の重大事故等対策の概略系統図 (4/5)
 (原子炉圧力容器破損後の代替循環冷却系による格納容器除熱、
 代替格納容器スプレイ冷却系(常設)による格納容器冷却段階)



第 3.2-1 図 高压溶融物放出／格納容器雰囲気直接加熱時の重大事故等対策の概略系統図 (5/5)
 (原子炉压力容器破損後の代替循環冷却系による格納容器除熱,
 可搬型窒素供給装置による格納容器内への窒素注入段階)

(解析上の時刻)

(0 秒)

(約 35 分)

(約 38 分)

(約 40 分)

(約 52 分)

(約 1.2 時間)

(90 分)

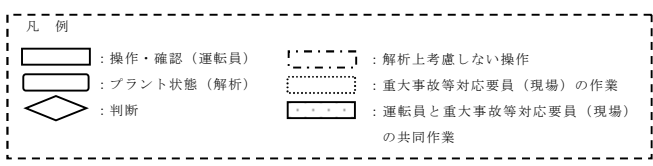
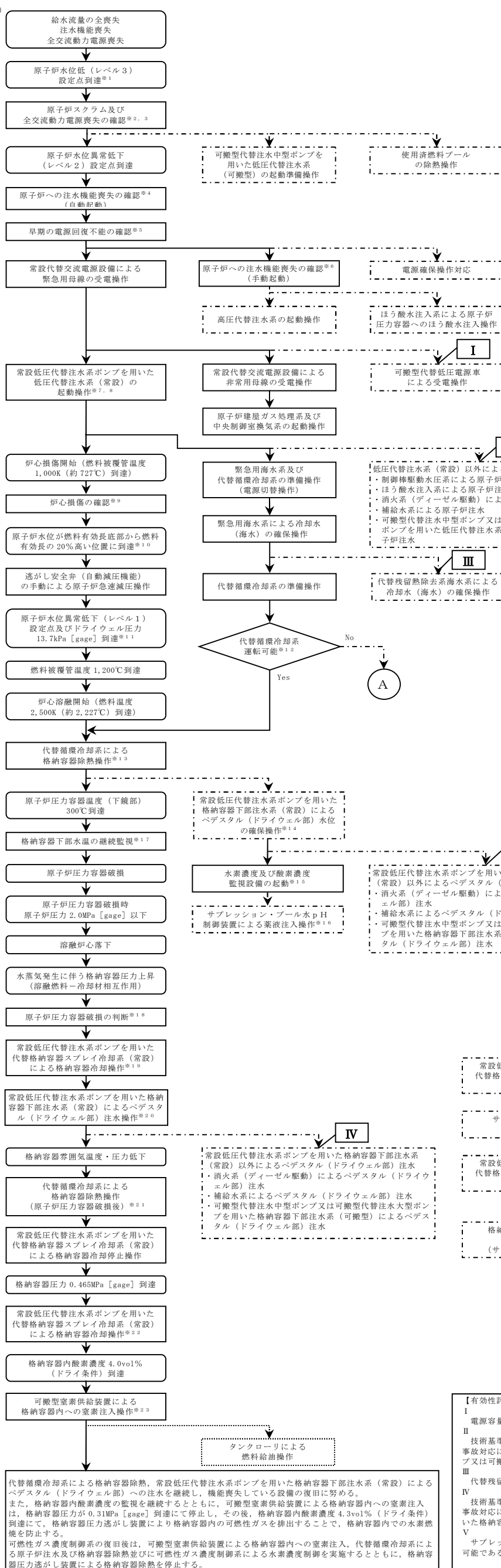
(約 2.7 時間)

(約 4.5 時間)

(約 4.6 時間)

(約 6.7 時間)

(約 167 時間)



- ※1 外部電源喪失に伴い、原子炉スクラム、主蒸気隔離弁閉止及び再循環系ポンプ停止となるが、解析上は原子炉水位低(レベル3)設定点到達にて原子炉スクラム信号が発信するものとする。主蒸気隔離弁閉止及び再循環系ポンプ停止については、外部電源喪失時とする。
- ※2 重大事故等発生を通信連絡設備により確認した現場作業員は避難を実施する。
- ※3 原子炉スクラムは、中央制御室にて平均出力領域計装等により確認する。
- ※4 全交流動力電源喪失及び原子炉隔離時冷却系の自動起動失敗により原子炉への注水機能が喪失する。
- ※5 外部電源の受電及び非常用ディーゼル発電機等の起動ができず、非常用母線の電源回復ができない場合、早期の電源回復不能と判断する。
- ※6 中央制御室にて、機器ランプ表示、警報、ポンプ吐出圧力計、系統流量計、原子炉水位計、原子炉圧力計等にて確認する。
- ※7 常設低圧代替注水系ポンプを用いた低圧代替注水系(常設)の起動操作は、以下により判断する。
・LOCA発生の確認なし、かつ、高圧・低圧注水機能喪失
- ※8 格納容器破損モード「高圧溶融物放出/格納容器雰囲気直接加熱」の有効性評価を実施する上で、原子炉圧力容器破損までは重大事故等対応設備による原子炉注水機能についても考慮しないものと仮定する。
- ※9 炉心損傷は、以下により判断する。
・ドライウエル又はサブプレッション・チェンバ内のガンマ線線量率が設計基準事故相当のガンマ線線量率の10倍以上
なお、格納容器雰囲気放射線モニタ(D/W)及び(S/C)による炉心損傷発生判断ができない場合は、原子炉圧力容器温度により判断する。
- ※10 原子炉注水の手段が全くない場合、原子炉水位が燃料有効長底部から燃料有効長の20%高い位置に到達した時点で、原子炉急速減圧操作の実施を判断する。
「燃料有効長底部から燃料有効長の20%高い位置」とは、原子炉水位(燃料域)で-2966mmを示す。
- ※11 原子炉水位異常低下(レベル1)設定点及びドライウエル圧力13.7kPa [gauge]到達により、床ドレン制限弁、機器ドレン制限弁及び原子炉補機冷却水制限弁が自動閉止することを確認する。
- ※12 残留熱除去系熱交換器への海水通水並びに代替循環冷却系の系統構成及び起動が問題なく行われたことをもって、代替循環冷却系の運転可能を判断する。
- ※13 炉心損傷していること及び原子炉注水機能が喪失していることにより代替循環冷却系による格納容器除熱操作を実施する。
格納容器スプレイ流量は250m³/hで開始する。
- ※14 ベDESTAL(ドライウエル部)内床ドレンサンプの1m水位維持機能を使用した追加注水により水位を確保する。
水位確保操作は、非常用母線からの負荷切替操作、注水開始操作、水位上昇及び注水停止操作を考慮した時間(約24分)で実施する。その後、サブプレッション・チェンバへの排水により水位が約1mとなった後、床ドレン排水弁及び機器ドレン排水弁は自動閉止する。
- ※15 炉心損傷を確認した場合、水素濃度及び酸素濃度監視設備を起動し、他のパラメータ同様、格納容器内水素濃度及び酸素濃度を継続して監視する。
- ※16 サブプレッション・プール水pH制御装置(自主対策設備)による薬液注入操作は、格納容器下部水位確保後から実施する。
- ※17 原子炉圧力容器温度(下鏡部)が300°Cに到達したことにより原子炉圧力容器の破損徴候を確認し、原子炉圧力容器の破損の速やかな判断のために格納容器下部水温を継続監視する。
原子炉圧力容器の破損徴候判断パラメータは以下のとおり。
・原子炉水位の「低下(喪失)」
・制御棒位置の指示値の「喪失数増加」
・原子炉圧力容器温度(下鏡部)が「300°C到達」
- ※18 原子炉圧力容器破損の判断は、以下の破損判断パラメータにより行う。
・格納容器下部水温の「上昇」又は「喪失」
併せて、格納容器下部水温(20cm位置)の指示変化(オーバースケールやダウンスケール)により溶融炉心の多量落下を判断する。
- ※19 原子炉圧力容器が破損したことにより、常設低圧代替注水系ポンプを用いた代替格納容器スプレイ冷却系(常設)による格納容器冷却操作(原子炉圧力容器破損後)を実施する。
格納容器スプレイ流量は300m³/hで開始し、格納容器圧力が低下傾向に転じた後、スプレイを停止する。
- ※20 溶融炉心の多量落下に伴い、常設低圧代替注水系ポンプを用いた格納容器下部注水系(常設)によるベDESTAL(ドライウエル部)注水操作を実施する。
ベDESTAL(ドライウエル部)注水流量は80m³/hで開始し、ベDESTAL(ドライウエル部)水位が2.75mに到達後、注水を停止する。その後はベDESTAL(ドライウエル部)水位を約2.25m〜約2.75mの範囲に制御する。なお、実手順としては、作業員及びベDESTAL(ドライウエル部)への注水に対する負荷低減の観点から、全炉心の崩壊熱による蒸発量相当の注水量で注水を実施する。ただし、全炉心の崩壊熱による蒸発量相当の注水量が格納容器下部注水系(常設)の最低流量を下回る場合は、最低流量にて注水する運用とする。
- ※21 原子炉圧力容器の破損後に格納容器圧力の低下傾向を確認した後、代替循環冷却系による格納容器除熱操作(原子炉圧力容器破損後)を実施するとともに、常設低圧代替注水系ポンプを用いた代替格納容器スプレイ冷却系(常設)による格納容器冷却操作を停止する。
代替循環冷却系による原子炉注水流量は100m³/hとし、格納容器スプレイ流量は150m³/hとする。
- ※22 常設低圧代替注水系ポンプを用いた代替格納容器スプレイ冷却系(常設)による格納容器冷却操作は、解析上は130m³/h一定流量で、格納容器圧力を0.400MPa [gauge]から0.465MPa [gauge]の範囲に維持するよう間欠運転としているが、実際には運転手順に従い格納容器圧力を0.400MPa [gauge]から0.465MPa [gauge]の範囲に維持するよう102~130m³/hの範囲でスプレイ流量を調整する。
- ※23 可搬型窒素供給装置による格納容器内への窒素注入操作は、格納容器内酸素濃度が4.0vol%に到達した時点でサブプレッション・チェンバへの窒素注入を実施する。ただし、窒素供給後に格納容器内酸素濃度の上昇が継続する場合には、追加でドライウエルへの窒素注入を実施する。なお、可搬型窒素供給装置の起動準備操作は、格納容器内酸素濃度が3.5vol%に到達した時点で開始する。

【有効性評価の対象としていないが他に取れる手段】

I 電源容量により使用できる設備に限られるが、常設代替高圧電源装置が使用できない場合は可搬型代替低圧電源車により受電する。

II 技術基準上の全ての要求事項を満たすことや全てのプラント状況において使用することは困難であるが、プラント状況によっては、事故対応に有効な設備となる制御棒駆動水圧系、ほう酸水注入系、消火系(ディーゼル駆動)、補給水及び可搬型代替注水中型ポンプ又は可搬型代替注水大型ポンプを用いた低圧代替注水系(可搬型)による原子炉注水も実施可能である。

III 代替残留熱除去系海水系による海水通水も可能である。

IV 技術基準上の全ての要求事項を満たすことや全てのプラント状況において使用することは困難であるが、プラント状況によっては、事故対応に有効な設備となる消火系(ディーゼル駆動)、補給水及び可搬型代替注水中型ポンプ又は可搬型代替注水大型ポンプを用いた格納容器下部注水系(可搬型)によるベDESTAL(ドライウエル部)注水も実施可能である。

V サブプレッション・チェンバ側からの格納容器ベントを優先するが、ドライウエル側からの格納容器ベントによる格納容器除熱も実施可能である。

第3.2-2図 「高圧溶融物放出/格納容器雰囲気直接加熱」の対応手順の概要

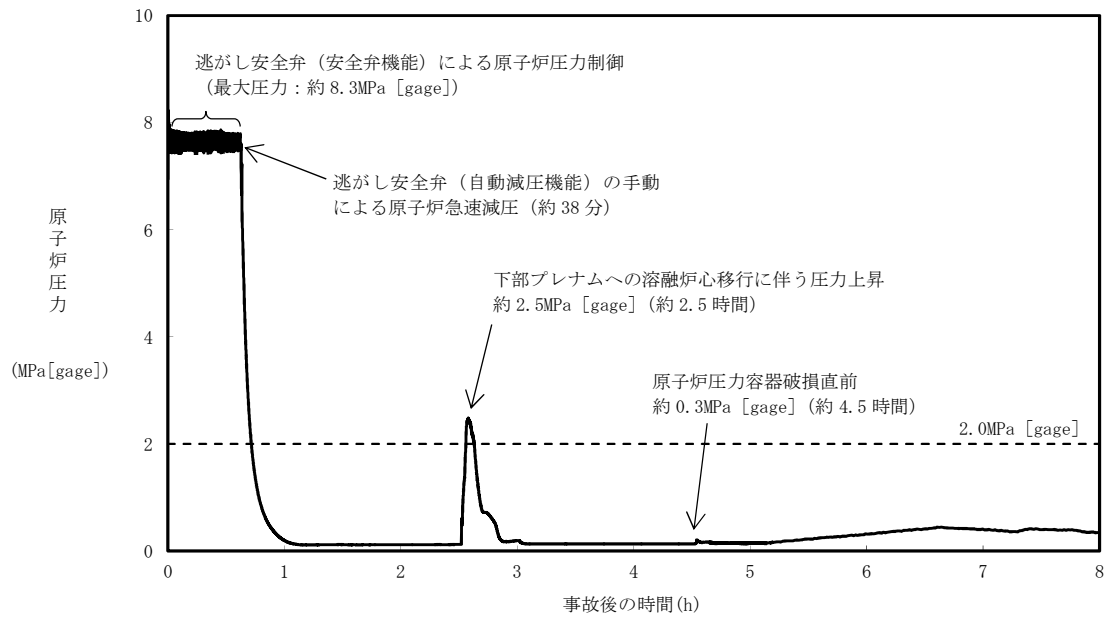
| 高圧溶融物放出／格納容器雰囲気直接加熱 | | | | | 経過時間 (分) | | | | | | | | | | | | | | | | 備考 | | | | | | | | | |
|---|-------------------------------|------------------|----|-------------------|--|--|----|----|----|----|----|----|----|-----|-----|-----|-----|-----|-----|-----|-----|-----|-----|-----|--|------|-----------------------|---|----------------|--------------------|
| | | | | | 10 | 20 | 30 | 40 | 50 | 60 | 70 | 80 | 90 | 100 | 110 | 120 | 130 | 140 | 150 | 160 | 170 | 180 | 190 | 200 | | | | | | |
| 操作項目 | 実施箇所・必要員数 【 】は他作業後移動してきた要員 | | | | 操作の内容 | 事象発生 原子炉スクラム プラント状況判断 約35分 炉心損傷開始 (燃料被覆管温度 1,000K 到達) 約52分 燃料被覆管温度 1,200°C到達 約38分 原子炉水位が燃料有効長底部から燃料有効長の20%高い位置に到達 約1.2時間 炉心溶融開始 (燃料温度 2,500K 到達) 2時間 原子炉建屋ガス処理系及び中央制御室換気系の起動による負圧達成 | | | | | | | | | | | | | | | | | | | | | | | | |
| | 責任者 | 当直発電長 | 1人 | 中央監視 運転操作指揮 | | | | | | | | | | | | | | | | | | | | | | | | | | |
| | 補佐 | 当直副発電長 | 1人 | 運転操作指揮補佐 | | | | | | | | | | | | | | | | | | | | | | | | | | |
| | 指揮者等 | 災害対策要員 (指揮者等) | 4人 | 初動での指揮 発電所内外連絡 | | | | | | | | | | | | | | | | | | | | | | | | | | |
| | 当直運転員 (中央制御室) | 当直運転員 (現場) | | 重大事故等対応要員 (現場) | | | | | | | | | | | | | | | | | | | | | | | | | | |
| 状況判断 | 2人 A, B | - | - | - | ●原子炉スクラムの確認 ●タービン停止の確認 ●外部電源喪失の確認 ●再循環系ポンプ停止の確認 ●主蒸気隔離弁閉止及び逃がし安全弁 (安全弁機能) による原子炉圧力制御の確認 ●非常用ディーゼル発電機等の自動起動失敗の確認 ●原子炉への注水機能喪失の確認 (自動起動) | 10分 | | | | | | | | | | | | | | | | | | | | | | | | |
| 早期の電源回復不能の確認 | 【1人】 A | - | - | - | ●高圧炉心スプレィ系ディーゼル発電機の自動起動操作 (失敗) | 1分 | | | | | | | | | | | | | | | | | | | | | | | | |
| | 【1人】 B | - | - | - | ●非常用ディーゼル発電機の自動起動操作 (失敗) | 2分 | | | | | | | | | | | | | | | | | | | | | | | | |
| 電源確保操作対応 | - | - | - | 2人 a, b | ●電源回復操作 | | | | | | | | | | | | | | | | | | | | | 適宜実施 | 解析上考慮しない | | | |
| 常設代替交流電源設備による緊急用母線の受電操作 | 【1人】 B | - | - | - | ●常設代替高圧電源装置 2台の起動操作及び緊急用母線の受電操作 | 4分 | | | | | | | | | | | | | | | | | | | | | | | | |
| 原子炉への注水機能喪失の確認 (自動起動) | 【1人】 A | - | - | - | ●原子炉隔離時冷却系の自動起動操作 (失敗) | 2分 | | | | | | | | | | | | | | | | | | | | | | | | |
| 中央制御室からの高圧代替注水系の起動操作※ | 【1人】 A | - | - | - | ●高圧代替注水系による原子炉注水の系統構成操作及び起動操作 | 4分 | | | | | | | | | | | | | | | | | | | | | 解析上考慮しない | | | |
| 常設低圧代替注水系ポンプを用いた代替格納容器スプレィ冷却系 (常設) 及び低圧代替注水系 (常設) の起動操作 | 【1人】 B | - | - | - | ●常設低圧代替注水系ポンプを用いた低圧代替注水系 (常設) による原子炉注水及び代替格納容器スプレィ冷却系 (常設) による格納容器冷却に必要な負荷の電源切替操作 | 4分 | | | | | | | | | | | | | | | | | | | | | 原子炉注水は解析上考慮しない | | | |
| | 【1人】 A | - | - | - | ●常設低圧代替注水系ポンプを用いた代替格納容器スプレィ冷却系 (常設) による格納容器冷却及び低圧代替注水系 (常設) による原子炉注水の系統構成操作及び起動操作 | 3分 | | | | | | | | | | | | | | | | | | | | | | | | |
| 緊急用海水系による冷却水 (海水) の確保操作 | 【1人】 A | - | - | - | ●緊急用海水系による海水通水に必要な負荷の電源切替操作 ●緊急用海水系による海水通水の系統構成操作及び起動操作 | 4分 | | | | | | | | | | | | | | | | | | | | | 海水通水開始後、適宜状態監視 | | | |
| 代替循環冷却系による格納容器除熱操作 | 【1人】 A | - | - | - | ●代替循環冷却系による格納容器除熱に必要な負荷の電源切替操作 ●代替循環冷却系による格納容器除熱の系統構成操作及び起動操作 | 6分 | | | | | | | | | | | | | | | | | | | | | 原子炉注水は解析上考慮しない | | | |
| 常設低圧代替注水系ポンプを用いた格納容器下部注水系 (常設) によるベデスタル (ドライウェル部) 水位の確保操作 | 【1人】 A | - | - | - | ●常設低圧代替注水系ポンプを用いた格納容器下部注水系 (常設) によるベデスタル (ドライウェル部) 注水に必要な負荷の電源切替操作 ●常設低圧代替注水系ポンプを用いた格納容器下部注水系 (常設) によるベデスタル (ドライウェル部) 水位の確保操作 | 4分 | | | | | | | | | | | | | | | | | | | | | 解析上考慮しない | | | |
| 水素濃度及び酸素濃度監視設備の起動操作 | 【1人】 A | - | - | - | ●水素濃度及び酸素濃度監視設備の起動操作 | | | | | | | | | | | | | | | | | | | | | | 適宜、格納容器内水素濃度及び酸素濃度の監視 | 通常運転時は外部電源で常時暖気状態であり、交流電源喪失時は代替交流電源設備により緊急用母線受電後、暖気が自動的に開始される | | |
| サブプレッション・プール水 pH 制御装置による薬液注入操作 | 【1人】 A | - | - | - | ●サブプレッション・プール水 pH 制御装置による薬液注入操作 | | | | | | | | | | | | | | | | | | | | | | 15分 | 解析上考慮しない | | |
| 炉心損傷確認 | 【1人】 B | - | - | - | ●炉心損傷確認 | | | | | | | | | | | | | | | | | | | | | | | 2分 | | |
| 逃がし安全弁 (自動減圧機能) の手動による原子炉急減圧操作 | 【1人】 B | - | - | - | ●逃がし安全弁 (自動減圧機能) 2個の手動開放操作 | | | | | | | | | | | | | | | | | | | | | | | 1分 | | |
| 常設代替交流電源設備による非常用母線の受電準備操作 | 【1人】 B | - | - | - | ●非常用母線の受電準備操作 (中央制御室) | | | | | | | | | | | | | | | | | | | | | | | 35分 | | |
| | - | 2人 C, D | - | - | ●非常用母線の受電準備操作 (現場) | | | | | | | | | | | | | | | | | | | | | | | 75分 | | |
| 常設代替交流電源設備による非常用母線の受電操作 | 【1人】 B | - | - | - | ●常設代替高圧電源装置 3台の追加起動操作 ●非常用母線の受電操作 | | | | | | | | | | | | | | | | | | | | | | | 8分 | | |
| | - | - | - | - | | | | | | | | | | | | | | | | | | | | | | | | 5分 | | |
| 原子炉建屋ガス処理系及び中央制御室換気系の起動操作 | 【1人】 B | - | - | - | ●原子炉建屋ガス処理系の起動操作 ●中央制御室換気系の起動操作 | | | | | | | | | | | | | | | | | | | | | | | | 5分 | 起動操作実施後、適宜状態監視 |
| | - | - | - | - | | | | | | | | | | | | | | | | | | | | | | | | 6分 | 起動操作実施後、適宜状態監視 | |
| ほう酸水注入系による原子炉圧力容器へのほう酸水注入操作 | 【1人】 B | - | - | - | ●ほう酸水注入系の起動操作 ●ほう酸水注入系の注入状態監視 | | | | | | | | | | | | | | | | | | | | | | | | 2分 | ほう酸水全量注入完了まで適宜状態監視 |
| | - | - | - | - | | | | | | | | | | | | | | | | | | | | | | | | | | 解析上考慮しない |

※ 本格納容器破損モードにおいては機能に期待しないこととする。

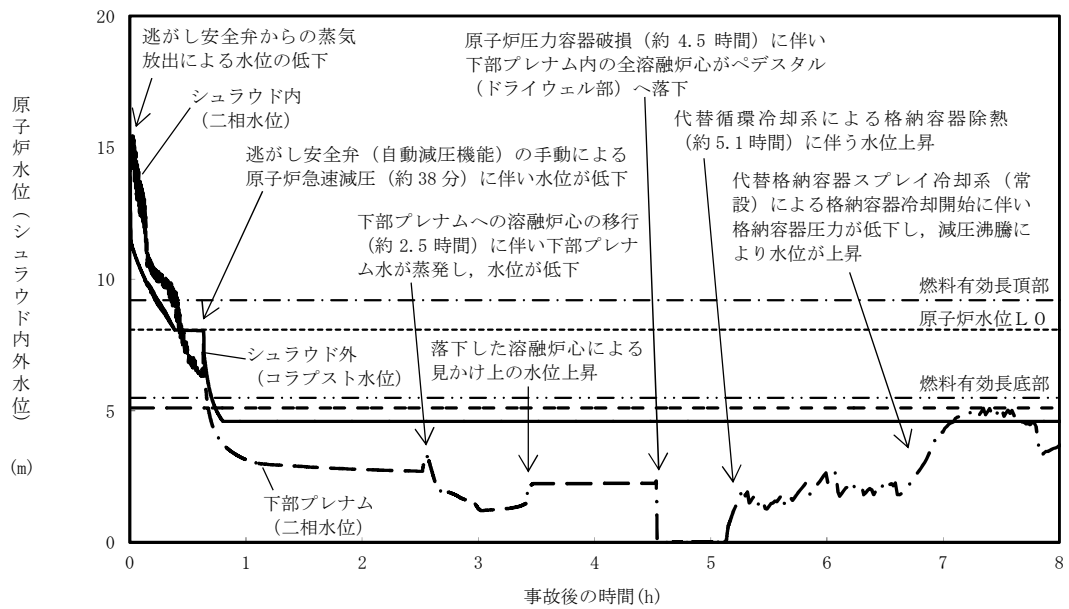
第 3.2-3 図 高圧溶融物放出／格納容器雰囲気直接加熱の作業と所要時間 (1/2)

| 操作項目 | 実施箇所・必要要員数 | | | 操作の内容 | 経過時間 (時間) | | | | 備考 | | | | | | |
|---|------------------|---------------|----------------------|--|----------------------------|---|---|---|-----|---|----|-----|-----|---------------------------------------|--|
| | 当直運転員 (中央制御室) | 当直運転員 (現場) | 重大事故等対応要員 (現場) | | 1 | 2 | 3 | 4 | | 5 | 25 | 124 | 167 | | |
| 原子炉圧力容器破損の判断 | 【1人】 A | - | - | ●原子炉圧力容器破損の判断 ●溶融炉心の堆積量の確認 | 破損判断パラメータ (格納容器下部水温) の継続監視 | | | | 5分 | | | | | | |
| 常設低圧代替注水系ポンプを用いた代替格納容器スプレイ冷却系 (常設) による格納容器冷却操作 (原子炉圧力容器破損後) | 【1人】 A | - | - | ●常設低圧代替注水系ポンプを用いた代替格納容器スプレイ冷却系 (常設) による格納容器冷却操作 (原子炉圧力容器破損後) | 適宜状態監視 | | | | 1分 | | | | | | |
| 常設低圧代替注水系ポンプを用いた格納容器下部注水系 (常設) によるベDESTAL (ドライウエル部) 注水操作 | 【1人】 A | - | - | ●常設低圧代替注水系ポンプを用いた格納容器下部注水系 (常設) によるベDESTAL (ドライウエル部) 注水操作及び水位制御操作 | 注水開始後、水位制御を継続 | | | | 1分 | | | | | | 解析上では、約10分以上の間隔でベDESTAL水位が変動するが、実運用上では崩壊熱相当の注水量を変更することで可能な限り連続注水する手順とし、並行した操作を極力減らすこととする |
| 代替循環冷却系による格納容器除熱操作 (原子炉圧力容器破損後) | 【1人】 A | - | - | ●代替循環冷却系による原子炉注水操作 ●代替循環冷却系による格納容器冷却操作 | 原子炉注水中、適宜状態監視 | | | | | | | | | | |
| 常設低圧代替注水系ポンプを用いた代替格納容器スプレイ冷却系 (常設) による格納容器冷却操作 | 【1人】 A | - | - | ●常設低圧代替注水系ポンプを用いた代替格納容器スプレイ冷却系 (常設) による格納容器冷却操作 | 適宜実施 | | | | | | | | | | 解析上では、約6分以上の間隔で格納容器圧力が変動するが、実運用上ではスプレイ流量を調整することで可能な限り連続スプレイする手順とし、並行した操作を極力減らすこととする |
| 使用済燃料プールの除熱操作 | 【1人】 A | - | - | ●常設低圧代替注水系ポンプによる代替燃料プール注水系 (注水ライン) を使用した使用済燃料プールへの注水操作 ●代替燃料プール冷却系の起動操作 | 適宜実施 | | | | 15分 | | | | | | 解析上考慮しない スロッシングによる水位低下がある場合は代替燃料プール冷却系の起動までに実施する 解析上考慮しない 約25時間までに実施する |
| 可搬型代替注水中型ポンプを用いた低圧代替注水系 (可搬型) の起動準備操作 | - | - | 8人 c~j | ●可搬型代替注水中型ポンプの移動、ホース敷設等の操作 | 170分 | | | | | | | | | | 解析上考慮しない 炉心損傷により屋外放射線量が高い場合は屋内に待機し、モニタ指示を確認しながら作業を行う |
| 可搬型窒素供給装置による格納容器内への窒素注入操作 | - | - | 【6人】 c~h | ●可搬型窒素供給装置の移動、接続操作及び起動操作 | 180分 | | | | | | | | | 可搬型窒素供給装置起動後、適宜状態監視 | |
| タンクローリによる燃料給油操作 | - | - | 2人 (参集) | ●可搬型設備用軽油タンクからタンクローリへの給油操作 ●可搬型窒素供給装置への給油操作 | 90分 | | | | | | | | | 適宜実施 タンクローリ残量に応じて適宜軽油タンクから給油する | |
| 必要要員合計 | 2人 A, B | 2人 C, D | 10人 a~j 及び参集2人 | | | | | | | | | | | | |

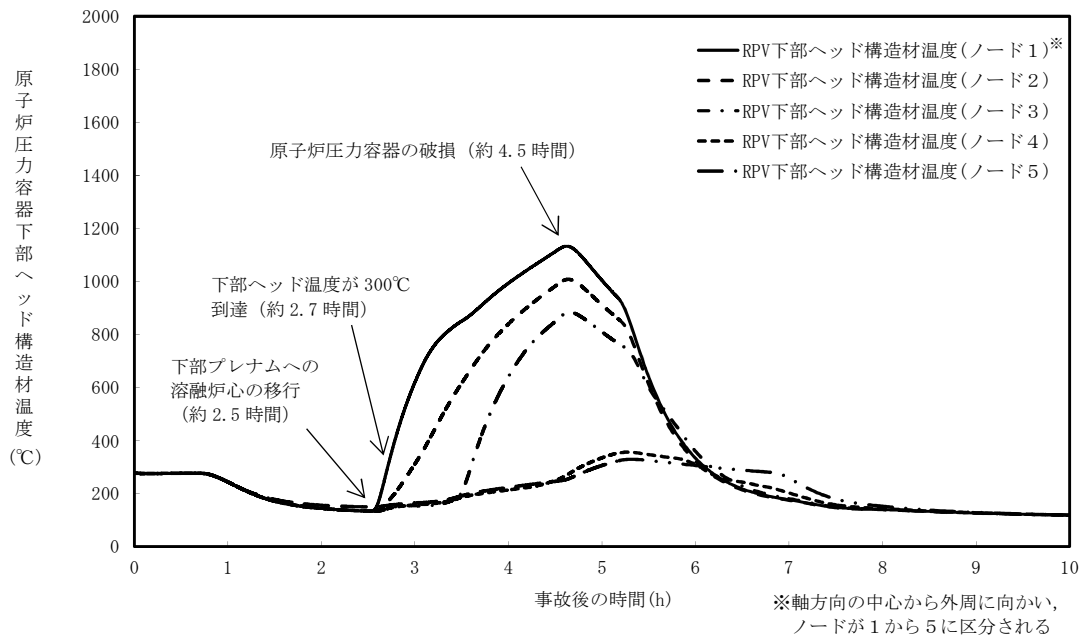
第 3.2-3 図 高压熔融物放出/格納容器雰囲気直接加熱の作業と所要時間 (2/2)



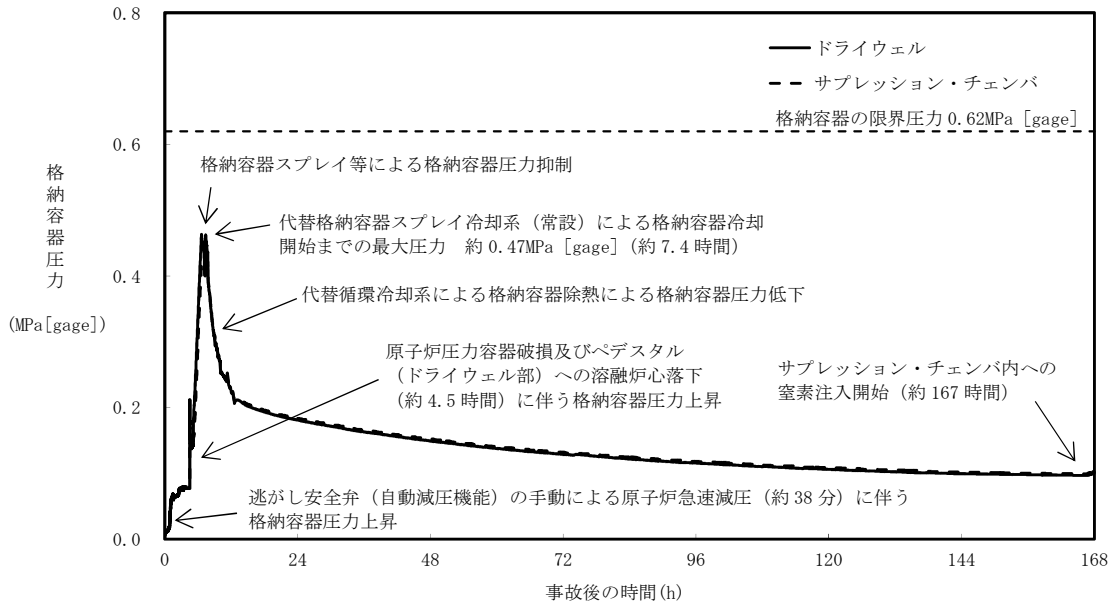
第 3.2-4 図 原子炉圧力の推移



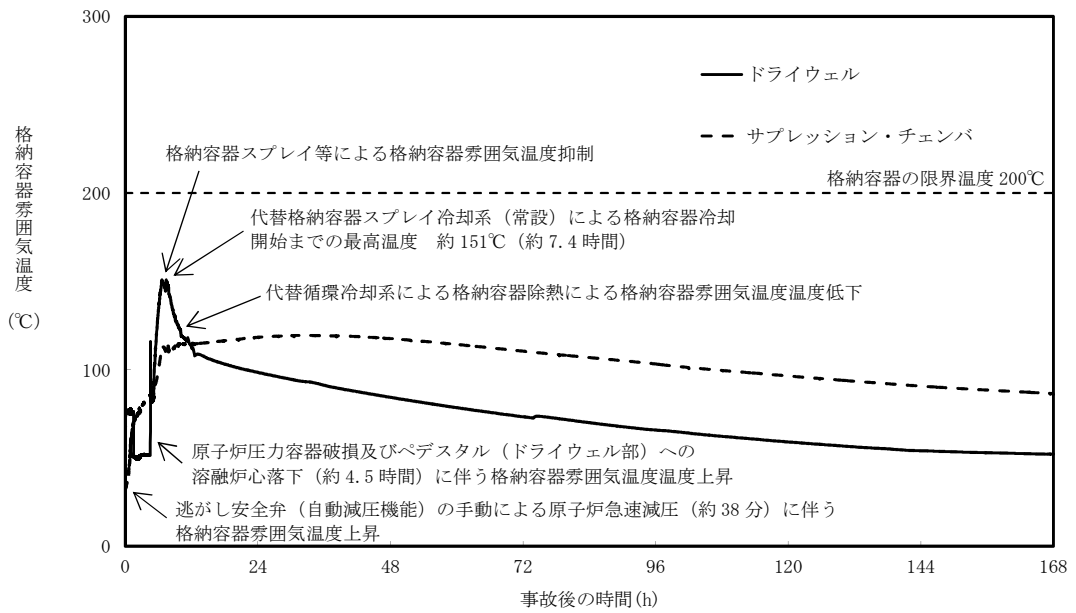
第 3.2-5 図 原子炉水位 (シュラウド内外水位) の推移



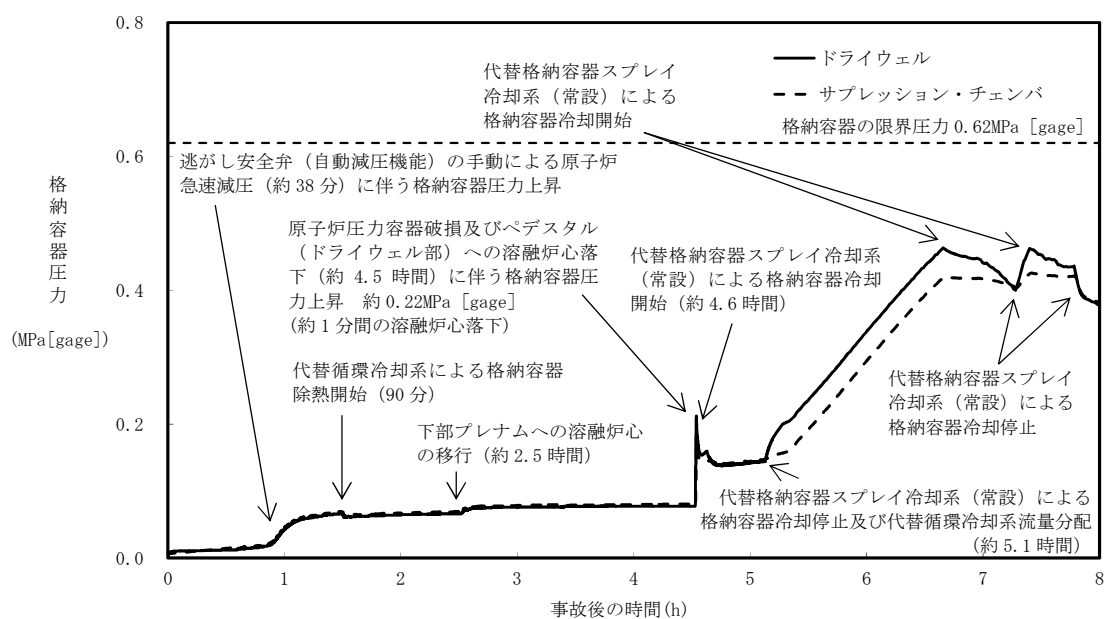
第 3.2-6 図 原子炉压力容器下部ヘッド温度の推移



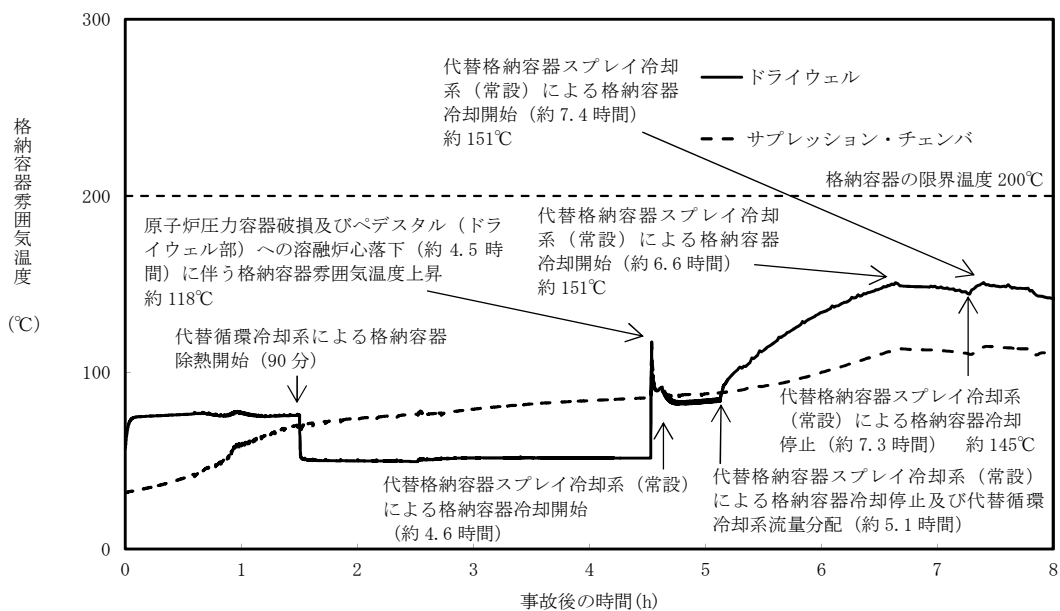
第 3.2-7 図 格納容器圧力の推移



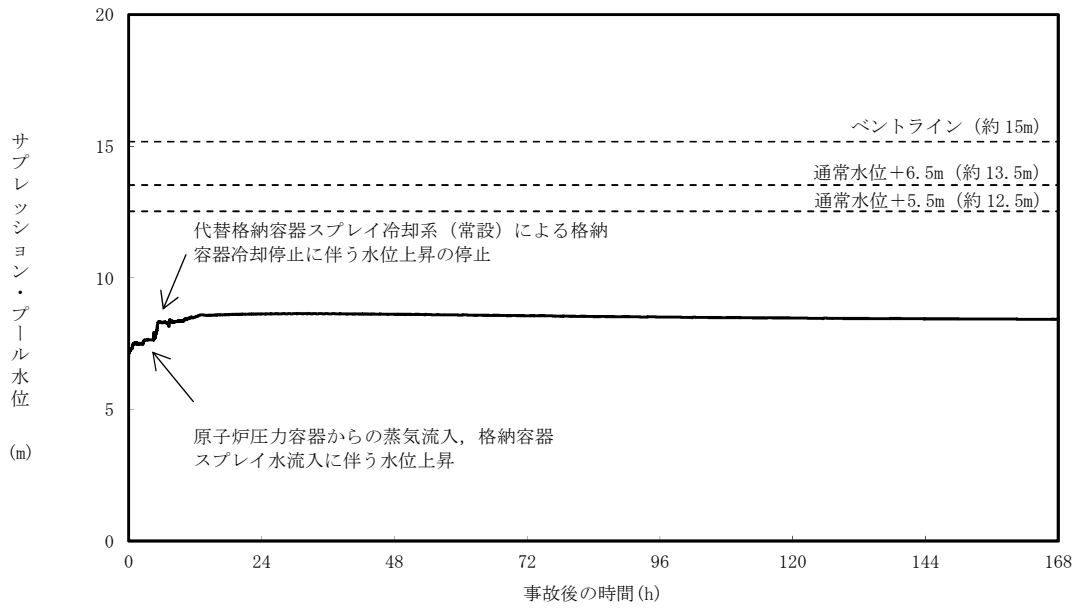
第 3.2-8 図 格納容器雰囲気温度の推移



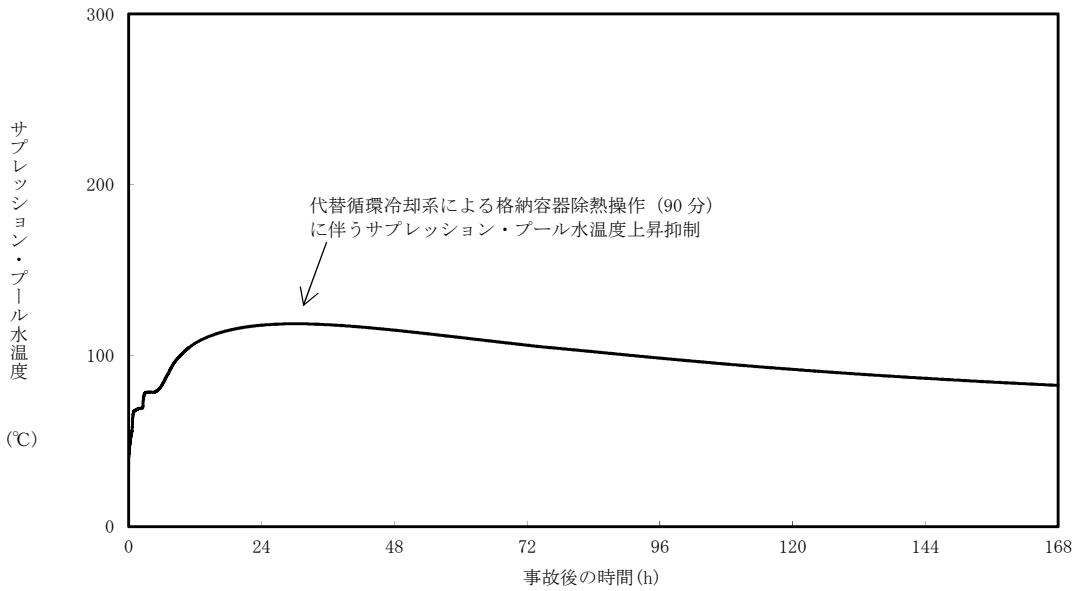
第 3.2-9 図 格納容器圧力の推移 (~8 時間)



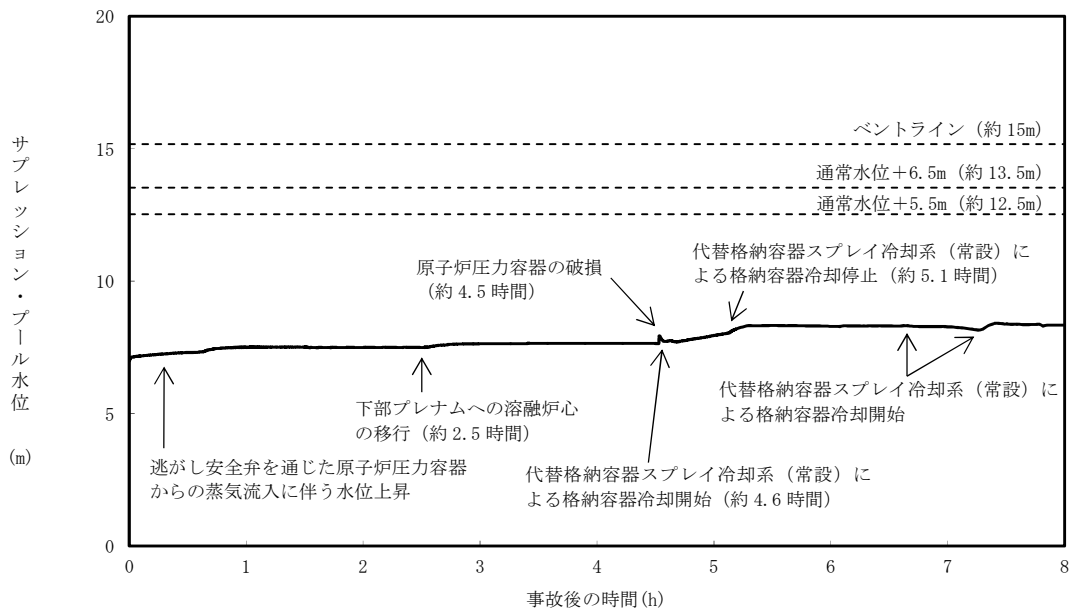
第 3.2-10 図 格納容器雰囲気温度の推移 (~8 時間)



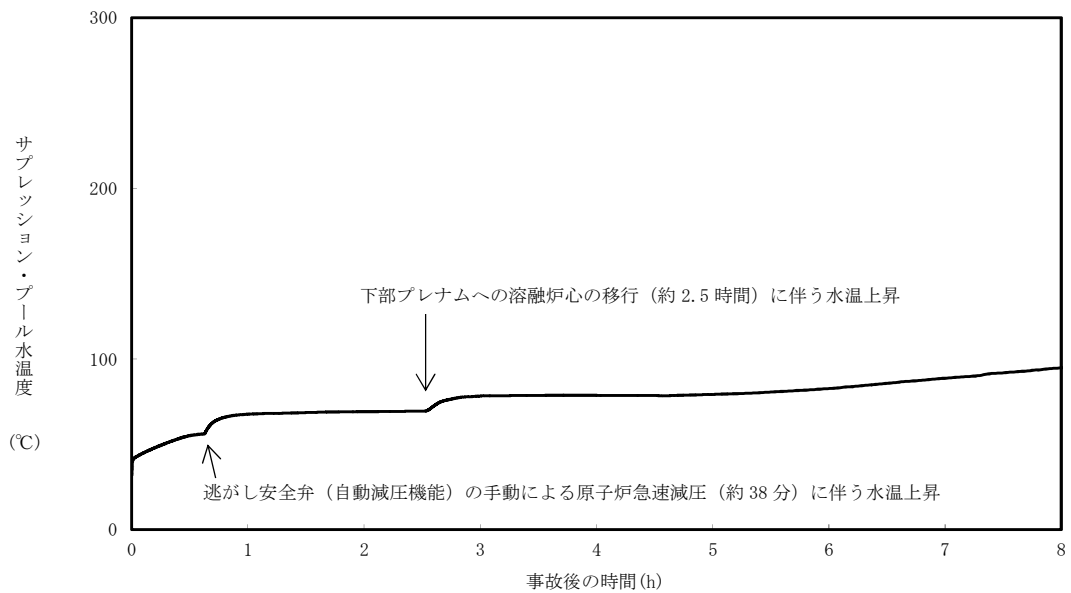
第 3.2-11 図 サプレッション・プール水位の推移



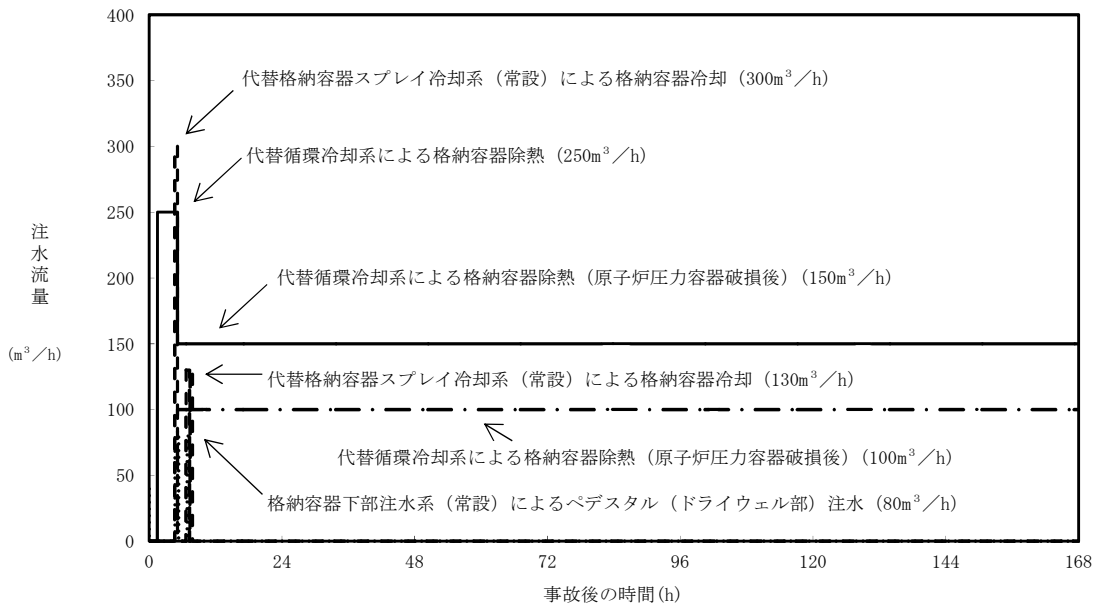
第 3.2-12 図 サプレッション・プール水温度の推移



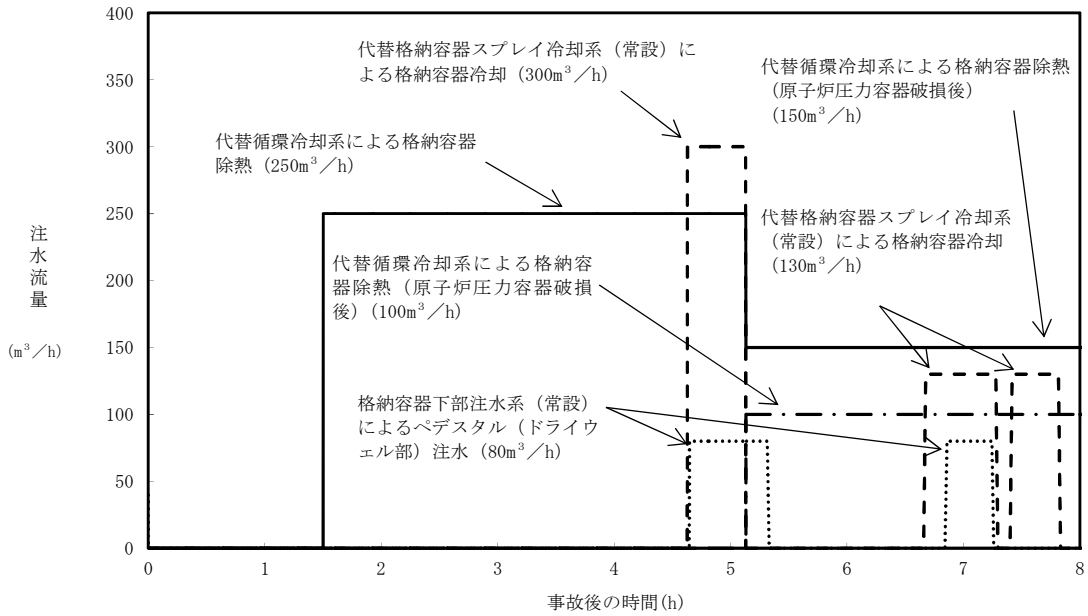
第 3.2-13 図 サプレッション・プール水位の推移 (～8 時間)



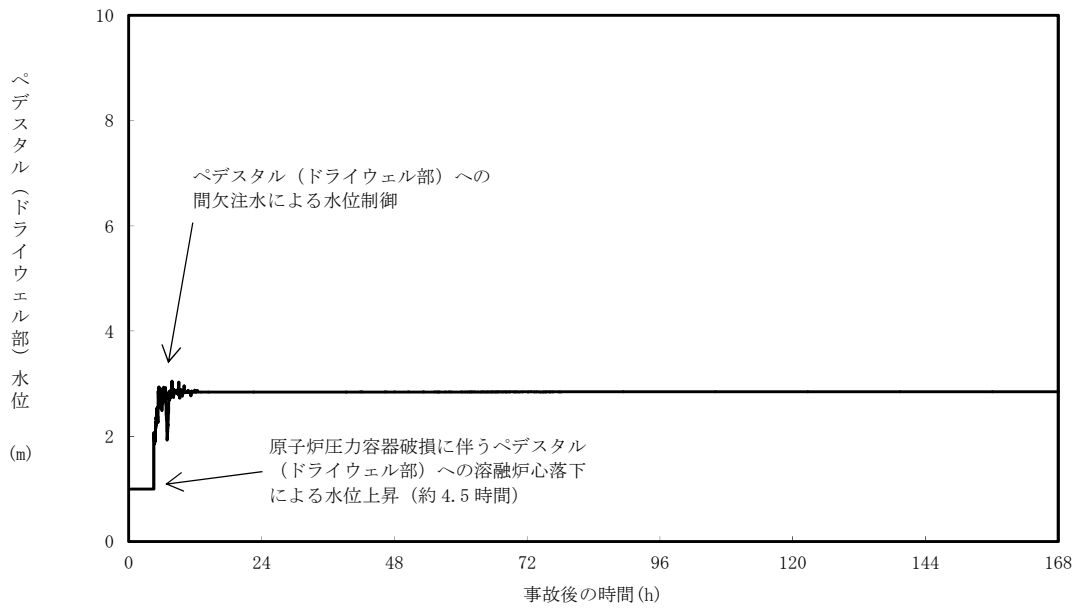
第 3.2-14 図 サプレッション・プール水温度の推移 (～8 時間)



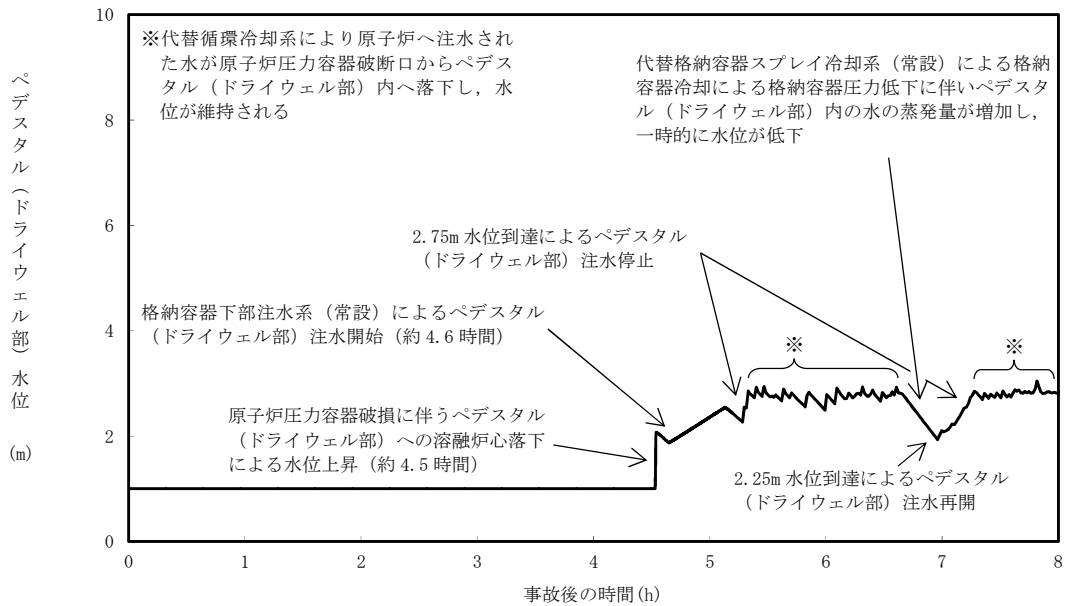
第 3.2-15 図 注水流量の推移



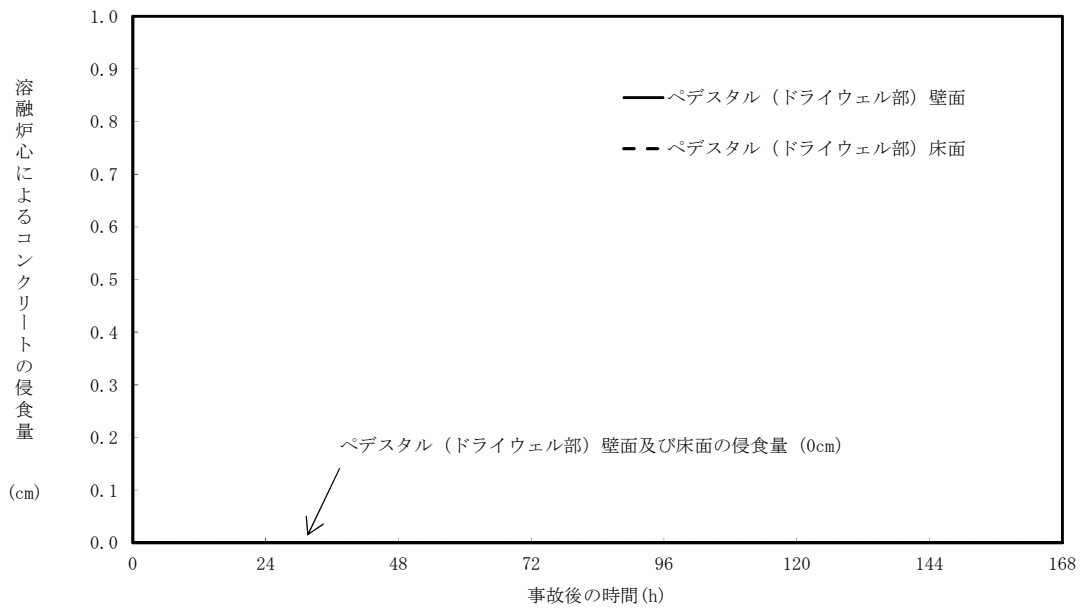
第 3.2-16 図 注水流量の推移 (~8 時間)



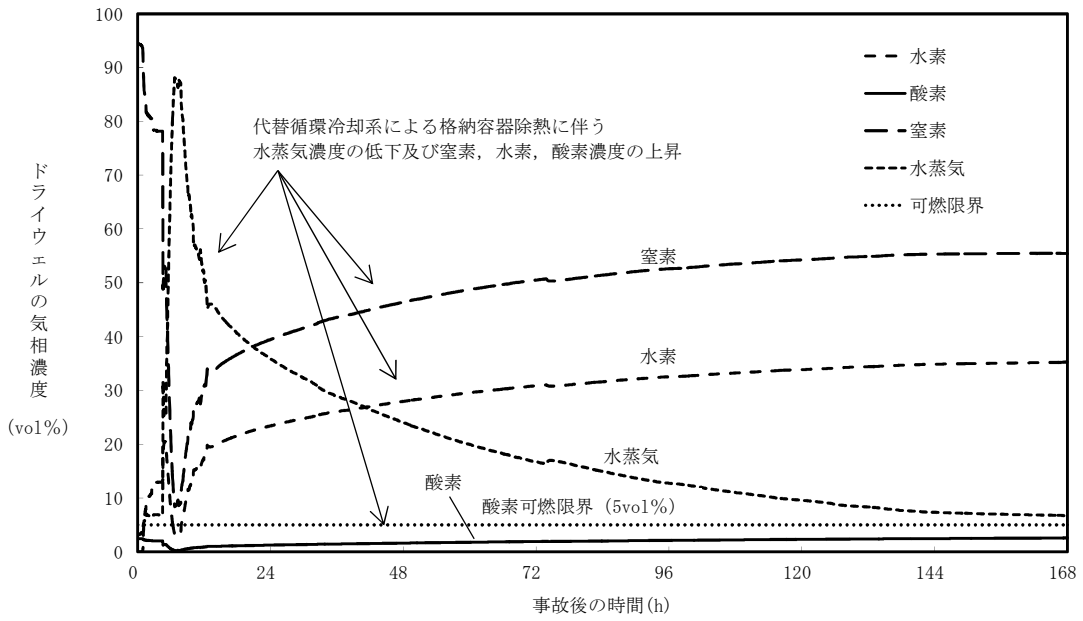
第 3.2-17 図 ペDESTAL (ドライウエル部) の水位の推移



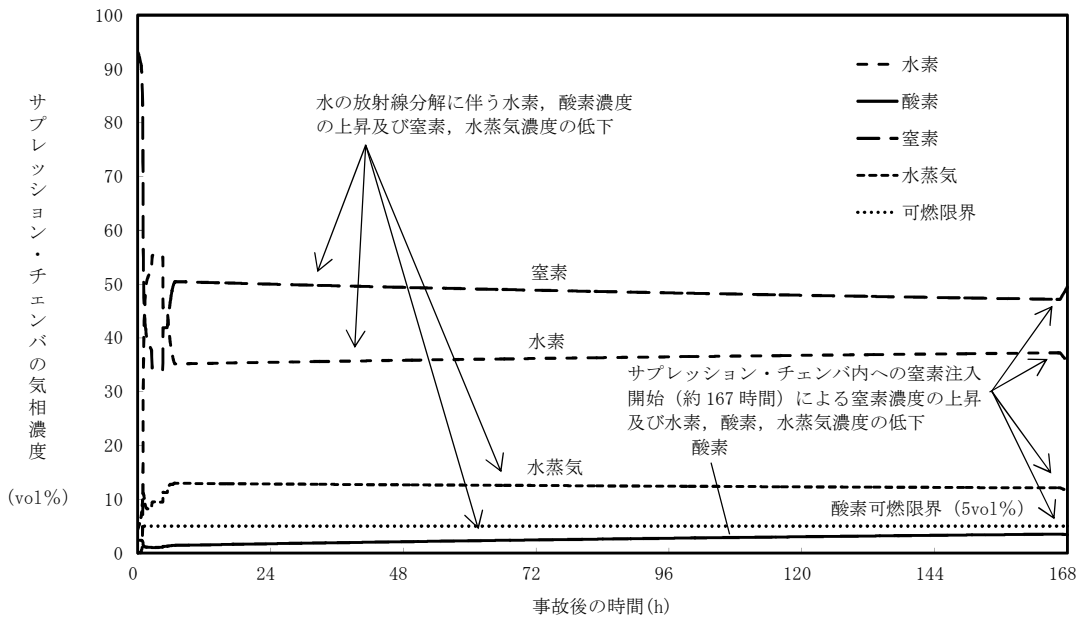
第 3.2-18 図 ペDESTAL (ドライウエル部) の水位の推移 (~8 時間)



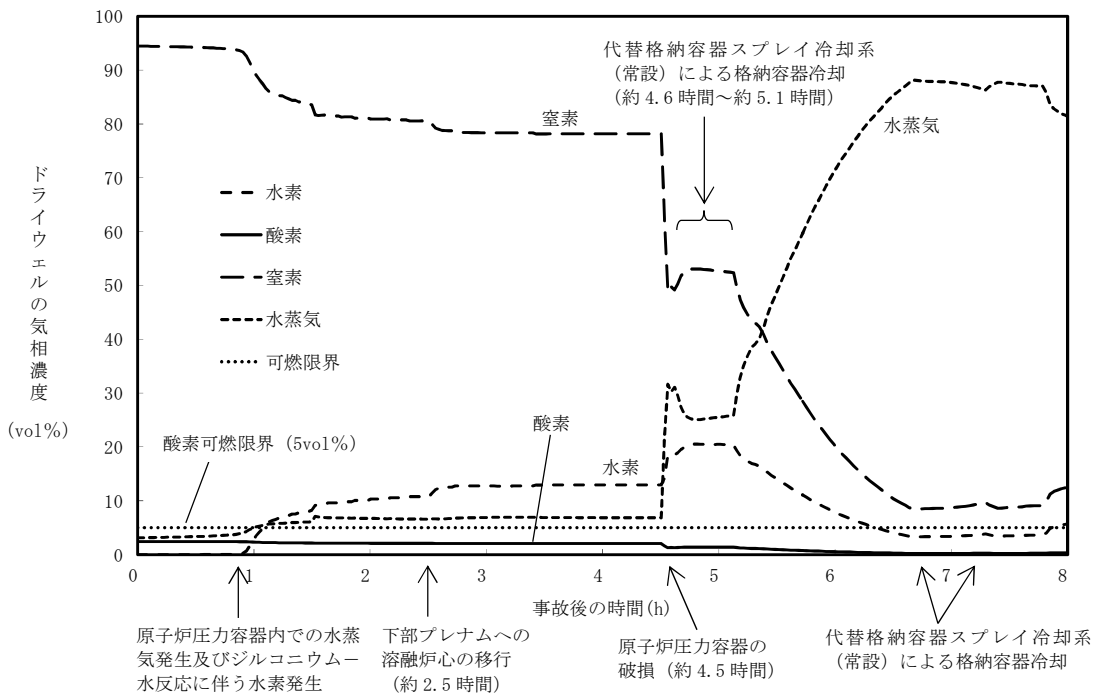
第 3.2-19 図 ペDESTAL (ドライウエル部) の
壁面及び床面のコンクリート侵食量の推移



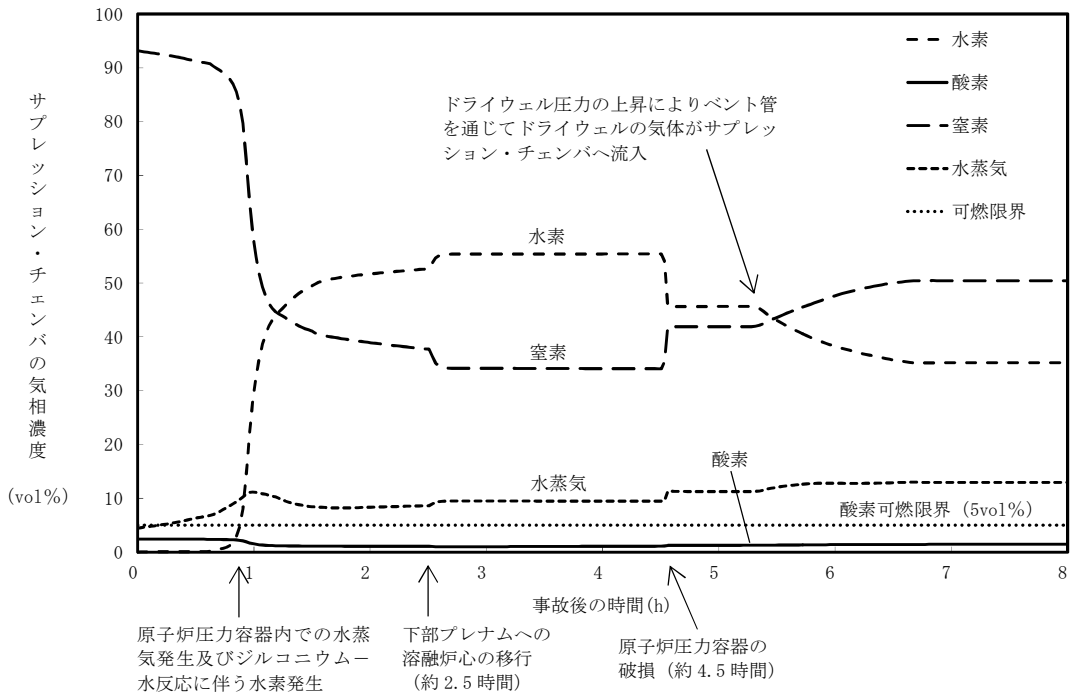
第 3.2-20 図 ドライウエルの気相濃度の推移 (ウェット条件)



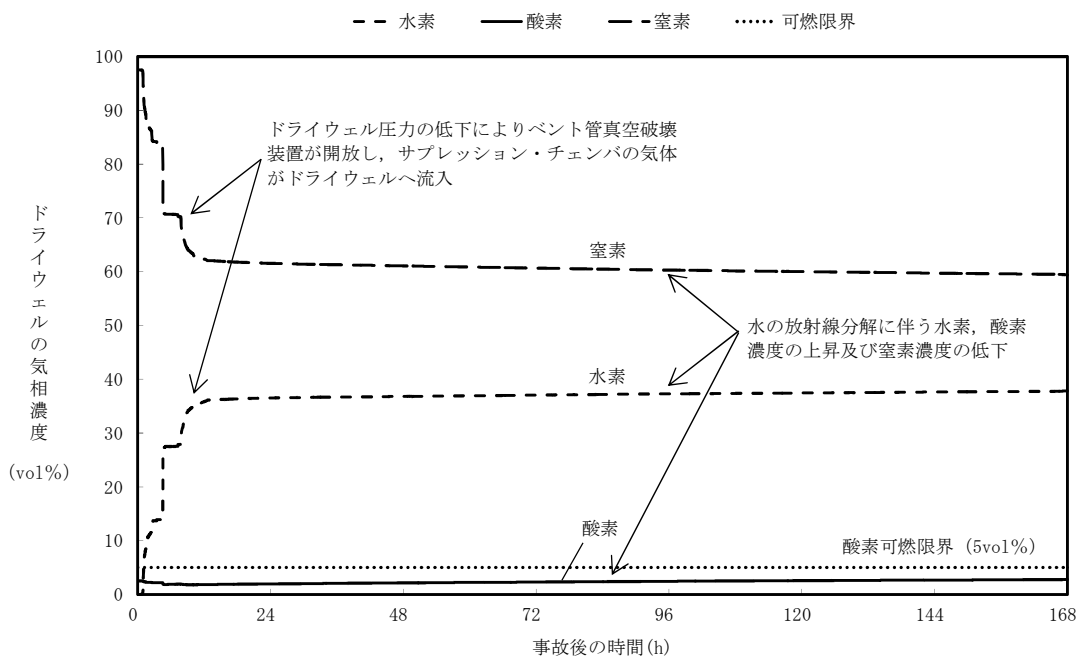
第 3.2-21 図 サプレッション・チェンバの気相濃度の推移 (ウェット条件)



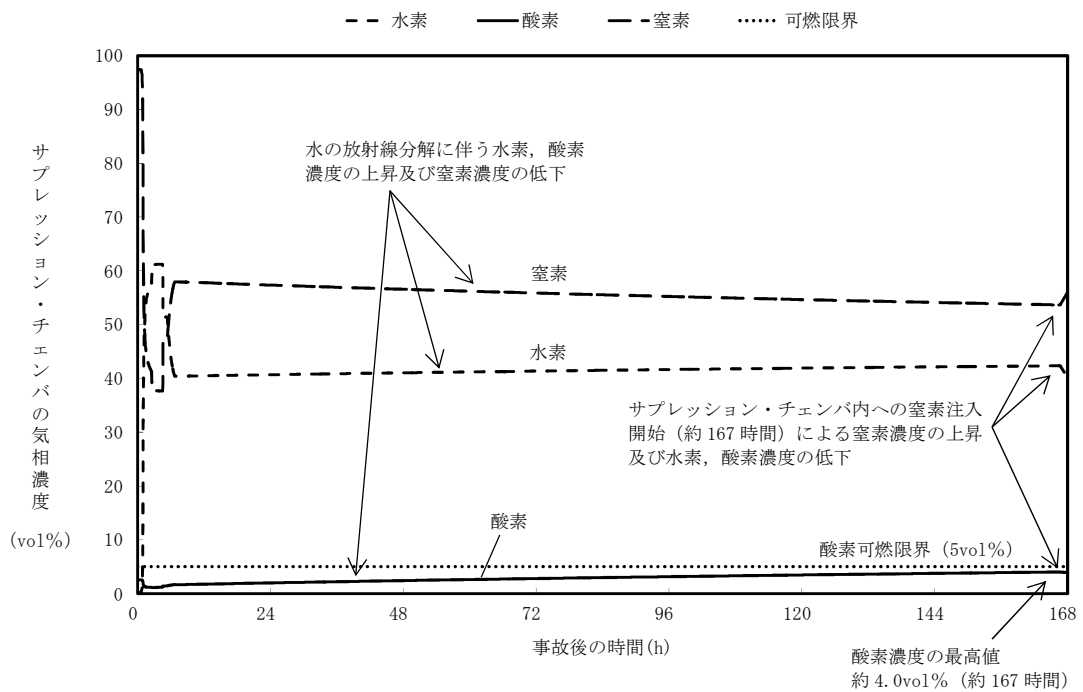
第 3.2-22 図 ドライウエルの気相濃度の推移 (ウェット条件) (~8 時間)



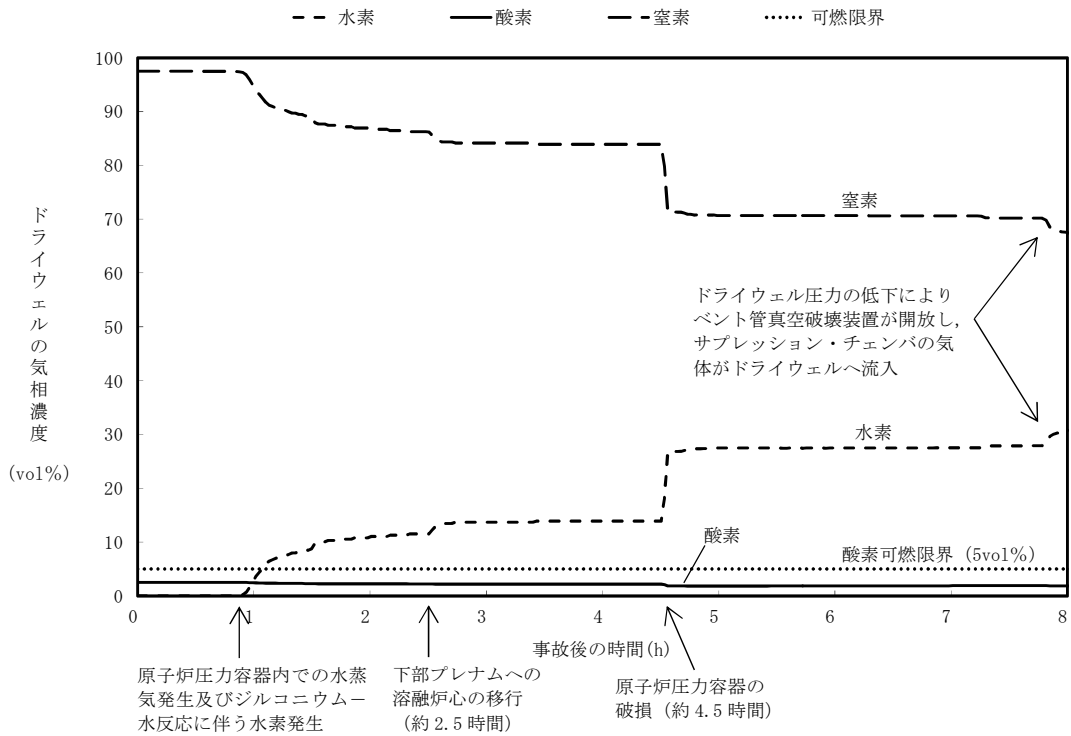
第 3.2-23 図 サプレッション・チェンバの気相濃度の推移 (ウェット条件) (~8 時間)



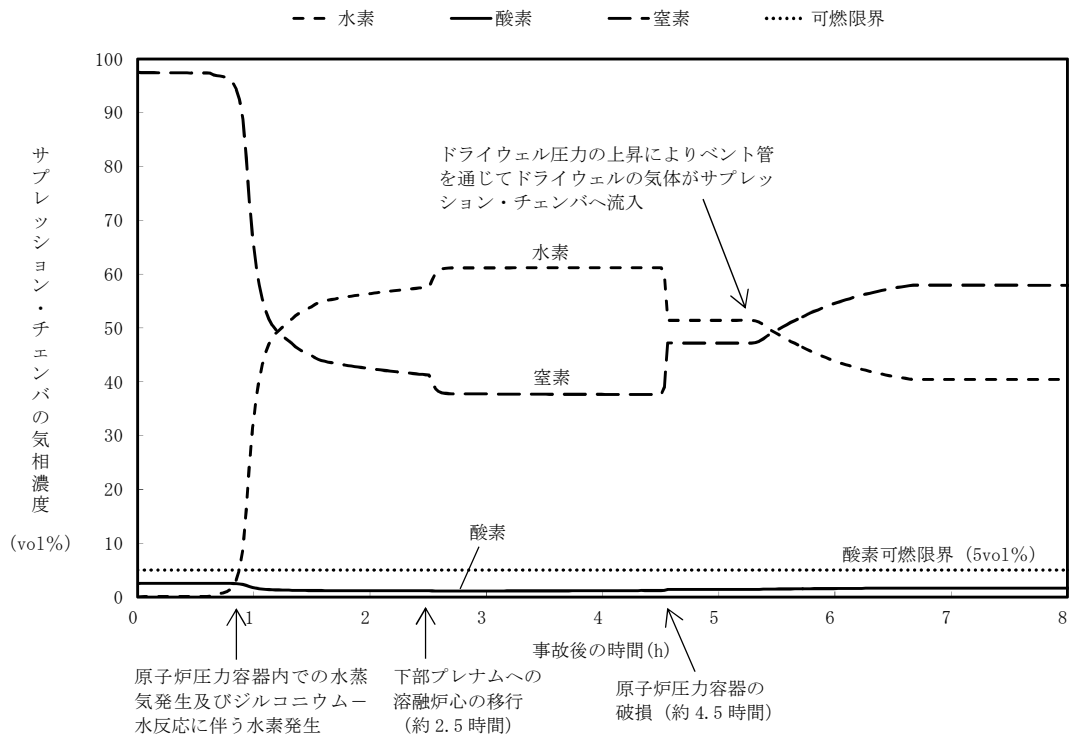
第 3.2-24 図 ドライウエルの気相濃度の推移 (ドライ条件)



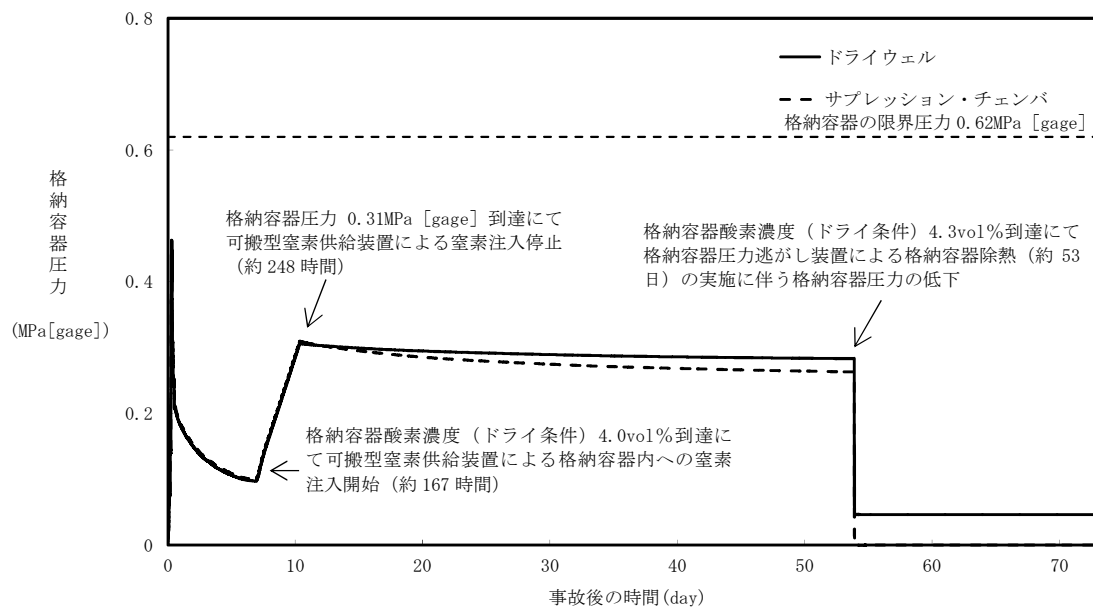
第 3.2-25 図 サプレッション・チェンバの気相濃度の推移 (ドライ条件)



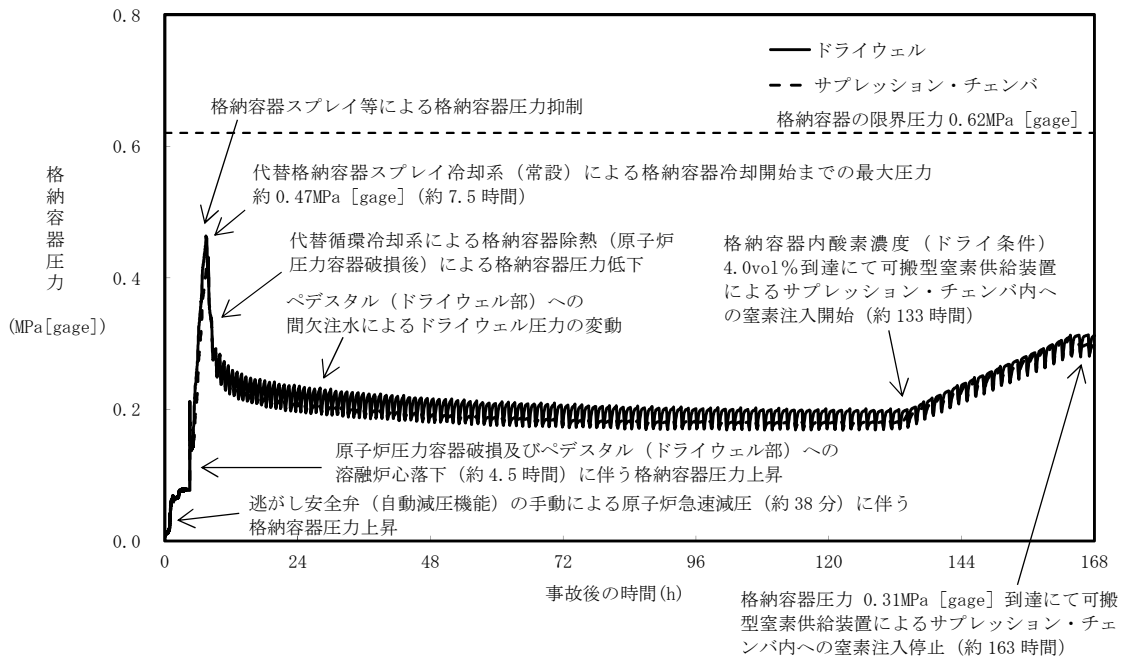
第 3.2-26 図 ドライウエルの気相濃度の推移 (ドライ条件) (~8 時間)



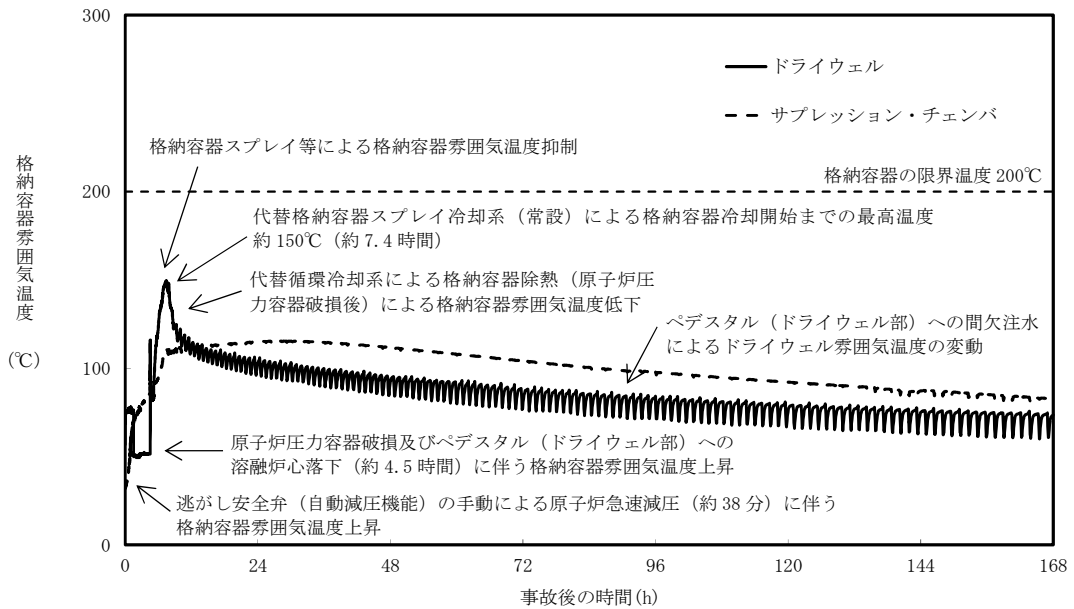
第 3.2-27 図 サブプレッション・チェンバの気相濃度の推移 (ドライ条件) (~8 時間)



第 3.2-28 図 格納容器圧力の推移 (～73 日間)



第 3.2-29 図 原子炉圧力容器破損後に原子炉注水しない場合の格納容器圧力の推移



第 3.2-30 図 原子炉圧力容器破損後に原子炉注水しない場合の格納容器雰囲気温度の推移

第 3.2-1 表 高圧溶融物放出／格納容器雰囲気直接加熱における重大事故等対策について (1/5)

| 操作及び確認 | 手順 | 重大事故等対処設備 | | |
|-----------------------|---|--------------------------------|-------|--|
| | | 常設設備 | 可搬型設備 | 計装設備 |
| 原子炉スクラム及び全交流動力電源喪失の確認 | 運転時の異常な過渡変化又は全交流動力電源喪失が発生して原子炉がスクラムしたことを確認する。 全交流動力電源喪失を確認する。 | 125V 系蓄電池 A 系 125V 系蓄電池 B 系 | — | 平均出力領域計装* 起動領域計装* M/C 2 C 電圧* M/C 2 D 電圧* 緊急用 M/C 電圧 |
| 原子炉への注水機能喪失確認 | 原子炉スクラム後，原子炉水位は低下し続け，原子炉水位異常低下（レベル 2）で原子炉隔離時冷却系が自動起動に失敗したことを確認する。 原子炉隔離時冷却系の自動起動に失敗したことを確認後，中央制御室からの遠隔操作により原子炉隔離時冷却系の手動起動を試みるが失敗したことを確認する。 | — | — | 原子炉水位（S A 広帯域） 原子炉水位（S A 燃料域） 原子炉水位（広帯域）* 原子炉水位（燃料域）* 原子炉隔離時冷却系系統流量* |
| 早期の電源回復不能判断及び対応準備 | 中央制御室にて外部電源受電及び非常用ディーゼル発電機等の起動ができず，非常用高圧母線（6.9kV）の電源回復ができない場合，早期の電源回復不能と判断する。これにより，常設代替交流電源設備による緊急用母線の受電準備を開始する。 | — | — | — |
| 常設代替交流電源設備による緊急用母線の受電 | 早期の電源回復不能の確認後，中央制御室からの遠隔操作により常設代替交流電源設備から緊急用母線を受電する。 | 常設代替交流電源設備 軽油貯蔵タンク | — | 緊急用 M/C 電圧 |

* 既許可の対象となっている設備を重大事故等対処設備に位置付けるもの

第 3.2-1 表 高圧溶融物放出／格納容器雰囲気直接加熱における重大事故等対策について (2/5)

| 操作及び確認 | 手順 | 重大事故等対処設備 | | |
|-----------------------|--|--|-------|---|
| | | 常設設備 | 可搬型設備 | 計装設備 |
| 高圧代替注水系による原子炉注水 | 高圧代替注水系を起動し原子炉水位を回復する。 | 高圧代替注水系 サプレッション・チェンバ* 緊急用 125V 系蓄電池 | — | 原子炉水位 (SA 広帯域) 原子炉水位 (SA 燃料域) 原子炉水位 (広帯域) * 原子炉水位 (燃料域) * 高圧代替注水系系統流量 |
| 緊急用海水系による冷却水 (海水) の確保 | 低圧代替注水系 (常設) による原子炉注水機能喪失を確認した後, 中央制御室にて非常用母線の負荷となっている緊急用海水系及び代替循環冷却系の弁を対象に, 緊急用母線から電源が供給されるよう電源切替操作を実施する。また, 中央制御室からの遠隔操作により緊急用海水ポンプを起動し, 緊急用海水系に海水を通水する。 | 常設代替交流電源設備 緊急用海水ポンプ 軽油貯蔵タンク | — | 緊急用海水系流量 (残留熱除去系熱交換器) |
| 代替循環冷却系による格納容器除熱 | 緊急用海水系に海水を通水した後, 中央制御室からの遠隔操作により代替循環冷却系ポンプを起動することで, 代替循環冷却系による格納容器除熱を開始する。 | 常設代替交流電源設備 代替循環冷却系ポンプ サプレッション・チェンバ* 軽油貯蔵タンク | — | 代替循環冷却系格納容器スプレイ流量 ドライウエル圧力 サプレッション・チェンバ圧力 サプレッション・プール水温度 |

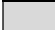
* 既許可の対象となっている設備を重大事故等対処設備に位置付けるもの

■ : 有効性評価上考慮しない操作

第 3.2-1 表 高圧溶融物放出／格納容器雰囲気直接加熱における重大事故等対策について (3/5)

| 操作及び確認 | 手順 | 重大事故等対処設備 | | |
|---|--|---|-------|---|
| | | 常設設備 | 可搬型設備 | 計装設備 |
| 炉心損傷確認 | 原子炉水位が更に低下し、炉心が露出し、炉心損傷したことを格納容器雰囲気放射線モニタにより確認する。 | — | — | 格納容器雰囲気放射線モニタ (D/W) 格納容器雰囲気放射線モニタ (S/C) |
| 逃がし安全弁 (自動減圧機能) の手動による原子炉急速減圧 | 原子炉水位が燃料有効長底部から燃料有効長の 20% 上の位置に到達した時点で、原子炉注水の手段が全くない場合でも、中央制御室からの遠隔操作によって手動操作により逃がし安全弁 (自動減圧機能) 2 個を開放し、原子炉を急速減圧する。 | 逃がし安全弁 (自動減圧機能) * | — | 原子炉水位 (S A 燃料域) 原子炉水位 (燃料域) * 原子炉圧力 (S A) 原子炉圧力* |
| 格納容器下部注水系 (常設) によるペDESTAL (ドライウェル部) 水位の確保 | 代替循環冷却系による格納容器除熱を開始後、原子炉圧力容器破損に備えて中央制御室からの遠隔操作によって格納容器下部注水系 (常設) によるペDESTAL (ドライウェル部) への注水を実施する。 | 常設代替交流電源設備 常設低圧代替注水系ポンプ 代替淡水貯槽 軽油貯蔵タンク | — | 低圧代替注水系格納容器下部注水流量 格納容器下部水位 代替淡水貯槽水位 |
| 水素濃度及び酸素濃度監視設備の起動 | 炉心損傷が発生すれば、ジルコニウム-水反応等により水素が発生し、水の放射線分解により水素及び酸素が発生することから、格納容器下部注水系 (常設) によるペDESTAL (ドライウェル部) 水位の確保を実施後、中央制御室からの遠隔操作により水素濃度及び酸素濃度監視設備を起動し、格納容器内の水素濃度及び酸素濃度を確認する。 | 常設代替交流電源設備 軽油貯蔵タンク | — | 格納容器内水素濃度 (S A) 格納容器内酸素濃度 (S A) |
| 原子炉圧力容器破損確認 | 原子炉圧力容器温度 (下鏡部) が 300℃ に到達した場合には、原子炉圧力容器の破損を速やかに判断するために格納容器下部水温を継続監視する。 格納容器下部水温計の指示上昇又はダウンスケールといったパラメータの変化によって原子炉圧力容器破損を判断する。 | — | — | 原子炉圧力容器温度 格納容器下部水温 |

* 既許可の対象となっている設備を重大事故等対処設備に位置付けるもの

 : 有効性評価上考慮しない操作

第 3.2-1 表 高圧溶融物放出／格納容器雰囲気直接加熱における重大事故等対策について (4/5)

| 操作及び確認 | 手順 | 重大事故等対処設備 | | |
|--|--|---|-------|---|
| | | 常設設備 | 可搬型設備 | 計装設備 |
| 代替格納容器スプレイ冷却系（常設）による格納容器冷却（原子炉圧力容器破損後） | 原子炉圧力容器破損の判断後，中央制御室からの遠隔操作により代替格納容器スプレイ冷却系（常設）による格納容器冷却を開始する。 | 常設代替交流電源設備 常設低圧代替注水系ポンプ 代替淡水貯槽 軽油貯蔵タンク | — | 低圧代替注水系格納容器スプレイ流量（常設ライン用） ドライウエル圧力 サプレッション・チェンバ圧力 代替淡水貯槽水位 |
| 溶融炉心への注水 | 代替格納容器スプレイ冷却系（常設）による格納容器冷却（原子炉圧力容器破損後）を実施後，中央制御室からの遠隔操作により格納容器下部注水系（常設）によるペDESTAL（ドライウエル部）注水をペDESTAL（ドライウエル部）水位 2.75m まで実施する。以降は，2.25m から 2.75m の範囲に水位を維持する。ただし，高さ 0.2m までの溶融炉心堆積が検知されない場合は，0.5m から約 1m の範囲に水位を維持する。 | 常設代替交流電源設備 常設低圧代替注水系ポンプ 代替淡水貯槽 軽油貯蔵タンク コリウムシールド | — | 低圧代替注水系格納容器下部注水流量 格納容器下部水温 格納容器下部水位 代替淡水貯槽水位 |
| 代替循環冷却系による格納容器除熱（原子炉圧力容器破損後） | 原子炉圧力容器破損後，代替格納容器スプレイ冷却系（常設）による格納容器冷却（原子炉圧力容器破損後）により格納容器圧力が低下することを確認した後は，中央制御室からの遠隔操作により代替循環冷却系の注水先を原子炉注水と格納容器スプレイに分配し，それぞれ連続で原子炉注水と格納容器スプレイを実施する。 | 常設代替交流電源設備 代替循環冷却系ポンプ サプレッション・チェンバ* 軽油貯蔵タンク | — | 代替循環冷却系原子炉注水流量 代替循環冷却系格納容器スプレイ流量 ドライウエル圧力 サプレッション・チェンバ圧力 サプレッション・プール 水温度 |

* 既許可の対象となっている設備を重大事故等対処設備に位置付けるもの

第 3.2-1 表 高压熔融物放出／格納容器雰囲気直接加熱における重大事故等対策について (5/5)

| 操作及び確認 | 手順 | 重大事故等対処設備 | | |
|----------------------------|--|---|-----------|---|
| | | 常設設備 | 可搬型設備 | 計装設備 |
| 代替格納容器スプレイ冷却系（常設）による格納容器冷却 | 代替循環冷却系による格納容器除熱（原子炉圧力容器破損後）を実施後，代替格納容器スプレイ冷却系（常設）による格納容器冷却を一旦停止する。ただし，格納容器圧力が上昇し，0.465MPa [gage] に到達した場合は，中央制御室からの遠隔操作により代替格納容器スプレイ冷却系（常設）による格納容器冷却を開始し，格納容器圧力が 0.400MPa [gage] 到達により格納容器冷却を停止する。 | 常設代替交流電源設備 常設低圧代替注水系ポンプ 代替淡水貯槽 軽油貯蔵タンク | — | 低圧代替注水系格納容器スプレイ流量（常設ライン用） ドライウエル圧力 サプレッション・チェンバ圧力 代替淡水貯槽水位 |
| 可搬型窒素供給装置による格納容器内への窒素注入 | 格納容器内酸素濃度が 4.0vol%（ドライ条件）に到達した場合，可搬型窒素供給装置を用いて格納容器内へ窒素を注入することで，格納容器内酸素濃度の上昇を抑制する。 | — | 可搬型窒素供給装置 | 格納容器内酸素濃度（SA） |

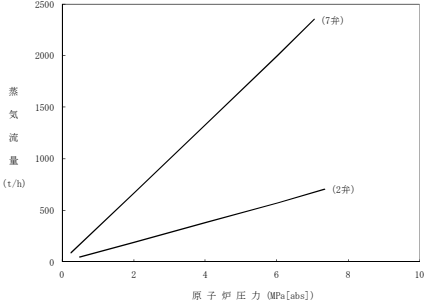
第 3.2-2 表 主要解析条件（高压溶融物放出／格納容器雰囲気直接加熱）（1／5）

| 項目 | 主要解析条件 | 条件設定の考え方 | |
|---------|--------------------------|--|---|
| 解析コード | MAAP | — | |
| 初期条件 | 原子炉熱出力 | 3,293MW | 定格原子炉熱出力として設定 |
| | 原子炉圧力 (圧力容器ドーム部) | 6.93MPa [gage] | 定格原子炉圧力として設定 |
| | 原子炉水位 | 通常運転水位（セパレータ スカート下端から+126cm) | 通常運転時の原子炉水位として設定 |
| | 炉心流量 | 48,300t/h | 定格流量として設定 |
| | 燃料 | 9×9燃料（A型） | — |
| | 原子炉停止後の崩壊熱 | ANSI/ANS-5.1-1979 燃焼度 33GWd/t | 1 サイクルの運転期間（13 ヶ月）に調整運転期間（約 1 ヶ月）を考慮した運 転期間に対応する燃焼度として設定 |
| | 格納容器体積 (ドライウエル) | 5,700m ³ | 設計値 |
| | 格納容器体積 (サプレッション・チェンバ) | 空間部：4,100m ³ 液相部：3,300m ³ | 設計値（通常運転時のサプレッション・プール水位の下限值に基づき設定） |
| | 真空破壊装置 | 3.45kPa（ドライウエルーサプレ ッション・チェンバ間差圧） | 真空破壊装置の設計値 |
| | サプレッション・プール水位 | 6.983m（通常運転範囲の下限值） | 通常運転時のサプレッション・プール水位の下限值として設定 |
| | サプレッション・プール水温度 | 32℃ | 通常運転時のサプレッション・プール水温度の上限值として設定 |
| | 格納容器圧力 | 5kPa [gage] | 通常運転時の格納容器圧力を包絡する値 |
| | 格納容器雰囲気温度 | 57℃ | 通常運転時の格納容器雰囲気温度（ドライウエル内ガス冷却装置の設計温 度）として設定 |
| 外部水源の温度 | 35℃ | 年間の気象条件変化を包含する高めの水温を設定 | |

第 3.2-2 表 主要解析条件（高压溶融物放出／格納容器雰囲気直接加熱）（2／5）

| 項目 | | 主要解析条件 | 条件設定の考え方 |
|------|------------------------------------|--|---|
| 初期条件 | 溶融炉心からプール水への熱流束 | 800kW/m ² 相当（圧力依存あり） | 過去の知見に基づき水張りの効果を考慮して設定 |
| | コンクリートの種類 | 玄武岩系コンクリート | 使用している骨材の種類から設定 |
| | コンクリート以外の構造材の扱い | 鉄筋は考慮しない | 鉄筋についてはコンクリートよりも融点が高いことから保守的に考慮しない |
| | 原子炉圧力容器下部及びペDESTAL（ドライウェル部）内構造物の扱い | ペDESTAL（ドライウェル部）に落下する溶融物とは扱わない | 発熱密度を下げないよう保守的に設定 |
| | ペDESTAL（ドライウェル部）水張り水位 | ペDESTAL（ドライウェル部）床面から 1m | 炉心損傷後の原子炉圧力容器破損による原子炉圧力容器外の溶融燃料－冷却材相互作用及び溶融炉心・コンクリート相互作用の緩和効果を考慮し設定 |
| 事故条件 | 起因事象 | 給水流量の全喪失 | 原子炉水位の低下の観点で厳しい事象を設定 |
| | 安全機能等の喪失に対する仮定 | 全交流動力電源喪失 高压注水機能， 低压注水機能及び原子炉圧力容器破損前の重大事故等対処設備による原子炉注水機能の喪失 | 非常用ディーゼル発電機等の機能喪失を想定し， 設定 高压注水機能として原子炉隔離時冷却系及び高压炉心スプレイ系， 低压注水機能として残留熱除去系（低压注水系）及び低压炉心スプレイ系の機能喪失を設定するとともに， 原子炉圧力容器破損前の重大事故等対処設備による原子炉注水機能の喪失を設定 |
| | 外部電源 | 外部電源なし | 安全機能の喪失に対する仮定に基づき設定 ただし， 原子炉スクラムについては， 外部電源ありの場合を包括する条件として， 機器条件に示すとおり設定 |
| | 高温ガスによる配管等のクリープ破損や漏えい等 | 考慮しない | 原子炉圧力を厳しく評価するものとして設定 |

第 3.2-2 表 主要解析条件（高压熔融物放出／格納容器雰囲気直接加熱）（3／5）

| | 項目 | 主要解析条件 | 条件設定の考え方 |
|------------------|-----------|---|--|
| 重大事故等対策に関連する機器条件 | 原子炉スクラム信号 | 原子炉水位低（レベル3）信号 | 短時間であるが原子炉熱出力が維持される厳しい設定として、外部電源喪失時のタービン蒸気加減弁急閉及び原子炉保護系電源喪失による原子炉スクラムについては保守的に考慮せず、原子炉水位低（レベル3）信号にてスクラムするものとして設定 |
| | 主蒸気隔離弁 | 事象発生と同時に閉止 | 短時間であるが主蒸気が格納容器内に維持される厳しい設定として、原子炉保護系電源喪失及び原子炉水位異常低下（レベル2）信号による主蒸気隔離弁閉止については保守的に考慮せず、事象発生と同時に主蒸気隔離弁が閉止するものとして設定 |
| | 再循環系ポンプ | 事象発生と同時に停止 | 事象進展に与える影響は軽微であることから、全交流動力電源喪失によるポンプ停止を踏まえて設定 |
| | 逃がし安全弁 | 安全弁機能 7.79MPa [gage] ×2 個, 385.2t/h (1 個当たり) 8.10MPa [gage] ×4 個, 400.5t/h (1 個当たり) 8.17MPa [gage] ×4 個, 403.9t/h (1 個当たり) 8.24MPa [gage] ×4 個, 407.2t/h (1 個当たり) 8.31MPa [gage] ×4 個, 410.6t/h (1 個当たり) | 逃がし安全弁の安全弁機能の設計値として設定 |
| | | 逃がし安全弁（自動減圧機能）の 2 個を開することによる原子炉急速減圧 <原子炉圧力と逃がし安全弁 2 個の蒸気流量の関係>  | 逃がし安全弁の設計値に基づく蒸気流量及び原子炉圧力の関係から設定 |

第 3.2-2 表 主要解析条件（高压溶融物放出／格納容器雰囲気直接加熱）（4／5）

| 項目 | 主要解析条件 | 条件設定の考え方 | |
|------------------|------------------------------|--|--|
| 重大事故等対策に関連する機器条件 | 代替格納容器スプレイ冷却系（常設） | 原子炉压力容器破損後： 300m ³ /hにて格納容器へスプレイ | 格納容器圧力及び雰囲気温度抑制に必要なスプレイ流量を考慮して設定 |
| | | 格納容器圧力制御： 130m ³ /hにて格納容器へスプレイ | 格納容器圧力及び雰囲気温度抑制に必要なスプレイ流量を考慮して設定 |
| | 格納容器下部注水系（常設） | 80m ³ /hにてペDESTAL（ドライウエル部）へ注水 | 溶融炉心の冠水が継続可能な流量として設定 |
| | 代替循環冷却系 | 原子炉压力容器破損前： 格納容器スプレイ：250m ³ /h | 格納容器圧力及び雰囲気温度抑制に必要なスプレイ流量を考慮して設定 |
| | | 原子炉压力容器破損後： 総循環流量：250m ³ /h 格納容器スプレイ：150m ³ /h 原子炉注水：100m ³ /h | 格納容器圧力及び雰囲気温度抑制に必要なスプレイ流量及び溶融炉心の冷却に必要な注水量を考慮して設定 |
| | | 代替循環冷却系から緊急用海水系への伝熱容量：約 14MW （サブプレッション・プール水温度 100℃，海水温度 32℃において） | 熱交換器の設計性能に基づき，過去の実績を包含する高めの海水温度を設定 |
| | 緊急用海水系 | 代替循環冷却系から緊急用海水系への伝熱容量：約 14MW （サブプレッション・プール水温度 100℃，海水温度 32℃において） | 熱交換器の設計性能に基づき，過去の実績を包含する高めの海水温度を設定 |
| | 可搬型窒素供給装置 | 総注入流量：200m ³ /h 窒素：198m ³ /h 酸素：2m ³ /h ガス温度：30℃ | 総注入流量は格納容器内の酸素濃度上昇抑制に必要な流量として設定 酸素注入流量は純度 99vol%を考慮して残り全てを酸素として設定 ガス温度は気象条件を考慮して設定 |
| コリウムシールド | 材料：ジルコニア耐熱材 侵食開始温度：2,100℃ | 材料は，コンクリートの侵食を抑制する観点から設定 侵食開始温度は，ジルコニア耐熱材の侵食試験結果に基づき設定 | |

第 3.2-2 表 主要解析条件（高压溶融物放出／格納容器雰囲気直接加熱）（5／5）

| 項目 | | 主要解析条件 | 条件設定の考え方 |
|------------------|---|---|---|
| 重大事故等対策に関連する操作条件 | 原子炉急速減圧操作 | 原子炉水位が燃料有効長底部から燃料有効長の 20% 高い位置に到達した時点 | 炉心損傷後の酸化反応の影響緩和を考慮し設定 |
| | 緊急用海水系による冷却水（海水）の確保操作及び代替循環冷却系による格納容器除熱操作 | 事象発生から 90 分後 | 緊急用海水系及び代替循環冷却系の操作所要時間を踏まえて設定 |
| | 代替格納容器スプレイ冷却系（常設）による格納容器冷却操作（原子炉圧力容器破損後） | 原子炉圧力容器破損 6 分後に開始し、格納容器圧力の低下から 30 分後に停止 | 原子炉圧力容器破損の判断及び操作実施に必要な時間を考慮して設定 |
| | 格納容器下部注水系によるペDESTAL（ドライウエル部）注水操作 | 代替格納容器スプレイ冷却系（常設）による格納容器冷却操作（原子炉圧力容器破損後）開始から 1 分後に開始し、ペDESTAL（ドライウエル部）水位 2.75m に到達した時点で停止 その後は、2.25m まで低下した時点で開始し、2.75m に到達した時点で停止 | 操作実施に必要な時間を考慮して設定 炉心損傷後の原子炉圧力容器破損による溶融炉心・コンクリート相互作用の影響緩和を考慮し設定 |
| | 代替格納容器スプレイ冷却系（常設）による格納容器冷却操作（格納容器圧力制御） | 格納容器圧力が 0.465MPa [gage] に到達した場合に開始 格納容器圧力が 0.400MPa [gage] 以下となった時点で停止 | 格納容器圧力の抑制効果を踏まえて設定 |
| | 可搬型窒素供給装置による格納容器内への窒素注入操作 | 格納容器内酸素濃度が 4.0vol%（ドライ条件）に到達した場合に開始 | 格納容器内酸素濃度がベント基準である 4.3vol%（ドライ条件）に到達することを防止する観点で設定 |

原子炉圧力容器高圧破損防止のための原子炉手動減圧について

原子炉への注水手段がなく原子炉圧力容器の破損に至るおそれがある場合には、原子炉圧力容器高圧破損防止のための原子炉手動減圧を実施する必要がある。この際、蒸気冷却による燃料の冷却効果に期待するために原子炉減圧を遅らせ、原子炉水位計（燃料域）で原子炉水位が「燃料有効長底部から燃料有効長の20%上の位置」（以下「BAF+20%」という。）に到達した場合に、逃がし安全弁（自動減圧機能）2個で原子炉の減圧を実施する手順としている。

減圧を実施する水位及び弁の個数については、以下の評価結果を基に決定している。

(1) 原子炉手動減圧のタイミングについて

原子炉への注水手段がない場合の原子炉手動減圧のタイミングを検討するため、原子炉水位が「原子炉水位異常低下（レベル1）」（以下「L1」という。）に到達後10分から50分のそれぞれのタイミングで減圧する場合の解析を実施し、水素の積算発生量を評価した。減圧に用いる逃がし安全弁（自動減圧機能）の弁の個数は、7個（逃がし安全弁（自動減圧機能）全て）、2個及び1個のそれぞれで実施されるものとした。

評価結果を第1表に示すとともに、それぞれの弁の個数で減圧した場合の原子炉水位及び積算水素発生量の推移を、第1図から第6図に示す。これらの評価結果から、水素の積算発生量については、おおむねL1到達後35分から50分の間で大きな差が現れた。

この評価結果から、酸化反応（ジルコニウム-水反応）が活発になる前の、L1到達後35分までに減圧を実施することが望ましいと判断した。

(2) 原子炉手動減圧に用いる弁の個数について

第1表より、(1)で判断した原子炉手動減圧を実施するタイミング（L 1 到達後35分）近辺の減圧タイミングに着目すると、逃がし安全弁（自動減圧機能）1個の場合の水素発生量が大きくなっている。また、減圧時の炉内蒸気流量の観点では、逃がし安全弁（自動減圧機能）7個の場合よりも逃がし安全弁（自動減圧機能）2個の方が、炉内蒸気流量が小さいことから、被覆管に対する負荷が小さいものと考ええる。

減圧完了までの時間については、第1図、第3図及び第5図のとおり、弁の個数が少ないほど長くなるが、いずれの場合も原子炉圧力容器破損までの時間に対しては十分な余裕があるため、原子炉圧力容器破損時の熔融炉心落下量など、原子炉圧力容器破損後の事象進展に与える影響は小さい。

以上から、原子炉手動減圧の際に開放する弁の個数は逃がし安全弁（自動減圧機能）2個とした。

(3) 原子炉手動減圧を実施する原子炉水位について

上記評価結果より、原子炉手動減圧をL 1 到達後35分以降に実施する場合に水素の積算発生量に顕著な増加が見られること、また、減圧をL 1 到達後10分から35分の間で実施する場合には水素の積算発生量に有意な傾向が確認されないことを踏まえ、蒸気冷却による燃料の冷却効果に期待する観点から、減圧はL 1 到達後35分で実施するものとし、判断基準としてはこのタイミングに相当する原子炉水位を用いることとした。

第3図より、L 1 到達後35分での原子炉水位はBAF + 20%程度であることから、これを原子炉手動減圧実施の水位とした。

なお、海外における同様の判断基準を調査した結果、米国の緊急時操作ガイドライン（EPG）^[1]の例では、不測事態の蒸気冷却の手順において、

原子炉へ注水できない場合の原子炉減圧の判断基準をBAF+70%程度と
していることを確認した。これは、BAF+70%程度よりも原子炉水位が
高い状況では、注水がなくかつ原子炉減圧していない状態でも、冠水部分
の燃料から発生する蒸気により露出部分の燃料を冷却できると判断してい
るものと推定される。当社の判断基準は、米国の例との差異はあるものの、
上述の評価結果を踏まえ蒸気冷却効果、水素発生量及び被覆管に対する負
荷の観点から定めているものであり、妥当であると考える。

(4) 原子炉水位の確認手段について

原子炉水位は、原子炉水位計（燃料域）によって確認する。原子炉水位
がBAF+20%に到達する時点（事象発生から約38分後）では、原子炉圧
力容器内の気相部温度は飽和温度を超えているが、ドライウェル内の気相
部温度は80℃程度であることから、原子炉水位計の凝縮槽内の水位は維持
され、原子炉水位計による原子炉水位の確認は可能と考える。

また、仮に水位不明となった場合は炉心損傷を判断した時点で急速減圧
を実施する手順となっており、同等の対応となることから、運転員の対応
に影響はない。

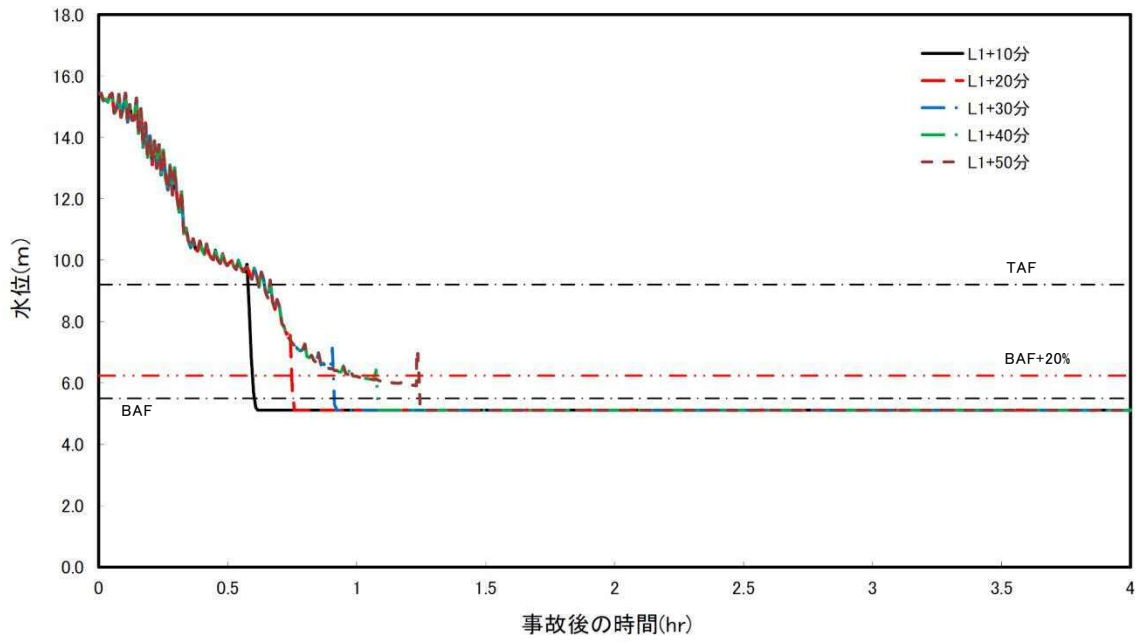
- [1] “ABWR Design Control Document [Tier2, Chapter18, Human Factors
Engineering]” , GE Nuclear Energy, Mar.1997.

第 1 表 原子炉手動減圧に関する解析結果

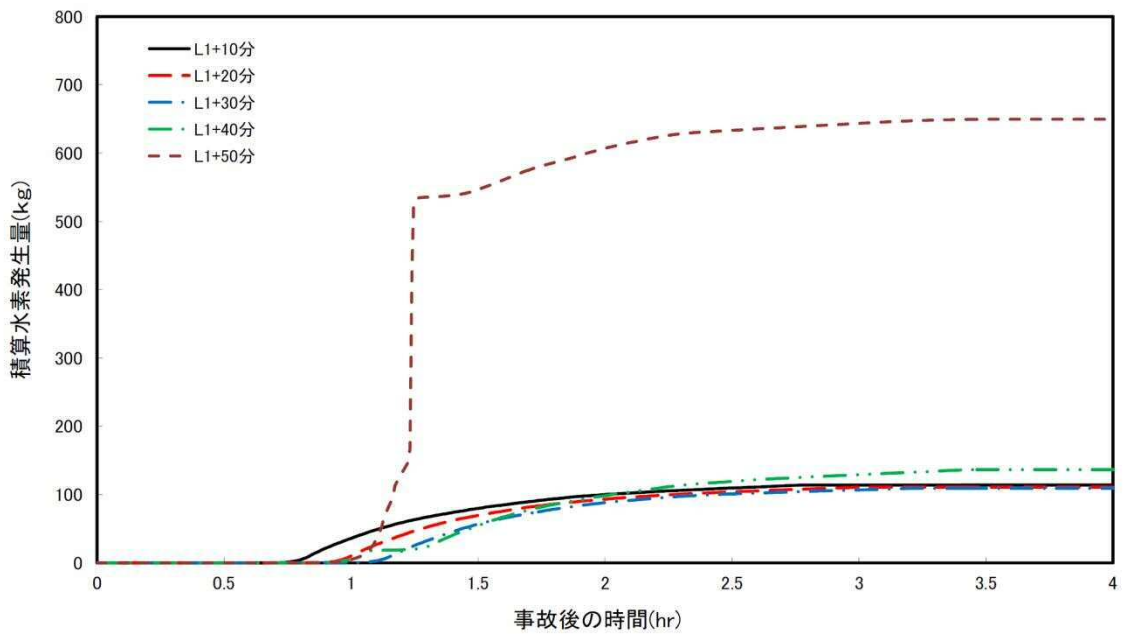
| 減圧弁数 | L1 到達後の 時間遅れ[分] | 水素発生量 [kg] | 被覆管への 荷重* |
|-------------------------------|--------------------|---------------|--------------|
| 逃がし安全 弁（自動減 圧機能） 7 個 | 10 | 114 | 87 |
| | 20 | 111 | 78 |
| | 30 | 109 | 163 |
| | 40 | 137 | 119 |
| | 50 | 650 | 68 |
| 逃がし安全 弁（自動減 圧機能） 2 個 | 10 | 272 | 40 |
| | 20 | 253 | 106 |
| | 30 | 295 | 92 |
| | 35 | 295 | 51 |
| | 40 | 578 | 98 |
| 逃がし安全 弁（自動減 圧機能） 1 個 | 10 | 403 | 80 |
| | 20 | 405 | 83 |
| | 30 | 469 | 63 |
| | 40 | 599 | 103 |

*減圧時の最大炉内蒸気流量[kg/s]

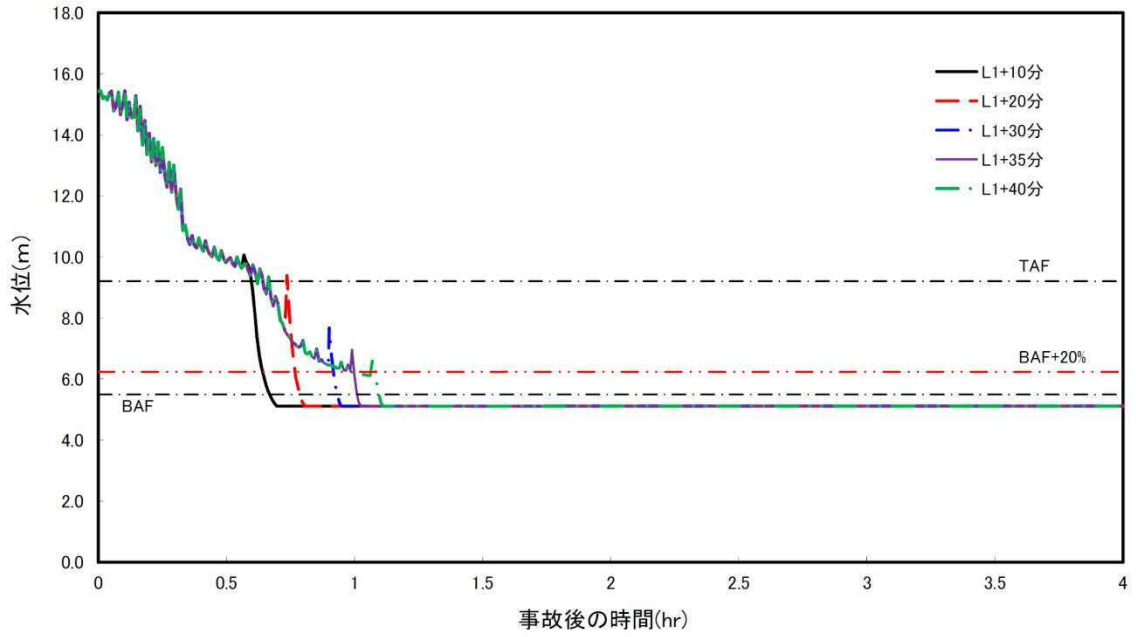
(減圧時に燃料被覆管が受ける荷重としては、燃料被覆管内外の圧力差による応力等が考えられ、蒸気流量の増加とともに大きくなると考えられることから、加わる荷重の指標として蒸気流量を参考としている)



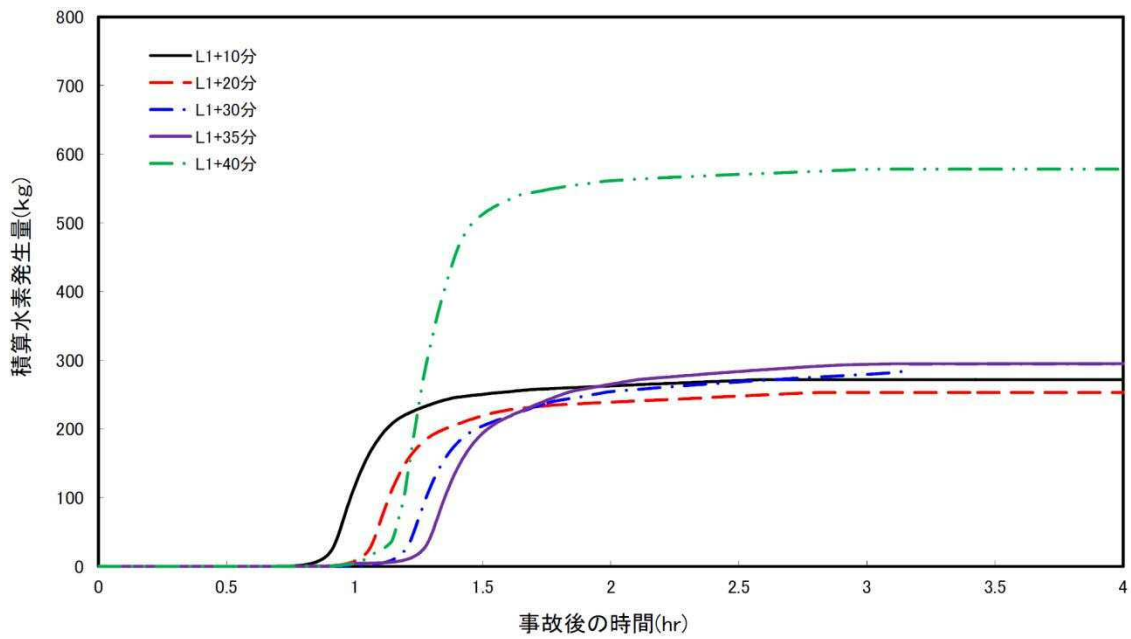
第 1 図 原子炉水位の時間変化（逃がし安全弁（自動減圧機能）7 個）



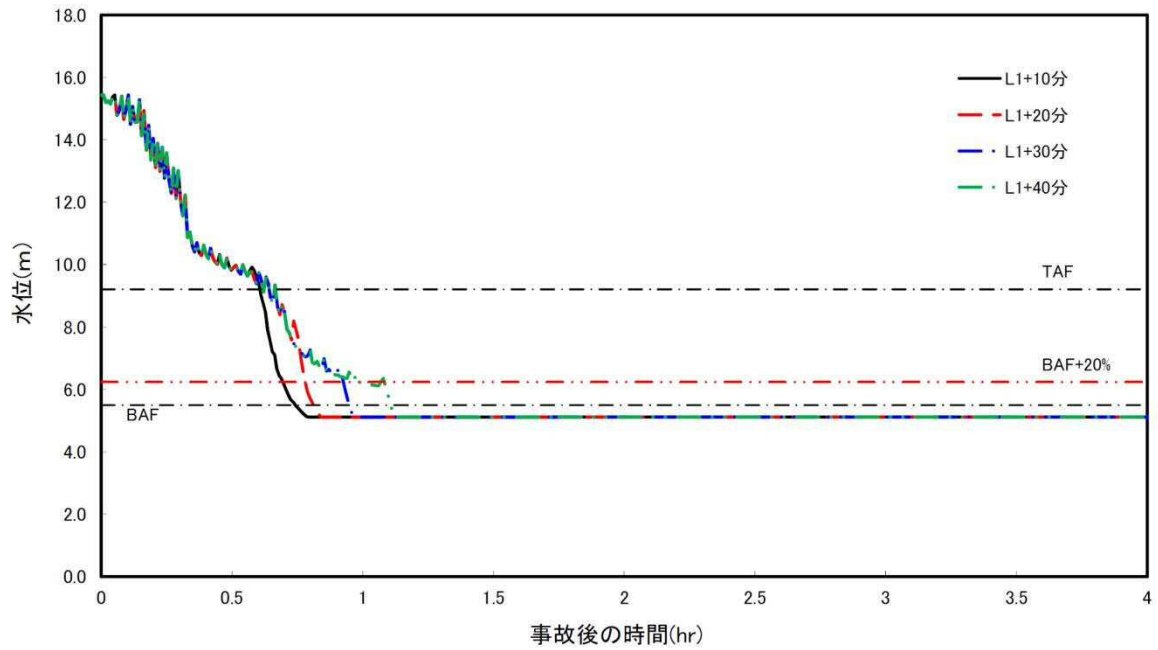
第 2 図 積算水素発生量の時間変化（逃がし安全弁（自動減圧機能）7 個）



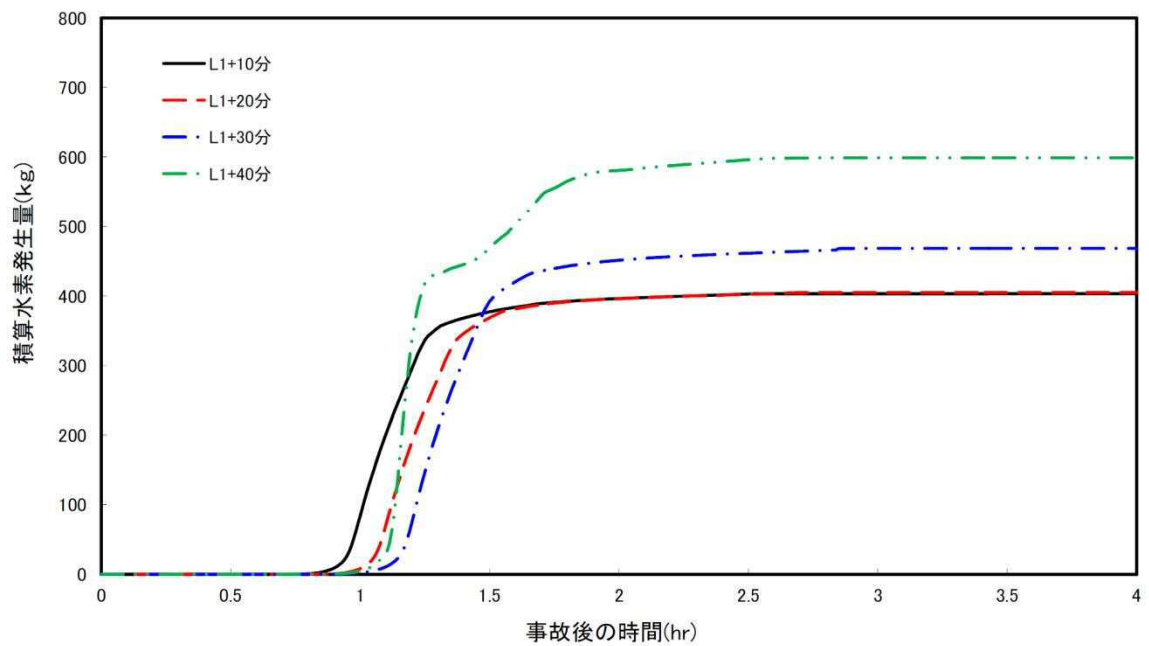
第 3 図 原子炉水位の時間変化（逃がし安全弁（自動減圧機能）2 個）



第 4 図 積算水素発生量の時間変化（逃がし安全弁（自動減圧機能）2 個）



第 5 図 原子炉水位の時間変化（逃がし安全弁（自動減圧機能）1 個）



第 6 図 積算水素発生量の時間変化（逃がし安全弁（自動減圧機能）1 個）

原子炉圧力容器の破損判断について

1. 原子炉圧力容器の破損に係る判断パラメータの考え方

炉心損傷後に原子炉へ注水されない場合、溶融炉心が原子炉圧力容器（以下「RPV」という。）の炉心下部プレナムに落下（リロケーション）し、その後RPVが破損することとなるが、リロケーション後のRPV破損のタイミングには不確かさが存在する。RPV破損後は、ペDESTAL（ドライウエル部）に溶融炉心が落下することにより、ペDESTAL（ドライウエル部）のプール水の蒸発及び水蒸気発生に伴う格納容器圧力上昇が生じることから、格納容器スプレイ及びペDESTAL（ドライウエル部）注水を実施するために、RPV破損を速やかに判断する必要がある。

このため、RPV破損前に、事象の進展に応じて生じる物理現象（原子炉水位低下、リロケーション）を検知できる【破損徴候パラメータ】によって、RPV破損の徴候を検知し、徴候を検知した以降のRPV破損に至るまでの間はRPV破損を検知可能なパラメータ【破損判断パラメータ】を継続的に監視することによって、RPV破損の速やかな判断が可能となるようにする。

2. 個別パラメータ設定の考え方（第1表）

破損徴候パラメータとしては、事象の進展に応じて生じる物理現象（原子炉水位低下、リロケーション）を検知可能なパラメータを設定する。

また、破損判断パラメータは、次の①及び②に適合するパラメータから設定する。

① R P V破損以外の原子炉冷却材圧力バウンダリ外への熱の移行を伴う要因により、R P V破損と同様の傾向を示すことがないパラメータ（R P V破損の誤検知防止）（別添）

② 溶融炉心の落下挙動の不確かさ^{*}を考慮した場合でも、変化幅が大きいパラメータ（R P V破損の速やかな判断）

※ 原子炉注水機能が喪失した状態でR P Vが破損した場合には、制御棒駆動機構ハウジング等のR P V貫通部溶接箇所が破損し、アブレーションによる破損口の拡大を伴いながら下部ヘッドに堆積した溶融炉心が継続的にペDESTAL（ドライウエル部）へ落下する可能性が高いと考えられる。ただし、R P V破損前に原子炉注水機能が復旧した場合等、少量の溶融炉心がペDESTAL（ドライウエル部）に落下する不確かさも存在すると考えられる（添付資料 3.2.3 別添1）。

破損徴候パラメータ及び破損判断パラメータは全て中央制御室で確認できるものとし、R P V破損の速やかな判断を可能とする。

【破損徴候パラメータ】

- ・ 原子炉水位の「低下（喪失）」
- ・ 制御棒位置の指示値の「喪失数増加」
- ・ R P V下鏡部温度（第1図）が「300℃到達」

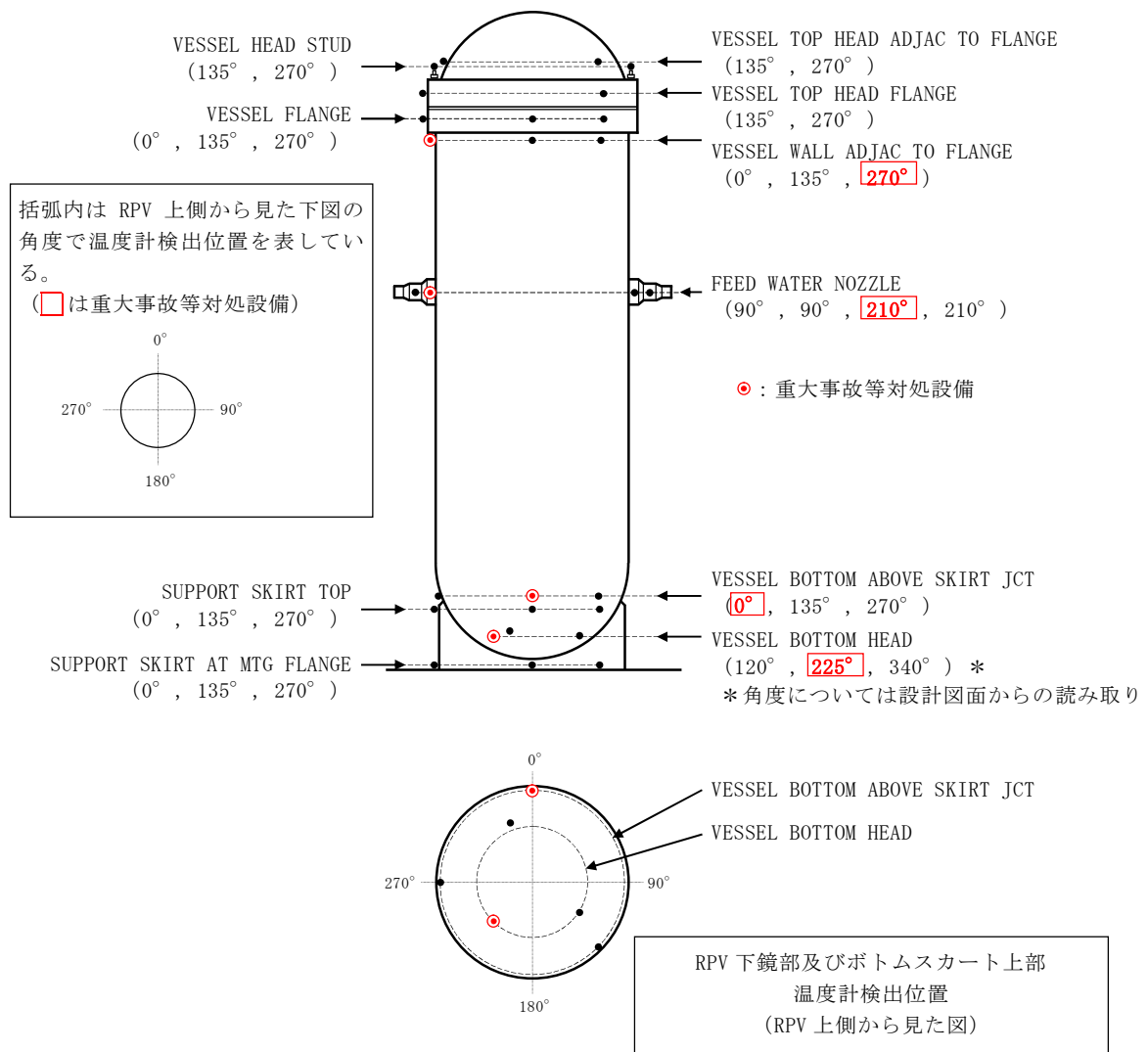
【破損判断パラメータ】

- ・ 格納容器下部水温の「上昇」又は「指示値喪失」

なお、従来の非常時運転手順書Ⅲ及びアクシデントマネジメントガイドでは、“原子炉圧力の低下” “ドライウエル圧力の上昇” “ペDESTAL（ドライウエル部）雰囲気温度の上昇” “ドライウエル雰囲気温度の上昇”等を破損判断パラメータ（R P V破損時の変化が顕著で、同一のタイミングで変化した場合には破損判断の確実性が高いと考えられるパラメータ）及び破損判断の参考パラメータ（R P V破損時のあるパラメータの副次的な変化として確認されるパラメータやR P V破損時の変化幅が小さいパラメータ等）として定め、パラメータの挙動から総合的にR P V破損を判定することとしていた。しかし、これらのパラメータは、溶融炉心少量落下時のようにパラメータの変化幅が小さい場合など、上記①②のいずれかを満足せず、R P V破損を誤検知する可能性や速やかな判断に支障を来す可能性がある。このため、R P V破損の判断パラメータから除外するとともに、新規にペDESTAL（ドライウエル部）水温に係る計装設備として格納容器下部水温計を設置し、破損判断パラメータとして設定する。

第1表 過渡事象及びLOCA事象時のRPV破損判断パラメータ設定の理由

| パラメータ | 設定の理由 |
|---|--|
| 【破損徴候パラメータ】 | |
| 原子炉水位 | 原子炉水位の低下・喪失により，リロケーションに先立ち発生する炉心の露出を検知するものであり，RPV破損前における事象進展の把握のため設定。 |
| 制御棒位置 | RPV下部に制御棒位置検出のためのケーブルが設置されており，溶融炉心が下部プレナムに落下した際のケーブル接触に伴う指示値喪失を検知することによりリロケーションの発生を検知可能であり，RPV破損前における事象進展の把握のため設定。 |
| RPV下鏡部温度 | RPV下鏡部温度 300℃到達を検知することにより，リロケーション発生後におけるRPV下鏡部の温度上昇を検知可能であり，破損徴候パラメータとして設定可能。なお，RPV内が 300℃到達の状態は，逃がし安全弁（安全弁機能）最高吹出圧力に対する飽和温度を超えており，RPV内が過熱状態であることを意味するため，リロケーション前に下部プレナムに水がある状態では到達しない。 |
| 【破損判断パラメータ】 | |
| 格納容器下部水温 | <ul style="list-style-type: none"> ・RPV下鏡部温度により破損徴候を判定した以降，ペDESTAL（ドライウエル部）の水温が顕著に上昇するのはRPV破損時のみであり，RPV破損の誤検知のおそれはない。 ・少量の溶融炉心がペDESTAL（ドライウエル部）に落下する不確かさを考慮しても，格納容器下部水温計の上昇又は指示値喪失により，RPV破損の速やかな判断が可能。 |
| 【従来の破損判断パラメータ等】 | |
| <ul style="list-style-type: none"> ・原子炉圧力 ・ドライウエル圧力 ・ドライウエル雰囲気温度 ・ペDESTAL（ドライウエル部）雰囲気温度，等 | 以下の理由により，破損判断パラメータとして設定しない （ <ul style="list-style-type: none"> ・LOCA事象のリロケーション時等，RPV破損時と同様の傾向を示す場合が存在する。 又は ・少量の溶融炉心がペDESTAL（ドライウエル部）に落下する不確かさを考慮した場合，変化幅が小さい。 ） |



第 58 条で重大事故等対処設備とする温度計の検出位置は代表性を考慮して RPV 上部，中部，下鏡部及びボトムスカート上部各々 1 箇所としている。

炉心損傷が進み損傷炉心が溶融すると，炉心下部プレナムへ溶融炉心が移行する。その後，溶融炉心が下部プレナムの構造物を溶融し，炉心支持板の上にある溶融炉心が全て下部プレナムに落下するとともに，下鏡部の温度が上昇し，いずれは RPV 破損に至る。このように RPV 破損前には，下部プレナムに全量の溶融炉心が落下することを考慮すると，RPV 破損の徴候を検知するには下鏡部の 1 つの温度計で十分と考えられるが，東海第二発電所では高さ方向及び径方向ともに位置的に分散された 2 箇所の温度計を重大事故等対処設備とし，RPV 破損徴候の検知性の向上を図っている。

第 1 図 RPV 温度計検出位置

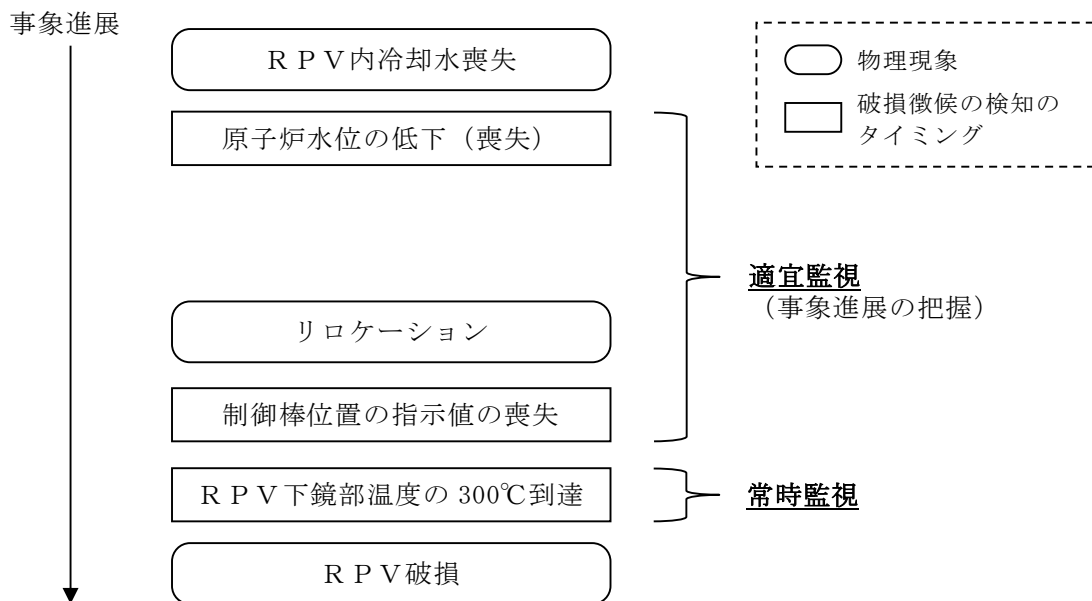
3. 個別パラメータによる検知の考え方について

2. で示した複数の個別パラメータを用いた、R P V 破損の徴候及びR P V 破損の検知方法について以下に記載する。

(1) R P V 破損の徴候の検知方法について

第 2 図のとおり、事象発生後は、R P V 内冷却水喪失、炉心損傷、リロケーションといった物理現象が事故の進展に応じて発生するが、その間に“原子炉水位の低下（喪失）”，“制御棒位置の指示値の喪失”及び“R P V 下鏡部温度の 300℃到達”が検知され、その後R P V が破損することとなる。

そこで，“原子炉水位の低下（喪失）”や“制御棒位置の指示値の喪失”を検知している状態では、機能喪失した機器の復旧等の作業を並行して実施する可能性等を考慮して破損判断パラメータを適宜監視することとするが，“R P V 下鏡部温度の 300℃到達”を検知すればやがてR P V 破損に至る可能性が高い状況であると判断し、破損判断パラメータを常時監視することとする。



第 2 図 R P V 破損までの事象進展

(2) R P V破損の検知方法について

R P V破損の誤検知防止及びR P V破損の速やかな判断の観点から，“格納容器下部水温の上昇又は指示値喪失”が検知された場合に，R P V破損を判断することとする。

なお，添付資料 3.2.3 別添 3 第 3 図のとおり，格納容器下部水温を計測する測温抵抗体式温度計については，水温上昇そのものを検知するほか，測温部に高温の熔融炉心が接触すると温度指示値は急上昇しオーバースケールする（温度上昇）。また，熔融炉心との反応に伴い測温部の導線周囲の絶縁材（M g O）の熔融等が発生すると，導線間の絶縁性が失われ短絡又は導通することにより，温度指示値がダウンスケールする（指示値喪失）。

(3) R P V下鏡部温度の監視に使用する計器について

R P V下鏡部温度を計測する計器については，重大事故等対処設備と設計基準対象施設が存在するが，このうち設計基準対象施設の計器については，重大事故等時の耐環境性を有していない等の理由により，重大事故等時に正しく指示値が出力されない可能性がある。

また，重大事故等対処設備の計器は重大事故等時においても信頼性を有する設計であり，かつ位置的に分散して 2 箇所に設置することから，重大事故等対処設備の計器の監視により R P V破損の徴候の検知は十分可能と考えられる。

以上より，重大事故等対処設備の計器が 300℃に到達した場合に R P V破損の徴候を検知し，破損判断パラメータである格納容器下部水温を常時監視することを基本とする。ただし，重大事故等対処設備の計器が機能喪失する等の不測事態も考慮し，設計基準対象施設の計器が 1 つでも 300℃に到達するような場合には，万が一の R P V破損判断の遅れを

防止する観点から、R P V破損の徴候を検知し、破損判断パラメータである格納容器下部水温を常時監視することを手順書に記載することとする。

(4) 個別パラメータの位置付けを踏まえたR P V破損判断の成立性

制御棒位置を除く個別パラメータは重大事故等対処設備により計測されるため、重大事故等時にパラメータ変動を検知可能であるが、制御棒位置の指示値については、全交流動力電源喪失時等、重大事故等時にパラメータ変動が確認できない可能性がある。ただし、その他のR P V破損の徴候に係る個別パラメータ（“原子炉水位の低下（喪失）”，“R P V下鏡部温度の 300℃到達”）により事象の進展及びR P V破損の徴候が確認可能であり，“R P V下鏡部温度の 300℃到達”が検知された以降は、破損判断パラメータを継続的に監視することとなる。したがって、重大事故等時に制御棒位置の指示値が確認できない場合でも、R P V破損判断の成立性に与える影響はない。

4. R P V破損の判断時間について

上述のとおり，“R P V下鏡部温度の 300℃到達”が検知された以降は、破損判断パラメータを継続的に監視することとなる。このため、実機においてR P Vが破損して熔融炉心がペデスタル（ドライウエル部）に落下した場合、時間遅れなく破損判断パラメータの変化傾向が確認可能であり、「実機においてR P Vが破損したタイミング」から「R P V破損判断の個別パラメータの確認開始」までの時間遅れは考慮不要と考えられる。

したがって、有効性評価においては、上記時間遅れを考慮せず、3.に示す“格納容器下部水温の上昇又は指示値喪失”の確認に必要な時間を保守的に積み上げ、5分と想定している。さらに、代替格納容器スプレイ冷却系（常

設) の操作時間 1 分, 格納容器下部注水系 (常設) の操作時間 1 分を加え, R P V 破損から 7 分後にペDESTAL (ドライウエル部) への注水を開始する設定としている。

なお, 添付資料 3.2.14 に記載のとおり, ペDESTAL (ドライウエル部) 水位を 1m とした場合, R P V 破損時点から溶融炉心露出までの時間は, 過渡事象の場合で約 21 分間, 事象進展の早い大破断 L O C A 事象の場合で約 15 分間であり, R P V 破損から 7 分後にペDESTAL (ドライウエル部) への注水を開始することで溶融炉心の冷却は維持される*。

- ※ 格納容器下部注水系 (常設) によるペDESTAL (ドライウエル部) 注水流量は $80\text{m}^3/\text{h}$ であり, 溶融炉心からの崩壊熱による蒸散量より十分多いため, 溶融炉心露出までの注水により冠水維持可能。露出までの余裕時間は, 過渡事象の場合で約 14 分間 (21 分-7 分), 大破断 L O C A 事象の場合で約 8 分間 (15 分-7 分) である。

事象進展を踏まえた R P V 破損判断の成立性

1. はじめに

R P V 破損は“格納容器下部水温の上昇又は指示値喪失”を検知した場合に判断するが、R P V 破損以外の要因によって原子炉冷却材圧力バウンダリ外へ熱が急激に移行した場合に、“格納容器下部水温の上昇又は指示値喪失”を検知することによる R P V 破損の誤判断の可能性について整理する。

添付資料 3.2.2 の 3. (1) に記載のとおり、R P V 破損の徴候については、事象の進展に応じて生じる物理現象（原子炉水位低下、リロケーション）を検知できるパラメータの指示値により判断している。“R P V 下鏡部温度の 300℃到達”は、リロケーションに伴う R P V 下鏡部の温度上昇を直接的に検知するものであり、徴候を誤検知することはないと考えられるため、以下ではリロケーションに伴う破損徴候検知後において、R P V 破損を誤判断する可能性について整理する。

2. 考慮する事象

過渡事象、L O C A 事象のそれぞれについて、R P V 破損以外の要因による原子炉冷却材圧力バウンダリ外への熱の移行について考慮する。

(1) 過渡事象

R P V 破損までは原子炉冷却材圧力バウンダリの機能が健全であるため、原子炉冷却材圧力バウンダリ外への熱の移行としては、「逃がし安全弁の作動」が考えられる。

(2) L O C A 事象

原子炉冷却材圧力バウンダリ外への熱の移行としては、リロケーショ

ン後における「破断口からの蒸気流出」が考えられる。

3. 考慮する事象とパラメータ変動の関係

過渡事象，LOCA事象のそれぞれについて，RPV破損を含む原子炉冷却材圧力バウンダリ外への熱の移行を伴う要因とパラメータ変動の関係をまとめた結果を第1表及び第2表に示す。従来の破損判断パラメータ等については，RPV破損時とその他要因で同様の傾向を示すパラメータは存在するものの，格納容器下部水温はRPV破損時特有の挙動を示すことから，RPV破損以外の要因を考慮しても，RPV破損を誤判断することはなく，RPV破損判断の成立性に影響はない。

第1表 原子炉冷却材圧力バウンダリ外への熱の移行を伴う要因とパラメータ変動（過渡事象）

| パラメータ | 逃がし安全弁作動 | R P V破損 | 判 断 |
|-------------------------|----------|---------|--|
| 【破損判断パラメータ】 | | | |
| 格納容器下部水温 | 有意な変化なし | 上昇又は喪失 | R P V破損時には、格納容器下部水温の指示値の上昇又は喪失が検知される |
| 【従来の破損判断パラメータの例】 | | | |
| ドライウエル圧力 | 有意な変化なし | 上昇 | R P V破損前の発生蒸気は逃がし安全弁からS/P経由で排出されるため、ドライウエル圧力に有意な変化はない |
| ドライウエル雰囲気温度 | 有意な変化なし | 上昇 | R P V破損前の発生蒸気は逃がし安全弁からS/P経由で排出されるため、ドライウエル雰囲気温度に有意な変化はない |
| ペDESTAL(ドライウエル部) 雰囲気温度 | 有意な変化なし | 上昇 | ペDESTAL(ドライウエル部)内に溶融炉心が落下する前に有意な変化はない |

第2表 原子炉冷却材圧力バウンダリ外への熱の移行を伴う要因とパラメータ変動（L O C A事象）

| パラメータ | 破断口からの蒸気流出 | R P V破損 | 判 断 |
|-------------------------|------------|---------|---|
| 【破損判断パラメータ】 | | | |
| 格納容器下部水温 | 有意な変化なし | 上昇又は喪失 | R P V破損時には、格納容器下部水温の指示値の上昇又は喪失が検知される |
| 【従来の破損判断パラメータの例】 | | | |
| ドライウエル圧力 | 上昇 | 上昇 | 同様の傾向を示す |
| ドライウエル雰囲気温度 | 上昇 | 上昇 | 同様の傾向を示す |
| ペDESTAL(ドライウエル部) 雰囲気温度 | 上昇 | 上昇 | 同様の傾向を示すが、R P V破損後は溶融炉心からの放熱影響により雰囲気温度の上昇がより顕著であると考えられる |

ペDESTAL（ドライウエル部）内の水位管理方法について

東海第二発電所における，溶融燃料－冷却材相互作用及び溶融炉心・コンクリート相互作用の影響抑制を考慮したペDESTAL（ドライウエル部）（以下「ペDESTAL」という。）内の水位管理対策の内容を以下に示す。

1. ペDESTALの構造及び設備概要

東海第二発電所のペDESTALの概要図を第1図(a)及び(b)に示す。

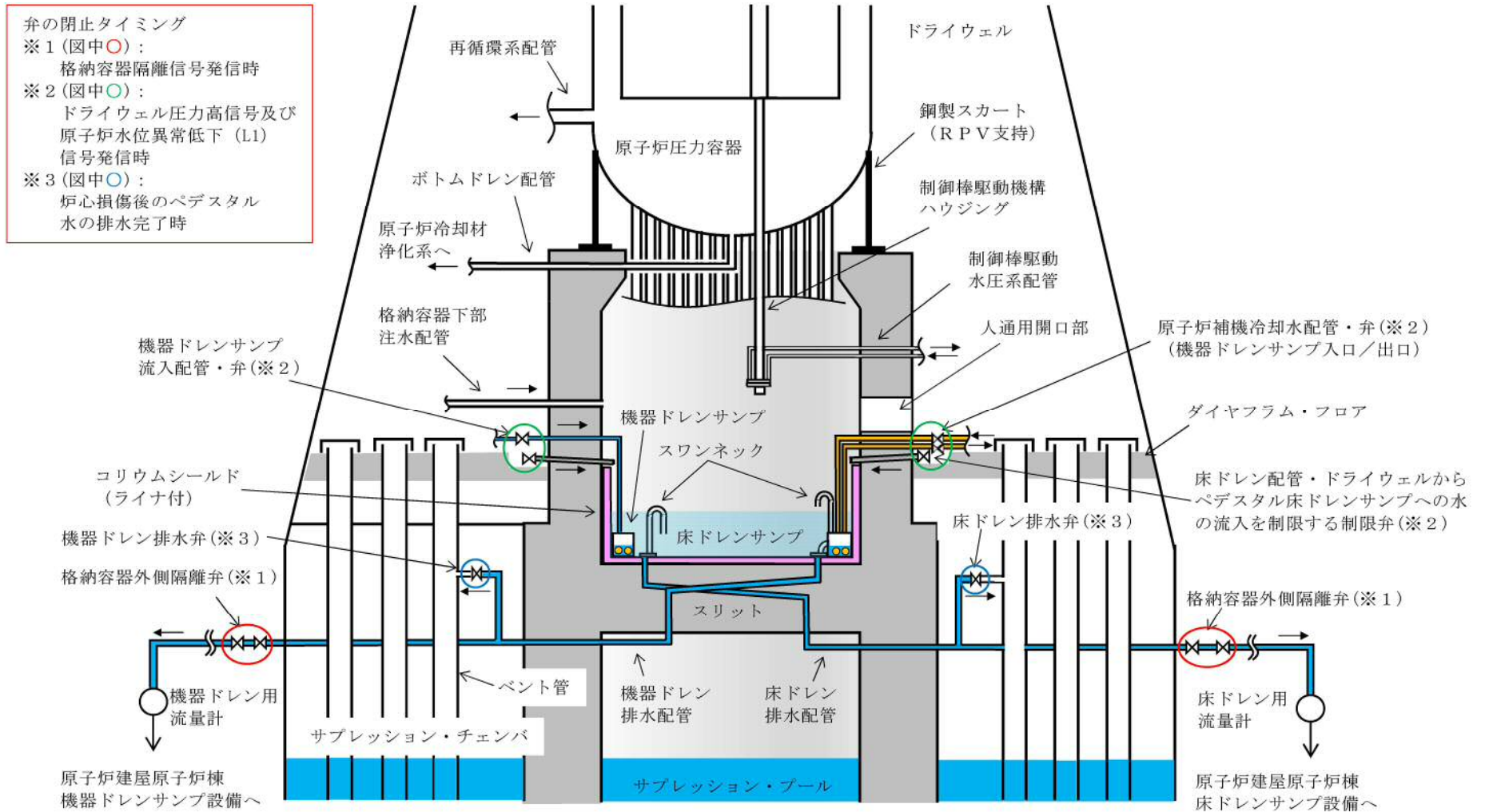
ペDESTAL内の底面及び側面には，原子炉圧力容器（以下「RPV」という。）が破損し溶融炉心（以下「デブリ」という。）が落下した際のペDESTAL構造健全性確保のため， ZrO_2 製のコリウムシールドを設置する。また，コリウムシールド内は床ドレンサンプとして用いるために，コリウムシールド表面にSUS製のライナを敷設し通常運転中の水密性を確保するとともに，その内側に機器ドレンサンプを設置する。

ドライウエルにて生じる床ドレン及び機器ドレン並びに機器ドレンサンプを冷却するための冷却水は，第1図(a)及び(b)のようにペDESTAL側壁の貫通孔を通る配管により各ドレンサンプへ導かれる。これらの配管はコリウムシールドの側壁部より高い位置からペDESTAL内へ接続し，コリウムシールド内に堆積したデブリが配管へ流入しない設計とする。

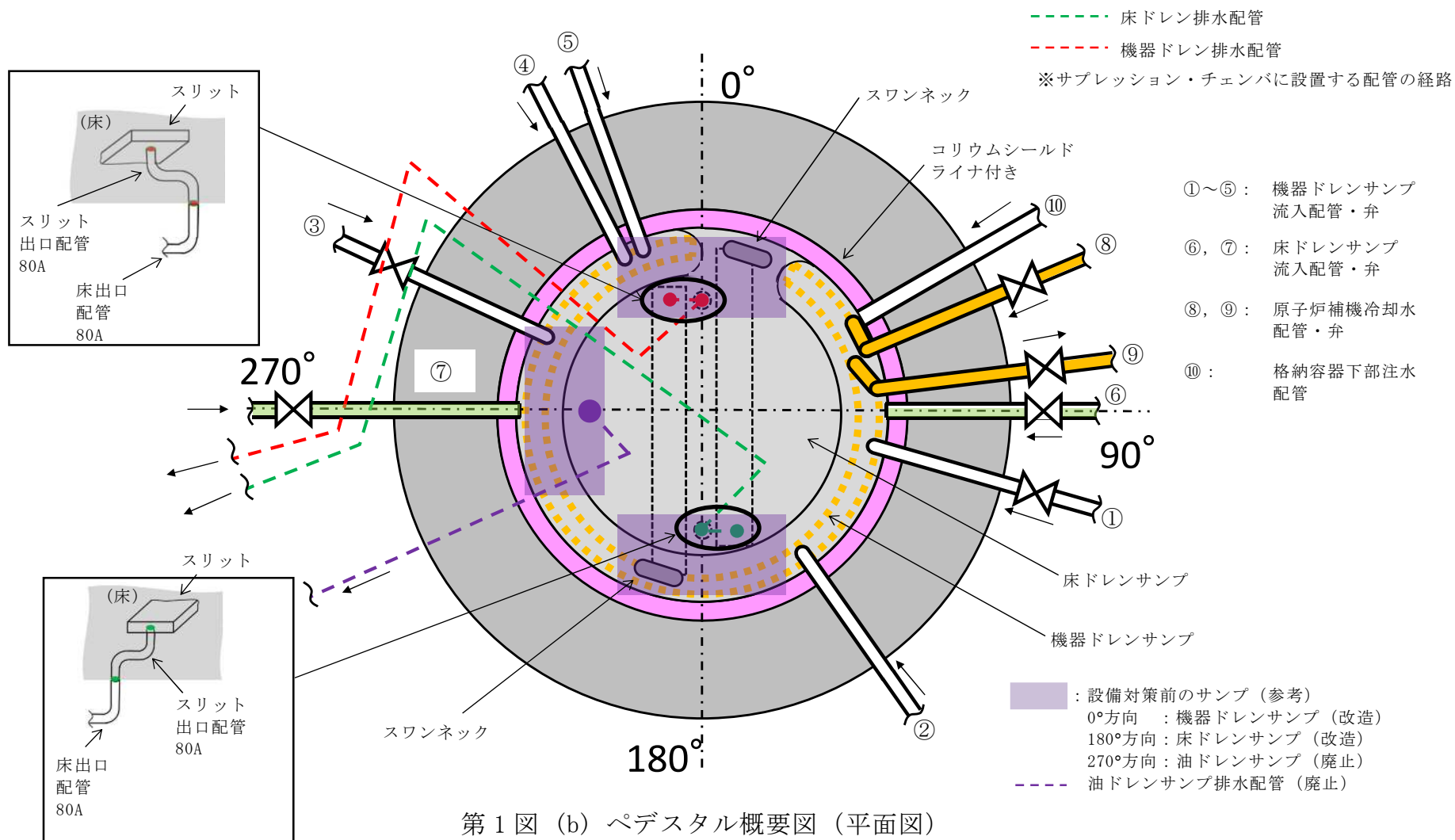
床ドレンサンプ内に流入した水は，1mに立ち上げたスワンネックから流出させ，スリット及び配管を通じて原子炉建屋原子炉棟床ドレンサンプ設備へ排水する。また，排水配管を分岐させベント管へ接続することで，事故時においてペDESTALからサプレッション・チェンバへ排水する経路を設ける。

ペDESTALの側壁は鋼製スカートを介してRPVを支持しており，RPV下部プレナムの中心付近には原子炉冷却材浄化系のボトムドレン配管が接続

されているとともに、ペデスタル内には制御棒駆動水圧系配管が敷設されている。



第1図 (a) ペDESTAL概要図 (断面図)



2. 水位管理方法

通常運転時及び事故時におけるペDESTAL内水位の管理方法を以下に示す。

(1) 原子炉起動前及び通常運転時

原子炉起動前において、通常運転時のペDESTAL床ドレンサンプの排水性を確保するため、消火系、補給水系又は純水系を使用して必要によりペDESTAL内への事前水張りを行い、ペDESTAL内水位を約 1m (約 27m³) にし、通常運転時のペDESTALへの流入水の計測を可能とする。

通常運転時におけるペDESTAL内へ流入する発生源が明らかな漏えい水として格納容器内のドライウェル内ガス冷却装置から発生する凝縮水等があり、これらが床ドレン水（ドライウェルエアークーラードレン含む。）として格納容器内の床ドレン配管からペDESTAL内へ流入(2004年4月30日～2011年3月11日の通常運転時における実測値 多量時：約 6.8L/h, 少量時：約 0.2L/h) する。なお、通常運転時に発生する格納容器内床ドレン水の放射能濃度は約 3.7Bq/ml である。

ペDESTAL内へ流入した床ドレン水は、ペDESTAL内水位が約 1m の状態で流入し、スワンネックから原子炉建屋原子炉棟床ドレンサンプ設備へ排水されるため、その排水状況を格納容器床ドレン流量により確認することで、ペDESTAL内水位が約 1m に維持されていることを確認できる。また、ペDESTAL内水位が約 1m に維持されていることを格納容器下部水位にて確認することもできる。

原子炉冷却材圧力バウンダリからの原子炉冷却材の漏えいが発生した場合において、スワンネックから原子炉建屋原子炉棟床ドレンサンプ設備に排水される過程で、格納容器床ドレン流量により原子炉冷却材圧力バウンダリからの原子炉冷却材の漏えい水を検出することが可能である。

(2) 事故発生からRPV破損まで

ドライウェル圧力高信号及び原子炉水位異常低下（レベル1）信号により、ペデスタル内へ流入する配管（床ドレン配管、機器ドレン配管及び原子炉補機冷却水配管）に対してペデスタル外側に設置した制限弁を自動閉止し、ペデスタルへの流入水を制限する。

制限弁閉止前の流入水等により水位が1mを超えた場合には、ベント管に接続された床ドレン排水配管及び床ドレン排水弁を経由してサブプレッション・チェンバへ排水され、RPV破損までにペデスタル内水位は1mまで低下する。

事故が発生し炉心が損傷した場合、格納容器下部注水配管から水位1mを超過するまで注水を実施し、その後排水することにより、RPV破損時に確実に水位1mを確保する運用とする。これに要する時間は30分程度（注水開始操作に要する時間（17分）、水位10cm分の注水に要する時間（3分）、注水停止操作に要する時間（4分）及び5cm分の排水に要する時間（5分）に余裕を加味した時間）と想定され、炉心損傷後のペデスタル注水開始からRPV破損までの約1.8時間（事象進展の早い大破断LOCA時の例）の間に余裕をもって実施可能である。

なお、床ドレンサンプの水位をRPV破損までに1mとする排水の過程において、水位が1.2m以上であるときには、床ドレン排水配管及び床ドレン排水弁を経路とした排水に加えて、ベント管に接続された機器ドレンサンプ排水配管及び排水弁を経由してサブプレッション・チェンバに排水することが可能である。

ベント管に接続する床ドレン排水弁及び機器ドレン排水弁はRPV破損前に閉とし、RPV破損後のペデスタル水のサブプレッション・チェンバへの流出を防止する。

(3) R P V破損後

R P V破損及びデブリ落下後,ペDESTAL内にて0.2m以上のデブリ堆積を検知後に,80m³/hでペDESTAL満水相当まで水位を上昇させるとともに,その後は満水近傍にて水位を維持する(別添1)。

また,上記(1)～(3)の水位管理を実現するための設備対策について別添2に,ペDESTAL内に設置する計器類について別添3にそれぞれ示す。

ペDESTAL注水開始後の水蒸気爆発発生の可能性及び
水蒸気爆発発生抑制の考え方について

1. はじめに

東海第二発電所では、水蒸気爆発（以下「SE」という。）によるペDESTAL構造への影響抑制のため、RPV破損時のペDESTAL水位を1mと設定し、SE影響評価を実施している。しかし、RPVの破損を判断した場合には、格納容器下部注水系（常設）によるペDESTAL注水を実施する手順としており、注水開始後には1mを超える水位がペDESTAL内に形成されることとなり、SE影響評価の想定を上回る規模のSEが発生する可能性がある。

これに対して、RPV破損及びペDESTAL注水開始後のペDESTAL内の状況を推定し、SEの発生可能性及びこれを考慮した水位管理について検討した。以下に検討の内容を示す。

2. RPV破損時のデブリ落下挙動

RPVが破損するような状況においては原子炉注水機能が喪失している可能性が高く、RPV破損時にはデブリの大部分が下部プレナムに堆積することで、これらのデブリの重量及び熱的影響により制御棒駆動機構ハウジング等のRPV貫通部溶接箇所が破損し、デブリが落下し始めると考えられる。その後も、制御棒駆動機構ハウジングはペDESTAL内において外部サポートにより支持されているため逸出が生じることは考えにくく、アブレーションによる破損口の拡大を伴いながら下部プレナムに堆積したデブリが継続的にペDESTALへ落下するものと考えられる。

なお、有効性評価においては、溶融燃料－冷却材相互作用や溶融炉心・コ

ンクリート相互作用による格納容器への負荷を厳しく評価する観点から、R P Vの破損形態として制御棒駆動機構ハウジングの逸出を想定しており、R P V破損口はアブレーションにより拡大しながら、R P Vの内圧及びデブリの堆積ヘッドにより、約 300ton の熔融デブリが約 30 秒間でペDESTALへ全量落下する結果となっている。

3. R P V破損後のペDESTAL内の水の状態とS E発生抑制の考え方

ペDESTAL内の初期水量及びペDESTAL注水量と、R P Vから落下するデブリの保有熱の関係より、ペDESTAL内の水が飽和温度に到達する条件を評価し、その結果よりS Eの発生可能性について検討した。第1表及び第2表に、評価条件を示す。

まず、R P V破損時にペDESTAL内に存在する水量（水深 1m）は [] であり、この水量を飽和温度まで昇温させるデブリ量は、約 11ton と評価される。これは、デブリ全体に対して 4%未満の落下量である。また、ペDESTALを満水（水深 []）とする水量は約 81m³であり、この水量を飽和温度まで昇温させるデブリ量は、約 31ton と評価される。このデブリ量がペDESTAL内に堆積した場合、その堆積高さは約 0.15m となる。よって、これに余裕を考慮し、0.2m までのデブリ堆積を検知後に満水までの注水を行うことで、ペDESTAL内を満水とした場合でも水の飽和状態は維持される。

また、R P V破損後のペDESTAL注水は 80m³/h にて実施するが、デブリからペDESTAL水への伝熱速度の観点からは、熱流束を 800kW/m²一定※、伝熱面積をデブリ拡がり面積である [] とすると、180m³/h 以上の水を飽和温度まで昇温する熱移行率となる。

※ M A A Pコードを用いた有効性評価においてデブリから上面水への限界熱流束として小さめに設定している値。

以上より、R P V破損後にはペデスタル内の水は速やかに飽和状態に至るとともに、0.2mまでのデブリ堆積を検知後にペデスタル満水相当(水位 2.75m)までの注水を開始することにより、その後の注水過程でもペデスタル内の水は飽和状態に維持されるため、S Eの発生は抑制されることが考えられる。

ペデスタル満水相当(水位 2.75m)まで注水を実施した後は、2.25m及び2.75m高さの水位計を用いて、水位を2.25mから2.75mの範囲に維持するようペデスタル注水を実施することで、サブクール度を小さく保ちS Eの発生を抑制しながら、デブリの冷却を継続する。

また、R P V破損後にR P V内の残存デブリ冷却のための注水を実施した場合、注水の一部がR P Vの破損口からペデスタルへ落下しペデスタル内が常に満水状態となることが考えられるが、以下の理由によりS Eの発生は抑制されることが考えられる。

- ・ R P Vからペデスタルへの落下水はR P V内に残存するデブリにより加熱され、また、ペデスタル内の水はペデスタルに落下したデブリにより加熱されているため、ペデスタル内の水は飽和状態を維持する
- ・ R P Vからペデスタルへの流入水のサブクール度が大きい場合、R P V内の残存デブリは冷却されており、ペデスタルへ落下する可能性は低い
ただし、ペデスタル注水手順は、先述のR P V破損口の拡大が生じない場合のような、デブリが少量ずつペデスタルへ落下してくる可能性を考慮しても、S Eの発生を抑制できるよう整備する(別紙参照)。

第1表 デブリの評価条件

| 項目 | 値 | 備考 |
|----------------------------|-----|---|
| デブリ密度 (kg/m ³) | | MAAP計算結果 (RPV破損時の値) を、デブリ保有熱が小さくなるように丸めた値 |
| デブリ比熱 (J/kgK) | | |
| デブリ溶融潜熱 (J/kg) | | |
| デブリ初期温度 (°C) | | |
| デブリ冷却後温度 (°C) | 500 | デブリ保有熱を小さめに評価する観点から、高めに設定 |

第2表 ペDESTAL水の評価条件

| 項目 | 値 | 備考 |
|---------------------------------|-------|---------------------------------------|
| ペDESTAL水密度 (kg/m ³) | 1,000 | 概略値を使用 |
| ペDESTAL水比熱 (J/kgK) | 4,180 | |
| ペDESTAL水初期温度 (°C) | 35 | 外部水源温度 |
| ペDESTAL水飽和温度 (°C) | 135 | RPV破損時のドライウェル圧力の包絡値 (0.3MPa) における飽和温度 |
| ペDESTAL水半径 (m) | | コリウムシールド厚さを15cmとした場合の、コリウムシールド内半径 |

デブリ少量落下時の S E 発生可能性を考慮したペDESTAL注水管理について

原子炉注水機能が喪失し R P V 破損に至るような状況においては、デブリが継続的に落下することによりペDESTAL内の水は飽和状態となり S E の発生は抑制されると考えられることから、R P V 破損の検知後には、確実なデブリ冠水及び冷却のため、ペDESTAL満水相当まで連続して注水を行うとともに、その後もデブリの冷却に必要な量の注水を継続することとしている。その手順は以下のとおりである。

(a) R P V 破損前

ペDESTALへの事前注水及び排水配管からの排水により、水位は 1m に維持される。

(b) R P V 破損後

R P V 破損を判断した場合には、ペDESTAL満水相当の水位 2.75m まで注水を実施する。その後は、2.25m 及び 2.75m 高さの水位計を用いて、水位を 2.25m から 2.75m の範囲に維持するようペDESTAL注水を実施し、サブクール度を小さく保ち S E の発生を抑制する。

一方、R P V 破損前に原子炉注水機能が復旧した場合等に、少量のデブリがペDESTALに落下し残りの大部分が R P V 内に残存する可能性や、デブリがごく少量ずつ継続して落下する可能性も考えられ、デブリ落下挙動には不確かさが存在する。したがって、このような場合において、ペDESTAL注水により水深が深く、サブクール度の大きい水プールが形成され、その後 R P V 内に残存したデブリが落下した際に万が一 S E が発生する可能性についても考慮し、上記 (a) 及び (b) の手順に加え、以下 (c) の手順によりペDESTALへの注水を管理す

ることとする。

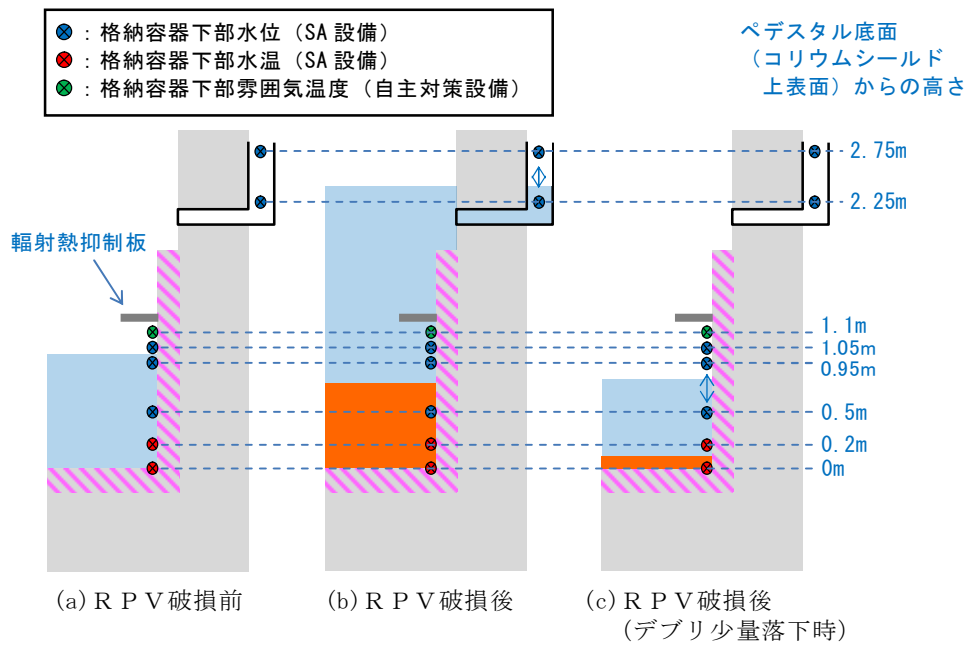
(c) R P V破損後（デブリの落下量が少量の場合）

ペDESTAL満水（水深 ，約 81ton）の水を飽和温度に到達させるデブリ量は約 31ton（全体の約 11%）であり，その堆積高さは約 0.15m となる。これより，ペDESTAL底面から 0.2m 高さにデブリ検知器を設置し，R P V破損判断後においても 0.2m 高さまでのデブリ堆積が検知されない場合には，0.5m 及び約 1m 高さの水位計を用いて，水位 0.5m 未満を検知した場合に水位約 1m までペDESTALへ注水する間欠注水を行うことにより，深い水プールの形成を防止し S E の発生を抑制する。

第 1 図に示す重大事故等対処設備の計装設備を用いた水位管理により，上記のとおりデブリの冠水状態は維持・監視可能であるが，水位を 0.5m から 1m の高さで維持している間にデブリの冠水状態が維持されていることが別のパラメータにより参考情報として得られるよう，1m より上部に格納容器下部雰囲気温度を設置し，格納容器下部雰囲気温度が格納容器圧力に対する飽和温度相当であることを確認する。万が一，デブリの冠水状態が維持されずに格納容器下部雰囲気温度が格納容器圧力に対する飽和温度相当を超えて上昇する場合には，ペDESTALへの注水を判断する。

なお，人通用開口部下端（ペDESTAL底面から約 2.8m 高さ）付近に設置されているターンテーブル等の構造物にデブリが付着した際にも，輻射熱の影響により格納容器下部雰囲気温度の指示が上昇することが考えられる。この格納容器下部雰囲気温度の指示上昇を抑制し，ペDESTAL床面に落下したデブリの冠水状態が維持されずに気相部に露出したデブリからの輻射熱による雰囲気温度の上昇のみを計測可能とするため，格納容器下部雰囲気温度は蒸気密度が高い水面付近（ペDESTAL底面から約 1.1m）に設置するとともに，検出部の上部に輻射熱抑制板を設置する。

ただし、構造物へのデブリの付着量や形状によっては、輻射熱の影響により格納容器下部雰囲気温度が機能喪失する可能性も考えられることから、格納容器下部雰囲気温度及び輻射熱抑制板は自主対策設備として設置する。



第 1 図 ペDESTAL水位管理の概念図

ペDESTAL排水設備対策について

1. はじめに

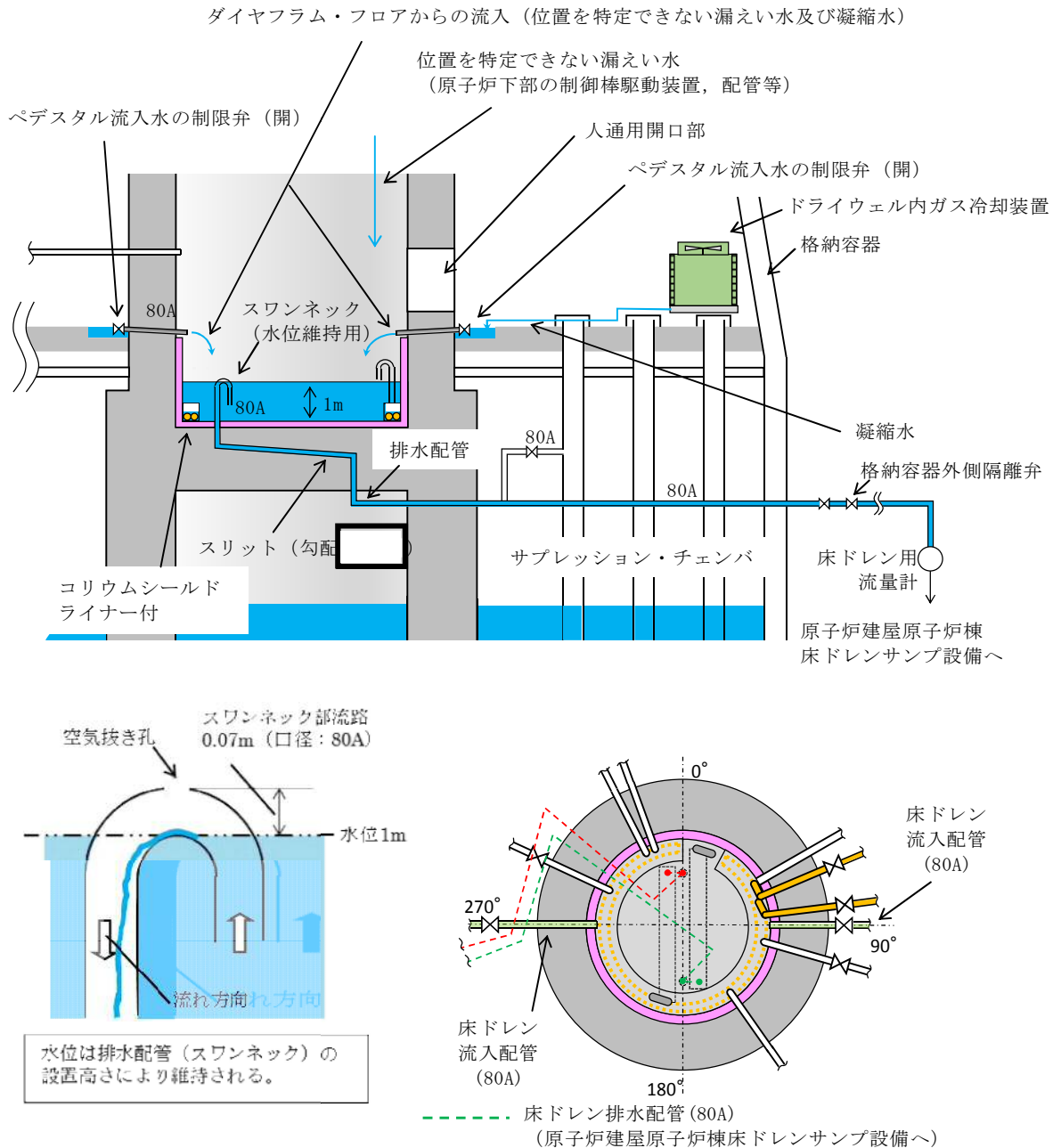
通常運転中，事故発生からR P V破損まで及びR P V破損後について，水位管理に必要な排水設備対策の方針を各々記載する。

(1) 通常運転時

①ペDESTAL内床ドレンサンプ

- ・ドライウエル内ガス冷却装置から発生する凝縮水，漏えい位置を特定できない格納容器内の漏えい水（以下「漏えい水」という。）が流入する設計とする。（第1図）
- ・サンプの水位は，サンプから排水する排水配管の入口（スワンネック）高さを床面から1mに設定することで，常時1mの水位を保つことが可能な設計とする。（第1図）
- ・サンプへの流入水は，高さ1mに設置する排水配管の入口（スワンネック）から，排水配管内を通じてサブプレッション・チェンバを経由し，格納容器外の原子炉建屋原子炉棟床ドレンサンプ設備へ全量排水される設計とする。（第1図）
- ・漏えい水は，運転中に生じるドライウエル内ガス冷却装置からの凝縮水の流入によってサンプ水位は常時1mに維持されているため，サンプに流入する全量が排水され，原子炉建屋原子炉棟床ドレンサンプ設備に至る過程で，床ドレン用流量計により $0.23\text{m}^3/\text{h}$ を検出することが可能な設計とする。（第1図）
- ・排水配管水平部の勾配は，通常運転中の排水性を確保する観点及びR P V破損後にスリット内でデブリが凝固するための必要な距離（スリット

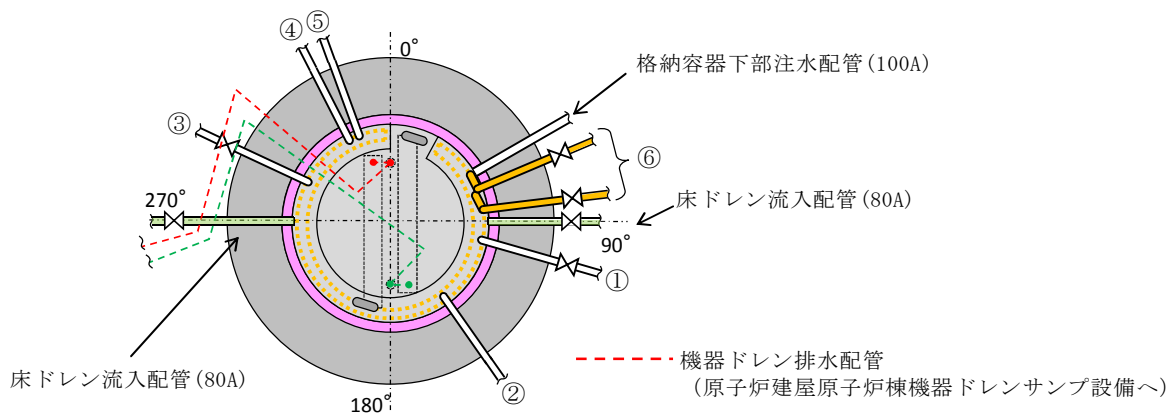
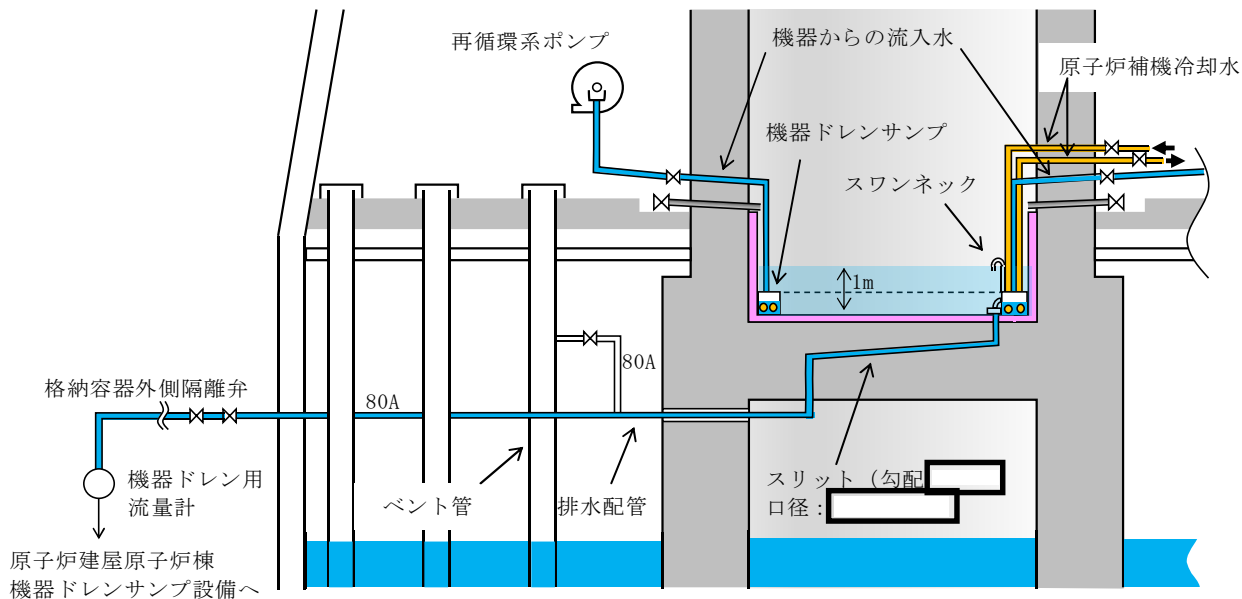
全長は [] を短くする観点から、スリットの勾配を [] に制限した設計とする。(第1図) なお、RPV破損までの排水性に対しては、スリットの勾配は影響しない。



第1図 ペDESTAL床ドレンサンブの通常運転時流入水及び排水経路図

②ペDESTAL内機器ドレンサンプ

- ・再循環系ポンプグランド部からの排水，機器からのリーク水及び機器点検時のドレン水が流入する設計とする。（第2図）
- ・ドレン水は，サンプ内で冷却（原子炉補機冷却水配管により）され，原子炉建屋原子炉棟機器ドレンサンプへ全量排出される設計とする。（第2図）
- ・原子炉補機冷却水配管をサンプ内部に通し，高温のドレン水を冷却することができる設計とする。（第2図）
- ・サンプからの排水は，原子炉建屋原子炉棟機器ドレンサンプ設備に至る過程で，機器ドレン用流量計により排水量を計測し， $5.70\text{m}^3/\text{h}$ の排水（漏えい量）を検出することが可能な設計とする。（第2図）
- ・排水配管水平部の勾配は，通常運転中の排水性を確保する観点及びRPV破損後にスリット内でデブリが凝固するため必要な距離（スリット全長は□）を短くする観点から，スリットの勾配を□に制限した設計とする。（第2図）
- ・サンプには複数のドレン水が流入するため，排水性確保の観点からベント管を設置する設計とする。



| NO. | 流入元 | 運転中の状態 |
|-----|--|--------|
| ① | 再循環系ポンプ(A) グランド部排水, 機器からのリーク水 ^(*1) , 機器点検時のドレン水 (50A) ^(*2) | 常時排水有 |
| ② | 再循環系ポンプ(A) 点検時のドレン (50A) ^(*2) | 常時排水なし |
| ③ | 再循環系ポンプ(B) グランド部排水, 機器からのリーク水 ^(*1) , 機器点検時のドレン水 (50A) ^(*2) | 常時排水有 |
| ④ | 機器点検時のドレン水 (80A) ^(*2) | 常時排水なし |
| ⑤ | 再循環系ポンプ(B) 点検時のドレン (50A) ^(*2) | 常時排水なし |
| ⑥ | 原子炉補機冷却水配管 (50A) | 常時通水 |

*1 弁グランド部からのリーク水 (運転中)

*2 通常閉の弁を開にし排水 (定検時のみ)

第 2 図 ペDESTAL機器ドレンサンプの運転中流入水及び排水概要図

(2) 事故発生から R P V 破損前まで

① R P V 破損前までに達成すべき条件


- ・デブリ落下までの間、ペDESTAL床ドレンサンプの水位を 1m に維持すること。

②条件を達成するための設備対策

a. ドライウエルからの流入水の遮断

- ・ペDESTAL床ドレンサンプへの流入水を遮断するため、ドライウエル圧力高信号及び原子炉水位異常低下（レベル1）信号により、ペDESTAL流入水の制限弁(床ドレン)を閉にする設計とする。(第3図(a)(c))
- ・制限弁を閉にすることにより、格納容器スプレイ水等のペDESTALへ流入する可能性のある水は、ベント管を介してサブプレッション・チェンバへ排水される設計とする。(第3図(a)(c)(d))

b. ペDESTALへの流入水の排出

- ・事故発生により格納容器外側隔離弁は開から閉状態となり、ペDESTAL床ドレンサンプへの流入水の格納容器外への排水は遮断されるが、通常運転中から床ドレン排水弁を開の状態にしておくことで、ベント管を介してサブプレッション・チェンバへ自然排水される設計とする。
(第3図(a)(c)(d))
- ・事故時のペDESTAL床ドレンサンプへの流入水により、ペDESTAL床ドレンサンプの水位は上昇するが、R P V破損までの間に、ペDESTAL床ドレンサンプの水位が、1m まで排水可能な設計とする。(別紙)
- ・以下を考慮し、床ドレン排水配管のベント管への接続高さをペDESTAL床のコンクリート表面より  下の位置に設置する設計とする。
(第3図(a))

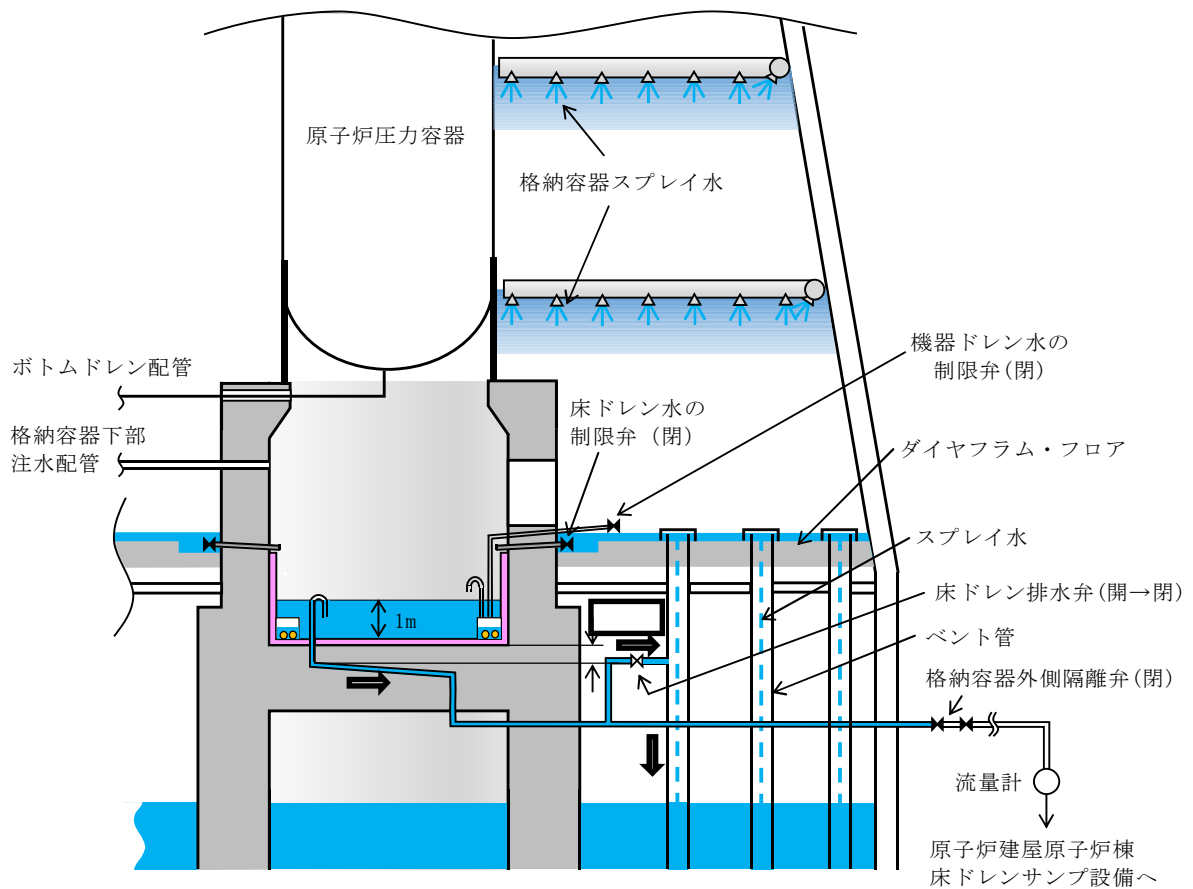
➤ 床ドレン排水配管のベント管への接続高さは、サンプへの流入水の

排水流量を確保する観点からは低い方が望ましいが、スリット内部でのデブリ凝固の確実性向上の観点からは、スリット内に水を保有させるためスリットより高くする必要がある。このため、床ドレン排水配管のベント管への接続高さは、床ドレン排水配管の下端位置がスリット高さ方向の流路（10mm）の上端の位置になるように設置する設計とする。（第3図(a)）

▶スリットの設置高さを低くする場合、スリット内でデブリが凝固した際に、床スラブ鉄筋コンクリートの温度上昇による強度低下が懸念される。そこで、コリウムシールドなしの条件において温度による強度低下を考慮しても床スラブの健全性が確保されるスリット高さ（ペDESTAL床のコンクリート表面から 下）にスリットを設置する。（第3図(a)）

- ・床ドレン排水配管を接続するベント管については、真空破壊弁作動時のベント管内のサプレッション・チェンバからドライウェルへの上昇流が排水に影響することがないように、真空破壊弁が設置されていないベント管を対象とする設計とする。（第3図(d)）
- ・ベント管に接続する床ドレン排水弁は、R P V破損前のペDESTAL注水により水位が上昇し1mを超える高さの水位計が水位を検出した後、ベント管を通じた排水により水位が低下し同水位計にて水位が検出されなくなった場合に、一定の時間遅れ（当該水位計高さから1m高さまでの排水に必要な時間を考慮）で自動閉止する設計とする。これにより、R P V破損後のペDESTAL水のサプレッション・チェンバへの流出を防止する。なお、地震によるスロッシング等により万一排水弁が意図せず閉止した場合には、運転員操作により早期に排水弁を開放する手順とする。

- ・ 機器ドレン排水配管及び排水弁による排水経路から、R P V破損後のペDESTAL水がサプレッション・チェンバへ流出することを防ぐため、床ドレン排水弁と同時に自動閉止する設計とする。また、機器ドレン排水配管のベント管への接続高さ及び接続位置（真空破壊弁が設置されていないベント管に設置する）は、床ドレン排水配管と同じ設計とする。（第3図(d)(e)）

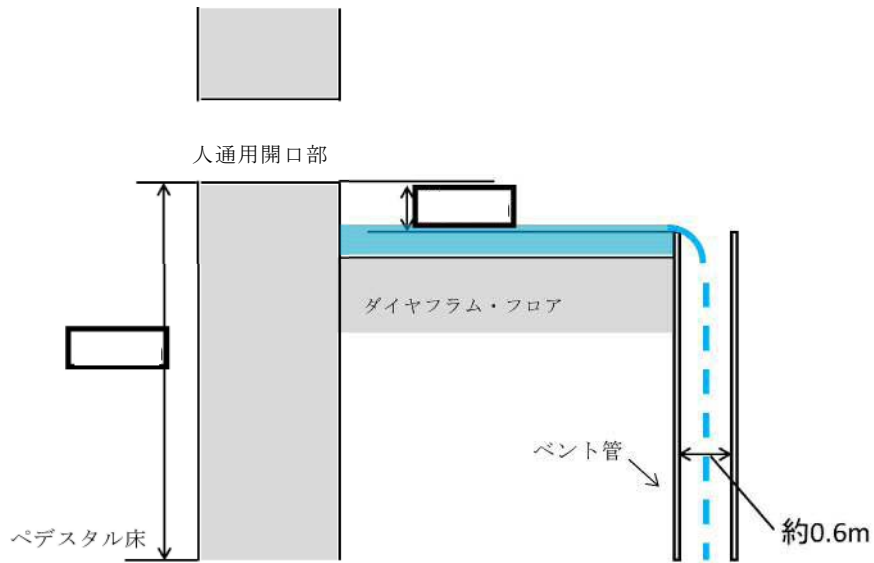


ペDESTALに流入した水はベント管（真空破壊弁が設置されていないもの）を介してサプレッション・チェンバへ排水される。ベント管は、格納容器スプレイ水等の流入も考えられるが、ベント管は個数が108本あり、約0.6mの直径を有していることから、ベント管の単位面積当たりに流れる格納容器スプレイ水等の流量は僅かであり、ペDESTALへの流入水の排水性に影響はないと考えられる。

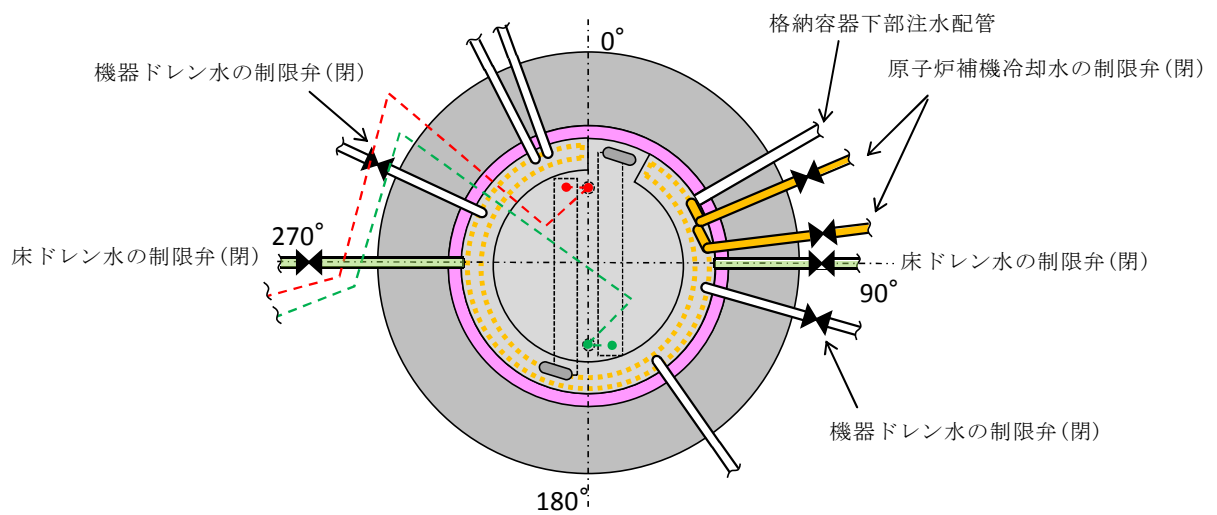
サプレッション・チェンバからの格納容器ベント用の配管下端は、ペDESTAL床のコンクリート表面より [] 下であり、排水配管のベント管への接続高さよりも高い位置に設置されている。ただし、格納容器ベント中のサプレッション・プール水の最高水位は、ペDESTAL床のコンクリート表面より約0.62m下であり、床ドレン排水配管のベント管への接続高さよりも低い位置となるため、格納容器ベント中でも床ドレン排水配管が水没することはない。

【参考】最も高い位置の真空破壊弁はペDESTAL床のコンクリート表面より約0.47m下であり、床ドレン排水配管のベント管への接続高さよりも高い位置であるが、その他の真空破壊弁はペDESTAL床のコンクリート表面より約1.36m下であり、床ドレン排水配管のベント管への接続高さよりも低い位置に設置されている。

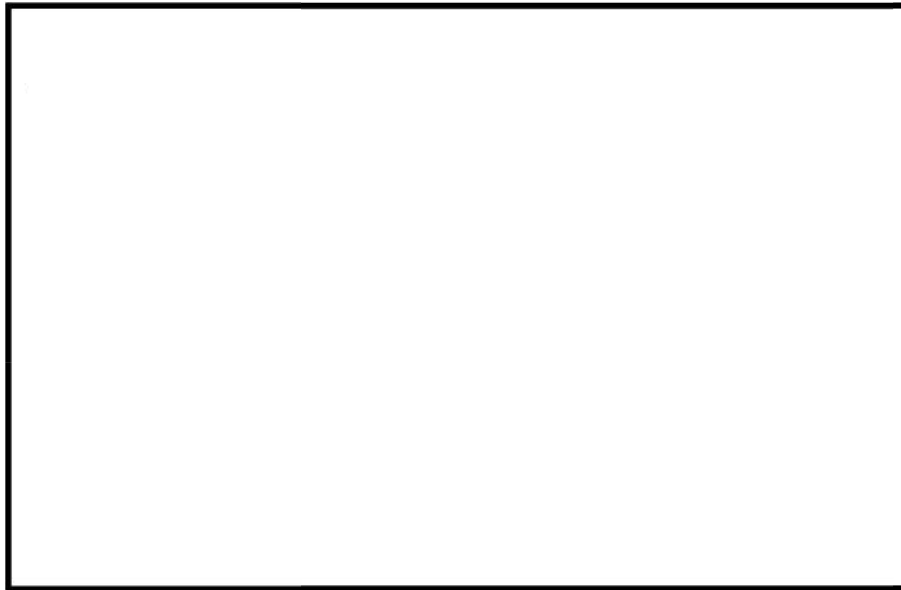
第3図 (a) ペDESTAL床ドレンサンプの水位1m維持対策概要



第3図 (b) ペDESTアル床ドレンサンプの水位 1m 維持対策概要

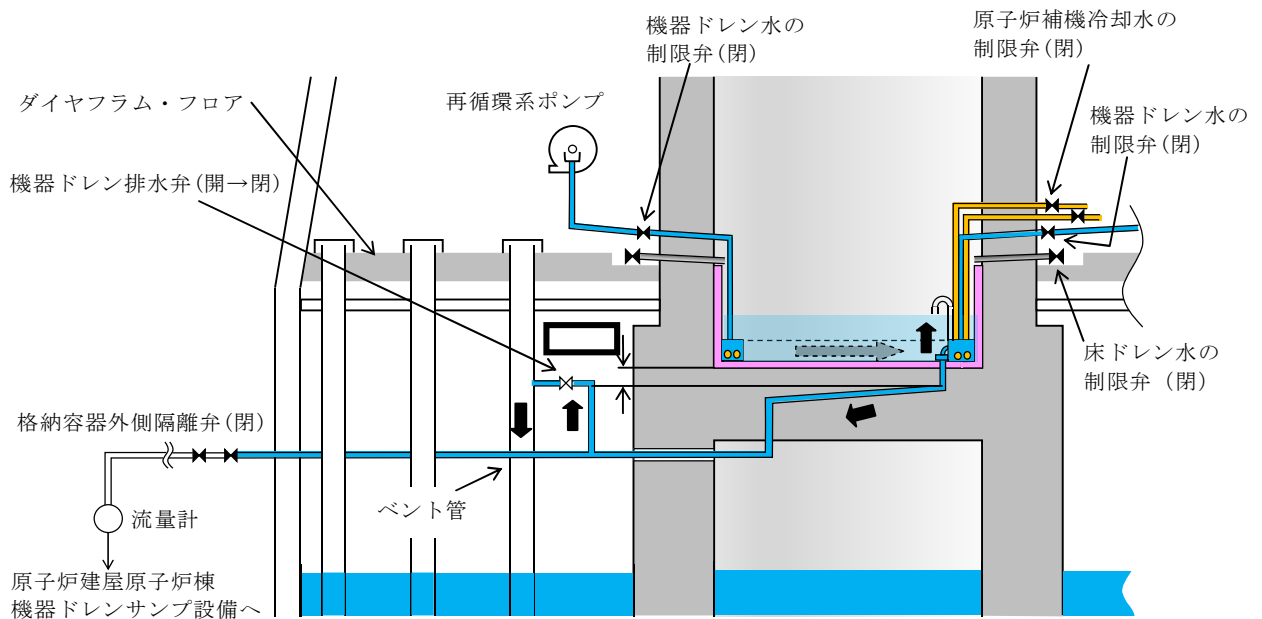


第3図 (c) ペDESTアル床ドレンサンプの水位 1m 維持対策概要



- 機器ドレン排水配管 (80A)
(原子炉建屋原子炉棟機器ドレンサンプ設備へ)
- 床ドレン排水配管 (80A)
(原子炉建屋原子炉棟床ドレンサンプ設備へ)
- ベント管 ペDESTAL床ドレンの排水経路となるもの (真空破壊弁なし 1か所)
- ベント管 ペDESTAL機器ドレンの排水経路となるもの (真空破壊弁なし 1か所)
- ベント管 真空破壊弁付き (11か所)
- ベント管 真空破壊弁なし (95か所)

第3図 (d) ペDESTAL床ドレンサンプの水位 1m 維持対策概要



第3図 (e) ペDESTAL床ドレンサンプの水位 1m 維持対策概要

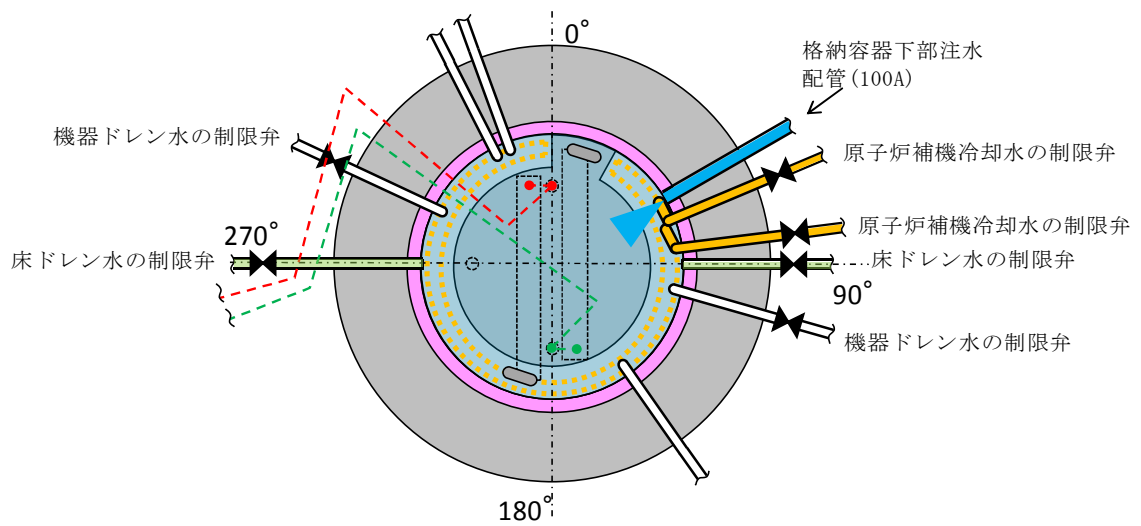
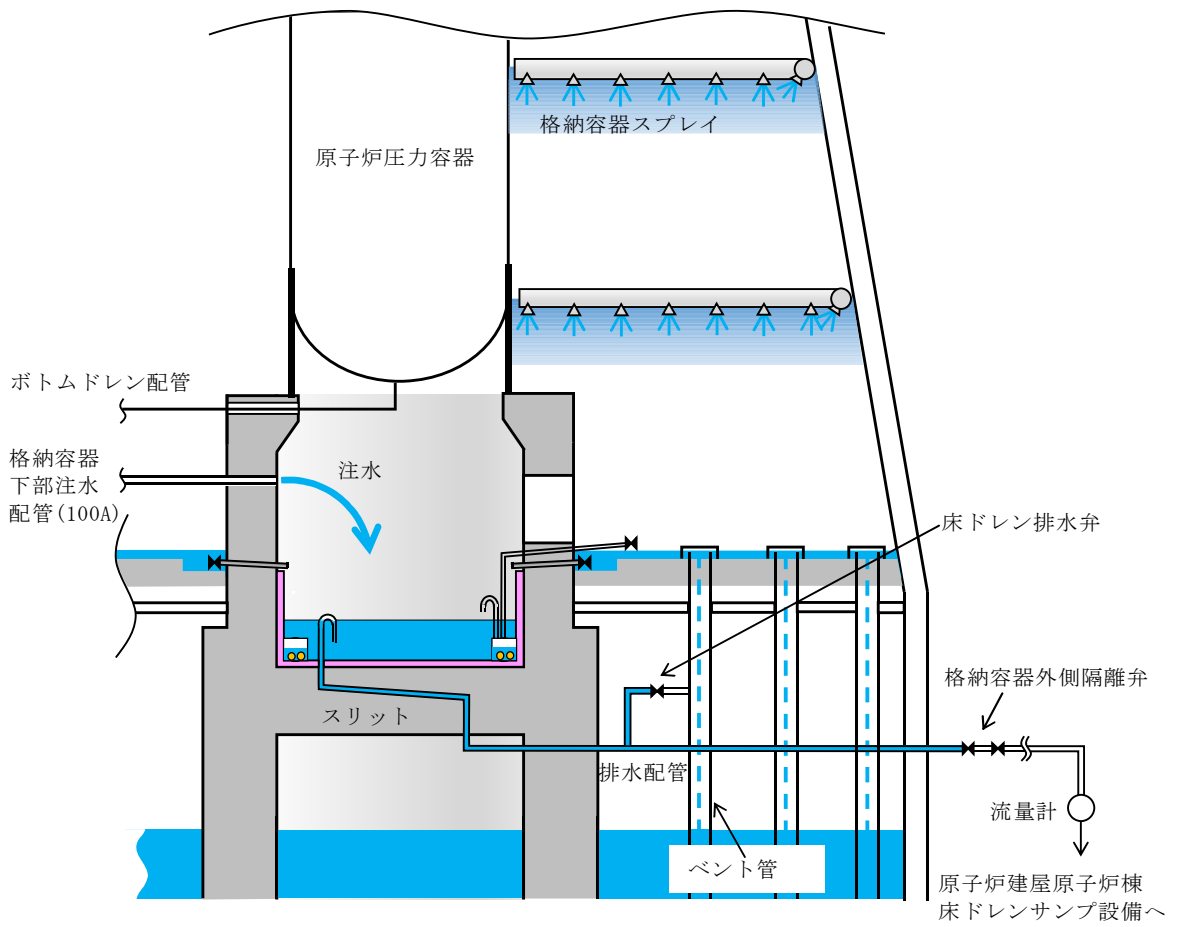
(3) R P V破損後

① R P V破損後に達成すべき条件

- ・ペDESTAL床ドレンサンプへ落下したデブリを冷却するために、注水できること。
- ・ペDESTAL床ドレンサンプの水位を管理できること。

②条件を達成するための設備対策

- ・R P V破損後、デブリが機器ドレン配管及び原子炉補機冷却水配管を溶融することにより、当該配管からペDESTAL内へ内包水が流入することを防止するため、ドライウェル圧力高信号及び原子炉水位異常低下（レベル1）信号により、ペDESTAL流入水の制限弁（機器ドレン及び原子炉補機冷却水）を閉にする設計とする。（第4図）
- ・R P V破損後のデブリ落下後に、格納容器下部注水系から注水を行う設計とする。（第4図）



第4図 ペデスタル床ドレンサンプル注水概要図

事故発生からR P V破損までのペDESTAL流入水の排水評価について

R P Vが破損しデブリがペDESTALへ落下する際には、S Eの影響を抑制するためペDESTAL内水位を1mとすることとしている。これに対して、事故発生後にペDESTAL内への水の流入があった場合でも、R P V破損までにペDESTAL内水位が1mまで排水されることを確認した。以下にその内容を示す。

1. 評価において想定する事象

東海第二発電所のペDESTAL内構造（添付資料3.2.3本文第1図参照）を基に、事故発生からR P V破損までの間にペDESTAL内へ水が流入し得る事象を選定し、それぞれに対して排水評価の要否を検討する。

(1) 大破断L O C A

R P V破損する場合の有効性評価の評価事故シーケンスとしては、過渡事象時に注水機能が喪失する事象（以下「過渡事象」という）を選定しているが、過渡事象ではドライウェル内に水が流出することはない。R P V破損までに格納容器スプレイを実施することはない。一方で、大破断L O C A時に注水機能が喪失する事象（以下「L O C A事象」という）では、ドライウェル内への水の流出やR P V破損までの格納容器スプレイの実施により、ペDESTAL内への水の流入が生じるため、排水評価の対象とする。

(2) ボトムドレンL O C A

R P V破損を想定する評価事故シーケンスのうち、ペDESTAL内におけるボトムドレンL O C Aが生じた場合、R P VからペDESTALへ多量の原子炉冷却材が流入する。しかし、この流入水は飽和状態であるため、水深が深い場合でもS Eの発生可能性は極めて低く、万一S Eが発生した場合

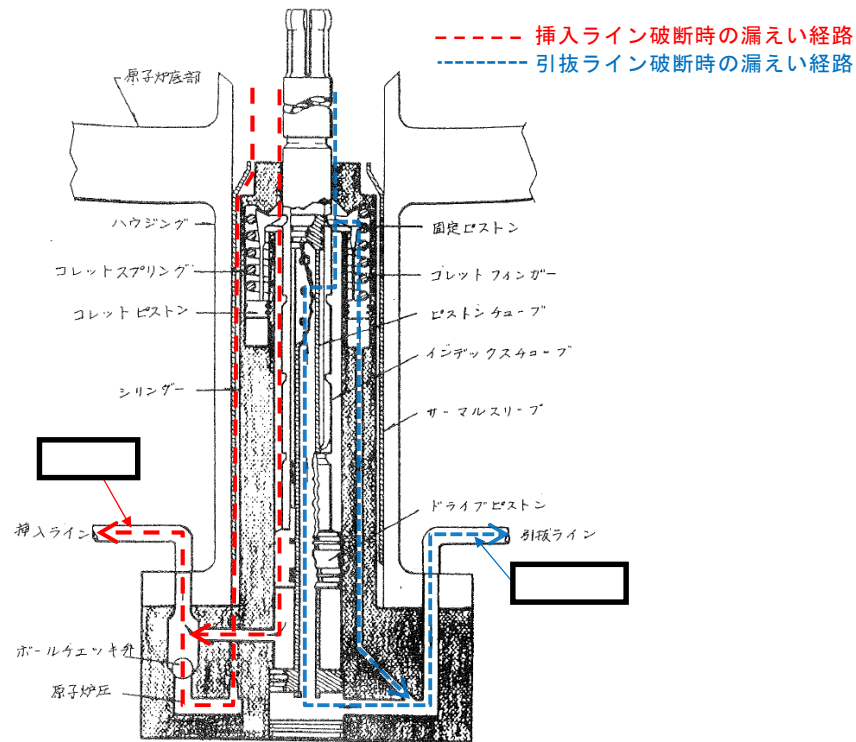
の発生エネルギーも小さいと考えられることから、排水評価の対象事象とする必要はないと考える。ただし、排水性能の保守性を確認する観点から参考として排水可能性を評価する（参考1）。

(3) その他のペデスタル内への流入事象

ペデスタル内において制御棒駆動水圧系配管が破断した場合、R P V及び制御棒駆動水圧系からペデスタル内に漏えい水が流入する。しかし、事象確認後に制御棒駆動水ポンプを停止することで、制御棒駆動水圧系からペデスタルへの流入は停止する。また、第1図のとおり、当該配管は1インチ以下の細さであることに加えR P Vからの漏えいは制御棒駆動機構のシール部を介するため、その漏えい量はごく少量であり、R P V破損に至ることは考えにくく、排水評価の対象外とする。

また、ペデスタル内において機器ドレン配管や原子炉補器冷却水配管が破断した場合にもペデスタル内へ冷却水が流入するが、上記と同様にこれらの事象に起因してR P V破損に至ることは考えにくく、排水評価の対象外とする。

以上より、排水評価において想定する事象としてL O C A事象を選定する。



第 1 図 制御棒駆動水圧系配管破断時の R P V からの漏えい経路

2. 評価条件

- L O C A 事象発生時，ドライウエル圧力高信号及び原子炉水位異常低下（レベル 1）信号によりペDESTAL 流入水の制限弁は事象発生後すぐに閉止することから，格納容器スプレイ水等によるドライウエルからの流入水は制限されるが，ここでは事故発生 5 分間はペDESTAL への流入が継続すると仮定する。また，ドライウエルからの流入量を多く評価する観点から，ダイヤフラム・フロア上に溜まる水の水位は，物理上最も高くなるベント管高さとする。このとき，ドライウエルからペDESTAL への流入量は，以下のように計算され，これを R P V 破損までの必要排水量とする。

$$V = v_{in} \times A \times t = (2gh)^{1/2} \times A \times t$$

V : 必要排水量 [m³] , v_{in} : 流入速度 [m/s] ,

A : 流入口面積 [約 8.6 × 10⁻³ m²]

(床ドレン配管内径 73.9mm×2 本分) ,

t : 流入継続時間 [5min=300s] , g : 重力加速度 [9.8m/s²] ,

h : 流入水水頭 [約 0.36m]

(ベント管上端高さ - 流入配管高さ)

- ・設備対策により配置されるコリウムシールド等の構造物については、評価上その体積を除外することで必要排水量を増やし、保守的な評価とする。
- ・機器ドレン排水配管及び排水弁を経由したサプレッション・チェンバへの排水が期待できるが、この排水経路からの排水は評価から除外する。
- ・排水配管はドライウェル気相部に接続され圧力差はないため、排水量を評価する上でドライウェル及びサプレッション・チェンバ内圧は考慮しない。
- ・排水配管の長さ、内径、エルボや弁等に相当する長さ等考慮し、下記式によりある排水流量を想定した場合の排水流路の圧力損失を算出する。本評価では、まず任意の流量 (22m³/h : ボトムドレン L O C A 時の平均必要排水流量) の場合の圧力損失 (1.8m) を算出し、その際に求まる圧損係数 (K) を基に、以降の流量と圧力損失の関係を算出している。圧力損失はペDESTAL水位と排水口の水頭差に等しいことから、排水開始する初期水位時の排水口との水頭差及び圧損係数 (K) を基に初期排水流量を算出し、初期排水流量である時間ステップ幅だけ排水された場合の水位及び当該水位での排水流量を算出し、これを繰り返すことによって水位 1m までの排出時間を算出している。また、下式に示す圧損 H は、エルボの数を 2 倍程度見込む等、保守的な値としている。

圧力損失計算式 (出典 : 日本機械学会編, 機械工学便覧)

$$H = \lambda \times (L/D) \times (v^2/2g) + \sum \lambda \times (L'/D) \times (v^2/2g) = K \times Q^2$$

H : 配管圧損 [m] , L : 配管長さ [m] , D : 配管内径 [m] ,

L' : エルボや弁等に相当する長さ [m] , v : 流速 [m/s] ,

g : 重力加速度 [m/s²] , λ : 管摩擦係数 [-] , K : 圧損係数 [-] ,
 Q : 流量 [m³/h]

第1表 圧力損失計算要素

| | 単位 | スワンネック入口～出口(*1) | スリット入口～出口(*2) | スリット下流配管(*3) |
|----------------------------|-------------------|-----------------|---------------|--------------|
| 配管内径 : D | m | | | |
| 流量 *4 | m ³ /h | | | |
| 流速 | m/s | | | |
| 管摩擦係数 : λ | — | | | |
| 配管長 | m | | | |
| 配管 L/D | — | | | |
| 90°ショートエルボ *5 (L'/D=□) | 個 | | | |
| 弁 *5 (L'/D=□) | 個 | | | |
| 管入口 *5 (λ · (L'/D) = □) | 個 | | | |
| 開放端 *5 (λ · (L'/D) = □) | 個 | | | |

(補足) 上記計算要素の具体的な数値等は設計進捗により, 妥当性を損なわない範囲で変更があるものとする。

- *1 スワンネック部は, 90° ショートエルボ (□個), 直管 □相当とし, 管入口と管出口(開放端)の係数を考慮。
- *2 スリット部は, 断面積が等しい円管, 90° ショートエルボ (□個)とし, 管入口と管出口(開放端)の係数を考慮。圧損は円管の □とする。
- *3 スリット下流配管は, 配管長 □, 90° ショートエルボ (□個), 弁 (□個)と想定し, □を考慮。
- *4 流量は □とした。第1表は流量を □とした場合の例を記載。
- *5 CRANE 社「FLOW OF FLUIDS THROUGH VALVES, FITTINGS, AND PIPE Technical Paper No. 410, 1988」

上表を基に, 圧力損失を計算した結果を以下に示す。

H1 =

K =

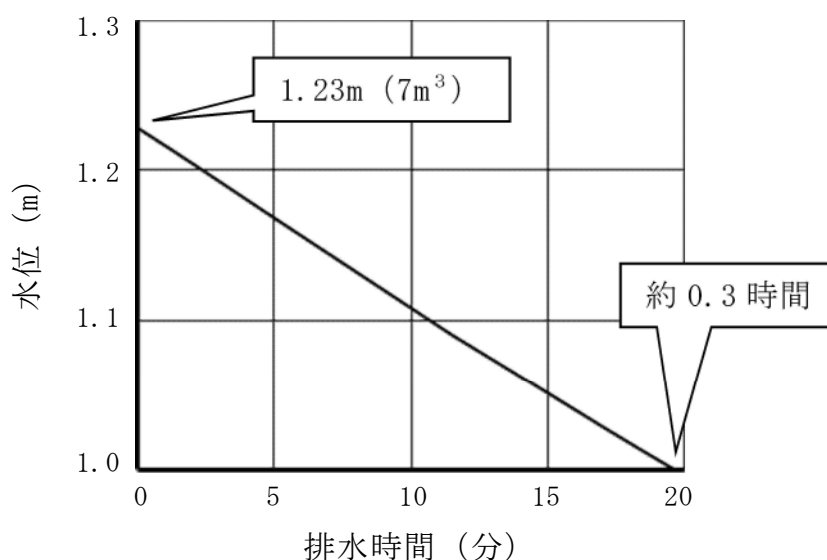
(流量 における配管圧損は、 $K \times Q^2 =$)

3. 評価結果

評価結果は第2表及び第2図のとおりであり、RPV破損までの時間が短い大破断LOCA（事象発生からRPV破損まで約3時間）を想定しても、水位1mまで排水可能である。

第2表 必要排水量と排水時間

| 項目 | 評価結果 |
|-------|-------------------|
| 必要排水量 | 約 7m ³ |
| 排水時間 | 約 0.3 時間 |



第2図 ペDESTAL水位 1.23m から水位 1m までの排水時間

4. 評価結果に対する裕度

- ・必要排水量

必要排水量はコリウムシールド等の構造物を考慮していないことから、必要排水量は内部構造物の体積分保守的な評価としている。

- ・排水時間

排水時間については、排水に伴って低下する水位並びに流路の形状及び長さ等（圧力損失）を保守的に考慮して算出している。

- ・排水流量

計算過程で使用する圧力損失は、配管長さやエルボの数等に余裕を持たせており、平均排水流量 時の圧力損失は合計 である。


5. 異物による影響

ペDESTAL内に設ける排水の流入口は、スワンネック構造とする。スワンネックは、逆U字形の形状をしているため、水面付近の浮遊物は排水口から流入し難い構造上の利点がある。空気孔は、逆U字形部からの排水性を確実にするために設ける設計とする。排水口の高さ方向の位置は、水面の浮遊物や床面の異物を持ち込ませないために適切な位置で設定する設計とする。また、異物落下に対して破損等がないよう、サポート等で固定する。このスワンネックの構造を考慮した上で、スワンネック構造への落下物の影響、ペDESTAL内に流入する異物による排水性への影響を評価する。なお、スワンネック構造を流入口とする排水流路は、R P V破損前にペDESTAL内の水位 1m を達成した時点で排水弁を閉止し、その後は用いないことから、排水機能の要求期間はR P V破損前までであり、R P V破損前までに想定される落下物及び異物を対象として評価する。

事故時に発生する落下物によりスワンネック構造が損傷しないこと、異物

がペDESTAL床ドレンサンプに流入したと仮定し評価しても、異物により排水性に悪影響が生じる可能性が低いことを第3表に示す。

落下物により、スワンネック構造が影響を受けないことを確実にするため、スワンネック構造の周囲に柵を設置する設計とする。

この柵は、異物がスワンネック及び排水配管の排水性に対して悪影響を及ぼさないこと及び想定されない異物が排水性に悪影響を及ぼさないことをより確実にするため、異物混入防止機能を有した設計とする。柵は、スリットの短辺  よりも小さい開口径を有し、開口が重ならないよう2重に配置した設計とする。仮に、スリット部で固着し堆積する可能性がある線状の異物を想定しても、柵の2重部分で流入を防ぐ構造の設計とする。(第3図)

なお、機器ドレンサンプについても、排水経路として利用することから、異物落下に対して破損等がないよう、十分な強度を有する設計とし、スワンネックの異物混入防止及び損傷防止については、床ドレン排水用のスワンネックと同様の対策を行うことで、悪影響を防止する。

第3表 想定異物と影響評価 (1/3)

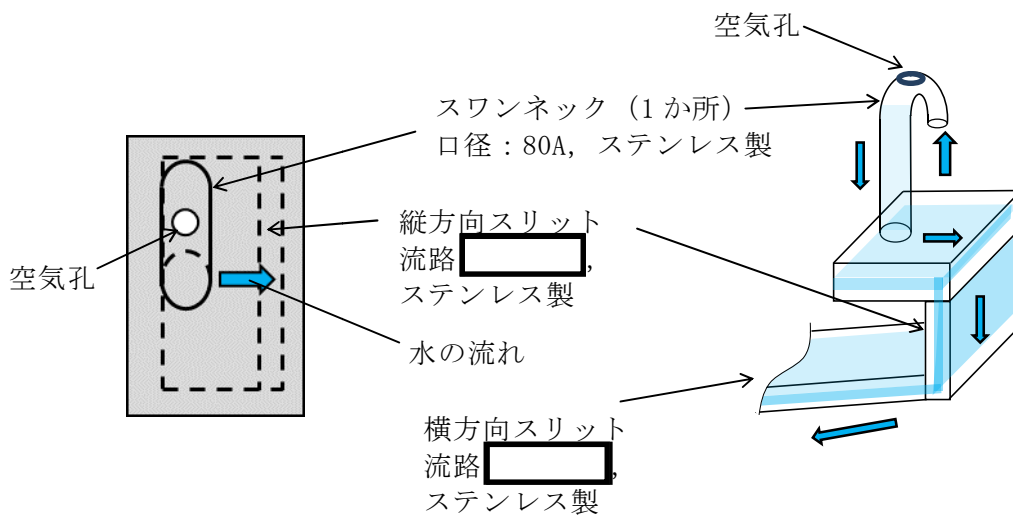
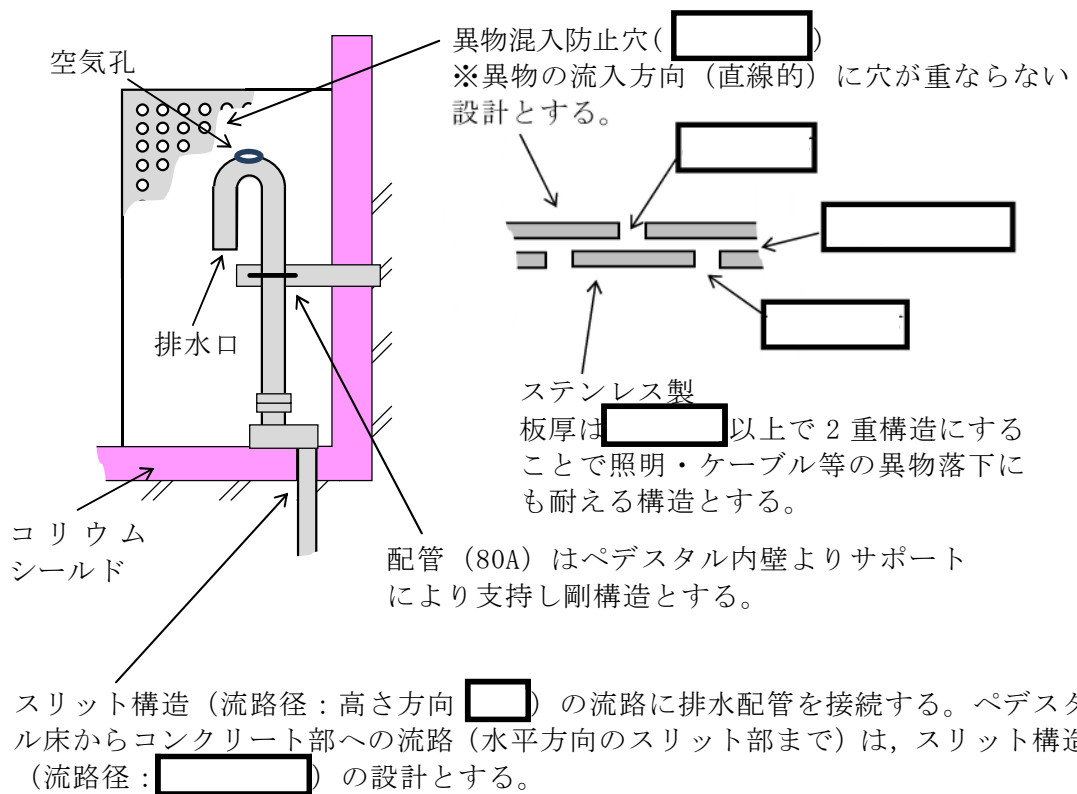
| 想定異物 | 異物による排水性への影響 |
|-----------------------|--|
| 核計装用及び照明用等のケーブル(管路含む) | <p>【発生源】 ペDESTAL内</p> <p>【スワンネックへの落下/床ドレンへの流入】 落下あり/流入あり</p> <p>ペDESTAL上部には、ケーブルが設置されており、落下の可能性はある。</p> <p>【影響評価】</p> <ul style="list-style-type: none"> ・落下による影響 <p>スワンネックは鋼製でサポートに固定されているため破損・転倒するおそれはない。また、周囲に鋼製の柵を設置することから、スワンネックに直接接触することもない。機器ドレンサンプについては、サンプ自体を十分な強度を有する設計とするため、破損するおそれはない。</p> <p>(次頁へ続く)</p> |

第3表 想定異物と影響評価 (2/3)

| 想定異物 | 異物による排水性への影響 |
|---------------------------|--|
| 核計装用及び照明用等のケーブル (管路含む) | <p>・流入による影響</p> <p>ケーブルは床に沈降することから、排水性に影響はない。また、何らかの要因で被覆片が生じたとしても、機器ドレンサンプと床ドレンサンプ各々のスワンネックは対向して配置され、かつ前述のとおり各々の周囲を柵（第3図参照）にて囲うため、共通要因による排水性への影響はない。</p> |
| 保温材 | <p>【発生源】 ペDESTAL外</p> <p>【スワンネックへの落下/床ドレンへの流入】 落下なし/流入あり</p> <p>ペDESTAL床ドレンサンプ内に保温材はない。</p> <p>重大事故時にドライウェルから格納容器スプレイ水等によって床ドレンの流入経路から持ち込まれる可能性がある。</p> <p>【影響評価】</p> <p>床ドレン流入経路の弁を事故後早期に閉じ流入を制限することから、排水経路を閉塞させる等、排水性への影響はない。</p> |
| 塗料片 | <p>【発生源】 ペDESTAL内・外</p> <p>【スワンネックへの落下/床ドレンへの流入】 落下あり/流入あり</p> <p>ペDESTAL内・外の構造物には塗装が施されていることからスワンネックへの落下、床ドレンへ流入する可能性がある。</p> <p>【影響評価】</p> <p>・落下による影響</p> <p>スワンネックを損傷する程の重量はなくスワンネックが破損・転倒するおそれはない。また、同様に機器ドレンサンプへの影響もない。</p> <p>・流入による影響</p> <p>塗料片は、底に堆積若しくは水面に浮遊することが考えられるが、スワンネックの排水口を水位 1m の中間位置に設定するため、これらの異物がスワンネックの排水口に流入するとは考え難い。また、重大事故時は格納容器スプレイ水等によってペDESTAL外から床ドレンの流入経路を通じて塗料片が多く持ち込まれる可能性があるが、床ドレン流入経路の弁を事故後早期に閉じし、流入を制限することから、排水経路を閉塞させる等、排水性への影響はない。</p> |

第3表 想定異物と影響評価 (3/3)

| 想定異物 | 異物による排水性への影響 |
|-----------|---|
| スラッジ (鉄錆) | <p>【発生源】 ペDESTAL外</p> <p>【スワンネックへの落下/床ドレンへの流入】 落下なし/流入あり</p> <p>スラッジ (鉄錆) は、床ドレン水によって床ドレンサンプ内に流入し底に堆積する可能性がある。</p> <p>【影響評価】</p> <p>スワンネックの排水口を水位 1m の中間位置に設定するため、底に堆積した異物が積極的に排水経路に流入するとは考え難い。また、重大事故時は格納容器スプレイ水等によってペDESTAL外から床ドレンの流入経路を通じてスラッジが多く持ち込まれる可能性があるが、床ドレン流入経路の弁を事故後早期に閉にし、流入を制限することから、排水経路を閉塞させる等、排水性への影響はない。</p> |
| サポート | <p>【発生源】 ペDESTAL内</p> <p>【スワンネックへの落下/床ドレンへの流入】 落下なし/流入なし</p> <p>ペDESTAL内にはサポートが設置されているが、十分な耐震性を有する設計とすることから、落下しない。</p> <p>【影響評価】</p> <p>排水性への影響はない。</p> |
| 照明 | <p>【発生源】 ペDESTAL内</p> <p>【スワンネックへの落下/床ドレンへの流入】 落下あり/流入あり</p> <p>ペDESTAL内には照明が設置されているため、落下の可能性がある。</p> <p>【影響評価】</p> <ul style="list-style-type: none"> ・落下による影響 <p>スワンネックは鋼製でサポートに固定されているため破損・転倒するおそれはない。また、周囲に鋼製の柵を設置することから、スワンネックに直接接触することもない。機器ドレンサンプについても、十分な強度を有する設計とすることから、破損するおそれはない。</p> <ul style="list-style-type: none"> ・流入による影響 <p>照明は、床に沈降することから、排水性に影響はない。</p> |



第3図 排水配管に対する異物対策概要

ボトムドレン L O C A を想定した場合の排水評価

ボトムドレン L O C A 時に R P V からペDESTALへ流入する水は飽和状態であることから、R P V 破損及びデブリ落下時の S E の発生可能性は極めて低く、また、万が一 S E が発生した場合の発生エネルギーも小さいと考えられる。

しかし、排水性能の保守性を確認する観点から、ペDESTAL内の水位が最も高くなる事象であるボトムドレン L O C A を想定した場合についても、参考として排水可能性を実施する。

1. 評価条件

- ・ペDESTAL内におけるボトムドレン L O C A 時には、ペDESTAL床ドレンサンプルに上部から漏えい水が流入し、著しく水位が上昇するため、水位は人通用開口部まで達することが想定される。
- ・排水評価は人通用開口部下端から水位 1m までの水量(必要排水量)とする。
また、設備対策より配置されるコリウムシールド等の構造物については、評価上その体積を除外することで必要排水量を増やし、保守的な評価とする。
- ・排水配管はドライウェル気相部に接続され圧力差はないため、排水量を評価する上でドライウェル及びサプレッション・チェンバ内圧は考慮しない。
- ・排水配管の長さ、内径、エルボや弁等に相当する長さ等考慮し、下記式によりある排水流量を想定した場合の排水流路の圧力損失を算出する。本評価では、まず任意の流量 ($22\text{m}^3/\text{h}$: ボトムドレン L O C A 時の平均必要排水流量) の場合の圧力損失 (1.8m) を算出し、その際に求まる圧損係数 (K) を基に、以降の流量と圧力損失の関係を算出している。圧力損失はペ

デスタル水位と排水口の水頭差に等しいことから、排水開始する初期水位時の排水口との水頭差及び圧損係数 (K) を基に初期排水流量を算出し、初期排水流量である時間ステップ幅だけ排水された場合の水位及び当該水位での排水流量を算出し、これを繰り返すことによって水位 1m までの排出時間を算出している。また、下式に示す圧損 H は、エルボの数を 2 倍程度見込む等、保守的な値としている。

圧力損失計算式 (出典：日本機械学会編，機械工学便覧)

$$H = \lambda \times (L/D) \times (v^2/2g) + \sum \lambda \times (L'/D) \times (v^2/2g) = K \times Q^2$$

H：配管圧損 [m]，L：配管長さ [m]，D：配管内径 [m]，

L'：エルボや弁等に相当する長さ [m]，v：流速 [m/s]，

g：重力加速度 [m/s²]，λ：管摩擦係数 [-]，K：圧損係数 [-]，

Q：流量 [m³/h]

第 1 表 圧力損失計算要素

| | 単位 | スワンネック入口～出口(*1) | スリット入口～出口(*2) | スリット下流配管(*3) |
|---------------------------|-------------------|-----------------|---------------|--------------|
| 配管内径：D | m | | | |
| 流量 *4 | m ³ /h | 22 | 22 | 22 |
| 流速 | m/s | | | |
| 管摩擦係数：λ | — | | | |
| 配管長 | m | | | |
| 配管 L/D | — | | | |
| 90°ショートエルボ *5 (L'/D=□) | 個 | | | |
| 弁 *5 (L'/D=□) | 個 | | | |
| 管入口 *5 (λ・(L'/D)=□) | 個 | | | |
| 開放端 *5 (λ・(L'/D)=□) | 個 | | | |

(補足) 上記計算要素の具体的な数値等は設計進捗により、妥当性を損なわない範囲で変更があるものとする。

- *1 スワンネック部は、90° ショートエルボ () 個), 直管 () 相当とし、管入口と管出口(開放端)の係数を考慮。
- *2 スリット部は、断面積が等しい円管、90° ショートエルボ () 個)とし、管入口と管出口(開放端)の係数を考慮。圧損は円管の () とする。
- *3 スリット下流配管は、配管長 () , 90° ショートエルボ () 個), 弁 () 個) と想定し、 () を考慮。
- *4 必要排水量約 59m³ を約 2.7 時間で排出した場合の流量 22m³/h とした。
- *5 CRANE 社「FLOW OF FLUIDS THROUGH VALVES, FITTINGS, AND PIPE Technical Paper No. 410, 1988」

上表を基に、圧力損失を計算した結果を以下に示す。

H1 =

K =
(流量)における配管圧損は、 $K \times Q^2 =$)

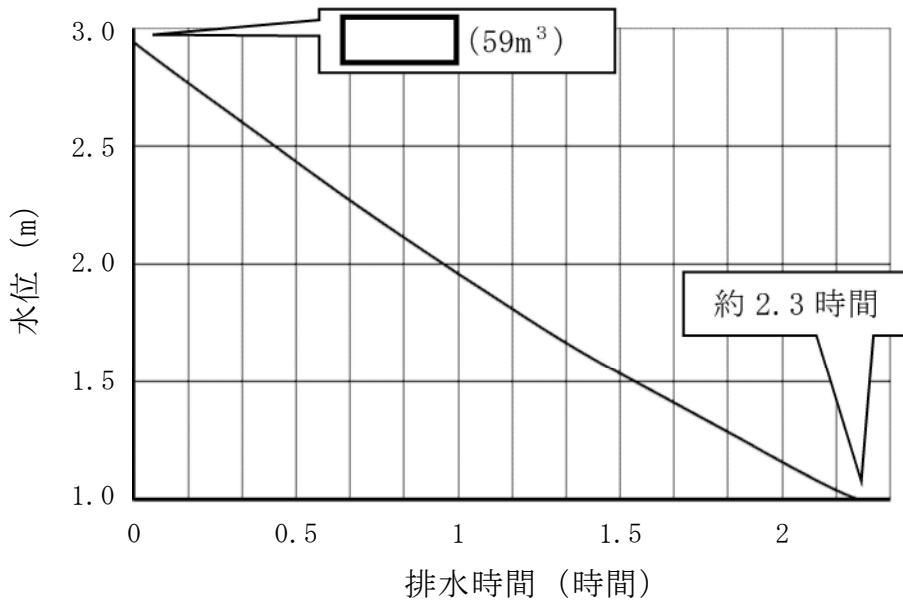
2. 評価結果

評価結果は第 2 表及び第 1 図のとおりであり、ペデスタル内のボトムドレン配管破断時に流入した水を、R P V からペデスタルへの流入停止 (事象発生後約 0.3 時間) から R P V 破損 (事象発生後約 3 時間) までの約 2.7 時間以内に、水位 1m まで排水可能である。

第2表 必要排水量と排水時間

| 項目 | 評価結果 |
|-------|----------------------|
| 必要排水量 | 約 59m ³ ※ |
| 排水時間 | 約 2.3 時間 |

※ 必要排水範囲の水量（内径 、高さ の水の体積）



第1図 ペDESTAL水位満水から水位 1m までの排水時間

3. 評価結果に対する裕度

- ・必要排水量

必要排水量はコリウムシールド等の構造物を考慮していないことから、必要排水量は内部構造物の体積分保守的な評価としている。

- ・排水時間

排水時間については、排水に伴って低下する水位並びに流路の形状及び長さ等（圧力損失）を保守的に考慮して算出している。

- ・排水流量

必要排水流量は、評価上の容量約 59m³ に対して約 2.7 時間で排水する

必要があることから、全量排水する場合には平均約 $22\text{m}^3/\text{h}$ の流量が必要である。これに対して、排水時の水位による圧力損失を考慮した平均排水流量は [] であり、必要排水量を上回っている。

なお、このとき計算過程で使用する圧力損失は、配管長さやエルボの数等に余裕を持たせており、平均排水流量 [] 時の圧力損失は合計 [] である。

4. 機器ドレン排水配管及び排水弁の経路を併用した評価

機器ドレンサンプには排水性を確保するために必要な空気ベント用のスワンネックを有し、通常運転中の機器ドレンと床ドレンの混入防止のため、床ドレンサンプの排水入口水位 1m よりも 0.2m 高い位置に設置する設計としている。床ドレンサンプの水位が 1.2m よりも高い水位までは、床ドレンの排水経路に加え機器ドレンの排水経路が期待できることから、実際の排水時間に対して更に裕度を有している。以下に機器ドレン排水経路を併用した評価を示す。

・機器ドレン排水経路の圧力損失

機器ドレンの排水経路は床ドレンの排水経路と比較してほぼ同じ長さの経路であるが、機器ドレンサンプ内を経由する経路となることが相違している。しかし、排水評価に当たっては、機器ドレンサンプの圧力損失は機器ドレン排水配管に対してその流路面積が十分大きいいため考慮せず、機器ドレンサンプ出入口部の形状による圧力損失のみ考慮し、他は床ドレン排水経路の圧力損失と同等として評価を行う（第3表）。

第3表 圧力損失計算要素

| | 単位 | スワンネック入口～出口(*1) 機器ドレンサンプ入口～出口(*1) | スリット入口～出口(*2) | スリット下流配管(*3) |
|---------------------------|-------------------|--------------------------------------|---------------|--------------|
| 配管内径：D | m | | | |
| 流量 *4 | m ³ /h | 22 | 22 | 22 |
| 流速 | m/s | | | |
| 管摩擦係数：λ | — | | | |
| 配管長 | m | | | |
| 配管 L/D | — | | | |
| 90°ショートエルボ *5 (L'/D=□) | 個 | | | |
| 弁 *5 (L'/D=□) | 個 | | | |
| 管入口 *5 (λ・(L'/D)=□) | 個 | | | |
| 開放端 *5 (λ・(L'/D)=□) | 個 | | | |

(補足) 上記計算要素の具体的な数値等は設計進捗により、妥当性を損なわない範囲で変更があるものとする。

- *1 スワンネック部は、90° ショートエルボ (□個)、直管 □相当とし、管入口と管出口(開放端)の係数を考慮。
機器ドレンサンプ入口と出口について係数を考慮。
- *2 スリット部は、断面積が等しい円管、90° ショートエルボ (□個)とし、管入口と管出口(開放端)の係数を考慮。圧損は円管の □とする。
- *3 スリット下流配管は、配管長 □、90° ショートエルボ (□個)、弁 (□個)と想定し、□を考慮。
- *4 必要排水量約 59m³を約 2.7 時間で排出した場合の流量 22m³/h とした。
- *5 CRANE 社「FLOW OF FLUIDS THROUGH VALVES, FITTINGS, AND PIPE Technical Paper No. 410, 1988」

上表を基に、圧力損失を計算した結果を以下に示す。

H1 =

K =

(流量 における配管圧損は、 $K \times Q^2 =$)

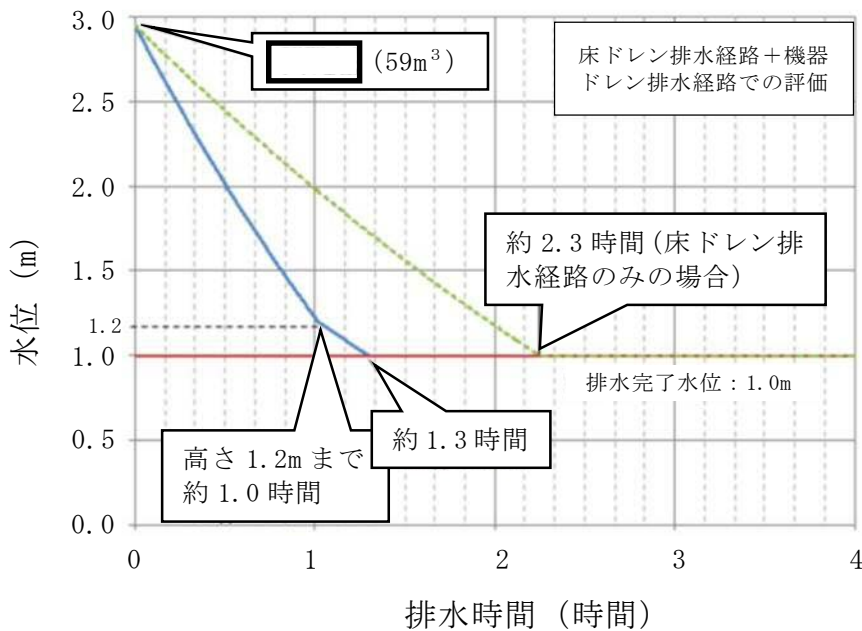
・床ドレン排水経路と機器ドレン排水経路を併用した排水評価結果

評価結果は第4表及び第2図のとおりであり、ペDESTAL内のボトムドレン配管破断時に流入した水を、RPVからペDESTALへの流入停止（事象発生後約0.3時間）からRPV破損（事象発生後約3時間）までの約2.7時間以内に、水位1mまで排水可能である。

第4表 必要排水量と排水時間

| 項目 | 評価結果 |
|-------|----------------------|
| 必要排水量 | 約 59m ³ ※ |
| 排水時間 | 約 1.3 時間 |

※ 必要排水範囲の水量（内径 、高さ の水の体積）

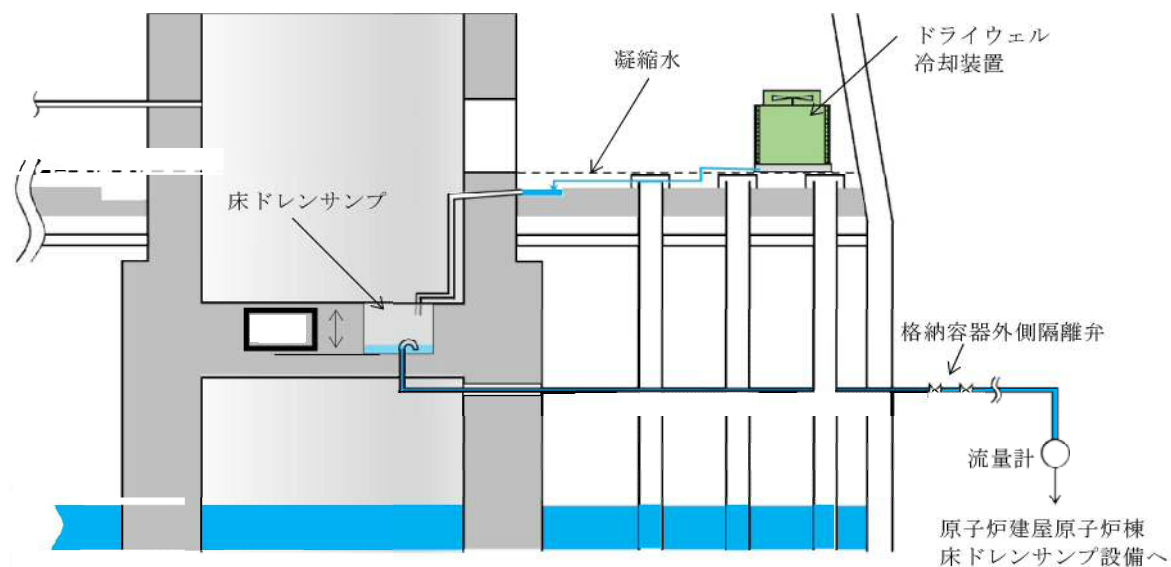


第2図 ペDESTAL水位満水から水位1mまでの排水時間

ペDESTAL床ドレンサンプ改造に伴う

位置を特定できない漏えい水の検知性について

改造前のペDESTAL床ドレンサンプは、ペDESTAL床下に設置されており、水深 [] の深さ及び水面の表面積が [] のサンプである。改造後は、ペDESTAL床ドレンサンプの水深は 1m、かつ、表面積は [] であり、漏えい水によるペDESTAL床ドレンサンプの水位は上昇しにくい構造となる。しかし、通常運転中はドライウエル冷却装置のクーラー部より凝縮水が発生するため、常時ペDESTAL床ドレンサンプには少量の流入水があり、水位は満水の 1m を常時維持することから、ペDESTALへ流入水は速やかに全量計測することが可能である。



第 1 図 床ドレンサンプ概要図 (改造前)

ペDESTAL内に設置する計器について

ペDESTAL内の水位管理のために設置する計器について、概要及び設置位置を第1表及び第1図に示す。また、各計器の設置目的等を以下に示す。

(1) R P V破損前までの水位管理

①格納容器下部水位（ペDESTAL床面高さ+1.05m 検知用）

ペDESTAL底面から1m超の水位を検知できるよう、測定誤差を考慮した高さに水位計を設置し、炉心損傷後は当該水位計設置高さまで事前注水を実施する。注水停止後は、排水配管等によりR P V破損までに1m水位まで排水される。

約180°間隔で計2個（予備1個含む）設置し、1個以上がこの高さ以上の水位を検知した場合に水張り完了及び注水停止を判断する。

なお、水位1.05mまで排水されたことを検知した後、水位1mまで排水される時間遅れを考慮して、排水弁は自動閉止することとする。

(2) R P V破損及びデブリ落下・堆積検知（第2表）

②格納容器下部水温（ペDESTAL床面高さ0m 検知用）

ペDESTAL底部に温度計を設置し、指示値の上昇又は喪失によりR P V破損検知に用いる。測温抵抗体式温度計を採用することで、ペDESTALにデブリが落下した際の水溫上昇や高温のデブリに接触した際に指示値がダウンスケールとなる特性を利用し、R P Vからのデブリ落下検知が可能である。

デブリの落下、堆積挙動の不確かさを考慮して等間隔で計5個（予備1個含む）設置し、R P V破損の早期判断の観点から、2個以上が上昇傾向（デ

ブリの落下による水温上昇)又はダウンスケール(温度計の溶融による短絡又は導通)となった場合に、R P V破損を判断する。

③格納容器下部水温(ペDESTAL床面高さ+0.2m 検知用)

ペDESTAL底面から0.2mの高さに測温抵抗体式温度計を設置し、0.2m以上のデブリ堆積有無を検知し、ペDESTAL満水までの注水可否を判断する。また、指示値の上昇又は喪失により、R P V破損検知に用いる。

デブリの落下、堆積挙動の不確かさを考慮して等間隔で計5個(予備1個含む)設置し、十分な量のデブリ堆積検知の観点から、3個以上がオーバースケール(デブリの接触による温度上昇)又はダウンスケール(温度計の溶融による短絡又は導通)した場合にペDESTAL満水までの注水を判断する。また、R P V破損の早期判断の観点から、2個以上が上昇傾向(デブリの落下による水温上昇)又はダウンスケール(温度計の溶融による短絡又は導通)となった場合に、R P V破損を判断する。

(3) R P V破損後の水位管理(デブリ堆積高さ \geq 0.2mの場合)

④格納容器下部水位(ペDESTAL床面高さ+2.25m及び2.75m 満水管理用)

ペDESTAL底面から2.25m及び2.75mの高さに水位計を設置し、デブリの多量落下時(堆積高さ0.2m以上)においてペDESTAL水位を2.25m~2.75mの範囲に維持するため、各高さにおける水位の有無を検知しペDESTAL注水開始及び停止を判断する。

ペDESTAL側壁の貫通孔を通じたペDESTAL外側のボックス内に、2.25m及び2.75mの各高さに2個の水位計(予備1個含む)を設置し、1個以上が2.25m未満を検知した場合にペDESTAL注水開始、2.75m到達を検知した場合にペDESTAL注水停止を判断する。

(4) R P V破損後の水位管理（デブリ堆積高さ<0.2mの場合）

⑤格納容器下部水位（ペDESTAL床面高さ+0.50m検知用）

ペDESTAL底面から 0.5m の高さに水位計を設置し、デブリの少量落下時（堆積高さ 0.2m 未満）においてペDESTAL水位を 0.5m～1m の範囲に維持するため、水位 0.5m 未満を検知しペDESTAL注水開始を判断する。

約 180° 間隔で計 2 個（予備 1 個含む）設置し、1 個以上が水位 0.5m 未満を検知した場合に注水開始を判断する。

⑥格納容器下部水位（ペDESTAL床面高さ+0.95m検知用）

ペDESTAL底面より 1m の高さから測定誤差を差し引いた高さに水位計を設置し、デブリの少量落下時（堆積高さ 0.2m 未満）においてペDESTAL水位を 0.5m～1m の範囲に維持するため、水位 0.95m 到達を検知しペDESTAL注水停止を判断する。

約 180° 間隔で計 2 個（予備 1 個含む）設置し、1 個以上が水位 0.95m 到達を検知した場合に注水停止を判断する。

⑦格納容器下部雰囲気温度

自主対策設備としてペDESTAL底面から 1.1m の高さに温度計を設置し、デブリの少量落下時にペDESTAL水位を 0.5m～1m の範囲に管理している間において、デブリが冠水されていることを確認する。

約 180° 間隔で計 2 個設置し、1 個以上が露出したデブリからの輻射熱等により上昇した場合に注水を判断する。

各計器の検出部の仕様等を第 3 表に、測定原理を第 2 図及び第 3 図にそれぞれ示す。また、各計器の構造図及び設置概略図を第 4 図に示す。ペDESTAL内に設置する各計器の検出部及びケーブル（MI ケーブル）は耐熱性の高い無機物で構成し、ペDESTAL外に取り出したケーブル（MI ケーブル）をペネトレーシ

ョンボックス内にてペネトレーションのケーブルと直ジョイントで接続する。

これらの計器は、重大事故等時の環境条件下において耐性を有する設計とする。ペDESTAL内のSA環境条件としては、格納容器破損防止対策の有効性評価において示している各解析結果の最高値は約 212℃－約 1 秒間、0.465MPa [gage]であり、これを包絡するペDESTAL内環境条件 200℃（ピーク温度 215℃－1 分間）、0.62MPa [gage]を設定している。また、ペDESTAL内はR P V破損後のデブリの落下に配慮した設計とする。

- ・各計器のMIケーブルは、第5図に示すとおり、チャンネル毎に別ルートで敷設し、デブリの落下に伴うペDESTAL内構造物等の落下物を考慮した場合においても、複数のチャンネルが同時に損傷し、機能喪失することがない設計とする。
- ・R P Vからデブリが大量に落下した場合は、デブリはペDESTAL内の構造物に付着せずに、ペDESTAL下部のプールに落下すると考えられる。仮に、R P Vから少量のデブリが落下した場合に僅かなデブリが構造物に付着したとしても、プールから発生する蒸気や構造物との伝熱によって冷却されるため、輻射熱による各計器への影響は小さいと考えられる。ただし、各計器の検出部及びMIケーブルに対して金属製の保護カバーを設置（デブリ検知用水温計検出部を除く）することで、R P V破損後のペDESTAL内計器の健全性に配慮した設計とする。

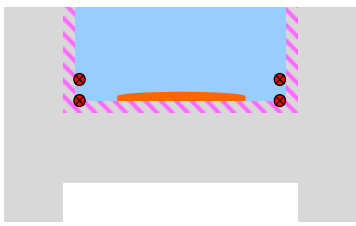
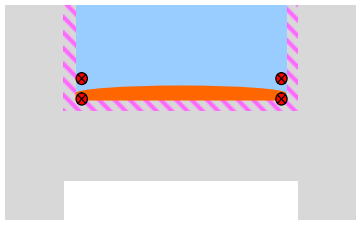
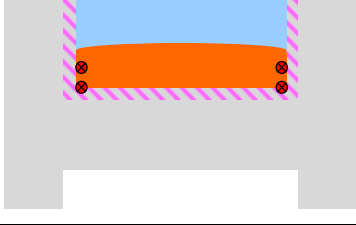
なお、ペDESTAL内の検出器・MIケーブル、保護カバーは無機物で構成されており、放射線による影響はない。

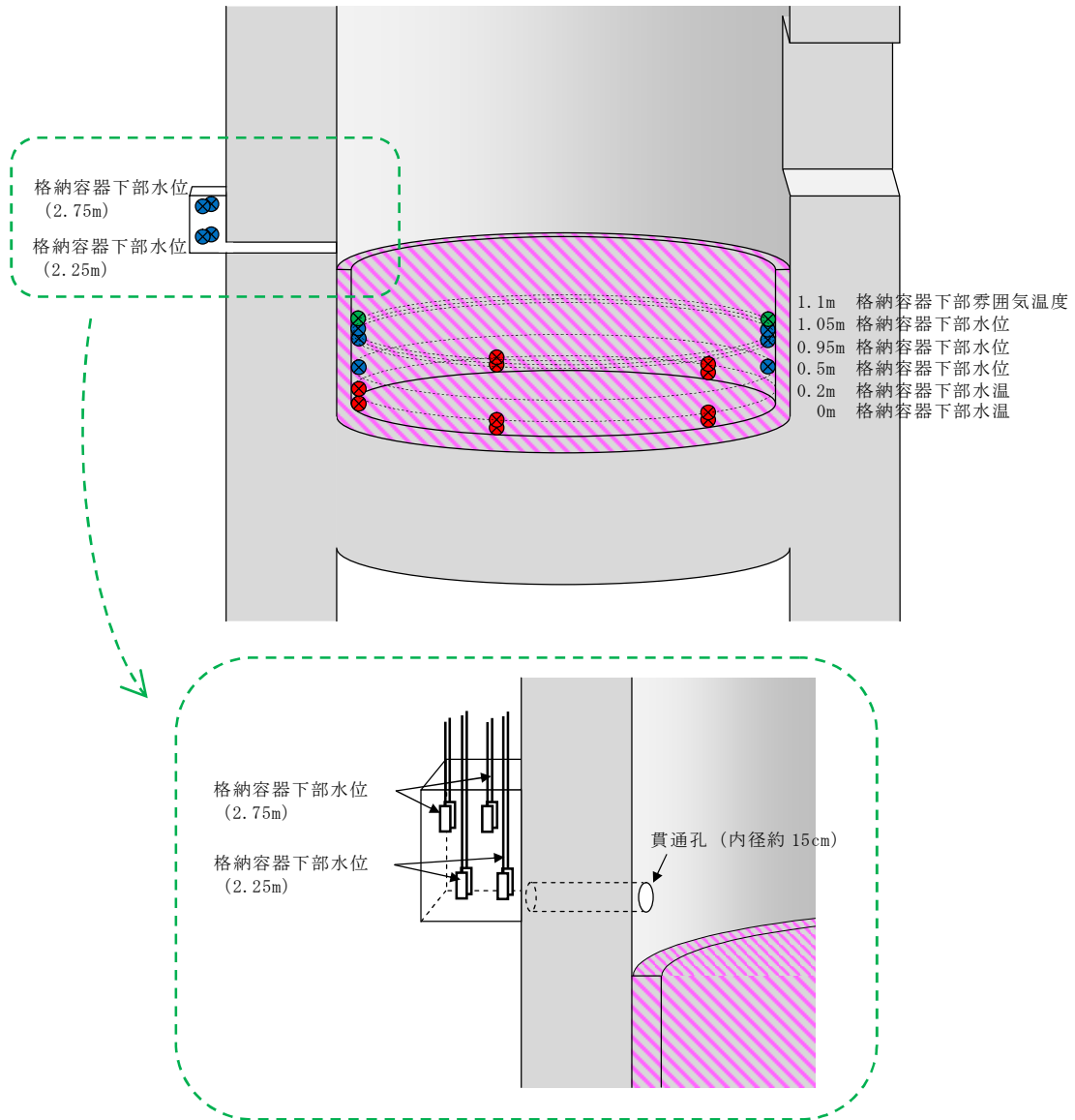
第1表 ペデスタル内計器の概要

| | 設置高さ*1 | 設置数 | 計器種別 |
|--------------|--------|--------|---------------|
| 格納容器下部 水温 | 0m | 各高さに5個 | 測温抵抗体式 温度計 |
| | 0.2m | | |
| 格納容器下部 水位 | 0.5m | 各高さに2個 | 電極式 水位計 |
| | 0.95m | | |
| | 1.05m | | |
| | 2.25m | | |
| | 2.75m | | |

※1 ペデスタル底面（コリウムシールド上表面）からの高さ

第2表 R P V破損及びデブリ落下・堆積検知の概念

| デブリの堆積状態 | 格納容器下部水温 | | 判断 |
|---|----------|---------|---------------------|
| | 0m 位置 | 0.2m 位置 | |
|  | 上昇 | 上昇 | R P V破損, デブリ少量落下 |
|  | 上昇/喪失 | 上昇 | R P V破損, デブリ少量落下 |
|  | 上昇/喪失 | 上昇/喪失 | R P V破損, デブリ多量落下 |

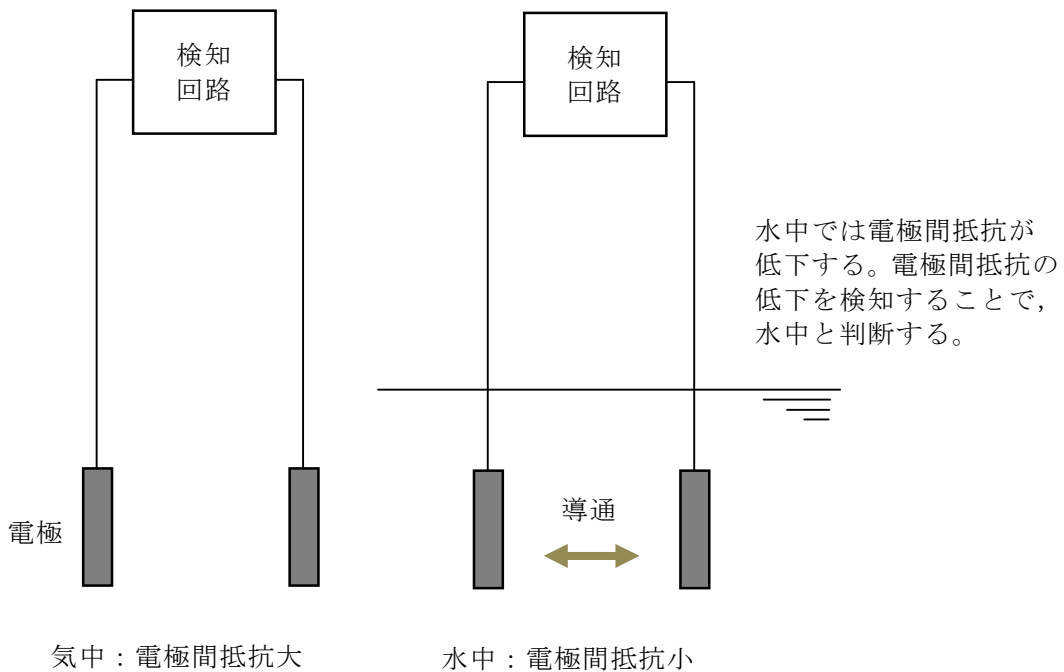


第 1 図 ペDESTAL内の計器設置図

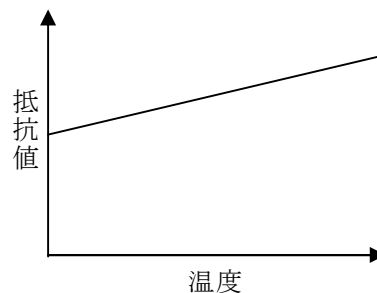
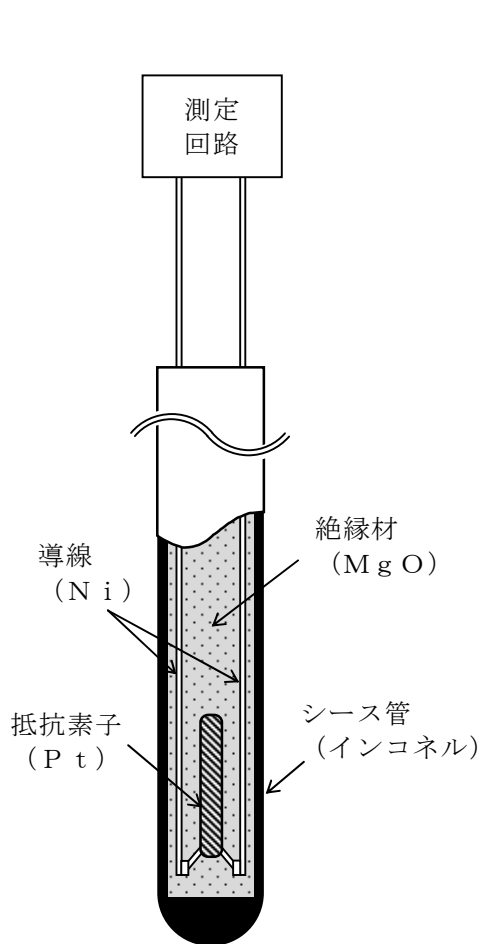
第3表 検出部の仕様等

| 計器種別 | 測定レンジ | 測定誤差 | 耐環境性 |
|---------------|----------------|-------------------------------|---|
| 測温抵抗体式 温度計 | -200℃～500℃ | $\pm(0.3+0.005 t)$ t：測定温度 | 温度：短期 230℃， 長期 200℃ 圧力：620kPa [gage] 放射線：—※ ² |
| 電極式 水位計 | — (レベルスイッチ) | ±10mm | 温度：短期 230℃， 長期 200℃ 圧力：620kPa [gage] 放射線：—※ ² |

※2 検出部は無機物で構成しており，放射線による影響はない



第2図 電極式水位計の動作原理



金属の電気抵抗が温度に比例する性質を利用し、抵抗素子の抵抗値を基に温度測定を行う。

高温のデブリが接触すると、温度指示値は急上昇しオーバースケールとなる。また、以下の過程の中で導線間の絶縁性が失われ短絡又は導通すると、抵抗値が低下し温度指示値がダウンスケールとなる。

- ・シース管の溶融、水及びデブリの浸入
- ・水との反応による絶縁材の膨張、剥離
- ・デブリとの反応に伴う絶縁材の溶融、蒸発

测温抵抗体構成材料の融点

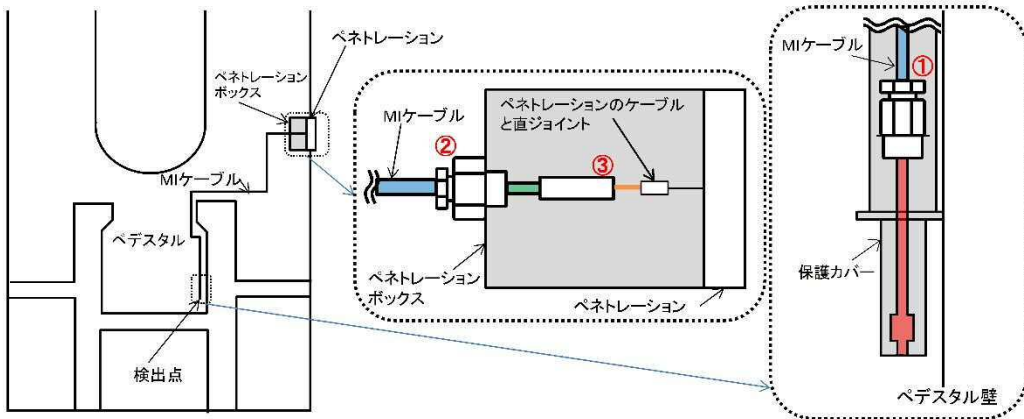
| | 材質 | 融点 |
|------|----------------|-------------------|
| シース管 | インコネル (NCF600) | 1,370℃～ 1,425℃ |
| 導線 | Ni | 1,455℃ |
| 抵抗素子 | Pt | 1,768℃ |
| 絶縁材 | MgO* | 約 2,800℃ |

※ デブリ中のZr等により還元されると、融点約650℃、沸点約1,100℃のMgとなり、溶融又は蒸発する。

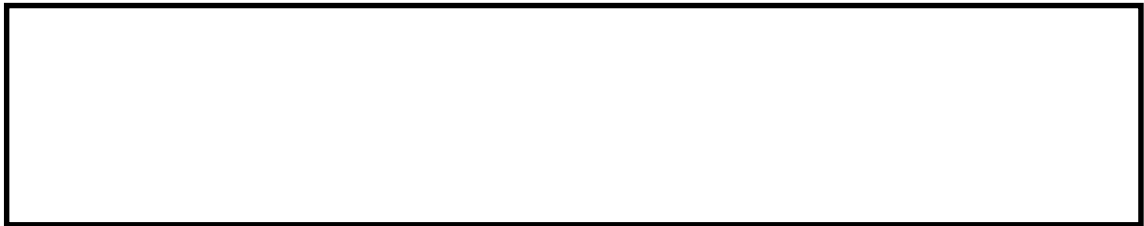
第3図 测温抵抗体式温度計の動作原理



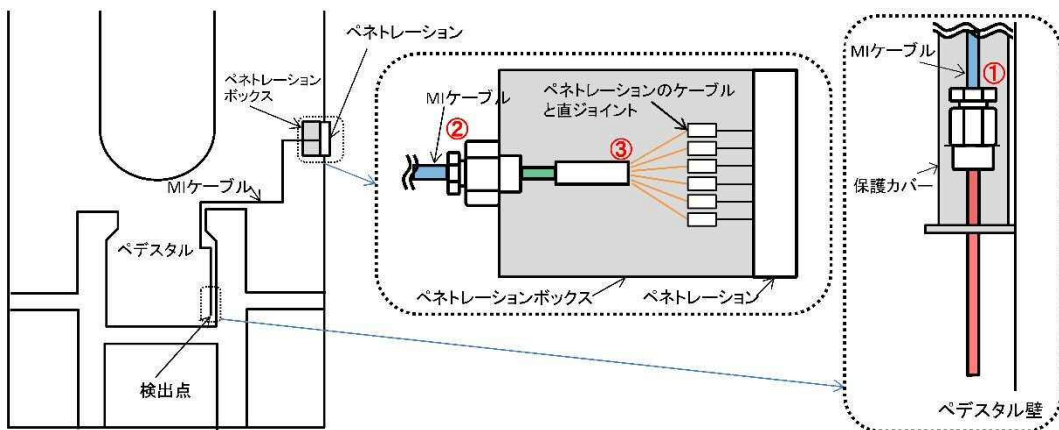
格納容器下部水位（電極式）構造図



格納容器下部水位の設置概略図

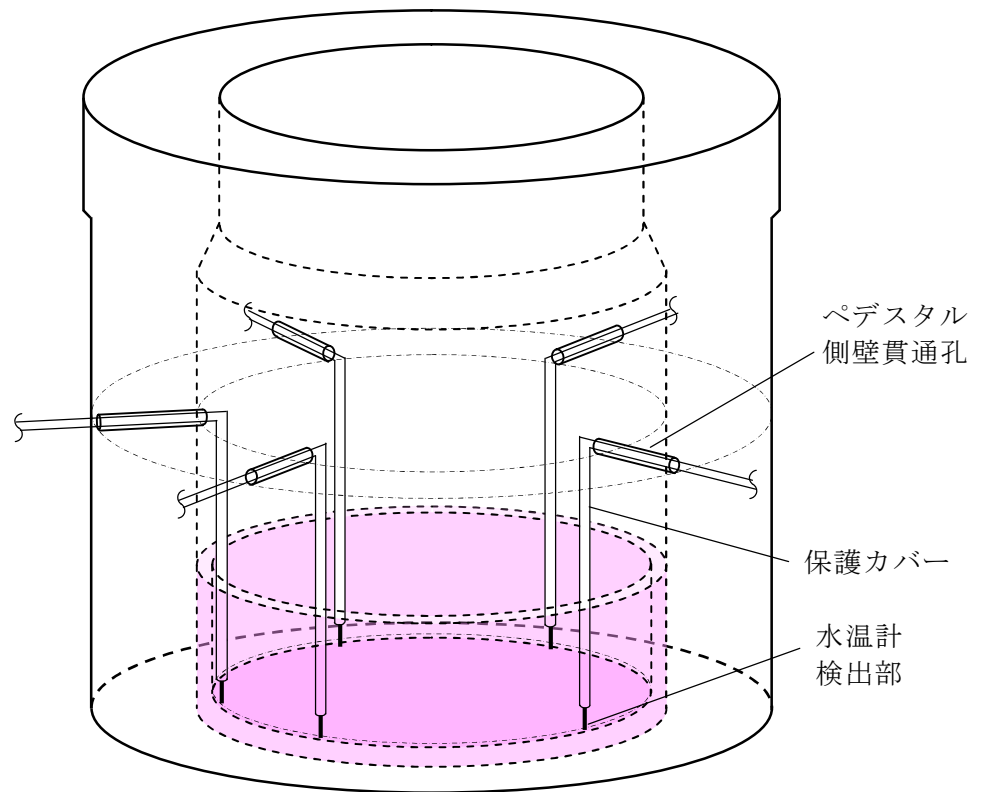


格納容器下部水温（測温抵抗体式）構造図

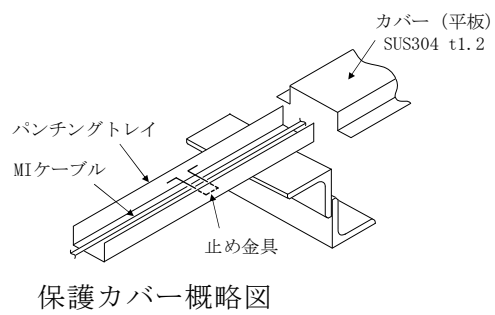


格納容器下部水温の設置概略図

第 4 図 格納容器下部水位及び格納容器下部水温の構造図及び設置概略図



図は格納容器下部水温（0m）の場合のイメージ

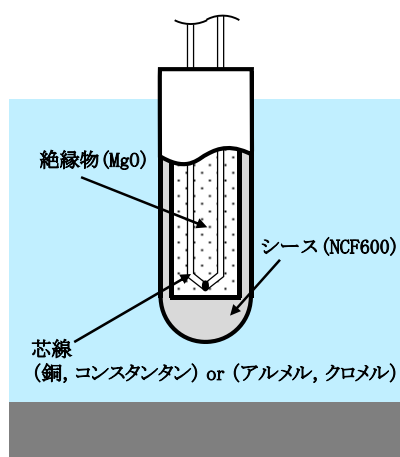


第 5 図 ペDESTAL内検出器及びケーブル（MI ケーブル）設置概略図

格納容器下部水温の測定原理とデブリ検知性について

ペDESTAL内に設置する格納容器下部水温によるデブリ検知性について、熱電対式とした場合と測温抵抗体式とした場合で比較し検討を行った。

熱電対の構造図、仕様、構成材料の融点を以下に示す。



熱電対構造図

熱電対仕様

| No. | 項目 | 仕様 | |
|-----|------|--------------------------------------|---------------------------------------|
| | | Tタイプ | Kタイプ |
| 1 | 計測範囲 | -40～350℃ | -40～1200℃ |
| 2 | 誤差 | ±1.0℃ (-40～133℃) 0.75% (133～350℃) | ±2.5℃ (-40～333℃) 0.75% (333～1200℃) |

熱電対構成材料の融点

| No. | 材質 | 融点 | タイプ |
|-----|-----------|------------|------|
| 1 | NCF600 | 1370～1425℃ | — |
| 2 | 銅 | 1085℃ | Tタイプ |
| 3 | コンスタantan | 1225～1330℃ | Tタイプ |
| 4 | アルメル | 1315～1390℃ | Kタイプ |
| 5 | クロメル | 1420℃ | Kタイプ |
| 6 | MgO | 約2800℃ | — |

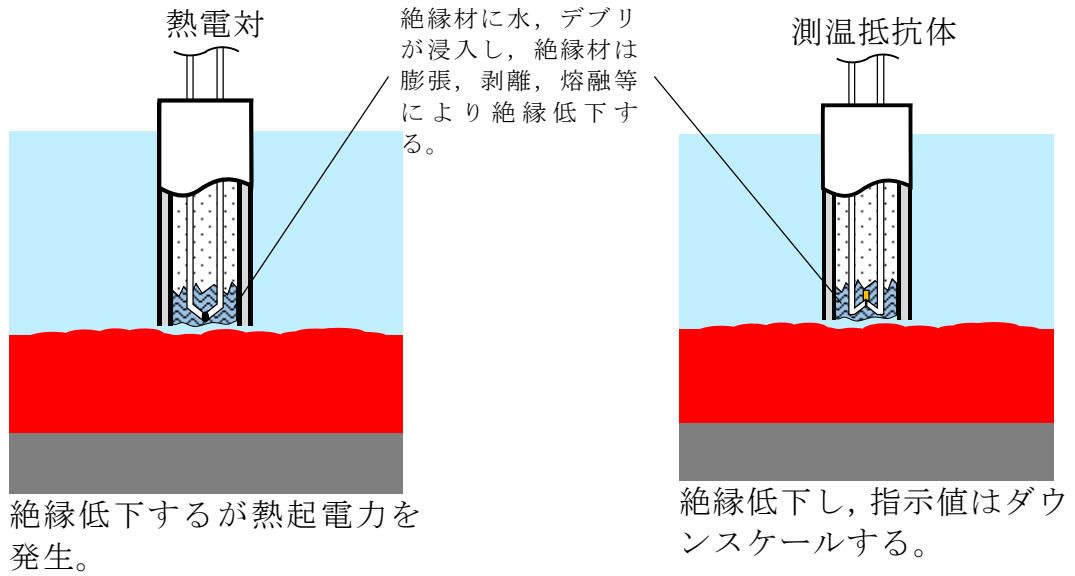
(1) 耐環境性

熱電対式及び測温抵抗体式の検出器は耐熱性の高い無機物により構成されており、いずれも重大事故等時の格納容器雰囲気下において、十分な耐性を有する。

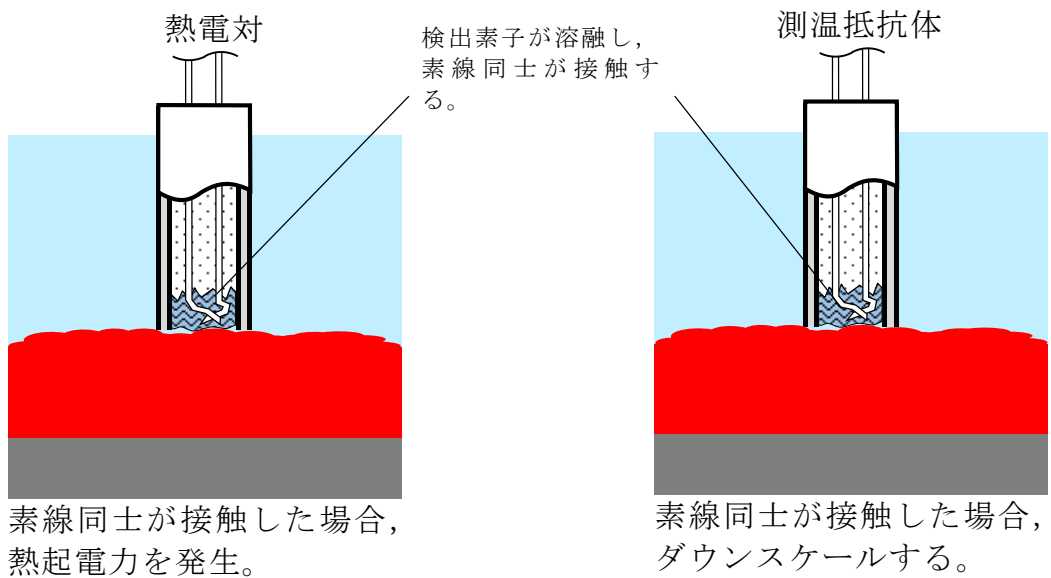
(2) デブリと水温計の接触により発生する現象

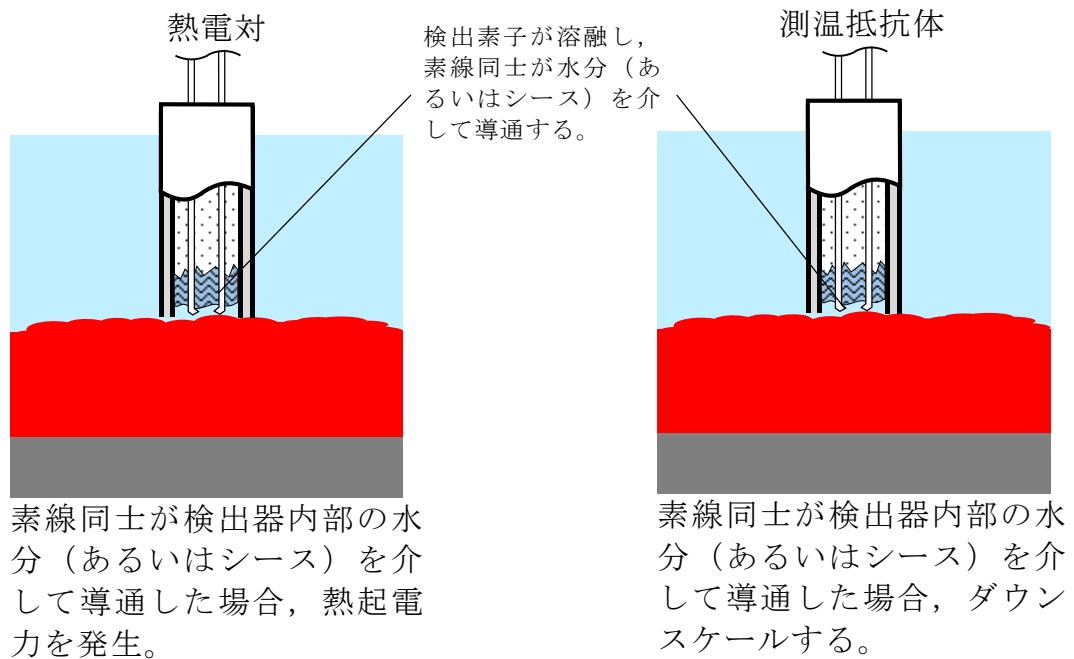
熱電対式及び測温抵抗体式の検出器がデブリと接触した場合に発生する現象を①～②に示す。

- ① デブリが検出器外郭（シース）に接触，シースは熔融し，絶縁材が露出する。



- ② デブリが検出素子に接触し，熔融する。





以上より、検出器とデブリが接触すると、測温抵抗体式の場合はダウンスケール、熱電対式の場合は指示値の急変及び発生する熱起電力による不確実な指示値を示すこととなる。

(3) 測定回路が故障した際の可搬型計測による測定

測定回路は熱電対式の場合は電圧値を、測温抵抗体式は抵抗値を測定することにより温度測定を行っている。可搬型計測器は電圧測定及び抵抗値測定が可能であり、測定回路故障時には可搬型計測器を水温計ケーブル端に接続することで熱電対式、測温抵抗体式のいずれの場合においても温度測定が可能である。

(4) まとめ

熱電対式、測温抵抗体式のいずれの検出器とした場合も、耐環境性を有し、デブリと接触した場合には特徴的な指示傾向を示し、測定回路が故障した際には可搬型計測器による測定が可能である。ただし、熱電対式の場

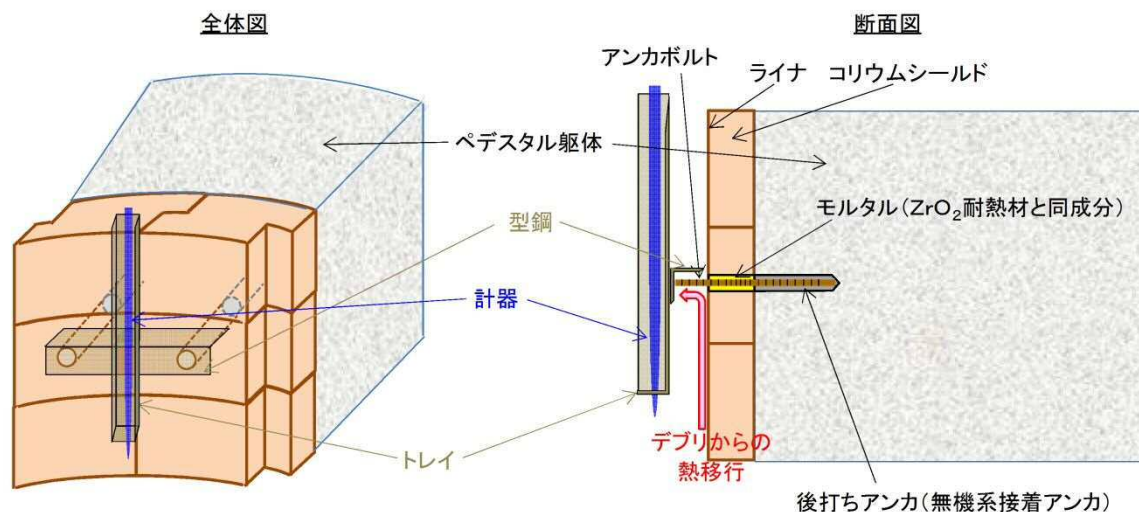
合には、指示値の急変及び不確実な指示値によりデブリとの接触を判断することとなるが、デブリとの接触後においても不確実な指示値が出力されることから、仮にデブリ接触前に近い指示値となった場合は、デブリとの接触の判断に迷う可能性がある。一方で、測温抵抗体式の場合にはオーバースケールやダウンスケールの有無で判断が可能であり、デブリとの接触の判断に迷う可能性はない。したがって、採用に当たっては上記の観点から測温抵抗体式が望ましいと考える。

ペDESTAL内計器の設置方法について

ペDESTAL内の水位管理のために設置する計器について、設置概念を第1図に示す。

第1図のとおり、計器はペDESTAL側壁のコンクリートに埋め込むアンカボルト、型鋼、トレイにより固定することとしている。

ここで、計器の下部にデブリが堆積した場合、コリウムシールド表面のライナを介してアンカボルト、型鋼、トレイ及び計器に熱が移行することが考えられる。しかし、ライナとアンカボルトの間は ZrO_2 耐熱材と同成分のモルタルで埋めるため熱が選択的に移行することはないこと、デブリを冠水維持することでデブリ上部の計器は水没していることを考慮すると、デブリからの熱移行により計器の健全性が損なわれることはないと考えられる。



第1図 ペDESTAL内計器の設置概念図

高温ガスによる原子炉冷却材圧力バウンダリからの漏えい可能性と
事象進展等に与える影響について

1. はじめに

格納容器破損防止対策の有効性評価のうち、「高圧溶融物放出／格納容器雰囲気直接加熱」（以下「DCH」という。）では、逃がし安全弁（自動減圧機能）の手動による原子炉急速減圧手段の有効性を確認する観点で、原子炉圧力を厳しく評価するよう高温ガスによるクリープ破損や漏えい等の影響を考慮しない解析条件を設定している。

DCHに対する有効性評価では、原子炉圧力を厳しく評価する観点から過渡事象＋高圧炉心冷却失敗＋手動減圧失敗＋炉心損傷後の手動減圧失敗＋DCH」を評価事故シーケンスとしている。当該シーケンスにおいては、主蒸気隔離弁が閉止することにより原子炉圧力が上昇し、逃がし安全弁（安全弁機能）による圧力制御により原子炉圧力の上昇は抑制されるものの高圧状態が維持される。その後、運転員による逃がし安全弁（自動減圧機能）の手動による原子炉急速減圧操作によって格納容器圧力付近まで減圧される。逃がし安全弁からの冷却材流出により、原子炉水位が低下することで、やがて炉心露出に至り、その結果、原子炉圧力容器（以下「RPV」という。）内に存在する蒸気及び水素が過熱されることで高温ガスが発生する。この高温ガスの影響によって原子炉冷却材圧力バウンダリを構成する機器が損傷する可能性がある。

ここでは、高温ガスに対する原子炉冷却材圧力バウンダリの健全性を現実的に評価し、漏えいが生じた場合の事象進展への影響について検討する。

2. 原子炉冷却材圧力バウンダリの健全性及び漏えい影響の検討

原子炉設備概要図を第1図に示す。福島第一原子力発電所事故に係る報告^{[1],[2]}では、炉心から発生する高温ガスの影響によって、炉内計装用案内管（ドライチューブ）、逃がし安全弁フランジ等からの気相漏えい発生の可能性について言及されている。また、原子炉冷却材バウンダリの内外圧力差が大きい状態で、構造部材が高温化する場合、クリープ破損が発生する可能性がある。さらに、SBO条件下では再循環系ポンプ（以下「PLRポンプ」という。）のメカニカルシール部からの漏えいが発生する可能性がある。

(1) 評価対象部位の抽出

以下に、原子炉冷却材バウンダリの健全性評価が必要と考えられる部位を示す。なお、高温環境下での逃がし安全弁の開保持機能維持については添付資料3.2.6に示している。

a. 炉内計装用案内管

炉内計装用案内管はRPV下部の貫通口より炉心に挿入されており、炉内で発生する高温ガスによって炉内計装用案内管が損傷した場合、炉内計装用案内管を介してRPVよりペDESTAL（ドライウェル部）への漏えいが発生する可能性がある。

b. 逃がし安全弁フランジ

逃がし安全弁フランジはガスケットによりシールされていることから、原子炉減圧操作に伴う高温ガスの通過によって過熱した場合、変形等によるシール性能の劣化が生じ、漏えいが発生する可能性がある。

c. 主蒸気隔離弁フランジ

主蒸気隔離弁フランジはガスケットによりシールされていることから、高温ガスの影響により設計条件を上回る場合、変形等によるシール性能の劣化が生じ、漏えいが発生する可能性がある。

d. 主蒸気配管

原子炉減圧操作に伴い主蒸気配管内を高温ガスが通過するため、構造部材が高温化し、さらに、配管の内外圧差による応力が大きい場合、クリープ破損による漏えいが発生する可能性がある。

e. R P V 上蓋フランジ

R P V 上蓋フランジはOリングによりシールされており、R P V 上蓋フランジの構造部材温度がOリングの設計条件を上回る場合、変形等によるシール性能の劣化が生じ、漏えいが発生する可能性がある。

f. P L R ポンプシール部

S B O 時には制御棒駆動水圧系及び原子炉補機冷却系が停止し、シールパーシライ線からの封水注入停止により、メカニカルシール部が高温の原子炉冷却材にさらされ、シール性能が損なわれる可能性がある。

(2) 健全性及び漏えい影響の評価

格納容器破損モードD C Hに対する有効性評価における原子炉圧力容器気相部温度、原子炉圧力、原子炉圧力容器上蓋構造部材表面温度、再循環系配管内流体温度の推移を第2図から第5図に示す。

a. 炉内計装用案内管

解析コードM A A P の評価結果では、事象発生から約35分で燃料被覆管温度が1,000K (約727℃) に到達し、炉心損傷が開始する。炉内計装用案内管の融点は1,700K (約1427℃) 程度であることから、炉心損傷後の事象進展に伴い炉内計装用案内管が損傷し、漏えいが生じる可能性があるが、事象発生から約38分後には、逃がし安全弁(自動減圧機能)の手動による原子炉急速減圧操作を開始することから、漏えいによる事象進展への影響は小さい。

b. 逃がし安全弁フランジ

逃がし安全弁フランジに使用されているガスケットの耐熱温度は450°Cである。逃がし安全弁には原子炉減圧操作に伴い高温ガスが通過する。第2図に示すとおり、RPV気相部温度は事象発生から約2時間でガスケットの耐熱温度に到達するため、シール性能の劣化により漏えいが生じる可能性がある。しかし、第3図に示すとおり、ガスケット耐熱温度到達の約2時間より早く、逃がし安全弁（自動減圧機能）の手動による原子炉急速減圧操作を開始することから、漏えいによる事象進展への影響は小さい。

c. 主蒸気隔離弁フランジ

主蒸気隔離弁フランジに使用されているガスケットの耐熱温度は450°Cである。主蒸気隔離弁は事象発生より閉止されることから、流体の流れは遮断され、高温ガスが直接的に主蒸気隔離弁まで到達はすることはない。このため、事象進展への影響はない。

d. 主蒸気配管

第2図に示すとおり、炉心冷却が損なわれることにより、原子炉圧力が上昇し、逃がし安全弁（安全弁機能）が作動することで、原子炉圧力容器気相部温度が上昇し、原子炉冷却材バウンダリの最高使用温度である302°Cを超過する。しかしながら、事象発生から約38分後に開始する逃がし安全弁（自動減圧機能）の手動による原子炉急速減圧操作により、原子炉圧力が格納容器圧力近傍まで減圧されるまでの最高温度は約369°Cにとどまり、著しい高温・高圧の状態が継続しないため、主蒸気配管のクリープ破損までには至らないと考えられる。また、原子炉減圧操作の実施後、下部プレナムへの熔融炉心移行に伴い一時的に原子炉圧力が上昇するものの主蒸気配管の最高使用圧力 8.62MPa[gage]よりも十分

に低い約 2.5MPa[gage]にとどまり、同時に R P V 内で発生する蒸気により、原子炉圧力容器内気相部温度は一時的に低下することから、この期間においても主蒸気配管のクリープ破損までには至らないと考えられる。このため、事象進展への影響はない。

e. R P V 上蓋フランジ

R P V 上蓋フランジ O リングの耐熱温度は 650°C である。第 4 図に示すとおり、R P V 破損時点での R P V 上蓋フランジ構造部材の温度は O リングの耐熱温度を下回ることから、O リングは損傷に至らない。このため、事象進展への影響はない。

f. P L R ポンプシール部

第 5 図に示すとおり、再循環系配管内の温度は逃がし安全弁（自動減圧機能）により原子炉が減圧されるまで、約 290°C 程度で推移する。シールパージラインからの封水注入が停止した状態となるため、高温水がメカニカルシールへ浸入し、O リングの一部が損傷するものの、その損傷部分を通り外部へ漏えいする経路により漏えい量は制限されると考えられる。このため、事象進展への影響は小さい。

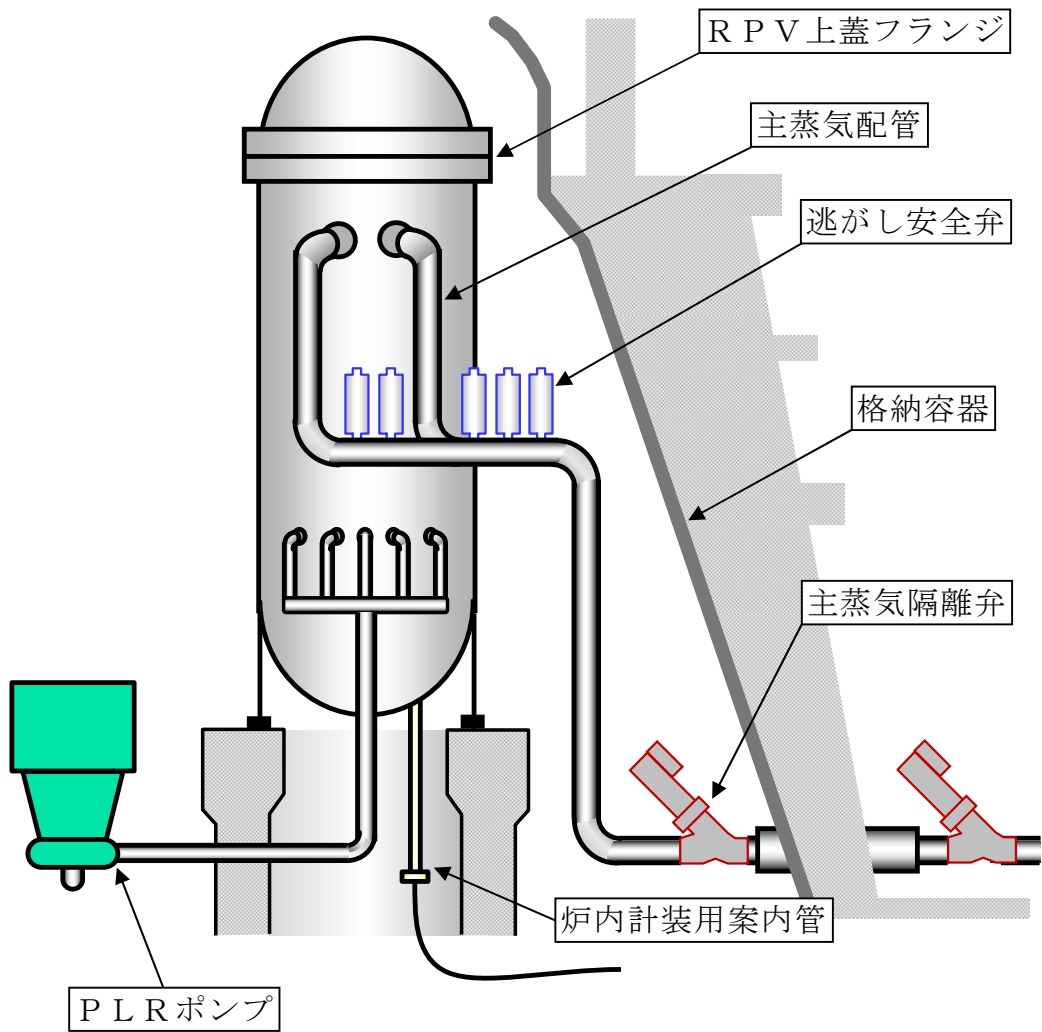
(3) 原子炉冷却材バウンダリからの漏えいによる格納容器健全性への影響

炉心損傷に伴って発生する高温ガスにより、原子炉冷却材バウンダリから漏えいが生じた場合、原子炉圧力の減圧を促進されることから、D C H の回避に対して有効に寄与する。一方で、漏えい発生による格納容器圧力・温度への影響が考えられるが、有効性評価では、大規模な原子炉冷却材バウンダリの喪失を仮定した大破断 L O C A（破断面積約 0.24m²）を起因とする事故シーケンスへの対策の有効性を確認していることから、高温ガスによる原子炉冷却材バウンダリの漏えいの影響は有意なものとはならない

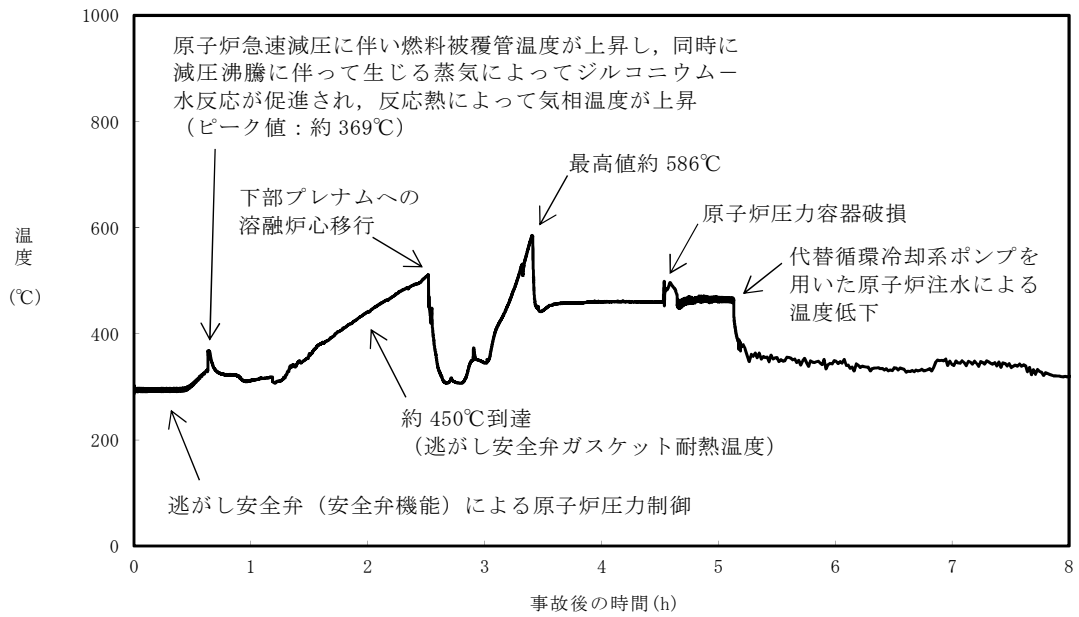
と考えられる。

参考文献

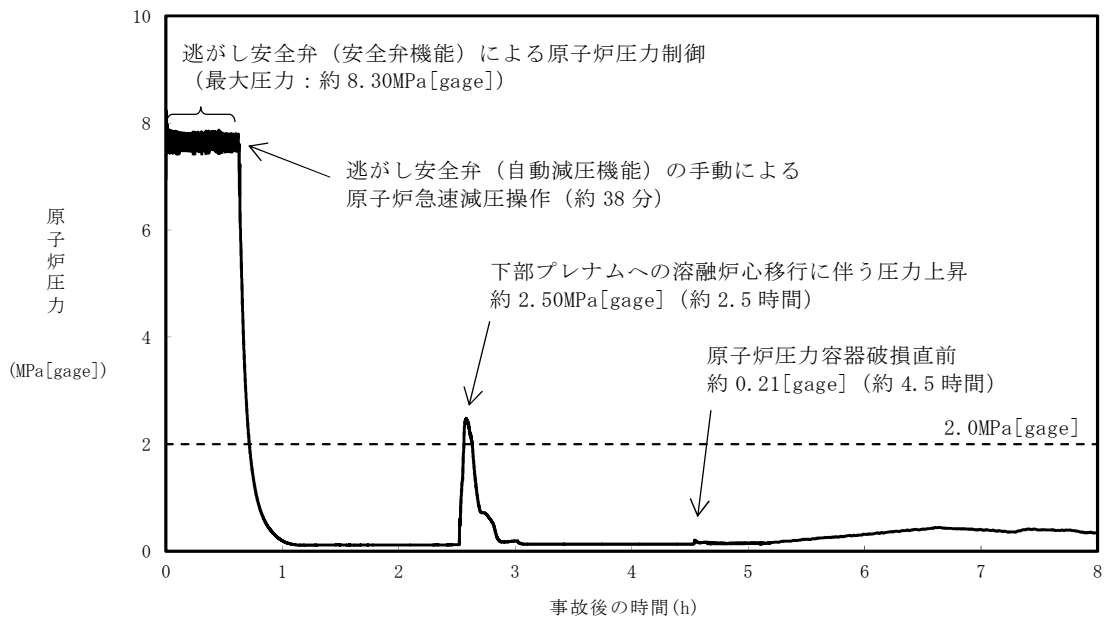
- [1] 東京電力株式会社, 福島原子力発電所 1～3 号機の炉心・格納容器の状態の推定と未解明問題に関する検討 第 3 回進捗報告, 平成 27 年 5 月 20 日
- [2] 東京電力福島原子力発電所における事故調査・検証委員会, 最終報告(資料編), 平成 24 年 7 月 23 日



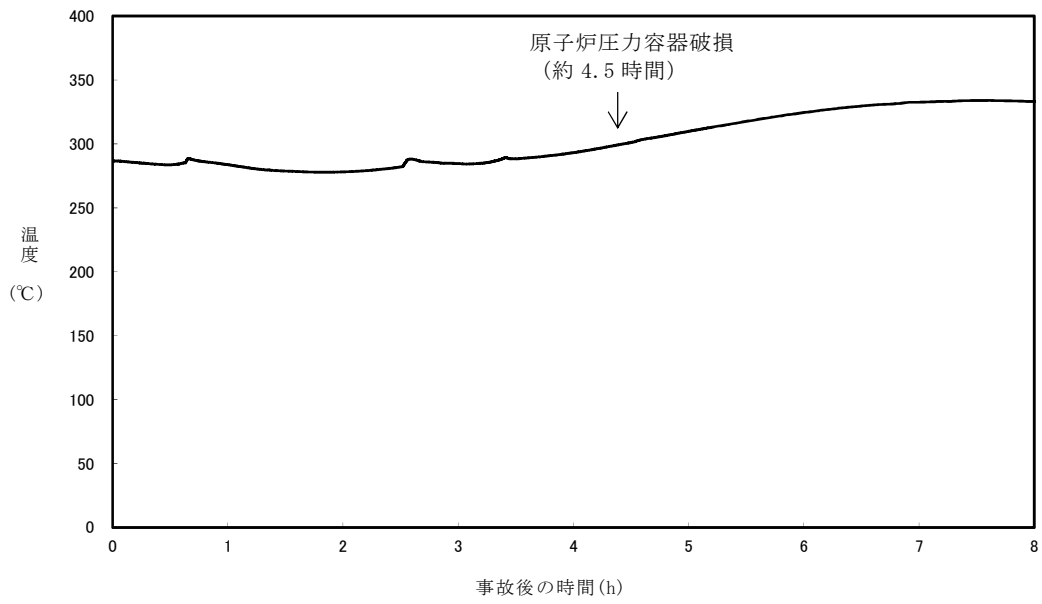
第1図 原子炉設備概要図



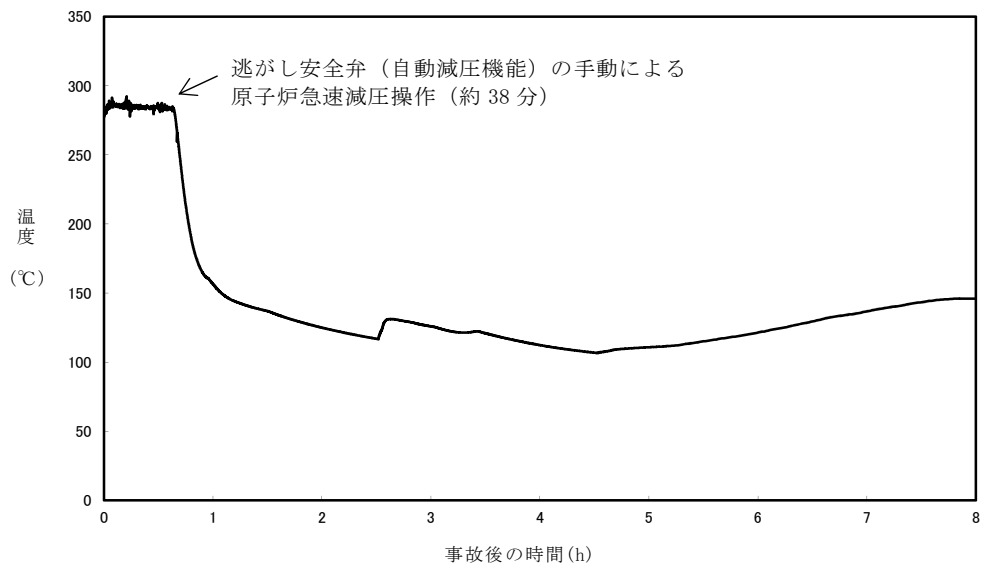
第 2 図 原子炉圧力容器気相部温度の推移



第 3 図 原子炉圧力の推移



第 4 図 原子炉圧力容器上蓋構造部材表面温度の推移



第 5 図 再循環系配管内流体温度の推移

原子炉建屋から大気中へ漏えいする Cs-137 の漏えい量評価について

本資料では、「原子炉建屋から大気中へ漏えいする Cs-137」の放出量評価について示す。

なお、本評価では、原子炉建屋ガス処理系（非常用ガス処理系及び非常用ガス再循環系で構成）が起動するまでの間、格納容器から原子炉建屋に漏えいした放射性物質は、瞬時に原子炉建屋から大気中へ漏えいするものとして、放出量を保守的に評価しているが、下記のとおり、格納容器の健全性が維持されており、原子炉建屋の換気空調系が停止している場合は、格納容器から原子炉建屋に漏えいした放射性物質の一部は、原子炉建屋内で沈着又は時間減衰するため、大気中への放出量は本評価結果より少なくなると考えられる。

- ・ 格納容器が健全な場合、格納容器内の放射性物質は、格納容器圧力に応じて原子炉建屋へ漏えいするものとしている。漏えいした放射性物質の一部は、原子炉建屋内での重力沈降等に伴い、原子炉建屋内に沈着すると考えられる。
- ・ 原子炉建屋内の換気空調系が停止している場合、原子炉建屋内外における圧力差が生じにくく、原子炉建屋内外での空気のやりとりは多くないと考えられるため、漏えいした放射性物質の一部は原子炉建屋内に滞留し、時間減衰すると考えられる。

1. 評価条件

放出量評価条件を第 1 表、大気中への放出過程及び概略図を第 1 図及び第 2 図に示す。

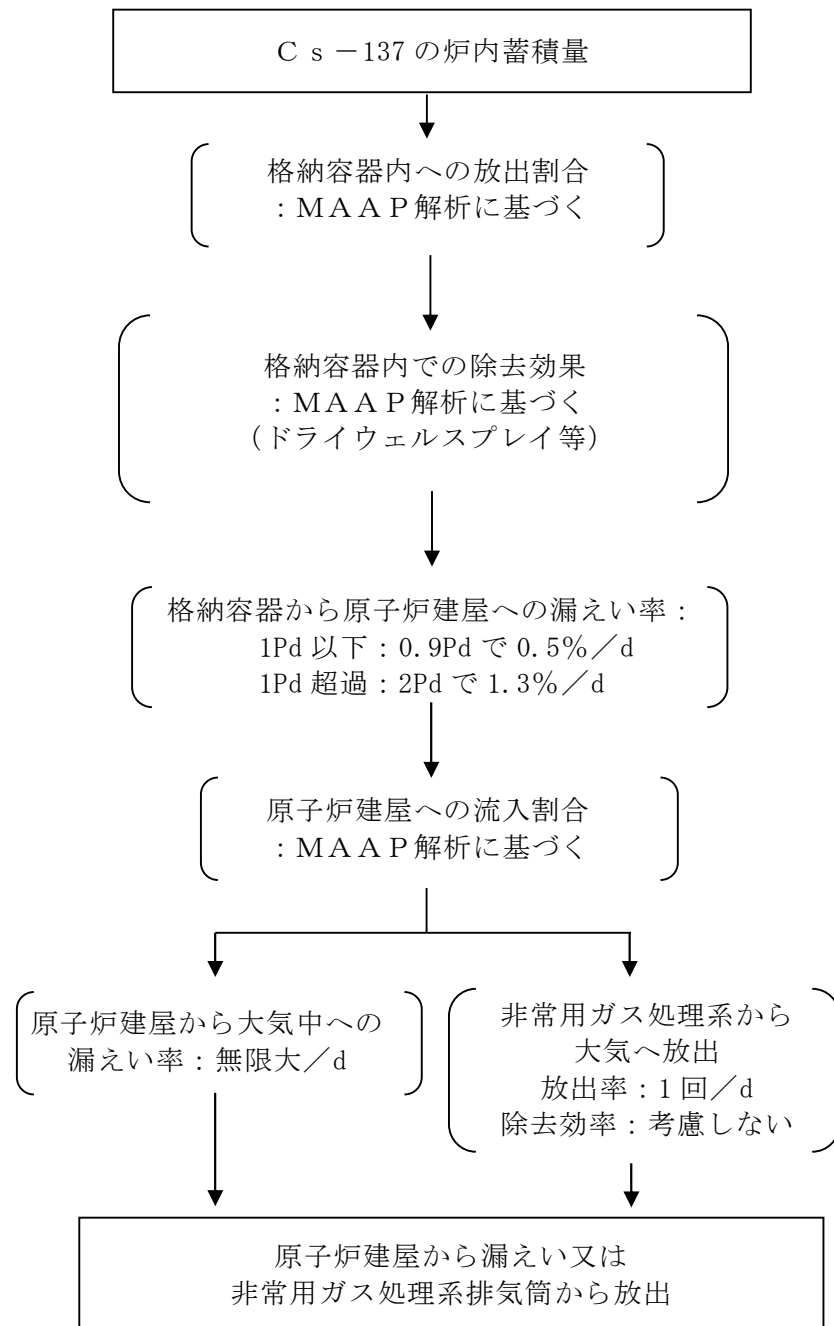
第1表 放出量評価条件 (1/2)

| 項目 | 評価条件 | 選定理由 |
|-------------------------|---|---|
| 評価事象 | 「過渡事象＋高圧炉心冷却失敗＋手動減圧失敗＋炉心損傷後の手動減圧失敗＋DCH」（全交流動力電源喪失の重畳を考慮） | — |
| 炉心熱出力 | 3,293MW | 定格熱出力 |
| 運転時間 | 1サイクル当たり 10,000時間（416日） | 1サイクル13ヶ月（395日）を考慮して設定 |
| 取替炉心の燃料装荷割合 | 1サイクル：0.229 2サイクル：0.229 3サイクル：0.229 4サイクル：0.229 5サイクル：0.084 | 取替炉心の燃料装荷割合に基づき設定 |
| 炉内蓄積量 （Cs-137） | 約 4.36×10^{17} Bq | 「単位熱出力当たりの炉内蓄積量（Bq/MW）」×「3,293MW（定格熱出力）」 （単位熱出力当たりの炉内蓄積量（Bq/MW）は、BWR共通条件として、東海第二と同じ装荷燃料（9×9燃料（A型））、上記の運転時間及び取替炉心の燃料装荷割合で算出したABWRのサイクル末期の値*を使用） |
| 放出開始時間 | 格納容器漏えい：事象発生直後 | MAAP解析結果 |
| 格納容器内への放出割合 （Cs-137） | 約0.73 | MAAP解析結果 |
| 格納容器の漏えい孔における捕集効果 | 考慮しない | 保守的に設定 |
| 格納容器内での除去効果 | MAAP解析に基づく（沈着，サプレッション・プール及びペDESTAL（ドライウェル部）水プールでのスクラビング並びにドライウェルスプレイ） | MAAPのFP挙動モデル |
| 格納容器内pH制御の効果 | 考慮しない | サプレッション・プール水pH制御設備は、重大事故等対処設備と位置付けていないため、保守的に設定 |

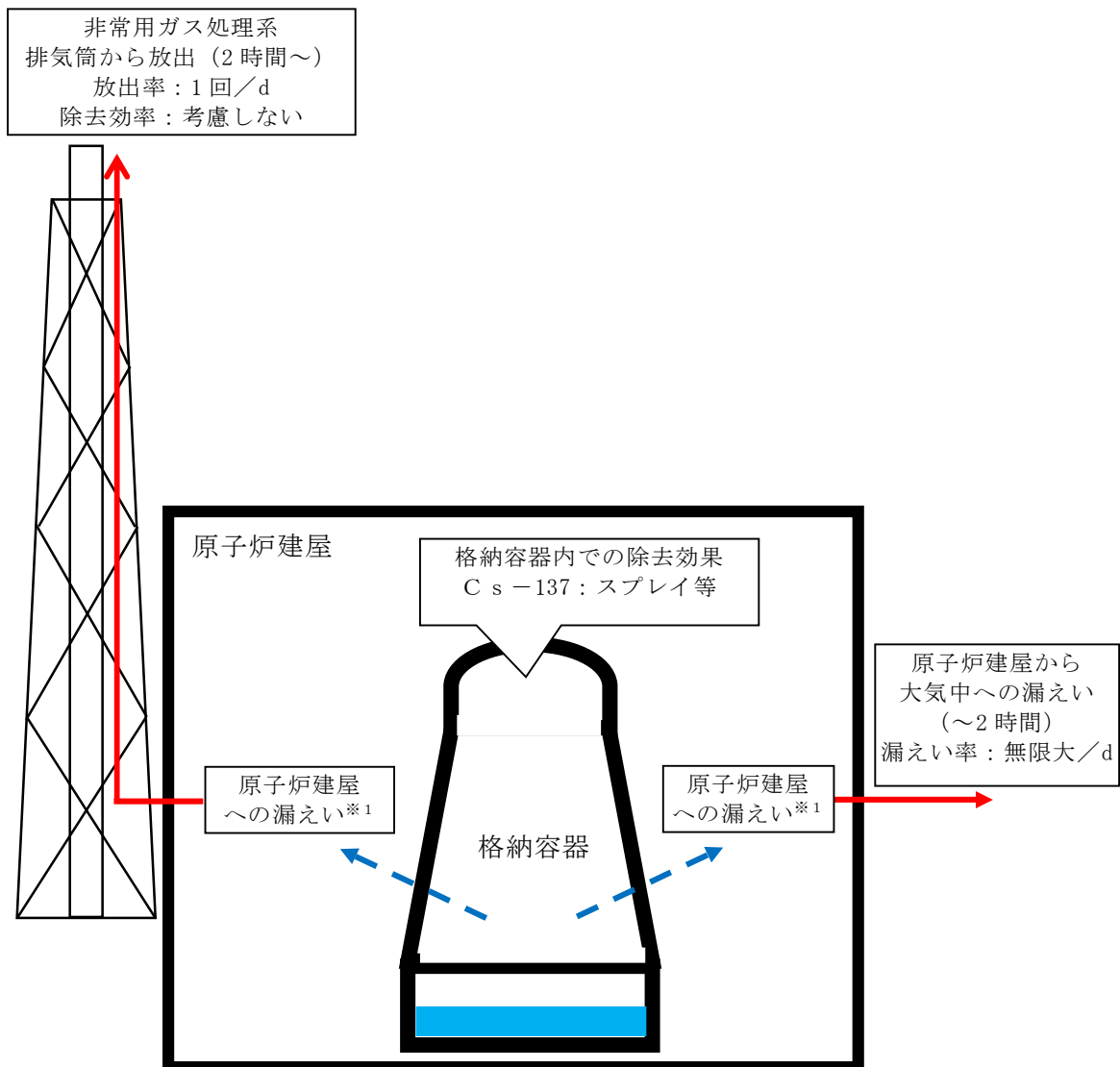
* 東海第二発電所（BWR5）に比べて炉心比出力が大きく、単位熱出力当たりの炉内蓄積量を保守的に評価するABWRの値を使用。

第1表 放出量評価条件 (2/2)

| 項目 | 評価条件 | 選定理由 |
|--|--|---|
| 格納容器から原子炉建屋への漏えい率 | 1Pd以下：0.9Pdで0.5%/d 1Pd超過：2Pdで1.3%/d | M A A P解析にて格納容器の開口面積を設定し格納容器圧力に応じ漏えい率が変化するものとし、格納容器の設計漏えい率（0.9Pdで0.5%/d）及びA E Cの式等に基づき設定（添付資料 3.1.2.5 参照） |
| 格納容器から原子炉建屋への漏えい割合 | C s I 類：約 2.07×10^{-7} C s O H 類：約 6.17×10^{-8} | M A A P解析結果 |
| 原子炉建屋から大気への漏えい率（非常用ガス処理系及び非常用ガス再循環系の起動前） | 無限大/d（地上放出） （格納容器から原子炉建屋へ漏えいした放射性物質は、瞬時に大気へ漏えいするものとして評価） | 保守的に設定 |
| 非常用ガス処理系から大気への放出率（非常用ガス処理系及び非常用ガス再循環系の起動後） | 1回/d（排気筒放出） | 設計値に基づき設定 （非常用ガス処理系のファン容量） |
| 非常用ガス処理系及び非常用ガス再循環系の起動時間 | 事象発生から2時間後 | 起動操作時間（115分） + 負圧達成時間（5分） （起動に伴い原子炉建屋原子炉棟内は負圧になるが、保守的に負圧達成時間として5分を想定） |
| 非常用ガス処理系及び非常用ガス再循環系のフィルタ除去効率 | 考慮しない | 保守的に設定 |
| ブローアウトパネルの開閉状態 | 閉状態 | 原子炉建屋原子炉棟内の急激な圧力上昇等によるブローアウトパネルの開放がないため |



第1図 Cs-137の大気放出過程



※1 格納容器から原子炉建屋への漏えい率
 1Pd 以下：0.9Pd で 0.5%/d, 1Pd 超過：2Pd で 1.3%/d

| 大気への放出経路 | 0h | ▼2h ^{※2} | ▼19h | 168h▼ |
|-----------------|----|-------------------|------|-------|
| 原子炉建屋から大気中への漏えい | | | | |
| 非常用ガス処理系排気筒から放出 | | | | |

※2 非常用ガス処理系の起動により原子炉建屋原子炉棟内は負圧となるため、事象発生2時間以降は原子炉建屋から大気中への漏えいはなくなる。

第2図 大気放出過程概略図 (イメージ)

2. 評価結果

原子炉建屋から大気中へのCs-137の漏えい量を第2表に示す。

原子炉建屋から大気中へのCs-137の漏えい量は、約 3.2×10^{-2} TBq（事象発生7日間）であり、評価項目の100TBqを下回っている。なお、本評価事象では、原子炉圧力容器破損に伴いペDESTAL（ドライウエル部）にデブリが移行するが、ペDESTAL（ドライウエル部）に移行したデブリからのCs-137放出は、デブリがペDESTAL（ドライウエル部）のコンクリートを侵食した際に発生するガスに随伴して生じるものであり、東海第二発電所ではコリウムシールドの設置によりコンクリートの侵食は生じないため、ペDESTAL（ドライウエル部）に移行したデブリ内に含まれるCs-137の放出は考慮していない。ペDESTAL（ドライウエル部）に移行したデブリ内からのCs-137が全て放出されたと仮定した場合でも、高揮発性核種であるCs-137は、炉心損傷に伴い大部分が炉内から放出されるため、ペDESTAL（ドライウエル部）に移行したデブリ内に含まれるCs-137は少なく、Cs-137放出量への影響はほとんどない。（第3表参照）

また、添付資料3.1.2.4に示す「雰囲気圧力・温度による静的負荷（格納容器過圧・過温破損）」において代替循環冷却系を使用する場合のCs-137の漏えい量（約7.5TBq）より 10^{-2} 程度小さい結果となっているが、これは事象初期におけるCs-137の原子炉圧力容器から格納容器への放出経路の違いによる影響が大きい（下記参照）。

- ・格納容器から原子炉建屋へ放出するCs-137の放出量に対する格納容器圧力の違いによる影響は小さい（格納容器内の除去効果を受けない希ガスに対する格納容器から原子炉建屋への放出割合^{*}に大きな差がなく、高揮発性核種であるCsも同様と考える）

※「雰囲気圧力・温度による静的負荷（格納容器過圧・過温破損）」：約 0.04
「高圧溶融物放出／格納容器雰囲気直接加熱」：約 0.03

- ・「雰囲気圧力・温度による静的負荷（格納容器過圧・過温破損）」では、L O C A破断口から格納容器気相部へ直接放出されるのに対し、「高圧溶融物放出／格納容器雰囲気直接加熱」では、原子炉圧力容器破損前まで（事象発生約 4.5 時間）、逃がし安全弁（自動減圧機能）を介してサプレッション・プールへ移行した後、格納容器気相部へ放出されるため、サプレッション・プールにおいてスクラビングによる除去効果を受ける。

また、事象発生 7 日間以降の影響を確認するため評価した、事象発生 30 日間、100 日間における大気中への $Cs-137$ の漏えい量は、約 3.4×10^{-2} TBq（事象発生 30 日間）及び約 3.9×10^{-2} TBq（事象発生 100 日間）であり、いずれの場合においても 100TBq を下回っている。

なお、事象発生 7 日以降の長期解析においては、事象発生約 53 日後*に格納容器内水素燃焼防止の観点で格納容器圧力逃がし装置による格納容器除熱（以下「格納容器ベント」という。）を実施し、事象発生 100 日まで格納容器ベントを継続しているが、格納容器の除熱機能、格納容器への窒素注入機能及び格納容器内の可燃性ガスの濃度制御系機能が確保できた場合には、格納容器ベントを停止する運用とする。

※ 第 3.2-28 図に示す格納容器圧力の推移では、格納容器の圧力を高く評価するために格納容器からの漏えいを考慮していないが、約 53 日後に酸素濃度が 4.3vol% に到達し格納容器ベントを実施している

第2表 大気中へのCs-137の漏えい量

| 事象発生7日間 | 事象発生30日間 | 事象発生100日間 |
|----------------------------|----------------------------|---|
| 約 3.2×10^{-2} TBq | 約 3.4×10^{-2} TBq | 約 3.9×10^{-2} TBq [※] |

※ 格納容器圧力逃がし装置から大気中への放出量を含む（事象発生約53日後から事象発生100日まで格納容器ベント実施）

第3表 原子炉圧力容器から格納容器へのCs-137の放出割合及びペDESTAL（ドライウェル部）に移行したデブリ内に含まれるCs-137の割合

| 原子炉圧力容器から格納容器へのCs-137の放出割合 [※] | ペDESTAL（ドライウェル部）に移行したデブリ内に含まれるCs-137の割合 |
|---|---|
| 約 0.73 | 約 0.03 |

※ 原子炉圧力容器から格納容器への放出経路は以下のとおり。

- ・原子炉圧力容器から逃がし安全弁（自動減圧機能）を介したサブプレッション・プールへの放出
- ・原子炉圧力容器破損箇所から格納容器気相部への放出

高温環境下での逃がし安全弁の開保持機能維持について

1. はじめに

原子炉水位が燃料有効長頂部を下回り、炉心損傷に至るような状況では、原子炉圧力容器（以下「RPV」という。）内に高温の過熱蒸気が発生する。高圧溶融物放出／格納容器雰囲気直接加熱（以下「DCH」という。）を防止するためには、その様な環境下でも逃がし安全弁（以下「SRV」という。）を開保持し、RPV内の圧力を2.0MPa[gage]以下の低圧に維持する必要がある。

SRVは本体と補助作動装置から構成されているが、補助作動装置の温度が上昇すると、電磁弁又はピストンのシール部が熱によって損傷し、SRVの開保持機能に影響を及ぼすおそれがある。

ここでは、炉心損傷後、DCH防止のために原子炉の減圧を継続する環境下においても、SRVの開保持機能が損なわれないことを評価する。

2. 評価方法

電力共同研究「安全上重要な機器の信頼性確認に関する研究」において、設計基準事故を包含する保守的な環境条件として、「171℃において3時間継続の後、160℃において3時間継続した状態」でのSRV機能維持について確認されている（以下「SRV環境試験」という。）。また、長期の機能維持の観点から、126℃において試験開始24時間後から15日後までの機能維持を確認している。第2図にSRV環境試験条件を示す。

このため、解析コードMAAPによるDCH有効性評価解析より得られた環境温度条件を入力として、3次元熱流動解析コード(STAR-CCM+)によりSRVの温度を評価し、SRV環境試験の温度条件に包含されること

を確認することで、重大事故時においてもSRVの開保持機能が維持されることを確認する。

なお、3次元熱流動解析は保守的な温度条件を設定した定常解析にて実施するが、下部プレナムへの溶融炉心の落下に伴いRPV内の気相温度が急激に上昇する期間に対しては、SRVの温度上昇をより現実的に評価するため非定常解析を実施する。

3. 評価条件

(1) 温度条件

第3図及び第4図に、MAAP解析結果のRPV内気相平均温度及びドライウェル内気相平均温度を示す。このMAAP解析結果を踏まえ、以下に示す2通りの温度条件を設定する。第1表に評価条件を示す。

・温度条件①（定常解析）

RPV内気相温度については、事象発生から下部プレナムへの溶融炉心移行中の期間を代表する温度条件として、この期間における最高温度を考慮し512℃を設定する。

また、ドライウェル内気相温度については、手順に従い実施する代替循環冷却系による格納容器除熱操作（格納容器スプレイの冷却効果）を考慮することとし、格納容器除熱を開始した以降、RPV破損までの最高温度を考慮し53℃を設定する。なお、格納容器除熱を開始するまでの初期のドライウェル内気相温度は53℃よりも高い80℃程度で推移するが、この期間におけるRPV内気相温度は定常解析の温度条件である512℃より十分に低いことから、SRV開保持機能維持の観点で、初期のドライウェル内気相温度の影響は、RPV内気相温度条件の保守性に包含される。

・温度条件②（非定常解析）

下部プレナムへの溶融炉心移行に伴うRPV内の気相温度の急激な上昇を考慮した温度条件として、温度条件①で設定した期間以降のRPV内気相温度の最高値到達までの温度条件として、512℃から586℃の温度履歴を設定する。

また、ドライウェル内気相温度については、温度条件①と同様に53℃を設定する。

(2) 評価部位

SRV（自動減圧機能）の開保持には、電磁弁コイルを励磁することで、補助作動装置のピストン部へ窒素を供給し、SRV本体スプリングの閉止力を上回る駆動力を発生させ、ピストンを押し上げた状態とする必要がある。SRVの開保持機能維持の観点では、高温影響を受けやすい以下の部位について評価する必要がある。

①電磁弁（下部コイルハウジング）

電磁弁のコイルは熱容量が小さく、高温影響を受けやすい。電磁弁のコイルが熱によって損傷した場合、電磁弁のコイルが消磁することで、補助作動装置のピストンへの窒素供給が遮断されるとともに、流路が排気側へ切り替わることから、ピストンを押し上げていた窒素が排出され、SRV本体スプリングの閉止力によってSRV（自動減圧機能）が閉止する。このため、電磁弁を評価の対象とするが、その中でも高温配管に近く、最も温度が高くなりやすい下部コイルハウジングの温度を評価する。

②ピストン（シール部）

ピストンのシール部にはフッ素ゴム製のOリングが用いており、高

温影響を受けやすい。ピストンのシール部が熱によって損傷した場合、シール部よりピストンを押し上げていた窒素が排出され、SRV本体スプリングの閉止力によってSRV（自動減圧機能）が閉止する。このため、ピストンの温度を評価する。

(3) 評価モデル

SRV（自動減圧機能）が最も近く隣接するバルブB及びバルブHを含む範囲をモデル化する。実際の事故対応では互いに離れた位置のSRV2弁を開操作する手順とするが、電磁弁及びピストンのシール部の温度条件を厳しく評価する観点より、本評価では、隣接した2弁を同時に開状態とする評価モデルとする。第5図にSRV配置図及びモデル化範囲を、第6図にモデル図及び断面メッシュ図を示す。

4. 評価結果

評価結果を第2表及び第7図から第9図に示す。

事象発生から下部プレナムへの溶融炉心移行中の期間を代表する温度条件を適用した温度条件①の定常解析では、下部コイルハウジングの最高温度はバルブBの約120℃、ピストン部の最高温度はバルブBの約124℃であり、SRV環境試験温度である160℃を下回る。

また、下部プレナムへの溶融炉心移行に伴うRPV内の気相温度の急激な上昇を考慮した温度条件②の非定常解析では、下部コイルハウジングの最高温度はバルブBの約124℃、ピストン部の最高温度はバルブBの約124℃であり、SRV環境試験温度である160℃を下回る。

なお、SRV環境試験では、160℃以上の温度条件において6時間の機能維持が確認されている。この試験の初期の温度条件として171℃を与えている

ことを踏まえると、160℃以下の温度条件では約7.6時間の機能維持が可能※であると考えられる。したがって、逃がし安全弁（自動減圧機能）の開保持機能が要求される、事象発生から原子炉圧力容器破損までの時間（約4.5時間）に対して、十分な余裕がある。

以上のとおり、炉心損傷後、DCH防止のために原子炉の減圧を継続している状況を想定した環境下でも、SRV開保持機能は維持されることが考えられる。

※ SRVは、「171℃において3時間継続の後、160℃において3時間継続（合計6時間）」という環境条件での機能維持がSRV環境試験によって確認されている。この初期の熱負荷（171℃において3時間継続）をアレニウス則に基づき、160℃の熱負荷に換算すると、160℃において約4.6時間継続となり、これを後段の試験時間と合計すると約7.6時間は機能維持が可能となる。

5. 本体部の温度上昇による影響

前述のとおり、重大事故時においてもSRVの開保持機能は維持されるが、ここではSRV強制開機能に対する温度上昇の影響について評価する。

閉状態のSRVを強制開とするためには、補助作動装置の駆動力がSRV本体の閉止力を上回る必要がある。第3表に温度上昇の影響を示す。SRV本体の閉止力に対する温度上昇の影響は、いずれも強制開の妨げとなることはない。

第 1 表 3次元熱流動解析での温度条件

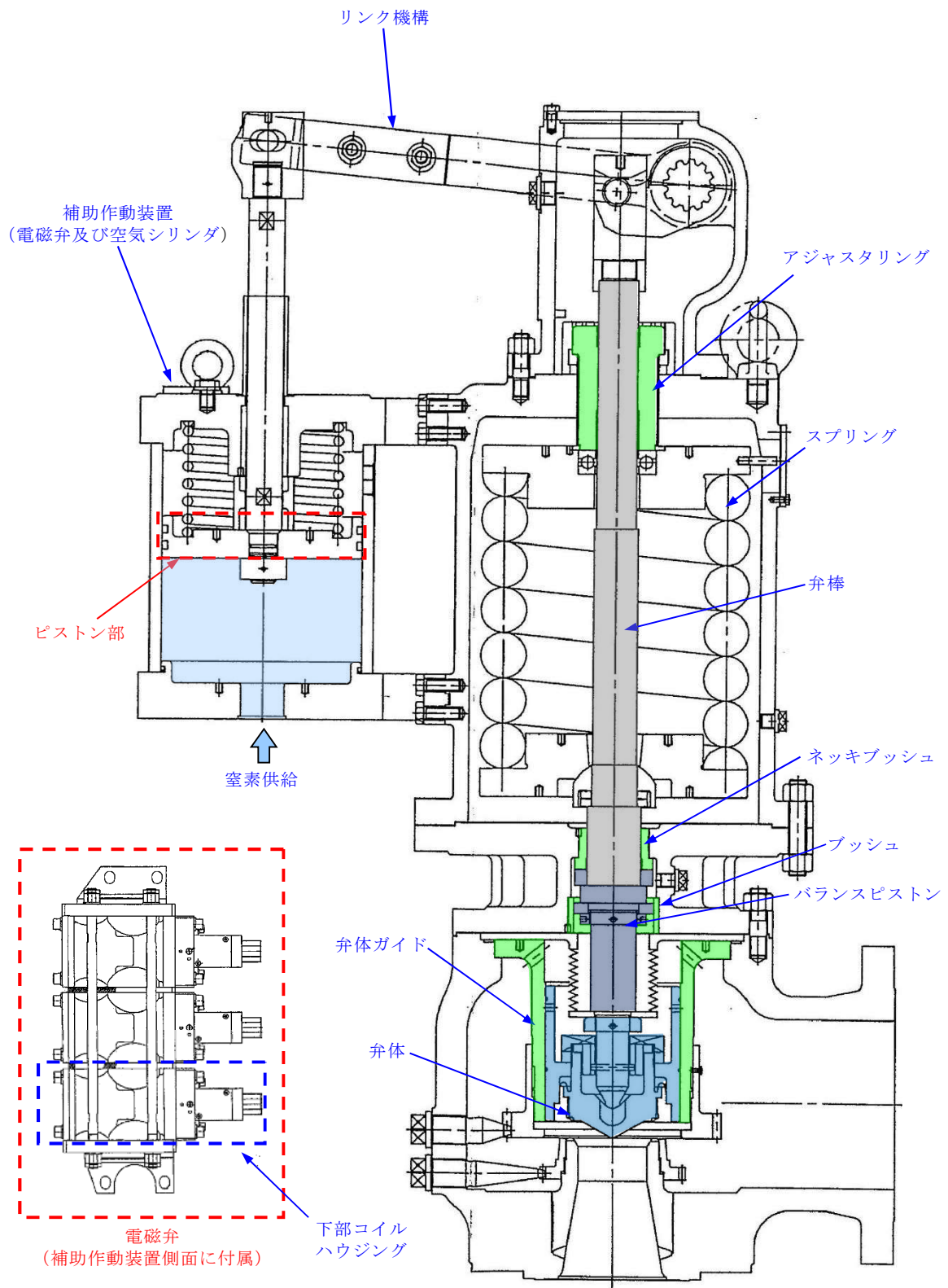
| 項 目 | 温度条件①【定常解析】 | 温度条件②【非定常解析】 |
|-------------------|-------------|--------------|
| R P V内 気相平均温度 | 512℃ | 512℃→586℃ |
| ドライウエル内 気相平均温度 | 53℃ | 53℃ |

第 2 表 3次元熱流動解析での評価結果

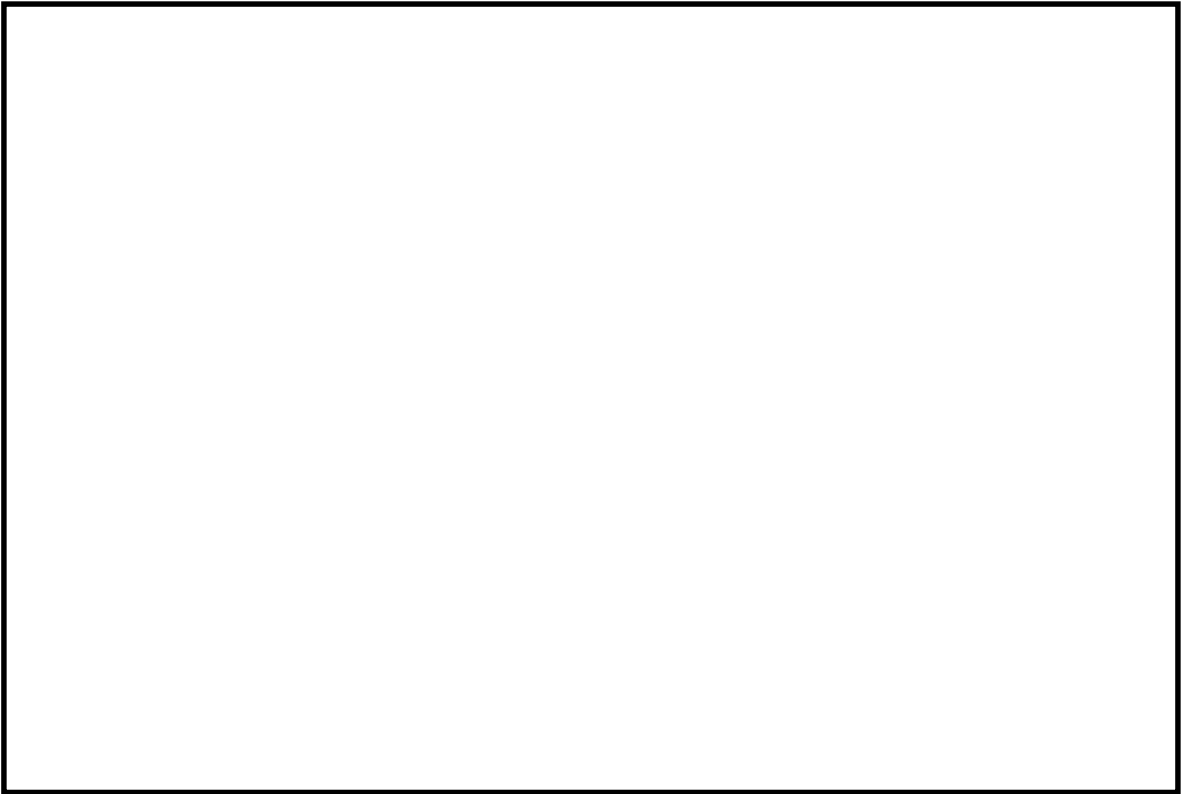
| 項 目 | 温度条件①【定常解析】 | | 温度条件②【非定常解析】 | |
|------------------------|-------------|--------|--------------|--------|
| | バルブ B | バルブ H | バルブ B | バルブ H |
| 下部コイル ハウジング 最高温度 | 約 120℃ | 約 112℃ | 約 124℃ | 約 116℃ |
| ピストン部 最高温度 | 約 124℃ | 約 113℃ | 約 124℃ | 約 113℃ |

第 3 表 S R V本体の抵抗力に対する温度上昇の影響

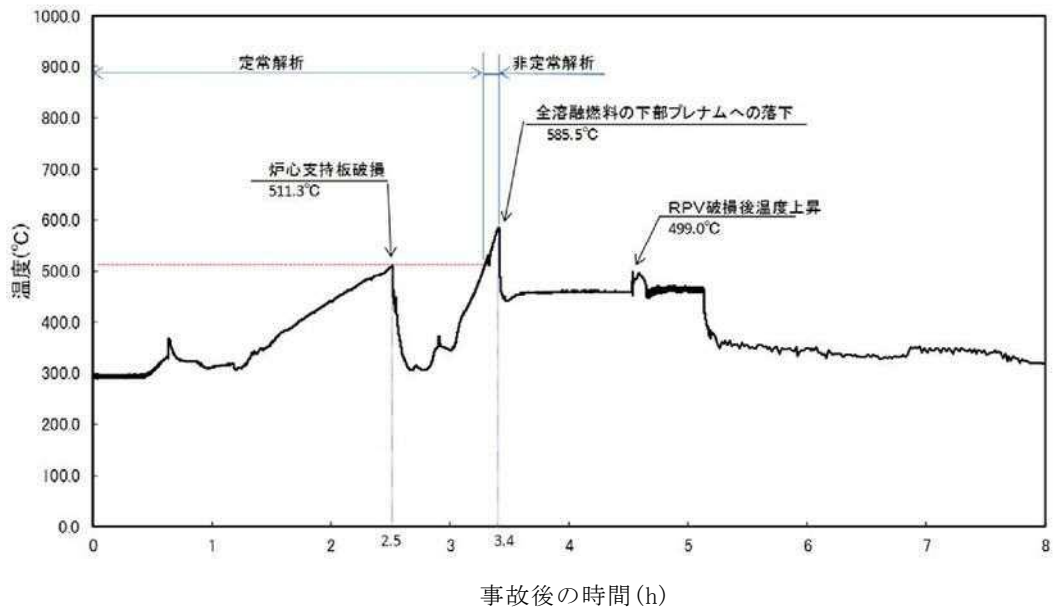
| 項 目 | 温度上昇の影響 |
|-----------------------|---|
| S R Vスプリング閉止力 | 温度上昇に伴い、低下する方向にある。また、補助作動装置はスプリング閉止力に対して十分な駆動力を有している。 |
| 弁棒・アジャスタリング 摺動抵抗 | 主蒸気流路から離れた位置にあり、温度上昇幅は小さく、S R V強制開機能には影響を及ぼさない。 |
| 弁棒・ネッキブッシュ 摺動抵抗 | 弁棒はS U S 431、ネッキブッシュはニッケルブロンズと、入熱時に隙間が拡大する材料の組合せとなっており、ネッキブッシュによる弁棒拘束は発生しない。 |
| バランスピストン・ブッシュ 摺動抵抗 | バランスピストンはS U S 403、ブッシュはニッケルブロンズと、入熱時に隙間が拡大する材料の組合せとなっており、ネッキブッシュによる弁棒拘束は発生しない。 |
| 弁体（ガイド部）・ガイド 摺動抵抗 | 主蒸気温度上昇に伴い拡大するため、温度上昇に伴うガイドによる弁体拘束は発生しない。 |



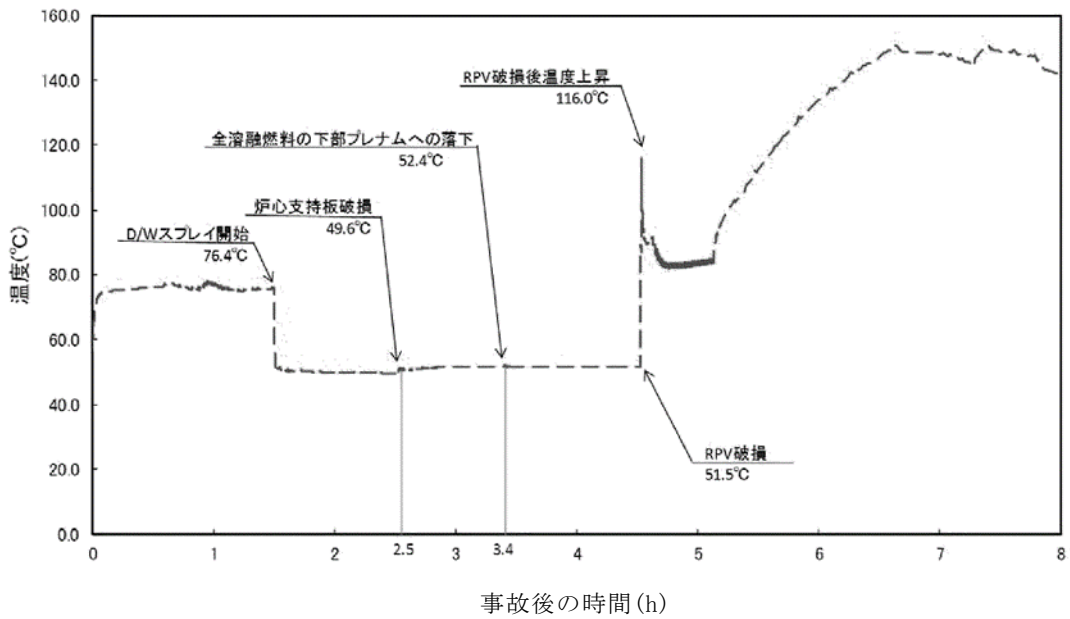
第1図 SRV構造図 (開状態)



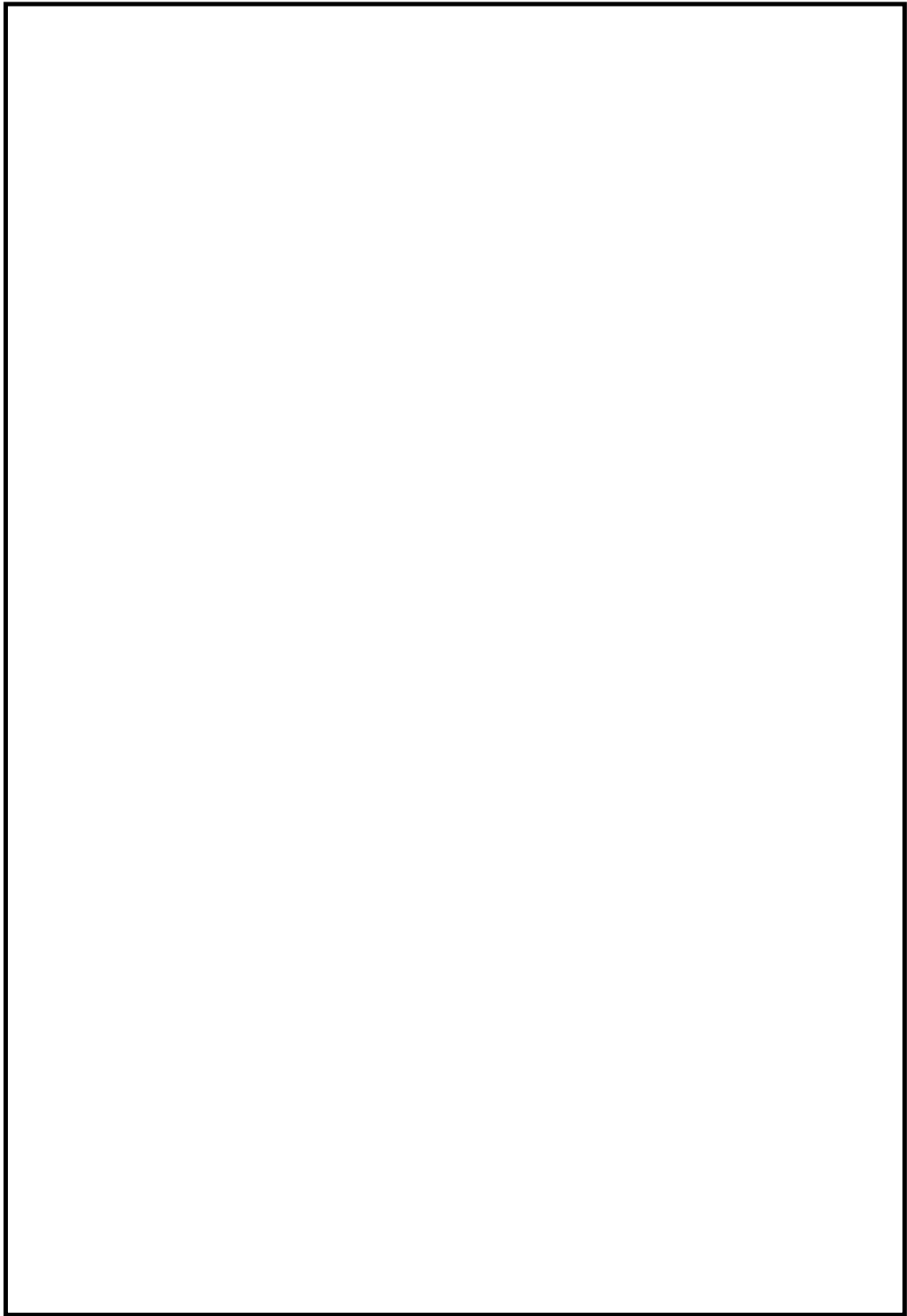
第 2 図 S R V 環境試験条件



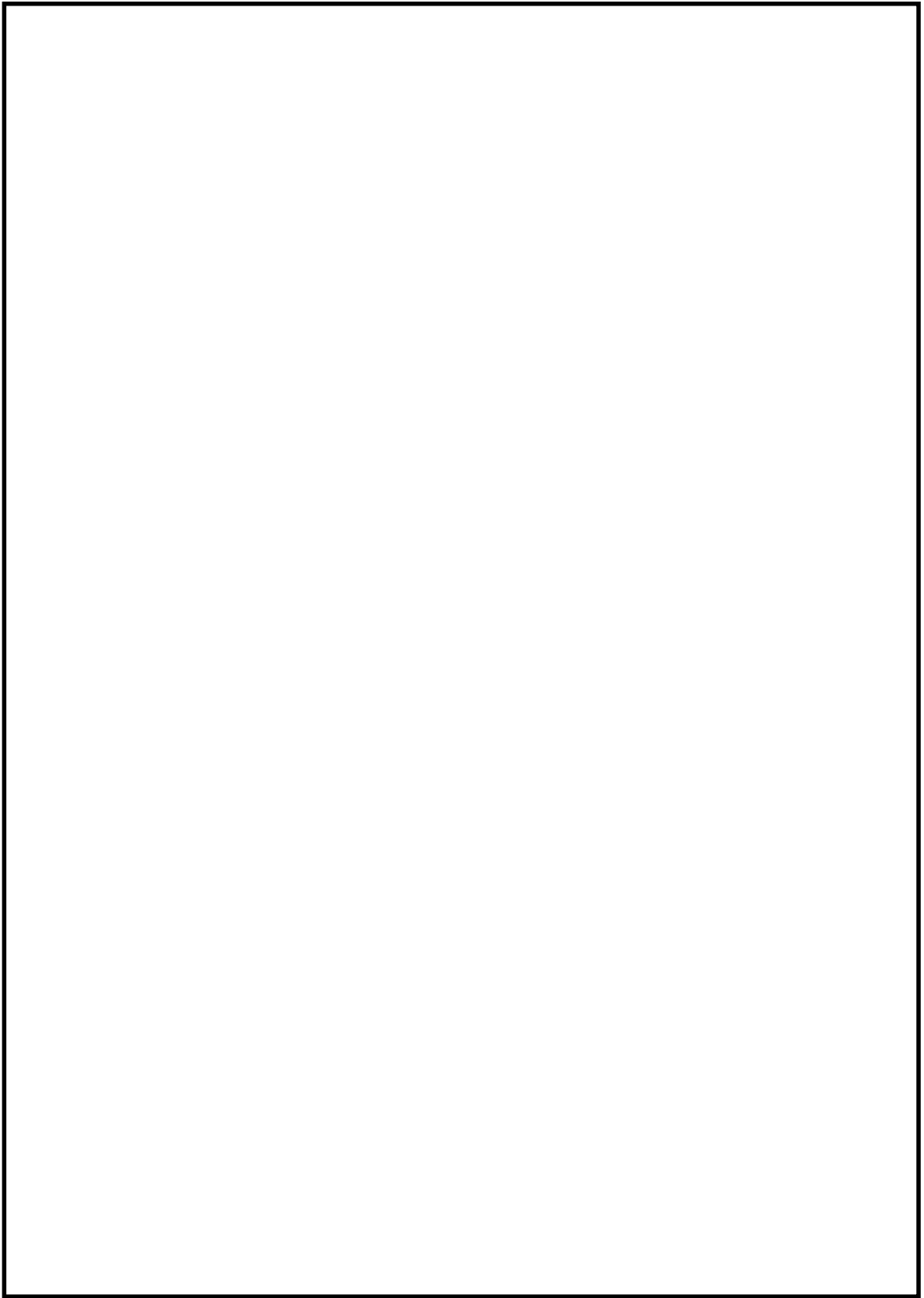
第3図 原子炉压力容器内気相平均温度の推移



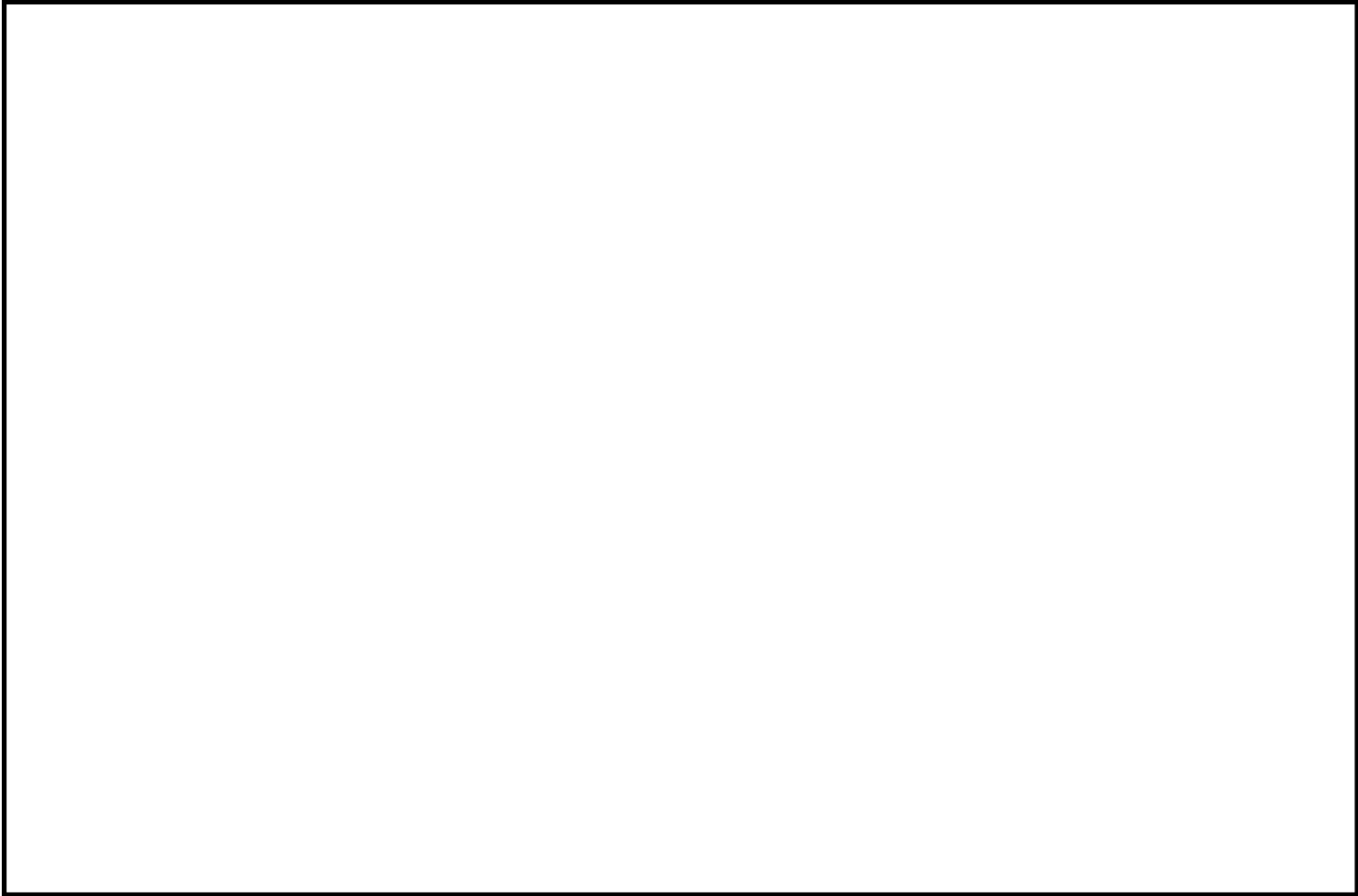
第4図 ドライウェル内気相平均温度の推移



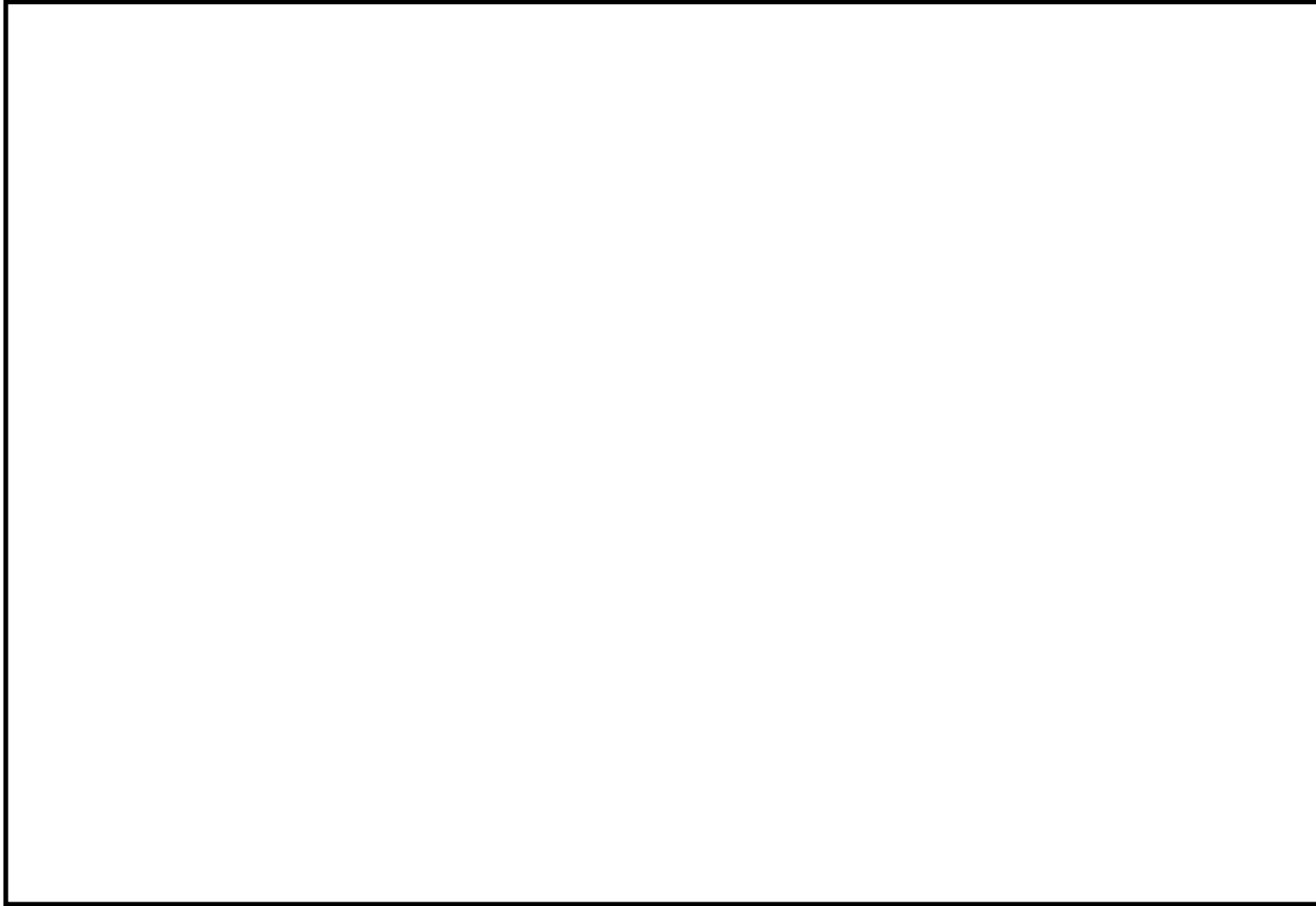
第 5 図 S R V 配置図及びモデル化範囲



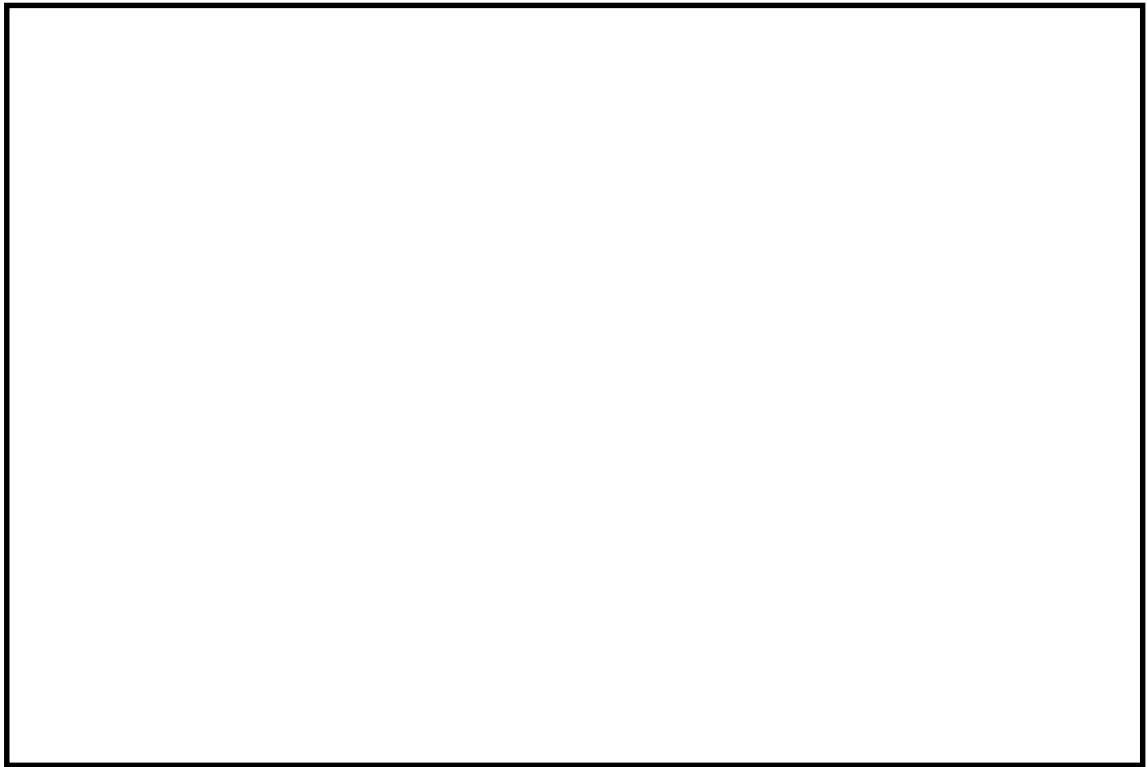
第 6 図 モデル図及び断面メッシュ図



第 7 図 定常解析結果（温度条件①バルブ B）



第 8 図 定常解析結果（温度条件①バルブ H）



下部コイルハウジング最高温度



ピストン部最高温度

第 9 図 非定常解析結果（温度条件②）

水の放射線分解を考慮した場合の格納容器過圧に対する影響について
(高压溶融物放出／格納容器雰囲気直接加熱)

1. はじめに

シビアアクシデント解析コードMAAPでは、水の放射線分解を考慮するモデルとなっていないことから、水の放射線分解による水素及び酸素の発生については、解析コードMAAPに基づく溶融炉心及び核分裂生成物の崩壊熱から放射線吸収割合及びG値を考慮して算出している（添付資料 3. 4. 1 参照）。

ここでは、解析コードMAAPでは考慮していない水の放射線分解により発生する水素及び酸素が、格納容器圧力に与える影響を評価する。

2. 評価結果

解析コードMAAPにより評価した結果、格納容器圧力が最高値の約 0. 47MPa[gage]を示す事象発生約 7. 4 時間後の格納容器内の非凝縮ガス（水素、酸素及び窒素）の物質量は約 $6. 2 \times 10^5$ mol である。

また、添付資料 3. 4. 1 に従い算出される水の放射線分解によって発生する水素及び酸素の物質量の和は、事象発生約 7. 4 時間後時点で約 $2. 7 \times 10^3$ mol 以下である。

以上から、解析コードMAAPで評価した非凝縮ガス（水素、酸素及び窒素）の物質量に対する、水の放射線分解によって発生する水素及び酸素の物質量の比は 1%未満であることから、水の放射線分解によって発生する水素及び酸素が格納容器圧力に与える影響は 5kPa[abs]未満であり、無視し得る程度と考えられる。

安定状態について（高圧溶融物放出／格納容器雰囲気直接加熱）

「高圧溶融物放出／格納容器雰囲気直接加熱」時の安定状態については以下のとおり。

格納容器安定状態：

重大事故等対処設備を用いた格納容器除熱機能（代替循環冷却系又は格納容器圧力逃がし装置）により、格納容器圧力及び雰囲気温度が安定又は低下傾向に転じ、また、溶融炉心・コンクリート相互作用によるペDESTAL（ドライウエル部）床面及び壁面の侵食が防止されるとともに、格納容器の除熱及び侵食の防止を継続するための設備がその後も機能維持できると判断され、かつ、必要な要員の不足や資源の枯渇等のあらかじめ想定される事象悪化のおそれがない場合、安定状態が確立されたものとする。

【安定状態の確立について】

代替循環冷却系による格納容器除熱により格納容器圧力及び雰囲気温度は安定又は低下傾向になり、格納容器雰囲気温度は 150℃を下回るとともに、格納容器下部注水系（常設）によるペDESTAL（ドライウエル部）注水及び代替循環冷却系による格納容器除熱により溶融炉心は冷却維持され、格納容器安定状態が確立される。

また、重大事故等対策時に必要な要員は確保可能であり、必要な水源、燃料及び電源を供給可能である。

【安定状態の維持について】

上記の格納容器破損防止対策により安定状態を確立できる。

代替循環冷却系を用いて又は残留熱除去系を復旧させ、除熱を行うことにより、安定状態の維持が可能となる。安定状態の維持に関する具体的な要件は以下のとおり。

- ① 格納容器除熱機能として代替循環冷却系の使用又は残留熱除去系復旧による冷却へ移行
- ② 格納容器内の水素及び酸素排出を目的とした格納容器ベント（窒素注入）並びに格納容器内の水素・酸素濃度の制御を目的とした可燃性ガス濃度制御系の復旧
- ③ 上記の安全機能の維持に必要な電源（外部電源）、冷却水等の確保
- ④ 長期的に維持される格納容器の状態（温度・圧力）に対し、適切な地震力に対する格納容器の頑健性の確保

解析コード及び解析条件の不確かさの影響評価について（高圧溶融物放出／格納容器雰囲気直接加熱）

第1表 解析コードにおける重要現象の不確かさが運転員等操作時間及び評価項目となるパラメータに与える影響(1/2)

| 分類 | 重要現象 | 解析モデル | 不確かさ | 運転員等操作時間に与える影響 | 評価項目となるパラメータに与える影響 |
|----------------|------------------|--|---|--|--|
| 炉心 | 崩壊熱 | 炉心モデル（原子炉出力及び崩壊熱） | 入力値に含まれる。 | 「解析条件を最確条件とした場合の運転員等操作時間及び評価項目となるパラメータに与える影響」にて確認。 | 「解析条件を最確条件とした場合の運転員等操作時間及び評価項目となるパラメータに与える影響」にて確認。 |
| | 燃料棒内温度変化 | 炉心モデル（炉心熱水力モデル） 溶融炉心の挙動モデル（炉心ヒートアップ） | TMI 事故解析における炉心ヒートアップ時の水素ガス発生、炉心領域での溶融進展状態について、TMI 事故分析結果と一致することを確認した。 CORA 実験解析における、燃料被覆管、制御棒及びチャンネルボックスの温度変化について、測定データと良く一致することを確認した。 炉心ヒートアップ速度の増加（被覆管酸化の促進）を想定し、仮想的な厳しい振り幅ではあるが、ジルコニウム-水反応速度の係数を2倍とした感度解析により影響を確認した。 | 炉心ヒートアップに関するモデルは、TMI 事故についての再現性及び CORA 実験についての再現性を確認している。 炉心ヒートアップの感度解析（ジルコニウム-水反応速度の係数についての感度解析）では、炉心溶融開始時間及び炉心下部プレナムへの溶融炉心移行の開始時間に対する感度は数分程度であり、影響は小さいことを確認している。 本評価事故シナシスでは、原子炉圧力容器破損までは重大事故等対処設備を含む全ての原子炉への注水機能に期待しないことで原子炉圧力容器破損に至ることを想定しており、最初に実施すべき操作は原子炉水位が燃料有効長底部から燃料有効長の20%上の位置に到達した時点の原子炉減圧操作であり、また、燃料被覆管温度等を操作開始の起点としている運転員等操作はないことから、運転員等操作時間に与える影響はない。 | 炉心ヒートアップに関するモデルは、TMI 事故についての再現性及び CORA 実験についての再現性を確認している。 炉心ヒートアップの感度解析（ジルコニウム-水反応速度の係数についての感度解析）では、炉心溶融開始時間及び炉心下部プレナムへの溶融炉心移行の開始時間への感度は数分程度であり、影響は小さいことを確認している。 本評価事故シナシスでは、原子炉水位が燃料有効長底部から燃料有効長の20%上の位置に到達した時点での運転員等操作による原子炉急速減圧によって速やかに原子炉圧力を2.0MPa[gage]以下に低減し、原子炉圧力容器破損時の原子炉圧力を2.0MPa[gage]以下に維持しているため、運転員等操作時間に与える影響はないことから、評価項目となるパラメータに与える影響はない。 |
| | 燃料棒表面熱伝達 | | <ul style="list-style-type: none"> ・TQUV、大破断 LOCA シナシスともに、炉心溶融の開始時刻への影響は小さい ・炉心下部プレナムへの溶融炉心移行の開始時刻は、ほぼ変化しない | | |
| | 燃料被覆管酸化 | | | | |
| | 燃料被覆管変形 | | | | |
| 沸騰・ボイド率変化 | 炉心モデル（炉心水位計算モデル） | TQUX シナシス及び中小破断LOCA シナシスに対して、MAAP コードと SAFER コードの比較を行い、以下の傾向を確認した。 ・MAAP コードでは SAFER コードで考慮している CCFL を取り扱っていないこと等から、水位変化に差異が生じたものの水位低下幅は MAAP コードの方が大きく、解析コード SAFER に対して保守的であり、その後の注水操作による燃料有効長頂部までの水位回復時刻は両コードで同等である | 原子炉水位挙動について原子炉圧力容器内のモデルが精緻である解析コード SAFER の評価結果との比較により水位低下幅は解析コード MAAP の評価結果の方が大きく、解析コード SAFER に対して保守的であることを確認している。このため、原子炉水位が燃料有効長底部から燃料有効長の20%上の位置に到達する時間が早まる可能性があるが、数分程度の差違であることから、運転員等操作時間に与える影響は小さい。 | 原子炉水位挙動について原子炉圧力容器内のモデルが精緻である解析コード SAFER の評価結果との比較により水位低下幅は解析コード MAAP の評価結果の方が大きく、解析コード SAFER に対して保守的であることを確認している。このため、原子炉水位が燃料有効長底部から燃料有効長の20%上の位置に到達する時間が早まる可能性があるが、数分程度の差違であり、原子炉急速減圧操作後に原子炉圧力は速やかに低下することから、評価項目となるパラメータに与える影響は小さい。 | |
| 気液分離（水位変化）・対向流 | | | | | |
| 原子炉圧力容器 | 冷却材放出（臨界流・差圧流） | 原子炉圧力容器モデル（破断流モデル） | 逃がし安全弁からの流量は、設計値に基づいて計算される。 | 逃がし安全弁からの流量は、設計に基づいて流量が計算されていることから不確かさは小さい。このため、事象進展に与える影響はないことから、運転員等操作時間に与える影響はない。 | 逃がし安全弁からの流量は、設計に基づいて計算されていることから不確かさは小さい。このため、原子炉急速減圧操作後の原子炉圧力の低下挙動に対する影響はないことから、評価項目となるパラメータに与える影響はない。 |

第1表 解析コードにおける重要現象の不確かさが運転員等操作時間及び評価項目となるパラメータに与える影響(2/2)

| 分類 | 重要現象 | 解析モデル | 不確かさ | 運転員等操作時間に与える影響 | 評価項目となるパラメータに与える影響 |
|--------------------|-------------------------|--------------------------------|--|--|--|
| | リロケーション | 溶融炉心の挙動モデル (リロケーション) | TMI 事故解析における炉心領域での溶融進展状態について、TMI 事故分析結果と一致することを確認した リロケーションの進展が早まることを想定し、炉心ノード崩壊のパラメータを低下させた感度解析により影響を確認した ・TQUV、大破断 LOCA シーケンスともに、炉心溶融時刻、原子炉圧力容器破損時刻への影響が小さいことを確認した | 溶融炉心の挙動モデルは TMI 事故についての再現性を確認している。 また、炉心ノード崩壊のパラメータを低下させた感度解析により原子炉圧力容器破損時間に与える影響は小さいことを確認している。 本評価事故シーケンスでは、原子炉圧力容器温度（下鏡部）を操作開始の起点としている運転員等操作はないことから、運転員等操作時間に与える影響はない。 | 溶融炉心の挙動モデルは TMI 事故についての再現性を確認している。また、炉心ノード崩壊のパラメータを低下させた感度解析により炉心溶融開始時間に与える影響は小さいことを確認している。 本評価事故シーケンスでは、原子炉圧力容器が破損する前に、十分な時間余裕をもって手動減圧により原子炉圧力を 2.0MPa[gage]以下に維持していることから、評価項目となるパラメータに与える影響はない。 |
| | 構造材との熱伝達 | | | | |
| 原子炉圧力容器 (炉心損傷後) | 原子炉圧力容器内 FCI (溶融炉心細粒化) | 溶融炉心の挙動モデル (下部プレナムでの溶融炉心挙動) | 原子炉圧力容器内 FCI に影響する項目として溶融ジェット径、エントレインメント係数及びデブリ粒子径をパラメータとして感度解析を行い、いずれについても、原子炉圧力容器破損時点での原子炉圧力に対する感度が小さいことを確認した。 | 下部プレナムでの溶融炉心の挙動に関する感度解析により、原子炉圧力容器破損時の原子炉圧力に与える影響は小さいことを確認している。 本評価事故シーケンスでは、原子炉圧力容器内 FCI を操作開始の起点としている運転員等操作はないことから、運転員等操作時間に与える影響はない。 | 下部プレナムでの溶融炉心の挙動に関する感度解析により、原子炉圧力容器破損時の原子炉圧力に与える影響は小さいことを確認している。 本評価事故シーケンスでは、原子炉圧力容器が破損する前に、十分な時間余裕をもって手動減圧により原子炉圧力を 2.0MPa[gage]以下に維持していることから、評価項目となるパラメータに与える影響はない。 |
| | 原子炉圧力容器内 FCI (デブリ粒子熱伝達) | | | | |
| | 下部プレナムでの溶融炉心の熱伝達 | | | | |
| | 原子炉圧力容器破損 | 溶融炉心の挙動モデル (原子炉圧力容器破損モデル) | 原子炉圧力容器破損に影響する項目として制御棒駆動機構ハウジング溶接部の破損判定に用いる最大ひずみ(しきい値)をパラメータとした感度解析を行い、原子炉圧力容器破損時刻が約 13 分早まることを確認した。ただし、仮想的な厳しい条件に基づく解析結果であり、実機における影響は十分小さいと判断される。 | 制御棒駆動機構ハウジング溶接部の破損判定に用いる最大ひずみ(しきい値)に関する感度解析により最大ひずみを低下させた場合に原子炉圧力容器破損時間が早まることを確認している。 本評価事故シーケンスでは、原子炉圧力容器破損を操作開始の起点としている運転員等操作はないことから、運転員等操作時間に与える影響はない。 | 制御棒駆動機構ハウジング溶接部の破損判定に用いる最大ひずみ(しきい値)に関する感度解析により最大ひずみを低下させた場合に原子炉圧力容器破損が早まることを確認しているが、原子炉圧力容器破損(事象発生から約 4.5 時間後)に対して早まる時間は僅かであることから、評価項目となるパラメータに与える影響は小さい。 |

第2表 解析条件を最確条件とした場合に運転員等操作時間及び評価項目となるパラメータに与える影響(1/4)

| 項目 | 解析条件(初期条件, 事故条件及び機器条件)の不確かさ | | 条件設定の考え方 | 運転員等操作時間に与える影響 | 評価項目となるパラメータに与える影響 | |
|------|-----------------------------|--|---|--|---|---|
| | 解析条件 | 最確条件 | | | | |
| 初期条件 | 原子炉熱出力 | 3, 293MW | 約 3, 279MW～ 約 3, 293MW (実績値) | 定格原子炉熱出力として設定 | 最確条件とした場合には、原子炉停止後の崩壊熱が緩和される。最確条件とした場合の運転員等操作時間への影響は、原子炉停止後の崩壊熱にて説明する。 | 最確条件とした場合には、原子炉停止後の崩壊熱が緩和される。最確条件とした場合の評価項目となるパラメータに与える影響は、原子炉停止後の崩壊熱にて説明する。 |
| | 原子炉圧力 (圧力容器ドーム部) | 6. 93MPa[gage] | 約 6. 91MPa[gage]～ 約 6. 94MPa[gage] (実績値) | 定格原子炉圧力として設定 | 最確条件とした場合には、運転中の圧力変動により解析条件に対して変動を与え得るが、原子炉圧力は逃がし安全弁により制御されるため事象進展に及ぼす影響はないことから、運転員等操作時間に与える影響はない。 | 最確条件とした場合には、運転中の圧力変動により解析条件に対して変動を与え得るが、原子炉圧力は逃がし安全弁により制御されるため事象進展に及ぼす影響はなく、評価項目となるパラメータに与える影響はない。 |
| | 原子炉水位 | 通常運転水位 (セパレータスカート下 端から約+122cm～ +126cm) | 通常運転水位 約-4cm～約+6cm (セパレータスカート下 端から約+122cm～ +132cm) (実績値) | 通常運転時の原子炉水位として設定 | 最確条件とした場合には、ゆらぎにより解析条件に対して変動を与え得るが、ゆらぎの幅は事象発生後の水位低下量に対して非常に小さい。例えば、原子炉スクラム 10 分後までの崩壊熱による原子炉水位の低下量は、高圧が維持された状態でも通常運転水位から約 3m であるのに対してゆらぎによる水位低下量は約 4cm であり非常に小さい。したがって、事象進展に及ぼす影響は小さいことから、運転員等操作時間に与える影響は小さい。 | 最確条件とした場合には、ゆらぎにより解析条件に対して変動を与え得るが、ゆらぎの幅は事象発生後の水位低下量に対して非常に小さい。例えば、原子炉スクラム 10 分後までの崩壊熱による原子炉水位の低下量は、高圧が維持された状態でも通常運転水位から約 3m であるのに対してゆらぎによる水位低下量は約 4cm であり非常に小さい。したがって、事象進展に及ぼす影響は小さいことから、評価項目となるパラメータに与える影響は小さい。 |
| | 炉心流量 | 48, 300t/h (定格流量 (100%)) | 定格流量の 約 86%～約 104% (実績値) | 定格流量として設定 | 事象発生後早期に原子炉はスクラムするため、初期炉心流量が事象進展に及ぼす影響は小さいことから、運転員等操作時間に与える影響は小さい。 | 事象発生後早期に原子炉はスクラムするため、初期炉心流量が事象進展に及ぼす影響は小さいことから、評価項目となるパラメータに与える影響は小さい。 |
| | 燃料 | 9×9燃料 (A型) | 装荷炉心ごと | 9×9燃料(A型)と9×9燃料(B型)は、熱水力的な特性はほぼ同等であり、燃料棒最大線出力密度の保守性に包絡されることから、代表的に9×9燃料(A型)を設定 | 最確条件とした場合には、9×9燃料のA型又はB型の炉心となるか、それらの混在炉心となるが、いずれの型式も燃料の熱水力特性はほぼ同等であり、事象進展に及ぼす影響は小さいことから、運転員等操作時間に与える影響は小さい。 | 最確条件とした場合には、9×9燃料のA型又はB型の炉心となるか、それらの混在炉心となるが、いずれの型式も燃料の熱水力特性はほぼ同等であり、事象進展に及ぼす影響は小さいことから、評価項目となるパラメータに与える影響は小さい。 |
| | 原子炉停止後の崩壊熱 | ANSI/ANS-5. 1-1979 燃焼度 33GWd/t | ANSI/ANS-5. 1-1979 平均的燃焼度約 31GWd/t (実績値) | 1 サイクルの運転期間(13ヶ月)に調整運転期間(約1ヶ月)を考慮した運転期間に対応する燃焼度として設定 | 最確条件とした場合は、解析条件で設定している崩壊熱よりも小さくなるため、発生する蒸気量は少なくなり、原子炉水位の低下は緩和されるが、操作手順(原子炉水位に応じて急速減圧を実施すること)に変わりはないことから、運転員等操作時間に与える影響はない。 | 最確条件とした場合は、解析条件で設定している崩壊熱よりも小さくなるため、発生する蒸気量は少なくなり、原子炉水位の低下は緩和され、原子炉急速減圧操作の開始が遅くなるが、原子炉圧力容器破損も遅くなり、原子炉急速減圧操作後に原子炉圧力派速やかに低下することから、評価項目となるパラメータに与える影響はない。 |
| | 格納容器体積 (ドライウエル) | 5, 700m ³ | 5, 700m ³ (設計値) | 設計値 | 本シナリオは原子炉圧力容器内挙動を対象としていることから、格納容器側の条件により直接的な影響はない。 | 本シナリオは原子炉圧力容器内挙動を対象としていることから、格納容器側の条件により直接的な影響はない。 |
| | 格納容器体積 (サブプレッション・チェンバ) | 空間部： 4, 100m ³ 液相部： 3, 300m ³ | 空間部： 約 4, 092m ³ ～ 約 4, 058m ³ 液相部： 約 3, 308m ³ ～ 約 3, 342m ³ (実績値) | 設計値(通常運転時のサブプレッション・プール水位の下限値として設定) | | |
| | 真空破壊装置 | 3. 45kPa (ドライウエル-サブプレッション・チェンバ間差圧) | 3. 45kPa (ドライウエル-サブプレッション・チェンバ間差圧) (設計値) | 真空破壊装置の設定値 | | |

第2表 解析条件を最確条件とした場合に運転員等操作時間及び評価項目となるパラメータに与える影響(2/4)

| 項目 | 解析条件（初期条件、事故条件及び機器条件）の不確かさ | | 条件設定の考え方 | 運転員等操作時間に与える影響 | 評価項目となるパラメータに与える影響 |
|------|----------------------------|--------------------------|---|--|--|
| | 解析条件 | 最確条件 | | | |
| 初期条件 | サブプレッション・プール水位 | 6.983m (通常運転水位－4.7cm) | 約7.000m～ 約7.070m (実績値) | 通常運転時のサブプレッション・プール水位の下限値として設定 | 本シナリオは原子炉圧力容器内挙動を対象としていることから、格納容器側の条件により直接的な影響はない。 |
| | サブプレッション・プール水温度 | 32℃ | 約15℃～約32℃ (実績値) | 通常運転時のサブプレッション・プール水温度の上限値として設定 | |
| | 格納容器圧力 | 5kPa[gage] | 約2.2 kPa[gage]～ 約4.7kPa[gage] (実績値) | 通常運転時の格納容器圧力を包絡する値 | |
| | 格納容器雰囲気温度 | 57℃ | 約25℃～約58℃ (実績値) | 通常運転時の格納容器雰囲気温度（ドライウエル内ガス冷却装置の設計温度）として設定 | |
| | 外部水源の温度 | 35℃ | 35℃以下 | 年間の気象条件変化を包含する高めの水温を設定 | 本シナリオは原子炉圧力容器破損までは重大事故等対処設備を含む全ての原子炉への注水機能に期待しないことで原子炉圧力容器破損に至ることを想定しており、水温の影響はない。 |
| | 外部水源の容量 | 約8,600m ³ | 8,600m ³ 以上 (西側淡水貯水設備＋代替淡水貯槽) | 西側淡水貯水設備及び代替淡水貯槽の管理下限値を設定 | 管理値下限の容量として事象発生から7日後までに必要な容量を備えており、水源は枯渇しないことから運転員等操作時間に与える影響はない。 |
| | 燃料の容量 | 約1,010kL | 1,010kL以上 (軽油貯蔵タンク＋可搬型設備用軽油タンク) | 軽油貯蔵タンク及び可搬型設備用軽油タンクの管理下限値を設定 | 管理値下限の容量として事象発生から7日後までに必要な容量を備えており、燃料は枯渇しないことから運転員等操作時間に与える影響はない。 |

第2表 解析条件を最確条件とした場合に運転員等操作時間及び評価項目となるパラメータに与える影響(3/4)

| 項目 | | 解析条件(初期条件, 事故条件及び機器条件)の不確かさ | | 条件設定の考え方 | 運転員等操作時間に与える影響 | 評価項目となるパラメータに与える影響 |
|------|------------------------|--|-------------------------------|---|---|---|
| | | 解析条件 | 最確条件 | | | |
| 事故条件 | 起因事象 | 給水流量の全喪失 | — | 原子炉水位の低下の観点で厳しい事象を設定 | 起因事象として、原子炉水位の低下の観点でより厳しい事象であるLOCA等の原子炉冷却材圧力バウンダリ喪失を仮定した場合は、減圧操作が不要となる。 | 起因事象として、原子炉水位の低下の観点でより厳しい事象であるLOCA等の原子炉冷却材圧力バウンダリ喪失を仮定した場合は、減圧操作が不要となる。 |
| | 安全機能等の喪失に対する仮定 | 全交流動力電源喪失 高圧注水機能, 低圧注水機能及び原子炉圧力容器破損前の重大事故等対処設備による原子炉注水機能の喪失 | — | 非常用ディーゼル発電機等の機能喪失を想定し, 設定 高圧注水機能として原子炉隔離時冷却系及び高圧炉心スプレイ系, 低圧注水機能として残留熱除去系(低圧注水系)及び低圧炉心スプレイ系の機能喪失を設定するとともに, 原子炉圧力容器破損前の重大事故等対処設備による原子炉注水機能の喪失を設定 | — | — |
| | 外部電源 | 外部電源なし | — | 安全機能の喪失に対する仮定に基づき設定 ただし, 原子炉スクラムについては, 外部電源ありの場合を包絡する条件として, 機器条件に示すとおり設定 | — | — |
| | 高温ガスによる配管等のクリープ破損や漏えい等 | 考慮しない | 発生する可能性は否定できない | 原子炉圧力を厳しく評価するものとして設定 | 高温ガスによる配管等のクリープ破損や漏えい等が生じる原因として炉心ヒートアップによる影響と推定できるが, 本シナリオではクリープ破損や漏えい等の発生前に原子炉水位が燃料有効長底部から燃料有効長の20%上の位置に到達した時点で原子炉急速減圧操作を実施することから, 事象進展に与える影響は小さく, 運転員等操作時間に与える影響はない。 (添付資料3.2.4) | 高温ガスによる配管等のクリープ破損や漏えい等が生じる原因として炉心ヒートアップによる影響と推定できるが, 本シナリオではクリープ破損や漏えい等の発生前に原子炉水位が燃料有効長底部から燃料有効長の20%上の位置に到達した時点で原子炉急速減圧操作を実施することから, 事象進展に与える影響は小さく, 評価項目となるパラメータに与える影響はない。 (添付資料3.2.4) |
| 機器条件 | 原子炉スクラム信号 | 原子炉水位低(レベル3)信号 | タービン蒸気加減弁急速閉信号又は原子炉保護系電源喪失 | 短時間であるが原子炉熱出力が維持される厳しい設定として, 外部電源喪失時に伴うタービン蒸気加減弁急閉及び原子炉保護系電源喪失による原子炉スクラムについては保守的に考慮せず, 原子炉水位低(レベル3)信号にてスクラムするものとして設定 | 最確条件とした場合には, 原子炉熱出力の低下が早くなるため, 発生する水蒸気量は少なくなることから, 原子炉水位低下は緩和されるが, 操作手順(原子炉水位に応じて急速減圧を実施すること)に変わりはなくことから, 運転員等操作時間に与える影響はない。 | 最確条件とした場合には, 原子炉熱出力の低下が早くなるため, 発生する水蒸気量は少なくなり, 原子炉水位の低下は緩和され, 原子炉急速減圧操作の開始が遅くなるが, 原子炉圧力容器破損も遅くなり, 原子炉急速減圧操作開始後に原子炉圧力は速やかに低下することから, 評価項目となるパラメータに与える影響はない。 |
| | 主蒸気隔離弁 | 事象発生と同時に閉止 | 原子炉保護系電源喪失又は原子炉水位異常低下(レベル2)信号 | 短時間であるが主蒸気が格納容器内に維持される厳しい設定として, 原子炉保護系電源喪失及び原子炉水位異常低下(レベル2)信号による主蒸気隔離弁閉止については保守的に考慮せず, 事象発生と同時に主蒸気隔離弁閉止するものとして設定 | 最確条件とした場合には, 逃がし安全弁を通じて格納容器内に放出される蒸気流量が減少するが, 原子炉圧力は逃がし安全弁により制御されるため事象進展に及ぼす影響はないことから, 運転員等操作時間に与える影響はない。 | 最確条件とした場合には, 逃がし安全弁を通じて格納容器内に放出される蒸気流量が減少するが, 原子炉圧力は逃がし安全弁により制御されるため事象進展に及ぼす影響はないことから, 評価項目となるパラメータに与える影響は小さい。 |
| | 再循環系ポンプ | 事象発生と同時に停止 | 電源喪失によるポンプ停止(事象発生と同時に) | 事象進展に与える影響は軽微であることから, 全交流動力電源喪失によるポンプ停止を踏まえて設定 | 解析条件と最確条件は同様であり, 事象進展に与える影響はないことから, 運転員等操作時間に与える影響はない。 | 解析条件と最確条件は同様であり, 事象進展に与える影響はないことから, 評価項目となるパラメータに与える影響はない。 |

第2表 解析条件を最確条件とした場合に運転員等操作時間及び評価項目となるパラメータに与える影響(4/4)

| 項目 | | 解析条件（初期条件，事故条件及び機器条件）の不確かさ | | 条件設定の考え方 | 運転員等操作時間に与える影響 | 評価項目となるパラメータに与える影響 |
|------|-----------|--|--|---|--|---|
| | | 解析条件 | 最確条件 | | | |
| 機器条件 | 逃がし安全弁 | 安全弁機能 7.79 MPa[gage]～ 8.31MPa[gage] 385.2 t/h (1個当たり)～ 410.6t/h (1個当たり) | 安全弁機能 7.79MPa[gage]～ 8.31MPa[gage] 385.2t/h (1個当たり)～ 410.6t/h (1個当たり) (設計値) | 逃がし安全弁の安全弁機能の設計値として設定 | 解析条件と最確条件は同様であり，事象進展に影響はないことから，運転員等操作時間に与える影響はない。 | 解析条件と最確条件は同様であり，事象進展に影響はないことから，評価項目となるパラメータに与える影響はない。 |
| | | 逃がし安全弁（自動減圧機能）の2個を開することによる原子炉急速減圧 | 逃がし安全弁（自動減圧機能）の2個を開することによる原子炉急速減圧 | 逃がし安全弁の設計値に基づく蒸気流量及び原子炉圧力の関係から設定 | 解析条件と最確条件は同様であり，事象進展に影響はないことから，運転員等操作時間に与える影響はない。 | 解析条件と最確条件は同様であり，事象進展に影響はないことから，評価項目となるパラメータに与える影響はない。 |
| | 代替循環冷却系 | 原子炉圧力容器破損前 格納容器スプレイ： 250m ³ /h | 原子炉圧力容器破損前 格納容器スプレイ： 250m ³ /h | 格納容器圧力及び雰囲気温度抑制に必要なスプレイ流量を考慮して設定 | 本シナリオは原子炉圧力容器内挙動を対象としていることから，格納容器側の条件による直接的な影響はない。 | 本シナリオは原子炉圧力容器内挙動を対象としていることから，格納容器側の条件による直接的な影響はない。 |
| | 緊急用海水系 | 代替循環冷却系から緊急用海水系への伝熱容量： 約14MW (サブプレッション・プール水温度100℃，海水温度32℃において) | 代替循環冷却系から緊急用海水系への伝熱容量： 約14MW以上 (サブプレッション・プール水温度100℃，海水温度32℃以下において) | 熱交換器の設計性能に基づき，代替循環冷却系の除熱性能を厳しくする観点で，過去の実績を包含する高めの海水温度を設定 | | |
| | 可搬型窒素供給装置 | 総注入流量：200m ³ /h ・窒素198m ³ /h ・酸素2m ³ /h ガス温度：30℃ | 総注入流量：200m ³ /h ・窒素198m ³ /h ・酸素2m ³ /h ガス温度：0～58℃ | 総注入流量は格納容器内の酸素濃度上昇抑制に必要な流量として設定 酸素注入流量は純度99vol%を考慮して残り全てを酸素として設定 ガス温度は気象条件を考慮して設定 | 解析条件の不確かさとして，ゆらぎにより解析条件に対して変動を与え得る。30℃より高い場合は，格納容器雰囲気温度が上昇する可能性があるが，本評価事故シナリオでは，格納容器雰囲気温度を起点としている運転員等操作はないことから，運転員等操作時間に与える影響はない。30℃未満の場合は，注入される窒素の密度が大きくなり窒素注入開始後の格納容器圧力の上昇が速くなるが，操作手順（格納容器圧力0.31MPa[gage]到達後に窒素注入を停止すること）に変わりはないことから，運転員等操作時間に与える影響は小さい。 | 解析条件の不確かさとして，ゆらぎにより解析条件に対して変動を与え得る。30℃より高い場合は，格納容器雰囲気温度が上昇する可能性があるが，窒素注入は事象発生から約84時間後に開始するため，代替循環冷却系による格納容器減圧及び除熱操作によって格納容器雰囲気は除熱されており，窒素温度は格納容器雰囲気温度よりも低いことから，窒素注入によって格納容器雰囲気温度が上昇することはない。30℃未満の場合は，注入される窒素の密度が大きくなり窒素注入開始後の格納容器圧力の上昇が速くなるが，操作手順（格納容器圧力0.31MPa[gage]到達後に窒素注入を停止すること）に変わりはないことから，評価項目となるパラメータに与える影響はない。 |

第3表 運転員等操作時間に与える影響、評価項目となるパラメータに与える影響及び操作時間余裕(1/3)

| 項目 | | 解析条件（操作条件）の不確かさ | | 操作の不確かさ要因 | 運転員等操作時間に与える影響 | 評価項目となるパラメータに与える影響 | 操作時間余裕 | 訓練実績等 |
|------|---|--|-------------------------------|--|--|---|---|---|
| | | 解析条件 | 条件設定の考え方 | | | | | |
| 操作条件 | 原子炉急速減圧操作 | 原子炉水位が燃料有効長底部から燃料有効長の20%上の位置に到達した時点（事象発生から約38分後） | 炉心損傷後の酸化反応の影響緩和を考慮し設定 | <p>【認知】 原子炉水位が燃料有効長底部から燃料有効長の20%上野位置に到達するまでには事象発生から約38分の時間余裕があり、原子炉水位は事故時の重要監視パラメータとして継続監視しているため、認知に大幅な時間遅れを生じることが考えにくい。よって、認知遅れによる操作開始時間に与える影響はなし。</p> <p>【要員配置】 中央制御室での操作のみであり、当直運転員は中央制御室に常駐していることから、操作開始時間に与える影響はなし。</p> <p>【移動】 中央制御室での操作のみであり、当直運転員は中央制御室に常駐していることから、操作開始時間に与える影響はなし。</p> <p>【操作所要時間】 原子炉急速減圧操作は制御盤の操作スイッチによる操作のため、操作開始時間に与える影響はなし。</p> <p>【他の並列操作有無】 当該操作に対応する当直運転員に他の並列操作はなく、操作開始時間に与える影響はなし。</p> <p>【操作の確実さ】 中央制御室の制御盤の操作スイッチによる簡易な操作のため、誤操作は起こりにくく、そのため誤操作等により操作時間が長くなる可能性は低い。</p> | <p>原子炉水位が燃料有効長底部から燃料有効長の20%上の位置に到達するまでには事象発生から約38分の時間余裕があり、また、原子炉急速減圧操作は原子炉水位の低下傾向を監視しながらあらかじめ準備が可能であり、実態の操作開始時間は解析上の設定とほぼ同等であるため、操作開始時間に与える影響は小さいことから、運転員等操作時間に与える影響も小さい。</p> <p>当該操作は、解析コード及び解析条件（操作条件を除く）の不確かさにより操作開始時間は遅れる可能性があるが、中央制御室で行う作業であり、他の操作との重複もないことから、他の操作に与える影響はない。</p> | <p>実態の操作開始時間は解析上の設定とほぼ同等であることから、評価項目となるパラメータに与える影響は小さい。</p> | <p>原子炉急速減圧操作については、原子炉圧力容器破損までに完了する必要があるが、原子炉圧力容器破損までの時間は事象発生から約4.5時間あり、操作開始時間（事象発生から約38分後）に対して余裕があるため、準備時間が確保できることから、時間余裕がある。</p> | <p>中央制御室における操作のため、シミュレータにて訓練実績を取得。 訓練では、原子炉水位が燃料有効長底部から燃料有効長の20%上の位置に到達後、1分で原子炉急速減圧操作を開始。 想定で意図している運転操作が実施可能なことを確認した。</p> |
| | 緊急用海水系による冷却水の確保操作及び代替循環冷却系による格納容器減圧及び除熱操作 | 事象発生90分後 | 緊急用海水系及び代替循環冷却系の操作所要時間を踏まえて設定 | <p>【認知】 中央制御室にて外部電源受電及び非常用ディーゼル発電機の非常用高圧系統の電源回復ができない場合、早期の電源回復不可と判断し、これにより緊急用海水系の起動準備を開始する手順としている。そのため、認知遅れにより操作開始時間に与える影響はなし。</p> <p>【要員配置】 中央制御室内での操作のみであり、当直運転員は中央制御室に常駐していることから、操作開始時間に与える影響はなし。</p> <p>【移動】 中央制御室での操作のみであり、当直運転員は中央制御室に常駐していることから、操作開始時間に与える影響はなし。</p> <p>【操作所要時間】 中央制御室における操作は、ポンプ起動、系統構成にかかる時間として緊急用海水系の起動に20分、代替循環冷却系の起動に35分を想定しており、操作時間に余裕を確保している。</p> <p>【他の並列操作有無】 当該操作に対応する当直運転員に他の並列操作はなく、操作開始時間に与える影響はなし。</p> <p>【操作の確実さ】 中央制御室の制御盤のスイッチによる簡易な操作のため、誤操作は起こりにくく、そのため誤操作等により操作時間が長くなる可能性は低い。</p> | <p>代替循環冷却系運転は事象発生90分後に開始することとしているが、時間余裕を含めて設定されているため操作の不確かさが操作開始時間に与える影響は小さいことから、運転員等操作時間に与える影響は小さい。また、本操作の操作開始時間は、操作所要時間を踏まえて解析上の想定時間を設定したものであり、実態の操作開始時間が早まる可能性があるが、状況判断から代替循環冷却系運転までは一連の操作として実施し、同一の運転員による並列操作はなく、運転員等操作時間に与える影響も小さい。</p> | <p>操作開始時間が早まった場合には、本操作も早まる可能性があり、格納容器圧力及び雰囲気温度を早期に低下させる可能性があることから、評価項目となるパラメータに対する余裕は大きくなる。</p> | <p>格納容器除熱開始までの時間は操作所要時間を踏まえて解析上の想定時間を設定したものであり、時間余裕があるが、本操作が大幅に遅れるような事態になった場合でも、原子炉圧力容器破損に至るまでの時間は事象発生から約4.5時間であり、約3時間の余裕があることから、時間余裕がある。</p> | <p>中央制御室における操作のため、シミュレータ（模擬操作含む。）にて訓練実績を取得。 訓練では緊急用海水系起動に約16分。代替循環冷却系起動に約27分。 想定している範囲内で意図している運転操作が実施可能であることを確認した。</p> |

第3表 運転員等操作時間に与える影響、評価項目となるパラメータに与える影響及び操作時間余裕(2/3)

| 項目 | 解析条件(操作条件)の不確かさ | | 操作の不確かさ要因 | 運転員等操作時間に与える影響 | 評価項目となるパラメータに与える影響 | 操作時間余裕 | 訓練実績等 | |
|------|---|---|---------------------------------|---|---|---|---|--|
| | 解析条件 | 条件設定の考え方 | | | | | | |
| 操作条件 | 代替格納容器納容器スプレイ冷却系(常設)による格納容器冷却操作(原子炉压力容器破損後) | 原子炉压力容器破損6分後に開始(約4.6時間後) | 原子炉压力容器破損の判断及び操作実施に必要な時間を考慮して設定 | <p>【認知】</p> <p>原子炉压力容器の破損は、原子炉压力容器下鏡部温度が300℃に到達したこと等をもって破損兆候を検知し、格納容器下部水温の温度上昇又は指示値喪失によって原子炉压力容器破損を判断するものであり、解析上の認知にかかる時間としては5分を想定している。格納容器下部水温は破損兆候の検知によって継続監視するパラメータであり、温度上昇又は指示値喪失による原子炉压力容器破損の判断は速やかに実施できるものであるため、認知に大幅な遅れが生じることは考えにくい。よって、認知遅れにより操作開始時間に与える影響はなし。</p> <p>【要員配置】</p> <p>中央制御室内での操作のみであり、当直運転員は中央制御室に常駐していることから、操作開始時間に与える影響はなし。</p> <p>【移動】</p> <p>中央制御室内での操作のみであり、当直運転員は中央制御室に常駐していることから、操作開始時間に与える影響はなし。</p> <p>【操作所要時間】</p> <p>中央制御室内における格納容器スプレイは、注入弁1弁の開操作による注水であり、1操作に1分間を想定している。当該操作は、中央制御室の制御盤の操作スイッチによる操作のため、操作時間に与える影響はなし。</p> <p>【他の並列操作有無】</p> <p>当該操作に対応する当直運転員に他の並列操作はなく、操作開始時間に与える影響はなし。</p> <p>【操作の確実さ】</p> <p>中央制御室の制御盤のスイッチによる簡易な操作のため、誤操作は起こりにくく、そのため誤操作等により操作時間が長くなる可能性は低い。</p> | <p>原子炉压力容器破損までに事象発生から約4.5時間の時間余裕があり、また、原子炉压力容器下鏡部温度が300℃に到達したこと等をもって破損兆候を検知し、格納容器下部水温の温度上昇又は指示値喪失によって原子炉压力容器破損を判断し、格納容器スプレイを実施することとしており、実態の操作開始時間は解析上の設定とほぼ同等であり、操作開始時間に与える影響は小さい。当該操作は、解析コード及び解析条件(操作条件を除く)の不確かさにより操作開始時間は遅れる可能性があるが、中央制御室での操作のみであり、当直運転員は中央制御室に常駐していること、また、当該操作に対応する当直運転員に他の並列操作はないことから、操作時間に与える影響はない。</p> <p>(添付資料3.2.2)</p> | <p>実態の操作開始時間は解析上の設定とほぼ同等であることから、評価項目となるパラメータに与える影響は小さい。</p> | <p>原子炉压力容器破損までの時間は事象発生から約4.5時間後であり、また、溶融炉心落下後にベDESTAL(ドライウエル部)注水が行われなかった場合においても、溶融炉心落下前に張られた水が溶融炉心の崩壊熱及びジルコニウム-水反応による発熱により蒸発するまでには約0.3時間の時間余裕がある。</p> <p>(添付資料3.2.14)</p> | <p>中央制御室における操作のため、シミュレータにて訓練実績を取得。</p> <p>訓練では、条件成立を前提として約1分間で代替格納容器納容器スプレイ冷却系(常設)による格納容器冷却を開始。</p> <p>想定で意図している運転操作が実施可能なことを確認した。</p> |
| | 格納容器下部注水系(常設)によるベDESTAL(ドライウエル部)注水操作 | 代替格納容器スプレイ冷却系(常設)による格納容器冷却操作(原子炉压力容器破損後)開始から1分後に開始(約4.6時間後) | 操作実施に必要な時間を考慮して設定 | <p>【認知】</p> <p>原子炉压力容器の破損は、原子炉压力容器下鏡部温度が300℃に到達したこと等をもって破損兆候を検知し、格納容器下部水温の温度上昇又は指示値喪失によって原子炉压力容器破損を判断するものであり、解析上の認知にかかる時間としては5分を想定している。格納容器下部水温は破損兆候の検知によって継続監視するパラメータであり、温度上昇又は指示値喪失による原子炉压力容器破損の判断は速やかに実施できるものであるため、認知に大幅な遅れが生じることは考えにくい。よって、認知遅れにより操作開始時間に与える影響はなし。</p> <p>【要員配置】</p> <p>中央制御室内での操作のみであり、当直運転員は中央制御室に常駐していることから、操作開始時間に与える影響はなし。</p> <p>【移動】</p> <p>中央制御室内での操作のみであり、当直運転員は中央制御室に常駐していることから、操作開始時間に与える影響はなし。</p> <p>【操作所要時間】</p> <p>中央制御室内におけるベDESTAL(ドライウエル部)への注水は、注入弁1弁の開操作による注水であり、1操作に1分間を想定している。当該操作は、中央制御室の制御盤の操作スイッチによる操作のため、操作時間に与える影響はなし。</p> <p>【他の並列操作有無】</p> <p>当該操作に対応する当直運転員に他の並列操作はなく、操作開始時間に与える影響はなし。</p> <p>【操作の確実さ】</p> <p>中央制御室の制御盤のスイッチによる簡易な操作のため、誤操作は起こりにくく、そのため誤操作等により操作時間が長くなる可能性は低い。</p> | <p>原子炉压力容器破損までに事象発生から約4.5時間の時間余裕があり、また、原子炉压力容器温度(下鏡部)が300℃に到達したこと等をもって破損兆候を検知し、格納容器下部水温の温度上昇又は指示値喪失によって原子炉压力容器破損を判断し、注水操作を実施することとしており、実態の操作開始時間は解析上の設定とほぼ同等であり、操作開始時間に与える影響は小さい。当該操作は、解析コード及び解析条件(操作条件を除く)の不確かさにより操作開始時間は遅くなる可能性があるが、中央制御室での操作のみであり、当直運転員は中央制御室に常駐していること、また、当該操作に対応する運転員に他の並列操作はないことから、操作時間に与える影響はない。</p> <p>(添付資料3.2.2)</p> | <p>実態の操作開始時間は解析上の設定とほぼ同等であることから、評価項目となるパラメータに与える影響は小さい。</p> | <p>原子炉压力容器破損までの時間は事象発生から約4.5時間後であり、また、溶融炉心落下後にベDESTAL(ドライウエル部)注水が行われなかった場合においても、溶融炉心落下前に張られた水が溶融炉心の崩壊熱及びジルコニウム-水反応による発熱により蒸発するまでには約0.3時間の時間余裕がある。</p> <p>(添付資料3.2.14)</p> | <p>中央制御室における操作のため、シミュレータにて訓練実績を取得。</p> <p>訓練では、条件成立を前提として約1分間で格納容器下部注水系(常設)による注水を開始。</p> <p>想定で意図している運転操作が実施可能なことを確認した。</p> |

第3表 運転員等操作時間に与える影響、評価項目となるパラメータに与える影響及び操作時間余裕 (3/3)

| 項目 | 解析条件 (操作条件) の不確かさ | | 操作の不確かさ要因 | 運転員等操作時間に与える影響 | 評価項目となるパラメータに与える影響 | 操作時間余裕 | 訓練実績等 |
|------|----------------------------|--------------------------------|--|---|---|--|---|
| | 解析条件 | 条件設定の考え方 | | | | | |
| 操作条件 | 可搬型窒素供給装置を用いた格納容器内への窒素注入操作 | 格納容器内酸素濃度が 4.0vol% (ドライ条件) 到達時 | 格納容器内酸素濃度がベント基準である 4.3vol% (ドライ条件) 到達を防止する観点で設定 | 格納容器内への窒素注入の実施基準である格納容器内酸素濃度 4.0vol% (ドライ条件) 到達は事象発生から約 167 時間後であるのに対し、可搬型窒素供給装置の移動及びホース敷設等は格納容器内酸素濃度が 3.5vol% (ドライ条件) 到達時 (事象発生から約 124 時間後) に開始し約 3 時間で準備完了するため、十分な余裕時間があることから、操作開始時間に与える影響は小さい。 | 格納容器内への窒素注入の実施基準である格納容器内酸素濃度 4.0vol% (ドライ条件) 到達は事象発生から約 167 時間後であるのに対し、可搬型窒素供給装置の移動及びホース敷設等は格納容器内酸素濃度が 3.5vol% (ドライ条件) 到達時 (事象発生から約 124 時間後) に開始し約 3 時間で準備完了するため、十分な余裕時間があることから、操作開始時間に与える影響は小さい。 | 格納容器内への窒素注入の実施基準である格納容器内酸素濃度 4.0vol% (ドライ条件) 到達は事象発生から約 167 時間後であるのに対し、可搬型窒素供給装置の移動及びホース敷設等は格納容器内酸素濃度が 3.5vol% (ドライ条件) 到達時 (事象発生から約 124 時間後) に開始し約 3 時間で準備完了するため、十分な余裕時間があることから、時間余裕がある。 | 格納容器内への窒素注入は、想定所要時間 180 分のところ、訓練実績等により約 176 分に実施可能なことを確認した。 |
| | タンクローリによる燃料給油操作 | 事象発生から 167 時間以降、適宜 | 可搬型窒素供給装置への燃料給油操作は、解析条件ではないが、解析で想定している操作の成立や継続に必要な操作・作業各機器の使用開始時間を踏まえて設定 | 可搬型窒素供給装置への燃料給油操作開始までの時間は、事象発生から約 167 時間あり十分な時間余裕がある。 | - | - | - |

代替循環冷却系による原子炉注水を考慮しない場合の影響評価について

1. はじめに

格納容器破損モード「高圧溶融物放出／格納容器雰囲気直接加熱」に対する格納容器破損防止対策の有効性評価においては、原子炉圧力容器破損後の事象進展を評価する観点より、原子炉圧力容器破損まで設計基準事故対処設備の非常用炉心冷却系及び原子炉隔離時冷却系のみならず、重大事故等対処設備を含む全ての低圧注水機能が失われている状態を仮定しており、原子炉圧力容器破損後に代替循環冷却系による原子炉注水を開始するものとしている。

一方で、一度機能喪失した設備の復旧には、ある程度時間を要することが考えられる。ここでは、念のため原子炉圧力容器が破損した以降においても重大事故等対処設備を含めた原子炉注水を考慮しない場合の影響を感度解析により確認する。

2. 感度解析条件

第1表に本評価の感度解析条件を示す。

第1表 感度解析条件（代替循環冷却系）

| 基本ケース (原子炉注水あり) | 感度解析ケース (原子炉注水を考慮しない) |
|---|---|
| 総循環流量：250m ³ /h ・ 250m ³ /hの流量で格納容器へスプレイ (原子炉圧力容器破損前) ・ 150m ³ /hの流量で格納容器へスプレイ 及び 100m ³ /hの流量で原子炉へ注水 (原子炉圧力容器破損後) | 総循環流量：250m ³ /h ・ 250m ³ /hの流量で格納容器へスプレイ |

3. 感度解析結果

第2表及び第1図から第15図に、原子炉圧力容器破損後の原子炉注水を考慮しない場合の感度解析結果を基本ケースと併せて示す。

格納容器圧力及び格納容器雰囲気温度の最高値を比較した場合、基本ケースで約0.47MPa[gage]及び約151°Cであるのに対し、感度解析ケースでは約0.47MPa[gage]及び約150°Cであるため、原子炉圧力容器破損後に原子炉注水を考慮しない場合も、格納容器圧力及び格納容器雰囲気温度に与える影響は小さい。

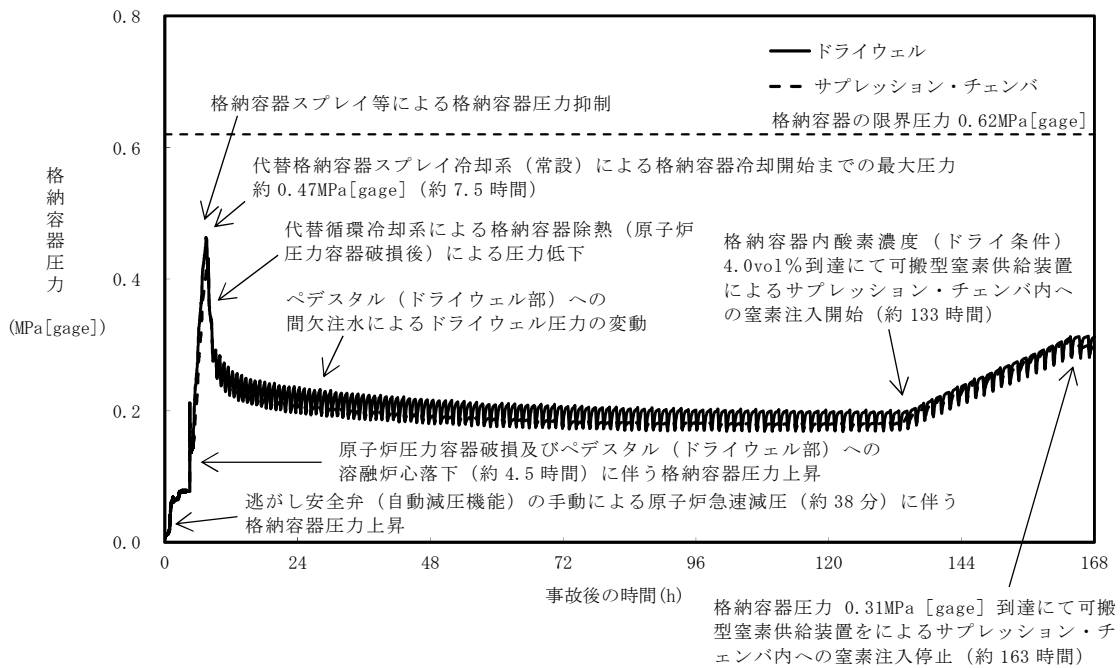
また、ペDESTAL（ドライウェル部）の壁面及び床面のコンクリートの侵食量は、基本ケース及び感度解析ケースともに、0cmであり、原子炉注水の有無の影響はない。

サプレッション・プール水位については、感度解析ケースでは格納容器下部注水系（常設）によるペDESTAL（ドライウェル部）注水により徐々に上昇するが、格納容器圧力逃がし装置による格納容器除熱操作の判断基準である通常水位+6.5mに7日間は到達しない。

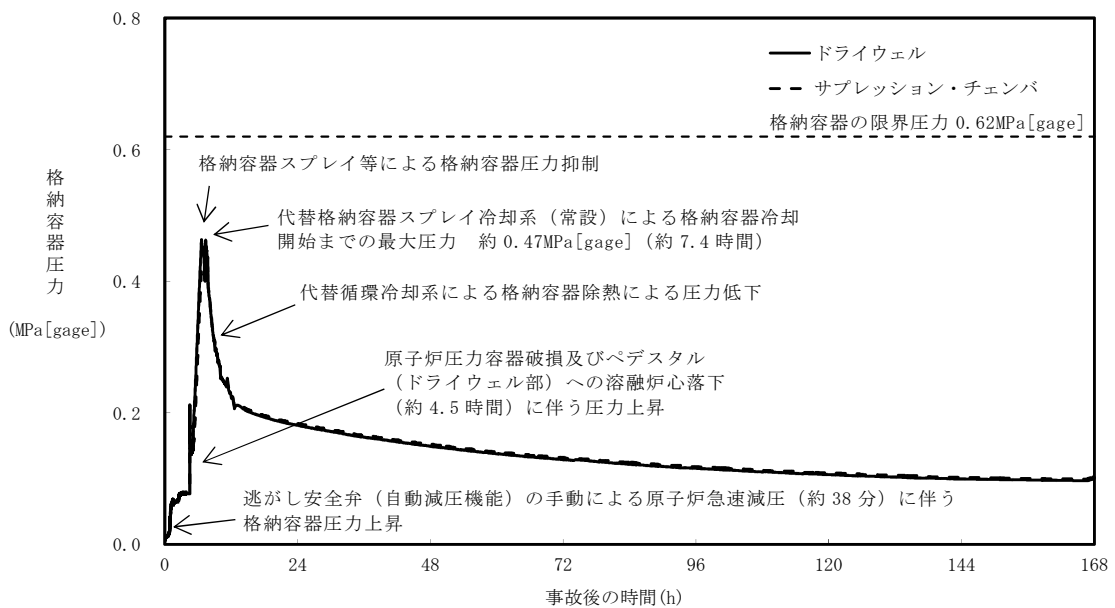
格納容器内水素濃度及び酸素濃度については、感度解析ケースにおいてもジルコニウム-水反応によって水素濃度は13vol%を大きく上回るが、可搬型窒素供給装置による格納容器内への窒素注入を事象発生後約133時間より開始することで、酸素濃度は可燃限界濃度である5vol%を下回るため、格納容器内での水素燃焼は発生しない。

第 2 表 感度解析結果

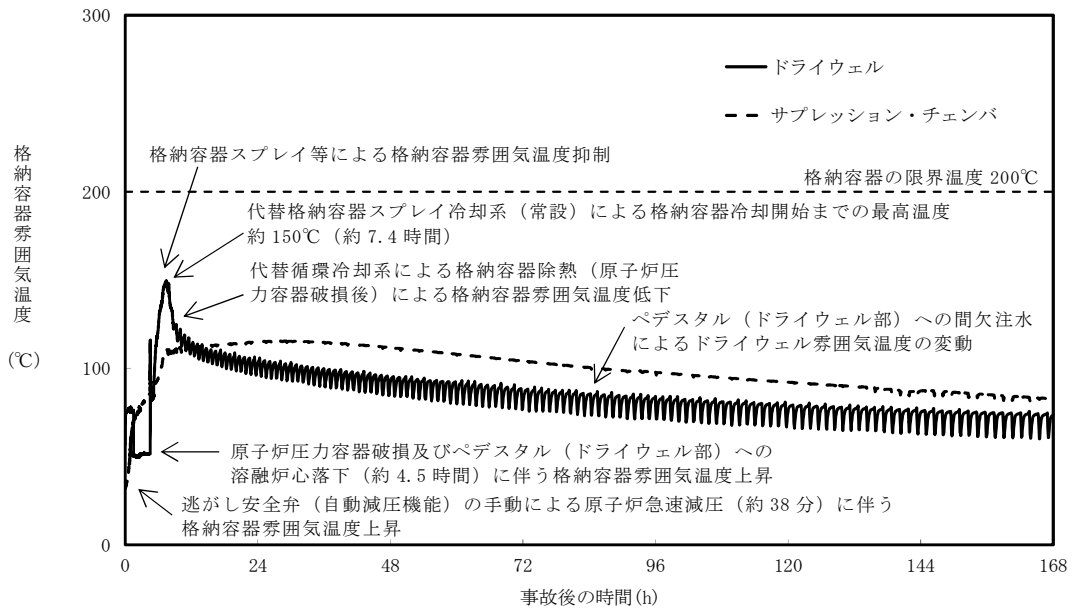
| 項 目 | 基本ケース | 感度解析ケース |
|-----------------------|-------------------------------|-------------------------------|
| 格納容器圧力（最高値） | 約 0.47MPa[gage] （約 7.4 時間） | 約 0.47MPa[gage] （約 7.5 時間） |
| 格納容器雰囲気温度（最高値） | 約 151℃ （約 7.4 時間） | 約 150℃ （約 7.4 時間） |
| コンクリート侵食量 （壁面及び床面） | 0cm | 0cm |



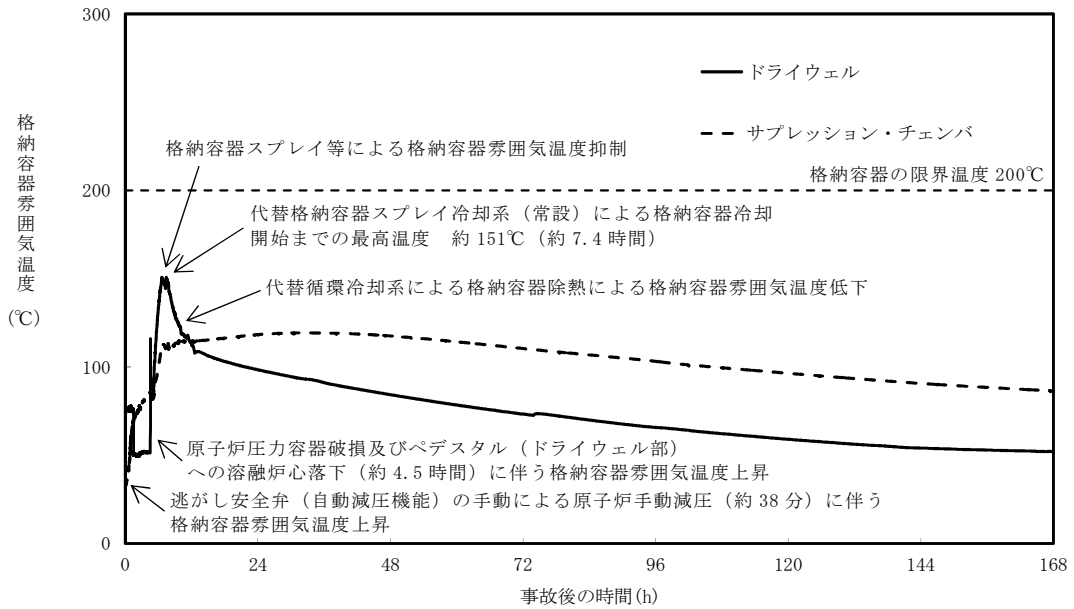
第 1 図 格納容器圧力の推移 (感度解析ケース)



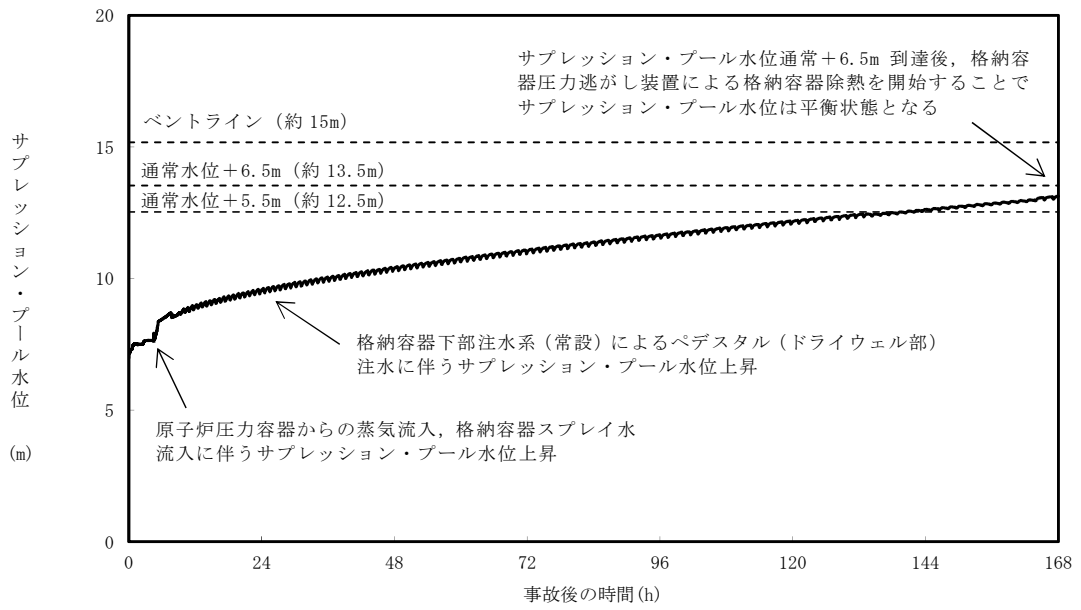
第 2 図 格納容器圧力の推移 (基本ケース)



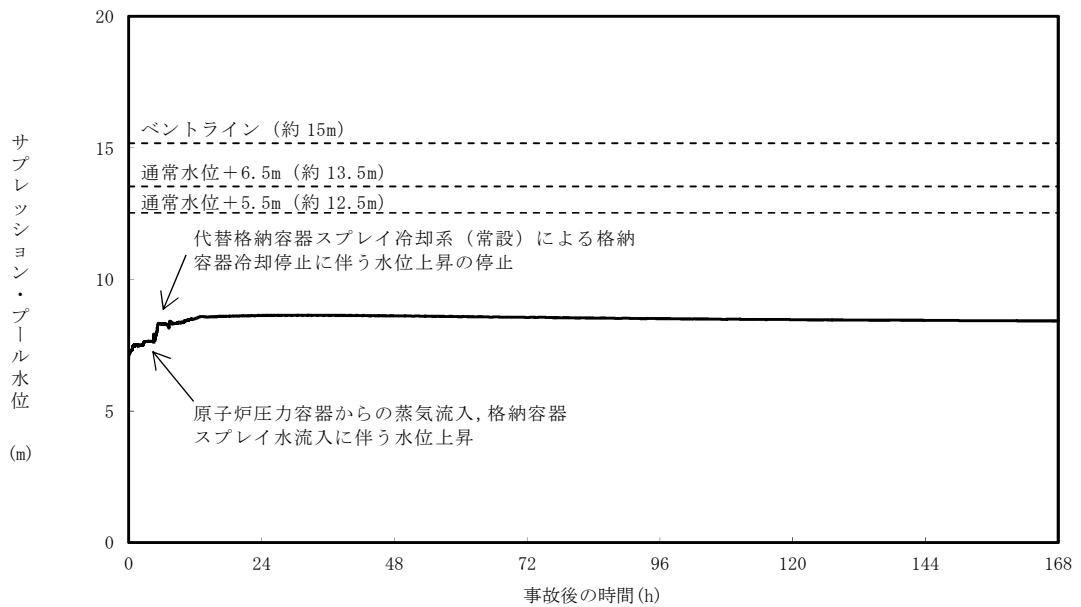
第 3 図 格納容器雰囲気温度の推移 (感度解析ケース)



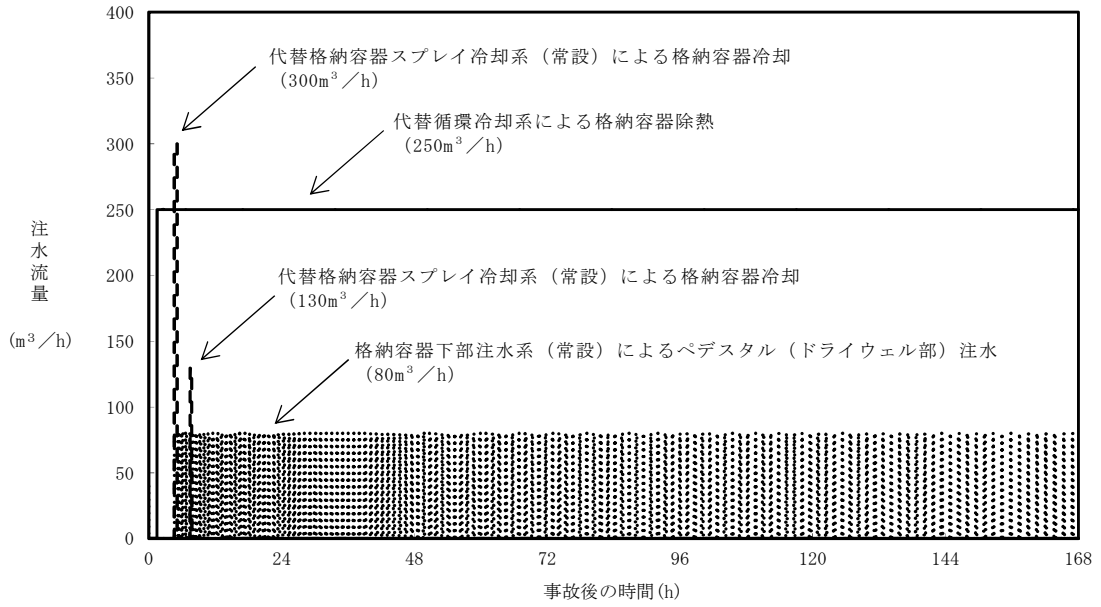
第 4 図 格納容器雰囲気温度の推移 (基本ケース)



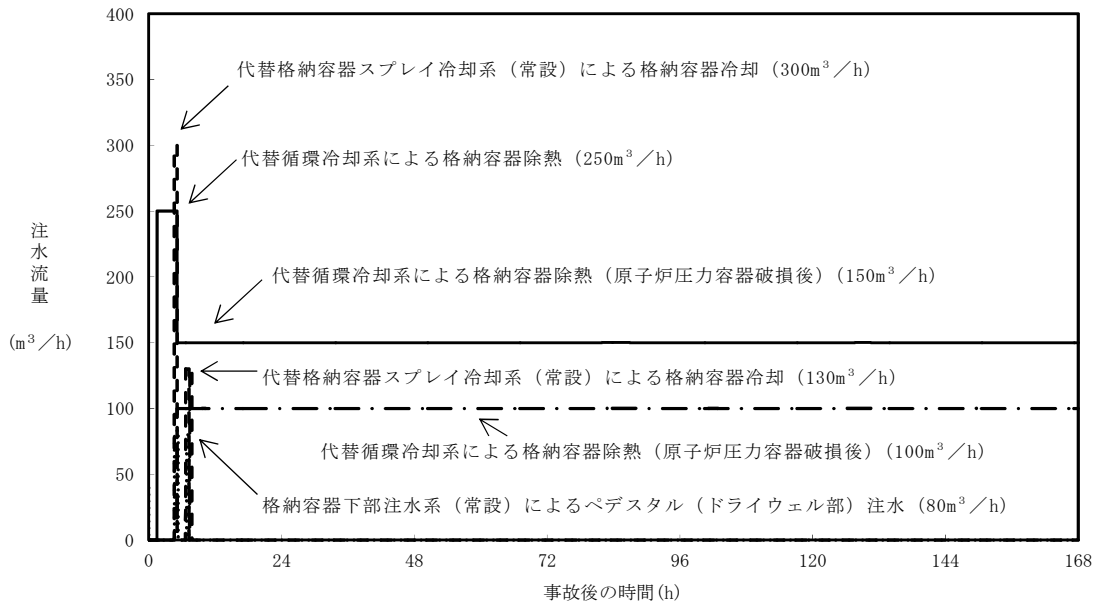
第5図 サプレッション・プール水位の推移（感度解析ケース）



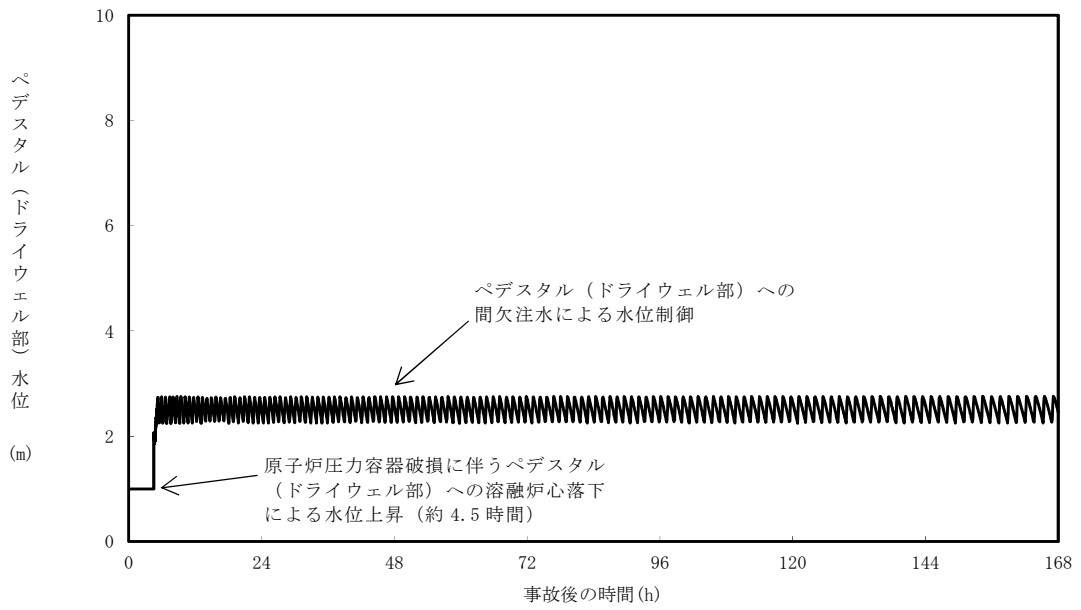
第6図 サプレッション・プール水位の推移（基本ケース）



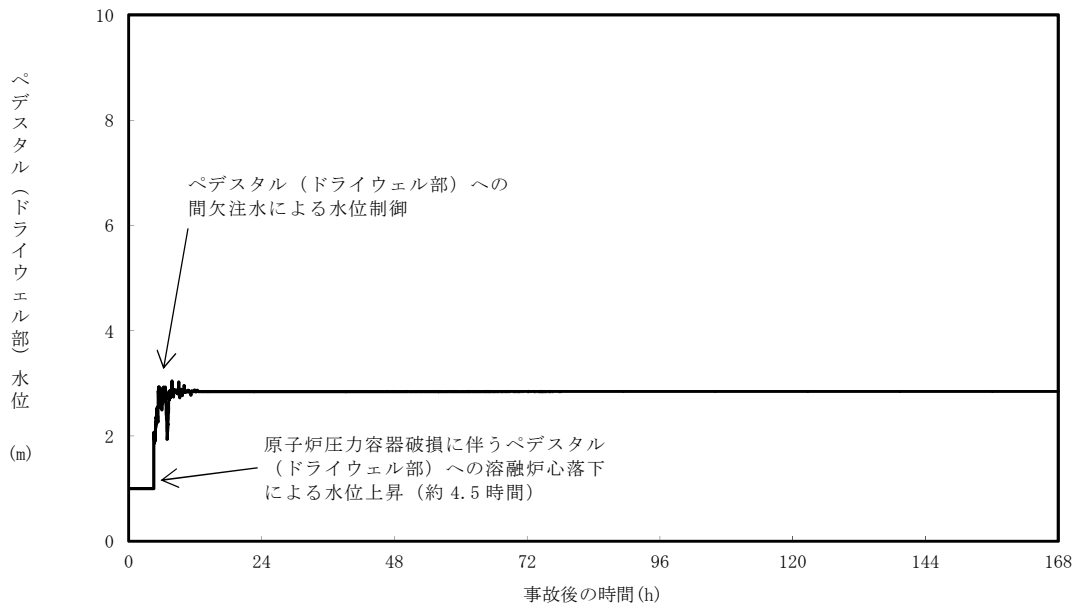
第 7 図 注水流量の推移（感度解析ケース）



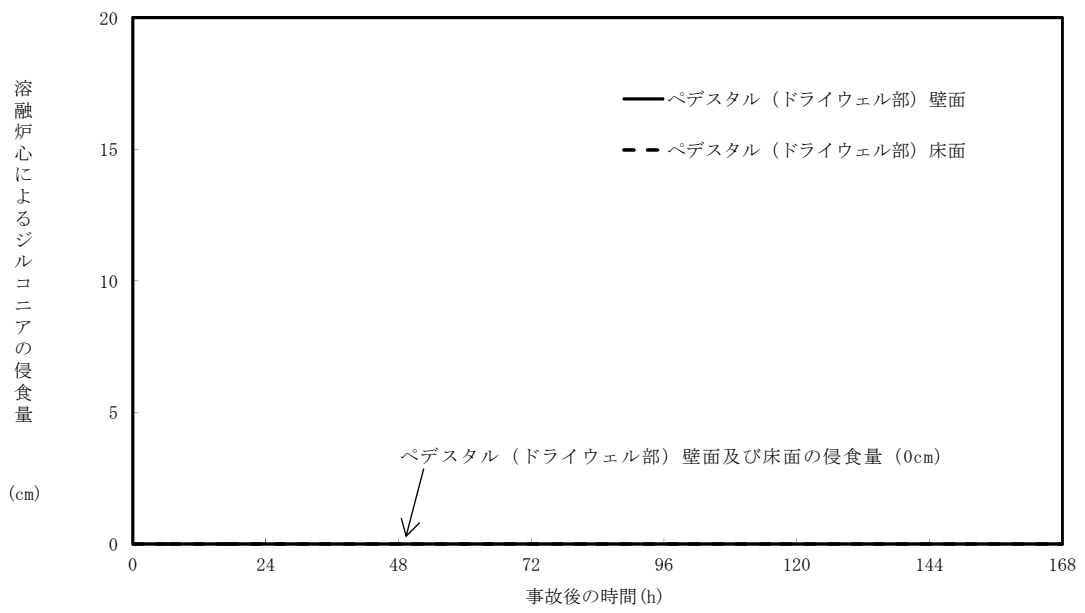
第 8 図 注水流量の推移（基本ケース）



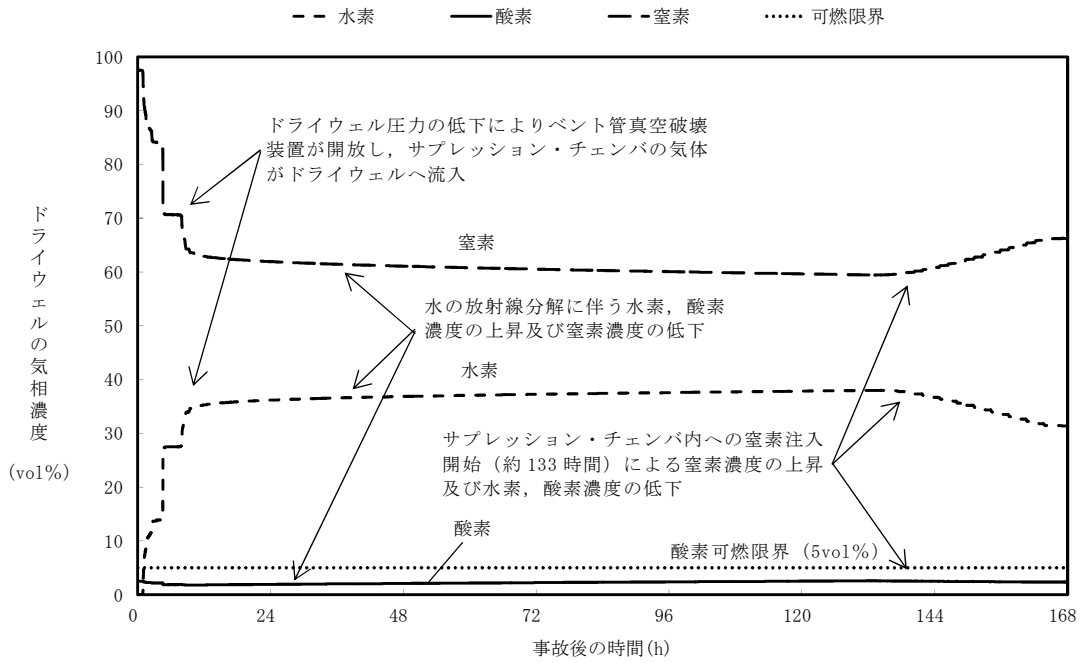
第9図 ペDESTAL（ドライウエル部）の水位の推移（感度解析ケース）



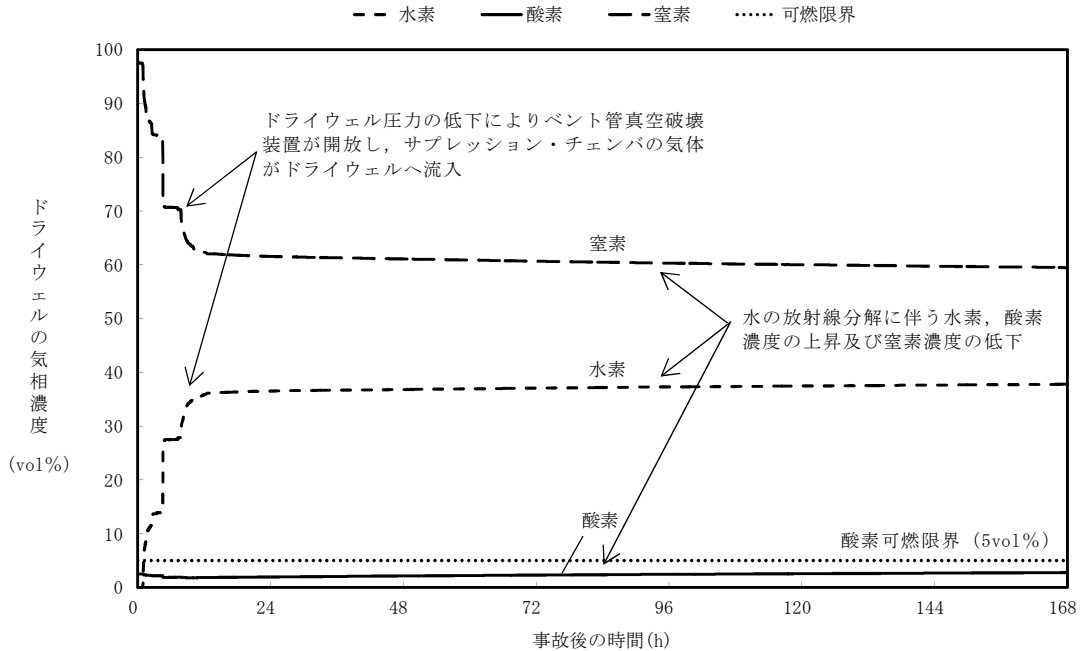
第10図 ペDESTAL（ドライウエル部）の水位の推移（基本ケース）



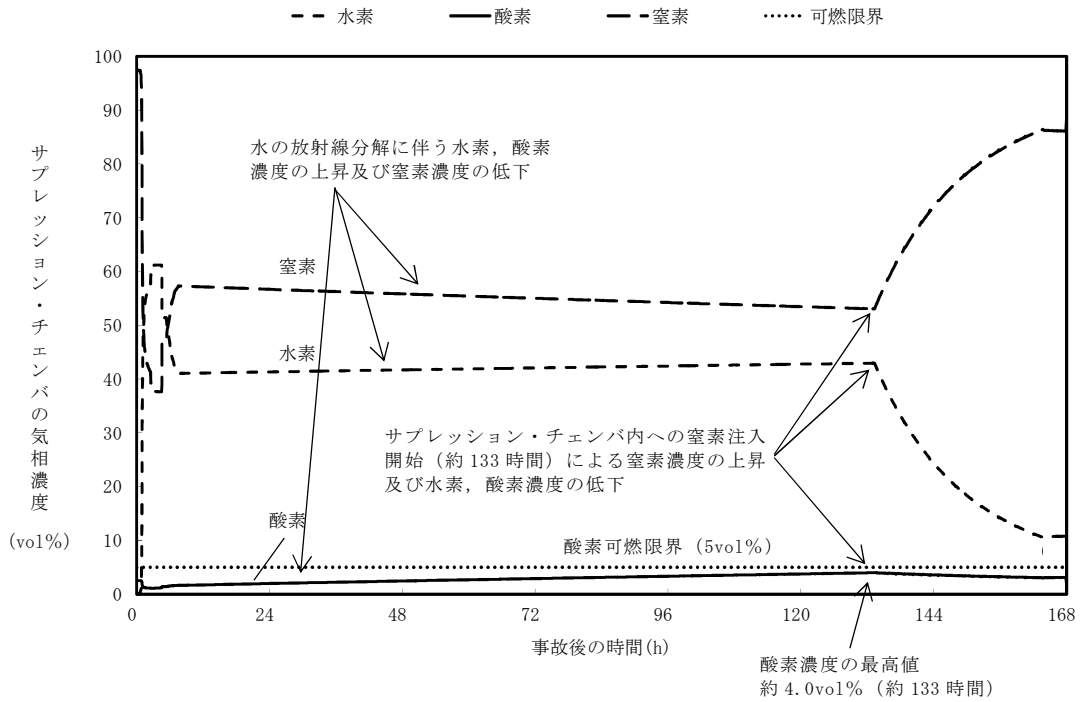
第 11 図 ペDESTAL (ドライウエル部) の壁面及び床面の
コンクリート侵食量の推移 (感度解析ケース)



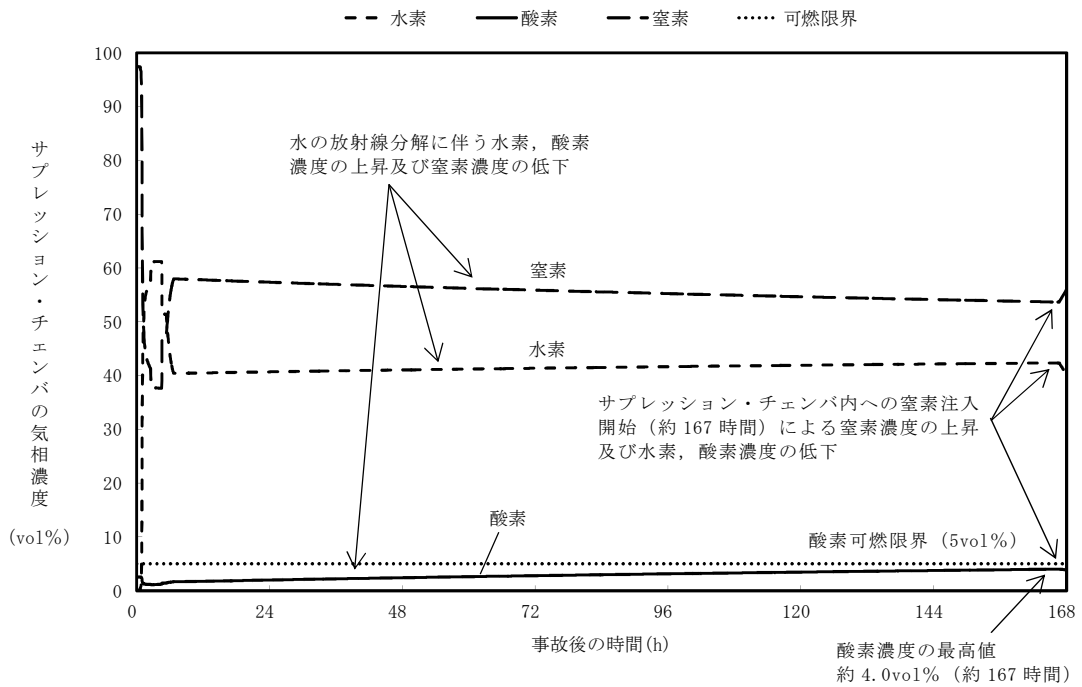
第 12 図 ドライウエルの気相濃度の推移 (ドライ条件) (感度解析ケース)



第 13 図 ドライウエルの気相濃度の推移 (ドライ条件) (基本ケース)



第 14 図 サプレッション・チェンバの気相濃度の推移（ドライ条件）
（感度解析ケース）



第 15 図 サプレッション・チェンバの気相濃度の推移（ドライ条件）
（基本ケース）

7 日間における水源の対応について
(高圧溶融物放出 / 格納容器雰囲気直接加熱)

1. 水源に関する評価

① 淡水源 (有効水量)

- ・ 代替淡水貯槽 : 約 4,300m³

2. 水使用パターン

① 常設低圧代替注水系ポンプを用いた代替格納容器スプレイ冷却系 (常設) による格納容器冷却

原子炉圧力容器破損後、代替淡水貯槽を水源とした常設低圧代替注水系ポンプを用いた代替格納容器スプレイ冷却系 (常設) による格納容器冷却を実施する。格納容器圧力が低下傾向に転じた後は、格納容器圧力 0.465MPa[gage] 到達で冷却開始、0.400MPa[gage] で停止の操作を継続する。

② 常設低圧代替注水系ポンプを用いた格納容器下部注水系 (常設) によるペDESTAL (ドライウェル部) 注水

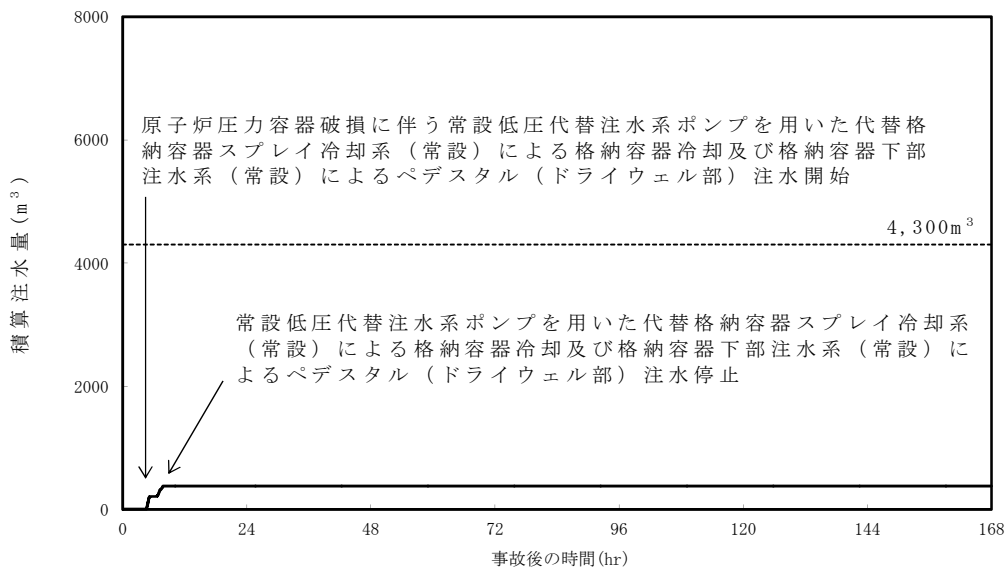
原子炉圧力容器破損後、代替淡水貯槽を水源とした常設低圧代替注水系ポンプを用いた格納容器下部注水系 (常設) によるペDESTAL (ドライウェル部) 注水を実施する。その後、ペDESTAL (ドライウェル部) に落下した溶融炉心を冠水維持させるため、格納容器下部水位 2.25m 以下でペDESTAL (ドライウェル部) 注水を開始、2.75m 到達で停止の操作を継続する。

3. 時間評価

格納容器冷却等によって、代替淡水貯槽の水量は減少する。

事象発生 90 分後までに代替循環冷却系による格納容器除熱を実施し、代替格納容器スプレイ冷却系（常設）による格納容器冷却等を停止するため、代替淡水貯槽の水量の減少は停止する。

この間の代替淡水貯槽の使用水量は合計約 380m³ である。



第 1 図 外部水源による積算注水量

（高圧溶融物放出／格納容器雰囲気直接加熱）

4. 水源評価結果

時間評価の結果から、7 日間の対応において合計約 380m³ の水が必要となるが、代替淡水貯槽に約 4,300m³ の水を保有することから必要水量を確保している。このため、安定して冷却を継続することが可能である。

7 日間における燃料の対応について
 (高圧溶融物放出 / 格納容器雰囲気直接加熱)

保守的に全ての設備が、事象発生直後から 7 日間燃料を消費するものとして
 評価する。

| 時系列 | 合計 | 判定 |
|--|-----------------------------|--|
| 常設代替高圧電源装置 5 台起動 (燃料消費率は保守的に定格出力運転時を想定) $420.0\text{L/h (燃料消費率)} \times 168\text{h (運転時間)} \times 5 \text{ 台 (運転台数)}$ = 約 352.8kL | 7 日間の 軽油消費量 約 352.8kL | 軽油貯蔵タンクの容量は約 800kL であり、7 日間対応可能 |
| 可搬型窒素供給装置用電源車 1 台起動 (格納容器内への窒素注入) $110.0\text{L/h (燃料消費率)} \times 168\text{h (運転時間)} \times 1 \text{ 台 (運転台数)}$ = 約 18.5kL | 7 日間の 軽油消費量 約 18.5kL | 可搬型設備用軽油タンクの容量は約 210kL であり、7 日間対応可能 |
| 緊急時対策所用発電機 1 台起動 (燃料消費率は保守的に定格出力運転時を想定) $411\text{L/h (燃料消費率)} \times 168\text{h (運転時間)} \times 1 \text{ 台 (運転台数)}$ = 約 70.0kL | 7 日間の 軽油消費量 約 70.0kL | 緊急時対策所用発電機燃料油貯蔵タンクの容量は約 75kL であり、7 日間の対応可能 |

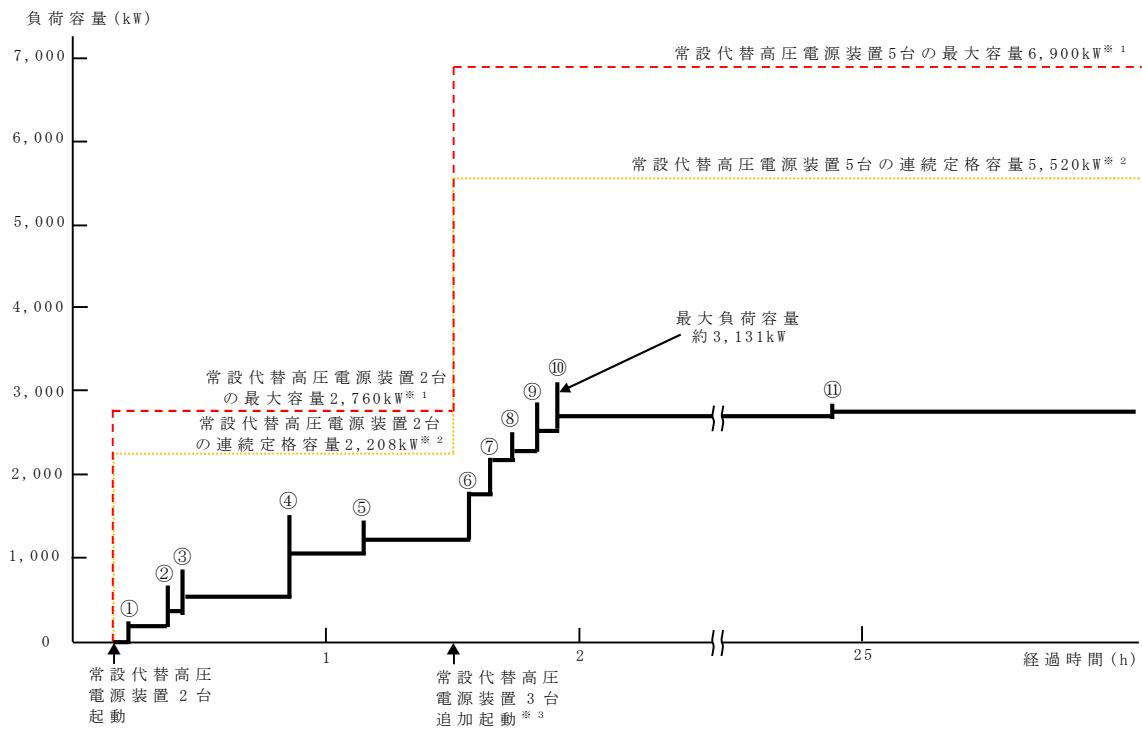
常設代替交流電源設備の負荷

(高圧溶融物放出／格納容器雰囲気直接加熱)

主要負荷リスト

【電源設備：常設代替高圧電源装置】

| 起動順序 | 主要機器名称 | 負荷容量 (kW) | 負荷起動時の最大負荷容量 (kW) | 定常時の連続最大負荷容量 (kW) |
|------|--|------------------------------------|-------------------|-------------------|
| ① | 緊急用母線自動起動負荷 ・緊急用直流125V充電器 ・その他必要な負荷 | 約120 約97 | 約245 | 約217 |
| ② | 常設低圧代替注水系ポンプ | 約190 | 約702 | 約407 |
| ③ | 常設低圧代替注水系ポンプ | 約190 | 約892 | 約597 |
| ④ | 緊急用海水ポンプ その他必要な負荷 | 約510 約4 | 約1,579 | 約1,111 |
| ⑤ | 代替循環冷却系ポンプ | 約140 | 約1,468 | 約1,251 |
| ⑥ | 非常用母線2C自動起動負荷 ・直流125V充電器A ・非常用照明 ^{※4} ・120/240V計装用主母線盤2A ・その他必要な負荷 ・その他不要な負荷 ^{※4} | 約79 約108 約134 約14 約234 | 約1,833 | 約1,820 |
| ⑦ | 非常用母線2D自動起動負荷 ・直流125V充電器B ・非常用照明 ^{※4} ・120/240V計装用主母線盤2B ・その他不要な負荷 ^{※4} | 約60 約86 約134 約135 | 約2,240 | 約2,235 |
| ⑧ | 非常用ガス再循環系排風機 非常用ガス処理系排風機 その他必要な負荷 停止負荷 | 約55 約8 約95 約-52 | 約2,529 | 約2,341 |
| ⑨ | 中央制御室換気系空調機ファン 中央制御室換気系フィルタ系ファン その他必要な負荷 | 約45 約8 約183 | 約2,918 | 約2,577 |
| ⑩ | 蓄電池室排気ファン その他必要な負荷 | 約8 約154 | 約3,131 | 約2,739 |
| ⑪ | 代替燃料プール冷却系ポンプ | 約30 | 約2,848 | 約2,769 |



常設代替高圧電源装置の負荷積算イメージ

- ※1 常設代替高圧電源装置定格出力運転時の容量 (1,380kW×運転台数=最大容量)
- ※2 常設代替高圧電源装置定格出力運転時の80%の容量 (1,380kW×0.8×運転台数=連続定格容量)
- ※3 非常用母線の負荷への給電に伴い、負荷容量が増加するため、常設代替高圧電源装置を3台追加起動する
- ※4 有効性評価で期待していないが電源供給される不要な負荷

原子炉圧力容器破損時の溶融炉心の冠水評価について

1. はじめに

原子炉圧力容器（以下「R P V」という。）破損により落下した溶融炉心（以下「デブリ」という。）は、事前に水張りされていたペDESTAL（ドライウエル部）の水中に落下し、冠水する。その後、R P V破損から7分後に格納容器下部注水系（常設）によるペDESTAL（ドライウエル部）注水を実施することとしているが、7分間に水が蒸発することから、デブリの冠水状態の評価を実施する。

また、ポロシティが冠水状態に与える影響についても評価した。

2. 評価対象事故シーケンス

R P V破損する有効性評価の評価事故シーケンスとして、過渡事象時に注水機能が喪失する事象（以下「過渡事象」という。）を選定している。ここでは、有効性評価のベースケースとなる過渡事象について、デブリの冠水状態の評価を実施する。

また、起因事象をL O C Aとした場合には事象進展が異なることから、R P V破損時間が早くなる大破断L O C A時に注水機能が喪失する事象（以下「L O C A事象」という。）についても、同様にデブリの冠水状態の評価を実施する。

3. デブリ冠水評価

デブリの堆積形状を第1図に示す。ポロシティを考慮したデブリ堆積高さ H_{debri} は式(1)で評価する。

$$H_{\text{debri}} = (V_m \times (1 - \Phi_{\text{ent}}) + V_s + V_m \times \Phi_{\text{ent}} \div (1 - P)) \div S_{fz} \quad (1)$$

V_m : 溶融物体積[約 36m³]

V_s : ペDESTAL (ドライウエル部) 内構造物体積[約 4m³] (別添 1 参照)

Φ_{ent} : R i c o u - S p a l d i n g 相関式に基づく粒子化割合[0.173]
(別添 2 参照)

P : ポロシティ[0.5] P U L i M S 実験の知見 (0.29~0.37) から保守的に設定

S_{fz} : コリウムシールドの設置を考慮した床面積 []

また、粒子化したデブリの間隙に冷却水が浸入するため、デブリの冠水維持評価の観点から粒子化したデブリの範囲を除いた水プール水深 $H_{pool-ent}$ について式(2)で評価する。ここで、デブリ堆積範囲より上の領域にはコリウムシールドが敷設されていないものとする。

$$H_{pool-ent} = (H_{pool} - (V_m \times \Phi_{ent} \div (1-P) \times P \div S_{fz})) \times (S_{fz} / S_f) \quad (2)$$

H_{pool} : 水プール初期水深[1m]

S_f : コリウムシールドが設置されていない範囲の断面積 []

式(1)からデブリ堆積高さ H_{debrl} は約 1.71m となる。また、式(2)から粒子化したデブリの範囲を除いた水プール水深 $H_{pool-ent}$ は約 0.69m となる。

解析コード M A A P を用いた有効性評価の結果 (デブリから水プールへの限界熱流束を 800kW/m² (圧力依存性あり) と設定) から、R P V 破損によるデブリ落下からペDESTAL (ドライウエル部) 注水開始までの 7 分間におけるペDESTAL (ドライウエル部) 水位低下量は、過渡事象の場合は約 0.34m, L O C A 事象の場合は約 0.44m であり、デブリの冠水は維持される。なお、R P V 破損時点からデブリ露出までの時間は、過渡事象の場合で約 21 分間, L O C A 事象の場合で約 15 分間であることから、ペDESTAL (ドライウエル

部) 注水の開始が遅れた場合でも一定時間冠水維持することが可能である。

4. ポロシティが冠水評価に与える影響

水位低下量評価にポロシティの効果を考慮していないことから、その影響を評価した。

粒子状デブリベッドのドライアウト熱流束に関する相関式である $Lipinski - 0D$ モデルでは、ポロシティの増加によってドライアウト熱流束が上昇する結果が得られており、第2図においてポロシティ 0.48 の場合、ドライアウト熱流束は、約 $3,300\text{kW}/\text{m}^2$ となる。これは、水位低下量評価で、デブリから水プールへの熱流束として設定している $800\text{kW}/\text{m}^2$ と比較して大きな値となるが、ポロシティを形成するデブリの粒子化割合は約 17% と小さく、粒子化したデブリはクエンチしていることから、ポロシティによるドライアウト熱流束増加の影響は小さい。

よって、ポロシティを考慮しても水位低下量評価への影響は小さく、冠水評価に影響はない。

5. デブリ堆積形状の不確かさ評価 (別添3参照)

水プール水位に対してデブリ落下量が多く粒子化割合が小さいことから、落下したデブリは均一に堆積すると考えられる。ここでは、デブリが均一に堆積しない場合にデブリ冠水維持に与える影響について評価する(第3図)。

PULiMS 実験において確認されたデブリ堆積高さ と 拡がり距離 のアスペクト比を適用してデブリ堆積形状を山状と想定し、均一化した場合と比較して堆積高さが高くなり、露出までの水深が低くなる場合の評価を実施した結果、水プール水位は約 0.52m となった。水プールとの接触面積増加の影響を考慮した場合における水位低下量は、過渡事象の場合は約 0.35m、LOC

A事象の場合は約 0.45m であり, デブリの冠水が維持されることを確認した。

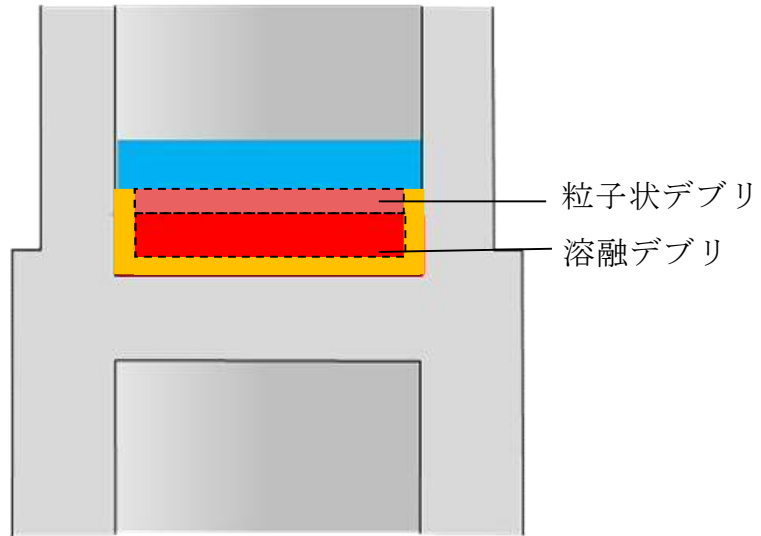
6. 機器ドレンサンプが溶融しない場合の不確かさ評価 (別添 4 参照)

ペDESTAL (ドライウェル部) 内に設置された機器ドレンサンプは, デブリ落下時には溶融しデブリに取り込まれることで溶融デブリとして堆積すると考えられる。ここでは, 機器ドレンサンプが溶融しないと仮定した場合にデブリ冠水維持に与える影響について評価する。

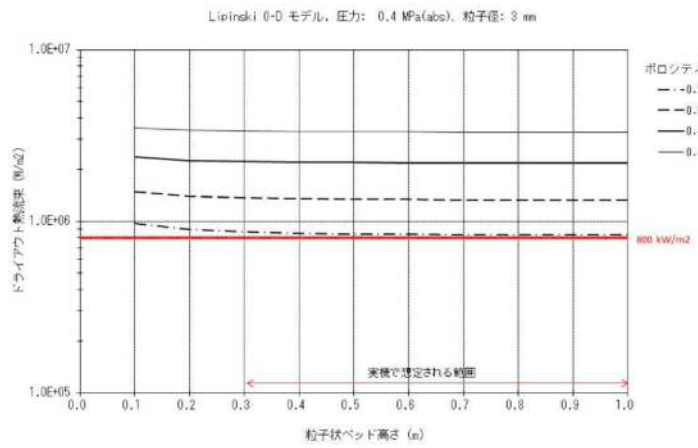
新設する機器ドレンサンプの体積を既設と同等として評価した結果, 水プール水位は約 0.58m となった。水位低下量は, 過渡事象の場合は約 0.34m, L O C A 事象の場合は約 0.44m であり, デブリの冠水が維持されることを確認した。

7. まとめ

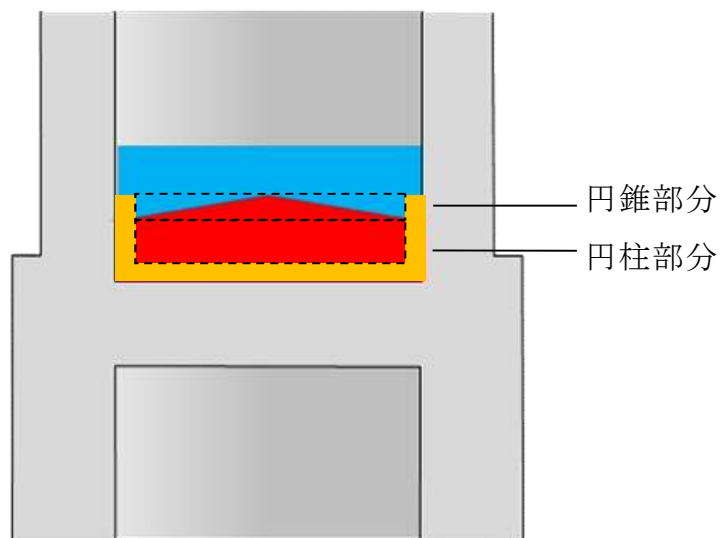
以上の評価から, 過渡事象及び L O C A 事象いずれにおいても, R P V 破損から 7 分の間において, デブリの冠水状態が維持されることを確認した。



第1図 デブリ堆積形状



第2図 粒子状ベッド高さとドライアウト熱流束の関係

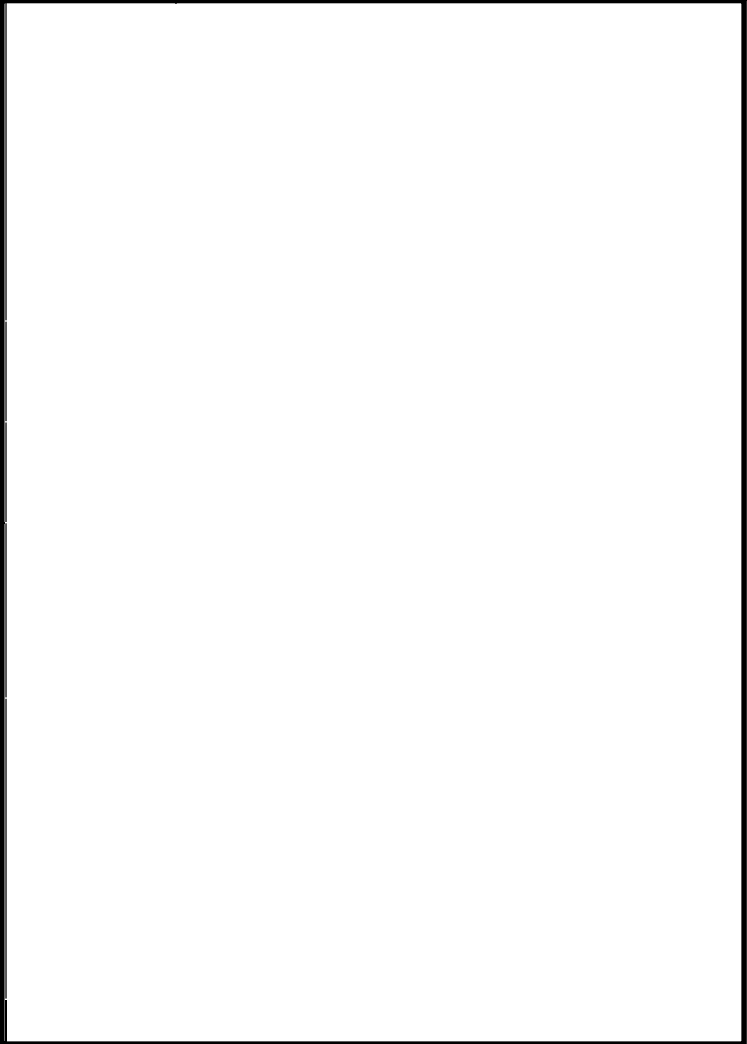


第3図 デブリ堆積形状 (不確かさ考慮)

デブリとして考慮するペDESTAL (ドライウエル部) 内構造物について

デブリ堆積高さの計算においては, 第 1 表及び第 2 表に示すペDESTAL (ドライウエル部) 内構造物の総体積を保守的に 4m^3 として考慮した。

第1表 デブリとして考慮したペDESTAL (ドライウエル部) 内構造物 (既設)

| 構造物 | 体積[m ³] | 外観図 |
|--|---------------------|---|
| ターンテーブル (溶融炉心の落下部及びその周囲のみが溶融しデブリに加わると考えられるため, 評価においては一辺1mの正方形の範囲が溶融すると想定) | |  |
| 制御棒駆動機構ハウジング (9本) | | |
| 制御棒駆動機構 (9本) | | |
| 制御棒駆動機構ハウジングサポート (ターンテーブルと同様に, 一辺1mの正方形の範囲が溶融すると想定) | | |
| その他 (ケーブル, サポート, 配管等の構造物) | | |
| 合計 | | |

第2表 デブリとして考慮したペDESTAL(ドライウェル部)内構造物(新設)

| 構造物 | 体積[m ³] |
|----------------------|---------------------|
| 格納容器下部水位計 | |
| 格納容器下部水温計 | |
| 格納容器下部雰囲気温度計 | |
| 機器ドレンサンプ(配管等含む) | |
| 床ドレンサンプ配管等 | |
| コリウムシールド支持構造物(ライナ含む) | |
| 合計 | |

※ 第1表に記載の既設分との合計値は であるが、新設分の設計の進捗による物量増加等を考慮し、本評価上は合計4m³とする。

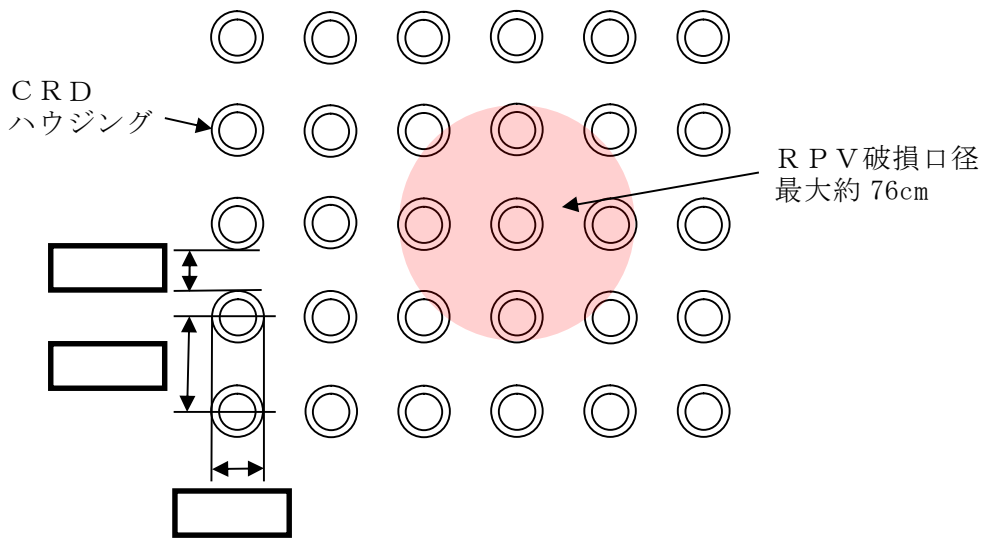
制御棒駆動機構(以下「CRD」という。)及びCRDハウジングの破損本数としては、MAAP解析においてRPV底部の破損後にアブレーションにより広がる最大の破損口径:約76cmに含まれる本数9本を考慮している(第1図)。また、ターンテーブル及びCRDハウジングサポートについては、アブレーションにより広がる最大の破損口径:約76cmを包絡する範囲として、一辺1mの正方形の範囲を考慮している。

ここで、第2図及び第3図に示すとおり、CRDハウジングサポートは、ペDESTAL内側の鋼板に固定された上部サポートビームにハンガーロッド等を介し、グリッドプレートを接続した構造によりCRDハウジングの逸出を防止する設計となっているため、RPV破損時に現実的には逸出は考えにくい構造と

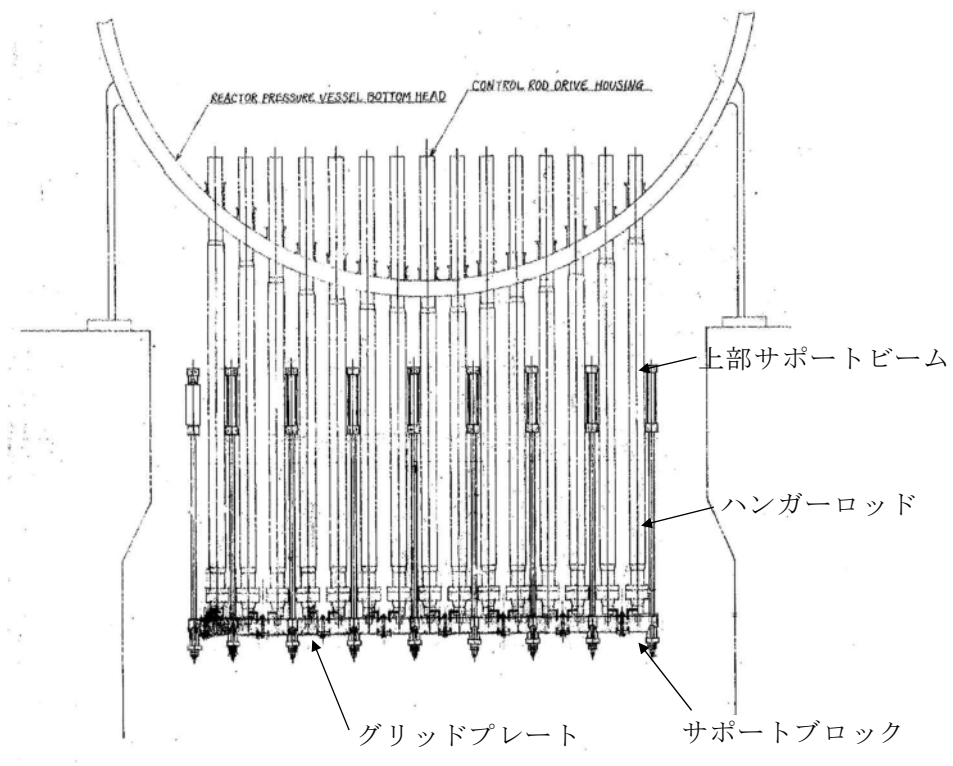
なっている。このため、現実的なR P V破損時のデブリ流出箇所としては、C R DハウジングとR P V下鏡板との間の溶接部に生じる間隙が考えられる。以上を考慮すると、R P V破損時は上記溶接部からデブリが流出し、アブレーションにより口径が徐々に広がる状況になると考えられる。また、R P V下部の形状及びデブリ流出に伴う下部プレナム部のデブリ深さの減少を踏まえると、C R Dから流出するデブリ量は中心から外側になるにつれ少なくなることから、外側のC R D及びその下部にあるC R Dハウジングサポートが溶融する可能性は小さくなると考えられる。一方、本評価では、外側のC R D及びその下部にあるC R Dハウジングサポートの全てが溶融（例えば、第1図の破損口の外側付近に一部が入る4本のC R Dハウジングが全て溶けると想定）するものと想定している。

また、解析コードM A A Pに適用されているアブレーションモデルは、サンディア国立研究所において実施された、鋼製容器及びアルミナ混合物を用いたH I P S実験で得られたデータと良好に一致することが確認されている（第3表）。

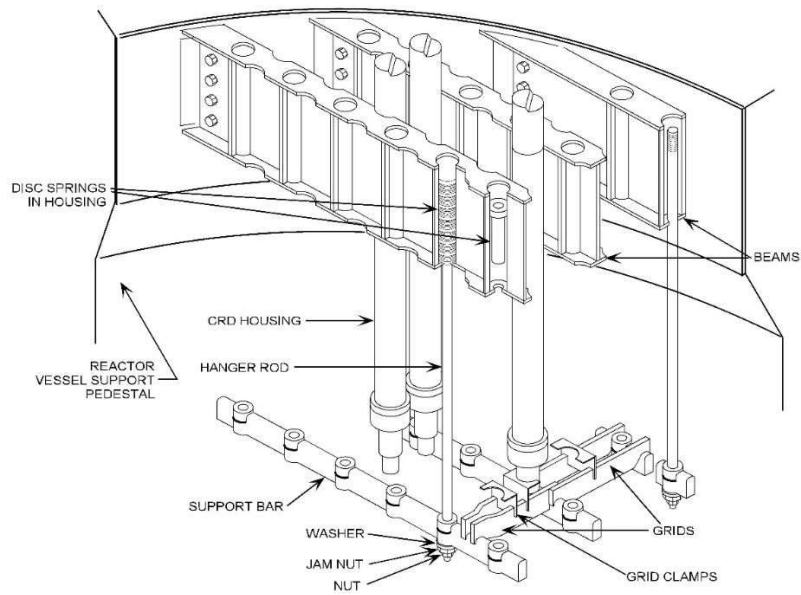
したがって、アブレーションによるR P V破損口径の拡大を考慮したC R Dハウジング等のデブリ体積の評価についても、保守性を有していると考えられる。



第1図 CRD配置とRPV破損口径の関係



第2図 東海第二発電所CRDハウジングサポート構造



第3図 CRDハウジングサポート構造俯瞰図 (参考) [1]

第3表 HIPS実験結果とアブレーションモデルの評価結果 [2]

Table I
Comparison of Hole Ablation Models With Experiment Data

| Test | ΔP (MPa) | d_0 (cm) | L (cm) | Observed D_f (cm) | Current Model D_f (cm) | ZPSS Model D_f (cm) |
|---------|------------------|------------|--------|---------------------|--------------------------|-----------------------|
| HIPS-1J | 9.69 | 2.54 | 2.54 | 5.08 ^a | 5.08 | 4.78 |
| HIPS-2C | 11.7 | 2.54 | 2.54 | 5.5-7 | 6.40 | 4.76 |
| HIPS-3J | 4.85 | 2.54 | 5.08 | 6-7 | 6.32 | 4.87 |

a) Ablation limited by a graphite shield

[1]General Electric Systems Technology Manual Chapter 2.1 Reactor Vessel System, USNRC HRTD, Rev 09/11

[2]Pilch, M., and Tarbell, W. W., 1985, High Pressure Ejection of Melt from a Reactor Pressure Vessel, The Discharge Phase. NUREG/CR-4383 (SAND85-0012). September.

粒子化割合の算出

粒子化割合は以下の R i c o u - S p a l d i n g 相関式により求めた。

$$\Phi_{ent} = \frac{d_{dj,0}^2 - d_{dj}^2}{d_{dj,0}^2}$$

$$d_{dj} = d_{dj,0} - 2E_0 \left(\frac{\rho_w}{\rho_{dj}} \right)^{1/2} \Delta H_{pool}$$

ここで、

Φ_{ent} : 粒子化割合 [-]

E_0 : エントレインメント係数 [-]

ΔH_{pool} : プール水深 [m]

d_{dj} : プール底部におけるデブリジェット径 [m]

$d_{dj,0}$: 気相部落下を考慮した水面におけるデブリジェット径 [m]

ρ_{dj} : デブリジェット密度 [kg/m³]

ρ_w : 水密度 [kg/m³]

評価条件は以下のとおり。

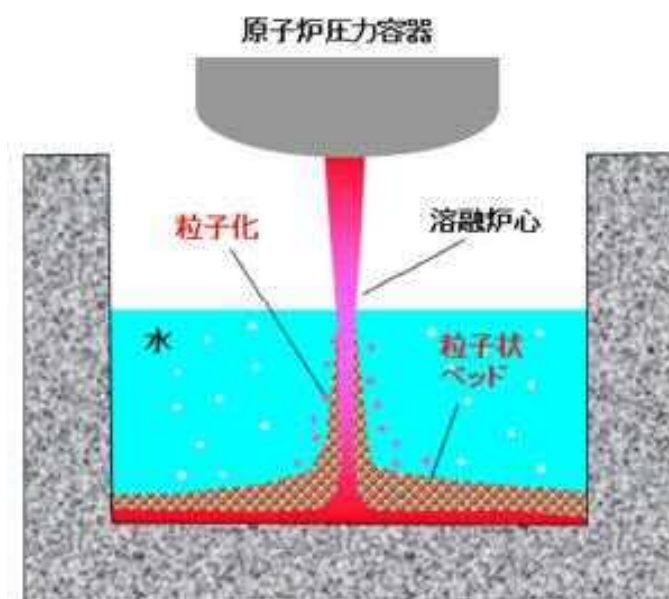
| 項目 | 設定値 | 設定根拠 |
|-------------|----------------------|----------------------|
| プール水深 | 1m | ペDESTAL (ドライウエル部) 水位 |
| デブリジェット密度 | <input type="text"/> | MAAP 計算結果 |
| 初期デブリジェット径 | 0.15m | CRD 案内管径 |
| エントレインメント係数 | <input type="text"/> | MAAP 推奨範囲の最確値 |

以上により評価した結果、粒子化割合は約 17.3%となる。

デブリの拡がりに関する不確かさについて

1. はじめに

事前水張りされたペDESTAL（ドライウエル部）のプール水中に落下するデブリは、一部が粒子化した後に固化し、残りが溶融状態のまま床面に到達して床面上を拡がり、固化したデブリ粒子が床上の連続層の上に堆積して粒子状ベッドを形成するものと想定される（第1図）。このようなデブリの拡がりにおいて、溶融物の拡がり距離と粒子状ベッドの堆積形状に不確かさが想定される。



第1図 ペDESTAL（ドライウエル部）におけるデブリ挙動の概念

2. デブリの拡がりに関する知見

(1) 溶融物

PUL i MS実験では、水中での溶融物の拡がり挙動が観察されるとともに、水中での溶融物の拡がり距離を求めるスケーリング則が提案さ

れている。PULiMS実験結果を元に妥当性が確認されているスケールリング則に、BWRの溶融炉心落下条件を適用して、水中での溶融物の拡がり距離を評価すると、約18mとなる（付録3 重大事故等対策の有効性評価に係るシビアアクシデント解析コードについて 第5部MAAP添付3 溶融炉心とコンクリートの相互作用について 付録4(5)参照）。コリウムシールドを設置した場合のペDESTAL半径が であることを考慮すると、溶融炉心は床全面に拡がる可能性が高いと考えられる。これは、溶融物の拡がりに影響する因子のうち、主に溶融炉心落下流量が大きいことによるものと考えられる。PULiMS実験条件と実機条件を比較した場合、以下の観点から実機条件の方が拡がりが増進されると考えられる（第1表）。

- ・溶融物重量のPULiMS／実機値に対して冷却材重量のPULiMS／実機値は大きく、実機条件では相対的に溶融物量が多くなる
- ・溶融物過熱度及び比熱は実機条件の方が高く、実機条件の方がデブリが固化しにくいと考えられる。
- ・実機において溶融物は崩壊熱によって継続的な加熱がある
- ・サブクール度については実機条件の方が高いが、溶融物落下後にはサブクール度がすぐに低下することから、拡がりに対する影響は小さいと考えられる
- ・水深／ブレイクアップ長さについては、実機において水中でより細粒化しにくい傾向であり、溶融物の着床時の温度は高い傾向となることから、床面上での拡がりにおいても拡がり易い傾向となる。
- ・溶融物密度は実機条件の方が大きく、慣性による拡がり効果が大きい
- ・粘性係数については、実験と同程度か小さいものと考えられ、実機条件ではより拡がり易いと考えられる。

- ・表面張力については不確かさが大きいパラメータであるが、表面張力が大きいほど床面上を広がりにくくなる一方で、床面到達までの細粒化に伴う冷却・固化が生じにくいいため、床面での熔融物温度が高めになり拡がり易くなることから、両者の相殺により表面張力が拡がりを与える影響は小さいと考えられる。
- ・輻射率については、特に実験データの不確かさ幅が大きく実験条件と実機条件の大小関係が明確ではないが、熔融物から冷却材への伝熱量と比較すると輻射の影響は相対的に小さいと考えられることから、拡がり挙動に与える影響は小さいと考えられる。
- ・床面熱伝達については、実機では床スラブの形状変更に合わせてペDESTAL床表面にSUS製ライナを設置することで実験と同じ材質となるため床面熱伝達量は同等であり、また、実機解析から熔融物除熱は冷却材伝熱が支配的であることから、床面熱伝達が拡がり挙動に与える影響はない。なお、表面のSUS製ライナが熔融した場合にはZrO₂上での拡がりとなるが、熔融物拡がりに関わる実験では、床の材質の差異（種々のセラミック、コンクリート）によらず同様な拡がり挙動になることが確認されており、ZrO₂の場合でも拡がり挙動に差異はないものと考えられる（別紙1参照）。

したがって、熔融物の拡がり距離については、熔融物の拡がりに影響する因子のうち、主に熔融炉心落下流量が大きいことにより、不確かさを考慮しても実機条件ではより拡がり易く、床全面に拡がるものと想定される。

第1表 PULiMS実験条件と実機条件の比較

| 分類 | 項目 | 実機条件 | PULiMS (E4) | PULiMS/実機 |
|-----------|---|--|---|-------------------------|
| 初期条件 | 熔融物 | UO ₂ -ZrO ₂ -SUS 等 | Bi ₂ O ₃ -WO ₃ | - |
| | 熔融物重量[kg] | 約 300×10 ³ | 約 47 | 約 0.16×10 ⁻³ |
| | 液相線温度[K] | | 約 1,143 | - |
| | 固相線温度[K] | | 約 1,143 | - |
| | 熔融物過熱度[K] | | 70 | |
| | 比熱[J/kg/K] | | 250~310 | |
| | 崩壊熱 | あり | なし | - |
| | 冷却材重量[kg] | 約 27×10 ³ | 40 | 約 1.5×10 ⁻³ |
| | サブクール度[K] | | 23 | |
| 熔融物冷却材中挙動 | L/L _{br} (水深/ブレイク アップ長さ*) ※Taylor 関連式 | 約 0.08~約 0.23 | 約 0.35 | 約 1.5~4.4 |
| 熔融物床面上挙動 | 熔融物密度[kg/m ³] | | 約 7,811 | |
| | 粘性係数[Pa・s] | 0.004 | 0.003~0.03 | 約 0.75~7.5 |
| | 表面張力[N/m] | | 0.2~0.6 | |
| | 輻射率[-] | | 0.4~1.0 | |
| | 床面熱伝達 | ZrO ₂ (SUS 製ライナ) | SUS 材 | - |

(2) 粒子状ベッド

ANLで実施されたセルフベリング実験では、粒子状ベッド内の沸騰による粒子の吹き上げと再堆積によるセルフベリング効果により、2分~3分程度で堆積厚さが均一化されている（付録3 重大事故等対策の有効性評価に係るシビアアクシデント解析コードについて 第5部M A A P 添付3 熔融炉心とコンクリートの相互作用について 付録4 (4)参照）。

PDS実験では、沸騰等の冷却水の流動による粒子状ベッドの拡散挙

動の観察を行っている（別紙2参照）。均一化に係る時間は、デブリ密度、ポロシティ、拡がり面積に加え、粒子状ベッドを流れる空気又は蒸気の気相流体速度に依存することが示されており、気相流体速度が相対的に小さいPDS-E実験では粒子状ベッドの均一化に要する時間が数分～数十分であるが、気相流体速度がより大きいPDS-C実験では数秒～数十秒と早く均一化が進むことが確認されている。実機においては、デブリが落下した直後は高温のデブリから急激に伝熱が進むことから発生蒸気速度は十分速いものと考えられるため、落下直後に十分な均一化が進むと考えられる。

したがって、粒子状デブリベッドの堆積形状については、崩壊熱を発生するデブリ粒子では、粒子状ベッド内の継続的沸騰による粒子の攪拌によるセルフレベルング効果により、時間と共に堆積厚さが均一化することが想定される。

3. デブリの拡がりに関する不確かさ評価

これまでの知見によれば、溶融物は床全面に拡がると想定され、粒子状ベッドについても短時間で均一化される。よって、デブリの拡がりに関する不確かさはないものと考えられるが、デブリの堆積高さに対して厳しい評価を実施する観点から、PULiMS実験において確認されたデブリ堆積高さと同様拡がり距離のアスペクト比を適用し、均一化した場合と比較して堆積高さが高くなる場合の評価を行う。PULiMS実験は溶融物を水中に落下した実験であり、溶融物と粒子状デブリベッドを含めたデブリ全体としての堆積高さに関する知見として適用できるものである。

(1) アスペクト比

PULiMS実験のうち、溶融物量が比較的大きいE4実験において、平均堆積高さ41mmに対して、拡がり距離は740mm×560mmとなっている(第2図,第2表)。アスペクト比としては1:18~1:14程度となっており、おおよそ1:16程度の拡がり挙動を示している。デブリ堆積高さの評価としては、ポロシティやペDESTAL(ドライウェル部)内構造物量等の保守的な設定をしているため、不確かさ評価として考慮するアスペクト比としては、実験結果に基づく平均的な値として1:16を適用し評価を行う。

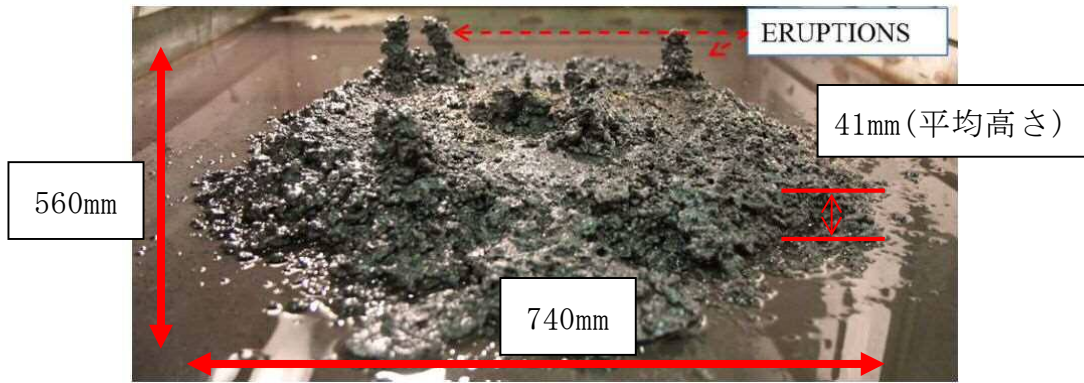
第2表 PULiMS実験条件と結果

Table 1. PULiMS-E test matrix with initial conditions.

| Parameter | PULiMS tests | | | | |
|---|---|------------------------------------|---|---|-----------------------------------|
| | E1 | E2 | E3 | E4 | E5 |
| Melt material | Bi ₂ O ₃ -WO ₃ | B ₂ O ₃ -CaO | Bi ₂ O ₃ -WO ₃ | Bi ₂ O ₃ -WO ₃ | ZrO ₂ -WO ₃ |
| Melt mass composition, % | 42.64-57.36 eutectic | 30-70 non-eutectic | 42.64-57.36 eutectic | 42.64-57.36 eutectic | 15.74-84.26 eutectic |
| Melt jet diameter, mm | 20 | 20 | 20 | 20 | 20 |
| Jet free fall height, mm | 400 | 400 | 400 | 400 | 400 |
| Initial melt volume, L | 3 | 3 | 10 | 6 | 6 |
| Initial melt mass, kg | 23.4 | 7.5 | 78.1 | 46.9 | 41.2 |
| T _{sol.} , °C | 870 | 1027 | 870 | 870 | 1231 |
| T _{lit.} , °C | 870 | 1027 | 870 | 870 | 1231 |
| Melt temperature in the funnel upon pouring, °C | 1006 | 1350 | 1076 | 940 | 1531 |
| Water pool depth, mm | 200 | 200 | 200 | 200 | 200 |
| Water temperature, °C | 79 | 78 | 75 | 77 | 72 |

Table 2. Measured and estimated properties of the debris beds in PULiMS-E tests.

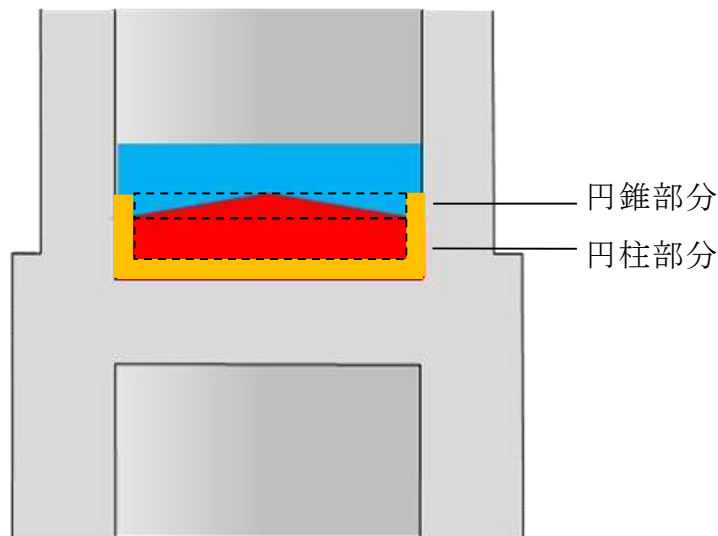
| Parameter | Exploratory PULiMS tests | | | |
|--|--------------------------|----------|----------|-----------|
| | E1 | E3 | E4 | E5 |
| Melt release time, (sec) | 10 | 15 | 12 | ~8.7 |
| Total size x × y, mm | 460x440 | ~750x750 | 740x560 | - |
| Cake size x × y, mm | ~430x320 | ~750x750 | 711x471 | ~400x420 |
| Max debris height, mm | 93 | unknown | 106 | 50 |
| Area averaged debris bed height, mm | 31 | ~30 | 30 | 22 |
| Volume averaged debris bed height, mm | 50 | unknown | 41 | 28 |
| Debris height under injection point, mm | 48 | unknown | 50 | 39 |
| Total area occupied by cake, m ² | 0.14 | ~0.44 | 0.30 | 0.14 |
| Measured particulate debris mass, kg | ~4 | unknown | 2.9 | - |
| Measured particulate debris mass fraction, % | ~20% | unknown | ~6.8% | - |
| Solidified cake mass, kg | ~20 | unknown | 39.5 | 13.6 |
| Measured debris bed volume, L | ~4.2 | unknown | 8.9 | ~3.1 |
| Estimated total cake porosity | 0.29 | - | 0.36 | 0.37 |
| Symmetry of the spread | non-sym. | unknown | non-sym. | symmetric |
| Steam explosion | no | yes | no | yes |
| Cake formation | cake | no cake | cake | cake |
| Measured melt superheat, °C | 136 | 206 | 70 | 300 |
| Measured melt superheat in the pool, °C | 121 | 77 | 48 | 90 |
| Estimated loss of melt superheat due to jet interaction with coolant, °C | 15 | 129 | 22 | 210 |



第2図 P U L i M S 実験結果 (E4)

(2) 堆積高さ評価

アスペクト比を考慮した場合、デブリの堆積形状は第3図のように円柱上に円錐が堆積した形状となる。円錐部分については、堆積高さが最大となるのは床全面に拡がった場合であり、コリウムシールド厚さを考慮したペDESTAL直径 にアスペクト比を考慮すると、堆積高さは約 0.37m となる。円柱部分については、円錐部分の体積を除いたデブリ全量が円柱状に堆積するため、堆積高さは約 1.42m となる。以上から、デブリの堆積高さは円錐部分の体積高さと円柱部分の体積高さの合計となることから、約 1.79m となる。



第3図 デブリ堆積形状 (アスペクト比考慮)

(3) デブリの冠水維持に対する評価

粒子化割合 0.173 のデブリ量に対してポロシティ 0.5 で全ての間隙に浸水していると仮定した場合、円錐部分の頂部から水面までの水深は約 0.52m である。また、円錐状に堆積することで水プールとの接触面積が増え、蒸発量が増加するが、一様に堆積した場合の水プールとの接触面積からの増加割合は 1%未満であり、蒸発量に対して有意な影響を与えない。有効性評価（別紙 3 参照）に基づく、RPV破損によるデブリ落下から格納容器下部注水までの期間における水位低下量は、過渡事象の場合は約 0.34m、LOCA事象の場合は約 0.44m であり、蒸発量の増加として保守的に 1%を見込んだ場合でも水位低下量は、過渡事象の場合は約 0.35m、LOCA事象の場合は約 0.45m となるため、デブリの冠水は維持される。

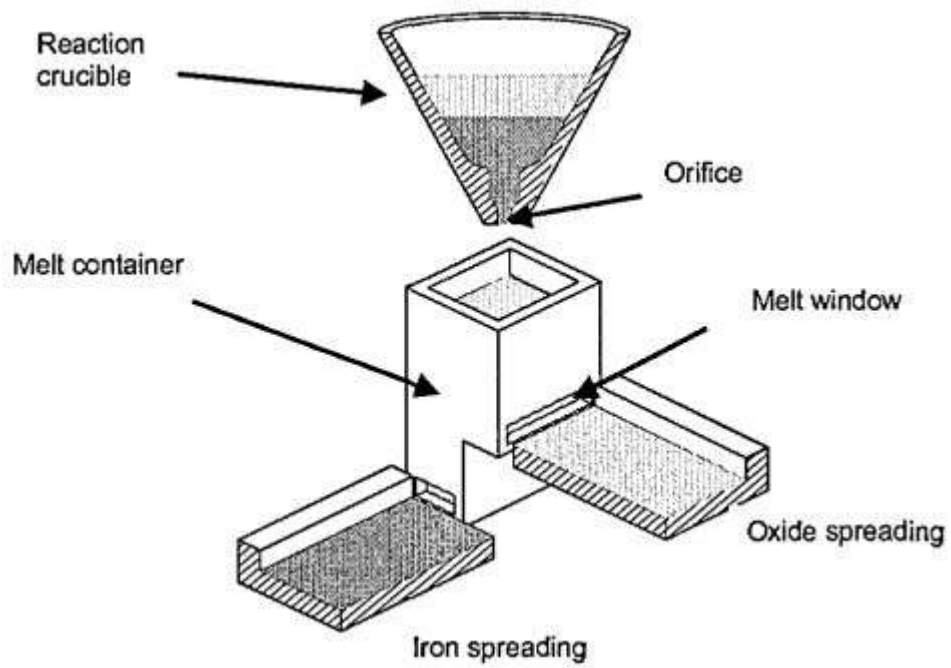
溶融物拡がりに関わる実験

C E A / D R N / D T P で行われた C O R I N E 実験^[1]では、低融点物質（グリセロール他）を模擬物質として使用して、水中での拡がり挙動を調べる実験が実施され、拡がり先端の移動速度や底部に形成されるクラストの影響が調べられた。

独カールスルーエ研究センター（F Z K）で実施された K A T S 実験^{[2][3][4]}では、溶融物としてテルミット（ $A l_2 O_3$ 約 150kg, F e 約 150kg）が使用され、溶融物の放出速度や温度、拡がり形状（1D, 2D）、床の材質（コンクリート、セラミック、コーティング）、水の有無をパラメータに溶融物の拡がり実験が行われている。実験装置を第 1 図及び第 2 図に示す。 $A l_2 O_3$ と F e では密度が異なり成層化するため、溶融物の出口を 2 箇所設け、最初に $A l_2 O_3$ が放出し、最後に F e を放出することにより酸化物溶融物の拡がり と 金属溶融物の拡がりを分けて実験が可能となっている。実験条件を第 1 表に示す。K A T S - 1 0 と K A T S - 1 1 の実験条件はほぼ同様であるが、K A T S - 1 0 の方は 1mm の水張りをしてあり、K A T S - 1 1 の方はドライ条件となっている。両者の拡がり結果を第 3 図に示すが、両ケースのように溶融物の放出速度が比較的高い場合は、冷却材の有無によらず同様な拡がり挙動になる結果となっている。また、K A T S - 1 2 と K A T S - 1 3 の実験条件はほぼ同様であるが、K A T S - 1 2 の方が床の材質がセラミックであり、K A T S - 1 3 の方はコンクリートである。両者の拡がり結果を第 4 図に示すが、両ケースのように溶融物の放出速度が比較的高い場合は、床の材質の差異によらず同様な拡がり挙動になる結果となっている。

C E A で実施された V U L C A N O^{[5][6]} 実験では、溶融物として酸化物溶融

物が使用され、溶融物の組成、放出速度や温度、床の材質（コンクリート、セラミック）をパラメータに溶融物の拡がり実験が行われている。VE-U7実験では、酸化物溶融物（ UO_2 56wt%、 ZrO_2 32wt%、 FeO 5wt%、 $CaSiO_3$ 2wt%、 SiO_2 2wt%、 Fe 1wt%、 CaO 1wt%、 Al_2O_3 1wt%）を用いて、コンクリート床とセラミック（高密度ジルコニア）床での拡がりを実験している。実験装置を第5図に示す。装置の中央にマグネシア煉瓦の分離板を設置し、コンクリート床とセラミック床に40.8kgの酸化物溶融物を4.3kg/sの速度で同時に放出する条件となっている。両者の拡がり結果を第6図に示す。7.7秒間はほぼ同じ拡がり挙動を示しており、その後はセラミック床で若干拡がりが継続する結果となっている。



第 1 図 K A T S 実験装置の概要図 [2]



(1D)



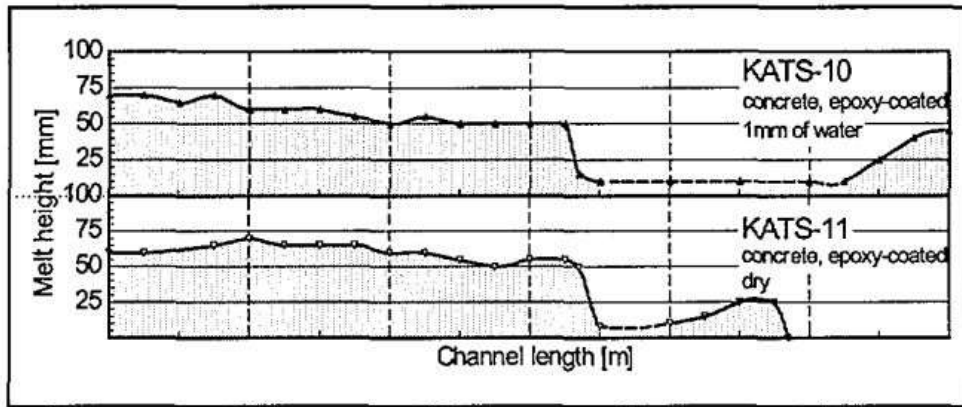
(2D)

第 2 図 K A T S 実験の 1D と 2D の拡がり形状の写真 [3]

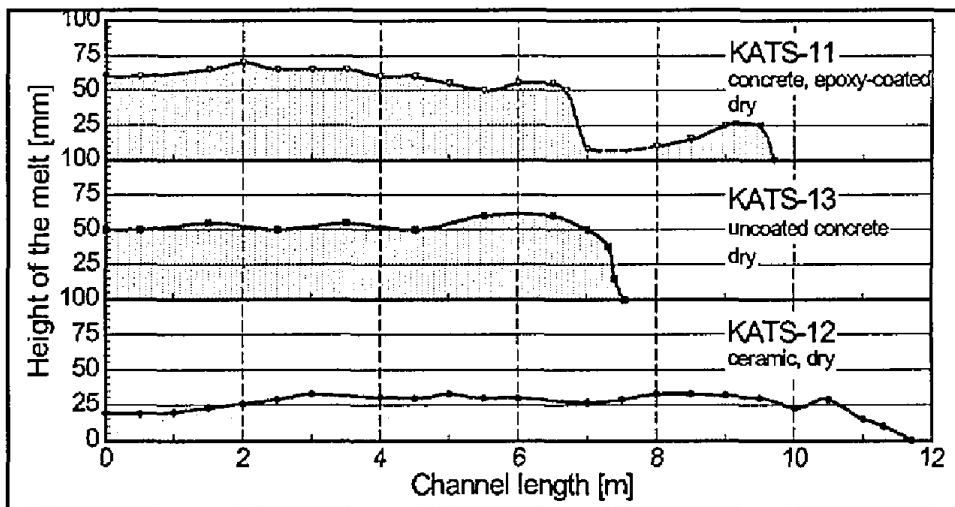
第 1 表 K A T S 実験条件と拡がり距離 (酸化物溶融物, 1D 拡がり) [2]

| Test # | Substratum | Mass in channel (kg) | Temperature Melt (°C) | Pouring rate (l/s) / Length in Time(s) | Spreading length (m) |
|---------|----------------------------------|----------------------|-----------------------|--|---------------------------------------|
| KATS-12 | Ceramics*) | 186 | 2027 | 12.7 → 0 l/s in 10 s | 11.7 |
| KATS-14 | Ceramics*) | 176 | 1967 | 2 → 1.2 l/s in 37 s | 7.2 |
| KATS-10 | Concrete 1mm Water (Epoxy) | 179 | 2037 | 12.4 → 0 l/s in 10s | >12 first front 6.5 m main front |
| KATS-11 | Concrete Dry (Epoxy) | 183 | 2062 | 12.7 → 0 l/s in 10s | 9.5 m first Front 6.8 m main front |
| KATS-13 | Concrete Dry | 185 | 2052 | 12.7 → 0 l/s in 10s | 7.5 |

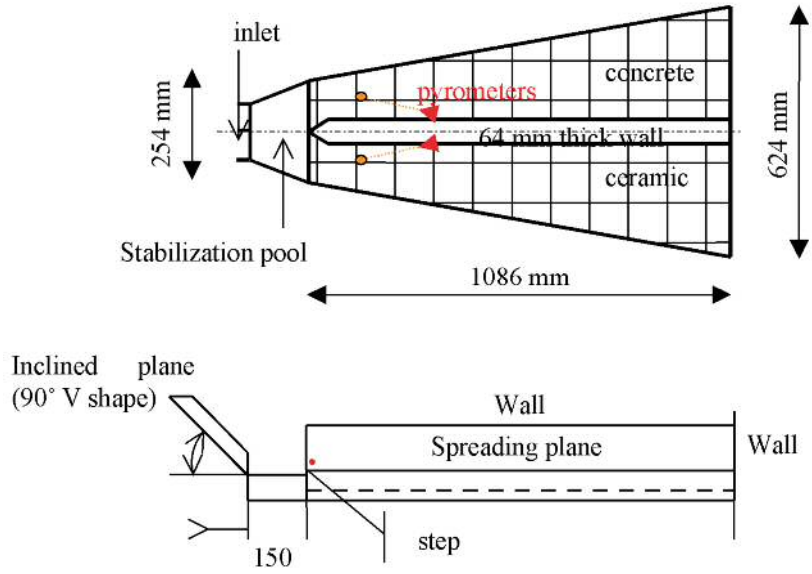
*) Cordierite (Al₂O₃ 37 wt%, SiO₂ 52 wt%, MgO 6,5 wt%)



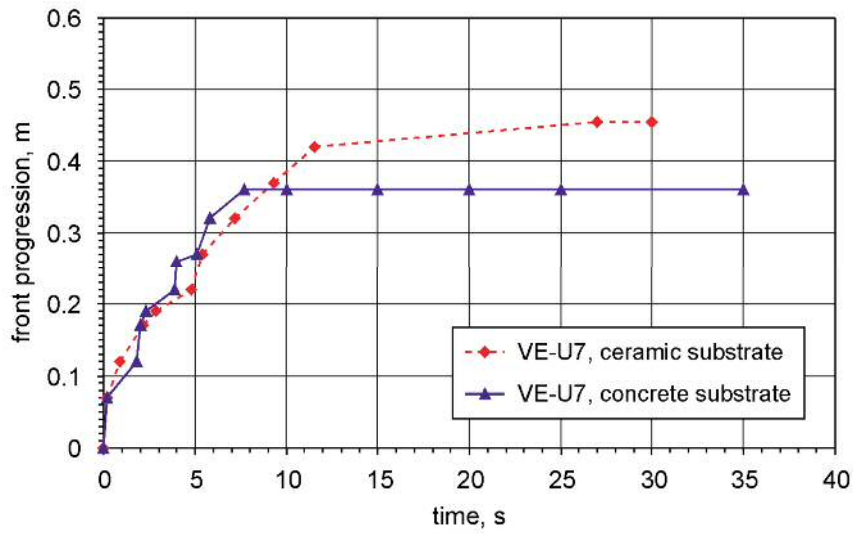
第 3 図 K A T S 実験の水の有無の影響 (酸化物溶融物, 1D 拡がり) [2]



第 4 図 K A T S 実験の床の材質の影響 (酸化物溶融物, 1D 拡がり) [2]



第 5 図 VULCANO 実験装置の概要図^[6]



第 6 図 VULCANO 実験の床の材質の影響^[6]

参考文献

- [1] J.M. Veteau and R. Wittmaack., "CORINE Experiments and Theoretical Modeling," Proceedings of FISA-95, Luxemburg EUR 16896 EN, pp. 271-285 (1996).
- [2] Proceedings of the Second OECD(NEA) CSNI Specialist Meeting on Molten Core Debris-Concrete Interactions, NEA/CSNI/R(92)10, Karlsruhe, Germany (1992).
- [3] B. Eppinger, et al., "KATS Experiments to Simulate Corium Spreading in the EPR Core Catcher Concept," FzK, Karlsruhe, Germany.
- [4] B. Eppinger, et al., "Simulationsexperimente zum Ausbreitungsverhalten von Kernschmelzen: KATS-8 bis KATS-17," FZKA 6589 (2001).
- [5] C. Journeau, et al., "Ex-Vessel corium spreading: result from the VULCANO spreading tests," Nucl. Eng. Design, 223 75-102 (2003).
- [6] C. Journeau, et al., "The VULCANO VE-U7 Corium spreading benchmark," Progress in Nuclear Energy, Vol. 48, p215-234, 2006.

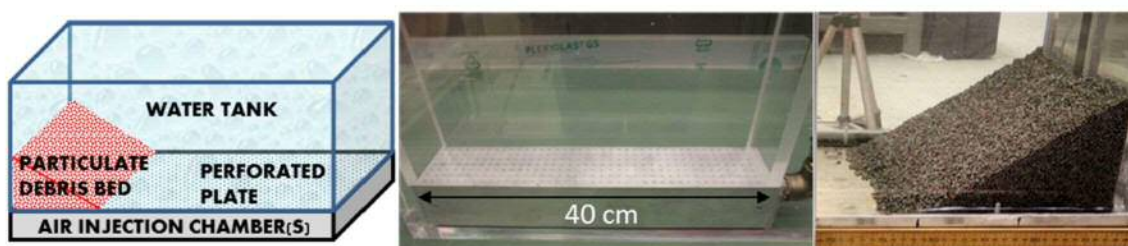
P D S 実験について

1. はじめに

スウェーデン王立工科大学（KTH）で実施された P D S 実験は、沸騰等の冷却水の流動による細粒状デブリベッドの拡散挙動について観察を行っている。

2. 実験条件

実験装置概要図を第 1 図に示す。水槽の壁面に沿って粒子状デブリを堆積させ、下部に設置した注入用チャンバーから水蒸気又は空気を注入し、粒子状デブリベッドの拡散挙動を観察する。



a) 装置概要

b) P D S - C 試験

c) P D S - E 7 ~ 2 3 試験

第 1 図 実験装置概要図

また、P D S 実験では種々のパラメータを感度として複数の実験が実施されている。各実験において感度として設定したパラメータを第 1 表に示す。

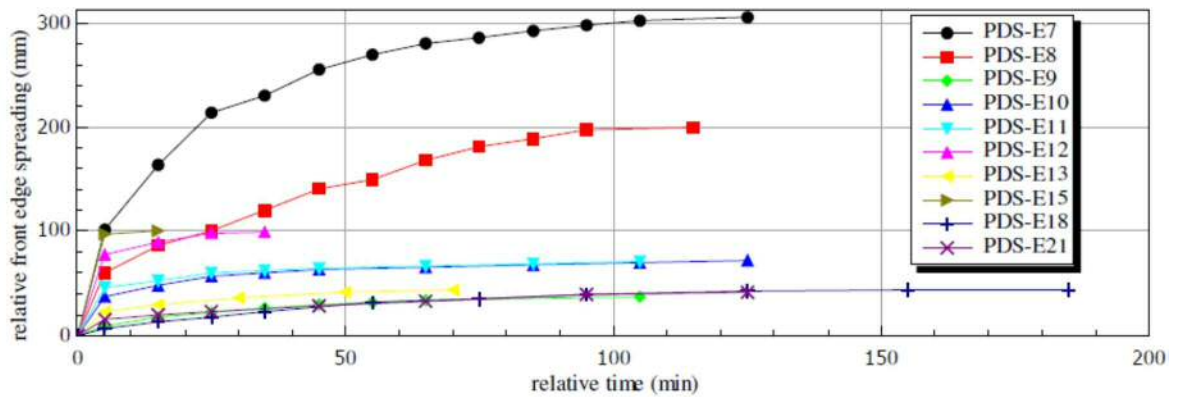
第 1 表 P D S 実験におけるパラメータ設定

| Group | Tests | Effect studied |
|-------|---------------|--|
| A. | E2-E3; E7-E8; | Injected gas (air) flow rate influence |
| B. | E2-E4 | Particle density and size |
| C. | E5-E6; E7-E9 | Leading edge gas injection (turned on/off) influence |
| D. | E10-E12 | Roughness of the spreading surface with help of friction net |
| E. | E12-E14 | Influence of the water presence |
| F. | E12-E15 | Mixture of particles with dissimilar morphology |
| G. | E18-E23 | Influence of inclined spreading surface (0°-15°) |
| H. | E10-E11 | Reproducibility tests |
| I. | C1-C12 | Tests on PDS-C facility at high superficial velocities (up to 1.2 m/s) |

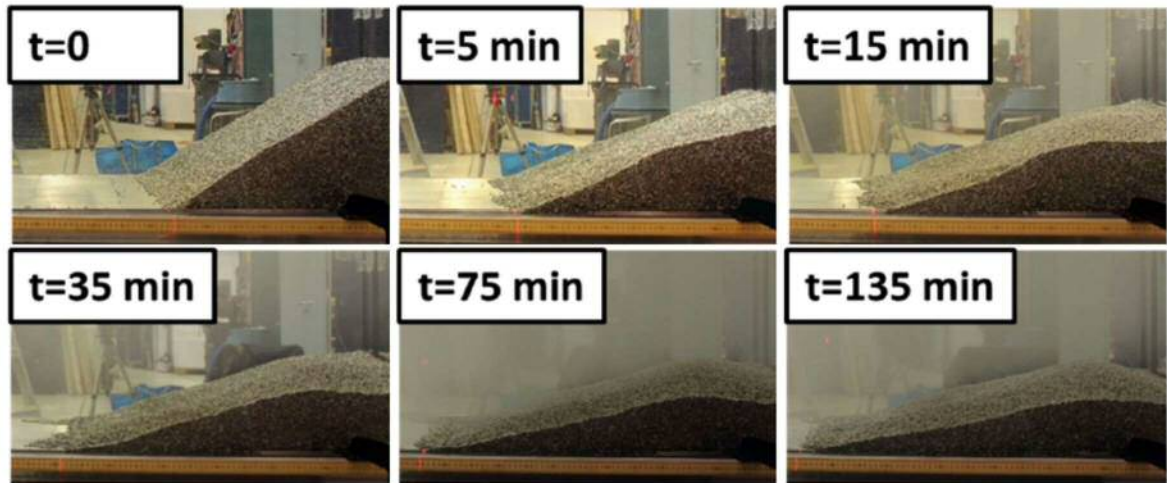
3. 実験結果

(1) P D S - E 実験

実験マトリックスを第 2 表，実験結果を第 2 図及び第 3 図に示す。P D S - E 実験における気相流体速度は最大でも 0.122m/s 程度であり，粒子状デブリベッドの拡がりに数分～数十分の時間を要している。



第 2 図 P D S - E 実験結果



第3図 PDS-E7実験結果

第2表 PDS-E実験マトリックス

| Test No. | Facility | Particulate debris | | | Total air flow rate (L/s) | Study group | Remarks* | Relative bed front propagation, (mm) | |
|----------|----------|--------------------|-----------|---------------------------|---------------------------|-------------|----------|--------------------------------------|-------|
| | | Material† | Mass (kg) | Volume (dm ³) | | | | After 1h | Final |
| E2 | PDS-1 | Gravel | ~13 | 10 | 2.8 | A, B, F | O | 130 | 170 |
| E3 | PDS-1 | Gravel | ~13 | 10 | 5.7 | A, B, F | O | 270 | 300 |
| E4 | PDS-1 | SS cylinders | 30.4 | 6 | 2.8 | B | O | 70 | 135 |
| E5 | PDS-1 | SS cylinders | 30.4 | 6 | 2.8 | C | O | 43 | 120 |
| E6 | PDS-1 | SS cylinders | 30.4 | 6 | 2.8 | C | | 12 | 25 |
| E7 | PDS-2 | SS cylinders | 200 | 38.5 | 20 | A, C | O | 270 | 315 |
| E8 | PDS-2 | SS cylinders | 200 | 38.5 | 12 | A, C | O | 165 | 205 |
| E9 | PDS-2 | SS cylinders | 200 | 38.5 | 12 | C | | 32 | 38 |
| E10 | PDS-2 | SS cylinders | 200 | 38.5 | 18 | D, H | N | 65 | 72 |
| E11 | PDS-2 | SS cylinders | 200 | 38.5 | 18 | D, H | N | 67 | 71 |
| E12 | PDS-2 | SS cylinders | 200 | 38.5 | 18 | D, E, F | | 99 | 99 |
| E13 | PDS-2 | SS cylinders | 200 | 38.5 | 9 | E, F | | 43 | 44 |
| E14 | PDS-2 | SS cylinders | 200 | 38.5 | 18 | E, F | no water | 0 | 0 |
| E15 | PDS-2 | SS cylinders | 160 | ~37 | 18 | F | | 100 | 100 |
| | | SS spheres | 40 | | | | | | |
| E18 | PDS-2 | SS cylinders | 181 | 34.6 | 20 | D, G | N, i0 | 32 | 44 |
| E19 | PDS-2 | SS cylinders | 181 | 34.6 | 20 | D, G | N, i10 | 89 | 89 |
| E20 | PDS-2 | SS cylinders | 93 | 17.9 | 20 | D, G | N, i15 | 71 | 71 |
| E21 | PDS-2 | SS cylinders | 176 | 33.5 | 22 | D, G | N, i0 | 33 | 41 |
| E22 | PDS-2 | SS cyl. | 122 | 23.3 | 22 | D, G | N, i10 | 30 | 40 |
| E23 | PDS-2 | SS cyl. | 93 | 17.7 | 22 | D, G | N, i15 | 44 | 57 |

*O=open leading edge chamber; N=friction net is used; i=inclination angle in degrees.

†SS=stainless steel.

(2) PDS-C実験

実験マトリックスを第3表に示す。PDS-C実験の気相流体速度は

0.34 m/s～2.09m/s と大きく，粒子状デブリベッドの拡がりに要する時間は数秒～数百秒オーダーであり，極めて短時間で均一化される結果となっている。

第3表 PDS-C実験マトリックス

| Test No. | Initial debris bed triangle type | Air injection | | | Water level (cm) | Debris bed settling time (sec) | Initial air injection method |
|----------|----------------------------------|----------------------------|---------------------------------------|--------------------------------------|------------------|--------------------------------|------------------------------|
| | | Flow rate, Q_g (liter/s) | Superficial velocity, v_{air} (m/s) | Ratio $\frac{v_{air}}{u_{mf}^{air}}$ | | | |
| C1 | right | 10 | 0.34 | 0.13 | 55 | ~480 | Instant |
| C1B | right | 10 | 0.34 | 0.13 | 45.5 | ~480 | Gradual |
| C2 | right | 20 | 0.69 | 0.26 | 45.5 | ~390 | Gradual |
| C3 | right | 30 | 1.04 | 0.39 | 45.5 | ~240 | Gradual |
| C4 | right | 40 | 1.39 | 0.53 | 45.5 | ~60 | Gradual |
| C5 | right | 50 | 1.74 | 0.66 | 45.5 | ~10 | Gradual |
| C6 | right | 60 | 2.09 | 0.80 | 45.5 | ~2 | Gradual |
| C7 | isosceles | 20 | 0.69 | 0.26 | 45.5 | ~60 | Gradual |
| C8 | isosceles | 10 | 0.34 | 0.13 | 45.5 | ~130 | Gradual |
| C9 | isosceles | 30 | 1.04 | 0.39 | 45.5 | ~40 | Gradual |
| C10 | isosceles | 40 | 1.39 | 0.53 | 45.5 | ~6 | Gradual |
| C11 | isosceles | 40 | 1.39 | 0.53 | 45.5 | ~3 | Gradual |
| C12 | isosceles | 30 | 1.04 | 0.39 | 45.5 | ~4 | Gradual |

(3) 結論

気相流体速度が相対的に小さいPDS-E実験では，粒子状デブリベッドの均一化に要する時間が数分～数十分に及ぶが，気相流体速度が大きいPDS-C実験では数秒～数百秒と早く均一化が進む頃が確認されている。

実機においては，溶融炉心が落下した直後は，高温の溶融炉心から冷却材に急激に伝熱が進むことから発生蒸気速度は十分に大きいものと考えられるため，落下直後に十分な均一化が進むと期待できる。

参考文献

- [1] A. Konovalenko et al., Experimental and Analytical Study of Particulate Debris Bed Self-Leveling, NUTHOS-9, Kaohsiung, Taiwan, September 9-13, 2012.
- [2] P. Kudinov et al., Investigation of Debris Bed Formation, Spreading and Coolability, NKS-287, Royal Institute of Technology, KTH, Sweden, August 2013.

主要解析条件（R P V破損後のデブリ冠水維持に関連するもの）

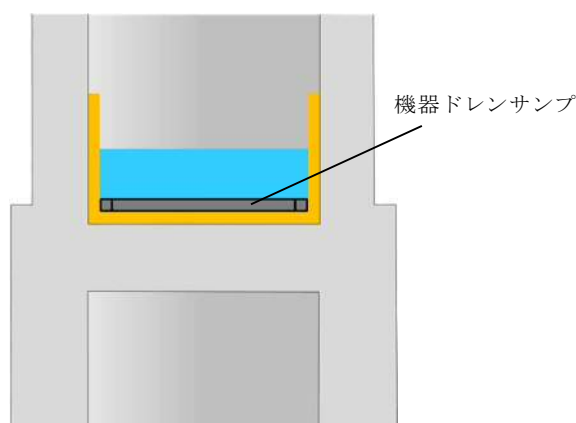
| 項目 | 主要解析条件 | 条件設定の考え方 | |
|-------|----------------|--|---|
| 解析コード | MAAP | — | |
| 初期条件 | 原子炉停止後の崩壊熱 | ANSI/ANS-5.1-1979 燃焼度 33GWd/t | 1サイクルの運転期間（13ヶ月）に調整運転期間（約1ヶ月）を考慮した運転期間に対応する燃焼度を設定 |
| | 格納容器圧力 | 5kPa[gage] | 通常運転時の格納容器圧力を包含する値 |
| | 格納容器雰囲気温度 | 57℃ | 通常運転時の格納容器雰囲気温度（ドライウエル内ガス冷却装置の設計温度）として設定 |
| | 外部水源の温度 | 35℃ | 年間の気象条件変化を包含する高めの水温を設定 |
| | サプレッション・プール水温度 | 32℃ | 通常運転時のサプレッション・プール水温度の上限値として設定 |
| | デブリからプール水への熱流束 | 800kW/m ² 相当（圧力依存性あり） | 過去の知見に基づき水張りの効果を考慮して設定 |
| 事故条件 | 起因事象 | 給水流量の全喪失 | 原子炉水位の低下の観点で厳しい事象を設定 |
| 機器条件 | 格納容器下部注水系（常設） | 80m ³ /hにてペDESTAL（ドライウエル部）へ注水開始（RPV破損から7分後） | 熔融炉心の冠水が継続可能な流量として設定 |

デブリ落下時に機器ドレンサンプが健全な場合の影響について

1. はじめに

ペDESTAL（ドライウェル部）内にはSUS製の機器ドレンサンプを設置する（第1図）。RPV破損時のデブリ温度が2,000℃以上であるのに対し、SUS材の融点は1,400℃前後であるため、デブリ落下時には機器ドレンサンプは溶融して溶融デブリに取り込まれ、ペDESTAL（ドライウェル部）内に均一に拡がると考えられる。ここで、デブリ落下時に機器ドレンサンプが溶融せず健全であると仮定した場合に、プール水深及び溶融炉心・コンクリート相互作用による侵食量に与える影響を評価する。

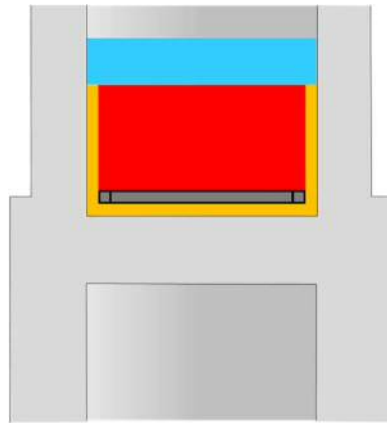
なお、設計の進捗により機器ドレンサンプの形状が変更となる可能性を考慮し、ここでは、機器ドレンサンプの体積を既設のサンプと同等の とし、コリウムシールド内周全体に沿って設置した条件で評価を行う。



第1図 機器ドレンサンプ設置イメージ

2. プール水深に与える影響

機器ドレンサンプが健全な場合のデブリ堆積高さは約 0.12m 上昇する。また、機器ドレン水は機器ドレンサンプ内に維持されることから、デブリ上の水プール水深は約 0.11m 低下し、粒子化したデブリの範囲を除いた水プール水深は約 0.58m となる（第 2 図）。有効性評価の結果から、RPV破損によるデブリ落下からペDESTAL（ドライウエル部）注水開始までのペDESTAL（ドライウエル部）水位低下量は、過渡事象の場合は約 0.34m、LOCA 事象の場合は約 0.44m であり、デブリの冠水は維持される。



第 2 図 機器ドレンサンプが健全な場合のデブリ堆積形状

3. 溶融炉心・コンクリート相互作用による侵食量に与える影響

機器ドレンサンプが溶融した場合と健全な場合において、デブリ上のプール水、ペDESTAL（ドライウエル部）側面及び床面コンクリート並びに機器ドレンサンプが、それぞれデブリと接触する面積は第 1 表のとおりである。

第1表 デブリとの接触面積の比較

| | デブリとの接触面積 | |
|----------------------------|----------------------|---------------------|
| | ①機器ドレンサンプが 溶融した場合 | ②機器ドレンサンプが 健全な場合 |
| デブリ上のプール水 | | |
| ペDESTAL（ドライウ ェル部）側面及び床面 | | |
| 機器ドレンサンプ | | |
| 合計 | 約 86m ² | 約 87m ² |

機器ドレンサンプが健全な場合（②）の接触面積の合計は、機器ドレンサンプが溶融した場合（①）と同等であり、また、機器ドレンサンプとの接触面においてはサンプ内の冷却水による除熱効果も加わることから、②は①に比べてデブリの冷却がより進むと考えられる。

なお、②は一時的な期間であり、機器ドレンサンプはデブリにより溶融するため、長期的な物理挙動である溶融炉心・コンクリート相互作用による侵食量への影響はほとんどないと考えられる。

4. まとめ

機器ドレンサンプが健全な場合、デブリ上のプール水深は低下するもののデブリの冠水は維持されるとともに、溶融炉心・コンクリート相互作用による侵食量は低減すると考えられる。以上から、機器ドレンサンプが溶融せず健全な場合においても、デブリ露出や侵食量増加の観点での悪影響はないと考えられる。

コリウムシールド材料の選定について

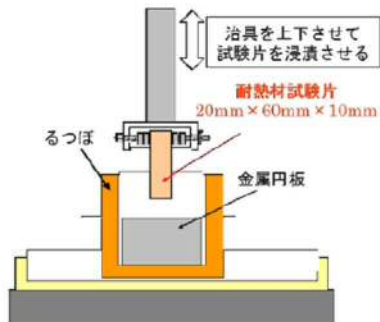
原子炉の過酷事故において、放射性物質が環境へ放出することを防ぐため、溶融炉心による格納容器の侵食を抑制する静的デブリ冷却システムの開発に取り組んでいる。溶融炉心を受け止めて保持する役割を担う耐熱材は、高融点でかつ化学的安定性に優れていることが必要であることから、候補材としては、, , ZrO_2 等が挙げられる。模擬溶融炉心と上記耐熱材との侵食データを取ることを目的として、侵食試験を実施した。

以下に溶融Zr及び模擬溶融炉心(UO_2-ZrO_2-Zr)による耐熱材侵食試験の概要について示す。この結果より、コリウムシールド材料としてZr O_2 を選定した。

1. 溶融Zrによる耐熱材侵食試験

1.1 試験方法

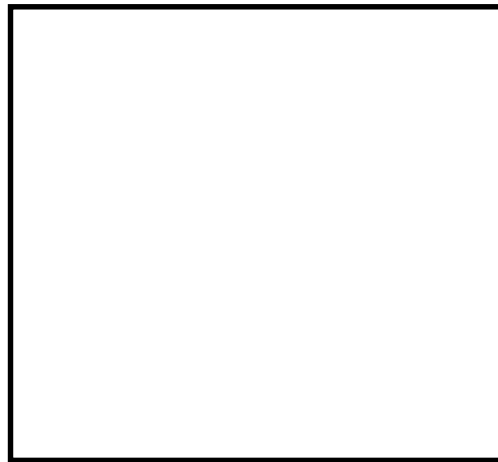
耐熱材には, , ZrO_2 の多孔質材料を用いた。模擬溶融炉心の金属成分をるつぼに入れ、るつぼ上部に耐熱材試験片をセットする(第1図)。これらを電気炉で加熱し、 $2,000^{\circ}C \sim 2,200^{\circ}C$ の所定温度にして金属を溶かす。溶融した金属中に耐熱材試験片を上部から挿入し、5分間保持する。その後、試験片を初期位置へ戻してから炉冷する。各種試験片について、冷却後に外観及び試験片の残存状態を確認した。なお、溶融炉心の主な構成材料として、BWRで使用される UO_2 , Zr, ZrO_2 , Fe等が想定されるが、試験においては、金属成分は100mol%Zrとした。



第1図 試験体系

1.2 試験結果

第2図に金属組成が100mol% Zr における試験後の耐熱材試験片の断面写真を示す。いずれの耐熱材においても、金属組成の Zr 量に応じて侵食量は増加した。また、金属組成によらず侵食量は $\square > \square > ZrO_2$ となり、 ZrO_2 , \square , \square の順に耐侵食性に優れていることが確認できた。



第2図 試験後の断面写真

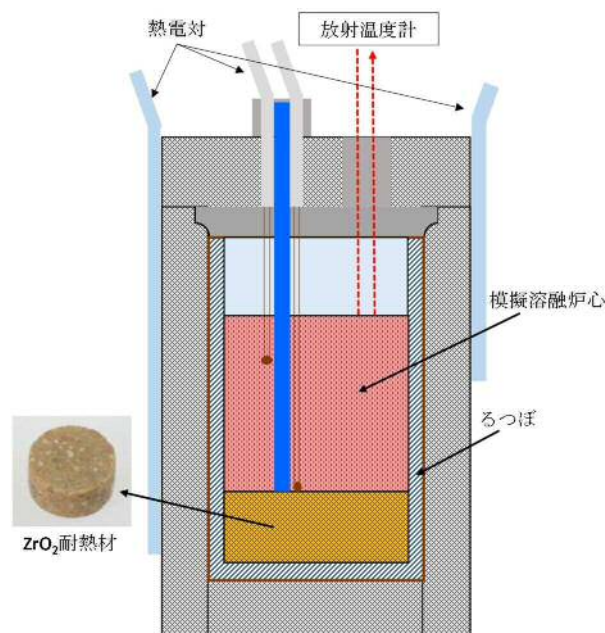
2. 模擬熔融炉心による耐熱材侵食試験

2.1 試験方法

高融点材料にて製作したるつぼ内に円柱状に加工した ZrO_2 耐熱材と模

擬熔融炉心粒子を所定の重量分装荷した。模擬熔融炉心の組成は $UO_2 - ZrO_2 - Zr$: 30mol% - 30mol% - 40mol%とした。

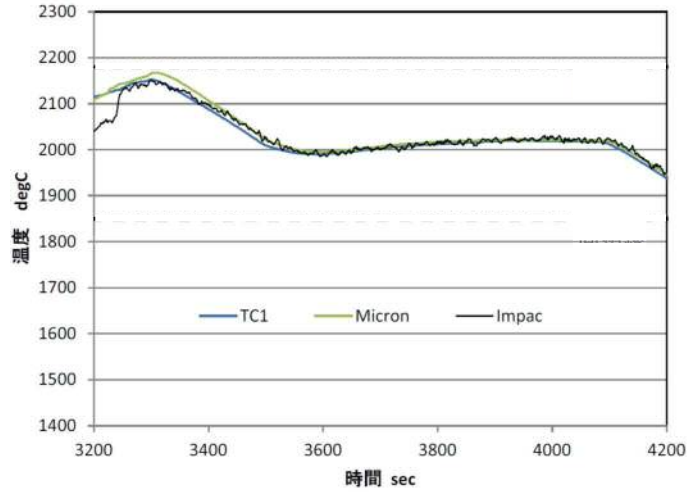
同るつぼを試験装置の誘導コイル内に設置して、誘導加熱により加熱を行った。試験中の模擬熔融炉心の温度は、放射温度計により計測した。試験時の温度は、放射温度計や熱電対にて計測している模擬熔融炉心の温度が、目標温度範囲 (2,000°C~2,100°C) に入るように温度制御を行った。温度保持時間は10分とした。



第3図 試験体系

2.2 試験結果

試験温度の推移を第4図に示す。試験においては2,000°C~2,050°Cの範囲で、約10分程度温度が保持されていることを確認した。また、試験後のるつぼの断面写真を第5図に示す。 ZrO_2 耐熱材の厚さが試験前から変わっていないことから、模擬熔融炉心による ZrO_2 耐熱材の有意な侵食がないことが分かる。



第 4 図 試験温度推移



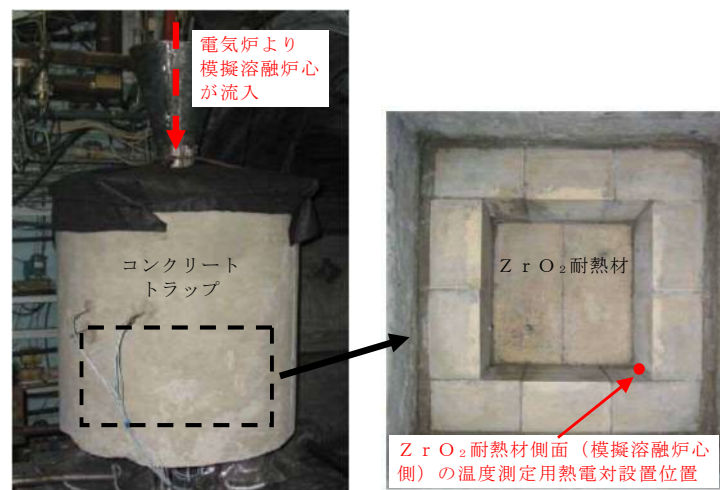
第 5 図 試験後の断面写真

3. 耐熱材への模擬熔融炉心落下試験

3.1 試験方法

耐熱材に熔融炉心が接触した際の短期的な相互作用を確認するため、ZrO₂耐熱材の上に模擬熔融炉心を落下させ、耐熱材の侵食深さの測定、耐熱材侵食性状や模擬熔融炉心の固化性状の分析などを実施した。模擬熔融炉心の組成はUO₂-ZrO₂-Zr : 30mol%-30mol%-40mol%とした。ZrO₂耐熱材を内張りしたコンクリートトラップの上部に電気炉を設置し、電

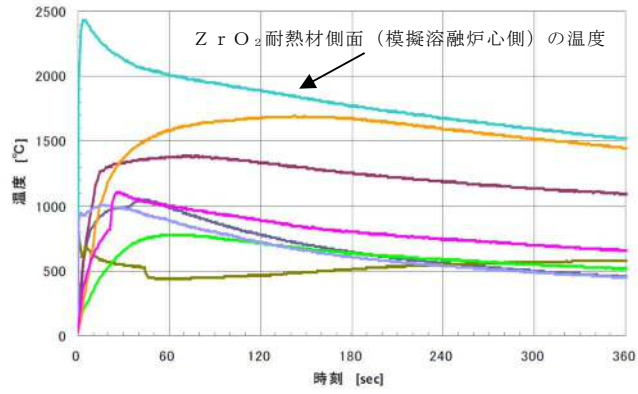
電気炉により加熱した模擬熔融炉心を ZrO_2 耐熱材上に落下させ、コンクリートトラップに設置した熱電対により ZrO_2 耐熱材の温度を測定した。



第 6 図 試験装置

3.2 試験結果

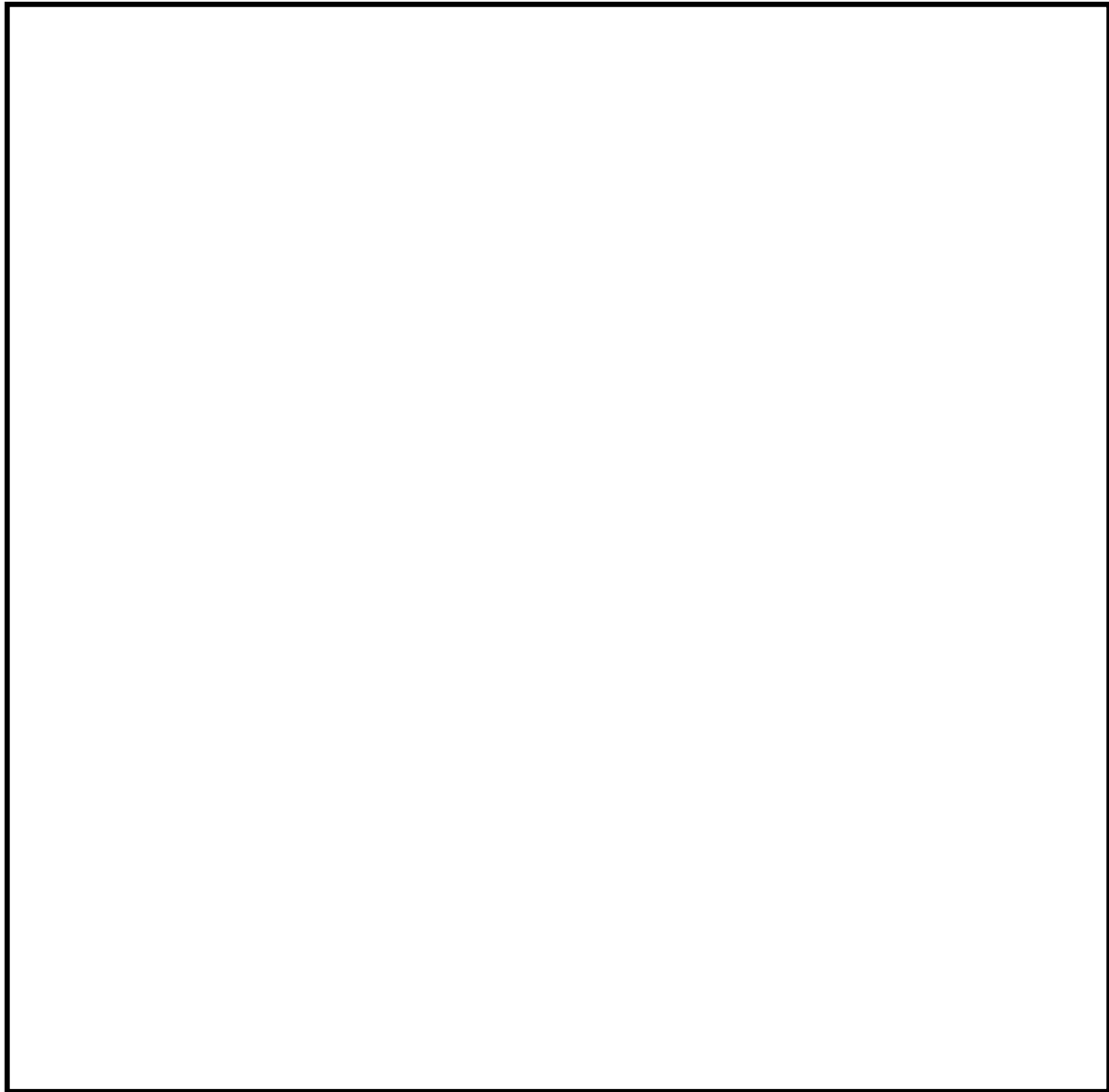
試験温度推移を第 7 図に示す。 ZrO_2 耐熱材側面（模擬熔融炉心側）の温度を測定する熱電対が模擬熔融炉心落下直後に最高温度約 $2,450^{\circ}C$ を観測したことから、落下してきた模擬熔融炉心温度は $2,450^{\circ}C$ 以上であったと推測される。また、試験後のコンクリートトラップ断面写真を第 8 図に示す。模擬熔融炉心接触部から最大で約 1cm が黒色化し、その周辺部が白色化していることが確認されたものの、顕著な耐熱材の侵食及び耐熱材の割れは確認されなかった。



第7図 試験温度推移



第8図 試験後の断面写真



第 9 図 耐熱材表面の成分分析結果

一般に、 ZrO_2 には還元雰囲気中で高温に暴露されると材料中に酸素欠損が起こり、変色する特性があることが知られている。試験においては、計測された模擬熔融炉心の温度が $2,450^{\circ}C$ 以上と高温であり、かつ模擬熔融炉心の中には金属 Zr が存在することから、模擬熔融炉心中の金属 Zr によって ZrO_2 耐熱材の表面で還元反応が起こり、酸素欠損が生じたと推測される。しかしながら、黒色部について X線回折分析を行った結果、耐熱材表面の組成に有意な変化が確認されなかったことから、欠損した酸素の量は微量であり、 ZrO_2 耐熱材の耐熱性能に影響はないと考えられる（第 9 図）。

なお、ペDESTAL（ドライウエル部）には水プールが存在するため、ペDESTAL（ドライウエル部）に落下してきた溶融炉心中に残存する未酸化の金属Zrは、水との反応によって酸化されると想定される。MAAP解析の結果から、ペDESTAL（ドライウエル部）に落下してきた溶融炉心は、2,000℃を超える高い温度でコリウムシールドと数十分接触する可能性があるが、上述のとおり、溶融炉心中の金属Zrは酸化されていると考えられることから、事故時に溶融炉心がコリウムシールドと接触したとしても、ZrO₂耐熱材の表面が還元されることによる影響は軽微であると考えられる。

4. まとめ

上記試験結果から、溶融炉心に対して高い耐性を有しているZrO₂（ジルコニア）耐熱材を、コリウムシールドに用いる材料として選定した。

※ 本試験は、中部電力(株)、東北電力(株)、東京電力ホールディングス(株)、北陸電力(株)、中国電力(株)、日本原子力発電(株)、電源開発(株)、(一財)エネルギー総合工学研究所、(株)東芝、日立GEニュークリア・エナジー(株)が実施した共同研究の成果の一部である。

コリウムシールド厚さ，高さの設定について

1. はじめに

コリウムシールドは，溶融炉心・コンクリート相互作用の影響抑制の目的で設置するが，ペDESTAL（ドライウェル部）（以下「ペDESTAL」という。）内の設備配置上，設置高さに制限があり，これを考慮した上で，原子炉圧力容器から落下する溶融炉心（以下「デブリ」という。）を全量保有でき，かつ，溶融炉心・コンクリート相互作用の影響も抑制できるよう，その厚さを設定する必要がある。以下に設定方針を示す。

2. コリウムシールド高さの設定

ペDESTAL内には人通用開口部や床ドレン配管等のドライウェルと通じる経路があるため，デブリ堆積高さがこれらの経路に到達した場合，ペDESTAL外へ流出するおそれがある。そのため，デブリをペDESTAL内に全量保有する観点から，デブリ堆積高さはデブリがペDESTAL外に流出する可能性のある経路よりも低い位置とする必要がある。ペDESTAL床高さに対して最も低い位置となる経路は，ドライウェルからペDESTAL床ドレンサンプへのドレン配管である（第1図）。当該配管の下端は，ペDESTAL床から約1.88mの位置に存在することから，コリウムシールド設置高さの上限として1.88mを設定する。

3. コリウムシールド厚さの設定

3.1 コリウムシールド厚さの設定方針

コリウムシールド厚さは，コンクリート侵食抑制及びコンクリートへの熱影響を抑制する観点から，可能な限り厚さを確保する方針とする。ただし，

コリウムシールド厚さを増やした場合の影響として、以下を考慮する。

- ・ペDESTAL床面積の減少によるデブリ保有可能量の減少

コリウムシールドの設置高さには上限があるため、厚さを増加させると保有可能なデブリ量が減少する。ペDESTAL内に落下するデブリのうち、粒子化したデブリは水プール中で冷却されやすいため、ペDESTAL内構造物への熱影響を抑制する観点では、粒子化していない熔融デブリからの寄与が大きい。そのため、コリウムシールドの厚さとしては熔融デブリが全量保有できることが重要となる。

ただし、コリウムシールド厚さの設定に当たっては、粒子化デブリからの影響も緩和できるよう、粒子化デブリも含めたデブリ全量を保有できるように考慮する。

- ・水プールとの接触面積の減少

コリウムシールド厚さを増加させると、水プールとの接触面積が減少するため、水プールへの除熱量が崩壊熱を下回ることでデブリ温度が上昇し、コリウムシールドが侵食するおそれがある。そのため、コリウムシールドの厚さを設定した上で熔融デブリによる侵食量を評価し、ペDESTALに要求される原子炉圧力容器支持機能及びデブリ保持機能に対する影響を評価する。

以上を踏まえ、コリウムシールド高さを上限である 1.88m とした上で、粒子化による堆積高さ上昇も踏まえたデブリ堆積高さを考慮した場合においてもデブリが全量保有できるコリウムシールド厚さを設定する。

3.2 デブリ保有可能量を踏まえたコリウムシールド厚さの算定

デブリ体積高さ $H_{\text{debr i}}$ は、式(1)及び式(2)で算定される。ここで、ポロシティは P U L i M S 実験等の知見を基に保守的な値として 0.5 を設定している。

$$H_{\text{debri}} = (V_m \times (1 - \Phi_{\text{ent}}) + V_s + V_m \times \Phi_{\text{ent}} \div (1 - P)) \div S_{\text{fz}} \quad (1)$$

$$S_{\text{fz}} = (L_{\text{PD}} / 2 - D_{\text{CS}})^2 \times \pi \quad (2)$$

V_m : 溶融物体積[36m³]

V_s : ペDESTAL内構造物体積[4m³] (添付資料 3.2.14 別添 1 参照)

Φ_{ent} : 粒子化割合[0.173] (添付資料 3.2.14 別添 2 参照)

P : ポロシテイ[0.5]

S_{fz} : コリウムシールドの設置を考慮した床面積[m²]

L_{PD} : ペDESTAL床直径 []

D_{CS} : コリウムシールド厚さ[m]

コリウムシールドの高さは、デブリ堆積高さとして床に設置するコリウムシールドの厚さを加えた値となるため、式(1)において H_{debri} を $(1.88 - D_{\text{CS}})$ m として計算した結果、 $D_{\text{CS}} = \text{約 } 0.15\text{m}$ となる。よって、デブリ保有可能性を踏まえると、コリウムシールド厚さは 0.15m となる。

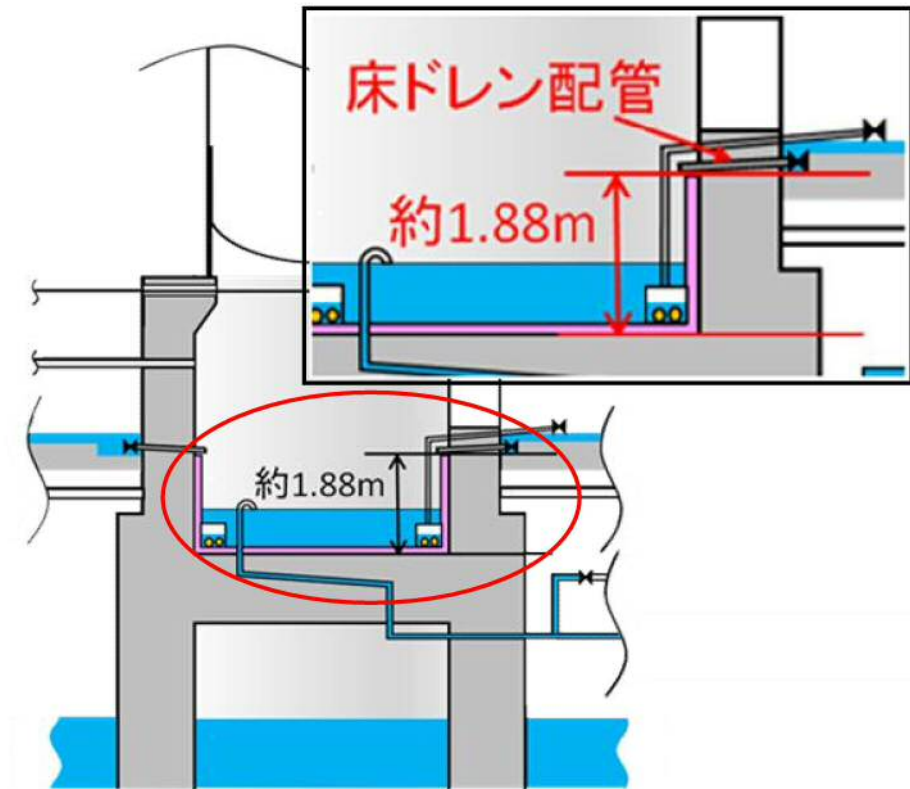
3.3 その他の影響を踏まえたコリウムシールド厚さの設定

コリウムシールド厚さが 0.15m の場合、コリウムシールドの侵食は発生しないことを添付資料 3.5.1 にて確認している。また、添付資料 3.5.2 にて、コンクリートの温度履歴を基に、原子炉圧力容器支持機能及びデブリ保持機能を評価した結果、これらの機能が損なわれないことを確認している。以上より、コリウムシールド厚さが 0.15m の場合でも、原子炉圧力容器支持機能及びデブリ保持機能への影響はない。

また、熱影響の観点で寄与が大きい溶融デブリに着目すると、デブリ全量(溶融物体積[約 36m³]及びペDESTAL内構造物体積[約 4m³])が溶融デブリと仮定した場合におけるデブリ堆積高さは約 1.63m であり、コリウムシールド

ド高さ約 1.88m に対して余裕がある。

以上から、コリウムシールド厚さを 0.15m とする。



第 1 図 デブリがペDESTAL外へ流出する可能性のある経路

原子炉圧力容器の破損位置について

解析コードM A A Pでは、原子炉圧力容器の破損モードとして以下のものが考慮されており、解析においてはこれらの中から判定された破損モードが適用される。

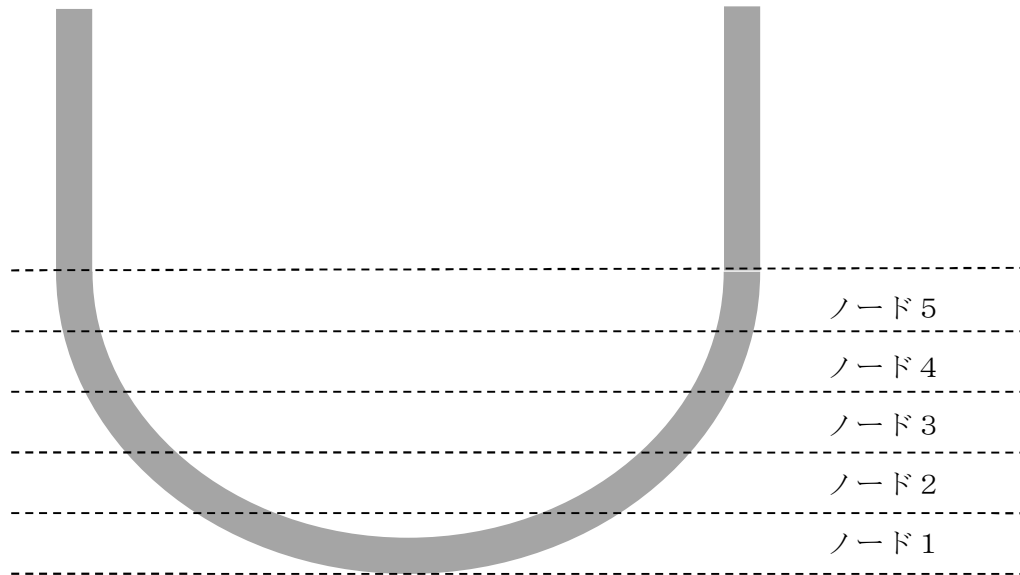
- a) 下部ヘッド貫通部への溶融物流入による破損
- b) 下部ヘッド貫通部の逸出
- c) デブリジェットの衝突による下部ヘッドの局所破損
- d) 金属層による原子炉圧力容器壁の破損
- e) 原子炉圧力容器のクリープ破損

原子炉圧力容器の下部ヘッドは径方向（5 ノード）及び厚さ方向（5 ノード）に分割されており、ノードごとに破損に至っているかの判定が行われる。第 1 図に原子炉圧力容器下部ヘッドのノード分割の概念図を示す。

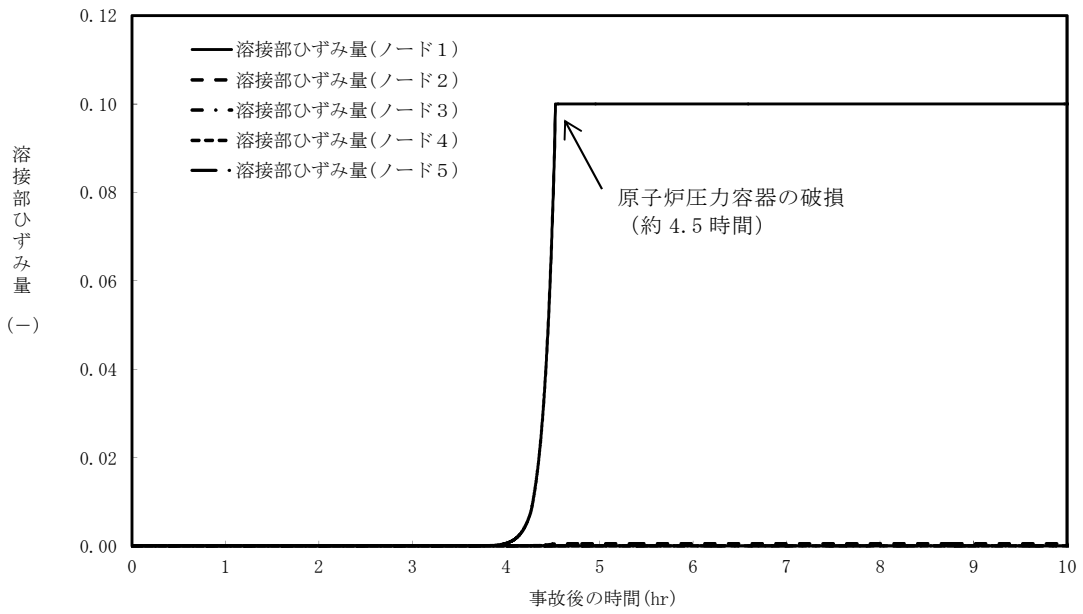
有効性評価のうち、3.2 高压溶融物放出／格納容器雰囲気直接加熱にて対象としている事故シーケンス「過渡事象＋高压炉心冷却失敗＋原子炉減圧失敗＋炉心損傷後の原子炉減圧失敗（＋D C H）」（「3.3 原子炉圧力容器外の溶融燃料－冷却材相互作用」及び「3.5 溶融炉心・コンクリート相互作用」の評価事故シーケンスへの対応及び事象進展と同じ）においては、下部プレナムへ移行した溶融炉心からの加熱により、原子炉圧力容器下部の中心部ノードの温度が最も高くなり、制御棒駆動機構ハウジング溶接部のひずみ量がしきい値（0.1）に至ることによる原子炉圧力容器破損（「b）下部ヘッド貫通部の逸出」に該当）が最初に判定される結果となっている。

径方向のノードごとの制御棒駆動機構ハウジング溶接部のひずみ量の推移を第 2 図に、原子炉圧力容器下部ヘッド温度の推移を第 3 図に示す。第 2 図に示すとおり、原子炉圧力容器下部の中心ノードに該当するノード 1 のひずみ量が

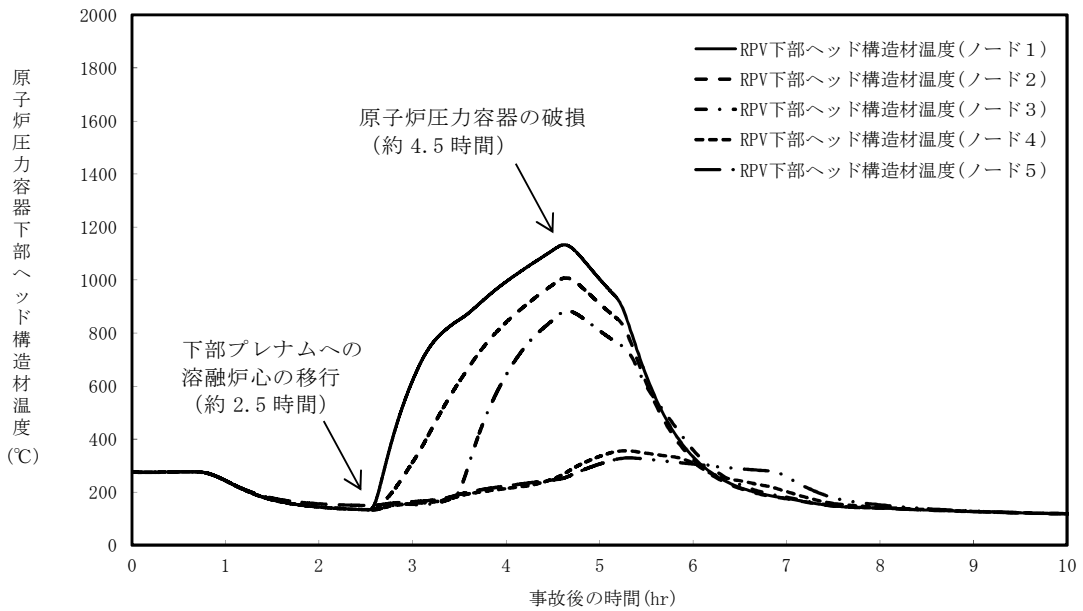
しきい値 (0.1) に達して原子炉压力容器破損に至っている。また、第 3 図に示すとおり、ノード 1 が高温を長時間維持していることが確認された。



第 1 図 原子炉压力容器下部ヘッドのノード分割 (概念図)



第 2 図 径方向のノードごとの制御棒駆動機構ハウジング溶接部のひずみ量



第 3 図 径方向のノードごとの原子炉压力容器下部ヘッド温度

格納容器内に注入する窒素温度条件について

1. 窒素温度による事象進展への影響

東海第二発電所では、格納容器内における水素燃焼を防止するため、格納容器内酸素濃度が4.0vol%（ドライ条件）に到達すれば格納容器内に窒素を注入することとしている。

有効性評価の解析においては、注入する窒素の流量以外に、注入する窒素温度を設定する必要がある、この窒素温度によって事象進展には次のような影響がある。

(1) 格納容器雰囲気温度

注入する窒素温度が高い方が、格納容器雰囲気温度が高くなる。

(2) 格納容器圧力

窒素注入時は、0.31MPa[gage]（200m³/hでの窒素注入時）又は0.465MPa[gage]（400m³/hでの窒素注入時）到達により窒素注入を停止することから、窒素温度による格納容器圧力への影響はない。

(3) 格納容器内酸素濃度

密度が大きくなる窒素温度が低い条件の場合、時間当たり注入する窒素の質量が大きく、窒素注入開始から格納容器圧力0.31MPa[gage]又は0.465MPa[gage]到達までの時間が短くなる。また、代替循環冷却系の起動後は格納容器圧力が低下傾向になるため、窒素注入開始から格納容器圧力0.31MPa[gage]又は0.465MPa[gage]到達までに要する時間が短い場合、注入する窒素の総質量が小さくなる。したがって、窒素温度の低い方が、窒素注入停止時点での格納容器内酸素濃度（ドライ条件及びウェット条件）は高くなる。

以上より、窒素温度の低い方が格納容器内酸素濃度4.3vol%（ドライ条件）到達までの時間が早くなり、事故発生後の格納容器ベントまでの時間が短くなる。

なお、注入する窒素温度は格納容器雰囲気温度よりも低いため、窒素温度の低い方が、格納容器内の蒸気をより凝縮することとなり、格納容器内酸素濃度（ウェット条件）は高くなる。

したがって、格納容器雰囲気温度と格納容器内酸素濃度に対しては、その挙動が厳しくなる窒素温度の条件が異なる。

2. 有効性評価における窒素温度について

水戸地方気象台での観測記録によれば最高気温は38.4℃であり、空気が可搬型窒素供給装置内の空気圧縮機を通過することにより温度が最大15℃上昇する可能性があることから、格納容器内に注入される窒素の最高温度としては55℃と想定する。

$$38.4 + 15 = 53.4 \approx 55^{\circ}\text{C}$$

一方で、水戸地方気象台での観測記録によれば最低気温は-12.7℃であるが、可搬型窒素供給装置内の空気圧縮機の通過及び建屋内温度による窒素注入配管内での暖気の影響を考慮し、格納容器内に注入される窒素の最低温度としては0℃と想定する。

以上を踏まえ、有効性評価における窒素温度は以下のとおりとしている。

(1) 有効性評価

上記の格納容器内に注入される窒素の最高温度(55℃)及び最低温度(0℃)の平均的な温度条件として30℃^{*1}とする。

$$(55 + 0) / 2 = 27.5 \approx 30^{\circ}\text{C}$$

※1 入力条件として、比熱と密度を設定する。比熱は、注入する窒素のエネルギーを算出し、格納容器内のエネルギー増分を解析するために必要であり、高めの温度として30℃条件とする。密度は、注入する窒素の質量を算出し、格納容器圧力の増分を解析するために必要であり、格納容器酸素濃度（ドライ条件及びウェット条件）を高め評価する観点から低めの温度として、最低温度である0℃条件とする。

(2) 窒素温度の感度解析条件

格納容器雰囲気温度に対しては、格納容器雰囲気温度を厳しく評価する観点で最大の窒素温度が厳しくなる。

格納容器内酸素濃度に対しては、窒素温度を低くすることで格納容器ベントまでの時間が短くなり放射性物質の放出量が多くなることが考えられるが、窒素注入開始時間は事故後約19時間よりも遅く、Cs-137放出量評価及び中央制御室の居住性評価の対象である格納容器破損モード「雰囲気圧力・温度による静的負荷（格納容器過圧・過温破損）」における代替循環冷却系を使用できない場合（事故後約19時間で格納容器ベントを実施）よりも格納容器ベントまでの時間は長くなる。Cs-137放出量評価及び中央制御室の居住性評価においては、格納容器破損モード「雰囲気圧力・温度による静的負荷（格納容器過圧・過温破損）」における代替循環冷却系を使用できない場合において判断基準を満足することを確認しており、窒素温度を低くした場合のCs-137放出量評価及び中央制御室の居住性評価への影響はない。

以上から、窒素温度による格納容器雰囲気温度の影響を確認する観点から、感度解析条件として55℃^{*2}とする。

$$38.4 + 15 = 53.4 \approx 55^{\circ}\text{C}$$

※2 比熱は55℃の条件としており、格納容器雰囲気温度に影響しない密度についても55℃の条件とする。

3. 窒素温度による事象進展の違いについて

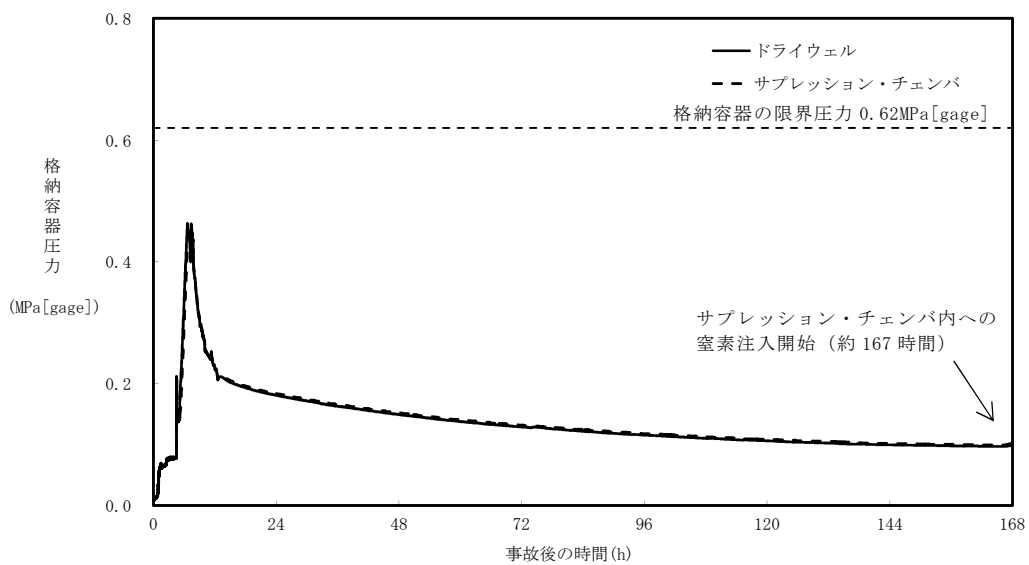
格納容器破損モード「高圧溶融物放出／格納容器雰囲気直接加熱」におけるベースケースと原子炉圧力容器破損後に原子炉注水しない場合の感度解析ケースについて、窒素温度を30℃及び55℃とした場合の格納容器圧力、格納容器雰囲気温度及び格納容器内の気相濃度の推移を第1図から第16図に示す。

ベースケース（第1図から第8図）では、両条件ともにほぼ同様の挙動である。

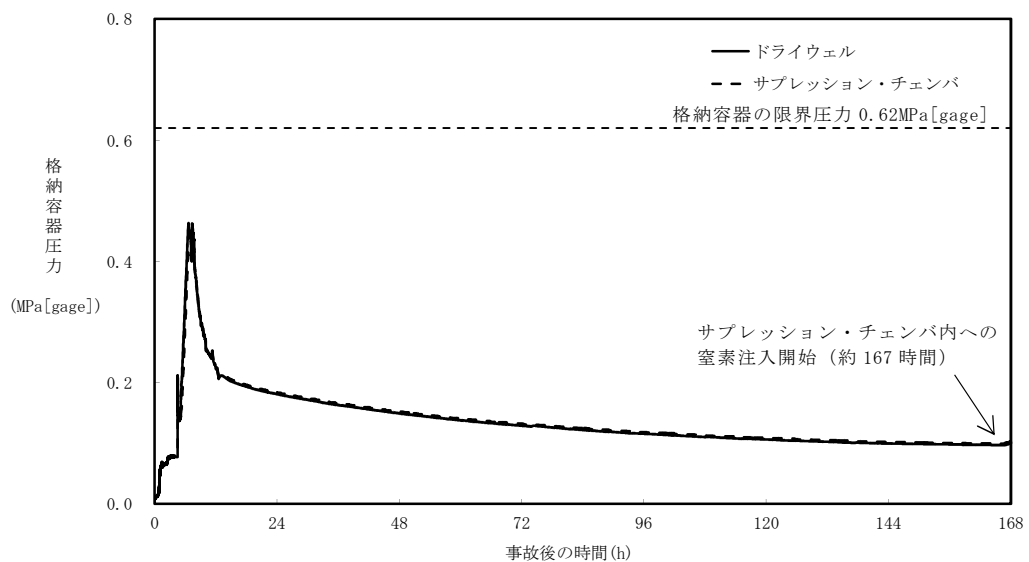
原子炉圧力容器破損後に原子炉注水しない場合の感度解析ケース（第9図から第16図）では、窒素注入を開始する約133時間後までは両条件ともに同じ挙動であるが、窒素温度を30℃とした場合は窒素注入停止が約163時間後であり、55℃とした場合に比べて窒素注入の停止タイミングが早い。ただし、その他の挙動はほぼ同様であり、窒素温度による事象進展への影響は軽微である。

4. まとめ

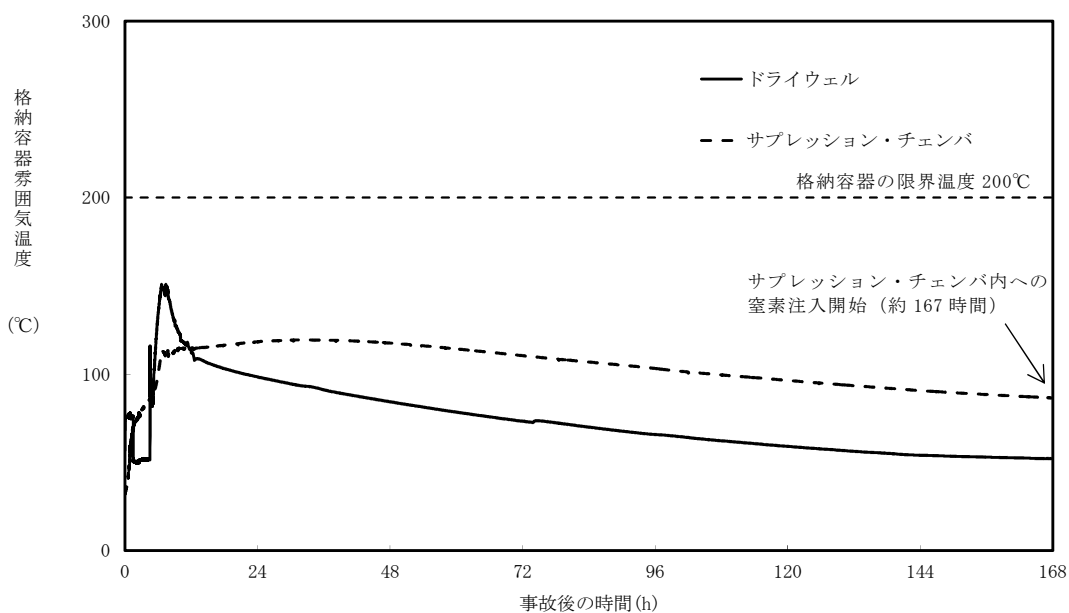
有効性評価においては、格納容器内に注入される窒素の平均的な温度条件として30℃条件としている。また、格納容器内に注入される窒素温度の感度を示すため、窒素温度を55℃とした場合の感度解析を実施した結果、事象進展への影響は軽微であることを確認した。



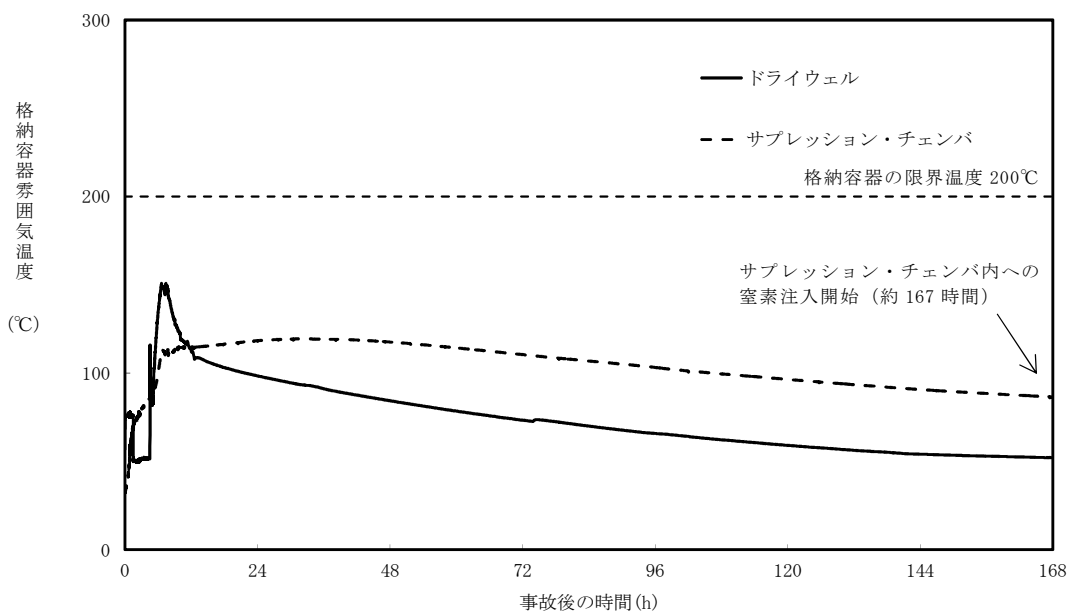
第 1 図 高压熔融物放出／格納容器雰囲気直接加熱における
格納容器圧力の推移（窒素注入温度：55℃）



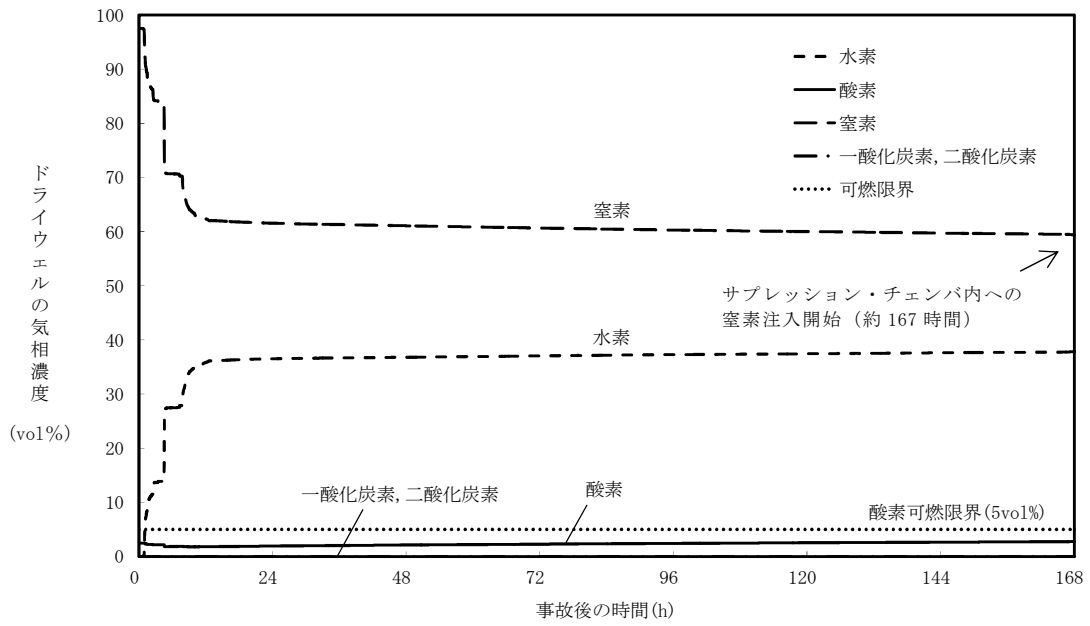
第 2 図 高压熔融物放出／格納容器雰囲気直接加熱における
格納容器圧力の推移（窒素注入温度：30℃）



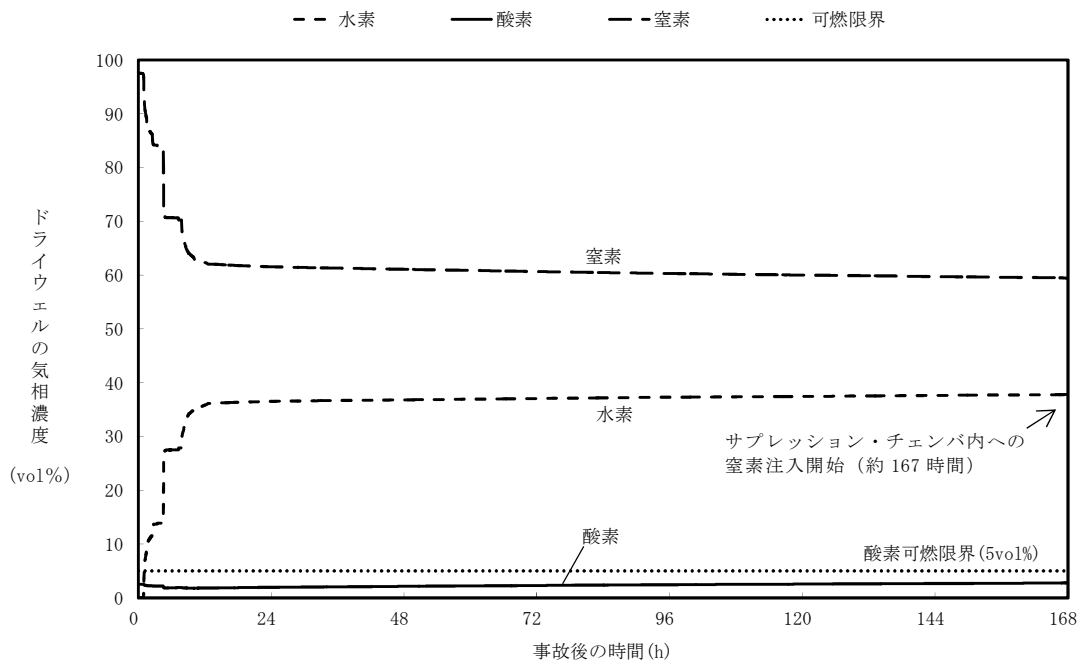
第 3 図 高圧熔融物放出／格納容器雰囲気直接加熱における
格納容器雰囲気温度の推移（窒素注入温度：55℃）



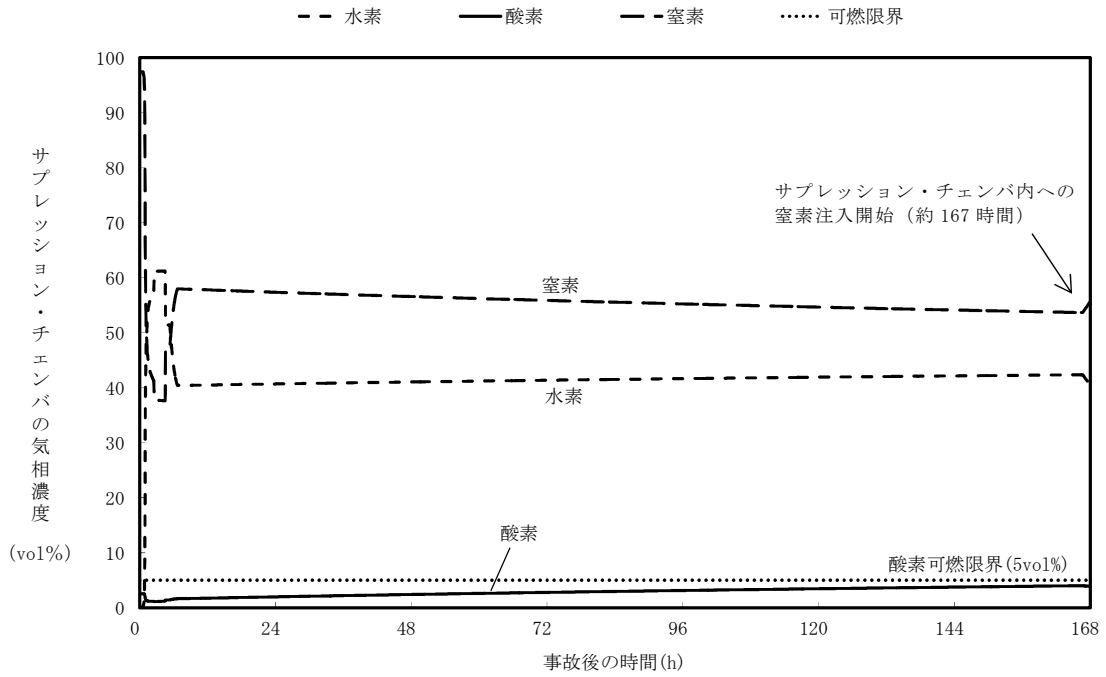
第 4 図 高圧熔融物放出／格納容器雰囲気直接加熱における
格納容器雰囲気温度の推移（窒素注入温度：30℃）



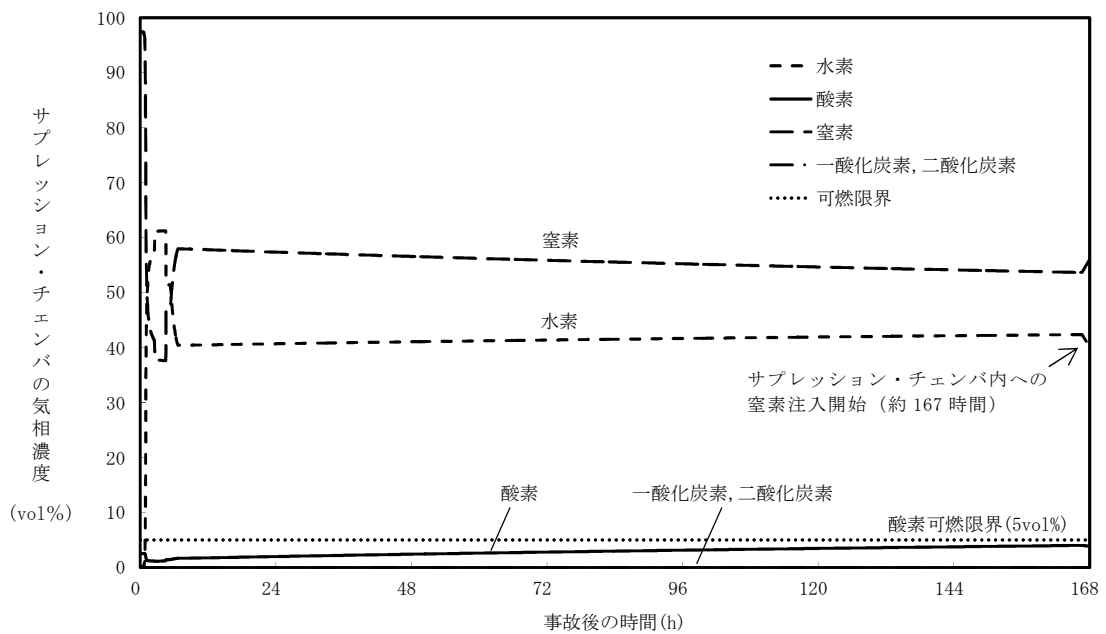
第 5 図 高圧溶融物放出／格納容器雰囲気直接加熱における
 ドライウエルの気相濃度推移（ドライ条件）
 （窒素注入温度：55℃）



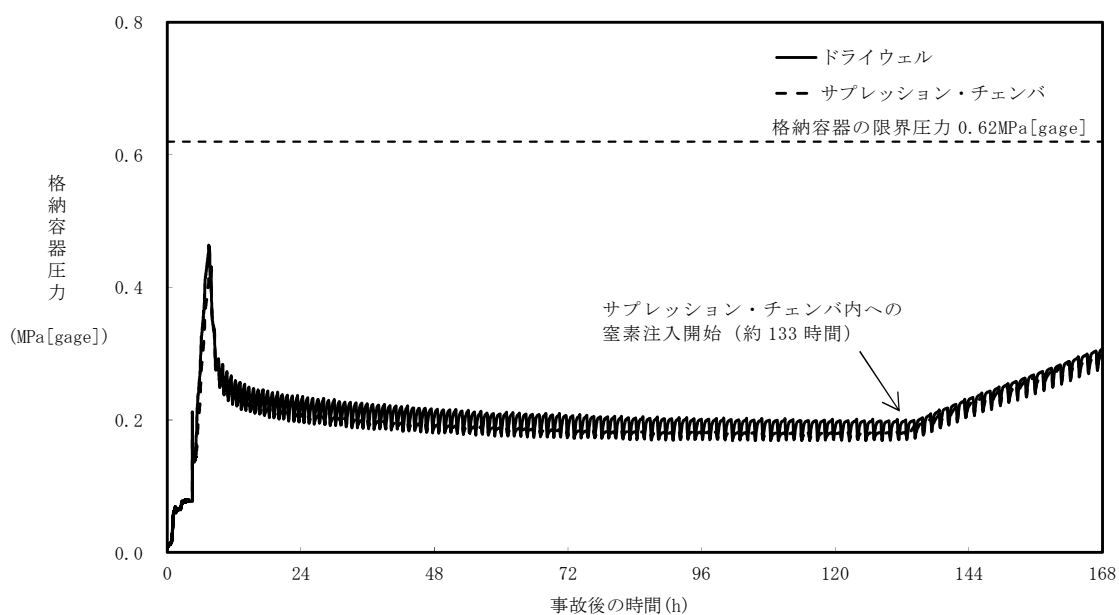
第 6 図 高圧溶融物放出／格納容器雰囲気直接加熱における
 ドライウエルの気相濃度推移（ドライ条件）
 （窒素注入温度：30℃）



第 7 図 高圧溶融物放出／格納容器雰囲気直接加熱における
 サプレッション・チェンバの気相濃度推移
 (窒素注入温度：55℃)



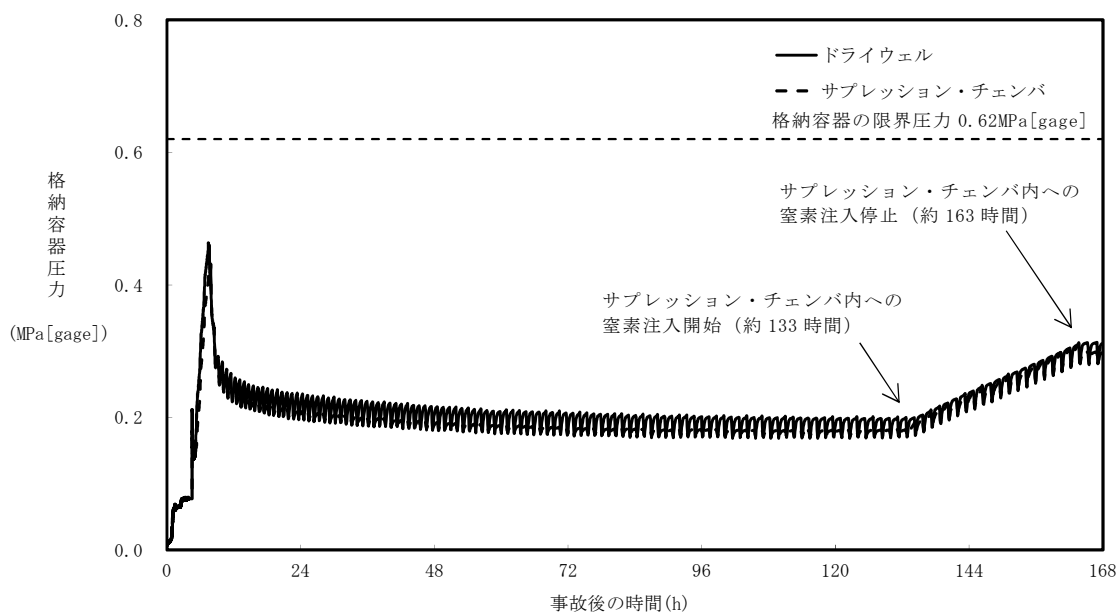
第 8 図 高圧溶融物放出／格納容器雰囲気直接加熱における
 サプレッション・チェンバの気相濃度推移
 (窒素注入温度：30℃)



第 9 図 高圧溶融物放出／格納容器雰囲気直接加熱において

原子炉压力容器破損後に原子炉注水しない場合の

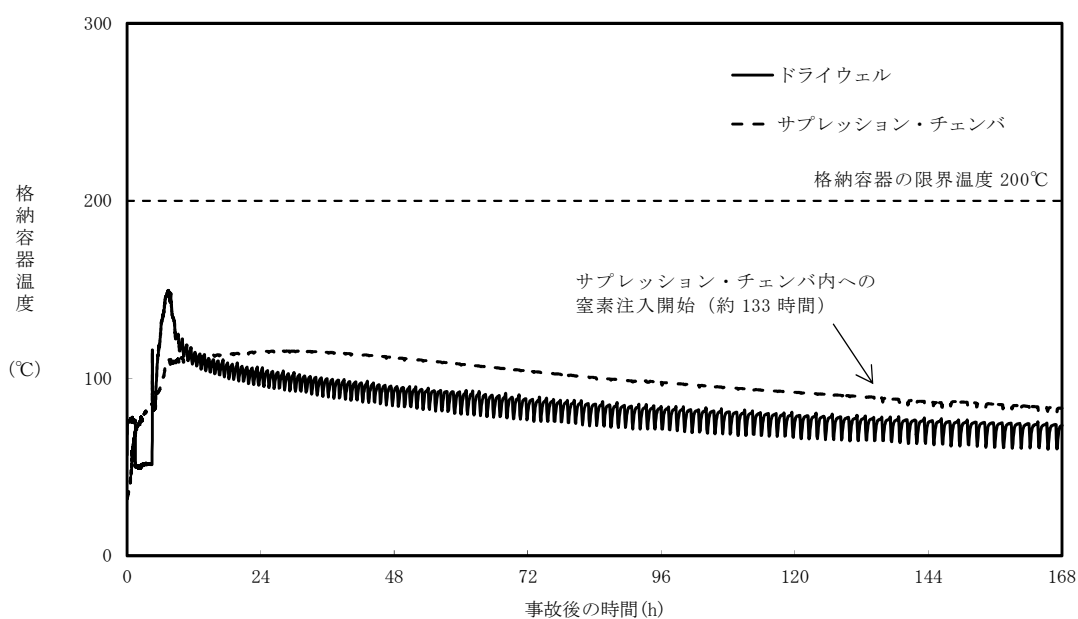
格納容器圧力の推移（窒素注入温度：55℃）



第 10 図 高圧溶融物放出／格納容器雰囲気直接加熱において

原子炉压力容器破損後に原子炉注水しない場合の

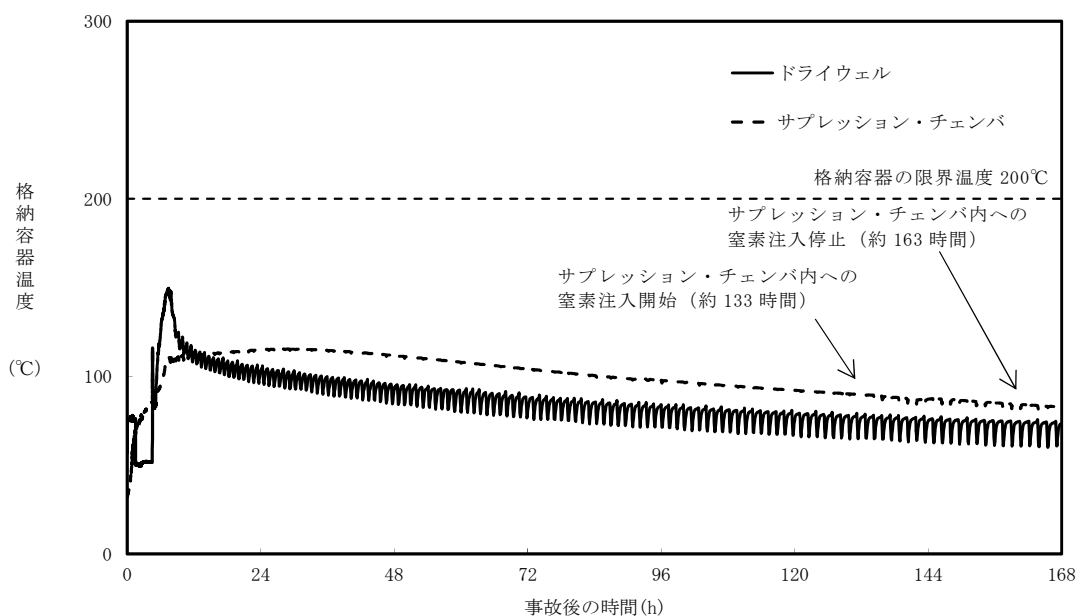
格納容器圧力の推移（窒素注入温度：30℃）



第 11 図 高圧溶融物放出／格納容器雰囲気直接加熱において

原子炉圧力容器破損後に原子炉注水しない場合の

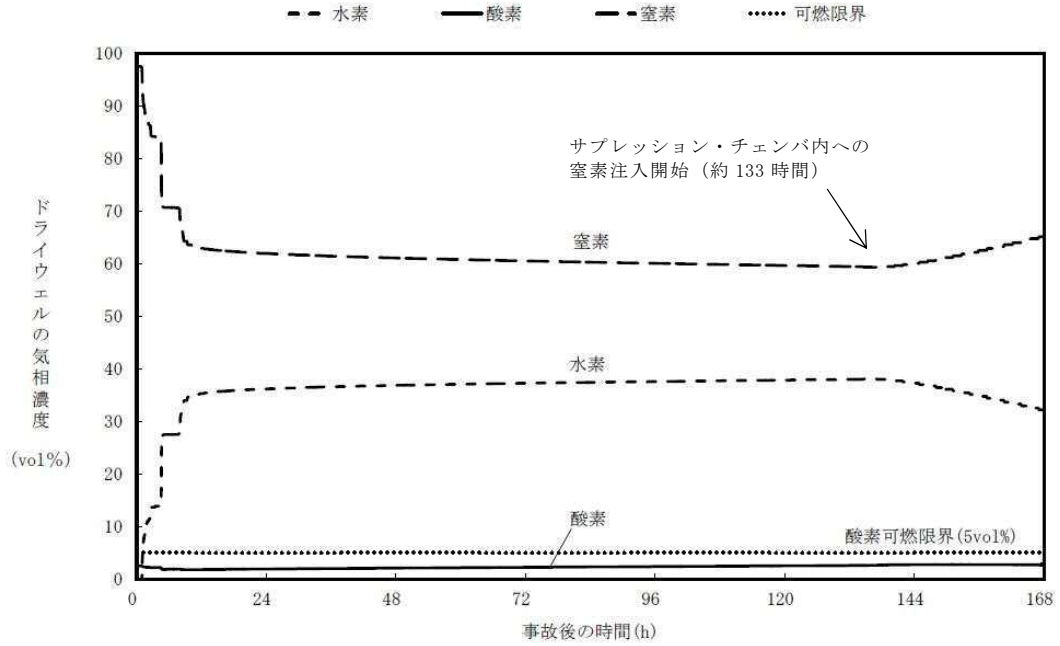
格納容器雰囲気温度の推移（窒素注入温度：55°C）



第 12 図 高圧溶融物放出／格納容器雰囲気直接加熱において

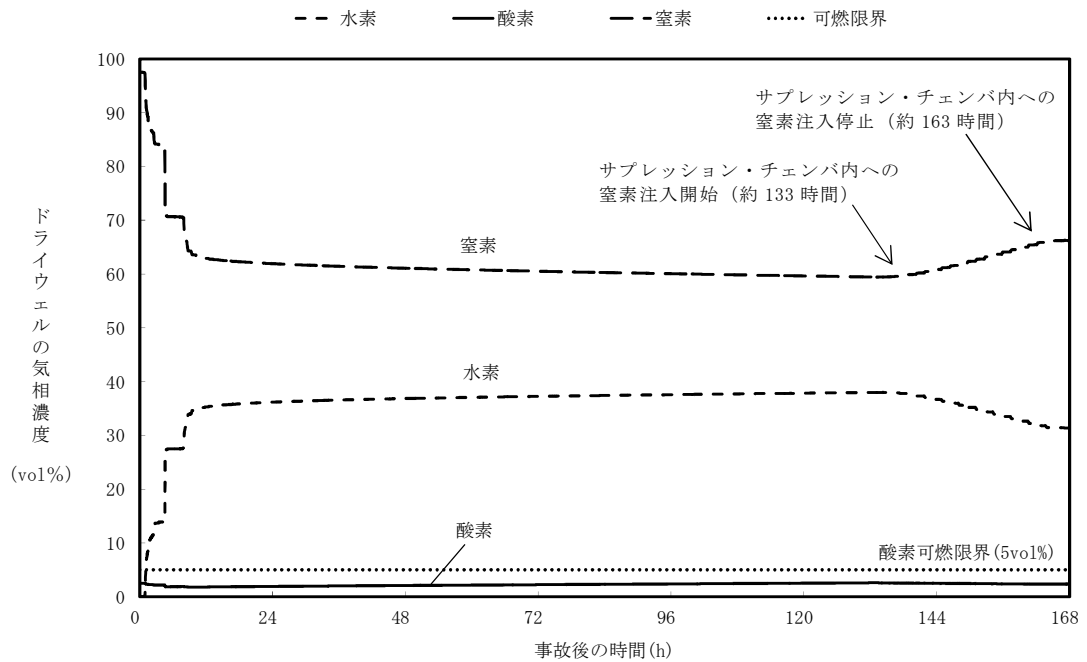
原子炉圧力容器破損後に原子炉注水しない場合の

格納容器雰囲気温度の推移（窒素注入温度：30°C）



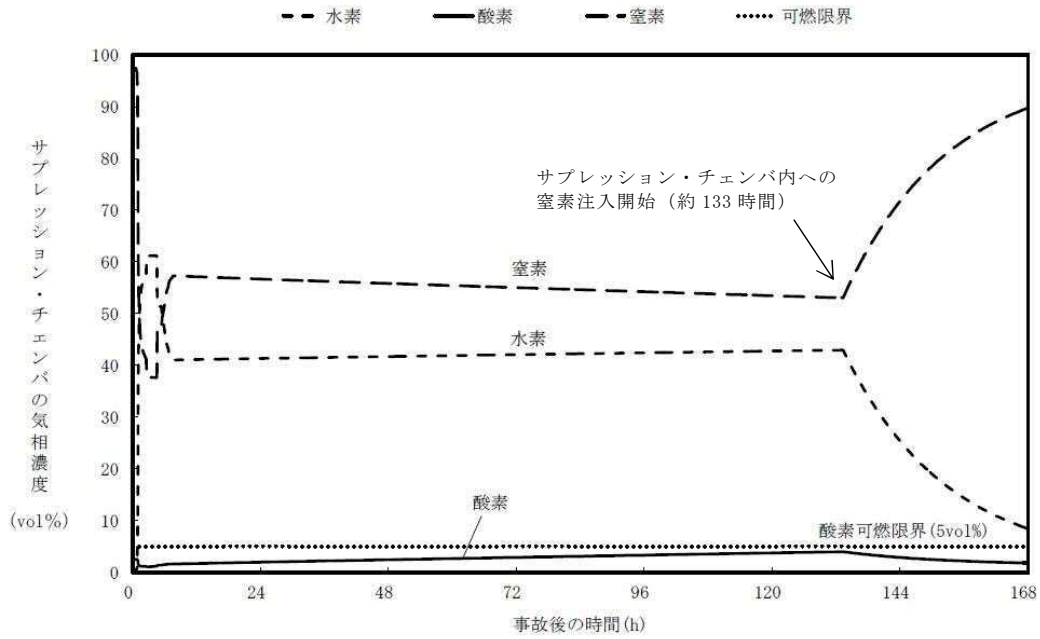
第 13 図 高压溶融物放出／格納容器雰囲気直接加熱において原子炉压力容器
破損後に原子炉注水しない場合のドライウエルの気相濃度推移

(ドライ条件) (窒素注入温度：55℃)

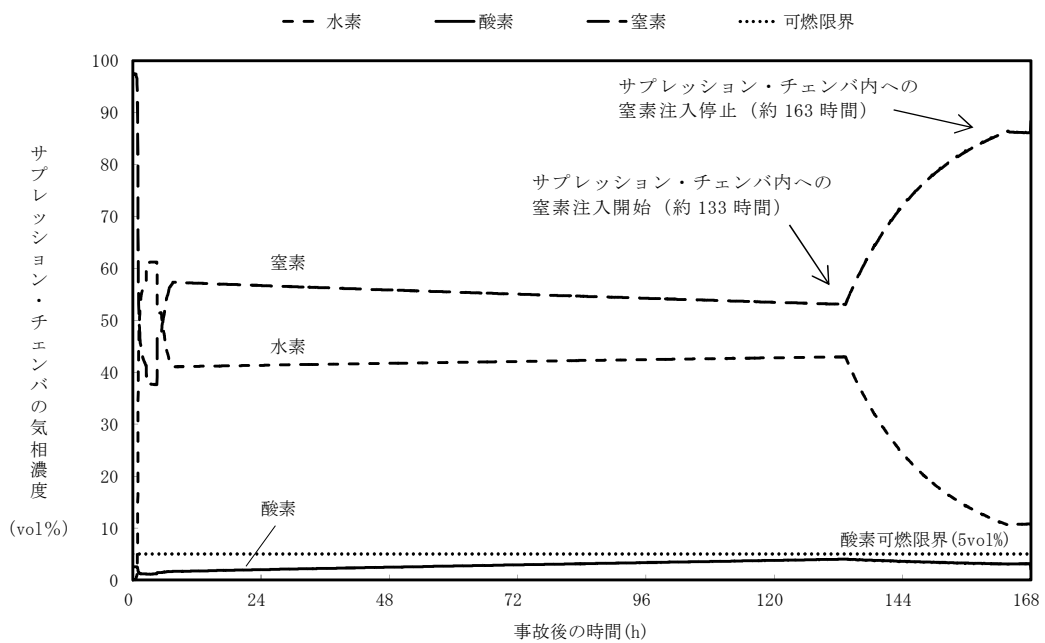


第 14 図 高压溶融物放出／格納容器雰囲気直接加熱において原子炉压力容器
破損後に原子炉注水しない場合のドライウエルの気相濃度推移

(ドライ条件) (窒素注入温度：30℃)



第 15 図 高压溶融物放出／格納容器雰囲気直接加熱において原子炉压力容器破損後に原子炉注水しない場合のサブプレッション・チェンバの気相濃度推移
(ドライ条件) (窒素注入温度：55℃)



第 16 図 高压溶融物放出／格納容器雰囲気直接加熱において原子炉压力容器破損後に原子炉注水しない場合のサブプレッション・チェンバの気相濃度推移
(ドライ条件) (窒素注入温度：30℃)

3.3 原子炉圧力容器外の溶融燃料－冷却材相互作用

3.3.1 格納容器破損モードの特徴，格納容器破損防止対策

(1) 格納容器破損モード内のプラント損傷状態

格納容器破損モード「原子炉圧力容器外の溶融燃料－冷却材相互作用」に至る可能性のあるプラント損傷状態は、「1.2 評価対象の整理及び評価項目の設定」に示すとおり，TQUV，TQUX，LOCA，長期TB，TBU，TBP及びTBDである。

(2) 格納容器破損モードの特徴及び格納容器破損防止対策の基本的考え方

格納容器破損モード「原子炉圧力容器外の溶融燃料－冷却材相互作用」では，発電用原子炉の運転中に運転時の異常な過渡変化，原子炉冷却材喪失事故（LOCA）又は全交流動力電源喪失が発生するとともに，非常用炉心冷却系等の安全機能の喪失が重畳する。このため，緩和措置がとられない場合には，溶融炉心と原子炉圧力容器外の水が接触して一時的な格納容器圧力の急上昇が生じ，このときに発生するエネルギーが大きい場合に構造物が破壊され格納容器の破損に至る。

原子炉圧力容器外の溶融燃料－冷却材相互作用による水蒸気爆発事象については，これまでに実ウランを用いて種々の実験が行われている。水蒸気爆発は，溶融炉心が水中に落下し，細粒化して分散する際に蒸気膜を形成し，そこに何らかの外乱が加わることによって蒸気膜が崩壊した際に，瞬時の圧力伝播を生じ，大きなエネルギーを発生させる事象である。細粒化した溶融炉心を覆う蒸気膜には安定性があり，何らかの外乱がなければ蒸気膜の崩壊は起こりにくいという知見が実験等により得られている。ペDESTAL（ドライウェル部）に張られた水は準静的であり，外乱が加わる要素は考えにくい。このことから，実機において水蒸気爆発に至る可能性は

極めて小さいと考えられる。

(添付資料 3.3.1, 3.3.2, 3.3.3, 3.3.4, 3.3.5)

また、水蒸気爆発とは別に、溶融炉心から原子炉冷却材への伝熱によって水蒸気が発生することに伴う急激な格納容器圧力の上昇（以下「圧カスパイク」という。）が発生する。

上記のとおり、現実的には水蒸気爆発が発生する可能性は極めて小さいと考えられることから、本評価では、圧カスパイクについてその影響を評価する。

したがって、本格納容器破損モードでは、格納容器を冷却及び除熱し、溶融炉心からペDESTAL（ドライウェル部）の水への伝熱による、水蒸気発生に伴う格納容器圧力の上昇を抑制することにより、格納容器の破損を防止する。

また、溶融炉心の落下後は、格納容器下部注水系（常設）によって溶融炉心を冷却するとともに、代替格納容器スプレイ冷却系（常設）による格納容器冷却を実施する。その後、代替循環冷却系又は格納容器圧力逃がし装置によって格納容器の圧力及び雰囲気温度を低下させる。

さらに、格納容器内における水素燃焼を防止するため、格納容器内の水素濃度及び酸素濃度が可燃領域に至るまでに、格納容器内へ窒素を注入することによって、格納容器の破損を防止する。

なお、本格納容器破損モードの有効性評価を実施する上では、原子炉圧力容器破損までは重大事故等対処設備による原子炉注水機能についても使用できないものと仮定し、原子炉圧力容器破損に至るものとする。一方、本格納容器破損モードに対しては、原子炉圧力容器破損後の格納容器破損防止のための重大事故等対策の有効性についても評価するため、原子炉圧力容器破損後は重大事故等対策に係る手順に基づきプラント状態を評価す

ることとする。したがって本評価では、原子炉圧力容器破損後も原子炉圧力容器内に残存する放射性物質の冷却のために原子炉に注水する対策及び手順を整備することから、これを考慮した有効性評価を実施することとする。

(3) 格納容器破損防止対策

格納容器破損モード「原子炉圧力容器外の溶融燃料－冷却材相互作用」で想定される事故シーケンスでは、ペDESTAL（ドライウエル部）への溶融炉心落下を想定する。この状況では、ペDESTAL（ドライウエル部）には通常運転時から約1mの水位が形成されており、ペDESTAL（ドライウエル部）における「溶融炉心・コンクリート相互作用」を緩和する観点から、溶融炉心落下前に格納容器下部注水系（常設）によるペDESTAL（ドライウエル部）水位の確保を行うことから、溶融炉心落下時にはペDESTAL（ドライウエル部）に水が張られた状態を想定する。なお、この水位は、「原子炉圧力容器外の溶融燃料－冷却材相互作用」に伴う圧カスパイク等の発生を仮定した場合の影響を小さく抑えつつ、「溶融炉心・コンクリート相互作用」の緩和効果に期待できる深さを考慮して1mとしている。

また、その後の格納容器圧力及び雰囲気温度の上昇を抑制する観点から、代替格納容器スプレイ冷却系（常設）による格納容器冷却手段、緊急用海水系による冷却水（海水）の確保手段及び代替循環冷却系による格納容器除熱手段又は格納容器圧力逃がし装置による格納容器除熱手段を整備し、長期的な格納容器内酸素濃度の上昇を抑制する観点から、可搬型窒素供給装置による格納容器内への窒素注入手段を整備する。

本格納容器破損モードに至るまでの事象進展への対応、本格納容器破損モードによる格納容器の破損防止及び格納容器の破損を防止した以降の対

応を含めた一連の重大事故等対策の概要は、「3.2 高圧溶融物放出／格納容器雰囲気直接加熱」の3.2.1(3)の a. から p. に示している。このうち、本格納容器破損モードに対する重大事故等対策は、「3.2 高圧溶融物放出／格納容器雰囲気直接加熱」の3.2.1.(3)に示す i. 及び k. である。なお、i. の格納容器下部注水系（常設）によるペDESTAL（ドライウエル部）水位の確保は、ペDESTAL（ドライウエル部）における「溶融炉心・コンクリート相互作用」を緩和する観点から実施するものであるが、ペDESTAL（ドライウエル部）に溶融炉心が落下した際の「原子炉圧力容器外の溶融燃料－冷却材相互作用」への影響も考慮してペDESTAL（ドライウエル部）の水位を定めていることから、本格納容器破損モードの対策として整理した。

本格納容器破損モードに至るまでの事象進展への対応、本格納容器破損モードによる格納容器の破損防止及び格納容器の破損を防止した以降の対応を含めた一連の重大事故等対策の概略系統図は「3.2 高圧溶融物放出／格納容器雰囲気直接加熱」に示す第3.2-1図である。このうち、本格納容器破損モードの重大事故等対策の概略系統図は第3.2-1図（2／5）及び第3.2-1図（3／5）である。本格納容器破損モードに対応する手順及び必要な要員と作業項目は「3.2 高圧溶融物放出／格納容器雰囲気直接加熱」と同じである。

3.3.2 格納容器破損防止対策の有効性評価

(1) 有効性評価の方法

本格納容器破損モードを評価する上で選定した評価事故シーケンスは、「1.2 評価対象の整理及び評価項目の設定」に示すとおり、プラント損傷状態をTQUVとし、事象進展が早く炉心損傷までの時間余裕の観点で厳

しい過渡事象を起因事象とし、逃がし安全弁再閉失敗を含まない、「過渡事象＋高圧炉心冷却失敗＋低圧炉心冷却失敗＋損傷炉心冷却失敗（＋FCI（ペDESTAL））」である。ここで、逃がし安全弁再閉失敗を含まない事故シーケンスとした理由は、プラント損傷状態がTQUVであるため、事故対応に及ぼす逃がし安全弁再閉の成否の影響は小さいと考え、発生頻度の観点で大きい事故シーケンスを選定したためである。

また、「1.2.2.1(3)c. 原子炉圧力容器外の溶融燃料－冷却材相互作用」に示すとおり、プラント損傷状態の選定では、水蒸気爆発に対する条件設定の厳しさを考慮し、溶融炉心の内部エネルギーの観点でより厳しいと考えられるTQUVを選定した。一方、プラント損傷状態をLOCAとする場合、事象発生直後から原子炉冷却材が格納容器内に流出するため原子炉圧力容器破損までの時間が短くなる。このときの圧カスパイクへの影響については、解析条件のうち事故条件の不確かさとして評価する。

さらに、本評価事故シーケンスにおいては、電源の復旧、注水機能の確保等、必要となる事故対処設備が多く、格納容器への注水・除熱を実施するまでの対応時間を厳しく評価する観点から、全交流動力電源喪失の重量を考慮する。

なお、本評価事故シーケンスは、「3.2 高圧溶融物放出／格納容器雰囲気直接加熱」及び「3.5 溶融炉心・コンクリート相互作用」において有効性を評価したシーケンスと同様のシーケンスである。本格納容器破損モード及び「3.5 溶融炉心・コンクリート相互作用」ではプラント損傷状態をTQUVとし、「3.2 高圧溶融物放出／格納容器雰囲気直接加熱」ではプラント損傷状態をTQUXとしており、異なるプラント損傷状態を選定している。しかしながら、どちらのプラント損傷状態であっても原子炉水位が燃料有効長底部から燃料有効長の20%上の位置に到達した時点で逃がし

安全弁（自動減圧機能）の手動開操作によって原子炉を減圧する手順であり、原子炉減圧以降も、溶融炉心の挙動に従って一連の流れで生じる各格納容器破損モードを、定められた一連の手順に従って防止することとなる。このことから、これらの格納容器破損モードについては同様のシーケンスで評価する。

本評価事故シーケンスでは、炉心における崩壊熱、燃料棒内温度変化、燃料棒表面熱伝達、燃料被覆管酸化、燃料被覆管変形、沸騰・ボイド率変化及び気液分離（水位変化）・対向流、炉心損傷後の原子炉压力容器におけるリロケーション、構造材との熱伝達及び原子炉压力容器破損、格納容器における格納容器各領域間の流動、炉心損傷後の格納容器における原子炉压力容器外 F C I（溶融炉心細粒化）並びに原子炉压力容器外 F C I（デブリ粒子熱伝達）が重要現象となる。

よって、これらの現象を適切に評価することが可能であり、原子炉压力容器内及び格納容器内の熱水力モデルを備え、かつ、炉心損傷後のシビアアクシデント特有の溶融炉心挙動に関するモデルを有するシビアアクシデント総合解析コード M A A P により格納容器圧力等の過渡応答を求める。

また、解析コード及び解析条件の不確かさの影響評価の範囲として、本評価事故シーケンスにおける運転員等操作時間に与える影響、評価項目となるパラメータに与える影響及び操作時間余裕を評価する。

(2) 有効性評価の条件

本評価事故シーケンスの有効性評価の条件は、「3.2 高圧溶融物放出／格納容器雰囲気直接加熱」の条件と同じである。

(3) 有効性評価の結果

本評価事故シーケンスにおける格納容器圧力及び格納容器雰囲気温度の推移を第3.3-1図及び第3.3-2図に示す。

a. 事象進展

事象進展は「3.2 高圧溶融物放出／格納容器雰囲気直接加熱」と同じである。

b. 評価項目等

圧カスパイク（約1分間の溶融炉心落下）によって格納容器バウンダリにかかる圧力の最大値は、約0.22MPa [gage] に抑えられる。格納容器バウンダリにかかる圧力は、格納容器の限界圧力0.62MPa [gage] を下回るため、格納容器バウンダリの機能は維持される。

圧カスパイクによって格納容器バウンダリにかかる温度の最大値は、約118℃に抑えられる。格納容器バウンダリにかかる温度は、格納容器の限界温度の200℃を下回るため、格納容器バウンダリの機能は維持される。

本評価では、「1.2.2.2 有効性を確認するための評価項目の設定」に示す(5)の評価項目について、格納容器圧力をパラメータとして対策の有効性を確認した。なお、「1.2.2.2 有効性を確認するための評価項目の設定」に示す(4)及び(8)の評価項目の評価結果については「3.2 高圧溶融物放出／格納容器雰囲気直接加熱」及び「3.5 溶融炉心・コンクリート相互作用」にて評価項目を満足することを確認している。また、原子炉圧力容器が破損する場合における「1.2.2.2 有効性を確認するための評価項目の設定」に示す(1)から(3)、(6)、(7)の評価項目の評価結果並びにペDESTAL（ドライウェル部）に落下した溶融炉心及び格納容器の安定状態維持については「3.2 高圧溶融物放出／格納容器雰囲気直接加熱」にて確認している。

3.3.3 解析コード及び解析条件の不確かさの影響評価

解析コード及び解析条件の不確かさの影響評価の範囲として、運転員等操作時間に与える影響、評価項目となるパラメータに与える影響及び操作時間余裕を評価するものとする。

格納容器破損モード「原子炉圧力容器外の熔融燃料－冷却材相互作用」では、重大事故等対処設備を含む全ての原子炉注水機能が喪失して炉心損傷及び原子炉圧力容器破損に至り、熔融炉心がペDESTAL（ドライウェル部）の水中に落下して大きいエネルギーを発生することが特徴である。

また、不確かさの影響を確認する運転員等操作は、事象進展に有意な影響を与えると考えられる操作として、緊急用海水系による冷却水（海水）の確保操作及び代替循環冷却系による格納容器除熱操作とする。

本評価事故シーケンスの有効性評価における現象の不確かさとしては、熔融炉心落下速度、細粒化量及びプール水とデブリ粒子の伝熱が挙げられる。

本評価事故シーケンスの評価では、熔融炉心落下速度、細粒化量の不確かさに対して、エントレインメント係数を変化させた場合の影響評価を実施する。なお、プール水とデブリ粒子の伝熱の不確かさに対してデブリ粒子径を変化させた場合の本格納容器破損モードに対する影響は小さいことを確認している。

エントレインメント係数を変化させた場合の影響評価の結果、運転員等操作時間に与える影響はなく、評価項目となるパラメータに与える影響は小さいことを確認している。

なお、これまでのFCI実験の知見からは、一部の二酸化ウラン混合物を用いて実機条件よりも高い熔融物温度の条件の下で実施された実験において

トリガなしで水蒸気爆発が発生している例が報告されているが、実機で想定される程度の溶融物の温度において実施された実験においてトリガなしで水蒸気爆発が発生している例は確認されていないことから、実機条件においては格納容器の損傷に至る大規模な原子炉圧力容器外の溶融燃料－冷却材相互作用の発生の可能性は低いと推定される。

(1) 解析コードにおける重要現象の不確かさの影響評価

本評価事故シーケンスにおいて不確かさの影響評価を行う重要現象とは、「1.7 解析コード及び解析条件の不確かさの影響評価方針」に示すとおりであり、それらの不確かさの影響評価は以下のとおりである。

a. 運転員等操作時間に与える影響

炉心における燃料棒内温度変化、燃料棒表面熱伝達、燃料被覆管酸化及び燃料被覆管変形の不確かさとして、炉心ヒートアップに関するモデルは、TMI事故についての再現性及びCOR A実験についての再現性を確認している。炉心ヒートアップの感度解析（ジルコニウム－水反応速度の係数についての感度解析）では、炉心溶融開始時間及び炉心下部プレナムへの溶融炉心移行の開始時間に対する感度は数分程度であり、影響は小さいことを確認している。本評価事故シーケンスでは、原子炉圧力容器温度（下鏡部）を操作開始の起点としている運転員等操作はないことから、運転員等操作時間に与える影響はない。

炉心における沸騰・ボイド率変化及び気液分離（水位変化）・対向流の不確かさとして、炉心モデル（炉心水位計算モデル）は、原子炉水位挙動について原子炉圧力容器内のモデルが精緻である解析コードSAFERの評価結果との比較により水位低下幅は解析コードMAAPの評価結果の方が大きく、解析コードSAFERに対して保守的であるものの、

その差異は小さいことを確認していることから、運転員等操作時間に与える影響は小さい。

格納容器における格納容器各領域間の流動の不確かさとして、格納容器モデル（格納容器の熱水力モデル）はH D R 実験解析では区画によって格納容器雰囲気温度を十数℃程度、格納容器圧力を1割程度高めに評価する傾向を確認しているが、B W R の格納容器内の区画とは異なる等、実験体系に起因するものと考えられ、実機体系においてはこの解析で確認された不確かさは小さくなるものと推定される。しかし、全体としては格納容器圧力及び雰囲気温度の傾向を適切に再現できており、また、格納容器圧力及び雰囲気温度を操作開始の起点としている運転員等操作はないことから、運転員等操作時間に与える影響はない。

炉心損傷後の原子炉圧力容器におけるリロケーション及び構造材との熱伝達の不確かさとして、熔融炉心の挙動モデルはT M I 事故についての再現性を確認している。また、炉心ノード崩壊のパラメータを低下させた感度解析により原子炉圧力容器破損時間に与える影響は小さいことを確認している。本評価事故シナリオでは、原子炉圧力容器温度（下鏡部）を操作開始の起点としている運転員等操作はないことから、運転員等操作時間に与える影響はない。

炉心損傷後の原子炉圧力容器における原子炉圧力容器破損の不確かさとして、制御棒駆動機構ハウジング溶接部の破損判定に用いる最大ひずみ（しきい値）に関する感度解析により最大ひずみを低下させた場合に原子炉圧力容器破損時間が早まることを確認している。本評価事故シナリオでは、原子炉圧力容器破損を操作開始の起点としている運転員等操作はないことから、運転員等操作時間に与える影響はない。

炉心損傷後の格納容器における熔融燃料－冷却材相互作用の不確かさ

として、溶融炉心の細粒化モデルにおけるエントレインメント係数及びデブリ粒子径の感度解析により原子炉压力容器外の溶融燃料－冷却材相互作用による圧カスパイクに与える影響は小さいことを確認している。本評価事故シーケンスでは、原子炉压力容器外の溶融燃料－冷却材相互作用による圧カスパイクを起点とした運転員等操作はないことから、運転員等操作時間に与える影響はない。

(添付資料3.3.6)

b. 評価項目となるパラメータに与える影響

炉心における燃料棒内温度変化、燃料棒表面熱伝達、燃料被覆管酸化及び燃料被覆管変形の不確かさとして、炉心ヒートアップに関するモデルは、TMI事故についての再現性及びCORA実験についての再現性を確認している。炉心ヒートアップの感度解析（ジルコニウム－水反応速度の係数についての感度解析）では、格納容器圧力挙動への影響は小さいことを確認していることから、評価項目となるパラメータに与える影響は小さい。

炉心における沸騰・ボイド率変化及び気液分離（水位変化）・対向流の不確かさとして、炉心モデル（炉心水位計算モデル）は、原子炉水位挙動について原子炉压力容器内のモデルが精緻である解析コードSAFERの評価結果との比較により水位低下幅は解析コードMAAPの評価結果の方が大きく、解析コードSAFERに対して保守的であるものの、その差異は小さいことを確認していることから、評価項目となるパラメータに与える影響は小さい。

格納容器における格納容器各領域間の流動の不確かさとして、格納容器モデル（格納容器の熱水力モデル）はHDR実験解析では区画によって格納容器雰囲気温度を十数℃程度、格納容器圧力を1割程度高めに評

価する傾向を確認しているが、BWRの格納容器内の区画とは異なる等、実験体系に起因するものと考えられ、実機体系においてはこの解析で確認された不確かさは小さくなるものと推定される。しかし、全体としては格納容器圧力及び雰囲気温度の傾向を適切に再現できていることから、評価項目となるパラメータに与える影響は小さい。

炉心損傷後の原子炉圧力容器におけるリロケーション及び構造材との熱伝達の不確かさとして、熔融炉心の挙動モデルはTMI事故についての再現性を確認している。また、炉心ノード崩壊のパラメータを低下させた感度解析により原子炉圧力容器破損時間に与える影響は小さいことを確認しており、原子炉圧力容器外の熔融燃料－冷却材相互作用による格納容器圧力上昇に与える影響はほぼないことから、評価項目となるパラメータに与える影響は小さい。

炉心損傷後の原子炉圧力容器における原子炉圧力容器破損の不確かさとして、制御棒駆動機構ハウジング溶接部の破損判定に用いる最大ひずみ（しきい値）に関する感度解析により最大ひずみを低下させた場合に原子炉圧力容器破損時間が早まることを確認しているが、原子炉圧力容器破損（事象発生から約4.5時間後）に対して早まる時間は僅かであることから、評価項目となるパラメータに与える影響は小さい。

炉心損傷後の格納容器における熔融燃料－冷却材相互作用の不確かさとして、熔融炉心の細粒化モデルにおけるエントレインメント係数及びデブリ粒子径の感度解析により、BWR5、Mark-I改良型格納容器プラントにおいて、原子炉圧力容器外の熔融燃料－冷却材相互作用による圧カスパイクに与える影響は小さいことを確認している。BWR5、Mark-II型格納容器プラントである東海第二発電所においても原子炉圧力容器外の熔融燃料－冷却材相互作用による圧カスパイクに与える

影響を確認するため、最も感度のあるエントレインメント係数について感度解析を行った結果、第 3.3-3 図及び第 3.3-4 図に示すとおり、エントレインメント係数を変化させた場合においても原子炉压力容器外の溶融燃料-冷却材相互作用による圧力スパイクに与える影響は小さいことを確認していることから、評価項目となるパラメータに与える影響は小さい。

(添付資料 3.3.6, 3.3.7)

(2) 解析条件の不確かさの影響評価

a. 初期条件、事故条件及び重大事故等対策に関連する機器条件

初期条件、事故条件及び重大事故等対策に関連する機器条件は、第 3.2-2 表に示すとおりであり、それらの条件設定を設計値等、最確条件とした場合の影響を評価する。また、解析条件の設定に当たっては、評価項目となるパラメータに対する余裕が小さくなるような設定があることから、その中で事象進展に有意な影響を与えると考えられる項目に関する影響評価の結果を以下に示す。

(a) 運転員等操作時間に与える影響

初期条件の原子炉停止後の崩壊熱は、解析条件の燃焼度 33GWd/t に対応したものとしており、その最確条件は平均的燃焼度約 31GWd/t であり、解析条件の不確かさとして、最確条件とした場合は、解析条件で設定している崩壊熱よりも小さくなるため、発生する蒸気量は少なくなり、原子炉压力容器破損に至るまでの事象進展は緩和されるが、原子炉压力容器温度（下鏡部）を操作開始の起点としている運転員等操作はないことから、運転員等操作時間に与える影響はない。

初期条件の外部水源の温度は、解析条件の 35°C に対して最確条件は

35℃以下であり、解析条件の不確かさとして、最確条件とした場合は、ペDESTAL（ドライウェル部）への注水温度が低くなるが、注水温度を操作開始の起点としている運転員等操作はないことから、運転員等操作時間に与える影響はない。

初期条件の原子炉圧力、原子炉水位、炉心流量、格納容器体積（サプレッション・チェンバ）の空間部及び液相部、サプレッション・プール水位、格納容器圧力及び格納容器雰囲気温度は、解析条件の不確かさとして、ゆらぎにより解析条件に対して変動を与え得るが、事象進展に与える影響は小さいことから、運転員等操作時間に与える影響は小さい。

事故条件の起因事象は、解析条件の不確かさとして、大破断LOCAを考慮した場合、原子炉冷却材の放出量が増加することにより原子炉圧力容器破損に至るまでの事象進展は早まるが、原子炉圧力容器温度（下鏡部）を操作開始の起点としている運転員等操作はないことから、運転員等操作時間に与える影響はない。

（添付資料3.3.6, 3.3.8）

(b) 評価項目となるパラメータに与える影響

初期条件の原子炉停止後の崩壊熱は、解析条件の燃焼度33GWd/tに対応したものとしており、その最確条件は平均的燃焼度約31GWd/tであり、解析条件の不確かさとして、最確条件とした場合は、解析条件で設定している崩壊熱よりも小さくなるため、熔融炉心の持つエネルギーが小さくなることから、評価項目となるパラメータに対する余裕は大きくなる。

初期条件の外部水源の温度は、解析条件の35℃に対して最確条件は35℃以下であり、解析条件の不確かさとして、最確条件とした場合は、

ペデスタル（ドライウェル部）への注水温度が低くなるが、ペデスタル（ドライウェル部）には通常運転時から約1mの水位が形成されていることから外部水源の温度がペデスタル（ドライウェル部）のプール水に与える影響はなく、評価項目となるパラメータに対する影響はない。

初期条件の原子炉圧力、原子炉水位、炉心流量、格納容器体積（サブプレッション・チェンバ）の空間部及び液相部、サブプレッション・プール水位、格納容器圧力並びに格納容器雰囲気温度は、解析条件の不確かさとして、ゆらぎにより解析条件に対して変動を与え得るが、事象進展に与える影響は小さいことから、評価項目となるパラメータに与える影響は小さい。

事故条件の起因事象は、原子炉圧力容器への給水はできないものとして給水流量の全喪失を設定している。事故条件について、原子炉圧力容器外の溶融燃料－冷却材相互作用による圧カスパイクを評価するに当たり、溶融炉心落下時の崩壊熱の影響を確認する観点から感度解析を実施した。感度解析は、事故シーケンスを「大破断LOCA＋注水機能喪失」とし、本評価事故シーケンスの解析条件と同様、電源の有無に係らず重大事故等対処設備による原子炉注水機能についても使用できないものと仮定した場合、原子炉圧力容器破損のタイミングが早くなることを考慮したものである。その結果、第3.3-5図に示すとおり、事象発生から約3.3時間後に原子炉圧力容器破損に至り、圧カスパイクの最大値は約0.20MPa [gage] となったが、圧カスパイクの最大値は本評価の結果と同程度であり、格納容器の限界圧力0.62MPa [gage] 以下であることから、評価項目を満足する。

(添付資料 3.3.6, 3.3.8)

b. 操作条件

操作条件の不確かさとして、操作の不確かさを「認知」、「要員配置」、「移動」、「操作所要時間」、「他の並列操作有無」及び「操作の確実さ」の6要因に分類し、これらの要因が運転員等操作時間に与える影響を評価する。また、運転員等操作時間に与える影響が評価項目となるパラメータに与える影響を評価し、評価結果を以下に示す。

(a) 運転員等操作時間に与える影響

操作条件の緊急用海水系による冷却水（海水）の確保操作及び代替循環冷却系による格納容器除熱操作は、事象発生90分後に開始することとしているが、余裕時間を含めて設定されているため操作の不確かさが操作開始時間に与える影響は小さい。また、本操作の操作開始時間は、緊急用海水系の準備期間を考慮して設定したものであり、緊急用海水系の操作開始時間が早まれば、本操作の操作時間も早まる可能性があり、代替循環冷却系の運転開始時間も早まるが、その他の操作と並列して実施する場合でも、順次実施し所定の時間までに操作を完了できることから影響はない。

(添付資料3.3.6)

(b) 評価項目となるパラメータに与える影響

操作条件の緊急用海水系による冷却水（海水）の確保操作及び代替循環冷却系による格納容器減圧及び除熱操作は、緊急用海水系の操作開始時間が早まった場合には、本操作も早まる可能性があり、格納容器圧力及び雰囲気温度を早期に低下させる可能性があることから、評価項目となるパラメータに対する余裕が大きくなる。

(添付資料3.3.6)

(3) 操作時間余裕の把握

操作開始時間の遅れによる影響度合いを把握する観点から、評価項目となるパラメータに対して、対策の有効性が確認できる範囲内での操作時間余裕を確認し、その結果を以下に示す。

操作条件の緊急用海水系による冷却水（海水）の確保操作及び代替循環冷却系による格納容器除熱操作については、格納容器除熱開始までの時間は事象発生から90分あり、準備時間が確保できるため、時間余裕がある。なお、本操作が大幅に遅れるような事態になった場合でも、原子炉圧力容器破損に至るまでの時間は事象発生から約4.5時間であり、約3時間の時間余裕がある。

(添付資料3.3.6)

(4) ま と め

解析コード及び解析条件の不確かさの影響評価の範囲として、運転員等操作時間に与える影響、評価項目となるパラメータに与える影響及び操作時間余裕を確認した。その結果、解析コード及び解析条件の不確かさが運転員等操作時間に与える影響等を考慮した場合においても、評価項目となるパラメータに与える影響は小さい。このほか、評価項目となるパラメータに対して、対策の有効性が確認できる範囲内において、操作時間には時間余裕がある。

なお、「3.2 高圧溶融物放出／格納容器雰囲気直接加熱」において、原子炉圧力容器破損後の原子炉注水を考慮しない場合の影響について感度解析を実施しており、評価項目となるパラメータに対する影響は小さいことを確認している。

(添付資料3.2.10)

3.3.4 必要な要員及び資源の評価

本評価事故シーケンスは、「3.2 高圧溶融物放出／格納容器雰囲気直接加熱」と同じであることから、必要な要員及び資源の評価は「3.2.4 必要な要員及び資源の評価」と同じである。

3.3.5 結 論

格納容器破損モード「原子炉圧力容器外の溶融燃料－冷却材相互作用」では、運転時の異常な過渡変化、原子炉冷却材喪失事故（LOCA）又は全交流動力電源喪失が発生するとともに、非常用炉心冷却系等の安全機能の喪失が重畳する。このため、溶融炉心と原子炉圧力容器外の水が接触して一時的な格納容器圧力の急上昇が生じ、このときに発生するエネルギーが大きい場合に構造物が破壊され格納容器の破損に至ることが特徴である。格納容器破損モード「原子炉圧力容器外の溶融燃料－冷却材相互作用」に対する格納容器破損防止対策としては、格納容器下部注水系（常設）によるペDESTAL（ドライウェル部）注水により原子炉圧力容器破損前にペDESTAL（ドライウェル部）の水位 1m を確保する手段を整備している。

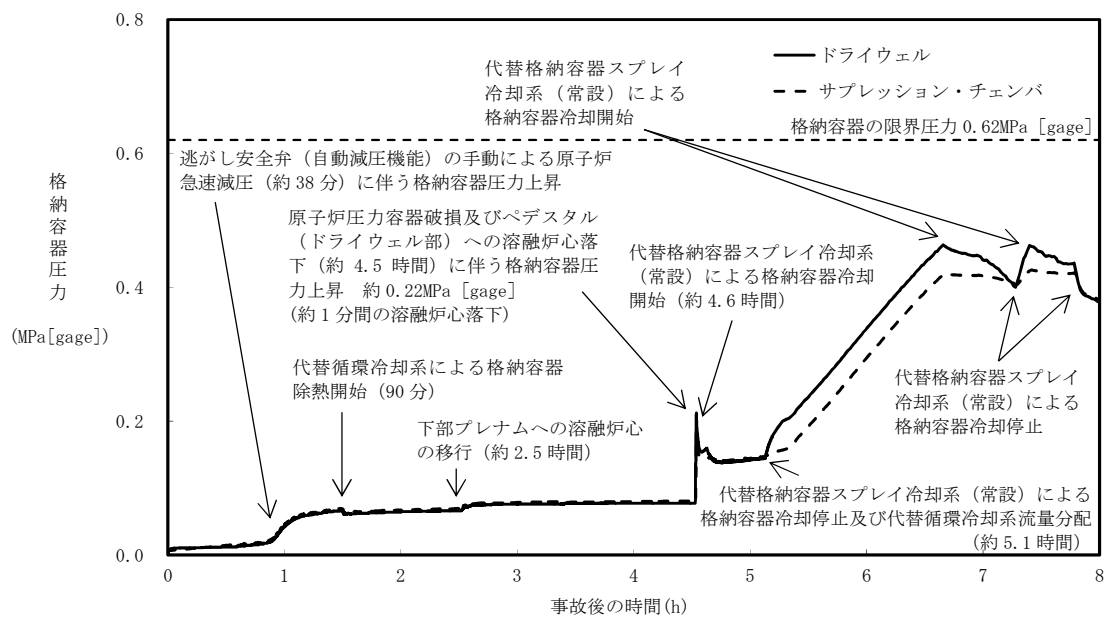
格納容器破損モード「原子炉圧力容器外の溶融燃料－冷却材相互作用」の評価事故シーケンス「過渡事象＋高圧炉心冷却失敗＋低圧炉心冷却失敗＋損傷炉心冷却失敗（＋FCI（ペDESTAL）」について、有効性評価を行った。

上記の場合には、水蒸気発生によって圧カスパイクが発生するが、格納容器バウンダリにかかる圧力は、格納容器の限界圧力0.62MPa [gage] を下回るため、格納容器バウンダリの機能は維持できる。また、安定状態を維持できる。

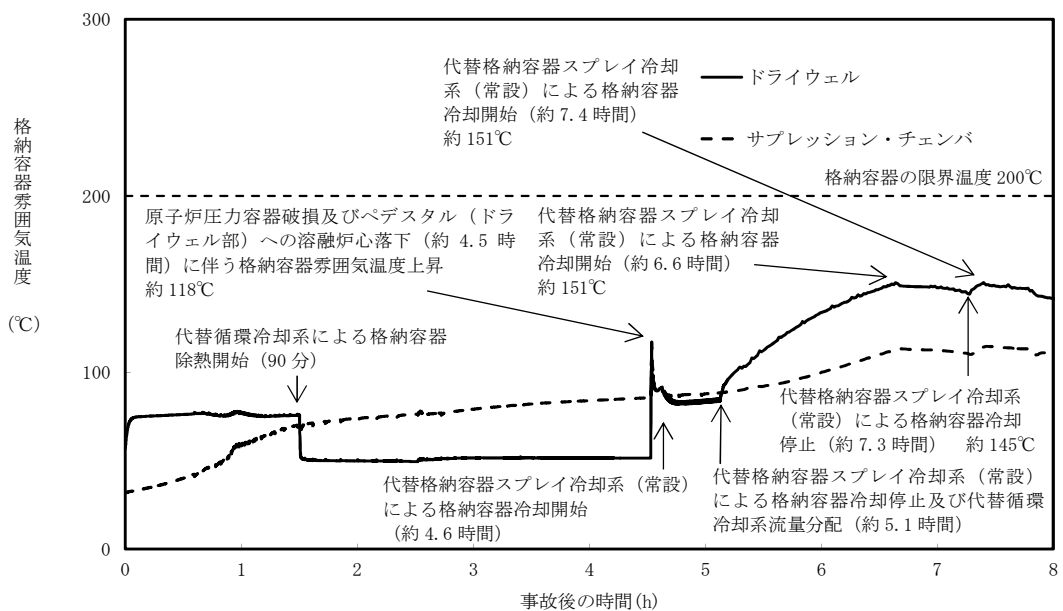
解析コード及び解析条件の不確かさについて確認した結果、運転員等操作時間に与える影響及び評価項目となるパラメータに与える影響は小さい。また、対策の有効性が確認できる範囲内において、操作時間余裕について確認した結果、操作が遅れた場合でも一定の余裕がある。

重大事故等対策時に必要な要員は、災害対策要員にて確保可能である。また、必要な水源、燃料及び電源を供給可能である。

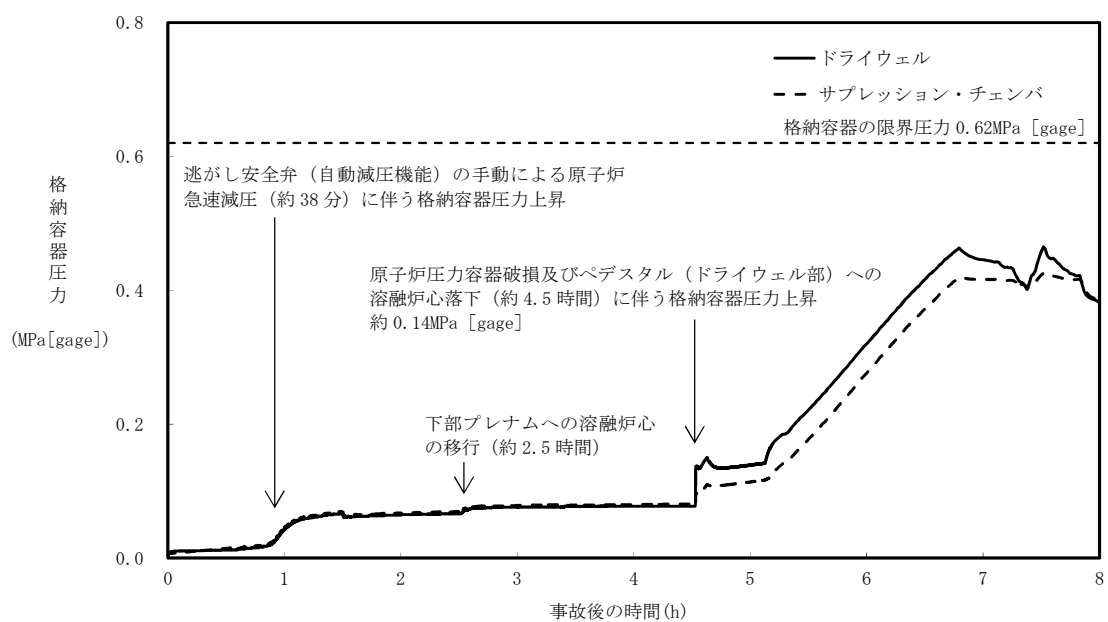
以上のことから、格納容器下部注水系（常設）によるペデスタル（ドライウエル部）水位の確保等の格納容器破損防止対策は、選定した評価事故シナリオに対して有効であることが確認でき、格納容器破損モード「原子炉圧力容器外の溶融燃料－冷却材相互作用」に対して有効である。



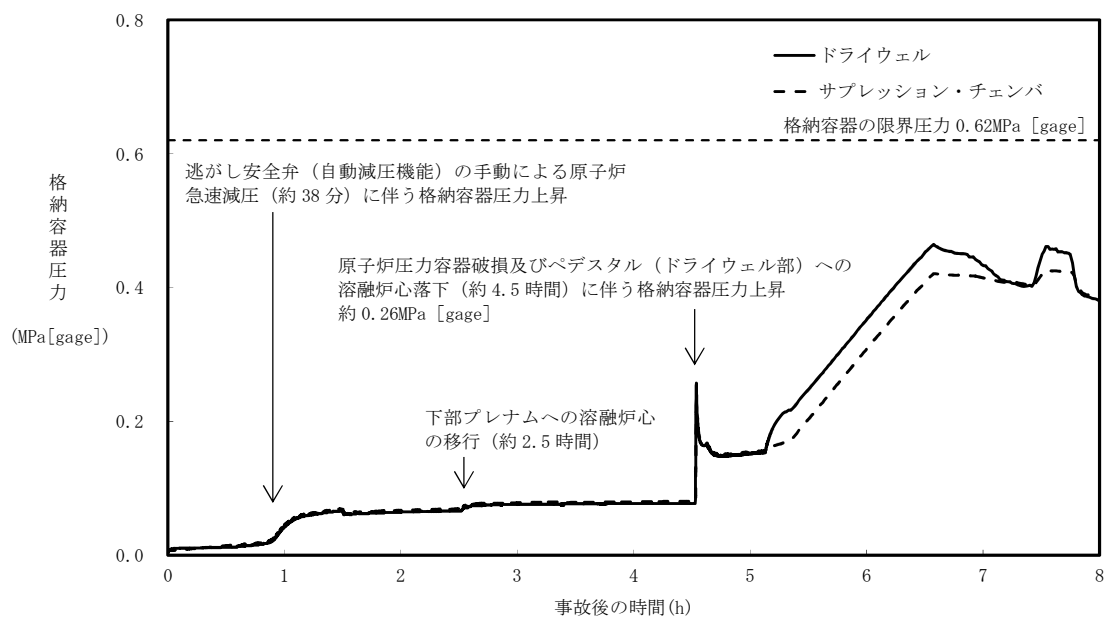
第 3.3-1 図 格納容器圧力の推移



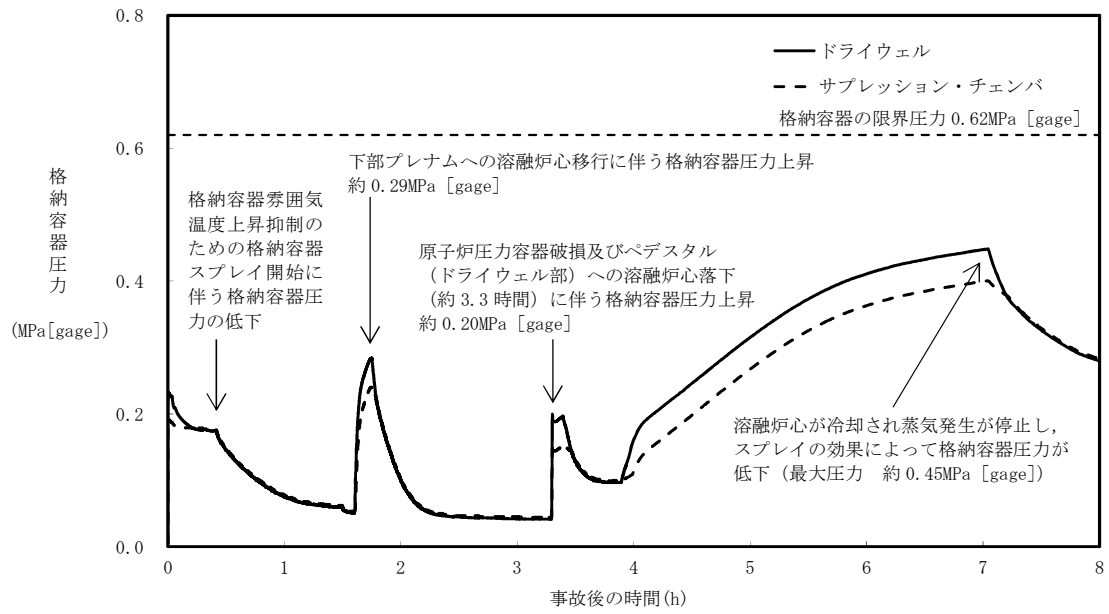
第 3.3-2 図 格納容器雰囲気温度の推移



第 3.3-3 図 エントレインメント係数を最小値とした場合の
格納容器圧力の推移



第3.3-4図 エントレインメント係数を最大値とした場合の
格納容器圧力の推移



第3.3-5図 起因事象をLOCAとした場合の格納容器圧力の推移

原子炉压力容器外の溶融燃料－冷却材相互作用（炉外 F C I）
に関する知見の整理について

1. 炉外 F C I の概要

炉外 F C I は、溶融炉心が原子炉压力容器の破損口から放出された際に、溶融炉心と原子炉压力容器外の冷却材が接触して一時的な圧力の急上昇が生じる事象である。このときに発生するエネルギーが大きいと原子炉支持構造材が破損され、格納容器が破損する可能性がある。この圧力上昇については激しい水蒸気発生による場合（圧カスパイク）に加え、水蒸気爆発によって衝撃波が生じる場合が考えられるが、これまでの知見から、水蒸気爆発の発生の可能性は極めて低いと考えられている。F C I に関するこれまでの知見の概要を次に整理する。

2. 過去の知見の整理

過去に実施された代表的な F C I の実験研究として、(旧) 日本原子力研究所で実施された A L P H A 試験、J R C イスプラ研究所で実施された K R O T O S 試験、F A R O 試験、(旧) 原子力発電技術機構で実施された C O T E L S 試験、韓国原子力研究所 (K A E R I) で実施された T R O I 試験及び S E R E N A 試験がある。これらの試験では模擬溶融物として UO_2 混合物を用いた試験とアルミナ等を用いた試験がある。各試験の試験条件及び試験結果については、以下に示すとおりである。

2.1 A L P H A 試験

A L P H A 試験^[1]では、テルミット反応による酸化アルミニウムと鉄からなる模擬溶融物を用いた実験が実施されている。A L P H A 試験装置の概要

を第1図に示す。試験容器は、内径 3.9m、高さ 5.7m、容積 50m³である。模擬格納容器に設置した冷却水プールに高温溶融物を落下させ、水蒸気爆発に関する特性データを計測する試験装置である。ALPHA試験結果のまとめを第1表に示す。高雰囲気圧力 (STX008, STX012, STX015)、サブクール度が小さい場合 (STX014) は、水蒸気爆発の発生が抑制される試験結果が知見として得られている。溶融物を半減させた3ケース (STX001, STX010, STX013) のうち、2 ケース (STX001, STX013) では、水蒸気爆発が発生していない。また、水蒸気爆発のエネルギー変換効率は、1~6%程度となっている。ALPHA試験の代表的試験 (STX016) の圧力変化の例を第2図に示す。

2.2 KROTOS試験

KROTOS試験^{[2][3][4]}では、FARO試験が大型試験装置であるのに対して小型の試験装置であるが、主に低圧・サブクール水を条件として試験を実施している。KROTOS試験装置の概要を第3図に示す。KROTOS試験の代表的試験 (K37, K42) の圧力変化の例を第4図に示す。KROTOS試験では模擬コリウムとしてUO₂混合物を用いた試験とアルミナを用いた試験を実施している。KROTOS試験結果のまとめを第2表に示す。アルミナ試験では、サブクール度が大きい試験ケース (K38, K40, K42, K43, K49) では、外部トリガ無しで水蒸気爆発が発生しているが、サブクール度が小さい試験ケース (K41, K44, K50, K51) では、外部トリガ無しでは水蒸気爆発は発生していない。一方、UO₂混合物試験では、サブクール度に依らず外部トリガ無しでは水蒸気爆発は発生していない。また、UO₂混合物試験でも外部トリガありでは水蒸気爆発が発生している (K46, K52, K53) が、これらのケースはサブクール度が大きい試験ケースである。また、UO₂混合物試験の水蒸気爆発のエネルギー変換効率は、アルミナ試験の水蒸気爆発に

比較して低い結果となっている。アルミナ試験と UO_2 混合物の相違については、以下のように考察されている。

- ・アルミナはプール水面近傍でブレイクアップし、粗混合時に粒子が半径方向に拡がり、水蒸気爆発の伝播がしやすくなった可能性がある。
- ・ UO_2 混合物試験では、外部トリガ無しでは水蒸気爆発は発生していない。 UO_2 混合物の方が一般的に過熱度は小さく、 UO_2 混合物の粒子表面が水と接触した直後に表面が固化しやすく、これが水蒸気爆発の発生を抑制した可能性がある。 UO_2 混合物試験では水素が発生し、これにより蒸気膜の崩壊による水蒸気爆発の発生を抑制した可能性がある。

2.3 F A R O 試験

F A R O 試験^{[3][5]}では、酸化物コリウム及び金属Z r を含むコリウムが用いられ、多くの試験は高圧・飽和水条件で実施されているが、低圧・サブクール水条件の試験も実施されている。F A R O 試験装置の概要を第5図に示す。F A R O 試験結果のまとめを第3表に示す。また、圧力変化の例としてL-14 と L-19 の圧力挙動を第6図に示す。F A R O 試験のいずれの試験ケースでも水蒸気爆発は発生していない。F A R O 試験で得られた主な知見は以下のとおりである。

- ・高圧・飽和水試験、低圧・サブクール試験の何れにおいても水蒸気爆発は発生していない。
- ・高圧・飽和水の酸化物コリウム試験の場合は一部が粒子化し、一部はパンケーキ状でプール底部に堆積した。高圧・飽和水のコリウムに金属Z r 成分を含んだ試験及び低圧・サブクール試験では全てのコリウムは粒子化した。
- ・粒子の質量中央径は比較的大きかったが、試験条件（初期圧力、水深、

コリウム落下速度，サブクール度）に依存していない。

- ・金属Zrを含めた試験ケース（L-11）では，金属Zrの酸化により，金属Zrを含めない試験ケース（L-14）よりも圧力上昇が大きくなる。

2.4 COTEL S試験

COTEL S^[6]試験では，模擬溶融物として $UO_2-Zr-ZrO_2-SS$ 混合物を用いており，コリウムに金属成分が含まれている。COTEL S試験装置の概要を第7図に示す。COTEL S試験結果のまとめを第4表に示す。COTEL S試験の代表的な試験ケース（A1）の圧力挙動を第8図，各試験ケースの圧力変化を第9図に示す。溶融混合物がプール水に接触した直後（Region 1）は急激な圧力上昇となる。その後，サブクール水では蒸気凝縮が発生し，一時的に圧力が減少する（Region 2）が，溶融混合物からの熱伝達による蒸気発生により，準定常的な状態まで徐々に圧力が上昇する（Region 3）。COTEL S試験で得られた主な知見は，以下のとおりである。

- ・サブクール度が大きいケースも含めて，全ての試験での水蒸気爆発は発生していない。
- ・プールに落下した溶融コリウムは，ほとんどがプール水中で粒子化した。
- ・粒子径は，コリウム落下速度の大きいケースを除いて，質量中央径で6mm程度である。コリウム落下速度の大きいケースの粒子径は小さくなっている。
- ・コリウム落下速度の大きいケースで，粒子径が小さく初期圧力上昇幅も大きくなる傾向がある。また，準定常的な状態での圧力は，溶融物量が多く，サブクール度が小さく，プール水量が少ない程高くなる傾向である。

2.5 T R O I 試験

T R O I 試験^[7]は、韓国原子力研究所（K A E R I）で実施されている試験であり、2007年から2012年までは、K R O T O S 試験とともにO E C D / N E A の S E R E N A プロジェクトとして実施された試験である。T R O I 試験装置の概要を第10図に示す。T R O I 試験条件と試験結果のまとめを第5表に示す。

Z r O₂を用いた試験では外部トリガリングを与えていないが、圧力スパイクや水蒸気爆発が発生した試験がある。一方、U O₂ - Z r O₂の混合物を用いた試験では、異なった条件による内部トリガリングを発生させるため又は外部トリガリングによる水蒸気爆発時の発生エネルギーを変えるため、混合物の割合、水深、混合物量等の様々な条件による試験を実施し、数ケースでは水蒸気爆発が発生している。T R O I 試験で得られた主な知見は以下のとおりである。

- ・自発的な水蒸気爆発が生じた試験は、融点を大きく上回る過熱度を溶融物に対して与えるなどの実機と異なる条件であり、その他の試験では自発的な水蒸気爆発は生じていない。
- ・水深が深い場合（130cm）では、内部トリガリングによる水蒸気爆発は発生していない。水深が深いことにより、溶融物粒子が底部に到達するまでの沈降時間が長くなり、溶融物粒子が固化しやすい状況となる。このため、溶融物粒子が底部に接触することで発生するトリガリングの可能性は低減する可能性がある^[8]。

2.6 S E R E N A 試験

S E R E N A 試験は、O E C D / N E A 主導のもと実施されている試験であり、2001年から2006年にかけて実施されたフェーズ1と、2007年から2012

年にかけて実施されたフェーズ2に分かれている。フェーズ1では既存の試験に対する再現解析が行われた。また、フェーズ2ではKROTOS及びTRO I 装置を使用した試験と、その再現解析が行われた。さらに、両フェーズにおいて実機原子炉を想定した解析が行われた。フェーズ2で行われた試験の試験条件及び試験結果を表6に示す。SERENA試験で得られた知見は以下のとおりである。

(1) フェーズ1

- ・(解析) 解析コードはアルミナを用いた試験によって調整されており、 UO_2-ZrO_2 コリウムの爆発による機械的エネルギー変換効率を過大評価する傾向にある。
- ・(解析) 予測される炉内水蒸気爆発の最大荷重は原子炉圧力容器の破損強度と比べて十分小さい。
- ・(解析) 予測される炉外水蒸気爆発の最大荷重は格納容器に影響を与える可能性があるが、解析コードの不確かさとばらつきが大きく、その程度を推定することは難しい。

(2) フェーズ2

- ・(実験) $80\%UO_2-20\%ZrO_2$ コリウムは、 $70\%UO_2-30\%ZrO_2$ コリウムに比べてやや爆発のエネルギーが大きい。これは、フェーズ1の結果と逆の傾向であり、更に考察が必要。
- ・(実験) UO_2-ZrO_2 のみで構成されるコリウムは、アルミナと比べて爆発のエネルギーは小さい。
- ・(実験) コリウムの組成に酸化物以外（金属の単体など）が含まれる場合について、酸化と水素生成による影響は定量化できなかった。
- ・(実験) 全ての観測された爆発の機械的エネルギー変換効率は、従来観測されていたエネルギー変換効率と同様に、比較的小さい。これは、 UO_2 の

密度が高いために溶融コリウムの粒子径が小さくなり、固化が促進されて水蒸気爆発への寄与が小さくなったことと、粗混合段階のボイド率が上昇して爆発のエネルギーを低減したことによると推測されている。

3. F C I 実験の知見の整理

前項で示した F C I 実験の知見を整理し、原子炉圧力容器外水蒸気爆発の可能性について考察する。

酸化アルミニウムと鉄からなる模擬溶融物を用いた ALPHA 試験及びアルミナを用いた KROTOS 試験では、外部トリガ無しで水蒸気爆発が発生しているが、 UO_2 を用いた KROTOS, FARO, COTELS 試験では外部トリガ無しでは水蒸気爆発は発生していない。 UO_2 混合物では一般的に過熱度が小さいため、粗混合粒子表面が早期に固化し、蒸気膜が崩壊しても溶融物の微細化が起きにくく、水蒸気爆発の発生が抑制されるためと考えられる。

TROI 試験では UO_2 混合物を用いた場合でもトリガ無しで水蒸気爆発が発生している例 (TROI-10, 12, 13, 14) が報告されている。TROI-10, 12 は、溶融物温度が 3,800K 程度の高い温度での試験条件である。また、TROI-13, 14 の溶融物温度は、それぞれ 2,600K, 3,000K であるが、TROI-13 では、温度計測に問題があり実際には 3,500K 以上と推測されている。また、TROI-14 では、二つの温度計が異なる最高温度 (4,000K, 3,200K) を示しており、温度計測の不確かさが大きいとされている。以上を踏まえると、TROI 試験の溶融物温度はかなり高い試験条件と考えられ、他の試験で想定しているような実機条件に近い溶融物温度では水蒸気爆発の発生可能性は十分小さいと考えられる。

TROI 試験と実機条件の比較を検討するために、模擬溶融物にコリウム

(UO_2-ZrO_2) を用いた TROI-10, 12, 23, 25 と実機条件の比較を第 7 表に示す。この表では、第 11 図に示す Ricou-Spalding 式による粒子化割合^[9]の概算値を示している。熔融物温度が高く過熱度が大きい TROI-10, 12 では、自発的水蒸気爆発が観測されている。これに対して、熔融物温度が高く過熱度が大きい水深が 1.3m と深い TROI-23 では、水蒸気爆発は発生していない。これは、水深が深いことにより、熔融物粒子が底部に到着するまでの沈降時間が長くなり、熔融物粒子が固化しやすいため、熔融物粒子が底部に接触することで発生するトリガリングを抑制したと考えられる^[8]。

水蒸気爆発が発生した TROI-10, 12 の粒子化割合は約 60% であるが、水深がより深い TROI-23 では、粒子化割合が約 80% と比較的大きい値となっており、底部に到達する前に固化する熔融物粒子が比較的多いと考えられる。一方、水深及び粒子化割合は TROI-10, 12 と同程度であるが、熔融物温度がやや低い TROI-25 では、蒸気発生による圧力上昇 (Steam Spike) は生じているが、水蒸気爆発は発生していない。熔融物温度が低い場合、過熱度が小さく粒子が固化しやすいため、水蒸気爆発が抑制されたものと考えられる。

実機条件では、熔融ジェットの初期直径は計装配管口径 (約 4cm) ~ 制御棒駆動機構ハウジングの直径 (約 15cm) 程度と想定されるが、ペデスタル (ドライウェル部) 注水対策により水深は 1m となる。これより、粒子化割合は約 35% ~ 90% となるが、熔融物温度が約 2,650K 以下と水蒸気爆発が発生した TROI 試験よりも十分低いと考えられ、大規模な水蒸気爆発の発生の可能性は十分小さいと考えられる。

また、いくつかの TROI 試験では水蒸気爆発が発生したときの機械的エネルギー変換効率が報告されている (第 5 表)。これらの中で自発的に水蒸気爆発が発生したとされる TROI-13 の機械的エネルギー変換効率は 0.4% である。

これは、ALPHA試験（第1表）やKROTOS試験（第2表）で観測されているように、アルミナによる金属模擬溶融物試験の値に対して比較的小さい値となっている。

また、KROTOS試験（K46, K52, K53）では、 UO_2 混合物を用いた試験でも外部トリガを与えた場合は水蒸気爆発が観測されているが、これらの試験ケースはサブクール度が大きい試験ケースである（K46のサブクール度：83K, K52のサブクール度：102K, K53のサブクール度：122K）。したがって、サブクール度が大きい場合には、 UO_2 混合物を用いた場合でも、水蒸気爆発の可能性が高くなることが考えられる。これは、サブクール度が大きい場合には、粗混合粒子の蒸気膜の安定度が低下し、蒸気膜の崩壊が発生しやすいことが要因と考えられる。

しかし、KROTOS試験のK52, K53と同程度の高サブクール度の条件であるFARO試験のL-31（サブクール度：104K）, L-33（サブクール度：124K）では、水蒸気爆発が発生していない。これらの試験の UO_2 混合物量は、KROTOS試験が数kgであるのに対して100kg程度であり、より実機条件に近い。

また、COTELS試験の高サブクール試験（A11）でも水蒸気爆発は発生していない。COTELS試験は、BWRの原子炉圧力容器外FCIを模擬した試験であり、溶融物に圧力容器内の構造物を想定したステンレススチールを含んでいる。また、溶融物量も50kg程度であり、KROTOS試験よりも実機条件に近い。

以上より、 UO_2 混合物の溶融物量が少ないKROTOS試験では、水蒸気爆発が発生しているが、溶融物量が多くより実機体系に近い大規模試験であるFARO試験、COTELS試験では、水蒸気爆発は発生していない。

FCI試験では、水蒸気爆発のトリガを発生させるために、高圧ガスを封

入した装置（K R O T O S 試験では最高 20MPa のガスを封入可能な装置）を用いている。水蒸気爆発のトリガは粗混合粒子の周囲に形成される蒸気膜の崩壊に起因すると考えられており，トリガ装置により圧力パルスが発生させ蒸気膜を不安定化させる効果があると考えられる。実機条件では，このようなトリガ装置で発生させているような圧力外乱となる要因は考えられない。また，溶融物がプール底部に接触することでトリガ要因となることが考えられるが，BWRの原子炉压力容器外 F C I を模擬した C O T E L S 試験の試験装置では，BWRのペDESTAL底部と同様に平板コンクリートを模擬した試験装置としており，実機条件と同様であるが水蒸気爆発は観測されていない。

また，実機条件では，水深が試験条件よりも深くなる可能性があるが，水深が深いことにより，溶融物粒子が底部に到達するまでの沈降時間が長くなり，溶融物粒子が固化しやすい状況となる。このため，溶融物粒子が底部に接触することで発生するトリガリングのリスクは低減する可能性がある。

以上より，BWRの実機条件において水蒸気爆発のトリガとなる特段の要因は考えられないため，実機条件でも水蒸気爆発の発生リスクは十分小さいと考えられる。

上記の試験条件と実機条件の検討より，実機においては，格納容器の損傷に至る大規模な原子炉压力容器外水蒸気爆発の可能性は十分に小さいと考えられる。

4. 参考文献

- [1]N. Yamano, Y. Maruyama, T. Kudo, A. Hidaka, J. Sugimoto, Phenomenological studies on melt-coolant interactions in the ALPHA program, Nucl. Eng. Des. 155 369-389, 1995
- [2]I. Huhtiniemi, D. Magallon, H. Hohmann, Results of recent KROTOS FCI tests : alumina versus corium melts, Nucl. Eng. Des. 189 379-389, 1999
- [3]D. Magallon, Characteristics of corium debris bed generated in large-scale fuel-coolant interaction experiments, Nucl. Eng. Des. 236 1998-2009, 2006
- [4]H. S. Park , R. Chapman , M. L. Corradini , Vapor Explosions in a One-Dimensional Large-Scale Geometry With Simulant Melts, NUREG/CR-6623, 1999
- [5]D. Magallon, et al, Lessons learn from FARO/TERMOS corium melt quenching experiments, Nucl. Eng. Des. 189 223-238, 1999
- [6]M. Kato, H. Nagasaka, COTELS Fuel Coolant Interaction Tests under Ex-Vessel Conditions, JAERI-Conf 2000-015, 2000
- [7]V. Tyrpekl, Material effect in the fuel - coolant interaction : structural characterization and solidification mechanism, 2012
- [8]J. H. Kim, et al, The Influence of Variations in the Water Depth and Melt Composition on a Spontaneous Steam Explosion in the TROI Experiments, Proceedings of ICAPP' 04
- [9] (財) 原子力安全研究協会, 「シビアアクシデント対策評価のための格納容器イベントツリーに関する検討」, 平成 13 年 7 月
- [10]M. Kato, et al, Fuel Coolant Interaction Tests using UO₂ Corium under Ex-vessel Conditions, JAERI-Conf 99-005, 1999.

- [11]J. H. Song, Fuel Coolant Interaction Experiments in TROI using a UO₂/ZrO₂ mixture, Nucl. Eng. Des., 222, 1-15, 2003
- [12]J. H. Kim, Results of the Triggered Steam Explosion from the TROI Experiment, Nucl. Tech., Vol.158 378-395, 2007
- [13]NEA/CSNI/R, OECD/SERENA Project Report Summary and Conclusions, 2015
- [14]NUCLEA Nuclear Thermodynamic Database, Version 2005-01

第 1 表 ALPHA 試験の主要な試験条件及び試験結果^[1]

| 試験名 | 試験ケース | 熔融物組成 | 熔融物質量(kg) | 圧力(MPa) | 水温度(K) | 水深(m) | 外部トリガ | 水蒸気爆発発生 | 機械的エネルギー変換効率(%) |
|-------|--------|-----------------------------------|-----------|---------|--------|-------|-------|---------|-----------------|
| ALPHA | STX002 | Fe-Al ₂ O ₃ | 20 | 0.10 | 289 | 1.0 | No | Yes | — |
| | STX003 | Fe-Al ₂ O ₃ | 20 | 0.10 | 292 | 1.0 | No | Yes | — |
| | STX005 | Fe-Al ₂ O ₃ | 20 | 0.10 | 300 | 1.0 | No | Yes | — |
| | STX009 | Fe-Al ₂ O ₃ | 20 | 0.10 | 289 | 1.0 | No | Yes | — |
| | STX016 | Fe-Al ₂ O ₃ | 20 | 0.10 | 295 | 0.9 | No | Yes | 0.86 |
| | STX017 | Fe-Al ₂ O ₃ | 20 | 0.10 | 286 | 0.9 | No | Yes | 0.66 |
| | STX018 | Fe-Al ₂ O ₃ | 20 | 0.10 | 283 | 0.9 | No | Yes | 3.33 |
| | STX001 | Fe-Al ₂ O ₃ | 10 | 0.10 | 293 | 1.0 | No | No | — |
| | STX010 | Fe-Al ₂ O ₃ | 10 | 0.10 | 297 | 1.0 | No | Yes | — |
| | STX013 | Fe-Al ₂ O ₃ | 10 | 0.10 | 284 | 1.0 | No | No | — |
| | STX014 | Fe-Al ₂ O ₃ | 20 | 0.10 | 372 | 1.0 | No | No | — |
| | STX008 | Fe-Al ₂ O ₃ | 20 | 1.60 | 288 | 1.0 | No | No | — |
| | STX012 | Fe-Al ₂ O ₃ | 20 | 1.60 | 290 | 1.0 | No | No | — |
| | STX015 | Fe-Al ₂ O ₃ | 20 | 1.00 | 282 | 1.0 | No | No | — |
| | STX006 | Fe-Al ₂ O ₃ | 20 | 0.10 | 298 | 1.0 | No | No | — |
| | STX011 | Fe-Al ₂ O ₃ | 20 | 0.10 | 290 | 1.0 | No | Yes | — |
| | STX019 | Fe-Al ₂ O ₃ | 20 | 0.10 | 281 | 0.9 | No | Yes | 5.67 |
| | STX020 | Fe-Al ₂ O ₃ | 20 | 0.10 | 281 | 1.0 | No | No | — |
| | STX021 | Fe-Al ₂ O ₃ | 20 | 0.10 | 281 | 0.9 | No | Yes | 4.05 |

第 2 表 K R O T O S 試験の主要な試験条件及び試験結果^{[2][3][4]}

| 試験名 | 試験 ケース | 溶融物組成 | 溶融物質量 (kg) | 溶融物温度 (K) | 圧力 (MPa) | サブクール度 (K) | 水深 (m) | 外部 トリガ | 水蒸気爆発 発生 | 機械的エネルギー 変換効率(%) |
|--------|-----------|---|---------------|--------------|-------------|---------------|-----------|-----------|-------------|---------------------|
| KROTOS | K38 | Alumina | 1.5 | 2,665 | 0.1 | 79 | 1.11 | No | Yes | 1.45 |
| | K40 | Alumina | 1.5 | 3,073 | 0.1 | 83 | 1.11 | No | Yes | 0.9 |
| | K41 | Alumina | 1.4 | 3,073 | 0.1 | 5 | 1.11 | No | No | — |
| | K42 | Alumina | 1.5 | 2,465 | 0.1 | 80 | 1.11 | No | Yes | 1.9 |
| | K43 | Alumina | 1.5 | 2,625 | 0.21 | 100 | 1.11 | No | Yes | 1.3 |
| | K44 | Alumina | 1.5 | 2,673 | 0.1 | 10 | 1.11 | Yes | Yes | 2.6 |
| | K49 | Alumina | 1.5 | 2,688 | 0.37 | 120 | 1.11 | No | Yes | 2.2 |
| | K50 | Alumina | 1.7 | 2,473 | 0.1 | 13 | 1.11 | No | No | — |
| | K51 | Alumina | 1.7 | 2,748 | 0.1 | 5 | 1.11 | No | No | — |
| | K32 | 80wt%UO ₂ -20wt%ZrO ₂ | 3.0 | 3,063 | 0.1 | 22 | 1.08 | No | No | — |
| | K33 | 80wt%UO ₂ -20wt%ZrO ₂ | 3.2 | 3,063 | 0.1 | 75 | 1.08 | No | No | — |
| | K35 | 80wt%UO ₂ -20wt%ZrO ₂ | 3.1 | 3,023 | 0.1 | 10 | 1.08 | Yes | No | — |
| | K36 | 80wt%UO ₂ -20wt%ZrO ₂ | 3.0 | 3,025 | 0.1 | 79 | 1.08 | Yes | No | — |
| | K37 | 80wt%UO ₂ -20wt%ZrO ₂ | 3.2 | 3,018 | 0.1 | 77 | 1.11 | Yes | No | — |
| | K45 | 80wt%UO ₂ -20wt%ZrO ₂ | 3.1 | 3,106 | 0.1 | 4 | 1.14 | Yes | No | — |
| | K46 | 80wt%UO ₂ -20wt%ZrO ₂ | 5.4 | 3,086 | 0.1 | 83 | 1.11 | Yes | Yes | — |
| | K47 | 80wt%UO ₂ -20wt%ZrO ₂ | 5.4 | 3,023 | 0.1 | 82 | 1.11 | Yes | No | — |
| | K52 | 80wt%UO ₂ -20wt%ZrO ₂ | 2.6 | 3,133 | 0.2 | 102 | 1.11 | Yes | Yes | 0.02 |
| | K53 | 80wt%UO ₂ -20wt%ZrO ₂ | 3.6 | 3,129 | 0.36 | 122 | 1.11 | Yes | Yes | 0.05 |

第 3 表 F A R O 試験の主要な試験条件及び試験結果^[3]

| 試験名 | 試験ケース | 溶融物組成 | 溶融物質量 (kg) | 溶融物温度 (K) | 圧力 (MPa) | サブクール度 (K) | 水深 (m) | 外部トリガ | 水蒸気爆発発生 | 機械的エネルギー変換効率 (%) |
|------|---|---|------------|-----------|----------|------------|--------|-------|---------|------------------|
| FARO | L-06 | 80wt%UO ₂ -20wt%ZrO ₂ | 18 | 2,923 | 5 | 0 | 0.87 | No | No | — |
| | L-08 | 80wt%UO ₂ -20wt%ZrO ₂ | 44 | 3,023 | 5.8 | 12 | 1.00 | No | No | — |
| | L-11 | 77wt%UO ₂ -19wt%ZrO ₂ -4wt%Zr | 151 | 2,823 | 5 | 2 | 2.00 | No | No | — |
| | L-14 | 80wt%UO ₂ -20wt%ZrO ₂ | 125 | 3,123 | 5 | 0 | 2.05 | No | No | — |
| | L-19 | 80wt%UO ₂ -20wt%ZrO ₂ | 157 | 3,073 | 5 | 1 | 1.10 | No | No | — |
| | L-20 | 80wt%UO ₂ -20wt%ZrO ₂ | 96 | 3,173 | 2 | 0 | 1.97 | No | No | — |
| | L-24 | 80wt%UO ₂ -20wt%ZrO ₂ | 177 | 3,023 | 0.5 | 0 | 2.02 | No | No | — |
| | L-27 | 80wt%UO ₂ -20wt%ZrO ₂ | 117 | 3,023 | 0.5 | 1 | 1.47 | No | No | — |
| | L-28 | 80wt%UO ₂ -20wt%ZrO ₂ | 175 | 3,052 | 0.5 | 1 | 1.44 | No | No | — |
| | L-29 | 80wt%UO ₂ -20wt%ZrO ₂ | 39 | 3,070 | 0.2 | 97 | 1.48 | No | No | — |
| | L-31 | 80wt%UO ₂ -20wt%ZrO ₂ | 92 | 2,990 | 0.2 | 104 | 1.45 | No | No | — |
| L-33 | 80wt%UO ₂ -20wt%ZrO ₂ | 100 | 3,070 | 0.4 | 124 | 1.60 | Yes | No | — | |

第 4 表 C O T E L S 試験の主要な試験条件及び試験結果^[6]

| 試験名 | 試験ケース | 溶融物組成 | 溶融物質量 (kg) | 圧力 (MPa) | サブクール度 (K) | 水深 (m) | 外部トリガ | 水蒸気爆発発生 | 機械的エネルギー変換効率 (%) |
|--------|-------|---|------------|----------|------------|--------|-------|---------|------------------|
| COTELS | A1 | 55wt%UO ₂ -25wt%Zr-5wt%ZrO ₂ -15wt%SS | 56.3 | 0.20 | 0 | 0.4 | No | No | — |
| | A4 | 55wt%UO ₂ -25wt%Zr-5wt%ZrO ₂ -15wt%SS | 27.0 | 0.30 | 8 | 0.4 | No | No | — |
| | A5 | 55wt%UO ₂ -25wt%Zr-5wt%ZrO ₂ -15wt%SS | 55.4 | 0.25 | 12 | 0.4 | No | No | — |
| | A6 | 55wt%UO ₂ -25wt%Zr-5wt%ZrO ₂ -15wt%SS | 53.1 | 0.21 | 21 | 0.4 | No | No | — |
| | A8 | 55wt%UO ₂ -25wt%Zr-5wt%ZrO ₂ -15wt%SS | 47.7 | 0.45 | 24 | 0.4 | No | No | — |
| | A9 | 55wt%UO ₂ -25wt%Zr-5wt%ZrO ₂ -15wt%SS | 57.1 | 0.21 | 0 | 0.9 | No | No | — |
| | A10 | 55wt%UO ₂ -25wt%Zr-5wt%ZrO ₂ -15wt%SS | 55.0 | 0.47 | 21 | 0.4 | No | No | — |
| | A11 | 55wt%UO ₂ -25wt%Zr-5wt%ZrO ₂ -15wt%SS | 53.0 | 0.27 | 86 | 0.8 | No | No | — |

(注)溶融物温度は 3000~3100K と見積もられている^{[9][10]}

第5表 TROI試験の主要な試験条件及び試験結果 (1/2) [7][8][11][12]

| 試験名 | 試験 ケース | 溶融物組成 | 溶融物質量 (kg) | 溶融物温度 (K) | 圧力 (MPa) | 水温度 (K) | 水深 (m) | 外部 トリガ | 水蒸気爆発 発生 | 機械的エネルギー 変換効率(%) |
|------|---|---|---------------|-----------------------|-------------|------------|-----------|-------------|-------------|---------------------|
| TROI | 1 | 99wt%ZrO ₂ -1wt%Zr | 5 | >3,373 | 0.1 | 365 | 0.67 | — | Steam Spike | — |
| | 2 | 99wt%ZrO ₂ -1wt%Zr | 5.5 | >3,373 | 0.1 | 365 | 0.67 | — | No | — |
| | 3 | 99wt%ZrO ₂ -1wt%Zr | 4.88 | >3,373 | 0.1 | 323 | 0.67 | — | No | — |
| | 4 | 99wt%ZrO ₂ -1wt%Zr | 4.2 | >3,373 | 0.1 | 292 | 0.67 | — | Yes | — |
| | 5 | 98.5wt%ZrO ₂ -1.5wt%Zr | 2.9 | 3,373 | 0.1 | 337 | 0.67 | — | Yes | — |
| | 9 | 70wt%UO ₂ -30wt%ZrO ₂ | 4.3 | 3,200 | 0.1 | 296 | 0.90 | — | No | — |
| | 10 | 70wt%UO ₂ -30wt%ZrO ₂ | 8.7 | 3,800 | 0.117 | 298 | 0.67 | — | Yes | — |
| | 11 | 70wt%UO ₂ -30wt%ZrO ₂ | 9.2 | >3,800 | 0.111 | 296 | 0.67 | — | No | — |
| | 12 | 70wt%UO ₂ -30wt%ZrO ₂ | 8.4 | 3,800 | 0.11 | 293 | 0.67 | — | Yes | — |
| | 13 | 70wt%UO ₂ -30wt%ZrO ₂ | 7.7 | 2,600 ^(注1) | 0.108 | 292 | 0.67 | — | Yes | 0.40 |
| | 14 | 70wt%UO ₂ -30wt%ZrO ₂ | 6.5 | 3,000 ^(注2) | 0.105 | 285 | 0.67 | — | Yes | — |
| | 17 | 70wt%UO ₂ -30wt%ZrO ₂ | | | | | | — | No | — |
| | 18 | 78wt%UO ₂ -22wt%ZrO ₂ | 9.1 | | | | | — | — | — |
| | 21 | 80wt%UO ₂ -20wt%ZrO ₂ | 17.0 | 3,000 | 0.110 | 298 | 1.30 | No | No | — |
| | 22 | 80wt%UO ₂ -20wt%ZrO ₂ | 17.0 | 2,900 | 0.110 | 297 | 1.30 | No | No | — |
| | 23 | 80wt%UO ₂ -20wt%ZrO ₂ | 17.0 | 3,600 | 0.110 | 293 | 1.30 | No | No | — |
| | 24 | ZrO ₂ | 9.5 | 3,600 | 0.110 | 288 | 0.67 | No | Yes | — |
| 25 | 70wt%UO ₂ -30wt%ZrO ₂ | 15.0 | 3,500 | 0.110 | 287 | 0.67 | No | Steam Spike | — | |
| 26 | 80wt%UO ₂ -20wt%ZrO ₂ | 17.0 | 3,300 | 0.106 | 283 | 0.67 | No | Steam Spike | — | |

(注1) 参考文献[11]によれば温度計測に問題があり、実際には3,500K以上と推測されている。

(注2) 参考文献[11]によれば二つの温度計が異なる最高温度(4,000K, 3,200K)を示しており、計測の不確かさが大きいとされている。

第5表 TROI試験の主要な試験条件及び試験結果 (2/2) [7][8][11][12]

| 試験名 | 試験 ケース | 溶融物組成 | 溶融物質量 (kg) | 溶融物温度 (K) | 圧力 (MPa) | 水温度 (K) | 水深 (m) | 外部 トリガ | 水蒸気爆発 発生 | 機械的エネルギー 変換効率 (%) |
|------|-----------|---|--------------------|---------------|-------------|------------|-----------|-----------|-------------|----------------------|
| TROI | 29 | 50wt%UO ₂ -50wt%ZrO ₂ | 11.5 | | | | | — | No | — |
| | 32 | 87wt%UO ₂ -13wt%ZrO ₂ | | | | | | — | No | — |
| | 34 | 70wt%UO ₂ -30wt%ZrO ₂ | 10.5 | ~3,000 | | 341 | 0.67 | Yes | Yes | 0.63 |
| | 35 | 70wt%UO ₂ -30wt%ZrO ₂ | 8 | ~3,000 | 0.110 | 334 | 1.30 | Yes | Yes | 0.21 |
| | 36 | 70wt%UO ₂ -30wt%ZrO ₂ | 5.3 | ~3,000 | | 305 | 0.95 | Yes | Yes | 0.50 |
| | 37 | 78wt%UO ₂ -22wt%ZrO ₂ | 8.1 | ~3,000 | 0.104 | 313 | 0.95 | Yes | Yes | 0.01 |
| | 38 | 78wt%UO ₂ -22wt%ZrO ₂ | 5.3 | ~3,000 | 0.105 | 288 | 1.30 | — | No | — |
| | 39 | 78wt%UO ₂ -22wt%ZrO ₂ | 3.4 | ~3,000 | 0.106 | 285 | 1.30 | — | No | — |
| | 40 | 70wt%UO ₂ -30wt%ZrO ₂ | 11.1 | ~3,000 | 0.312 | 287 | 1.30 | — | No | — |
| | 49 | 62.3wt%UO ₂ -15wt%ZrO ₂ -11.7wt%Zr-11wt%Fe | 15.96 | 2,730 (3,360) | | | | — | — | — |
| | 50 | 59.5wt%UO ₂ -18wt%ZrO ₂ -11.9wt%Zr-10.6wt%Fe | 14.46 | | | | | — | — | — |
| | 51 | 60.5wt%UO ₂ -16.7wt%ZrO ₂ -12.1wt%Zr-10.7wt%Fe | 6.3 (14.2 load) | 2,695 (3,420) | 0.115 | 294 | 1.30 | Yes | Yes | — |
| | 52 | 61wt%UO ₂ -16wt%ZrO ₂ -12wt%Zr-11wt%Fe | 8.6 (14.1 load) | 2,650 | 0.116 | 285 | 1.30 | Yes | Steam Spike | — |

(注1) 参考文献[11]によれば温度計測に問題があり、実際には3,500K以上と推測されている。

(注2) 参考文献[11]によれば二つの温度計が異なる最高温度(4,000K, 3,200K)を示しており、計測の不確かさが大きいとされている。

第 6 表 S E R E N A 試験（フェーズ 2）の主要な試験条件及び試験結果^[13]

| 試験名 | 試験ケース | 溶融物組成 | 溶融物質量 (kg) | 溶融物温度 (K) | 圧力 (MPa) | 水温度 (K) | 水深 (m) | 外部トリガ | 水蒸気爆発発生 | 機械的エネルギー変換効率 (%) |
|-----------------------------|-------|--|------------|-----------|----------|---------|--------|-------|----------------------------------|------------------|
| SERENA (TROI/ KROTOS) | TS-1 | 73.4wt%UO ₂ -26.6wt%ZrO ₂ | 15.4 | ~3,000 | 0.4 | 301 | 1.0 | Yes | Yes | 0.12 |
| | TS-2 | 68wt%UO ₂ -32wt%ZrO ₂ | 12.5 | 3,063 | 0.2 | 334 | 1.0 | Yes | Yes | 0.28 |
| | TS-3 | 71wt%UO ₂ -29wt%ZrO ₂ | 15.9 | 3,107 | 0.2 | 331 | 1.0 | Yes | Yes | 0.22 |
| | TS-4 | 81wt%UO ₂ -19wt%ZrO ₂ | 14.3 | 3,011 | 0.2 | 333 | 1.0 | Yes | Yes | 0.35 |
| | TS-5 | 76wt%UO ₂ -18.3wt%ZrO ₂ -5wt%Zr-0.7wt%U | 17.9 | 2,940 | 0.2 | 337 | 1.0 | Yes | Steam Spike | 0.06 |
| | TS-6 | 73.3wt%UO ₂ -18.5wt%ZrO ₂ -4.9wt%Fe ₂ O ₃ -3.3wt%FP | 9.3 | 2,910 | 0.2 | 338 | 1.0 | Yes | Yes | 0.66 |
| | KS-1 | 70wt%UO ₂ -30wt%ZrO ₂ | 2.4 | 2,969 | 0.4 | 302 | 1.1 | Yes | Yes | 0.10 |
| | KS-2 | 70wt%UO ₂ -30wt%ZrO ₂ | 3.9 | 3,049 | 0.2 | 333 | 1.1 | Yes | Yes | 0.08 |
| | KS-3 | 70wt%UO ₂ -30wt%ZrO ₂ | 0.8 | 2,850 | — | 332 | 1.1 | Yes | — (注 1) | — (注 1) |
| | KS-4 | 80wt%UO ₂ -20wt%ZrO ₂ | 2.3 | 2,958 | 0.2 | 332 | 1.1 | Yes | Yes | 0.18 |
| | KS-5 | 80.1wt%UO ₂ -11.4wt%ZrO ₂ -8.5wt%Zr | 1.7 | 2,864 | 0.2 | 327 | 1.1 | Yes | Energetic event ^(注 2) | — (注 2) |
| | KS-6 | 73wt%UO ₂ -20.4wt%ZrO ₂ -4.1wt%Fe ₂ O ₃ -2.5wt%FP | 1.7 | 2,853 | 0.2 | 340 | 1.1 | Yes | Yes | ~0 |

(注 1) 実験失敗

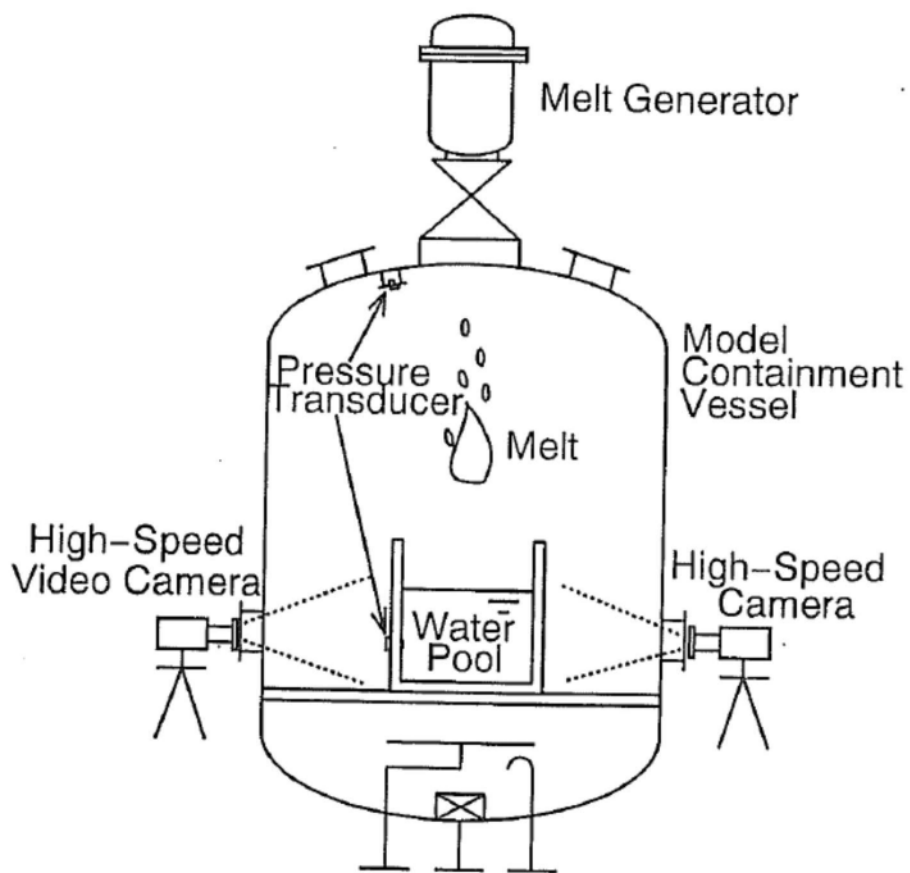
(注 2) 計測失敗

第 7 表 T R O I 試験と実機条件の比較

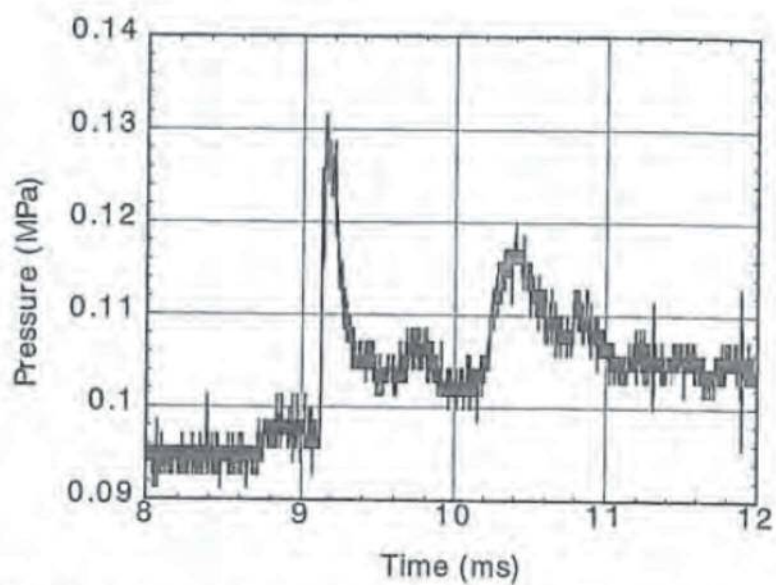
| 試験ケース | 溶融物温度 (過熱度) (注 1) | 溶融 ジェット径 | 水深 | 粒子化割合 (注 2) | 水蒸気爆発 |
|---------|----------------------|-------------|-------|-------------|-------------|
| TR0I-10 | 3,800K (900K) | 6.5cm | 0.67m | 約 60% | Yes |
| TR0I-12 | 3,800K (900K) | 6.5cm | 0.67m | 約 60% | Yes |
| TR0I-23 | 3,600K (700K) | 7.4cm | 1.30m | 約 80% | No |
| TR0I-25 | 3,500K (600K) | 8.0cm | 0.67m | 約 50% | Steam Spike |
| 実機条件 | 約 2,650K (約 140K) | 約 4~15cm | 1m | 約 35~90% | — |

(注 1) 試験条件の過熱度は UO_2 / ZrO_2 の相図^[14]より固相線温度を約 2,900K とした場合の概算値
 実機条件の過熱度は事故解析結果による下部プレナム部の溶融物 (酸化物層) の過熱度の概算値

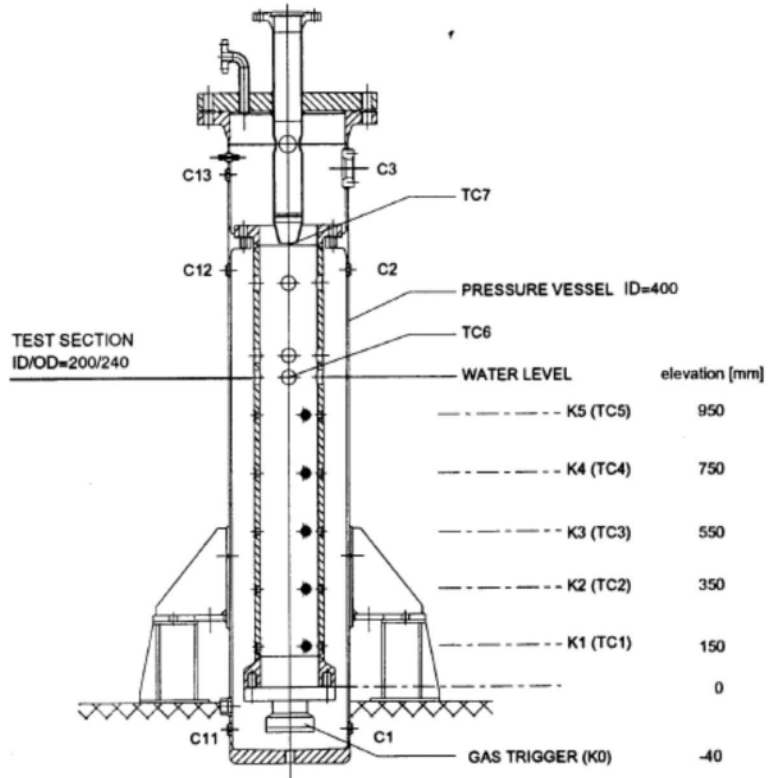
(注 2) R i c o u - S p a l d i n g 相関式 (第 11 図) による概算評価値



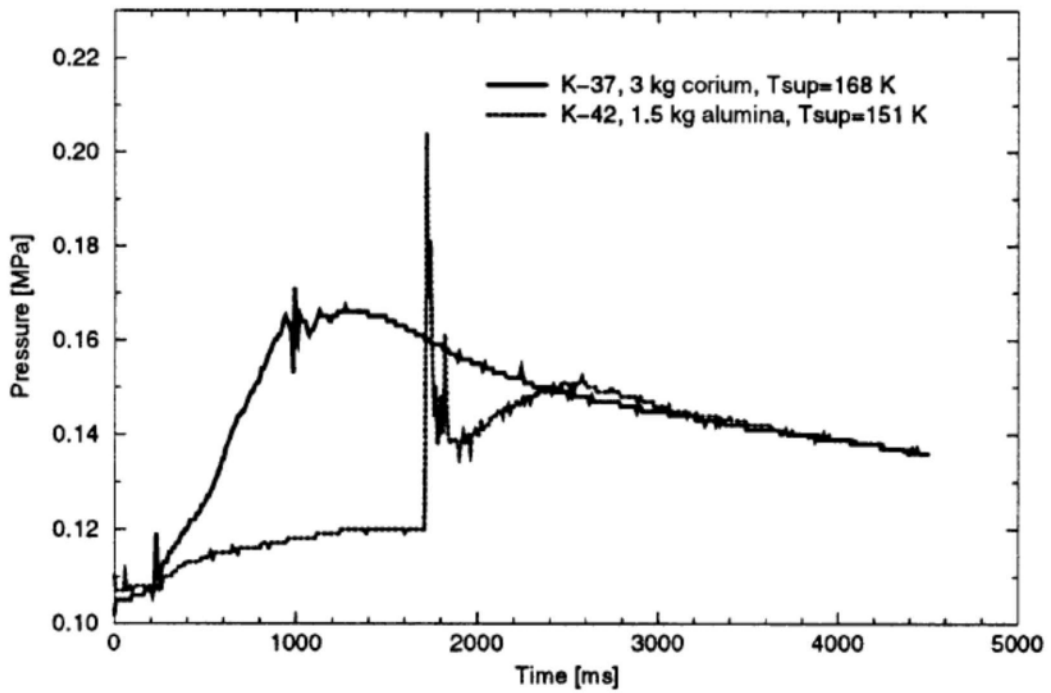
第 1 図 ALPHA 試験装置の概要



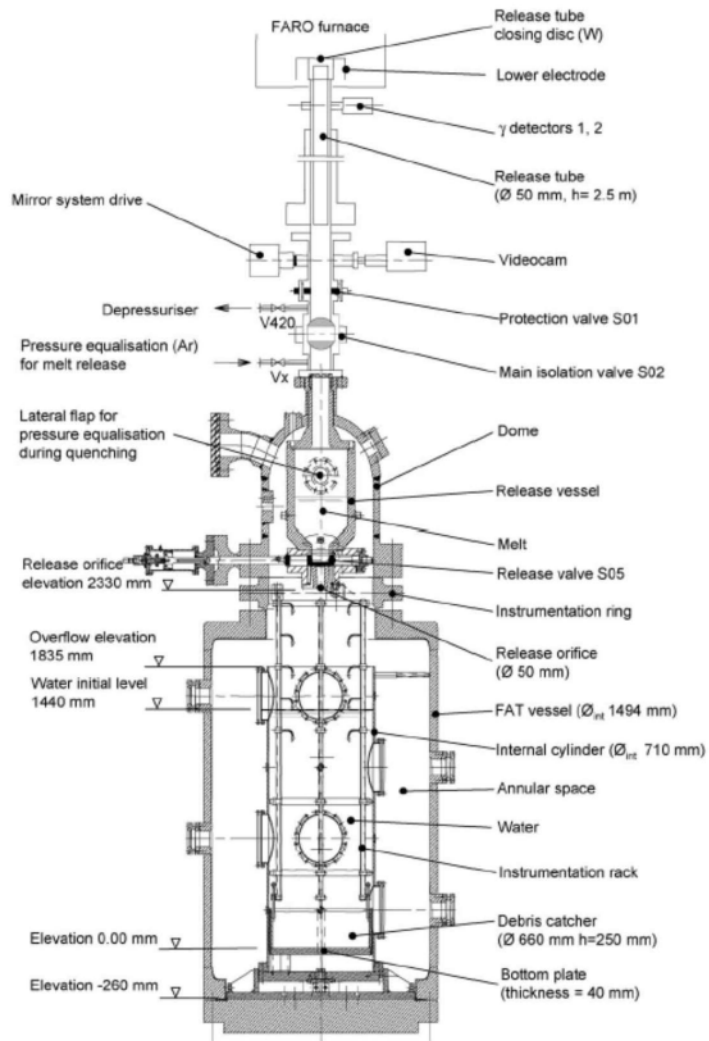
第 2 図 ALPHA 試験の圧力変化の例 (STX016)



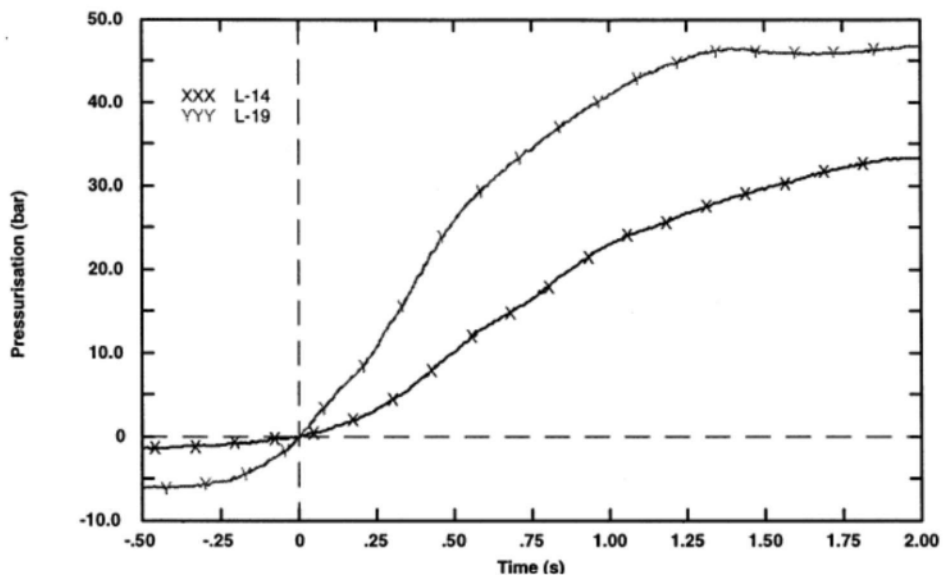
第 3 図 K R O T O S 試験装置の概要



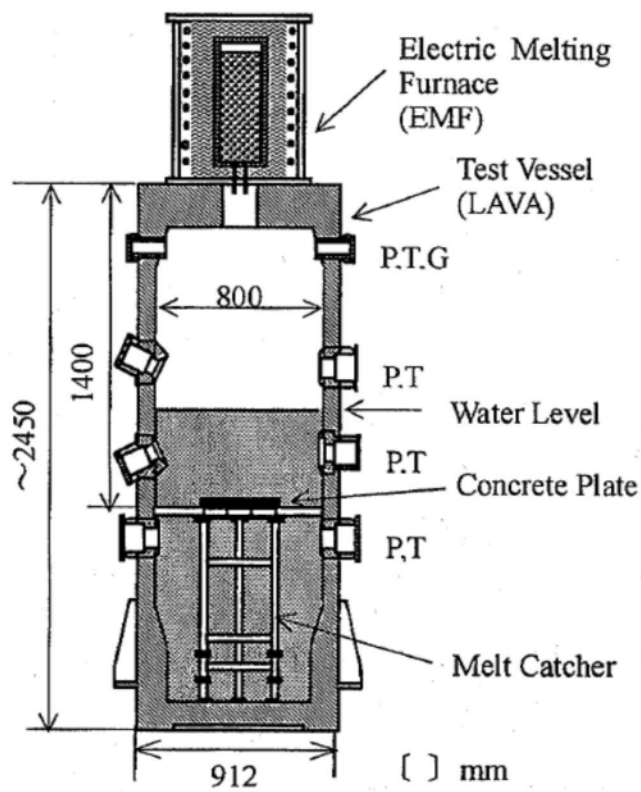
第 4 図 K R O T O S 試験の代表的圧力変化の例 (K37, K42)



第 5 図 F A R O 試験装置の概要

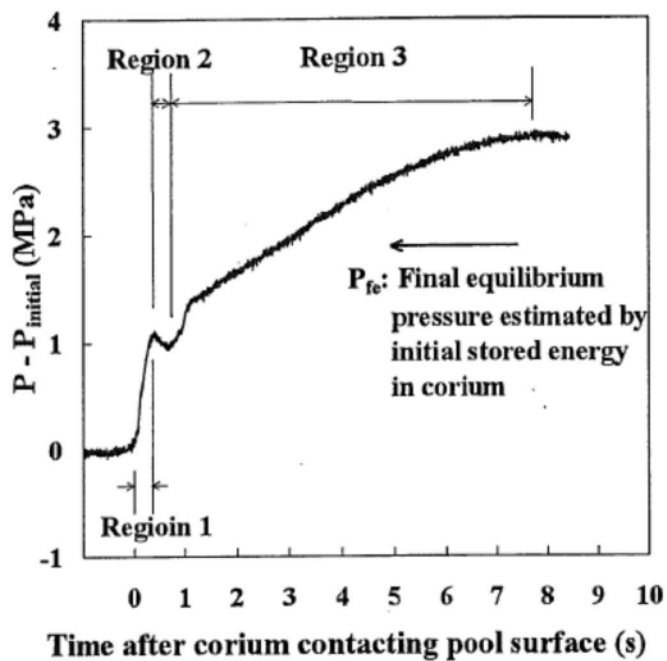


第 6 図 F A R O 試験の圧力変化の例 (L-14, L-19)

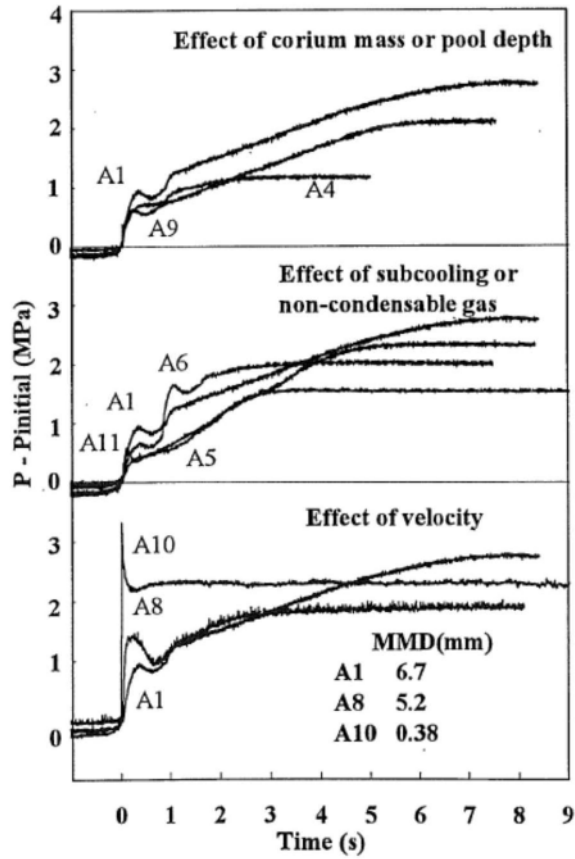


P: Pressure, T: Temperature,
G: Gas sampling line

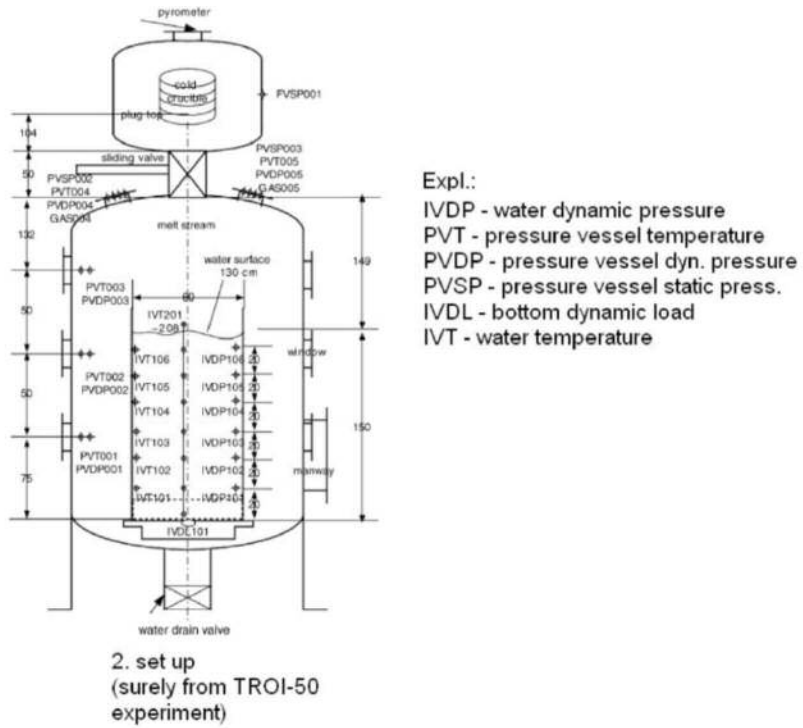
第 7 図 C O T E L S 試験装置の概要



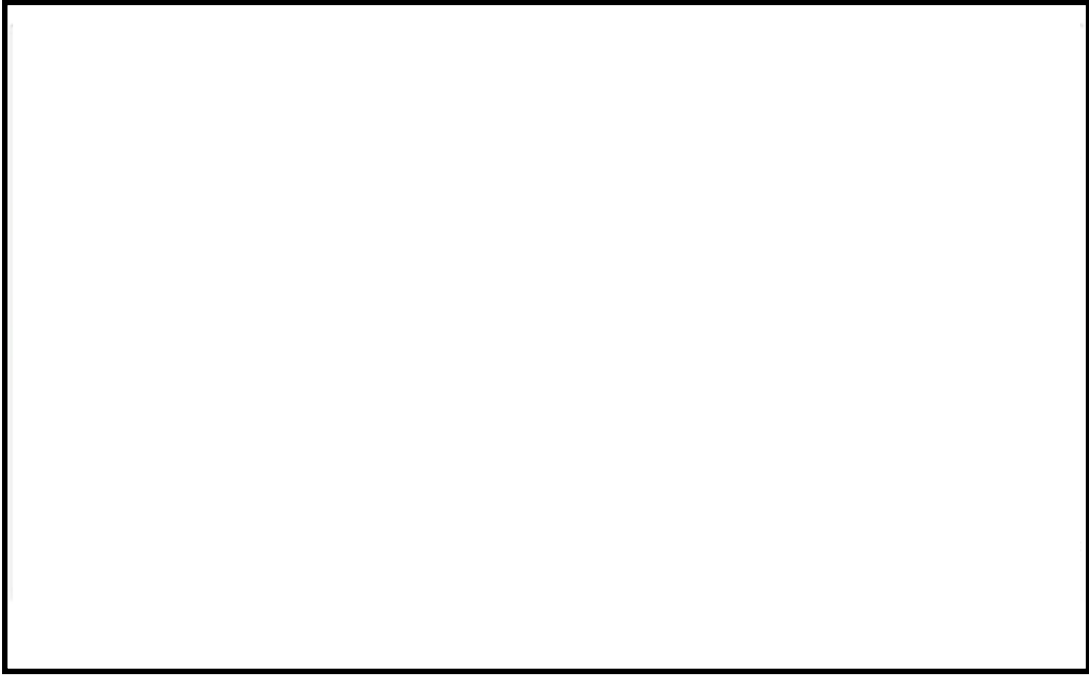
第 8 図 C O T E L S 試験の圧力変化の例 (A1)



第 9 図 C O T E L S 試験の各試験ケースの圧力変化



第 10 図 T R O I 試験装置の概要



第 11 図 Ricou-Spalding 相関式による
粒子化割合のマップ

水蒸気爆発の発生を想定した場合の格納容器の健全性への影響評価

1. 評価目的

溶融炉心（以下「デブリ」という。）が原子炉圧力容器（以下「RPV」という。）の破損口から落下した際に水蒸気爆発（以下「SE」という。）が発生する可能性は、これまでの知見からも極めて低いと考えられる。しかしながら、SEが発生した場合を考慮し、格納容器の健全性に対する影響を確認しておくことは格納容器下部への水張り等の格納容器破損防止対策の適切性を確認する上でも有益な参考情報になると考える。このため、ここではデブリ落下時のSE発生を想定し、その際の格納容器の健全性を評価する。

2. 評価方針

東海第二発電所のペDESTALは鉄筋コンクリート造の上下層円筒部の中間に床スラブを有する構造であり、デブリ落下時にSEが発生した場合、ペDESTALの側壁（上下層円筒部）及び床スラブに過大な圧力が作用する。

ペDESTALの側壁はRPV支持機能を分担している。SE発生の影響により、ペDESTALの側壁が損傷し、RPV支持機能が喪失した場合には、RPVが転倒し格納容器本体へ接触する等により、格納容器の健全性が損なわれるおそれがある。

また、ペDESTALの床スラブは、RPV破損時に落下するデブリをペDESTAL（ドライウエル部）で保持する機能を分担している。SE発生の影響により、ペDESTALの床スラブが損傷し、デブリ保持機能が喪失した場合には、サブプレッション・チェンバへデブリが落下し、サブプレッション・チェンバを水源とする系統（残留熱除去系、代替循環冷却系）に影響を及ぼし、格納容器の冷却ができなくなることで格納容器の健全性が損なわれるおそれがある。

以上を踏まえ、S E発生時の格納容器の健全性を評価するため、S Eが発生した場合のペDESTALの構造健全性を評価し、ペDESTALのR P V支持機能及びデブリ保持機能が損なわれないことを確認する。

3. 評価方法

(1) 評価条件

S Eの影響を評価するに当たっては、S Eによって発生するエネルギー、発生エネルギーによる圧力伝播挙動及び構造応答が重要な現象となる。よって、これらの現象を適切に評価することが可能であるS E解析コードJ A S M I N E及び汎用有限要素解析コードL S - D Y N Aを用いてペDESTALの構造健全性を評価する。

本評価に適用するJ A S M I N Eコードの解析条件及び解析結果の詳細を添付資料 3.3.3 に示す。また、L S - D Y N Aコードの評価モデル及び入力の詳細を添付資料 3.3.4 に示す。なお、これらの解析コードにおいて、ペDESTAL（ドライウエル部）の水位は1mとし、コリウムシールドは模擬しない条件とする。

(2) 判断基準

炉心損傷防止に失敗し、重大事故時を想定する防護レベルにおいて、格納容器の健全性維持に必要な安全機能であるR P V支持機能及びデブリ保持機能が損なわれないことを確認する観点から、本評価では構造物が終局限界状態に至らないことを確認するための判断基準を設定する。

第1表にペDESTAL構造健全性評価の判断基準を示す。

a. 側壁（R P V支持機能）

ペDESTルの側壁は上下層円筒構造であることから、同様な円筒形状の構築物の設計規格が示されている、発電用原子力設備規格コンクリート製原子炉格納容器規格（（社）日本機械学会，2003）（以下「C C V規格」という。）を準用して判断基準を設定する。

コンクリートの圧縮ひずみについては，C C V規格 CVE-3511.2 荷重状態Ⅳのシェル部コンクリートの許容ひずみである $3,000 \mu$ を基準として，R P V支持機能に影響を及ぼす範囲の圧壊が生じないこととする。鉄筋の引張ひずみについては，C C V規格 CVE-3511.2 荷重状態Ⅳの鉄筋の許容ひずみである $5,000 \mu$ を超えないこととする。S E時に発生する面外方向のせん断については，C C V規格 CVE-3514.2 荷重状態Ⅳにおける終局面外せん断応力度を設定し，上部側壁で 3.09N/mm^2 ，下部側壁で 2.65N/mm^2 を超えないこととする。別添 1 に終局面外せん断応力度の算定過程を示す。

また，S Eは爆発事象であり衝撃荷重が問題となることから，建築物の耐衝撃設計の考え方（（社）日本建築学会，2015）（以下「A I J耐衝撃設計の考え方」という。）において進行性崩壊回避の考え方が示されていることを参考に，構造物の崩壊に対する健全性を確認する観点より，S Eによる側壁の変位が増大しないことを確認することとする。

b. 床スラブ（デブリ保持機能）

コンクリートの圧縮ひずみについては，側壁と同様にC C V規格を準用することとし，荷重状態Ⅳのコンクリートの許容ひずみである $3,000 \mu$ を基準として，デブリ保持機能に影響を及ぼす範囲の圧壊が生じないこととする。鉄筋についても側壁と同様に荷重状態Ⅳの鉄筋の許容ひずみである $5,000 \mu$ を超えないこととする。

ペデスタルは上下層円筒部の中間に円盤形の床スラブを有する構造であるが、この構造に対する面外せん断の判断基準設定に当たり、CCV規格には適した規定がないことから、コンクリート標準示方書〔構造性能照査編〕（（社）土木学会，2002））（以下「コンクリート示方書」という。）に基づく終局面外せん断応力度を設定し、 $4.33\text{N}/\text{mm}^2$ を超えないこととした。別添2に終局面外せん断応力度の算定過程を示す。

また、側壁と同様に、AIJ耐衝撃設計の考え方を参考に、構造物の崩壊に対する健全性を確認する観点より、SEによる床スラブの変位（たわみ量）が増大しないことを確認することとする。

4. 評価結果

(1) 側壁（RPV支持機能）

a. 側壁の変位

第1図に側壁の半径方向変位時刻歴を示す。最大変位はX方向で約0.16mmにとどまり、変位は増大していないことから、SE後の構造物の進行性の崩壊はない。

b. コンクリートの圧縮ひずみ

第3図に最小主ひずみ（圧縮ひずみ）分布を示す。側壁にはCCV規格に基づく許容ひずみ $3,000\mu$ を超える部位は生じないことから、機能に影響を及ぼす圧壊は生じない。

c. 鉄筋の引張ひずみ

第4図に鉄筋の軸ひずみ（引張ひずみ）分布を示す。側壁の鉄筋に発生する軸ひずみは約 184μ であり、CCV規格に基づく許容ひずみ $5,000\mu$ を超えない。

d. 側壁の面外せん断

第2表に側壁の面外せん断評価結果を示す。発生するせん断応力度は上部約 $0.93\text{N}/\text{mm}^2$ 及び下部約 $0.77\text{N}/\text{mm}^2$ であり、それぞれのCCV規格に基づく終局面外せん断応力度である、 $3.09\text{N}/\text{mm}^2$ 及び $2.65\text{N}/\text{mm}^2$ を超えない。

(2) 床スラブ（デブリ保持機能）

a. 床スラブの変位（たわみ量）

第2図に床スラブの鉛直方向変位の時刻歴を示す。最大変位は約 2.0mm とどまり、変位は増大していないことから、SE後の構造物の進行性の崩壊はない。

b. コンクリートの圧縮ひずみ

第3図に示したとおり、CCV規格に基づく許容ひずみ $3,000\mu$ を超える部位は、床スラブ上面の僅かな範囲にとどまることから、機能に影響を及ぼす圧壊は生じない。

c. 鉄筋の引張ひずみ

第4図に示したとおり、床スラブの鉄筋に発生する軸ひずみは約 364μ であり、CCV規格に基づく許容ひずみ $5,000\mu$ を超えない。

d. 床スラブの面外せん断

第3表に床スラブの面外せん断に対する評価結果を示す。発生するせん断応力度は約 $3.70\text{N}/\text{mm}^2$ であり、終局面外せん断応力度 $4.33\text{N}/\text{mm}^2$ を超えない。

第4表にペDESTAL構造健全性評価の評価結果のまとめを示す。

5. まとめ

SE解析コードJASMINE，汎用有限要素解析コードLS-DYNAにより，SEの発生を想定した場合の格納容器健全性への影響を評価した。その結果，SE時のペDESTAL（ドライウェル部）床面及び壁面に発生する応力やひずみは判断基準を満足し，SE後においても変位の増大はないことから，ペDESTALに要求されるRPV支持機能及びデブリ保持機能が損なわれないことを確認した。したがって，SEの発生を想定した場合であっても，格納容器の健全性は維持される。

第1表 ペデスタル構造健全性評価の判断基準

| 機能 | 評価部位 | | 項目 | 判断基準 | 準用規格等 |
|------------|------|--------|-------|---|---------------------|
| R P V 支持機能 | 側壁 | コンクリート | 変位 | 変位が増大せず，S E 後の構造物の進行性の崩壊がない | A I J 耐衝撃設計の考え方 |
| | | | 圧縮ひずみ | 機能に影響を及ぼす範囲の圧壊（3,000 μ ）が生じない | C C V 規格 CVE-3511.2 |
| | | | 面外せん断 | 終局面外せん断応力度（上部側壁：3.09 N/mm ² ，下部側壁 2.65N/mm ² ）を超えない | C C V 規格 CVE-3514.2 |
| | | 鉄筋 | 引張ひずみ | 許容ひずみ（5,000 μ ）を超えない | C C V 規格 CVE-3511.2 |
| デブリ保持機能 | 床スラブ | コンクリート | 変位 | 変位が増大せず，S E 後の構造物の進行性の崩壊がない | A I J 耐衝撃設計の考え方 |
| | | | 圧縮ひずみ | 機能に影響を及ぼす範囲の圧壊（3,000 μ ）が生じない | C C V 規格 CVE-3511.2 |
| | | | 面外せん断 | 終局面外せん断応力度（4.33N/mm ² ）を超えない | コンクリート示方書 |
| | | 鉄筋 | 引張ひずみ | 許容ひずみ（5,000 μ ）を超えない | C C V 規格 CVE-3511.2 |

第2表 側壁の面外せん断に対する評価結果

| 評価部位 | 発生応力度 | 判断基準 | 評価※ |
|------|--------------------------|------------------------|-----|
| 側壁上部 | 約 0.93 N/mm ² | 3.09 N/mm ² | ○ |
| 側壁下部 | 約 0.77 N/mm ² | 2.65 N/mm ² | ○ |

※ 「○」 解析結果の発生応力度が判断基準を満足する

第3表 床スラブの面外せん断に対する評価結果

| 評価部位 | 発生応力度 | 判断基準 | 評価※ |
|------|--------------------------|------------------------|-----|
| 床スラブ | 約 3.70 N/mm ² | 4.33 N/mm ² | ○ |

※ 「○」 解析結果の発生応力度が判断基準を満足する

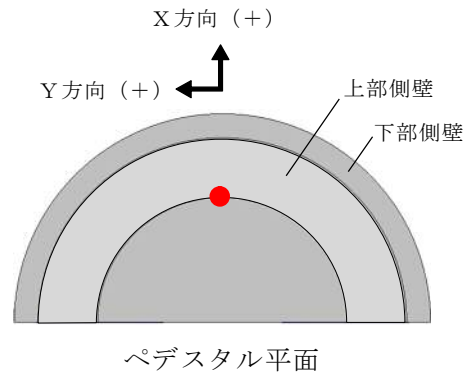
第4表 ペデスタル構造健全性評価の評価結果のまとめ

| 機能 | 評価部位 | | 項目 | 判断基準 | 解析結果 | 評価※ |
|------------|------|--------|-------|---|--|-----|
| R P V 支持機能 | 側壁 | コンクリート | 変位 | 変位が増大せず，S E後の構造物の進行性の崩壊がない | 変位は増大しない | ○ |
| | | | 圧縮ひずみ | 機能に影響を及ぼす範囲の圧壊（3,000 μ ）が生じない | 圧壊は側壁に生じない | ○ |
| | | | 面外せん断 | 終局面外せん断応力度（上部側壁：3.09N/mm ² ，下部側壁2.65N/mm ² ）を超えない | 上部側壁：約0.93N/mm ² 下部側壁：約0.77N/mm ² | ○ |
| | | 鉄筋 | 引張ひずみ | 許容ひずみ（5,000 μ ）を超えない | 約184 μ | ○ |
| デブリ保持機能 | 床スラブ | コンクリート | 変位 | 変位が増大せず，S E後の構造物の進行性の崩壊がない | 変位は増大しない | ○ |
| | | | 圧縮ひずみ | 機能に影響を及ぼす範囲の圧壊（3,000 μ ）が生じない | 圧壊は床スラブ上面の僅かな範囲にとどまる | ○ |
| | | | 面外せん断 | 終局面外せん断応力度（4.33N/mm ² ）を超えない | 約3.70N/mm ² | ○ |
| | | 鉄筋 | 引張ひずみ | 許容ひずみ（5,000 μ ）を超えない | 約364 μ | ○ |

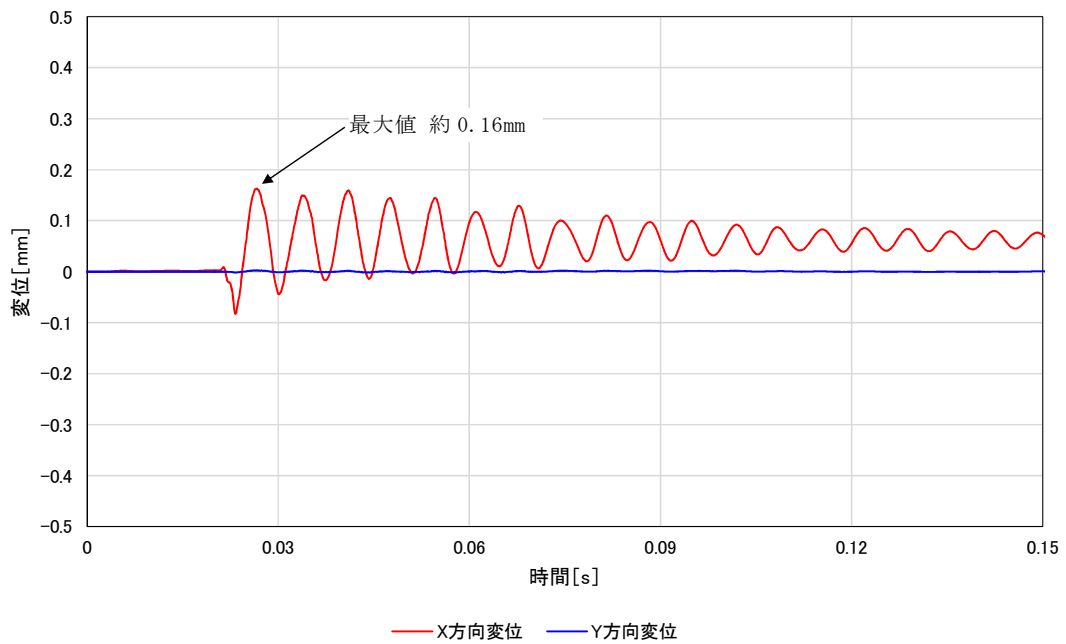
※ 「○」 解析結果が判断基準を満足する



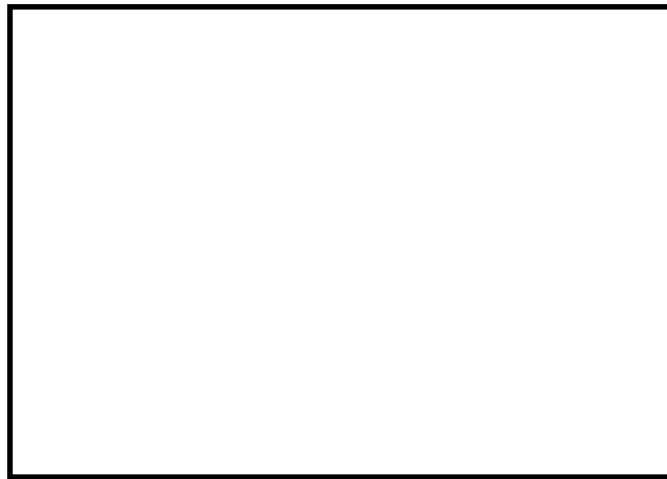
ペDESTAL断面



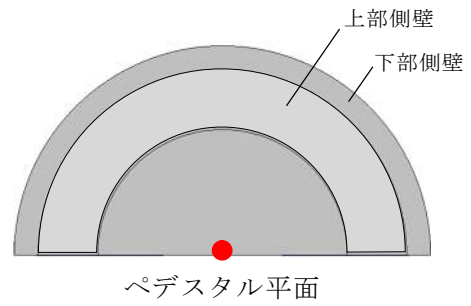
● 対象部位



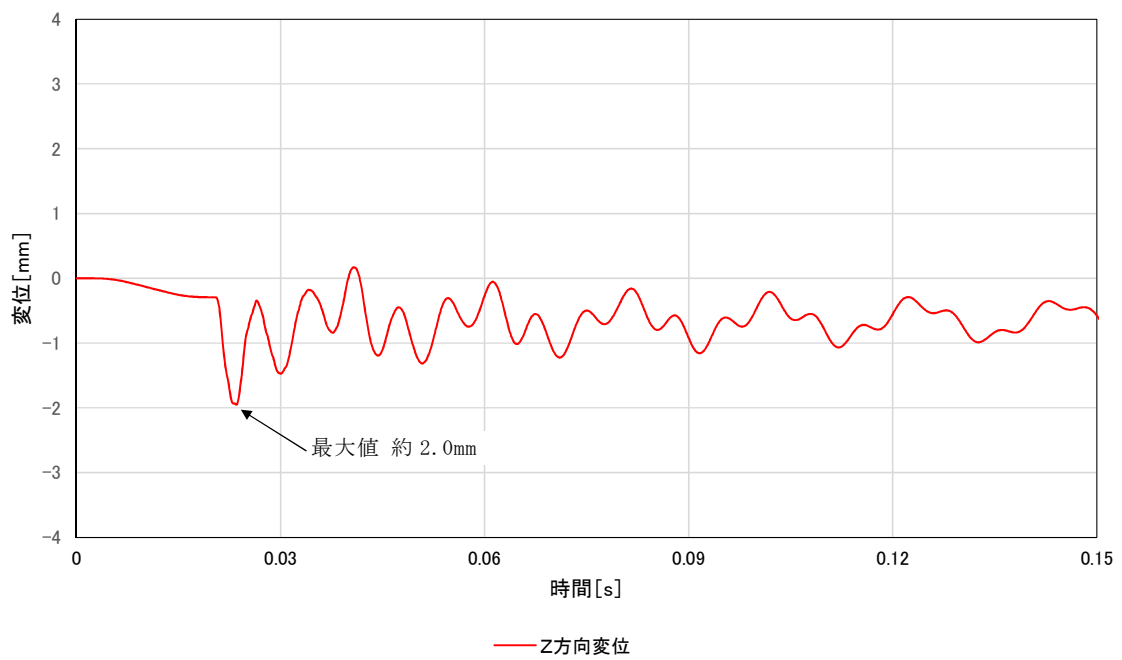
第 1 図 ペDESTAL側壁の半径方向変位時刻歴



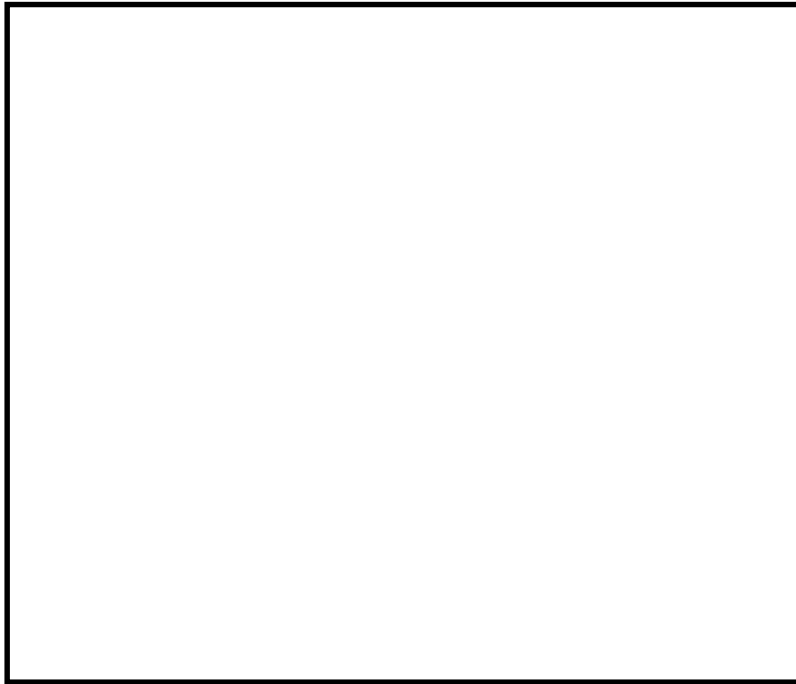
ペDESTAL断面



● 対象部位



第2図 ペDESTAL床スラブの鉛直方向変位時刻歴



第 3 図 コンクリートの最小主ひずみ（圧縮ひずみ）分布



第 4 図 鉄筋の軸ひずみ分布

側壁の終局面外せん断応力度

1. 算定条件

ペDESTALの側壁は、円筒形シェル構造であることから、CCV規格 CVE-3514.2 荷重状態Ⅳにおけるシェル部の終局面外せん断応力度の算定式を適用し、側壁の終局面外せん断応力度を算定する。第1図に算定対象部位を示す。

$$\tau_H = 10p_{t\theta} \cdot f_y / (13.2\sqrt{\beta} - \beta)$$

ここで、

τ_H : 終局面外せん断応力度 (N/mm²)

$p_{t\theta}$: 円周方向主筋の鉄筋比 (-)

f_y : 鉄筋の許容引張応力度 (N/mm²)

β : 次の計算式により計算した値 $\beta = r/t$

r : シェル部の胴の厚さの中心までの半径(mm)

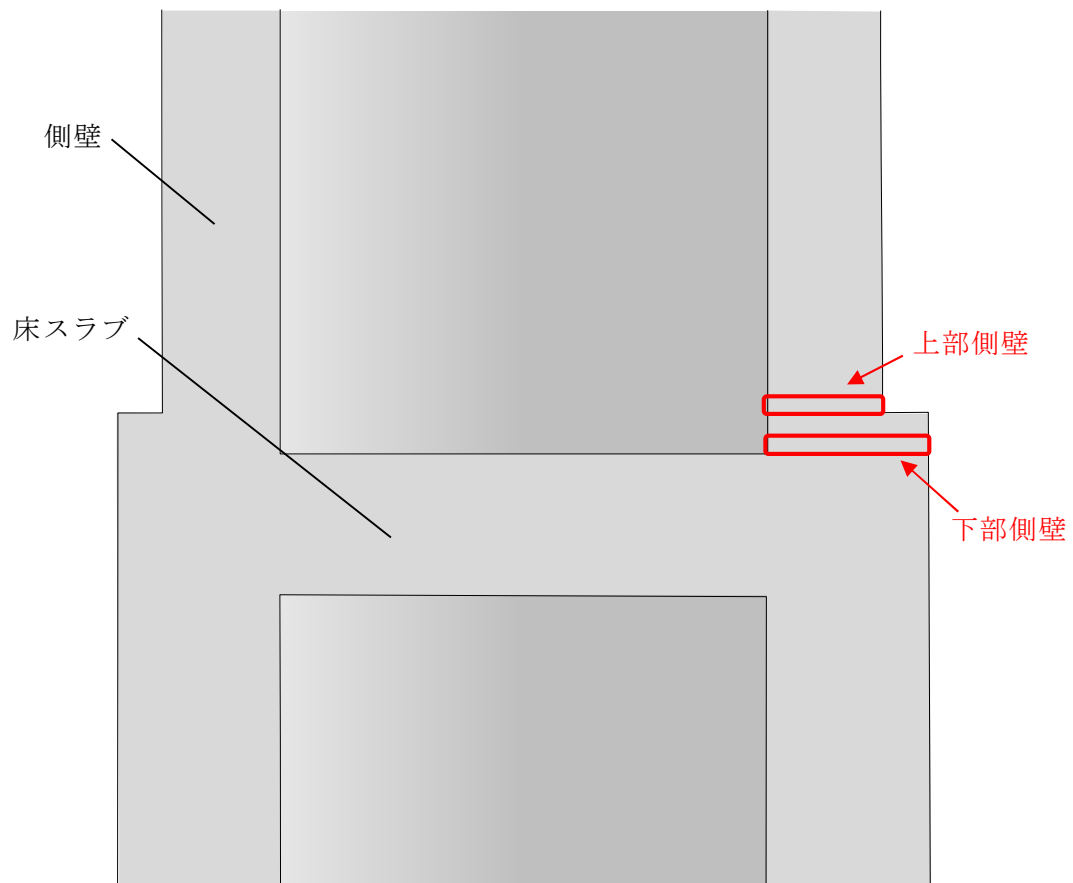
t : シェル部の胴の厚さ(mm)

各項目の数値を下表に示す。

| 項目 | | 数値 |
|------|----------------------------|----------------------|
| 上部側壁 | $p_{t\theta}$: 円周方向主筋の鉄筋比 | |
| | f_y : 鉄筋の許容引張応力度 | 345N/mm ² |
| | r : シェル部の胴の厚さの中心までの半径 | |
| | t : シェル部の胴の厚さ | |
| 下部側壁 | $p_{t\theta}$: 円周方向主筋の鉄筋比 | |
| | f_y : 鉄筋の許容引張応力度 | 345N/mm ² |
| | r : シェル部の胴の厚さの中心までの半径 | |
| | t : シェル部の胴の厚さ | |

2. 算定結果

算定の結果、側壁の終局面外せん断応力度は上部側壁で 3.09N/mm²，下部側壁で 2.65N/mm²となる。



第1図 算定対象部位

床スラブの終局面外せん断応力度

1. 算定条件

S E時の床スラブのせん断力に対する検討は、コンクリート示方書に基づき、終局限界状態に至らないことを確認する。評価対象となる床スラブの形状は円盤形であり、S Eによる分布荷重を受ける。

せん断に対する検討に際して、分布荷重を受ける円盤スラブの部材応力分布について、機械工学便覧を参照し、対象とする部材のせん断力の最大値が生じている断面の曲げモーメント及びせん断力と躯体の形状寸法より、せん断スパン比が1.0以下であることを確認した。一般的に、せん断スパン比が1.0以下である梁部材はディープビームと呼ばれており、本検討では、コンクリート示方書に示されるディープビームの設計せん断耐力式を適用し、床スラブの終局面外せん断応力度を設定する。

$$V_{cda} = \beta_d \cdot \beta_p \cdot \beta_a \cdot f_{da} \cdot b_w \cdot d / \gamma_b$$

ここで、

$$f_{da} = 0.19 \sqrt{f'_{cd}} \quad (\text{N/mm}^2)$$

$$\beta_d = \sqrt[4]{1/d} \quad \text{ただし、} \beta_p > 1.5 \text{ となる場合は } 1.5 \text{ とする}$$

$$\beta_p = \sqrt[3]{100p_w} \quad \text{ただし、} \beta_p > 1.5 \text{ となる場合は } 1.5 \text{ とする}$$

$$\beta_a = \frac{5}{1+(a/d)^2}$$

f'_{cd} : コンクリートの設計圧縮強度 (N/mm²)

d : 有効せい (m)

p_w : 引張鉄筋比 (—)

a/d : せん断スパン比 (—)

b_w : 腹部の幅 (mm)

γ_b : 部材係数 (—)

各項目の数値を下表に示す。

| 項目 | 数値 |
|---------------------------|------------------------|
| f'_{cd} : コンクリートの設計圧縮強度 | 32.86N/mm ² |
| コンクリートの設計基準強度 | 22.06N/mm ² |
| 圧縮強度動的増倍率 [※] | 1.49 |
| d : 有効せい | |
| p_w : 引張鉄筋比 | |
| a/d : せん断スパン比 | 0.43 |
| b_w : 腹部の幅 | |
| γ_b : 部材係数 | 1.3 |

※ 次項参照

2. 圧縮強度動的増倍率の算定

一般に、コンクリートの強度、ヤング係数等の材料特性は、コンクリートに作用する荷重の载荷速度に依存する。その強度とヤング係数は、応力速度又はひずみ速度の対数に比例して増加することが明らかになっていることより、床スラブの終局面外せん断応力度算定においては、圧縮に対する材料強度にひずみ速度効果を考慮することとし、本評価ではコンクリート示方書において具体的計算方法が示されている、CEB-FIP Model Code 1990 による圧縮強度動的増倍率を設定した。

LS-DYNAコードによるSE解析では、せん断検討範囲の床スラブのコンクリート要素が経験するひずみ速度が $30s^{-1}$ 以下であるため、その範囲における CEB-FIP Model Code 1990 の圧縮強度動的増倍率の算定式を以下に示す。

$$f_{c,imp}/f_{cm} = (\dot{\varepsilon}_c/\dot{\varepsilon}_{c0})^{1.026\alpha_s} \quad \text{for } |\dot{\varepsilon}_c| \leq 30s^{-1}$$

with

$$\alpha_s = \frac{1}{5 + 9f_{cm}/f_{cm0}}$$

$f_{c,imp}$: 衝撃時の圧縮強度

f_{cm} : 圧縮強度 = $225\text{kg}/\text{cm}^2 \times 0.0980665 \doteq 22.06 \text{ MPa}$

f_{cm0} : 10MPa

$\dot{\varepsilon}_c$: ひずみ速度* = 0.5 s^{-1}

$\dot{\varepsilon}_{c0}$: $30 \times 10^{-6} \text{ s}^{-1}$

※ LS-DYNAコードを用いたSE解析における床スラブ端部のひずみ速度に基づき設定

以上より、圧縮強度の動的増倍率は1.49となる。

3. 算定結果

ディーブビームの設計せん断耐力 V_{cdd} は、約6,078 kNとなり、終局面外せん断応力度として $4.33 \text{ N}/\text{mm}^2$ となる。

S E 発生時の面外せん断応力度の算定方法

1. 面外せん断に対する検討範囲

(1) 床スラブの検討範囲

第 1 図にペDESTALの床スラブの形状寸法を示す。ペDESTALの床スラブは直径 板厚 の円盤形状であり、S E 時には圧力波の伝播による分布荷重を受ける。面外せん断に対する検討に際して、分布荷重を受ける円盤スラブの部材応力分布について、機械工学便覧の円板の応力計算式に基づき、対象とする部材のせん断力 (Q) の最大値が生じている断面の曲げモーメント (M) 及びせん断力 (Q) によりせん断スパン比を確認した。第 2 図に曲げモーメント及びせん断力分布図を示す。せん断力の最大値が生じる断面はスラブ端部であり、曲げモーメントとの関係を算定した結果、せん断スパン比が 1.0 以下であった。一般的にせん断スパン比が 1.0 以下である梁部材は、ディープビームと呼ばれており、本検討では、コンクリート示方書に示されるディープビームの設計せん断耐力式に適用し、終局限界に対する構造健全性を確認する。

前述のとおり、東海第二発電所のペDESTALの床スラブは、躯体の形状、寸法及び応力状態より、せん断スパン比が小さい構造物である。本評価に用いる検討範囲及び検討用のせん断力については、原子力発電所耐震設計技術規程 J E A C 4601-2008 ((社) 日本電気協会, 2008) において、主要な荷重が分布荷重又は多点荷重で、材料非線形解析手法を用いて具体的な部材性能照査を行う場合の参考図書として記載されている原子力発電所屋外重要土木構造物の耐震性能照査指針・マニュアル ((社) 土木学会, 1992) を用いて検討範囲及び検討用せん断力の設定を行った。

第3図に床スラブの形状及び発生するせん断力分布の概念図を示す。検討断面の位置は側壁内側のスラブ端部からの距離 x に設定する。なお、距離 x の上限値として有効せいの1.5倍、下限値として断面せいの1/2倍と規定されているため、本評価においては、安全側に下限値となる断面せいの1/2倍である とし、更に検討用のせん断力についても、スラブ端部から の位置のせん断力ではなく、距離 x から部材端部までのせん断力分布の平均値を用いた値を検討用のせん断力とした。第4図に、解析モデルにおける床スラブ検討範囲（LS-DYNA解析結果の評価におけるせん断力の抽出範囲）を示す。

(2) 側壁の検討範囲

第5図に側壁検討範囲を示す。ペDESTALの側壁はEL. 12.184mにて上部と下部の二階層に分けられている設計である。SE発生時の水張高さであるペDESTAL床面高さ1mまでの側壁に直接動的荷重が加わることから、側壁の検討断面は上部、下部のそれぞれの水の接する高さの断面とした。

2. 面外せん断応力度の算定

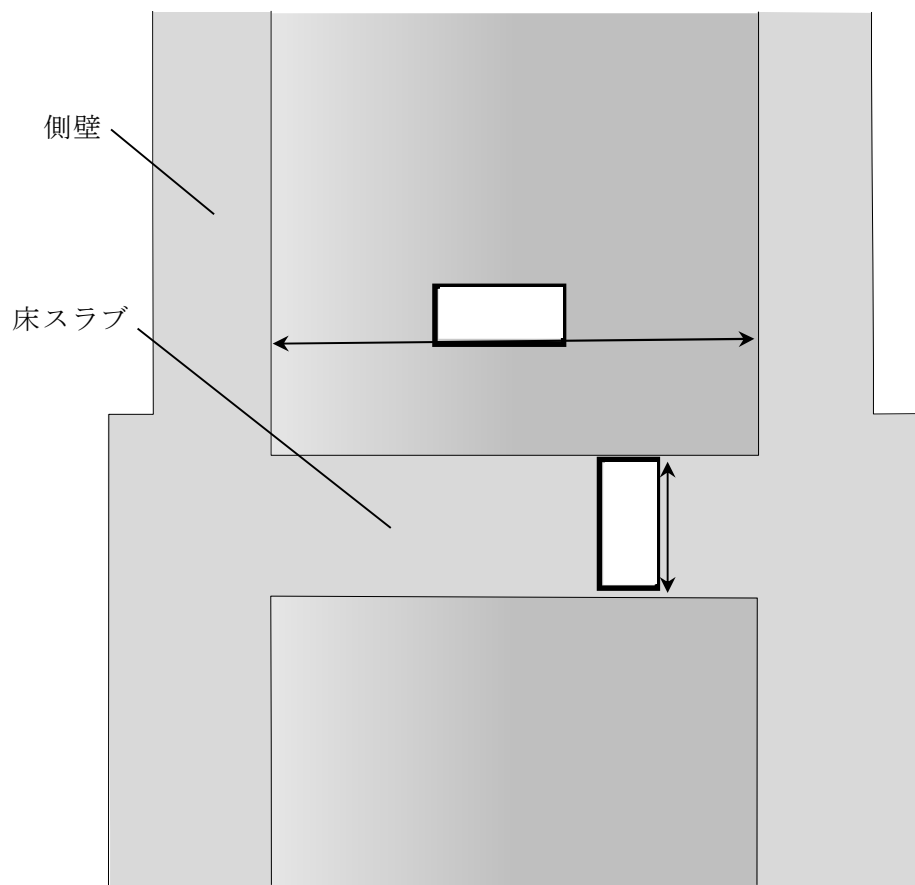
面外せん断応力度の算定について、床スラブを例に説明する。なお、側壁についても床スラブと同様に面外せん断応力度を算定している。

第6図にペDESTAL床スラブ端部の躯体形状の概念を示す。また、第7図に直交座標系応力成分を示す。床スラブ端部1列目の各要素のせん断力 ($Q(1, 1) \sim Q(1, j)$) は、直交座標系における τ_{yz} 応力成分に相当するせん断応力度 ($\tau_{yz}(1, 1) \sim \tau_{yz}(1, j)$) を要素毎に取り出し、要素毎のせん断断面積 ($A(1, 1) \sim A(1, j)$) をそれぞれ乗じることにより算定する。床スラブ端部の1列目の要素幅当たりの面外せん断応力度は、スラブの厚さ

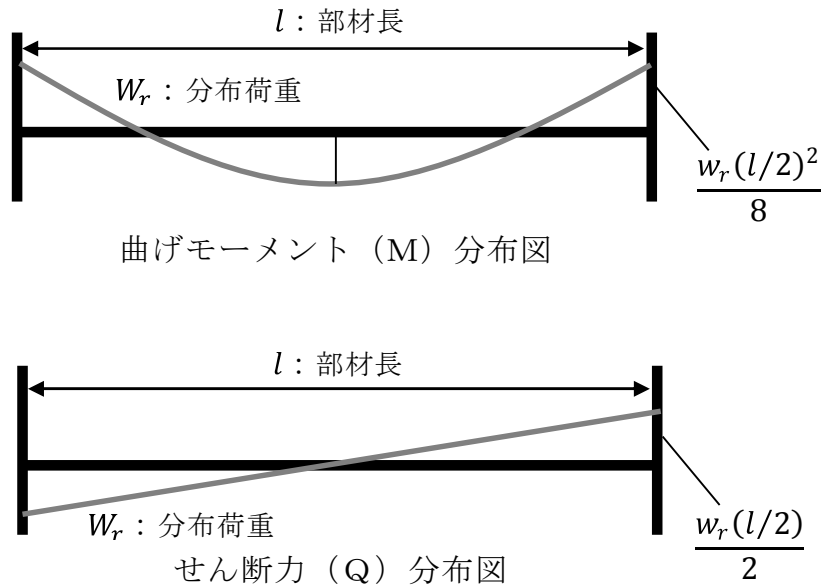
方向（1～j 行目）の各要素のせん断力（ $Q(1, 1) \sim Q(1, j)$ ）を合算した値（ $\sum_{i=1}^j Q_{(1, i)}$ ）に 1 列目のせん断断面積（ $\sum_{i=1}^j A_{(1, i)}$ ）で除して、スラブ端部 1 列目の面外せん断応力度（ τ_1 ）を算定する。したがって、k 列目の面外せん断応力度（ τ_k ）は、 $\tau_k = \sum_{i=1}^j Q_{(k, i)} / \sum_{i=1}^j A_{(k, i)}$ で表すことができる。次に、列毎の面外せん断応力度（ $\tau_1 \sim \tau_k$ ）に、それぞれの半径方向要素幅を乗じて合算した値を検討範囲の幅で除すことにより、検討範囲における面外せん断応力度を算定する。第 1 表に本手順により算定した S E 発生時の面外せん断応力度を示す。

第 1 表 S E 発生時の面外せん断応力度

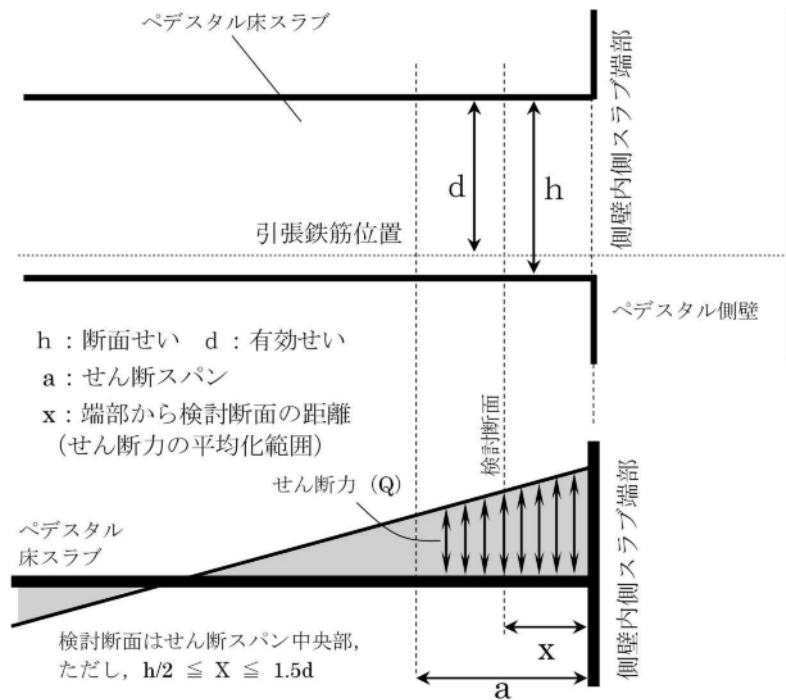
| 評価対象部位 | | 発生応力度 |
|--------|----|--------------------------|
| 側壁 | 上部 | 約 0.93 N/mm ² |
| | 下部 | 約 0.77 N/mm ² |
| 床スラブ | | 約 3.70 N/mm ² |



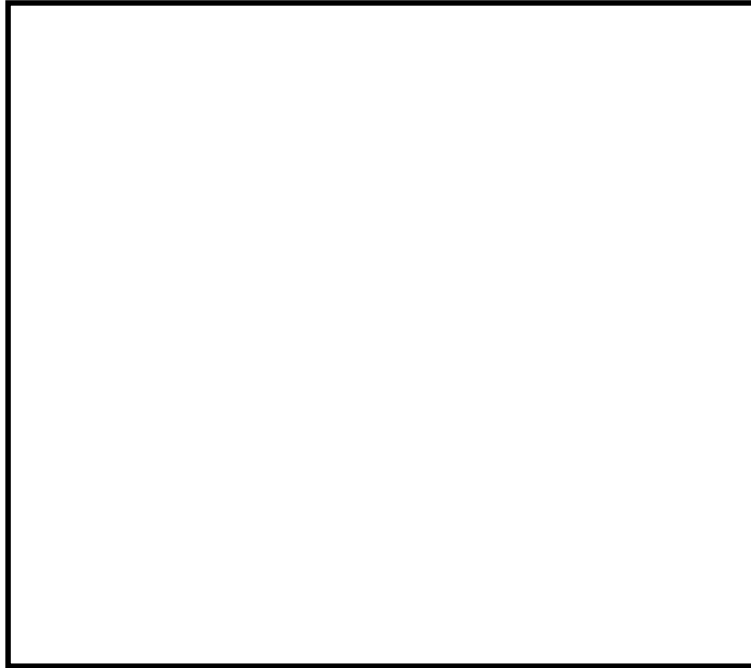
第1図 ペDESTALの床スラブの形状寸法



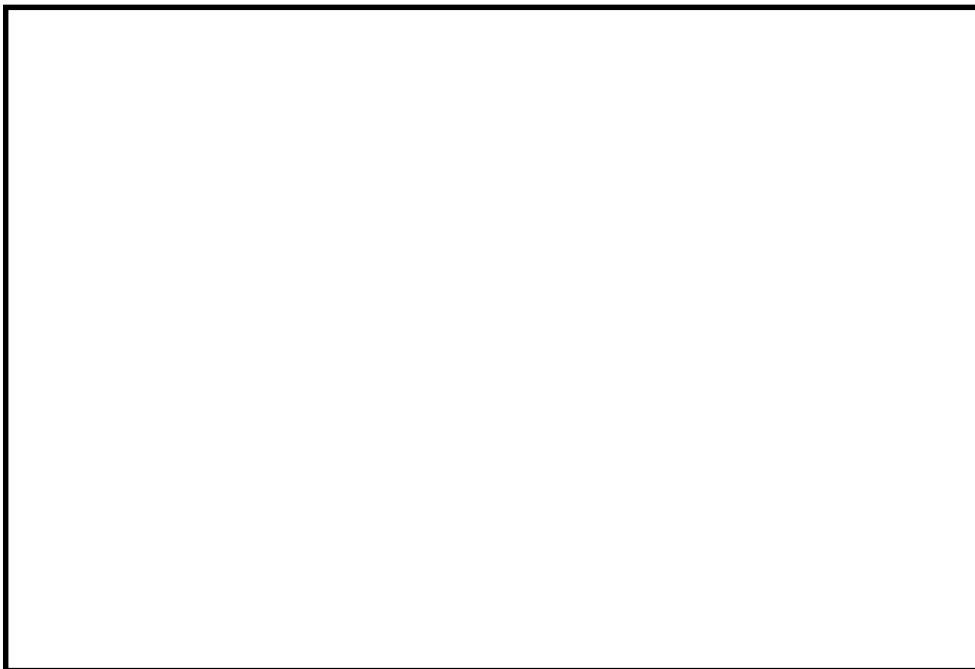
第 2 図 曲げモーメント及びせん断力分布の関係



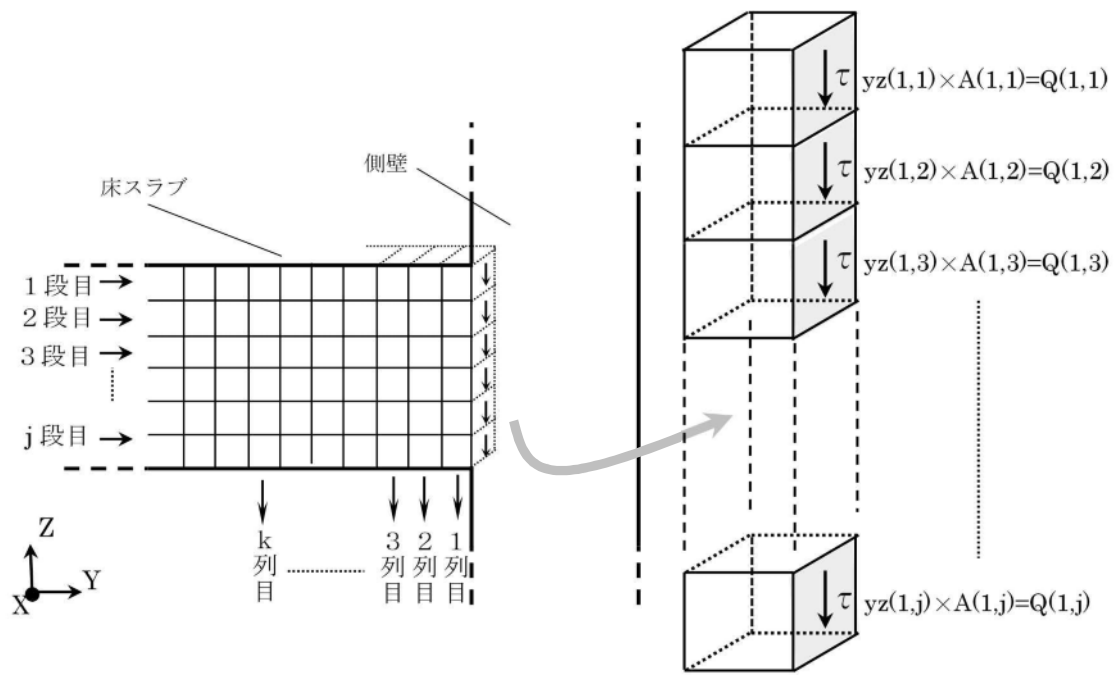
第 3 図 床スラブの形状及び発生するせん断力分布の概念



第4図 床スラブ部解析モデルにおける面外せん断力の検討範囲

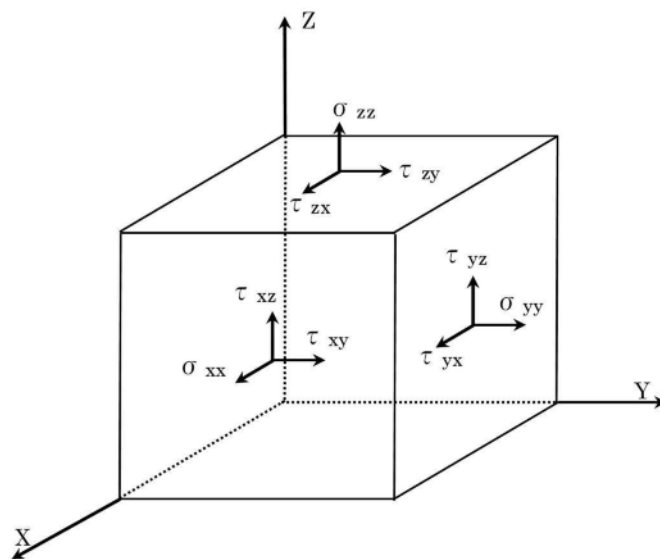


第5図 側壁部解析モデルにおける面外せん断力の検討範囲



<1列目の面外せん断応力の算出>

第6図 床スラブ端部躯体形状概念図



第7図 直交座標系応力成分

ペDESTALに作用する圧力について

1. ペDESTAL躯体に作用する圧力の分布

水蒸気爆発は、溶融デブリが水中に落下し、融体が膜沸騰状態で分散混合することで粗混合領域が形成され、さらに、この粗混合領域においてトリガリングが発生することで、融体の細粒化、急速放熱に伴い圧力波が粗混合領域内を伝播し、この相互作用の結果、高圧領域（爆発源）が形成される事象である。ペDESTAL中心でSEが発生すると、高圧領域より生じた圧力波は、水中で減衰（距離減衰）しながら側壁の方向へ進行する。

第1図及び第2図にLS-DYNA解析におけるペDESTAL躯体に作用する圧力の分布を示す。LS-DYNA解析では、床スラブには最高約55MPa、側壁には最高約4MPaの圧力が作用する。

なお、LS-DYNAにおける爆発源の調整の結果、側壁及び床スラブの力積がSE解析コードJASMINEの解析結果を包絡していることを確認している。（添付資料3.3.4別添）

2. 手計算との発生応力の比較

ペDESTAL躯体に作用する圧力より材料力学に基づく手計算手法を用いて求めたコンクリートの応力と，LS-DYNA解析におけるコンクリートの応力を比較した。

第3図に手計算及び解析結果の応力比較を示す。下部側壁に作用する圧力の平均値（最高約2MPa）より機械工学便覧に示されている内圧を受ける円筒の弾性応力算定式にて求めた面外方向応力の平均値は最大約0.70N/mm²であり，解析結果の約0.77N/mm²と比較して両者はよく一致している。したがって，LS-DYNA解析では構造物の応答が適切に評価されている。

$$\sigma_r = -\frac{k^2/R^2 - 1}{k^2 - 1} P_a$$

ここで，

k : b/a により計算した値

R : r/a により計算した値

a : 内半径 (mm) ..

b : 外半径 (mm) ..

r : 半径方向の座標 (mm) .. (下部側壁の壁厚中心)

P_a : 内圧 (MPa)

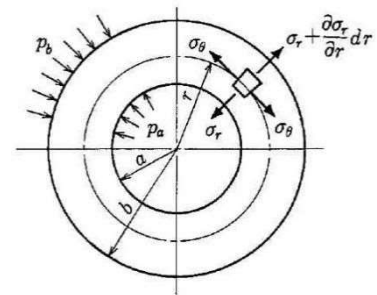
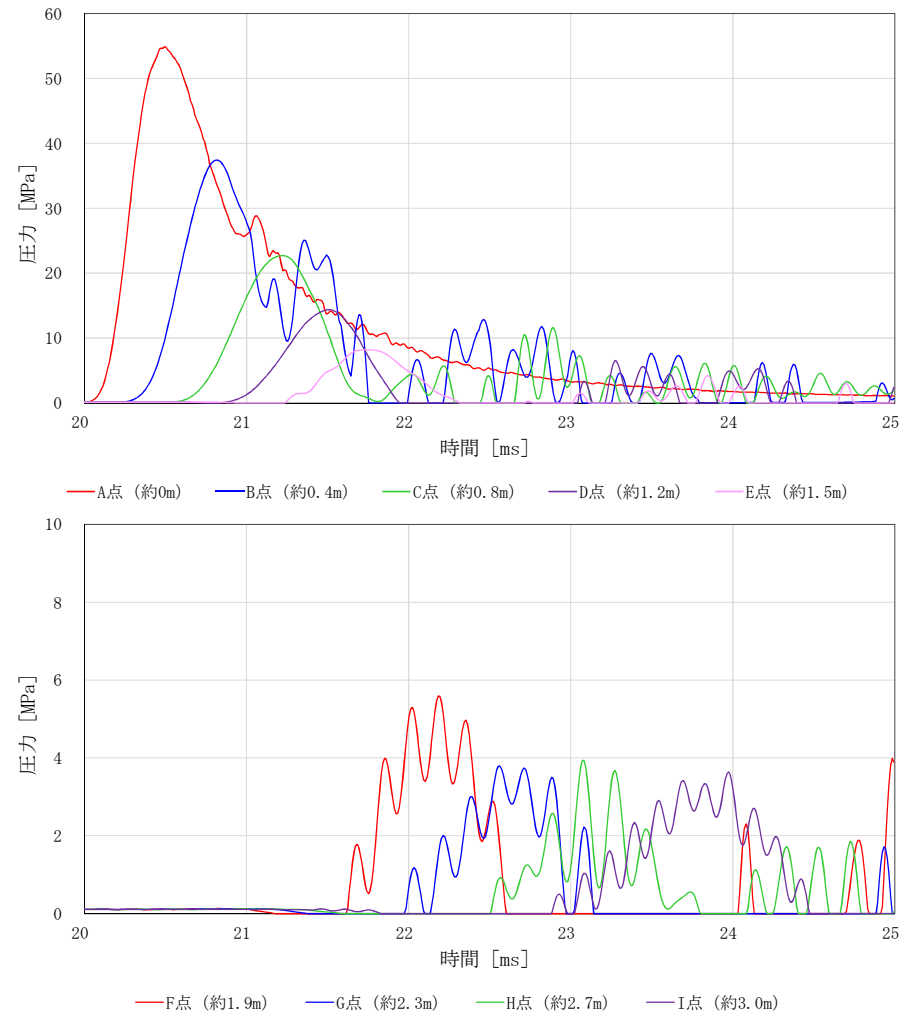
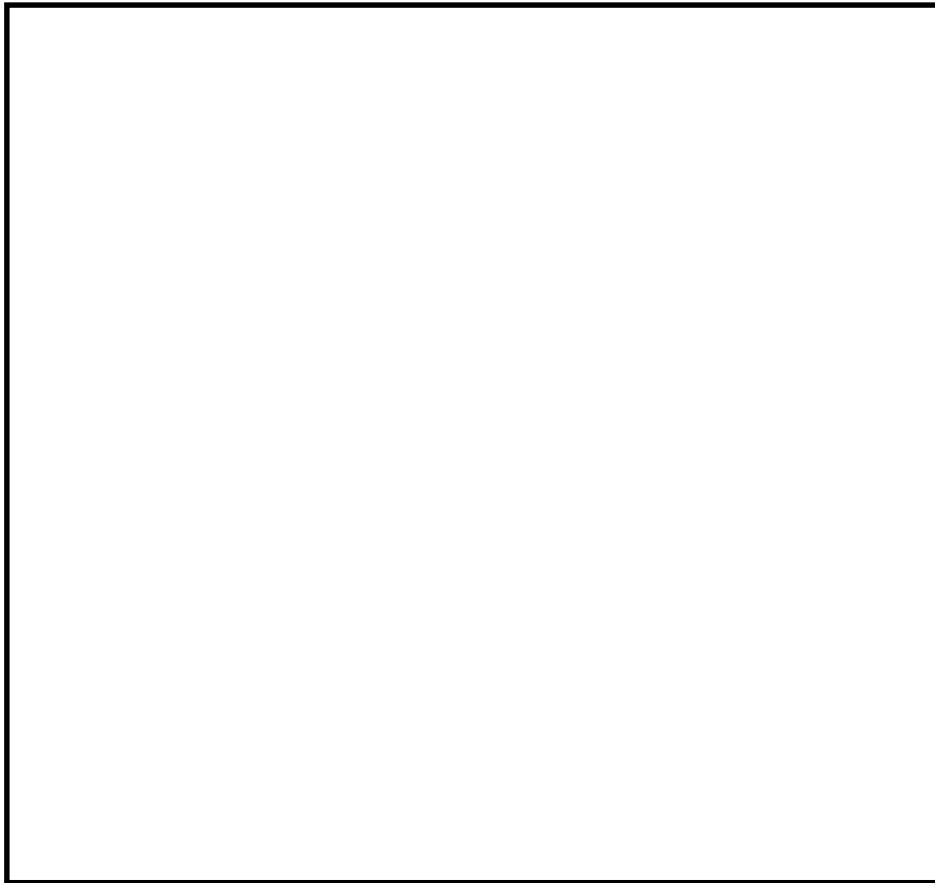
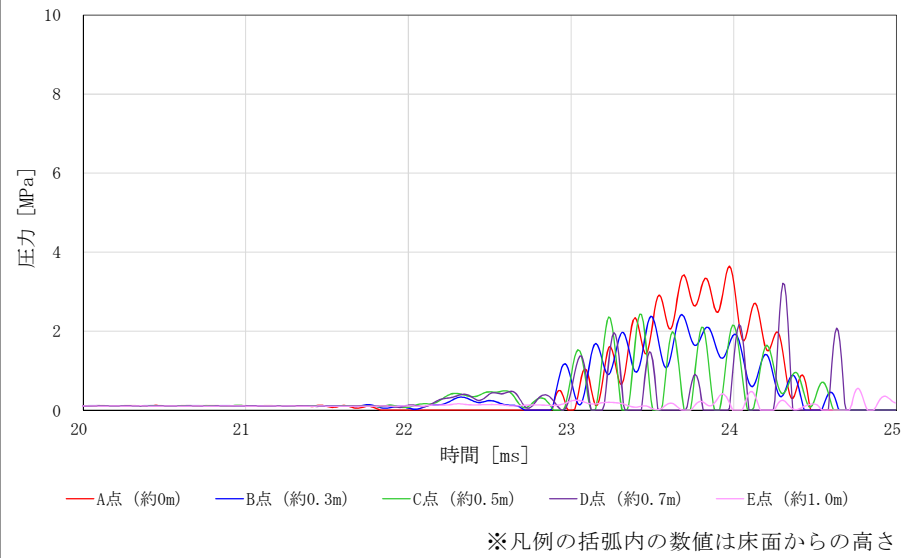


図6・9 内外圧を受ける円筒
(機械工学便覧 基礎編 a3 材料力学)

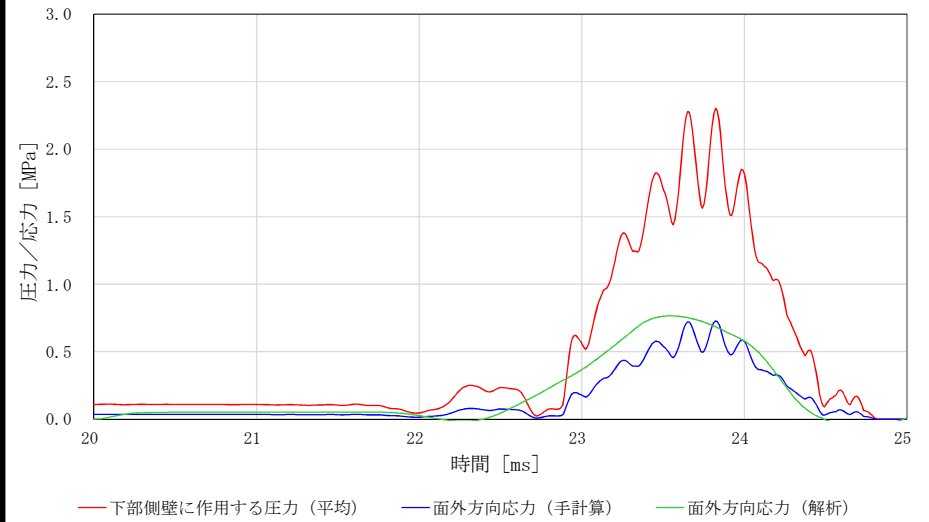
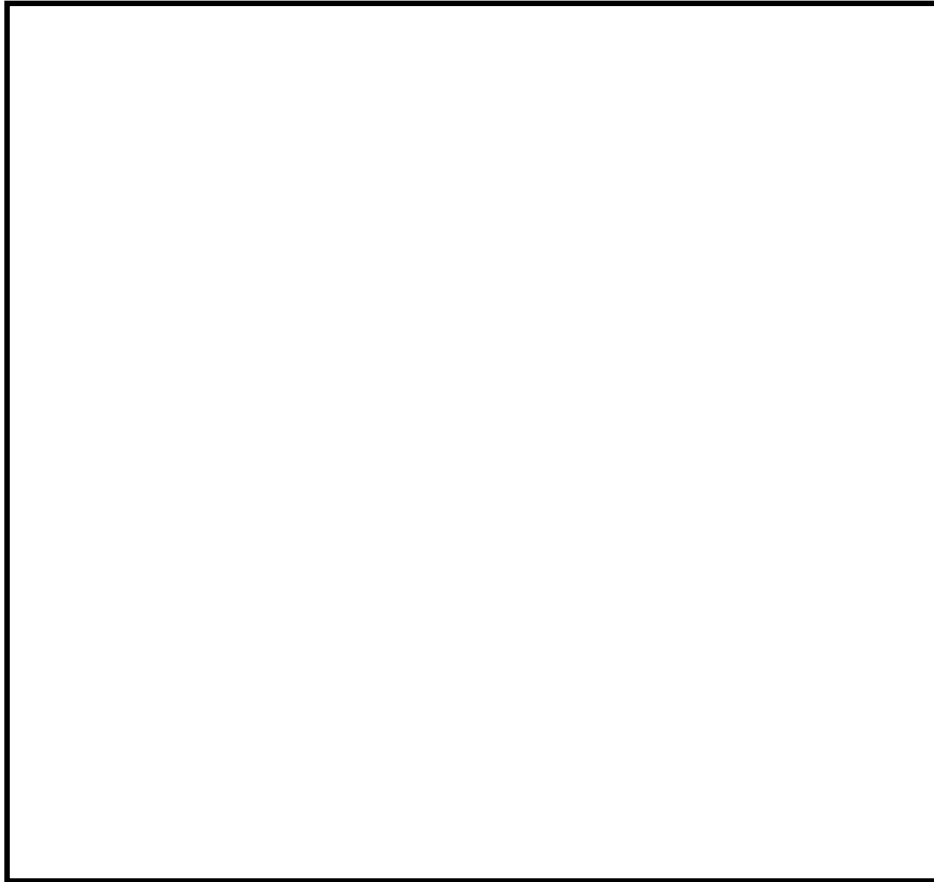


※凡例の括弧内の数値は床スラブ中心からの距離

第1図 床スラブに作用する圧力の分布



第 2 図 側壁に作用する圧力の分布



第 3 図 手計算及び解析結果の応力比較 (下部側壁)

S E後のコンクリートの残留ひび割れの影響（参考）

1. はじめに

東海第二発電所では，S Eによって残留熱除去系及び代替循環冷却系の水源となるサプレッション・チェンバに大量のデブリが移行するような経路が形成されないことを確認するため，S EによってペDESTALの構造が終局状態に至らないことを評価し，R P V支持機能及びデブリ保持機能が維持されることを確認している。しかしながら，S Eによって躯体に生じた残留ひび割れより，デブリの冷却水がペDESTALの外へ漏えいすることも考えられることから，デブリ冷却性の観点で残留ひび割れからの漏水影響を検討する。

2. 残留ひび割れ幅の算定

(1) 算定方法

L S - D Y N AコードによるS E解析終了時刻における鉄筋の軸方向の引張応力状態により，コンクリート標準示方書〔設計編〕（（社）土木学会，2012））（以下「コンクリート標準示方書〔設計編〕」という。）のひび割れ幅の算定式を用いてペDESTAL躯体の残留ひび割れ幅を算定する。

鉄筋コンクリート部材に曲げモーメントが作用した場合，曲げモーメントの増加と共にひび割れが発生し，その本数が増加することでひび割れ間隔が小さくなっていく。しかし，曲げモーメントがある程度以上大きくなると，新たなひび割れが発生しない状態となる。このとき，鉄筋コンクリートのひび割れ幅（ W_{cr} ）は，一般的に（1）式で表すことができ，鉄筋コンクリートのひび割れ間隔に，ひび割れ間のコンクリートと鉄筋のひずみ差を乗じた値として与えられることになる。

$$W_{cr} = \int_0^{l_{cr}} (\varepsilon_s - \varepsilon_c) dx \cdots (1)$$

ここで、

- l_{cr} : ひび割れ間隔
 $\varepsilon_s - \varepsilon_c$: 鉄筋とコンクリートのひずみ差

これを基に、コンクリート標準示方書〔設計編〕では、鉄筋のかぶりや鋼材の表面形状等を考慮し、(2)式のように示されている。

$$W_{cr} = 1.1k_1k_2k_3\{4c + 0.7(C_s - \phi)\} \left(\frac{\sigma_{se}}{E_s} + \varepsilon'_{csd} \right) \cdots (2)$$

ここで、

- k_1 : 鉄筋の表面形状がひび割れ幅に及ぼす影響を表す係数 (－)
 k_2 : コンクリートの品質がひび割れ幅に及ぼす影響を表す係数で (3)式による
 $k_2 = \frac{15}{f'_c + 20} + 0.7 \cdots (3)$
 f'_c : コンクリートの圧縮強度 (N/mm²)
 k_3 : 引張鋼材の段数の影響を表す係数で (4)式による
 $k_3 = \frac{5(n+2)}{7n+8} \cdots (4)$
 n : 引張鋼材の段数 (－)
 c : かぶり (mm)
 C_s : 鋼材の中心間隔 (mm)
 ϕ : 鋼材径 (mm)
 σ_{se} : 鋼材位置のコンクリートの応力が 0 の状態からの鉄筋応力度の増加量 (N/mm²)
 E_s : 鉄筋のヤング係数 (N/mm²)
 ε'_{csd} : コンクリートの収縮及びクリープ等によるひび割れ幅の増加を考慮するための数値 (－)

(1)式及び(2)式よりSEによりペデスタル躯体に生じる残留ひび割れ幅 (W_{cr}) を算出する。

$$W_{cr} = l_{cr} \left(\frac{\sigma_{se}}{E_s} + \varepsilon'_{csd} \right) \cdots (5)$$

各項目の数値を下表に示す。

| 項目 | 数値 |
|--|--------------------------------------|
| k_1 : 鉄筋の表面形状がひび割れ幅に及ぼす影響を表す係数 (異形鉄筋) | 1.0 |
| f'_c : コンクリートの圧縮強度 | 22.06 N/mm ² |
| n : 引張鋼材の段数 | |
| c : かぶり | |
| C_s : 鋼材の中心間隔 | |
| \emptyset : 鋼材径 | |
| E_s : 鉄筋のヤング係数 | 2.05×10^5 N/mm ² |
| ε'_{csd} : コンクリートの収縮及びクリープ等によるひび割れ幅の増加を考慮するための数値 | 150×10^{-6} |

(2) 算定結果

第1図に側壁部及び床スラブ部での残留ひび割れ幅を示す。解析終了時刻における鉄筋の軸方向引張応力状態に基づき算定した各鉄筋位置における残留ひび割れ幅の最大値は側壁部で約0.05mm, 床スラブ部(最下段鉄筋)で約0.13mmである。

3. S E後の残留ひび割れによる漏水影響の検討

(1) ペDESTAL躯体の応力状態を考慮した漏水影響の検討

残留ひび割れによる漏水影響が表れやすいと考えられる床スラブを対象に、ペDESTAL躯体の応力状態より漏水影響について検討する。

第2図に鉄筋の応力-ひずみ関係を示す。解析終了時刻における床スラブ下端鉄筋の1段目の軸方向の引張ひずみは 200μ 程度である。これは、鉄筋の応力-ひずみ関係で表現した場合、ほぼ初期状態に当たる長期許容応力度 ($195\text{N}/\text{mm}^2$) の $1/5$ に相当する応力レベルであり、床スラブ下端側に作用する引張応力に対する強度は損なわれていない。

第3図に床スラブ断面応力状態を示す。S E後にはデブリ自重等の荷重が作用した状態となることから、構造的に床スラブ断面内では中立軸を境に鉄筋が配置される床スラブ下端側に引張応力が作用するが、床スラブ上端側ではひび割れを閉鎖させる方向の圧縮応力が作用する。また、S E後においても、ペDESTAL（ドライウェル部）へ落下したデブリによって床スラブの上端側のコンクリートが加熱されることで、圧縮応力が作用した状態となる。

以上のことより、ペDESTAL躯体の応力状態を考慮すると、実機においてS E後の残留ひび割れが生じた場合においても、漏水量は相当小さい値になると考えられる。

(2) 既往の知見を踏まえた漏水影響の検討

「コンクリートのひび割れ調査，補修・補強指針—2009—」において，建築物を対象とした漏水実験や実構造物における実態調査がまとめられている。この中で坂本他の検討^{※1}では，10cm～26cm までの板厚による実験を行っており，板厚が厚くなる方が漏水に対して有利であり，26cm では漏水が生じるひび割れ幅は 0.2mm 以上であったと報告されている。これに対して，実機ペDESTALの側壁（厚さ：上部 下部 ）及び床スラブ（厚さ：）は，26cm 以上の板厚を有している。

また，一般に，ひび割れ幅が 0.2mm 未満であれば，水質による目詰まりやひび割れ内部のコンクリートの水和反応による固形物の析出等により，漏水流量が時間とともに減少する^{※2}ことが分かっている。

※1 コンクリート壁体のひびわれと漏水の関係について（その2）（日本建築学会大会学術講演便概集，昭和55年9月）

※2 沈埋トンネル側壁のひび割れからの漏水と自癒効果の確認実験（コンクリート工学年次論文報告集，Vol.17，No.1 1995）

(3) MCC I 影響抑制対策施工に伴う漏水影響の低減効果について

MCC I 影響抑制対策であるコリウムシールドの設置に伴い，水密性確保の観点でペDESTAL躯体とコリウムシールドの間をSUS製ライナでライニングする計画としている。このため，デブリが落下した以降の状態においても，SUS製ライナが残留ひび割れからの漏水影響低減に寄与すると考えられる。

4. 残留ひび割れからの漏水を仮定したデブリ冷却性への影響評価

前述のとおり、ペDESTAL 躯体の応力状態や既往の知見等を考慮すると、実機において残留ひび割れから漏えいが発生した場合においても、漏水量は相当小さくなると考えられるが、ここでは残留ひび割れからの漏水を仮定した場合のデブリ冷却性への影響について定量的に検討する。

(1) 漏水量の評価

漏水量は「コンクリートのひび割れ調査，補修・補強指針－2009－付：ひび割れの調査と補修・補強事例（社団法人日本コンクリート工学協会）」における漏水量の算定式に基づき，残留ひび割れ幅に対する漏水量を評価する。なお，本評価における算定条件は漏水量を多く見積もる観点で保守的な設定とする。

【漏水量算定式】

$$Q = \frac{C_w \cdot L \cdot w^3 \cdot \Delta p}{12\nu \cdot t}$$

ここで，

Q : 漏水量 (mm^3/s)

C_w : 低減係数 (－)

L : ひび割れ長さ (mm)

w : ひび割れ幅 (mm)

Δp : 作用圧力 (N/mm^2)

ν : 水の粘性係数 (Ns/mm^2)

t : 部材の厚さ (ひび割れ深さ) (mm)

項目の数値を下表に示す。

| 項目 | 数値 |
|---------------------------------|--|
| C_w : 低減係数 ^{※1} | 0.01 |
| L : ひび割れ長さ ^{※2} | 上部側壁 : 112,000mm 下部側壁 : 27,000mm 床スラブ : 74,000mm |
| w : ひび割れ幅 ^{※3} | 側壁 : 0.05mm 床スラブ : 0.13mm |
| Δp : 作用圧力 ^{※4} | 0.25 N/mm ² |
| ν : 水の粘性係数 ^{※5} | 1.82×10^{-10} Ns/mm ² |
| t : 部材の厚さ (ひび割れ深さ) | |

- ※1 構造体の壁厚さ 1m の実験結果 (「沈埋トンネル側壁のひび割れからの漏水と自癒効果実験」コンクリート工学年次論文報告集 vol.17 No.1 1995) に基づく値
- ※2 コンクリート標準示方書 [設計編] の算定式にて評価したひび割れ間隔及びペデスタル躯体寸法に基づき設定したひび割れ長さ
- ※3 L S - D Y N A 解析結果に基づき算定した床スラブ及び側壁の残留ひび割れ幅の最大値
- ※4 デブリ全量落下後に人通用開口部高さまで水張りされた状態 (床面より約 3m 高さ) での床スラブ上面での水頭圧, 及び R P V 破損後のドライウェル・サプレッション・チェンバ差圧を考慮した圧力 (側壁部の漏水量算定においても, 保守的に同じ作用圧力を適用)
- ※5 R P V 破損後のサプレッション・チェンバ温度に基づき 150°C の値を設定

(2) 漏水量の算定結果

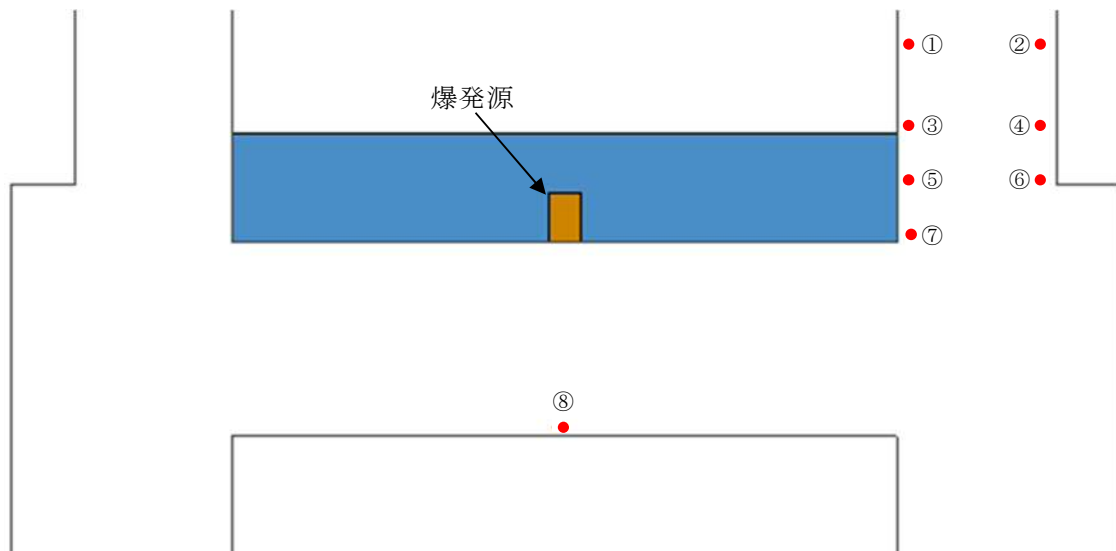
上記の条件にて求めた漏水量は、側壁部で約 $0.05\text{m}^3/\text{h}$ 、床スラブで約 $0.38\text{m}^3/\text{h}$ となり、合計約 $0.43\text{m}^3/\text{h}$ である。

(3) 漏水量に対するデブリ冷却性への影響評価

算定した床スラブ及び側壁の漏水量は合計で約 $0.43\text{m}^3/\text{h}$ であるが、これに対して格納容器下部注水系（常設）にて $80\text{m}^3/\text{h}$ のペDESTAL注水が可能である。したがって、万が一SE後のコンクリートの残留ひび割れによる漏水が生じた場合においても、漏水量を十分に上回る注水量を確保できることから、デブリ冷却性への影響はない。

5. まとめ

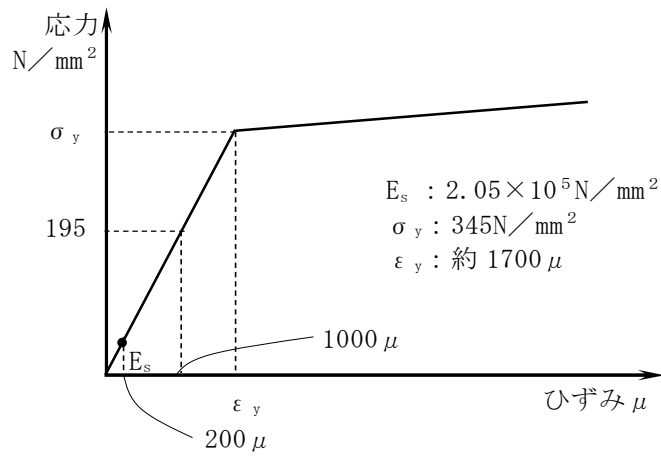
LS-DYNAコードの解析結果に基づきペDESTAL躯体に発生する残留ひび割れ幅は側壁部で約 0.05mm 、床スラブ部で約 0.13mm であることを評価した。これに対して、ペDESTAL躯体の応力状態、既往の知見等を考慮すると残留ひび割れからの漏水量は相当小さくなると考えられる。さらに、残留ひび割れからの漏水を仮定して保守的に評価した漏水量約 $0.43\text{m}^3/\text{h}$ に対して、ペDESTALの床面に落下したデブリを冷却するための格納容器下部注水系（常設）は $80\text{m}^3/\text{h}$ で注水可能であることから、万が一SE後の残留ひび割れによる漏水が生じた場合においても、ペDESTALの床面に落下したデブリを十分に冷却することが可能である。



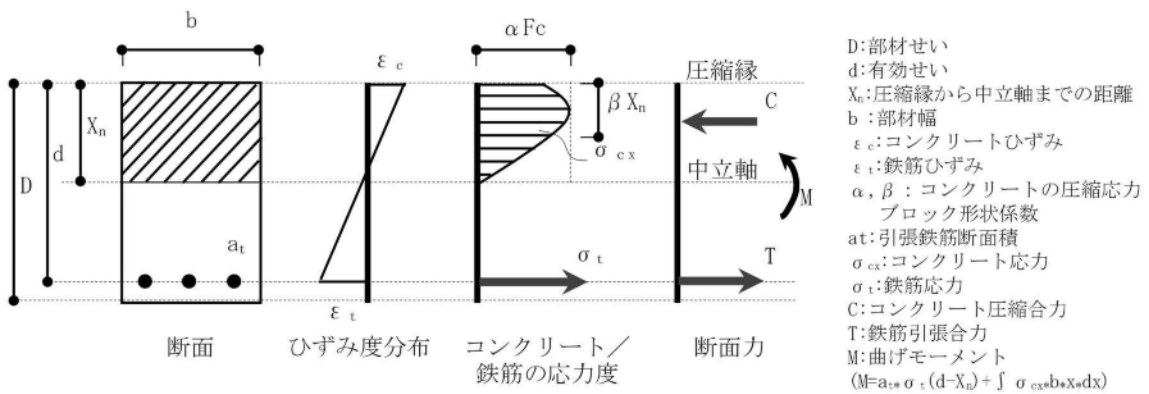
| | 要素番号 | 残留ひび割れ幅 [※] |
|---|---------|----------------------|
| ① | B699530 | 約 0.04 mm |
| ② | B678799 | 約 0.04 mm |
| ③ | B696183 | 約 0.04 mm |
| ④ | B704282 | 約 0.04 mm |
| ⑤ | B703078 | 約 0.04 mm |
| ⑥ | B704112 | 約 0.04 mm |
| ⑦ | B696021 | 約 0.05 mm |
| ⑧ | B601447 | 約 0.13 mm |

※ 解析終了時刻における鉄筋の軸方向引張応力より算定

第 1 図 側壁部及び床スラブ部の鉄筋位置における残留ひび割れ幅



第 2 図 鉄筋の応力-ひずみ関係と S E 後の鉄筋の応力レベル (SD345 鉄筋)



第 3 図 床スラブ断面応力状態

J A S M I N E 解析について

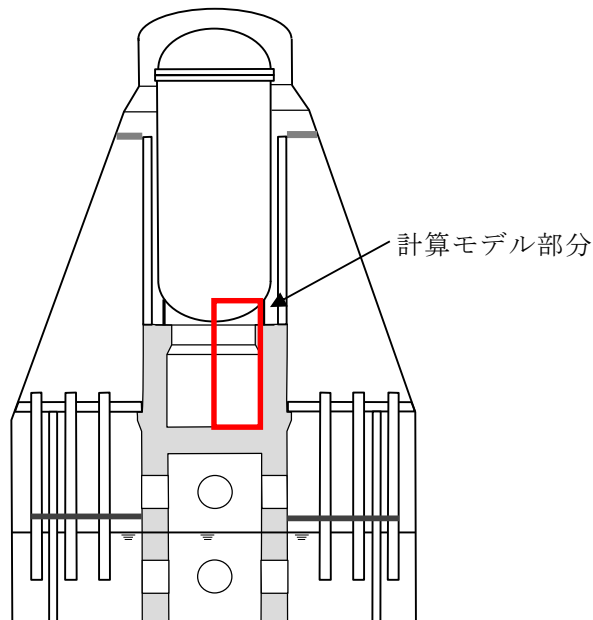
1. はじめに

本資料は、格納容器破損防止対策に関する重大事故等対策の有効性評価において、格納容器破損モード「原子炉圧力容器外の溶融燃料－冷却材相互作用」に対して、万が一の水蒸気爆発（以下「S E」という。）の発生を仮定した場合のペDESTALの構造応答評価に適用する J A S M I N E コードの解析条件及び解析結果について整理したものである。

2. 解析条件

2.1 計算体系の幾何形状

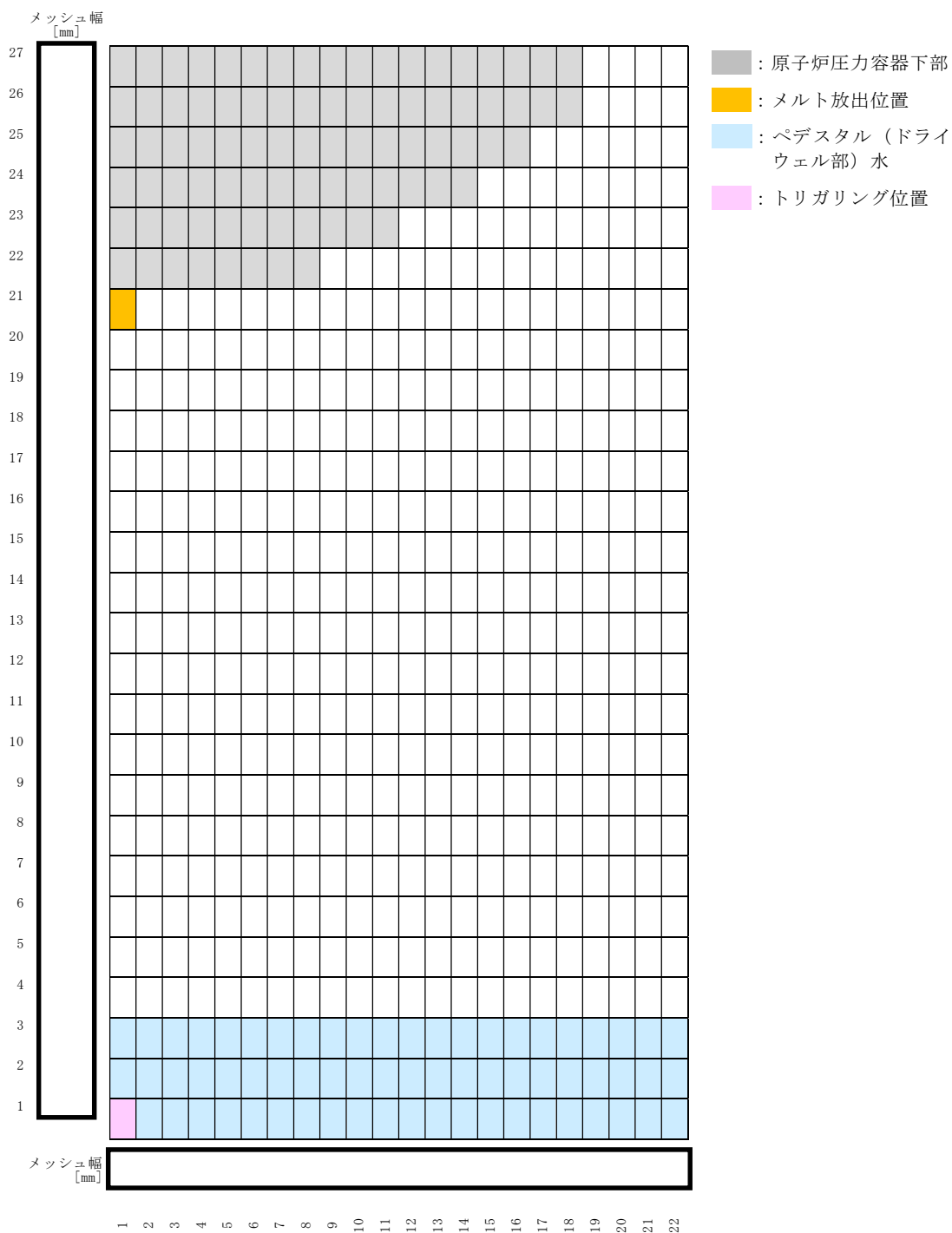
J A S M I N E の計算体系にてモデル化した領域を第 1 図に示す。モデル化した領域は、原子炉圧力容器底部、ペDESTAL（ドライウエル部）側面及び床面となる。



第 1 図 J A S M I N E の計算体系にてモデル化した部分

2.2 メッシュ分割

第1図に示す計算体系に対する J A S M I N E コードでのメッシュ分割を第2図に示す。メッシュ分割数は、J A S M I N E コードの制限値(X 軸 30 セル, Y 軸 40 セル)以内で, おおむね均等セルとなるよう調整した。



第2図 JASMINeの計算体系モデル

2.3 溶融物放出履歴

第1表にメルト放出速度，メルト放出口径の時刻歴を示す。

第1表 メルト放出速度，メルト放出口径の時刻歴

| 時刻[sec] | メルト放出速度[m/s] | メルト放出口径[m] |
|---------|--------------|------------|
| 0 | | |
| 146.0 | | |
| 146.1 | | |

2.4 溶融炉心の組成

J A S M I N E では溶融炉心の組成を入力条件とはしていない。

2.5 溶融炉心物性値

第2表に溶融炉心物性値を示す。本解析では，組み込みライブラリ(jasmine.corium2)を用いている。J A S M I N E コード付属の溶融コリウム模擬のライブラリ(jasmine.corium, jasmine.corium2, jasmine.corium3)のうち，物性値が実機条件に近いと考えられる jasmine.corium2 を採用した。

2.6 主要入力値

第3表に主な入力条件を示す。

第2表 溶融炉心物性値

| No. | 項目 | 物性値 | | 備考 |
|-----|-------|-----|----------------------|---|
| | | 数値 | 単位 | |
| 1 | 溶融点 | | [K] | 組み込みライブラリ (jasmine.corium2) に基づく値 |
| 2 | 固相線温度 | | [K] | |
| 3 | 液相線温度 | | [K] | |
| 4 | 固相密度 | | [kg/m ³] | |
| 5 | 液相密度 | | [kg/m ³] | |
| 6 | 液相比熱 | | [J/(kg・K)] | |
| 7 | 固相比熱 | | [J/(kg・K)] | |
| 8 | 溶融潜熱 | | [J/kg] | |
| 9 | 熱伝導率 | | [W/(m・K)] | |
| 10 | 粘性係数 | | [Pa・s] | |
| 11 | 表面張力 | | [N/m] | |
| 12 | 輻射率 | | [-] | |

第3表 主な入力条件 (1/2)

| No. | 入力 | 値 (定義) | 単位 | 備考 |
|-----|-----------|-------------------------------|-------|--|
| 1 | 初期圧力 | | [Pa] | MAAP解析結果に基づく値 |
| 2 | プール水温 | | [K] | |
| 3 | 落下メルト総重量 | | [kg] | |
| 4 | メルトジェット温度 | | [K] | jasmine付属のメルトの物性値パッケージjasmine.corium2のリキダス [] に, MAAP解析における下部プレナム内の熔融デブリの酸化物層の過熱度としてBWR代表条件の [] を考慮した値 |
| 5 | メルト放出速度 | | [m/s] | MAAP解析に基づく原子炉圧力容器破損時のデブリ流入速度の最大値 |
| 6 | メルト放出口径 | | [m] | 原子炉圧力容器底部の貫通配管で最も口径の大きいCRDチューブ径0.15mを保守的に丸めて [] を設定 |
| 7 | プール水深 | 1 | [m] | 手順上定める値 |
| 8 | 粗混合時液滴径 | | [m] | 大規模FCI実験結果 (FARO, COTELS等) の粒径分布から代表粒子径として設定 |
| 9 | 爆発後粒子径 | 0.00005 | [m] | 文献 ^[1] 記載のJAEAが実施した検証解析に用いられる条件を採用 |
| 10 | ブレイクアップ係数 | 1.0 | [-] | |
| 11 | 液滴速度ファクタ | 5 | [-] | |
| 12 | トリガリング位置 | ペDESTAL (ドライウエル部) 中心, 底から0.2m | [m] | 爆発に関与し得る融体の質量が最大に近く, 爆発の強度が大きくなりやすい条件として, トリガ位置には底部から軸方向1セル目を選定 |

[1] K.Moriyama, et al, Steam Explosion Simulation Code JASMINE v.3 User's Guide, JAEA-Data/Code 2008-014, July 2008.

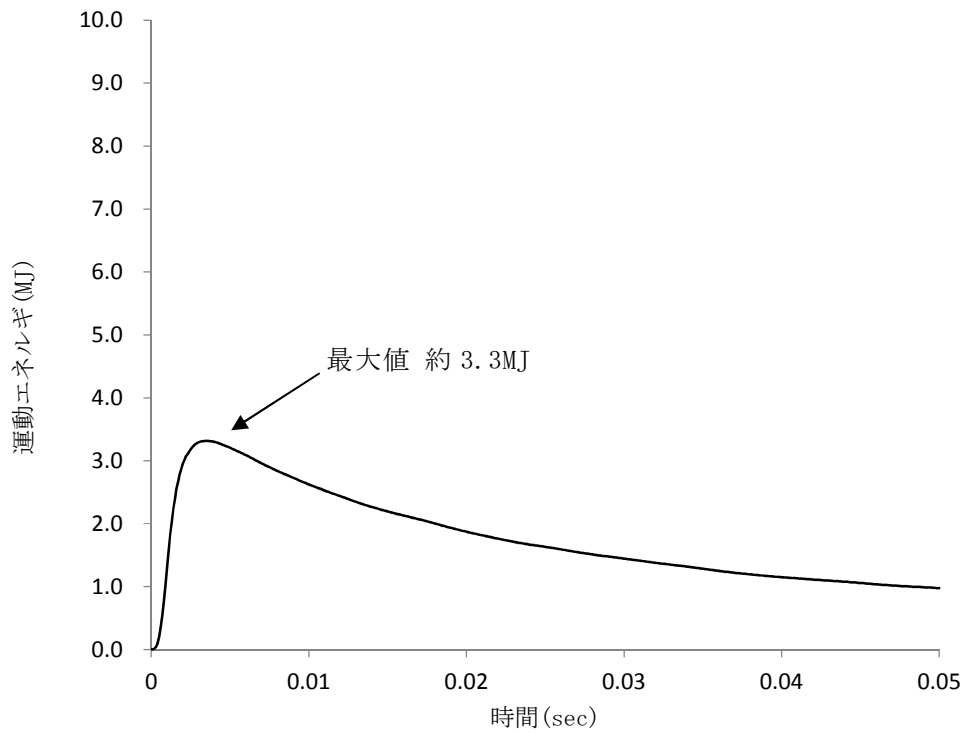
第3表 主な入力条件 (2/2)

| No. | 入力 | 値 (定義) | 単位 | 備考 |
|-----|-----------------------|-----------------------------------|-------|--|
| 13 | トリガリングタイミング | 粗混合融体質量の最初のピークとなる時刻 | [sec] | 水蒸気爆発により発生する運動エネルギーが最も大きくなると考えられる条件として設定 |
| 14 | トリガ閾値 | 5×10^5 | [Pa] | マニュアルによるトリガ圧力の設定範囲500kPa-10MPaより, 500kPaを設定 |
| 15 | フラグメンテーションモデル | Caracharios (1983) モデル | [-] | — |
| 16 | フラグメンテーション条件 | 粒子温度の平均温度が融点以上 | [-] | — |
| 17 | フラグメンテーション係数 | 0.35 | [-] | 文献 ^[1] 記載の J A E A が実施した検証解析に用いられる条件を採用 |
| 18 | フラグメンテーション時間 | 1×10^{-3} | [sec] | |
| 19 | 蒸発に用いられるエネルギー割合 | 融体の寄与 : 0.02 フラグメント放熱の寄与 : 0.7 | [-] | |
| 20 | フラグメンテーションにおけるボイド緩和係数 | ボイド率0.3~0.75でカットオフ | [-] | |
| 21 | トリガ点圧力 | 1×10^7 | [Pa] | ピーク圧力よりも低くかつトリガ閾値圧力500kPaよりも十分大きい圧力として設定 |
| 22 | トリガ点ガス割合 | 粗混合解析結果の引き継ぎ | [-] | トリガ気相割合は, 粗混合解析の結果に基づきトリガ発生時点でのトリガセルでの気相割合を設定 |
| 23 | トリガ点ガス温度 | 1,000 | [K] | 文献 ^[1] 記載の J A E A が実施した検証解析に用いられる条件を採用 |

[1] K.Moriyama, et al, Steam Explosion Simulation Code JASMINE v.3 User's Guide, JAEA-Data/Code 2008-014, July 2008.

3. 解析結果

第3図に水蒸気爆発に伴う運動エネルギーの推移を示す。水蒸気爆発の発生を想定した場合にペDESTAL（ドライウェル部）の水に伝達される運動エネルギーの最大値は約 3.3MJ である。



第3図 水蒸気爆発による運動エネルギーの推移

水蒸気爆発評価の解析モデルについて

1. はじめに

本資料は、格納容器破損防止対策に関する重大事故等対策の有効性評価において、格納容器破損モード「原子炉圧力容器外の熔融燃料－冷却材相互作用」に対して、万が一の水蒸気爆発（以下「SE」という。）の発生を仮定した場合のペDESTALの構造応答評価に適用するLS-DYNAコードの解析モデルについて整理したものである。

2. 計算要素

LS-DYNAコードでは、3次元のペDESTALの構造応答の観点より、計算要素は以下のとおり設定している。

- ・ 構造材に力を伝える流体には、流体に対して移動境界を比較的容易に表せるALE (Solid) 要素を用いる。
- ・ 鉄筋コンクリートのコンクリート部分には、境界面が移動又は変形してもメッシュが追従し、主として固体に適用性があるLagrange (Solid) 要素を用いる。
- ・ 鉄筋コンクリートの鉄筋部分には、Lagrange 要素のうち細い棒状の固体に対して適用性があるLagrange (Beam) 要素を用いる。

3. 境界条件

ペDESTALは原子炉圧力容器（以下「RPV」という。）を支持する、上層円筒部と下層円筒部の間に床スラブを有する円筒形の鉄筋コンクリート構造の構築物である。

解析は3次元モデルを用いて、気相部、液相部、爆発源、コンクリート及

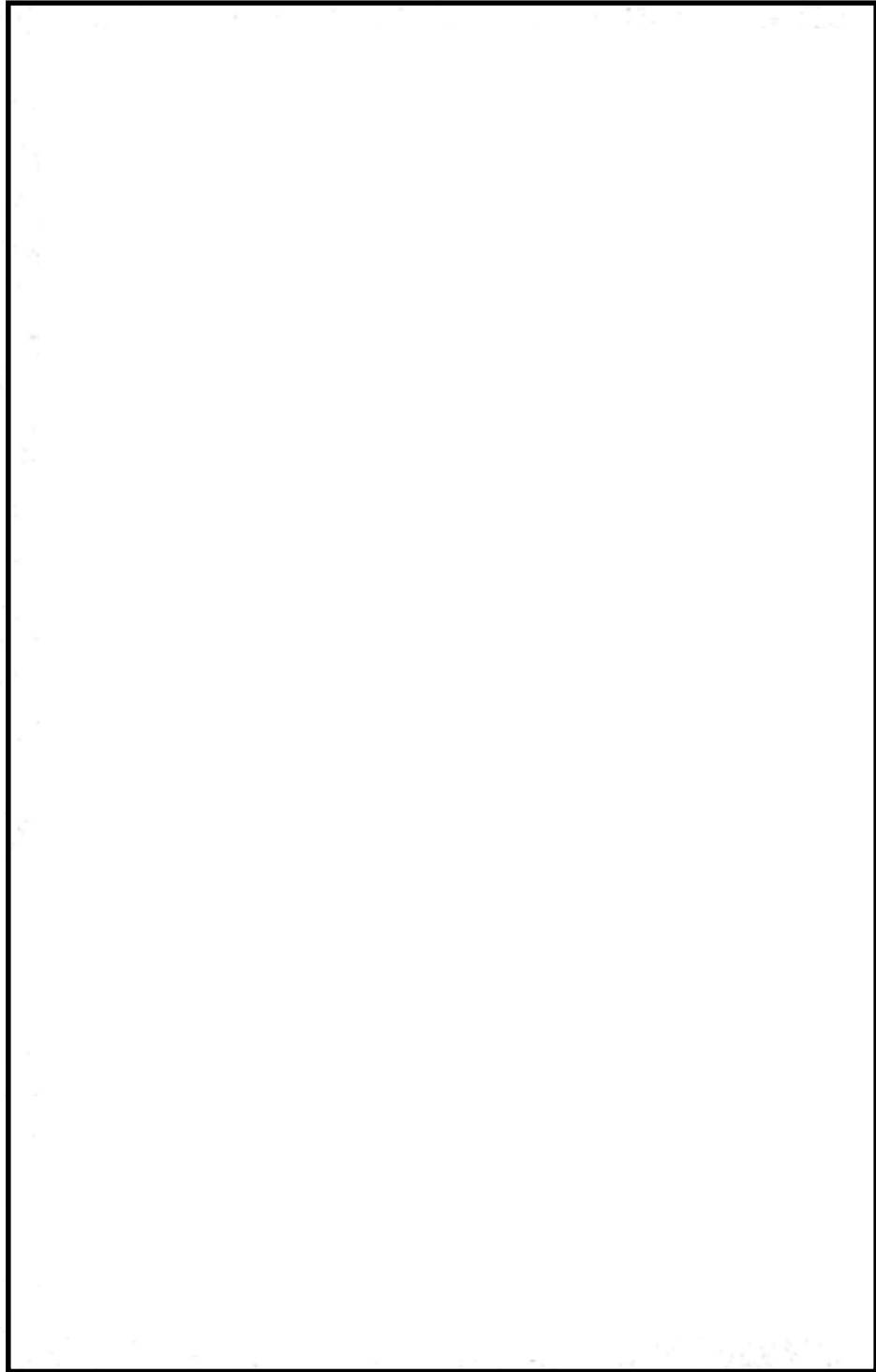
び鉄筋を1/2体系でモデル化している。なお、人通用開口部の下端はペDESTAL水面より2m程度上の位置であり、SEによる動的荷重は直接作用しないことから、当該モデルでは人通用開口部は模擬しない。

ペDESTALは基部の格納容器との取り合い部を介して、RPV等から作用する荷重を基礎マットに伝達する構造であることから、格納容器との取り合い部を固定境界とする。RPVは上部のスタビライザに支持されており、また、ペDESTAL外の領域にはコンクリート床（ダイヤフラム・フロア）等の周辺構造が存在するが、ペDESTALの変形を保守的に大きく評価する観点より、これら周辺構造物による拘束効果は考慮しない。

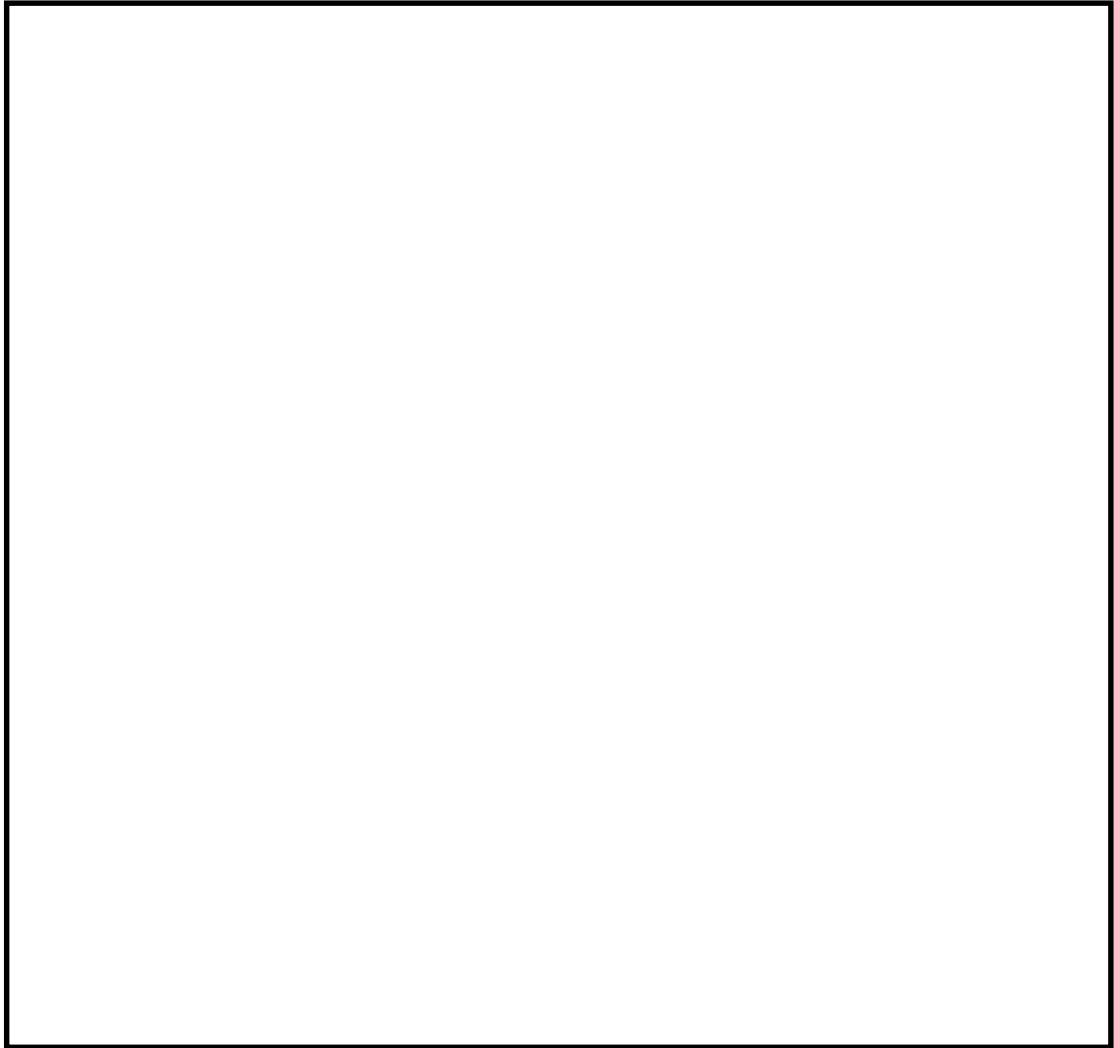
ペDESTALのRPV支持機能を評価する観点で、ペDESTAL上部に作用するRPV、原子炉遮蔽壁の自重を考慮する。

SEによってもペDESTAL床スラブのデブリ保持機能が維持されることを評価する観点より、解析時刻0秒より床スラブに対してSE発生前から生じるデブリジェットによる動的荷重を考慮する。また、保守的にSE発生後のデブリ荷重も考慮することとし、解析時刻50ミリ秒からSE発生後に生じるデブリジェットによる動的荷重、及びペDESTAL内構造物を含むデブリの自重を負荷する。

ペDESTALの構造概要図を第3-1図に、解析モデル境界条件を第3-2図に示す。また、第3-1表に荷重条件を示す。



第 3-1 図 ペデスタル構造概要図



第 3-2 図 解析モデル境界条件

第 3-1 表 荷重条件

| 項目 | 値 | 荷重位置 |
|------------------------------|-------------------------|-----------|
| R P V等自重 | 約 2.08×10^4 kN | ペDESTAL上部 |
| S E前のデブリジェット荷重 ^{※1} | 約 70kN | 床スラブ中心 |
| S E後のデブリジェット荷重 ^{※2} | 約 700kN | 床スラブ中心 |
| S E後のデブリ自重 | 約 4.17×10^3 kN | 床スラブ全面 |

※1 R P V破損時における破損口径を考慮した荷重条件

※2 M A A P解析におけるアブレーションを考慮した破損口径及びデブリ放出速度に基づく荷重条件

4. 材料モデル

4.1 流体モデル

流体の影響を考慮する際、特定の粒子の運動を知るより、空間に固定されたメッシュ内での流動状態や時間変化を知る方が重要である。また、構造材との連成を考慮した場合、流体は移動境界を比較的容易に表せる ALE 要素を用いるのが適当である。以下に流体要素のプロパティ一覧を示す。

第 4-1 表 要素プロパティ一覧

| 部位 | 要素 |
|-----|----------------|
| 爆発源 | ALE (Solid) 要素 |
| 液相 | ALE (Solid) 要素 |
| 気相 | ALE (Solid) 要素 |

4.2 構造材モデル

構造材の変形を考慮する際、構造材メッシュの変形を考慮する必要がある。メッシュ自体の変形を考慮する場合、粒子の集まりが時間とともに、どのように動いていくか（メッシュ点がどのように動いていくか）に着目する Lagrange 要素を用いるのが適当である。

鉄筋コンクリートのコンクリート部分については、板厚が大きく、かつ、モデル中に鉄筋を含める必要があるため Lagrange (Solid) 要素を用いる。

鉄筋については、少ない要素数で解析精度が確保できる Lagrange (Beam) 要素を用いる。

以下に構造材要素のプロパティ一覧を示す。

第 4-2 表 要素プロパティ一覧

| 部位 | 要素 |
|--------|---------------------|
| コンクリート | Lagrange (Solid) 要素 |
| 鉄筋 | Lagrange (Beam) 要素 |

4.2.1 コンクリート

第 4-3 表にコンクリートの材料特性を示す。

第 4-3 表 コンクリートの材料特性

| 項目 | 設定 |
|-------|--|
| 状態方程式 | 非線形 |
| 構成則 | R H T モデル |
| 破壊則 | R H T モデル |
| 圧縮強度 | 22.065MPa (設計基準強度 225kg/cm ²) |
| 密度 | <input type="text"/> kg/m ³ |

本解析ではコンクリート衝撃解析での利用を想定した状態方程式，構成則，破壊則により構成される R H T モデルを用いる。

構成則は圧力，3 軸応力状態及びひずみ速度効果が考慮されており，コンクリート構造物の構造応答解析に適している。また，本モデルは，J N E S によるコンクリート製砂防ダムを模擬した検証解析^[1]が行われている。

[1] 平成 13 年度 コンクリート構造物の衝撃破壊挙動解析に係るコード整備に関する報告書，原子力発電技術機構，平成 14 年 3 月

4.2.2 鉄筋

第4-4表に鉄筋（SD345）の材料特性を示す。

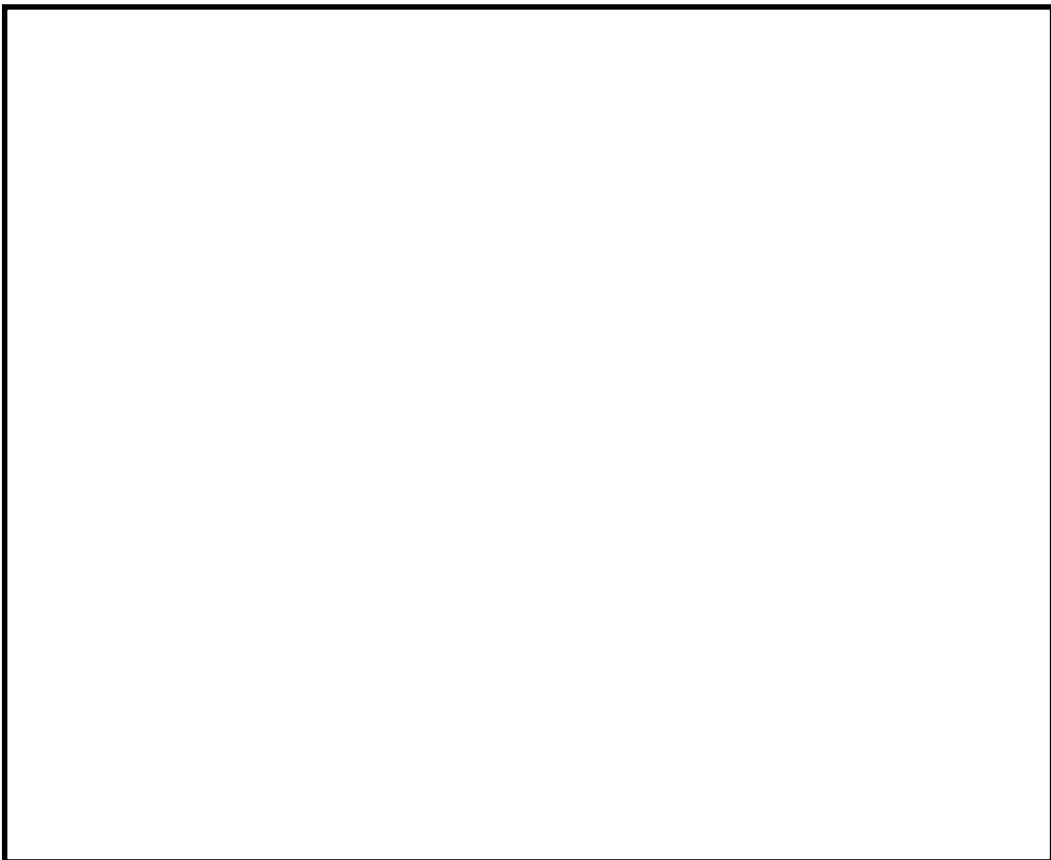
第4-4表 鉄筋（SD345）の材料特性

| 項目 | 設定 |
|-----------|---|
| 状態方程式 | 線形 |
| 構成則 | 等方硬化則 |
| 破壊則 | 限界相当ひずみ則 |
| 密度 |  |
| ヤング率 | |
| ポアソン比 | |
| 降伏応力 | |
| 限界相当塑性ひずみ | |
| | |

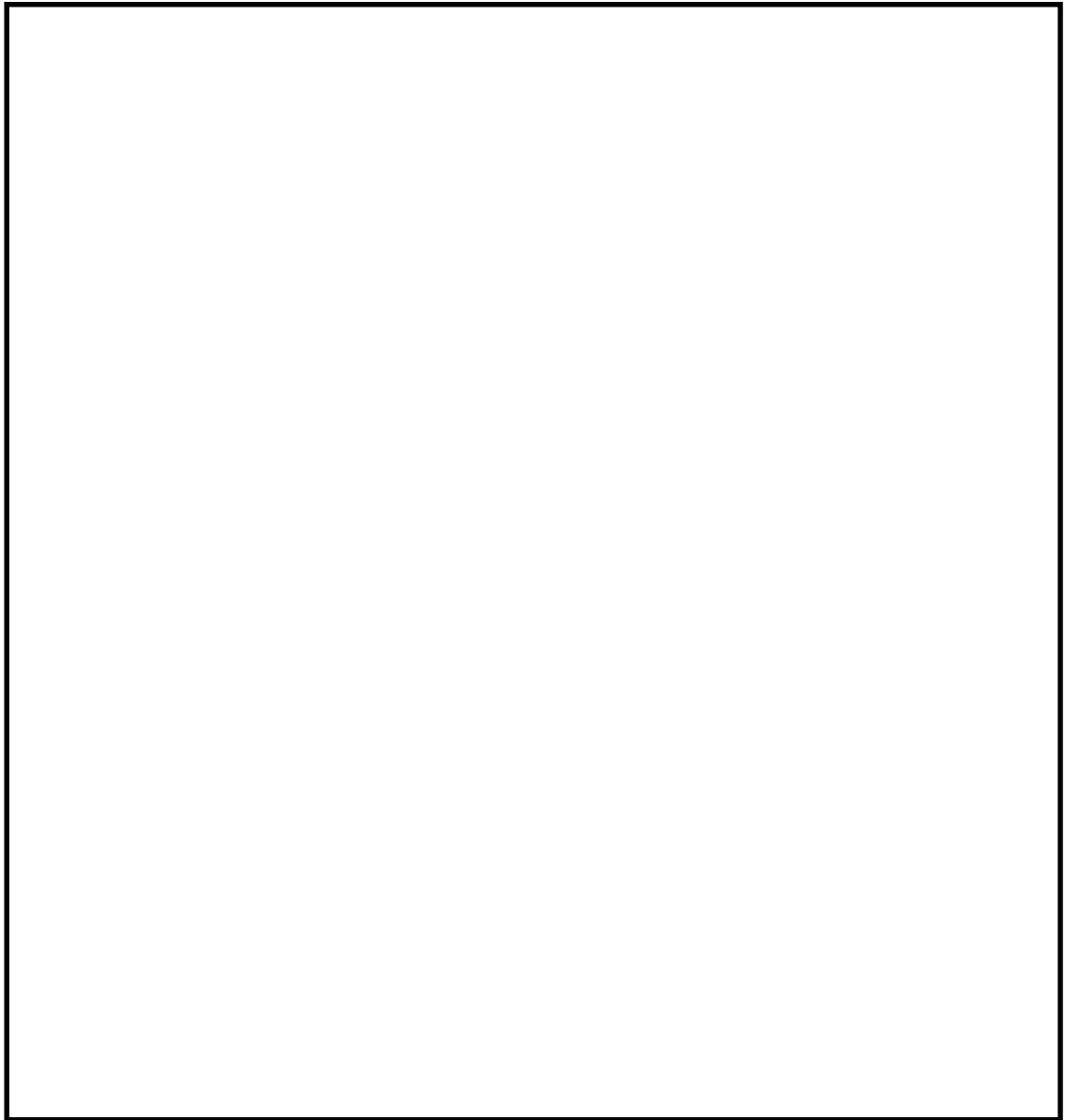
4.3 メッシュ分割

第4-1図～第4-5図に各部のメッシュ分割について示す。ペDESTALの構造応答の観点から、爆発荷重に対する変形挙動を精度良く模擬できるよう、高さ方向及び板厚方向に十分な分割数が確保できる寸法として要素幅75mm程度で基本的な要素数を設定する。なお、LS-DYNAコードでは三次元の構造材を模擬するため、構造材の形状に即してより詳細な要素幅も考慮している。また、構造材に圧力を伝える流体（ALE要素）のメッシュサイズは、ALE法を用いることを考慮し、境界面における伝達ロスが生じないように構造材のメッシュサイズと同等とする。

以下に各要素のメッシュ分割図を示す。また、第4-5表に要素分割の詳細を示す。



第4-1図 コンクリートのメッシュ図



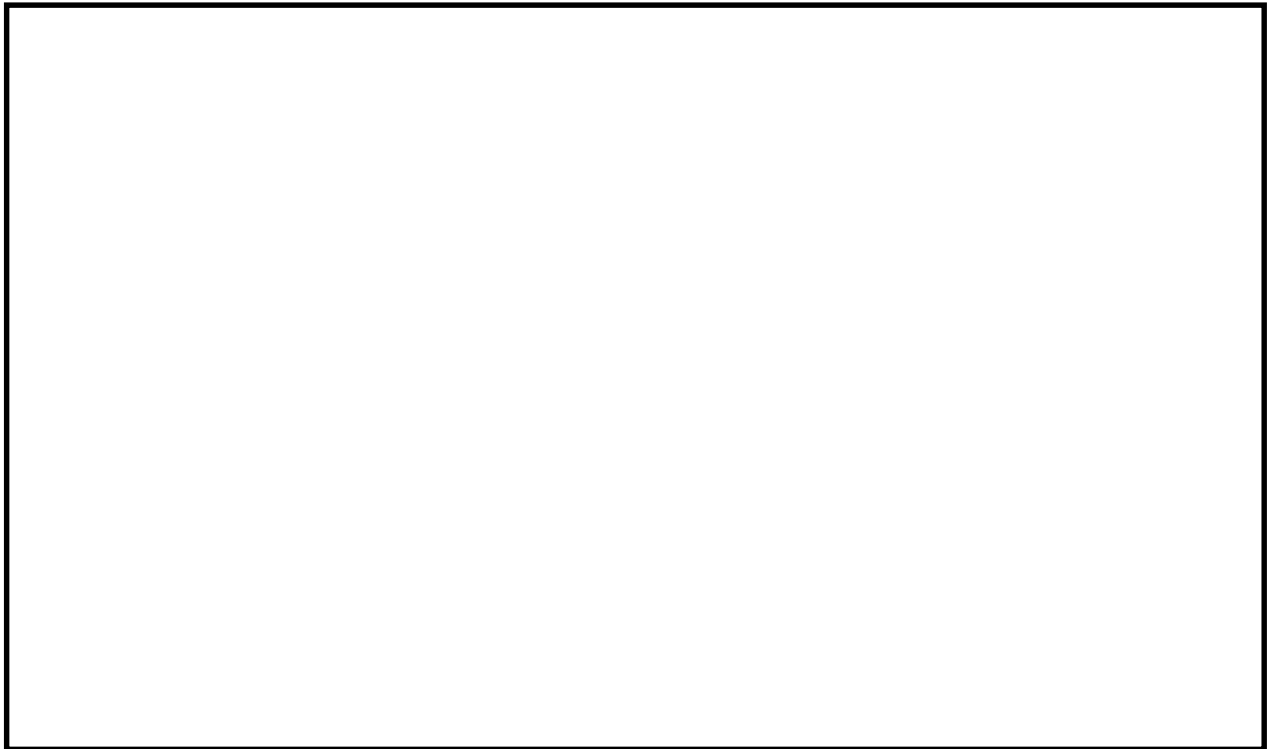
第 4-2 図 鉄筋のメッシュ図



第 4-3 図 爆発源のメッシュ図



第 4-4 図 液相のメッシュ図



第 4-5 図 気相のメッシュ図

第 4-5 表 要素分割の詳細

| 部位 | 要素 | 要素数 |
|--------|---------------------|-----|
| 爆発源 | ALE (Solid) 要素 | |
| 液相 | ALE (Solid) 要素 | |
| 気相 | ALE (Solid) 要素 | |
| コンクリート | Lagrange (Solid) 要素 | |
| 鉄筋 | Lagrange (Beam) 要素 | |

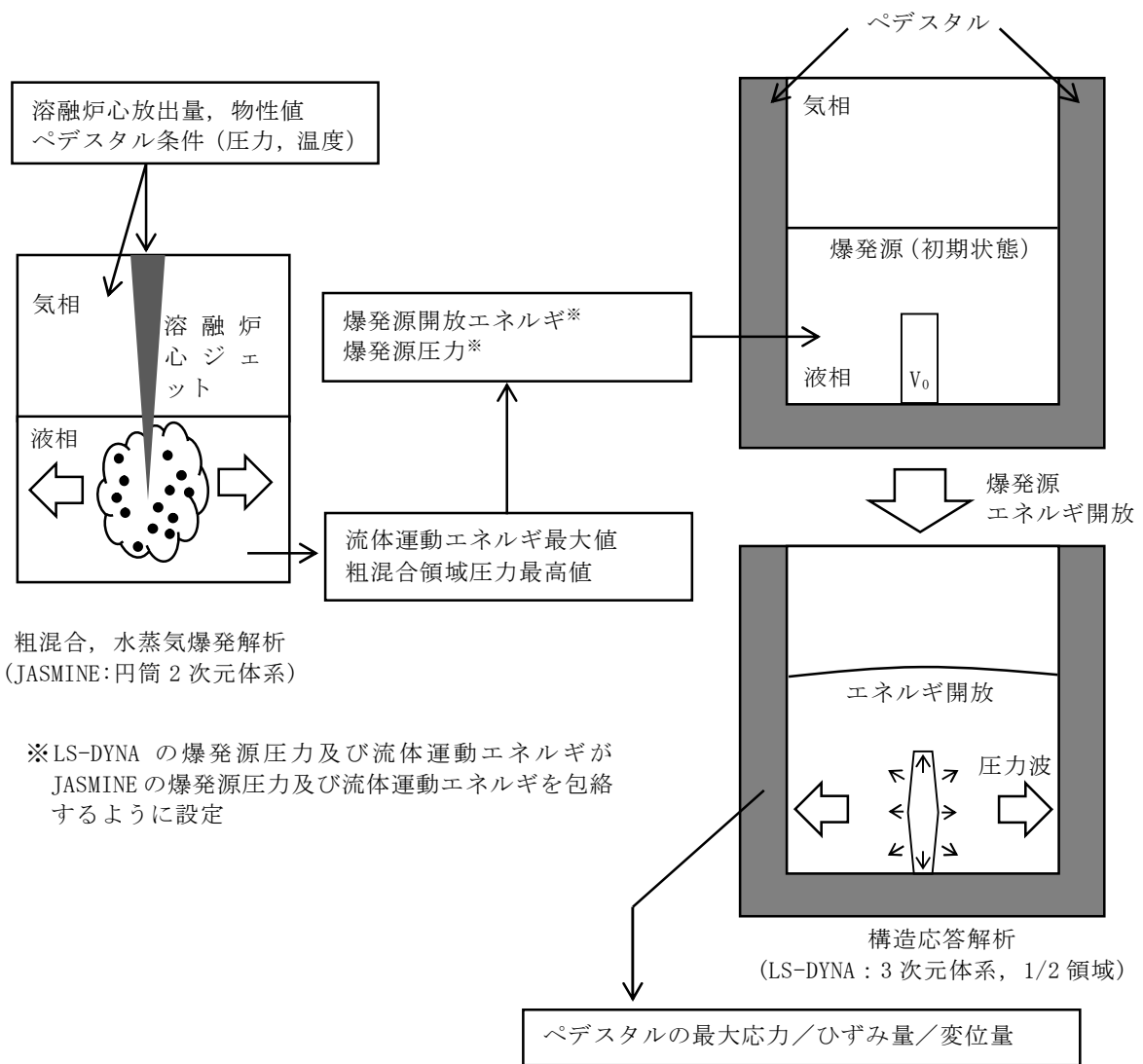
5. 爆発源の設定方法

爆発源の初期形状は， J A S M I N E コードでの爆発源仕様に基づき半径

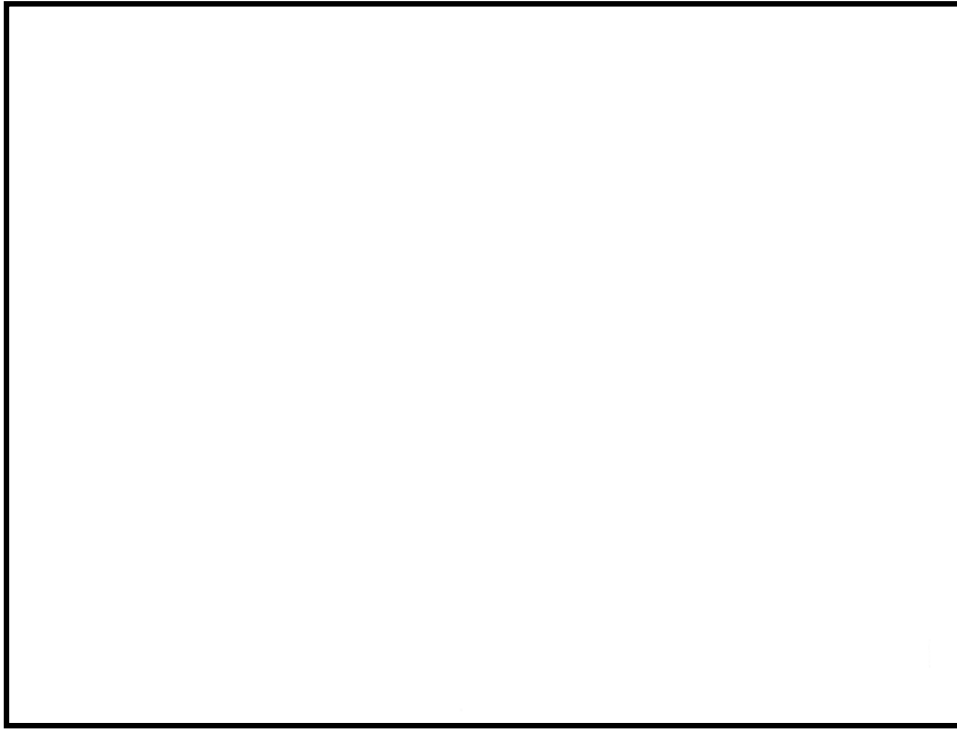
，軸方向高さ とする。

J A S M I N E コードの解析による流体の運動エネルギーは， L S - D Y N A コードで直接入力することはできない。このため，今回の評価では， L S - D Y N A コードの解析結果としての爆発源圧力及び流体運動エネルギーが， J A S M I N E コードの解析の爆発源圧力及び流体運動エネルギーを包絡するよう調整する。

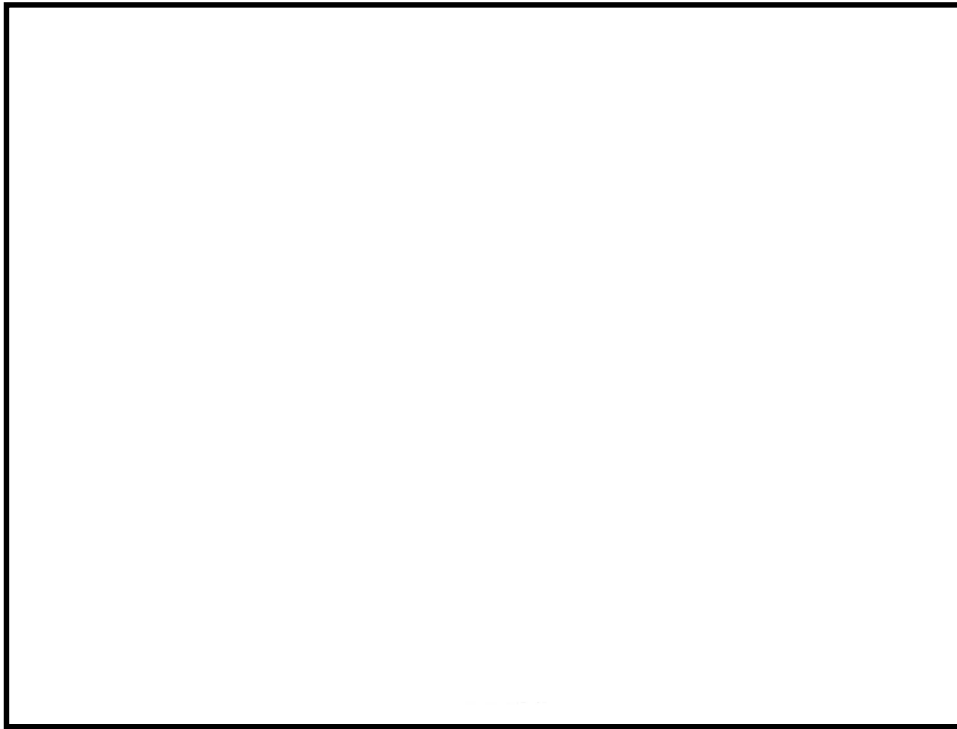
これらの設定方法を第 5-1 図に示す。また，第 5-2 図及び第 5-3 図に流体の運動エネルギーと爆発源圧力，第 5-1 表に爆発源の仕様を示す。



第5-1図 LS-DYNAにおける爆発源の設定方法



第 5-2 図 流体の運動エネルギー



第 5-3 図 爆発源の圧力

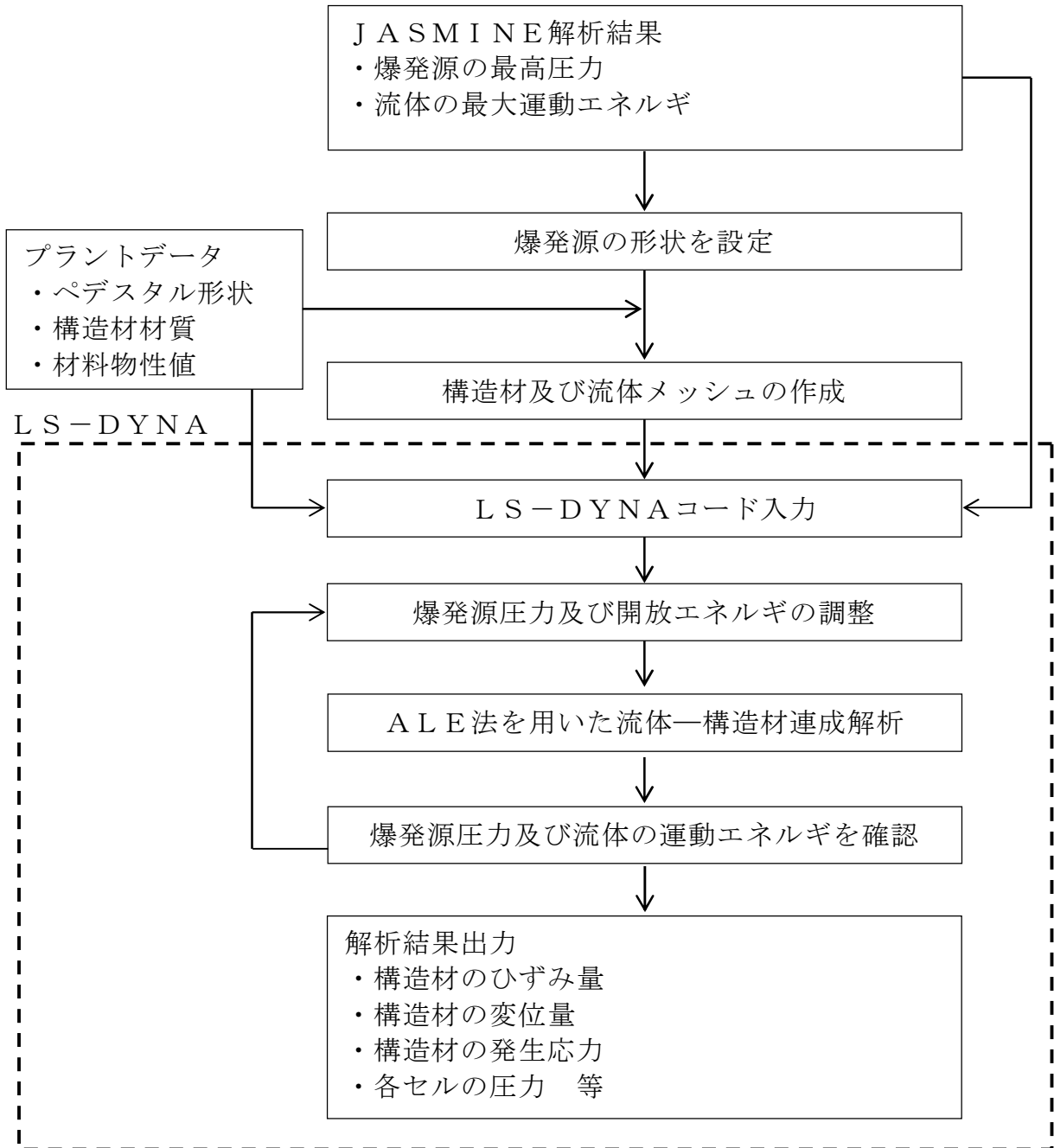
第 5-1 表 爆発源の仕様

| 項目 | 値 | 設定根拠 |
|-------------|---|--|
| 初期半径 | | J A S M I N E コードで模擬する爆発源仕様に基づき設定 |
| 初期軸方向高さ | | |
| 最高圧力* | | J A S M I N E コード解析結果の流体運動エネルギーの最大値を再現する値を設定 |
| 流体の運動エネルギー* | | |

※ 開放エネルギーの調整結果として確認される。

6. 解析フロー

第6-1図にLS-DYNAの解析フローを示す。



第6-1図 LS-DYNAコード解析フロー図

7. 入出力

LS-DYNAコードの主要な入出力は第 6-1 図に示した解析フロー図にも示されるとおりである。LS-DYNAコードのインプットデータは以下のとおり構成される。

- ① ペDESTAL構造物の幾何形状
- ② 各構造物に対する拘束条件
- ③ 材料の物性値
- ④ 流体及び構造材のメッシュデータ
- ⑤ 流体及び構造材の要素タイプ
- ⑥ 爆発源の形状・位置
(JASMIN Eコードの評価条件・結果に基づく)
- ⑦ 爆発源の最高圧力, エネルギー
(JASMIN Eコードによる評価結果に基づく)
- ⑧ 側壁及び床スラブの力積履歴
(JASMIN Eコードによる評価結果に基づく)

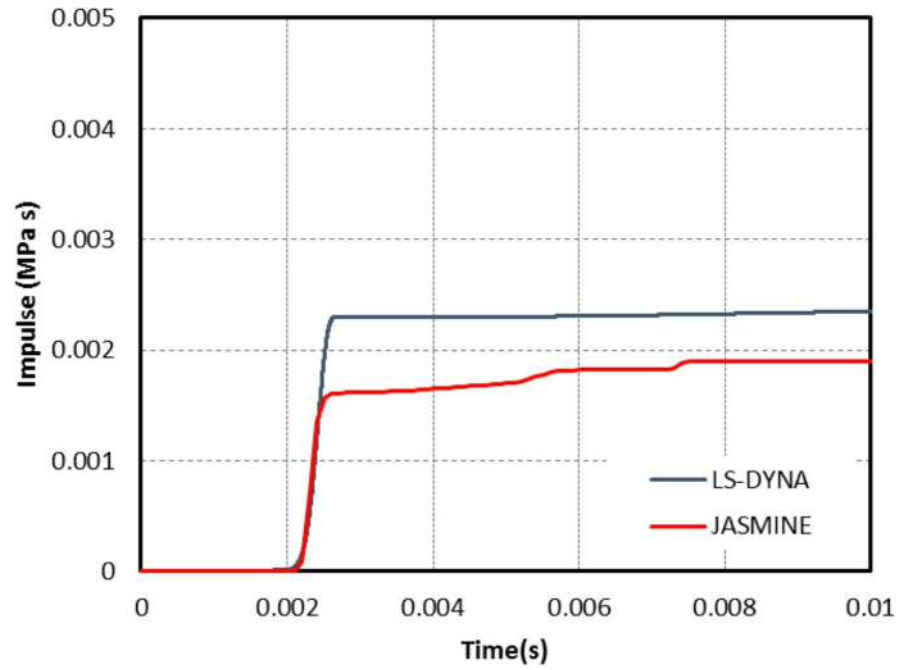
上記をインプットデータとして, 水蒸気爆発発生時の構造材衝撃荷重応答を評価し, 以下の主要なアウトプットデータを得る。

- ① 構造材のひずみ量
- ② 構造材の変位量
- ③ 構造材の発生応力
- ④ 各セルの圧力

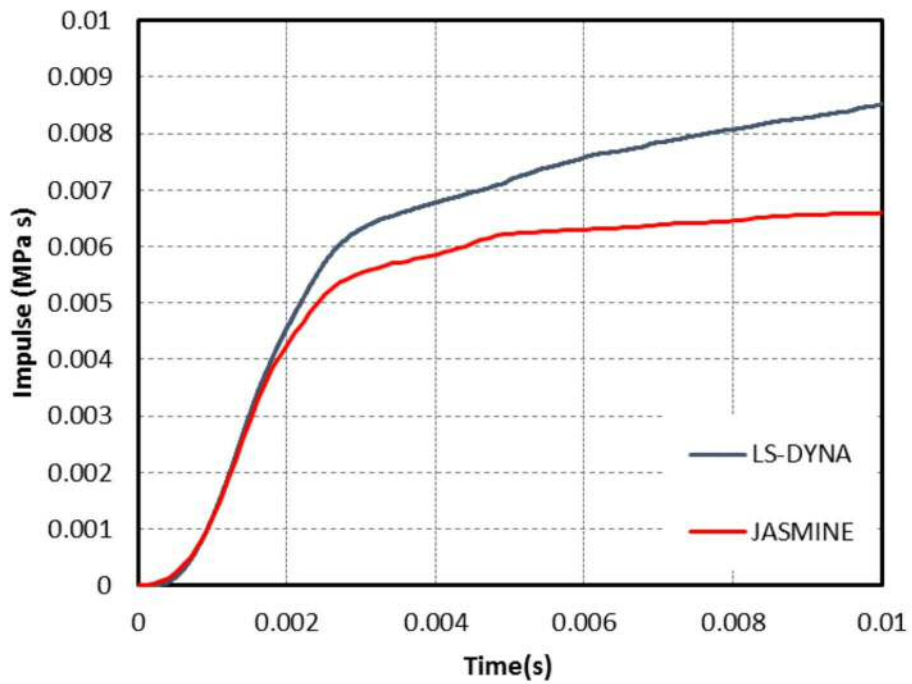
運動エネルギーから圧力として伝わる時の考え方について

LS-DYNAコードの評価は、JASMINEコードの解析結果に基づき設定した水蒸気爆発時の流体の運動エネルギー及び爆発源の圧力に基づいて実施している。すなわち、LS-DYNAコードの評価での水蒸気爆発時の流体運動エネルギー及び爆発源の圧力がJASMINEコードの評価における全領域の流体運動エネルギー及び爆発源の圧力と同等となるように設定している。これは、水蒸気爆発発生時には溶融デブリからの熱エネルギーが、爆発による圧力波を介して流体側に運動エネルギーとして伝わりこれが構造材のペDESTAL壁に作用するためであり、この運動エネルギー及び爆発源の圧力を解析条件としてLS-DYNAコードの評価に引き渡すことにより、ペDESTALの構造健全性を適切に評価できると考えられるためである。

上記の考え方の妥当性を確認するために、JASMINEコードの解析による水蒸気爆発時の壁面及び床スラブの力積履歴と、LS-DYNAコードの解析における爆発源設定時の壁面及び床スラブの力積履歴を比較した。第1図及び第2図に示すとおり、LS-DYNAコードの解析における壁面及び床スラブの力積履歴はJASMINEコードの解析よりも大きく、解析条件として保守的であることが確認できる。



第 1 図 S Eによる側壁力積履歴の比較



第 2 図 S Eによる床スラブ力積履歴の比較

水蒸気爆発発生時のコリウムシールドへの影響

1. はじめに

熔融炉心・コンクリート相互作用による侵食影響を緩和するための耐熱材としてペDESTAL内に敷設するジルコニア製コリウムシールドについて、万が一水蒸気爆発が発生した場合の影響を評価する。

2. コリウムシールドの設置構造

コリウムシールドの設置構造の概念図を第1図に示す。コリウムシールドは複数分割した部材を敷き詰める構造とし、固定用のボルトやアンカを部分的に使用することで、万が一の水蒸気爆発時の衝撃による周方向の荷重を分散し、水蒸気爆発による破損を防止する設計とする。

<側面図>

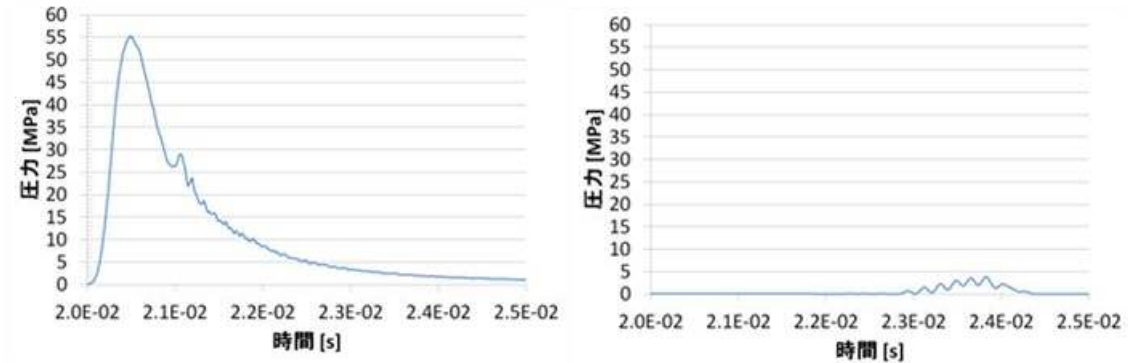
<正面図>



第1図 コリウムシールド設置構造概念図

3. コリウムシールド部材（ジルコニア）の強度

水蒸気爆発によってペDESTALの床面及び壁面にかかる圧力荷重は第2図のとおり。ジルコニアの圧縮強度は試験によって 以上が確認されていることから、コリウムシールドの健全性は維持可能である。



(a) 床面荷重最大位置

(b) 壁面荷重最大位置

第2図 床面及び壁面にかかる圧力荷重の推移

4. まとめ

万が一の水蒸気爆発の発生を想定した場合においても、コリウムシールドの健全性を維持可能である。

ジルコニアの圧縮強度について

水蒸気爆発発生時のジルコニア (ZrO_2) の圧縮強度は、試験測定結果に基づき設定している。測定方法と結果を以下に示す。

1. 試験条件

(1) 供試材

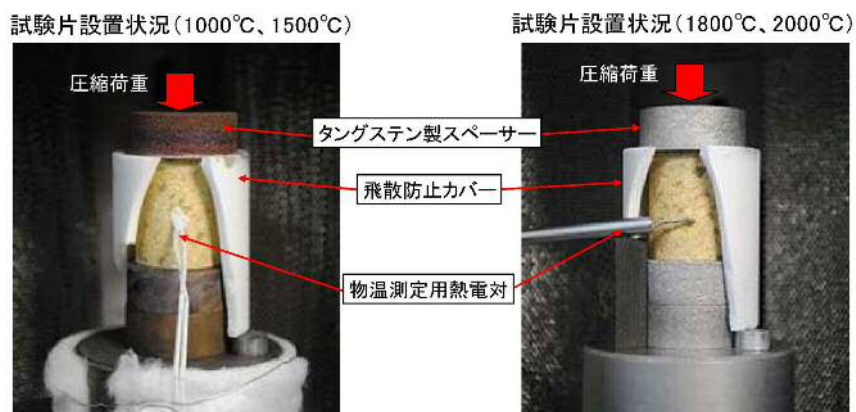
耐熱材： ZrO_2 耐熱材

形状：円柱状 ($\phi 25 \times 30\text{mm}$)

(2) 試験条件 (第1表, 第1図)

第1表 試験条件

| | |
|--------|--|
| 試験温度 | 室温, 1,000°C, 1,500°C, 1,800°C, 2,000°C |
| 試験雰囲気 | 室温：大気中, それ以外：アルゴン |
| 試験速度 | クロスヘッド速度 0.5mm/min |
| 昇温速度 | 20°C/min |
| 温度保持時間 | 試験温度到達後 10min 保持 |
| 試験片本数 | 2本/条件 |



第1図 試験装置

(3) 圧縮強度の算出

圧縮強度 σ_c は下式によって算出した。

$$\sigma_c = P / S$$

P : 圧縮試験時の最大荷重 [N]

S : 試験片の断面積 [mm²]

2. 試験結果及び圧縮強度の設定

試験結果を第 2 表に示す。水蒸気爆発発生時点における ZrO₂耐熱材温度は水プールの水温程度と考えられ、室温から 1,000℃の範囲において圧縮強度は 以上が確認されていることから、水蒸気爆発発生時点で考慮する圧縮強度として を設定する。

第 2 表 圧縮強度試験結果

| 温度 (°C) | 圧縮強度 (MPa) | | |
|---------|----------------------|----|----|
| | 最小 | 最大 | 平均 |
| 20 | <input type="text"/> | | |
| 1,000 | | | |
| 1,500 | | | |
| 1,800 | | | |
| 2,000 | | | |

※ 本試験は、中部電力(株)、東北電力(株)、東京電力ホールディングス(株)、北陸電力(株)、中国電力(株)、日本原子力発電(株)、電源開発(株)、(一財)エネルギー総合工学研究所、(株)東芝、日立 GE ニュークリア・エネルギー(株)が実施した共同研究の成果の一部である。

解析コード及び解析条件の不確かさの影響評価について（原子炉圧力容器外の溶融燃料－冷却材相互作用）

第1表 解析コードにおける重要現象の不確かさが運転員等操作時間及び評価項目となるパラメータに与える影響(1/2)

| 分類 | 重要現象 | 解析モデル | 不確かさ | 運転員等操作時間に与える影響 | 評価項目となるパラメータに与える影響 |
|----------------|------------------|--|---|---|---|
| 炉心 | 崩壊熱 | 炉心モデル(原子炉出力及び崩壊熱) | 入力値に含まれる。 | 「解析条件を最確条件とした場合の運転員等操作時間及び評価項目となるパラメータに与える影響」にて確認。 | 「解析条件を最確条件とした場合の運転員等操作時間及び評価項目となるパラメータに与える影響」にて確認。 |
| | 燃料棒内温度変化 | 炉心モデル(炉心熱水力モデル) 溶融炉心の挙動モデル(炉心ヒートアップ) | TMI 事故解析における炉心ヒートアップ時の水素ガス発生、炉心領域での溶融進展状態について、TMI 事故分析結果と良く一致することを確認した。 CORA 実験解析における、燃料被覆管、制御棒及びチャンネルボックスの温度変化について、測定データと良く一致することを確認した。 炉心ヒートアップ速度の増加(被覆管酸化の促進)を想定し、仮想的な厳しい振り幅ではあるが、ジルコニウム-水反応速度の係数を2倍とした感度解析により影響を確認した。 ・TQV、大破断 LOCA シーンとともに、炉心溶融の開始時刻への影響は小さい ・炉心下部プレナムへの溶融炉心移行の開始時刻は、ほぼ変化しない | 炉心ヒートアップに関するモデルは、TMI 事故についての再現性及び CORA 実験についての再現性が確認されている。炉心ヒートアップの感度解析(ジルコニウム-水反応速度の係数についての感度解析)では、炉心溶融開始時間及び炉心下部プレナムへの溶融炉心移行の開始時間に対する感度は数分程度であり、影響は小さいことを確認している。 本評価事故シーケンスでは、原子炉圧力容器温度(下鏡部)を操作開始の起点としている運転員等操作時間ではないことから、運転員等操作時間に与える影響はない。 | 炉心ヒートアップに関するモデルは、TMI 事故についての再現性及び CORA 実験についての再現性を確認している。炉心ヒートアップの感度解析(ジルコニウム-水反応速度の係数についての感度解析)では、格納容器圧力挙動への影響は小さいことを確認していることから、評価項目となるパラメータに与える影響は小さい。 |
| | 燃料棒表面熱伝達 | | | | |
| | 燃料被覆管酸化 | | | | |
| | 燃料被覆管変形 | | | | |
| 沸騰・ボイド率変化 | 炉心モデル(炉心水位計算モデル) | TQUX シーン及び中破断 LOCA シーンに対して、MAAP コードと SAFER コードの比較を行い、以下の傾向を確認した。 ・MAAP コードでは SAFER コードで考慮している CCFL を取り扱っていないことから水位変化に差異が生じたものの水位低下幅は MAAP コードの方が大きく、解析コード SAFER に対して保守的であり、その後の注水操作による燃料有効長頂部までの水位回復時刻は両コードで同等である | 原子炉水位挙動について原子炉圧力容器内のモデルが精緻である解析コード SAFER の評価結果との比較により水位低下幅は解析コード MAAP の評価結果の方が大きく、解析コード SAFER に対して保守的であることを確認していることから、運転員等操作時間に与える影響は小さい。 | 原子炉水位挙動について原子炉圧力容器内のモデルが精緻である解析コード SAFER の評価結果との比較により水位低下幅は解析コード MAAP の評価結果の方が大きく、解析コード SAFER に対して保守的であるものの、その差異は小さいことを確認していることから、評価項目となるパラメータに与える影響は小さい。 | |
| 気液分離(水位変化)・対向流 | | | | | |
| 格納容器 | 格納容器各領域間の流動 | 格納容器モデル(格納容器の熱水力モデル) | HDR 実験解析では、格納容器圧力及び雰囲気温度について、温度成層化含めて傾向を良く再現できることを確認した。格納容器雰囲気温度を十数℃程度高めに、格納容器圧力を1割程度高めに評価する傾向が確認されたが、実験体系に起因するものと考えられ、実験体系においてはこの種の不確かさは小さくなるものと考えられる。また、非凝縮性ガス濃度の挙動について、解析結果が測定データと良く一致することを確認した。 CSTP 実験解析では、格納容器温度及び非凝縮性ガス濃度の挙動について、解析結果が測定データと良く一致することを確認した。 | HDR 実験解析では区画によって格納容器温度を十数℃程度、格納容器圧力を1割程度高めに評価する傾向を確認しているが、BWR の格納容器内の区画とは異なる等、実験体系に起因するものと考えられ、実験体系においてはこの解析で確認された不確かさは小さくなるものと推定される。しかし、全体としては格納容器圧力及び雰囲気温度の傾向を適切に再現できており、また、格納容器圧力及び雰囲気温度を操作開始の起点としている運転員等操作時間ではないことから、運転員等操作時間に与える影響はない。 | HDR 実験解析では区画によって格納容器雰囲気温度を十数℃程度、格納容器圧力を1割程度高めに評価する傾向を確認しているが、BWR の格納容器内の区画とは異なる等、実験体系に起因するものと考えられ、実験体系においてはこの解析で確認された不確かさは小さくなるものと推定される。しかし、全体としては格納容器圧力及び雰囲気温度の傾向を適切に再現できていることから、評価項目となるパラメータに与える影響は小さい。 |

第1表 解析コードにおける重要現象の不確かさが運転員等操作時間及び評価項目となるパラメータに与える影響(2/2)

| 分類 | 重要現象 | 解析モデル | 不確かさ | 運転員等操作時間に与える影響 | 評価項目となるパラメータに与える影響 |
|------------------------|------------------------|-------------------------------|---|--|--|
| 原子炉 圧力容器 (炉心損傷後) | リロケーション | 溶融炉心の挙動モデル (リロケーション) | <ul style="list-style-type: none"> ・TMI 事故解析における炉心領域での溶融進展状態について、TMI 事故分析結果と一致することを確認した ・リロケーションの進展が早まることを想定し、炉心ノード崩壊のパラメータを低下させた感度解析により影響を確認した ・TQUV、大破断 LOCA シーンとともに、炉心溶融時刻、原子炉圧力容器破損時刻への影響が小さいことを確認した | 溶融炉心の挙動モデルは TMI 事故についての再現性を確認している。また、炉心ノード崩壊のパラメータを低下させた感度解析により原子炉圧力容器破損時間に与える影響は小さいことを確認している。 本評価事故シナリオでは、原子炉圧力容器温度（下鏡部）を操作開始の起点としている運転員等操作はないことから、運転員等操作時間に与える影響はない。 | 溶融炉心の挙動モデルは TMI 事故についての再現性を確認している。また、炉心ノード崩壊のパラメータを低下させた感度解析により原子炉圧力容器破損時間に与える影響は小さいことを確認しており、原子炉圧力容器外の溶融燃料－冷却材相互作用による格納容器圧力上昇に与える影響はほぼないことから、評価項目となるパラメータに与える影響は小さい。 |
| | 構造材との熱伝達 | | | | |
| | 原子炉圧力容器破損 | 溶融炉心挙動モデル (原子炉圧力容器破損モデル) | 原子炉圧力容器破損に影響する項目として、制御棒駆動機構ハウジング溶接部の破損判定に用いる最大ひずみ（しきい値）をパラメータとした感度解析を行い、原子炉圧力容器破損時刻が約 13 分早まることを確認した。ただし、仮想的な厳しい条件に基づく解析結果であり、実機における影響は十分小さいと判断される。 | 制御棒駆動機構ハウジング溶接部の破損判定に用いる最大ひずみ（しきい値）に関する感度解析により最大ひずみを低下させた場合に原子炉圧力容器破損時間が早まることを確認している。本評価事故シナリオでは、原子炉圧力容器破損を操作開始の起点としている運転員等操作はないことから、運転員等操作時間に与える影響はない。 | 制御棒駆動機構ハウジング溶接部の破損判定に用いる最大ひずみ（しきい値）に関する感度解析により最大ひずみを低下させた場合に原子炉圧力容器破損が早まることを確認しているが、原子炉圧力容器破損（事象発生から約 4.5 時間後）に対して早まる時間は僅かであることから、評価項目となるパラメータに与える影響は小さい。 |
| 格納容器 (炉心損傷後) | 原子炉圧力容器外 FCI（溶融炉心細粒化） | 溶融炉心挙動モデル (格納容器下部での溶融炉心挙動) | 原子炉圧力容器外 FCI 現象に関する項目としてエントレインメント係数及びデブリ粒子径をパラメータとして感度解析を行い、原子炉圧力容器外 FCI によって生じる圧力スパイクへの感度が小さいことを確認した。 | 溶融炉心の細粒化モデルにおけるエントレインメント係数及びデブリ粒子径の感度解析により原子炉圧力容器外の溶融燃料－冷却材相互作用による圧力スパイクに与える影響が小さいことを確認している。本評価事故シナリオでは、原子炉圧力容器外の溶融燃料－冷却材相互作用による圧力スパイクを起点とした運転員等操作はないことから、運転員等操作時間に与える影響はない。 | 溶融炉心の細粒化モデルにおけるエントレインメント係数及びデブリ粒子径の感度解析により、BWR-5、Mark-I 改良型格納容器プラントにおいては原子炉圧力容器外の溶融燃料－冷却材相互作用による圧力スパイクに与える影響は小さいことを確認している。BWR-5、Mark-II 型格納容器プラントである東海第二発電所においても原子炉圧力容器外の溶融燃料－冷却材相互作用による圧力スパイクに与える影響を確認するため、最も感度のあるエントレインメント係数について感度解析を行った結果、エントレインメント係数を変化させた場合においても原子炉圧力容器外の溶融燃料－冷却材相互作用による圧力スパイクに与える影響は小さいことを確認していることから、評価項目となるパラメータに与える影響は小さい。 (添付資料 3.3.7) |
| | 原子炉圧力容器外 FCI（デブリ粒子熱伝達） | | | | |

第2表 解析条件を最確条件とした場合に運転員等操作時間及び評価項目となるパラメータに与える影響(1/4)

| 項目 | 解析条件(初期条件, 事故条件及び機器条件)の不確かさ | | 条件設定の考え方 | 運転員等操作時間に与える影響 | 評価項目となるパラメータに与える影響 | |
|------|-----------------------------|--|---|--|---|---|
| | 解析条件 | 最確条件 | | | | |
| 初期条件 | 原子炉熱出力 | 3, 293MW | 約 3, 279MW～ 約 3, 293MW (実績値) | 定格原子炉熱出力として設定 | 最確条件とした場合には、原子炉停止後の崩壊熱が緩和される。最確条件とした場合の運転員等操作時間への影響は、原子炉停止後の崩壊熱にて説明する。 | 最確条件とした場合には、原子炉停止後の崩壊熱が緩和される。最確条件とした場合の評価項目となるパラメータに与える影響は、原子炉停止後の崩壊熱にて説明する。 |
| | 原子炉圧力 (圧力容器ドーム部) | 6. 93MPa[gage] | 約 6. 91 MPa[gage]～ 約 6. 94MPa[gage] (実績値) | 定格原子炉圧力として設定 | 最確条件とした場合には、ゆらぎにより解析条件に対して変動を与え得るが、原子炉圧力は逃がし安全弁により制御されるため事象進展に与える影響はないことから、運転員等操作時間に与える影響はない。 | 最確条件とした場合には、ゆらぎにより解析条件に対して変動を与え得るが、原子炉圧力は逃がし安全弁により制御されるため事象進展に与える影響はないことから、評価項目となるパラメータに与える影響はない。 |
| | 原子炉水位 | 通常運転水位 (セパレータスカート下端から+126cm) | 通常運転水位 約-4cm～約+6cm (セパレータスカート下端から約+122cm ～約+132cm) (実績値) | 通常運転時の原子炉水位として設定 | 最確条件とした場合には、ゆらぎにより解析条件に対して変動を与え得るが、ゆらぎの幅は事象発生後の水位低下量に対して非常に小さい。例えば、原子炉スクラム 10 分後までの崩壊熱による原子炉水位の低下量は、高圧が維持された状態でも通常運転水位約 3m であるのに対してゆらぎによる水位低下量は約 4cm であり非常に小さい。したがって、事象進展に与える影響は小さいことから、運転員等操作時間に与える影響は小さい。 | 最確条件とした場合には、ゆらぎにより解析条件に対して変動を与え得るが、ゆらぎの幅は事象発生後の水位低下量に対して非常に小さい。例えば、原子炉スクラム 10 分後までの崩壊熱による原子炉水位の低下量は、高圧が維持された状態でも通常運転水位約 3m であるのに対してゆらぎによる水位低下量は約 4cm であり非常に小さい。したがって、事象進展に与える影響は小さいことから、評価項目となるパラメータに与える影響は小さい。 |
| | 炉心流量 | 48, 300t/h (定格流量 (100%)) | 定格流量の 約 86%～約 104% (実績値) | 定格流量として設定 | 事象発生後早期に原子炉はスクラムするため、初期炉心流量が事象進展に与える影響は小さいことから、運転員等操作時間に与える影響は小さい。 | 事象発生後早期に原子炉はスクラムするため、初期炉心流量が事象進展に与える影響は小さいことから、評価項目となるパラメータに与える影響は小さい。 |
| | 燃料 | 9×9 燃料 (A型) | 装荷炉心ごと | 9×9 燃料(A型)と9×9 燃料(B型)は、熱水力的な特性はほぼ同等であり、その他の核的特性等の違いは燃料棒最大線出力密度の保守性に包含されることから、代表的に9×9 燃料(A型)を設定 | 最確条件とした場合には、9×9 燃料のA型又はB型の炉心となるか、それらの混在炉心となるが、いずれの型式も燃料の熱水力特性はほぼ同等であり、事象進展に与える影響は小さいことから、運転員等操作時間に与える影響は小さい。 | 最確条件とした場合には、9×9 燃料のA型又はB型炉心となるか、それらの混在炉心となるが、いずれの型式も燃料の熱水力特性はほぼ同等であり、事象進展に及ぼす影響は小さいことから、評価項目となるパラメータに与える影響は小さい。 |
| | 原子炉停止後の崩壊熱 | ANSI/ANS-5. 1-1979 燃焼度 33Gwd/t | ANSI/ANS-5. 1-1979 平均的燃焼度約 31Gwd/t (実績値) | 1 サイクルの運転期間(13 ヶ月)に調整運転期間(約 1ヶ月)を考慮した運転期間に対応する燃焼度として設定 | 最確条件とした場合には、解析条件で設定している崩壊熱よりも小さくなるため、発生する蒸気量は少なくなり、原子炉圧力容器破損に至るまでの事象進展は緩和されるが、原子炉圧力容器温度(下鏡部)を操作開始の起点としている運転員等操作はないことから、運転員等操作時間に与える影響はない。 | 最確条件とした場合には、解析条件で設定している崩壊熱よりも小さくなるため、溶融炉心の持つエネルギーが小さくなることから、評価項目となるパラメータに対する余裕は大きくなる。 |
| | 格納容器体積 (ドライウエル) | 5, 700m ³ | 5, 700m ³ (設計値) | 設計値 | 解析条件と最確条件は同様であることから、事象進展に与える影響はなく、運転員等操作時間に与える影響はない。 | 解析条件と最確条件は同様であることから、事象進展に与える影響はなく、評価項目となるパラメータに与える影響はない。 |
| | 格納容器体積 (サブプレッション・チェンバ) | 空間部：4, 100m ³ 液相部：3, 300m ³ | 空間部： 約 4, 092m ³ ～ 約 4, 058m ³ 液相部： 約 3, 308m ³ ～ 約 3, 342m ³ (実績値) | 設計値(通常運転時のサブプレッション・プール水位の下限値として設定) | 最確条件とした場合には、ゆらぎにより解析条件に対して変動を与え得るが、ゆらぎによる格納容器体積(サブプレッション・チェンバ)の液相部の変化分は通常時に対して非常に小さい。例えば、サブプレッション・プール水位が 6. 983m の時の水量は 3, 300m ³ であるのに対し、ゆらぎ(0. 087m)による水量変化は約 42m ³ であり、その割合は初期保有水量の約 1. 3%と非常に小さい。したがって、事象進展に与える影響は小さいことから、運転員等操作時間に与える影響は小さい。 | 最確条件とした場合には、ゆらぎにより解析条件に対して変動を与え得るが、ゆらぎによる格納容器体積(サブプレッション・チェンバ)の液相部の変化分は通常時に対して非常に小さい。例えば、サブプレッション・プール水位が 6. 983m の時の水量は 3, 300m ³ であるのに対し、ゆらぎ(0. 087m)による水量変化は約 42m ³ であり、その割合は初期保有水量の約 1. 3%と非常に小さい。したがって、事象進展に与える影響は小さいことから、評価項目となるパラメータに与える影響は小さい。 |
| | 真空破壊装置 | 3. 45kPa (ドライウエル・サブプレッション・チェンバ間差圧) | 3. 45kPa (ドライウエル・サブプレッション・チェンバ間差圧) (設計値) | 真空破壊装置の設定値 | 解析条件と最確条件は同様であることから、事象進展に与える影響はなく、運転員等操作時間に与える影響はない。 | 解析条件と最確条件は同様であることから、事象進展に与える影響はなく、評価項目となるパラメータに与える影響はない。 |

第2表 解析条件を最確条件とした場合に運転員等操作時間及び評価項目となるパラメータに与える影響(2/4)

| 項目 | | 解析条件(初期条件、事故条件及び機器条件)の不確かさ | | 条件設定の考え方 | 運転員等操作時間に与える影響 | 評価項目となるパラメータに与える影響 |
|------|-----------------|----------------------------|---|--|---|---|
| | | 解析条件 | 最確条件 | | | |
| 初期条件 | サブプレッション・プール水位 | 6.983m (通常運転水位－4.7cm) | 約7.000m～ 約7.070m (実績値) | 通常運転時のサブプレッション・プール水位の下限値として設定 | 最確条件とした場合には、ゆらぎにより解析条件に対して変動を与え得るが、ゆらぎによるサブプレッション・プール水位の変化分は通常時に対して非常に小さい。例えば、サブプレッション・プール水位が6.983mの時の水量は3,300m ³ であるのに対し、ゆらぎ(0.087m)による水量変化は約42m ³ であり、その割合は初期保有水量の約1.3%と非常に小さい。したがって、事象進展に与える影響は小さいことから、運転員等操作時間に与える影響は小さい。 | 最確条件とした場合には、ゆらぎにより解析条件に対して変動を与え得るが、ゆらぎによるサブプレッション・プール水位の変化分は通常時に対して非常に小さい。例えば、サブプレッション・プール水位が6.983mの時の水量は3,300m ³ であるのに対し、ゆらぎ(0.087m)による水量変化は約42m ³ であり、その割合は初期保有水量の約1.3%と非常に小さい。したがって、事象進展に与える影響は小さいことから、評価項目となるパラメータに与える影響は小さい。 |
| | サブプレッション・プール水温度 | 32℃ | 約15℃～約32℃ (実績値) | 通常運転時のサブプレッション・プール水温度の上限値として設定 | 運転員等操作としては代替循環冷却系による格納容器除熱操作となるが、本パラメータによる影響を受けることはなく、運転員等操作時間に与える影響はない。 | 最確条件とした場合には、解析条件で設定している水温よりも低くなるため、圧力スパイクへの影響としては、発生する蒸気量の低下が考えられるが、評価項目となるパラメータに対する影響は小さい。 |
| | 格納容器圧力 | 5kPa[gage] | 約2.2kPa[gage]～約4.7kPa[gage] (実績値) | 通常運転時の格納容器圧力を包絡する値 | 最確条件とした場合には、解析条件で設定している格納容器圧力より低くなるため、格納容器圧力が低めに推移するが、その影響は小さいことから、運転員等操作時間に与える影響はない。 | 最確条件とした場合には、解析条件で設定している格納容器圧力より低くなるため、格納容器圧力が低めに推移するが、その影響は小さいことから、評価項目となるパラメータに与える影響は小さい。 |
| | 格納容器雰囲気温度 | 57℃ | 約25℃～約58℃ (実績値) | 通常運転時の格納容器雰囲気温度(ドライウェル内ガス冷却装置の設計温度)として設定 | 最確条件とした場合には、ゆらぎにより解析条件に対して変動を与え得るが、格納容器雰囲気温度を操作開始の起点としている運転員等操作はないことから、運転員等操作時間に与える影響はない。 | 最確条件とした場合には、ゆらぎにより解析条件に対して変動を与え得るが、ゆらぎによる格納容器雰囲気温度の解析条件からの上昇は約1℃であり非常に小さい。したがって、事象進展に与える影響は小さいことから、評価項目となるパラメータに与える影響は小さい。 |
| | 外部水源の温度 | 35℃ | 35℃以下 | 年間の気象条件変化を包含する高めの水温を設定 | 最確条件とした場合には、ベデスタル(ドライウェル部)への注水温度が低くなるが、注水温度を操作開始の起点としている運転員等操作はないことから、運転員等操作時間に与える影響はない。 | 最確条件とした場合には、ベデスタル(ドライウェル部)への注水温度が低くなるが、ベデスタル(ドライウェル部)には通常運転時から約1mの水位が形成されていることから外部水源の温度がベデスタル(ドライウェル部)のプール水に与える影響はなく、評価項目となるパラメータに与える影響はない。 |
| | 外部水源の容量 | 約8,600m ³ | 8,600m ³ 以上 (西側淡水貯水設備+代替淡水貯槽) | 西側淡水貯水設備及び代替淡水貯槽の管理下限値を設定 | 管理値下限の容量として事象発生から7日後までに必要な容量を備えており、水源は枯渇しないことから運転員等操作時間に与える影響はない。 | — |
| | 燃料の容量 | 約1,010kL | 1,010kL以上 (軽油貯蔵タンク+可搬型設備用軽油タンク) | 軽油貯蔵タンク及び可搬型設備用軽油タンクの管理下限値を設定 | 管理値下限の容量として事象発生から7日後までに必要な容量を備えており、燃料は枯渇しないことから運転員等操作時間に与える影響はない。 | — |

第2表 解析条件を最確条件とした場合に運転員等操作時間及び評価項目となるパラメータに与える影響(3/4)

| 項目 | 解析条件(初期条件, 事故条件及び機器条件)の不確かさ | | 条件設定の考え方 | 運転員等操作時間に与える影響 | 評価項目となるパラメータに与える影響 | |
|------|-----------------------------|---|-------------------------------|--|---|--|
| | 解析条件 | 最確条件 | | | | |
| 事故条件 | 起因事象 | 給水流量の全喪失 | — | 原子炉水位低下の観点で厳しい事象を設定 (添付資料 3.3.8) | 大破断 LOCA を考慮した場合、原子炉冷却材の放出量が増加することにより原子炉圧力容器破損に至るまでの事象進展は早まるが、原子炉圧力容器温度(下鏡部)を操作開始の起点としている運転員等操作はないことから、運転員等操作時間に与える影響はない。 (添付資料 3.3.8) | 溶融炉心落下時の崩壊熱の影響を確認する観点から感度解析を実施した。感度解析は、事故シーケンスを「大 LOCA + 注水機能喪失」とし、本評価事故シーケンスの解析条件と同様、電源の有無に係らず重大事故等対処設備による原子炉注水機能についても使用できないものと仮定した場合、原子炉圧力容器破損のタイミングが早くなることを考慮したものである。その結果、事象発生から約 3.3 時間後に原子炉圧力容器破損に至り、圧力スパイクの最高値は約 0.20MPa[gage]となったが、圧力スパイクの最高値は本評価の結果と同程度であり、格納容器の限界圧力 0.62MPa[gage]以下であることから、評価項目を満足する。 (添付資料 3.3.8) |
| | 安全機能等の喪失に対する仮定 | 全交流動力電源喪失 高圧注水機能、低圧注水機能及び原子炉圧力容器破損前の重大事故等対処設備による原子炉注水機能の喪失 | — | 非常用ディーゼル発電機等の機能喪失を想定し、設定 高圧注水機能として原子炉隔離時冷却系及び高圧炉心スプレイ系、低圧注水機能として残留熱除去系(低圧注水系)及び低圧炉心スプレイ系の機能喪失を設定するとともに、原子炉圧力容器破損前の重大事故等対処設備による原子炉注水機能の喪失を設定 | — | — |
| | 外部電源 | 外部電源なし | — | 安全機能の喪失に対する仮定に基づき設定 ただし、原子炉スクラムについては、外部電源ありの場合を包絡する条件として、機器条件に示すとおり設定 | — | — |
| 機器条件 | 原子炉スクラム信号 | 原子炉水位低(レベル3)信号 | タービン蒸気加減弁急速閉信号又は原子炉保護系電源喪失 | 短時間であるが原子炉熱出力が維持される厳しい設定として、外部電源喪失時に伴うタービン蒸気加減弁急速閉及び原子炉保護系電源喪失による原子炉スクラムについては保守的に考慮せず、原子炉水位低(レベル3)信号にてスクラムするものとして設定 | 最確条件とした場合は、原子炉熱出力の低下が早くなるため、溶融炉心の持つエネルギーが小さくなり、原子炉圧力容器破損に至るまでの事象進展が緩やかになるが、操作手順(代替循環冷却系による格納容器除熱を実施すること)に変わりはないことから、運転員等操作時間に与える影響は小さい。 | 最確条件とした場合は、原子炉熱出力の低下が早くなるため、溶融炉心の持つエネルギーが小さくなるが、評価項目となるパラメータに与える影響は小さい。 |
| | 主蒸気隔離弁 | 事象発生と同時に閉止 | 原子炉保護系電源喪失又は原子炉水位異常低下(レベル2)信号 | 短時間であるが主蒸気が格納容器内に維持される厳しい設定として、原子炉保護系電源喪失及び原子炉水位異常低下(レベル2)信号による主蒸気隔離弁閉止については保守的に考慮せず、事象発生と同時に主蒸気隔離弁閉止するものとして設定 | 最確条件とした場合には、逃がし安全弁を通じて格納容器内に放出される蒸気流量が減少することから、格納容器圧力及び雰囲気温度の上昇が遅くなるが、操作手順(代替循環冷却系による格納容器除熱を実施すること)に変わりはないことから、運転員等操作時間に与える影響は小さい。 | 最確条件とした場合には、逃がし安全弁を通じて格納容器内に放出される蒸気流量が減少することから、格納容器圧力及び雰囲気温度の上昇が遅くなるが、その影響は小さいことから、評価項目となるパラメータに与える影響は小さい。 |
| | 再循環系ポンプ | 事象発生と同時に停止 | 電源喪失によるポンプ停止(事象発生と同時に) | 事象進展に与える影響は軽微であることから、全交流動力電源喪失によるポンプ停止を踏まえて設定 | 解析条件と最確条件は同様であり、事象進展に与える影響はないことから、運転員等操作時間に与える影響はない。 | 解析条件と最確条件は同様であり、事象進展に与える影響はないことから、評価項目となるパラメータに与える影響はない。 |

第2表 解析条件を最確条件とした場合に運転員等操作時間及び評価項目となるパラメータに与える影響(4/4)

| 項目 | | 解析条件（初期条件，事故条件及び機器条件）の不確かさ | | 条件設定の考え方 | 運転員等操作時間に与える影響 | 評価項目となるパラメータに与える影響 |
|------|---------|---|--|--|---|--|
| | | 解析条件 | 最確条件 | | | |
| 機器条件 | 逃がし安全弁 | 安全弁機能 7.79 MPa[gage]～ 8.31MPa[gage] 385.2 t/h (1個当たり)～ 410.6t/h (1個当たり) | 安全弁機能 7.79MPa[gage]～ 8.31MPa[gage] 385.2t/h (1個当たり)～ 410.6t/h (1個当たり) (設計値) | 逃がし安全弁の安全弁機能の設計値として設定 | 解析条件と最確条件は同様であり，事象進展に影響はないことから，運転員等操作時間に与える影響はない。 | 解析条件と最確条件は同様であり，事象進展に影響はないことから，評価項目となるパラメータに与える影響はない。 |
| | | 逃がし安全弁（自動減圧機能）の2個を開することによる原子炉急速減圧 | 逃がし安全弁（自動減圧機能）の2個を開することによる原子炉急速減圧 | 逃がし安全弁の設計値に基づく蒸気流量及び原子炉圧力の関係から設定 | 解析条件と最確条件は同様であり，事象進展に影響はないことから，運転員等操作時間に与える影響はない。 | 解析条件と最確条件は同様であり，事象進展に影響はないことから，評価項目となるパラメータに与える影響はない。 |
| | 代替循環冷却系 | 原子炉圧力容器破損前 格納容器スプレイ： 250m ³ /h | 原子炉圧力容器破損前 格納容器スプレイ： 250m ³ /h | 格納容器圧力及び雰囲気温度抑制に必要なスプレイ流量を考慮して設定 | 解析条件と最確条件は同様であることから，事象進展に与える影響はなく，運転員等操作時間に与える影響はない。 | 解析条件と最確条件は同様であることから，事象進展に与える影響はなく，評価項目となるパラメータに与える影響はない。 |
| | 緊急用海水系 | 代替循環冷却系から緊急用海水系への伝熱容量： 約14MW (サプレッション・プール水温度100℃，海水温度32℃において) | 代替循環冷却系から緊急用海水系への伝熱容量： 約14MW以上 (サプレッション・プール水温度100℃，海水温度32℃以下において) | 熱交換器の設計性能に基づき，代替循環冷却系の除熱性能を厳しくする観点で，過去の実績を包含する高めの海水温度を設定 | 最確条件とした場合には，解析条件で設定している海水温度と同等以下となる。 32℃の場合は，解析条件と最確条件は同等であることから運転員等操作時間に与える影響はない。 32℃未満の場合は，除熱性能が向上するため，格納容器圧力及び雰囲気温度の上昇の抑制効果は大きくなるが，操作手順（格納容器圧力0.31MPa[gage]到達後に窒素注入を停止すること）に変わりはないことから，運転員等操作時間に与える影響は小さい。 | 最確条件とした場合には，解析条件で設定している海水温度と同等以下となる。 32℃の場合は，解析条件と最確条件は同等であることから評価項目となるパラメータに与える影響はない。 32℃未満の場合は，除熱性能が向上するため，格納容器圧力及び雰囲気温度の上昇の抑制効果は大きくなることから，評価項目となるパラメータに対する余裕が大きくなる。 |

第3表 運転員等操作時間に与える影響，評価項目となるパラメータに与える影響及び操作時間余裕

| 項目 | | 解析条件（操作条件）の不確かさ | | 操作の不確かさ要因 | 運転員等操作時間に与える影響 | 評価項目となるパラメータに与える影響 | 操作時間余裕 | 訓練実績等 |
|------|---|-----------------|--------------------------------------|---|---|--|--|--|
| | | 解析条件 | 条件設定の考え方 | | | | | |
| 操作条件 | 緊急用海水系による冷却水（海水）の確保操作及び代替循環冷却系による格納容器減圧及び除熱操作 | 事象発生 90 分後 | 中央制御室における緊急用海水系及び代替循環冷却系の準備時間を考慮して設定 | <p>【認知】 中央制御室にて外部電源受電及び非常用ディーゼル発電機の非常用高圧系統の電源回復ができない場合，早期の電源回復不可による残留熱除去系を用いた格納容器除熱不可と判断し，これにより緊急用海水系の起動準備を開始する手順としている。そのため，認知遅れにより操作開始時間に与える影響はなし。</p> <p>【要員配置】 中央制御室内での操作のみであり，当直運転員は中央制御室に常駐していることから，操作開始時間に与える影響はなし。</p> <p>【移動】 中央制御室での操作のみであり，当直運転員は中央制御室に常駐していることから，操作開始時間に与える影響はなし。</p> <p>【操作所要時間】 中央制御室における操作は，ポンプ起動，系統構成にかかる時間として緊急用海水系の起動に 20 分，代替循環冷却系の起動に 35 分を想定しており，操作時間に余裕を確保している。</p> <p>【他の並列操作有無】 当該操作に対応する当直運転員に他の並列操作はなく，操作開始時間に与える影響はなし。</p> <p>【操作の確実さ】 中央制御室の制御盤の操作スイッチによる簡易な操作のため，誤操作は起こりにくく，そのため誤操作等により操作時間が長くなる可能性は低い。</p> | <p>事象発生 90 分後に開始することとしているが，余裕時間を含めて設定されているため操作の不確かさが操作開始時間に与える影響は小さい。また，本操作の操作開始時間は，緊急用海水系の準備期間を考慮して設定したものであり，緊急用海水系の操作開始時間が早まれば，本操作の操作時間も早まる可能性があり，代替循環冷却系の運転開始時間も早まるが，その他の操作と並列して実施する場合でも，順次実施し所定の時間までに操作を完了できることから影響はない。</p> | <p>緊急用海水系の操作開始時間が早まった場合には，本操作も早まる可能性があり，格納容器圧力及び雰囲気温度を早期に低下させる可能性があることから，評価項目となるパラメータに対する余裕が大きくなる。</p> | <p>格納容器除熱開始までの時間は事象発生から 90 分あり，準備時間が確保できるため，時間余裕がある。なお，本操作が大幅に遅れるような事態になった場合でも，原子炉圧力容器破損に至るまでの時間は事象発生から約 4.5 時間であり，約 3 時間の時間余裕がある。</p> | <p>中央制御室における操作のため，シミュレータ（模擬操作含む。）にて訓練実績を取得。訓練では緊急用海水系起動に約 16 分。代替循環冷却系起動に約 27 分。想定している範囲内で意図している運転操作が実施可能であることを確認した。</p> |

エントレインメント係数の圧カスパイクに対する影響

東海第二発電所（BWR 5，M a r k - II 型格納容器）について，原子炉圧力容器外の溶融燃料－冷却材相互作用における圧カスパイクに対して不確かさを有すると考えられるパラメータのうち，エントレインメント係数を変化させた場合^{*}の影響を確認した。確認結果を以下に示す。

※「付録 3 重大事故等対策の有効性評価に係るシビアアクシデント解析コードについて 第 5 部 M A A P 添付 2 溶融炉心と冷却材の相互作用について」では，BWR，M a r k - I 改良型格納容器について，デブリ粒子径を変化させた場合の圧カスパイクに対する感度を評価しているが，その結果，デブリ粒子径を変化させても圧カスパイクはほぼ変わらないことを確認しているため，M a r k - II 型格納容器に対するデブリ粒子径に関する感度の評価は不要と判断した。

1. 評価条件

- ・エントレインメント係数を除き，ベースケースと同じ評価条件とした。
- ・第 1 表に感度解析の条件を示す。エントレインメント係数について，ベースケースでは M A A P 推奨範囲（～）のうちおよそ中間となる を設定しているが，感度解析ケースでは，M A A P の当該係数の推奨範囲のうち最大値（）と最小値（）を設定した。

2. 評価結果

第 2 表及び第 1 図から第 3 図にベースケース及びエントレインメント係数についての感度解析の評価結果を示す。感度解析の結果，事象発生約 4.5 時間後に原子炉圧力容器の破損が発生した直後の格納容器圧力は，感度解析ケ

ース（最大値）の方が僅かに大きい結果となったが、評価項目である最高使用圧力の2倍（0.62MPa[gage]）を下回る結果となった。

3. 結論

エントレインメント係数を変動させた場合であっても、圧力スパイクのピークが評価項目である最高使用圧力の2倍（0.62MPa[gage]）を下回ることを確認した。

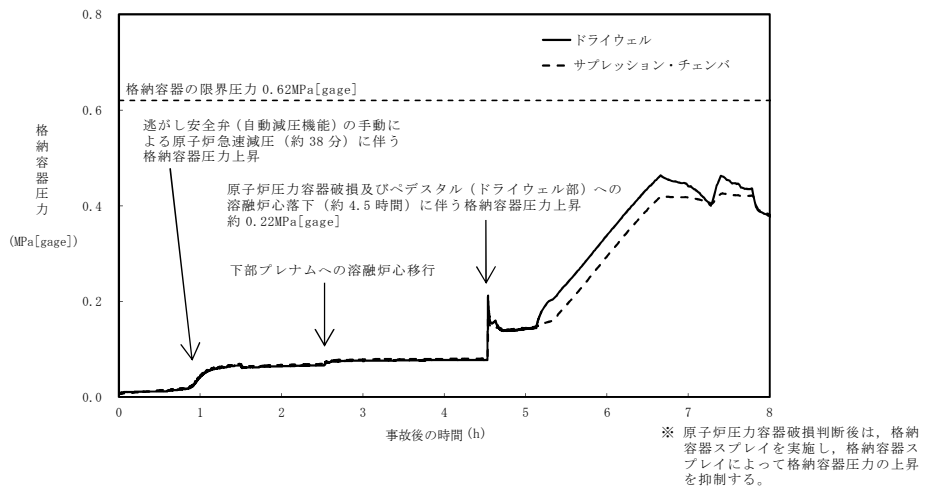
また、BWR5，Mark-II型格納容器の場合についても、エントレインメント係数の圧力スパイクに対する感度は小さく、その不確かさが有効性評価の結果に与える影響は小さいことを確認した。

第1表 解析条件のまとめ

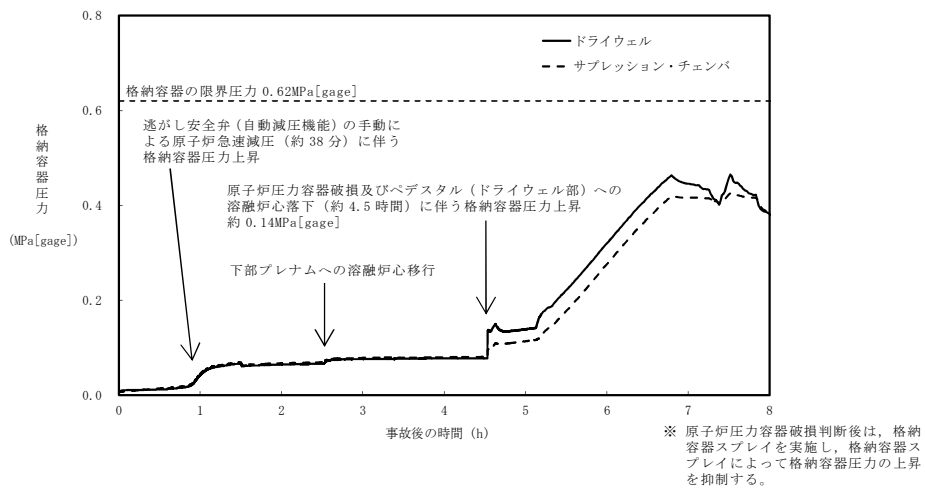
| 条件 | ベースケース | 感度解析ケース | |
|-------------|--------------------|-------------------|-------------------|
| エントレインメント係数 | □ | □ | □ |
| 設定根拠 | MAAP 推奨値の ノミナル値 | MAAP 推奨範囲の 最小値 | MAAP 推奨範囲の 最大値 |

第2表 解析結果のまとめ

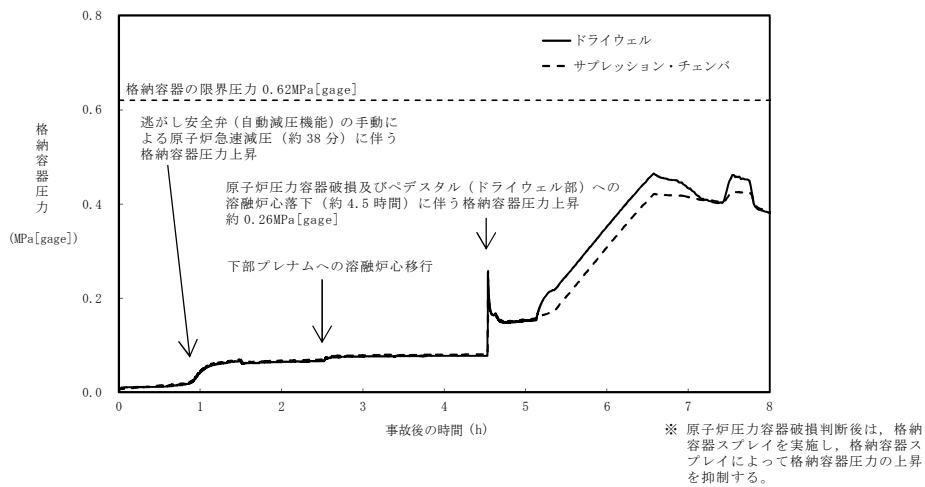
| 事象進展 | ベースケース | 感度解析ケース (最小値) | 感度解析ケース (最大値) |
|--------------------|-----------------|------------------|------------------|
| 炉心損傷 | 約 35 分 | 約 35 分 | 約 35 分 |
| 炉心下部プレナムへの溶融炉心の移行 | 約 2.5 時間 | 約 2.5 時間 | 約 2.5 時間 |
| RPV 破損 | 約 4.5 時間 | 約 4.5 時間 | 約 4.5 時間 |
| 溶融炉心落下によるPCV ピーク圧力 | 約 0.22MPa[gage] | 約 0.14MPa[gage] | 約 0.26MPa[gage] |



第1図 格納容器圧力の推移（ベースケース）



第2図 格納容器圧力の推移（感度解析ケース（最小値））



第3図 格納容器圧力の推移（感度解析ケース（最大値））

プラント損傷状態を L O C A とした場合の圧カスパイクへの影響

1. 評価の目的

ベースケースでは、格納容器破損モード「原子炉圧力容器外の溶融燃料—冷却材相互作用」の評価事故シーケンスのプラント損傷状態として、溶融炉心の内部エネルギーの観点でより厳しいと考えられる T Q U V を選定しており、起因事象としては原子炉水位の低下の観点で最も厳しい給水流量の全喪失を設定している。

一方、起因事象として大破断 L O C A を仮定した場合、原子炉冷却材圧力バウンダリからの原子炉冷却材の放出によって格納容器圧力が上昇することに加え、原子炉圧力容器破損のタイミングが早くなり、圧カスパイクの最大値がベースケースに比べて高い値となる可能性が考えられる。

このため、解析条件のうち初期条件の不確かさとして、起因事象が大破断 L O C A の場合の圧カスパイクへの影響を確認する。

2. 評価条件

ベースケースの評価条件に対する変更点は以下のとおり。その他の評価条件は、ベースケースの評価条件と同等である。

- ・起因事象を大破断 L O C A とし、事故シーケンスを「大破断 L O C A + 高压炉心冷却失敗 + 低压炉心冷却失敗 + 損傷炉心冷却失敗 (+ F C I (ペDESTAL))」とした。
- ・起因事象を大破断 L O C A とした場合、リロケーションに伴い格納容器雰囲気温度が急激に上昇するため、これに備えた運転手順に従い、事象発生の 25 分後に代替格納容器スプレイ冷却系（常設）による格納容器冷却を $130\text{m}^3/\text{h}$ で開始し、事象発生の 90 分後に代替循環冷却系による格納容器

除熱を開始した時点で停止するものとした。

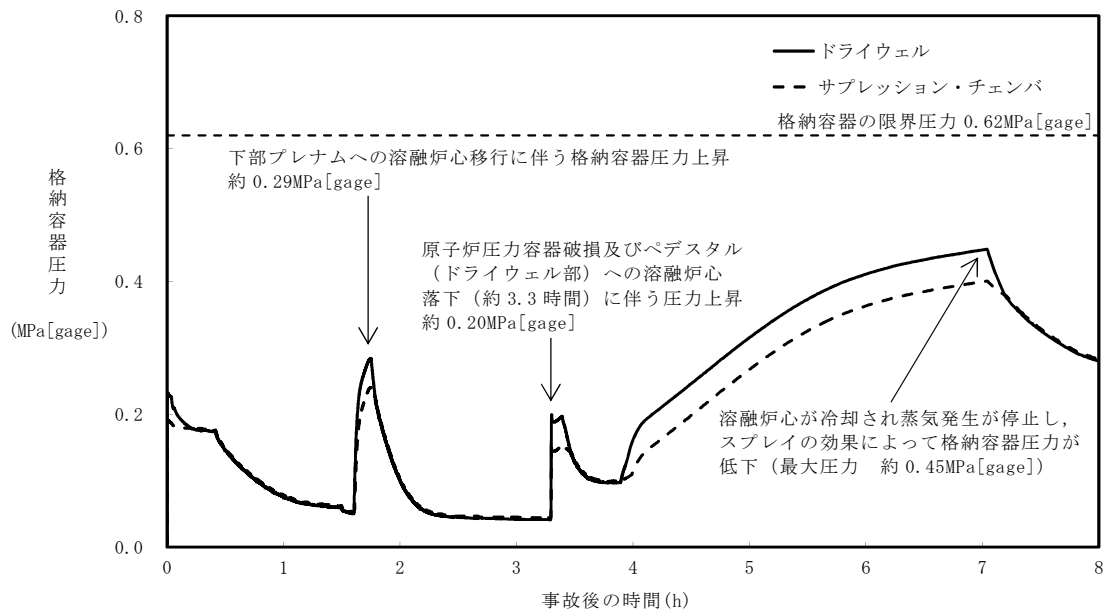
- ・リロケーション発生時には、代替循環冷却系による格納容器除熱を実施している状態でも格納容器雰囲気温度が上昇するため、格納容器雰囲気温度が 171℃に到達した時点で代替格納容器スプレイ冷却系（常設）による格納容器冷却を 300m³/h で再開し、格納容器雰囲気温度が 151℃まで低下した時点で停止するものとした。

3. 評価結果

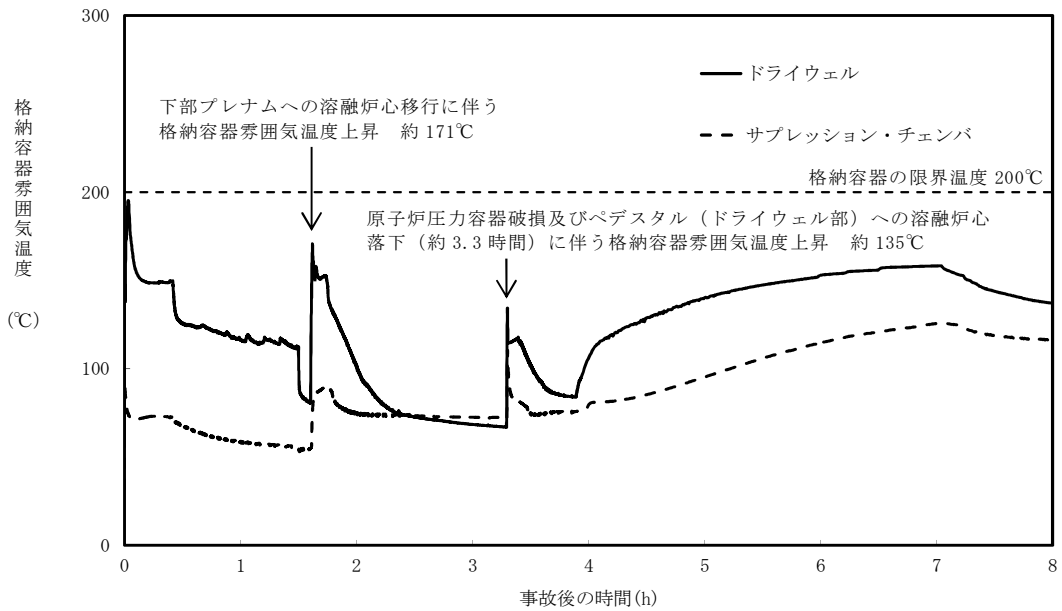
格納容器圧力の評価結果を第 1 図、格納容器雰囲気温度の評価結果を第 2 図に示す。

事象発生から約 3.3 時間後に原子炉圧力容器破損に至り、圧力スパイクのピーク値は約 0.20MPa[gage]となるが、このピーク値はベースケースの結果より低く、限界圧力 0.62MPa[gage]を下回るため、格納容器バウンダリの機能は維持されることを確認した。

なお、第 1 図及び第 2 図において、原子炉圧力容器破損時のペデスタル（ドライウェル部）の水はある程度サブクール度があるのに対し、下部プレナムへの溶融炉心移行時の原子炉圧力容器内の水はほぼ飽和状態のため、原子炉圧力容器破損時よりも下部プレナムへの溶融炉心移行時の方が蒸発量が多くなり、格納容器圧力及び雰囲気温度の上昇幅が大きくなっている。



第 1 図 格納容器圧力の推移



第 2 図 格納容器雰囲気温度の推移

3.4 水素燃焼

3.4.1 格納容器破損モードの特徴，格納容器破損防止対策

(1) 格納容器破損モード内のプラント損傷状態

格納容器破損モード「水素燃焼」に至る可能性のあるプラント損傷状態は、確率論的リスク評価の結果からは抽出されない。このため、「1.2 評価対象の整理及び評価項目の設定」に示すとおり、「水素燃焼」の観点で評価することが適切と考えられる評価事故シーケンスを選定する。

(2) 格納容器破損モードの特徴及び格納容器破損防止対策の基本的考え方

格納容器破損モード「水素燃焼」では、ジルコニウム－水反応，水の放射線分解，金属腐食，熔融炉心・コンクリート相互作用等によって発生する水素によって格納容器内の水素濃度が上昇し，水の放射線分解によって発生する酸素によって格納容器内の酸素濃度が上昇する。このため，緩和措置がとられない場合には，ジルコニウム－水反応等によって発生する水素と格納容器内の酸素が反応することによって激しい燃焼が生じ，格納容器の破損に至る。

したがって，本格納容器破損モードでは，窒素置換による格納容器内雰囲気の不活性化に加え，可搬型窒素供給装置による格納容器内への窒素注入によって，格納容器内の水素濃度及び酸素濃度が可燃領域に至ることを防止することにより，格納容器の破損を防止する。また，熔融炉心・コンクリート相互作用による水素発生に対しては「3.5 熔融炉心・コンクリート相互作用」のとおり，コリウムシールドの設置及びペDESTAL（ドライウエル部）への注水によって水素発生を抑制する。

なお，重大事故が発生した場合，ジルコニウム－水反応によって水素濃度は 13vol%^{*}（ドライ条件）を大きく上回る。このため，本格納容器破

損モードによる格納容器の破損を防止する上では、水素濃度及び酸素濃度が可燃領域に至ることを防止することが重要であるが、特に酸素濃度が可燃領域に至ることを防止することが重要である。また、水の放射線分解、金属腐食、熔融炉心・コンクリート相互作用等による水素発生の影響は小さい。

※ 格納容器内の水素濃度がドライ条件に換算して 13vol%以下又は酸素濃度が 5vol%以下であれば爆轟を防止できると判断される。

(3) 格納容器破損防止対策

格納容器破損モード「水素燃焼」で想定される事故シーケンスに対して、窒素置換による格納容器内雰囲気の不活性化に加え、可搬型窒素供給装置による格納容器内への窒素注入により、水素燃焼による格納容器の破損を防止する。

「3.4.2 格納容器破損防止対策の有効性評価」に示すとおり、格納容器破損モード「水素燃焼」において評価対象とした事故シーケンスは、「3.1 雰囲気圧力・温度による静的負荷（格納容器過圧・過温破損）」のうち、「3.1.2 代替循環冷却系を使用する場合」と同じであることから、格納容器破損防止対策は「3.1.2.1 格納容器破損防止対策」と同じである。

3.4.2 格納容器破損防止対策の有効性評価

(1) 有効性評価の方法

本格納容器破損モードを評価する上で選定した評価事故シーケンスは、「1.2 評価対象の整理及び評価項目の設定」に示すとおり、酸素濃度が他のプラント損傷状態よりも相対的に高くなる可能性が考えられ、炉心損傷を防止できない事故シーケンスとして抽出されている「大破断 L O C A +

高圧炉心冷却失敗＋低圧炉心冷却失敗」である。

なお、本評価事故シーケンスにおいては、電源の復旧、注水機能の確保等、必要となる事故対処設備が多く、格納容器への注水・除熱を実施するまでの対応時間を厳しく評価する観点から、全交流動力電源喪失の重畳を考慮する。

この事故シーケンスは、「3.1 雰囲気圧力・温度による静的負荷（格納容器過圧・過温破損）」の評価事故シーケンスと同じであることから、本格納容器破損モードの評価事故シーケンスは、「3.1 雰囲気圧力・温度による静的負荷（格納容器過圧・過温破損）」のうち、「3.1.2 代替循環冷却系を使用する場合」と同じ評価事故シーケンスとした。また、評価事故シーケンスを「3.1.3 代替循環冷却系を使用できない場合」の評価事故シーケンスとしない理由は、「3.1.3 代替循環冷却系を使用できない場合」では格納容器圧力逃がし装置に期待することで、格納容器内の気体が排出され、水素及び酸素の絶対量が減少し、水素及び酸素の分圧が低下するとともに、サブプレッション・チェンバのプール水の減圧沸騰等によって発生する水蒸気とともに格納容器外に排出され続けることで、水素及び酸素の分圧並びに水素濃度及び酸素濃度が低く維持され、格納容器内での水素燃焼の可能性が無視できる状態となるためである。

本評価事故シーケンスでは、炉心における崩壊熱、燃料棒内温度変化、燃料棒表面熱伝達、燃料被覆管酸化、燃料被覆管変形、沸騰・ボイド率変化及び気液分離（水位変化）・対向流、原子炉圧力容器におけるE C C S注水（給水系・代替注水設備含む）、炉心損傷後の原子炉圧力容器におけるリロケーション、構造材との熱伝達、放射線水分解等による水素・酸素発生及び原子炉圧力容器内F P挙動、格納容器における格納容器各領域間の流動、サブプレッション・プール冷却、スプレー冷却及び放射線水分解等

による水素・酸素発生並びに炉心損傷後の格納容器における格納容器内F P挙動が重要現象となる。よって、これらの現象を適切に評価することが可能であり、原子炉圧力容器内及び格納容器内の熱水力モデルを備え、かつ、炉心損傷後のシビアアクシデント特有の熔融炉心挙動に関するモデルを有するシビアアクシデント総合解析コードMAAPにより格納容器圧力、格納容器雰囲気温度、格納容器内の気相濃度等の過渡応答を求める。

また、解析コード及び解析条件の不確かさの影響評価の範囲として、本評価事故シーケンスにおける運転員等操作時間に与える影響、評価項目となるパラメータに与える影響及び操作時間余裕を評価する。

(2) 有効性評価の条件

本評価事故シーケンスは、「3.1 雰囲気圧力・温度による静的負荷（格納容器過圧・過温破損）」のうち、「3.1.2 代替循環冷却系を使用する場合」と同じであることから、有効性評価の条件は「3.1.2.2(2) 有効性評価の条件」と同じである。このほかに、本評価事故シーケンスを評価する上で着目すべき主要な解析条件を第3.4-1表に示す。また、主要な解析条件について、本評価事故シーケンス特有の解析条件を以下に示す。

a. 初期条件

(a) 酸素濃度

格納容器の初期酸素濃度、水の放射線分解によって発生する水素及び酸素並びに可搬型窒素供給装置による格納容器内への窒素注入に伴い格納容器内に注入される酸素を考慮することとする。格納容器の初期酸素濃度は、運転上許容される上限の2.5vol%（ドライ条件）とする。なお、可燃性ガス濃度制御系は、重大事故時の環境下における使用を想定した設備ではないことから、考慮しない。

b. 事故条件

(a) 炉心内のジルコニウム-水反応による水素発生量

炉心内のジルコニウム-水反応による水素発生量は、解析コードM A A Pの評価結果から得られた値を用いた。これは、窒素置換による格納容器内雰囲気の不活性化によって運転中の格納容器内の酸素濃度が低く管理されていること及び解析コードM A A Pの評価結果で水素濃度が 13vol% (ドライ条件) を超えることを考慮すると、酸素濃度の上昇の観点から厳しいシーケンスとすることが適切と考えたためである。仮に全炉心内のジルコニウム量の 75%が水と反応し、水素が発生した場合、格納容器内の水素濃度が増加するため、相対的に水の放射線分解で発生する酸素の濃度は低下する。

(b) 水の放射線分解による水素及び酸素の発生割合

水の放射線分解によって発生する水素及び酸素の発生量は、解析コードM A A Pで得られる崩壊熱を基に評価する。ここで、水素及び酸素の発生割合 (G 値 (100eV 当たりの分子発生量) , 以下「G 値」という。) は、それぞれ 0.06, 0.03 とする。また、原子炉冷却材による放射線エネルギーの吸収割合は、サプレッション・プール内の核分裂生成物については、ベータ線、ガンマ線ともに 1, サプレッション・プール以外に存在する核分裂生成物についてはベータ線、ガンマ線ともに 0.1 とする。

(添付資料 3.4.1, 3.4.2)

(c) 金属腐食等による水素発生量

格納容器内の亜鉛等の反応や炉内構造物の金属腐食によって発生する水素の発生量は、ジルコニウム-水反応による水素発生量に比べて少なく、また、水素の発生は、格納容器内の水素濃度を上昇させ、酸

素濃度を低下させると考えられることから、金属腐食等による水素発生量は考慮しない。

(添付資料 3.1.2.10)

(3) 有効性評価の結果

本評価事故シーケンスは、「3.1 雰囲気圧力・温度による静的負荷（格納容器過圧・過温破損）」のうち、「3.1.2 代替循環冷却系を使用する場合」と同じであることから、有効性評価の結果は「3.1.2.2(4) 有効性評価の結果」と同じである。このほかに、本評価事故シーケンスを評価する上で着目すべき評価結果として、格納容器圧力、格納容器雰囲気温度、ドライウェル及びサプレッション・チェンバの気相濃度（ウェット条件、ドライ条件）の推移を第 3.4-1 図から第 3.4-10 図に、事象発生から 7 日間における酸素濃度の最高値と到達時間を第 3.4-2 表に示す。

a. 事象進展

事象進展は「3.1.2.2(4) a. 事象進展」と同じである。

上記の事象進展に伴い、主に炉心の露出から炉心冠水までの間に、全炉心内のジルコニウム量の約 10.1%が水と反応して水素が発生する。また、炉心冠水に伴い、事象発生から約 2.7 時間後にジルコニウム-水反応は停止する。発生した水素は原子炉圧力容器内で発生する蒸気とともに、破断口からドライウェルに流入する。また、原子炉圧力容器内及び格納容器内における核分裂生成物による水の放射線分解により水素及び酸素が発生する。代替循環冷却系による格納容器除熱の開始後は、サプレッション・チェンバ内で蒸気の凝縮が進むことに伴い、格納容器内の酸素濃度が相対的に上昇する。事象発生から約 84 時間後に、格納容器内酸素濃度が 4.0vol%（ドライ条件）に到達し、可搬型窒素供給装

置による格納容器内への窒素注入操作を実施することで、格納容器内酸素濃度の上昇が抑制される。なお、可搬型窒素供給装置による格納容器内への窒素注入は、格納容器圧力が 0.31MPa [gage] に到達した時点で停止する。

b. 評価項目等

格納容器内の水素濃度は、事象発生直後から 13vol% (ドライ条件) を上回るが、酸素濃度は、4.0vol% (ドライ条件) に到達した時点で可搬型窒素供給装置による格納容器内への窒素注入を行うことによって、酸素濃度の最高値は約 4.0vol% (ドライ条件) にとどまることから、可燃限界を下回る。

その後も水素濃度及び酸素濃度を監視し、格納容器内の水素及び酸素濃度が可燃領域に至る場合については、格納容器ベントによって、その水素濃度及び酸素濃度を低減することで、安定状態を維持できる。

本評価では、「1.2.2.2 有効性を確認するための評価項目の設定」に示す(6)の評価項目について、酸素濃度をパラメータとして対策の有効性を確認した。また、(7)の評価項目について、可燃性ガスの燃焼が生じないことを確認した。(7)の評価項目のうち、可燃性ガスの蓄積による(1)の評価項目への影響については、「3.1 雰囲気圧力・温度による静的負荷(格納容器過圧・過温破損)」のうち、「3.1.2 代替循環冷却系を使用する場合」にて評価項目を満足することを確認している。

なお、本評価は選定された評価事故シーケンスに対する、「1.2.2.2 有効性を確認するための評価項目の設定」に示す(6)の評価項目について対策の有効性を評価するものであり、ペDESTAL (ドライウェル部) に溶融炉心が落下しない場合の評価であるが、溶融炉心がペDESTAL (ドライウェル部) に落下した場合の水素発生の影響については、

「3.2 高圧溶融物放出／格納容器雰囲気直接加熱」において、
「1.2.2.2 有効性を確認するための評価項目の設定」に示す(6)及び(7)
の評価項目について対策の有効性を確認できる。

(添付資料 3.4.3)

3.4.3 解析コード及び解析条件の不確かさの影響評価

本評価事故シーケンスは、「3.1 雰囲気圧力・温度による静的負荷（格納容器過圧・過温破損）」のうち、「3.1.2 代替循環冷却系を使用する場合」と同じであることから、解析コード及び解析条件の不確かさの影響評価は「3.1.2.3 解析コード及び解析条件の不確かさの影響評価」と同様である。よって以下では、格納容器破損モード「水素燃焼」を評価する上で着目すべき不確かさの影響評価結果を示す。

(1) 解析コードにおける重要現象の不確かさの影響評価

本評価事故シーケンスにおける、解析コードにおける重要現象の不確かさの影響評価は、「3.1.2.3(1) 解析コードにおける重要現象の不確かさの影響評価」と同様である。

(2) 解析条件の不確かさの影響評価

a. 初期条件、事故条件及び重大事故等対策に関連する機器条件

初期条件、事故条件及び重大事故等対策に関連する機器条件は、「3.1.2.3(2) a. 初期条件、事故条件及び重大事故等対策に関連する機器条件」と同様であるが、本評価事故シーケンスを評価する上で、事象進展に有意な影響を与えると考えられる項目に関する影響評価の結果を以下に示す。

(a) 運転員等操作時間に与える影響

初期条件の酸素濃度は、解析条件の 2.5vol%（ドライ条件）に対して最確条件は約 1vol%（ドライ条件）から約 2vol%（ドライ条件）であり、解析条件の不確かさとして、最確条件とした場合は、初期酸素濃度が低くなるため、本評価事故シーケンスにおける格納容器内の酸素濃度推移が低く抑えられ、可搬型窒素供給装置による格納容器内への窒素注入操作の開始時間は遅くなることから、運転員等操作時間に対する余裕は大きくなる。

事故条件の炉心内のジルコニウム-水反応による水素発生量は、解析条件の全炉心内のジルコニウム量の約 10.1%が水と反応して発生する水素量に対して、最確条件は事象進展に依存するものであり、解析条件の不確かさとして、最確条件とした場合は、水素発生量の変動する可能性があるが、操作手順（可搬型窒素供給装置による格納容器内の窒素注入操作を実施すること）に変わりはないことから、運転員等操作時間に与える影響は小さい。

事故条件の金属腐食等による水素発生量は、最確条件とした場合は、水素発生量が増加し、本評価事故シーケンスにおける格納容器内の酸素濃度推移が低く抑えられ、可搬型窒素供給装置による格納容器内への窒素注入操作の開始時間は遅くなることから、運転員等操作時間に対する余裕は大きくなる。

事故条件の水の放射線分解によるG値は、解析条件の水素：0.06、酸素：0.03 に対して最確条件は同じであるが、G値の不確かさにより水の放射線分解による酸素発生量が大幅に増加する場合、格納容器内の酸素濃度が可燃領域又は爆轟領域となる可能性がある。その場合には、格納容器圧力逃がし装置を使用し、格納容器内の気体を排出す

る必要がある。なお、格納容器圧力逃がし装置に係る運転員等の操作については、「3.1.3 代替循環冷却系を使用できない場合」において、成立性を確認している。

(添付資料 3.4.4, 3.4.5)

(b) 評価項目となるパラメータに与える影響

初期条件の酸素濃度は、解析条件の 2.5vol% (ドライ条件) に対して最確条件は約 1vol% (ドライ条件) から約 2vol% (ドライ条件) であり、解析条件の不確かさとして、最確条件とした場合は、初期酸素濃度が低くなるため、本評価事故シーケンスにおける格納容器内の酸素濃度推移が低く抑えられることから、評価項目となるパラメータに対する余裕は大きくなる。

事故条件の炉心内のジルコニウム-水反応による水素発生量は、解析条件の全炉心内のジルコニウム量の約 10.1% が水と反応して発生する水素量に対して、最確条件は事象進展に依存するものであり、解析条件の不確かさとして、最確条件とした場合は、水素発生量が変動する可能性がある。炉心内のジルコニウム-水反応による水素発生量は、運転員等操作である低圧代替注水系 (常設) による原子炉注水の操作開始時間に依存して変動するが、低圧代替注水系 (常設) による原子炉注水の操作開始時間については、「3.1.2.3(2) b. 操作条件」にて解析上の操作開始時間と実態の操作開始時間はほぼ同等と評価しており、炉心内のジルコニウム-水反応による水素発生量に与える影響は小さい。仮に低圧代替注水系 (常設) による原子炉注水の操作開始が大幅に早まった場合、第 3.4-11 図及び第 3.4-12 図に示すとおり、全炉心内のジルコニウム量の約 15.3% が水と反応し、炉心内のジルコニウム-水反応による水素発生量は 5 割程度増加するが、酸素

濃度が 4.0vol%（ドライ条件）に到達した時点で可搬型窒素供給装置を用いた格納容器内への窒素注入操作を開始するため、酸素濃度の最高値は約 4.0vol%（ドライ条件）であり、可燃限界を下回る。また、本評価における酸素濃度と同等の値であることから、評価項目となるパラメータに与える影響は小さい。また、仮に低圧代替注水系（常設）による原子炉注水の操作開始が遅れた場合、第 3.4-13 図及び第 3.4-14 図に示すとおり、全炉心内のジルコニウム量の約 7.6% が水と反応し、炉心内のジルコニウム-水反応による水素発生量は 1 割程度減少するが、酸素濃度が 4.0vol%（ドライ条件）に到達した時点で可搬型窒素供給装置を用いた格納容器内への窒素注入操作を開始するため、酸素濃度の最高値は約 4.0vol%（ドライ条件）であり、可燃限界を下回る。また、本評価における酸素濃度と同等の値であることから、評価項目となるパラメータに与える影響は小さい。

事故条件の金属腐食等による水素発生量は、最確条件とした場合は、水素発生量が増加するため、本評価事故シーケンスにおける格納容器内の酸素濃度推移が低く抑えられることから、評価項目となるパラメータに対する余裕は大きくなる。

事故条件の水の放射線分解による G 値は、解析条件の水素：0.06、酸素：0.03 に対して最確条件は同じであるが、G 値の不確かさにより水の放射線分解による酸素発生量が大幅に増加する場合、格納容器内の酸素濃度が可燃領域又は爆轟領域となる可能性がある。その場合には、格納容器圧力逃がし装置を使用し、格納容器内の気体を排出することが可能であるため、評価項目となるパラメータに与える影響はない。

G 値の不確かさにより水の放射線分解による酸素発生量が大幅に増

加する場合について、設計基準事故対処設備である可燃性ガス濃度制御系の性能評価に用いているG値（沸騰状態の場合、水素：0.4，酸素：0.2，非沸騰状態の場合、水素：0.25，酸素：0.125）を使用した感度解析を実施した。第3.4-15図から第3.4-17図に示すとおり、格納容器内の酸素濃度は事象発生から約21時間で4.0vol%（ドライ条件）に到達するため、可搬型窒素供給装置による格納容器内への窒素注入を開始し、格納容器圧力が0.31MPa [gage] 到達により窒素注入を停止する。酸素濃度は再度上昇し、酸素濃度が4.0vol%（ドライ条件）に到達するため窒素注入を再開するが、格納容器圧力が0.465MPa [gage] に到達するため窒素注入を停止する。その後も酸素濃度が上昇することで、格納容器内の酸素濃度は、事象発生から約122時間で4.3vol%（ドライ条件）に到達するが、格納容器圧力逃がし装置を用いた格納容器内の気体の排出操作には十分な時間余裕がある。4.3vol%（ドライ条件）到達時点で格納容器内の気体の排出操作を実施すると、水蒸気とともに非凝縮性ガスが格納容器外に押し出され、また、格納容器内は、減圧沸騰による原子炉冷却材の蒸発によって発生する水蒸気で満たされるため、格納容器内の水素濃度及び酸素濃度はほぼ0vol%（ウェット条件）まで低下する。さらに、可搬型窒素供給装置による格納容器内への窒素注入操作により、酸素濃度は低下傾向となり可燃限界である5vol%（ドライ条件）に到達しないため、水素燃焼が発生することはない。

格納容器圧力逃がし装置による対応が生じる場合、その対応フローは「3.1 雰囲気圧力・温度による静的負荷（格納容器過圧・過温破損）」のうち、「3.1.3 代替循環冷却系を使用できない場合」と同じであり、格納容器圧力逃がし装置の操作が必要となる時間は、

「3.1.3 代替循環冷却系を使用できない場合」よりも、本感度解析による評価結果の方が遅いことから、水素燃焼を防止する観点での事故対応は十分に可能となる。大気中へのCs-137の総放出量の観点でも、本感度解析による評価結果の方が、事象発生から格納容器内の気体の排出操作までの時間が長いことから、「3.1.3 代替循環冷却系を使用できない場合」の評価結果である約3.7TBqを超えることはなく、評価項目である100TBqを十分に下回る。

(添付資料 3.4.4, 3.4.5, 3.4.6)

b. 操作条件

本評価事故シーケンスにおける操作条件は、「3.1.2.3(2) b. 操作条件」と同様である。

(3) 操作時間余裕の把握

本評価事故シーケンスにおける操作時間余裕の把握は「3.1.2.3(3) 操作時間余裕の把握」と同様である。

(4) まとめ

解析コード及び解析条件の不確かさの影響評価の範囲として、運転員等操作時間に与える影響、評価項目となるパラメータに与える影響及び操作時間余裕を確認した。その結果、解析コード及び解析条件の不確かさが運転員等操作時間に与える影響等を考慮した場合においても、評価項目となるパラメータに与える影響は小さい。このほか、評価項目となるパラメータに対して、対策の有効性が確認できる範囲内において、操作時間には時間余裕がある。

3.4.4 必要な要員及び資源の評価

本評価事故シーケンスは、「3.1 雰囲気圧力・温度による静的負荷（格納容器過圧・過温破損）」のうち、「3.1.2 代替循環冷却系を使用する場合」と同じであることから、必要な要員及び資源の評価は「3.1.2.4 必要な要員及び資源の評価」と同じである。

3.4.5 結 論

格納容器破損モード「水素燃焼」では、ジルコニウム-水反応等によって発生した水素と、水の放射線分解によって発生した酸素が格納容器内で反応することによって激しい燃焼が生じ、格納容器の破損に至ることが特徴である。格納容器破損モード「水素燃焼」に対する格納容器破損防止対策としては、窒素置換による格納容器内雰囲気の不活性化に加え、可搬型窒素供給装置による格納容器内への窒素注入手段を整備している。

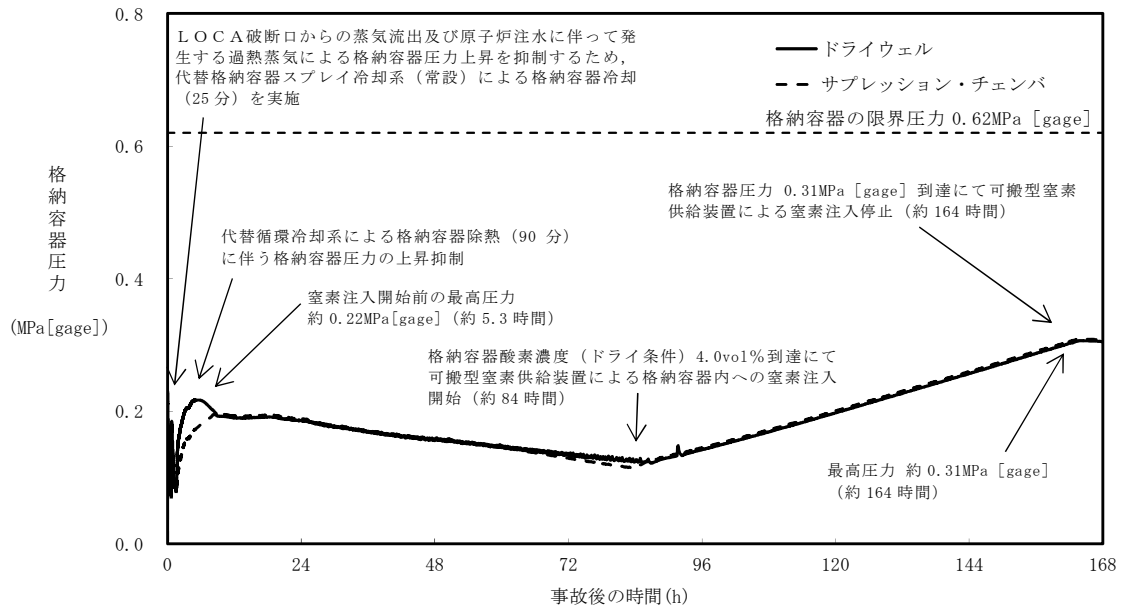
格納容器破損モード「水素燃焼」では、酸素濃度が他のプラント損傷状態よりも相対的に高くなる可能性が考えられ、炉心損傷を防止できない事故シーケンスとして抽出されている評価事故シーケンス「大破断LOCA+高圧炉心冷却失敗+低圧炉心冷却失敗」について、有効性評価を行った。

上記の場合においても、窒素置換による格納容器内雰囲気の不活性化に加え、可搬型窒素供給装置による格納容器内への窒素注入により、酸素濃度が可燃限界である5vol%（ドライ条件）以下となることから、水素燃焼に至ることはなく、評価項目を満足している。また、安定状態を維持できる。

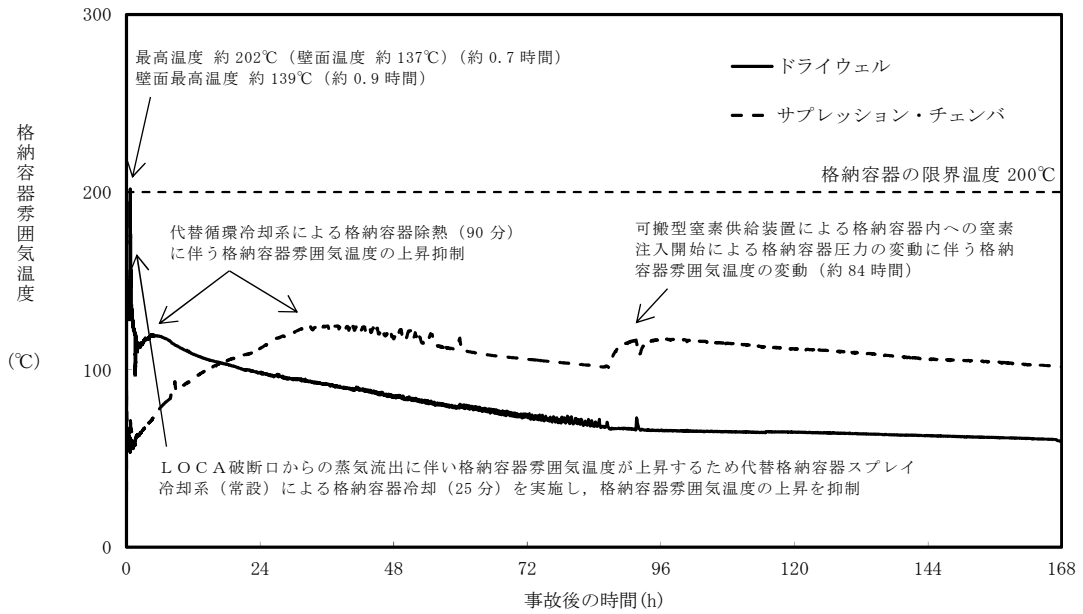
解析コード及び解析条件の不確かさについて確認した結果、運転員等操作時間に与える影響及び評価項目となるパラメータに与える影響は小さい。また、対策の有効性が確認できる範囲内において、操作時間余裕について確認した結果、操作が遅れた場合でも一定の余裕がある。

重大事故等対策時に必要な要員は，災害対策要員にて確保可能である。また，必要な水源，燃料及び電源を供給可能である。

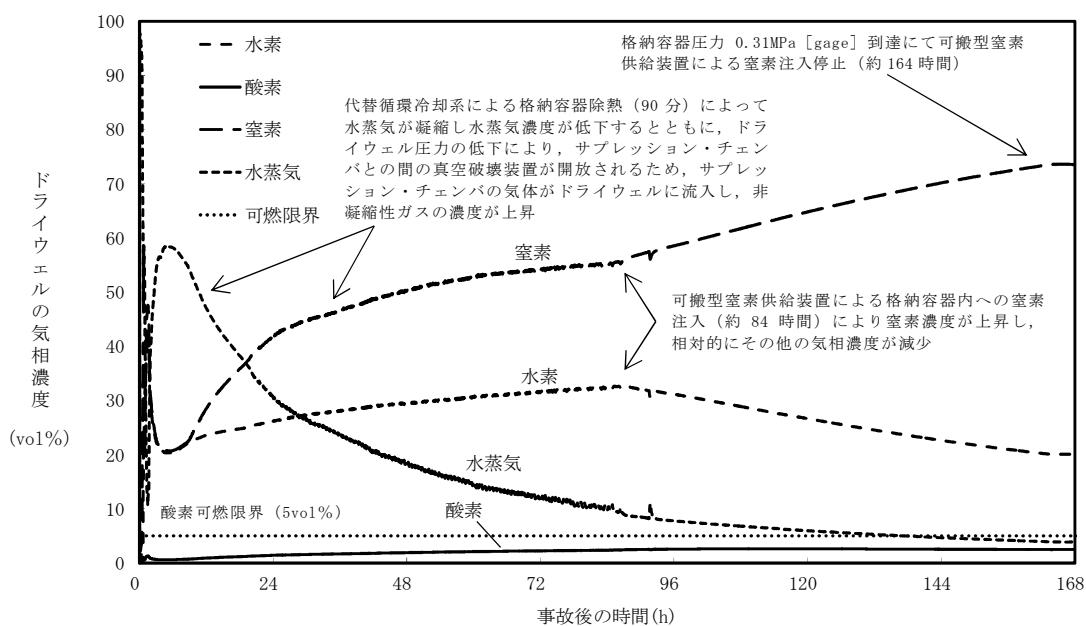
以上のことから，窒素置換による格納容器内雰囲気の不活性化，可搬型窒素供給装置による格納容器内への窒素注入等の格納容器破損防止対策は，選定した評価事故シーケンスに対して有効であることが確認でき，格納容器破損モード「水素燃焼」に対して有効である。



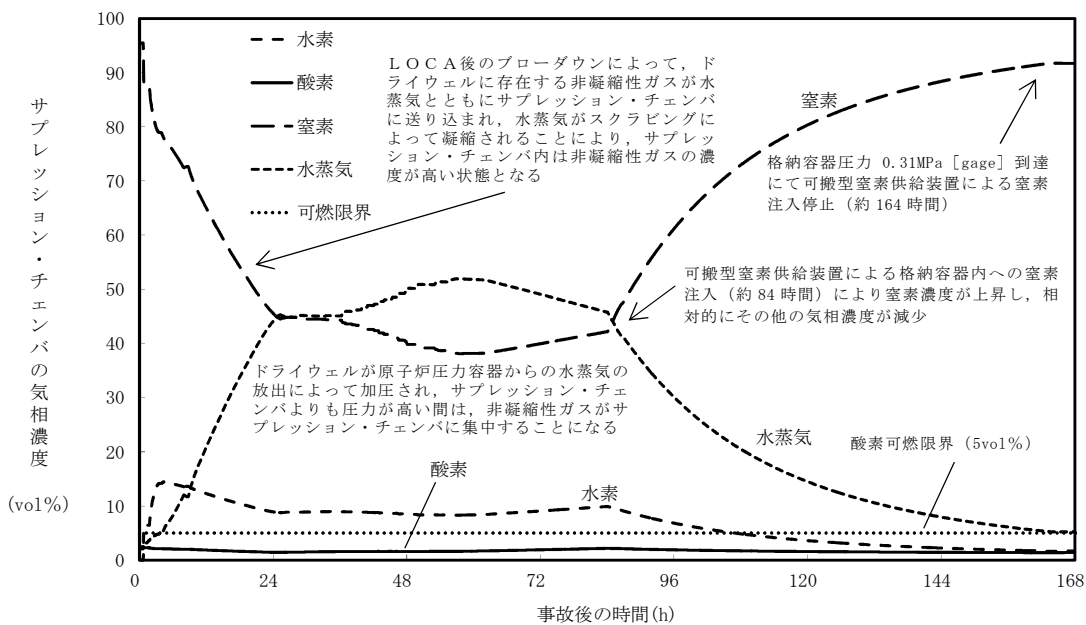
第 3.4-1 図 格納容器圧力の推移



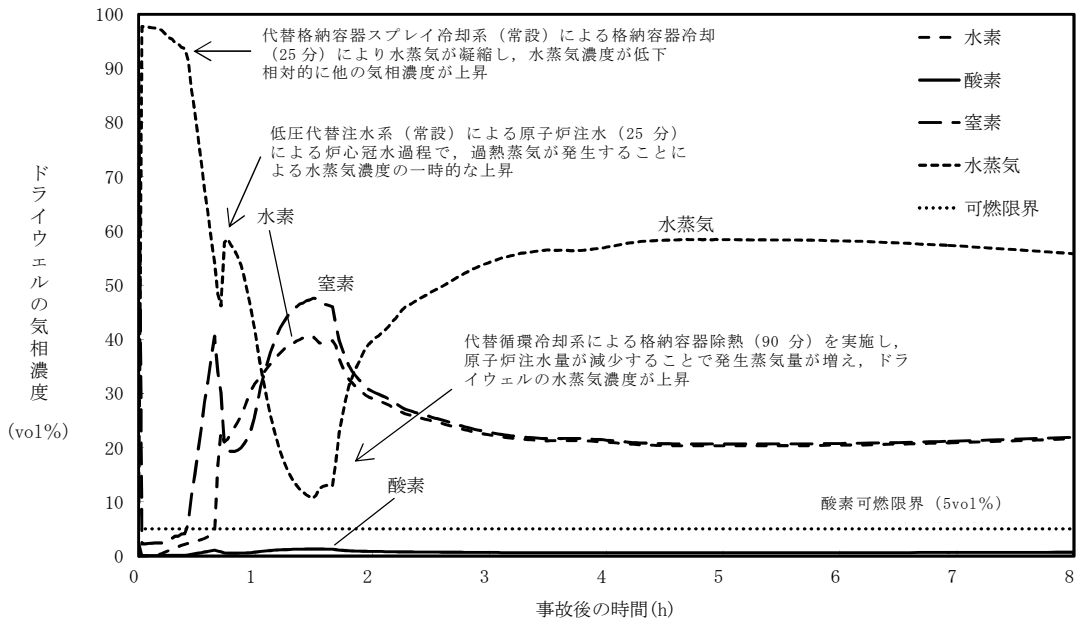
第 3.4-2 図 格納容器雰囲気温度の推移



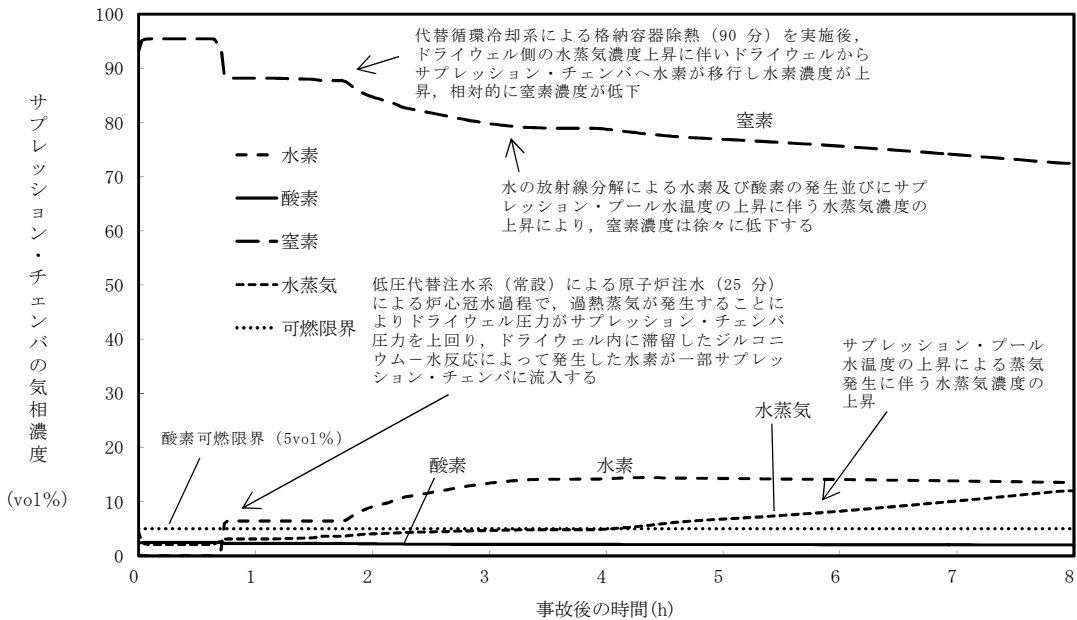
第 3.4-3 図 ドライウエルの気相濃度の推移 (ウエット条件)



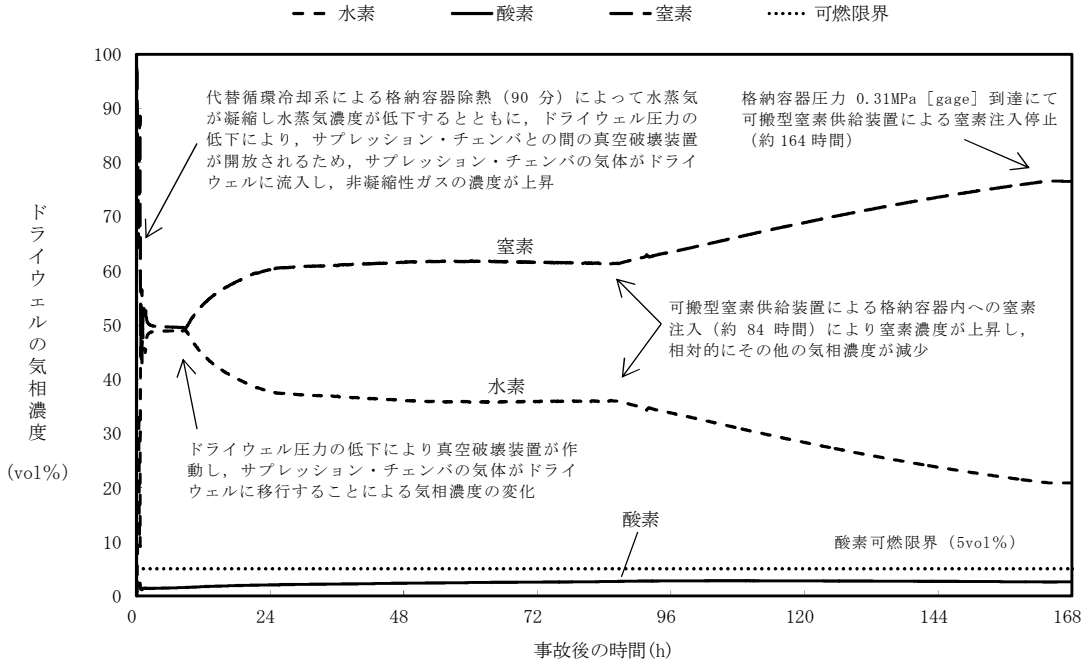
第 3.4-4 図 サプレッション・チェンバの気相濃度の推移 (ウエット条件)



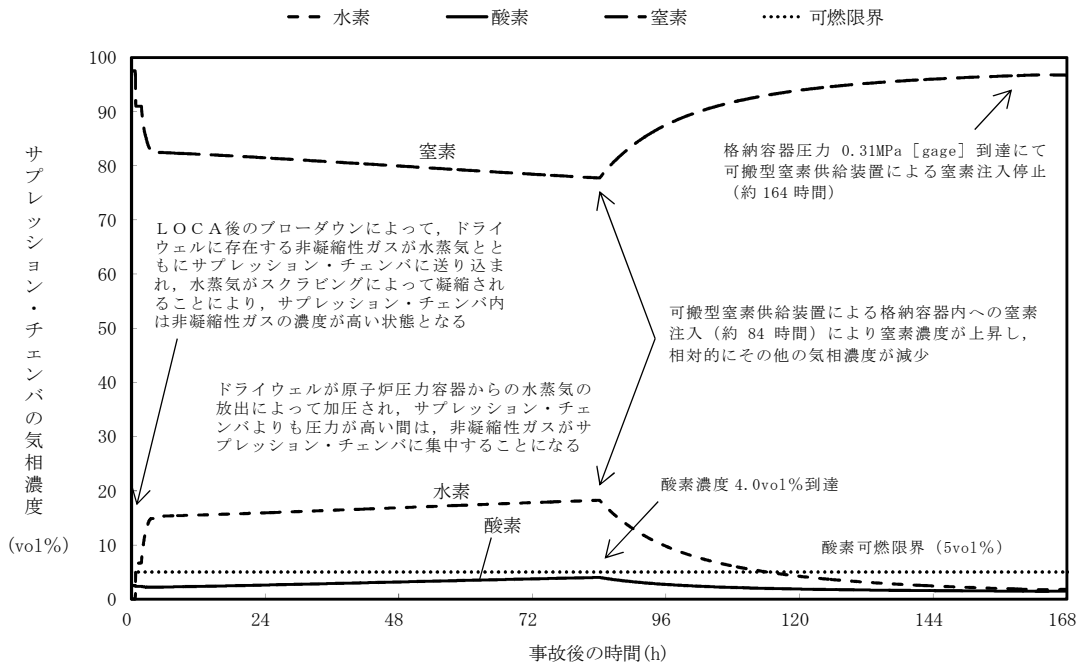
第 3.4-5 図 ドライウエルの気相濃度の推移 (ウェット条件)
(~8 時間)



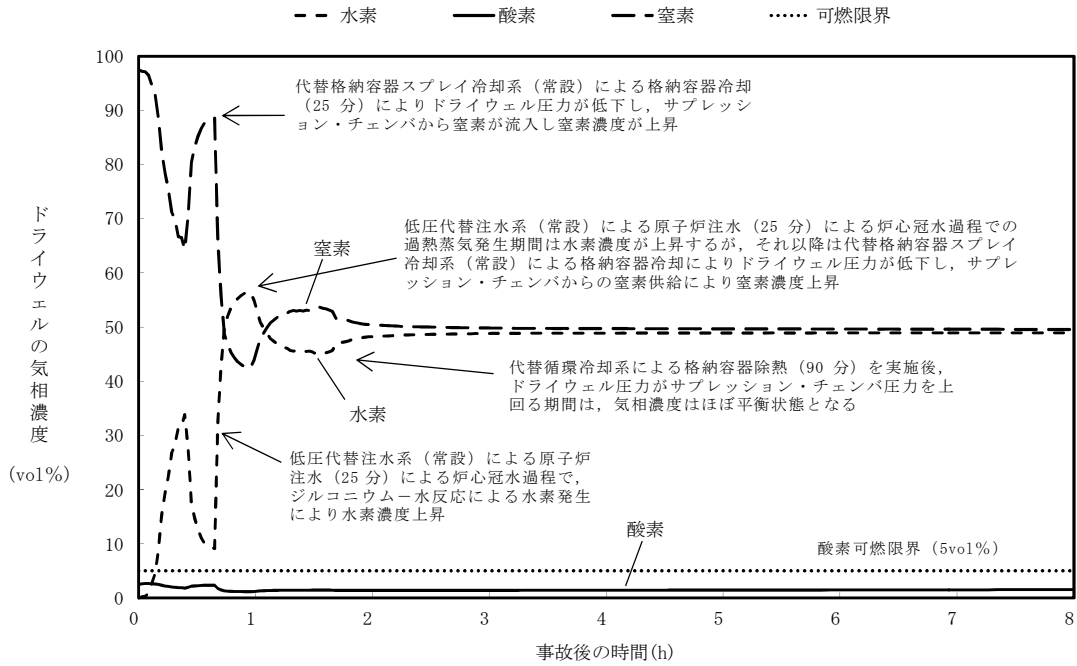
第 3.4-6 図 サプレッション・チェンバの気相濃度の推移
(ウェット条件) (~8 時間)



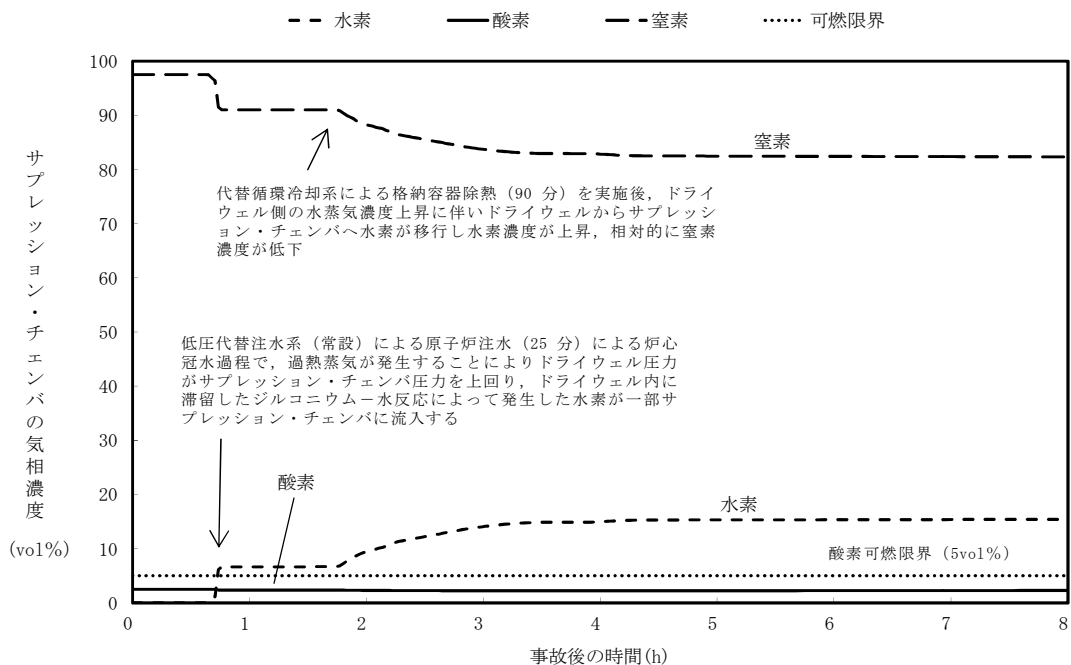
第 3.4-7 図 ドライウエルの気相濃度の推移 (ドライ条件)



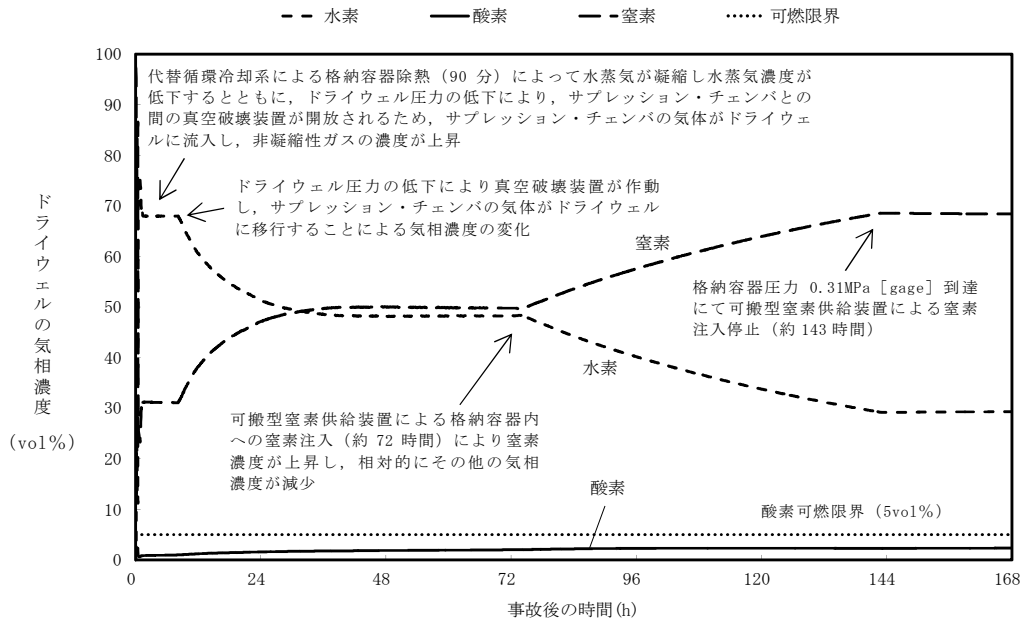
第 3.4-8 図 サプレッション・チェンバの気相濃度の推移 (ドライ条件)



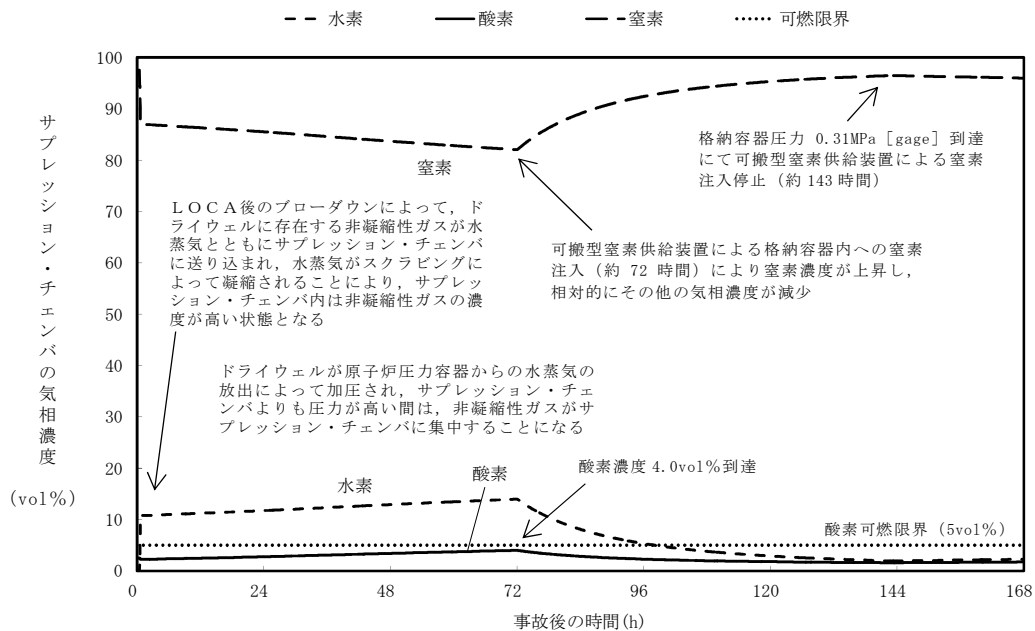
第 3.4-9 図 ドライウエルの気相濃度の推移 (ドライ条件)
(~8 時間)



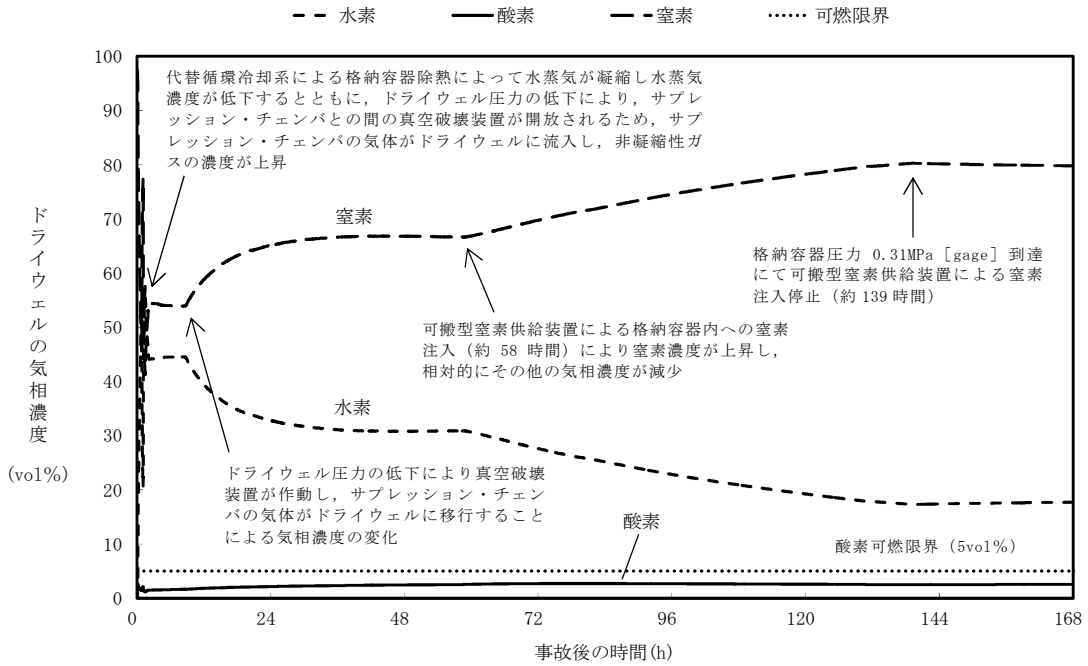
第 3.4-10 図 サプレッション・チェンバの気相濃度の推移
(ドライ条件) (~8 時間)



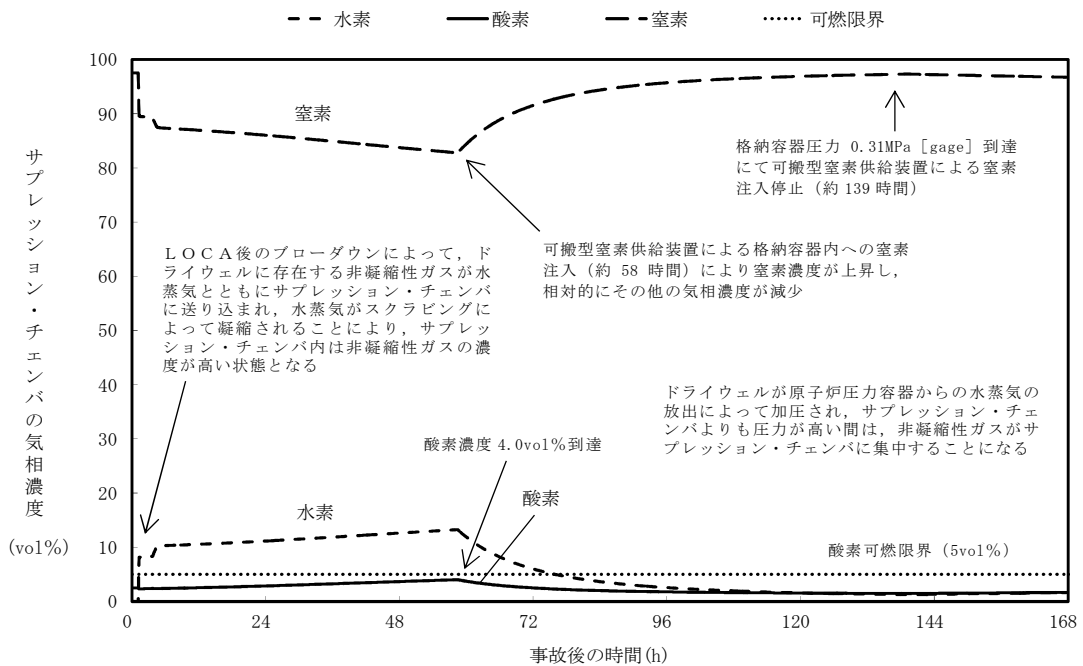
第 3.4-11 図 事象発生から 15 分後に原子炉注水を開始した場合の
ドライウエルの気相濃度の推移 (ドライ条件)



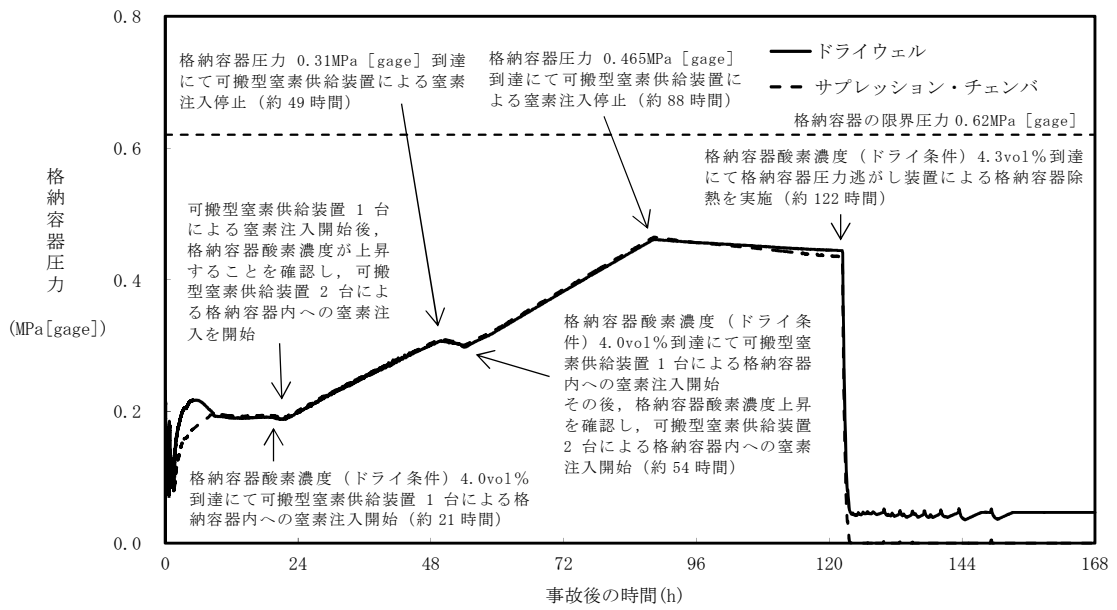
第 3.4-12 図 事象発生から 15 分後に原子炉注水を開始した場合の
サブプレッション・チェンバの気相濃度の推移 (ドライ条件)



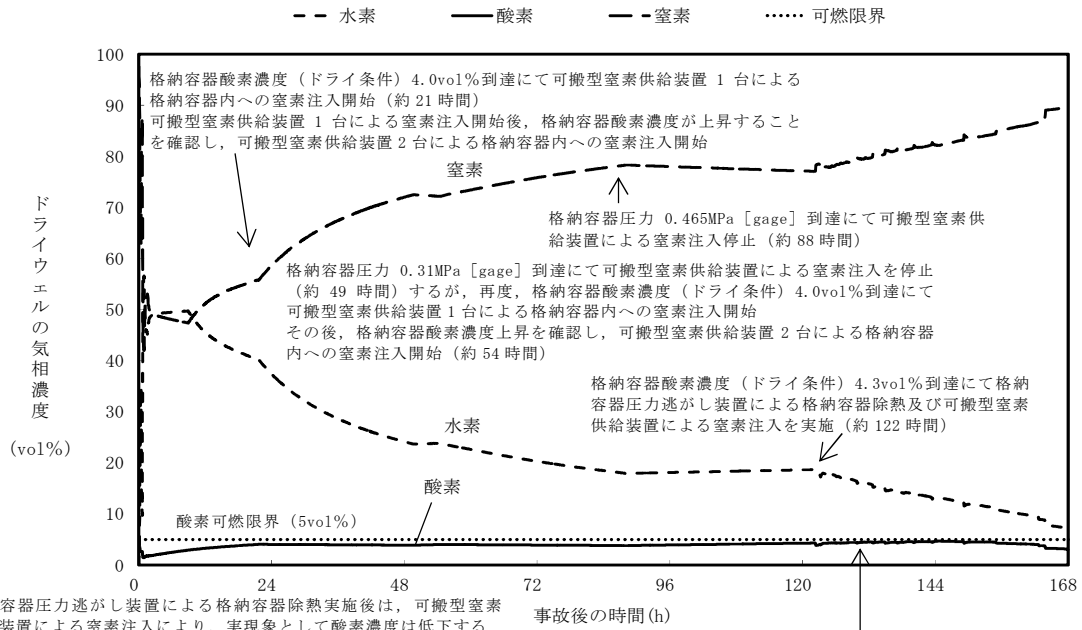
第 3.4-13 図 事象発生から 50 分後に原子炉注水を開始した場合の
ドライウエルの気相濃度の推移 (ドライ条件)



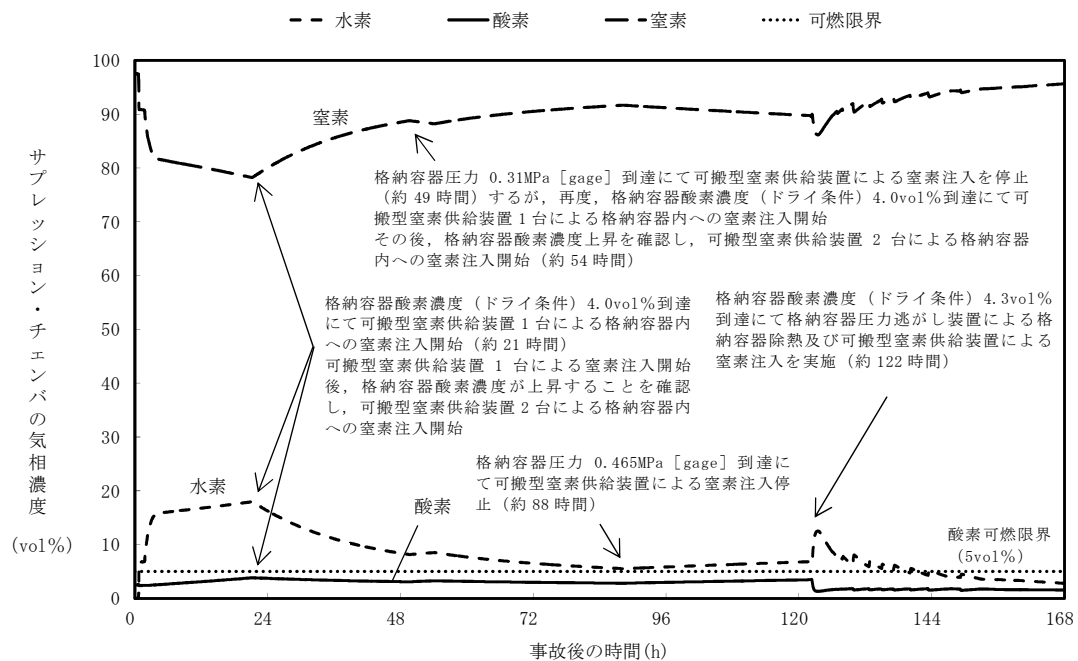
第 3.4-14 図 事象発生から 50 分後に原子炉注水を開始した場合の
サブプレッション・チェンバの気相濃度の推移 (ドライ条件)



第 3.4-15 図 G 値を設計基準事故ベースとした場合の
格納容器圧力の推移



第 3.4-16 図 G 値を設計基準事故ベースとした場合の
 ドライウエルの気相濃度の推移 (ドライ条件)



第 3.4-17 図 G 値を設計基準事故ベースとした場合の
 サプレッション・チェンバの気相濃度の推移 (ドライ条件)

第 3.4-1 表 主要解析条件 (水素燃焼)

| 項目 | | 主要解析条件 | 条件設定の考え方 |
|------|------------------------|--|---|
| 初期条件 | 酸素濃度 | 2.5vol% | 酸素濃度 4.3vol% (ドライ条件) 到達を防止可能な初期酸素濃度として設定 (運転上許容される値の上限) |
| 事故条件 | 炉心内のジルコニウム-水反応による水素発生量 | 全炉心内のジルコニウム量の約 10.1%が水と反応して発生する水素量 | 解析コードMAAPによる評価結果 |
| | 金属腐食等による水素発生量 | 考慮しない | 酸素濃度を厳しく評価するものとして設定 |
| | 水の放射線分解による水素及び酸素の発生割合 | 水素 : 0.06 分子/100eV 酸素 : 0.03 分子/100eV | 重大事故時における格納容器内の条件を考慮して設定 |

3.4-25

第 3.4-2 表 事象発生から 7 日間 (168 時間) における酸素濃度の最高値及び到達時間*

| | ウェット条件 | ドライ条件 |
|--------------|----------------------|----------------------|
| ドライウエル | 約 2.7vol% (約 115 時間) | 約 2.8vol% (約 107 時間) |
| サプレッション・チェンバ | 約 2.5vol% (約 0.4 時間) | 約 4.0vol% (約 84 時間) |

※ 全炉心内のジルコニウム量の約 10.1%が反応した場合

水の放射線分解の評価について

1. 水の放射線分解の考慮

水がガンマ線等の放射線エネルギーを吸収すると非常に短時間の間に水の放射線分解が起こり、H（水素原子）、OHラジカル、 e_{aq}^- （水和電子）、 H_2O_2 ラジカル、 H^+ （水素イオン）及び分子生成物の H_2 、 H_2O_2 （過酸化水素）を生じる。また、これらの反応と並行して以下の化学反応が生じ、 H_2 がOHラジカルと反応して水に戻る等の再結合反応が起こる。なお、酸素は過酸化水素の分解によって生成される。



格納容器破損モード「水素燃焼」における重大事故等対策の有効性評価では、水の放射線分解による水素及び酸素の生成をモデル化している。

東海第二発電所は、運転中、格納容器内が窒素で置換されている。炉心損傷に至った場合及びその後の原子炉圧力容器破損後には、ジルコニウム-水反応や溶融炉心・コンクリート相互作用等、水素については多量に放出されるメカニズムが考えられるものの、酸素に関しては水の放射線分解が支配的な生成プロセスである。水素に関しては上記の反応によって比較的短時間で可燃限界の濃度を超えることから、格納容器内の気体の濃度を可燃限界以下に維持する観点では酸素濃度を低く維持することが重要となる。

以下では、この酸素の支配的な生成プロセスである水の放射線分解について、本評価で用いた考え方を示す。

2. 水の放射線分解による水素及び酸素量の計算

水の放射線分解による水素及び酸素の生成量は以下の式（1）で算出している。

$$\Delta n = Q_{decay} \times \frac{E}{1.6 \times 10^{-19}} \times \frac{G}{100} \times \frac{1}{6.02 \times 10^{23}} \times \Delta t \quad \text{式（1）}$$

式（1）のパラメータは以下のとおり。

Δn : 水の放射線分解による水素（酸素）発生量[mo1]

Q_{decay} : 崩壊熱[W]

E : 放射線吸収割合[-]

－サプレッション・プール以外のF P

: ベータ線, ガンマ線ともに0.1

－サプレッション・プール内のF P

: ベータ線, ガンマ線ともに1

G : 実効G値[分子/100eV]

－水素 : $G(H_2) = 0.06$

－酸素 : $G(O_2) = 0.03$

Δt : タイムステップ[sec]

放射線吸収割合について、炉内については、炉心から放出される放射線が水に吸収される割合を解析によって評価した結果、約1%となったことから、これを保守的に考慮して10%とした。また、炉外のF Pについては水中に分散していることを考慮し、保守的に放射線のエネルギーの100%が水の放射線分解に寄与するものとした。^[1]

今回はベータ線及びガンマ線を考慮の対象とし、アルファ線については考慮の対象としていない。アルファ線については飛程が短いため、大部分が溶融炉心等に吸収されるものと考え、アルファ線による水の放射線分解への寄

与は無視できるものとした。また、本評価では電力共同研究（以下「電共研」という。）において求めたG値を用いているが、これはガンマ線源による照射によって得られた実験結果である。ベータ線はガンマ線に比べて飛程が短いことから熔融炉心等に吸収され易く、ガンマ線源による実験結果のG値をベータ線に対して適用することは、放射線分解に伴う水素及び酸素濃度を多く見積もる点で保守的な取扱いと考えられる。

放射線の吸収エネルギー 100eV 当たりに生成する原子・分子数をG値と呼ぶ。G値には水の放射線による分解作用のみを考慮した初期G値と、これに加えて放射線分解による生成物が再結合して水分子等に戻る化学反応の効果を考慮した実効G値がある。

照射が始まり、放射線分解による生成物が増加すると、その生成物の濃度に応じて生成物が再結合して水に戻る等の化学反応も増加するため、水素分子及び酸素分子の生成割合は照射初期から徐々に低下する。水素濃度や酸素濃度の水の吸収線量との関係の傾向は、一時的に水素濃度や酸素濃度の上昇ピークが現れるのではなく、水素濃度や酸素濃度の上昇が徐々に抑制されていく形の曲線となる。格納容器内の濃度上昇というマクロな現象を評価する観点では再結合等の化学反応の効果を含めた実効G値を用いることが適切であるとされるため、本評価では実効G値を用いる。また、実効G値には電共研の実験結果^[2]に基づく値を用いた。

3. 格納容器内の水素・酸素濃度の評価方法

放射線分解を考慮した格納容器内の水素・酸素濃度の評価方法は次のとおり。また、格納容器内の水素・酸素濃度の評価の流れを第1図に示す。

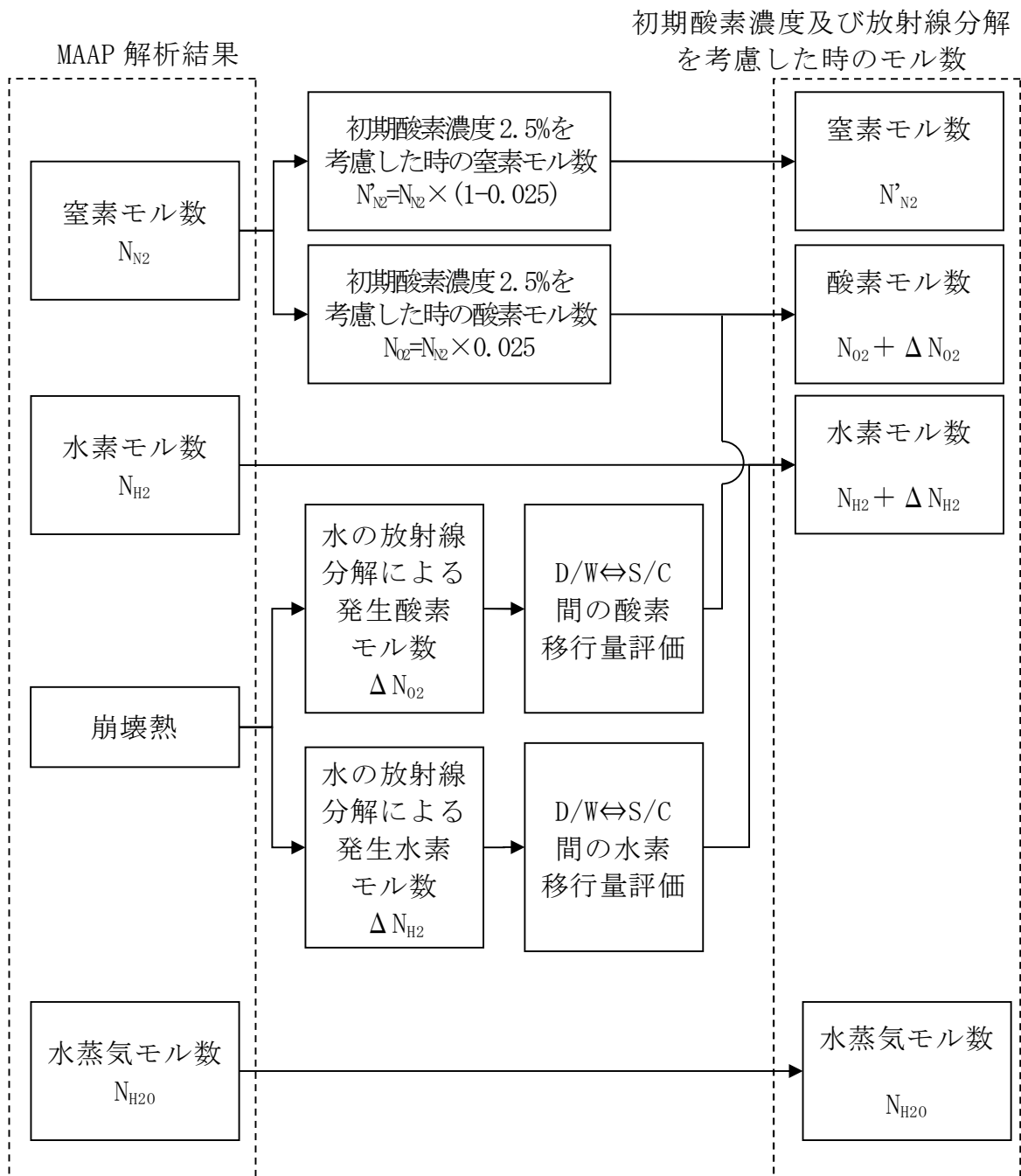
- ・ MAA P解析から得られるドライウェル及びサプレッション・チェンバの窒素モル数から、格納容器の初期酸素濃度を 2.5vol%とした時の酸素モル

数と窒素モル数を計算する。

- ・ ドライウェル及びサプレッション・チェンバにおける崩壊熱から、水の放射線分解による酸素発生量と水素発生量を計算する。
- ・ 水の放射線分解によって生成する水素及び酸素については、MAAP結果に基づいてドライウェルとサプレッション・チェンバ間のベント管を介した移行量を評価し、移行量に応じてドライウェルとサプレッション・チェンバに分配する。
- ・ 上記を重ね合わせることにより、格納容器内の気相濃度を計算する。

4. 参考文献

- [1] 「シビアアクシデントにおける可燃性ガスの挙動に関する研究」 BWR 電力共同研究，平成 12 年 3 月
- [2] 「事故時放射線分解に関する研究」 BWR 電力共同研究，昭和 63 年 3 月



第 1 図 水素・酸素濃度の評価フロー図

シビアアクシデント条件下で用いる G 値の設定について

1. これまでの許認可解析に用いた G 値と有効性評価で適用した G 値について
従来、G 値は可燃性ガス濃度制御系性能評価解析（以下「FCS 性能解析」という。）で使用しており、以前にはその値として、Regulatory Guide 1.7 (Rev. 2) ^[1] の記載に基づき $G(H_2)/G(O_2)=0.5/0.25$ が使用されていた。この値は Regulatory Guide 1.7 の前身である Safety Guide 7 (1971 年 3 月) に記載されている。当時、既に一般的知見として、水の放射線分解の短時間内の一次反応に基づく G 値（以下「初期 G 値」という。）は $G(H_2)=0.43\sim 0.45$ となることが知られており、Regulatory Guide 1.7 (Rev. 2) の G 値はこの初期 G 値を包絡するものとなっている。

しかし、この初期 G 値は水の放射線分解の一次反応に基づく値であるため、その後の二次反応、つまり水素と酸素の再結合反応を含めた最終的な水素、酸素の発生割合を示す実効的な G 値（以下「実効 G 値」という。）に比べてかなり大きい値となる。

格納容器内の可燃性ガス濃度の評価において必要となるのは、正味の発生割合を表す実効 G 値である。これに関して、電力共同研究「事故時放射線分解に関する研究」(昭和 61～62 年度) ^[2]（以下「基本実験」という。）において水の放射線分解に関する実験を実施し、可燃性ガス濃度系性能評価条件下での実効 G 値として次の結果を得た。

沸騰状態 : $G(H_2) < 0.4$, $G(O_2) < 0.2$

非沸騰状態 : $G(H_2) < 0.25$, $G(O_2) < 0.125$

この結果に基づき、東海第二発電所等の沸騰水型原子力発電所では、可燃性ガス濃度の評価 ^[3] において、沸騰状態で $G(H_2)/G(O_2)=0.4/0.2$ 、非沸騰状態で $G(H_2)/G(O_2)=0.25/0.125$ を採用している。

基本実験では、重大事故条件を想定した環境下でも実験を実施しており、実効G値として次の結果を得ている。

沸騰状態 : $G(H_2) < 0.27$, $G(O_2) \doteq 0$

非沸騰状態 : $G(H_2) < 0.06$, $G(O_2) < 0.03$

この結果に基づき、有効性評価では、水素燃焼の評価において、非沸騰状態でのG値 ($G(H_2)/G(O_2)=0.06/0.03$) を採用している。

また、電力共同研究「シビアアクシデントにおける可燃性ガスの挙動に関する研究（以下「追加実験」という。）」^[4]において、水の放射線分解に係る追加実験を行った。追加実験では、試験条件の温度、沸騰状態、水素濃度、よう素濃度の感度によるG値への影響を確認しており、基本実験の結果を用いることは妥当であることを確認している。

各評価で用いるG値について、第1表に示す。

2. 電力共同研究「事故時放射線分解に関する研究」（基本実験）

2.1 基本実験の概要

(1) 実験装置及び実験方法

基本実験では、BWRの実機事故条件を模擬した水の放射線分解実験を実施することにより、種々の事故条件下で生成される可燃性ガスの生成割合（G値）の検討を行った。

実験に使用した実験装置を第1図及び第2図に示す。非沸騰実験では15リットルの硬質ガラス製照射容器を使用。また、沸騰実験では1.8リットルのステンレス製照射容器を使用している。

実験は、照射容器内に純水を所定量注入した後、高純度アルゴン（Ar）ガスで脱気し、水素ガス、酸素ガスポンベを用いて雰囲気条件（気液相の水素、酸素初期濃度）を設定する。その後、よう素、鉄、銅等の不純物を

所定量添加し、循環ポンプで均一混合させる。沸騰実験の場合、更にマントルヒータにより加熱、沸騰させる。

全ての条件が定常状態に達した後、 Co-60 のガンマ線源に照射を開始、水の放射線分解で生成される水素、酸素濃度を溶存水素計（DH計）、溶存酸素計（DO計）及びガスクロマトグラフで測定する。水の吸収線量は、水を媒体とした標準的な換算係数を用いて評価した。

実機の事故条件を考慮して、実験ではLOCA条件、FCS性能解析条件及び重大事故条件の三種類の条件を想定し、各条件下でG値の実測を実施した。

なお、以下で示す第3図から第8図は、連続測定である液相中の濃度を除き、サンプリングにより計測された濃度測定値に基づいてフィッティングを行っている。

(2) 試験条件及び実験結果

実験結果を第2表、第3図から第8図に示す。

実験結果は、ガンマ線の吸収線量に対する液相中及び気相中の水素及び酸素濃度（絶対量）で整理している。また、ガンマ線の吸収線量とこれによる分子量の増加量から実効G値を求めている。

なお、G値とは100eVの放射線エネルギー吸収により発生する分子数であるが、水の放射線分解で生成する水素及び酸素は、水中で起こる化学反応により分子数が変化するため、ここでは、化学反応による変化（よう素等の不純物の影響）を考えに入れた値を実効G値として評価している。

a. LOCAベースの結果：第3図、第4図

非沸騰条件の場合には、液相中及び気相中の水素及び酸素濃度にほとんど変化がないことから、実効G値は0と見なし得る。

沸騰条件の場合には、水素濃度の実効G値は、照射開始初期は約 0.4 分子/100eV と高いが、その後に安定し 0.2 分子/100eV 程度になる。また、酸素濃度の場合には 0 と見なし得る。

沸騰実験で得られた実効G値は、非沸騰実験に比べガスの気相への移行速度が大きくなるため全般に大きくなる。

b. F C S 性能解析ベースの結果：第 5 図，第 6 図

非沸騰条件の場合には、得られた実効G値として水素は 0.14 分子/100eV，酸素は 0.06 分子/100eV である。

沸騰条件の場合には、照射開始初期の水素は 0.43 分子/100eV だが、その後安定し 0.36 分子/100eV 程度になる。また、酸素は 0.14 分子/100eV である。

F C S 性能解析では、沸騰条件の水素のG値として実験結果の 0.36 分子/100eV に余裕を見て 0.4 分子/100eV の一定値を用いている。

c. 重大事故ベースの結果：第 7 図，第 8 図

非沸騰条件の場合には、初期水素濃度が高いことによる抑制効果（再結合効果）によって、得られた実効G値として水素は 0.06 分子/100eV，酸素は 0.03 分子/100eV となり、F C S 性能解析ベースの約半分である。

沸騰条件の場合には、非沸騰条件の場合と同様、水素による抑制効果により実効G値は低減され、水素は 0.27 分子/100eV，酸素はほぼ 0 になる。

(3) 実験から得られた知見

以上の実験結果及び他のパラメータ実験結果からの知見を以下に示す。

- a. よう素放出のない L O C A 条件下，非沸騰状態での実効G値は水素，酸素のいずれも 0 と見なし得る。L O C A 条件下での実効G値は以下

の値となる。

沸騰状態 : $G(\text{H}_2) < 0.2$, $G(\text{O}_2) < 0.1$

- b. 多量のよう素放出と小さな金属－水反応を仮定した F C S 性能解析条件下での実効 G 値は以下の値となる。

沸騰状態 : $G(\text{H}_2) < 0.4$, $G(\text{O}_2) < 0.2$

非沸騰状態 : $G(\text{H}_2) < 0.25$, $G(\text{O}_2) < 0.125$

- c. 多量のよう素放出と大きな金属－水反応を仮定した重大事故条件下での実効 G 値は以下の値となる。上記 b. の F C S 性能解析条件下での値より小さくなる理由は、金属－水反応によって格納容器中に水素が多く存在するため、水素と酸素の再結合反応が促進されたことによるものと考えられる。

沸騰状態 : $G(\text{H}_2) < 0.27$, $G(\text{O}_2) \doteq 0$

非沸騰状態 : $G(\text{H}_2) < 0.06$, $G(\text{O}_2) < 0.03$

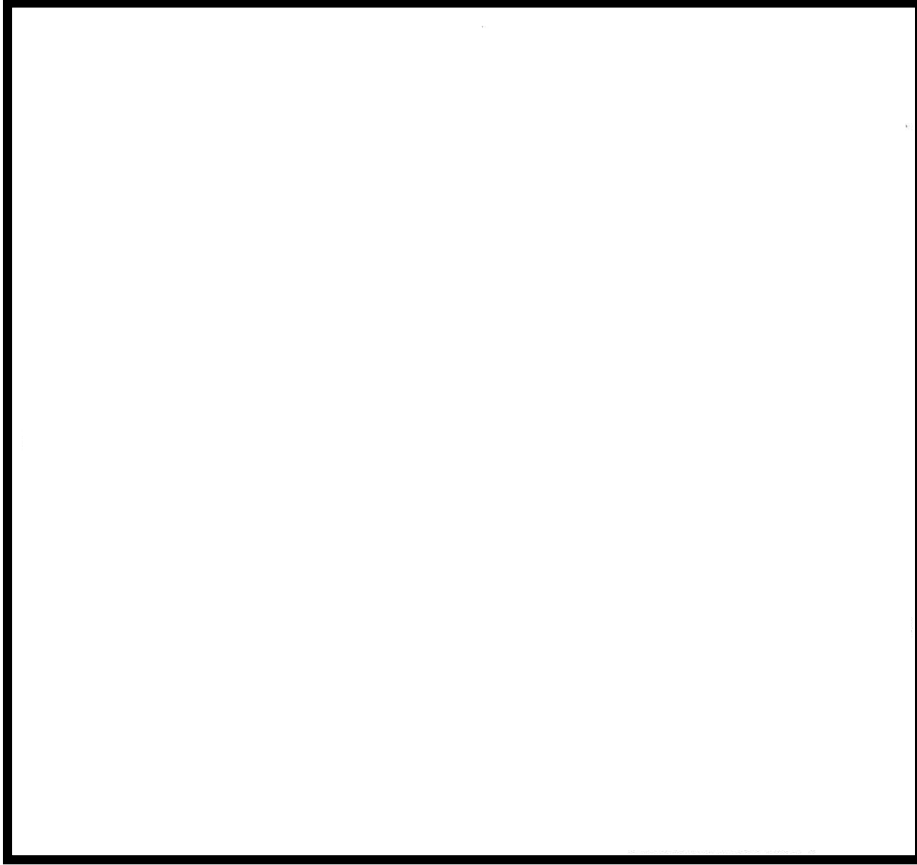
- d. a. ～ c. により、実効 G 値はよう素放出量が高くなると増加し、金属－水反応割合（水素放出量）が大きくなると減少する。
- e. 初期酸素濃度の実効 G 値に及ぼす影響は小さい。ただし、酸素濃度が高くなると若干増加する傾向がある。
- f. よう素以外の不純物（ Fe^{2+} , Cu^{2+} 等）の実効 G 値に及ぼす影響は小さく、よう素を多量に含む場合は無視し得る。また、よう素を含まない場合には実効 G 値を幾分増加させるが、 Fe^{2+} については酸素を減少させる傾向がある。

第1表 各評価で用いるG値

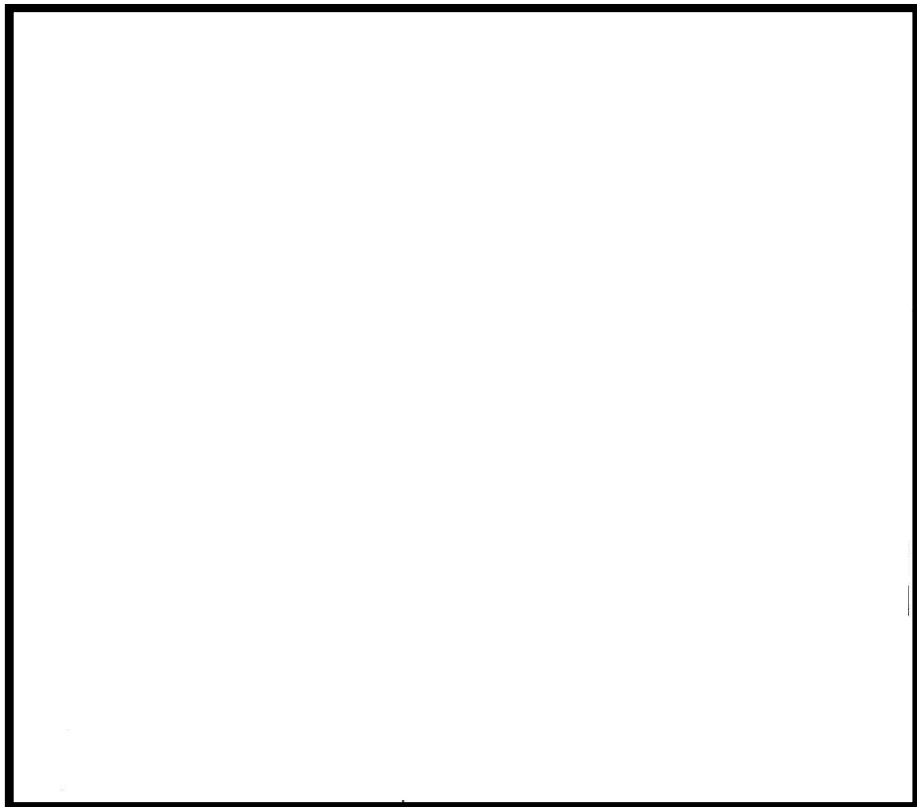
| | 可燃性ガス濃度評価 | 格納容器破損防止対策 の有効性評価 |
|-----|---|--|
| 沸騰 | G(H ₂)=0.4 G(O ₂)=0.2 | G(H ₂)=0.06 G(O ₂)=0.03 |
| 非沸騰 | G(H ₂)=0.25 G(O ₂)=0.125 | |

第2表 実験結果

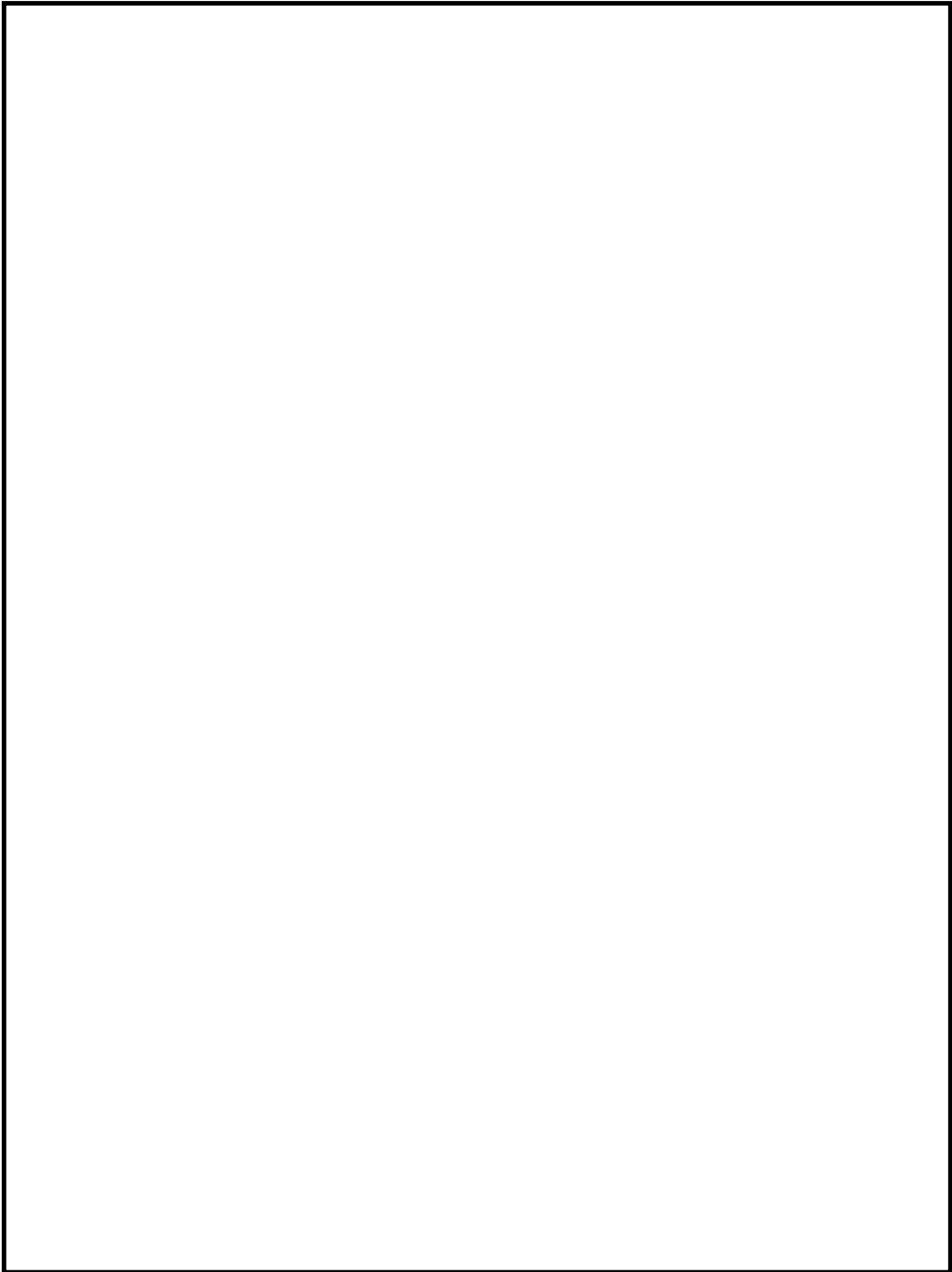
| 事故条件 | | パラメータ | | | | | 実測値 (実効G値) [分子/100eV] | | |
|---------------|-----|--------------|------------|-------------|-----------|----|--------------------------|---------------------|--|
| | | 金属-水 反応割合 | 初期酸素 濃度 | よう素 放出割合 | 不純物 添加 | 温度 | G (H ₂) | G (O ₂) | |
| LOCA 条件 | 非沸騰 | | | | | | | | |
| | 沸騰 | | | | | | | | |
| FCS性能 解析条件 | 非沸騰 | | | | | | | | |
| | 沸騰 | | | | | | | | |
| 重大事故 条件 | 非沸騰 | | | | | | | | |
| | 沸騰 | | | | | | | | |



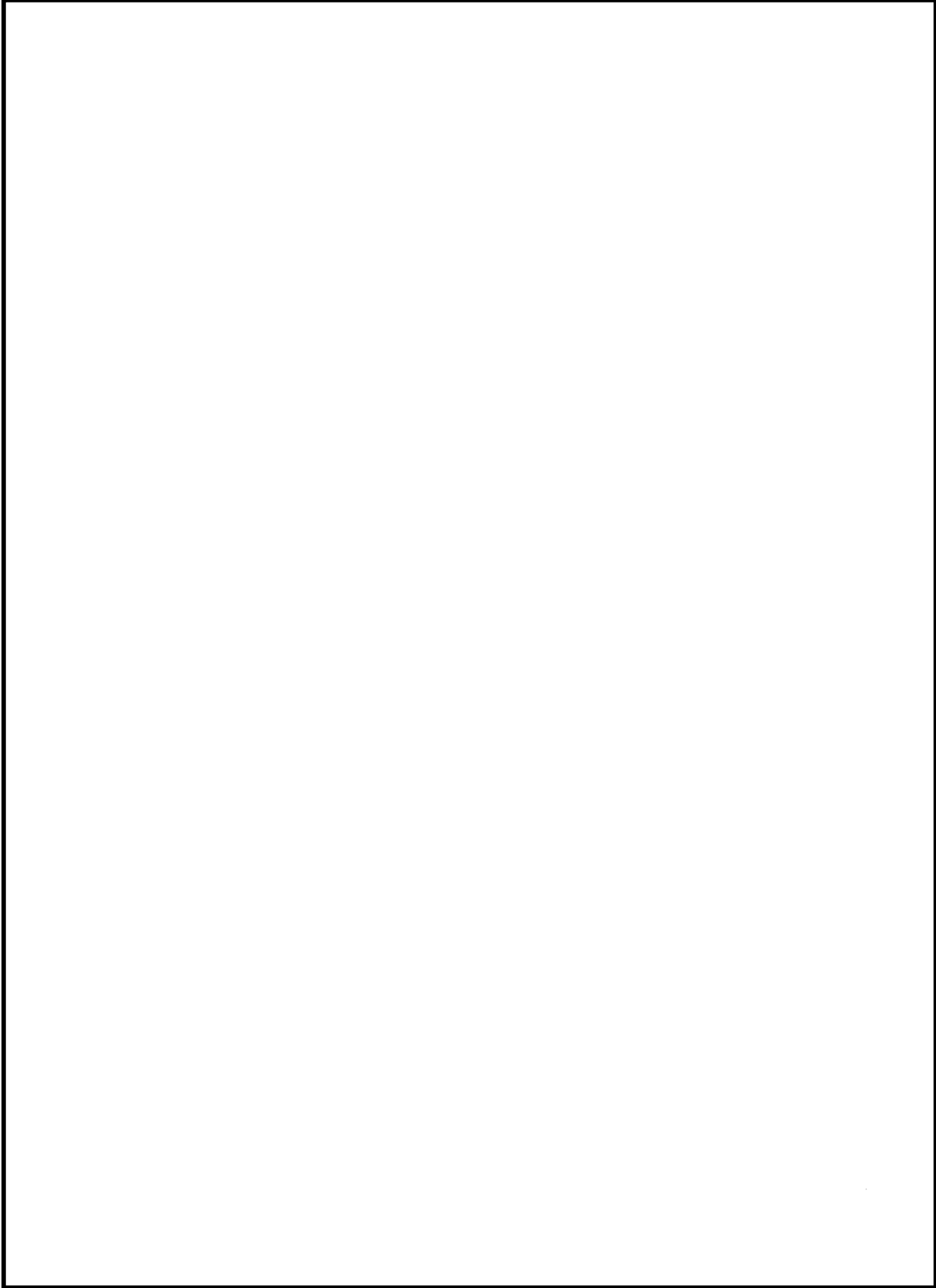
第 1 図 非沸騰実験装置の概要



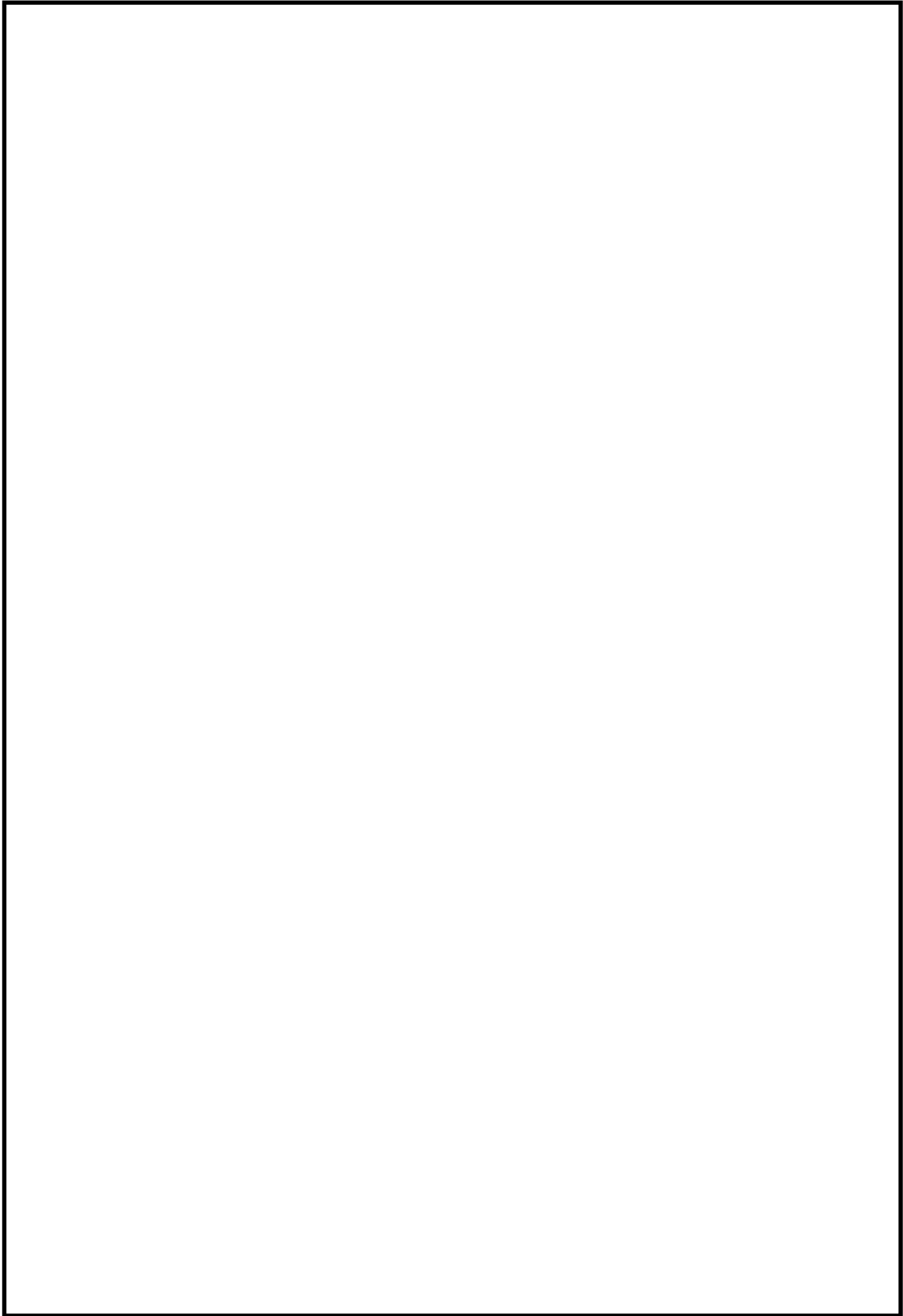
第 2 図 沸騰実験装置の概要



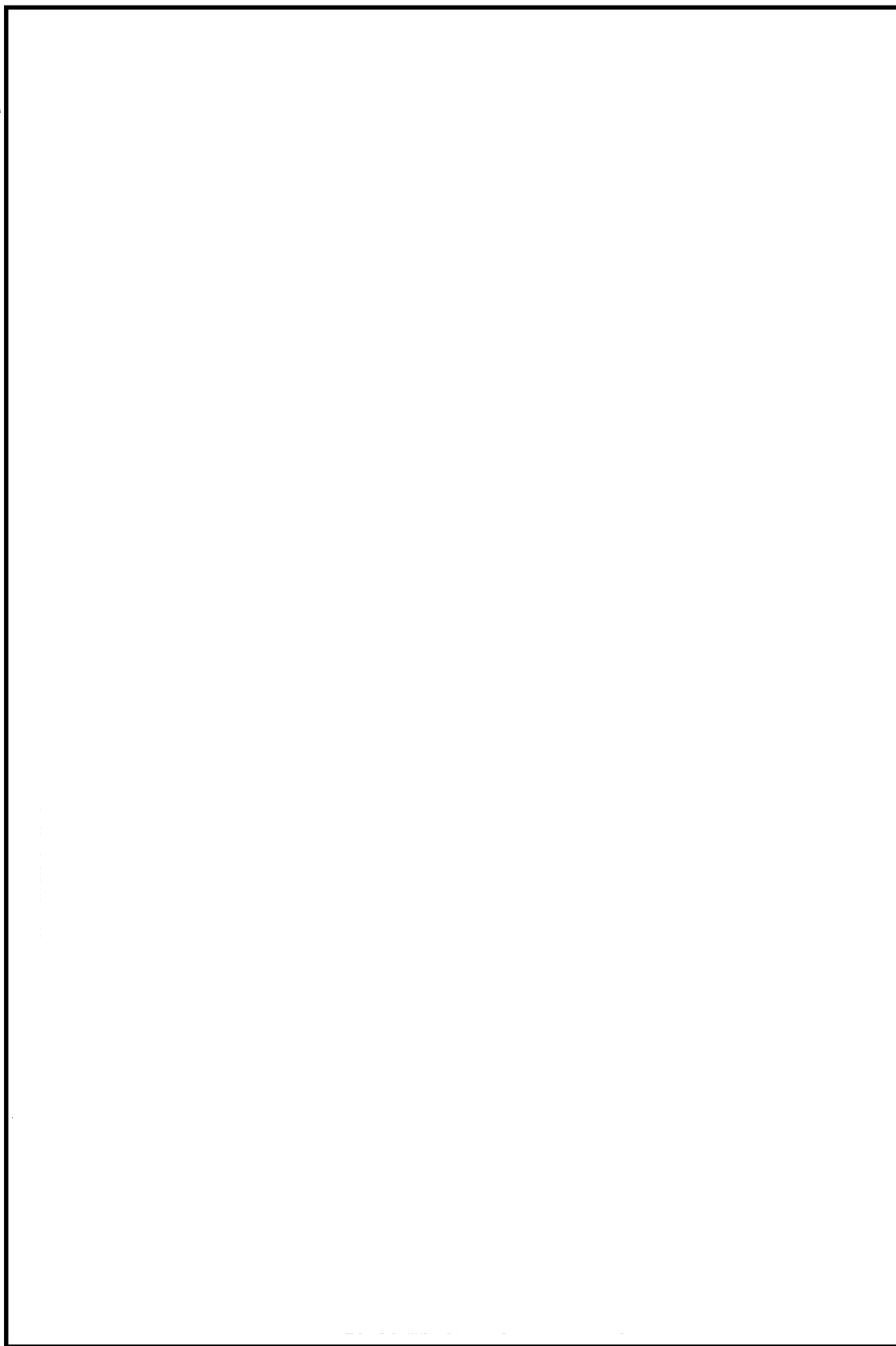
第3図 気相部と液相部における水素及び酸素濃度
(LOCA ベース：非沸騰状態)



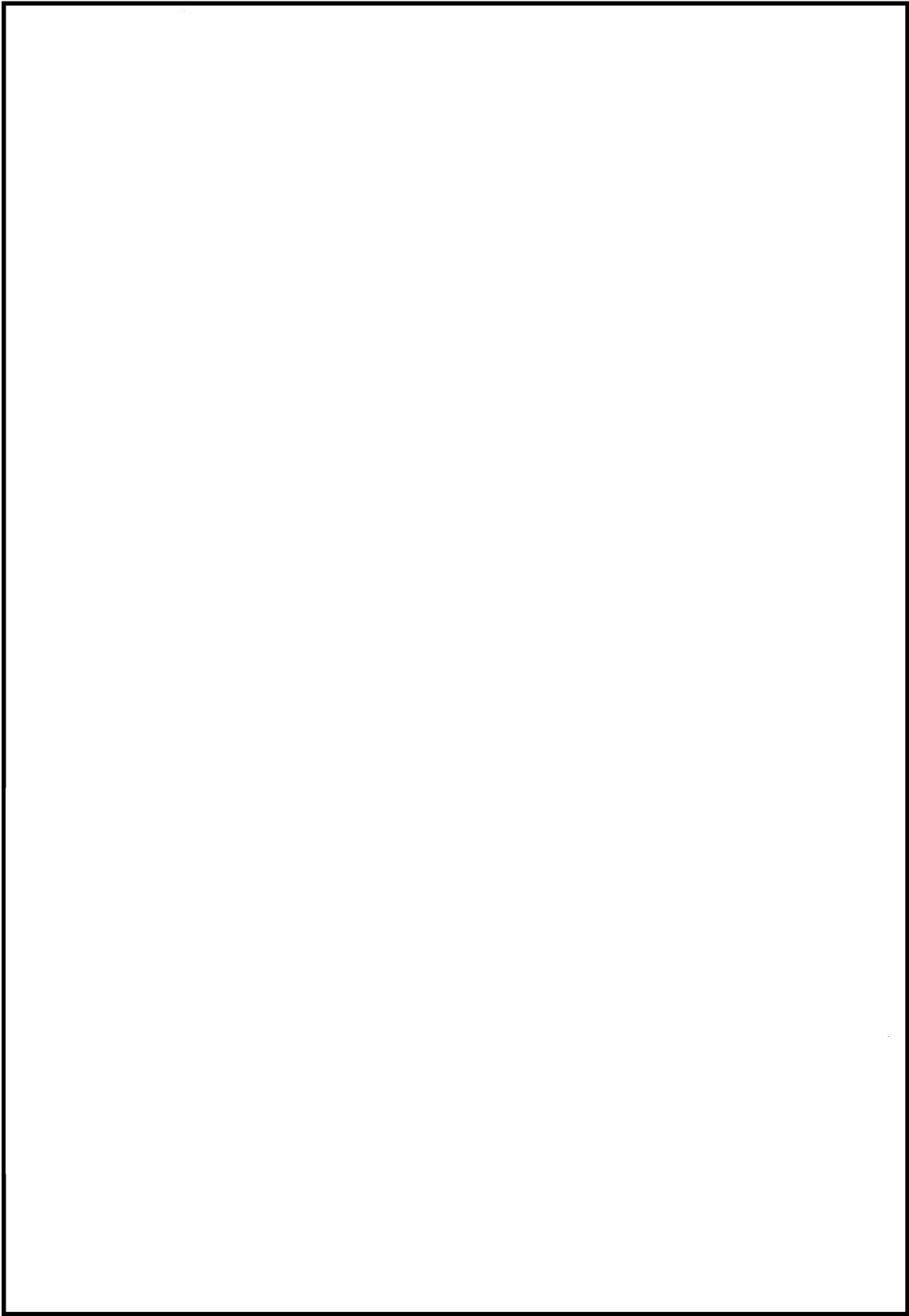
第4図 気相部と液相部における水素及び酸素濃度
(LOCA ベース：沸騰状態)



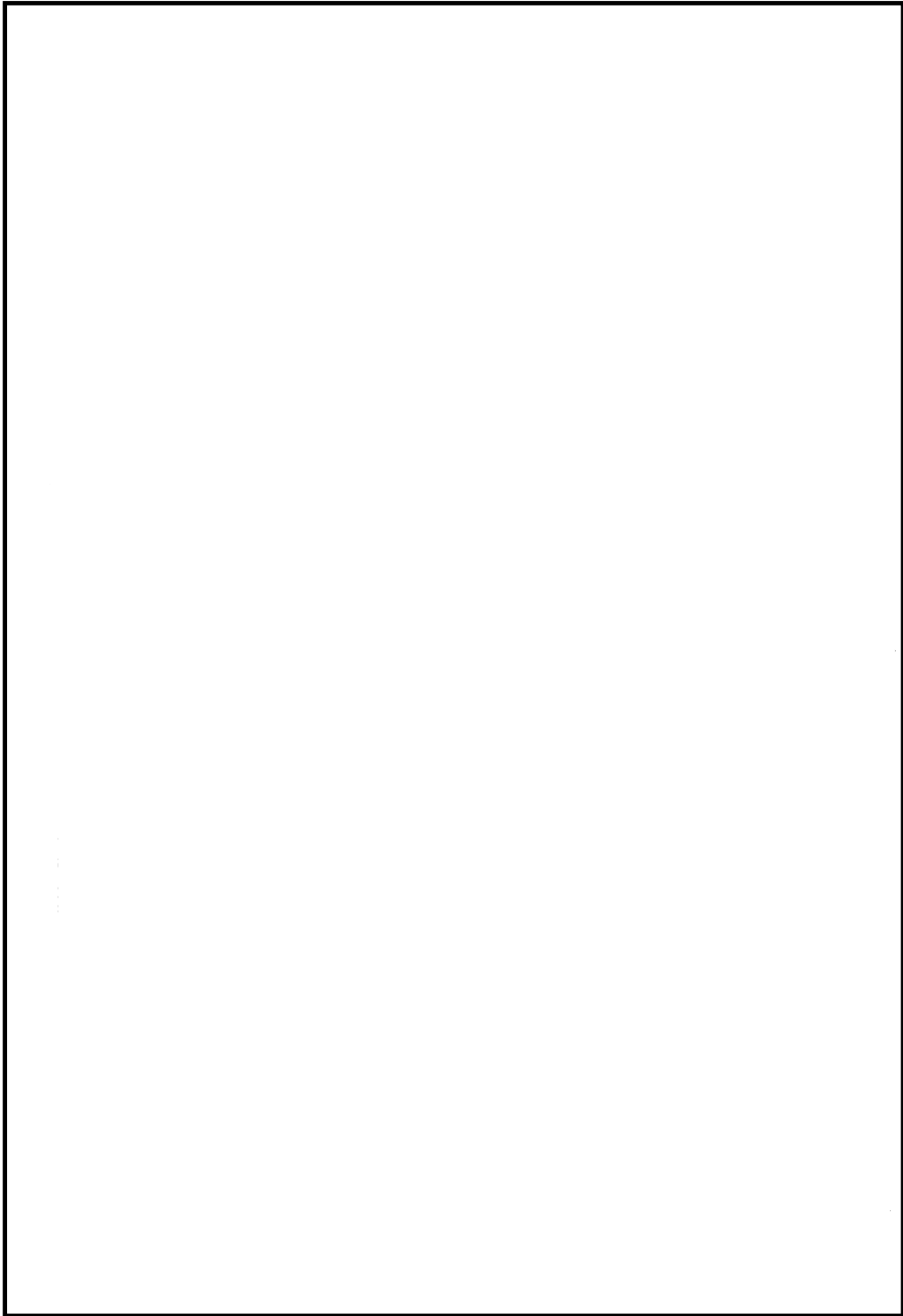
第 5 図 気相部と液相部における水素及び酸素濃度
(F C S 性能解析ベース：非沸騰状態)



第 6 図 気相部と液相部における水素及び酸素濃度
(F C S 性能解析ベース：沸騰状態)



第7図 気相部と液相部における水素及び酸素濃度
(苛酷事故ベース：非沸騰状態)



第 8 図 気相部と液相部における水素及び酸素濃度
(苛酷事故ベース：沸騰状態)

2.2 基本実験の実機への適用性

基本実験において評価したG値を用いるに当たり、実験条件（重大事故条件のうち非沸騰）と実機条件を比較した確認結果を第3表及び第4表に示す。

第3表では、各種パラメータが酸素の実効G値に与える影響を評価しており、実験条件は実機で想定されるシビアアクシデント環境を考慮した場合においても評価結果に与える影響は軽微であることを確認している。

- ・吸収線量については、水素の実効G値は吸収線量が多いほど小さくなる傾向があり^{[2][5]}、酸素についても同様の傾向であることを確認している^[2]。酸素濃度の長期（7日間）の推移を見る観点では、事象進展を考えた上で事象発生から約1.5時間後の吸収線量に相当する 1×10^4 Gyで求めた実効G値を用いることは保守的であり妥当と考える。（第9図参照）
- ・よう素放出割合については、水素の実効G値はよう素濃度が高いほど大きくなる傾向があり^{[2][6]}、酸素についても同様の傾向であることを確認している^[2]。しかしながら、第10図を参照すると、左記の程度の割合の相違であれば、G値（測定データの傾き）に大きな違いは現れないと考えられることから、有効性評価において、電共研の実験結果に基づく実効G値を用いることは妥当と考える。
- ・ジルコニウム-水反応割合（溶存水素濃度）については、水素の実効G値は溶存水素濃度が高いほど小さくなる傾向があり^{[2][4]}、酸素についても同様の傾向であることを確認している^[2]。このことから、ジルコニウム-水反応割合が小さい電共研の実験結果に基づく実効G値を用いることは妥当と考える。（第11図参照）
- ・初期酸素濃度については、少なくとも初期酸素濃度数 vol%程度では、初期酸素濃度は酸素の実効G値に影響を及ぼすものではないと考える^[2]。（第12図参照）

- ・沸騰・非沸騰については、沸騰状態では酸素の実効G値はほぼ0となる傾向がある。このことから、非沸騰状態での電共研の実験結果に基づく実効G値を用いることは妥当と考える^[2]。(第13図参照)
- ・温度については、温度が高いほど、再結合反応が促進されるため実効G値は小さくなる傾向がある。事故時には温度は室温を上回るため、室温での電共研の実験結果に基づく実効G値を用いることは保守的であり妥当と考える^{[2][5]}。(第14図参照)
- ・pHについては、中性環境下では酸素の実効G値は僅かに小さい傾向を示すが、その差は小さい。このため、中性条件下の試験で求めた電共研の実験結果に基づく実効G値を用いることに問題はないと考える^[2]。(第15図参照)

第4表では、シビアアクシデント環境下で発生し得る不純物の影響について評価を行い、G値への影響が軽微であることを確認している。

- ・金属イオン等 (Fe, Cu, B) については、よう素存在条件下において、金属イオン等 (Fe, Cu, B) が添加された場合の解析結果からは、実効G値への影響は見られない^[2]。(第12図参照)
- ・ホウ酸については、水のpHに影響するが、pHの違いによる実効G値への影響は小さい^[2]。
- ・コンクリートについては、安定な酸化物でエアロゾルとして挙動し、水にはほとんど溶けないため、放射線分解への影響は小さい。また、MCCI時にCO₂が発生し水のpHに影響するが、pHの変化によるG値への影響は小さい^{[2][4]}。
- ・有機物については、酸素を消費する反応に寄与し、実効G値を低減する^[4]。(第16, 17図参照)

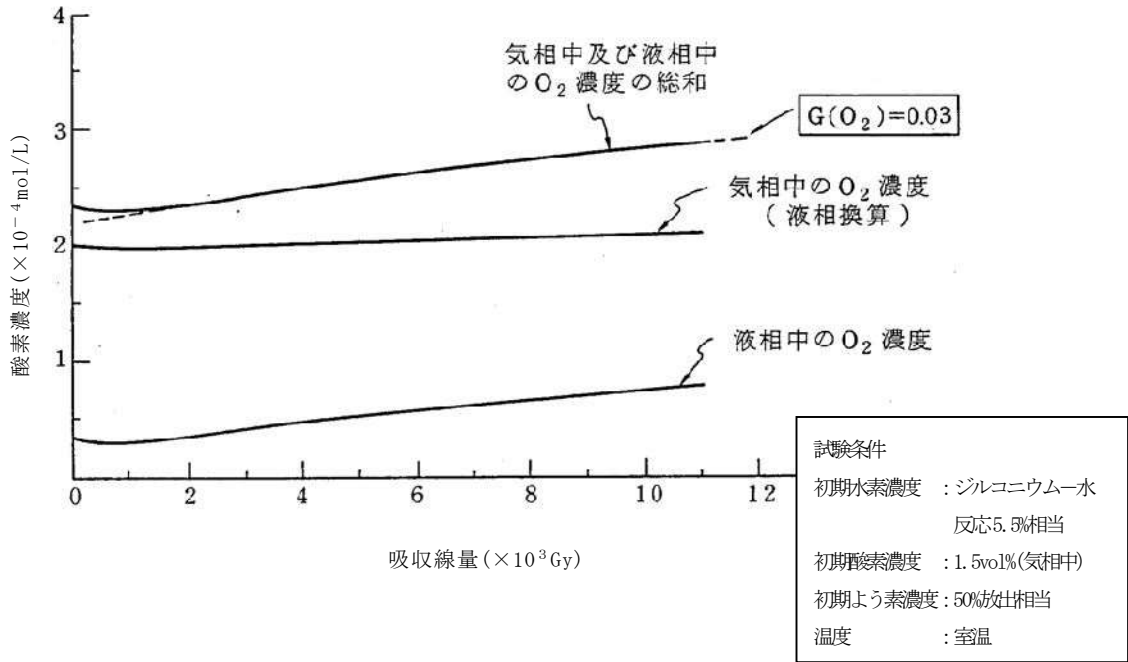
以上から、格納容器破損防止対策の有効性評価において、基本実験において評価したG値を用いることは妥当であると判断した。

第3表 各種パラメータが酸素の実効G値に与える影響

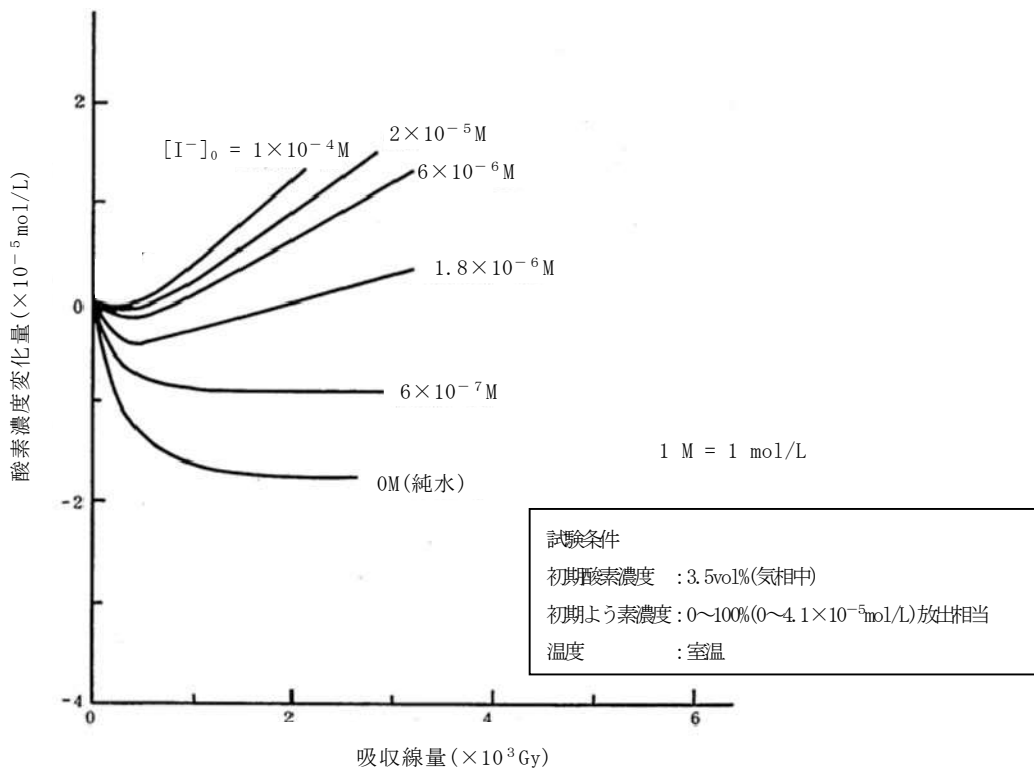
| パラメータ | 電共研の実験 | 有効性評価 | 酸素の実効G値への影響と保守性 |
|----------------------|------------------------------|--|--|
| 吸収線量 | ~ 1×10^4 Gy | サプレッション・プールでの吸収線量は事象発生から約1.5時間後で 1×10^4 Gyを超える。 | 水素の実効G値は吸収線量が多いほど小さくなる傾向があり ^{[2][5]} 、酸素についても同様の傾向であることを確認している ^[2] 。酸素濃度の長期（7日間）の推移を見る観点では、事象進展を考えた上で事象発生から約1.5時間後の吸収線量に相当する 1×10^4 Gyで求めた実効G値を用いることは保守的であり妥当と考える。（第9図参照） |
| よう素放出割合 | 50% （立地審査指針における仮想事故条件を設定） | 約64% | 水素の実効G値はよう素濃度が高いほど大きくなる傾向があり ^{[2][6]} 、酸素についても同様の傾向であることを確認している ^[2] 。しかしながら、第10図を参照すると、左記の程度の割合の相違であれば、G値（測定データの傾き）に大きな違いは現れないと考えられることから、有効性評価において、電共研の実験結果に基づく実効G値を用いることは妥当と考える。 |
| ジルコニウム-水反応割合（溶存水素濃度） | 5.5% | 約10.1% | 水素の実効G値は溶存水素濃度が高いほど小さくなる傾向があり ^{[2][4]} 、酸素についても同様の傾向であることを確認している ^[2] 。このことから、ジルコニウム-水反応割合が小さい電共研の実験結果に基づく実効G値を用いることは妥当と考える。（第11図参照） |
| 初期酸素濃度 | 1.5% | 2.5% | 少なくとも初期酸素濃度数vol%程度では、初期酸素濃度は酸素の実効G値に影響を及ぼすものではないと考える ^[2] 。（第12図参照） |
| 沸騰・非沸騰 | 非沸騰状態 | 炉内：沸騰状態 サプレッション・プール：非沸騰状態 | 沸騰状態では酸素の実効G値はほぼ0となる傾向がある。このことから、非沸騰状態での電共研の実験結果に基づく実効G値を用いることは妥当と考える ^[2] 。（第13図参照） |
| 温度 | 室温 | 室温以上 | 温度が高いほど、再結合反応が促進されるため実効G値は小さくなる傾向がある。事故時には温度は室温を上回るため、室温での電共研の実験結果に基づく実効G値を用いることは保守的であり妥当と考える ^{[2][5]} 。（第14参照） |
| pH | 中性 | 事故対応の中で変動する可能性がある。 | 中性環境下では酸素の実効G値は僅かに小さい傾向を示すが、その差は小さい。このため、中性条件下の試験で求めた電共研の実験結果に基づく実効G値を用いることに問題はないと考える ^[2] 。（第15図参照） |

第4表 よう素以外の不純物が酸素の実効G値に与える影響

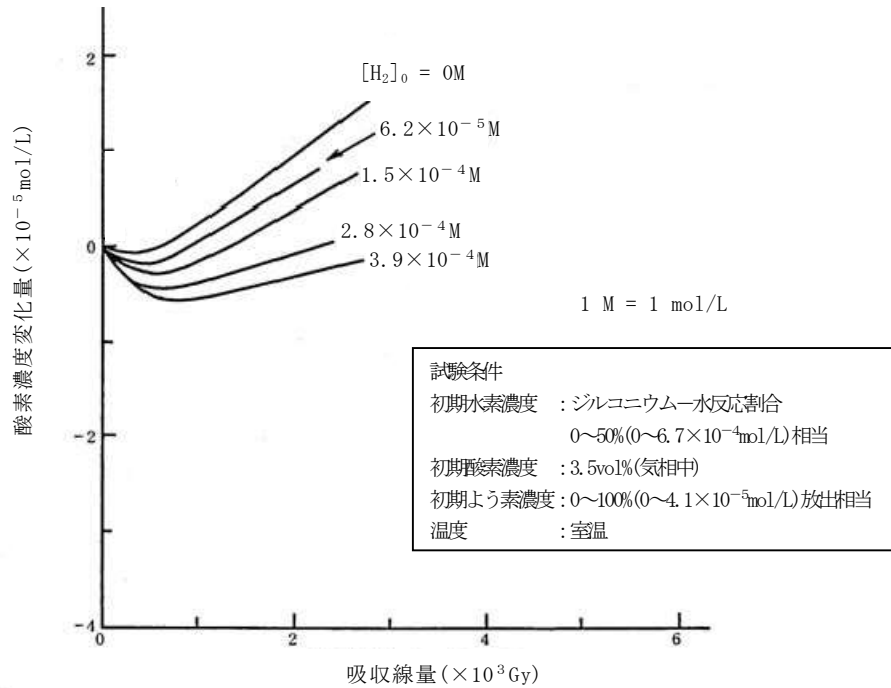
| 物質 | 発生原因 | シビアアクシデント環境下における発生量 | 酸素の実効G値への影響 |
|-----------------------|--|--|---|
| 金属イオン等 (Fe, Cu, B) | 炉内構造物 等 | 0~2ppm (TMI-2 事故時の冷却材中不純物濃度やBWRプラント通常運転時における金属濃度等の評価を参考に設定) | よう素存在条件下において、金属イオン等 (Fe, Cu, B) が添加された場合の解析結果からは、実効G値への影響は見られない ^[2] 。(第12 図参照) |
| ホウ酸 | 制御棒材の酸化, MCC I 時の化学反応 | 約 1×10^{-3} mol/L (格納容器内での想定発生量とサプレッション・プール液相体積から概算) | 水の pH に影響するが、pH の違いによる実効G値への影響は小さい ^[2] 。 |
| コンクリート | 主成分の SiO ₂ , CaO, Al ₂ O ₃ , MgO などが MCC I 時に放出 | 安定な酸化物でエアロゾルとして挙動し、水にはほとんど溶けない | 安定な酸化物でエアロゾルとして挙動し、水にはほとんど溶けないため、放射線分解への影響は小さい。また、MCC I 時に CO ₂ が発生し水の pH に影響するが、pH の変化による G 値への影響は小さい ^{[2][4]} 。 |
| 有機物 | 電線被覆材などの熱分解や放射線分解 | 約 1.1×10^{-6} mol/L (格納容器内での想定発生量とサプレッション・プール液相体積から概算) | 酸素を消費する反応に寄与し、実効G値を低減する ^[4] 。(第16, 17 図参照) |



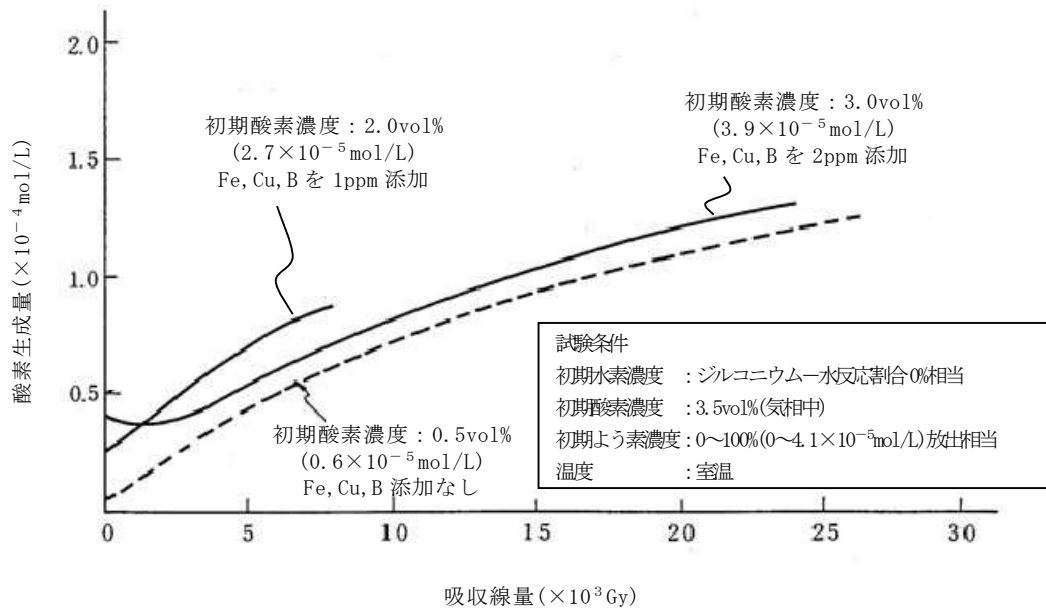
第9図 本評価における実効G値の設定根拠とした電共研の実験結果



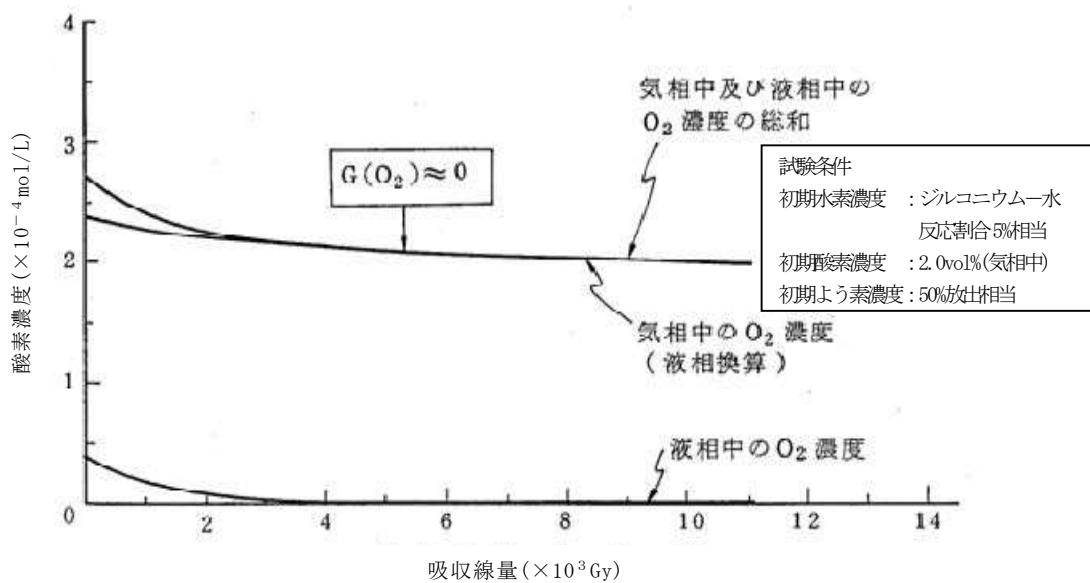
第10図 溶存酸素濃度と吸収線量の関係 (酸素濃度を変化させた場合)



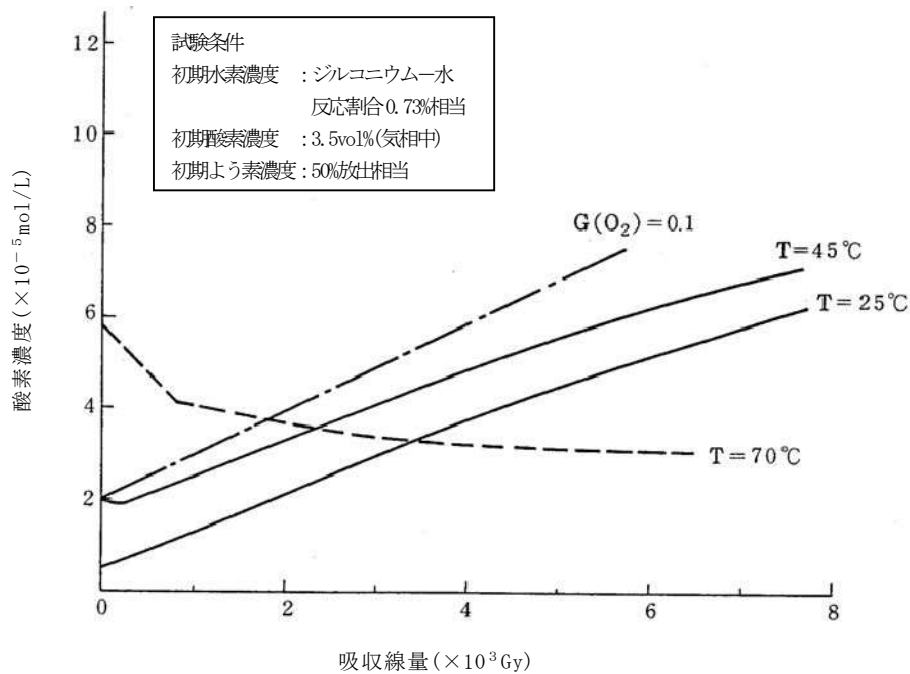
第 11 図 溶存酸素濃度と吸収線量の関係 (溶存水素濃度を変化させた場合)



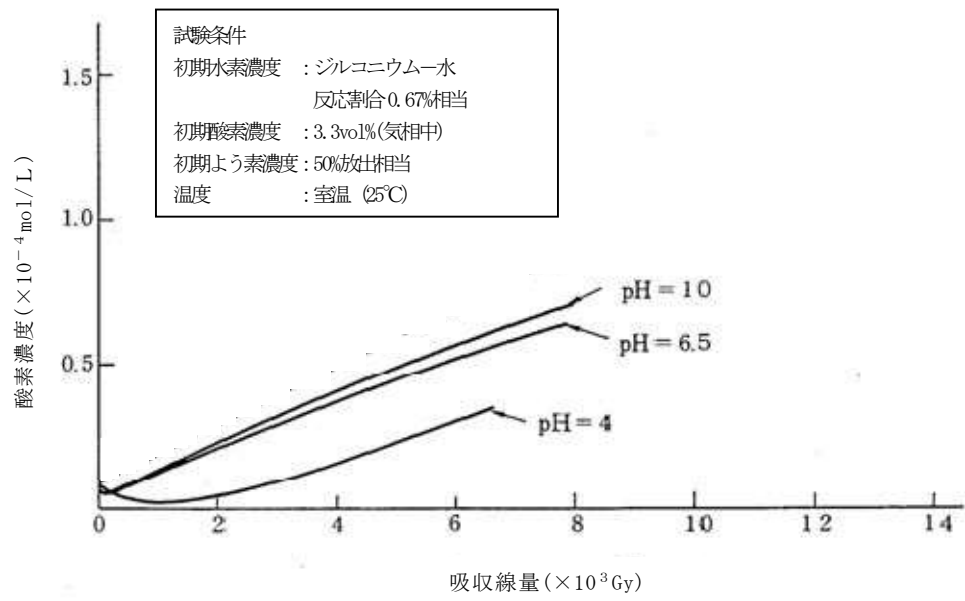
第 12 図 溶存酸素濃度及び不純物 (F e , C u , B) の有無と吸収線量の関係
(酸素濃度及び不純物 (F e , C u , B) の添加量を変化させた場合)



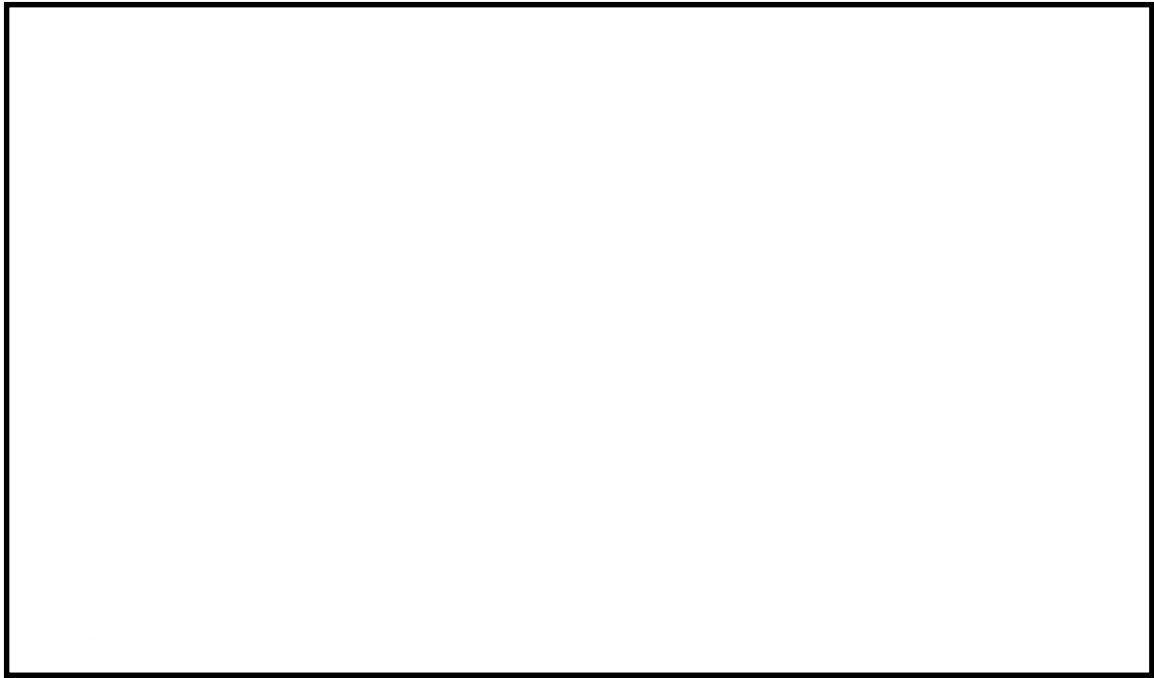
第 13 図 溶存酸素濃度と吸収線量の関係 (沸騰状態)



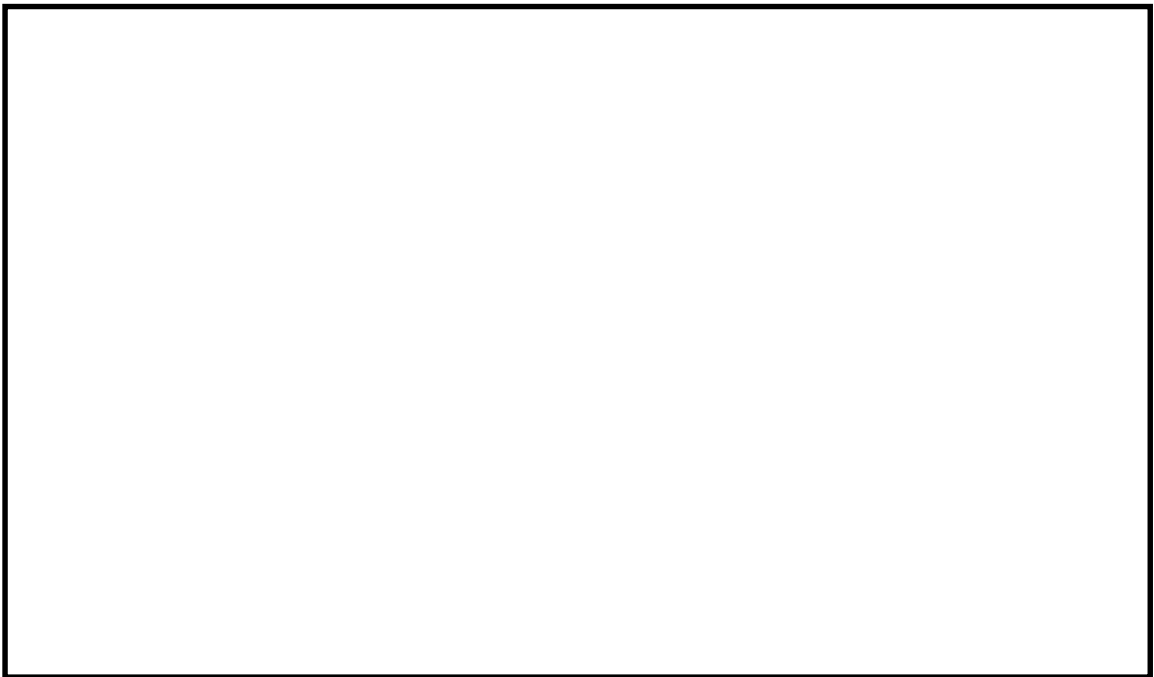
第 14 図 溶存酸素濃度と吸収線量の関係 (温度を変化させた場合)



第 15 図 溶存酸素濃度と吸収線量の関係 (pHを変化させた場合)



第 16 図 溶存酸素濃度と吸収線量の関係（エタノール添加なし）



第 17 図 溶存酸素濃度と吸収線量の関係（エタノール添加あり）

2.3 基本実験の妥当性に関する補足

基本実験では、研究を進める上での手法の妥当性を確認するため、実験結果に関係する過去の知見^{[5][6]}との比較を行っている。また、この基本実験の結果から得られたG値は、可燃性ガス濃度制御系の性能確認に使用されている^[3]。以下、基本実験と過去の知見との比較の概要について示す。

(1) 実験方法について

基本実験では、純水に対する照射を行い、照射量と水素及び過酸化水素濃度について確認している。また、オークリッジ国立研究所（ORNL）においても純水に対する照射の実験が行われており、照射量と水素濃度の関係が報告されている^[5]。これらの結果は、照射量に対する水素の生成割合が照射開始から徐々に低下する点で同等の傾向を示している。純水に対する照射試験について、基本実験及びORNLにおける実験の概要を第18図及び第19図、実験の結果を第20図及び第21図に示す。

基本実験では、上記の純水に対する照射を行った試験装置を用い、よう素や水素濃度を上昇させた条件での実験を行っている。このことから、照射及びこれに伴って生じる水素及び酸素の濃度を測定する点で、基本実験での実験方法は妥当なものとする。

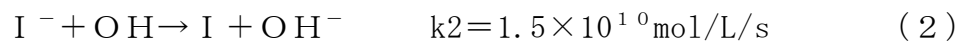
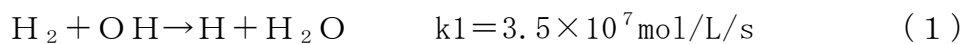
(2) 添加物の影響とG値の増減

水中に添加された場合にG値に影響を及ぼすよう素と水素について、添加量とG値の変化の傾向について確認するとともに、過去の知見^[6]と基本実験の実験結果の傾向が同様であることを確認している。

a. よう素を添加した場合

水中へのよう素の添加がG値を上昇させる側に作用することについて

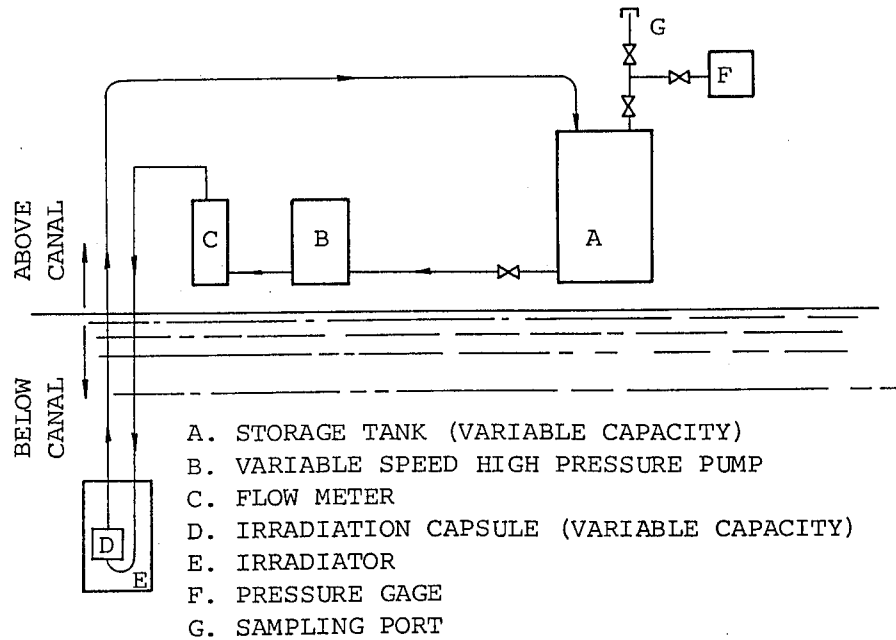
は、従来から知られていたものの^[5]、基本実験では実験系内によう素を添加した場合についての添加量とG値の関係を確認している。傾向として、よう素の添加量が増加すると水素及び酸素共にG値は上昇する傾向を示している。また、この増加の要因は、式（1）の再結合反応が、式（2）のよう素がOHラジカルを還元する反応によって阻害されることによるものと考えられる。これは、式（2）の反応速度定数k₂と式（1）の反応速度定数k₁に大きな差があることから推定できる。



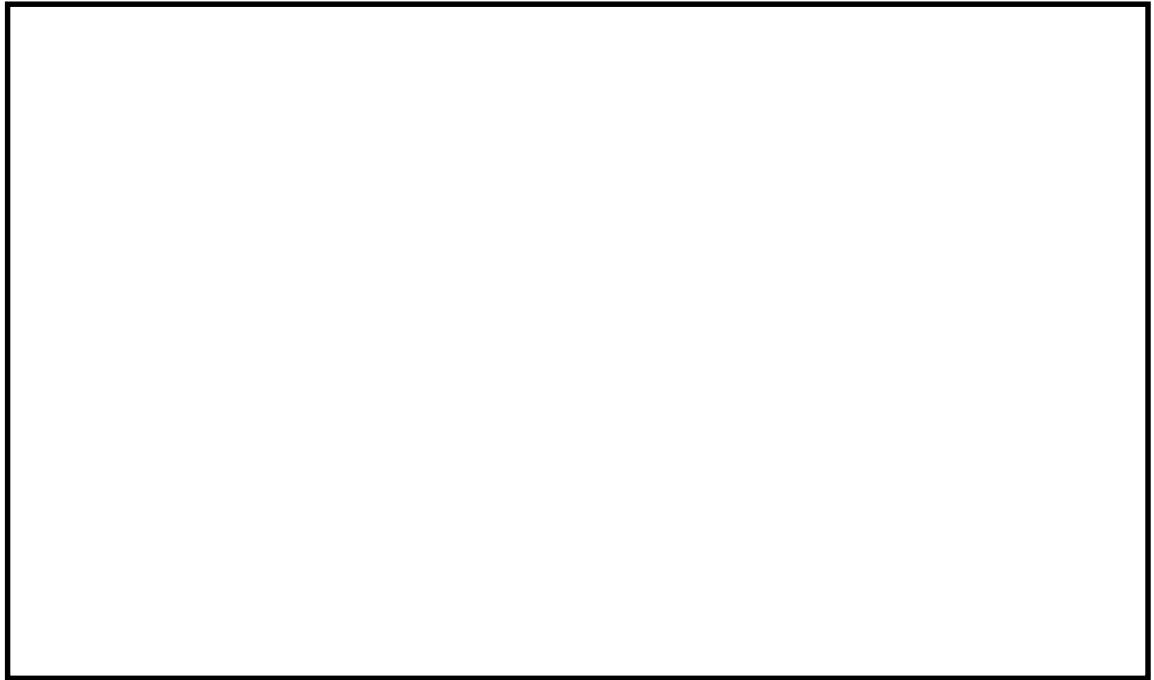
b. よう素及び水素を添加した場合

基本実験では、実験系内に水素を添加した場合についての添加量とG値の関係を確認している。傾向として、水素の添加量が増加すると水素及び酸素共にG値は低下する傾向を示している。水素のG値の傾向については、米国原子力規制委員会（NRC）によって反応モデルの作成及び評価が実施されており、よう素が添加されていても水素の添加量が増加するとG値は低下すると報告されている^[6]。また、この低下の要因は、水素濃度の増加によって式（1）の再結合反応が促進されることで、水素及び酸素の発生割合が低下することによるものと考えられる。NRCにおける評価の結果を第22図に、基本実験における実験の結果を第23図に示す。

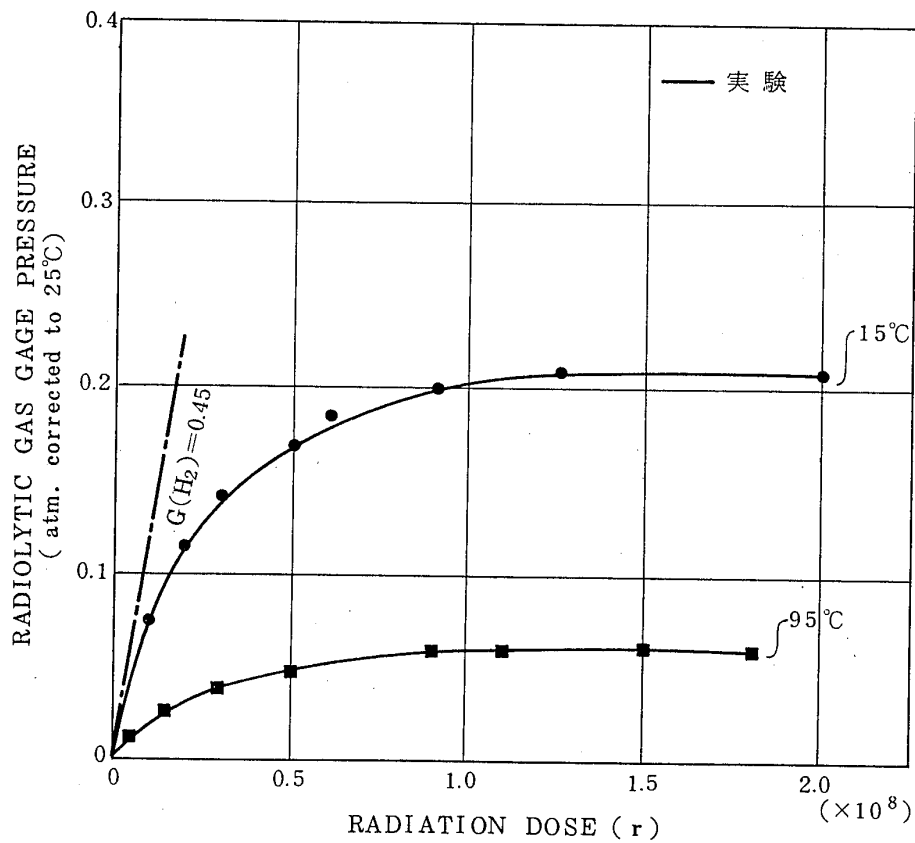
| | | |
|-------------------|--------|------------------------|
| 容積 | カプセル液相 | 100cm ³ |
| | タンク気相 | 350cm ³ |
| | タンク液相 | 250cm ³ |
| 循環流量 | | 14cm ³ /min |
| 初期温度 (実験パラメータ) | | 15°C, 95°C |



第 18 図 ORNL による照射実験のループ



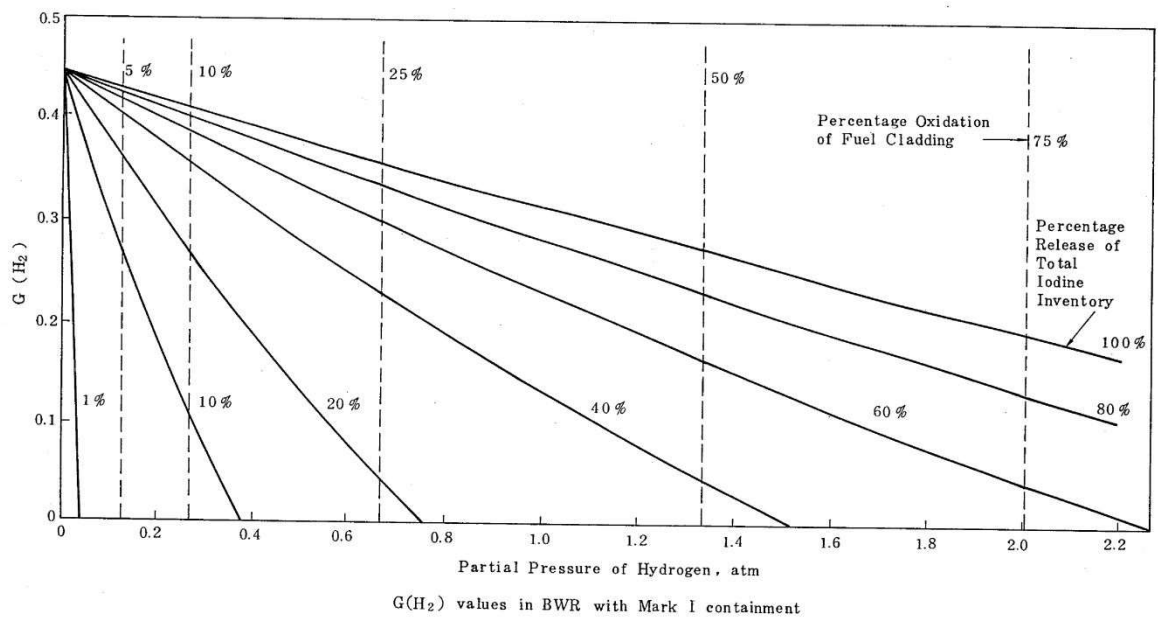
第 19 図 基本実験による純水照射の手順と実験で用いた容器の概略



第 20 図 ORNL による実験結果 (純水に対する照射)

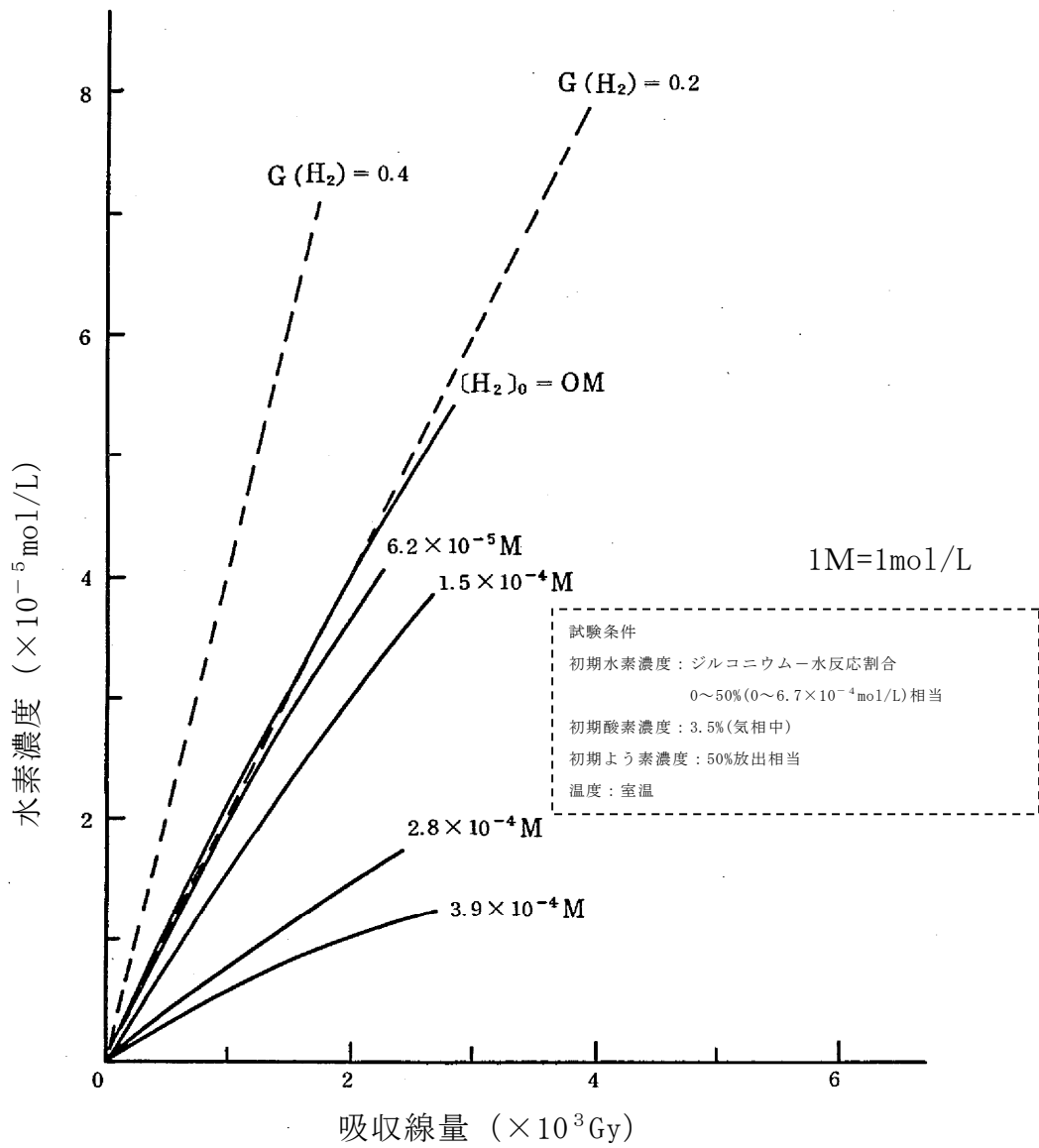


第 21 図 基本実験による実験結果 (純水に対する照射)



第 22 図 NRC による評価結果

(よう素及び水素の濃度と $G(H_2)$ の変化)



第 23 図 基本実験による実験結果

(溶存水素濃度と吸収線量の関係 (溶存水素濃度を変化させた場合))

3. 電力共同研究「シビアアクシデントにおける可燃性ガスの挙動に関する研究」(追加実験)

3.1 追加実験の概要

(1) 実験装置及び実験方法

追加実験では、常温から高温に至るケースについて試験を行うため、170℃(飽和蒸気圧 691kPa [gage]) までの試験が可能な照射容器を用いた。

実験に使用した装置を第 24 図に示す。装置は、照射容器、液相循環ライン、気相サンプリングライン、ガス注入ライン等から成る。照射容器はステンレス製で、容量は 2L である。照射容器内には 3 本のガス注入ラインが接続されており、水素、酸素、窒素ガスにより所定の初期水質に調整することができる。照射容器内の水はバンドヒーターにより所定の温度に昇温される。液相中の水はポンプにより循環される。液相循環ラインには溶存水素計 (DH 計)、溶存酸素計 (DO 計)、導電率計等が設置されている。試験水は冷却された後、DH 計、DO 計により、液相中の水素、酸素濃度を連続測定される。気相中のガスはポンプにより循環される。気相循環ラインにはガスクロマトグラフが設けられている。ガンマ線照射により発生したガスは冷却された後、ガスクロマトグラフで気相中の水素、酸素濃度をバッチ測定する。

全ての条件が定常状態に達した後、C o -60 ガンマ線源にて照射を開始し、DH 計、DO 計で液相の水素・酸素濃度を測定するとともに、ガスクロマトグラフでバッチサンプリングを行い気相中の水素・酸素濃度を測定した。

実験は、温度、沸騰の有無、初期水素濃度、酸素濃度を試験パラメータとして変化させ G 値の実測を実施した。

(2) 試験条件及び実験結果

試験条件及び実験結果を第 5 表，第 25 図に示す。

沸騰している場合は水素・酸素の G 値が 0 であること，また，沸騰していない場合は試験条件により G 値に若干のばらつきがあることを確認した。

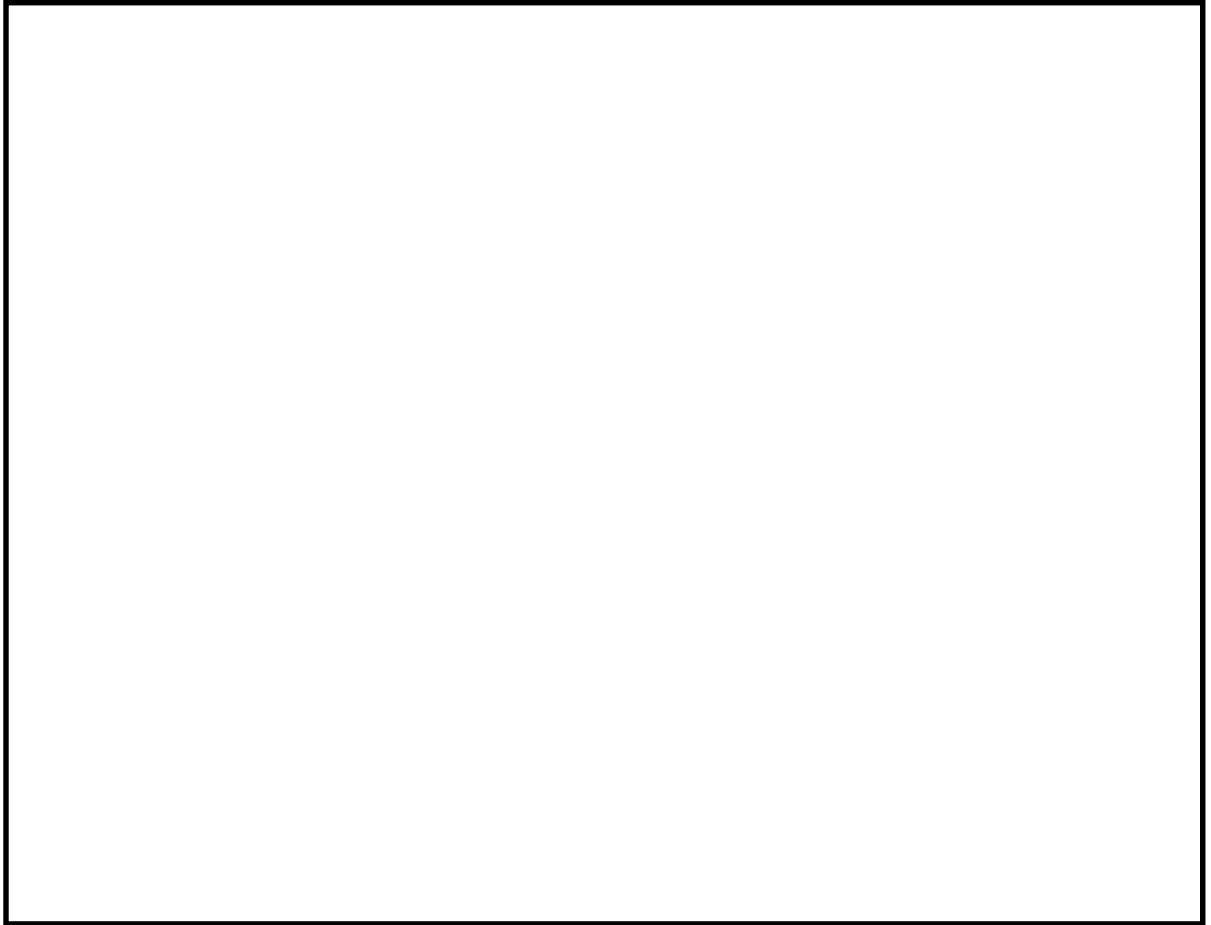
長期試験における吸収線量と水素・酸素の変化量の相関では，水素・酸素共にその増加量が吸収線量の増加と共に飽和する傾向を確認できた。吸収線量 $1 \times 10^4 \text{Gy}$ における実効 G 値は，水素：0.036，酸素：0.023 であり，基本実験と同程度であった。

3.2 実験から得られた知見

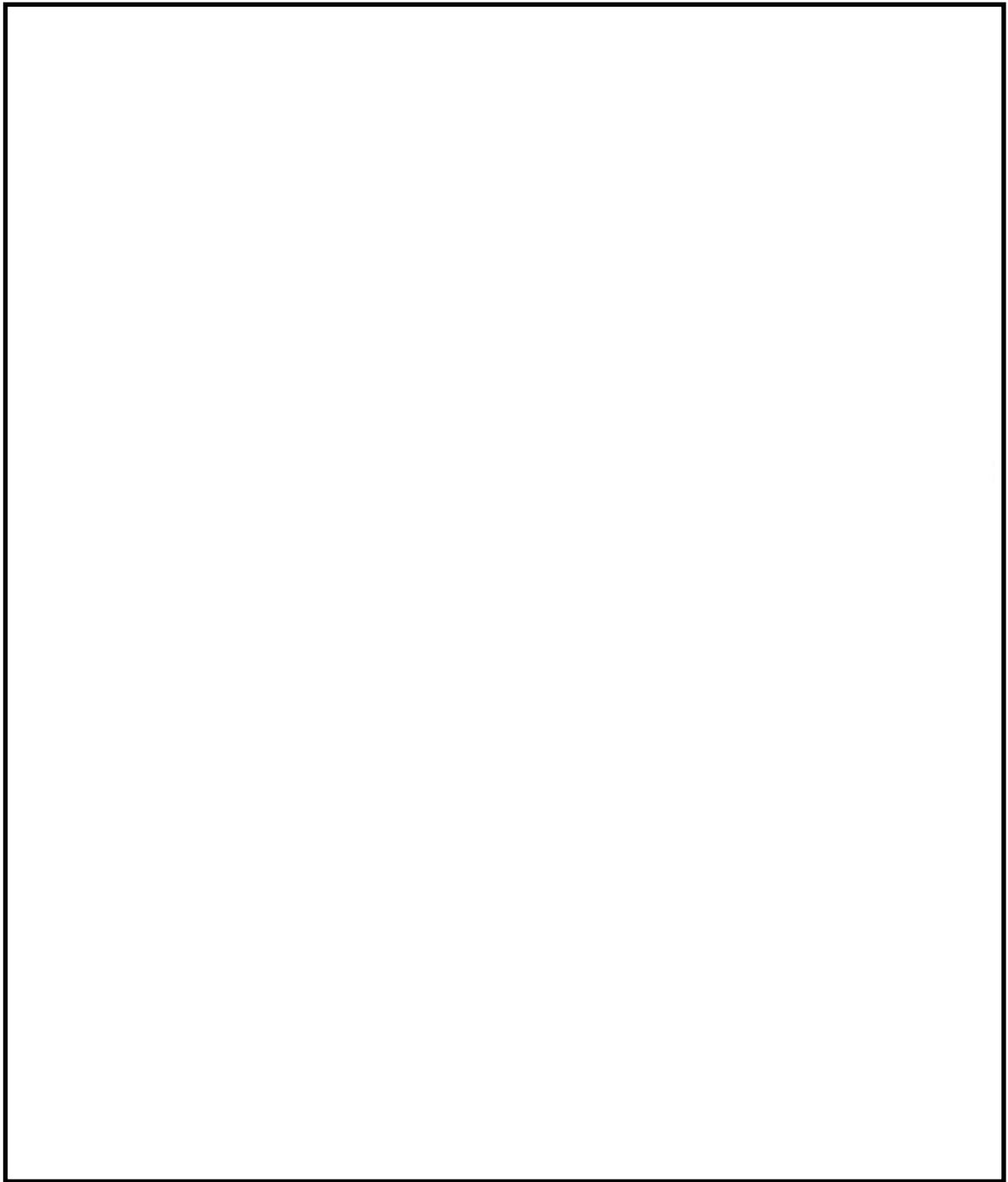
基本実験と追加実験は，異なる実験装置，異なる実験実施者によって行われたが，追加実験により同程度の実効 G 値が確認できたことから，実効 G 値の有する不確かさは小さいと考える。また，水素・酸素の増加量が吸収線量の増加と共に飽和する点で同様の傾向を確認できたことから，実効 G 値を事象発生初期（1.5 時間後）の吸収線量から定めることは，事象発生から 168 時間後までを評価する本事象に適用する上で保守的な設定と考える。よって，前回の実験結果を基に有効性評価を用いる実効 G 値を定めていること及び長期試験の結果を踏まえて， $1 \times 10^4 \text{Gy}$ における G 値を用いるのは妥当と考える。

第 5 表 試験条件及び実験結果

| 試験 ケース | 試験条件 | | | | 実験結果 | | | |
|-----------|------------|----|---------------------|----------------|------------------|--------------|----------|----------|
| | 温度 [°C] | 沸騰 | M-W 反応 割合 [%] | 酸素濃度 [vol%] | よう素 放出 [%] | 吸収線量 [Gy] | 水素 G値 | 酸素 G値 |
| ① | | | | | | | | |
| ①' | | | | | | | | |
| ② | | | | | | | | |
| ③ | | | | | | | | |
| ④ | | | | | | | | |
| ⑤ | | | | | | | | |
| ⑥ | | | | | | | | |
| ⑦ | | | | | | | | |
| ⑧ | | | | | | | | |



第 24 図 実験装置の概要



第 25 図 実験結果：水素・酸素の変化量と吸収線量の関係

(①及び①' の G 値)

4. 参考文献

- [1] Regulatory Guide 1.7 (Rev.2 Nov.1978) Control of Combustible Gas Concentrations In Containment Following A Loss-of-Coolant Accident.
- [2] 「事故時放射線分解に関する研究」 BWR 電力共同研究 昭和 63 年 3 月
- [3] 「沸騰水型原子力発電所 可燃性ガス濃度制御について」(株式会社東芝, TLR002A 改訂 3, 平成 10 年 2 月)
- [4] 「シビアアクシデントにおける可燃性ガスの挙動に関する研究」 BWR 電力共同研究 平成 12 年 3 月
- [5] Zittel, H. E., “Boiling water reactor accident radiolysis studies”, ORNL-TM-2412 Part VIII (1970).
- [6] Parczewski, K. I., et. al., “Generation of hydrogen and oxygen by radiolytic decomposition of water in some BWRs”, U. S. NRC Joint ANS/AMSE Conference, Aug. (1984).

(参考) その他の文献における実効G値に関する報告

勝村による報告^[1]では、平成23年3月15日に発生した福島第一原子力発電所4号機の水素爆発の原因を探るため、沸騰水及び海水注入下での水素のG値を実験で測定している。

この実験では、沸騰した純水からはG値0.24相当の水素の発生を検出し、沸騰した3.5%食塩水（海水相当）からはG値0.54^{*}相当の水素発生を検出したと報告されており、いずれも東海第二発電所の有効性評価「水素燃焼」で使用している水素のG値0.06と比べて大きな値となっている。

本報告では酸素のG値に関しては論じられていないが、仮に水素のG値と同様に酸素も高いG値で発生したとしても、格納容器内の水素濃度及び酸素濃度が共に可燃領域に至るおそれがある場合には、格納容器圧力逃がし装置によって格納容器内の気体を環境中に排出し、格納容器内の水素濃度及び酸素濃度を低減することができることから、格納容器内の水素濃度及び酸素濃度が共に可燃領域に至ることはない。

※：水の放射線分解によるG値は、分解初期（初期G値0.45）の後の再結合（水素とOHラジカル）により初期G値を理論的に超えないにも関わらず、G値0.54の水素発生が検出されているが、この原因については、水蒸気凝縮によって水素濃度が高めに測定されたためと考察している。

[1] 勝村庸介，“福島第一原子力発電所第四号機の水素爆発の謎 —沸騰水のラジオリシスと水素濃縮—”，放射線化学 第92号，(2011)。

安定状態について（水素燃焼）

「水素燃焼」時の安定状態については以下のとおり。

格納容器安定状態：

本評価では、事象発生から 90 分後に代替循環冷却系による格納容器除熱を開始するとともに、事象発生から約 84 時間後に可搬型窒素供給装置による格納容器内への窒素注入を開始する。これにより、7 日後まで格納容器ベントを実施しない状態で格納容器の機能を維持可能な事象進展となっている。

【安定状態の維持について】

本評価における格納容器ベントを実施しない状態を 7 日後以降も継続する場合、酸素濃度（ドライ条件）は事象発生から約 46 日後にドライウェルにおいて 4.3vol% に到達する。

このため、事象発生から 7 日間が経過した以降も水素濃度及び酸素濃度を監視するとともに、状況に応じて酸素濃度の低減（可燃性ガス濃度制御系の運転等）を行い、格納容器内が可燃限界の濃度に到達することを防止する。また、重大事故等対処設備以外の設備の機能の復旧等も考慮し、格納容器圧力及び雰囲気温度の低下操作や格納容器内の窒素置換を試みる。これらの対応が困難であり、格納容器内の酸素濃度（ドライ条件）が 4.3vol% に到達する場合については、格納容器ベントにより、水素濃度及び酸素濃度を低減することにより安定状態を維持できる。

解析コード及び解析条件の不確かさの影響評価について（水素燃焼）

第1表 解析条件を最確条件とした場合に運転員等操作時間及び評価項目となるパラメータに与える影響

| 項目 | | 解析条件（初期条件、事故条件）の不確かさ | | 条件設定の考え方 | 運転員等操作時間に与える影響 | 評価項目となるパラメータに与える影響 |
|------|------------------------|--|--|--|---|--|
| | | 解析条件 | 最確条件 | | | |
| 初期条件 | 初期酸素濃度 | 2.5vol% | 約1vol%～ 約2vol% | 酸素濃度 4.3vol%（ドライ条件）到達を防止可能な初期酸素濃度として設定（運転上許容される値の上限） | 最確条件とした場合は、初期酸素濃度が低くなるため、本評価事故シナリオにおける格納容器内の酸素濃度推移が低く抑えられ、可搬型窒素供給装置による格納容器内への窒素注入操作の開始時間は遅くなることから、運転員等操作時間に対する余裕は大きくなる。 | 最確条件とした場合は、初期酸素濃度が低くなるため、本評価事故シナリオにおける格納容器内の酸素濃度推移が低く抑えられることから、評価項目となるパラメータに対する余裕は大きくなる。 |
| 事故条件 | 炉心内のジルコニウム-水反応による水素発生量 | 全炉心内のジルコニウム量の約10.1%が水と反応して発生する水素量 | 事象進展による | 解析コードMAAPによる評価結果 | 最確条件とした場合は、水素発生量が増加する可能性があるが、操作手順（可搬型窒素供給装置による格納容器内の窒素注入操作を実施すること）に変わりはないことから、運転員等操作時間に与える影響はない。 | 最確条件とした場合は、水素発生量が増加する可能性がある。炉心内のジルコニウム-水反応による水素発生量は、運転員等操作である低圧代替注水系（常設）による原子炉注水の操作開始時間に依存して変動するため、低圧代替注水系（常設）による原子炉注水の操作時間が早まる場合について感度解析を行い、評価項目となるパラメータに与える影響が小さいことを確認した。 (添付資料3.4.6) |
| | 金属腐食等による水素発生量 | 考慮しない | 考慮する | 酸素濃度を厳しく評価するものとして設定 | 最確条件とした場合は、水素発生量が増加し、本評価事故シナリオにおける格納容器内の酸素濃度推移が低く抑えられ、可搬型窒素供給装置による格納容器内への窒素注入操作の開始時間は遅くなることから、運転員等操作時間に対する余裕は大きくなる。 | 最確条件とした場合は、水素発生量が増加するため、本評価事故シナリオにおける格納容器内の酸素濃度推移が低く抑えられることから、評価項目となるパラメータに対する余裕は大きくなる。 |
| | 水の放射線分解による水素及び酸素の発生割合 | 水素： 0.06分子/100eV 酸素： 0.03分子/100eV | 水素： 0.06分子/100eV 酸素： 0.03分子/100eV | 重大事故時における格納容器内の条件を考慮して設定 | 重大事故時における格納容器内の条件を考慮して設定 | G値の不確かさにより水の放射線分解による酸素発生量が大幅に増加する場合、格納容器内の酸素濃度が可燃領域又は爆轟領域となる可能性がある。その場合には、格納容器圧力逃がし装置を使用し、格納容器内の気体を排出する必要があるが、ベント開始までの時間は事象発生から約122時間後の操作であり、準備時間が確保できるため、時間余裕がある。 (添付資料3.4.5) |

G 値を設計基準事故ベースとした場合の評価結果への影響について

1. はじめに

今回の評価では、電力共同研究^{[1][2]}の成果を踏まえ、水の放射線分解における水素及び酸素のG 値を $G(\text{H}_2)=0.06$ 、 $G(\text{O}_2)=0.03$ としている。今回の評価で用いたG 値は、過去の複数回の実験によって測定した値であり、重大事故環境下での水の放射線分解の評価に適した値と考えるが、実験においてもG 値にはばらつきが確認されたこと及び事故時の格納容器内の環境には不確かさがあることを考慮すると、G 値については不確かさを考慮した取扱いが特に重要となる。

実際の事故対応において、何らかの要因によって酸素濃度が今回の評価よりも早く上昇する場合、事象発生から 7 日が経過する前に酸素濃度が 4.3vol%を上回る可能性が考えられる。ここでは、何らかの要因によって酸素濃度が今回の評価よりも早く上昇する場合を想定し、酸素濃度の上昇速度の変化が評価結果及び事故対応に与える影響を確認した。

なお、炉心損傷を伴う事故シーケンスでは、原子炉水位の低下や損傷炉心への注水により多量の水蒸気が発生するため、基本的に格納容器内がドライ条件となることは考えにくい。ただし、水素燃焼による爆轟の可能性の有無は、保守的にドライ条件における気相濃度によって判断する。

2. 評価条件

第 3.4-3 図から第 3.4-6 図に示した解析ケース（以下「ベースケース」という。）の評価条件に対する変更点は以下のとおり。その他の評価条件は、ベースケースと同等である。

- ・水の放射線分解における水素及び酸素のG値を，沸騰状態においては $G(H_2)=0.4$ ， $G(O_2)=0.2$ ，非沸騰状態においては $G(H_2)=0.25$ ， $G(O_2)=0.125$ とする。この値は，設計基準事故対処設備である可燃性ガス濃度制御系の性能を評価する際に用いている値であり，設計基準事故環境下に対しても一定の保守性を有する値である。設計基準事故環境下に比べ，重大事故環境下ではG値が低下する傾向にあることから，重大事故環境下におけるG値の不確かさとして考慮するには十分に保守的な値である。
- ・事象発生から7日が経過する前に，水素濃度及び酸素濃度がともに可燃限界を上回るため，格納容器圧力逃がし装置によって格納容器内の気体を環境中に排出し，格納容器内の水素濃度及び酸素濃度を低減する。
- ・格納容器内への窒素注入手順としては，格納容器バウンダリの健全性に対する裕度の確保及び格納容器漏えいの影響を考慮し，格納容器圧力0.31MPa[gage]までの注入を基本とするが，本感度解析のように早期の格納容器ベント（事故後7日以内を想定）に至る場合には，0.465MPa[gage]までの追加の窒素注入を実施することで，可能な限り格納容器ベント遅延させ，環境への影響を低減させることとする。ベースケースと感度解析ケースの窒素注入条件を第1表及び第2表に示す。

第1表 重大事故相当のG値を想定した場合（ベースケース）の窒素注入条件

| 時間 | | 窒素注入条件 |
|----|-------------------------|--|
| ① | PCV 酸素 4.0vol%（ドライ条件）到達 | S/C への窒素注入（窒素 198m ³ /h，酸素 2m ³ /h）を開始 |
| ② | PCV 圧力 0.31MPa[gage]到達 | S/C への窒素注入を停止 |

※ PCV：格納容器，S/C：サブプレッション・チェンバ，D/W：ドライウエル

第 2 表 設計基準事故相当の G 値を想定した場合
(感度解析ケース) の窒素注入条件

| 時間 | | 窒素注入条件 |
|----|-------------------------------|--|
| ① | PCV 酸素 4.0vol% (ドライ条件) 到達 | S/C への窒素注入 (窒素 198m ³ /h, 酸素 2m ³ /h) を開始 |
| ② | 酸素濃度が上昇傾向 (解析上は①実施の 30 分後) | S/C への窒素注入は継続したまま, 追加で D/W への窒素注入 (窒素 198m ³ /h, 酸素 2m ³ /h) を開始 (合計で窒素 396m ³ /h, 酸素 4m ³ /h を格納容器内に注入) |
| ③ | PCV 圧力 0.31MPa[gage]到達 | S/C 及び D/W への窒素注入を停止 |
| ④ | PCV 酸素 4.0vol% (ドライ条件) 到達 | S/C への窒素注入 (窒素 198m ³ /h, 酸素 2m ³ /h) を開始 |
| ⑤ | 酸素濃度が上昇傾向 (解析上は④実施の 30 分後) | S/C への窒素注入は継続したまま, 追加で D/W への窒素注入 (窒素 198m ³ /h, 酸素 2m ³ /h) を開始 (合計で窒素 396m ³ /h, 酸素 4m ³ /h を格納容器内に注入) |
| ⑥ | PCV 圧力 0.465MPa[gage]到達 | S/C 及び D/W への窒素注入を停止 |

※ PCV : 格納容器, S/C : サプレッション・チェンバ, D/W : ドライウエル

3. 評価結果

評価結果を第 1 図から第 4 図, 評価結果のまとめを第 3 表に示す。

第 3 図及び第 4 図に示すとおり, 事象発生約 21 時間後に酸素濃度が 4.0vol% (ドライ条件) に到達するため, サプレッション・チェンバへの窒素注入を開始する。しかし, 酸素濃度の上昇が継続することから, ドライウエルへの窒素注入を追加することで, 酸素濃度の上昇が抑制される。

事象発生約 49 時間後に格納容器圧力が 0.31MPa[gage]に到達し, 窒素注入を停止するが, 酸素濃度が再度 4.0vol% (ドライ条件) に到達するため, 事象発生約 54 時間後にサプレッション・チェンバへの窒素注入を再開し, 酸素濃度の上昇継続を受けてドライウエルへの窒素注入も再開する。

その後, 事象発生約 88 時間後に格納容器圧力が 0.465MPa[gage]に到達するため, 窒素注入を停止し, 事象発生約 122 時間後に酸素濃度が 4.3vol% (ドライ条件) に到達した時点で, サプレッション・チェンバを經由したベント

を実施する。これにより、格納容器内の水素濃度及び酸素濃度は大幅に低下し、水素濃度及び酸素濃度は可燃限界未満に抑制される。

4. まとめ

何らかの要因によって酸素濃度が今回の評価よりも早く上昇する場合の評価結果への影響を確認した結果、評価項目となる酸素濃度は、事象発生から7日が経過する前に4.3vol%に到達するが、格納容器圧力逃がし装置による環境中への格納容器内の気体の排出によって水素濃度及び酸素濃度を可燃限界未満に抑制できることを確認した。

今回の感度解析に用いたG値は十分に保守的と考えられる値を用いたことから、仮に事故に至った場合でも、水の放射線分解に伴う酸素濃度の上昇速度は今回の感度解析の結果を十分下回るものと考えられるが、仮に酸素濃度の上昇速度が今回の感度解析の結果のとおりであっても、格納容器圧力逃がし装置による環境中への格納容器内の気体の排出までには約122時間の時間余裕があることを確認した。

格納容器圧力逃がし装置による対応が生じる場合、その対応フローは大破断LOCA後に代替循環冷却系を使用できない場合において、格納容器圧力逃がし装置による格納容器除熱操作の前に可搬型窒素供給装置による格納容器内への窒素注入操作を実施する流れとなり、前述のケースよりも格納容器圧力逃がし装置による環境中への格納容器内の気体の排出までの時間余裕が確保されること、格納容器内への窒素注入操作を実施する要員については他作業と重複していないことから、水素燃焼を防止する観点での事故対応は十分に可能と考えられる。環境中に放出される核分裂生成物(Cs-137)の観点でも、大破断LOCA後により短い時間(事象発生から約19時間)で格納容器圧力逃がし装置による排出を実施する場合について評価し、評価項目で

ある 100TBq を十分に下回ることを確認していることから、格納容器圧力逃がし装置による対応は可能と考える。

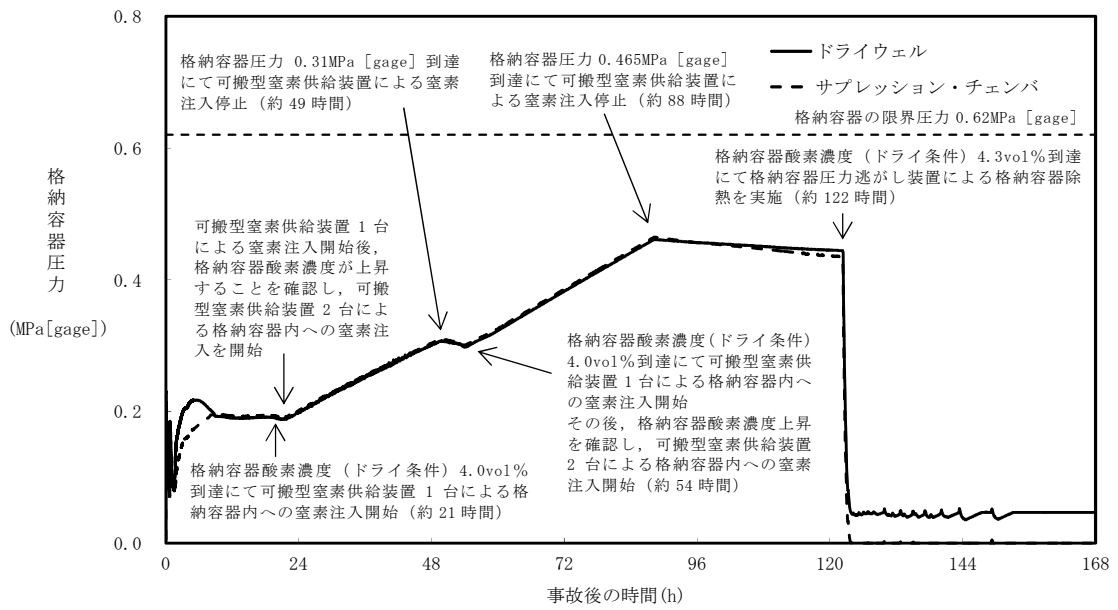
5. 参考文献

[1]「シビアアクシデントにおける可燃性ガスの挙動に関する研究」(BWR 電力共同研究, 平成 12 年 3 月)

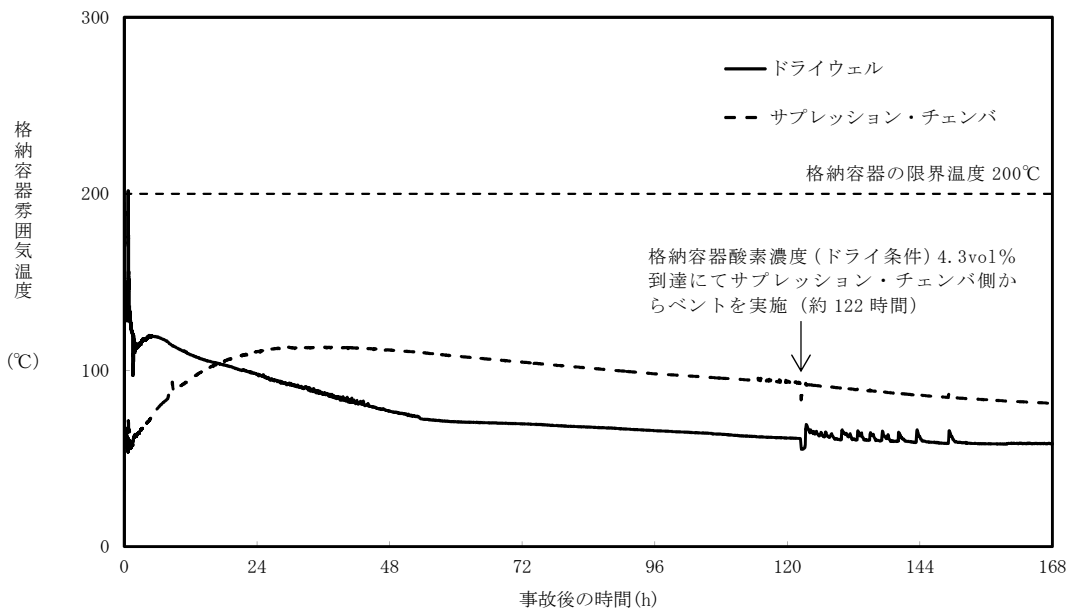
[2]「事故時放射線分解に関する研究」(BWR 電力共同研究, 昭和 63 年 3 月)

第 3 表 G 値の変更に伴う評価項目への影響 (ドライ条件)

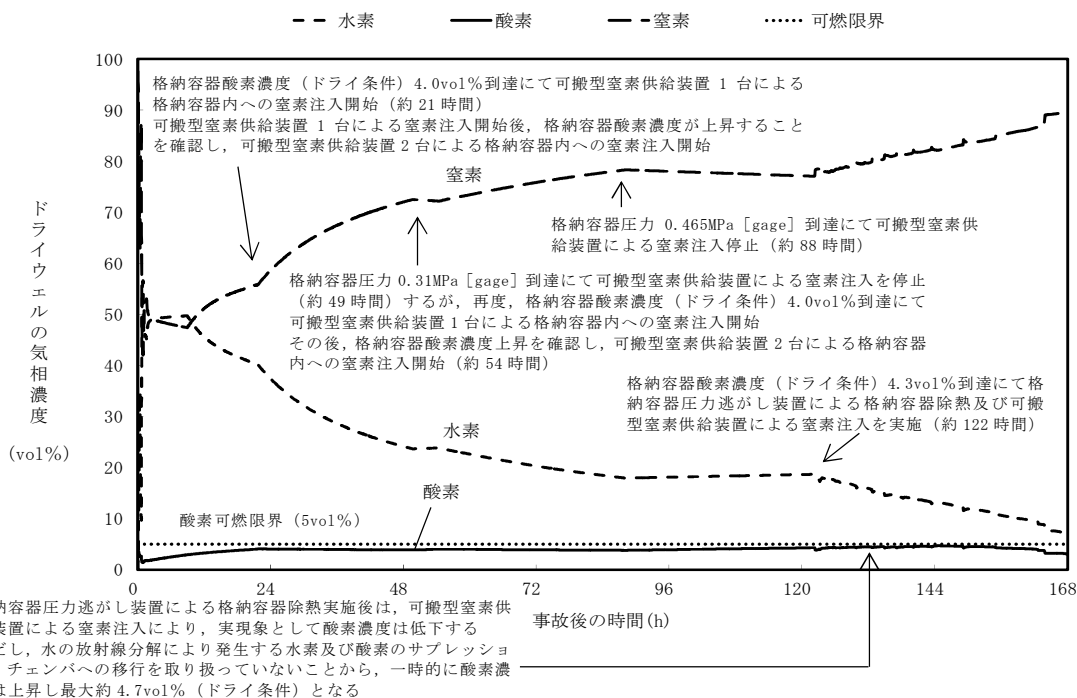
| 項目 | 感度解析 ($G(H_2)=0.4$, $G(O_2)=0.2$) | ベースケース ($G(H_2)=0.06$, $G(O_2)=0.03$) | 評価項目 |
|-----------------------------------|--|--|-------------|
| 酸素濃度 最高値 (ドライウエル) | 事象発生から約 122 時間後に、ドライウエルにおいて 4.3% に到達するため、約 122 時間時点でのサプレッション・チェンバを経由したベント実施によって、ドライウエル及びサプレッション・チェンバともに 5vol% 未満に維持できる | 約 2.8vol% (約 107 時間) | 5vol% 未満 |
| 酸素濃度 最高値 (サプレッション・ チェンバ) | | 約 4.0vol% (約 84 時間) | |



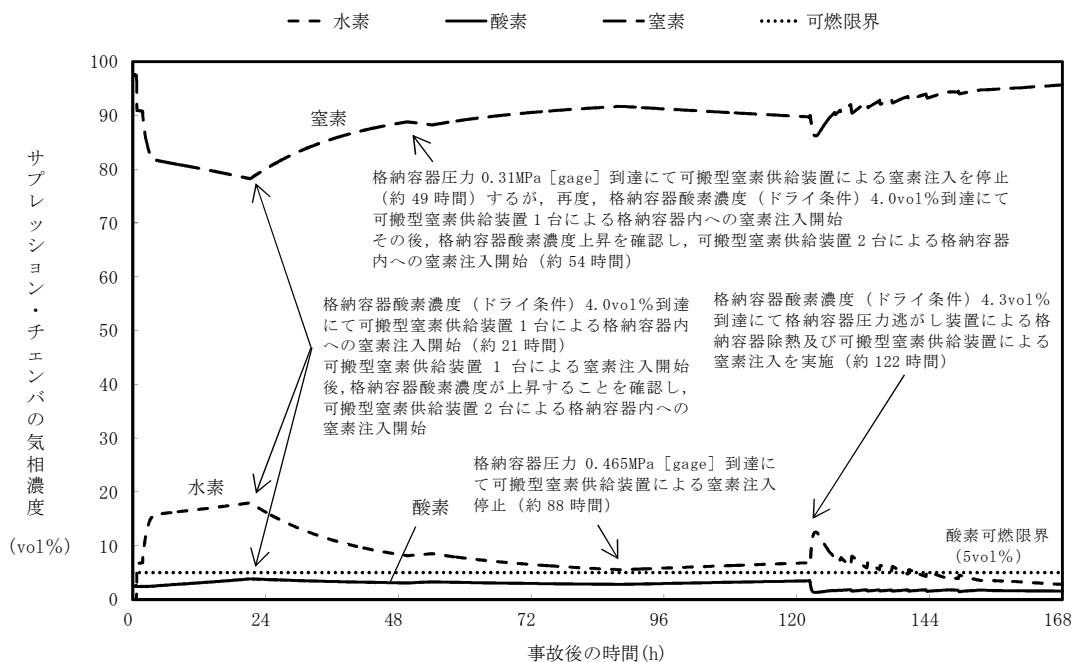
第 1 図 格納容器圧力の推移



第 2 図 格納容器雰囲気温度の推移



第 3 図 ドライウエルの気相濃度の推移 (ドライ条件)



第 4 図 サプレッション・チェンバの気相濃度の推移 (ドライ条件)

原子炉注水開始時間の評価結果への影響について

1. はじめに

今回の評価では、運転操作手順書等を踏まえ、原子炉圧力容器への注水開始時刻を事象発生から 25 分後としている。実際の事故対応においては、原子炉圧力容器への注水開始時刻が早まる又は遅れる可能性も想定される。水素燃焼のリスクの観点では、ジルコニウム-水反応による水素発生量が抑制され、相対的に酸素濃度が高くなることで水素濃度及び酸素濃度がともに可燃領域に至る可能性が考えられる。一方で、注水時点の炉心の状態によっては、ジルコニウム-水反応が促進され、水素発生量が増加する場合も考えられる。この場合には、増加した水素によって相対的に酸素濃度が低下すると考えられる。

ここでは、原子炉圧力容器への注水開始時刻が早まる又は遅れる場合を想定し、原子炉圧力容器への注水開始時刻が評価結果に与える影響を確認した。

2. 評価条件

ベースケースの評価条件に対する変更点は以下のとおり。その他の評価条件は、ベースケースと同等である。

(1) 感度解析 1 (注水開始時刻が早まる場合)

- ・原子炉圧力容器への注水開始時刻をベースケースより 10 分早くし、事象発生から 15 分後とした。また、代替循環冷却系による格納容器除熱開始時刻をベースケースより 10 分早くし、事象発生から 80 分後とした。10 分は、今後のさらなる事故対応能力の改善等を見据えて設定した値である。

(2) 感度解析 2 (注水開始時刻が遅れる場合)

- ・原子炉圧力容器への注水開始時刻をベースケースから 25 分遅延することとし、事象発生から 50 分後とした。また、代替循環冷却系による格納容器除熱開始時刻をベースケースより 25 分遅延することとし、事象発生から 115 分後とした。25 分は、原子炉圧力容器への注水が遅れたとしても、溶融炉心が炉心プレナム下部に移行しない時間であることを確認し、設定した値である。

3. 評価結果

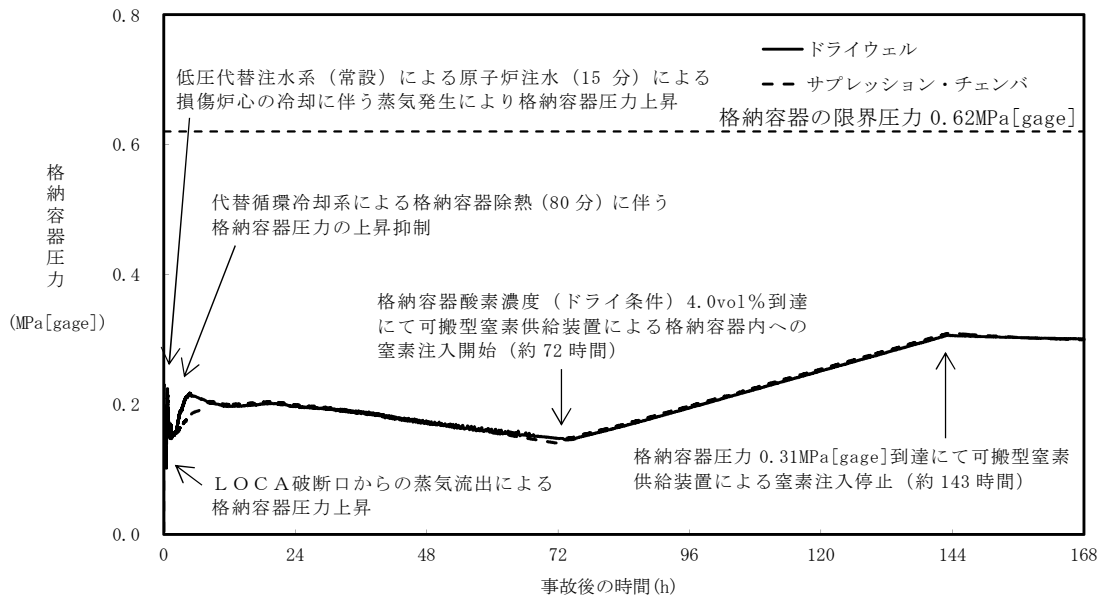
評価結果を第 1 図から第 8 図に示す。また、評価結果のまとめを第 1 表に示す。各パラメータの推移はベースケースとほぼ同等となり、事象発生から 7 日後の酸素濃度も 5vol%未満となった。

4. まとめ

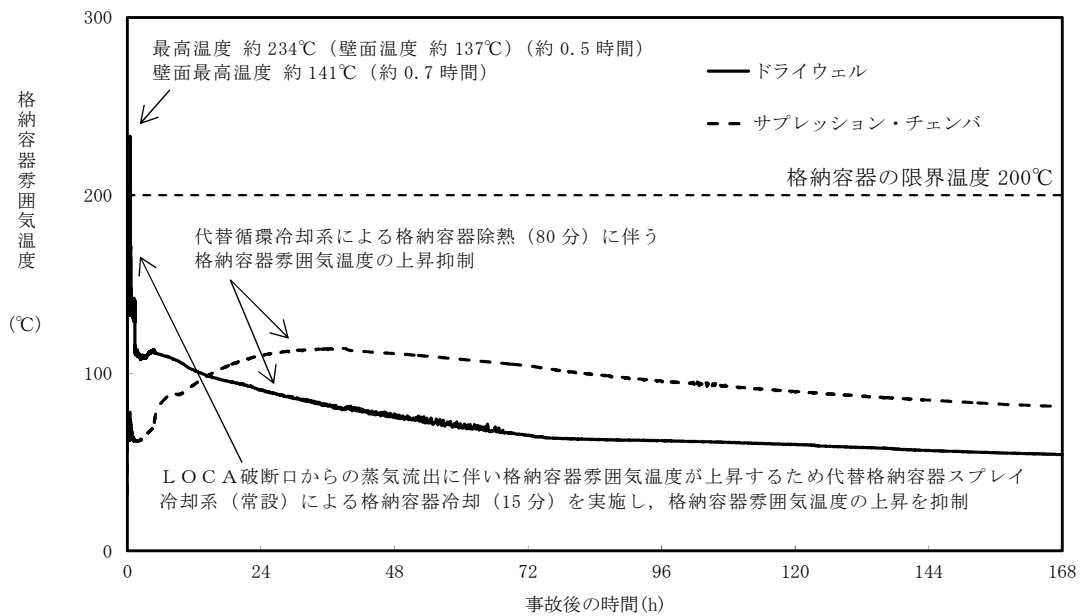
原子炉圧力容器への注水開始時刻が早まる又は遅れることによる評価結果への影響を確認した結果、評価項目となるパラメータである酸素濃度は、ベースケースと同等となった。このことから、実際の事故対応においては原子炉圧力容器への注水開始時刻が早まった又は遅れる場合においても、水素燃焼のリスクの観点での事故対応への影響はない。

第1表 原子炉压力容器への注水開始時刻の変更に伴う評価項目への影響

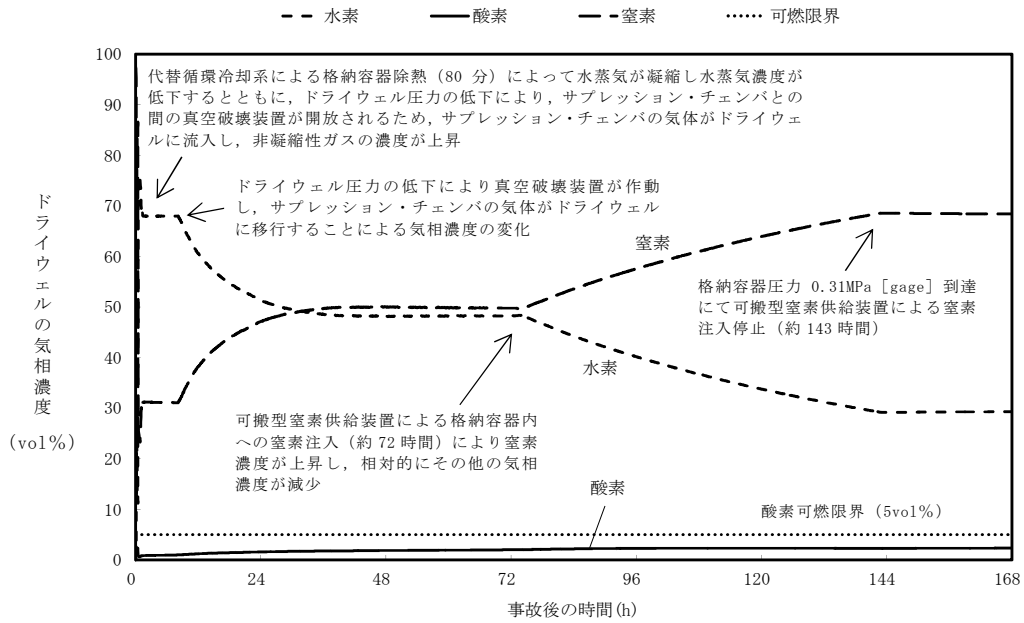
| 項目 | 原子炉压力容器への注水開始時刻 | | | 評価項目 |
|------------------------|-------------------------|------------------------|-------------------------|-------------|
| | 感度解析1 (事象発生から15分後) | 感度解析2 (事象発生から50分後) | ベースケース (事象発生から25分後) | |
| 全炉心内のジルコニウム量に対する酸化割合 | 約 15.3% | 約 7.6% | 約 10.1% | — |
| ジルコニウム-水反応による水素発生量 | 約 481kg | 約 272kg | 約 325kg | |
| 酸素濃度 (ドライウエル) | 約 2.7vol% (約 0.1 時間) | 約 2.8vol% (約 76 時間) | 約 2.8vol% (約 107 時間) | 5vol% 未満 |
| 酸素濃度 (サプレッション・チェンバ) | 約 4.0vol% (約 72 時間) | 約 4.0vol% (約 58 時間) | 約 4.0vol% (約 84 時間) | |



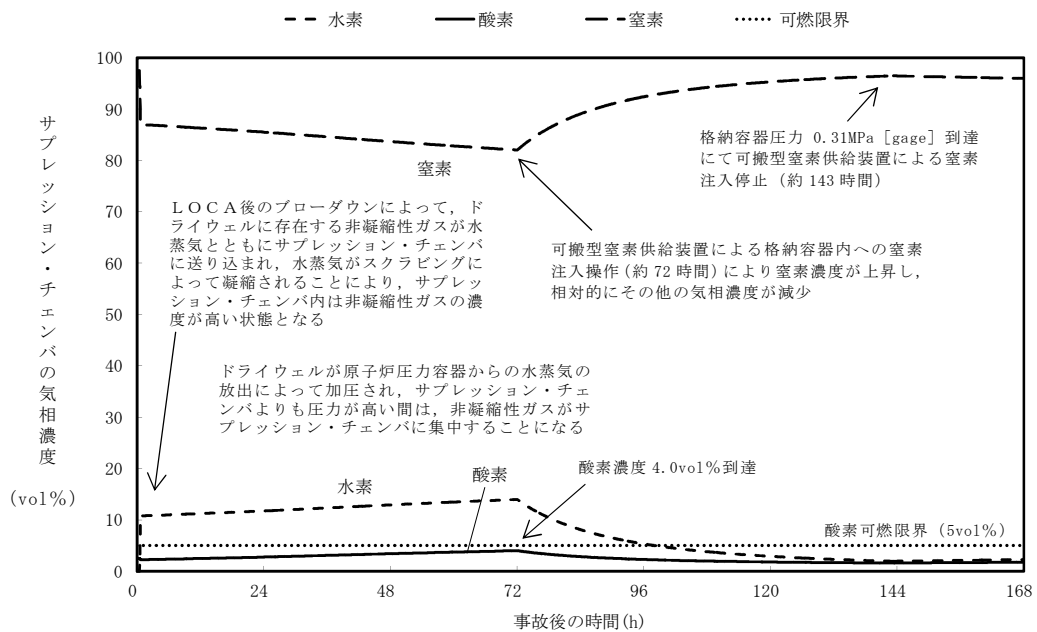
第1図 格納容器圧力の推移（感度解析1）



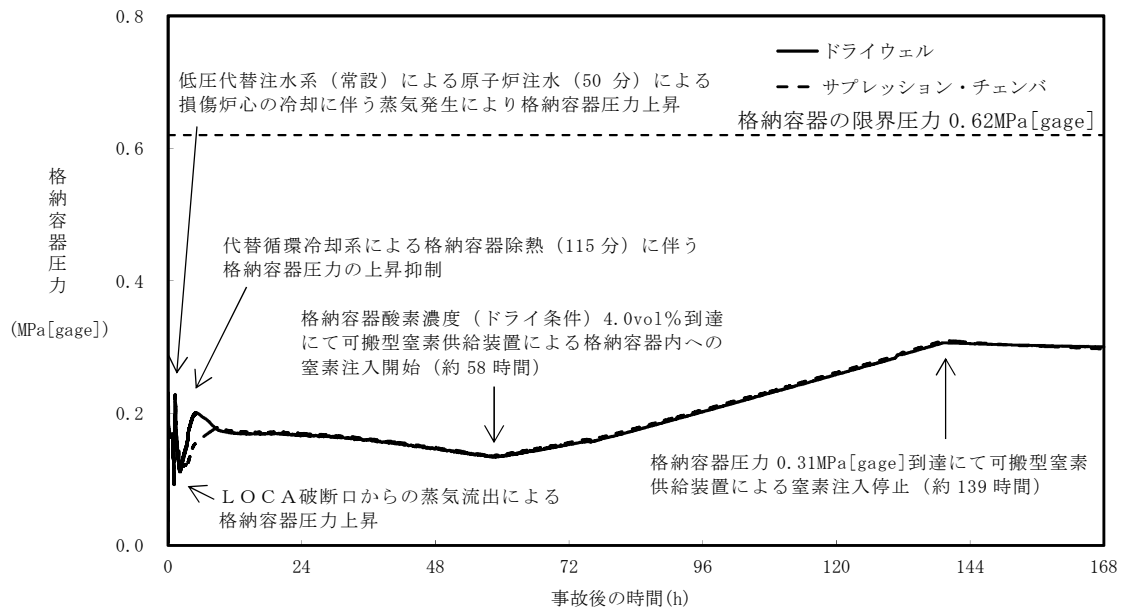
第2図 格納容器雰囲気温度の推移（感度解析1）



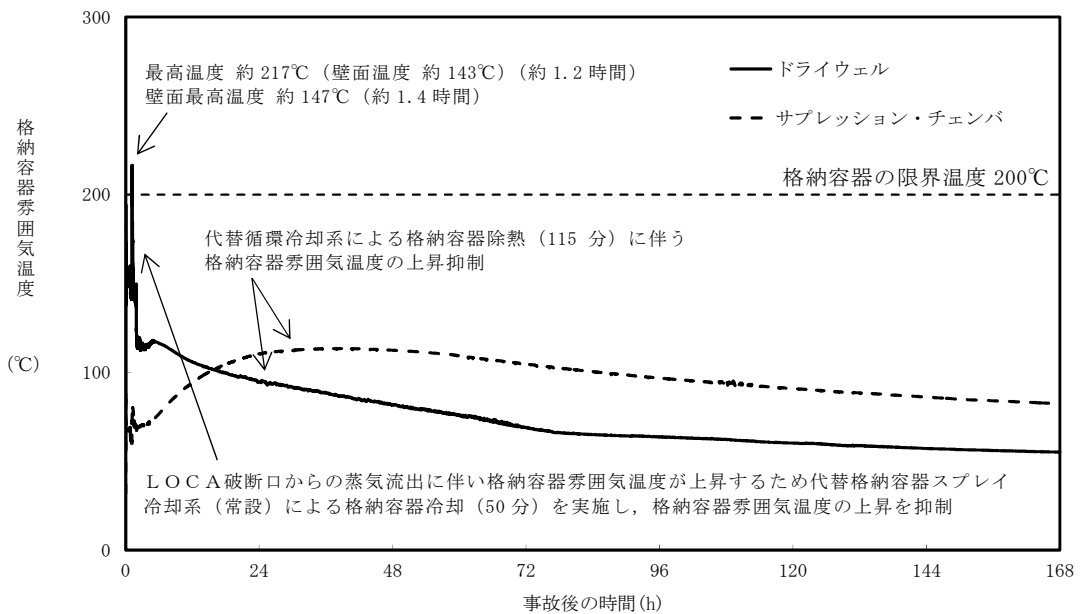
第 3 図 ドライウエルの気相濃度の推移 (ドライ条件) (感度解析 1)



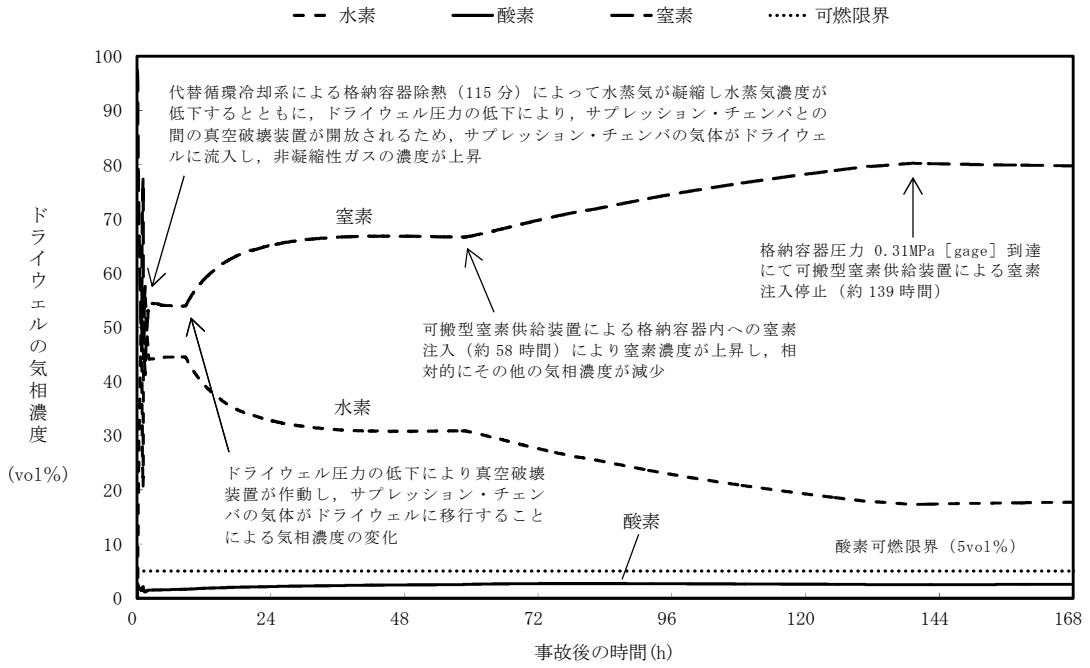
第 4 図 サブプレッション・チェンバの気相濃度の推移 (ドライ条件) (感度解析 1)



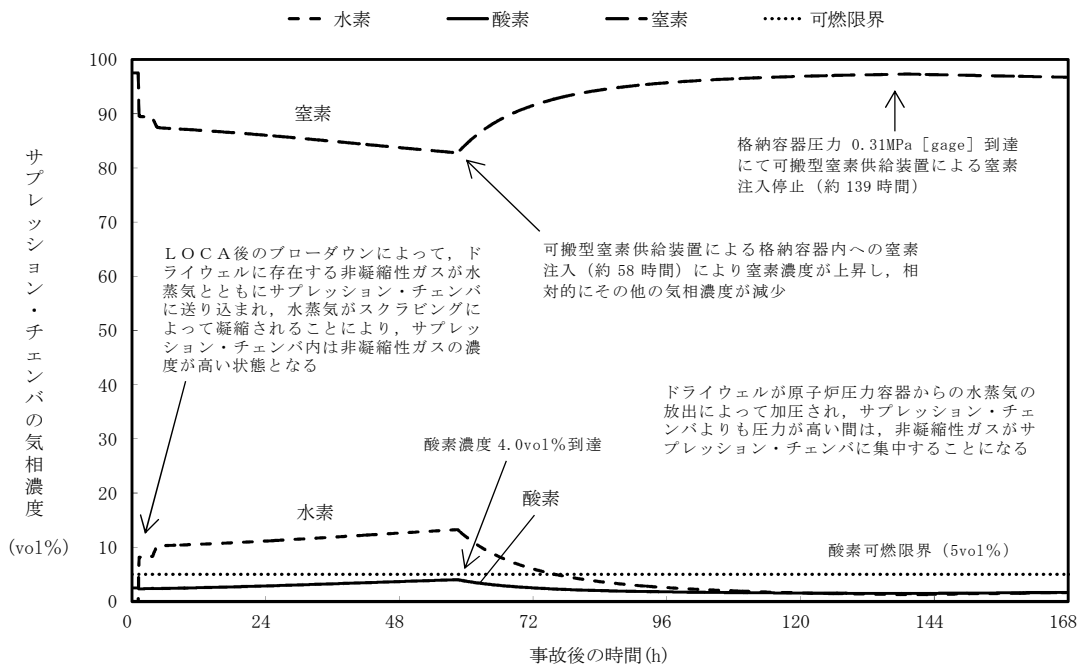
第 5 図 格納容器圧力の推移 (感度解析 2)



第 6 図 格納容器雰囲気温度の推移 (感度解析 2)



第 7 図 ドライウエルの気相濃度の推移 (ドライ条件) (感度解析 2)



第 8 図 サプレッション・チェンバの気相濃度の推移 (ドライ条件)
(感度解析 2)

格納容器内における気体のミキシングについて

BWRの格納容器内の気体のミキシング効果については、電力共同研究「格納容器内ミキシング確認試験に関する研究」(S57年度)^[1]によって、格納容器スプレイや温度差による自然対流に伴う攪拌効果がある場合には十分なミキシング効果が短時間に得られることを確認している。

格納容器破損モード「水素燃焼」における評価事故シーケンスでは、事象発生後90分までは代替格納容器スプレイ冷却系(常設)による格納容器冷却操作の実施及び格納容器内の温度差により、格納容器内は十分にミキシングされるものと考えられる。また、事象発生後90分以降は、代替循環冷却系による格納容器除熱操作の実施により、格納容器内はミキシングされるものと考えられる。さらに、崩壊熱によって炉心で発生した蒸気が格納容器内へ放出されることによってもミキシングが促進される。

格納容器スプレイを実施している場合の格納容器内の気体の流動については、上記研究にて実験的に確認されている。実験結果を第1図に示す。10vol%の空気希釈ヘリウムガスの供給を停止すると、格納容器スプレイにより短期間で十分なミキシング効果が得られることが示されている。

格納容器内雰囲気と壁面に温度差がある場合のミキシング効果についての実験結果を第2図に示す。第2図は格納容器内雰囲気と壁面に5°Cの温度差がある場合のミキシング効果を示しており10vol%の空気希釈ヘリウムガスを供給しているが、実験開始から約20分後までには十分にミキシングされることを示している。BWRの格納容器内では、原子炉圧力容器が熱源として考えられるため、格納容器内雰囲気と壁面において少なくとも5°C以上の温度差は生じているものと考えられる。このため、BWRの格納容器内において、気体が成層化する等の位置的な濃度の著しい偏りが生じる可能性は低いと考えられる。さ

らに、本試験は、より成層化の可能性が高い軽密度気体であるヘリウムにて攪拌効果を確認しているため、格納容器内での水素燃焼を防止するためのベント実施判断基準として設定している酸素については、濃度の著しい偏りが生じる可能性は更に低いと考えられる。

また、シビアアクシデント条件下における格納容器内の気体のミキシング効果については、比較的単純な形状から大規模で複雑な形状の試験装置に至る国内外の試験において検討されている。代表的なものとして、旧（財）原子力発電技術機構による試験で得られた知見^[2]を以下にまとめる。

- ・軽密度気体（試験では水素をヘリウムで模擬）の放出による自然循環のみでも、ミキシングは比較的良好であった。
- ・水蒸気発生を考慮したケースでは、ミキシングは促進された。
- ・上部区画へ軽密度気体を放出して濃度の偏りを生じさせたケースでも、格納容器スプレイを作動させることによりミキシングは達成された。

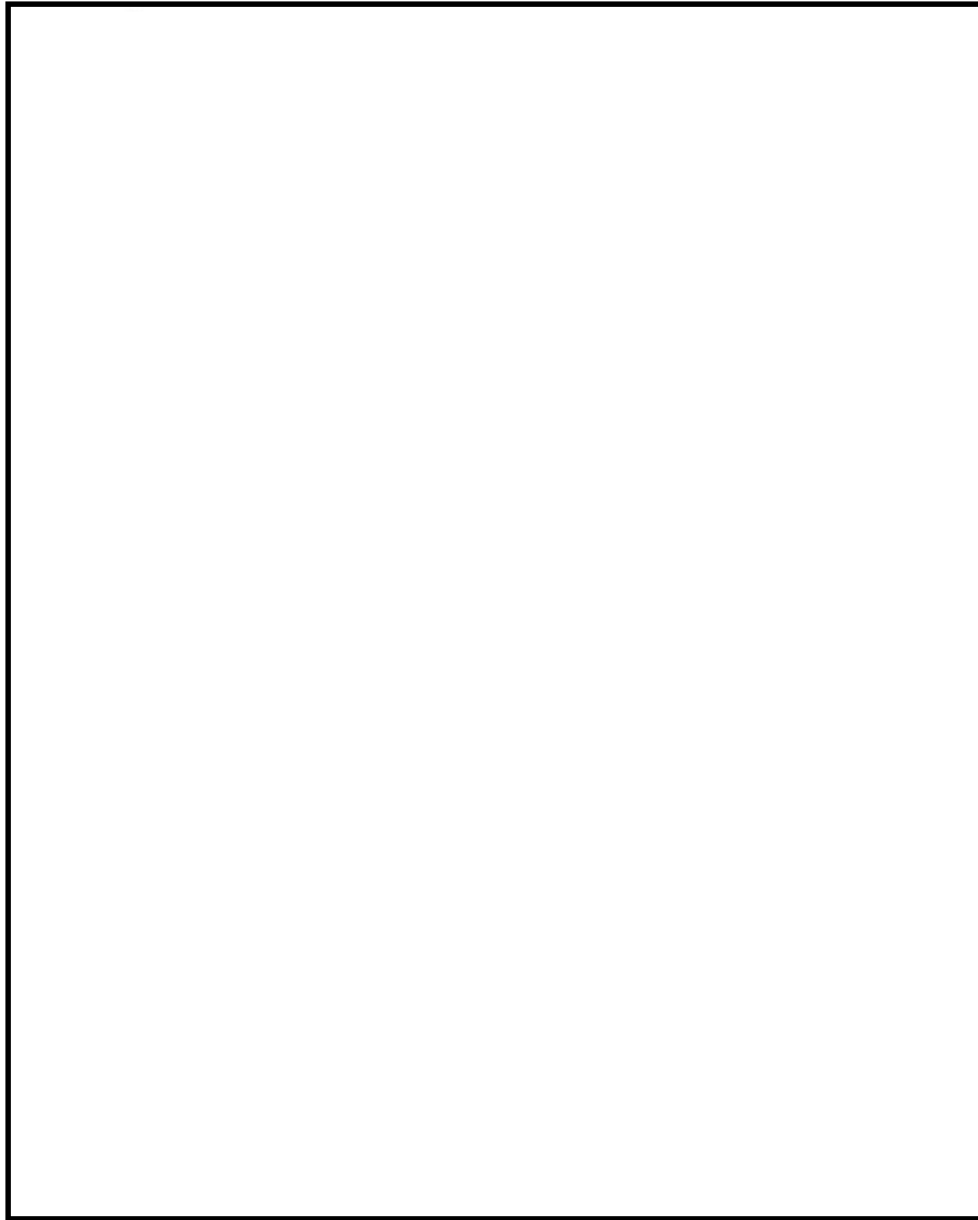
本試験はPWRプラントを模擬したものであるが、複雑な区画を含む形状においても十分なミキシングが得られたことが確認されており、BWRプラントでも同様の効果が期待できると考えられる。

したがって、これらの知見を踏まえると、格納容器破損モード「水素燃焼」における評価事故シーケンスにおいては、格納容器スプレイの実施、格納容器内の温度差等によりミキシング効果が得られると考えられる。

なお、格納容器スプレイ停止後は速やかに格納容器圧力逃がし装置による格納容器ベントを実施するため、格納容器内の可燃性ガスは排出される。

[1] 共同研究報告書、格納容器内ミキシング確認試験に関する研究(S57年度)

[2] 重要構造物安全評価（原子炉格納容器信頼性実証事業）に関する総括報告書、財団法人 原子力発電技術機構（平成15年3月）



第 1 図 格納容器スプレイ実施時のガス濃度変化



第2図 温度差によるミキシング効果（ガス濃度変化結果）

3.5 溶融炉心・コンクリート相互作用

3.5.1 格納容器破損モードの特徴，格納容器破損防止対策

(1) 格納容器破損モード内のプラント損傷状態

格納容器破損モード「溶融炉心・コンクリート相互作用」に至る可能性のあるプラント損傷状態は、「1.2 評価対象の整理及び評価項目の設定」に示すとおり，TQUV，TQUX，LOCA，長期TB，TBU，TBP及びTBDである。

(2) 格納容器破損モードの特徴及び格納容器破損防止対策の基本的考え方

格納容器破損モード「溶融炉心・コンクリート相互作用」では，発電用原子炉の運転中に運転時の異常な過渡変化，原子炉冷却材喪失事故（LOCA）又は全交流動力電源喪失が発生するとともに，非常用炉心冷却系等の安全機能の喪失が重畳する。このため，緩和措置がとられない場合には，原子炉圧力容器内の溶融炉心が格納容器内へ流れ出し，溶融炉心からの崩壊熱や化学反応によって，ペDESTAL（ドライウエル部）のコンクリートが侵食され，格納容器の構造材の支持機能を喪失し，格納容器の破損に至る。

したがって，本格納容器破損モードでは，原子炉起動時にペDESTAL（ドライウエル部）水位が約 1m となるよう注水した上で，原子炉圧力容器の下部から溶融炉心が落下する時点で，ペDESTAL（ドライウエル部）に溶融炉心の冷却に必要な水位及び水量を確保し，かつ，溶融炉心の落下後は，格納容器下部注水系（常設）によって溶融炉心を冷却すること及びペDESTAL（ドライウエル部）にコリウムシールドを設置することにより，格納容器の破損を防止するとともに，溶融炉心・コンクリート相互作用による水素発生を抑制する。

また、溶融炉心の落下後は、格納容器下部注水系（常設）によって溶融炉心を冷却するとともに、代替格納容器スプレイ冷却系（常設）による格納容器冷却を実施する。その後、代替循環冷却系又は格納容器圧力逃がし装置によって格納容器の圧力及び雰囲気温度を低下させる。

さらに、格納容器内における水素燃焼を防止するため、格納容器内の水素濃度及び酸素濃度が可燃領域に至るまでに、格納容器内へ窒素を注入することによって、格納容器の破損を防止する。

なお、本格納容器破損モードの有効性評価を実施する上では、原子炉圧力容器破損までは重大事故等対処設備による原子炉注水機能についても使用できないものと仮定し、原子炉圧力容器破損に至るものとする。一方、本格納容器破損モードに対しては、原子炉圧力容器破損後の格納容器破損防止のための重大事故等対策の有効性についても評価するため、原子炉圧力容器破損後は重大事故等対策に係る手順に基づきプラント状態を評価することとする。したがって、本評価では、原子炉圧力容器破損後も原子炉圧力容器内に残存する放射性物質の冷却のために原子炉に注水する対策及び手順を整備することから、これを考慮した有効性評価を実施することとする。

(3) 格納容器破損防止対策

格納容器破損モード「溶融炉心・コンクリート相互作用」で想定される事故シーケンスに対して、ペDESTAL（ドライウェル部）のコンクリートの侵食による原子炉圧力容器の支持機能喪失を防止するため、通常運転時からペDESTAL（ドライウェル部）に約 1m の水位を形成した上で、格納容器下部注水系（常設）によるペDESTAL（ドライウェル部）水位の確保手段並びに落下後の溶融炉心冷却のための格納容器下部注水系（常設）に

よるペDESTAL（ドライウエル部）注水手段を整備する。また、溶融炉心の落下によるペDESTAL（ドライウエル部）のコンクリート侵食を抑制するために、ペDESTAL（ドライウエル部）にコリウムシールドを設置する。

また、その後の格納容器圧力及び雰囲気温度の上昇を抑制する観点から、代替格納容器スプレイ冷却系（常設）による格納容器冷却手段、緊急用海水系による冷却水（海水）の確保手段及び代替循環冷却系による格納容器除熱手段又は格納容器圧力逃がし装置による格納容器除熱手段を整備し、長期的な格納容器内酸素濃度の上昇を抑制する観点から、可搬型窒素供給装置による格納容器内への窒素注入手段を整備する。

本格納容器破損モードに至るまでの事象進展への対応、本格納容器破損モードによる格納容器の破損防止及び格納容器の破損を防止した以降の対応を含めた一連の重大事故等対策の概要は、「3.2 高圧溶融物放出／格納容器雰囲気直接加熱」の 3.2.1(3)の a. から p. に示している。このうち、本格納容器破損モードに対する重大事故等対策は、「3.2 高圧溶融物放出／格納容器雰囲気直接加熱」の 3.2.1.(3)に示す i. 及び k. から o. である。

本格納容器破損モードに至るまでの事象進展への対応、本格納容器破損モードによる格納容器の破損防止及び格納容器の破損を防止した以降の対応を含めた一連の重大事故等対策の概略系統図は「3.2 高圧溶融物放出／格納容器雰囲気直接加熱」に示す第 3.2-1 図である。このうち、本格納容器破損モードの重大事故等対策の概略系統図は第 3.2-1 図（2/5）から第 3.2-1 図（4/5）である。本格納容器破損モードに対応する手順及び必要な要員と作業項目は「3.2 高圧溶融物放出／格納容器雰囲気直接加熱」と同じである。

3.5.2 格納容器破損防止対策の有効性評価

(1) 有効性評価の方法

本格納容器破損モードを評価する上で選定した評価事故シーケンスは、「1.2 評価対象の整理及び評価項目の設定」に示すとおり、プラント損傷状態をTQUVとし、事象進展が早く炉心損傷までの時間余裕の観点で厳しい過渡事象を起因事象とし、逃がし安全弁再閉失敗を含まない「過渡事象＋高圧炉心冷却失敗＋低圧炉心冷却失敗＋損傷炉心冷却失敗（＋デブリ冷却失敗（ペDESTAL））」である。ここで、逃がし安全弁再閉失敗を含まない事故シーケンスとした理由は、プラント損傷状態がTQUVであるため、事故対応に及ぼす逃がし安全弁再閉の成否の影響は小さいと考え、発生頻度の観点で大きい事故シーケンスを選定したためである。

また、「1.2.2.1(3) e. 溶融炉心・コンクリート相互作用」に示すとおり、プラント損傷状態の選定では、LOCAとTQUVを比較し、LOCAの場合はペDESTAL(ドライウェル部)に原子炉冷却材が流入することで溶融炉心・コンクリート相互作用が緩和される可能性等を考慮し、より厳しいと考えられるTQUVを選定した。

また、本評価事故シーケンスにおいては、電源の復旧、注水機能の確保等、必要となる事故対処設備が多く、格納容器への注水・除熱を実施するまでの対応時間を厳しく評価する観点から、全交流動力電源喪失の重畳を考慮する。

なお、本評価事故シーケンスは、「3.2 高圧溶融物放出／格納容器雰囲気直接加熱」及び「3.3 原子炉圧力容器外の溶融燃料－冷却材相互作用」において有効性を評価したシーケンスと同様のシーケンスである。本格納容器破損モード及び「3.3 原子炉圧力容器外の溶融燃料－冷却材相互作用」ではプラント損傷状態をTQUVとし、「3.2 高圧溶融物放出／格納容器

「雰囲気直接加熱」ではプラント損傷状態をT Q U Xとしており、異なるプラント損傷状態を選定している。しかしながら、どちらのプラント損傷状態であっても原子炉水位が燃料有効長底部から燃料有効長の20%上の位置に到達した時点で逃がし安全弁（自動減圧機能）の手動開操作によって原子炉減圧する手順であり、原子炉減圧以降も、熔融炉心の挙動に従って一連の流れで生じる各格納容器破損モードを、定められた一連の手順に従って防止することとなる。このことから、これらの格納容器破損モードについては同様のシーケンスで評価する。

本評価事故シーケンスでは、炉心における崩壊熱、燃料棒内温度変化、燃料棒表面熱伝達、燃料被覆管酸化、燃料被覆管変形、沸騰・ボイド率変化及び気液分離（水位変化）・対向流、炉心損傷後の原子炉圧力容器におけるリロケーション、構造材との熱伝達、下部プレナムでの熔融炉心の熱伝達、原子炉圧力容器破損及び原子炉圧力容器内F P挙動並びに炉心損傷後の格納容器における格納容器下部床面での熔融炉心の拡がり、原子炉圧力容器外F C I（熔融炉心細粒化）、原子炉圧力容器外F C I（デブリ粒子熱伝達）、熔融炉心と格納容器下部プール水との伝熱、熔融炉心とコンクリートの伝熱並びにコンクリート分解及び非凝縮性ガス発生が重要現象となる。

よって、これらの現象を適切に評価することが可能であり、原子炉圧力容器内及び格納容器内の熱水力モデルを備え、かつ、炉心損傷後のシビアアクシデント特有の熔融炉心挙動に関するモデルを有するシビアアクシデント総合解析コードM A A PによりペDESTAL（ドライウェル部）の壁面及び床面のコンクリート侵食量等の過渡応答を求める。

また、解析コード及び解析条件の不確かさの影響評価の範囲として、本評価事故シーケンスにおける運転員等操作時間に与える影響、評価項目と

なるパラメータに与える影響及び操作時間余裕を評価する。

(2) 有効性評価の条件

本評価事故シーケンスの有効性評価の条件は、「3.2 高圧溶融物放出／格納容器雰囲気直接加熱」の条件と同じである。

(3) 有効性評価の結果

本評価事故シーケンスにおけるペDESTAL（ドライウエル部）水位並びに溶融炉心コンクリート相互作用によるペDESTAL（ドライウエル部）の壁面及び床面のコンクリート侵食量の推移を第3.5-1図及び第3.5-2図に示す。

a. 事象進展

事象進展は「3.2 高圧溶融物放出／格納容器雰囲気直接加熱」と同じである。

b. 評価項目等

ペDESTAL（ドライウエル部）にコリウムシールドを設置するとともに、溶融炉心落下前のペDESTAL（ドライウエル部）水位の確保及び溶融炉心落下後のペDESTAL（ドライウエル部）への注水の継続によって、ペDESTAL（ドライウエル部）の壁面及び床面のコンクリートの温度は融点に至らないことからコンクリート侵食は生じず、ペDESTAL（ドライウエル部）の溶融炉心は適切に冷却される。また、解析コードMAAPによる評価において、コリウムシールドと溶融炉心の接触面温度は2,100℃未満であり、コリウムシールドについても侵食は生じない。なお、溶融炉心中の酸化鉄成分との共晶反応も含めて評価した場合には、コリウムシールドには3.3cm程度の侵食が生じるが、この場合において

もペDESTAL（ドライウエル部）の壁面及び床面のコンクリートの温度は融点に至らず侵食は生じない。また、コリウムシールドが侵食した場合においても、可燃性ガス及びその他の非凝縮性ガスは発生しない。

ペDESTAL（ドライウエル部）壁面のコンクリート侵食に対しては、コンクリート侵食は生じないことから、原子炉圧力容器の支持機能を維持できる。

ペDESTAL（ドライウエル部）床面のコンクリート侵食に対しては、コンクリート侵食は生じないことから、原子炉圧力容器の支持機能を維持できる。

また、溶融炉心・コンクリート相互作用による可燃性ガスの発生は、コンクリート侵食は生じないことから、可燃性ガス及びその他の非凝縮性ガスの発生はない。

その後は、ペDESTAL（ドライウエル部）に $80\text{m}^3/\text{h}$ の注水を行い、また、代替循環冷却系による格納容器除熱を継続して行うことで、安定状態を維持できる。

（添付資料 3.5.1, 3.5.2, 3.5.3）

本評価では、「1.2.2.2 有効性を確認するための評価項目の設定」に示す(8)の評価項目について、ペDESTAL（ドライウエル部）壁面及び床面のコンクリート侵食量^{*}をパラメータとして対策の有効性を確認した。なお、「1.2.2.2 有効性を確認するための評価項目の設定」に示す(4)及び(5)の評価項目の評価結果については「3.2 高圧溶融物放出／格納容器雰囲気直接加熱」及び「3.3 原子炉圧力容器外の溶融燃料－冷却材相互作用」にて評価項目を満足することを確認している。また、(1)から(3)、(6)及び(7)に示す評価項目の評価結果及びペDESTAL（ドライウエル部）に落下した溶融炉心及び格納容器の安定状態維持について

は、「3.2 高圧溶融物放出／格納容器雰囲気直接加熱」にて確認している。

※ 溶融炉心が適切に冷却されることについても、ペDESTAL（ドライウエル部）壁面及び床面のコンクリートの侵食が生じないことで確認した。

（添付資料 3.2.8）

3.5.3 解析コード及び解析条件の不確かさの影響評価

解析コード及び解析条件の不確かさの影響評価の範囲として、運転員等操作時間に与える影響、評価項目となるパラメータに与える影響及び操作時間余裕を評価するものとする。

格納容器破損モード「溶融炉心・コンクリート相互作用」では、重大事故等対処設備を含む全ての原子炉注水機能が喪失して炉心損傷及び原子炉圧力容器の破損に至り、溶融炉心がペDESTAL（ドライウエル部）へ落下してコンクリートを侵食することが特徴である。

また、不確かさの影響を確認する運転員等操作は、事象進展に有意な影響を与えると考えられる操作として、格納容器下部注水系（常設）によるペDESTAL（ドライウエル部）注水操作とする。

本評価事故シーケンスの有効性評価における現象の不確かさとしては、溶融炉心の粒子化、溶融炉心の拡がり、デブリから水への熱伝達、コリウムシールドを介した熱伝達、コンクリート種類が挙げられる。

本評価事故シーケンスの評価では、デブリ上面の性状に対して上面熱流束を変化させた場合の影響評価を実施する。なお、溶融炉心の粒子化の不確かさに対してエントレインメント係数を変化させた場合、コンクリート種類に対して壁方向と床方向の熱分配を変化させた場合の本格納容器破損モードに

対する影響は小さいことを確認している。また、コリウムシールドが金属酸化物との共晶反応により侵食される可能性を考慮し、コリウムシールドの侵食及び伝熱物性値の温度依存性を考慮した影響評価を実施する。これらの影響評価に加え、溶融炉心落下時の崩壊熱の影響を確認する観点から原子炉圧力容器破損時の崩壊熱が大きくなるよう起因事象を大破断 L O C A とした場合の影響評価を実施する。

これらの影響評価の結果、運転員等操作時間に与える影響はなく、評価項目となるパラメータに与える影響として、原子炉圧力容器の支持機能を維持できることを確認している。

また、炉心損傷の確認後、格納容器下部注水系（常設）によるペDESTAL（ドライウェル部）水位の確保操作を行い、ペDESTAL（ドライウェル部）への溶融炉心の落下に対しては、原子炉圧力容器温度（下鏡部）が 300℃に到達したこと等をもって原子炉圧力容器の破損兆候を検知し、格納容器下部水温の指示を継続監視することで原子炉圧力容器破損を認知し、ペDESTAL（ドライウェル部）への注水を行うといった兆候を捉えた対応によって、溶融炉心を確実に冷却できることを確認している。

(1) 解析コードにおける重要現象の不確かさの影響評価

本評価事故シーケンスにおいて不確かさの影響評価を行う重要現象とは、「1.7 解析コード及び解析条件の不確かさの影響評価方針」に示すとおりであり、それらの不確かさの影響評価は以下のとおりである。

a. 運転員等操作時間に与える影響

炉心における燃料棒内温度変化、燃料棒表面熱伝達、燃料被覆管酸化及び燃料被覆管変形の不確かさとして、炉心ヒートアップに関するモデルは、T M I 事故についての再現性及び C O R A 実験についての再現性

を確認している。炉心ヒートアップの感度解析（ジルコニウム－水反応速度の係数についての感度解析）では、炉心溶融開始時間及び炉心下部プレナムへの溶融炉心移行の開始時間に対する感度は数分程度であり、影響は小さいことを確認している。本評価事故シーケンスでは、原子炉压力容器破損確認後にペDESTAL（ドライウェル部）注水操作を実施するが、炉心下部プレナムへの溶融炉心移行の開始時間の不確かさは小さく、原子炉压力容器温度（下鏡部）が 300℃に到達したこと等をもって格納容器下部水温を継続監視することで、原子炉压力容器破損を速やかに判断可能であることから、原子炉压力容器破損を操作開始の起点としている原子炉压力容器破損時の格納容器冷却操作及びペDESTAL（ドライウェル部）注水操作に係る運転員等操作時間に与える影響は小さい。

炉心における沸騰・ボイド率変化及び気液分離（水位変化）・対向流の不確かさとして、炉心モデル（炉心水位計算モデル）は原子炉水位挙動について原子炉压力容器内のモデルが精緻である解析コードS A F E Rの評価結果との比較により水位低下幅は解析コードM A A Pの評価結果の方が大きく、解析コードS A F E Rに対して保守的であるものの、その差異は小さいことを確認していることから、運転員等操作時間に与える影響は小さい。

炉心損傷後の原子炉压力容器におけるリロケーション及び構造材との熱伝達の不確かさとして、溶融炉心の挙動モデルはT M I 事故についての再現性を確認している。また、炉心ノード崩壊のパラメータを低下させた感度解析により原子炉压力容器破損時間に与える影響は小さいことを確認している。原子炉压力容器破損の影響を受ける可能性がある操作としては、溶融炉心落下後のペDESTAL（ドライウェル部）への注水操作があるが、原子炉压力容器破損時間の不確かさは小さいことから、原

原子炉圧力容器破損を操作開始の起点としているペデスタル（ドライウェル部）への注水操作に係る運転員等操作時間に与える影響は小さい。

炉心損傷後の原子炉圧力容器における炉心下部プレナムでの溶融炉心の熱伝達の不確かさとして、溶融炉心の挙動モデルはTMI事故についての再現性を確認している。また、炉心下部プレナムと溶融炉心の熱伝達に関する感度解析により原子炉圧力容器破損時間に与える影響は小さいことを確認している。原子炉圧力容器破損の影響を受ける可能性がある操作としては、溶融炉心落下後のペデスタル（ドライウェル部）への注水操作があるが、原子炉圧力容器破損時間の不確かさは小さいことから、原子炉圧力容器の破損を起点としているペデスタル（ドライウェル部）への注水操作に係る運転員等操作時間に与える影響は小さい。

炉心損傷後の原子炉圧力容器における原子炉圧力容器破損の不確かさとして、制御棒駆動機構ハウジング溶接部の破損判定に用いる最大ひずみ（しきい値）に関する感度解析により最大ひずみを低下させた場合に原子炉圧力容器破損時間が早まることを確認しているが、原子炉圧力容器破損（事象発生から約4.5時間後）に対して、十数分早まる程度であり、ペデスタル（ドライウェル部）への注水は原子炉圧力容器温度（下鏡部）が300℃に到達したこと等をもって格納容器下部水温を継続監視することで、原子炉圧力容器破損を速やかに判断可能であることから、原子炉圧力容器破損を操作開始の起点としているペデスタル（ドライウェル部）への注水操作に係る運転員等操作時間に与える影響は小さい。

炉心損傷後の原子炉圧力容器における原子炉圧力容器内FP挙動の不確かさとして、核分裂生成物（FP）挙動モデルはPHEBUS-FP実験解析により原子炉圧力容器内へのFP放出の開始時間を適切に再現できることを確認している。PHEBUS-FP実験解析では、燃料被

覆管破裂後のF P放出について実験結果より急激な放出を示す結果が確認されたが、小規模体系の模擬性が原因と推測され、実機の大規模な体系においてこの種の不確かさは小さくなると推定される。本評価事故シーケンスでは、炉心損傷後の原子炉压力容器内F P放出を操作開始の起点としている運転員等操作はないことから、運転員等操作に与える影響はない。

炉心損傷後の格納容器における溶融燃料－冷却材相互作用の不確かさとして、溶融炉心の細粒化モデルにおけるエントレインメント係数、デブリ粒子径の感度解析により、原子炉压力容器外の溶融燃料－冷却材相互作用による圧カスパイクに与える影響は小さいことを確認している。本評価事故シーケンスでは、原子炉压力容器外の溶融燃料－冷却材相互作用による圧カスパイクを起点とした運転員等操作はないことから、運転員等操作時間に与える影響はない。

炉心損傷後の格納容器における格納容器下部床面での溶融炉心の拡がり及び溶融炉心と格納容器下部プール水の伝熱の不確かさとして、エントレインメント係数、溶融炉心からプール水への熱流束及び溶融プール－クラスト間の熱伝達係数がコンクリート侵食量に影響を与えることを確認している。また、コリウムシールド侵食量に対しても影響を与える可能性がある。本評価事故シーケンスでは、コリウムシールド及びコンクリート侵食を操作開始の起点としている運転員等操作はないことから、運転員等操作時間に与える影響はない。

炉心損傷後の格納容器における溶融炉心とコンクリートの伝熱、コンクリート分解及び非凝縮性ガス発生の不確かさとして、コリウムシールド及びコンクリート侵食量への影響が考えられる。本評価事故シーケンスでは、コリウムシールド及びコンクリート侵食を操作開始の起点とし

ている運転員等操作はないことから、運転員等操作時間に与える影響はない。なお、炉心損傷後の格納容器における熔融炉心とコンクリートの伝熱、コンクリート分解及び非凝縮性ガス発生の不確かさがコンクリート侵食に与える影響に関しては、実験解析によりコンクリート侵食量を適切に評価できることを確認している。また、MAAPコードにおける熔融炉心から構造材への伝熱は材質に依存しないモデルであり、コリウムシールドにも適用可能である。

(添付資料 3.5.1, 3.5.4)

b. 評価項目となるパラメータに与える影響

炉心における燃料棒内温度変化、燃料棒表面熱伝達、燃料被覆管酸化及び燃料被覆管変形の不確かさとして、炉心ヒートアップに関するモデルは、TMI事故についての再現性及びCOR A実験についての再現性を確認している。炉心ヒートアップの感度解析（ジルコニウム-水反応速度の係数についての感度解析）では、炉心熔融開始時間及び炉心下部プレナムへの熔融炉心移行の開始時間に対する感度は数分程度であり、影響は小さいことを確認している。本評価事故シーケンスでは、原子炉圧力容器破損時点でペDESTAL（ドライウェル部）に水位が形成されていることから、評価項目となるパラメータに与える影響は小さい。

炉心における沸騰・ボイド率変化及び気液分離（水位変化）・対向流の不確かさとして、炉心モデル（炉心水位計算モデル）は、原子炉水位挙動について原子炉圧力容器内のモデルが精緻である解析コードSAFERの評価結果との比較により、水位低下幅は解析コードMAAPの評価結果の方が大きく、解析コードSAFERに対して保守的であるものの、その差異は小さいことを確認している。また、原子炉圧力容器破損時点でペDESTAL（ドライウェル部）に水位が形成されていることから、

評価項目となるパラメータに与える影響は小さい。

炉心損傷後の原子炉圧力容器におけるリロケーション及び構造材との熱伝達の不確かさとして、熔融炉心の挙動モデルはTMI事故についての再現性を確認している。また、炉心ノード崩壊のパラメータを低下させた感度解析により、原子炉圧力容器破損時間に与える影響は小さいことを確認している。本評価事故シーケンスでは、原子炉圧力容器破損時点でペDESTAL（ドライウェル部）に水位が形成されていることから、評価項目となるパラメータに与える影響は小さい。

炉心損傷後の原子炉圧力容器における炉心下部プレナムでの熔融炉心の熱伝達の不確かさとして、熔融炉心の挙動モデルはTMI事故についての再現性を確認している。また、炉心下部プレナムと熔融炉心の熱伝達に関する感度解析により原子炉圧力容器破損時間に与える影響は小さいことを確認している。本評価事故シーケンスでは、原子炉圧力容器破損時点でペDESTAL（ドライウェル部）に水位が形成されていることから、評価項目となるパラメータに与える影響は小さい。

炉心損傷後の原子炉圧力容器における原子炉圧力容器破損の不確かさとして、制御棒駆動機構ハウジング溶接部の破損判定に用いる最大ひずみ（しきい値）に関する感度解析により最大ひずみを低下させた場合に原子炉圧力容器破損時間が早まることを確認しているが、原子炉圧力容器破損（事象発生から約4.5時間後）に対して、早まる時間は僅かであり、破損時間が僅かに早まった場合においても、ペDESTAL（ドライウェル部）に水位が形成されていることから、評価項目となるパラメータに与える影響は小さい。

炉心損傷後の原子炉圧力容器における原子炉圧力容器内F P挙動の不確かさとして、原子炉圧力容器内F P挙動と熔融炉心・コンクリート相

相互作用による侵食量に関連はないことから、評価項目となるパラメータに与える影響はない。

炉心損傷後の格納容器における溶融燃料－冷却材相互作用の不確かさとして、エントレインメント係数の感度解析により溶融炉心の細粒化割合がコンクリート侵食に与える感度は小さいことを確認しており、また溶融炉心の温度に対する感度は小さく、コリウムシールド侵食に与える感度についても同様に小さいことから、評価項目となるパラメータに与える影響は小さい。

炉心損傷後の格納容器における格納容器下部床面での溶融炉心の拡がりについて、溶融炉心の拡がりが抑制されると想定し種々の不均一な堆積形状を考慮した場合、溶融炉心の拡がりが抑制されない均一堆積形状よりも溶融炉心と水との伝熱面積が大きくなり、溶融炉心の冷却が促進される傾向となると評価しており、コリウムシールド及びコンクリートの侵食への影響はなく、評価項目となるパラメータに与える影響はない。また、溶融炉心と格納容器下部のプール水の伝熱の不確かさとして、エントレインメント係数、溶融炉心からプール水への熱流束及び溶融プールクラスト間の熱伝達係数の感度解析を踏まえ、コンクリート侵食量について支配的な溶融炉心からプール水への熱流束についての感度解析を実施した。感度解析の結果、コリウムシールド及びコンクリートの侵食は生じず、原子炉圧力容器の支持機能を維持できる。これは、落下した溶融炉心はペDESTAL（ドライウェル部）水によって冷却されコリウムシールドが侵食開始温度に到達する前に溶融炉心の温度は $2,100^{\circ}\text{C}$ を下回ることで、溶融炉心からプール水へは崩壊熱以上の除熱がなされ溶融炉心の温度は $2,100^{\circ}\text{C}$ 未満を維持することから、コリウムシールドは侵食開始温度に到達せず、コンクリート侵食が抑制されたものである。

なお、本感度解析では、溶融炉心・コンクリート相互作用によってコンクリート侵食は生じないことから可燃性ガス及びその他の非凝縮性ガスは発生せず、格納容器圧力や格納容器内の水素濃度及び酸素濃度への影響はない。

コリウムシールドの伝熱物性値の温度依存性の影響については、「3.5.3 (4) コリウムシールドの侵食及び伝熱物性値の温度依存性を考慮した影響評価」において、評価項目となるパラメータに与える影響を確認する。

(添付資料 3.5.1, 3.5.4)

(2) 解析条件の不確かさの影響評価

a. 初期条件、事故条件及び重大事故等対策に関連する機器条件

初期条件、事故条件及び重大事故等対策に関連する機器条件は、第3.2-2 表に示すとおりであり、それらの条件設定を設計値等、最確条件とした場合の影響を評価する。また、解析条件の設定に当たっては、評価項目となるパラメータに対する余裕が小さくなるような設定があることから、その中で事象進展に有意な影響を与えると考えられる項目に関する影響評価の結果を以下に示す。

(a) 運転員等操作時間に与える影響

初期条件の原子炉停止後の崩壊熱は、解析条件の燃焼度 33GWd/t に対応したものとしており、その最確条件は平均的燃焼度約 31GWd/t であり、解析条件の不確かさとして、最確条件とした場合は、解析条件で設定している崩壊熱よりも小さくなるため、発生する蒸気量は少なくなり、原子炉圧力容器の破損に至るまでの事象進展は緩和されるが、操作手順（溶融炉心落下後にペDESTAL（ドライウェル部）へ

の注水操作を開始すること) に変わりはないことから、運転員等操作時間に与える影響はない。

初期条件の溶融炉心からプール水への熱流束は、解析条件の $800\text{kW}/\text{m}^2$ 相当 (圧力依存あり) に対して、最確条件は $800\text{kW}/\text{m}^2$ 相当 (圧力依存あり) であり、最確条件とした場合は、解析条件と同様であるため、事象進展に与える影響はないことから、運転員等操作時間に与える影響はない。

初期条件のコンクリート以外の構造材の扱いは、解析条件の鉄筋は考慮しないことに対して最確条件はコンクリート以外の構造材を考慮することであり、解析条件の不確かさとして、最確条件とした場合は、コンクリートより融点が高い鉄筋の耐熱の効果により、溶融炉心・コンクリート相互作用によるコンクリート侵食が抑制されるが、コンクリート侵食量を操作開始の起点としている運転員等操作はないことから、運転員等操作時間に与える影響はない。また、コリウムシールドについては、機器条件にて考慮している。

初期条件の原子炉圧力容器下部及びペDESTAL (ドライウェル部) 内構造物の扱いは、解析条件のペDESTAL (ドライウェル部) に落下する溶融物とは扱わないことに対して、最確条件は部分的な溶融が生じ、ペDESTAL (ドライウェル部) に落下する可能性があり、解析条件の不確かさとして、最確条件とした場合は、溶融物の発熱密度が下がるため、溶融炉心・コンクリート相互作用によるコンクリート侵食及びコリウムシールド侵食が抑制されるが、コンクリート侵食量及びコリウムシールド侵食量を操作開始の起点としている運転員等操作はないことから、運転員等操作時間に与える影響はない。

初期条件の原子炉圧力、原子炉水位、炉心流量、格納容器体積 (サ

プレッション・チェンバ) の空間部及び液相部, サプレッション・プール水位, 格納容器圧力及び格納容器雰囲気温度は, 解析条件の不確かさとして, ゆらぎにより解析条件に対して変動を与え得るが, 事象進展に与える影響は小さいことから, 運転員等操作時間に与える影響は小さい。

事故条件の起因事象は, 原子炉圧力容器への給水はできないものとして給水流量の全喪失を設定しているが, 起因事象の違いによって操作手順(熔融炉心落下後にペデスタル(ドライウエル部)への注水操作を開始すること)に変わりはないことから, 運転員等操作時間に与える影響はない。

機器条件のコリウムシールドは, 解析条件の侵食開始温度 $2,100^{\circ}\text{C}$ に対して最確条件は侵食開始温度 $2,100^{\circ}\text{C}$ であり, 最確条件とした場合は, 解析条件と同様であるため, 事象進展に影響はないことから, 運転員等操作時間に与える影響はない。なお, 熔融炉心中の酸化鉄成分との共晶反応も含めて評価すると, コリウムシールドには 3.3cm 程度の侵食が生じるものの, コリウムシールドの侵食を操作開始の起点としている運転員等操作はないことから, 運転員等操作時間に与える影響はない。

(添付資料 3.5.1, 3.5.4)

(b) 評価項目となるパラメータに与える影響

初期条件の原子炉停止後の崩壊熱は, 解析条件の燃焼度 $33\text{GWd}/\text{t}$ に対応したものとしており, その最確条件は平均的燃焼度約 $31\text{GWd}/\text{t}$ であり, 解析条件の不確かさとして, 最確条件とした場合は, 解析条件で設定している崩壊熱よりも小さくなるため, 熔融炉心の持つエネルギーが小さくなることから, 評価項目となるパラメータに対する余

裕は大きくなる。

初期条件の溶融炉心からプール水への熱流束は、解析条件の $800\text{kW}/\text{m}^2$ 相当（圧力依存あり）に対して最確条件は $800\text{kW}/\text{m}^2$ 相当（圧力依存あり）であり、最確条件とした場合は、解析条件と同様であるため、事象進展に影響はないことから、評価項目となるパラメータに与える影響はない。コンクリート侵食量に対しては、実験で確認されている侵食面における侵食の不均一性等の影響を確認する観点から、コンクリート侵食量への影響が最も大きい溶融炉心からプール水への熱流束について、感度解析を実施した。感度解析の結果、コリウムシールド及びコンクリートの侵食は生じず、原子炉圧力容器の支持機能を維持できる。なお、本感度解析では、溶融炉心・コンクリート相互作用による可燃性ガス及びその他の非凝縮性ガスの発生はない。

初期条件のコンクリート以外の構造材の扱いは、解析条件の鉄筋は考慮しないことに対して最確条件はコンクリート以外の構造材を考慮することであり、解析条件の不確かさとして、最確条件とした場合は、コンクリートより融点が高い鉄筋の耐熱の効果により、溶融炉心・コンクリート相互作用によるコンクリート侵食が抑制されることから、評価項目となるパラメータに対する余裕は大きくなる。また、コリウムシールドについては、機器条件にて考慮している。

初期条件の原子炉圧力容器下部及びペDESTAL（ドライウェル部）内構造物の扱いは、解析条件のペDESTAL（ドライウェル部）に落下する溶融物とは扱わないことに対して最確条件は部分的な溶融が生じ、ペDESTAL（ドライウェル部）に落下する可能性があり、解析条件の不確かさとして、最確条件とした場合は、溶融物の発熱密度が下がるため、溶融炉心・コンクリート相互作用によるコンクリート侵食及び

コリウムシールドの侵食が抑制されることから、評価項目となるパラメータに対する余裕は大きくなる。

初期条件の原子炉圧力、原子炉水位、炉心流量、格納容器体積（サプレッション・チェンバ）の空間部及び液相部、サプレッション・プール水位、格納容器圧力及び格納容器雰囲気温度は、解析条件の不確かさとして、ゆらぎにより解析条件に対して変動を与え得るが、事象進展に与える影響は小さいことから、評価項目となるパラメータに与える影響は小さい。

事故条件について、溶融炉心・コンクリート相互作用によるコンクリート侵食量を評価するに当たり、溶融炉心落下時の崩壊熱の影響を確認する観点から感度解析を実施した。感度解析は、原子炉水位の低下の観点でより厳しい事象である L O C A 等の原子炉冷却材圧力バウンダリ喪失を仮定し、事故シーケンスを「大破断 L O C A + 高圧炉心冷却失敗 + 低圧炉心冷却失敗」とし、本評価事故シーケンスの解析条件と同様、電源の有無に係らず重大事故等対処設備による原子炉注水機能についても原子炉圧力容器破損まで使用できないものと仮定した。

その結果、原子炉圧力容器破損のタイミングが約 3.3 時間と早くなるため、溶融炉心落下時の崩壊熱が大きくなるが、コリウムシールド及びコンクリートの侵食は生じず、原子炉圧力容器の支持機能を維持できる。また、コンクリート侵食は生じないことから、可燃性ガス及びその他の非凝縮性ガスは発生しない。なお、本評価においては事象発生から約 79 時間後に格納容器内酸素濃度が 4.0vol%（ドライ条件）に到達するが、可搬型窒素供給装置による格納容器内への窒素注入を行うことによって、酸素濃度の最高値は約 4.0vol%（ドライ条件）にとどまることから、可燃限界である 5vol%（ドライ条件）を下回

る。

機器条件のコリウムシールドは、解析条件の侵食開始温度 2,100°C に対して最確条件は侵食開始温度 2,100°C であり、最確条件とした場合は、解析条件と同様であるため、事象進展に影響はないことから、評価項目となるパラメータに与える影響はない。なお、熔融炉心中の酸化鉄成分との共晶反応も含めて評価すると、コリウムシールドには 3.3cm 程度の侵食が生じるが、この影響については「3.5.3(4) コリウムシールドの侵食及び伝熱物性値の温度依存性を考慮した影響評価」にて、評価項目となるパラメータに与える影響は小さいことを確認している。

(添付資料 3.5.1, 3.5.4)

b. 操作条件

操作条件の不確かさとして、操作の不確かさを「認知」、「要員配置」、「移動」、「操作所要時間」、「他の並列操作有無」及び「操作の確実さ」の 6 要因に分類し、これらの要因が運転員等操作時間に与える影響を評価する。また、運転員等操作時間に与える影響が評価項目となるパラメータに与える影響を評価し、評価結果を以下に示す。

(a) 運転員等操作時間に与える影響

操作条件の格納容器下部注水系（常設）によるペDESTAL（ドライウエル部）注水操作は、解析上の操作時間として原子炉压力容器破損から 7 分後（事象発生から約 4.6 時間後）を設定している。運転員等操作時間に与える影響として、原子炉压力容器破損までに事象発生から約 4.5 時間の時間余裕があり、また、熔融炉心落下後にペDESTAL（ドライウエル部）注水が行われなかった場合でも、ペDESTAL（ドライウエル部）プール水が蒸発し、熔融炉心が露出するまでには約

0.3 時間の時間余裕がある。熔融炉心落下後の格納容器下部注水系（常設）によるペDESTAL（ドライウェル部）注水操作は原子炉圧力容器温度（下鏡部）が 300℃に到達したこと等をもって破損兆候を検知し、原子炉圧力容器の破損判断パラメータである格納容器下部水温の指示を継続監視することで原子炉圧力容器破損を判断し、注水操作を実施することとしており、実態の操作開始時間は解析上の設定とほぼ同等であるため、操作開始時間に与える影響は小さいことから、運転員等操作時間に与える影響も小さい。当該操作は、解析コード及び解析条件（操作条件を除く）の不確かさにより操作開始時間は遅くなる可能性があるが、中央制御室での操作のみであり、当直運転員は中央制御室に常駐していること、また、当該操作に対応する当直運転員に他の並列操作はないことから、操作時間に与える影響はない。

（添付資料 3.2.2, 3.5.4）

(b) 評価項目となるパラメータに与える影響

操作条件の熔融炉心落下後の格納容器下部注水系（常設）によるペDESTAL（ドライウェル部）注水操作は、運転員等操作時間に与える影響として、実態の操作開始時間は解析上の設定とほぼ同等であることから、評価項目となるパラメータに与える影響は小さい。

（添付資料 3.5.4）

(3) 操作時間余裕の把握

操作開始時間の遅れによる影響度合いを把握する観点から、評価項目となるパラメータに対して、対策の有効性が確認できる範囲内での操作時間余裕を確認し、その結果を以下に示す。

操作条件の熔融炉心落下後の格納容器下部注水系（常設）によるペDES

タル（ドライウェル部）注水操作については、原子炉圧力容器破損までの時間は事象発生から約 4.5 時間あり、また、溶融炉心落下後にペDESTAL（ドライウェル部）注水が行われなかった場合でも、ペDESTAL（ドライウェル部）プール水が溶融炉心の崩壊熱及びジルコニウム－水反応による発熱により蒸発し、溶融炉心が露出するまでには約 0.3 時間の時間余裕がある。

（添付資料 3.2.14, 3.5.4）

(4) コリウムシールドの侵食及び伝熱物性値の温度依存性を考慮した影響評価

コリウムシールドの材質であるジルコニアは、溶融炉心中に存在する金属酸化物との共晶反応を考慮した場合に侵食される可能性がある。また、MAAPコードにおけるコリウムシールドの伝熱モデルには伝熱物性値の温度依存性の不確かさが考えられる。このため、コリウムシールド設置に伴うこれらの影響を考慮した感度解析を実施した。

解析条件について、既往実験の知見を踏まえた金属酸化物との共晶反応を考慮し、コリウムシールドの厚さを 11cm とした。また、コリウムシールドの熱伝導率及び比熱はペDESTAL（ドライウェル部）の温度を厳しく評価するため、常温時のジルコニアの物性値とした。

第 3.5-3 図にペDESTAL（ドライウェル部）壁面及び床面のコンクリートの温度の推移を示す。感度解析の結果、溶融炉心と接するコリウムシールドの温度は融点に至らず侵食は進行せず、また、ペDESTAL（ドライウェル部）コンクリートの壁面及び床面の温度も融点に至らず侵食しないことを確認した。したがって、コリウムシールドの侵食及び伝熱物性値の温度依存性を考慮した場合においても、評価項目となるパラメータに与え

る影響は小さい。

(添付資料 3.5.1)

(5) ま と め

解析コード及び解析条件の不確かさの影響評価の範囲として、運転員等操作時間に与える影響、評価項目となるパラメータに与える影響及び操作時間余裕を確認した。また、コリウムシールドの侵食及び伝熱物性値の温度依存性を考慮した感度解析を実施した。その結果、解析コード及び解析条件の不確かさが運転員等操作時間に与える影響等を考慮した場合においても、評価項目となるパラメータに与える影響は小さい。このほか、評価項目となるパラメータに対して、対策の有効性が確認できる範囲内において、操作時間には時間余裕がある。

なお、「3.2 高圧溶融物放出／格納容器雰囲気直接加熱」において、原子炉圧力容器破損後の原子炉注水を考慮しない場合の影響について感度解析を実施しており、評価項目となるパラメータに対する影響は小さいことを確認している。

(添付資料3.2.10)

3.5.4 必要な要員及び資源の評価

本評価事故シーケンスは、「3.2 高圧溶融物放出／格納容器雰囲気直接加熱」と同じであることから、必要な要員及び資源の評価は「3.2.4 必要な要員及び資源の評価」と同じである。

3.5.5 結 論

格納容器破損モード「溶融炉心・コンクリート相互作用」では、運転時の

異常な過渡変化，原子炉冷却材喪失事故（L O C A）又は全交流動力電源喪失が発生するとともに，非常用炉心冷却系等の安全機能の喪失が重畳する。このため，原子炉圧力容器内の溶融炉心が格納容器内へ流れ出し，溶融炉心からの崩壊熱や化学反応によって，ペDESTAL（ドライウエル部）のコンクリートが侵食され，格納容器の構造部材の支持機能を喪失し，格納容器の破損に至ることが特徴である。格納容器破損モード「溶融炉心・コンクリート相互作用」に対する格納容器破損防止対策としては，原子炉起動時にペDESTAL（ドライウエル部）水位が約 1m となるよう注水した上で，格納容器下部注水系（常設）によるペDESTAL（ドライウエル部）水位の確保手段を整備している。また，落下後の溶融炉心冷却のため格納容器下部注水系（常設）によるペDESTAL（ドライウエル部）注水手段を整備している。さらに，溶融炉心の落下によるペDESTAL（ドライウエル部）のコンクリート侵食を抑制するために，ペDESTAL（ドライウエル部）にコリウムシールドを設置している。

格納容器破損モード「溶融炉心・コンクリート相互作用」の評価事故シナリオ「過渡事象＋高圧炉心冷却失敗＋低圧炉心冷却失敗＋損傷炉心冷却失敗（＋デブリ冷却失敗（ペDESTAL））」について，有効性評価を行った。

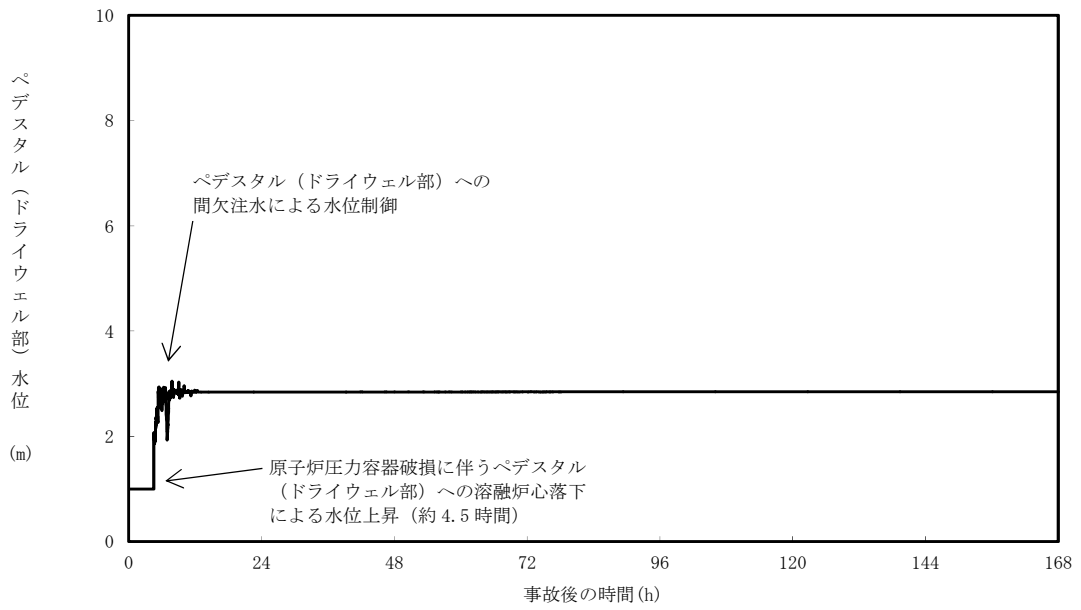
上記の場合においても，格納容器下部注水系（常設）によるペDESTAL（ドライウエル部）水位の確保，ペDESTAL（ドライウエル部）注水を実施することにより，溶融炉心の冷却が可能である。その結果，溶融炉心・コンクリート相互作用によるコンクリートの侵食は生じず，原子炉圧力容器の支持機能を維持できる。また，安定状態を維持できる。

解析コード及び解析条件の不確かさについて確認した結果，運転員等操作時間に与える影響及び評価項目となるパラメータに与える影響は小さい。また，対策の有効性が確認できる範囲内において，操作時間余裕について確認

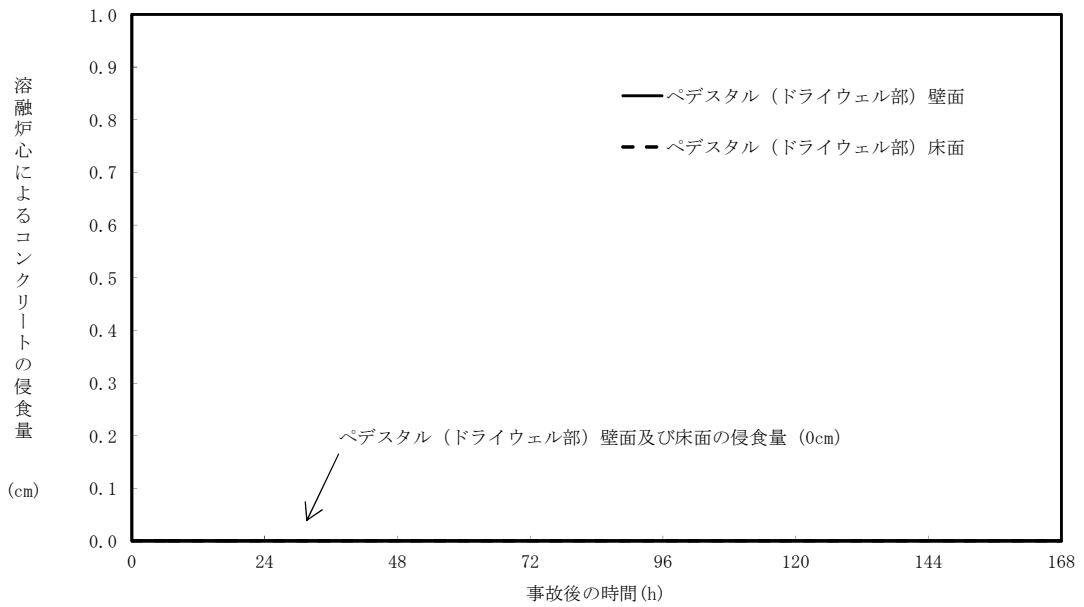
した結果、操作が遅れた場合でも一定の余裕がある。

重大事故等対策時に必要な要員は、災害対策要員にて確保可能である。また、必要な水源、燃料及び電源を供給可能である。

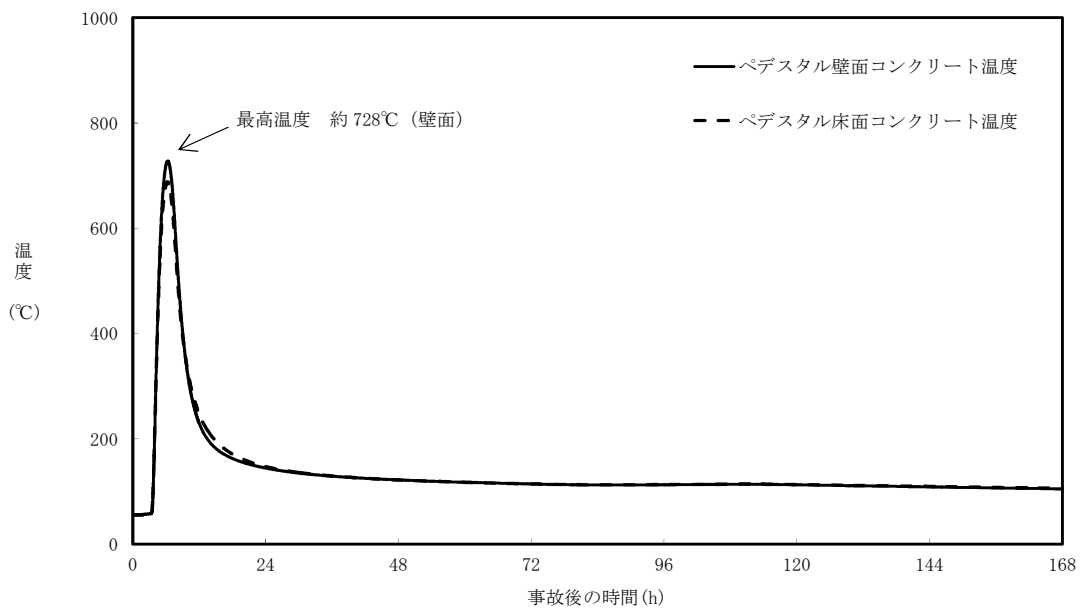
以上のことから、格納容器下部注水系（常設）によるペDESTAL（ドライウエル部）への注水等の格納容器破損防止対策は、選定した評価事故シナリオに対して有効であることが確認でき、格納容器破損モード「溶融炉心・コンクリート相互作用」に対して有効である。



第 3.5-1 図 ベデスタル（ドライウエル部）の水位の推移



第 3.5-2 図 ベデスタル（ドライウエル部）の壁面及び床面のコンクリート侵食量の推移



第 3.5-3 図 コリウムシールドの侵食及び伝熱物性値の温度依存性を考慮した場合のペDESTAL（ドライウェル部）の壁面及び床面のコンクリート温度の推移

コリウムシールドを考慮した溶融炉心・コンクリート相互作用による
侵食量評価について

格納容器破損モード「溶融炉心・コンクリート相互作用」に対する重大事故等対処設備であるコリウムシールドについて、解析コードにおける取扱いを示すとともに、解析コード及び解析条件の不確かさの影響について整理する。

1. 解析コードにおけるコリウムシールドの取扱いについて

解析コードMAAPにおける、溶融炉心・コンクリート相互作用（以下「MCCI」という。）伝熱モデルでは、溶融炉心-コンクリート間の伝熱、クラストの伝熱と厚さ、上部クラスト-水プール間熱伝達が考慮されている。ここでは、コリウムシールド模擬に伴う設定の変更点及び評価モデルの適用性について示す。

(1) コリウムシールドの模擬について

解析コードMAAPにおけるMCCI伝熱モデルの概念図を第1図に示す。解析コードMAAPによる侵食量評価では、本モデルのうちコンクリートの物性値として設定されている以下のパラメータについて ZrO_2 の物性値を固定値で設定し、コリウムシールドを模擬している。なお、通常のコリウムシールド評価モデルではコンクリート表面に存在するライナを考慮しているが、コリウムシールドの模擬に当たってはライナの物性値についてもコリウムシールド耐熱材のものを設定し、ライナを考慮しないモデルとしている。

- ・ 侵食開始温度
- ・ 密度
- ・ 比熱

- ・ 熱伝導率
- ・ 溶融潜熱

侵食開始温度については、化学反応等による侵食開始温度低下を考慮した保守的な設定としている（別添 1）。また、落下した溶融炉心とコリウムシールド間の接触面温度は侵食開始温度未満であることから、コリウムシールドの侵食は発生しない。なお、解析上はコリウムシールドの厚さを考慮し、コリウムシールド裏面にはコンクリートが配置されたモデル^{※1}として評価を実施しているが、コンクリートーコリウムシールド間の伝熱において接触熱抵抗は考慮していない。

以上のとおり、解析コードMAAPにおいてコリウムシールドを適切に模擬している。

※1 ペDESTAL（ドライウェル部）壁面，床のコンクリートとドライウェル，サプレッション・チェンバ雰囲気との伝熱についても考慮している。

(2) 溶融炉心ーコリウムシールド間の伝熱

溶融炉心ーコリウムシールド間の伝熱は、溶融炉心ーコンクリート間の伝熱と同様のモデルを用いている。溶融プールからクラスト，クラストから構造材への伝熱は以下の式で評価され，(1)で示した構造材の物性値等による影響を受けずにクラスト内の熱量が全て構造材に移行する扱いとなっており，壁面及び床の材質に依存しないモデルとなっている。なお，伝熱を受けた構造材の温度上昇は，構造材の熱伝導率等の物性にに基づき計算され，種々の実験により得られたコリウムシールド耐熱材の物性値を適切に入力することで，適切に計算される。

$$\text{床方向の熱流束 } q_d = h_d (T_f - T_{F,m}) + q_v \cdot X_{cd}$$

$$h_d = h_{d0}(1 - f_s)^n$$

$$\text{壁方向の熱流束 } q_s = h_s (T_f - T_{F,m}) + q_v \cdot X_c$$

$$h_s = h_{s0}(1 - f_s)^n$$

ここで、

q_d, q_s : 床方向及び側面方向の熱流束 [W/m²]

h_d, h_s : 熔融プールからクラスト層への対流熱伝達係数 [W/m²K]

h_{d0}, h_{s0} : 熔融プールが完全な液相の場合の対流熱伝達係数 [W/m²K]

f_s : 固化割合 [-]

n : 固化効果項の指数 [-]

T_f : 熔融プールの温度 [K]

$T_{F,m}$: デブリ融点 [K]

q_v : 体積発熱率 [W/m³]

X_{cd}, X_c : 床面及び壁面のクラスト厚さ [m]

(3) クラストの厚さ

床面及び壁面のクラスト厚さ評価モデルでは、熔融プールからの伝熱及び構造物への伝熱によりクラスト厚さの変化率を計算しており、壁面及び床の材質に依存しないモデルとなっているため、コリウムシールドにも適用可能である。なお、クラスト-コリウムシールド接触面温度は、(1)に記載のとおり ZrO_2 の物性値を基に計算されることから、クラストの厚さを評価するにあたり ZrO_2 の物性値が考慮されている。

$$q = 2k_F(T_{F,m} - T_i)/x_c$$

ここで、

q : 床方向又は側面方向の熱流束 [W/m²]

k_F : デブリ熱伝導率 [W/mK]

$T_{F,m}$: デブリ融点 [K]

T_i : クラストーコリウムシールド接触面温度^{※2} [K]

x_c : 床面又は壁面のクラスト厚さ [m]

※2 コリウムシールドの表面温度と同値であり、クラストからの伝熱量及び入力したコリウムシールドの物性値に基づいて適切に計算されている。

2. 解析コードにおける不確かさの影響

(1) 不確かさの整理

解析コードにおける，コリウムシールドを考慮したMCC I過程毎の不確かさ要因を整理する。BWRプラント安全審査資料「重大事故等対策の有効性評価に係るシビアアクシデント解析コードについて」において，MCC Iは以下の過程で段階的に推移することが示されているが，コリウムシールドを考慮してもこの過程に変わりはない。

- ・原子炉圧力容器下部ヘッド破損過程
- ・溶融物の落下・堆積過程
- ・MCC I進行と注水によるデブリ冷却過程

ただし，「MCC I進行と注水によるデブリ冷却過程」においては，MCC I現象の影響因子として溶融炉心からのコリウムシールドを介したコンクリートへの伝熱を考慮する必要がある。ここで，MCC I伝熱モデルでは固定値の物性を設定することから，コリウムシールドを介した伝熱の感度解析パラメータとして，コリウムシールドの伝熱物性値の温度依存性が想定される。第2図にMCC Iにおける不確かさに関する流れ図を示す。

MCC I現象の影響因子より抽出された感度解析パラメータに対して，感度解析の要否を整理する。MCC I評価の不確かさに関する評価結果を第1表に示す。

エントレインメント係数について，感度解析より溶融炉心の細粒化割合がコンクリート侵食に与える感度は小さいことを確認している。また，このことは，エントレインメント係数の不確かさにより溶融炉心の細粒化割合が変化した場合でも溶融炉心の温度に対する感度は小さいことを示しており，コリウムシールド侵食に与える感度についても同様に小さいと考えられることから，評価項目となるパラメータに与える影響は小さく，コリ

ウムシールドを考慮した感度解析は不要である。

溶融炉心の拡がりについて、溶融炉心の拡がりが抑制されると想定した場合は、種々の不均一な堆積形状を考慮しても、拡がりが抑制されないペDESTAL（ドライウェル部）への均一堆積形状の方が溶融炉心と水の伝熱面積が大きくなり、溶融炉心が冷却される傾向となる。拡がりが抑制されない均一堆積形状の場合、溶融炉心落下時点における溶融炉心とコリウムシールドの接触面温度はコリウムシールドの侵食開始温度を下回っており、また、溶融炉心への注水によって溶融炉心は継続的に冷却されることから、溶融炉心の拡がりが抑制されると想定した場合においても、コリウムシールド及びコンクリートの侵食への影響はなく、評価項目となるパラメータに与える影響はないことから、コリウムシールドを考慮した感度解析は不要である。

上面熱流束係数及び溶融プールークラスト間の熱伝達係数について、溶融炉心・コンクリート相互作用への影響を確認する観点で実施したエントレインメント係数、上面熱流束及び溶融プールからクラストへの熱伝達係数をパラメータとした感度解析を踏まえ、解析コードMAAPによりコリウムシールド及びコンクリート侵食量について支配的な溶融炉心からプールへの熱流束を対象に感度解析を行い、影響を確認する。【感度解析①】

また、侵食の異方性について、コンクリート侵食の異方性については溶融炉心からプール水への熱流束の感度に比べて影響が小さいことが確認されており、コリウムシールドは侵食開始温度に到達していないことより同様に影響が小さいと考えられるため、上記の溶融炉心からプールへの熱流束を対象にした感度解析により、影響を確認する。【感度解析①】

コリウムシールドの伝熱物性値の温度依存性について、解析コードMAAPにおけるMCCI伝熱モデルでは、固定値の物性を設定することから、

不確かさが想定される。このため、感度解析により伝熱物性値（熱伝導率，比熱）の温度依存性の影響を確認する。【感度解析②】

(2) 感度解析

a. 溶融炉心上面熱流束の感度解析【感度解析①】

(a) 解析条件

解析条件を第2表に示す。溶融炉心から水プールへの熱流束については，上面熱流束の不確かさを考慮した $800\text{kW}/\text{m}^2$ （一定）とする。また，対象シーケンスは，事象進展が早く，崩壊熱が大きくなり，侵食を厳しくする観点で「大破断LOCA時に損傷炉心冷却に失敗し，原子炉圧力容器が破損するシーケンス」とする。

(b) 解析結果

評価結果を第3表に示す。ペDESTALのプール水中に落下した溶融炉心とコリウムシールドの接触面温度は $2,100^\circ\text{C}$ 未満であり，コリウムシールドを設置することにより，溶融炉心・コンクリート相互作用によるコンクリートの侵食が生じない。このため，原子炉圧力容器の支持機能を維持できる。

b. 伝熱物性値温度依存性の感度解析【感度解析②】

コリウムシールドの伝熱物性値の温度依存性の影響については，「4. コリウムシールドの侵食を考慮した感度解析」において，コリウムシールドの侵食が生じた場合の影響と併せて確認する。なお，伝熱物性値の温度依存性の取扱いが可能な汎用有限解析コードにて評価した場合においても，ペDESTAL（ドライウェル部）のコンクリートが侵食されないことを確認している（別添2）。

3. 解析条件における不確かさの影響

解析コードMAAPにおけるMCCI評価では、コリウムシールドを考慮した機器条件として、以下の条件を設定している。

- ・コリウムシールド耐熱材の種類
- ・コリウムシールド耐熱材の侵食開始温度
- ・ペDESTAL（ドライウェル部）床面積

これらは全て最確条件と同様の設定であることから、不確かさの影響はない。解析コードMAAPの解析条件を第4表に示す。

4. コリウムシールドの侵食及び伝熱物性値の温度依存性を考慮した感度解析

熔融炉心中の金属酸化物との共晶反応により、コリウムシールドが侵食される可能性があるが、既往の実験にて確認された侵食速度を仮定した場合、コリウムシールドの侵食量は約33mmとなる（別添3）。コリウムシールドの厚みが減少した場合、コリウムシールド外表面のペDESTAL（ドライウェル部）のコンクリートへの伝熱量が大きくなることから、この影響を感度解析により確認する。また、前述のとおり、解析コードMAAPでは ZrO_2 の物性値を固定値で設定するモデルであることから、伝熱物性値の温度依存性の不確かさの影響についても併せて確認する。

(1) 解析条件

解析条件を第5表に示す。コリウムシールドの厚さは、コリウムシールドの設計値に対して、既往実験に基づく侵食量の約33mmを考慮し、保守性を見込んだ値として110mmを設定する。なお、コリウムシールドの侵食によるペDESTAL（ドライウェル部）床面積の拡大は保守的に考慮しない。

また、解析コードMAAPにおけるコリウムシールドの伝熱物性値の温度依存性の不確かさを考慮し、ペDESTAL（ドライウェル部）のコンクリ

ートの温度を厳しく評価する観点で、常温時の ZrO_2 の伝熱物性値を設定する。

対象シーケンスは、事象進展が早く、崩壊熱が大きくなり、ペDESTAL（ドライウェル部）のコンクリート侵食を厳しく評価する観点で「大破断LOCA時に損傷炉心冷却に失敗し、原子炉圧力容器が破損するシーケンス」とする。

(2) 解析結果

解析結果を第6表に示す。また、ベースケース及び感度解析ケースのコリウムシールド温度の推移及びコンクリート温度の推移を第3図から第6図、クラスト厚さの推移（上下方向）を第7図に示す。コリウムシールド内表面温度の最高値は約 $1,860^{\circ}\text{C}$ にとどまり、コリウムシールドの侵食開始温度である $2,100^{\circ}\text{C}$ を下回ることから、コリウムシールドの侵食は金属酸化物との共晶反応で生じた状態から進行しない。また、コリウムシールド外表面と接するペDESTAL（ドライウェル部）コンクリートの温度の最高値は約 728°C にとどまり、コンクリートの侵食開始温度である約 $1,230^{\circ}\text{C}$ を下回ることから、コンクリートは侵食されない。このため、コリウムシールドが金属酸化物との共晶反応により侵食された場合においても、コリウムシールドを介した伝熱の不確かさが、評価項目となるパラメータに与える影響は小さい。

なお、本評価においては、コンクリートの表面温度を厳しく評価する観点から、コンクリートーコリウムシールド間の接触熱抵抗は考慮していない。接触熱抵抗を考慮した場合には、熔融炉心からペDESTAL（ドライウェル部）コンクリートへの熱通過率が小さくなり、熔融炉心及びコリウムシールドの温度挙動に影響を与えることが考えられるが、熔融炉心はペデ

スタル（ドライウェル部）のプール水に落下した直後に 2,100℃未満となること、また、熔融炉心から上面水へは崩壊熱以上の除熱がされ熔融炉心の温度は 2,100℃未満を維持することから、コリウムシールドの侵食は生じず、温度挙動への影響は軽微であると考えられる。

5. まとめ

解析コードMAAPではコリウムシールドを適切に模擬しており、熔融炉心ーコリウムシールド間の伝熱モデルはコリウムシールドに適用可能である。

コリウムシールドを考慮した解析コードの不確かさを踏まえた感度解析により、原子炉圧力容器の支持機能を維持でき、不確かさの影響は小さいことを確認した。また、コリウムシールドを考慮した解析条件は最確条件と同様であり、不確かさはない。

さらに、コリウムシールドが金属酸化物との共晶反応により侵食される可能性を考慮した感度解析により、コリウムシールド外表面と接するコンクリートは侵食されないことを確認した。

第1表 コリウムシールドを考慮した場合のMCCI評価の不確かさに関する整理結果

| MCCI現象への影響因子 | 不確かさ要因 | 有効性評価の取扱い | 解析コード安全審査資料*における感度解析の要否 | 東海第二発電所におけるコリウムシールドを考慮した取扱い |
|---------------------------------|------------------|--|--|--|
| 下部ヘッド破損モード | 破損部位 破損口侵食拡大 | 下部ヘッド貫通部の中で最も大口径の制御棒駆動機構ハウジングの瞬時破損を想定し、破損口径の拡大を考慮 | 下部ヘッド貫通部の中で最も大口径の貫通部の破損を想定し、破損口径の拡大も考慮しているため、感度解析不要 | 同左 |
| 熔融炉心落下量 | 原子炉圧力容器内 熔融進展 | 全炉心相当を想定 | 全炉心相当の最も厳しい落下量を想定しているため、感度解析不要 | 同左 |
| 熔融炉心の粒子化 | プール水深 | ベDESTALの注水開始条件及び注水流量について、手順書規定に準じた操作を想定 | 解析モデルパラメータではないため、感度解析不要 | 同左 |
| | エントレインメント 係数 | 実験解析を元に、粒子化割合を少ない側に評価する値を使用 | エントレインメント係数に不確かさがあるため、解析コードMAAPの不確かさ範囲内(FARO実験解析に基づく)で感度解析を実施 | 左記の感度解析により、熔融炉心の細粒化割合がコンクリート侵食に与える感度が小さいことを確認しており、熔融炉心の細粒化割合が熔融炉心温度に対する感度は小さいと考えられることから感度解析不要 |
| | 熔融炉心ジェット径 | 破損口径に対応した径を考慮 | 最も大きい径を想定して、粒子化割合を小さくし、水に落下した際のデブリクエンチ量を小さくして厳しい側の扱いをしているため、感度解析不要 | 同左 |
| 熔融炉心の拡がり | 水による拡がり抑制 | 拡がりの知見から、全面に拡がることを想定し、均一堆積モデルを使用 | 熔融炉心の拡がりを抑制した場合を想定し、水張深さ等の個別プラントの状況を踏まえた感度解析等の取扱いを行うことが必要 | 熔融炉心の拡がりが抑制される場合は、熔融炉心と水の伝熱面積が大きくなり、熔融炉心が冷却される傾向となる。拡がりが抑制されない場合、熔融炉心落下時点における熔融炉心とコリウムシールド接触面温度はコリウムシールドの侵食開始温度を下回っており、また、注水により熔融炉心は継続的に冷却されることから、侵食への影響はなく、感度解析不要 |
| デブリから水への熱伝達 | デブリ上面の性状 | 粒子状ベッドの熱流束として、現実的な範囲内で保守側の想定をして、大気圧状態で800kW/m ² として圧力依存性を考慮 | 粒径やポロシティの不確かさを考慮して、下限の熱流束に対して感度解析を実施 | 【感度解析①】(コンクリートの種類と同じ) 熔融炉心・コンクリート相互作用への影響の観点で、エントレインメント係数、上面熱流束及び熔融プールからクラストへの熱伝達係数をパラメータとした感度解析を踏まえ、コリウムシールド及びコンクリート侵食量について支配的な熔融炉心からプール水への熱流束についての感度解析を実施 |
| コリウムシールドを介した熱伝達 | 伝熱物性値の 温度依存性 | コリウムシールド侵食開始温度における物性値を考慮 | — | 【感度解析②】 コリウムシールドの伝熱物性値には温度依存性があることを踏まえ、コリウムシールド及びコンクリート侵食量への影響を確認する観点で、伝熱物性値についての感度解析を実施 |
| コンクリート種類 (玄武岩系コンクリートの侵食の異方性) | 壁方向と床方向の 熱分配 | 熔融プールが完全な液相の場合の対流熱伝達係数として、床方向クラストへは[]、壁方向クラストへは[]を使用 | 床方向と壁方向の侵食の異方性の影響を見るため、CCI-3実験で確認された熱分配比率を想定した感度解析を実施 | 【感度解析③】(デブリから水への熱伝達と同じ) コンクリート侵食の異方性については熔融炉心からプール水への熱流束の感度に比べて影響が小さいことが確認されており、コリウムシールドにおいても侵食開始温度に到達していないことなどから同様に影響が小さいと考えられるため、熔融炉心からプールへの熱流束についての感度解析を実施 |

* BWRプラント安全審査資料「重大事故等対策の有効性評価に係るシビアアクシデント解析コードについて」

第2表 解析条件（溶融炉心上面熱流束）【感度解析①】

| 項目 | ベースケース | 感度ケース |
|-------------------|------------------------------------|---|
| 対象シーケンス | 過渡事象時に損傷炉心冷却に失敗し、原子炉圧力容器が破損するシーケンス | 大破断LOCA時に損傷炉心冷却に失敗し、原子炉圧力容器が破損するシーケンス |
| 溶融炉心から水プールへの限界熱流束 | 800kW/m ² (圧力依存性あり) | 800kW/m ² (一定※ ¹) |
| ペDESTAL初期水位 | 1m | |
| ペDESTAL注水 | RPV破損7分後から80m ³ /h | |
| コリウムシールド厚さ | 15cm | |
| コリウムシールド侵食開始温度 | 2,100℃※ ² | |
| RPV破損時の溶融炉心温度 | MAAP解析結果に基づく | |

※1 侵食の不均一性等の影響を考慮して設定

※2 ZrO₂耐熱材の100mol%Zrによる侵食試験結果に基づき設定（別添1）

第3表 解析結果（溶融炉心上面熱流束）【感度解析①】

| 項目 | ベースケース | 感度ケース |
|---|--------|-------|
| コリウムシールド侵食量 (壁面及び床面) | 侵食なし | 侵食なし |
| ペDESTAL（ドライウェル部） コンクリート侵食量 (壁面及び床面) | 侵食なし | 侵食なし |

第4表 解析コードMAAP解析条件

| 項目 | 解析条件 | 最確条件 | |
|------|-----------------------|-------------|-------------|
| 機器条件 | コリウムシールド耐熱材の種類 | ジルコニア耐火材 | ジルコニア耐火材 |
| | コリウムシールド耐熱材の侵食開始温度 | 2, 100°C | 2, 100°C |
| | ペDESTAL (ドライウェル部) 床面積 | コリウムシールドを考慮 | コリウムシールドを考慮 |

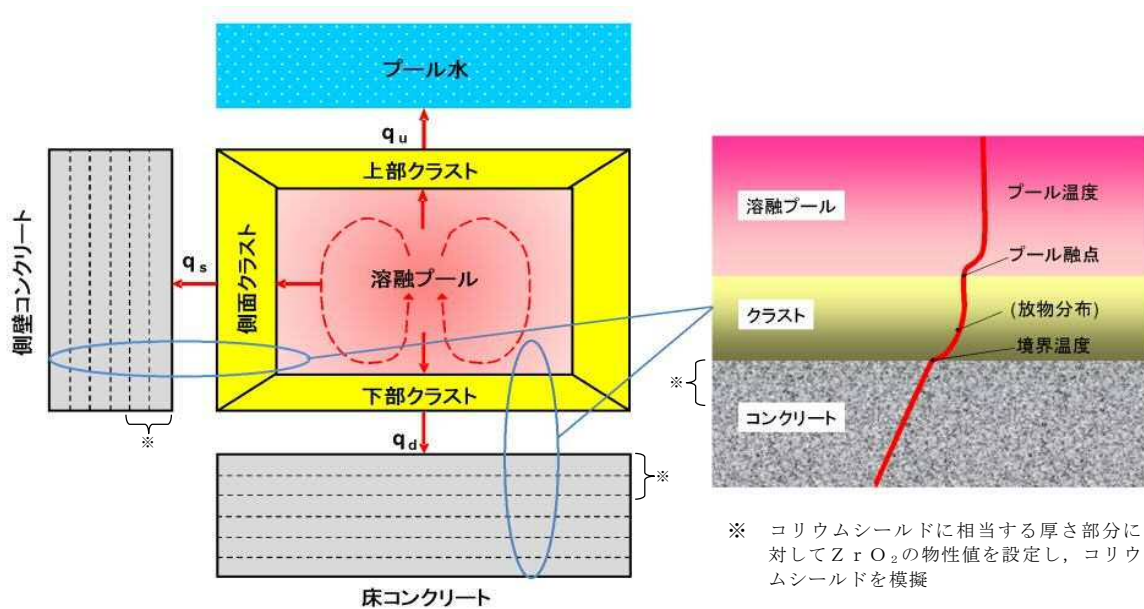
第5表 解析条件 (伝熱物性値及びコリウムシールド侵食) 【感度解析②】

| 項目 | ベースケース | 感度ケース |
|-----------------------|-------------------------------------|--|
| 対象シーケンス | 過渡事象時に損傷炉心冷却に失敗し, 原子炉圧力容器が破損するシーケンス | 大破断LOCA時に損傷炉心冷却に失敗し, 原子炉圧力容器が破損するシーケンス |
| コリウムシールド厚さ | 15cm | 11cm ※1 |
| コリウムシールド熱伝導率 | □ ※2 | □ ※3 |
| コリウムシールド比熱 | □ ※2 | □ ※3 |
| コリウムシールド侵食開始温度 | 2, 100°C ※4 | |
| ペDESTAL (ドライウェル部) 床面積 | □ | |
| ペDESTAL初期水位 | 1m | |

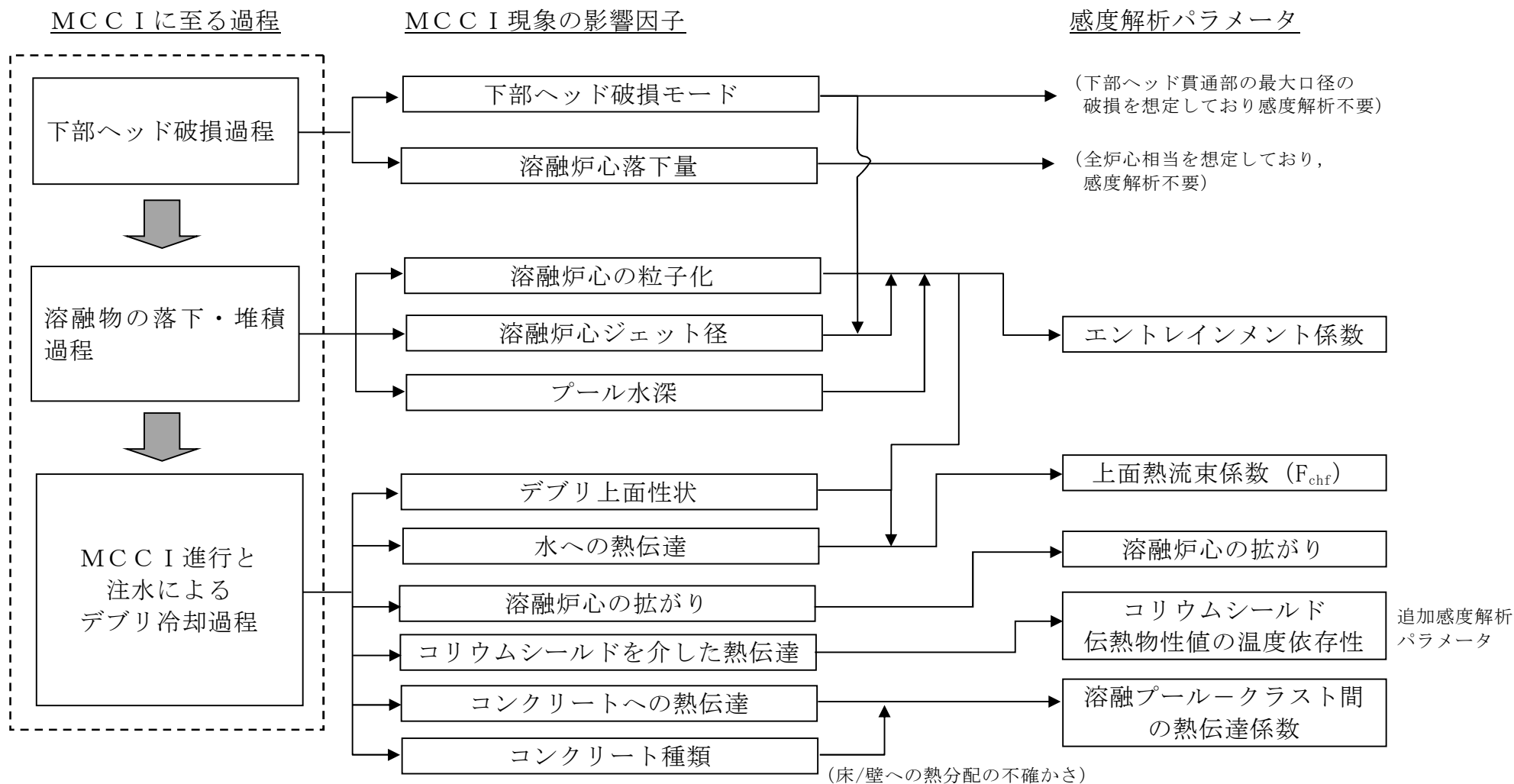
- ※1 金属酸化物との共晶反応による侵食を仮定した厚さとして設定 (別添3)
- ※2 ZrO₂耐熱材の侵食開始温度における伝熱物性として設定
- ※3 ZrO₂耐熱材の常温における伝熱物性として設定
- ※4 ZrO₂耐熱材の100mol%Zrによる侵食試験結果に基づき設定 (別添1)

第 6 表 解析結果（伝熱物性値及びコリウムシールド侵食）【感度解析②】

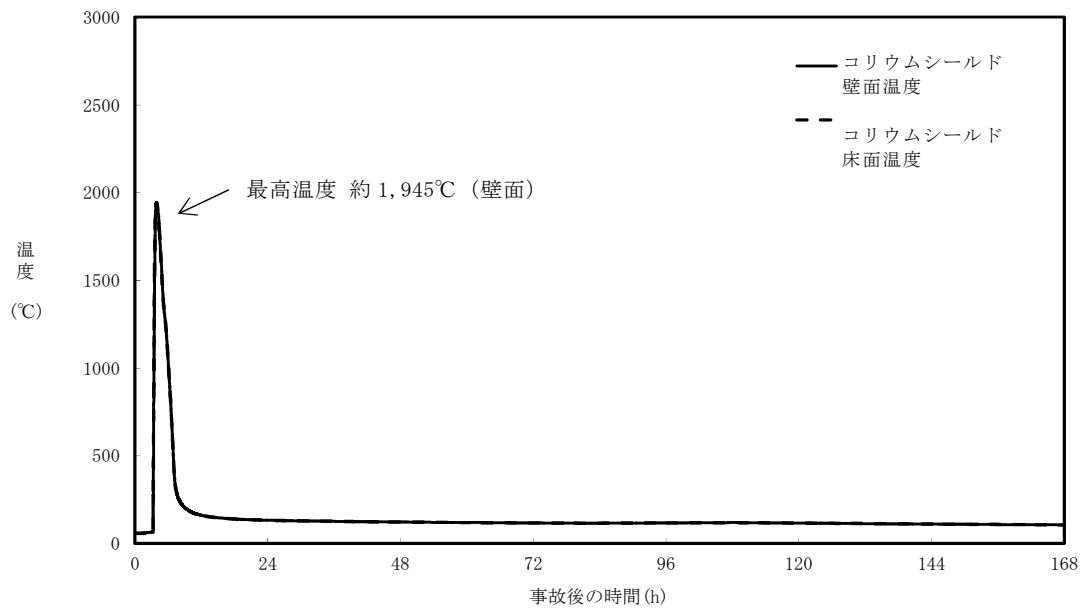
| 項目 | ベースケース | 感度ケース |
|---|--------|-------|
| コリウムシールド侵食量 （壁面及び床面） | 侵食なし | 侵食なし |
| ペDESTAL（ドライウェル部） コンクリート侵食量 （壁面及び床面） | 侵食なし | 侵食なし |



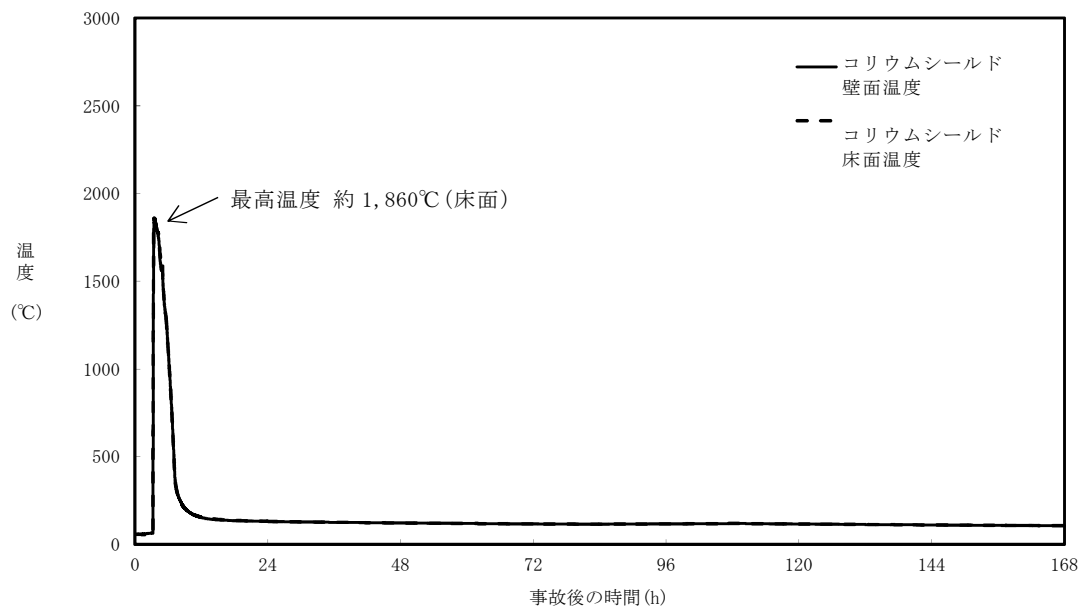
第 1 図 解析コードMAAPにおけるMCC I 伝熱モデル



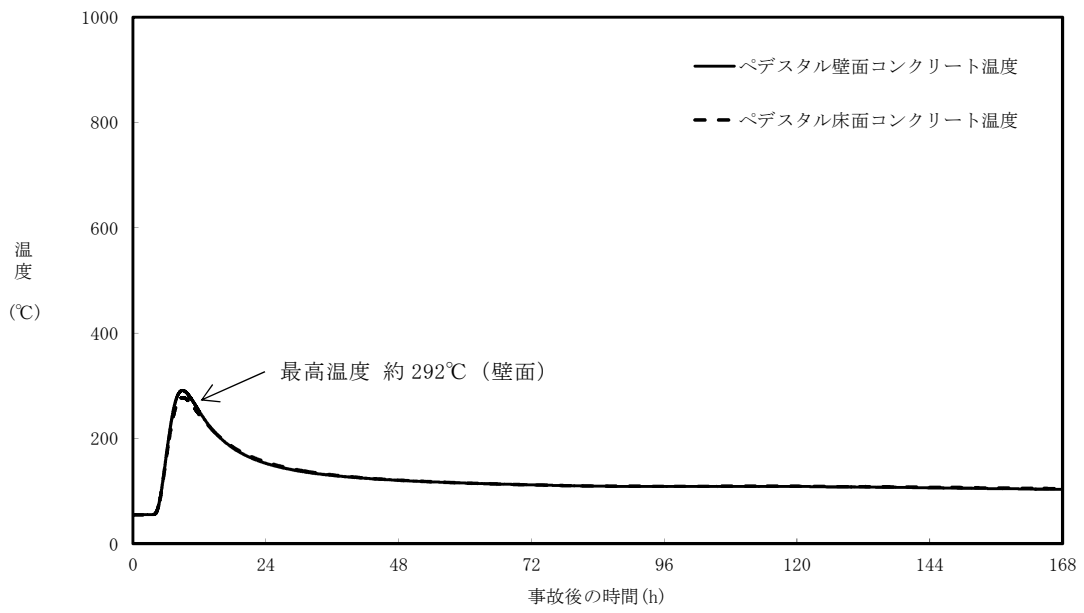
第2図 コリウムシールドを考慮した場合のMCCIにおける不確かさに関する流れ図



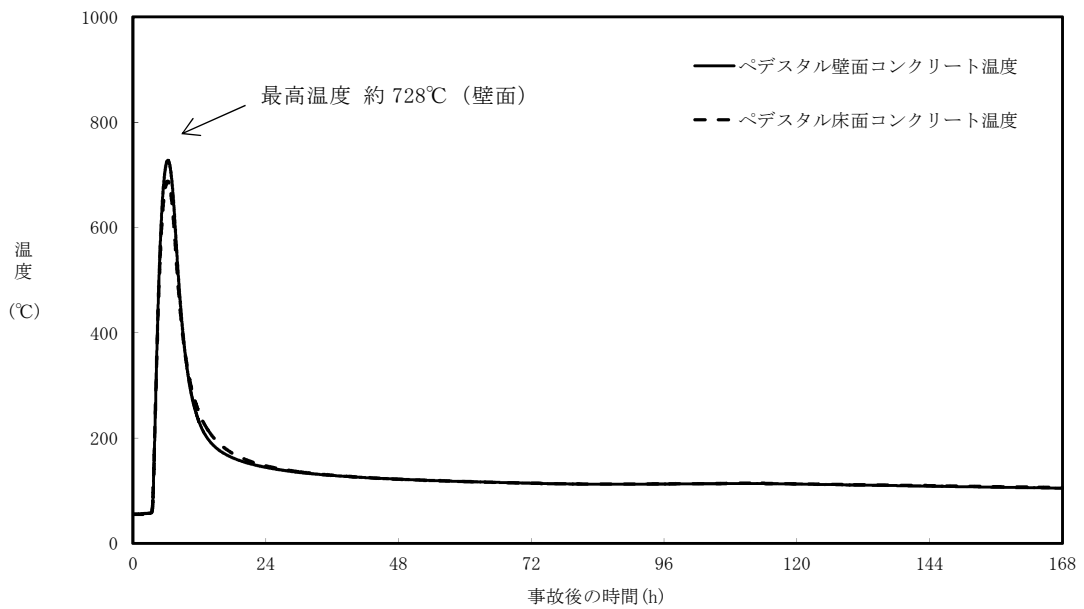
第 3 図 コリウムシールド内表面温度の推移
(ベースケース)



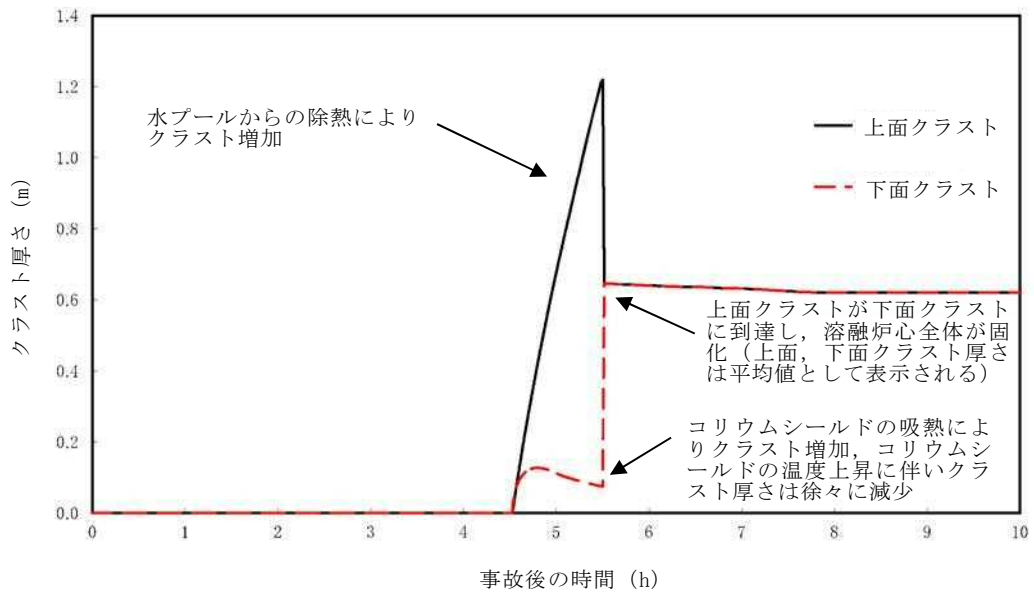
第 4 図 コリウムシールド内表面温度の推移
(感度解析ケース)



第 5 図 ペDESTAL (ドライウェル部) コンクリート表面温度の推移
(ベースケース)



第 6 図 ペDESTAL (ドライウェル部) コンクリート表面温度の推移
(感度解析ケース)



第7図 クラスト厚さの推移 (上面及び下面^{※1})

※1 側面クラストはコリウムシールドと接しており下面クラストと同等の挙動を示すと考えられることから、代表として上面及び下面クラスト厚さを示す。

ZrO₂耐熱材の侵食開始温度の設定について

ZrO₂耐熱材の侵食量評価においては、耐熱材の侵食開始温度として2,100℃を設定している。その設定の考え方を以下に示す。

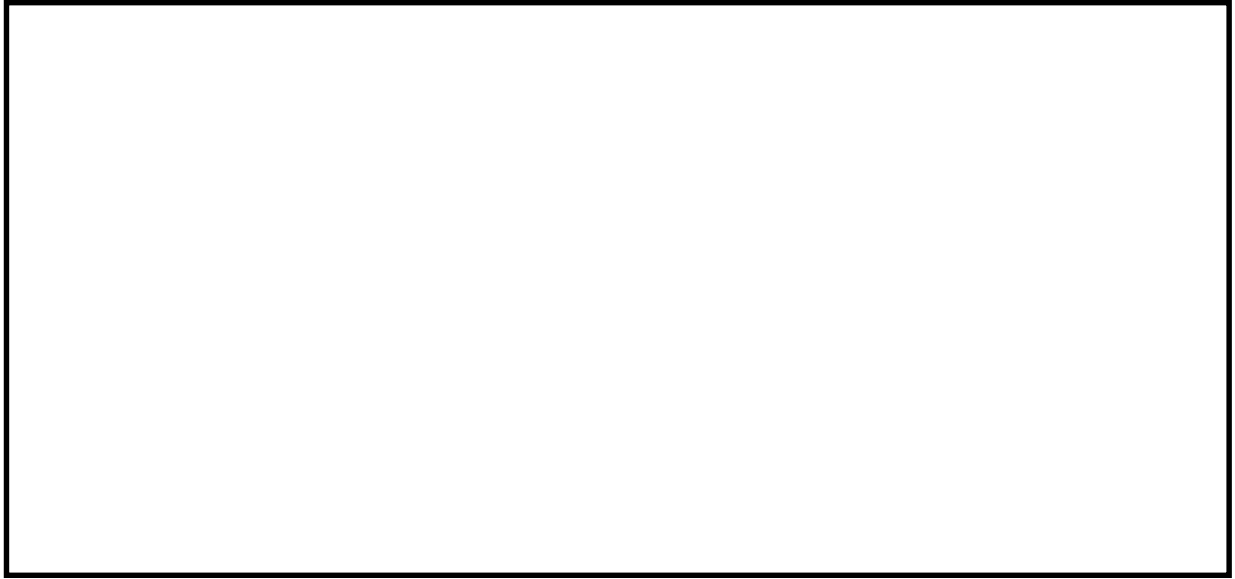
ZrO₂単体での融点は約2,700℃であるが、溶融炉心に含まれるZr等の金属との化学反応により、ZrO₂耐熱材の侵食開始温度は2,700℃より低下する。

これに対して、化学反応による耐熱材の侵食影響を確認するため、ZrO₂試験片の各種溶融金属への浸透試験が実施されており、溶融金属中のZrの割合が大きいほど耐熱材の侵食量が大きくなる傾向が確認されている。

第1図*に、極めて耐熱材の侵食が大きくなる100mol%Zrの条件で実施された侵食試験後のZrO₂耐熱材試験片の断面写真を示す。試験結果より、2,150℃以上の条件では数分で耐熱材試験片が大きく侵食されているのに対し、2,100℃では30分保持した場合でもほとんど侵食されていない。

なお、本試験は100mol%Zrという極めて厳しい条件で実施されているが、実機における溶融炉心では、UO₂、SUS及び金属-水反応で生成されたZrO₂等が含まれるため、100mol%Zrという条件は考え難く、ZrO₂耐熱材は試験条件より侵食されにくくなると考えられる。

以上より、ZrO₂耐熱材の侵食量評価においては、極めて厳しい試験条件でも侵食量が僅かであった2,100℃を侵食開始温度として設定した。



第 1 図 試験後の断面写真

※ 本図は，中部電力(株)，東北電力(株)，東京電力ホールディングス(株)，北陸電力(株)，中国電力(株)，日本原子力発電(株)，電源開発(株)，(一財)エネルギー総合工学研究所，(株)東芝，日立 GE ニュークリア・エナジー(株)が実施した共同研究の成果の一部である。

汎用有限解析コードによるコリウムシールド伝熱物性値温度依存性の 影響評価について

解析コードM A A PにおけるM C C I 伝熱モデルでは、固定値の物性を設定することから、不確かさが想定される。このため、伝熱物性値の温度依存性の取扱いが可能な汎用有限解析コードA B A Q U Sを用いた熱伝導解析により影響を確認する。

1. 伝熱物性値温度依存性の感度解析

(1) 解析条件

解析条件を第 1 表に示す。コリウムシールドの伝熱物性は既往の共同研究において確認された値を設定する。また、M A A P 解析に基づくコリウムシールドー溶融炉心接触面温度、ペDESTAL 雰囲気温度等を境界条件とする。なお、これらの境界条件は、R P V が破損し溶融炉心がペDESTAL へ落下する事故シーケンスの解析結果を包絡する保守的な温度条件を適用する。

(2) 解析結果

解析結果を第 2 表及び第 1 図に示す。解析結果が最も厳しいペDESTAL (ドライウェル部) 壁面の温度は約 900℃であり、コンクリートの侵食開始温度である約 1,230℃を下回ることから、ペDESTAL (ドライウェル部) のコンクリートは侵食されない。

なお、A B A Q U S を用いた熱伝導解析結果は、本添付資料の本文「4.

コリウムシールドの侵食及び伝熱物性値の温度依存性を考慮した感度解析」において示した解析コードMAAPによる解析結果（壁面温度 約 728℃）を上回っているが、これは大破断LOCAシナリオとして溶融炉心から水プールへの限界熱流束 $800\text{kW}/\text{m}^2$ （一定）を考慮したMAAP解析を包絡する温度境界条件を与えたためである。

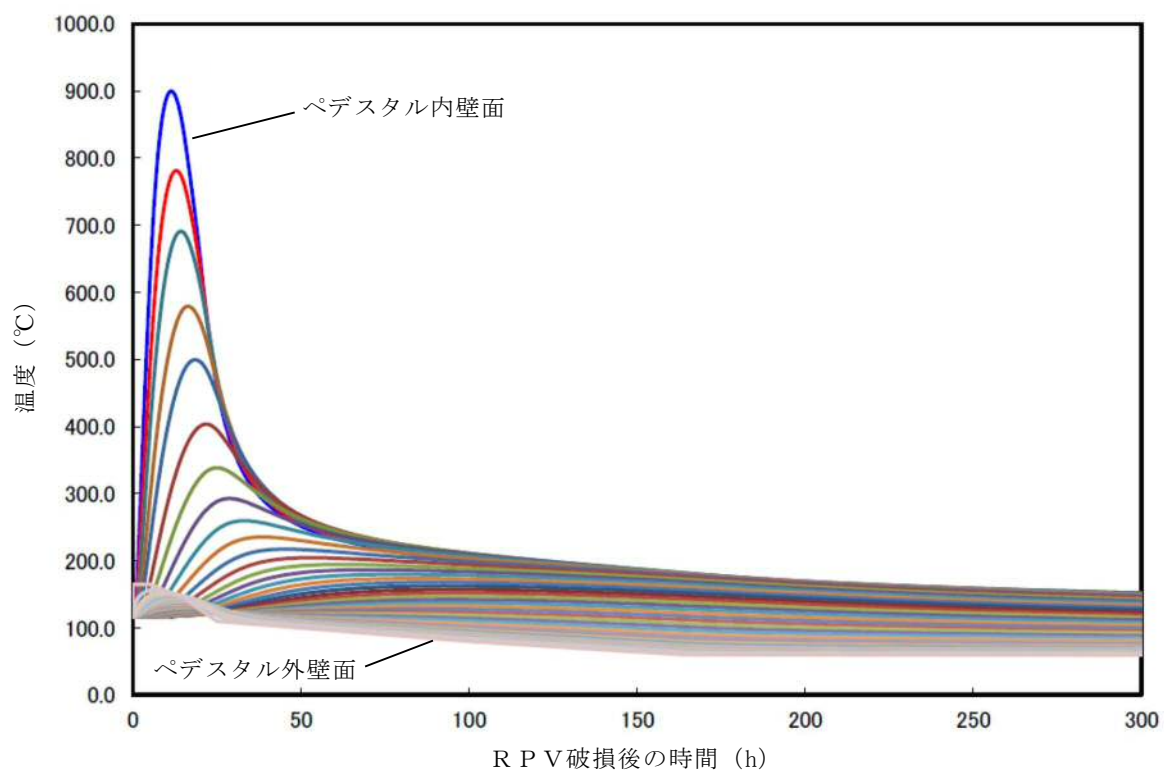
第1表 解析条件（伝熱物性値温度依存性）

| 項目 | 設定 | 備考 |
|---------------|------------------------------------|------------------------|
| 解析コード | 汎用有限解析コードABAQUS | — |
| 温度境界条件 | 過渡事象及び大破断LOCAシナリオ※のMAAP解析結果を包絡する条件 | 添付資料3.5.2 別添1 第3図から第6図 |
| コリウムシールド伝熱物性値 | 既往の共同研究において確認された値 | 添付資料3.5.2 別添1 第4表 |

※ 大破断LOCAシナリオとして溶融炉心から水プールへの限界熱流束 $800\text{kW}/\text{m}^2$ （圧力依存性あり）及び $800\text{kW}/\text{m}^2$ （一定）の2ケースを考慮

第2表 解析結果（伝熱物性値温度依存性）

| 項目 | 解析結果 | 備考 |
|-----------------|--------|--------------------------|
| ペDESTAL 壁面温度 | 約 900℃ | コンクリート侵食開始温度 約 1,230℃ |



第 1 図 ペDESTAL壁面の温度変化

既往実験の知見を考慮したコリウムシールドの侵食量評価について

解析コードMAAPによる侵食量評価では、熔融炉心中のZrによるZrO₂耐熱材の還元反応を考慮し、耐熱材侵食試験結果に基づき侵食開始温度を保守的に2,100°Cと設定した上で、熔融炉心によるコリウムシールドの侵食が生じないことを確認している。しかし、熔融炉心には少量ながらその他の金属酸化物も含まれており、これらの影響によってZrO₂耐熱材が侵食される可能性も考えられるため、関連する既往実験の知見を考慮した場合のコリウムシールドの侵食量について検討する。

1. CIT実験について

模擬熔融炉心によるZrO₂耐熱材の侵食挙動に係る実験として、欧州委員会のプロジェクトとして実施されたCIT実験^{[1][2]}がある。

CIT実験では、第1図に示すような試験装置によって、模擬熔融炉心とZrO₂耐熱材を最長10時間程度接触させ、模擬熔融炉心の表面温度（ZrO₂耐熱材との界面温度）と侵食深さの推移が測定された。そのうち、CIT-9及びCIT-11では実機の条件に近い組成のZrO₂耐熱材が用いられている。

CIT-9における入力エネルギー及び模擬熔融炉心表面温度とZrO₂耐熱材の侵食深さの推移を第2図及び第3図に示す。耐熱材の最終的な侵食深さは22.5mm、最大の侵食速度は0.18mm/minと報告されている。実験において、模擬熔融炉心は誘導加熱により2,080°Cから2,474°Cまで段階的に昇温されたが、出力を一定に維持し模擬熔融炉心の昇温を停止すると、耐熱材の侵食は一定の深さまで進んだ後に停止する挙動が確認されている。

また、CIT-11における模擬熔融炉心表面温度とZrO₂耐熱材の侵食深さ

の推移を第4図に示す。最終的な侵食深さは39.5mm, 最大の侵食速度は0.28mm/minと報告されており, CIT-9と同様に出力を一定に維持すると侵食が停止する挙動が確認されている。

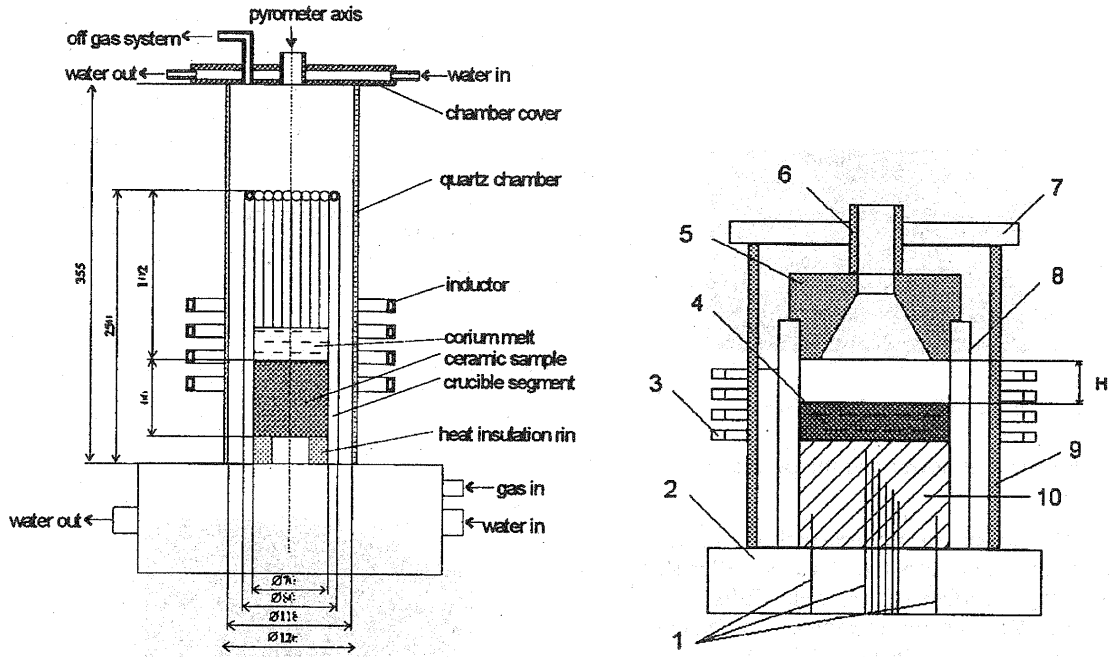
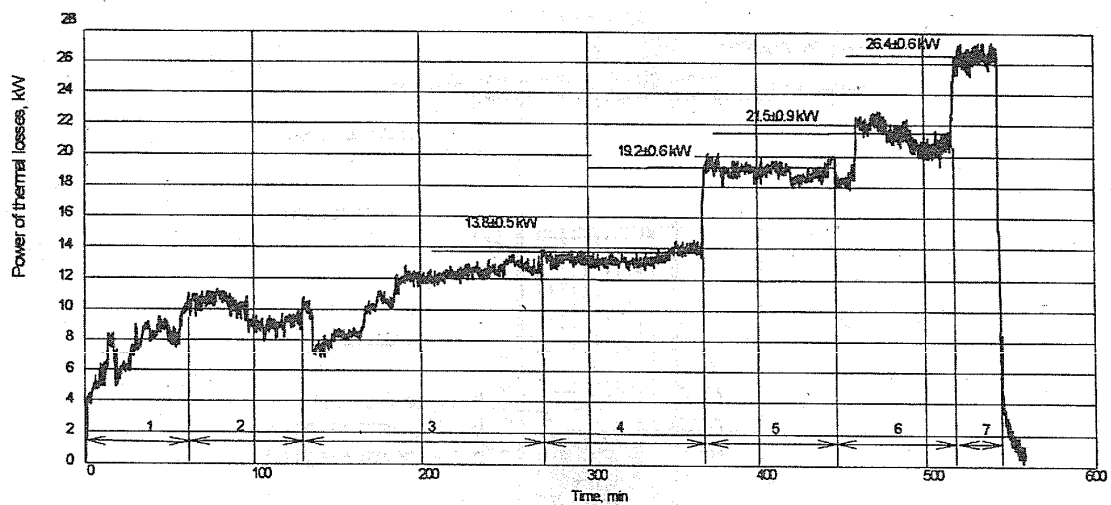
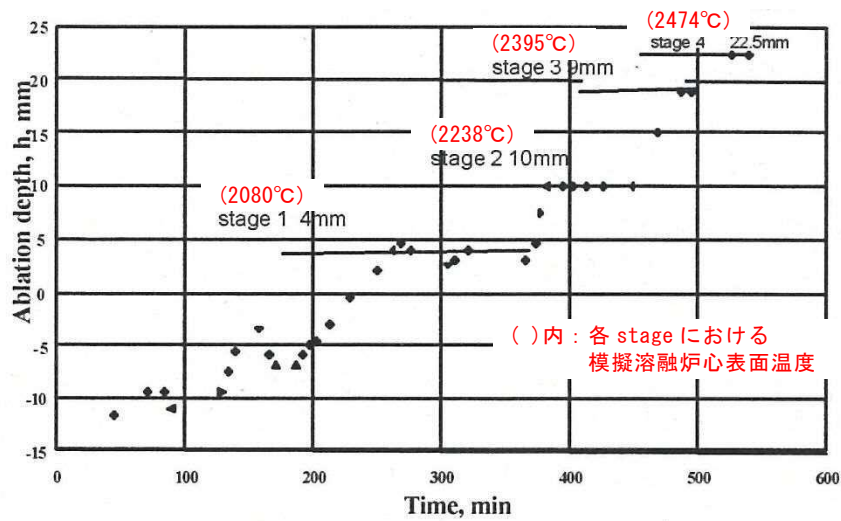


Figure 7.4 Test device and details of the interaction zone. 1 – thermocouples; 2 – water collector of the crucible; 3 – inductor; 4 – corium melt; 5 – ceramic shield; 6 – ceramic shaft of pyrometer; 7 – steel water-cooled lid of the furnace; 8 – crucible sections and cooling system; 9 – quartz shell; 10 – bottom ceramic specimen. H – distance between the ceramic shield and corium melt surface.

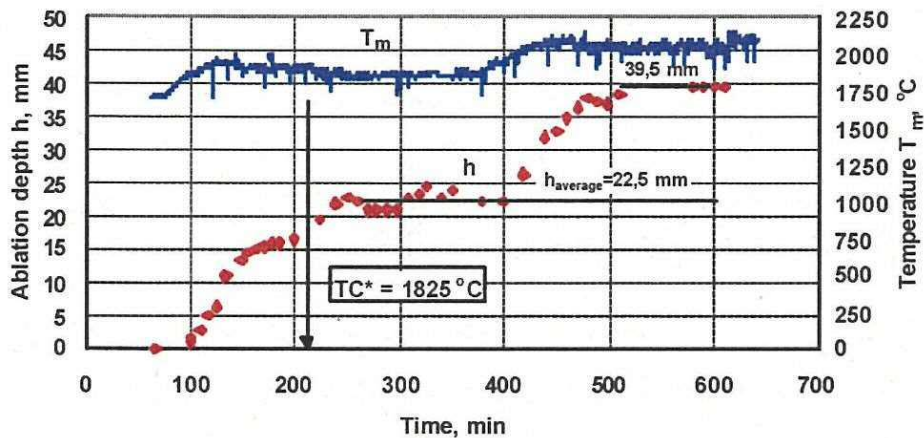
第1図 CIT実験装置



第2図 CIT-9における入力エネルギー



第 3 図 CIT-9 における模擬熔融炉心表面温度と耐熱材侵食深さの推移



第 4 図 CIT-11 における模擬熔融炉心表面温度と耐熱材侵食深さの推移

2. 実験条件と実機条件の比較

CIT-9 及び CIT-11 実験にて用いられた ZrO_2 耐熱材の組成を第 1 表に示す。主成分である ZrO_2 の純度は 94.7wt% であり、東海第二発電所においてコリウムシールドとして用いる ZrO_2 耐熱材と同等であることから、耐熱材の特性は実験条件と実機条件で大きな差はないと考えられる。

次に、CIT-9 及び CIT-11 実験における模擬熔融炉心の組成を第 2 表に示す。実験で用いられた模擬熔融炉心は、酸化鉄 (FeO や Fe_3O_4) の割合が大

きく、CIT実験においては、これらの酸化鉄と ZrO_2 の共晶反応により、 ZrO_2 耐熱材が溶融、侵食されたものと考えられる。

一方、実機での溶融炉心中に含まれる酸化鉄の割合は3%程度^{*1}と想定され、溶融炉心に混入し得るペDESTAL内構造物 $4m^3$ を全量酸化鉄^{*2}として加えた場合でも酸化鉄割合は約13%となることから、CIT実験の条件は、ともに実機条件に比べて共晶反応による耐熱材侵食が生じやすい条件と考えられる。

※1 原子炉圧力容器破損時点での溶融炉心中の酸化鉄割合
(MAAP解析結果より)

※2 ペDESTAL内構造物は主にSUS材であり鉄以外の物質も含まれる。また、含有する鉄が全て酸化することは考え難いが、ここでは保守的に全量を酸化鉄として計算

第1表 CIT-9及びCIT-11実験における ZrO_2 耐熱材組成

| 成分 | 割合 wt% |
|--------------------------------|--------|
| SiO ₂ | 1.4 |
| CaO | 0.2 |
| MgO | 2.5 |
| Fe ₂ O ₃ | 0.2 |
| Al ₂ O ₃ | 0.8 |
| TiO ₂ | 0.2 |
| ZrO ₂ | 94.7 |

第2表 CIT-9及びCIT-11実験における模擬溶融炉心組成

| | CIT-9 | CIT-11 |
|--------|---|--|
| 組成 wt% | 49.1 UO ₂ 20.4 ZrO ₂ 30.5 FeO | 19.0 ZrO ₂ 81.0 Fe ₃ O ₄ (共晶組成) |

3. 実機における ZrO_2 耐熱材と金属酸化物との共晶反応による侵食

CIT-9 及び CIT-11 実験は、ともに実機の酸化鉄の割合を大きく上回っているが、ここでは実機の酸化鉄の割合により近い CIT-9 実験に基づき ZrO_2 耐熱材の共晶反応による侵食量について考察する。

実機の MAA P 解析結果によれば、熔融炉心とコリウムシールドの接触面の最高温度は約 $2,000^{\circ}C$ となっている。CIT-9 実験では、これを上回る $2,080^{\circ}C$ において約 4mm の侵食が見られているが、その侵食量は時間とともに増加する傾向にはない結果となっている。ただし、この挙動は実験容器が外部から冷却されていたことに起因することが示唆されており、外部冷却がない場合には侵食が継続的に生じる可能性がある。

仮に実機において共晶反応による侵食が継続的に生じる可能性を考慮し、RPV 破損時点から熔融炉心とコリウムシールドの接触面温度が $1,800^{\circ}C$ ^{※3} を下回るまでの約 3 時間、CIT-9 実験で確認された最大侵食速度である $0.18\text{mm}/\text{min}$ で侵食が進んだと仮定した場合でも、侵食量は約 33mm となる。

※3 酸化鉄との共晶反応による侵食がより生じやすい条件と考えられる CIT-11 実験にて、 ZrO_2 耐熱材の侵食が開始している温度
(第 4 図)

したがって、万一熔融炉心中の酸化鉄が局所的に存在し耐熱材が侵食されたとしても、侵食量はコリウムシールド厚さ 15cm を十分下回る。

なお、コリウムシールドの ZrO_2 耐熱材ブロック間やアンカボルト周囲の隙間には、耐熱材ブロックと同成分の不定形耐火物とモルタルバイнда(主成分：ケイ酸ナトリウム)を混練したモルタルを目地材として用いる(第 5 図)。このモルタルは、耐熱材ブロックと同等の ZrO_2 含有率を有するものを用いるとともに、常温で固化し、固化後は周囲の ZrO_2 耐熱材と結合して耐熱材ブロックと同等の性能を発揮するため、熔融炉心による選択的な

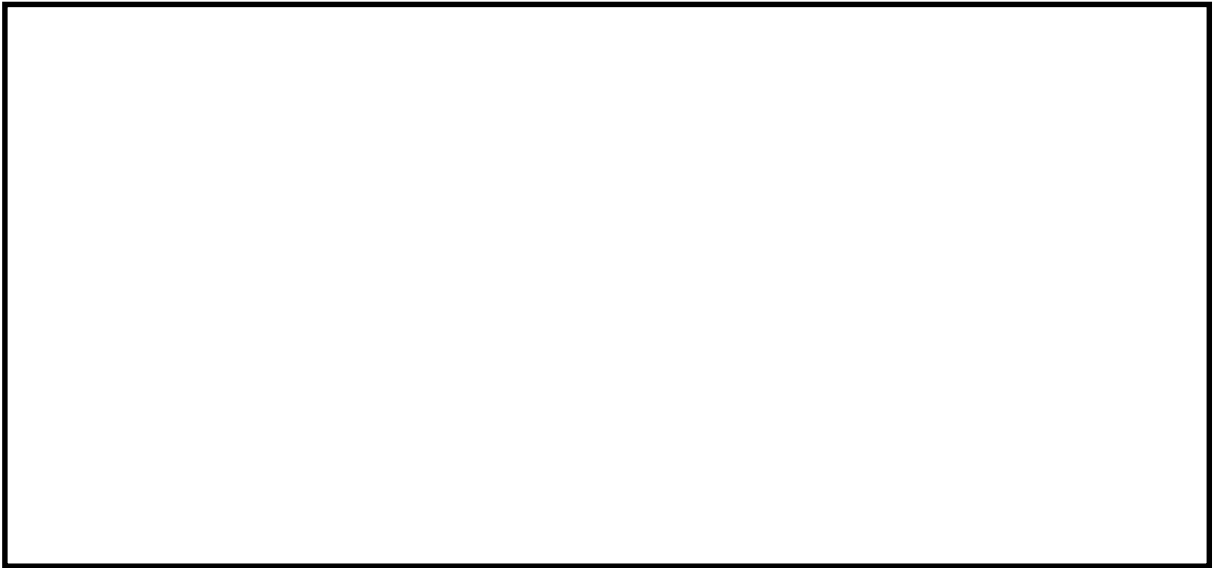
侵食は生じない。また、仮にモルタルの溶融を想定する場合においても、モルタルの大半を占める ZrO_2 は溶融せず、モルタルバインダのみが溶融すると考えられるため、耐火材ブロックに生じる間隙は極めて僅かであること、及びコリウムシールドへの伝熱によって溶融炉心は表面がクラスト化し流動性が低下することから、耐火材ブロックに生じる間隙へ選択的に侵入するとは考え難く、コリウムシールドの健全性に影響を与えることはないとする。

また、MAAP解析結果における原子炉圧力容器破損時の溶融炉心温度は $2,100^{\circ}C$ から $2,200^{\circ}C$ 程度となっているが、添付資料 3.2.15 に記載のとおり、ドライ条件にて $2,450^{\circ}C$ 以上の模擬溶融炉心を落下させた試験でも、耐熱材の顕著な侵食や割れは確認されておらず、また、 ZrO_2 の融点は約 $2,700^{\circ}C$ ※⁴ と十分高いことから、溶融炉心落下時の熱衝撃やジェットインピンジメントによりコリウムシールドの健全性が失われることはない。

※4 ZrO_2 耐熱材の侵食開始温度 $2,100^{\circ}C$ は、溶融炉心と耐熱材が接触し続けた際の化学反応を考慮し設定している（別添 1）。一方、ジェットインピンジメントは、化学反応ではなく溶融炉心落下時の短時間での熱移送に付随し生じるものであるため、 ZrO_2 の融点との比較を行っており、水プール中に溶融炉心が落下することから影響はないとする。

<側面図>

<正面図>



第 5 図 コリウムシールド設置構造概念図

参考文献

- [1] D. Lopukh et al., “New Experimental Results On The Interaction Of Molten Corium With Core Catcher Material” , ICONE-8179, (2000).
- [2] J.M. Seiler, K.Froment, “Material Effects On Multiphase Phenomena In Late Phases Of Severe Accidents Of Nuclear Reactors” , Multiphase Science and technology, Vol.12, No.2, pp.117-257, (2000).

溶融炉心による熱影響評価について

1. 評価目的

東海第二発電所におけるペDESTAL構造の特徴を踏まえた対策として、溶融炉心・コンクリート相互作用（以下「MCCI」という。）によるペDESTAL（ドライウェル部）（以下「ペDESTAL」という。）への影響抑制のためのコリウムシールドを設置するとともに、原子炉圧力容器（以下「RPV」という。）から落下した溶融炉心（以下「デブリ」という。）の冠水及び水蒸気爆発による影響抑制の観点からRPV破損時のペDESTAL内水位を1mに維持する対策、さらに、床スラブ内の排水流路をスリット形状としてデブリを凝固させる対策を講じることとしている。

これら東海第二発電所の特徴を踏まえた対策を考慮した上で、RPV破損時にペDESTALへ落下したデブリからの熱影響によってペDESTALに要求されるRPV支持機能及びデブリ保持機能が損なわれないことを評価する。

2. 評価方針

RPV破損後にデブリからの伝熱によって高温となる鉄筋コンクリートの物性変化を考慮した上で、RPV支持機能及びデブリ保持機能の維持に必要な構造強度が保持されることを評価する。

3. 評価方法

(1) 荷重条件

構造強度の評価に当たり、RPV支持機能の評価ではRPV、遮へい壁等の自重（以下「RPV等の自重」という。）を考慮する。また、デブリ保持機能の評価では、デブリ、コリウムシールド、床スラブ躯体等の自重

(以下「デブリ等の自重」という。)を考慮する。

(2) 評価部位及び項目

a. 側壁 (R P V 支持機能)

R P V 等の自重により、側壁コンクリートには圧縮軸力が作用し、側壁基部コンクリートには面外方向のせん断力が作用する。

このため、高温によるコンクリート圧縮強度の低下を考慮した等価壁厚を評価し、R P V 等の自重による圧縮軸力及び面外せん断に対して必要な壁厚と比較する。

b. 床スラブ (デブリ保持機能)

デブリ等の自重により、床スラブのコンクリートには面外せん断力が作用し、鉄筋には曲げ応力が作用する。

このため、高温によるコンクリートの圧縮強度の低下を考慮した等価板厚を評価し、デブリ等の自重によるせん断力に対して必要な板厚と比較する。また、高温による鉄筋の強度低下を考慮した等価鉄筋量を評価し、デブリ等の自重による曲げ応力に対して必要な鉄筋量と比較する。

(3) 温度条件

別添 1 にペDESTALの温度評価を示す。デブリからの伝熱によるペDESTALの側壁及び床スラブの温度は、M A A P コードによる解析結果に基づき、汎用有限解析コード A B A Q U S による熱伝導解析にて評価する。

(4) 判断基準

炉心損傷防止に失敗し、重大事故時を想定する防護レベルにおいて、格納容器の健全性維持に必要な安全機能が維持されることを確認する観点よ

り、判断基準は終局限界状態に至らないこととする。具体的には、側壁コンクリートの必要壁厚、床スラブコンクリートの必要板厚、床スラブの必要鉄筋量の算定において、終局強度又は短期許容応力度を適用する。別添 2 に R P V 支持に必要な側壁コンクリート厚さ評価を、別添 3 にデブリ保持に必要な床スラブコンクリート厚さ評価を、別添 4 にデブリ保持に必要な床スラブ鉄筋量評価を示す。

4. 評価結果

以下に R P V 支持機能及びデブリ保持機能に対する評価結果を示す。評価結果はいずれも判断基準を満足し、デブリからの熱影響によってもペDESTAL に要求される機能は損なわれることはない。

(1) 側壁 (R P V 支持機能)

a. コンクリートに対する圧縮軸力

別添 5 に熱影響を考慮した側壁コンクリートの構造評価を示す。側壁コンクリートの等価壁厚は約 1,229mm であり、R P V 等の自重によってコンクリートに作用する圧縮軸力に対して必要な壁厚 133mm (別添 2) を上回る。

b. 基部コンクリートに対する面外せん断力

別添 5 に示したとおり、側壁コンクリートの等価壁厚は約 1,276mm であり、R P V 等の自重によって基部コンクリートに作用する面外せん断力に対して必要な壁厚 192mm (別添 2) を上回る。

(2) 床スラブ (デブリ保持機能)

a. コンクリートに対する面外せん断力

別添 6 に熱影響を考慮した床スラブのコンクリート及び鉄筋の評価を

示す。床スラブコンクリートの等価板厚は約 629mm であり、デブリ等の自重によってコンクリートに作用する面外せん断力に対して必要な板厚 (別添 3) を上回る。

b. 鉄筋に対する曲げ応力

別添 6 に示したとおり、床スラブの鉄筋コンクリート部の幅 1m 当たりの等価鉄筋量は であり、デブリ等の自重によって鉄筋に作用する曲げ応力に対して必要な鉄筋量 (別添 4) を上回る。

5. まとめ

東海第二発電所におけるペDESTAL構造の特徴を踏まえた対策による影響を考慮し、デブリからの熱影響に対するペDESTALの構造健全性を評価した。

その結果、高温による鉄筋コンクリートの物性変化を考慮しても、ペDESTALに要求される R P V 支持機能及びデブリ保持機能が損なわれないことを確認した。

デブリからの伝熱によるペDESTALの温度評価

1. 概要

MAAPコードによる解析結果に基づき、汎用有限解析コードABAQUSを用いた熱伝導解析により、デブリからの伝熱によるペDESTALの側壁及び床スラブの温度を評価する。

2. 汎用有限解析コードABAQUSによるペDESTAL熱伝導解析

(1) 評価モデル

第1図に熱伝導解析モデルを示す。デブリからの熱影響による側壁及び床スラブの温度は、2次元体系有限要素法解析により評価する。本評価では、解析体系を縦横のメッシュで区切り、以下に示す2次元体系での非定常熱伝導の支配方程式に基づき、各部の温度変化を計算している。

$$\rho c \frac{\partial T}{\partial t} = \frac{\partial}{\partial x} \left(k_x \frac{\partial T}{\partial x} \right) + \frac{\partial}{\partial y} \left(k_y \frac{\partial T}{\partial y} \right) + Q$$

ここで、 T : 温度、 ρ : 密度、 c : 比熱、 k_x 、 k_y : x 方向及び y 方向の熱伝導率、 Q : 物体の内部発熱量である。

(2) 評価条件

第1表にABAQUSコードによる熱伝導解析の解析条件を示す。解析条件は、RPVが破損しデブリがペDESTALへ落下する事故シーケンスに対するMAAPコードの解析結果を参照^{*}し、これを包絡する条件を設定している。

※ 参照するM A A P解析結果は、有効性評価上のベースケースを含む以下を考慮

- ・ 起回事象：過渡事象，デブリから水プールへの限界熱流束：
800kW/m²（圧力依存性あり）（ベースケース）
- ・ 起回事象：L O C A，デブリから水プールへの限界熱流束：
800kW/m²（圧力依存性あり）
- ・ 起回事象：L O C A，デブリから水プールへの限界熱流束：
800kW/m²（一定）

(3) 評価結果

第7図にペDESTAL温度の評価点の位置を示す。また、第8図に横スリット部の温度変化を示す。横スリット部の最高温度は約798℃であり、スリット内で凝固したデブリは再溶融する温度に至らない。

また、第9図に側壁の温度変化を、第10図に床スラブ鉄筋コンクリート部の温度変化をそれぞれ示す。ペDESTAL側壁の最高温度は内表面で約900℃、床スラブ鉄筋コンクリート部の最高温度は上端部で約475℃となっている。

第1表 ABAQUSコードによる熱伝導解析条件

| 項目 | 条件 | 備考 |
|---------------------------------|-------|--|
| デブリ密度 (kg/m ³) | | MAAP計算結果 (RPV破損時の値) を包絡する値 |
| デブリ熱伝導率 (W/mK) | | |
| デブリ比熱 (J/kgK) | | |
| デブリ溶融潜熱 (J/kg) | | |
| デブリ内部発熱密度 (W/m ³) | (第2図) | MAAP計算結果 (保守的にスクラム後3時間からの崩壊熱を使用。希ガス・揮発性FPによる減衰 (30%) を考慮) |
| SUS密度 (kg/m ³) | (第2表) | 伝熱工学資料改訂第5版より |
| SUS熱伝導率 (W/mK) | | |
| SUS比熱 (J/kgK) | | |
| コンクリート密度 (kg/m ³) | 2,345 | 鉄筋コンクリート構造計算規準・同解説 (2010) より |
| コンクリート熱伝導率 (W/mK) | (第3表) | Eurocodeより |
| コンクリート比熱 (J/kgK) | | |
| ジルコニア耐火材密度 (kg/m ³) | (第4表) | 試験結果*に基づき設定 |
| ジルコニア耐火材熱伝導率 (W/mK) | | |
| ジルコニア耐火材比熱 (J/kgK) | | |
| スリット内デブリ初期温度 (°C) | | MAAP計算結果におけるRPV破損時のデブリ平均温度 <input type="text"/> に対し、保守的に液相線温度を設定 |
| 構造材初期温度 (°C) | 117 | MAAP解析結果におけるRPV破損時点でのペDESTAL構造部の最高温度 |
| ペDESTAL雰囲気温度 (°C) | (第3図) | MAAP計算結果を包絡する温度変化を設定 |
| ドライウェル雰囲気温度 (°C) | (第4図) | |
| サブプレッション・チェンバ雰囲気温度 (°C) | (第5図) | |
| デブリー-ジルコニア耐火材接触面温度 (°C) | (第6図) | |

※ 本試験は、中部電力(株)、東北電力(株)、東京電力ホールディングス(株)、北陸電力(株)、中国電力(株)、日本原子力発電(株)、電源開発(株)、(一財)エネルギー総合工学研究所、(株)東芝、日立GEニュークリア・エナジー(株)が実施した共同研究の成果の一部である。

第2表 SUS材物性値

| 温度 (K) | 密度 (kg/m ³) | 熱伝導率 (W/mK) | 比熱 (J/kgK) |
|--------|-------------------------|-------------|------------|
| 300 | 7,920 | 16.0 | 499 |
| 400 | 7,890 | 16.5 | 511 |
| 600 | 7,810 | 19.0 | 556 |
| 800 | 7,730 | 22.5 | 620 |
| 1,000 | 7,640 | 25.7 | 644 |

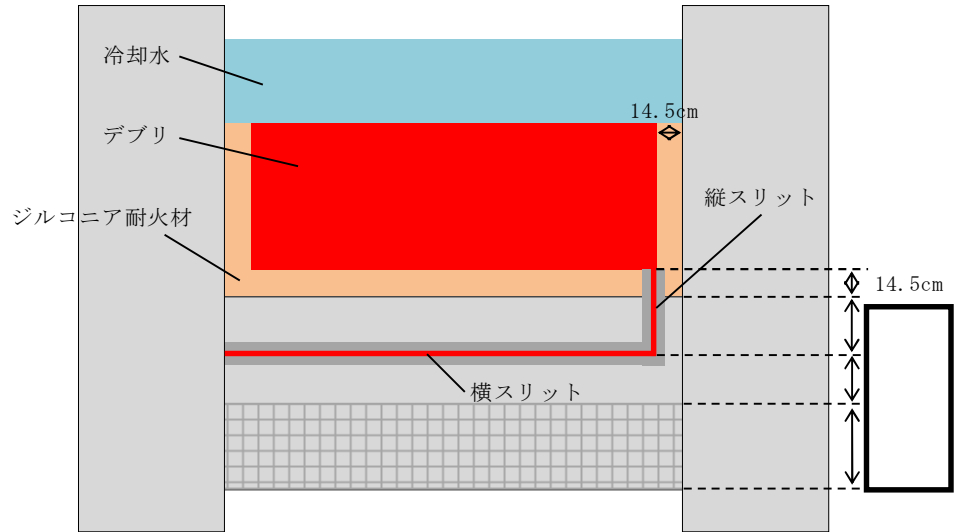
第3表 コンクリート物性値

| 温度 (°C) | 熱伝導率 (W/mK) | 比熱 (J/kgK) | 温度 (°C) | 熱伝導率 (W/mK) | 比熱 (J/kgK) |
|---------|-------------|------------|---------|-------------|------------|
| 20 | 1.951 | 901.1 | 650 | 0.859 | 1,111.7 |
| 50 | 1.880 | 917.3 | 675 | 0.833 | 1,114.4 |
| 75 | 1.822 | 930.2 | 700 | 0.809 | 1,116.8 |
| 100 | 1.766 | 942.8 | 725 | 0.785 | 1,118.7 |
| 125 | 1.710 | 954.9 | 750 | 0.764 | 1,120.3 |
| 150 | 1.656 | 966.7 | 775 | 0.743 | 1,121.3 |
| 175 | 1.604 | 977.9 | 800 | 0.724 | 1,122.0 |
| 200 | 1.553 | 988.8 | 825 | 0.706 | 1,122.2 |
| 225 | 1.503 | 999.2 | 850 | 0.690 | 1,122.1 |
| 250 | 1.454 | 1,009.3 | 875 | 0.675 | 1,121.4 |
| 275 | 1.407 | 1,018.8 | 900 | 0.661 | 1,120.4 |
| 300 | 1.361 | 1,028.0 | 925 | 0.648 | 1,118.9 |
| 325 | 1.316 | 1,036.7 | 950 | 0.637 | 1,117.1 |
| 350 | 1.273 | 1,045.1 | 975 | 0.627 | 1,114.7 |
| 375 | 1.231 | 1,052.9 | 1,000 | 0.619 | 1,112.0 |
| 400 | 1.191 | 1,060.4 | 1,025 | 0.612 | 1,108.8 |
| 425 | 1.152 | 1,067.4 | 1,050 | 0.606 | 1,105.3 |
| 450 | 1.114 | 1,074.1 | 1,075 | 0.602 | 1,101.2 |
| 475 | 1.077 | 1,080.2 | 1,100 | 0.599 | 1,096.8 |
| 500 | 1.042 | 1,086.0 | 1,125 | 0.597 | 1,091.9 |
| 525 | 1.008 | 1,091.3 | 1,150 | 0.596 | 1,086.7 |
| 550 | 0.976 | 1,096.3 | 1,175 | 0.597 | 1,080.9 |
| 575 | 0.944 | 1,100.7 | 1,200 | 0.600 | 1,074.8 |
| 600 | 0.915 | 1,104.8 | 1,225 | 0.600 | 1,068.2 |
| 625 | 0.886 | 1,108.4 | 1,250 | 0.600 | 1,061.3 |

第4表 ジルコニア耐火材の物性値

| 温度 (°C) | 密度 (kg/m ³) | 熱伝導率 (W/mK) | 比熱 (J/kgK) |
|---------|-------------------------|-------------|------------|
| | | | |

※ 本数値は、中部電力(株)、東北電力(株)、東京電力ホールディングス(株)、北陸電力(株)、中国電力(株)、日本原子力発電(株)、電源開発(株)、(一財)エネルギー総合工学研究所、(株)東芝、日立GE ニュークリア・エナジー(株)が実施した共同研究の成果の一部である。

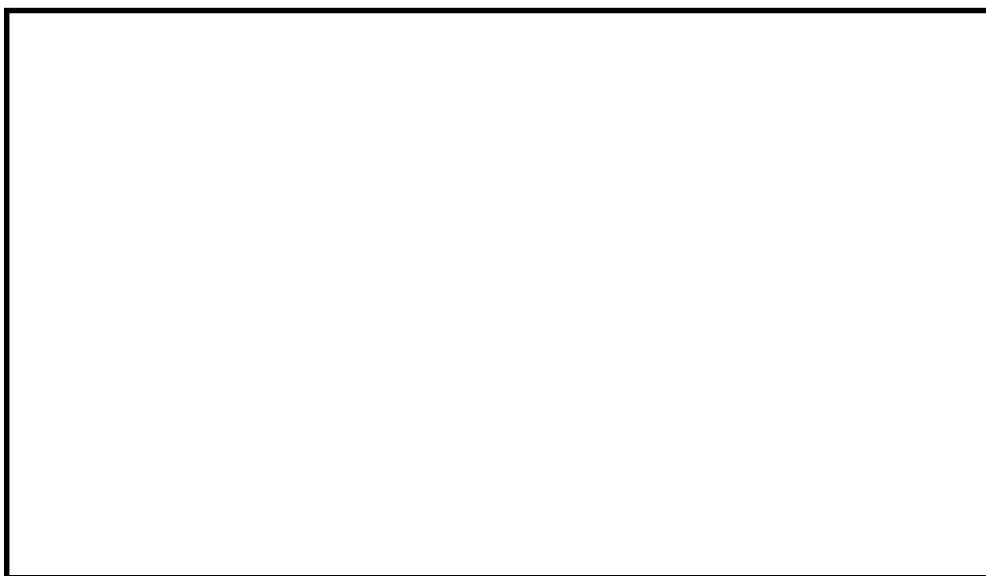


(a) 全体概要図

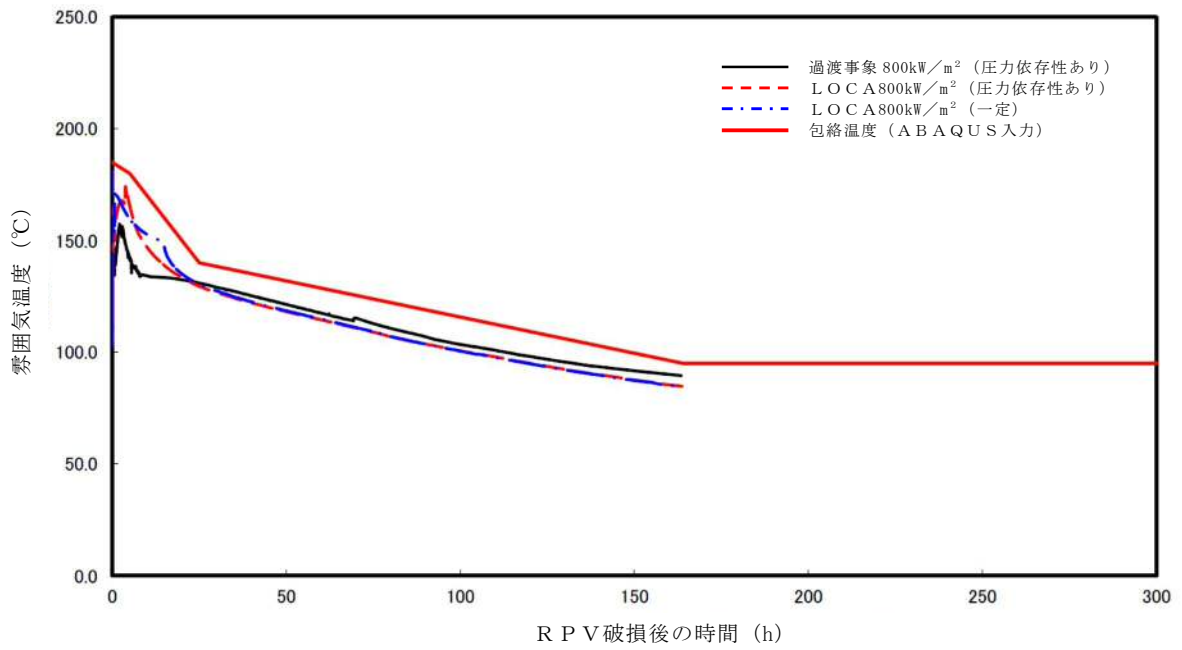


(b) スリット部拡大図

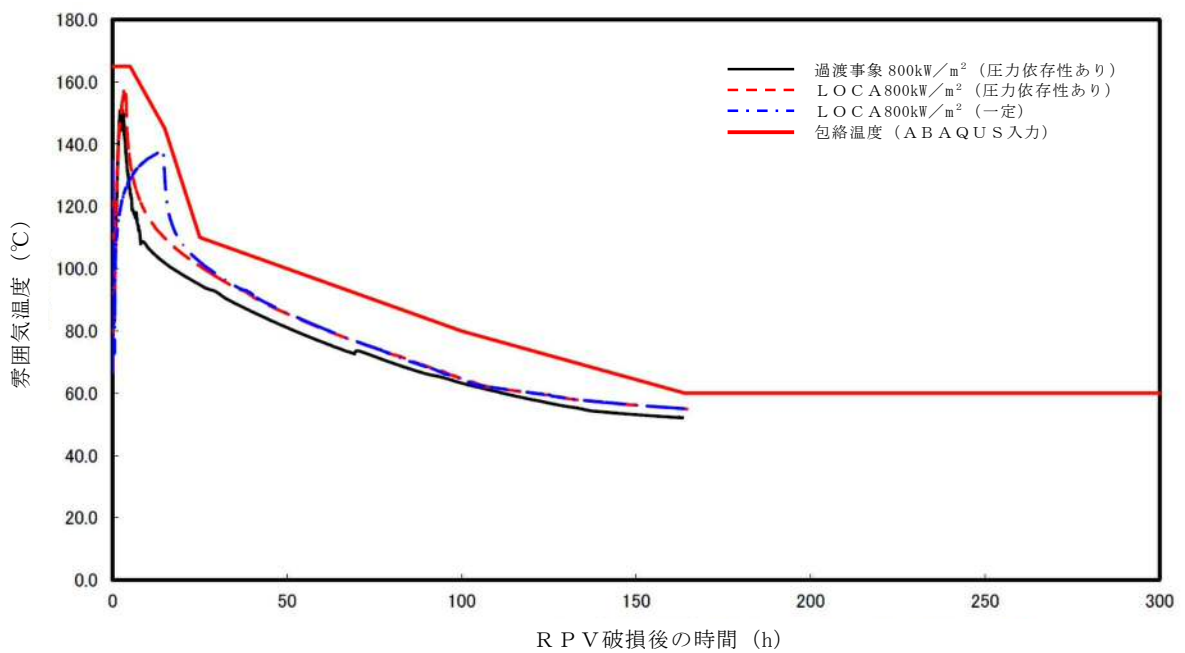
第 1 図 熱伝導解析モデル



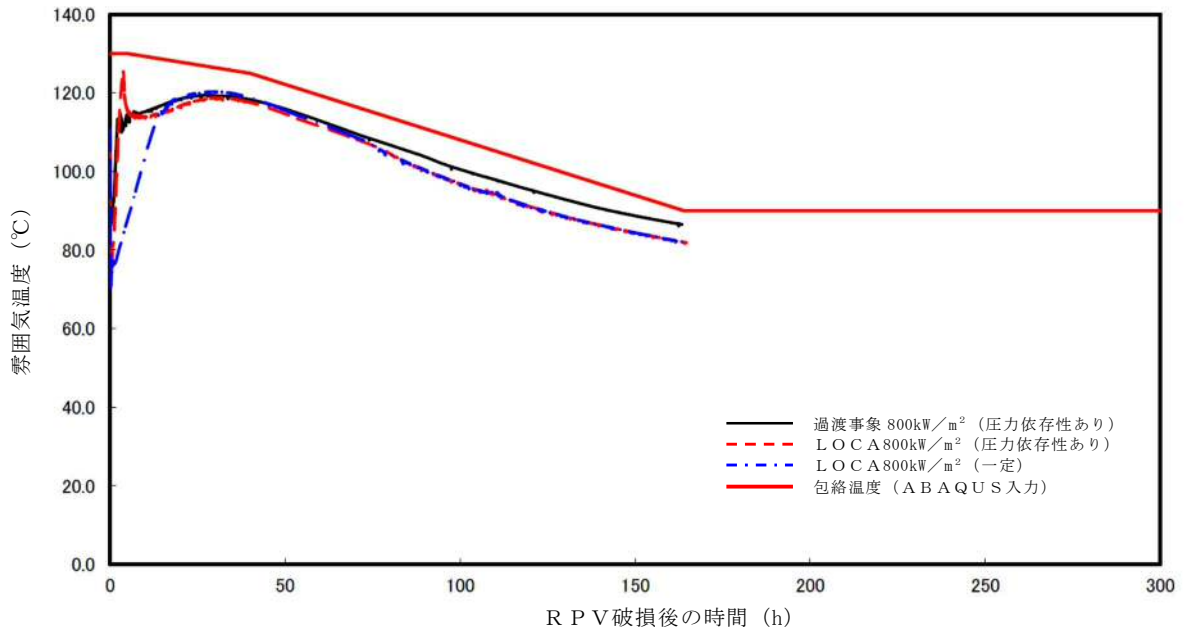
第 2 図 デブリ内部発熱密度条件



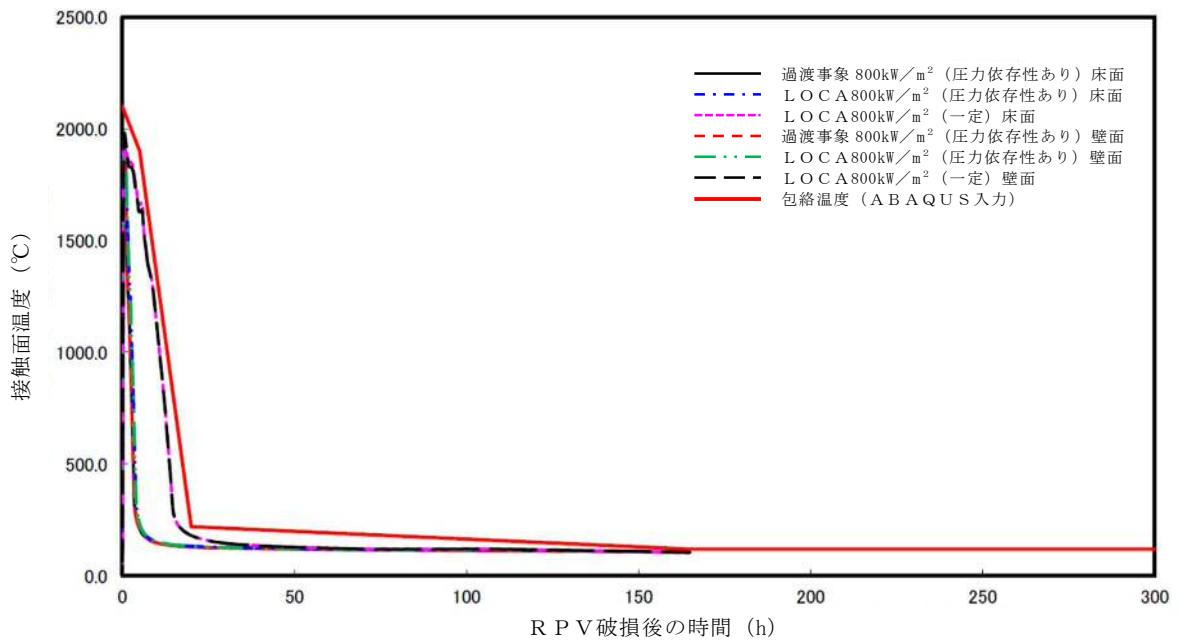
第3図 ペデスタル雰囲気温度条件



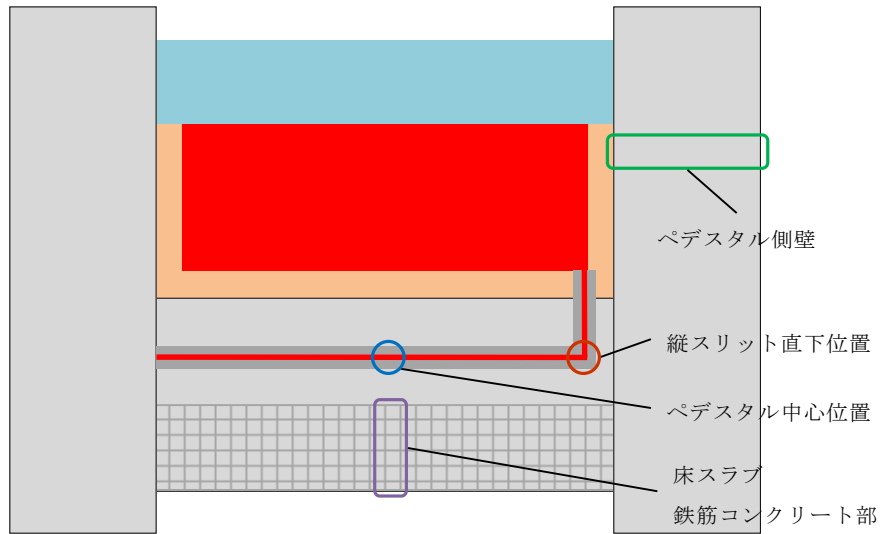
第4図 ドライウェル雰囲気温度条件



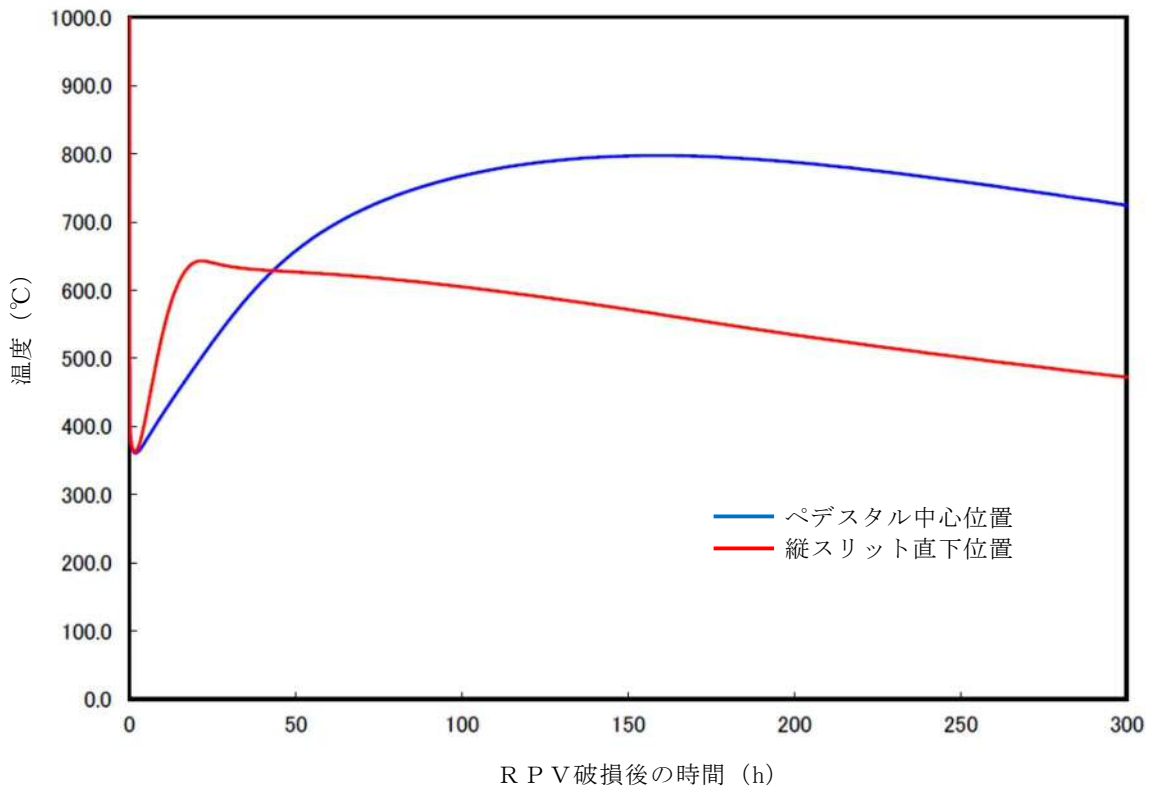
第5図 サプレッション・チェンバ蒸汽温度条件



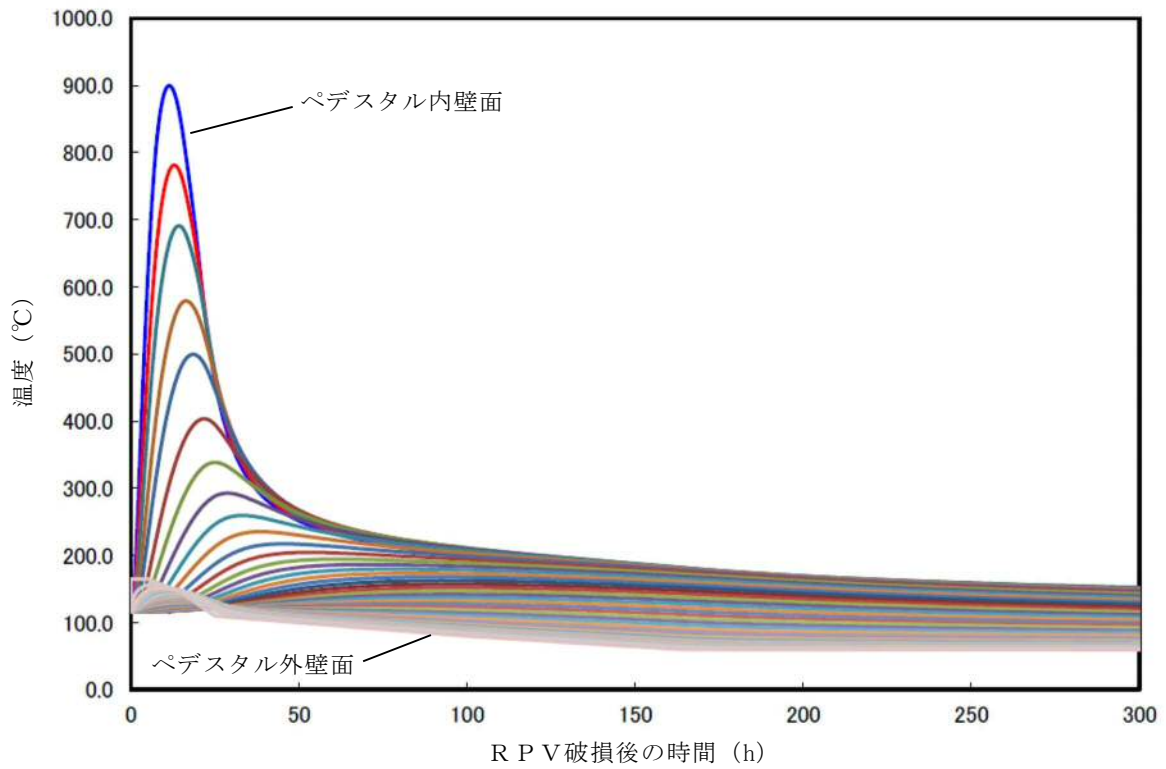
第6図 デブリー・ジルコニア耐火材接触面温度条件



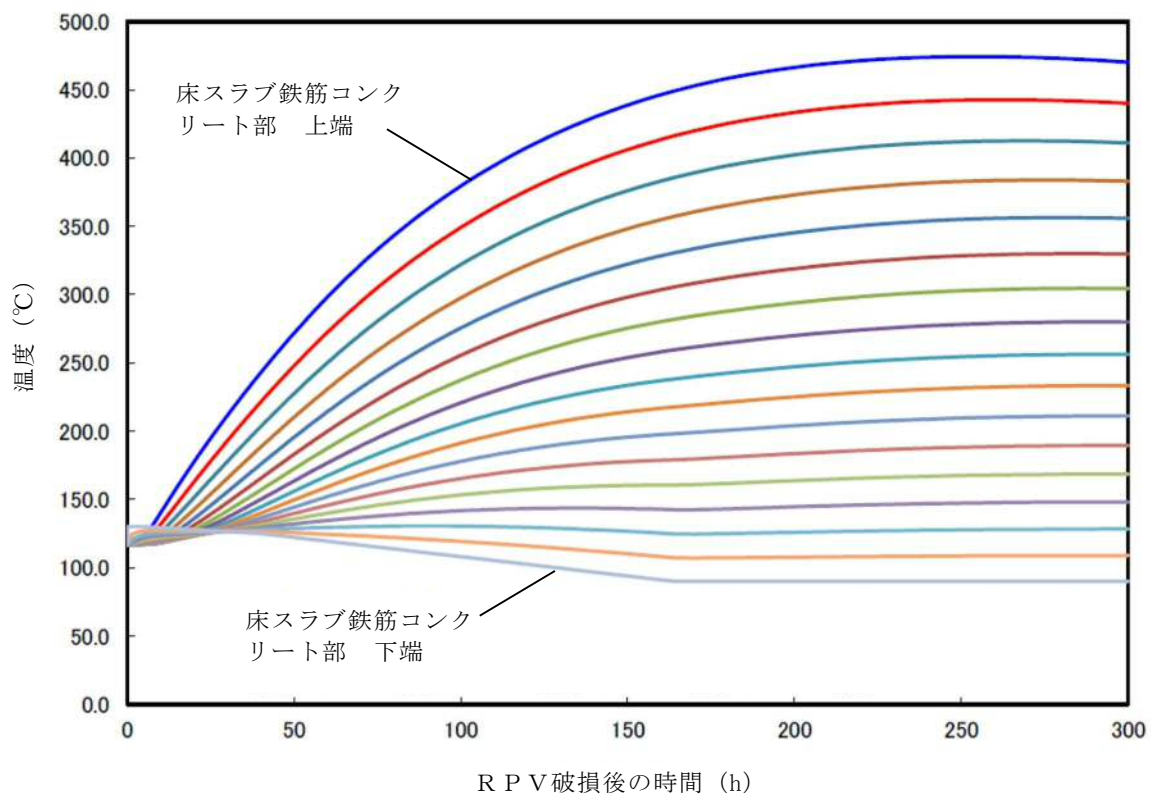
第7図 ペデスタル温度評価位置



第8図 横スリット部の温度変化



第 9 図 ペデスタル側壁の温度変化

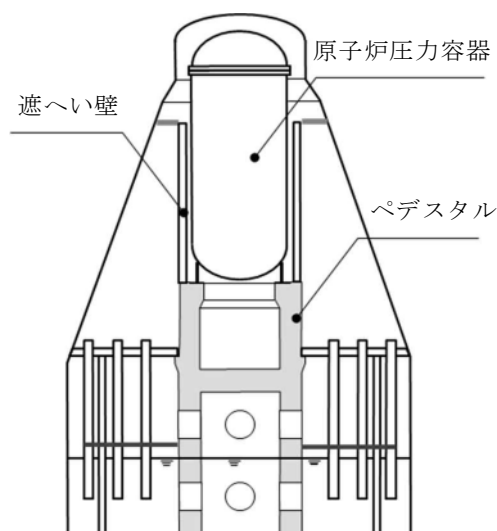


第 10 図 床スラブ鉄筋コンクリート部の温度変化

R P V 支持に必要な側壁コンクリート厚さ評価

1. 概要

格納容器内のペDESTAL等配置図を第 1 図に示す。ペDESTALは、原子炉圧力容器、遮へい壁等を支持する構造物である。添付 3.5.1 のとおり、原子炉圧力容器が破損し溶融燃料がペDESTAL（ドライウエル部）に落下した場合でも、コンクリートの侵食は生じない評価結果となっているが、ペDESTAL側壁部のコンクリートが侵食する可能性を考慮し、これら構造物を支持するために必要となるペDESTAL側壁部の壁厚（以下「必要壁厚」という。）を算定する。



第 1 図 格納容器内ペDESTAL等配置図

2. ペDESTAL側壁部に生じる荷重算定

2.1 荷重の算定方針

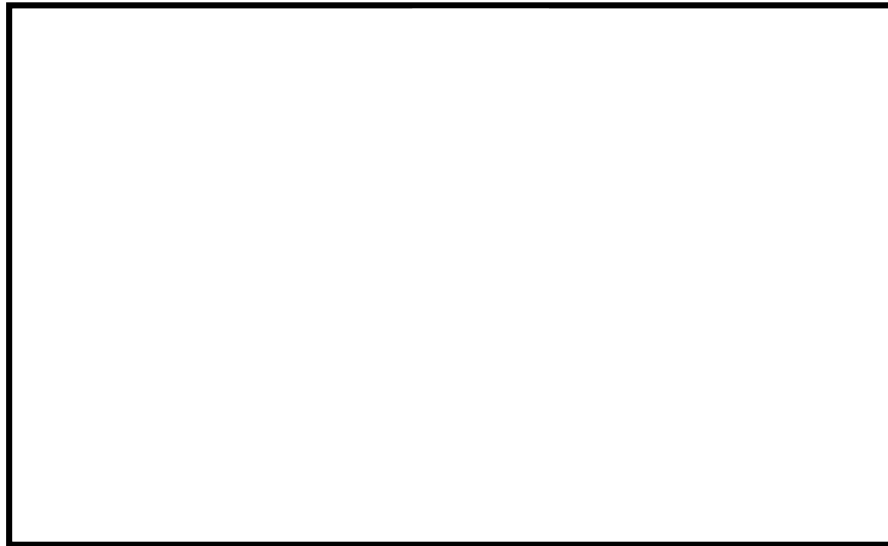
必要壁厚の算定のために必要となるペDESTAL側壁部の荷重は、今回工認

におけるペDESTALの構造健全性評価に用いる解析モデルを適用し、ペDESTALにて支持される構造物の重量を考慮した解析により算定する。

2.2 解析方法

解析モデル図を第2図に、解析条件等の概要について第1表に示す。解析モデルは、ペDESTAL構造をシェル要素にて3次元的にモデル化したものを用いる。

ペDESTALは、原子炉压力容器及び遮へい壁等を支持する構造物であるため、解析における各構造物の重量の模擬については、ペDESTAL上面に等分布荷重として負荷させる。また、MCCIに至る過程を踏まえれば、原子炉压力容器内の燃料集合体等はデブリ化し、ペDESTAL床面上に落下していることになるが、ペDESTAL側壁コンクリートの必要壁厚を保守的に算定するために、原子炉压力容器内に燃料集合体が残存することを前提に評価した。



第2図 ペDESTAL 3次元FEMモデル図

第1表 解析条件等の概要

| 項目 | 内容 |
|--------------|--|
| 解析モデル | <ul style="list-style-type: none"> ・ 3次元FEMモデル ・ シェル要素 |
| 解析コード | <ul style="list-style-type: none"> ・ NASTRAN |
| 重量模擬 | <ul style="list-style-type: none"> ・ 原子炉圧力容器 $955 \times 10^3 \text{ kg}$ (圧力容器内構造物を含む) ・ 遮へい壁 $656 \times 10^3 \text{ kg}$ |
| コンクリートの材料物性等 | <ul style="list-style-type: none"> ・ 設計基準強度 22 N/mm^2 ・ ヤング係数 $2.2 \times 10^4 \text{ N/mm}^2$ ・ せん断弾性係数 $0.918 \times 10^4 \text{ N/mm}^2$ ・ 単位体積重量 23 kN/m^3 |

3 必要壁厚の算定

3.1 解析結果

必要壁厚の算定に用いる荷重は、構造物の重量によるペDESTAL鉛直方向に発生する荷重（圧縮軸力）に加えて、側壁コンクリートの壁厚変化に伴う構造不連続形状部に発生する面外せん断力についても考慮する。

構造物の重量を付加させた解析結果として、MCCIによる侵食が想定されるペDESTAL側壁部における圧縮軸力及び面外せん断力を第2表に示す。

第2表 ペDESTAL側壁部に生じる荷重

| 部位 | 圧縮軸力 (kN/m) | 面外せん断力 (kN/m) |
|-------------------|----------------|------------------|
| MCCIによる 侵食想定部位 | 1,940 | 178 |

3.2 コンクリートの応力度

必要壁厚の算定に当たっては、鉄筋コンクリート構造計算規準・同解説((社)日本建築学会, 1999) (以下「RC規準」という。)に規定されているコンクリートの短期許容応力度を用いた。なお、水蒸気爆発に対する構造健全性評価においては終局状態に至らないことを判断基準としているが、短期許容応力度を用いることは保守的な取扱いとなる。第3表に必要壁厚算定に用いた許容応力度を示す。

第3表 必要壁厚算定に用いた許容応力度 (短期)

| 圧縮 (N/mm ²) | せん断 (N/mm ²) |
|-------------------------|--------------------------|
| 14.6 | 1.06 |

※ RC規準許容応力度 (短期)

・圧縮 : $2/3 F_c$

・せん断 : $1/30 F_c$ かつ $(0.49 + 1/100 \times F_c)$ 以下の 1.5 倍

3.3 必要壁厚の算定結果

側壁コンクリートに生じる荷重、短期許容応力度から必要壁厚を圧縮軸力及び面外せん断力に対して算定した。

(1) 圧縮軸力による評価

側壁コンクリートに生じる圧縮軸力と短期許容応力度が等しくなるときの壁厚を必要壁厚として算定する。必要壁厚は下式のとおり算定され、圧縮軸力による評価においては、必要壁厚は 133 mm となる。

$$1.940 \times 10^3 \text{ (N/mm)} \div 14.6 \text{ (N/mm}^2\text{)} = 133 \text{ mm}$$

(2) 面外せん断力による評価

面外せん断力を用いた必要壁厚の算定については、RC規準の断面算定に用いる評価式を適用する。

$$Q = b \cdot j \cdot f_s$$

ここで、

Q : 発生荷重 (N)

b : 部材の有効幅 (mm)

j : 柱の中心間距離 (mm)

$$j = d \times 7/8$$

d : 有効せい (必要壁厚) (mm)

f_s : 短期許容応力度 (N/mm²)

必要壁厚は、解析により生じる面外せん断力、短期許容応力から下式のとおり算定され、面外せん断力による評価としての必要壁厚は 192 mmとなる。

$$\begin{aligned} d &= 8/7 \times (Q \div b) \div f_s \\ &= 8/7 \times 178 \text{ (N/mm)} \div 1.06 \text{ (N/mm}^2\text{)} = 192 \text{ mm} \end{aligned}$$

4. まとめ

圧縮軸力による評価及び面外せん断力による評価から算定した必要壁厚を第4表に整理する。熱影響を考慮しない場合の健全な側壁コンクリート厚さ に対し、必要壁厚は、圧縮軸力に対しては 133mm、面外せん断力に対しては 192 mmとなる。

第4表 必要壁厚の算定結果

| | 圧縮軸力による評価 | 面外せん断力による評価 |
|------|-----------|-------------|
| 必要壁厚 | 133mm | 192mm |

デブリ保持に必要な床スラブ厚さ評価

床スラブに係る荷重を評価し，コンクリートのせん断耐力から必要床スラブ厚さを算定する。なお，本評価におけるコンクリートのせん断耐力は，終局強度に対して保守的な短期許容応力度を用いる。

1. 床スラブ荷重

床スラブ荷重として，床スラブ自重及びデブリ等の床スラブ積載荷重を評価する。

(1) 床スラブ自重

床スラブ自重は，

- ・床スラブのコンクリート体積：約 53.85m^3
- ・鉄筋コンクリートの単位体積重量： $24\text{kN}/\text{m}^3$

より，床スラブ自重による荷重は約 $1.30 \times 10^3\text{kN}$ となる。

(2) 床スラブ積載荷重

床スラブ積載荷重は，デブリ，冷却水，コリウムシールド及びペDESTアル内構造物等の総重量を保守的に切り上げた値として 500ton を使用し，約 $4.90 \times 10^3\text{kN}$ となる。

以上から，床スラブ荷重として約 $6.20 \times 10^3\text{kN}$ を用いる。

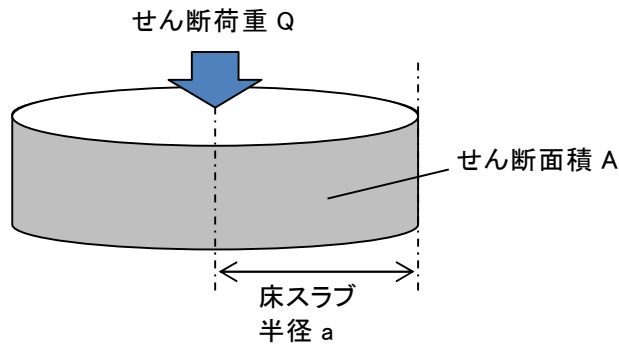
2. せん断応力による必要床スラブ厚さ

床スラブ端部の必要厚さは次のとおり算定される（第1図）。

必要せん断面積 = 床スラブ荷重 / 短期許容せん断応力度

必要床スラブ厚さ = 必要せん断面積 / 床スラブ円周長

RC規準に規定されている短期許容せん断応力度に基づき 1.06N/mm^2 を使用すると、熱影響を考慮しない場合の健全な床スラブ厚さ に対し、必要厚さは と算定される。



第1図 床スラブのせん断荷重

表 6.1 コンクリートの許容応力度 (N/mm²)

| | 長 期 | | 短 期 | | |
|---------------------|------------------|----|---|--|--------------|
| | 圧縮 | 引張 | せん断 | | せん断 |
| 普通コンクリート | | | $\frac{1}{30}F_c$ かつ $(0.49 + \frac{1}{100}F_c)$ 以下 | | |
| 軽量コンクリート 1種および2種 | $\frac{1}{3}F_c$ | — | 普通コンクリートに対する値の0.9倍 | | 長期に対する値の1.5倍 |

[注] F_c は、コンクリートの設計基準強度 (N/mm²) を表す。

F_c : コンクリートの設計基準強度 約 22.1 (N/mm²)

第2図 コンクリートの許容応力度

デブリ保持に必要な床スラブ鉄筋量評価

床スラブに係る荷重を評価し、鉄筋の終局曲げ強度から曲げ応力に対する必要鉄筋量を算定する。

1. 床スラブ荷重

床スラブ荷重は別添 3 と同様に約 $6.20 \times 10^3 \text{ kN}$ を用いる。

分布荷重は床スラブ荷重を床面積で除した値であり となる。

2. 曲げ応力による必要鉄筋量

「機械工学便覧 基礎編 a3 材料力学」(第 1 図)に基づき、等分布荷重を受ける周辺単純支持の円板に作用するモーメント M を算定する。

$$M = (3 + \nu) \cdot p \cdot a^2 / 16 = \input{type="text"}$$

ここで、

- ν : ポアソン比 0.2
- p : 分布荷重
- a : 床スラブ半径

算定したモーメント及び建築物の構造関係技術規準解説書（国土交通省ほか，2015）に示される終局曲げ強度算定式より，床スラブ本体部の幅 1m 当たりの必要鉄筋量を算定する。

$$\text{必要鉄筋量} = M / (\sigma_y \cdot d) = \boxed{}$$

ここで，

σ_y : 鉄筋の降伏強度（345N/mm²）の 1.1 倍^{※1} = 379.5N/mm²

d : 床スラブの有効せい^{※2} = $\boxed{}$

- ※1 建築物の構造関係技術規準解説書では，終局強度算定に当たり J I S 規格品の鉄筋の基準強度を 1.1 倍以下の数値とすることができるとされている。
- ※2 圧縮縁から引張側鉄筋の重心までの距離（第 2 図）

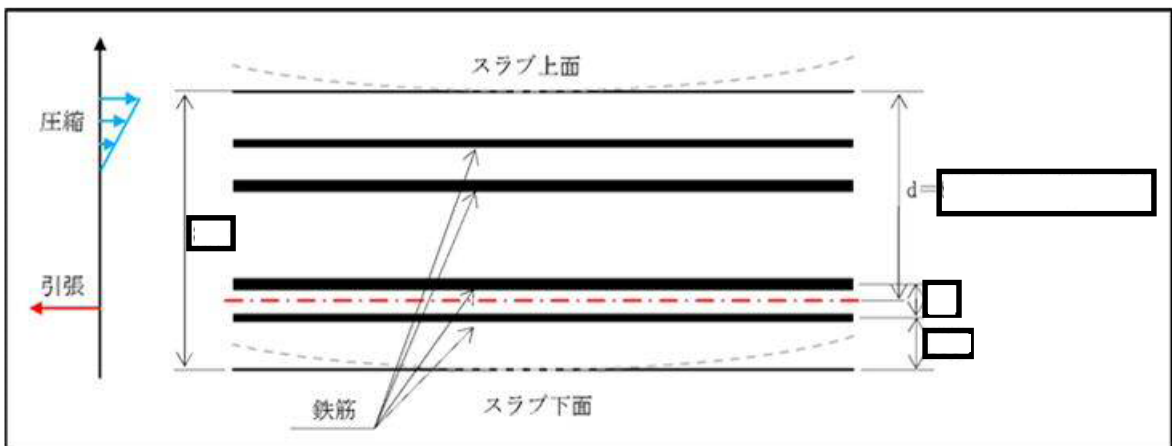
表 5・1 円板のたわみと曲げ応力 (その1)

(図中○印は最大応力を示す。応力式の複号は、上が上面、下が下面を表す。ln は自然対数、*印はポアソン比 $\nu=0.3$ のときの値を表す)

| No. | 荷重状態とたわみ形および下表面の応力分布 | たわみ w , w_{max} および応力 σ , σ_{max} |
|-----|--------------------------|--|
| 1 | <p>円板, 周辺単純支持, 等分布荷重</p> | $w = \frac{pa^4}{64D} \left(1 - \frac{r^2}{a^2}\right) \left(\frac{5+\nu}{1+\nu} - \frac{r^2}{a^2}\right)$ $w_{max} = (w)_{r=0} = \frac{(5+\nu)pa^4}{64(1+\nu)D} = 0.696 \frac{pa^4}{Eh^3}^*$ $\sigma_r = \mp \frac{3pa^2}{8h^2} (3+\nu) \left(1 - \frac{r^2}{a^2}\right)$ $\sigma_\theta = \mp \frac{3pa^2}{8h^2} \left\{ (3+\nu) - (1+3\nu) \frac{r^2}{a^2} \right\}$ <div style="border: 1px solid red; padding: 2px;"> $\sigma_{max} = (\sigma_r)_{r=0} = (\sigma_\theta)_{r=0} = \mp \frac{3(3+\nu)pa^2}{8h^2} = \mp 1.24 \frac{pa^2}{h^2}^*$ </div> |
| 2 | <p>円板, 周辺固定, 等分布荷重</p> | $w = \frac{pa^4}{64D} \left(1 - \frac{r^2}{a^2}\right)^2$ $w_{max} = (w)_{r=0} = \frac{pa^4}{64D} = 0.171 \frac{pa^4}{Eh^3}^*$ $\sigma_r = \mp \frac{3pa^2}{8h^2} \left\{ (1+\nu) - (3+\nu) \frac{r^2}{a^2} \right\}$ $\sigma_\theta = \mp \frac{3pa^2}{8h^2} \left\{ (1+\nu) - (1+3\nu) \frac{r^2}{a^2} \right\}$ $\sigma_{max} = (\sigma_r)_{r=a} = \pm \frac{3pa^2}{4h^2} = \pm 0.750 \frac{pa^2}{h^2}$ <div style="border: 1px solid black; padding: 5px; margin-top: 10px;"> $M_{max} = \sigma_{max} \cdot Z$ <p>断面係数 $Z = I^2/6$ のため、</p> $M_{max} = [3(3+\nu)p \cdot a^2/8h^2] \times [I^2/6]$ $= (3+\nu)p \cdot a^2/16$ </div> |

高温による影響を考慮した場合でも、床スラブの周辺固定が完全に失われることはないが、保守的に周辺単純支持条件での評価を実施

第 1 図 等分布荷重を受ける円板の応力計算式



第 2 図 床スラブの有効せい

熱影響を考慮した側壁コンクリートの構造評価

1. 側壁コンクリートの圧縮軸力に対する評価

(1) 評価方法

- ・ R P V等の重量は、側壁コンクリートに圧縮軸力として作用することから、コンクリートを対象に評価し、鉄筋については考慮しない。
- ・ A B A Q U Sコードによる熱伝導解析結果における側壁での径方向各厚さの温度(第1図)に対して、第2図に示すとおり包絡温度を設定する。
- ・ 各厚さ部分の包絡温度に対して、第3図に示す構造材料の耐火性ガイドブック((社) 日本建築学会, 2017) (以下「耐火性ガイドブック」という。) に示される加熱冷却後の圧縮強度残存比を参照し、コンクリート侵食後の残存壁厚に対し健全なコンクリートとしてみなせる等価壁厚を算定する。
- ・ 上記手順により算定した等価壁厚と別添2に示すR P Vを支持するために必要な壁厚である133mmとを比較し、等価壁厚が必要壁厚を上回ることを確認する。

(2) 評価結果

等価壁厚は約1,229mmとなり、R P V支持に必要な壁厚133mmを上回ることから、側壁コンクリートの圧縮軸力に対してR P V支持機能は維持される。

2. 側壁基部コンクリートの面外せん断に対する評価

(1) 評価方法

- ・第4図に示すコンクリート面外せん断の短期許容応力度に、1.の圧縮軸力に対する評価にておいて設定した側壁部各厚さにおける包絡温度（第2図）を考慮した圧縮強度残存比（第3図）を乗じて、高温影響を考慮したコンクリート強度を求める。
- ・RC規準の断面算定評価式に基づいて、面外せん断に対する等価壁厚を算定する。

$$Q = b \cdot j \cdot f_s$$

ここで、

Q : 発生荷重 (N)

b : 部材の有効幅 (mm)

j : 柱の中心間距離 (mm)

$$j = d \times 7/8$$

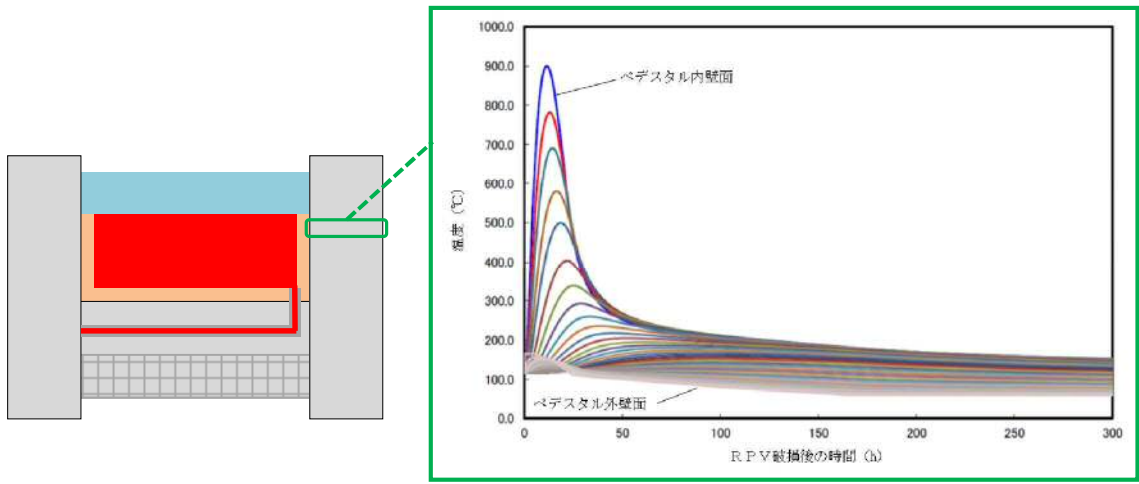
d : 有効せい (必要壁厚) (mm)

f_s : 短期許容応力度 (N/mm²)

- ・上記手順により算定した等価壁厚と別添2に示すRPVを支持するために必要な壁厚である192mmとを比較し、等価壁厚が必要壁厚を上回ることを確認する。

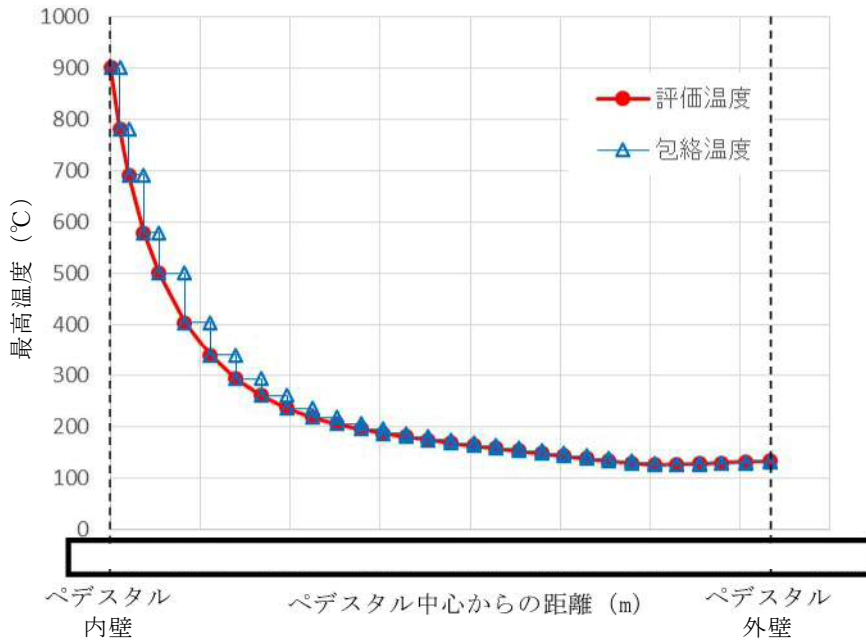
(2) 評価結果

等価壁厚は約1,276mmとなり、RPV支持に必要な壁厚192mmを上回ることから、側壁基部コンクリートの面外せん断に対してRPV支持機能は維持される。



側壁部温度変化

第 1 図 側壁部の熱伝導解析結果



第 2 図 ペDESTAL側壁における包絡温度の設定

表 2.4.1.4 圧縮強度残存比の提案値

| 加熱温度 T, T_r (°C) | 高温時 | | 加熱冷却後 | |
|-----------------------|--|--------------------------|--|---------------------|
| | Eurocode ⁶⁹⁾ (normal weight concrete) | 提案値 $\kappa_c(T)$ | Eurocode ⁶⁹⁾ (normal weight concrete) | 提案値 $\kappa_c(T_r)$ |
| 20 | 1.00 [1.00]* | 1.00 | 1.00 | 1.00 |
| 100 | 1.00 [0.95]* | $0.09 \times W/B + 0.74$ | 0.95 | 0.97 |
| 200 | 0.95 [0.90]* | $0.27 \times W/B + 0.78$ | 0.86 | 0.93 |
| 300 | 0.85 [0.85]* | $0.21 \times W/B + 0.80$ | 0.77 | 0.77 |
| 400 | 0.75 [0.75]* | $0.32 \times W/B + 0.64$ | 0.68 | 0.61 |
| 500 | 0.60 [0.60]* | $0.31 \times W/B + 0.48$ | 0.54 | 0.45 |
| 600 | 0.45 [0.45]* | $0.41 \times W/B + 0.24$ | 0.41 | 0.35 |
| 700 | 0.30 [0.30]* | $0.40 \times W/B + 0.14$ | 0.27 | 0.25 |
| 800 | 0.15 [0.15]* | 0.15 | 0.14 | 0.15 |

*: 表中の [] は、本ガイドブック 2009 年版の記載値である。
2005 年の Eurocode⁶⁹⁾ 修正に伴い、修正した。

第 3 図 コンクリートの圧縮強度残存比

表 6.1 コンクリートの許容応力度 (N/mm²)

| | 長 期 | | | 短 期 | | |
|--------------------------------|-------------------|----|---|------------------|----|--------------------|
| | 圧縮 | 引張 | せん断 | 圧縮 | 引張 | せん断 |
| 普通コン クリート | | | $\frac{1}{30} F_c$ かつ $(0.49 + \frac{1}{100} F_c)$ 以下 | | | |
| 軽量コン クリート 1 種およ び 2 種 | $\frac{1}{3} F_c$ | — | 普通コンクリートに対する値の 0.9 倍 | 長期に対す る値の 2 倍 | — | 長期に対す る値の 1.5 倍 |

[注] F_c は、コンクリートの設計基準強度 (N/mm²) を表す。

第 4 図 コンクリートの許容応力度

熱影響を考慮した床スラブのコンクリート及び鉄筋の構造評価

1. 床スラブコンクリートの面外せん断に対する評価

(1) 評価方法

- ・デブリ等の重量によるせん断応力は床スラブにせん断荷重として掛かることから、コンクリートを対象にせん断応力を評価し、鉄筋については考慮しない。また、必要なコンクリート厚さを小さく評価する観点で保守的に、床スラブのコンクリート部厚さ（1,000mm）を考慮せず、鉄筋コンクリート部厚さ（800mm）を対象に評価する。
- ・ABAQUSコードによる熱伝導解析結果における床スラブ鉄筋コンクリート部の縦方向各厚さの温度（第1図）に対して、第2図に示すとおり包絡温度を設定する。
- ・各厚さ部分の包絡温度に対して、耐火性ガイドブックに示される加熱冷却後の圧縮強度残存比を参照し、健全なコンクリートとしてみなせる等価板厚を算定する。
- ・上記手順により算定した等価板厚と別添3に示すデブリ保持に必要な板厚である□とを比較し、等価板厚が必要板厚を上回ることを確認する。

(2) 評価結果

等価板厚は約 618mm となり、デブリ保持に必要な板厚である□を上回るため、床スラブコンクリートの面外せん断に対してデブリ保持機能は維持される。

2. 床スラブ鉄筋の曲げ応力に対する評価

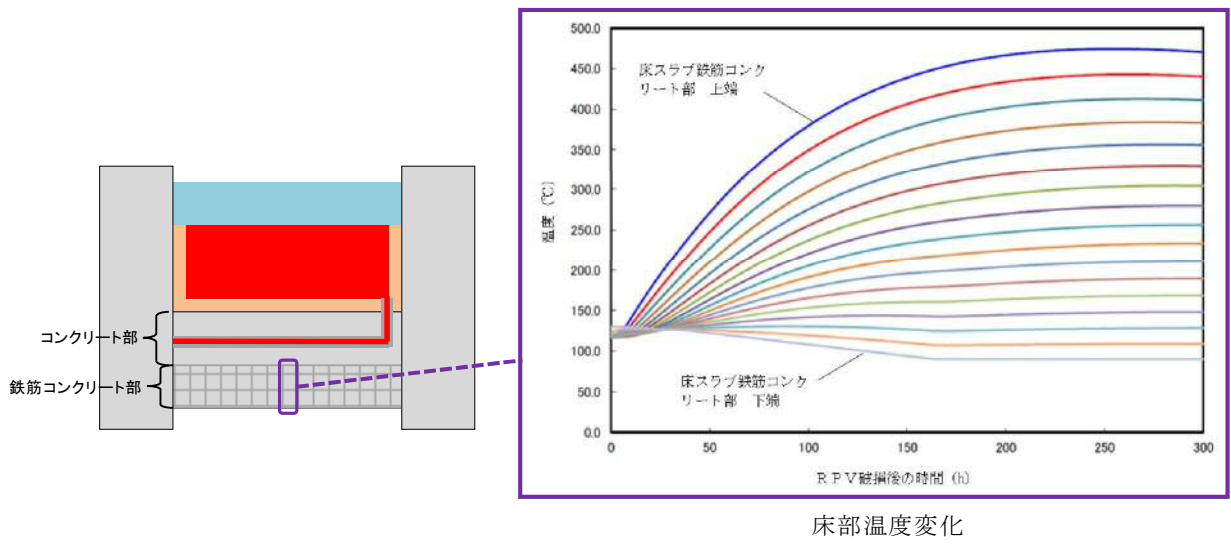
(1) 評価方法

以下に熱影響を考慮した床スラブ鉄筋の構造評価の方法を示す。

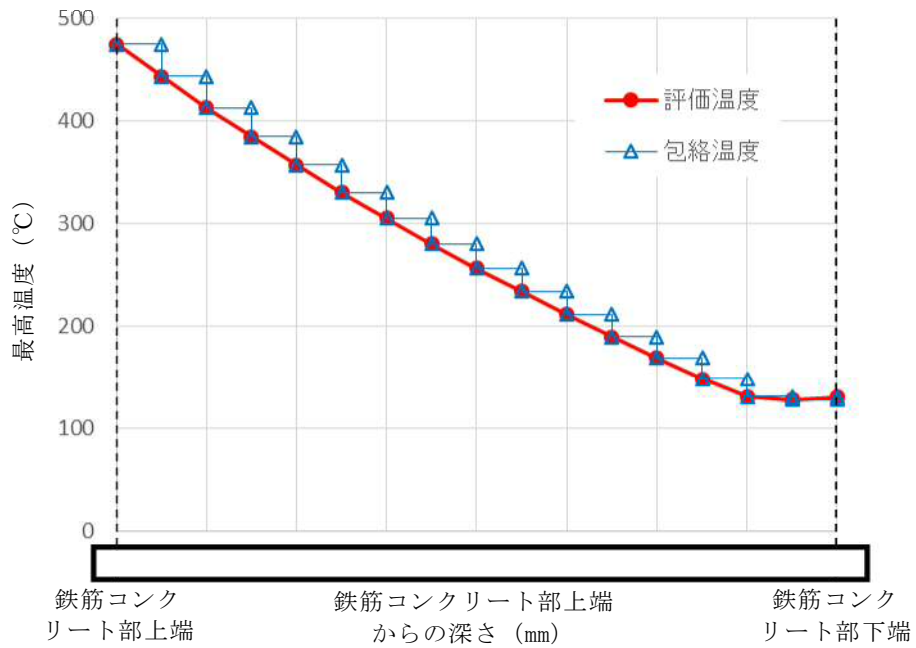
- ・ デブリ等の重量による曲げ応力は床スラブの鉄筋コンクリート部に引張荷重として掛かることから、第3図に示す鉄筋を対象に曲げ応力を評価し、コンクリートについては考慮しない。
- ・ A B A Q U S コードによる熱伝導解析結果より、下端筋位置では最高220℃程度まで温度上昇するため、第4図に示す耐火性ガイドブックの高温時の鉄筋強度を参考に、強度低下割合として4割を設定する。
- ・ 実機の床スラブ本体部の幅1m当たりの鉄筋量 に対し、上記の鉄筋強度劣化度合いを考慮し、健全な状態とみなせる鉄筋量を評価する。
- ・ 上記手順により算定した強度低下を考慮した鉄筋量と別添3に示すデブリ等の重量保持に必要な鉄筋量である幅1m当たり とを比較し、健全な状態とみなせる鉄筋量が必要鉄筋量を上回ることを確認する。

(2) 評価結果

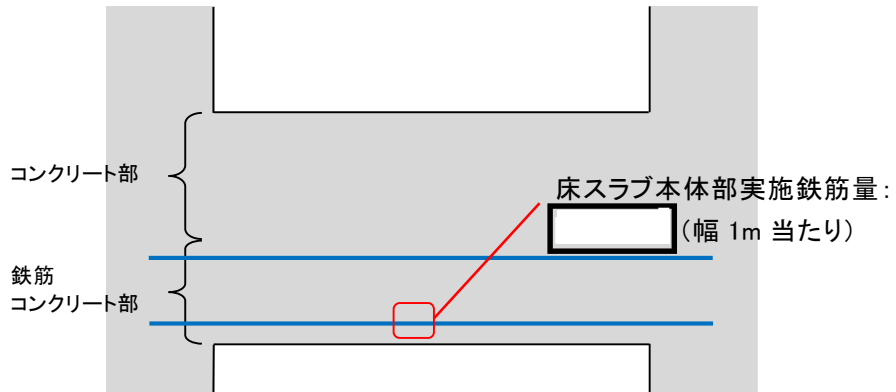
強度低下を考慮した鉄筋量は となる。デブリ等の重量保持に必要な鉄筋量は幅1m当たり であり、必要な鉄筋量を上回ることから、曲げ応力に対してデブリ保持機能は確保される。



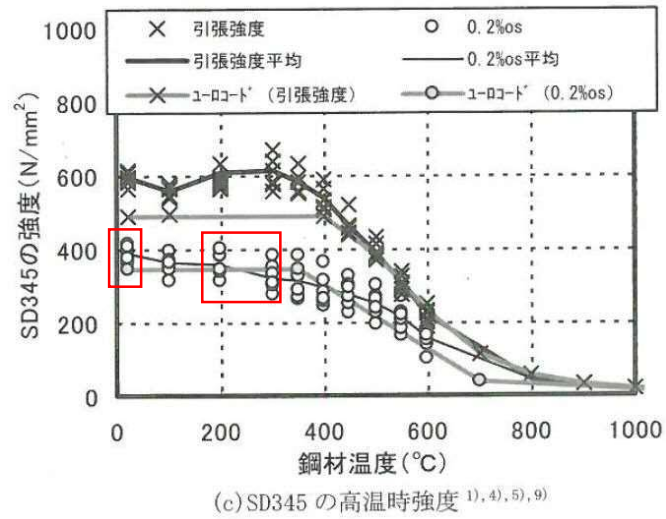
第 1 図 ペデスタル温度評価結果



第 2 図 床スラブ鉄筋コンクリート部における包絡温度の設定



第3図 床スラブの鉄筋コンクリート範囲



第4図 鉄筋強度の低下割合

鉄筋コンクリート内に発生する熱応力の取扱いについて

1. はじめに

東海第二発電所のMCC I及び水蒸気爆発を考慮した対策を踏まえ、RPV破損時にペDESTALへ落下したデブリからの熱影響による鉄筋コンクリートの材料強度低下を考慮した構造健全性評価を行い、ペDESTALに要求されるRPV支持機能及びデブリ保持機能が損なわれないことを確認している。

一方、本事象に対する構造健全性評価では終局状態における機能維持確認の観点より、デブリからの伝熱によって鉄筋コンクリートに発生する熱応力は考慮しないこととしており、この取扱いの考え方について説明する。

2. 発生する熱応力（自己拘束的な応力）の解放について

第1図に鉄筋コンクリート構造物に発生する熱応力の解放原理について示す。RPVの破損後にデブリが落下・堆積し、その非常に高温な熱により、ペDESTAL内側が高温状態となり膨張するが、周囲の拘束によって膨張は抑えられるため、ペDESTAL内側には圧縮力が生ずる。一方、ペDESTAL外側は、内側よりも温度が低いため熱膨張に対する反作用として引張力が生ずる。次に、躯体の温度上昇に伴って熱膨張が進むと高温側（内側）には圧縮力が加算され、低温側（外側）には引張力が加算される。このように、定常状態からの温度上昇により、躯体内で熱応力（自己拘束的な応力）が発生する。更に温度が上昇し、熱応力がコンクリートの許容引張力を上回るとコンクリートにひび割れが発生する。熱応力は自己拘束的な応力であるため、ひび割れを生ずると、その部位の熱応力は解放される。終局状態は、ひび割れが複数発生した状態となり、熱応力のほとんどが解放されると考えられる。

3. C C V規格における熱応力の取扱いについて

ペDESTALと同様の円筒形状構築物の設計規格である発電用原子力設備規格コンクリート製原子炉格納容器規格（（社）日本機械学会，2003）（以下「C C V規格」という。）では，各荷重状態における熱応力の取扱いについて示されており，終局状態に相当する荷重状態Ⅳでは熱応力は無視してよいこととされている。また，荷重状態Ⅰ～Ⅲでは，コンクリート部材の剛性，ひび割れ等を考慮して適切に評価することにより算定することとされている。第2図にC C V規格における熱力応力の扱いに関する記載を示す。

なお，C C V規格では熱応力を算定する際の手法も示されており，荷重状態Ⅰ，Ⅱでは弾性剛性を $1/2$ に，荷重状態Ⅲでは $1/3$ に一律に低減して算定する方法（一律低減法）が示されている。これはひび割れ等による部材剛性の低下により，鉄筋コンクリート部材の熱応力が低減するという性質を考慮したものであり，熱応力実験結果に基づいている。また，外力や熱応力に対する部材の塑性剛性（ひび割れ後のコンクリートの剛性等）を考慮した部材断面の釣合いを評価して応力を算定する方法（ひび割れ断面法）も示されている。

4. ペDESTALにおける熱的影響を考慮した解析的検討（参考）

前述のとおり，終局状態において躯体に生じる熱応力は解放されるが，ここでは，熱的影響による躯体材料の強度劣化を考慮した上で，外力や熱応力に対する部材の塑性剛性を考慮した部材断面の釣合いを算定し，応力と変形について評価することで，終局限界に対する健全性を検討する。

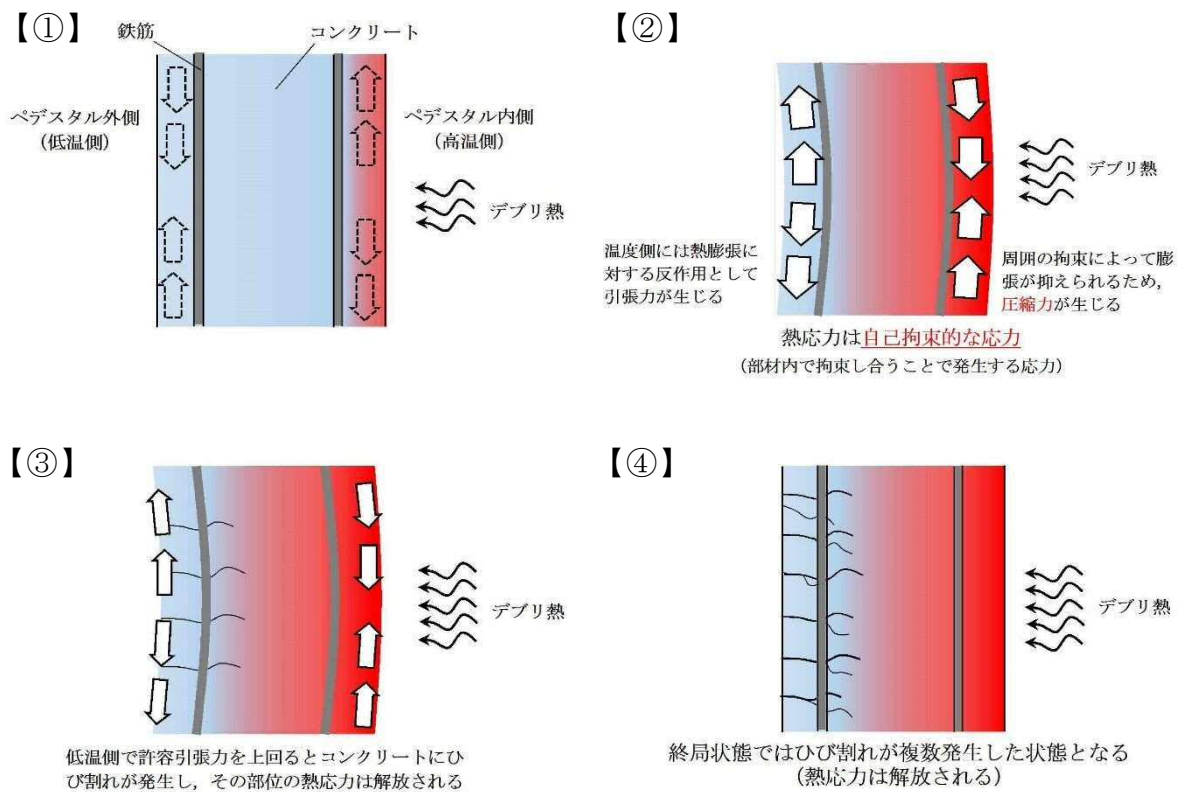
(1) 評価方法

第3図に原子力施設鉄筋コンクリート構造計算規準・同解説（（社）日本建築学会，2005）（以下「RC-N規準」という。）に記載されているひび割れ断面法による設計フローを，第4図に評価対象部位を示す。本検討では，第3図に示す評価フローに準じて，デブリからの伝熱による熱応力として曲げモーメントが発生する上部側壁を対象に評価する。

温度荷重に対しては，NASTRANコードを用いて弾性剛性での温度応力解析にて曲げモーメントを評価し，断面の曲率について曲げ剛性（EI）を用いて求める。なお，NASTRANコードに入力した温度条件はコリウムシールド(15cm)設置を仮定したMAAP解析に基づき設定する。温度以外の荷重（固定荷重積載荷重）についても同様にNASTRANコードにより応力を評価する。次に両者で得られた曲率を加算し，温度を含む応力組合せ時の断面の釣合い状態を評価（中立軸位置の算定）し応力度を算定する。なお，このときに断面に作用する軸力は積載されるRPV自重を含む通常運転時の軸力とし，曲げモーメントが終局状態に達するまで漸次増加させていく。また，仮定する断面の釣合い計算においては，最も温度勾配が高い時点での断面内の温度分布に対応した材料強度低減を考慮し復元力特性（M- ϕ 関係）を算定する。

(2) 評価結果

第4図にペDESTAL上部側壁の曲げモーメントが最大になる断面におけるM- ϕ 関係図を示す。発生する熱応力に対する曲率は終局限界に対して十分に小さく，ペDESTALが十分な塑性変形能力を有していることを確認した。したがって，ペDESTAL機能維持確認の観点では，デブリからの熱影響により発生する熱応力は考慮しなくとも支障はないことを確認した。



第1図 熱応力が解放する原理

CVE-3330 熱応力の扱い

温度荷重により発生する応力である熱応力の扱いは、次の(1)および(2)によるものとする。

(1) 荷重状態Ⅰ、荷重状態Ⅱおよび荷重状態Ⅲにおける熱応力は、コンクリート部材の剛性を、ひびわれ等を考慮して適切に評価することにより算定することとする。

(2) 荷重状態Ⅳにおける熱応力は無視してよいこととする。

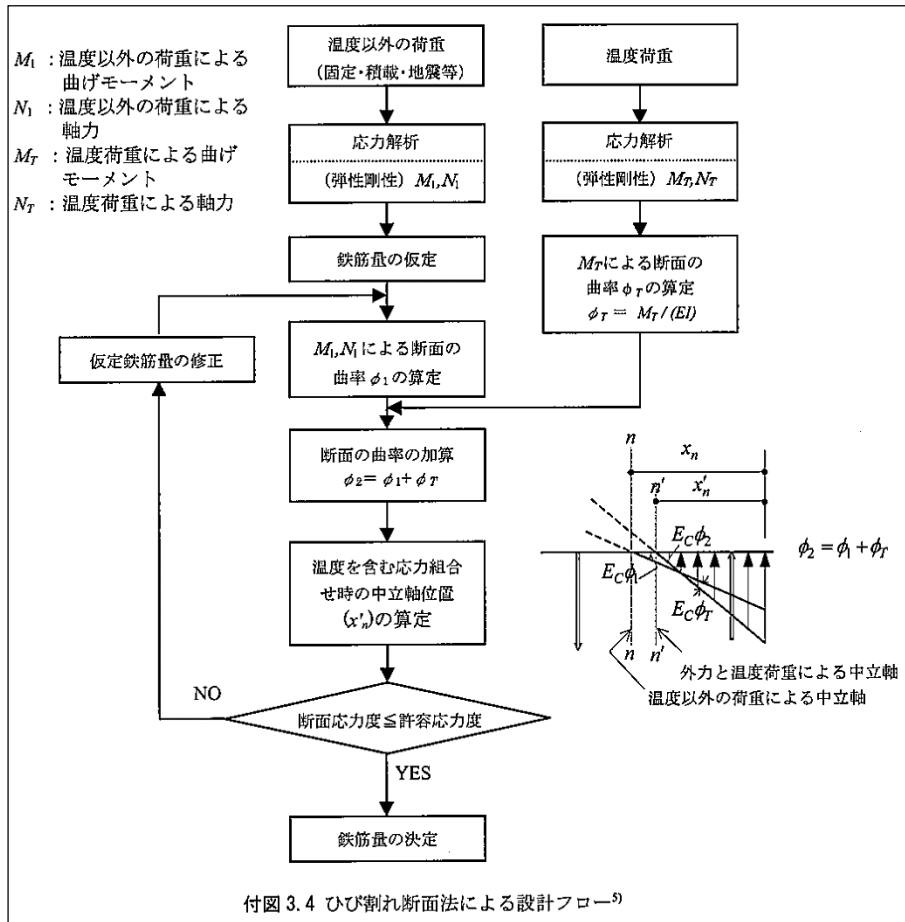
(解説 CVE-3330) 熱応力の扱い

温度荷重により発生する熱応力は、自己拘束的な応力であって、コンクリート部材の剛性に左右される性質を持っているので、コンクリート部材の剛性を適切に評価することによって熱応力を算定する。

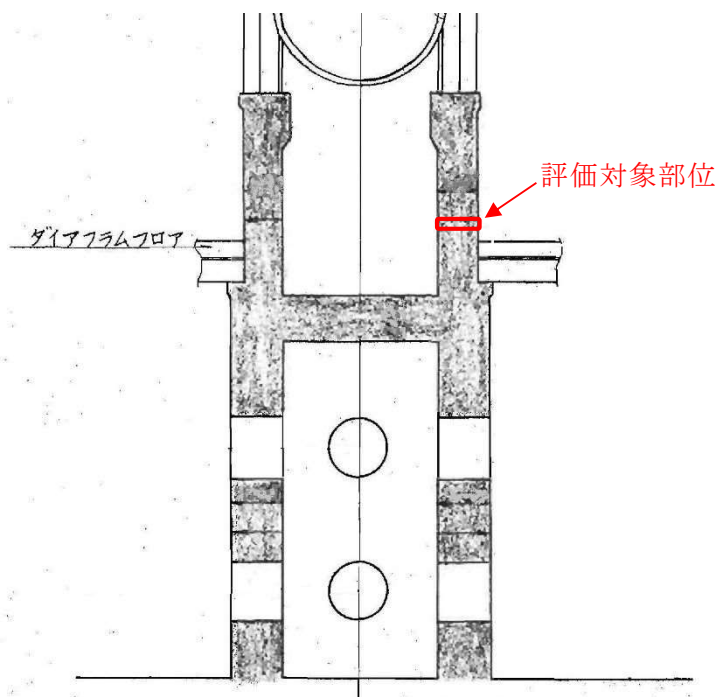
また、自己拘束的な応力は、十分な塑性変形能力がある場合、理論的にも実験的にも終局耐力に影響しないことから、部材の終局状態に相当する荷重状態Ⅳにおける評価では、熱応力を無視してよいこととした。

熱応力の算定にあたっては、コンクリート断面の厚さ方向に曲線状となっている温度分布を等価な応力を与える直線分布に換算することができる。

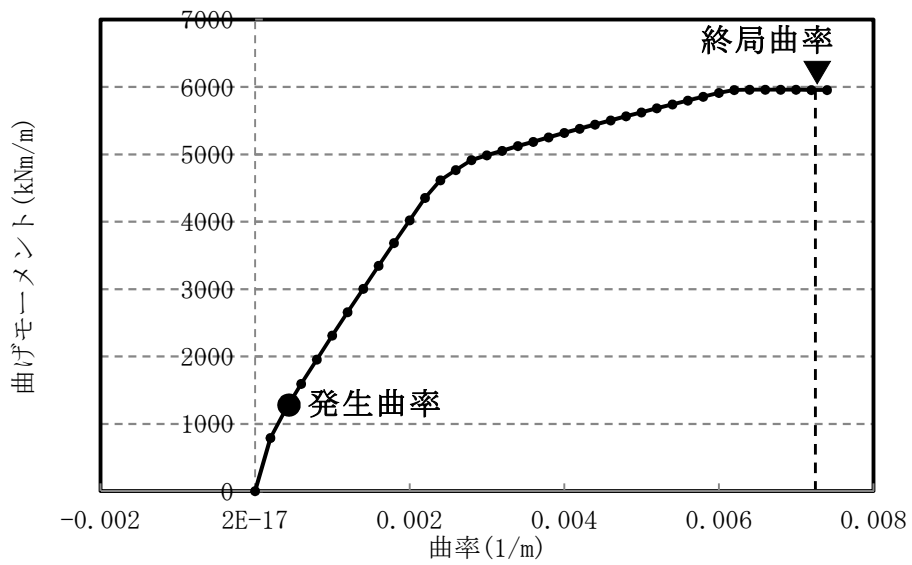
第2図 C C V規格における熱応力の扱いに関する記載



第 3 図 ひび割れ断面法による設計フロー (RC-N 規準)



第 4 図 評価対象部位



第5図 曲げモーメントー曲率関係 (M- ϕ 関係)

溶融炉心の排水流路内での凝固停止評価について

東海第二発電所では、原子炉圧力容器（以下「RPV」という。）破損時にペDESTAL（ドライウェル部）（以下「ペDESTAL」という。）に落下した溶融炉心が、ペDESTALに設置された格納容器ドレンサンプの排水流路を通じてサブプレッション・チェンバへ移行することを防止するため、排水流路の形状を変更することとしている。


RPV破損時には、ペDESTAL内の水により格納容器ドレンサンプの排水流路は水で満たされていることから、溶融炉心が排水流路に流入する際には、流路内から水や水蒸気の対向流が生じる。また、溶融炉心が格納容器ドレンサンプの排水口に到達するまでの温度低下及び粘性増加を考慮すると、現実的には溶融炉心の排水流路への流入はごく限定的と考えられる。


しかしながら、溶融炉心の落下時及び落下後の挙動は不確かさがあることから、溶融炉心の排水流路への流入を想定した場合でも溶融炉心が横スリット内で凝固停止しサブプレッション・チェンバ側へ移行しないことを、MAAP計算結果を基に評価し、スリット状排水流路の有効性を確認した。

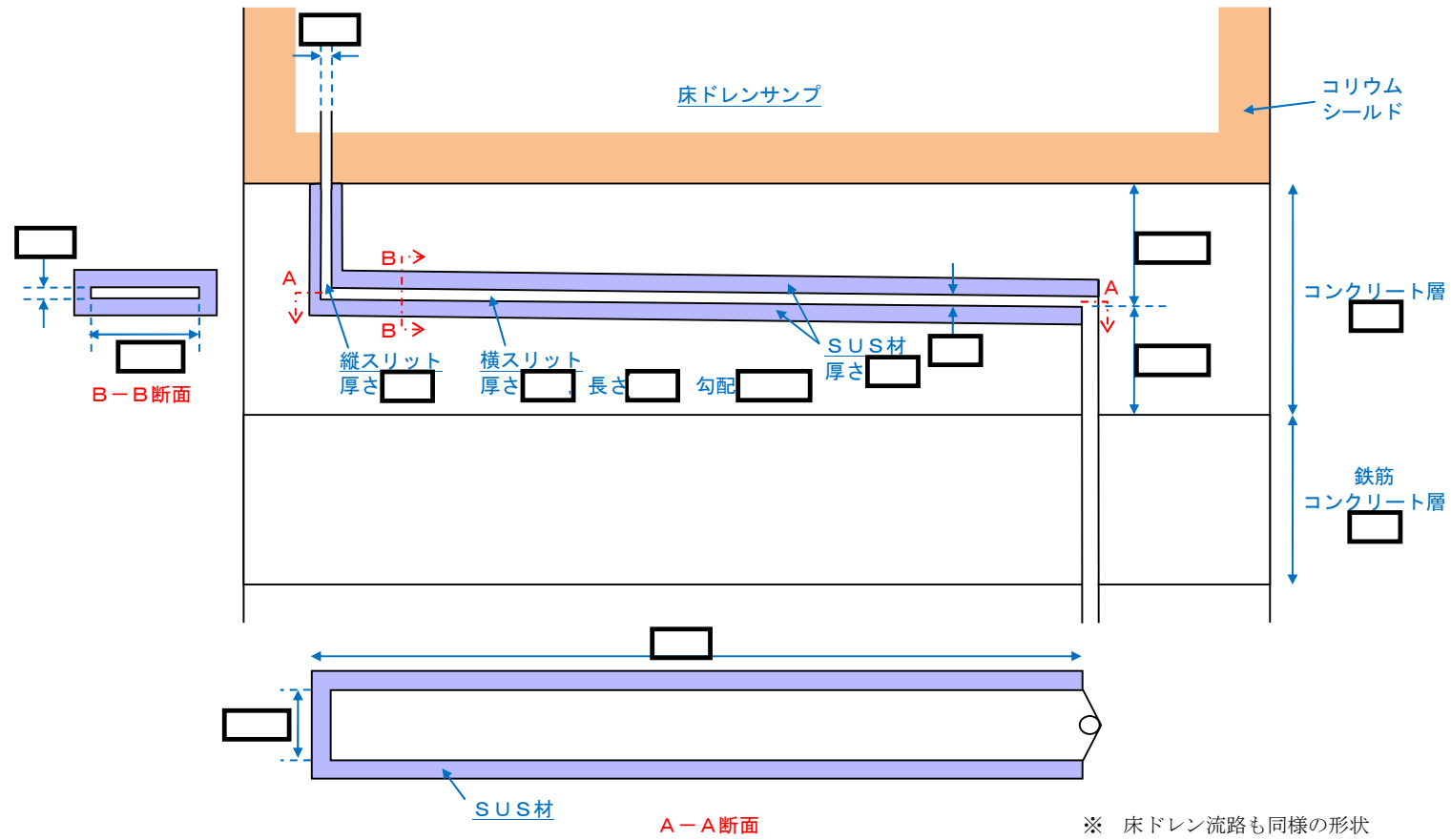
1. 格納容器ドレンサンプ排水流路の形状変更を考慮した凝固停止評価モデル

第1図に、格納容器ドレンサンプ排水流路の形状変更を考慮した凝固停止評価モデルの概要図を示す。

各ドレンサンプからの排水流路は、ペDESTAL床面に堆積する溶融炉心による熱影響を抑制するコンクリート深さまで通じる縦方向の流路（縦スリット）と、流入した溶融炉心を凝固させる横方向の流路（横スリット）を介し、既設の格納容器ドレンサンプ排水配管へ接続する構成とする。

また、縦スリット及び横スリットは薄い中空平板型（幅  [内径]，厚

さ  [内径]) の形状とし、周囲をSUS材とすることで、流入した熔融炉心の冷却及び凝固停止を促進させる設計とする。



第 1 図 格納容器ドレンサンブ排水流路の形状変更を考慮した凝固停止評価モデル

2. 既往の試験結果に基づく評価

配管等の流路内における熔融炉心の流動・凝固挙動に係る試験として、米国EPR I及びFAIにより実施された炉心熔融時のRPV下部プレナム貫通部の挙動に係る試験がある。^[1] この試験では、RPV下部プレナム及びドレン配管（内径5cm）を模擬した試験体に模擬コリウムとして Al_2O_3 を流入させ、その流動挙動を確認している。第2図に試験装置の概要図を示す。

試験の結果、配管内での Al_2O_3 の流動距離は最大でも79cm程度となっており、配管の破断は生じていない。また、配管内での水平方向の流速は最大でも約0.2m/sと推定されており、流路形状に基づきベルヌーイ則により計算される流速よりも1/10から1/100小さい結果となっている。これは、模擬ドレン配管内における水の存在により、模擬コリウムの流動が著しく抑制されたためと推定されている。

第1表に、EPR I試験条件と東二の排水流路における条件の比較を示す。

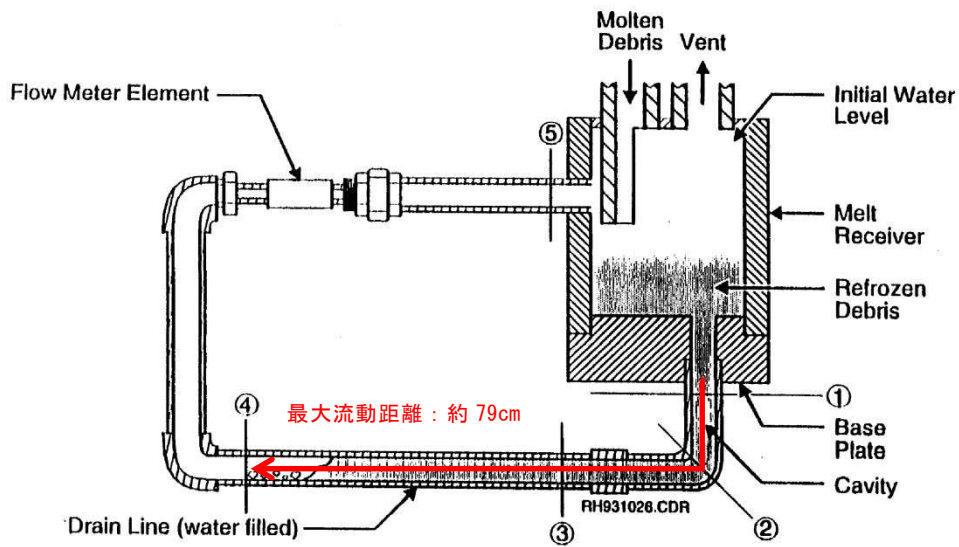
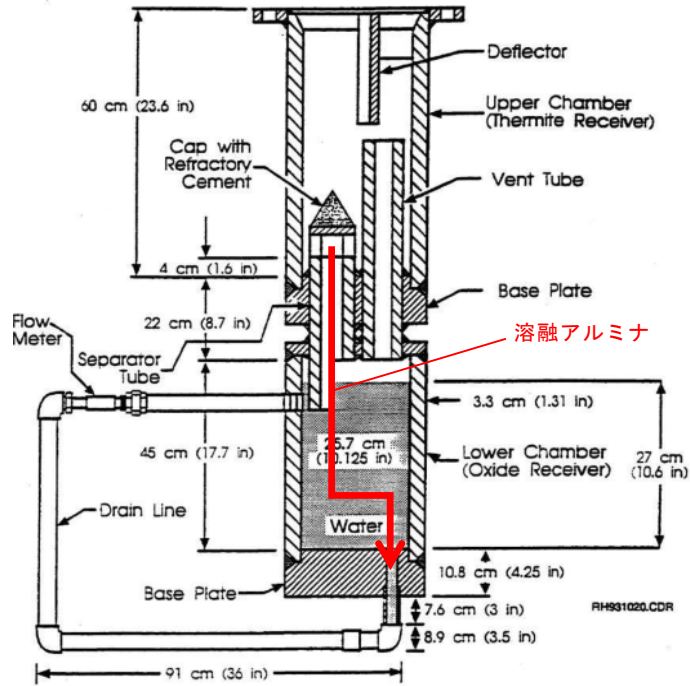
EPR I試験では、模擬コリウムとして Al_2O_3 を用いており、その体積当たりの熔融潜熱は約 $4.41 \times 10^9 \text{ J/m}^3$ と計算される。これに対して、東海第二発電所の熔融炉心の場合、熔融潜熱に加えて液相線温度から固相線温度までの顕熱を考慮しても、体積当たりの凝固までの放出熱量は と計算され、 Al_2O_3 と同等であることが分かる。

また、東海第二の熔融炉心の熱伝導率は Al_2O_3 に比べて大きいことに加え、格納容器ドレンサンプの排水流路はスリット形状とし周囲にSUS材を配置することから、実機条件の方が熔融炉心の冷却が進みやすいと考えられる。

一方、東海第二の熔融炉心は Al_2O_3 に比べて動粘度が小さいことや堆積ヘッドが大きくなっていることから、EPR I試験条件に対して流路内での流入速度が速くなることが考えられる。しかし、流速が大きくなると、熔融

炉心とSUS材間の対流熱伝達率が大きくなり溶融炉心の冷却率が大きくなることから、流動距離は流速の増加に対して単純に線形には増加しない。

以上より、EPR I試験条件と実機条件の差を勘案しても、総合的な流動距離への影響は同程度であることから、東海第二のスリット条件でもEPR I試験結果の流動距離（約79cm）を大きく上回ることは考えにくく、溶融炉心は横スリット長さ（）の範囲内で凝固停止するものと考えられる。



第2図 E P R I / F A I による試験装置

第1表 E P R I 試験条件と東海第二実機条件の比較

| 項目 | | E P R I 試験条件 ^[1] | 東海第二 実機条件 | 流動距離への影響の比較 | |
|----------------------|-------------------------------------|---------------------------------|---|--|--|
| 溶融物 条件 | 溶融物 | A l ₂ O ₃ | 溶融炉心 | 凝固までに必要な除熱量は同程度。 (A l ₂ O ₃ は溶融潜熱のみ、溶融炉心は液相線温度から固相線温度までの顕熱と溶融潜熱を考慮) | |
| | 融点 (°C) | 2,047 | | | |
| | 密度 (kg/m ³) | 3,800 | | | |
| | 比熱 (J/kgK) | 1,300 | | | |
| | 溶融潜熱 (J/kg) | 1.16×10 ⁶ | | | |
| | 体積当たりの凝固までの放出熱量 (J/m ³) | 約 4.41×10 ⁹ | | | |
| | 熱伝導率 (W/mK) | 7.5 | | | |
| | 粘性係数 (Pa・s) | 0.003 | 0.004 ^{*2} | | |
| | 動粘性係数 (m ² /s) | 7.9×10 ⁻⁷ | | | |
| 全量堆積時の水平流路までのヘッド (m) | 0.3 | | 東二条件の方が溶融物の流速が速くなる傾向。 (ヘッドは1/2乗で流速に寄与) | | |
| 流路 条件 | 流路構造 | 配管 | スリット状 (S U S材被覆) | スリット形状では流路壁面との接触面積が大きく、冷却が進みやすい。 | |
| | 流路内径 | 5cm | | | |

※1 M A A P解析 (T Q U Vシーケンス) におけるR P V破損時の値

※2 M A T P R OにおけるU O₂の値^[2]

3. 溶融金属の凝固モデルによる評価

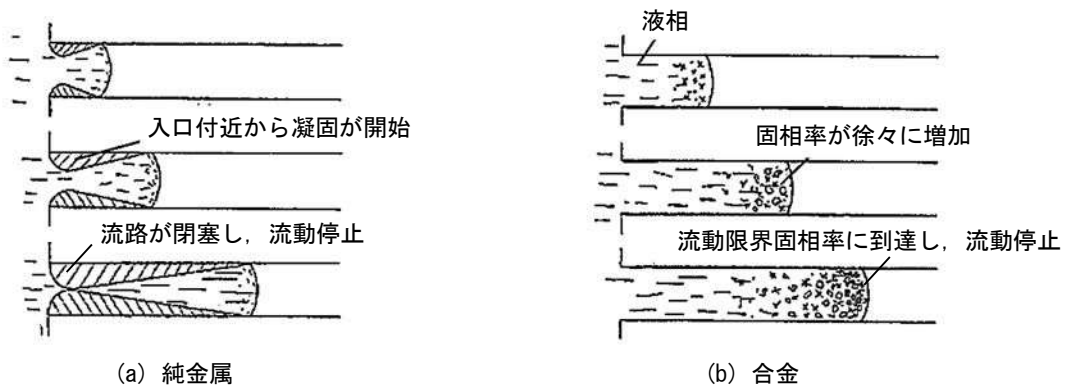
3.1 溶融金属の流路内での凝固挙動

第3図に、流路内における溶融金属の凝固挙動の概念図を示す。

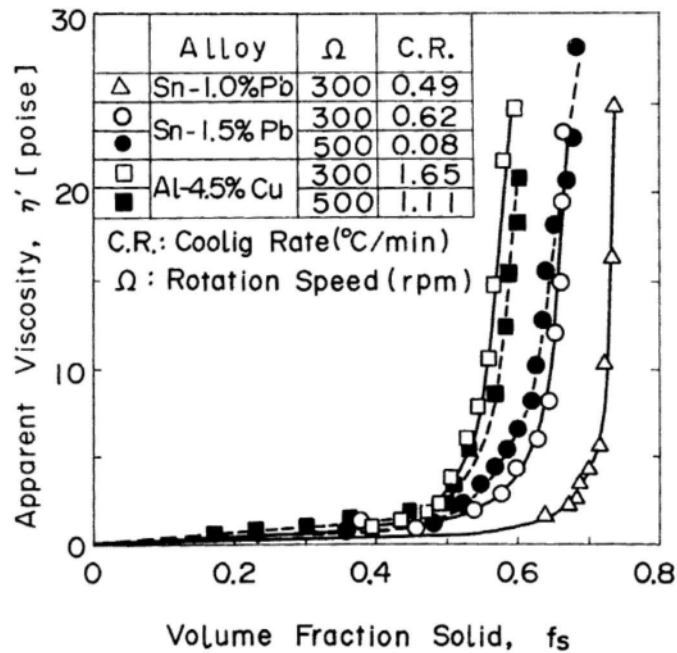
純金属や共晶温度の合金では、第3図(a)のように流路の入口付近から固化クラストが成長し流路が閉塞することで、流動が停止する。

一方、液相線温度と固相線温度に差がある合金では、第3図(b)のように溶融物の先端から温度低下とともに固相率が増加し、流動限界固相率を超えたときに流動を停止する。これは、第4図に示すように、固相率の増加とともに粘性が増加するためである。

溶融炉心については、液相線温度 に対して固相線温度が (MAAP計算結果) と差があることから、合金の凝固挙動を示すものと考えられる。



第3図 流路内での溶融金属の凝固挙動の概念図



第4図 溶融合金における固相率と見かけの粘性の関係^[3]

3.2 評価方法

溶融合金の流路内での流動距離を評価するモデルとして、Fleming のモデル^[4]があり、このモデルを用いて溶融炉心の横スリット内での流動距離の評価を行った。その内容を以下に示す。

なお、本凝固評価モデルは流路内に水が存在しないドライ状態を前提としていることから、実機条件に対して十分保守的な評価となると考えられる。

(1) Flemings モデルの評価式

Flemings モデルは(1)式のように表され、流路を流れる溶融物が保有するエネルギーと周囲の構造材への除熱速度を基に、溶融物が凝固するまでに必要なエネルギーが除去されるまでの流動距離を評価するモデルとなっている。

$$L_{freeze} = \frac{Apv(f_c H_f + C_p \Delta T)}{hS(T_d - T_w)} \left(1 + \frac{B}{2}\right) \quad (1)$$

ここで、

$$B = \frac{h\sqrt{\pi\alpha_w\Delta X}}{k_w\sqrt{v}} \quad (2)$$

であり、各パラメータの内容は以下のとおりである。

L_{freeze} : 流動距離 (m), A : 流路断面積 (m^2),

ρ : 熔融炉心密度 (kg/m^3), v : 熔融炉心流速 (m/s),

f_c : 流動限界固相率 (-), H_f : 熔融炉心熔融潜熱 (J/kg),

C_p : 熔融炉心比熱 (J/kgK), ΔT : 初期温度と凝固温度の差 (K),

h : 熱伝達率 ($\text{W}/\text{m}^2\text{K}$), S : 流路周長 (m), T_d : 熔融炉心温度 (K),

T_w : 構造材温度 (K), α_w : 構造材熱拡散率 (m^2/s),

ΔX : チョーキングレンジ※ (m), k_w : 構造材熱伝導率 (W/mK)

※ 熔融物先端でどの程度の長さが流動限界固相率を超えると流動が停止するかを定義する定数

(2) 熱伝達係数の計算

熔融炉心とスリット構造材間の熱伝達係数 h は、熔融炉心の熱伝導率 k 、水力等価直径 d_e 及び Sleicher-Rouse の式^[5]より求まるヌセルト数 Nu を用いて、下式により算出する。

$$h = \frac{k}{d_e} \text{Nu} \quad (3)$$

Sleicher-Rouse の式

$$\text{Nu}_m = 5 + 0.015 \text{Re}_f^a \text{Pr}_w^b \quad (4)$$

$$(10^4 < \text{Re} < 10^6, 0.1 < \text{Pr} < 10^4)$$

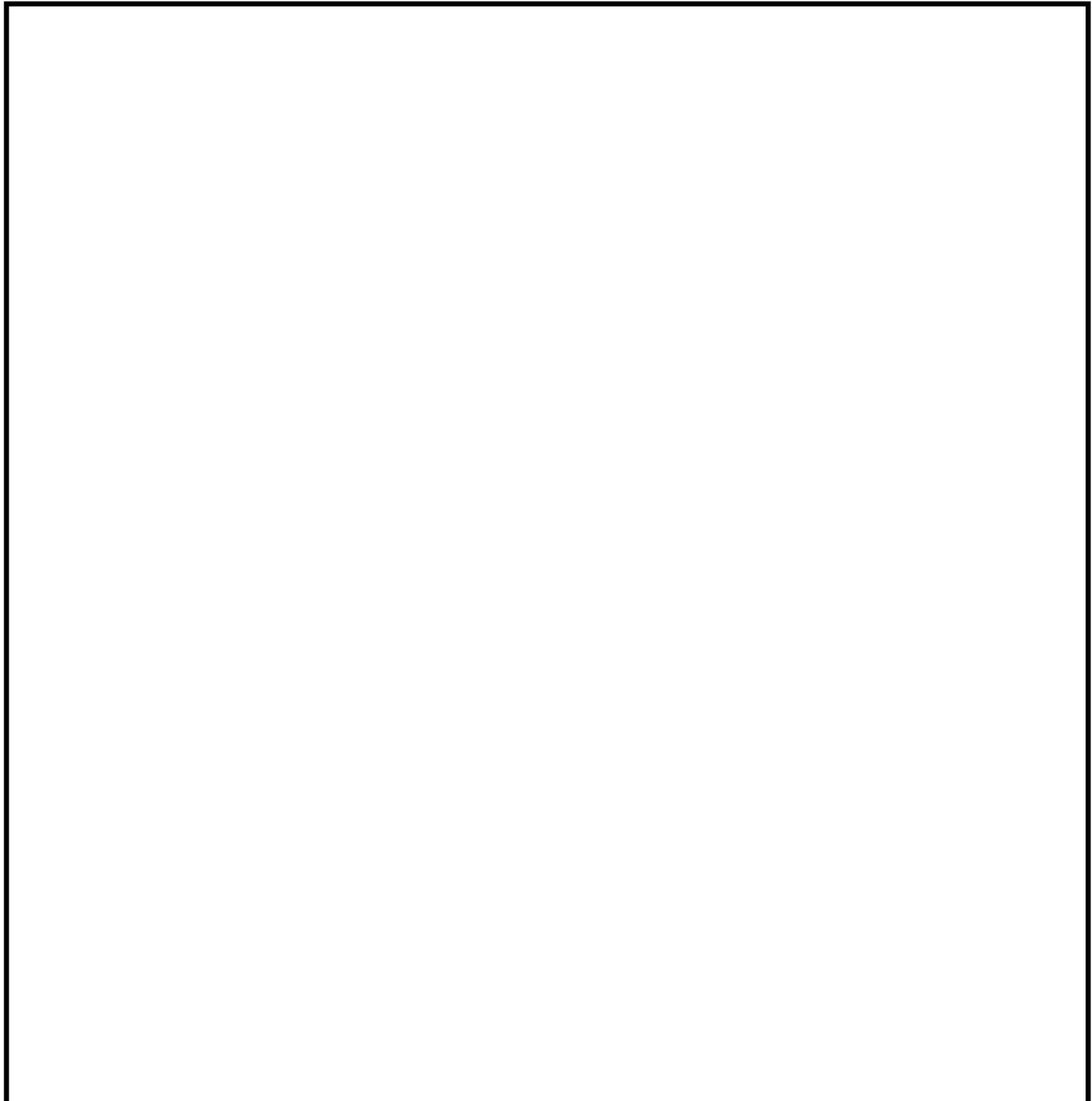
$$\begin{cases} a = 0.88 - \frac{0.24}{4 + \text{Pr}_w} \\ b = \frac{1}{3} + 0.5 \exp(-0.6 \text{Pr}_w) \end{cases}$$

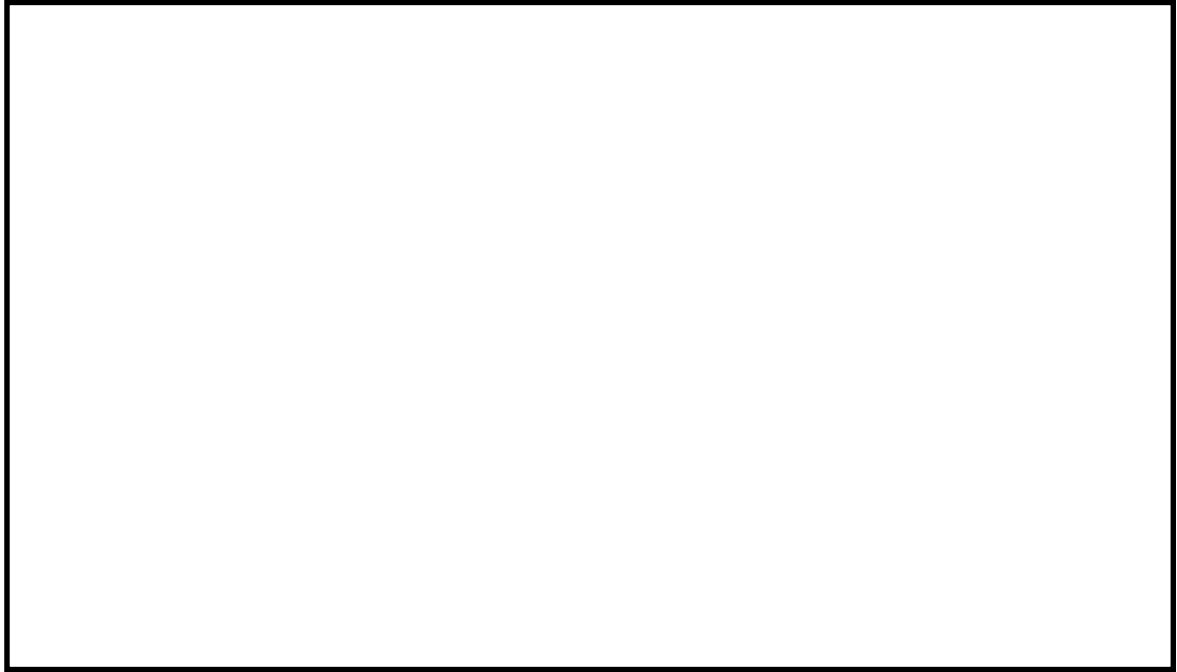
添字はそれぞれ、 m : 混合平均温度、 f : 膜温度、 w : 壁温における物性値を表す。ただし本評価では、物性値は温度によらず一定と仮定している。

(3) 溶融炉心の温度低下の考慮

(1)式から直接的に流動距離を計算すると、流路内を進行する間の溶融炉心の温度低下が考慮されず、溶融炉心から構造材への熱伝達速度が過大評価されることにより、流動距離が短く評価されることが考えられる。

今回の評価では、Flemings の評価式を基に、流動に伴う溶融炉心の温度低下を考慮した上で、溶融炉心先端が流動停止する固相率に至るまでの除熱時間を算出し、溶融炉心の流速との積により流動距離を計算した。評価の概要を第 5 図に示す。





第 5 図 溶融炉心流動距離の評価イメージ図

3.3 評価条件

横スリット内での溶融炉心凝固評価に用いた条件を第 2 表に示す。

溶融炉心の物性については，M A A P 計算結果における R P V 破損時の溶融炉心物性値を用いる。なお，流動距離が長くなるよう溶融炉心の保有エネルギーを大きく設定する観点から，T Q U V シーケンスの値を設定する。

溶融炉心の流速については，溶融炉心全量に加えペDESTAL 内構造物等がペDESTAL 内に堆積した場合の堆積高さ と，横スリット下端までの高低差 の合計 をヘッドとして考慮した場合，溶融炉心の流速は約 となる。これに対し，スリット内の冷却水の存在による溶融炉心の流速の低下として，E P R I 試験の知見（1/10 から 1/100）及び実機溶融炉心と E P R I 試験の溶融アルミナの動粘度の差（約 1.6 倍）を考慮し，保守的に 1/2 を考慮した を設定する。

流動限界固相率及びチョーキングレンジについては，既往の溶融炉心拡がり試験においては固相率が 0.4~0.6 程度で粘性が急激に増加するといった

知見^[6]があるが、チョーキングレンジには明確な知見がないことから、熔融炉心先端が完全に凝固するまで流動が続くものと仮定し、流動限界固相率を1.0、チョーキングレンジを0mと設定する。

第2表 評価条件

| 項目 | | 条件 | 備考 |
|-----------|-------------------------|-------|---|
| 横スリット流路形状 | 流路高さ (cm) | | 設計値 |
| | 流路幅 (cm) | | |
| 熔融炉心物性 | 液相線温度 (°C) | | M A A P 計算結果 (R P V 破損時の値) |
| | 固相線温度 (°C) | | |
| | 密度 (kg/m ³) | | |
| | 熱伝導率 (W/mK) | | |
| | 比熱 (J/kgK) | | |
| | 熔融潜熱 (J/kg) | | |
| | 粘性係数 (Pa・s) | 0.004 | M A T P R O における熔融U O ₂ の値 ^[2] |
| 構造材物性 | 密度 (kg/m ³) | 7,890 | 伝熱工学資料 (300K におけるS U S 304 の値) |
| | 熱伝導率 (W/mK) | 16.5 | |
| | 比熱 (J/kgK) | 511 | |
| 初期温度条件 | 熔融炉心初期温度 (°C) | | R P V 破損時の熔融炉心平均温度 (): M A A P 計算結果) に対し, 保守的に液相線温度を設定 |
| | 構造材初期温度 (°C) | 167 | 保守的に限界圧力での飽和水温度を設定 |
| 熔融炉心流動条件 | 熔融炉心流速 (m/s) | | 熔融炉心等の堆積量, スリット形状, スリット内冷却水の存在を考慮し, 保守的に設定 |
| | 流動限界固相率 (-) | 1.0 | 熔融炉心先端が完全に凝固するまで流動が続くと仮定し設定 |
| | チョーキングレンジ (m) | 0 | |

3.4 評価結果

3.3 に示した条件に基づく評価の結果、溶融炉心の流動距離は約 1.0m となり、横スリットの長さ () の範囲内で凝固停止することを確認した。また、凝固に要する時間は 程度であり、この間の溶融炉心の崩壊熱による影響は無視し得る。

なお、第 2 表の評価条件において、溶融炉心のレイノルズ数及びプラントル数はそれぞれ $Re \doteq 1.3 \times 10^5$ 及び $Pr \doteq 0.14$ であり、(4) 式の Sleicher-Rouse の式の適用範囲内である。

3.5 評価における保守性について

本評価は、以下のような点で保守性を有すると考えられる。

- ・本評価は流路内がドライな状態を前提としているが、実際にはスリット内は水で満たされた状態であり、溶融炉心から水への除熱等により流動距離はより短くなると考えられる。
- ・流動距離の計算において、溶融炉心の流速は流動停止まで一定としており、縦スリット及び横スリット内での圧損や粘性増加に伴う速度低下を考慮していない。
- ・横スリットへ流入する溶融炉心の初期温度は、RPV 破損時の溶融炉心平均温度 () に対し保守的に液相線温度 () を設定しているが、溶融炉心がペDESTAL 床面を拓がる間や縦スリットを通過する間の除熱を考慮すると、実際にはより温度は低下し、またそれに伴い溶融炉心の粘性は増加すると考えられる。
- ・流動限界固相率は 1.0 を設定しているが、既往の溶融炉心拓がり試験においては、固相率が 0.4~0.6 程度で粘性が急激に増加するといった知見^[6]がある。

3.6 評価条件の不確かさによる影響について

第2表の評価条件において、溶融炉心の物性値条件についてはMAAP計算結果における溶融炉心の組成平均値を用いている。

これに対して、スリットに流入する溶融炉心の物性は不確かさを有すると考えられることから、評価条件の不確かさとしてMAAP計算結果のうち溶融炉心内の金属相及び酸化物相の物性値を参照し、評価結果への影響を検討する。なお、第2表の評価条件において、構造材物性値は不確かさが小さいと考えられること、構造材初期温度及び溶融炉心流動条件は十分な保守性を見込み設定していることから、評価結果に対する不確かさの影響は小さいと考えられる。

第3表に、MAAP計算結果における溶融炉心の組成平均、金属相及び酸化物相のそれぞれの物性値を示す。各物性値から計算される溶融炉心が凝固するまでの体積当たりの放出熱量を比較すると、組成平均の物性値を用いた場合が最も大きく、溶融炉心の凝固までの流動距離が最も長くなることが分かる。

したがって、溶融炉心の物性値の不確かさを考慮した場合でも、溶融炉心は横スリットの長さ () の範囲内で凝固停止すると考えられる。

第3表 溶融炉心の物性値の比較

| 項目 | | 組成平均 | 金属相 | 酸化物相 | 備考 |
|--------|-------------------------------------|------|-----|------|------------------------|
| 溶融炉心物性 | 液相線温度 (°C) | | | | MAAP計算結果 (RPV破損時の値) |
| | 固相線温度 (°C) | | | | |
| | 密度 (kg/m ³) | | | | |
| | 比熱 (J/kgK) | | | | |
| | 溶融潜熱 (J/kg) | | | | |
| | 体積当たりの凝固までの放出熱量 (J/m ³) | | | | 計算値 |

4. 参考文献

- [1] EPRI, Experiments to Address Lower Plenum Response Under Severe Accident Conditions, Volume1, EPRI report TR-103389, 1994
- [2] L. J. Siefken et al., SCDAP/RELAP5/MOD3.3 Code Manual; MATPRO - A Library of Materials Properties for Light-Water-Reactor Accident Analysis, NUREG/CR-6150, Vol.4 Rev.2, 2001
- [3] 渋谷 他, 固相・液相共存下における鉄および非鉄合金のみかけの粘性の測定結果, 鉄と鋼, 第66年, 第10号, 1980
- [4] M. C. Fleming et al., "An Experimental and Quantitative Evaluation of the Fluidity of Aluminium Alloys", AFC Transactions, vol.69, 1961
- [5] 日本機械学会, 伝熱工学資料 第4版, 1986
- [6] M. T. Farmer, Melt Spreading Code Assessment, Modifications, and Applications to the EPR Core Catcher Design, ANL-09/10, 2009

Flemings モデルの適用性について

Fleming らは、第 1 図のような試験装置を用いて溶融合金（A l 95.5% - C u 4.5%）を耐熱ガラス管内に吸引した試験により溶融物の流動距離等の挙動を確認し、その結果を基に Flemings モデルを用いて流動限界固相率を推定しており、最大 0.35 程度という結果を得ている^[1]。

一方、渋谷らは、第 2 図のような試験装置により A l 95.5% - C u 4.5% 合金の流動性を確認し、固相率が 0.5 付近から粘性が急激に増加する結果となっており^[2]、両者を比較すると A l - C u 合金が流動性を失う固相率の評価結果は 0.15 程度の差異がある。

しかし、今回の溶融炉心の流動距離評価においては、溶融炉心先端が完全に凝固するまで流動が続くものと保守的に仮定し、流動限界固相率を 1.0 と設定していることから、上記の要因により流動距離が過小評価されることはないと考えられる。

溶融物の凝固までの流動距離に対して支配的な要素は、溶融物からの必要除熱量、除熱速度及び溶融物の流動速度であり、Flemings モデルでは、流路断面積 A 及び流路周長 S により必要除熱量や除熱速度が表現されている。したがって、これらのパラメータを適切に変更することにより、スリット状の流路形状についても評価に反映可能である。

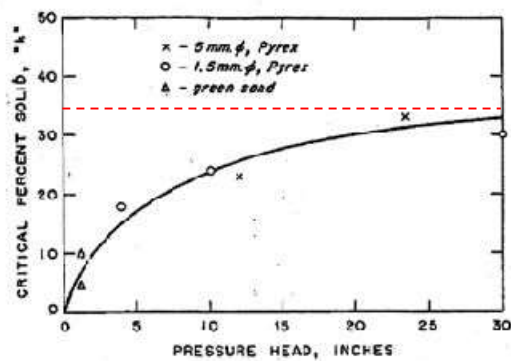
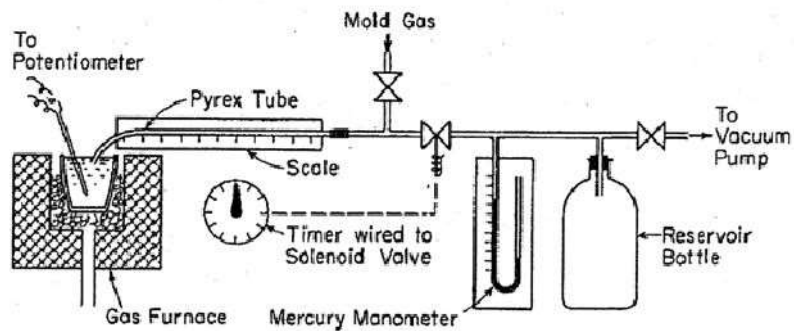
また、流路の材質（表面粗さ）についてはモデル上考慮されていないが、一般にステンレス鋼（東海第二の排水スリット条件）はガラス材（Fleming らの試験条件）より表面粗さが大きく、内部流体の乱れが促進され熱伝達率が大きくなるため、Fleming らの試験条件よりも溶融物の流動距離は短くなる傾向と

考えられる。

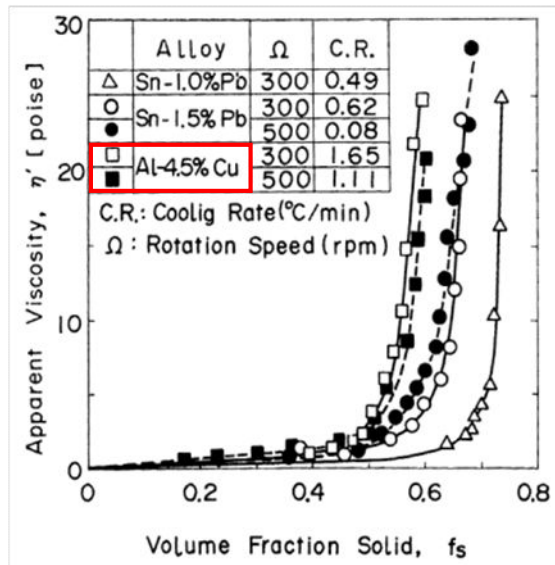
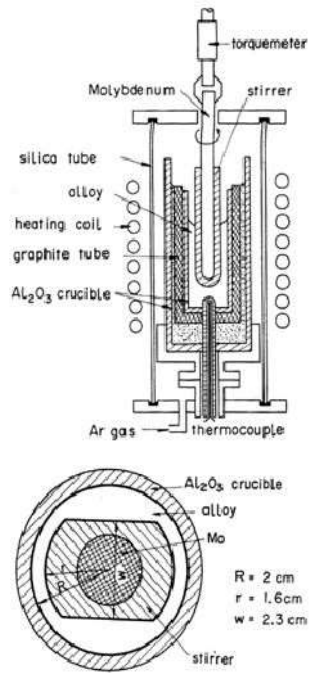
以上より，Fleming らの試験条件と東海第二実機条件の差を考慮しても，Flemings モデルは適用可能と考えられる。

参考文献

- [1] M.C.Fleming et al., "An Experimental and Quantitative Evaluation of the Fluidity of Aluminium Alloys", AFC Transactions, vol.69, 1961
- [2] 渋谷 他, "固相・液相共存下における鉄および非鉄合金のみかけの粘性の測定結果", 鉄と鋼, 第66年, 第10号, 1980



第1図 FlemingらによるAl-Cu合金の流動性確認
試験装置及び試験結果




第2図 渋谷らによるAl-Cu合金の流動性確認

試験装置及び試験結果

(参考) その他の凝固モデルによる評価

純金属の流路内での凝固挙動を対象とした流動距離評価モデルとして、US-ABWR DCDモデル^[1]や、Epsteinのモデル^{[2][3]}がある。

熔融炉心は液相線温度と固相線温度に差があり、合金の凝固挙動を示すものと考えられるが、これらの純金属モデルを用いた場合にも、流動距離の評価結果は第1表のとおりであり、横スリットの長さ () の範囲内で凝固することを確認した。

なお、US-ABWR DCDモデルでは、評価条件として熔融炉心の流速ではなくRPVからの落下率がパラメータとなっており、MAAP計算結果の最大値を包絡する値として15,000kg/sを使用している。その他の評価条件としては、Flemingsモデルによる評価と同様の条件を用いている。

第1表 純金属モデルによる評価結果

| 評価モデル | 評価結果 (流動距離) | 備考 |
|-------------------|----------------|---|
| US-ABWR DCDモデル | 約1.5m | 熔融炉心流速の代わりにRPVからの熔融炉心の最大落下率15,000kg/sを使用。その他はFlemingsモデルによる評価条件と同様。 |
| Epsteinモデル | 約3.0m | Flemingsモデルによる評価と同様の評価条件を使用。 |

○US-ABWR DCDモデルの概要^[1]

US-ABWR DCDモデルは、RPV下部のドライウェルサンプ周囲に設置されるコリウムシールドにおいて、ドレン水が通るためのスリット流路を対象とした熔融炉心の凝固評価モデルである。

本モデルは純金属の凝固挙動を想定し、流路の入口付近において周辺の構造材への熱伝導によりクラストが成長し流路が閉塞するものとしている。

D C Dモデルの評価式を以下に示す。

$$L_{f\ eeze} = \bar{v}(t_{f\ eeze})t_{f\ eeze} \quad (1)$$

ここで,

$$t_{f\ eeze} = \left[\frac{H_0 \rho_{cm} (h_{lh} + c_p \Delta T) \sqrt{\pi \alpha_w}}{4k_w (T_s - T_i)} \right]^2 \quad (2)$$

$$\bar{v} = \frac{\frac{2}{3} a_0 \sqrt{t} - \frac{a_0 b'_0 t}{H_0}}{1 + \frac{4b'_0 \sqrt{t}}{3H_0}} \quad (3)$$

$$a_0 = \sqrt{\frac{2g\dot{m}_{ves}}{\rho_{cm} A d}} \quad , \quad b'_0 = \frac{2k_w (T_s - T_i)}{\rho_{cm} (h_{lh} + c_p \Delta T) \sqrt{\pi \alpha_w}} \quad (4)$$

であり, 各パラメータは以下のとおりである。

- L_{freeze} : 流動距離 (m), $\bar{v}(t)$: 溶融炉心の流路内平均流速 (m/s),
- t_{freeze} : 凝固完了時間 (s), H_0 : スリット高さ (m),
- ρ_{cm} : 溶融炉心密度 (kg/m³), h_{lh} : 溶融炉心溶融潜熱 (J/kg),
- C_p : 溶融炉心比熱 (J/kgK), ΔT : 溶融炉心過熱度 (K),
- α_w : 構造材熱拡散率 (m²/s), k_w : 構造材熱伝導率 (W/mK),
- T_s : 接触面温度 (K), T_i : 構造材初期温度 (K), g : 重力加速度 (m/s²),
- \dot{m}_{ve} : R P Vからの溶融炉心落下率 (kg/s),
- A_d : 下部ドライウエル床面積 (m²)

D C D^[1]においては, 過去に実施された関連試験に係る文献を参照し, それらの試験結果よりD C Dモデルによる評価の適用性を確認している。

○Epsteinモデルの概要^{[2][3]}

Epsteinモデルは, M A A PコードのR P V下部プレナム貫通部閉塞計算に使用されているモデルであり, D C Dモデルと同様に流路の入口付近からの閉

塞が想定されている。

Epstein モデルの評価式を以下に示す。溶融炉心の総流動距離は(5)式と(6)式の和で求められる。

- ・溶融炉心が過熱度を有する領域での流動距離

$$X^* = \frac{D}{2f} \ln \left(\frac{T_0 - T_{mp}}{T^* - T_{mp}} \right) \quad (5)$$

- ・溶融炉心の過熱度がない領域での流動距離

$$X_s = 0.155 \text{Re}^{8/11} D \left[\frac{\text{Pr}}{B} \right]^{7/11} \quad (6)$$

ここで,

$$B = \left[1 + \frac{2C_p(T_{mp} - T_w)}{\lambda} \right]^{1/2} - 1 \quad (7)$$

であり、各パラメータは以下のとおりである。

X^* , X_s : 流動距離 (m), Re : レイノルズ数 (-), Pr : プラントル数 (-),

D : 水力等価直径 (m), λ : 溶融炉心溶融潜熱 (J/kg),

C_p : 溶融炉心比熱 (J/kgK), T_0 : 溶融炉心初期温度 (K),

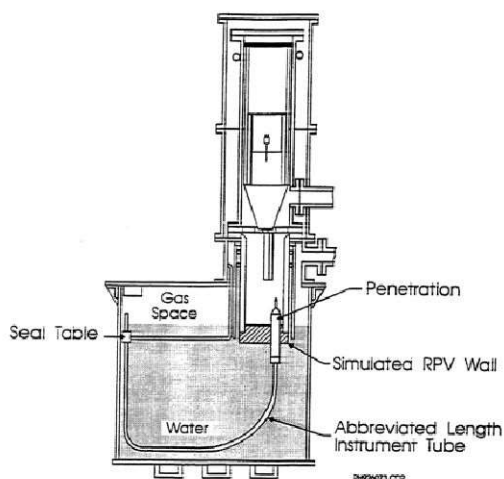
T_{mp} : 溶融炉心融点 (K), T_w : 構造材初期温度 (K),

T^* : 溶融炉心凝固開始温度 (推定値) (K), f : 摩擦係数 (-)

なお、 $T^* - T_{mp}$ はE P R I レポート^[3]を基に10Kとする。

E P R I は、第1図に示すR P V下部プレナムの核計装管を模擬した試験体に溶融アルミナを流入させる試験を行い、Epstein モデルによる流動距離評価結果との比較を実施している。

その結果、試験結果に対して Epstein モデルによる流動距離は同等又は大きめの評価結果となっている。



| Test Number | Penetration Type | Differential Pressure ⁽¹⁾ (MPa) | | Calculated Penetration Length (m) | | | Measured Penetration Length (m) |
|-------------|------------------|--|----------------------|-----------------------------------|-------------------------------|----------------------|---------------------------------|
| | | Maximum | Initial | X* | X _s ⁽²⁾ | Total ⁽³⁾ | |
| 1 | PWR | 1.96 | 1.1 | 1.2 | 3.0/2.5 | 2.5-4.2 | 2.3 |
| 2 | BWR | 1.62 | 0.62 | 1.6 | 4.1/3.1 | 3.1-5.7 | > 2.3 |
| 3 | PWR | 0.003 ⁽⁴⁾ | 0.003 ⁽⁴⁾ | 1.2 | 0.3/0.3 | 0.3-1.5 | 0.5 |
| 4 | PWR | 1.72 | 0.6 | 1.2 | 2.9/2.0 | 2-4.1 | 2.1-2.3 |
| 5 | BWR | 1.9 | 0.6 | 1.6 | 4.7/3.1 | 3.1-6.3 | 1.8-2.8 |

- (1) Precise time of initiation of debris flow in thimble tube is uncertain so differential pressure for debris flow could be between initial and maximum observed values.
- (2) Saturated debris penetration length calculated for both maximum and initial pressure differentials.
- (3) Total calculated penetration length has a range depending upon the degree of debris superheat and the differential pressure.
- (4) Melt cup depressurized due to spool piece breach so differential pressure due to essentially hydrostatic head of Al₂O₃ layer.

第 1 図 EPRI 試験装置及び試験結果

参考文献

- [1] GE-Hitachi Nuclear Energy Americas LLC, ABWR Design Control Document, United States Nuclear Regulatory Commission, 2010
- [2] M. Epstein et al., Freezing-Controlled Penetration of a Saturated Liquid Into a Cold Tube, Journal of Heat Transfer, Vol.99, 1977
- [3] EPRI, Experiments to Address Lower Plenum Response Under Severe Accident Conditions, Volume1, EPRI report TR-103389, 1994

解析コード及び解析条件の不確かさの影響評価について（溶融炉心・コンクリート相互作用）

第1表 解析コードにおける重要現象の不確かさが運転員等操作時間及び評価項目となるパラメータに与える影響(1/3)

| 分類 | 重要現象 | 解析モデル | 不確かさ | 運転員等操作時間に与える影響 | 評価項目となるパラメータに与える影響 |
|----------------|-----------|---|--|---|---|
| 炉心 | 崩壊熱 | 炉心モデル（原子炉出力及び崩壊熱） | 入力値に含まれる。 | 「解析条件を最確条件とした場合の運転員等操作時間及び評価項目となるパラメータに与える影響」にて確認。 | 「解析条件を最確条件とした場合の運転員等操作時間及び評価項目となるパラメータに与える影響」にて確認。 |
| | 燃料棒内温度変化 | 炉心モデル（炉心熱水力モデル） 溶融炉心の挙動モデル（炉心ヒートアップ） | TMI 事故解析における炉心ヒートアップ時の水素ガス発生、炉心領域での溶融進展状態について、TMI 事故分析結果と一致することを確認した。 CORA 実験解析における、燃料被覆管、制御棒及びチャンネルボックスの温度変化について、測定データと良く一致することを確認した。 炉心ヒートアップ速度の増加（被覆管酸化の促進）を想定し、仮想的な厳しい振幅ではあるが、ジルコニウム-水反応速度の係数を 2 倍とした感度解析により影響を確認した。 ・TQVU、大破断 LOCA シーケンスともに、炉心溶融の開始時刻への影響は小さい。 ・炉心下部プレナムへの溶融炉心移行の開始時刻は、ほぼ変化しない。 | 炉心ヒートアップに関するモデルは、TMI 事故についての再現性及び CORA 実験についての再現性を確認している。炉心ヒートアップの感度解析（ジルコニウム-水反応速度の係数についての感度解析）では、炉心溶融開始時間及び炉心下部プレナムへの溶融炉心移行の開始時間に対する感度は数分程度であり、影響は小さいことを確認している。 本評価事故シーケンスでは、原子炉圧力容器破損確認後にベDESTAL（ドライウェル部）注水操作を実施するが、炉心下部プレナムへの溶融炉心移行の開始時間の不確かさは小さく、原子炉圧力容器温度（下鏡部）が 300℃に到達したこと等をもって格納容器下部水温を継続監視することで、原子炉圧力容器破損を速やかに判断可能であることから、原子炉圧力容器破損を操作開始の起点としている原子炉圧力容器破損時の格納容器冷却操作及びベDESTAL（ドライウェル部）注水操作に係る運転員等操作時間に与える影響は小さい。 | 炉心ヒートアップに関するモデルは、TMI 事故についての再現性及び CORA 実験についての再現性を確認している。炉心ヒートアップの感度解析（ジルコニウム-水反応速度の係数についての感度解析）では、炉心溶融開始時間及び炉心下部プレナムへの溶融炉心移行の開始時間に対する感度は数分程度であり、影響は小さいことを確認している。 本評価事故シーケンスでは、原子炉圧力容器破損時点でベDESTAL（ドライウェル部）に水位が形成されていることから、評価項目となるパラメータに与える影響は小さい。 |
| | 燃料棒表面熱伝達 | | | | |
| | 燃料被覆管酸化 | | | | |
| | 燃料被覆管変形 | | | | |
| | 沸騰・ボイド率変化 | 炉心モデル（炉心水位計算モデル） | TQVU シーケンス及び中小破断 LOCA シーケンスに対して、MAAP コードと SAFER コードの比較を行い、以下の傾向を確認した。 ・MAAP コードでは SAFER コードで考慮している CCFL を取り扱っていないこと等から、水位変化に差異が生じたものの水位低下幅は MAAP コードの方が大きく、解析コード SAFER に対して保守的であり、その後の注水操作による燃料有効長頂部までの水位回復時刻は両コードで同等である。 | 原子炉水位挙動について原子炉圧力容器内のモデルが精緻である解析コード SAFER の評価結果との比較により水位低下幅は解析コード MAAP の評価結果の方が大きく、解析コード SAFER に対して保守的であるものの、その差は小さいことを確認していることから、運転員等操作時間に与える影響は小さい。 | 原子炉水位挙動について原子炉圧力容器内のモデルが精緻である解析コード SAFER の評価結果との比較により水位低下幅は解析コード MAAP の評価結果の方が大きく、解析コード SAFER に対して保守的であるものの、その差は小さいことを確認している。また、原子炉圧力容器破損時点でベDESTAL（ドライウェル部）に水位が形成されていることから、評価項目となるパラメータに与える影響は小さい。 |
| 気液分離（水位変化）・対向流 | | | | | |

第1表 解析コードにおける重要現象の不確かさが運転員等操作時間及び評価項目となるパラメータに与える影響(2/3)

| 分類 | 重要現象 | 解析モデル | 不確かさ | 運転員等操作時間に与える影響 | 評価項目となるパラメータに与える影響 |
|----------------------------|------------------|--|---|---|--|
| 原子炉 圧力容器 (炉心損傷 後) | リロケーション | 溶融炉心の 挙動モデル (リロケー ション) | <ul style="list-style-type: none"> ・TMI 事故解析における炉心領域での溶融進展状態について、TMI 事故分析結果と一致することを確認した。 ・リロケーションの進展が早まることを想定し、炉心ノード崩壊のパラメータを低下させた感度解析により影響を確認した。 ・TQUV、大破断 LOCA シーケンスともに、炉心溶融時刻、原子炉圧力容器破損時刻への影響が小さいことを確認した。 | 溶融炉心の挙動モデルは TMI 事故についての再現性を確認している。また、炉心ノード崩壊のパラメータを低下させた感度解析により原子炉圧力容器破損時間に与える影響は小さいことを確認している。原子炉圧力容器の破損の影響を受ける可能性がある操作としては、溶融炉心落下後のベDESTAL（ドライウエル部）への注水操作があるが、原子炉圧力容器破損時間の不確かさは小さいことから、原子炉圧力容器の破損を操作開始の起点としているベDESTAL（ドライウエル部）への注水操作に係る運転員等操作時間に与える影響は小さい。 | 溶融炉心の挙動モデルは TMI 事故についての再現性を確認している。また、炉心ノード崩壊のパラメータを低下させた感度解析により、原子炉圧力容器破損時間に与える影響は小さいことを確認している。本評価事故シーケンスでは、原子炉圧力容器破損時点でベDESTAL（ドライウエル部）に水位が形成されていることから、評価項目となるパラメータに与える影響は小さい。 |
| | 構造材との熱伝達 | | <ul style="list-style-type: none"> ・TMI 事故解析における下部プレナムの温度挙動について、TMI 事故分析結果と一致することを確認した。 ・下部プレナム内の溶融炉心と上面水プールとの間の限界熱流束、下部プレナムギャップ除熱量に係る係数に対する感度解析を行い、原子炉圧力容器破損時刻等の事象進展に対する影響が小さいことを確認した。 | 溶融炉心の挙動モデルは TMI 事故についての再現性を確認している。また、下部プレナムと溶融炉心の熱伝達に関する感度解析により、原子炉圧力容器破損時間に与える影響は小さいことを確認している。原子炉圧力容器破損の影響を受ける可能性がある操作としては、常溶融炉心落下後のベDESTAL（ドライウエル部）への注水操作があるが、原子炉圧力容器破損時間の不確かさは小さいことから、原子炉圧力容器の破損を起点としているベDESTAL（ドライウエル部）への注水操作に係る運転員等操作時間に与える影響は小さい。 | 溶融炉心の挙動モデルは TMI 事故についての再現性を確認している。また、下部プレナムと溶融炉心の熱伝達に関する感度解析により原子炉圧力容器破損時間に与える影響は小さいことを確認している。本評価事故シーケンスでは、原子炉圧力容器破損時点でベDESTAL（ドライウエル部）に水位が形成されていることから、評価項目となるパラメータに与える影響は小さい。 |
| | 下部プレナムでの溶融炉心の熱伝達 | 溶融炉心の 挙動モデル (下部プレ ナムでの溶 融炉心挙動) | <ul style="list-style-type: none"> ・TMI 事故解析における下部プレナムの温度挙動について、TMI 事故分析結果と一致することを確認した。 ・下部プレナム内の溶融炉心と上面水プールとの間の限界熱流束、下部プレナムギャップ除熱量に係る係数に対する感度解析を行い、原子炉圧力容器破損時刻等の事象進展に対する影響が小さいことを確認した。 | 溶融炉心の挙動モデルは TMI 事故についての再現性を確認している。また、下部プレナムと溶融炉心の熱伝達に関する感度解析により、原子炉圧力容器破損時間に与える影響は小さいことを確認している。原子炉圧力容器破損の影響を受ける可能性がある操作としては、常溶融炉心落下後のベDESTAL（ドライウエル部）への注水操作があるが、原子炉圧力容器破損時間の不確かさは小さいことから、原子炉圧力容器の破損を起点としているベDESTAL（ドライウエル部）への注水操作に係る運転員等操作時間に与える影響は小さい。 | 溶融炉心の挙動モデルは TMI 事故についての再現性を確認している。また、下部プレナムと溶融炉心の熱伝達に関する感度解析により原子炉圧力容器破損時間に与える影響は小さいことを確認している。本評価事故シーケンスでは、原子炉圧力容器破損時点でベDESTAL（ドライウエル部）に水位が形成されていることから、評価項目となるパラメータに与える影響は小さい。 |
| | 原子炉圧力容器破損 | 溶融炉心の 挙動モデル (原子炉圧 力容器破損 モデル) | 原子炉圧力容器破損に影響する項目として制御棒駆動機構ハウジング溶接部の破損判定に用いる最大ひずみ(しきい値)をパラメータとした感度解析を行い、原子炉圧力容器破損時刻が約 13 分早まることを確認した。ただし、仮想的な厳しい条件に基づく解析結果であり、実機における影響は十分小さいと判断される。 | 制御棒駆動機構ハウジング溶接部の破損判定に用いる最大ひずみ(しきい値)に関する感度解析により最大ひずみを低下させた場合に原子炉圧力容器破損時間が早まることを確認しているが、原子炉圧力容器破損(事象発生から約 4.5 時間後)に対して、十数分早まる程度であり、ベDESTAL(ドライウエル部)への注水は原子炉圧力容器温度(下鏡部)が 300℃に到達したこと等をもって格納容器下部水温を継続監視することで、原子炉圧力容器破損を速やかに判断可能であることから、原子炉圧力容器破損を操作開始の起点としているベDESTAL(ドライウエル部)への注水操作に係る運転員等操作時間に与える影響は小さい。 | 制御棒駆動機構ハウジング溶接部の破損判定に用いる最大ひずみ(しきい値)に関する感度解析により最大ひずみを低下させた場合に原子炉圧力容器破損時間が早まることを確認しているが、原子炉圧力容器破損(事象発生から約 4.5 時間後)に対して、早まる時間は僅かであり、破損時間が僅かに早まった場合においても、ベDESTAL(ドライウエル部)に水位が形成されていることから、評価項目となるパラメータに与える影響は小さい。 |
| 原子炉圧力容器内 FP 挙動 | 核分裂生成物(FP)挙動モデル | PHEBUS-FP 実験解析により、FP 放出の開始時間を良く再現できているものの、燃料被覆管温度を高めに評価することにより、急激な FP 放出を示す結果となった。ただし、この原因は実験の小規模な炉心体系の模擬によるものであり、実機の大規模な体系においてこの種の不確かさは小さくなると考えられる。 | 本評価事故シーケンスでは、炉心損傷後の原子炉圧力容器内 FP 放出を操作開始の起点としている運転員等操作はないことから、運転員等操作に与える影響はない。 | 原子炉圧力容器内 FP 挙動と溶融炉心との相互作用による侵食量に関連はないことから、評価項目となるパラメータに与える影響はない。 | |

第1表 解析コードにおける重要現象の不確かさが運転員等操作時間及び評価項目となるパラメータに与える影響(3/3)

| 分類 | 重要現象 | 解析モデル | 不確かさ | 運転員等操作時間に与える影響 | 評価項目となるパラメータに与える影響 | | |
|---------------------|----------------------------|-------------------------------|--|--|--|---|--|
| 格納容器 (炉心損傷 後) | 原子炉压力容器外 FCI (溶融炉心細粒化) | 溶融炉心挙動モデル (格納容器下部での溶融炉心挙動) | 原子炉压力容器外 FCI 現象に関する項目としてエントレインメント係数及びデブリ粒子径をパラメータとして感度解析を行い、原子炉压力容器外 FCI によって生じる圧カスパイクへの感度が小さいことを確認した。 | 本評価事故シナシスでは、原子炉压力容器外の溶融燃料-冷却材相互作用による圧カスパイクを起点とした運転員等操作はないことから、運転員等操作時間に与える影響はない。 | エントレインメント係数の感度解析より溶融炉心の細粒化割合がコンクリート侵食に与える感度は小さいことを確認しており、また溶融炉心の温度に対する感度は小さく、コリウムシールド侵食に与える感度についても同様に小さいことから、評価項目となるパラメータに与える影響は小さい。 | | |
| | 原子炉压力容器外 FCI (デブリ粒子熱伝達) | | | | | | |
| | 格納容器下部床面での溶融炉心の拡がり | | 溶融炉心の拡がり実験や評価に関する知見に基づき、落下した溶融炉心は床上全体に均一に拡がると想定される。ただし、堆積形状の不確かさが想定されるため、個別プラントのベDESTALの形状や事前水張りの深さを踏まえて、拡がりを抑制した感度解析等の取扱いを行うことが適切と考えられる。 | | | 本評価事故シナシスでは、コリウムシールド及びコンクリートの侵食を操作開始の起点としている運転員等操作はないことから、運転員等操作時間に与える影響はない。 | 溶融炉心の拡がりが抑制されると想定し種々の不均一な堆積形状を考慮した場合、溶融炉心の拡がりが抑制されない均一な堆積形状よりも溶融炉心と水の伝熱面積が大きくなり、溶融炉心が冷却される傾向となると評価しており、コリウムシールド及びコンクリートの侵食への影響はなく、評価項目となるパラメータに与える影響はない。 |
| | 溶融炉心と格納容器下部プール水の伝熱 | | 溶融炉心・コンクリート相互作用への影響の観点で、エントレインメント係数、上面熱流束及び溶融プールからクラストへの熱伝達係数をパラメータとした感度解析を行った。評価の結果、コンクリート侵食量に対して上面熱流束の感度が支配的であることを確認した。また、上面熱流束を下限值とした場合でも、コンクリート侵食量が 22.5cm 程度に収まることを確認した。上記の感度解析は、想定される範囲で厳しい条件を与えて感度を確認したものであり、不確かさを考慮しても実機でのコンクリート侵食量は感度解析よりも厳しくなることはないと考えられる。 | | | エントレインメント係数、溶融炉心からプール水への熱流束及び溶融プール-クラスト間の熱伝達係数の感度解析を踏まえ、コンクリート侵食量について支配的な溶融炉心からプール水への熱流束についての感度解析を実施した。感度解析の結果、コリウムシールド及びコンクリートの侵食は生じず、原子炉压力容器の支持機能を維持できる。これは、落下した溶融炉心はベDESTAL (ドライウェル部) 水によって冷却されコリウムシールドが侵食開始温度に到達する前に溶融炉心の温度は 2,100℃ を下回ること、溶融炉心からプール水へは崩壊熱以上の除熱がなされ溶融炉心の温度は 2,100℃ 未満を維持することから、コリウムシールドは侵食開始温度に到達せず、コンクリート侵食が抑制されたものである。 なお、本感度解析では、溶融炉心・コンクリート相互作用によってコンクリート侵食は生じないことから可燃性ガス及びその他の非凝縮性ガスは発生せず、格納容器圧力や格納容器内の水素濃度及び酸素濃度への影響はない。 (添付資料 3.5.1) | |
| | 溶融炉心とコンクリートの伝熱 | | ACE 実験解析及び SURC-4 実験解析より、溶融炉心堆積状態が既知である場合の溶融炉心とコンクリートの伝熱及びそれに伴うコンクリート侵食挙動について妥当に評価できることを確認した。実験で確認されている侵食の不均一性については、実験における侵食のばらつきが MAAP コードの予測侵食量の 20% の範囲内に収まっていることから、上面熱流束の感度に比べて影響が小さいことを確認した。 | | | | |
| コンクリート分解及び非凝縮性ガス発生 | | | | | | | |

第2表 解析条件を最確条件とした場合に運転員等操作時間及び評価項目となるパラメータに与える影響(1/5)

| 項目 | 解析条件(初期条件, 事故条件及び機器条件)の不確かさ | | 条件設定の考え方 | 運転員等操作時間に与える影響 | 評価項目となるパラメータに与える影響 |
|------|-----------------------------|--|--|---|--|
| | 解析条件 | 最確条件 | | | |
| 初期条件 | 原子炉熱出力 | 3,293MW | 約3,279MW～約3,293MW(実績値) | 定格原子炉熱出力として設定 | 最確条件とした場合には、原子炉停止後の崩壊熱が緩和される。最確条件とした場合の評価項目となるパラメータに与える影響は、原子炉停止後の崩壊熱にて説明する。 |
| | 原子炉圧力(压力容器ドーム部) | 6.93MPa[gage] | 約6.91MPa[gage]～約6.94MPa[gage](実績値) | 定格原子炉圧力として設定 | 最確条件とした場合には、ゆらぎにより解析条件に対して変動を与え得るが、原子炉圧力は逃がし安全弁により制御されるため事象進展に及ぼす影響はなく、運転員等操作時間に与える影響はない。 |
| | 原子炉水位 | 通常運転水位(セパレータスカート下端から+126cm) | 通常運転水位約-4cm～約+6cm(セパレータスカート下端から約+122cm～約+132cm)(実績値) | 通常運転時の原子炉水位として設定 | 最確条件とした場合には、ゆらぎにより解析条件に対して変動を与え得るが、ゆらぎの幅は事象発生後の水位低下量に対して非常に小さい。例えば、スクラム10分後の原子炉水位の低下量は、高圧が維持された状態でも通常運転水位から約3mであるのに対して、ゆらぎによる水位低下量は約4cmであり非常に小さい。したがって、事象進展に及ぼす影響は小さく、運転員等操作時間に与える影響は小さい。 |
| | 炉心流量 | 48,300t/h(定格流量(100%)) | 定格流量の約86%～約104%(実績値) | 定格流量として設定 | 事象発生後早期に原子炉はスクラムするため、初期炉心流量が事象進展に与える影響は小さく、運転員等操作時間に与える影響は小さい。 |
| | 燃料 | 9×9燃料(A型) | 装荷炉心ごと | 9×9燃料(A型)と9×9燃料(B型)は、熱水力的な特性はほぼ同等であり、その他の核的特性等の違いは燃料棒最大線出力密度の保守性に包含されることから、代表的に9×9燃料(A型)を設定 | 最確条件とした場合には、9×9燃料のA型又はB型の炉心となるか、それらの混在炉心となるが、いずれの型式も燃料の熱水力特性はほぼ同等であり、事象進展に及ぼす影響は小さいことから、運転員等操作時間に与える影響は小さい。 |
| | 原子炉停止後の崩壊熱 | ANSI/ANS-5.1-1979 燃焼度 33GWd/t | ANSI/ANS-5.1-1979 平均的燃焼度約31GWd/t(実績値) | 1サイクルの運転期間(13ヶ月)に調整運転期間(約1ヶ月)を考慮した運転期間に対応する燃焼度として設定 | 最確条件とした場合には、解析条件で設定している崩壊熱よりも小さくなるため、発生する水蒸気は少なくなり、原子炉压力容器の破損に至るまでの事象進展は緩和されるが、操作手順(溶融炉心落下後にベデスタル(ドライウエル部)への注水操作を開始すること)に変わりはないことから、運転員等操作時間に与える影響はない。 |
| | 格納容器体積(ドライウエル) | 5,700m ³ | 5,700m ³ (設計値) | 設計値 | 解析条件と最確条件は同様であることから、事象進展に与える影響はなく、運転員等操作時間に与える影響はない。 |
| | 格納容器体積(サブプレッション・チェンバ) | 空間部: 4,100m ³ 液相部: 3,300m ³ | 空間部: 約4,092m ³ ～約4,058m ³ 液相部: 約3,308m ³ ～約3,342m ³ (実績値) | 設計値(通常運転時のサブプレッション・プール水位の下限値として設定) | 最確条件とした場合には、ゆらぎにより解析条件に対して変動を与え得るが、ゆらぎによる格納容器体積(サブプレッション・チェンバ)の液相部の変化分は通常時に対して非常に小さい。例えば、サブプレッション・プール水位が6.983mの時の水量は3,300m ³ であるのに対し、ゆらぎ(0.087m)による水量変化は約42m ³ であり、その割合は初期保有水量の約1.3%と非常に小さい。したがって、事象進展に与える影響は小さいことから、運転員等操作時間に与える影響は小さい。 |
| | 真空破壊装置 | 3.45kPa(ドライウエルーサブプレッション・チェンバ間差圧) | 3.45kPa(ドライウエルーサブプレッション・チェンバ間差圧)(設計値) | 真空破壊装置の設定値 | 解析条件と最確条件は同様であることから、事象進展に与える影響はなく、運転員等操作時間に与える影響はない。 |

第2表 解析条件を最確条件とした場合に運転員等操作時間及び評価項目となるパラメータに与える影響(2/5)

| 項目 | | 解析条件（初期条件、事故条件及び機器条件）の不確かさ | | 条件設定の考え方 | 運転員等操作時間に与える影響 | 評価項目となるパラメータに与える影響 |
|------|-----------------|----------------------------|---|--|--|--|
| | | 解析条件 | 最確条件 | | | |
| 初期条件 | サブプレッション・プール水位 | 6.983m (通常運転水位－4.7cm) | 約 7.000m～ 約 7.070m (実績値) | 通常運転時のサブプレッション・プール水位の下限值として設定 | 最確条件とした場合には、ゆらぎにより解析条件に対して変動を与え得るが、ゆらぎによるサブプレッション・プール水位の変化分は通常時に対して非常に小さい。例えば、サブプレッション・プール水位が 6.983m の時の水量は 3,300m ³ であるのに対し、ゆらぎ (0.087m) による水量変化は約 42m ³ であり、その割合は初期保有水量の約 1.3%と非常に小さい。したがって、事象進展に与える影響は小さいことから、運転員等操作時間に与える影響は小さい。 | 最確条件とした場合には、ゆらぎにより解析条件に対して変動を与え得るが、ゆらぎによるサブプレッション・プール水位の変化分は通常時に対して非常に小さい。例えば、サブプレッション・プール水位が 6.983m の時の水量は 3,300m ³ であるのに対し、ゆらぎ (0.087m) による水量変化は約 42m ³ であり、その割合は初期保有水量の約 1.3%と非常に小さい。したがって、事象進展に与える影響は小さいことから、評価項目となるパラメータに与える影響は小さい。 |
| | サブプレッション・プール水温度 | 32℃ | 約 15℃～約 32℃ (実績値) | 通常運転時のサブプレッション・プール水温度の上限値として設定 | 運転員等操作としては溶融炉心落下後のベダスタル（ドライウェル部）への注水操作となるが、本パラメータによる影響を受けることはなく、運転員等操作時間に与える影響はない。 | 溶融炉心・コンクリート相互作用による侵食量という観点では、直接的な影響はないことから、評価項目となるパラメータに与える影響はない。 |
| | 格納容器圧力 | 5kPa[gage] | 約 2.2 kPa[gage]～ 約 4.7kPa[gage] (実績値) | 通常運転時の格納容器圧力を包絡する値 | 最確条件とした場合には、解析条件で設定している格納容器圧力より低くなるため、格納容器圧力が低めに推移するが、その影響は小さいことから、運転員等操作時間に与える影響はない。 | 最確条件とした場合には、解析条件で設定している格納容器圧力より低くなるため、格納容器圧力が低めに推移するが、その影響は小さいことから、評価項目となるパラメータに与える影響は小さい。 |
| | 格納容器雰囲気温度 | 57℃ | 約 25℃～約 58℃ (実績値) | 通常運転時の格納容器雰囲気温度（ドライウェル内ガス冷却装置の設計温度）として設定 | 最確条件とした場合には、ゆらぎにより解析条件に対して変動を与え得るが、格納容器雰囲気温度を操作開始の起点としている運転員等操作はないことから、運転員等操作時間に与える影響はない。 | 最確条件とした場合には、ゆらぎにより解析条件に対して変動を与え得るが、ゆらぎによる格納容器雰囲気温度の解析条件からの上昇は約 1℃であり非常に小さい。したがって、事象進展に与える影響は小さいことから、評価項目となるパラメータに与える影響は小さい。 |
| | 外部水源の温度 | 35℃ | 35℃以下 | 年間の気象条件変化を包含する高めの水温を設定 | 最確条件とした場合には、ベダスタル（ドライウェル部）への注水温度が低くなるが、注水温度を操作開始の起点としている運転員等操作はないことから、運転員等操作時間に与える影響はない。 | 外部水源の温度が低い場合、溶融炉心・コンクリート相互作用による侵食量という観点では溶融炉心からの除熱が促進されることから、評価項目となるパラメータに対する余裕は大きくなる。 |
| | 外部水源の容量 | 約 8,600m ³ | 8,600m ³ 以上 (西側淡水貯水設備＋代替淡水貯槽) | 西側淡水貯水設備及び代替淡水貯槽の管理下限値を設定 | 管理値下限の容量として事象発生から7日後までに必要な容量を備えており、水源は枯渇しないことから運転員等操作時間に与える影響はない。 | — |
| | 燃料の容量 | 約 1,010kL | 1,010kL 以上 (軽油貯蔵タンク＋可搬型設備用軽油タンク) | 軽油貯蔵タンク及び可搬型設備用軽油タンクの管理下限値を設定 | 管理値下限の容量として事象発生から7日後までに必要な容量を備えており、燃料は枯渇しないことから運転員等操作時間に与える影響はない。 | — |

第2表 解析条件を最確条件とした場合に運転員等操作時間及び評価項目となるパラメータに与える影響(3/5)

| 項目 | 解析条件(初期条件、事故条件及び機器条件)の不確かさ | | 条件設定の考え方 | 運転員等操作時間に与える影響 | 評価項目となるパラメータに与える影響 |
|------|---|-------------------------------------|---------------------------------------|--|--|
| | 解析条件 | 最確条件 | | | |
| 初期条件 | 溶融炉心からプール水への熱流束 | 800kW/m ² 相当 (圧力依存あり) | 800kW/m ² 相当 (圧力依存あり) | 過去の知見に基づき水張りの効果を考慮して設定 | 解析条件と最確条件は同様であるため、事象進展に影響はないことから、評価項目となるパラメータに与える影響はない。 コンクリート侵食量に対しては、実験で確認されている侵食面における侵食の不均一性等の影響を確認する観点から、コンクリート侵食量への影響が最も大きい溶融炉心からプール水への熱流束について、感度解析を実施した。感度解析の結果、コリウムシールド及びコンクリートの侵食は生じず、原子炉圧力容器の支持機能を維持できる。なお、本解析では、溶融炉心・コンクリート相互作用による可燃性ガス及びその他の非凝縮性ガスの発生はない。 (添付資料3.5.1) |
| | コンクリートの種類 | 玄武岩系コンクリート | 玄武岩系コンクリート | 使用している骨材の種類から設定 | |
| | コンクリート以外の構造材の扱い | 鉄筋は考慮しない | コンクリート以外の構造材を考慮する | 鉄筋についてはコンクリートよりも融点が高いことから保守的に考慮しない | |
| | 原子炉圧力容器下部及びのベDESTAL(ドライウエル部)に落下する溶融物との扱いは | ベDESTAL(ドライウエル部)に落下する溶融物とは扱わない | 部分的な溶融が生じ、ベDESTAL(ドライウエル部)に落下する可能性がある | 発熱密度を下げないよう保守的に設定 | |
| | | | | 最確条件とした場合には、コンクリートより融点の高い鉄筋の耐熱の効果により、コンクリートの侵食が抑制される可能性があるが、コンクリートの侵食を操作開始の起点としている運転員等操作はないことから、運転員等操作時間に与える影響はない。 | 最確条件とした場合には、コンクリートより融点の高い鉄筋の耐熱の効果により、溶融炉心・コンクリート相互作用によるコンクリート侵食が抑制されることから、評価項目となるパラメータに対する余裕は大きくなる。 |
| | | | | 最確条件とした場合には、溶融物の発熱密度が下がるため、溶融炉心・コンクリート相互作用によるコンクリート侵食及びコリウムシールド侵食が抑制されるが、コンクリート侵食量及びコリウムシールド侵食量を操作開始の起点としている運転員等操作はないことから、運転員等操作時間に与える影響はない。 | 最確条件とした場合には、溶融物の発熱密度が下がるため、溶融炉心・コンクリート相互作用によるコンクリート侵食及びコリウムシールドの侵食が抑制されることから、評価項目となるパラメータに対する余裕は大きくなる。 |

第2表 解析条件を最確条件とした場合に運転員等操作時間及び評価項目となるパラメータに与える影響(4/5)

| 項目 | | 解析条件(初期条件、事故条件及び機器条件)の不確かさ | | 条件設定の考え方 | 運転員等操作時間に与える影響 | 評価項目となるパラメータに与える影響 |
|------|----------------|---|------|--|----------------|--|
| | | 解析条件 | 最確条件 | | | |
| 事故条件 | 起因事象 | 給水流量の全喪失 | — | 原子炉水位の低下の観点で厳しい事象を設定 | — | <p>溶融炉心落下時の崩壊熱の影響を確認する観点から感度解析を実施した。感度解析は、原子炉水位の低下の観点でより厳しい事象である LOCA 等の原子炉冷却材圧力バウンダリ喪失を仮定し、事故シーケンスを「大破断 LOCA+高圧炉心冷却失敗+低圧炉心冷却失敗」として、本評価事故シーケンスの評価条件と同様、電源の有無に係らず重大事故等対処設備による原子炉注水機能についても原子炉圧力容器破損まで使用できないものと仮定した。その結果、原子炉圧力容器破損のタイミングが約 3.3 時間と早くなるため、溶融炉心落下時の崩壊熱が大きくなるが、コリウムシールド及びコンクリートの侵食は生じず、原子炉圧力容器の支持機能を維持できる。また、コンクリート侵食は生じないことから、可燃性ガス及びその他の非凝縮性ガスは発生しない。なお、本評価においては事象発生から約 79 時間後に格納容器内酸素濃度が 4.0vol% (ドライ条件) に到達するが、可搬型窒素供給装置による格納容器内への窒素注入を行うことによって、酸素濃度の最高値は 4.0vol% (ドライ条件) にどとまることから、可燃限界である 5.0vol% (ドライ条件) を下回る。 (添付資料 3.5.1)</p> |
| | 安全機能等の喪失に対する仮定 | 全交流動力電源喪失 高圧注水機能、低圧注水機能及び原子炉圧力容器破損前の重大事故等対処設備による原子炉注水機能の喪失 | — | 非常用ディーゼル発電機等の機能喪失を想定し、設定 高圧注水機能として原子炉隔離時冷却系及び高圧炉心スプレイ系、低圧注水機能として残留熱除去系(低圧注水系)及び低圧炉心スプレイ系の機能喪失を設定するとともに、原子炉圧力容器破損前の重大事故等対処設備による原子炉注水機能の喪失を設定 | — | — |
| | 外部電源 | 外部電源なし | — | 安全機能の喪失に対する仮定に基づき設定 ただし、原子炉スクラムについては、外部電源ありの場合を包絡する条件として、機器条件に示すとおり設定 | — | — |

第2表 解析条件を最確条件とした場合に運転員等操作時間及び評価項目となるパラメータに与える影響(5/5)

| 項目 | 解析条件(初期条件, 事故条件及び機器条件)の不確かさ | | 条件設定の考え方 | 運転員等操作時間に与える影響 | 評価項目となるパラメータに与える影響 | |
|------|-----------------------------|---|--|--|---|--|
| | 解析条件 | 最確条件 | | | | |
| 機器条件 | 原子炉スクラム信号 | 原子炉水位低(レベル3)信号 | タービン蒸気加減弁急速閉信号又は原子炉保護系電源喪失 | 短時間であるが原子炉熱出力が維持される厳しい設定として、外部電源喪失時に伴うタービン蒸気加減弁急閉及び原子炉保護系電源喪失による原子炉スクラムについては保守的に考慮せず、原子炉水位低(レベル3)信号にてスクラムするものとして設定 | 最確条件とした場合は、原子炉熱出力の低下が早くなるため、溶融炉心の持つエネルギーが小さくなり、原子炉圧力容器破損に至るまでの事象進展が緩やかになるが、操作手順(溶融炉心落下後にベデスタル(ドライウエル部)への注水を開始すること)に変わりはないことから、運転員等操作時間に与える影響は小さい。 | 最確条件とした場合は、原子炉熱出力の低下が早くなるため、溶融炉心の持つエネルギーが小さくなるが、評価項目となるパラメータに与える影響は小さい。 |
| | 主蒸気隔離弁 | 事象発生と同時に閉止 | 原子炉保護系電源喪失又は原子炉水位異常低下(レベル2)信号 | 短時間であるが主蒸気が格納容器内に維持される厳しい設定として、原子炉保護系電源喪失及び原子炉水位異常低下(レベル2)信号による主蒸気隔離弁閉止については保守的に考慮せず、事象発生と同時に主蒸気隔離弁閉止するものとして設定 | 最確条件とした場合には、逃がし安全弁を通じて格納容器内に放出される蒸気流量が減少することから、格納容器圧力及び雰囲気温度の上昇が遅くなるが、操作手順(溶融炉心落下後にベデスタル(ドライウエル部)への注水を開始すること)に変わりはないことから、運転員等操作時間に与える影響は小さい。 | 最確条件とした場合には、逃がし安全弁を通じて格納容器内に放出される蒸気流量が減少することから、格納容器圧力及び雰囲気温度の上昇が遅くなるが、その影響は小さいことから、評価項目となるパラメータに与える影響は小さい。 |
| | 再循環系ポンプ | 事象発生と同時に停止 | 電源喪失によるポンプ停止(事象発生と同時に) | 事象進展に与える影響は軽微であることから、全交流動力電源喪失によるポンプ停止を踏まえて設定 | 解析条件と最確条件は同様であり、事象進展に与える影響はないことから、運転員等操作時間に与える影響はない。 | 解析条件と最確条件は同様であり、事象進展に与える影響はないことから、評価項目となるパラメータに与える影響はない。 |
| | 逃がし安全弁 | 安全弁機能 7.79 MPa[gage]～ 8.31MPa[gage] 385.2 t/h(1個当たり)～ 410.6t/h(1個当たり) | 安全弁機能 7.79MPa[gage]～ 8.31MPa[gage] 385.2t/h(1個当たり)～ 410.6t/h(1個当たり) (設計値) | 逃がし安全弁の安全弁機能の設計値として設定 | 解析条件と最確条件は同様であり、事象進展に影響はないことから、運転員等操作時間に与える影響はない。 | 解析条件と最確条件は同様であり、事象進展に影響はないことから、評価項目となるパラメータに与える影響はない。 |
| | | 逃がし安全弁(自動減圧機能)の2個を開することによる原子炉急速減圧 | 逃がし安全弁(自動減圧機能)の2個を開することによる原子炉急速減圧 | 逃がし安全弁の設計値に基づく蒸気流量及び原子炉圧力の関係から設定 | 解析条件と最確条件は同様であり、事象進展に影響はないことから、運転員等操作時間に与える影響はない。 | 解析条件と最確条件は同様であり、事象進展に影響はないことから、評価項目となるパラメータに与える影響はない。 |
| | 代替循環冷却系 | 原子炉圧力容器破損前格納容器スプレイ: 250m ³ /h | 原子炉圧力容器破損前格納容器スプレイ: 250m ³ /h | 格納容器圧力及び雰囲気温度抑制に必要なスプレイ流量を考慮して設定 | 解析条件と最確条件は同様であることから、事象進展に与える影響はなく、運転員等操作時間に与える影響はない。 | 解析条件と最確条件は同様であることから、事象進展に与える影響はなく、評価項目となるパラメータに与える影響はない。 |
| | 緊急用海水系 | 代替循環冷却系から緊急用海水系への伝熱容量: 約14MW (サブプレッション・プール水温度100℃, 海水温度32℃において) | 代替循環冷却系から緊急用海水系への伝熱容量: 約14MW以上 (サブプレッション・プール水温度100℃, 海水温度32℃以下において) | 熱交換器の設計性能に基づき、代替循環冷却系の除熱性能を厳しくする観点で、過去の実績を包含する高めの海水温度を設定 | 最確条件とした場合には、解析条件で設定している海水温度と同等以下となる。32℃の場合は、解析条件と最確条件は同等であることから運転員等操作時間に与える影響はない。32℃未満の場合は、除熱性能が向上するため、格納容器圧力及び雰囲気温度の上昇の抑制効果は大きくなるが、操作手順(格納容器圧力0.31MPa[gage]到達後に窒素注入を停止すること)に変わりはないことから、運転員等操作時間に与える影響は小さい。 | 最確条件とした場合には、解析条件で設定している海水温度と同等以下となる。32℃の場合は、解析条件と最確条件は同等であることから評価項目となるパラメータに与える影響はない。32℃未満の場合は、除熱性能が向上するため、格納容器圧力及び雰囲気温度の上昇の抑制効果は大きくなることから、評価項目となるパラメータに対する余裕が大きくなる。 |
| | 格納容器下部注水系(常設) | 80m ³ /hにてベデスタル(ドライウエル部)へ注水 | 80m ³ /hにてベデスタル(ドライウエル部)へ注水 | 溶融炉心の冠水継続が可能な流量な流量として設定 | 解析条件と最確条件は同様であることから、事象進展に与える影響はなく、運転員等操作時間に与える影響はない。 | 解析条件と最確条件は同様であることから、事象進展に与える影響はなく、評価項目となるパラメータに与える影響はない。 |
| | コリウムシールド | 材料:ジルコニア耐熱材 侵食開始温度:2,100℃ | 材料:ジルコニア耐熱材 侵食開始温度:2,100℃ | 材料は、コンクリートの侵食を抑制する観点から設定 侵食開始温度は、ジルコニア耐熱材の侵食試験結果に基づき設定 | 最確条件とした場合は、解析条件とは同様であるため、事象進展に影響はないことから、運転員等操作時間に与える影響はない。 なお、溶融炉心中の酸化鉄成分との共晶反応も含めて評価すると、コリウムシールドには3.3cm程度の侵食が生じるものの、コリウムシールドの侵食を操作開始の起点としている運転員等操作はないことから、運転員等操作時間に与える影響はない。 (添付資料3.5.1) | 最確条件とした場合は、解析条件と同様であるため、事象進展に影響はないことから、評価項目となるパラメータに与える影響はない。 なお、溶融炉心中の酸化鉄成分との共晶反応も含めて評価すると、コリウムシールドには3.3cm程度の侵食が生じるが、この場合においても溶融炉心と接するコリウムシールドの温度は融点に至らず侵食は進行せず、評価項目となるパラメータに与える影響は小さい。 (添付資料3.5.1) |

第3表 運転員等操作時間に与える影響、評価項目となるパラメータに与える影響及び操作時間余裕

| 項目 | 解析条件（操作条件） の不確かさ | | 操作の不確かさ要因 | 運転員等操作時間 に与える影響 | 評価項目となるパラメータ に与える影響 | 操作時間余裕 | 訓練実績等 |
|------|------------------------------------|-------------------------|---|---|---|---|---|
| | 解析上の操作 開始時間 | 条件設定の 考え方 | | | | | |
| 操作条件 | 格納容器下部注水系（常設）によるベデスタル（ドライウエル部）注水操作 | 原子炉圧力容器破損から7分後（約4.6時間後） | <p>原子炉圧力容器破損の判断及び操作実施に必要な時間を考慮して設定</p> <p>【認知】 ベデスタル（ドライウエル部）への注水操作は、原子炉圧力容器の破損を判断した時点で開始するが、原子炉圧力容器の破損は、原子炉圧力容器温度（下鏡部）が300℃に到達したこと等をもって破損兆候を検知し、格納容器下部水温の温度上昇又は指示値喪失によって原子炉圧力容器破損を判断するものであり、解析上の認知にかかる時間としては5分を想定している。格納容器下部水温は破損兆候の検知によって継続監視するパラメータであり、温度上昇又は指示値喪失による原子炉圧力容器破損の判断は速やかに実施できるものであるため、認知に大幅な遅れが生じることは考えにくい。よって、認知遅れにより操作開始時間に与える影響はなし。</p> <p>【要員配置】 中央制御室内での操作のみであり、当直運転員は中央制御室に常駐していることから、操作開始時間に与える影響はなし。</p> <p>【移動】 中央制御室内での操作のみであり、当直運転員は中央制御室に常駐していることから、操作開始時間に与える影響はなし。</p> <p>【操作所要時間】 中央制御室内におけるベデスタル（ドライウエル部）への注水操作は、注入弁1弁の開操作による注水であり、1操作に1分間を想定している。当該操作は、中央制御室の制御盤のスイッチによる簡易な操作のため、操作時間に与える影響はなし。</p> <p>【他の並列操作有無】 当該操作に対応する当直運転員に他の並列操作はなく、操作開始時間に与える影響はなし。</p> <p>【操作の確実さ】 中央制御室の制御盤の操作スイッチによる簡易な操作のため、誤操作は起こりにくく、そのため誤操作等により操作時間が長くなる可能性は低い。</p> | <p>原子炉圧力容器破損までに事象発生から約4.5時間の時間余裕があり、また、溶融炉心落下後にベデスタル（ドライウエル部）注水が行われなかった場合でも、ベデスタル（ドライウエル部）プール水が蒸発し、溶融炉心が露出するまでには約0.3時間の時間余裕がある。溶融炉心落下後の格納容器下部注水系（常設）によるベデスタル（ドライウエル部）注水操作は原子炉圧力容器温度（下鏡部）が300℃に到達したこと等をもって破損兆候を検知し、原子炉圧力容器の破損判断パラメータである格納容器下部水温の指示を継続監視することで原子炉圧力容器破損を判断し、注水操作を実施することとしており、実態の操作開始時間は解析上の設定とほぼ同等であるため、操作開始時間に与える影響は小さいことから、運転員等操作時間に与える影響も小さい。当該操作は、解析コード及び解析条件（操作条件を除く）の不確かさにより操作開始時間は遅くなる可能性があるが、中央制御室での操作のみであり、当直運転員は中央制御室に常駐していること、また、当該操作に対応する運転員に他の並列操作はないことから、操作時間に与える影響はなし。</p> <p>（添付資料3.2.2）</p> | <p>実態の操作開始時間は解析上の設定とほぼ同等であることから、評価項目となるパラメータに与える影響は小さい。</p> | <p>原子炉圧力容器破損までの時間は事象発生から約4.5時間であり、また、溶融炉心落下後にベデスタル（ドライウエル部）注水が行われなかった場合でも、ベデスタル（ドライウエル部）プール水が溶融炉心の崩壊熱及びジルコニウム-水反応による発熱により蒸発し、溶融炉心が露出するまでには約0.3時間の時間余裕がある。</p> <p>（添付資料3.2.14）</p> | <p>中央制御室における操作のため、シミュレータにて訓練実績を取得。</p> <p>訓練では、条件成立を前提として約1分間で格納容器下部注水系（常設）による注水を開始。想定で意図している運転操作が実施可能なことを確認した。</p> |